ANNALEN

der

SCHWEIZERISCHEN METEOROLOGISCHEN ZENTRALANSTALT

1953

Neunzigster Jahrgang

LIBRARY
APR 8 1955
WEATHER BUREAU

City-Druck AG, Zürich 1
St. Peterstraße 10
1954

ANNALEN

der

SCHWEIZERISCHEN METEOROLOGISCHEN ZENTRALANSTALT

1953

Neunzigster Jahrgang

City-Druck AG, Zürich 1
St. Peterstraße 10
1954

Inhalt

Vorwort . . . . . Pag. III
Verzeichnis der schweizerischen meteorologischen Literatur im Jahre 1953 . . . . . » IV
Legende zu «Tägliche Beobachtungen» . . . . . » VII

Tägliche Beobachtungen

der Stationen: Bern, Neuchâtel, Altdorf, Genève, Zürich, Chasseron, Bever, Sion, Lugano, Basel, Säntis und St. Gotthard nebst ergänzenden Witterungsnotizen . . . . . Pag. 1—76
Jungfraujoch: Tägliche Lufttemperaturen . . . . . » 77
Tägliche Maxima und Minima und stündliche Monatsmittel der Lufttemperatur von Zürich und Säntis . . . . . » 78—79
Temperaturextreme von 7 Normal-Stationen . . . . . » 80—83

Monats- und Jahres-Uebersichten der meteorologischen Beobachtungen sämtlicher Stationen

» 85 – 134

	Pag.		Pag.		Pag.		Pag.
Aarau	102 u. 103	Davos-Platz	114 u. 115	Locarno-Monti	120 u. 121	Sarnen	96 u. 97
Adelboden	128	Disentis	112 u. 113	Locarno-Muralto	120 u. 121	Scarl (Unterengadin)	132
Airolo	133			Lohn	104 u. 105	Schaffhausen	127
Allaman	129	Ebnat	122	Lugano	120 u. 121	Schiers	131
Allerheiligenberg	126	Einsiedeln	94 u. 95	Lungern	124	Schuls	116 u. 117
Altdorf	96 u. 97	Elm	92 u. 93	Luzern	94 u. 95	Schwäbrig (ob Gais)	122
Altstätten	90 u. 91	Engelberg	96 u. 97			Seewis	131
Andermatt	125	Fescoggia	134	Marsens	129	Sils-Maria	132
Arosa	114 u. 115	Frauenfeld	88 u. 89	Meiringen	106 u. 107	Sion	110 u. 111
Auen (Linthal)	92 u. 93	Fribourg	104 u. 105	Mezzana	134	Soleil Mont	125
				Montana	112 u. 113	Solothurn	100 u. 101
Baden	86 u. 87	Genève	108 u. 109	Montreux-Clarens	110 u. 111	Splügen (Dorf)	118 u. 119
Basel (Binningen)	98 u. 99	Glarus	92 u. 93	Muri (Aargau)	122	Grand-St-Bernard	110 u. 111
Beatenberg	106 u. 107	Göschenen	96 u. 97			St. Gallen	88 u. 89
Bellinzona	120 u. 121	Grächen	130	Neuchâtel	100 u. 101	St. Gotthard	98 u. 99
Bern	104 u. 105	Grimmialp	128			Sta. Maria (Münstertal)	133
Bever	116 u. 117	Grimsel	108 u. 109	Oberiberg	94 u. 95	St. Moritz	116 u. 117
Beznau	102 u. 103	Grindelwald	127	Olten	126		
Biel	126	Grono	133			Thun	127
Bivio	132	Gurtnellen	124	Pilatus-Kulm	94 u. 95	Tschiertschen	132
Bosco-Gurin	118 u. 119	Guttannen	106 u. 107	Platta (Medels)	114 u. 115	Vättis	123
Braggio	118 u. 119	Haidenhaus	88 u. 89			Vicosoprano	118 u. 119
Brévine, la	125	Hallau	102 u. 103	Ragaz, Bad	92 u. 93	Walchwil	124
Brè Monte (ob Lugano)	134	Heiden	90 u. 91	Reckingen	112 u. 113	Wald (Faltigberg)	123
Buffalora (Ofenpass)	116 u. 117	Heiligenschwendi	127	Rheinfelden	126	Walenstadtberg	123
		Interlaken	106 u. 107	Rochers de Naye	130	Weggis	124
Cernier	125	Jungfraujoch	108 u. 109	Romont	129	Weissenstein	100 u. 101
Chasseron	98 u. 99	Kreuzlingen	88 u. 89	Rorschach	122	Weissfluhjoch	114 u. 115
Château d'Oex	129	Langenbruck	102 u. 103	Rougemont	128	Werthenstein	123
Chaumont	100 u. 101	Langnau i. E.	104 u. 105	Saanen	128	Winterthur	86 u. 87
Chaux-de-Fonds, la	98 u. 99	Lausanne (Champ de l'Air)	108 u. 109	Saas-Fee	131	Zermatt	131
Chippis	130	Leukerbad	130	Säntis	90 u. 91	Zürich-BG	86 u. 87
Comprovasco	133	Leysin	110 u. 111	Sargans	90 u. 91	Zürich-MZA	86 u. 87
Chur	112 u. 113						

Anhang: Ergänzende Beobachtungen und Abhandlungen.

Nr. 1. M. Grütter. Übersicht über den Witterungsverlauf in der Schweiz im Jahre 1953.
Nr. 2. J. Rieker. Liste des chutes de grêle en Suisse pendant l'année 1953.
Nr. 3. Ergebnisse der Niederschlagsmessungen im Jahre 1953.
Ergebnisse der im Alpengebiet aufgestellten Totalisatoren für das hydrologische Jahr 1952/53.
Nr. 4. Ergebnisse der Registrierungen der Sonnenscheinautographen im Jahre 1953.
Nr. 5. E. Wanner. Jahresbericht des Erdbebendienstes 1953.
Nr. 6. Aerologische Station Payerne. Radiosondierungen 1953.
Nr. 7. Agrarmeteorologische Beobachtungen:
Verdunstung in mm Wasserhöhe von Zürich und Château-d'Oex.
Bodentemperaturen von Zürich.

B. Primault. Les températures dans le sol, à Zurich, au cours l'année 1952.

P. Ackermann. Klima der freien Atmosphäre.

M. Bohnenblust. Un nouveau récepteur multiple pour l'étalonnage de la radiosonde suisse.

R. Schneider. Brouillards et Stratus bas (brouillards élevés) à l'Aéroport de Zurich-Kloten, période 1948—1953.

P.-L. Mercanton. Recherches de technique pluviométrique, X.

Vorwort

Im Bestand der meteorologischen Stationen ergaben sich im Jahre 1953 folgende Änderungen: Im Stadtgebiet von Zürich erwies sich nach der Verlegung unseres Institutes an den oberen Zürichberghang die Errichtung einer meteorologischen Station als notwendig. In Zusammenarbeit mit der Stadtverwaltung und dem Botanischen Institut der Universität konnte auf Jahresbeginn im Botanischen Garten mit den Aufzeichnungen begonnen werden. Zwei weitere Posten entstanden aus lokalen Interessen in Biel (Gaswerk) und Chippis im Wallis (Aluminium-Industrie AG). Eingegangen sind die beiden Stationen Scarl und Bernhardin-Hospiz, die in den letzten Jahren ohnehin nur noch im Sommer besetzt waren. Braunwald wurde in eine Regenmeßstation umgewandelt. Bei den Regenmeßstationen erfolgten vier Neugründungen: Hondrich bei Spiez (Bergbauernschule), Hauterive bei Neuchâtel (H. Krebs-Kubli), Monthey (Ciba AG) und Linthal (NOK, Fätschbachwerk). Anläßlich des Hinschiedes des Beobachters von Fehraltorf (E. Kieser) wurde der dortige Regenmesser nach Effretikon versetzt (H. Wegmann). Ebenso mußte wegen Schließung des Albula-Hospizes im Winter der dort untergebrachte Posten nach Preda verlegt werden (A. Caderas, EW Bergün).

	1. Januar	31. Dezember
Meteorologische Stationen	129	127
Regenmeßstationen	299	302

Beobachterwechsel (* mit Stationsverlegung, † Todesfälle):

Meteorologische Stationen			Regenmeßstationen		
	bisher	neu		bisher	neu
*Arosa Lichtklimatisches Observatorium			Filisur	J. Lucas †	Frau L. Lucas
	Prof. F. W. P. Götz †	Frl. G. Perl	La Frêtaz	H. Lüthy	F. Gygax
Göschenen	O. Lendenmann †	Th. Koller	Kalchrain	A. Rieser	B. Conrad
Guttannen	H. Huber †	Frau L. Huber	*Männedorf	J. Kunz †	L. Pedolin
Haidenhaus	J. und E. Sommer	A. Mächler	Panix	J. L. Spescha †	J. Spescha
Walchwil	K. Halter	P. Matter	Schwarzenegg	F. Liechti	F. Wegmüller

Dank dem Entgegenkommen der Eidgenössischen Landestopographie kann diesem Bande erstmals wieder seit 1922 eine Karte der meteorologischen und Regenmeßstationen der Schweiz beigeheftet werden. Sie soll auch in Zukunft beibehalten und alle zwei Jahre auf den neuesten Stand gebracht werden.

Zürich, im Dezember 1954.

Der Direktor der
Schweizerischen Meteorologischen Zentralanstalt:
Jean Lugeon

Eidgenössische Meteorologische Kommission 1953

Prof. Dr. Ch. Borel, Gymnasium, La Chaux-de-Fonds, Präsident
Prof. Dr. A. Kreis, Chur, Vizepräsident
Prof. Dr. W. Jost, Gymnasium, Bern
Prof. Dr. Fr. Gaßmann, ETH, Zürich
Dr. Gottfried von Meiß, Zürich
Dr. Max Bider, Astronomisch-Meteorologische Anstalt, Basel
Prof. Dr. S. Bays, Universität, Fribourg

Urfer, Alfred: Un cas particulier de brouillard en Valais. — Bull. de la Murithienne, fasc. 70, pp. 25—36, Sion 1953.
Vaudaux, Lucien: Les avalanches des 20 et 21 janvier 1951 dans les Alpes suisses, autrichiennes et italiennes. — Rev. de Géographie alpine, t. 39, fasc. 2, pp. 381—392, Grenoble 1951.
Vegis, A.: The significance of temperature and the daily light-dark period in the formation of resting buds. — Experientia, Vol. 9, pp. 462—463, Basel 1953.
Veranneman, N.: Météorologie et aviation. — Bull. OMM, vol. 2, no 1, pp. 19—24, Genève 1953.
Verzar, Fritz: s. Bider, Max.
Verzar, Fritz: s. auch Bitterli, H.
Volz, Fr.: s. Götz, Friedrich Wilhelm Paul.
Walser, E[mil]: Das Hochwasser von Ende Juni 1953 in der Zentral- und Nordostschweiz. — Wasser- u. Energiewirtschaft, Jg. 45/10, S. 211—218, Zürich 1953.
Weber, Hans: Beitrag zur theoretischen Deutung der Vorgänge bei der Berührung zwischen Atmosphäre und Wasser und deren graphische Darstellung. — Schweizer. Tech. Zeitschr., STZ, Jg. 50, Nr. 13, S. 177—185, Bern 1953.
Wieland, Walter: Lassen sich mit dem Ceraunographen die Gewitterzüge bestimmen? — Verh. SNG 1953, S. 78—82, Aarau 1954.
Witte, K[arl]: Beregnung, die einzig sichere Frostschutzmethode. — Schweiz. Gärtnerzeitung, Jg. 56/52, 2 S., Zürich 1953.
Wolfer, R[udolf]: Der Kurort Davos. Klimaverhältnisse, Bedeutung und Wert eines Aufenthaltes im Höhenkurort Davos. 2. Aufl. — Davos 1951; 28 S. Umschlag trägt: Der Kurort Davos und die Heilkraft seines Höhenklimas.
World meteorological organization: s. Organisation météorologique mondiale.
Zenone, Eleno: s. Thams, Johann Christian.
Zimmermann, Ed[uard]: Der Hagel, seine Entstehung und Bekämpfung. — Schweiz. Gartenbaukalender 1953, Anh., Basel 1952.
Zimmermann, E[duard]: Verfahren zur Bekämpfung der Hagelbildung in Frontgewittern und im besondern in Kaltfront-Wirbelgewittern, auch Böengewitter genannt. — Bern, Eidg. Amt f. Geistiges Eigentum, 1953; Patentschrift Nr. 293372, Kl. 2e.
Zingg, Th[eodor]: Beziehung zwischen Temperatur und Schmelzwasser und ihre Bedeutung für Niederschlags- und Abflußfragen. — UGGI, Assemblée gén., Bruxelles 1951, Assoc. Internat. d'Hydrologie Sc., Publ. no 32, pp. 266—269, Louvain s. d.
Zingg, Th[eodor]: Meteorologie. — Winterbericht d. Eidg. Instituts f. Schnee- u. Lawinenforschung, Nr. 16, S. 5—15, Davos-Platz 1953.
Zingg, Theodor: Klima und Gletscherschwankungen. — Verh. SNG 1953, S. 70—71, Aarau 1954.
Zingg, Theodor: s. auch Lawinenkatastrophen . . .
Zingg, Theodor: s. auch Quervain, Marcel de.
Zöttl, Heinz: Untersuchungen über das Mikroklima subalpiner Pflanzengesellschaften. — Ber. Geobotan. Forschungsinst. Rübel 1952, S. 79—103, Zürich 1953.
Zoller, Heinrich: s. Lüdi, Werner.

b) Seismologie und Erdmagnetismus

Bendel, L[ouis]: Die geophysikalischen Untersuchungen in der Innerschweiz. — Verh. SNG 1951, S. 96—98, Aarau 1951.
Corti, Ulrich A[rnold]; Dietiker, M[ax]: Über das Verhalten von Elritzen, Phoxinus laevis Agass., gegenüber Licht verschiedener Wellenlänge. — Schweiz. Zeitschr. f. Hydrologie, Vol. 14/1, Basel 1952.
Dietiker, Max: s. Corti, Ulrich Arnold.
Eugster, Jakob: Beobachtungen geophysikalischer Art in großen Erdtiefen. — Verh. SNG 1952, pp. 124—125, Aarau 1953.
Gaßmann, Fritz: Dämpfung durch Abstrahlung elastischer Wellen und gedämpfter Stabschwingungen. — Verh. SNG 1951, S. 103, Aarau 1951.
Gaßmann, Fritz; Vögtli, Kurt; Tarass, Nasser: Beispiel der geoelektrischen Bestimmung der Mächtigkeit von Quartärablagerungen. — Verh. SNG Lugano 1953, S. 76—77, Aarau 1954.
Gaßmann, F[ritz]; Weber, M[ax]; Vögtli, K[urt]: Beitrag zur Ermittlung der innern Dämpfung, Werkstoffdämpfung, von Gesteinsstäben. — Verh. SNG 1951, S. 106—110, Aarau 1951.
Gaßmann, F[ritz]; Weber, M[ax], Vögtli, K[urt]: Über Longitudinalschwingungen von Gesteinsstäben. — Verh. SNG 1951, S. 104—106, Aarau 1951.
Guyot, E[dmond]: Séismologie et chronométrie. — Rev. internat. de l'horlogerie, no 4, pp. 3—10, La Chaux-de-Fonds 1953.
Mariétan, [Ignace]: Les sources chaudes de Val d'Illiez. — Bull. de la Murithienne, fasc. 70, pp. 94—96, Sion 1953.
Mercier, Pierre-A.: Marées de la terre ferme à Lausanne. — Bull. Soc. Vaud. Sc. Nat., vol. 65, pp. 183—192, Lausanne 1951.
Montandon, Frédéric: Quelles sont les causes des tremblements de terre du Valais central? — Actes SHSN 1951, pp. 198—200, Aarau 1951. — Idem: Geogr. Helv., VI, p. 261, Bern 1951.
Montandon, Frédéric: Les tremblements de terre destructeurs en Europe. Catalogue par territoires séismiques, de l'an 1000 à 1940. — Genève, Union internat. de Secours, 1953; 195 pp.
Oulianoff, N[icolas]: Influence de la tectonique profonde sur la marche des ondes séismiques. — Bull. d'Inform. UGGI, année 2, no 2, pp. 284—286. Gap 1953.
Rothé, Jean-Pierre: Tableau de la séismicité du globe pendant les années 1949—1950. — Rev. p. l'ét. d. calamités, t. 13, nos 30—31, pp. 20—51, Genève 1953.
Tarass, Nasser: s. Gaßmann, Fritz.
Vögtli, Kurt: s. Gaßmann, Fritz.
Wanner, E[rnst]: Bericht über die erste Tagung der europäischen seismologischen Kommission, Stuttgart 22.—27. September 1952. — Geof. pura e appl., vol. 23, pp. 223—231, Milano 1952.
Wanner, E[rnst]: Die Erdbebenkarte der Schweiz und Seismogrammphasen im Alpengebiet. — Bull. d'Inform. UGGI, année 2, no 2, pp. 207—211, Gap 1953.
Weber, M[ax]: Theorie der Kombinationsseismographen. — Zeitschr. f. angew. Mathematik u. Physik, ZAMP, Vol. IV/1, S. 57—81, Basel 1953.
Weber, Max: Über die Indikatorgleichung eines Seismometers. — Geof. pura e appl., vol. 23, pp. 1—5, Milano 1952.
Weber, Max: s. auch Gaßmann, Fritz.

Tägliche Beobachtungen

der Stationen:

Bern, Neuchâtel, Altdorf, Genève, Zürich, Chasseron, Bever, Sion, Lugano, Basel, Säntis und St. Gotthard

im Jahre 1953

Für die Bezeichnung der Hydrometeore und anderer Phänomene werden folgende international vereinbarte Symbole (Wien 1873. Warschau 1935) verwendet:

● = Regen	⚡ = Gewitter	⸙ = starker Wind
❜ = Nebelregen	< = Wetterleuchten	⸙ = Sturm
✱ = Schnee	T = Donner	(⦶) = Sonnenhof
⟵ = Eisnadeln	≡ = Nebel	⩌ = Mondhof
▽̇ = Regenschauer	⌂ = Tau	⊕ = Sonnenring (Halo)
▽̽ = Schneeschauer	⊔ = Reif	⊍ = Mondring (Halo)
▽̈ = Regen- und Schneeschauer	V = Rauhreif	⌒ = Regenbogen
△ = Graupeln, Riesel	∾ = Glatteis	⛰ = Nordlicht
▲ = Hagel	✢ = Schneetreiben	⊠ = Schneedecke

Das Zeichen * kennzeichnet interpolierte Daten. Die Windstärken sind in der sechsteiligen (halben) Beaufortskala ausgedrückt. Die Tages- und Monatsmittel der Temperatur werden in diesem Abschnitt aus den drei Terminbeobachtungen nach der Formel M = 1/3 (7.30 + 13.30 + 21.30) berechnet. Im Abschnitt der Monats- und Jahresübersichten wird dagegen die Formel M = 1/4 (7.30 + 13.30 + 2 · 21.30) verwendet.

In der Spalte «Witterung» bedeuten die Abkürzungen: fl = Flocken, tr = Tropfen. Gewitter werden mit dem Symbol ⚡ oder, wenn vom Beobachter ausdrücklich als Ferngewitter gemeldet, mit (⚡) ohne jede Zeitangabe bezeichnet. Die näheren Angaben sind den «Ergänzenden Witterungsnotizen» auf Seite 73 ff zu entnehmen. Das Gleiche gilt auch für die Symbole Donner T und Ferndonner (T).

Die Intensität der einzelnen Erscheinungen wird durch eine dem Symbol als Exponent beigefügte ⁰ als schwach und ² als stark bezeichnet. Das Zeichen ⊠ bedeutet, daß mehr als die Hälfte der Bodenfläche in der Umgebung der Station an dem betreffenden Tage mit Schnee bedeckt war.

Alle Zeitangaben beziehen sich auf *mitteleuropäische Zeit. Vom Jahrgang 1918 an ist die 24-Stundenzählung* durchgeführt. Außerdem werden folgende Abkürzungen verwendet: a (ante meridiem) = vormittags, p (post meridiem) = nachmittags, n = nachts, fr = früh, mtg = mittags, abd = abends, ztw = zeitweise, mU = mit Unterbrechungen. Die römischen Ziffern geben an, daß das betreffende Phänomen um die Zeit des ersten (I), bzw. zweiten (II) oder dritten (III) Beobachtungstermins beobachtet worden ist, die arabischen Zahlen bedeuten die bürgerlichen Zeitstunden.

λ bezeichnet die geographische Länge in Graden von Greenwich, β die geographische Breite, H_b die Höhe des Stationsbarometers über dem Meer in Metern, H die Höhe der Station (des Regenmessers) über der Meeresfläche, G ist die Korrektion, welche an den Luftdruckdaten für deren Reduktion auf die Normalschwere (45° Breite und das Meeresniveau) noch anzubringen ist, h_r die Höhe des oberen Randes des Regenmessers über dem Erdboden. Die Stationen, bei denen die Höhe (des Barometergefäßes) bis auf den Dezimeter angegeben ist, sind an das schweizerische Präzisionsnivellement angeschlossen. Alle Höhen sind auf Pierre du Niton 373.6 m (neuer Wert) bezogen.

Die Schwerekorrektionen (G) sind vom Jahrgang 1936 an auf Grund neuer Berechnungen von Herrn Professor Niethammer, Basel, eingesetzt worden.

Auf dem Chasseron erfolgten die Abendbeobachtungen um 20.30 Uhr.

ERRATA

1952

Seite 108. *Grimsel:* Temperatur Januar 7^{30} — 8.1 (nicht — 7.7)
Mittel — 7,5 (nicht 7.4)

Seite 110. *Gr. St. Bernhard* H_b = 2478.7 m
Sion: H_b = 548.6 m

1953

Anhang Nr. 3, Seite 4. *Grindelwald:* Höhe ca. 1040 (nicht 1005)
Anhang Nr. 7, Seite 3. 2 cm Tiefe, Januar 29. 1,5, 30. 1,6

Digitized by the Internet Archive
in 2026

https://archive.org/details/annales-office-federale-meteorologie-climatologie_1953_90

$\lambda = 7°\,26'$, $\beta = 46°\,57'$,
$H_b = 572.2$ m, $G = 0.00$ mm.

Bern

Januar 1953
Beobachter: *Meteorol. Observatorium*

Tag	Lufttemperatur					Luftdruck			Relative Feuchtigkeit			Windrichtung und Stärke			Bewölkung			Niederschlag	Witterung
	7^{30}	13^{30}	21^{30}	Mittel	Abweich. vom Normalst	7^{30}	13^{30}	21^{30}	7^{30}	13^{30}	21^{30}	7^{30}	13^{30}	21^{30}	7^{30}	13^{30}	21^{30}		
1	−3.9	−3.4	−2.8	−3.4	−1.8	697.1	**696.1**	697.5	98	98	98	NE 0	NNE 1	NE 1	10≡	10	10	.	≡ n-11, ⌙ I
2	−2.0	−0.1	−1.5	−1.2	0.4	700.7	703.0	705.1	94	83	88	E 0	**NNE** 0	NE 1	10*	10*	10	1.6	✳ 7½-14½
3	−3.1	−2.4	−3.0	−2.8	−1.2	703.5	702.8	703.7	96	85	85	NE 1	NE 1	NE 2	10	10*	10	0.0	✳fl 9¾-16½, 22-24
4	−2.8	−2.8	−2.0	−2.5	−0.8	704.7	706.0	708.7	80	78	80	ENE 2	ENE 3	ENE 2	10	10*	10	0.0	✳fl 0-7, 11¾-14, ⌿ II
5	−1.7	−1.4	−1.8	−1.6	0.1	710.2	709.9	709.7	78	82	93	ENE 1	NE 2	NE 1	10	10	10	0.3	✳ 15¾-18, 19-21¾, ⌒ I
6	−3.1	−2.0	−3.6	−2.9	−1.2	706.6	702.7	699.6	94	86	85	NE 1	NNE 1	NE 1	10*	10*	10	0.2	✳fl 0-14¾, ⌒ I
7	−3.6	−2.4	−3.4	−3.1	−1.3	699.6	701.3	704.1	96	88	84	NE 1	NE 1	NNE 2	10*	10*	10	2.8	✳ 6¾-17½
8	−3.8	−3.3	−3.0	−3.4	−1.6	706.0	706.7	708.9	89	87	90	NE 1	NE 2	**NE** 1	10	10*	10	0.1	✳ 9-17
9	−2.4	−1.0	−4.3	−2.6	−0.8	711.5	712.7	713.9	91	85	95	NE 1	NE 1	S 1	10*	10*	6	3.4	✳ 6¾-16 mU
10	−2.8	−0.4	−0.4	−1.2	0.6	712.8	711.2	713.6	95	88	96	SSW 1	S 1	NE 1	10*	10*	10	1.8	✳ 4¾-14, 17¾-19
11	−4.5	−1.0	−4.8	−3.4	−1.6	716.9	717.6	720.2	89	70	92	NE 1	ENE 3	NE 1	3	6	0	.	⌒ I, ⌿ II
12	−9.5	−4.0	−7.7	−7.1	−5.3	720.3	719.1	719.4	94	80	92	NE 1	NNE 2	NE 2	1	1	0	.	⌙ ⌒ I
13	−6.3	−2.6	−8.3	−5.7	−3.9	719.3	718.4	718.2	85	**68**	85	**E** 2	ENE 2	S 0	10	9	0	.	⌙ ⌒ I
14	−6.4	−4.8	−6.1	−5.8	−4.0	716.6	715.7	716.1	82	75	83	SSE 1	E 1	NNE 1	10	10	10	.	⌒ I
15	−7.3	−5.5	−6.8	−6.5	−4.7	716.8	716.7	717.9	84	76	84	ESE 1	ESE 1	SE 1	10	10	10	.	⌒ I
16	−7.8	−2.6	−6.4	−5.6	−3.8	717.5	716.5	716.6	84	**68**	90	W 1	N 1	NE 1	10	5	0	.	⌙ ⌒ I
17	−9.8	−2.6	−6.0	−6.1	−4.4	715.9	715.3	717.0	90	74	89	SSW 0	NNE 1	S 1	0	1	0	.	⌙ ⌙ ⌒ I
18	−6.8	−4.2	−5.5	−5.5	−3.8	718.5	718.1	718.1	96	88	95	SSE 1	N 1	ENE 2	10≡	10	6	.	≡ n-a, ⌙ ⌒ I
19	−6.2	−1.3	−3.0	−3.5	−1.8	719.2	719.5	720.7	86	83	84	**SE** 1	**ENE** 3	SE 1	9	5	9	.	⌙ ⌙ ⌒ I, ⌿ II
20	−6.5	0.8	−1.7	−2.5	−0.9	**721.5**	720.6	721.4	95	76	79	**SE** 1	ENE 2	E 1	2	1	1	.	⌙ ⌒ I
21	−6.5	−2.6	−6.6	−5.3	−3.7	720.9	720.6	720.6	91	84	94	SE 1	NNW 1	SSW 0	10	10	0	.	⌙ ⌒ I
22	−6.3	−5.9	−6.8	−6.3	−4.7	719.3	718.1	717.4	98	91	98	E 1	**NW** 0	SE 1	10≡	10	10≡	0.0	❩ 8¼-8¾, ≡ n-a, 17-n,
23	−8.5	−6.8	−7.8	−7.7	−6.2	715.2	714.2	714.3	96	91	95	NE 1	NE 1	**E** 1	10≡	4	10≡	.	≡ n-a, p-n [⌙ ⌒ I
24	−7.0	−3.8	−5.4	−5.4	−3.9	713.9	713.1	712.3	95	88	96	SE 1	E 1	SSW 1	10	10	10≡	.	≡ p-n, ⌙ ⌒ I
25	−6.4	−1.1	0.4	−2.4	−1.0	709.9	708.2	707.2	94	87	96	SSE 1	SSE 1	SSW 1	9	10	10*	0.8	✳ 18½-20½, ● ✳ 20½-21¾, *)
26	−0.2	0.8	−2.2	−0.5	0.9	711.5	714.9	718.6	89	87	87	NE 1	NE 2	NNE 1	9	8	1	0.0	✳fl 1¼-3, 8-8¼, 9½-10
27	−8.8	−0.6	−3.1	−4.2	−2.9	719.0	718.9	719.6	94	88	88	S 1	SE 1	S 1	2	9	9	.	⌙ ⌒ I, ☋ 18½
28	−1.2	4.9	2.2	2.0	3.3	719.8	719.1	719.2	88	88	88	SSE 1	SE 1	SSW 1	9	9	9	.	☋ III
29	−1.0	**5.8**	0.5	1.8	3.0	719.0	718.5	719.2	98	79	79	SE 1	NE 1	NE 1	1	1	0	.	⌙ ⌒ I
30	−2.2	0.8	−0.8	−0.7	0.4	719.4	717.6	716.5	98	95	98	SSW 1	S 1	SSW 1	10	10	10≡	.	≡ p-n. ⌙ ⌒ I
31	−2.6	5.4	0.2	1.0	2.1	711.5	704.8	708.2	98	91	89	SSE 1	SSW 2	**W** 4	10≡	10●	10*	**14.9** Summe 25.9	✳ 10¾, 14½-16¾, 19½-24, *)
Mittel	−4.9	−1.6	−3.6	−3.4	—	713.4	712.8	713.7	92	84	89				8.2	8.0	6.8		

*) **24.** ✳ 21¼-22, ⌙ ⌒ I **31.** ● 10¾-14½, ⌑ 19½-20, ≡ n-a, ⌿ III

$\lambda = 6°\,57'$, $\beta = 47°\,0'$,
$H_b = 487.3$ m, $G = 0.02$ mm.

Neuchâtel

Januar 1953
Beobachter: *Observatorium*

1	−2.6	−2.6	−2.6	−2.6	−2.1	704.4	**703.1**	704.9	96	96	94	N 0	N 0	NE 0	10	10≡	10	0.3	≡ a-p
2	−1.9	0.0	−0.8	−0.9	−0.4	708.3	710.5	712.7	96	88	78	NE 0	NE 0	N 1	10	10	10	1.2	✳ 2¾, 8¾-10½
3	−2.2	−1.3	−1.7	−1.7	−1.1	710.8	710.2	711.2	74	83	74	N 2	N 1	NE 1	10	10*	10	0.1	✳fl n-n
4	−1.6	−1.2	−1.3	−1.4	−0.8	712.0	713.6	716.5	71	**70**	84	NE 3	NE 4	NE 3	10	10	10	.	⌿ n-n, ⌿ II
5	−0.9	−0.6	−1.0	−0.8	−0.2	718.1	717.9	717.6	81	85	81	NE 2	NE 1	NE 0	10	10	10*	0.1	✳fl p-n
6	−2.2	−1.7	−2.6	−2.2	−1.5	714.4	710.3	706.8	84	84	73	NE 1	NE 2	NE 2	10*	10	10	1.1	✳fl 7-11
7	−3.0	−1.8	−3.4	−2.7	−2.0	707.1	708.9	711.8	96	88	81	NE 0	NE 0	NE 0	10*	10	10	0.7	✳ 5¾-11¼
8	−2.2	−1.7	−1.5	−1.8	−1.1	713.6	714.5	716.8	**70**	76	78	NE 2	NE 2	NE 1	10	10	10	.	
9	−1.8	−0.2	−2.7	−1.6	−0.9	719.5	720.5	721.9	88	85	81	NE 0	NE 0	N 0	10	10	10	0.8	✳fl a
10	−1.3	0.1	1.0	−0.1	0.6	720.4	718.9	721.4	90	88	**83**	W 1	W 1	N 2	10*	10	10	0.8	✳ 4¾-12
11	−2.6	0.9	−2.4	−1.4	−0.7	724.5	725.5	728.2	87	73	75	E 0	E 2	NE 2	0	4	0	.	
12	−5.0	−1.1	−6.2	−4.1	−3.4	728.2	727.1	727.5	**86**	**70**	95	NE 1	E 2	NE 2	1	0	10	.	
13	−4.3	−1.8	−3.2	−3.1	−2.4	727.4	726.3	726.3	89	74	81	NE 3	E 3	NE 2	10	2	10	.	⌿ n-p
14	−5.0	−4.2	−5.3	−4.8	−4.1	724.4	723.6	724.3	86	87	88	NE 0	NE 0	NE 1	10	10	10	.	
15	−5.5	−4.9	−5.4	−5.3	−4.7	724.7	724.8	726.0	90	88	88	NE 1	E 1	E 0	10	10	10	.	
16	−6.6	−3.3	−5.4	−5.1	−4.5	725.3	724.5	724.5	92	83	93	E 0	SE 1	E 0	10	7	0	.	
17	−6.2	−2.9	−1.0	−3.4	−2.8	723.9	723.4	724.6	100	98	94	E 0	NE 1	E 0	10≡	10≡	10	.	≡ n-14, ⋁ I
18	−3.2	−1.7	−4.0	−3.0	−2.4	726.2	726.1	726.1	92	88	91	E 0	E 0	E 1	10	10	0	.	
19	−2.7	0.2	−1.6	−1.4	−0.9	727.0	727.4	728.3	90	80	86	NE 3	E 3	NE 2	10	6	1	.	⌿ n-p
20	−1.5	2.9	−0.2	0.4	0.9	729.3	728.4	**729.5**	92	**70**	78	NE 2	NE 2	NE 2	1	3	9	.	
21	−4.2	−2.4	−5.7	−4.1	−3.6	728.9	728.6	728.7	91	86	90	NE 2	E 2	E 0	10	10	0	.	
22	−5.4	−4.4	**−7.6**	−5.8	−5.4	727.4	726.1	725.6	92	86	94	E 0	NE 1	E 0	10	10	4	.	
23	−6.9	−5.8	−5.4	−6.0	−5.6	723.2	722.2	722.2	97	95	98	E 0	E 0	E 0	10	10	10	.	⋁ n-n
24	−4.9	−2.8	−3.3	−3.7	−3.4	721.5	721.0	720.0	98	92	92	E 0	E 0	E 0	10	10	10	.	⋁ I
25	−2.8	1.0	3.4	0.5	0.8	717.5	715.8	714.6	92	83	75	SW 1	SW 1	NW 2	10	10	10	0.0	● tr 18
26	0.8	1.7	−1.7	0.3	0.5	719.2	722.8	726.6	82	79	88	NE 1	NE 2	NE 0	10	10	0	.	
27	−6.2	−0.6	−1.4	−2.7	−2.5	727.2	727.0	727.5	95	85	92	NE 0	E 0	SE 0	1	8	10	.	
28	−0.2	4.3	3.3	2.5	2.6	727.5	727.0	727.0	93	75	79	E 0	SW 1	SW 1	10	9	3	.	
29	−0.2	**5.6**	1.2	2.2	2.3	726.7	726.5	727.3	97	71	89	SW 0	SE 0	NE 0	1	2	0	.	
30	−0.2	3.2	0.8	1.3	1.3	726.2	725.4	724.2	97	85	93	NE 0	E 0	N 0	10	10	10	.	
31	0.2	4.9	1.1	2.1	2.1	719.3	712.7	715.9	93	94	75	SW 1	SW 3	W 3	9	10●	10●*	**12.1** Summe 17.2	● 9¾-14½, ✳ ● 17¼-21½, [⌿ 11-n
Mittel	−3.0	−0.7	−2.2	−2.0	—	721.1	720.7	721.5	90	83	85				8.5	8.4	7.7		

Januar 1953
Beobachter: *Frl. H. Nager*

Altdorf

$\lambda = 8° 39'$, $\beta = 46° 53'$,
$H_b = 456.3$ m, $G = -0.05$ mm.

Tag	Lufttemperatur					Luftdruck			Relative Feuchtigkeit			Windrichtung und Stärke			Bewölkung			Niederschlag	Witterung
	7^{30}	13^{30}	21^{30}	Mittel	Abweich. vom Normalst	7^{30}	13^{30}	21^{30}	7^{30}	13^{30}	21^{30}	7^{30}	13^{30}	21^{30}	7^{30}	13^{30}	21^{30}		
1	0.1	0.7	0.1	0.3	0.1	706.7	**705.7**	707.7	85	83	75	NE o	NE o	SE 1	10	10	10	.	
2	−1.0	0.3	−0.2	−0.3	−0.5	710.8	712.9	715.7	73	86	94	SE o	E o	SE o	10	10*	10*	2.1	✳fl 10–11, ✳ 11–n
3	−0.7	−0.1	−1.2	−0.7	−0.8	713.7	712.5	714.2	84	85	90	N o	NW o	NW o	10	10*	10	0.6	✳ 10½–19½
4	−1.4	−0.1	−1.4	−1.0	−1.2	715.4	717.2	720.0	82	65	63	SW o	E o	E 1	10	10	10	.	
5	−2.4	−0.6	−1.2	−1.4	−1.5	721.7	720.8	720.1	65	60	61	SE o	SE o	E o	10	10	10	0.3	✳fl n (5./6.)
6	−3.4	−1.2	−2.6	−2.4	−2.5	717.3	712.6	709.6	85	70	70	E o	E o	E o	10	8	10	0.0	✳fl p
7	−2.2	−0.6	−1.1	−1.3	−1.4	709.5	711.3	714.4	75	63	75	SE o	SE o	E o	10	10	10	.	
8	−1.8	−0.8	−1.5	−1.4	−1.5	716.4	717.3	718.6	98	78	80	NE o	E o	E o	10	10*	10	0.0	✳fl a-p mU
9	−3.0	−1.1	−3.3	−2.5	−2.6	722.2	723.0	719.7	72	74	73	S o	NE o	E o	10	10	10	1.5	✳ n (9./10.)
10	−2.2	−0.7	1.3	−0.5	−0.6	723.0	721.4	723.8	93	96	79	SE o	SE o	NW 1	10*	10*	10*	10.9	✳ n–n
11	0.0	0.9	−2.4	−0.5	−0.6	727.4	728.0	731.6	70	70	70	NE o	N o	NW o	10	10	10	.	
12	−6.2	−1.8	−3.6	−3.9	−4.1	731.4	730.6	731.1	75	73	75	E o	S o	E o	3	2	10	.	
13	−4.9	−1.4	−4.4	−3.6	−3.8	730.9	729.5	729.1	74	67	74	SE o	SE o	E o	10	3	10	.	
14	−5.6	−3.1	−5.0	−4.6	−4.8	727.4	726.1	727.7	75	71	75	S o	SE o	SE o	10	10	10	.	
15	−6.0	−2.9	−6.2	−5.0	**−5.2**	728.0	727.7	728.8	77	73	77	SE o	SE o	SW o	10	10	10	.	
16	−5.9	−1.6	−6.9	−4.8	−5.0	727.7	727.2	727.7	78	72	77	E o	E o	E o	10	5	3	.	
17	−5.8	−2.2	−3.0	−3.7	−3.9	726.7	726.1	728.0	95	88	90	E o	E o	NE o	10	10	10	.	≡ a
18	−4.2	−2.9	−2.8	−3.3	−3.6	729.4	729.0	729.5	92	90	85	E o	E o	E 1	10	10	10	.	
19	−3.0	−0.3	−1.6	−1.6	−1.9	730.8	731.5	732.2	88	66	79	E o	NE o	NW o	10	10	10	.	
20	−2.4	1.1	−0.9	−0.7	−1.0	**733.2**	731.7	732.8	87	**48**	73	E o	NW o	NW o	10	4	10	.	
21	−3.8	−0.5	−2.5	−2.3	−2.6	732.0	731.0	732.0	79	73	80	SE o	SE o	E o	10	2	10	.	
22	−3.4	−1.5	−3.2	−2.7	−3.1	730.3	728.5	727.8	84	78	80	E 1	E o	E o	10	10	10	.	
23	−4.8	−2.1	−3.8	−3.6	−4.0	726.0	724.5	725.1	85	70	84	SE o	SE o	SE o	10	10	10	.	
24	−5.0	−2.3	−5.4	−4.2	−4.6	724.8	723.5	722.8	85	80	87	E o	E o	SE o	10	5	10	.	
25	−5.7	−0.1	−0.1	−2.0	−2.5	720.0	718.0	717.8	89	75	100	SE o	N o	NW o	10	10	10*	**28.1**	✳ 20½–n, ≡ 8½–11½
26	1.3	1.8	0.1	1.1	0.6	721.5	725.5	729.5	76	75	86	NW 1	NW o	NW o	10	10	10	0.0	✳fl 9
27	**−7.0**	−0.5	−3.5	−3.7	4.3	729.9	730.0	730.0	75	73	87	S o	S o	S o	7	7	10	.	
28	−0.2	4.0	0.8	1.5	0.9	730.4	728.7	729.5	85	67	90	W o	E o	E o	10	8	10	.	
29	1.4	**4.3**	−0.9	1.6	0.9	729.9	729.6	730.6	96	83	90	E o	SE o	E o	10	3	4	.	
30	0.3	3.3	−0.3	1.1	0.4	730.4	727.6	725.7	95	83	88	E o	E o	NW o	10	4	0	.	
31	1.4	3.5	2.8	2.6	1.8	721.3	712.7	716.2	98	75	73	NW o	E o	NW 1	10≡	7	10●	6.6	● 14¾–n, ≡ n9½
Mittel	−2.8	−0.3	−2.1	−1.7	—	724.1	723.3	724.2	83	75	80				9.7	8.0	9.3	Summe 50.1	

Januar 1953
Beobachter: *Observatorium*

Genève

$\lambda = 6° 9'$, $\beta = 46° 12'$,
$H_b = 405.0$ m, $G = -0.03$ mm.

1	−0.7	0.8	0.6	0.2	−0.1	712.2	710.6	**710.4**	96	85	88	E o	E o	E o	10	10	10	.	
2	0.8	2.0	1.0	1.3	1.0	716.0	718.4	719.7	92	67	81	ENE o	NE 1	NE 1	10	10	10	0.2	✳ ● a
3	0.0	0.0	−0.9	−0.3	−0.6	717.7	717.2	718.2	78	78	84	ENE 1	NNE 1	NNE 1	10	10	10	0.0	▽ p
4	−1.4	0.0	0.2	−0.4	−0.6	718.2	718.9	723.6	84	85	91	NNE 3	NNE 4	NNE 1	10	10	10	.	⸗ n–p, ⸗ ll
5	−0.2	0.2	0.0	0.0	0.2	725.0	725.7	724.2	97	89	85	E 1	ENE 1	E 1	10	10	10	.	
6	−1.4	−0.4	−1.7	−1.2	−1.4	719.9	715.9	713.9	88	81	79	ENE o	NNE 1	NE 1	10	6	10	0.1	✳ a
7	−2.7	−1.1	−1.0	−1.6	−1.8	715.5	716.6	718.7	76	90	84	NE o	NNE o	NE o	10	10	10	0.1	✳ p
8	−1.0	−0.5	0.0	−0.5	−0.7	720.9	722.9	723.9	88	87	89	NNE 1	NNE 2	NNE 1	10	10	10	0.0	▽ 10¾
9	−0.6	0.6	−0.4	−0.1	−0.3	727.1	727.7	729.6	92	88	89	E o	NE o	NE o	10	10	0	0.1	✳ n (9./10.)
10	−1.5	0.6	0.0	−0.3	−0.5	728.9	726.9	728.7	94	92	93	NE o	NNE 1	NE o	10	10	10	0.1	✳ a
11	−0.2	1.7	−1.5	0.0	−0.2	731.1	731.6	734.6	89	69	88	NNE 3	NNE 2	NNE 1	10	3	2	.	⸗ l
12	−3.7	0.2	−2.6	−2.0	−2.2	734.7	733.6	733.8	93	96	96	NNE 1	NNE 1	NNE 1	0	1	0	.	
13	−3.4	−2.1	−3.0	−2.8	−3.0	734.4	733.6	732.3	87	90	92	ENE 1	ENE 1	ENE o	10	10	10	.	
14	−4.1	−2.6	−3.6	−3.4	−3.6	732.0	730.6	731.3	91	87	91	ENE o	NE 1	NE 1	10	10	10	.	
15	−4.5	−3.6	−4.0	−4.0	−4.3	732.2	731.9	733.2	88	91	88	NE 1	NE 1	ENE 1	10	10	10	0.0	▽ a
16	**−5.6**	−3.0	−4.7	−4.4	−4.7	733.2	732.4	731.8	90	92	92	E o	NE o	NE o	10	6	9	.	
17	−5.4	−1.8	−3.4	−3.5	−3.8	731.4	731.2	732.5	100	96	95	NE o	NE o	NE o	10	9	9	.	
18	−4.7	−0.8	−1.0	−2.0	−2.3	733.9	734.1	733.4	95	89	90	E o	NE 1	E o	10	0	2	.	
19	−1.6	1.2	−1.4	−0.6	−1.0	733.7	733.3	734.7	92	88	88	NE 1	NNE 2	ENE 1	10	9	0	.	
20	−2.5	3.5	1.8	0.9	0.5	736.0	735.8	**736.1**	100	72	78	E o	ENE 1	NE 1	10	9	5	.	
21	0.5	0.6	−1.6	−0.2	−0.6	735.7	735.1	735.7	87	79	86	E o	NNE 1	E o	9	3	4	.	
22	−2.4	−1.8	**−5.6**	−3.3	−3.8	734.4	733.6	733.1	94	94	100	E o	E o	E o	5	3	0	.	
23	−4.0	−1.4	−3.2	−2.9	−3.4	730.3	729.3	729.5	100	92	96	E o	NE o	NE o	10	10	10	.	
24	−3.6	−2.0	−1.8	−2.5	3.1	729.3	728.5	727.7	91	87	96	NE o	E o	ESE 1	10	10	10	.	
25	−3.6	5.0	4.7	2.0	1.4	725.6	724.1	722.9	100	74	82	NE o	SW 1	NE 1	8	9	10	.	
26	3.0	3.6	0.6	2.4	1.7	727.4	729.1	733.7	83	73	81	NNE 1	NE 1	NNE 1	7	3	3	.	
27	−1.5	2.6	−1.2	0.0	0.7	734.6	734.1	735.2	94	55	96	NE 1	ENE 1	NE 1	5	0	1	.	
28	−0.7	4.7	2.0	2.0	1.2	736.0	734.5	733.2	94	**41**	82	E o	ENE 1	ENE o	10	4	5	.	
29	−1.1	7.0	−1.2	1.6	0.8	734.1	733.3	734.2	100	65	100	E o	ENE o	E o	1	0	8	.	
30	−3.0	1.5	0.9	−0.2	−1.1	734.4	733.8	732.0	100	96	100	NW o	SSW 1	SW o	10	10	10	.	
31	−0.5	**10.0**	2.5	4.0	3.0	728.0	722.6	725.8	100	62	100	SSW 1	S 1	SSW 1	10	5	10●	**3.0**	● p–n, ✳ n (31./1.)
Mittel	−2.0	0.8	−1.0	−0.7	—	728.5	728.0	728.6	92	82	90				8.9	7.1	7.0	3.6	

$\lambda = 8°\ 34'$, $\beta = 47°\ 23'$,
$H_b = 569.4$ m, $G = 0.03$ mm

Zürich

Januar 1953
Beobachter: *Meteorol. Zentralanstalt*

Tag	Lufttemperatur					Luftdruck			Relative Feuchtigkeit			Windrichtung und Stärke			Bewölkung			Niederschlag	Witterung
	7³⁰	13³⁰	21³⁰	Mittel	Abweich. vom Normalst	7³⁰	13³⁰	21³⁰	7³⁰	13³⁰	21³⁰	7³⁰	13³⁰	21³⁰	7³⁰	13³⁰	21³⁰		
1	−3.5	−2.6	−2.4	−2.8	−1.2	696.6	**695.6**	697.2	97	98	91	NNW 1	ENE 0	NNW 1	10≡	10	10●	0.2	● p-n mU, ≡ n-a
2	−2.1	−1.5	−2.3	−2.0	−0.4	700.4	702.5	705.0	95	90	94	WNW 1	WSW 1	WSW 1	10*≡	10*	10	3.9	✳ 7½–20½ mU, ≡ n-a
3	−3.7	−2.4	−3.7	−3.3	−1.7	703.6	702.7	704.1	92	84	87	NNW 0	NNE 1	NE 1	10*	10*	10*	0.2	✳ n-n
4	−3.3	−2.6	−2.5	−2.8	−1.1	705.8	706.9	709.7	81	78	84	ENE 2	ENE 2	NNE 1	10	10	10	0.1	
5	−2.5	−1.7	−2.5	−2.2	−0.5	710.9	710.4	709.9	90	83	91	E 1	N 1	NNE 1	10	10*	10*	1.0	✳ 11¾–13¾, III
6	−3.9	−3.0	−3.5	−3.5	−1.8	707.0	703.2	699.4	92	82	86	NNE 1	NE 1	NE 1	10	10*	10	1.0	✳ a-p
7	−4.3	−2.2	−3.7	−3.4	−1.7	699.5	701.2	704.4	92	82	87	ENE 1	NNE 1	NNE 1	10*≡	10	10	0.7	✳ 1¾–10¼, ≡ n-a
8	−3.8	−3.1	−3.3	−3.4	−1.6	706.3	707.2	709.3	86	82	92	NNE 1	N 1	ENE 1	10	10*	10	0.5	✳ a-p mU
9	−3.1	−1.5	−3.0	−2.5	−0.7	711.7	712.6	713.7	93	84	91	NNW 0	W 1	WSW 1	10*≡	10	10	1.8	✳ n-11, ≡ n-a
10	−2.3	−1.2	−2.0	−1.8	0.0	712.2	711.2	713.8	86	92	96	WSW 1	SSW 1	N 1	10*	10*	10	4.6	✳ 7½–18½
11	−3.1	−0.1	−5.5	−2.9	−1.1	717.5	718.8	720.5	89	73	88	N 1	NE 1	S 1	10	9	7	0.3	✳ 14–15¼
12	−8.5	−4.7	−6.3	−6.5	−4.7	720.7	720.4	720.6	94	81	91	ESE 0	NNE 1	NE 1	10≡	10	10	.	≡ n-7½, 8-11, ⌴ I
13	−5.1	−2.9	−4.6	−4.2	−2.4	720.3	719.1	718.5	88	71	83	SE 1	ENE 1	ENE 1	10	9	10	.	
14	−6.3	−5.3	−6.2	−5.9	−4.1	716.8	716.0	716.5	87	81	82	E 1	NNE 1	S 1	10	10	10	.	
15	−6.6	−5.4	−6.7	−6.2	−4.4	717.1	717.1	717.5	83	79	86	SE 1	E 1	E 1	10	10	10	.	
16	−7.4	−1.0	−5.9	−4.8	−3.0	717.4	716.6	717.2	91	62	91	ENE 1	SSW 1	SSE 1	10	6	2	0.2	
17	−7.1	−1.3	−3.2	−3.9	−2.1	716.0	715.6	716.9	95	82	94	SSE 0	SSW 1	S 0	4≡	7≡	10	.	≡ n-p, ⌴ I
18	−4.2	−3.1	−4.3	−3.9	−2.2	718.6	718.4	718.6	92	84	89	SSW 1	W 1	E 1	10	10	10	.	
19	−4.8	1.3	−2.2	−1.9	−0.2	720.1	720.7	721.2	94	79	89	ENE 1	NNE 1	S 1	10	5	10	0.0	
20	−2.4	3.5	−3.0	−0.6	1.1	**722.6**	721.8	722.1	95	69	88	ENE 1	NE 2	NE 1	10	6	0	.	
21	−4.5	0.2	−5.7	−3.3	−1.6	721.3	721.1	720.8	94	68	92	NE 1	N 1	S 1	10	7	0	.	
22	−7.5	−4.9	−5.8	−6.1	−4.4	719.9	718.0	717.3	95	95	96	E 1	SSW 1	S 1	10	10	10≡	.	≡ p-n
23	−9.5	−5.3	−5.9	−6.9	−5.3	715.3	714.5	714.2	94	95	96	NE 1	SSW 1	S 1	10	10≡	10	.	≡ a-p mU, ⌴ I
24	−6.0	−3.7	−5.5	−5.1	−3.5	713.7	713.3	712.0	96	82	97	SSW 1	SSW 1	S 1	10	10	10	.	⌴ I
25	−5.9	−0.1	0.0	−2.0	−0.4	709.0	707.6	707.1	96	74	95	S 1	WSW 1	W 1	10	10	10	3.4	✳ 14¼–15½, 18½–20½
26	−1.1	2.1	−3.2	−0.7	0.9	712.1	715.5	718.7	88	70	86	NNE 1	N 1	E 1	10	8	9	.	✳ 0¾–2¼, 3¾–4¼
27	−4.5	−1.1	−2.5	−2.7	−1.2	718.8	719.0	719.1	96	71	89	SE 1	SSW 1	S 1	10≡	10	10	.	≡ n-10¼
28	0.8	5.0	2.5	2.8	4.3	719.2	718.6	718.6	65	**60**	80	SSW 1	SSW 1	W 1	8	10	8	0.4	
29	1.8	5.5	3.0	3.4	4.9	719.1	719.1	719.7	93	74	85	SSW 1	WSW 2	**W** 1	9	9	10	.	
30	0.5	**6.0**	−0.3	2.1	3.5	719.2	717.4	715.3	94	62	94	**S** 2	WSW 1	W 0	5	0	1	0.1	
31	−2.9	5.9	−0.5	0.8	2.2	710.5	703.2	706.7	97	71	95	S 1	WSW 3	WSW 2	2	10●	10*	**7.4**	● 13½–14½, ✳ 19¾–21½, [≡ n-7½, ⌿ 11½-n
																		Summe	
Mittel	−4.1	−1.0	−3.3	−2.8	—	713.5	713.1	713.7	91	79	90				9.3	8.9	8.6	25.8	

$\lambda = 6°\ 32'$, $\beta = 46°\ 51'$
$H_b = 1589$ m, $G = -0{,}13$ mm

Chasseron

Januar 1953
Beobachter: *Ch. H. Martin*

1	−5.2	−3.0	−6.0	−4.7	—	612.4	**611.6**	612.6	100	50	100	SSE 2	SSE 1	NNE 1	4	4	10≡	0.2	✳ n(1./2.), ≡5-6, 17½-n, ⋁ I, III
2	−6.4	−6.2	−9.2	−7.3	—	615.7	617.7	619.0	100	100	100	NNE 2	NW 1	NW 3	10*≡	10≡	10≡	1.3	✳ n-17 mU, ≡ n-n, ⋁ ⌿ III
3	−10.4	−10.0	−10.8	−10.4	—	617.1	616.5	617.1	100	100	100	ENE 1	E 1	NE 2	10≡	10*≡	10≡	0.7	✳ a-p mU, ≡ ⋁ n-n
4	−10.8	−10.2	−9.6	−10.2	—	617.3	618.7	620.7	100	100	100	E 4	E 4	E 4	10≡	10≡	10≡	.	≡ ⋁ ⌿ n-n
5	−9.7	−8.6	−9.7	−9.3	—	623.2	623.6	623.3	100	100	100	E 3	NE 1	NE 1	10≡	10≡	10≡	0.1	△ 10-13½, ≡ ⋁ n-n, ⌿ n-a
6	−10.2	−10.0	**−11.8**	−10.7	—	620.4	616.1	613.6	100	100	100	E 1	E 1	E 3	10≡	10*≡	10≡	0.9	✳ n-8 mU, 8-14, ≡ ⋁ n-n, ⌿ p-n
7	−10.8	−8.2	**−11.8**	−10.3	—	613.3	615.3	617.6	100	100	100	E 1	NE 1	NE 1	10≡	10≡	10≡	0.3	✳ 8½-n mU, ≡ ⋁ n-n
8	**−11.8**	−11.0	−10.2	−11.0	—	619.1	619.8	621.7	100	100	100	ESE 1	ENE 1	ENE 3	10≡	10≡	10≡	0.7	✳ fl 9-n mU, ≡ ⋁ n-n, ⌿ p-n
9	−9.8	−10.2	−8.4	−9.5	—	624.9	625.9	627.0	100	100	100	NNE 1	NNW 1	NNW 2	10≡	10*≡	3	2.2	✳ 8½-14, ≡ n-19, ⋁ n-n
10	−6.6	−5.6	−7.0	−6.4	—	626.1	625.5	627.2	100	100	100	NW 3	NW 3	NW 1	10*≡	10*≡	10*≡	1.3	✳ n-n mU, ≡ ⋁ n-n, ⌿ n-p
11	−9.6	−8.4	−10.2	−9.4	—	629.1	630.2	631.9	100	100	100	NE 2	E 2	E 2	10≡	10≡	0	.	≡ n-8½, 9½-18½ mU
12	−7.0	−6.6	−9.2	−7.6	—	632.4	631.8	631.7	45	45	55	E 3	E 2	E 2	4	3	0	.	
13	−10.2	−10.0	−7.2	−9.1	—	630.4	630.4	630.6	80	78	55	E 3	E 3	E 2	0	0	0	.	⌿ n-p
14	−6.2	−4.8	−6.0	−5.7	—	628.5	628.2	628.6	80	80	75	ENE 3	ENE 2	ENE 2	0	0	0	.	⌿ I
15	−5.0	−4.8	−5.0	−4.9	—	628.6	629.1	629.7	50	50	43	E 2	E 2	NE 1	0	1	0	.	
16	−3.3	−3.3	−4.2	−3.6	—	630.0	630.0	630.3	48	45	50	E 2	ENE 2	E 3	5	5	0	.	⌿ III
17	−4.2	−3.3	−6.6	−4.7	—	629.3	629.1	629.5	85	85	100	E 3	E 2	E 2	1	1	10≡	.	≡ ⋁ 16½-n, ⌿ n-a
18	−5.0	−2.8	−5.0	−4.3	—	631.4	631.7	631.3	55	55	65	W 1	NW 2	E 1	0	0	0	.	
19	−6.0	−6.0	−3.8	−5.3	—	631.1	632.0	633.5	90	100	90	**E** 3	E 3	E 3	0	0	2	.	≡ 7¾-13, ⌿ n-n
20	−6.0	−1.4	−4.0	−3.8	—	634.1	634.1	634.3	100	26	28	E 3	E 2	E 2	3	2	0	.	≡ ⋁ 5½-7, ⌿ n-a
21	−2.0	−1.0	−3.2	−2.1	—	633.7	633.8	633.6	**15**	30	30	E 2	E 2	E 2	1	1	0	.	
22	−2.8	1.4	−0.2	−0.5	—	632.1	631.5	630.9	75	45	40	E 1	ENE 1	ENE 1	1	1	2	.	
23	−0.2	1.0	−1.8	−0.3	—	628.7	627.9	627.8	45	43	50	NE 1	NE 1	W 1	4	1	0	.	
24	−5.0	0.8	−2.2	−2.1	—	627.1	627.2	626.6	65	50	65	NW 2	S 1	W 2	0	2	5	.	
25	−5.2	−3.2	−4.3	−4.2	—	624.2	623.6	622.6	100	100	100	W 5	W 4	NW 4	9	10≡	10≡	2.0	✳ n (25./26.), ≡ ⋁ 11-n, ⌿ n-n
26	−7.2	−7.0	−7.0	−7.1	—	624.9	628.4	631.0	100	100	90	N 1	E 1	E 2	10*≡	9	0	0.0	✳ n-8, ≡ ⋁ n-11
27	−4.0	−2.2	−2.0	−2.7	—	632.1	632.5	633.6	40	60	55	NNE 2	NW 2	NW 1	3	6	6	0.0	
28	−2.2	0.1	2.0	0.0	—	634.2	634.9	**635.5**	100	100	100	NW 2	W 2	W 2	10●≡	10●≡	10●≡	0.1	● 7-n mU, ≡ 5½-n
29	3.0	6.4	7.2	5.5	—	634.7	635.1	634.9	35	24	**15**	W 3	W 3	W 2	3	2	1	.	⌿ n-p
30	5.6	**9.8**	4.2	6.5	—	634.2	633.5	632.3	**15**	32	40	WNW 2	W 2	W 2	1	1	1	.	
31	0.2	0.2	−0.0	−1.9	—	627.7	621.1	622.3	91	100	100	W 5	W 6	W 5	8	10*≡	10*≡	**13.9**	● ✳ 9½-13, ✳ 13-n mU, [≡ 9½-n, ⌿ n-n
																		Summ	
Mittel	−5.6	−4.1	−5.5	−5.1	—	626.7	626.7	627.2	78	74	76				5.4	5.5	4.8	23.7	

Januar 1953
Beobachter: *B. Minsch und C. Clavuot*

Bever

$\lambda = 9° 53'$, $\beta = 46° 33'$,
$H_b = 1711.8$ m, $G = -0.23$ mm

Tag	Lufttemperatur					Luftdruck			Relative Feuchtigkeit			Windrichtung und Stärke			Bewölkung			Niederschlag	Witterung
	7^{30}	13^{30}	21^{30}	Mittel	Abweich. vom Normalst	7^{30}	13^{30}	21^{30}	7^{30}	13^{30}	21^{30}	7^{30}	13^{30}	21^{30}	7^{30}	13^{30}	21^{30}		
1	-13.6	-5.2	-12.4	-10 4	-0.8	605.9	**603.6**	603.8	97	71	89	SW o	SW o	SW o	6	10	**2**	.	⌊ I, III
2	-17.0	-4 1	-6.4	-9.2	0.4	606.5	606.9	609.1	92	61	69	SW o	W o	NE 1	5	10	9	.	⌊ I, III
3	-11.6	-6.4	-11.4	-9.8	-0.1	607.8	607.6	609.3	85	73	84	SW o	S o	NE 1	6	9	10	.	
4	-12.4	-11.8	-20.0	-14.7	-5.0	611.2	612.8	614.5	86	74	89	NW 1	W o	**SW** o	10	0	0	.	⌊ I, III
5	-23.1	-14.1	-15.3	-17.5	-7.8	615.5	613.9	614.0	88	78	84	SW o	**SW** o	SE o	1	1	**2**	**0.5**	✳ n (5./6.), ⌊ I, III
6	-15.5	-10.8	-14 4	-13.6	-3.8	611.2	607.6	606.1	86	76	89	S o	SW o	NE o	3	3	10	.	⌊ III
7	-14.6	-10.7	-18.9	-14.7	-4.9	606.1	606.8	610.4	88	80	87	NE o	**S** o	SW o	4	4	**2**	0.4	✳ n (7./8.), ⌊ I, III
8	-14.3	-9.8	-16.5	-13.5	-3.7	610.2	610.3	613.1	93	81	87	NE o	NE 1	NW 1	10	10	**2**	.	⌊ I
9	-23.2	-12.1	-17.0	-17.4	-7.6	615 1	614.9	616.9	90	72	77	**SW** o	SW o	S o	**2**	3	1	.	⌊ I, III
10	-12.9	-4.7	-6 8	-8.1	1.8	615.3	614.4	615.5	86	76	69	**S** o	NE **2**	NE 1	9	10	9	.	⫩ 13–n
11	-8.7	-7.2	-18.4	-11.4	-1.5	618.5	620.1	623.0	60	51	77	NE o	NW 1	SW o	9	3	1	.	⌊ I, III
12	-11.7	-7.8	-2 .4	-13.3	-3.4	622.3	622.1	622.7	78	53	82	NE o	NW 1	SW o	9	3	1	.	⌊ I, III
13	-23 5	-14 8	-20.9	-19.7	-9.8	622.7	622.0	622.0	86	76	84	SW o	**SW** o	**SW** o	o	o	1	.	⌊ I, III
14	-22 9	-12.4	-19.1	-18.1	-8.3	620 2	618 7	619.5	88	74	83	SW o	SW o	SW o	o	o	o	.	⌊ I, III
15	**-24.3**	-12.4	-20.5	-19.1	-9.3	620.3	620.4	621.9	89	69	76	SW o	SW o	SW o	o	o	o	.	⌊ I, III
16	-20.5	-5.3	-14.6	-13.5	-3.7	621.6	620.6	622.1	79	54	77	SW o	SW o	NE o	10	8	8	.	⌊ I
17	-19.8	-10.0	-17.4	-15.7	-5.9	621.3	621.3	623.8	90	71	78	NE o	NE o	SW o	10	o	1	.	≡ n–8½, ⌊ I, III
18	-20.8	-10.2	-21.4	-17.1	-7.4	623.1	621.9	622.3	89	69	71	SW o	SW o	NE o	o	o	5	.	⌊ I
19	-18 4	-5.4	-8.6	-10.8	-1.1	622.3	622.2	622.9	89	60	74	SW o	**NE** o	SW o	**2**	1	9	.	⌊ I
20	-6.8	-4.9	-16.2	-9.3	0.4	623.9	624.1	625 4	52	56	72	N o	NE 1	SW 1	1	o	o	.	⌊ III
21	-20.3	-8.1	-14 8	-14 4	-4.8	625.3	624.3	624.8	93	70	78	S o	S o	SW o	1	o	o	.	⌊ I, III
22	-17.8	-6.9	-14.9	-13.2	-3.6	623.9	622.1	622.5	96	68	75	SW o	SW o	SW o	o	o	o	.	⌊ I
23	-18.0	-6.7	-15.8	-13.5	-4.0	620.3	618.8	619 4	86	60	77	SW o	SW o	SW o	1	4	o	.	⌊ I
24	-20.6	-7.6	-16.0	-14.7	-5.3	619.0	618.2	618.8	89	67	80	SW o	SW o	SW o	1	o	o	.	⌊ I, III
25	-18.6	-2.6	-10.4	-10.5	-1.1	617.0	614.3	**612.8**	92	62	84	SW o	**SW** o	SW o	4	8	6	.	⌊ I
26	-13.9	-3.9	-15.6	-11.1	-1.8	614.8	617.9	622.6	94	49	83	SW o	NE o	S o	4	**2**	1	.	⌊ I, III
27	-21.2	-7.4	-11.6	-13.4	-4.2	624.8	623.7	624.1	93	62	74	SW o	SW o	SW o	o	4	1	.	⌊ I, ⋓ III
28	-7.8	3.3	-4.8	-3.1	6.1	624.4	623.9	625.1	75	65	84	SW o	NE o	SW o	9	**8**	1	.	⋓ III
29	-5 2	**8.4**	-3.4	-0.1	9.0	625.0	624.2	625.2	81	**36**	67	**SE** o	W o	SW o	8	1	o	.	
30	-10.7	0.7	-8.2	-6.1	2.9	**626 1**	624.4	623.7	82	66	77	W o	SW o	NW o	o	o	o	.	
31	-12.8	1.7	-3.5	-4.9	4.0	619.1	613.5	611.0	93	55	46	SW 1	SW 1	N 1	**2**	7	9	0.2	✳ n (31./1.)
																		Summe	
Mittel	-16.2	-6.7	-14.1	-12.3	—	618.1	617.3	618 3	86	66	78				3.8	3.5	2.9	1.1	

Januar 1953
Beobachter: *Couvent des Capucines*

Sion

$\lambda = 7° 21'$, $\beta = 46° 14'$,
$H_b = 548.6$ m, $G = -0.11$ mm.

1	-3.5	-0.3	-3.2	-2.3	-1.5	700.2	**698 1**	700.1	93	77	90	NE o	NE o	NE o	1	5	10	.	
2	-5.5	-0.4	-1.5	-2 5	-1.6	704.1	706.6	707.5	86	58	63	NE o	ENE o	NE o	o	8	10	.	
3	-1.5	0.6	-1.3	-0.7	0.2	705.5	704.3	705.4	80	76	87	NE o	NE o	WNW o	10	10	10	0.1	✳fl n (3./4.)
4	-3.8	-2.3	-4.9	-3.0	-2.1	706.3	706.7	710.8	87	65	87	W o	W 1	W 1	10	o	o	.	
5	-8.9	-4.0	-4.8	-5.9	-4 9	713.0	712.4	712.7	95	70	78	E 1	E 1	ENE o	1	1	10	.	
6	-5.2	-2.0	-6.2	-4.5	-3.5	710.3	705.7	702.1	76	60	70	ENE o	ENE o	ENE o	10	1	o	.	
7	-9 3	-3.7	-4.9	-6.0	-5.0	702.7	703.6	706.8	90	67	73	**ENE** o	ENE 1	N **2**	o	1	10	.	
8	-4.0	-2.4	-6 2	-4.2	-3.2	708.6	709.1	711.5	69	57	66	ENE o	ENE o	N **2**	10	7	1	.	
9	-6.4	-2.0	-6 4	-4.9	-3.9	714.8	715.4	717.5	80	57	67	ENE o	ENE o	NE **2**	10	**2**	1	.	
10	-6.6	-4.1	-1.6	-4.1	-3.1	716.7	714.5	715.2	81	86	81	ENE o	ENE o	ENE o	10*	10*	10	**2.6**	✳ 7½–13½
11	-3.6	0.0	-4 7	-2.8	-1.8	718.0	718.5	721.6	60	80	71	ENE 1	ENE o	ENE 1	5	4	o	.	
12	-9.4	-4.8	-8 4	-7.5	-6.5	722.3	720.8	721.6	90	66	85	ENE o	ENE o	ENE o	o	o	o	.	
13	-10.4	-5.0	-8.7	-8.0	-7.0	721.3	720.1	721.0	91	65	76	ENE 1	ENE o	ENE o	o	o	o	.	
14	-11.9	-6.6	-10.4	-9.6	-8.7	719.0	717.7	718.8	90	71	80	ENE o	ENE o	ENE o	o	o	o	.	
15	**-12.4**	-5.9	-9.4	-9.2	-8.3	718.9	718.7	720.4	90	67	81	ENE o	ENE o	ENE o	o	o	o	.	
16	-9.6	-2.6	-6.4	-6.2	-5.3	720.0	718.5	719.4	76	56	69	ENE o	ENE o	ENE o	10	**2**	o	.	
17	-9.0	-4.0	-5.9	-6.3	-5.5	718.3	717.4	719.7	80	65	76	**ENE** o	ENE o	ENE o	o	o	o	.	
18	-7.0	-1.2	-5.6	-4 6	-3.8	721.1	720.0	719.8	76	54	69	ENE o	**ENE** o	ENE 1	o	o	o	.	
19	-10.2	-4.8	-6.3	-7.1	-6.4	720.7	720.5	722.6	86	68	77	ENE o	ENE o	ENE o	o	o	o	.	
20	-7.8	-1.1	-5.1	-4.7	-4.0	723.2	722.0	**723 8**	80	59	65	ENE o	ENE o	ENE o	o	o	o	.	
21	-8.2	-2.4	-5.4	-5.3	-4.7	723.1	722.3	723.0	87	65	81	ENE o	ENE o	ESE o	**2**	o	o	.	
22	-8.6	-2.1	-6.1	-5.6	-5.0	721.5	719.6	719 9	90	64	80	ENE o	ENE o	**ENE** o	o	o	o	.	
23	-7.8	-2.8	-5.7	-5.4	-4.9	717.7	716.0	716.8	89	65	85	ENE o	NE o	NE o	o	o	o	.	
24	-9.1	-1.6	-5.4	-5.4	-5.0	716.6	715.3	715.2	93	60	78	NE 1	NE o	NE 1	o	o	o	.	
25	-10.4	-0.2	-2.2	-4.3	-3.9	713.5	711.5	709.8	94	58	72	ENE 1	ENE o	ENE o	o	9	10	1.0	✳ 23½–24¼
26	-0.2	4.0	-1.6	0.7	1.0	712.6	715.5	720.2	100	54	70	ENE o	ENE 1	ENE 2	10	9	o	.	
27	-7.0	-0.4	-3.2	-3 5	-3.3	722.2	721.3	722.6	84	54	70	ENE 1	E o	E o	o	**2**	o	.	
28	-3.0	3 6	-0.4	0.1	0.2	723.1	722.6	723.4	75	**49**	71	E o	E o	E o	10	3	7	.	
29	-1.6	**5.8**	1.1	1.8	1.8	722.2	720.9	721.7	78	53	78	S o	E 1	E o	1	1	o	.	
30	-2 6	3.4	-0.5	0.1	0.0	721.4	719.8	719.3	99	55	97	E 1	E o	E o	o	o	o	.	
31	-2.7	3.4	4.1	1.6	1.4	715.4	710.4	710.9	98	74	55	E o	SSE 1	WSW 3	3	9	10●	2.3	● 14–17, ✳ ● 22¼–24, 🌂 III
																		Summe	
Mittel	-6.7	-1.4	-4.4	-4.1	-	716.0	715.0	716.2	85	64	76				3.2	2 7	2.9	6.0	

$\lambda = 8°\,57'$, $\beta = 46°\,0'$,
$H_b = 276.2$ m, $G = -0.01$ mm.

Lugano

Januar 1953
Beobachter: *G. Vicari*

Tag	Lufttemperatur					Luftdruck			Relative Feuchtigkeit			Windrichtung und Stärke			Bewölkung			Niederschlag	Witterung
	7³⁰	13³⁰	21³⁰	Mittel	Abweich. vom Normalst	7³⁰	13³⁰	21³⁰	7³⁰	13³⁰	21³⁰	7³⁰	13³⁰	21³⁰	7³⁰	13³⁰	21³⁰		
1	1.8	7.8	0.8	3.5	1.8	723.2	**719.5**	721.0	95	61	91	N 1	S 1	N 1	9	1	4	.	⊔ l, ⊕ ll
2	−1.0	5.8	1.4	2.1	0.5	722.1	721.9	723.9	87	57	67	N 1	SE 1	WNW 2	0	6	0	.	⊔ l, ⊕ ll
3	0.8	3.2	0.8	1.6	0.0	725.2	725.8	727.1	66	86	99	N 1	W 1	NNW 1	9	10	10	2.9	☽ 14–15, ● ✶ 16½–21
4	0.2	7.8	0.4	2.8	1.2	728.4	730.1	733.2	93	57	83	N 1	S 1	N 1	6	5	0	.	⊔ l
5	−2.8	6.2	1.0	1.5	−0.1	734.8	733.9	733.7	83	51	75	N 1	SW 1	N 1	0	1	10	0.0	✶fl n (5./6.)
6	0.8	1.8	0.4	1.0	−0.5	730.0	726.8	725.8	84	89	99	NNW 1	N 1	— 0	10	10*	10●*	2.5	✶ 8½–16, ✶ ● 18–n
7	0.2	2.4	0.8	1.1	−0.4	725.4	726.2	727.3	95	81	93	N 1	W 1	N 1	10	10	10	1.2	✶ ☽ 9½–12
8	0.6	3.8	−0.4	1.3	−0.2	726.6	727.7	730.1	77	64	76	NNE 1	NNE 1	N 1	10	10	0	.	⊔ l
9	−1.8	9.8	3.4	3.8	2.3	731.5	731.9	734.2	67	28	34	N 1	SE 1	NW 2	0	0	0	.	⊔ l
10	−1.0	9.0	1.4	3.1	1.6	734.1	732.8	734.7	67	46	72	N 1	S 1	W 1	0	0	0	.	⊔ l
11	4.8	10.0	−1.0	4.6	3.2	738.2	739.2	741.7	35	**27**	66	NNE 2	NNE 2	N 1	0	0	0	.	⊔ l
12	−2.4	8.0	−1.2	1.5	0.1	743.1	742.6	742.3	81	37	78	N 1	S 1	N 1	1	0	0	.	⊔ l
13	−3.8	6.4	−1.6	0.3	−1.1	743.6	742.1	742.4	74	48	92	N 1	WSW 1	N 1	0	0	0	.	⊔ l
14	−4.8	4.2	−2.8	−1.1	−2.5	741.5	740.8	741.4	74	52	73	N 1	ESE 1	N 1	0	0	0	.	⊔ l
15	−5.2	5.0	−1.8	−0.7	−2.1	742.3	742.2	742.4	75	47	66	N 1	S 1	N 1	0	0	0	.	⊔ l
16	−3.2	6.6	−1.4	0.7	−0.7	741.8	741.0	741.7	73	46	67	N 1	S 1	N 1	3	1	0	.	⊔ l
17	−3.8	6.6	−0.8	0.7	−0.8	741.9	743.3	744.9	75	48	66	N 1	S 1	N 1	0	6	0	.	⊔ l
18	−3.8	6.2	−1.6	0.3	−1.2	743.8	743.0	742.7	74	48	70	N 1	SW 1	N 1	0	0	0	.	⊔ l
19	−3.4	7.2	−0.4	1.1	−0.4	740.5	740.5	741.3	77	48	75	N 1	E 1	N 1	0	0	0	.	⊔ l
20	7.2	7.0	1.4	5.2	3.6	741.7	745.3	**747.9**	30	52	72	N 2	S 1	N 1	0	0	10	.	
21	0.4	6.8	−1.0	2.1	0.5	747.3	746.7	745.4	71	44	69	— 0	S 1	N 1	10	0	0	.	
22	−3.8	6.0	−1.2	0.3	−1.3	743.9	742.4	741.6	91	59	81	N 1	S 1	N 1	0	0	0	.	⊔ l
23	−2.8	5.2	1.2	1.2	−0.4	740.3	739.6	741.1	84	62	84	N 1	S 1	N 1	9	5	10	.	⊔ l
24	1.2	5.4	0.2	2.3	0.6	740.6	740.1	739.9	88	62	84	N 1	S 1	N 1	10	10	5	.	⊔ l
25	1.4	4.8	2.4	2.9	1.2	737.5	735.0	733.3	78	57	80	N 1	W 1	N 1	10	10	10	.	⊔ l
26	−1.8	**12.4**	4.2	4.9	3.2	732.2	734.8	738.9	95	**27**	38	N 1	N 3	S 1	0	0	0	.	⊔ l, ⸗ ll
27	−1.6	7.4	−0.2	1.9	0.1	743.7	744.1	743.8	88	56	81	NNW 1	S 1	NNW 1	0	0	10	.	≡ lll
28	−0.6	6.4	0.8	2.2	0.4	742.6	742.5	742.3	85	58	82	N 1	S 1	S 1	10	9	9	.	⊔ l
29	−0.8	9.8	1.4	3.5	1.6	741.8	741.0	741.3	98	55	85	N 1	S 1	N 1	3	0	0	.	⊔ l
30	−1.2	7.2	0.4	2.1	0.2	742.8	743.9	743.0	98	64	99	N 1	SSE 1	N 1	8	0	0	.	⊔ l
31	−0.8	4.2	3.8	2.4	0.4	739.2	735.0	729.8	100	76	85	N 1	S 1	NW 1	10≈²	3	3	0.0	●tr 18, ≡ n–12
Mittel	−1.0	6.5	0.3	1.9	—	737.2	736.8	737.4	79	55	77				4.1	3.1	3.3	Summe 6.6	

$\lambda = 7°\,35'$, $\beta = 47°\,33'$,
$H_b = 317.3$ m, $G = 0.11$ mm.

Basel

Januar 1953
Beobachter: *Astronom.-Meteorol. Anstalt*

1	−3.2	0.2	−2.0	−1.7	−1.2	719.8	**718.3**	720.2	98	90	98	E 0	SE 1	NW 1	0	10	10	0.2	⊔ l
2	−1.3	−0.6	−1.4	−1.1	−0.6	724.0	726.3	728.5	100	96	90	NNW 1	NNW 0	WNW 1	10*	10*	10	1.4	✶ 6¼–8¾, 13½
3	−2.3	−1.6	−2.7	−2.2	−1.6	727.5	726.9	728.0	98	94	96	SSW 0	NW 1	NW 1	10	10*	10	0.1	● 0½, ✶ ● 4¾–6, ✶ 10-
4	−2.4	−1.6	−1.4	−1.8	−1.2	729.3	730.6	732.9	94	86	96	NW 0	N 1	NW 0	10	10	10	.	[14 mU, ≈ l
5	−1.4	−0.6	−2.6	−1.5	−0.9	734.2	733.9	733.7	100	96	96	NW 1	NNW 1	WNW 1	10	10	10	1.3	
6	−3.2	−1.8	−3.1	−2.7	−2.1	730.9	727.2	723.2	100	90	94	WNW 0	WNW 1	NW 1	10	9	10	0.9	✶ 2-7, ✶fl a
7	−3.5	−2.3	−3.3	−3.0	−2.4	723.2	724.9	727.8	98	89	91	NW 1	NW 1	NW 1	10	10	10	0.6	✶ 9–12½, 14¾–16½
8	−3.9	−2.1	−2.5	−2.8	−2.2	729.9	730.7	732.8	96	87	92	NW 1	W 1	WNW 1	10	10	10	0.0	
9	−1.7	0.0	−1.8	−1.2	−0.6	735.1	736.0	736.2	94	83	82	NNW 1	NW 0	NW 0	10*	10	8	1.6	✶fl n–7½, ✶ 15½–18½
10	−2.0	−0.2	−0.8	−1.0	−0.4	735.2	734.5	737.2	98	92	94	E 1	E 0	SW 1	10*	10*	10	2.0	✶fl n–7½, 9¼–12, p mU
11	−3.8	−0.8	−6.1	−3.6	−3.0	740.9	742.1	744.5	95	81	93	SW 1	NNW 0	NNW 0	10	10	10	.	≡ 21½–24
12	**−10.9**	−2.1	−7.4	−6.8	−6.2	744.5	744.0	744.4	93	69	95	E 0	SSW 1	NW 0	3	1	3	.	⊔ ⋁ l
13	−6.3	−4.0	−8.6	−6.3	−5.7	744.0	742.7	742.1	98	93	94	NW 0	NW 0	SSW 0	10	10≡*	10≡	0.0	✶ 13½, ≡ 9–14, 19½–24
14	−6.4	−3.2	−5.4	−5.0	−4.4	740.4	740.0	740.2	93	74	90	SSW 0	ENE 1	NW 1	10	10	10	.	[mU, ⋁ p, n
15	−3.8	−2.5	−8.4	−5.1	−4.6	740.2	740.2	740.5	75	70	85	ESE 1	E 1	SE 1	10	10	0	.	
16	−7.6	−0.6	−8.2	−5.5	−5.0	740.5	739.6	739.8	92	64	91	S 0	E 1	ESE 1	10	10	0	.	
17	−7.1	−1.5	−1.6	−3.4	−2.9	739.5	739.2	740.2	93	74	94	SW 0	SW 0	SSW 1	9	10	10	.	≈ l
18	−6.4	0.3	−1.5	−2.5	−2.0	741.5	741.4	742.1	95	76	92	SW 0	SW 0	NNW 1	10≡	0	10	.	≡ n-a, ⋁ ≈ l
19	−2.4	0.0	−1.2	−1.2	−0.8	743.5	744.0	744.4	94	79	92	NW 0	NNW 1	SSW 1	10	10	10	0.0	● ✶ 19½–21 mU, ≈ l
20	−1.8	0.1	−1.0	−0.9	−0.5	**745.5**	745.3	745.3	98	92	92	E 0	NW 1	N 1	10≡	10	3	.	≡ 7–11¾, ≈ l
21	−6.7	1.0	−5.2	−3.6	−3.2	745.1	744.3	743.9	97	**60**	90	SE 1	SE 1	E 1	10≡	0	0	.	≡ 7½–9½, ≈ l
22	−7.9	−0.3	−4.9	−4.4	−4.1	742.6	741.1	740.2	97	68	90	E 1	ESE 1	E 1	0	0	0	.	⊔ ≈ l
23	−7.8	−1.0	−3.0	−3.9	−3.6	738.2	737.3	737.0	97	71	96	ESE 1	E 1	ENE 1	4	0	0	.	⊔ ≈ l
24	−2.7	0.6	−4.2	−2.1	−1.9	736.2	735.2	733.6	85	68	81	ESE 1	E 2	ENE 2	1	0	2	.	≈ l
25	−4.4	−1.2	1.4	−1.4	−1.2	731.4	730.7	730.4	91	84	91	**E 2**	E 1	WSW 1	10	10	10	2.2	✶ 14¾–16½, ● 16½–19⅛
26	0.0	0.2	−0.3	0.0	0.1	735.2	738.9	741.9	98	92	92	NW 1	WNW 1	WSW 0	10	10	10	.	≈ l
27	−4.6	0.0	−1.5	−2.0	−1.9	741.9	742.5	742.1	95	72	88	E 1	WSW 1	ESE 1	10≡	10	10	.	≈ l
28	−0.1	3.2	2.4	1.8	1.8	741.8	741.4	741.9	92	87	94	S 0	NNE 0	S 0	10	10	10	.	≈ l
29	4.6	5.7	4.0	4.8	4.7	742.2	742.1	742.0	79	77	82	WSW 1	SW 1	E 1	10	10	10	.	
30	2.2	**8.4**	2.0	4.2	4.1	741.5	739.5	737.0	91	61	85	ESE 1	NNE 1	ESE 2	6	0	0	.	
31	−0.4	3.0	1.6	1.4	1.2	732.7	727.2	730.2	96	90	75	ESE 1	WNW 4	WSW 2	8	10●	10	7.5	● 9–9½, 13¾–15¾, ✶ 11–11¼, 18¾–20½
Mittel	−3.5	−0.2	−2.6	−2.1	—	736.7	736.4	736.9	94	81	91				8.4	7.7	7.3	Summe 17.8	[⊔ l, ⸗ ll

Januar 1953
Beobachter: *Observatorium*

Säntis

$\lambda = 9° 20'$, $\beta = 47° 15'$,
$H_b = 2500.1$ m, $G = -0.27$ mm

Tag	Lufttemperatur					Luftdruck			Relative Feuchtigkeit			Windrichtung und Stärke			Bewölkung			Niederschlag	Witterung
	7^{30}	13^{30}	21^{30}	Mittel	Abweich. vom Normalst	7^{30}	13^{30}	21^{30}	7^{30}	13^{30}	21^{30}	7^{30}	13^{30}	21^{30}	7^{30}	13^{30}	21^{30}		
1	-9.6	-8.0	-10.1	-9.2	-1.1	540.1	**544.6**	545.3	91	79	88	SE 3	SE 2	N 2	1	8	3	.	⊕ 10½
2	-9.6	-12.2	-14.1	-12.0	-3.8	547.2	547.9	549.4	98	97	94	WNW1	WSW2	W 3	10	10≡	10≡*	3.1	✶ 8¾-12, ● 15½ n, ≡ 8¾-n
3	-14.8	-13.0	-12.2	-13.3	-5.1	547.9	547.5	548.8	94	94	95	WSW2	SE 1	ESE 2	6	9	5	.	≡ n-5½, 7-10 mU
4	-11.2	-11.7	-11.0	-11.3	-3.1	55[illegible].3	551.4	553.9	85	95	81	NE 3	NE 3	NE 2	1	1	1	.	
5	-12.1	-9.6	-14.3	-12.0	-3.7	554.5	554.0	553.1	100	91	98	ENE 2	E 1	**E** 2	10≡	8	5	0.3	✶ 17½-19½ mU, ≡ 5-7½, 19-21
6	-12.4	-9.4	-10.2	-10.7	-2.4	550.7	548.3	545.6	96	75	87	E 2	E 2	SW 2	1	1	4	0.4	✶ n(6./7.)
7	-12.8	-11.8	-12.1	-12.2	-3.9	545.1	546.5	548.9	100	93	85	WSW3	SSW 3	ENE 2	10≡	1	1	.	≡ 6½-8¼
8	-11.6	-12.2	-15.4	-13.1	-4.7	549.9	550.7	552.4	73	86	100	NNE 3	NNE 4	NE 3	9	8	10≡	0.1	≡ 1¾-n, ⌿ a-p
9	-14.6	-14.4	**-16.2**	-15.1	-6.7	554.4	555.3	556.1	95	94	91	N 2	N 2	W 2	10≡	10≡*	10≡	4.0	✶ 9-19½ mU, ≡ ⋁ n-n
10	-13.0	-12.4	-14.3	-13.2	-4.8	555.1	555.0	556.7	98	100	100	**W** 3	W 3	N **2**	10≡*	10≡*	10≡*	19.2	✶ ≡ n-n, ⊹ n-15, ⌿ a
11	-15.8	-14.6	-15.4	-15.3	-6.9	558.6	559.7	561.7	94	**92**	61	N 2	SSW 1	N 4	10≡*	2≡	0	1.0	✶ n-11, ≡ n-11¾, 11¾-14 mU,
12	-15.3	-14.4	-14.7	-14.8	-6.3	560.7	561.8	561.7	91	90	98	NNE 3	NE 3	NE 4	1	1	5	.	≡ 17¾-19¼, ⌿ III [⌿ p-n
13	-14.6	-10.9	-10.2	-11.9	-3.4	561.0	561.4	561.2	91	74	79	NE 3	NE 3	NE 3	0	1	0	.	
14	-11.6	-11.2	-12.6	-11.8	-3.3	559.2	558.9	559.2	90	86	78	NNE 3	NE 3	NNE 3	1	1	0	.	
15	-14.2	-8.6	-7.6	-10.1	-1.5	558.8	559.8	561.2	81	56	42	N 3	ENE 3	NNE 2	1	1	1	.	
16	-9.5	-8.8	-8.3	-8.9	-0.3	561.0	561.0	561.9	41	71	100	NNW 2	W 3	E 1	10	7	2	.	≡ 20¾-n mU
17	-9.4	-9.8	-9.1	-9.4	-0.8	560.9	560.5	561.6	97	96	61	NE 3	ENE 2	SE 2	10≡	1	0	.	≡ n-10, ⌿ p
18	-10.1	-9.4	-8.3	-9.3	-0.6	562.1	562.3	562.3	44	51	51	NW 2	WNW1	N 2	0	0	1	.	
19	-9.8	-13.2	-9.6	-10.9	-2.2	562.1	562.8	563.9	100	81	98	NNE 3	NNE 3	N 3	10≡	1	10≡	0.4	✶ 15¾, 17½-20 mU, ≡ 5-11 mU,
20	-13.1	-9.1	-9.5	-10.6	-1.9	564.4	564.8	565.0	67	**21**	25	N 3	NNE 3	NNE 3	1	1	0	.	[15½-n, ⌿ p
21	-8.4	-6.1	-7.8	-7.4	1.4	564.6	564.8	564.6	65	82	74	NNE 3	NNE 1	WNW2	1	2	0	.	
22	-8.6	-5.4	-8.0	-7.3	1.5	563.2	563.1	562.0	74	62	53	WSW2	W 2	W 2	1	1	1	.	
23	-8.9	-7.2	-8.6	-8.2	0.6	559.8	559.3	558.9	62	55	60	SW 3	WSW3	W 3	2	1	0	.	
24	-9.3	-7.9	-7.4	-8.2	0.6	558.3	558.6	558.2	59	61	48	W 4	WSW3	W 3	1	1	2	.	⌿ I
25	-9.4	-10.0	-11.3	-10.2	-1.3	555.5	553.8	552.8	70	96	100	SW 4	**W** 4	NW 4	8	10≡	10≡*	**21.6**	✶ 15-n, ≡ 8¾-n, ⊹ 17-n, ⋁ II
26	-14.4	-12.8	-14.0	-13.7	-4.8	555.1	558.1	561.4	96	94	60	N 2	NNE 3	N 3	10≡	1	0	.	[⌿ n-n'
27	-8.8	-7.8	-8.4	-8.3	0.6	562.8	563.0	564.1	35	37	55	N 1	W 3	W 3	1	9	9	.	≡ n-8½, 17½-18¼
28	-6.8	-2.6	-2.4	-3.9	5.1	563.9	565.4	565.8	100	100	100	W 4	W 3	WSW4	10≡	10≡	10≡	0.8	⊹ I I-n
29	-3.8	-2.2	-3.3	-3.1	5.9	560.0	565.6	**566.2**	94	75	36	WSW4	WSW5	W 5	10	1	1	.	≡ n-n, ⌿ n-n mU, ⋁ I
30	-2.8	**-0.4**	-2.0	-1.7	7.3	565.9	565.8	564.3	31	54	60	W 4	WSW3	W 3	1	1	1	.	⌿ n-n
31	-5.2	-3.1	-12.8	-7.0	2.1	569.4	564.6	551.1	94	88	100	WSW4	SW 4	W 4	5	10	10≡*	4.8	⌿ I
																		Summe	✶ 14½-17, 19¾-n, ≡ ⊹ 14½- [n, ⌿ n-n
Mittel	-10.7	-9.4	-10.3	-10.1	—	557.6	557.6	558.0	81	78	76				5.2	4.2	3.9	55.7	

Januar 1953
Beobachter: *E. Chiesa*

St. Gotthard (Hospiz)

$\lambda = 8° 34'$, $\beta = 46° 38'$,
$H_b = 2095$ m, $G = -0.25$ mm.

1	-7.2	-5.3	-9.9	-7.5	-0.5	576.1	**574.3**	**574.3**	99	54	55	SE 1	SE 0	NW 1	6	0	0	.	
2	-11.7	-11.0	-12.0	-11.6	-4.5	576.0	577.1	578.9	66	98	100	NW 2	NW 3	NW 3	3	10≡	10*≡	3.5	✶ p-n mU,, ≡ ⊹ ⌿ a-n mU
3	-13.8	-11.3	-12.8	-12.6	-5.5	577.9	577.7	578.2	100	97	95	NW 3	NW 0	NW 1	10≡	9	10*	1.7	✶ 16¾-n mU, ✶ ⊹ ⌿ n-a,
4	-11.9	-9.7	-10.4	-10.7	-3.6	579.3	580.7	583.2	97	71	76	NW 1	NW 0	SE 0	0	0	0	.	[⋁ I, III
5	-12.1	-6.2	-11.6	-10.0	-2.9	583.8	583.9	583.5	55	42	95	NW 1	SE 0	SE 0	0	0	3	.	≡ 16-19½
6	-14.4	-10.9	-11.0	-12.1	-5.0	581.5	578.1	575.9	97	97	98	NW 2	NW 1	SE 0	10	3	10	1.8	✶ 20-n mU, ⋁ I, III
7	-11.8	-9.0	-10.6	-10.5	-3.3	575.5	576.6	578.3	98	100	83	SE 1	SE 0	NW 0	10≡	6	10*	1.0	✶ p-n mU, ≡ n-a, ⋁ I
8	-15.0	-14.1	-14.9	-14.7	-7.5	579.0	579.8	581.6	95	96	97	NW 2	NW 3	NW 3	10	9≡	10≡	1.6	≡ ⊹ ⌿ a-n, ⋁ n-n
9	-16.2	-13.3	-14.2	-14.6	-7.4	583.4	584.6	585.6	96	95	96	NW 3	NW 3	NW 3	6	10≡	10≡	0.9	✶ 14½-p mU, ≡ a-n, ⊹ ⌿ n-n
10	-10.0	-9.2	-10.4	-9.9	-2.7	585.3	584.7	585.5	100	100	100	NW 3	NW 3	NW 3	10≡	10*≡	10	8.6	✶ 13¾-n mU, ≡ n-p, ⊹ ⌿ n-n
11	-12.6	-12.3	-13.7	-12.9	-5.7	588.0	589.4	591.3	98	98	96	NW 3	NW 3	NW 2	10	9	0	.	⌿ n-p, ⊹ I
12	-12.5	-11.6	-13.2	-12.4	-5.2	591.6	591.6	591.5	90	88	80	NW 2	NW 2	NW 2	0	0	0	.	
13	-13.6	-10.4	-8.0	-10.7	-3.4	590.9	590.9	590.8	62	46	26	NW 2	NW 2	NW 1	0	0	0	.	
14	-11.5	-8.2	-10.9	-10.2	-2.9	589.0	588.7	589.2	35	41	56	NW 2	NW 1	NW 1	0	0	0	.	
15	-11.4	-7.0	-7.8	-8.7	-1.4	588.9	589.8	590.6	42	40	**5**	NW 1	SE 1	NW 1	0	0	0	.	
16	-8.2	-6.0	-7.3	-7.2	0.1	590.6	590.9	591.2	14	16	33	NW 1	NW 1	NW 1	3	0	0	.	
17	-7.5	-7.0	-11.0	-8.5	-1.2	590.5	590.9	592.2	39	59	73	NW 1	SE 1	SE 1	0	0	0	.	
18	-8.8	-7.6	-7.4	-7.9	-0.6	592.0	592.1	591.7	41	46	40	NW 2	NW 3	NW 2	0	0	0	.	⌿ II
19	-10.1	-9.3	-8.0	-9.1	-1.7	591.3	592.1	593.6	54	84	95	NW 3	NW 3	NW 3	0	0	0	1.4	⌿ ⊹ n-n
20	-10.3	-6.3	-6.6	-7.7	-0.3	594.1	594.1	594.7	98	19	16	NW 4	NW 3	NW 1	10≡	0	0	.	≡ n-9¼, ⊹ ⌿ n-p, ⋁ I
21	-8.0	-5.3	-7.4	-6.9	0.5	594.2	594.4	594.1	20	32	45	NW 2	NW 1	NW 1	0	0	0	.	
22	-7.2	-3.3	-5.1	-5.2	2.2	593.0	592.7	591.9	39	23	22	NW 1	NW 1	NW 1	0	0	0	.	
23	-5.8	-1.9	-8.0	-5.2	2.2	590.1	589.7	589.4	21	19	21	NW 1	NW 0	NW 0	0	0	0	.	
24	-9.2	-4.1	-9.0	-7.4	0.0	588.8	588.8	588.5	20	38	56	NW 0	NW 0	NW 0	0	0	0	.	
25	-10.9	-5.3	-9.6	-8.6	-1.2	586.7	585.2	583.2	80	70	100	SE 1	SE 1	NW 2	0	9	10*	3.4	☽ ≡ 8½-11½, ✶ 20¾-n
26	-11.0	-10.1	-12.0	-11.0	-3.5	582.8	587.5	590.3	100	100	100	NW 3	NW 3	NW 3	10	10	10≡	.	≡ p-n, ⌿ n-n, ⊹ I,
27	-9.2	-4.0	-6.6	-6.6	0.9	592.1	592.8	593.9	33	**5**	11	NW 2	NW 2	NW 1	0	3	0	.	☋ III [⋁ II, III
28	-5.1	-2.2	-1.9	-3.1	4.4	593.9	595.1	**595.7**	25	76	90	NW 3	NW 2	NW 1	6	3	3	.	⌿ I
29	2.9	**3.9**	0.2	2.3	9.8	595.4	**595.7**	**595.7**	56	50	45	NW 3	NW 1	NW 1	0	0	0	.	⌿ I
30	0.8	3.3	-1.2	1.0	8.5	595.6	**595.7**	593.7	26	21	20	NW 1	NW 1	NW 0	0	0	0	.	
31	-3.4	-2.4	-11.0	-5.6	1.9	590.3	584.4	581.4	32	61	92	SE 0	SE 1	NW 3	0	9	10*	8.5	✶ 14¼-n, ⊹ ⌿ p-n
																		Summe	
Mittel	-9.6	-7.0	-9.1	-8.6	—	587.3	587.4	587.7	62	65	61				3.4	3.2	3.4	32.4	

$\lambda = 7°\,26'$, $\beta = 46°\,57'$,
$H_b = 572.2$ m, $G = 0.00$ mm.

Bern

Februar 1953
Beobachter: *Observatorium*

Tag	Lufttemperatur 7³⁰	13³⁰	21³⁰	Mittel	Abweich. vom Normalst	Luftdruck 7³⁰	13³⁰	21³⁰	Relative Feuchtigkeit 7³⁰	13³⁰	21³⁰	Windrichtung und Stärke 7³⁰	13³⁰	21³⁰	Bewölkung 7³⁰	13³⁰	21³⁰	Niederschlag	Witterung
1	-1.9	0.0	-2.3	-1.4	-0.4	707.9	708.3	708.9	98	71	97	WSW 2	WSW 3	WSW 2	10*	10	10*	6.0	✳ 0–24 mU, ⛆ 0½, 🌧 II
2	-0.8	0.6	-1.3	-0.5	0.5	708.5	709.1	711.0	94	82	90	SSW 2	WSW 3	W 1	10*	10*	10	2.0	✳ 0–21, 🌧 II
3	-2.4	0.0	-1.9	-1.4	-0.5	713.5	715.3	716.7	97	79	91	SE 0	NE 2	NE 1	10*	8	9	0.2	✳ 0–9½, ≈ III
4	-3.4	-0.5	-4.4	-2.8	-2.0	717.1	716.4	713.2	83	69	81	ENE 1	NE 1	S 1	10	10	0	.	≈ I
5	-4.6	0.0	-1.4	-2.0	-1.3	709.6	709.3	708.7	81	63	60	S 1	SSW 1	WSW 1	8	6	10	0.5	✳ 7¾–9¾, 23–24
6	-1.7	0.5	-2.0	-1.1	-0.5	706.6	706.1	706.5	80	64	63	WSW 0	WSW 3	SW 2	10	10	10*	0.4	✳ 0–6, 8–24 mU, ≈ I, 🌧 a-p
7	-2.8	-1.6	-8.4	-4.3	-3.7	706.0	706.8	709.8	87	84	87	W 2	WNW 1	NNE 1	10*	9	0	2.6	✳ 0–13½, ≈ I
8	-11.8	-4.4	-8.7	-8.3	-7.8	711.2	711.9	701.8	90	61	73	W 0	NNE 0	S 0	0	1	0	1.5	⊏ ≈ I
9	-6.6	2.4	2.6	-0.5	-0.1	705.1	706.0	705.6	93	76	55	W 0	WSW 3	WSW 2	10*	9	9	2.5	✳ 1½–16¼ mU, 🌧 II
10	0.7	2.4	2.1	1.7	2.0	698.4	692.0	692.0	95	89	87	SSW 1	SSW 1	SSW 4	10	10*	10●	10.0	✳ 13-14¾, ● ✳ 14½-16¼, *)
11	-0.1	3.6	1.1	1.5	1.7	691.5	691.9	693.9	89	53	78	WSW 1	WSW 3	WSW 3	3	10	10	3.1	✳ 0-5¾, 8¾, 11¾, 13¾-15¾, 20-21¾,
12	0.9	0.7	-0.4	0.4	0.5	696.5	699.5	703.3	75	85	89	WSW 2	WSW 2	SW 1	10	10*	10*	1.5	✳ 8¼-24 [🌧 a-n
13	-1.7	1.3	-0.2	-0.2	-0.2	706.2	707.8	708.9	96	75	76	SE 0	NE 1	NE 1	10	9	10	.	✳ 0–2, ≈ II
14	-3.0	1.1	-1.1	-1.0	-1.1	708.7	708.1	708.4	88	61	75	W 1	NNE 1	ENE 1	5	4	0	.	≈ I
15	-2.8	-2.6	-4.1	-3.2	-3.4	708.1	706.6	706.5	75	56	58	ENE 3	ENE 3	ENE 4	10	10*	10	0.0	✳ fl 10–19, ≈ I, 🌧 n-n, 🌨 III
16	-4.7	-3.4	-3.4	-3.8	-4.1	707.4	709.3	711.8	80	77	72	NE 3	NE 2	NE 2	10	10*	10	0.0	✳ fl 7¾–17¾, ≈ I, 🌧 n-a
17	-8.2	-3.9	-6.6	-6.2	-6.6	713.6	714.3	715.9	85	58	82	NE 1	NNE 1	SW 1	1	1	0	.	⊏ ⊏ ≈ I
18	-8.0	1.1	-0.9	-2.6	-3.1	715.8	715.1	714.3	87	56	84	SSE 1	ENE 0	NE 0	9	10	2	.	⊏ ≈ I, ∈ 18½
19	0.2	4.9	2.5	2.5	1.9	713.8	714.2	714.9	81	60	78	S 1	NE 1	S 1	10	9	9	0.2	≈ I
20	1.3	7.4	3.6	4.1	3.4	716.5	717.1	719.6	95	60	84	S 0	NE 1	N 1	9	1	2	.	● 5-7, ≈ I
21	-2.0	6.9	1.6	2.2	1.4	721.5	722.0	723.1	99	60	84	S 1	E 0	SSW 1	2=	5	0	.	≡ n-9¼, ⊏ ≈ I
22	-2.6	6.6	1.6	1.9	1.0	723.1	722.3	721.1	97	49	81	S 0	NE 1	SE 1	1	1	0	.	⊏ ⊏ ≈ I
23	-2.8	5.7	1.3	1.4	0.4	719.7	718.4	717.7	96	63	90	SE 1	NE 1	SSW 1	1	1	0	.	⊏ ≈ I
24	-1.4	4.0	0.3	1.0	-0.1	717.7	717.6	718.4	97	73	94	S 0	NE 2	N 1	10	1	0	.	⊏ ≈ I
25	0.4	2.1	-0.1	0.8	-0.4	719.7	720.6	721.8	91	79	91	NNE 1	ENE 1	SSW 1	10	10	0	.	≈ I
26	-2.6	2.5	-2.1	-0.7	-2.1	722.5	723.0	723.7	98	77	99	S 1	ENE 1	W 1	10	6	9=	.	≡ p-n, ⊏ ⊏ ≈ I
27	-3.4	1.2	-1.0	-1.1	-2.6	723.3	722.4	722.5	98	88	98	S 0	NE 1	S 0	10≡	1	0	.	≡ n-a, ⊏ ⊏ ≈ I
28	-3.4	5.6	3.4	1.9	0.3	721.8	720.9	721.0	100	55	67	SE 0	NNE 2	NE 1	10≡	0	0	.	≡ n-a, ⊏ ≈ I
																			*) 10. ● 10¾-24, 🌧 I
Mittel	-2.8	1.6	-1.1	-0.8	—	711.8	711.9	712.2	90	69	81				7.8	6.5	5.0	Summe 30.5	

$\lambda = 6°\,57'$, $\beta = 47°\,0'$,
$H_b = 487.3$ m, $G = 0.02$ mm.

Neuchâtel

Februar 1953
Beobachter: *Meteorol. Observatorium*

1	-1.5	-0.5	-1.8	-1.3	-1.4	715.4	716.6	716.9	96	74	98	SW 2	SW 3	W 3	9	9	10*	22.4	✳ 0½-10¾ mU, 15½-24, 🌧 n-p
2	-0.6	0.3	-1.4	-0.6	-0.7	716.4	717.1	718.9	98	96	80	W 2	W 1	NW 1	10*	10	5	2.6	✳ 0–8, 8–17 mU
3	-3.4	-0.2	-1.0	-1.5	-1.7	721.4	723.4	724.5	94	82	77	NW 0	NE 2	NE 2	9	9	8	.	
4	-1.5	-0.6	-3.5	-1.9	-2.2	724.8	724.5	721.1	80	83	82	NE 1	NE 0	NW 1	10	10	0	.	
5	-2.7	1.2	-1.1	-0.9	-1.2	717.2	717.1	716.3	85	67	77	SW 1	SW 2	W 1	10	7	10	0.3	✳ n (5./6.)
6	-1.9	0.3	-1.6	-1.1	-1.5	714.2	713.6	714.2	92	63	89	W 2	SW 2	W 2	10	10	10*	1.6	✳ 19–21½
7	-2.5	-0.1	-7.4	-3.3	-3.8	713.5	714.7	717.8	94	63	79	W 2	W 2	N 0	10*	7	6	1.9	✳ 4–11½ mU
8	-11.2	-3.3	-5.4	-6.6	-7.1	719.1	720.0	719.5	93	72	67	N 0	SE 0	SW 0	0	4	8	2.5	
9	-2.8	0.9	1.4	-0.2	-0.8	712.5	714.1	713.4	98	94	86	SW 3	SW 2	SW 3	10*	10*	10*	13.6	✳ 5¾-10¾, 10¾-14 mU, 23-24, 🌧
10	1.4	2.6	2.8	2.3	1.6	705.7	698.9	699.0	98	93	87	SW 3	SW 4	SW 2	10●	10●	8	17.2	● 0-16, 17½-18, 🌧 n-p, 🌨 II [n-n
11	1.0	1.5	0.7	1.1	0.3	698.2	699.5	701.0	91	87	96	W 2	SW 3	SW 3	7	10	10*	10.3	✳ ● 1½-5¾, 9¾-9½, 14¾-14¾, *)
12	0.2	0.0	-0.4	-0.1	-0.9	703.8	707.0	710.9	97	95	90	W 2	W 2	W 0	10*	10*	10	1.9	✳ 0–5½, 5½–24 mU
13	-1.0	0.7	0.3	0.0	-0.9	713.9	715.7	716.8	94	84	79	W 0	NE 2	NE 1	10	10	10	.	✳ 0–1
14	-1.6	1.7	0.0	0.0	-1.0	716.3	716.0	716.2	92	72	73	N 0	NE 0	NE 2	10	3	8	.	
15	-2.6	-1.6	-3.9	-2.7	-3.7	715.8	714.4	713.8	83	76	80	NE 3	NE 4	NE 4	10	10	10	0.1	🌧 n-n
16	-4.6	-2.2	-2.8	-3.2	-4.4	715.1	717.1	719.5	90	69	71	NE 3	NE 3	NE 3	10*	10	10	0.3	✳ 6–10½, 🌧 n-n
17	-7.3	-2.3	-5.9	-5.2	-6.4	721.6	722.3	723.7	84	70	87	NE 2	E 1	E 0	8	1	0	.	
18	-6.6	-1.2	0.2	-2.5	-3.8	723.6	723.2	722.1	92	79	82	E 0	E 0	SE 0	9	10	10	.	
19	0.6	3.6	1.9	2.0	0.6	721.6	722.0	722.7	90	77	91	SW 0	SW 0	SW 0	10	10	10	0.5	
20	1.1	6.2	2.7	3.3	1.8	724.3	725.0	727.3	98	73	89	SW 0	SW 0	SW 0	10●	8	6	0.1	● 1½–2¾, 7½–10¾ mU
21	0.0	2.9	0.7	1.2	-0.4	729.1	730.1	730.9	98	91	91	SW 0	SE 0	E 0	10≡	8	0	.	≡ n-11
22	-2.9	4.2	1.3	0.9	-0.8	731.1	730.5	729.1	96	74	87	E 0	SE 0	E 0	1	0	0	.	≡ 8¼–11½
23	-1.6	6.0	1.2	1.9	0.1	727.4	726.4	725.5	96	69	89	NE 0	SE 0	SE 0	7	1	0	.	
24	0.0	4.0	1.8	1.9	0.0	725.5	725.7	726.5	97	76	81	SE 0	NE 2	NE 1	10	10	10	.	
25	1.2	2.3	0.2	1.2	-0.8	727.6	728.4	729.6	85	80	89	NE 1	E 1	NE 0	10	10	0	.	
26	-2.1	1.0	-0.3	-0.5	-2.6	730.6	731.2	732.0	96	85	97	NE 0	NE 0	E 0	10≡	10	10	.	≡ n-a
27	-1.0	0.4	-1.0	-0.5	-2.7	731.2	730.4	730.6	96	92	98	SE 0	SE 0	E 0	10≡	10	10≡	.	≡ n-a, p-n
28	-0.6	7.0	6.4	4.3	2.0	729.6	728.3	728.7	96	58	57	E 1	NE 4	NE 3	1	0	0	.	🌧 n-n
																			*) 11. ✳ 18½-24, 🌧 n-n
Mittel	-1.9	1.2	-0.6	-0.4	—	719.5	719.8	720.3	93	78	84				8.6	7.8	6.7	Summe 75.3	

Februar 1953
Beobachter: *Frl. H. Nager*

Altdorf

$\lambda = 8° 39'$, $\beta = 46° 53'$,
$H_b = 456.3$ m, $G = -0.05$ mm.

Tag	Lufttemperatur					Luftdruck			Relative Feuchtigkeit			Windrichtung und Stärke			Bewölkung			Niederschlag	Witterung
	7^{30}	13^{30}	21^{30}	Mittel	Abweich. vom Normalst	7^{30}	13^{30}	21^{30}	7^{30}	13^{30}	21^{30}	7^{30}	13^{30}	21^{30}	7^{30}	13^{30}	21^{30}		
1	0.1	2.9	0.9	1.3	0.5	716.8	716.0	717.1	75	50	77	E 0	S 0	NW 0	10	10	10	2.3	✳ 8¾-n mU
2	2.2	1.9	0.2	1.4	0.5	716.8	718.5	721.0	65	78	75	N 2	NE 0	NE 0	10*	10*	10*	8.1	✳ n-n
3	-1.2	1.3	-1.1	-0.3	-1.3	724.3	725.9	728.2	95	70	70	E 0	E 0	SE 0	10	7	10	.	
4	-6.0	-0.6	-5.8	-4.1	-5.1	728.6	726.2	723.6	75	55	73	SE 0	E 0	NE 0	8	4	4	.	
5	-4.8	-1.6	-2.0	-2.8	-3.9	720.1	719.3	718.7	77	84	85	E 0	E 0	SE 0	10*	9	10	6.9	✳ 7¾-a
6	-2.2	0.4	-1.1	-1.0	-2.2	715.8	715.1	716.7	96	70	93	E 0	E 0	NW 0	10*	10	10	1.2	✳ n-a, ▽ p
7	-2.0	-1.7	-5.0	-2.9	-4.1	715.7	716.1	720.7	95	65	70	S 0	NW 2	SE 0	10*	10*	7	2.5	✳ n-19 mU
8	-5.8	-3.1	-6.8	-5.2	-6.5	721.2	722.3	722.7	70	70	85	NE 0	NW 0	E 0	10	7	6	.	
9	-4.0	-1.1	0.2	-1.6	-3.0	714.5	715.9	715.4	67	77	90	E 0	NE 1	E 0	10	10*	10	4.7	✳ 8¾-17¼
10	4.4	5.4	3.7	4.5	3.1	707.4	702.5	702.6	46	44	60	SE 2	SE 3	NW 0	10	10	10	.	⸝ III
11	-1.3	3.6	0.7	1.0	-0.5	701.5	701.6	703.7	83	59	75	NE 0	NW 0	NW 0	7	8	10	.	
12	-0.1	3.3	0.8	1.3	-0.3	706.4	708.9	703.7	77	70	93	W 0	NW 1	NW 0	10	10	10	.	
13	-2.7	1.8	0.6	-0.1	-1.7	716.9	718.0	719.8	73	62	62	S 0	S 0	W 0	10	5	10	.	
14	-4.2	1.4	-2.6	-1.8	-3.5	719.3	718.2	719.2	70	54	70	S 0	S 0	S 0	10	3	4	.	
15	-3.2	-0.5	-1.3	-1.7	-3.5	719.2	717.4	717.1	75	60	66	SE 0	SE 0	SE 0	10	10	10	.	
16	-3.1	-0.4	-1.1	-1.5	-3.4	717.8	719.8	723.0	62	58	72	S 0	N 1	SE 0	10	10	10	0.0	✳ fl 9
17	-4.3	-1.3	-5.1	-3.6	-5.5	724.8	724.8	727.1	66	67	80	SE 1	NW 1	NE 0	10	4	7	.	
18	-3.6	-1.7	0.4	-1.6	-3.6	726.5	725.2	724.7	80	60	80	SE 0	SE 0	SE 0	10	10	10	.	
19	-1.6	4.3	0.8	1.2	-0.9	724.1	724.1	725.6	90	74	88	SE 0	SE 0	SE 0	8	4	5	.	
20	0.1	5.8	2.7	2.9	0.7	727.1	727.4	730.8	90	54	88	W 0	NW 0	SE 0	8	8	10	.	
21	0.5	5.5	1.6	2.5	0.3	731.9	732.7	733.7	78	69	73	NE 0	NE 0	SE 0	7	3	0	.	
22	-1.1	5.3	0.1	1.4	-0.9	733.5	732.9	732.0	80	55	80	E 1	E 0	SE 0	7	0	0	.	
23	-2.1	4.1	0.0	0.7	-1.7	730.0	728.5	728.2	85	59	85	E 0	E 0	SE 0	7	0	4	.	
24	-1.9	4.4	0.1	0.9	-1.6	728.5	728.5	729.5	92	75	91	E 0	NW 0	W 0	5	3	10	.	
25	1.1	3.4	-0.4	1.4	-1.2	731.0	731.1	732.8	89	76	92	E 0	NW 0	SE 0	10	8	8	.	
26	-2.5	1.7	-1.0	-0.6	-3.4	733.4	733.5	734.6	95	92	95	SE 0	NW 1	NW 0	9	7	10	.	
27	-1.8	1.4	-1.1	-0.5	-3.4	734.0	733.1	734.1	100	97	100	S 1	N 0	NW 0	10≡	10≡	10≡	.	≡ n-n
28	-1.8	1.6	-1.2	-0.5	-3.5	733.4	732.6	728.4	99	84	90	NE 0	W 0	E 0	10≡	10≡	4	.	≡ n-p
Mittel	-1.9	1.7	-0.8	-0.3		722.2	722.0	722.7	80	67	81				9.1	7.3	7.8	Summe 25.7	

Februar 1953
Beobachter: *Observatorium*

Genève

$\lambda = 6° 9'$, $\beta = 46° 12'$,
$H_b = 405.0$ m, $G = -0.03$ mm.

1	0.5	2.5	0.0	1.0	0.0	725.4	726.0	727.2	90	57	92	S 1	S 1	S 1	10	8	10	0.5	✳ n (1./2.)
2	0.2	3.4	0.7	1.4	0.3	725.7	725.5	727.0	96	57	86	SSE 0	SSW 1	SSW 0	10	9	9	0.5	✳ n (2./3.)
3	-1.0	1.4	0.5	0.3	-0.9	729.0	730.0	730.5	89	59	88	SE 0	NNE 2	NNE 1	5	5	5	.	
4	-3.4	0.8	-4.2	-2.3	-3.5	732.9	730.7	727.9	82	68	77	E 0	NNE 1	E 0	10	6	0	.	
5	-5.4	-0.8	-3.0	-3.1	-4.4	725.5	724.6	724.8	80	78	78	ENE 0	NNW 1	WSW 1	5	5	10	0.1	✳ 10-11
6	-2.0	1.0	-1.0	-0.7	-2.1	722.0	721.0	721.5	83	85	80	ESE 1	S 1	S 0	9	5	9	0.0	▽ a
7	-2.0	2.4	-3.8	-1.1	-2.5	722.5	722.2	724.7	85	83	91	ESE 0	WSW 1	NNE 1	10	5	0	0.1	✳ a
8	-7.0	-2.5	-4.0	-4.5	-6.0	727.0	727.3	727.7	78	77	81	E 0	NNE 1	ENE 0	1	1	2	8.0	✳ n (8./9.)
9	-3.3	3.7	3.3	1.2	0.4	721.7	723.0	721.5	85	80	73	W 0	S 1	S 1	10	5	10	0.8	▽ n-n mU
10	2.1	6.8	6.4	5.1	3.5	711.9	707.2	707.3	81	88	70	W 0	W 1	W 1	10	9	7	0.1	● a
11	2.5	5.3	2.0	3.3	1.6	707.2	707.8	710.1	84	80	75	SSW 3	SSW 3	SSW 2	10	10	10*	13.0	▽ a, ✳ p-n, ⸝ n-p
12	2.1	2.2	0.0	1.4	-0.4	714.4	715.5	718.8	91	79	92	SSW 0	ENE 1	E 0	10	9	6	.	
13	-1.4	1.2	-0.2	-0.1	-2.0	720.7	722.1	723.2	94	78	89	E 0	ENE 1	E 0	10	7	8	.	
14	-2.0	1.2	0.0	-0.3	-2.2	723.3	722.8	723.0	92	73	89	E 0	NNE 1	NNE 1	10	0	6	.	
15	-1.0	-0.2	-0.8	-0.7	-2.7	721.8	719.4	720.4	88	85	92	NNE 3	NNE 4	NNE 4	10	10	10	.	⸝ n-n
16	-3.0	0.8	-2.0	-1.4	-3.5	722.2	723.2	726.2	94	68	83	NNE 2	NNE 2	NNE 1	10	10	10	.	⸝ n-p mU
17	-4.2	-2.2	-4.8	-3.7	-5.9	729.8	729.6	730.6	77	67	80	NNE 1	NNE 1	NNE 1	2	4	2	.	
18	-5.8	0.0	0.0	-1.9	-1.4	731.5	730.7	729.3	85	75	85	NE 1	NNE 1	E 0	3	5	4	.	
19	1.1	6.0	4.0	3.7	1.4	730.3	730.5	730.0	79	70	70	E 0	NNE 1	NNE 0	5	7	9	.	
20	2.0	7.8	4.0	4.6	2.2	732.3	732.2	733.6	96	70	90	WNW 1	NW 1	E 0	10	5	7	0.2	● n (20./21.)
21	0.8	6.5	2.9	3.4	0.9	736.4	737.5	738.3	94	66	89	E 0	NNE 1	NNE 0	2	0	1	.	
22	-2.4	5.0	2.5	1.7	-0.9	738.4	737.4	736.2	96	69	94	NNE 0	NNE 1	NNE 0	0	0	1	.	
23	-1.5	6.0	3.8	2.8	0.2	734.9	733.1	732.8	94	70	87	NNE 0	NNE 1	NNE 0	4	1	3	.	
24	-1.7	4.3	4.4	2.3	-0.4	732.2	732.1	732.8	94	93	83	NNE 1	NNE 1	NNE 1	10	10	10	.	
25	3.0	3.8	1.6	2.8	0.0	734.5	735.0	736.0	83	77	93	E 0	NNE 1	E 0	10	10	4	.	
26	-0.5	2.4	1.5	1.1	-1.8	737.2	737.8	738.2	96	85	96	E 0	NNE 1	NNE 1	10	10	2	.	
27	-0.6	1.5	1.3	0.7	-2.4	738.1	737.2	736.9	100	96	96	NNE 1	NNE 1	E 0	10	10	10	.	
28	0.3	5.5	5.3	3.7	0.5	736.4	735.2	735.8	94	64	80	E 0	NNE 1	E 0	10	3	1	0.0	
Mittel	-1.2	2.7	0.7	0.7	—	727.3	727.0	727.6	89	75	85				7.7	6.0	5.9	Summe 23.3	

$\lambda = 8°\ 34'$, $\beta = 47°\ 23'$,
$H_b = 569.4$ m, $G = 0.03$ mm

Zürich

Februar 1953
Beobachter: *Meteorol. Zentralanstalt*

Tag	Lufttemperatur					Luftdruck			Relative Feuchtigkeit			Windrichtung und Stärke			Bewölkung			Niederschlag	Witterung
	7^{30}	13^{30}	21^{30}	Mittel	Abweich. vom Normalst	7^{30}	13^{30}	21^{30}	7^{30}	13^{30}	21^{30}	7^{30}	13^{30}	21^{30}	7^{30}	13^{30}	21^{30}		
1	-1 5	-0.6	-2.7	-1.6	-0.3	706.1	706.3	706.1	80	65	97	SW 3	SW 3	SSW 3	10*	10	10*	5.0	✳ fl n-a, 12-12½, 17½-22¼,
2	-0.9	-0.1	-2.1	-1.0	0.2	707.2	708.5	710.9	93	97	97	WSW 2	WSW 1	WSW 1	10*	10	10*	6.8	✳ 0-24 mU [n-n
3	-2.5	0.2	-2.3	-1.5	-0.3	714.2	715.9	717.3	96	70	96	N 1	NNE 1	NNE 1	10	3	10*	1.0	✳ 18½-24
4	-2.7	0.3	-2.3	-1.6	-0.5	717.6	716.0	712.4	87	69	70	NNE 1	W 1	WSW 2	10	9	10	0 1	
5	-4.2	-1.6	-2.0	-2.6	-1.6	709.0	709.0	708.0	94	69	73	SSW 1	SSW 2	SW 2	10*	10*	10*	3 0	✳ 0-24 mU
6	-2.3	-0.5	-2.4	-1.7	-0.8	705.4	705 2	705.7	90	68	84	SW 2	SW 2	WSW 2	10*	10	10*	0.9	✳ 0-24 mU
7	-2.7	-3.5	-8.8	-5.0	-4.2	705.2	706.7	710.1	83	79	84	SW 2	NE 1	WNW 1	10	10*	9	1.0	✳ 10¼-18¾
8	-12.3	-4.1	-7.3	-7.9	-7.2	711.2	711.8	711.5	92	62	65	NW 1	SW 1	S 1	1	9	0	0.2	
9	-6.0	1.1	1.7	-1.1	-0.5	704.1	705 2	705.2	77	85	62	S 1	SW 2	SSW 2	10*≡	10*	9	3.2	✳ 7½-10½, ▽ 13½, ≡ n-a,
10	0.0	3.9	1.3	1.7	2.2	697.5	**690 8**	691.4	85	57	95	SSW 1	WSW 1	SSW 2	10	10	9	5.7	● ✳ 17¾-20 [p
11	-0.6	3.9	0.7	1.3	1.7	691.0	691.4	693.2	92	52	70	S 1	SW 3	WSW 2	10*=	9	10	0.7	✳ 4½-5½, 7¼-8, ≡ n-a
12	0.4	1.1	-0.6	0.3	0.6	695.5	698.5	703.1	86	75	91	SSW 2	SW 2	SSW 1	10*	10	10*	2.5	✳ fl 0-24 mU
13	-2.9	2.1	-0.9	-0.6	-0.4	706.6	708.1	709.4	98	63	83	ESE 1	NE 1	ENE 1	10≡	9	10	.	≡ n-a, ⌊
14	-2.7	2.6	-2.6	-0.9	-0.8	708.6	708.5	709 2	95	58	80	ENE 1	NE 1	NNE 2	9	9	4	.	
15	-3.7	-3.4	-4.9	-4.0	-4.0	709.1	708.0	707.7	80	77	80	ENE 2	NE 2	NE 2	10	10	10	0.1	✳ fl a
16	-5.3	-3.7	-5.0	-4.7	-4.8	708.3	710.2	712.8	82	76	73	NE 2	NE 2	NNE 1	10	10*	9	0.1	✳ fl a-p
17	-8 4	-1.4	-6.4	-5.4	-5.6	714.4	714.8	716.0	87	57	82	NE 1	ENE 1	S 0	10	1	0	.	
18	-4.8	-0.5	0.0	-1.8	-2.1	715.5	715.1	714.5	88	90	99	SSW 1	SW 1	S 0	10	10●	10●=	4.2	✳ 8½-11, ● 11-19, 21½,
19	0.7	4.3	2.1	2.4	2.0	713.6	714.1	714.8	98	70	87	S 1	WSW 0	S 1	10≡	10	10	1.6	≡ n-10½, ∼ ⌊ [≡ 15½-n
20	1.5	7.9	3.2	4.2	3.7	716.5	717.5	719.9	97	58	90	W 1	ENE 1	WNW 1	10	5	9	0.0	✳ 4¾-6¼
21	-1.7	8.4	2.2	3.0	2.4	721.2	722.2	723.1	98	55	80	SSE 0	SW 1	NNE 1	10≡	4	0	.	≡ 7¼-10½, ⌊
22	-0.8	8.2	2.2	3.2	2.5	722.8	722.5	721.6	87	**48**	80	S 0	WSW 1	W 1	2	1	0	0.1	
23	-1.1	7.8	1.6	2.8	2.0	719.5	718.5	717.7	97	51	84	ENE 0	NNE 1	NE 0	10	1	2	.	⌊
24	0.8	3.7	1.2	1.9	1.0	717.9	718.4	718.8	90	75	85	NNW 0	NNE 1	NE 1	10	10	10	0.0	
25	0.0	3.8	0.1	1.3	0.3	720.0	720.8	721.8	92	70	90	E 1	ENE 1	S 1	10	6	6	0.1	
26	-2.2	0.3	-1.5	-1.1	-2.2	722.5	723.2	**723 6**	100	90	97	SSE 0	WSW 1	E 0	10≡	10	0	0.0	≡ 7-12, ⌊
27	-2.8	1.1	-0.7	-0.8	-0.4	723.4	722.7	723.0	98	93	95	NNE 0	SSW 1	ESE 1	10≡	0≡	0≡	0.0	≡ n-13½, 20-n, ⌊
28	-2.6	7.4	3.9	2.9	1.6	723.0	722.3	722.2	98	51	58	E 1	ENE 1	ENE 2	10≡	0	0	.	≡ n-10½, ⌊
																		Summe	
Mittel	-2.6	1.7	-1.2	-0.7	—	711.7	711.9	712.5	91	69	83				9.4	7.4	6.7	35.3	

$\lambda = 6°\ 32'$, $\beta = 46°\ 51'$
$H_b = 1589$ m, $G = -0{,}13$ mm

Chasseron

Februar 1953
Beobachter: *Ch. H. Martin*

1	-9.1	-8.8	-9.0	-9.0	—	620.7	622.6	623.1	100	100	100	W 5	NW 4	NW 5	10*≡	10*≡	10*≡	**16.8**	✳ ≡ ⋁ n-n
2	-8.2	-7.0	-9.0	-8.1	—	622.3	623.3	624.7	100	100	100	NW 4	NW 3	NW 3	10*≡	10*≡	10*≡	4.0	✳ ≡ ⋁ n-n
3	-10.0	-8.4	-10.0	-9.5	—	626.2	628.1	629.0	100	100	100	N 2	E 2	E 3	10*≡	10≡	8	0.0	✳ n-8, ≡ n-15. 15-n mU, *)
4	-10.2	-7.2	-10.2	-9.2	—	629.3	629.4	627.0	100	100	100	E 3	E 1	W 2	10≡	10≡	10≡	.	≡ n-16, 17-n, ⋁ n-n, n-a
5	-11.4	-6.0	-9.8	-9.1	—	622.7	623.0	622.7	100	100	100	NW 3	WNW 1	NW 2	10≡	10≡	10*≡	4.1	✳ 12-15 mU, 17-n, ≡ ⋁ n-n, ⌊
6	-9.2	-7.2	-9.6	-8.7	—	620.5	620.1	620.2	100	100	100	NW 3	NW 3	WNW 4	10*=	10*≡	10*≡	6.5	✳ ≡ ⋁ n-n
7	-10.0	-7.8	-14.6	-10.8	—	619.5	620.2	621.8	100	100	90	W 3	NW 2	NNE 3	10*≡	10*=	2	1.6	✳ n-12, 12-14 mU, ≡ n-14, *)
8	-15.8	-12.0	-14.0	-13.9	—	622.9	624.2	624.4	100	30	68	N 2	E 2	S 3	4	4	4	0.2	✳ n-7 mU, ≡ n-7, \ 1, 111
9	-9.2	-5.8	-6.0	-7.0	—	619.3	620.9	621.3	100	100	100	S 5	WNW 4	W 4	10*≡	10*.	10*≡	4.0	✳ n-9 9-12 mU, 12-16, 17-n mU,*)
10	-4.8	-3.0	-5.0	-4.3	—	614.5	609 0	608.4	100	100	100	S 5	SSW 5	W 5	10*≡	10*≡	10*≡	1.7	✳ ≡ ⋁ n-n
11	-6.9	-6.4	-7.2	-6.8	—	**607.8**	608.2	609.3	100	100	100	WSW 4	W 5	W 5	10*≡	10*.	10*≡	5.2	✳ ≡ ⋁ n-n
12	-7.2	-7.4	-8.2	-7.6	—	611.4	614.3	617.2	100	100	100	NW 4	NW 4	NW 3	10*≡	10*≡	10*≡	4.6	✳ ≡ ⋁ n-n
13	-8.4	-7.8	-8.4	-8.2	—	620 1	621.9	623.0	100	100	100	E 1	E 1	E 2	10=	10	10≡	0.3	✳ n (13. 14.), ≡ n-11, 18-n,
14	-9.2	-5 8	-9.4	-8.1	—	622.0	622.2	622.0	100	100	100	E 1	E 1	E 2	9*	10≡	10≡	0.1	✳ n-8½ mU, ≡ n-n mU ⋁
15	-11.2	-10.4	-12.0	-11.2	—	620.5	619.0	618.2	100	100	100	E 4	E 5	E 4	10=	10≡	10≡	2.0	✳ n (15./16.), ≡ n-n
16	-12.8	-10.6	-12.6	-12.0	—	619.1	621.3	623.2	100	100	100	E 4	E 4	E 4	10*=	10≡	10≡	0.3	✳ n-9 mU, 14½-18 mU,
17	-11.4	-4 8	-5.8	-7.3	—	625 4	627.4	628.6	90	35	45	E 4	E 2	E 3	1	3	1	.	n-a, ⌊ p-n [≡ n-n
18	-2.4	-1.2	-0.8	-1.5	—	629.4	629.8	629.6	90	100	100	NNE 2	N 1	N 1	6	10■	10≡	.	≡ 7¾-n mU
19	-1.8	-0.2	-1.2	-1.1	—	628.8	629 4	630.1	100	100	100	N 1	W 1	W 2	10≡	10≡	10*≡	1.0	✳ 19-n mU, ≡ n-n
20	-1.6	-0.2	-1.8	-1.2	—	631.3	632.5	634.1	100	100	100	W 2	WNW 1	E 1	10*≡	10≡	10≡	0.0	✳ n-7½ ≡ n-19, 20-n
21	-3.0	-0.8	1.2	-0.9	—	635.6	637.0	637.9	95	40	35	W 1	W 1	N 1	3	3	2	.	
22	0.8	2.0	4.8	2.5	—	637.3	637.3	636.7	25	40	45	W 1	NW 1	E 1	4	2	1	.	
23	4.4	4.2	3.6	4 1	—	634 4	634.0	633.0	40	50	54	ESE 1	NW 1	W 1	1	2	4	.	
24	2.8	4.2	4.2	3.7	—	632 2	632.6	633.1	57	30	56	E 1	E 2	E 2	1	1	0	.	
25	4.0	6.8	5.0	5.3	—	633.8	635.5	636.2	46	35	25	E 2	E 2	E 2	1	2	2	.	
26	3.0	**9.2**	4.6	5.6	—	636.7	637.9	**638 4**	50	39	45	ESE 2	WSW 1	S 1	3	1	0	.	
27	3.8	7.6	4.2	5.2	—	638.0	638.1	637.7	**22**	39	50	S 1	NE 1	E 2	1	1	0	.	
28	-1.8	0.8	-2.0	-1.0	—	635.6	635.7	635.1	80	60	95	E 4	E 4	E 4	1	0	0	.	n-n
																		Summe	*) **3.** ⋁ n-n, p-n **7** 14-17½ mU, ⋁ n-n **9.** △ 16-17, ≡ ⋁ n-n
Mittel	-5.6	-3.4	-5.0	-4.7	—	625.6	626.3	626.6	86	79	82				7.0	7.1	6.6	52.4	

Februar 1953
Beobachter: *B. Minsch und C. Clavuot*

Bever

$\lambda = 9° 53'$, $\beta = 46° 33'$,
$H_b = 1711.8$ m, $G = -0.23$ mm

Tag	Lufttemperatur					Luftdruck			Relative Feuchtigkeit			Windrichtung und Stärke			Bewölkung			Niederschlag	Witterung
	7^{30}	13^{30}	21^{30}	Mittel	Abweich. vom Normalst	7^{30}	13^{30}	21^{30}	7^{30}	13^{30}	21^{30}	7^{30}	13^{30}	21^{30}	7^{30}	13^{30}	21^{30}		
1	-12.4	-6.1	-8.0	-8.8	0.1	610.1	609.9	609.8	50	47	78	SW 1	W 3	S 0	8	9	10*	4.1	✳ 16-n, ⸝ 12-14
2	-7.4	-3.7	-9.0	-6.7	2.1	610.7	612.1	614.2	94	73	74	E 1	NE 0	NE 0	10*	9*	7	3.2	✳n-14
3	-14.4	-6.4	-11.5	-10.8	-2.1	617.2	618.7	620.2	90	55	67	NE 0	NE 1	NE 0	6	9	2	.	⌊⌊ I
4	-23.6	-8.8	-20.2	-17.6	-9.0	620.6	619.5	616.8	93	64	83	SW 0	SW 0	W 0	0	0	0	.	⌊⌊ I, III
5	-19.4	-5.4	-12.6	-12.5	-4.0	612.7	611.9	612.3	93	44	65	SW 1	SW 1	NW 1	8	2	4	.	⏚ 13-15½, ⌊⌊ I, III
6	-14.9	-7.0	-12.1	-11.3	-2.9	610.3	609.9	610.7	77	44	70	SW 1	NW 1	SW 0	10	9	7	.	
7	-24.9	-7.8	-12.6	-15.1	-6.8	610.7	610.0	611.5	89	62	62	SW 0	NE 1	NW 1	3	7	6	.	⌊⌊ I, III
8	-20.8	-13.4	-19.1	-17.8	-9.6	612.0	612.9	615.5	79	40	63	S 1	W 0	E 0	8	1	3	.	⌊⌊ I, III
9	-24.8	-8.5	-11.6	-15.0	-6.9	612.2	611.5	612.5	50	51	92	SW 1	SW 0	SW 0	9	9	6	.	⌊⌊ I, III, ⏚ 11-19 mU
10	-15.4	-4.6	-7.4	-9.1	-1.1	608.8	606.1	602.5	98	69	93	S 0	SW 0	SW 2	9	10	10	.	⌊⌊ I
11	-13.8	-3.1	-11.9	-9.6	-1.7	600.7	601.1	602.9	96	61	84	SW 0	SW 0	SW 0	9	6	10*	0.5	✳ 21¾-n, ⌊⌊ I
12	-14.7	-4.0	-17.8	-12.2	-4.4	603.9	605.1	609.6	95	50	81	SW 0	SW 0	SW 0	10	9	6	.	⌊⌊ I, III
13	-21.2	-6.7	-18.0	-15.3	-7.6	612.1	613.0	614.7	91	54	76	SW 0	SW 0	W 0	9	2	3	.	⌊⌊ I, III
14	-22.8	-5.8	-17.7	-15.4	-7.8	614.5	613.9	615.4	93	54	76	SW 0	SW 0	W 0	8	5	4	.	⌊⌊ I
15	-24.4	-7.5	-11.6	-14.5	-6.9	613.5	609.8	610.1	92	61	84	S 0	NE 1	NE 2	9	10	6	.	
16	-16.0	-5.0	-13.4	-11.5	-4.0	611.6	612.1	616.1	90	67	85	NW 0	NE 1	NE 1	7	8	1	.	⌊⌊ I
17	-22.8	6.4	-14.8	-10.4	-3.0	617.5	617.7	619.7	89	59	64	NE 0	NE 0	S 0	3	0	0	.	⌊⌊ I, III
18	-14.9	2.0	-3.0	-5.6	1.7	619.6	619.3	620.3	79	62	85	SW 0	N 1	S 0	6	6	5	.	
19	-10.8	2.4	-8.8	-5.7	1.5	619.9	619.9	621.3	97	58	80	S 0	SW 0	SW 0	0	0	0	.	⌊⌊ I
20	-14.6	4.2	-6.2	-5.5	1.6	622.9	622.9	625.5	97	46	80	SW 0	NE 0	SW 0	0	2	7	.	⌊⌊ I
21	-14.6	1.6	-9.9	-7.6	-0.6	626.9	626.7	628.9	96	54	76	SW 0	SW 0	SW 0	1	1	2	.	⌊⌊ I
22	-12.7	6.1	-7.0	-4.5	2.4	628.8	628.5	628.3	87	52	82	SW 0	SW 0	SW 0	3	0	1	.	⌊⌊ I
23	-11.2	4.9	-5.0	-3.8	3.0	626.5	624.8	624.8	94	51	75	S 0	SW 0	W 0	2	2	1	.	
24	-11.6	7.0	-6.8	-3.8	2.9	624.4	623.5	626.0	93	43	71	SW 0	NE 0	NE 0	0	0	0	.	
25	-13.1	3.6	-6.2	-5.2	1.4	626.6	626.8	628.6	90	49	65	N 0	NE 0	NE 0	0	0	0	.	⌊⌊ I
26	-13.6	4.7	-8.4	-5.8	0.7	630.3	629.7	630.6	85	46	86	W 0	SW 0	SW 0	0	0	0	.	⌊⌊ I
27	-12.7	4.2	-7.2	-5.2	1.2	629.7	628.6	629.1	93	47	78	W 0	W 0	NW 0	2	1	0	.	⌊⌊ I
28	-11.8	3.8	-5.0	-4.3	2.0	628.1	627.2	627.9	94	48	60	SW 0	NE 0	NE 0	1	0	0	.	
Mittel	-16.3	-1.9	-10.8	-9.7	—	617.2	616.9	618.1	88	54	76				5.0	4.2	3.6	Summe 7.8	

Februar 1953
Beobachter: *Couvent des Capucins*

Sion

$\lambda = 7° 21'$, $\beta = 46° 14'$,
$H_b = 548.6$ m, $G = -0.11$ mm.

1	0.3	3.4	-0.2	1.2	0.9	710.7	712.2	713.2	53	55	70	WSW 2	WSW 1	WSW 2	10	10	10	.	● ✳ 0-1
2	0.3	2.4	0.0	0.9	0.5	712.1	712.1	715.4	76	70	75	W 2	W 2	W 1	10	7	9	.	
3	-1.4	1.9	-2.6	-0.7	-1.2	717.8	716.8	718.2	71	54	79	WSW 0	WSW 0	WSW 0	10	3	0	.	
4	-7.2	-1.0	-4.9	-4.4	-5.0	720.2	718.8	716.9	82	56	68	NE 0	NE 0	NE 0	0	0	0	.	
5	-7.8	-0.6	-4.4	-4.3	-5.0	712.8	711.7	712.2	86	65	75	NE 0	NE 0	WNW 0	10	3	2	.	
6	-2.8	2.2	-1.7	-0.8	-1.6	710.3	709.1	710.9	81	62	72	W 0	WSW 0	WSW 0	10	5	2	.	
7	-4.2	0.6	-3.2	-2.3	-3.2	709.7	709.4	710.9	75	54	80	W 0	WSW 1	SW 1	10	9	0	.	
8	-5.2	-1.4	-5.5	-4.0	-5.0	712.7	713.9	715.1	74	50	55	WSW 0	SE 1	WSW 1	10	3	0	0.1	
9	-5.6	-2.3	0.0	-2.6	-3.7	711.2	710.4	709.7	94	82	86	ENE 2	ENE 1	ENE 0	10*	10	6	6.3	✳ 6¾-13, 15-15¼
10	-0.9	0.4	-0.6	-0.4	-1.6	704.4	700.3	698.0	82	100	100	ENE 0	ENE 0	ENE 0	10	10*	10*	24.8	✳ 12¼-24
11	-1.1	2.5	-1.0	0.1	-1.2	696.1	696.3	697.7	100	77	90	ENE 0	ENE 0	NE 0	10*	10	0	7.0	✳ 0-8¼, 11¼-12½
12	-1.7	4.5	-2.1	0.2	-1.2	700.5	702.1	706.3	100	83	86	NE 0	ENE 0	W 0	10*	8	9	0.8	✳ 2-8¾
13	-5.6	0.0	-4.4	-3.3	-4.8	709.8	710.7	711.8	78	67	69	NE 1	NE 0	ENE 1	10	5	0	.	
14	-8.9	-2.0	-5.4	-5.4	-2.3	712.1	711.2	711.7	83	61	75	ENE 0	ENE 0	ENE 1	0	6	0	.	
15	-8.4	-2.2	-4.8	-5.1	-6.8	710.5	707.2	706.8	85	57	72	ENE 1	ENE 0	ENE 1	2	10	1	.	
16	-7.3	-0.8	-4.0	-4.0	-5.8	709.0	710.4	713.2	88	64	72	ENE 0	E 1	ENE 1	10	3	8	.	
17	-4.6	-0.3	-5.4	-3.4	-5.3	715.3	716.2	718.4	90	57	80	ENE 0	E 1	WSW 0	10	1	3	.	
18	-8.6	-0.2	-3.0	-3.9	-5.9	718.8	717.5	717.6	93	54	72	WSW 0	WSW 0	WSW 0	2	4	1	.	
19	-5.4	2.4	0.3	-0.9	-3.1	717.3	716.7	718.1	83	56	70	WSW 0	WSW 0	E 1	0	1	0	.	
20	-2.0	6.5	3.6	2.7	0.4	719.5	719.0	721.8	86	47	71	SW 0	SW 0	SW 1	9	2	8	.	
21	-1.4	6.0	1.9	2.2	-0.2	726.9	724.7	726.2	86	47	66	SW 0	WSW 0	WSW 0	1	2	3	.	
22	-2.6	6.6	2.2	2.1	-0.4	726.1	724.2	724.0	83	51	85	ENE 0	ENE 0	WSW 0	1	0	0	.	
23	-2.5	5.9	1.6	1.7	-0.9	721.7	720.4	720.2	87	56	75	WSW 0	SSW 1	WSW 0	1	0	0	.	
24	-1.8	4.6	1.2	1.3	-1.4	720.1	719.1	721.1	97	64	90	W 0	WSW 1	WSW 0	0	0	0	.	
25	-2.0	5.8	1.1	1.6	-1.2	722.0	721.7	724.2	100	56	92	WSW 0	WSW 1	WSW 0	0	0	4	.	
26	-1.6	5.6	1.9	2.0	-1.0	725.2	724.5	726.1	100	61	91	WSW 0	WSW 1	WSW 0	0	0	0	.	
27	-1.4	7.1	0.4	2.0	-1.1	726.0	723.8	724.6	90	46	100	WSW 0	WSW 1	WSW 0	0	3	0	.	
28	-5.4	1.8	1.0	-0.9	-4.1	723.9	722.0	723.3	100	82	82	WSW 0	WSW 1	WSW 1	10	8	0	.	V I
Mittel	-3.8	2.1	-1.4	-1.0	—	715.1	714.4	715.5	86	62	79				5.9	4.4	2.7	Summe 38.5	

$\lambda = 8°\,57'$, $\beta = 46°\,0'$,
$H_b = 276.2$ m, $G = -0.01$ mm.

Lugano

Februar 1953
Beobachter: *G. Vicari*

Tag	Lufttemperatur					Luftdruck			Relative Feuchtigkeit			Windrichtung und Stärke			Bewölkung			Niederschlag	Witterung
	7^{30}	13^{30}	21^{30}	Mittel	Abweich. vom Normalst	7^{30}	13^{30}	21^{30}	7^{30}	13^{30}	21^{30}	7^{30}	13^{30}	21^{30}	7^{30}	13^{30}	21^{30}		
1	4.0	10.8	3.4	6.1	4.0	729.7	728.3	728.8	31	24	37	N 2	NNE 2	W 1	0	0	0	.	⊏ l
2	3.8	11.6	4.8	6.7	4.5	729.5	730.5	733.4	45	31	35	WNW 2	NNE 2	NNW 1	0	1	10	.	
3	3.2	10.6	2.2	5.3	3.1	737.0	738.2	739.4	34	27	44	N 2	N 2	SW 1	4	0	0	.	
4	−1.0	9.6	0.6	3.1	0.8	740.9	740.2	737.9	54	39	52	N 1	SSE 1	N 1	0	0	0	.	
5	−2.8	8.0	0.8	2.0	−0.4	733.0	731.0	731.3	66	46	48	N 1	SSW 1	N 1	1	1	0	.	
6	−3.0	9.2	1.0	2.4	−0.1	730.2	728.8	730.3	63	39	40	N 1	NNE 2	N 1	0	1	0	.	
7	−1.8	7.8	1.0	2.3	−0.2	730.3	729.9	731.1	54	37	36	NNW 1	SSW 1	NNE 2	0	4	0	.	
8	−0.2	3.0	−0.6	0.7	−1.9	732.7	734.6	736.8	33	28	32	NNE 2	NNE 3	N 1	1	0	0	.	
9	−5.2	3.4	−2.2	−1.3	−4.0	736.8	735.0	734.0	50	37	55	NNW 1	SE 1	N 1	1	8	0	.	
10	−4.8	−2.6	−3.4	−3.6	−6.4	731.9	729.6	724.2	73	81	95	N 1	W 1	N 1	10	10*	10*	8.0	✶ 11-n
11	−3.0	8.0	−0.2	1.6	−1.3	718.3	717 9	720.1	87	46	75	NNW 1	E 1	N 1	9	3	10	.	
12	−2.8	6.8	0.4	1.5	−1.5	722.9	724.2	727.9	85	54	82	NW 1	E 1	NNW 1	8	7	5	.	
13	−0.8	7.2	1.2	2.5	−0.6	731.7	733.2	734.8	83	50	83	N 1	SSE 1	N 1	10	8	9	0.0	✶fl 8-9
14	0.4	1.8	1.2	1.1	−2.1	734.9	736.0	735.9	88	93	91	N 1	N 1	N 1	10	10	10	1.8	✶ 13-14½
15	−1.8	2.8	−0.6	0.1	−3.2	732.1	728.0	725.7	76	64	80	N 1	S 1	N 1	10	10	0	.	⊏ l
16	−1.4	6.6	0.8	2.0	−1.3	728.7	729.4	732.6	73	51	77	N 1	S 1	N 1	9	9	2	.	⊏ l
17	−2.4	8.2	0 2	2.0	−1.4	736.2	737.9	738.1	78	57	84	N 1	S 1	N 1	0	8	0	.	⊏ l
18	−2.2	8.2	8.6	4.9	1.4	737.0	735.2	735.7	95	56	33	N 1	SSE 1	S 1	2	9	0	.	⊏ l
19	0.2	10.8	3.6	4.9	1.3	738.8	739.3	740.8	98	56	84	N 1	N 1	— 0	2	0	0	.	
20	0.8	12.2	5.2	6.1	2.3	742.6	743.1	745.7	97	54	77	N 1	S 1	N 1	0	0	0	.	
21	0.4	11.8	5.4	5.9	2.0	746.9	746.5	746.0	98	57	75	N 1	E 1	N 1	1	0	0	.	
22	0.2	11.8	5.6	5.9	1.9	746.2	745.3	744.6	87	51	66	N 1	S 1	NW 1	0	0	0	.	
23	1.0	12.8	7.4	7.1	2.9	742.7	741.5	742.0	83	48	64	N 1	S 1	N 1	0	0	0	.	
24	1.2	13.4	5.8	6 8	2.5	741.4	740.8	742.8	97	61	83	N 1	E 1	N 1	0	0	0	.	
25	1.8	16 8	6.0	8.3	3.9	745.4	746.1	748.9	95	46	73	N 1	S 1	NNW 1	0	0	0	.	
26	3.4	13.8	5.4	7.5	2.9	751.8	751.5	751.6	98	47	74	— 0	SE 1	N 1	10	0	0	.	
27	1.2	12.2	5.4	6.3	1.6	749.6	748.5	747.8	93	53	78	N 1	SE 1	N 1	0	0	0	.	
28	1.4	15.0	8.2	8.2	3.3	746.0	744.5	744.0	94	41	66	N 1	SE 1	N 1	0	0	0	.	
Mittel	−0.4	9.0	2.8	3.8	—	736.6	736.3	736.9	75	49	65				3.1	3.2	2.0	Summe 9.8	

$\lambda = 7°\,35'$, $\beta = 47°\,33'$,
$H_b = 317.3$ m, $G = 0.11$ mm.

Basel

Februar 1953
Beobachter: *Astronom.-Meteorol. Anstalt*

1	0.4	0.3	1.1	0.6	0.4	729.7	730.6	729.9	80	70	85	WNW 4	W 3	W 3	10	10	10	0 3	⛈ n-n, ⛈ l
2	1.0	1.1	−0.6	0.5	0.2	730.4	731.8	734.1	90	96	96	WNW 2	WNW 1	W 1	10	10*	10*	4.6	✶ 9-16, 19-19¾, 21½-22¾
3	−1.7	−0.4	−1.0	−1.0	−1.3	737.2	739.6	740.8	98	90	92	WNW 0	NW 1	SW 1	10	10	10*	0.2	✶ 1¾-4, 20-22
4	−1.4	0.9	−0.9	−0.5	−0.9	740.9	739.9	736.3	98	80	74	NW 1	W 0	WSW 1	10	10	10	0.0	✶fl a-p mU
5	−2.2	0.9	−0.4	−0.6	−1.1	732.8	732.4	731.1	79	65	79	W 1	WSW 2	SW 1	10	9	10*	0.0	✶ 21-22
6	0.0	0.5	−0.2	0.1	−0.4	729.2	728.8	729.1	83	73	81	WSW 2	WSW 2	WSW 2	9	9*	10	2.3	✶fl a-p mU
7	−1.1	−3.9	−6.8	−3.9	−4.5	728.6	731.2	733.7	84	73	86	WSW 1	WSW 1	S 0	10	10	10	1.7	✶ 1¾-5¼, 8-11½
8	−11.6	−3.0	−7.6	−7.4	−8.1	735.0	735.4	735.2	93	61	78	E 1	E 1	E 1	0	10	4	0.2	
9	−5.2	3.8	3.1	0.6	−0.1	725.5	728.0	727.6	96	65	64	ESE 1	WSW 2	WSW 1	10*	10	10	1.2	✶ 7-7¾, 9-10½, ● 12¾-13
10	5.2	6.5	5.0	5.6	4.8	719.5	712.6	713.1	66	71	63	WSW 2	WSW 3	WSW 2	10	10●	9	2.3	● 13¼, 14¼-16 mÜ, ∾ l, ⛈ II
11	1.6	5.2	1.6	2.8	1.9	712.8	713.2	714.9	82	54	78	S 1	WSW 2	SSW 1	9	10	10	0.5	∾ l
12	1.2	1.8	0.3	1.1	0.1	718.1	721.2	725.3	85	91	94	WSW 1	WSW 1	SSW 1	10●	10*	10	0.6	✶ 1¾-4¼, ●tr 7½, ✶ 13½-15¾ mU
13	−0.4	2.4	0.1	0.7	−0.3	729.6	731.4	732.4	96	89	98	E 0	NW 1	NW 1	10	10	10	0.0	≡ 22½-n
14	−1.2	0.0	−1.2	−0.8	−1.9	732.2	732.0	732.6	98	98	92	WNW 1	WNW 1	WNW 1	10≡	10≡	10	0.0	≡ n-14¼
15	−3.6	−0.6	−2.5	−2.2	−3.4	732.8	732.1	731.7	95	61	66	NW 1	NE 0	ENE 1	9	10	10	0.0	✶fl a
16	−3.3	−0.6	−2.1	−2.0	−3.3	732.2	733.8	736.2	80	59	65	N 1	NE 1	NE 1	10	10	10	0.0	✶fl a-p mU
17	−8.4	−1.2	−3.8	−4.5	−5.8	737.8	738.2	739.0	97	55	84	NW 0	ENE 1	S 1	1	1	0	.	⊏ l
18	−3.4	0.8	1.1	−0.5	−1.9	738.3	738.7	737.2	82	85	92	E 1	E 1	ESE 0	10	10	10	0.0	✶fl a
19	1.0	6.2	2.8	3.3	1.8	736.2	736.3	737.6	98	76	93	ESE 0	E 0	E 0	10	10	10	.	
20	2.3	7.3	4.4	4.7	3.1	738.9	740.2	742.6	98	83	92	SE 0	E 1	W 0	10≡	10	9	.	≡ 7½-7¾
21	−0.9	10.2	2.0	3.8	2.2	744.0	744.7	745.9	98	62	89	SE 1	SE 1	SSW 1	3≡	6	0	.	≡ 5¾-10
22	−2.2	12.3	1.9	4.0	2.3	745.6	745.2	744.5	98	53	90	E 1	NW 1	S 0	2	4	2	.	⊏ l
23	−0.8	10.0	4.4	4.5	2.7	742.5	741.5	740.7	98	57	87	E 1	ENE 1	SW 1	9	4	10	.	⊏ l
24	2.8	5.5	1.8	3.4	1.5	740.7	741.4	740.5	88	70	84	ESE 1	NE 1	ESE 1	10	10	0	.	
25	2.2	8.4	0.6	3.7	1.7	742.5	743.2	744.4	80	60	92	E 1	SE 1	E 0	10	1	0	.	
26	−1.2	7.9	1.1	2.6	0.5	745.3	745.4	745.8	100	63	87	E 0	E 1	E 1	0	0	0	.	
27	−1.5	6.9	0.6	2.0	−0.2	745.9	745.0	745.5	96	65	92	E 1	ENE 1	E 1	1	0	0	.	
28	−2.4	8.0	6.4	4.0	1.7	746.1	745.0	744.8	100	56	51	E 1	NW 1	N 1	10≡	0	0	.	≡ 0-10¼, ⋁ l
Mittel	−1.2	3.5	0.4	0.9	—	734.6	735.0	735.4	91	71	83				8.0	7.6	6.9	Summe 13.9	

Februar 1953
Beobachter: *Observatorium*

Säntis

λ = 9° 20′, β = 47° 15′,
H_b = 2500.1 m, G = -0.27 mm.

Tag	Lufttemperatur 7³⁰	13³⁰	21³⁰	Mittel	Abweich. vom Normalst	Luftdruck 7³⁰	13³⁰	21³⁰	Relative Feuchtigkeit 7³⁰	13³⁰	21³⁰	Windrichtung und Stärke 7³⁰	13³⁰	21³⁰	Bewölkung 7³⁰	13³⁰	21³⁰	Niederschlag	Witterung
1	-15.8	-15.8	-15.2	-15.6	-6.5	549.0	548.2	548.1	100	100	100	W 5	W 5	W 5	10≡✶	10≡	1 ≡✶	6.4	✶ 6½-n mU, ≡⊹↙∨ n-n ⊠
2	-14.2	-13.6	-15.7	-14.5	-5.4	550.6	552.2	553.8	100	100	100	WNW 4	NW 3	NW 2	10≡✶	10≡✶	10≡✶	**22.6**	✶≡ n-n, ⊹↙ n-9, ∨ II ⊠
3	-16.8	-15.2	-15.1	-15.7	-6.5	556.2	558.0	559.2	98	100	100	N 1	N 2	NNE 2	3	10≡	10≡✶	0.0	✶fl 17-n mU, ≡ 10½-n ⊠
4	-13.3	-10.2	-13.6	-12.4	-3.2	559.3	559.3	555.7	77	77	86	ENE 2	N 1	W 4	0	1	1	.	⊹ ↙ 18½-n ⊠
5	-16.4	-16.7	-16.7	-16.7	-7.5	550.8	551.2	551.2	98	98	98	W 5	WSW 4	WSW 3	10≡	10≡	10≡✶	10.2	✶ 7¾-12½, 19-n, ≡ n-n, ⊹ 7¾-13, ⊠
6	-15.9	-15.4	-16.7	-16.0	-6.8	549.2	548.9	549.4	99	100	100	W 3	W 4	W 3	10≡	10≡✶	10≡✶	17.0	✶≡⊹ n-n, ↙ a-p, ∨p [↙ n-p ⊠
7	-17.0	-16.0	-21.4	-18.1	-8.9	548.5	549.4	550.2	100	100	96	W 4	WNW 3	W 3	10≡✶	10≡✶	10≡	16.9	✶ 6¾-17, ≡ n-n, ⊹ n-15½, ↙ I ⊠
8	**23.8**	-19.8	-21.2	-21.6	-12.4	549.8	551.7	552.6	93	93	98	WNW 3	NW 2	WSW 3	10≡✶	10≡	10	.	≡ n-8½, 11-19¼ mU ⊠
9	-12.6	-12.0	-13.4	-12.7	-3.5	549.1	550.0	550.9	100	100	100	W 5	W 5	W 4	10≡	10≡✶	10≡	5.4	✶ 8½-17, 18-19½ mU, ≡ n-n, *) ⊠
10	-10.0	-9.3	-11.0	-10.1	-0.9	547.4	543.4	541.8	98	97	100	W 3	SW 4	W 3	10	10	10≡✶	2.7	✶ 20-n, ≡ n-6¾, 19¼-n, *) ⊠
11	-12.2	-11.2	-13.6	-12.3	-3.1	**540.7**	541.4	542.7	100	98	97	W 3	W 3	W 3	10≡✶	9≡	10	5.3	✶ 6-9, 16-16¾, ≡ n-10½ mU, 13-19 ⊠
12	-13.1	-12.8	-14.4	-13.4	-4.2	543.4	545.5	549.0	100	100	100	W 4	W 3	WSW 3	10≡✶	10≡✶	10≡✶	10.5	✶ n-19½, 20½-n, ≡ n-n, ↙ I ⊠
13	-15.3	-11.7	-14.0	-13.7	-4.5	551.3	552.7	553.7	93	73	89	SE 2	SE 2	ESE 1	1	1	0	.	⊠
14	-14.7	-11.3	-14.0	-13.3	-4.2	552.8	553.4	554.0	85	76	88	SW 2	SSW 2	SE 3	2	5	0	.	⊠
15	-12.2	-11.8	-13.8	-12.6	-3.5	553.0	551.7	550.7	50	61	100	NE 3	NE 4	NE 4	3	9	1	.	↙ a-n ⊠
16	-10.2	-11.2	-11.0	-10.8	-1.7	551.4	553.1	555.4	98	71	44	NE 4	NE 3	NNE 4	3	1	0	.	↙ n-n mU ⊠
17	-11.0	-7.3	-7.7	-8.7	0.3	557.0	558.6	560.0	24	16	72	NE 3	NNE 2	N 2	1	1	1	.	⊠
18	-7.3	-5.6	-5.1	-6.0	3.0	560.0	560.9	561.2	100	100	93	W 3	W 2	N 1	10≡✶	10≡✶	9	10.9	✶ 7-15½, ≡ n-20½ ⊠
19	-6.0	-2.3	-8.0	-5.4	3.6	560.4	561.0	561.2	94	62	100	NNW 1	S 1	WSW 3	1	1	4≡	.	≡ 21-n ⊠
20	-7.4	-4.2	-8.2	-6.6	2.3	562.5	563.8	565.3	100	92	96	WSW 2	WSW 1	SSW 1	10≡	10	7	.	≡ n-12 ⊠
21	-7.8	-4.7	-6.8	-6.4	2.5	566.4	567.8	568.8	85	52	53	NNW 2	W 2	W 2	2	6	2	.	⊠
22	-4.0	-0.4	-0.3	-1.6	7.2	568.6	569.3	569.1	27	26	56	W 3	WSW 3	NW 2	1	1	0	.	⊠
23	0.3	3.6	-0.1	1.3	10.1	567.4	567.3	565.8	48	47	33	NNW 2	WSW 2	WSW 3	1	1	8	.	⌓ III ⊠
24	-1.4	0.4	0.0	-0.3	8.4	565.2	566.0	566.6	37	35	25	WNW 1	NNE 2	NE 2	1	0	0	.	⊠
25	-0.4	1.1	-0.4	0.1	8.7	567.3	568.6	569.6	23	23	28	NE 2	ENE 2	NNE 3	0	1	1	.	⊠
26	0.7	**5.7**	0.9	2.4	11.0	569.6	571.1	**571.5**	22	22	27	SSE 1	E 1	NE 2	1	1	0	.	⊠
27	0.7	2.4	-1.2	0.6	9.1	570.5	570.4	569.8	15	**13**	15	N 2	NNE 2	N 2	1	1	0	.	⊠
28	-4.6	-1.7	-3.9	-3.4	5.0	568.5	569.0	568.8	48	38	26	NNE 3	NNE 3	NE 3	1	1	0	.	⊠
Mittel	-10.1	-8.1	-10.1	-9.4		556.6	557.3	557.[illegible]	75	70	76				5.1	5.7	5.2	Summe 107.9	

*) **9.** ⊹ 9-n, ↙ n-p, ↙ p-n
10. ⊹ 11-17, ↙ II, ↙ p

Februar 1953
Beobachter: *E. Chiesa*

St. Gotthard (Hospiz)

λ = 8° 34′, β = 46° 33′,
H_b = 2095 m, G = -0.25 mm.

Tag	Lufttemperatur 7³⁰	13³⁰	21³⁰	Mittel	Abweich. vom Normalst	Luftdruck 7³⁰	13³⁰	21³⁰	Relative Feuchtigkeit 7³⁰	13³⁰	21³⁰	Windrichtung und Stärke 7³⁰	13³⁰	21³⁰	Bewölkung 7³⁰	13³⁰	21³⁰	Niederschlag	Witterung
1	-12.6	-10.0	-10.9	-11.2	-3.7	58[illegible].9	580.9	580.9	89	64	91	NW 2	NW 2	NW 2	10✶≡	10	10≡	4.6	✶ n-a, 15¼-20, ≡ n-a, p-n ⊠
2	-11.0	-9.6	-11.8	-10.8	-3.3	580.8	582.5	583.5	97	91	100	NW 3	NW 2	NW 2	10✶≡	10≡	10✶	2.8	✶ n-n mU, ≡ n-p mU, ⊹↙ I ⊠
3	-13.3	-11.5	-14.0	-12.9	-5.4	586.0	588.2	589.4	100	87	97	NW 2	NW 1	NW 1	10≡	3	0	.	≡ n-a, 14¾-20¾, ∨ III ⊠
4	-14.0	-9.0	-12.6	-11.7	-4.2	589.2	589.4	587.2	75	4[illegible]	33	NW 2	NW 1	NW 0	0	0	0	.	⊠
5	-12.3	-13.2	-13.6	-13.0	-5.5	582.8	582.6	581.9	50	96	99	NW 1	NW 2	NW 2	3	9	10✶≡	1.8	✶ ≡ p-n ⊠
6	-13.0	-11.2	-13.1	-12.4	-4.9	580.4	580.6	580.6	95	78	81	NW 0	NW 1	NW 1	10✶≡	9	10	1.8	✶ n-a, n (6./7.), ≡ n-a ⊠
7	-14.2	-10.2	-16.4	-13.6	-6.1	579.9	580.1	580.7	94	80	90	NW 0	NW 0	NW 3	10	10	10≡	0.9	✶ a, ≡ p-n, ↙ 16¾-n ⊠
8	-18.6	-18.0	-18.8	-18.5	-11.0	580.4	582.1	583.2	88	80	90	NW 4	NW 3	NW 1	10≡	6	3	0.3	≡ n-n mU, ⊹↙ n-p, ↙ I ⊠
9	-15.8	-13.2	-10.2	-13.1	-5.7	582.0	582.2	582.1	92	98	96	SE 2	SE 0	SE 0	10≡	10✶≡	10✶≡	**6.8**	✶ a-n, ≡ n-n, ∨ I ⊠
10	-10.7	-11.6	-11.8	-11.4	-4.0	579.4	576.2	572.6	90	99	100	SE 2	SE 2	SE 2	10	10✶≡	10✶≡	3.1	✶ ≡ a-n mU ⊠
11	-12.2	-5.8	-11.0	-9.7	-2.3	**570.3**	570.9	572.4	98	72	59	NW 0	NW 0	N 0	0	9	6	.	⊠
12	-10.3	-8.0	-11.8	-10.0	-2.6	573.5	575.8	578.2	72	61	97	SE 0	NW 1	NW 1	10	9	9	0.0	✶fl 8¾-9¼ ⊠
13	-14.0	-9.1	-13.8	-12.3	-4.9	581.1	582.8	583.6	86	59	68	NW 1	SE 0	NW 0	3	6	0	.	⊠
14	-11.9	-8.3	-13.4	-11.2	-3.9	583.5	583.6	584.2	90	96	90	NW 0	SE 1	SE 0	10	10✶≡	3	2.1	✶ 9¼-13½, ≡ a-p ⊠
15	-11.8	-11.0	-15.0	-12.6	-5.3	582.8	580.9	579.9	55	48	97	NW 2	NW 3	NW 3	0	10	10≡	.	≡ p-n, ⊹ ↙ a-n, ∨ III ⊠
16	-12.2	-12.4	-12.4	-12.3	-5.0	580.5	582.1	584.6	99	90	93	NW 2	NW 3	NW 2	6	0	3	.	⊹ 14¼-n, ↙ II ⊠
17	-8.0	-5.2	-9.4	-7.5	-0.3	586.0	588.0	589.0	3	**0**	21	NW 2	NW 2	NW 2	0	0	0	.	⊠
18	-7.6	-5.8	-5.0	-6.1	1.1	589.9	590.3	590.4	30	75	98	NW 1	NW 3	NW 2	3	6	3	.	↙ II ⊠
19	-6.0	1.2	-5.3	-3.4	3.7	590.2	590.6	591.3	80	47	72	NW 1	SE 0	NW 0	0	0	0	.	⊠
20	-7.3	-2.8	-5.3	-5.1	1.9	592.1	592.8	594.6	89	71	100	NW 1	NW 1	NW 1	0	0	10≡	.	≡ 19¼-n ⊠
21	-6.2	-2.6	-4.8	-4.5	2.5	595.6	596.9	597.6	78	46	48	NW 2	NW 2	NW 3	0	0	0	.	↙ 17¾-n ⊠
22	-4.0	1.3	2.0	-0.2	6.7	597.0	598.1	597.9	15	**0**	15	NW 2	NW 2	NW 0	0	0	0	.	⊠
23	2.4	**5.9**	0.2	2.8	9.7	596.3	596.1	595.1	15	13	20	NW 0	NW 0	NW 1	0	0	0	.	⊠
24	0.0	3.9	0.2	1.4	8.2	594.1	594.6	595.2	23	13	15	NW 2	NW 2	NW 1	0	0	0	.	⊠
25	-2.0	4.0	-2.3	-0.1	6.6	596.1	597.4	596.6	26	35	25	SE 0	SE 0	NW 0	0	0	0	.	⊠
26	-5.2	2.2	-1.0	-1.3	5.4	599.2	**600.5**	600.2	56	60	17	SE 0	SE 0	NW 0	0	0	0	.	⊠
27	-0.8	4.3	0.2	1.2	7.8	599.7	599.5	599.1	16	10	23	NW	NW 1	NW 1	0	0	0	.	⊠
28	-4.2	2.3	-0.6	-0.8	5.8	597.6	597.9	597.8	24	17	14	NW 2	NW 2	NW 1	0	0	0	.	⊠
Mittel	-9.2	-5.8	-8.6	-7.9	—	586.7	587.3	587.5	65	58	66				4.1	4.5	4.2	Summe 24.2	

$\lambda = 7°\,26'$, $\beta = 46°\,57'$,
$H_b = 572.2$ m, $G = 0.00$ mm.

Bern

März 1953
Beobachter: *Observatorium*

Tag	Lufttemperatur					Luftdruck			Relative Feuchtigkeit			Windrichtung und Stärke						Bewölkung			Niederschlag	Witterung
	7^{30}	13^{30}	21^{30}	Mittel	Abweich. vom Normalst	7^{30}	13^{30}	21^{30}	7^{30}	13^{30}	21^{30}	7^{30}		13^{30}		21^{30}		7^{30}	13^{30}	21^{30}		
1	−0.6	4.8	2.9	2.4	0.7	720.2	719.8	721.2	81	52	62	NE	2	ENE	3	NE	1	1	5	0	.	⌊ ∾ l, 🌧 II
2	−2.7	5.3	1.5	1.4	−0.4	723.2	723.1	724.1	98	57	71	S	0	NE	1	N	1	0	0	0	.	⌊⌊ l
3	−2.5	6.4	2.2	2.0	0.1	724.4	724.0	724.0	96	56	77	S	1	N	1	SE	1	0	0	0	.	⌊⌊ l
4	−1.7	9.3	4.0	3.9	1.8	723.7	722.8	722.9	88	37	59	SW	1	NNE	1	SSE	1	1	2	0	.	⌊⌊ l
5	1.2	9.8	4.7	5.2	3.0	722 0	721.1	721.8	72	47	80	SE	1	ENE	3	ENE	3	9	0	1	.	🌧 a-n
6	2.2	6.3	3.6	4.0	1.7	724.2	724.3	722.7	89	68	82	S	1	SSW	1	E	1	10	0	0	.	
7	−0.6	10.8	4.4	4.9	2.5	720.4	717.1	717.3	97	50	60	S	1	WSW	1	NE	3	1	9	10	0.0	✳ 20¾–21, ⌙ l, 🌧 p-n
8	0.5	2.3	0.0	0.9	−1.6	718.9	719.2	719.7	67	53	52	ENE	2	ENE	3	ENE	3	5	7	0	0.0	✳ 3½–3¾, 9, 🌧 a-n
9	−2.6	2.8	0.0	0.1	−2.6	720.0	720.0	721.7	66	45	56	NE	3	ENE	3	NE	1	1	0	0	.	⌊⌊ l, 🌧 n-p
10	−2.4	5.8	4.1	2.5	−0.3	723.5	723.8	723.9	75	46	46	SE	1	NNE	3	ESE	1	0	1	0	.	⌊⌊ l, 🌧 a-p
11	0.4	2.1	0.0	0.8	−2.1	720.5	718.0	717.4	68	63	98	SW	1	N	2	W	1	9	10*	10*	0.4	✳ 13-22 mU
12	−2 4	3.6	1.3	0.8	−2.2	717.5	718.5	719.4	93	63	77	SE	1	ENE	2	NE	2	10	5	10	0.0	✳ 11–11½ ☒
13	0.3	4.1	1.6	2.0	−1.2	720.2	720.7	721.4	72	46	50	ENE	3	ESE	4	ENE	1	9	9	0	.	⌊⌊ l, 🌧 n-p, 🌧 II
14	0.4	3.3	0.4	1.4	−1.9	718.1	717.9	719.3	93	52	67	ENE	1	ENE	4	ENE	1	9*	2	0	0.0	✳fl 7–8¾, 🌧 II
15	−3.8	5.0	1.4	0.9	−2.5	717.3	715.9	714.7	96	49	67	NNE	1	ENE	1	SSW	1	1	7	0	.	⌊⌊ l
16	−1.8	9.0	4.6	3.9	0.3	715.5	715.1	715.4	86	32	52	SSE	1	ENE	1	S	1	5	3	0	.	⌊⌊ l
17	0.0	10.7	5.8	5.5	1.8	715.6	714.7	714.7	81	39	60	S	0	ENE	1	SE	1	6	7	0	.	⌊⌊ l
18	0.4	12.2	6.2	6.3	2.5	716.8	715.3	715.4	83	40	56	S	1	NW	1	SSE	1	0	1	0	.	⌊⌊ l
19	0.9	12.1	6.8	6.6	2.6	717.1	717.0	718.2	82	42	63	S	1	NE	1	ESE	1	0	1	0	.	⌊⌊ l
20	1.1	13.0	6.8	7.0	2.9	720.2	719.8	719.8	90	37	60	SE	1	NE	2	SSE	1	0	1	0	.	⌊⌊ l
21	1.2	13.2	7.9	7.4	3.2	719.5	718.4	718.5	88	44	59	SSE	1	NE	2	SE	1	0	0	0	.	⌊⌊ l
22	1.5	14.2	8.0	7.9	3.5	719.6	719.3	720.7	86	40	55	S	1	NNW	1	SSE	1	0	1	0	.	⌊⌊ l
23	2.6	13.8	8.4	8.3	3.8	722.6	722.6	722.8	87	40	58	S	1	SE	1	SSE	1	0	1	0	.	⌊⌊ l
24	2.4	14.0	8.9	8.4	3.8	723.8	723.0	723.6	88	45	42	S	1	NE	2	NE	1	0	0	0	.	⌊⌊ l
25	2.4	13.8	8.9	8.4	3.6	724.6	723.3	722.3	88	46	63	S	1	N	1	SE	1	1	0	0	.	⌊⌊ l
26	2.8	14.3	10.7	9.3	4.4	721.2	718.5	716.1	91	42	52	S	1	SSW	1	SSW	1	0	1	8	0.0	● 19¾–20½, ⌙ l
27	5.2	13.0	7.6	8.6	3.6	714.4	713.1	713.9	82	49	93	SSW	1	NW	2	SE	1	7	5	10	1.3	● 15, 16–16¼, 18¾–20
28	5.8	11.4	7.5	8.2	3.0	715.3	716.0	718.0	95	54	61	SSE	1	W	2	SW	1	9	3	0	.	
29	2.7	15.2	11.2	9.7	4.4	718.7	718.0	717.3	93	40	44	S	1	W	2	SE	1	7	2	6	.	⌙ l
30	4.9	18.0	13.8	12.2	6.8	716.7	713.6	711.3	81	35	49	S	1	WSW	3	WSW	2	8	8	9	0.8	🌧 II
31	9.5	11.4	7.9	9.6	4.0	712.4	712.7	713.9	88	68	98	W	3	WSW	3	S	1	10●	10	9	2.0	● 6½–20½ mU, 🌧 n-p
																					Summe	
Mittel	0.9	9.4	5.3	5.2	—	719.6	718.9	719.1	85	48	64							3.8	3.3	2.4	4.5	

$\lambda = 6°\,57'$, $\beta = 47°\,0'$,
$H_b = 487.3$ m, $G = 0.02$ mm.

Neuchâtel

März 1953
Beobachter: *Meteorol. Observatorium*

1	2.2	7.0	4.6	4.6	2.2	727.5	727.3	728.9	67	45	58	NE	3	NE	4	NE	3	1	2	0	.	🌧 n-n, 🌧 II
2	−1.4	6.7	1.2	2.2	−0.3	731.1	731.2	732.0	88	62	82	NE	0	SE	1	NE	0	0	0	0	.	⌊⌊ l
3	−2.4	7.0	5.1	3.2	0.5	732.3	732.1	731.8	92	61	41	NE	0	E	1	NE	1	0	0	0	.	⌊⌊ l
4	−1.3	9.6	4.2	4.2	1.4	731.7	730.8	730.5	86	52	63	N	0	S	0	SW	0	0	1	0	.	
5	0.5	11.5	5.1	5.7	2.8	729.7	729.1	729.7	86	43	81	SW	0	NE	3	NE	3	5	0	2	.	🌧 a-n
6	3.4	7.6	3.5	4.8	1.7	732.2	732.2	730.5	83	65	82	NE	0	SE	0	N	0	10	1	0	.	
7	−0.6	9.6	5.1	4.7	1.5	728.3	724.9	724.5	98	64	61	NE	0	SW	1	N	3	10≡	10	9	.	≡ n-11, ⌙ l, 🌧 III
8	0.2	5.2	0.6	2.0	−1.3	726.4	726.8	727.6	70	41	55	NE	2	E	3	NE	3	2	7	0	.	🌧 a-n
9	−1.4	5.8	1.9	2.1	−1.4	727.7	727.5	729.4	61	40	55	NE	3	NE	3	NE	2	0	0	0	.	🌧 n-p
10	0.3	8.3	3.2	3.9	0.3	731.4	731.7	731.9	80	53	54	NE	2	E	3	NE	1	0	0	0	.	🌧 a-p
11	1.0	2.0	0.6	1.2	−2.5	728.5	726.0	725.1	76	65	93	N	0	NW	3	SW	0	8	10*	10*	2.7	✳ 13¾–13¾, 17¼–18¾,
12	−0.8	3.7	2.1	1.7	−2.2	725.5	726.5	727.4	94	75	81	NE	0	NE	1	NE	2	10	8	8	.	[21½–24, 🌧 II ☒
13	0.7	6.1	2.5	3.1	−0.9	728.0	728.4	729.1	79	40	47	NE	3	E	4	NE	2	9	8	0	0.1	△ n (13./14.), 🌧 n-p, 🌧 II
14	1.1	6.0	2.3	3.1	−1.0	725.9	725.5	727.2	91	40	58	NE	2	NE	4	NE	3	10	2	0	.	🌧 n-n, 🌧 II
15	−3.0	5.8	1.4	1.4	−2.9	725.3	723.9	722.6	90	54	72	N	0	SE	1	S	0	0	8	0	.	
16	−1.4	11.2	5.4	5.1	0.7	723.4	723.0	722.9	84	34	58	SE	0	SE	0	N	0	2	4	0	.	
17	0.7	12.2	5.6	6.2	1.7	723.3	722.5	722.3	79	36	56	N	0	SE	1	S	0	6	2	0	.	
18	0.4	11.2	6.7	6.1	1.4	723.6	723.1	722.7	88	48	58	SE	0	SE	1	SE	0	0	0	0	.	
19	0.9	12.5	6.6	6.7	1.9	724.8	724.9	725.7	87	42	58	SE	0	SE	0	S	0	0	1	0	.	
20	1.5	13.1	7.4	7.3	2.4	728.1	727.8	727.2	91	35	62	E	0	SE	0	S	0	0	1	0	.	
21	1.8	14.5	8.8	8.4	3.3	727.2	726.3	726.0	87	42	55	SE	0	SE	1	NE	0	0	0	0	.	
22	1.9	14.3	8.8	8.3	3.1	727.6	727.1	728.1	89	36	60	NW	0	SE	0	SE	0	0	0	0	.	
23	2.8	14.8	8.6	8.7	3.4	730.5	730 6	730.3	86	36	61	E	0	SE	1	SE	0	0	1	0	.	
24	3.3	15.5	10.4	9.7	4.2	731.8	730.9	731.1	87	41	43	E	0	SE	1	NE	0	0	0	0	.	
25	2.9	15.3	9.0	9.1	3.5	732 5	731.2	729.8	86	39	57	NE	0	SE	0	NE	0	0	0	0	.	
26	3 3	16.0	11.4	10.2	4.5	729.1	726.2	724.0	82	37	43	NE	0	SW	1	SW	2	0	1	2	0.0	▽ 17–17¼
27	7.5	14.9	10.0	10.8	4.9	722.1	720.8	721.3	66	44	57	SW	1	SW	1	NW	2	9	8	9	.	
28	7.1	14.0	10.6	10.6	4.6	722.9	723.9	725 4	76	41	45	SW	1	W	2	W	2	8	2	0	.	
29	3.8	16.8	10.8	10.5	4.4	726.4	725.8	724.8	83	34	53	SW	0	SW	2	W	0	3	1	3	.	
30	9.1	17.4	14.1	13.5	7.2	724.3	721.3	718.7	66	34	42	SW	1	SW	2	SW	3	6	5	5	0.1	▽ 23¾, 🌧 p-n
31	11.2	11.1	8.7	10.3	3.9	719.8	720.5	721.3	62	64	67	SW	2	W	3	SW	2	10	10	6	.	🌧 n-n mU
																					Summe	
Mittel	1.8	10.5	6.0	6.1	—	727.1	726.5	726.3	82	47	60							3.5	3 0	1.7	2.9	

März 1953
Beobachter: *Frl. H. Nager*

Altdorf

$\lambda = 8° 39'$, $\beta = 46° 53'$,
$H_b = 456.3$ m, $G = -0.05$ mm.

Tag	Lufttemperatur 7³⁰	13³⁰	21³⁰	Mittel	Abweich. vom Normalst	Luftdruck 7³⁰	13³⁰	21³⁰	Relative Feuchtigkeit 7³⁰	13³⁰	21³⁰	Windrichtung und Stärke 7³⁰	13³⁰	21³⁰	Bewölkung 7³⁰	13³⁰	21³⁰	Niederschlag	Witterung
1	-2.9	2.9	0.4	0.1	-3.0	732.2	731.7	732.3	94	74	85	E 0	E 0	W 0	10	7	0	.	✳
2	-2.8	3.7	-0.2	0.2	-3.1	734.2	733.8	734.9	80	70	84	W 0	NW 0	SW 0	7	4	2	.	✳
3	-2.8	5.2	0.7	1.0	-2.4	735.1	734.6	**735.4**	81	60	74	SE 0	NW 0	NW 0	2	0	2	.	✳
4	-1.7	6.7	1.7	2.2	-1.3	734.4	733.1	734.1	79	52	70	NW 0	NW 0	NW 0	1	0	0	.	✳
5	2.2	7.8	1.8	3.9	0.3	732.4	732.4	733.4	80	52	72	W 0	N 0	SE 0	10	3	3	.	✳
6	2.9	7.3	2.1	4.1	0.3	734.9	734.5	733.7	83	63	85	S 0	NW 0	NW 0	10	3	0	.	✳
7	-0.3	9.5	3.3	4.2	0.3	731.0	725.9	727.6	90	50	85	N 0	N 0	NW 2	3	8	10●	4.4	● 19½-n
8	3.1	8.9	-0.5	3.8	-0.2	728.9	729.8	731.4	68	53	65	NW 2	N 1	E 1	10	7	0	.	
9	-2.8	3.1	-0.4	0.0	-4.1	731.4	731.1	733.5	72	49	72	SE 0	NW 1	E 0	3	0	0	.	
10	-2.2	5.2	2.2	1.7	-2.6	735.2	734.8	**735.4**	79	55	63	E 0	NW 1	E 0	2	4	0	.	
11	0.9	6.5	1.0	2.8	-1.6	731.1	726.1	728.0	70	41	97	S 0	NW 1	NW 0	10	10	10	0.2	ⁿ▽ 16¾
12	-1.7	3.4	1.9	1.2	-3.3	728.5	729.0	730.7	85	69	76	SW 0	NW 1	NW 0	7	8	10	.	✳
13	-1.5	6.3	2.5	2.4	-2.2	731.7	731.5	732.4	78	52	67	S 0	NW 1	E 0	2	7	10	.	
14	1.1	7.1	2.4	3.5	-1.3	729.7	728.2	730.3	78	52	67	NE 0	NW 1	SE 0	10	2	0	.	
15	4.9	8.5	7.8	7.1	2.2	727.1	725.2	725.3	**40**	45	55	W 1	NE 1	SE 1	3	4	0	.	
16	4.9	8.9	5.2	6.3	1.3	725.7	725.1	725.9	66	47	60	NW 1	NW 0	E 0	8	7	5	.	
17	1.4	10.1	4.8	5.4	0.3	725.7	724.9	725.3	84	50	70	SE 0	W 1	E 0	6	3	0	.	
18	3.1	13.3	9.5	8.6	3.4	726.1	725.1	726.0	83	44	41	W 0	NW 1	SE 0	4	0	0	.	
19	2.7	12.4	6.3	7.1	1.7	727.6	727.0	729.0	62	44	56	W 0	NW 0	NW 0	0	0	0	.	
20	1.9	12.4	6.5	6.9	1.4	730.6	730.0	730.6	69	47	56	SE 0	NW 0	E 0	2	0	0	.	
21	1.7	11.9	8.3	7.3	1.7	729.9	728.7	729.7	78	47	55	E 0	W 0	SE 0	0	0	0	.	
22	2.1	12.5	7.8	7.5	1.8	730.3	729.5	729.7	79	46	58	E 0	NW 0	SE 0	0	0	0	.	
23	3.2	13.7	4.3	7.1	1.2	733.3	732.6	733.7	80	48	79	E 0	NW 0	NE 0	0	0	0	.	
24	4.3	13.4	8.0	8.6	2.6	734.6	733.4	734.6	79	52	60	E 0	N 0	SE 0	0	1	1	.	
25	3.7	13.4	8.4	8.5	2.4	735.2	733.3	733.1	87	51	62	E 0	NW 1	SE 0	0	0	0	.	
26	4.1	14.7	10.0	9.6	3.4	731.9	728.0	726.7	84	52	57	SE 0	NW 0	SE 0	0	0	6	2.2	● n (26./27.)
27	8.4	13.3	8.0	9.9	3.5	724.9	722.8	724.5	80	50	90	SE 1	N 2	SW 0	8	10	10	2.1	● 14¾-15½
28	7.2	13.3	8.3	9.6	3.1	725.8	726.1	728.8	97	50	69	SW 0	NW 1	S 0	10	5	4	.	
29	4.1	14.5	9.3	9.3	2.7	729.1	727.7	728.0	85	51	65	SE 0	SE 0	SE 0	4	3	5	.	
30	6.7	14.7	**15.2**	12.2	5.5	726.8	723.3	**721.4**	75	50	**40**	SE 0	NW 1	SE 0	7	4	10	0.5	● n (30./31.)
31	10.9	12.7	9.0	10.9	4.0	722.1	722.8	724.4	89	83	97	E 0	E 0	NW 0	10●	10	10	**4.9**	● n-u mU
																		Summe	
Mittel	2.2	9.6	5.0	5.6	–	730.2	729.1	730.0	79	53	69				4.8	3.5	3.2	14.3	

März 1953
Beobachter: *Observatorium*

Genève

$\lambda = 6° 9'$, $\beta = 46° 12'$,
$H_b = 405.0$ m, $G = -0.03$ mm.

1	-1.0	7.0	3.4	3.1	-0.2	734.6	734.5	736.2	90	66	73	NNE 1	NNE 1	NNE 1	2	0	0	.	
2	-1.5	6.0	3.0	2.5	-0.9	739.0	738.2	739.3	90	67	89	NNE 1	NNE 1	NNE 0	0	0	0	.	
3	-2.0	7.4	2.7	2.7	-0.8	**739.8**	738.4	739.0	96	61	82	NNE 0	NNE 1	NNE 1	0	0	0	.	
4	-1.6	9.1	5.6	4.4	0.7	738.6	737.6	737.2	96	49	84	NNE 0	NNE 1	E 0	0	3	6	.	
5	0.3	11.2	7.0	6.2	2.4	736.1	733.6	736.9	92	57	85	E 0	NNE 3	E 0	1	0	0	.	⸗ a-p
6	5.0	7.4	5.8	6.1	2.2	739.4	739.0	737.7	84	76	91	NNE 1	NNE 1	E 0	0	0	0	.	
7	0.4	11.0	8.0	6.5	2.5	735.6	731.7	730.2	96	73	66	NNE 1	NNE 1	NNE 4	9	0	0	.	⸗ p-n
8	2.6	5.2	2.4	3.4	-0.7	731.5	730.4	731.8	65	35	52	NNE 5	NNE 5	NNE 5	0	0	0	.	⸗ n-n
9	0.2	4.6	3.2	2.7	-1.6	734.0	733.9	735.8	60	43	59	NNE 2	NNE 2	NNE 1	0	0	0	.	
10	1.0	8.0	5.6	4.9	0.5	738.8	737.9	738.0	85	72	63	NNE 1	NNE 1	NNE 1	1	0	2	.	
11	1.0	7.4	0.6	3.0	-1.5	736.1	732.5	732.4	72	51	96	NW 0	NNW 1	NE 0	10	10	10●	0.1	▽ 21½
12	1.0	5.7	4.8	3.8	-0.8	733.2	732.8	733.3	94	65	66	NE 1	NNE 1	NNE 1	9	9	5	.	
13	2.8	6.8	4.3	4.6	-0.1	735.2	734.9	734.5	68	62	53	NNE 2	NNE 2	NNE 1	10	1	2	.	
14	2.8	6.0	4.4	4.4	-0.5	732.4	732.1	733.7	86	62	80	NNE 1	NNE 2	NNE 1	5	0	6	.	
15	-1.7	5.2	1.8	1.8	-3.2	732.2	730.5	729.9	86	69	71	NNE 0	NNE 1	NNE 0	2	5	1	.	
16	-1.0	9.5	4.7	4.4	-0.7	730.6	729.9	730.5	70	57	71	NNE 0	NNE 0	NNE 0	3	4	4	.	
17	2.2	10.8	6.6	6.5	1.3	730.5	729.3	729.6	72	70	65	NNE 0	NNE 1	NNE 0	4	4	2	.	
18	1.3	10.2	8.4	6.6	1.3	730.9	729.8	730.6	89	65	67	NNE 1	NNE 1	NNE 0	1	2	1	.	
19	3.4	10.6	6.6	6.9	1.4	732.4	731.5	732.9	73	69	74	NNE 0	NNE 1	NNE 0	0	1	0	.	
20	2.0	12.2	9.2	7.8	2.2	735.4	734.2	734.1	93	41	61	E 0	NNE 1	NNE 0	1	1	9	.	
21	2.8	13.0	9.8	8.5	2.8	734.6	733.1	733.3	86	51	64	NNE 0	NNE 1	NNE 0	0	0	0	.	
22	2.0	12.0	9.7	7.9	2.1	735.2	734.0	735.6	89	48	80	E 0	NE 1	E 0	0	0	0	.	
23	2.8	11.8	10.2	8.3	2.4	738.4	737.3	737.6	86	54	72	E 0	NE 1	E 0	0	0	0	.	
24	3.3	15.0	11.2	9.8	3.7	739.1	737.6	738.6	88	50	50	NE 0	NNE 0	E 0	0	0	0	.	
25	3.5	13.0	9.6	8.7	2.5	739.6	737.9	737.0	82	43	66	E 0	NNE 1	ENE 0	0	1	1	.	
26	5.4	17.0	10.0	10.8	4.5	736.2	732.6	731.5	81	34	60	E 0	NE 1	SSW 0	1	2	7	.	
27	8.1	14.8	9.2	10.7	4.3	729.6	727.8	728.9	66	41	76	S 1	WSW 2	NE 0	3	8	9	0.1	▽ 14½
28	6.5	15.0	10.0	10.5	4.0	729.8	731.1	732.8	85	39	62	E 0	WSW 0	SW 0	6	1	1	.	
29	4.2	18.0	14.8	12.3	5.6	734.4	733.2	732.6	80	**28**	53	S 1	S 1	S 1	1	0	5	.	
30	8.5	**20.0**	13.6	14.0	7.2	731.6	728.4	**727.3**	70	34	57	S 1	SW 2	SSW 1	1	2	5	0.2	▽n (30./31.)
31	12.4	15.6	10.6	12.9	6.0	728.8	728.0	728.8	64	61	84	S 1	S 1	SSE 1	10	10	9	**4.0**	● 15-n mU
																		Summe	
Mittel	2.5	10.5	7.0	6.7	—	734.6	733.4	733.8	82	55	70				2.6	2.1	2.7	4.4	

$\lambda = 8°\ 34'$, $\beta = 47°\ 23'$,
$H_b = 569.4$ m, $G = 0.03$ mm

Zürich

März 1953
Beobachter: *Meteorol. Zentralanstalt*

Tag	Lufttemperatur 7³⁰	13³⁰	21³⁰	Mittel	Abweich. vom Normalst	Luftdruck 7³⁰	13³⁰	21³⁰	Relative Feuchtigkeit 7³⁰	13³⁰	21³⁰	Windrichtung und Stärke 7³⁰	13³⁰	21³⁰	Bewölkung 7³⁰	13³⁰	21³⁰	Niederschlag	Witterung
1	−1.0	7.9	2.1	3.0	1.5	722.1	721.0	721.8	80	43	68	SE 1	NE 2	ENE 1	4	2	0	0.0	⌊ |
2	−2.2	4.7	0.0	0.8	−0.8	723.2	723.8	724.5	93	60	82	NE 1	NNE 1	NE 0	7	0	0	0.0	⌊⌊ |
3	−2.6	8.5	2.8	2.9	1.2	724.5	724.4	724.4	94	55	70	ENE 0	SSW 1	SSW 0	0	0	0	.	⌊⌊ |
4	−1.2	10.7	4.4	4.6	2.8	723.8	722.9	723.0	67	34	56	SE 1	SW 1	SSE 0	1	2	1	.	⌊⌊ |
5	3.2	9.2	3.9	5.4	3.5	722.4	722.7	723.1	57	57	85	ENE 1	NE 2	NE 1	9	1	9	.	
6	1.3	7.3	2.3	3.6	1.6	724.3	724.7	723.1	91	65	90	SE 0	WNW 1	NE 1	10	1	0	0.0	
7	−0.6	10.5	3.4	4.4	2.2	719.6	716.7	717.8	99	50	60	SSE 1	WSW 2	NNE 2	3≡	9	10*	0.0	✳fl 21½, ≡ n-9½
8	−0.9	0.5	−1.4	−0.6	−2.9	719.7	720.9	721.1	70	66	62	NNE 1	ENE 1	ENE 2	9	9	0	0.0	✳
9	**-4.4**	4.5	−0.9	−0.3	−2.7	721.3	721.3	722.7	84	36	57	ENE 1	E 2	E 1	1	0	0	.	
10	−3.0	7.9	2.7	2.5	0.0	724.3	**725.0**	724.6	84	43	48	NE 1	NNE 1	NE 1	0	2	0	.	⌊ |
11	−0.6	1.4	−0.5	0.1	−2.6	719.9	717.0	717.2	71	65	97	SW 1	WNW 2	S 1	10	10*	10*	2.4	✳ 13½–24
12	−0.4	2.3	1.1	1.0	−1.8	717.8	718.9	720.6	96	86	82	S 0	NNE 1	NE 1	10*	7	10	0.6	✳ 7½–9, ▽ 16–18 mU ✳
13	−0.4	5.4	1.0	2.0	−0.9	721.7	722.1	722.1	79	41	53	E 1	NE 2	NNE 1	5	5	9	0.5	
14	0.0	4.3	−0.5	1.3	−1.7	719.3	719.4	720.4	87	49	72	ENE 1	ENE 2	NE 1	9*	1	0	0.0	✳ 3–9, ⸙ 10¾–18 mU ✳
15	−3.7	7.5	4.5	2.8	−0.4	717.7	715.9	714.9	87	43	53	ENE 2	NNE 2	SSW 1	1	1	10	.	
16	0.2	10.9	4.6	5.2	1.9	715.6	715.4	715.3	76	39	57	S 1	WNW 1	SSE 0	6	2	0	.	
17	0.2	12.2	5.1	5.8	2.4	715.5	714.8	714.8	77	39	55	NNE 0	SSW 1	S 1	8	3	0	.	
18	2.6	14.3	7.1	8.0	4.4	715.5	715.4	715.2	71	37	55	SW 0	NNW 1	S 0	0	0	0	.	
19	3.5	14.3	6.5	8.1	4.4	717.1	717.2	718.3	59	33	56	SSE 0	SSW 1	SSE 1	0	0	0	.	
20	3.2	15.1	7.6	8.6	4.8	720.2	719.9	719.8	65	33	50	ESE 0	**ENE** 1	SSE 0	0	1	0	.	
21	3.0	16.0	8.6	9.2	5.2	719.6	718.7	718.6	69	37	52	SE 0	ENE 1	**E** 0	0	0	1	.	
22	3.2	15.4	8.7	9.1	5.0	719.9	721.8	720.7	76	40	50	**E** 0	S 0	N 0	0	0	0	.	
23	4.3	16.3	8.4	9.7	5.5	722.5	722.8	722.9	72	39	50	NE 0	SW 1	SE 1	0	1	0	.	
24	3.9	17.0	9.9	10.3	5.9	723.8	723.6	723.9	71	**30**	35	SE 1	NNE 2	NE 1	0	1	1	.	
25	4.3	16.8	9.6	10.2	5.7	724.7	723.6	722.3	61	34	45	W 1	ENE 1	ENE 1	0	0	0	.	
26	5.6	15.9	10.2	10.6	6.0	721.1	718.3	715.9	73	41	50	E 0	SW 1	**SSE** 1	0	0	2	.	
27	8.1	13.8	6.5	9.5	4.7	714.1	712.9	713.9	63	48	94	SSW 1	SW 1	SW 1	2	2	10	1.0	● 20¼–21
28	6.3	11.4	6.8	8.2	3.3	715.2	716.1	717.7	94	57	65	**S** 1	WSW 2	S 1	10	3	0	.	
29	6.0	16.1	11.2	11.1	6.0	718.5	718.0	717.1	74	39	52	S 1	SSW 2	SSW 1	6	2	2	.	
30	10.2	**19 6**	15.0	14.9	9.7	716.3	713.5	**710 5**	52	37	40	S 1	SSW 2	SSW 2	9	4	9	0.0	
31	11.3	6.0	6.3	7.9	2.5	711.5	713.1	713.9	61	92	99	SW 2	WNW 1	SE 1	10●	10●	10	**3 2** Summe	●tr 7½, 13¼–18¾ mU, ⸙ n (31./1.)
Mittel	1.9	10.4	5.1	5.8	—	719.8	719.4	719.4	76	47	63				4.2	2.5	3.0	7.7	

$\lambda = 6°\ 32'$, $\beta = 46°\ 51'$
$H_b = 1589$ m, $G = -0{,}13$ mm

Chasseron

März 1953
Beobachter: *Ch. H. Martin*

1	−3.0	−3.0	−4.2	−3.4	—	633.5	633.4	634.8	50	75	100	E 5	E 5	E 4	3	3	0	.	⸙ n-n ✳
2	−1.2	1.4	−1.0	−0.3	—	636.7	637.8	638.3	67	63	80	W 1	NW 1	ESE 1	0	1	0	.	✳
3	0.4	3.2	2.4	2.0	—	638.1	639.0	639.0	45	34	**27**	E 1	E 2	E 2	1	1	3	.	✳
4	0.4	4.2	1.4	2.0	—	638.4	638.6	638.5	38	36	61	E 6	NNE 1	N 2	3	4	4	.	⸙ n-a ✳
5	1.6	3.6	−1.4	1.3	—	637.0	636.9	635.8	51	80	100	ENE 2	E 2	E 4	6	2	10≡	.	≡ ⋁ 19-n, ⸙ p-n ✳
6	2.2	5.2	3.6	3.7	—	637.7	639 3	638.7	60	60	60	WSW 2	WNW 2	SSE 1	1	0	1	.	✳
7	0.6	1.3	−2.8	−0.3	—	635.7	633.6	631.9	90	95	100	NW 2	NW 3	NW 4	3	6	10	0.1	✳ n (7./8.), ⸙ a-n ✳
8	−8.7	−6.8	−9.3	−8.3	—	631.1	931.3	631.5	100	85	80	E 3	ENE 3	ENE 4	6	4	3	0.0	✳ 9¾-11, 14-15 mU, ⸙ n-n ✳
9	**-11.3**	−4.2	−5.8	−7.1	—	630.9	632.9	634 2	85	41	62	E 5	E 3	E 3	4	0	0	.	⸙ n-n. ⸙ l ✳
10	−1.7	1.2	−1.2	−0.6	—	636.1	637.9	638.0	46	30	33	E 3	E 2	E 2	0	1	3	.	⸙ l ✳
11	−3 6	−6.2	−6.1	−5.3	—	635.1	631.1	630.8	45	100	100	NW 2	NW 3	N 3	9	10*≡	9	2 2	✳ 13–17, 17-n mU, *) ✳
12	−8.0	−5.6	−6.2	−6.6	—	630.1	632.0	632.7	100	100	100	ENE 3	ENE 2	ENE 2	4	7	9	0.1	✳ 15-n mU, ≡ 8-11, *) ✳
13	−8.2	−5.8	−5.2	−6.4	—	631.5	633.8	633.9	100	100	63	E 5	ENE 3	ENE 3	10≡	8	0	0.1	✳ n-7 mU, ≡ 4½-9, *) ✳
14	−5.8	−5.6	−6.2	−5.9	—	631.2	631.3	632.8	100	100	95	ENE 3	E 3	E 2	10*≡	6	0	0.1	✳ n-11 mU, ≡ n-12, *) ✳
15	−6.2	−1.4	−2.7	−3.4	—	630.5	630.6	630.2	66	40	45	SE 3	SSE 3	ESE 1	2	8	3	.	⸙ n-p ✳
16	−1.2	2.6	0.8	0.7	—	630.5	631.3	631.3	35	43	50	N 1	SSE 1	E 2	6	6	4	.	✳
17	1.2	5.7	3.2	3.4	—	631.2	631.5	631.5	45	42	47	ESE 1	SSE 1	ENE 1	8	5	4	.	✳
18	0.3	5.8	3.2	3.1	—	631.5	632.3	632.1	65	64	65	WNW 1	W 1	ENE 1	2	3	3	.	✳
19	0.2	4 8	3.1	2.7	—	632.6	633.8	634.4	85	83	56	ENE 2	E 1	E 1	2	4	0	.	✳
20	2.2	5.1	3.9	3.7	—	636.0	636.4	636.2	63	64	59	E 1	E 1	E 2	1	4	9	.	✳
21	3.0	5.0	4.0	4.0	—	635.3	635.5	635.5	60	55	57	E 1	ESE 1	E 2	1	0	0	.	✳
22	3.4	7.4	4.0	4.9	—	635.6	636.4	637.2	64	56	65	W 1	NNW 1	ENE 1	1	1	0	.	✳
23	4.2	6.8	4.8	5.3	—	638.4	639.4	639.5	65	60	61	WNW 1	WNW 1	N 1	1	1	0	.	✳
24	3.4	5.4	4.2	4.3	—	639.3	639.8	639.7	65	60	42	E 1	ENE 1	E 2	2	1	1	.	✳
25	3.8	7.2	5.0	5.3	—	639.8	**640.0**	639.1	60	60	56	N 1	ENE 1	E 1	1	2	0	.	✳
26	2.2	7 0	3.2	4.1	—	637.2	635.9	634.0	84	66	81	WNW 1	NW 1	NW 2	1	2	4	0.0	△ 16% ✳
27	−0.4	2.6	0.2	0.8	—	630.6	630.2	630.2	100	90	100	WNW 3	NW 3	NW 2	10≡	8	10≡	0.2	✳ n (27./28.), ≡ 7-8, *) ✳
28	−1.3	0.2	−0.2	−0.4	—	631.0	632.5	633.9	100	100	100	NW 2	NW 3	W 3	10*≡	6	4	0.4	✳ n-7½, ● 7½-11 mU, *) ✳
29	0.1	6.0	5.8	4.4	—	634.4	635.4	635.1	100	73	52	**W** 3	**SE** 1	SW 3	10≡	4	5	.	≡ 4-8, ⸙ n-n mU ✳
30	5.4	**8.4**	7.3	7.0	—	633.4	632.2	629.8	60	50	52	SW 3	SSE 3	WSW 5	6	5	8	0.2	● n (30./31.), ⸙ n-n, ⸙ III ✳
31	1.6	0.8	−0.4	0.7	—	**629.1**	629.8	629.4	100	100	100	W 5	NW 3	NW 4	10●≡	10●≡	10*≡	**7.5** Summe	● 6-15, ● ✳ 15-n, ≡ 6-n, ✳ ⸙ n-n mU
Mittel	−0.8	2.0	0.2	0.5	—	634.2	634.6	634.5	71	68	69				4.3	4.0	3.8	10.9	

*) **11.** ≡ 13-19, 19-n mU, ⸙ n-n **12.** ⋁ ⸙ l **13.** ⋁ ⸙ l, ⸙ n-n **14.** ⸙ n-p **27.** 17½-n, ⸙ n-p **28.** n-11, ⸙ a-n

März 1953
Beobachter: *B. Minsch und C. Clavuot*

Bever

$\lambda = 9° 53'$, $\beta = 46° 33'$,
$H_b = 1711.8$ m, $G = -0.23$ mm

Tag	Lufttemperatur					Luftdruck			Relative Feuchtigkeit			Windrichtung und Stärke			Bewölkung			Niederschlag	Witterung
	7^{30}	13^{30}	21^{30}	Mittel	Abweich. vom Normalst	7^{30}	13^{30}	21^{30}	7^{30}	13^{30}	21^{30}	7^{30}	13^{30}	21^{30}	7^{30}	13^{30}	21^{30}		
1	-6.6	2.9	-7.5	-3.7	2.5	626.7	626.0	628.2	68	41	76	NE 0	S 0	NE 0	1	0	0	.	
2	-16.0	3.1	-9.0	-7.3	-1.2	629.8	628.8	629.0	97	47	64	NE 0	NE 0	NE 0	0	0	0	.	
3	-15.8	2.8	-5.8	-6.3	-0.4	629.2	629.0	629.3	87	44	67	S 0	SW 0	NE 0	0	0	1	.	
4	-12.2	5.1	-4.5	-3.9	1.9	628.4	628.1	628.4	85	41	71	NE 0	NE 0	NE 0	0	3	4	.	
5	0.2	3.6	-4.1	-0.1	5.5	626.9	627.2	629.0	64	65	77	NE 2	NW 1	SW 0	9	4	0	.	
6	-12.0	5.5	-5.0	-3.8	1.7	630.0	629.2	630.1	96	37	74	SW 0	W 1	SW 1	0	0	0	.	
7	-12.2	5.5	-1.4	-2.7	2.6	626.7	622.4	**618.9**	90	**26**	94	SW 0	W 1	E 1	4	6	10*	0.3	* 20½-n,
8	-7.2	-3.1	-8.6	-6.3	-1.1	620.2	621.6	624.3	60	48	40	NE 1	NE 2	NE 2	8	6	1	.	
9	**-20.1**	-1.8	-10.8	-10.9	-5.9	624.7	624.0	626.6	89	58	61	**SW** 0	NE 1	SW 0	0	0	0	.	
10	-17.8	0.8	-4.2	-7.1	-2.2	627.1	626.9	628.7	89	32	44	SW 0	NE 1	N 2	0	0	5	.	
11	-13.2	-0.4	-6.2	-6.6	-1.9	624.4	619.8	620.7	83	46	68	S 0	**W** 1	E 0	6	10	2	.	
12	-16.1	-1.1	-7.9	-8.4	-3.8	622.0	621.7	623.9	95	49	66	S 0	NE 1	N 0	0	2	1	.	
13	-14.1	-2.1	-5.2	-7.1	-2.7	625.0	624.2	624.7	89	52	60	SW 0	NE 2	NE 1	0	4	10	.	
14	-12.0	1.2	-10.4	-7.1	-2.8	623.1	625.5	626.5	87	54	88	**S** 0	**NE** 1	W 0	8	2	0	.	
15	-15.6	1.8	-7.6	-7.1	-3.0	625.2	623.2	624.2	88	51	86	SW 0	**S** 1	S 0	2	1	0	.	
16	-10.8	5.2	-5.2	-3.6	0.4	624.3	623.2	624.4	98	57	72	SW 0	SW 0	SW 0	6	0	0	.	
17	-10.4	5.2	-4.6	-3.3	0.6	624.2	623.1	624.6	91	44	80	SW 0	SW 1	SW 0	2	0	0	.	
18	-10.8	4.8	-4.6	-3.5	0.2	624.8	623.7	624.7	94	56	76	SW 0	SW 0	SW 0	0	0	0	.	
19	-12.4	5.4	-6.4	-4.5	-0.9	625.1	625.2	627.6	93	37	80	SW 0	SW 0	W 0	0	0	0	.	
20	-12.4	5.8	-5.1	-3.9	-0.5	628.5	627.5	628.7	94	34	70	SW 0	SW 0	SW 0	0	0	0	.	
21	-11.9	6.1	-4.8	-3.5	-0.2	627.7	626.6	627.7	88	40	73	W 0	W 0	SW 0	0	0	0	.	
22	-8.4	7.2	-4.0	-1.7	1.4	627.6	627.1	629.7	90	42	77	SW 0	SW 0	SW 0	0	0	0	.	
23	-9.6	7.2	-3.9	-2.1	0.9	630.1	629.6	631.0	97	36	76	SW 0	SW 0	N 0	0	0	0	.	
24	-9.2	6.9	-3.0	-1.8	1.0	631.5	630.5	632.1	97	40	79	N 0	NE 0	W 0	0	1	0	.	
25	-8.6	8.0	-4.4	-1.7	1.0	**632.3**	631.0	630.7	98	35	81	W 0	S 0	SW 0	0	0	0	.	
26	-8.2	**10.2**	-3.4	-0.5	2.0	629.2	624.6	624.2	99	37	78	SW 0	SW 0	SW 0	0	0	0	.	
27	-6.4	8.3	1.8	1.2	3.6	621.5	619.8	620.6	97	43	70	SW 0	SW 0	N 1	4	5	10	.	
28	-5.0	7.8	-3.1	-0.1	**2.1**	622.1	622.7	626.2	97	42	88	NE 0	S 1	W 0	4	2	1	.	
29	-7.5	8.6	0.0	0.4	2.5	627.4	626.2	627.7	85	46	86	W 0	S 2	SW 0	1	1	6	.	
30	-5.2	9.5	1.8	2.0	3.9	626.6	624.2	623.1	98	42	94	SW 0	SW 2	SW 0	4	3	8	.	
31	0.2	7.6	-0.8	2.3	4.1	621.0	620.8	621.3	96	53	92	SW 0	SW 2	S 0	4	10	10●	**1.2**	● 16-n mU
																		Summe	
Mittel	-10.5	4.4	-4.8	-3.6	—	626.2	625.3	626.4	90	44	75				2.0	1.9	2.2	1.5	

März 1953
Beobachter: *Couvent des Capucins*

Sion

$\lambda = 7° 21'$, $\beta = 46° 14'$,
$H_b = 548.6$ m, $G = -0.11$ mm.

1	-1.2	7.2	2.7	2.9	3.7	722.2	720.2	723.4	92	50	65	SW 1	WSW 1	W 0	6	2	0	.	
2	-2.4	5.5	3.0	2.0	2.9	725.5	724.9	726.5	90	50	66	**W** 0	W 1	W 1	0	0	0	.	
3	-1.7	6.6	3.3	2.7	3.6	727.2	725.6	726.6	80	42	60	WSW 0	WSW 1	WSW 0	0	0	0	.	
4	-1.2	8.9	3.4	3.7	4.6	726.8	724.4	725.1	82	42	64	WSW 0	WSW 1	E 0	1	6	0	.	
5	0.3	10.0	6.4	5.6	6.6	724.2	722.0	722.6	78	42	56	ENE 1	E 0	E 0	10	0	0	.	
6	0.3	7.9	5.4	4.5	5.5	726.8	725.9	725.7	97	61	72	ENE 0	ENE 0	WSW 0	0	0	0	.	
7	0.2	9.2	8.7	6.0	7.0	723.5	719.1	716.4	93	46	49	WSW 0	SW 2	SSW 2	0	3	5	.	
8	1.0	7.0	1.8	3.3	4.3	718.3	716.3	718.8	69	38	46	NW 0	NW 2	NNW 2	0	0	0	.	
9	**-3.5**	4.8	1.9	1.1	2.1	720.2	719.9	722.7	75	50	60	NW 2	WSW 1	NNE 2	0	0	0	.	
10	-2.1	6.5	3.6	2.7	3.7	725.2	724.4	725.3	86	50	60	NE 0	WSW 1	NNE 0	0	0	0	.	
11	-0.1	6.0	1.1	2.3	3.3	723.2	718.6	719.0	88	55	78	NE 0	NE 1	SW 2	10	10	0	.	
12	-2.2	6.6	2.0	2.1	3.1	719.9	719.1	719.4	84	42	67	ENE 1	WSW 1	N 2	0	0	0	.	
13	-2.1	7.4	2.7	2.7	3.7	721.6	720.6	721.2	77	46	67	ENE 0	SSW 1	N 2	0	4	0	.	
14	-1.0	9.3	4.0	4.1	5.0	719.5	718.4	722.0	86	35	42	E 1	E 3	E 0	1	3	0	.	a-p
15	0.6	10.2	4.1	5.0	5.9	720.8	718.3	718.8	57	31	39	ENE 1	WSW 1	ESE 1	4	9	0	.	
16	3.0	13.7	7.7	8.1	9.0	718.9	717.0	717.6	46	**29**	45	E 0	E 0	ENE 0	6	6	5	.	
17	4.0	13.2	7.2	8.1	8.9	717.9	716.7	717.5	61	42	55	ENE 0	WSW 2	ENE 1	7	8	0	.	
18	4.6	14.4	9.0	9.3	10.1	718.8	717.3	718.2	55	35	46	ENE 1	ENE 0	WSW 0	7	8	0	.	
19	3.3	14.0	8.2	8.5	9.2	720.3	719.1	720.7	56	32	47	ENE 0	ENE 0	ENE 2	0	3	0	.	
20	3.2	15.4	9.2	9.3	10.0	723.6	721.7	722.4	58	33	42	ENE 0	ENE 0	ENE 1	6	4	0	.	
21	3.1	15.9	9.1	9.4	10.0	722.5	720.0	720.9	62	34	47	ENE 0	NE 0	E 1	0	0	0	.	p
22	2.7	15.8	9.7	9.4	10.0	722.8	721.1	722.8	65	34	45	E 1	ENE 1	ENE 2	0	0	0	.	
23	3.3	16.2	10.0	9.8	10.3	725.7	724.4	725.0	70	34	50	NE 1	NE 1	ENE 1	0	0	0	.	
24	4.2	16.6	10.3	10.4	10.8	726.8	724.6	725.9	77	32	50	ENE 0	ENE 1	NE 1	0	2	0	.	
25	4.5	16.8	10.4	10.6	11.0	**727.5**	724.8	724.8	68	37	48	NE 0	ENE 1	NE 2	6	1	2	.	
26	4.7	16.6	10.1	10.5	10.8	724.6	720.4	718.7	64	35	49	NE 0	NE 1	W 0	0	1	2	0.9	
27	5.8	14.9	9.9	10.2	10.4	718.0	715.3	716.0	93	45	53	ENE 1	WSW 1	W 0	9	4	9	.	● 3-6¾
28	3.3	14.9	8.8	9.7	9.8	718.3	718.0	720.3	80	42	60	ENE 0	WSW 1	WSW 2	0	4	0	.	
29	4.0	16.6	11.1	10.6	10.6	722.2	720.2	720.3	88	38	50	ENE 1	ENE 0	SW 2	2	2	1	.	
30	6.3	**19.4**	13.8	13.2	13.1	720.6	716.3	**715.1**	68	32	38	SW 0	SW 0	E 2	2	3	2	0.6	
31	10.7	16.0	11.2	12.6	12.4	715.5	716.5	715.6	85	55	73	W 1	WSW 0	SW 0	10	8	10	.	● 4¾-5¾
Mittel	1.9	11.7	6.8	6.8	—	722.2	720.4	721.1	75	41	55				2.8	2.9	1.2	1.5	

$\lambda = 8°\,57'$, $\beta = 46°\,0'$,
$H_b = 276.2$ m, $G = -0.01$ mm.

Lugano

März 1953
Beobachter: *G. Vicari*

Tag	Lufttemperatur					Luftdruck			Relative Feuchtigkeit			Windrichtung und Stärke			Bewölkung			Niederschlag	Witterung
	7^{30}	13^{30}	21^{30}	Mittel	Abweich. vom Normalst	7^{30}	13^{30}	21^{30}	7^{30}	13^{30}	21^{30}	7^{30}	13^{30}	21^{30}	7^{30}	13^{30}	21^{30}		
1	7.2	14.2	7.2	9.5	4.5	745.7	747.7	748.6	56	45	67	WSW 1	S 1	N 1	0	0	0	.	
2	1.2	14.2	5.6	7.0	1.9	749.6	750.0	749.7	91	46	69	NW 1	S 1	NNW 1	0	0	0	.	
3	0.8	14.8	6.2	7.3	2.0	749.8	748.0	747.3	82	45	59	N 1	S 1	N 1	0	0	0	.	
4	2.6	16.8	8.2	9.2	3.8	747.4	745.9	744.6	59	37	53	N 1	S 1	S 1	0	2	0	.	
5	15.2	18.8	10.2	14.7	9.2	742.5	742.5	747.9	30	29	55	NNE 2	NNE 3	S 1	9	6	0	.	⌐ 1–18½ mU
6	4.2	16.0	6.6	8.9	3.2	750.9	749.0	748.8	78	43	70	NW 1	SW 1	N 1	5	0	0	.	
7	1.4	14.8	7.4	7.9	2.1	745.2	739.9	**734 9**	86	47	41	N 1	S 1	NNE 2	0	4	0	.	
8	6.4	12.2	5.2	7.9	2.0	739.7	740.6	743.2	35	25	34	NNE 2	N 3	N 2	0	0	0	.	
9	-0 8	11.0	3.4	4.5	-1.6	746.7	745.3	746.3	58	42	55	N 1	S 1	N 1	0	0	0	.	
10	**-0.8**	19.8	11.8	10.3	4.1	744.5	743.2	745.8	71	**21**	24	N 1	NNE 3	NNE 2	0	0	0	.	⌐ 10½–23 mU
11	2.6	11.8	3.4	5.9	-0.4	743.9	739.4	740.3	50	48	73	N 1	S 1	NNW 1	1	6	0	.	
12	-0.2	13 2	7.4	6.8	0.3	742.5	741.3	741.6	74	43	41	N 1	SE 1	N 1	0	0	0	.	
13	2.0	13.2	5.4	6.9	0.3	743.7	744.4	744.2	52	44	75	N 1	S 1	S 1	0	9	0	.	
14	0.4	8.2	3.6	4.1	-2.6	742.9	747.6	750.4	76	55	82	N 1	S 1	SW 1	0	9	10	.	
15	0.4	7.2	2.2	3.3	-3.6	750.8	748.2	747.9	69	48	59	N 1	S 1	N 1	5	9	0	.	
16	0.6	14.2	5.2	6.7	-0.3	746.3	744.2	744.0	70	37	54	N 1	S 1	S 1	9	0	0	.	
17	1.0	16.0	7.2	8.1	1.0	744.5	743.6	744.5	72	38	51	N 1	S 1	N 1	1	0	0	.	
18	1.8	16.4	6.2	8.1	0.8	745.8	744.5	744.3	79	39	69	N 1	SSE 1	N 1	0	0	0	.	
19	2.0	16.4	7.4	8.6	1.2	745.6	745.0	745.9	83	44	66	N 1	S 1	N 1	0	0	0	.	
20	2.4	17.8	8.6	9.6	2.1	747.8	746.5	746.5	81	43	53	N 1	S 1	N 1	0	0	0	.	
21	2.8	19.4	8.8	10.3	2.6	746.4	744 7	746.0	73	35	44	N 1	S 1	N 1	0	0	0	.	
22	3.4	19.4	9.0	10.6	2.8	747.4	746.3	748.3	71	35	47	N 1	S 1	N 1	0	0	0	.	
23	3.8	19.4	9.6	10.9	3.0	750.1	749.3	749.6	75	37	55	N 1	S 1	N 1	0	0	0	.	
24	4.4	20.2	10.4	11.7	3.6	750.7	749.7	750.7	79	38	51	N 1	S 1	N 1	0	0	0	.	
25	5.2	**20.8**	10.2	12.1	3.9	**751.6**	750.2	749.6	70	36	55	N 1	SE 1	NNW 1	0	0	0	.	
26	4.4	20.6	10.0	11.7	3.4	748.3	744.6	742.2	72	38	53	N 1	S 1	NNW 1	0	0	0	.	
27	4.4	17.8	9.2	10.5	2.0	739.8	737.8	738.2	71	43	69	N 1	S 1	W 1	0	0	0	.	
28	5.2	18.4	10.2	11.3	2.7	740.3	740.9	743.8	76	45	65	N 1	S 1	S 1	0	5	0	.	
29	5.4	18.2	10.8	11.5	2.8	745.9	745.2	745.9	88	44	58	N 1	S 1	NNW 1	0	5	0	.	
30	6.2	18.4	11.8	12.1	3.2	745.2	743.0	741.8	85	52	77	N 1	S 1	SSE 1	0	0	10	.	
31	9.4	17.6	12.4	13.1	4.1	739.4	737.7	737.5	89	54	68	N 1	SSE 1	E 1	9	8	0	.	
																		Summe	
Mittel	3.4	16.0	7 8	9.1	—	745.8	744.7	745.2	71	41	58				1.3	2.0	0.7	—	

$\lambda = 7°\,35'$, $\beta = 47°\,33'$,
$H_b = 317.3$ m, $G = 0.11$ mm.

Basel

März 1953
Beobachter: *Astronom.-Meteorol. Anstalt*

1	-1.6	9.9	4.3	4.2	1.7	744.8	744 0	744.9	90	37	73	NE 0	SE 2	ENE 1	1	1	0	.	⌐ 16½, ⌙ 1
2	-1.7	9.2	2.8	3.4	0.8	746.3	746.5	747.1	98	45	8.	NW 1	ENE 1	E 1	0	0	0	.	⌙ 1
3	-0.9	11.1	3.8	4.7	2.0	747.4	747.0	746.9	94	46	60	ESE 1	ESE 0	E 1	0	0	0	.	⌙ 1
4	-1.4	13.0	3.2	4.9	2.1	746.8	745.6	745.7	90	39	78	E 1	NW 1	SSW 1	1	4	0	.	
5	0.1	8.9	5.2	4.7	1.7	745.9	745.9	745.9	90	65	74	E 0	NNW 1	E 1	8	0	0	.	
6	-1.0	10.6	4.1	4.6	1.2	747.3	746.8	745 5	100	56	80	S 0	ENE 1	E 1	10≡	0	0	.	≡ 2–10
7	-0.8	13.0	4.7	5.6	2.4	742.4	739.1	741.1	92	45	68	ESE 1	WSW 2	NNW 1	7	10	10	.	≡ 9–10¼, ⌐ 14–18
8	-1.4	5.0	0.8	1.5	-1.8	743.1	743.5	744.4	96	32	75	NW 1	NNE 2	NE 1	1	6	0	.	⌙ 1
9	**-4.7**	7.3	1.2	1.3	-2.2	744 5	744.2	746.0	93	33	94	SW 0	E 1	NNW 1	1	0	0	.	
10	-3.8	7.6	1.3	1.7	-1.9	748.1	**748.3**	747.7	100	48	80	S 0	WNW 1	SW 1	10≡	1	0	.	≡ 2–10
11	-0.5	0.4	0.4	0.1	-3.6	743.1	740.8	740.3	81	98	98	S 1	WSW 1	SSW 0	10	10*	10*	**5.3**	✳ 12½–23½, ⌐ 12¾
12	0.4	5.4	3.0	2.9	-1.0	740.8	742.1	743.7	98	80	93	SW 0	SW 0	NW 0	10	6	10	0.0	✳
13	-1.4	8.3	2.1	3.0	-1.0	745.2	745.1	744.9	92	36	75	NW 1	ESE 1	NE 0	4	5	0	.	
14	1.3	7.3	2.0	3.5	-0.6	742.2	742.2	743.1	83	40	63	E 0	E 2	ENE 1	10	0	0	.	⌐ 10½
15	-2.6	9.2	2.7	3.1	-1.1	740.8	738.8	737.5	83	42	80	E 1	ESE 1	SSW 1	0	2	10	.	
16	-0.7	13.9	3.7	5.6	1.2	737.8	737.5	738.1	94	32	73	ESE 1	NNW 1	SSW 1	8	2	0	.	
17	-0.2	13.8	4.8	6.1	1.6	738.2	737.2	737.1	85	43	71	ESE 1	N 1	SSW 1	8	7	0	.	
18	-0.5	16.8	6.0	7.4	2.8	737.9	737.4	737.4	90	42	70	SE 0	WNW 1	SE 1	0	0	0	.	
19	1.9	17.1	8.0	9.0	4.3	739.4	739.2	740.4	77	41	57	ESE 1	ENE 1	E 1	0	0	0	.	
20	0.5	17.4	6.5	8.1	3.2	742.8	742.1	742.0	87	36	65	SSW 1	ESE 1	E 1	0	1	0	.	
21	2.1	17.3	6.7	8.7	3.7	742.1	741.0	740.9	78	39	76	ESE 0	NE 1	E 0	0	0	0	.	
22	2.5	17.2	5.8	8.5	3.4	742.2	741.8	743.2	77	40	84	ESE 1	NNW 1	SW 1	0	0	0	.	⌙ 1
23	3.8	19.0	6.0	9.6	4.3	744.9	745.0	745.1	73	36	87	ESE 1	NNW 1	S 0	0	0	0	.	
24	4.1	18.1	6.0	9.4	4.0	746.7	745.8	746.3	74	46	76	ESE 1	NNW 1	E 0	0	0	0	.	
25	2.0	17.9	6.4	8.8	3.3	747.4	745.8	744.5	78	40	78	E 1	NE 1	S 1	0	0	0	.	⌙ 1
26	3.2	18.9	10.2	10.8	5.2	743.5	740.5	738.0	96	47	55	SE 0	WNW 1	E 1	0	1	2	.	
27	5.4	15.0	7.9	9.4	3.6	736.3	735.4	736.0	75	49	86	E 1	NNW 1	WSW 1	8	9●	4	1.2	●tr 13½, ● 16–16¼, 18¾–19¼, ⌐ 18¼
28	7.7	12.0	5.4	8.4	2.5	737.6	738.9	740.2	89	58	82	WSW 0	WNW 2	SE 1	9	5	1	.	
29	6.6	19.8	10.6	12.3	6.3	740.2	739.6	738.8	74	44	57	E 1	WSW 1	SE 1	8	2	2	.	
30	7.9	**23.6**	18.3	16.6	10.4	737.5	734.5	**731.7**	71	**24**	36	E 1	WSW 2	SSW 2	7	3	2	0.2	● 23¾–24, ⌐ n (30./31.)
31	9.5	8.4	8.0	8.6	2.3	734.2	736.1	736.1	80	67	71	WNW 2	WNW 2	SW 1	10	8	10	.	
																		Summe	
Mittel	1.1	12.7	5.2	6.3	—	742.5	741.9	742.0	86	46	74				4.2	2.7	2.0	6.7	

März 1953
Beobachter: *Observatorium*

Säntis

$\lambda = 9°\,20'$, $\beta = 47°\,15'$,
$H_b = 2500.1$ m, $G = -0.27$ mm.

Tag	Lufttemperatur					Luftdruck			Relative Feuchtigkeit			Windrichtung und Stärke			Bewölkung			Niederschlag	Witterung
	7^{30}	13^{30}	21^{30}	Mittel	Abweich. vom Normalst	7^{30}	13^{30}	21^{30}	7^{30}	13^{30}	21^{30}	7^{30}	13^{30}	21^{30}	7^{30}	13^{30}	21^{30}		
1	−8.4	−5.7	−5.1	−6.4	2.0	566.0	566.6	567.6	45	39	60	ENE 3	E 2	NE 2	6	5	0	.	
2	−3.9	−2.7	−3.1	−3.2	5.1	568.2	569.4	569.9	24	24	28	ENE 2	NE 3	NE 3	0	0	0	.	
3	−4.5	−4.0	−4.9	−4.5	3.8	569.7	570.5	570.6	29	29	18	NE 3	NE 2	N 2	0	1	1	.	
4	−3.8	−1.0	−5.4	−3.4	4.8	569.9	569.9	569.4	38	65	83	NNE 2	SW 1	NNW 3	1	2	2	.	⊕ 10½
5	−7.1	−4.7	−4.9	−5.6	2.5	568.3	568.6	569.0	94	100	25	N 3	NE 2	ENE 3	10	10≡	0	.	≡ 8¾–16¼ mU
6	−0.8	−3.4	−3.6	−2.6	5.5	569.6	570.5	570.4	7	76	72	NE 3	W 4	W 2	1	0	0	.	⌿ a-p
7	−5.1	−5.6	−12.5	−7.7	0.3	567.1	564.0	561.1	86	100	100	W 2	W 4	W 3	3	10≡	10≡*	7.6	✳ 19¼–n, ≡ 12¾–n, ⌿ a-p
8	−15.4	−14.7	−17.3	−15.8	−7.9	560.7	561.9	562.3	100	100	100	N 2	NNE 2	NE 4	10≡*	10≡*	0	1.9	✳ n-14¾, ≡ n-19½ mU, ⫩ n-n.
9	−13.3	−9.2	−7.9	−10.1	−2.2	562.6	564.3	566.3	23	24	21	NE 3	NE 4	NE 3	1	0	0	.	⌿ II [⌿ III
10	−7.1	−10.3	−12.7	−10.0	−2.2	567.3	568.2	568.0	20	23	87	NNE 4	NNE 2	N 2	0	2	2	.	⌿ I
11	−11.6	−12.1	−13.0	−12.2	−4.5	563.9	559.8	560.4	68	98	100	W 3	W 4	NNW 2	10	10	10≡*	3.7	✳ 13¾–n, ≡ 11–13, 13¾–n,*)
12	−13.3	−13.0	−12.7	−13.0	−4.3	560.7	562.0	563.4	98	98	100	N 1	N 1	NE 2	10≡*	10≡*	10≡	1.3	✳ n-8½ mU, ⫩ 9¾–13½, 17¾–19*)
13	−14.4	−13.2	−13.6	−13.7	−6.1	563.3	564.8	564.6	97	64	98	NE 3	ENE 3	NNE 2	10≡	3	10≡*	2.3	✳ 20½–n, ≡ n–8½, 19¼–n
14	−13.6	−11.7	−11.1	−12.1	−4.6	561.9	563.1	564.7	98	88	87	NE 2	SE 2	SE 2	10≡	1	0	.	≡ n–9¾, ⫩ 11–16, ⋁ I
15	−9.4	−6.0	−6.3	−7.2	0.3	563.1	562.9	562.7	68	59	52	E 4	SE 2	E 3	1	1	10	.	
16	−3.9	−2.2	−3.0	−3.0	4.4	563.0	563.7	564.3	33	30	36	S 2	SE 2	SE 2	9	7	1	.	⊕ 10½
17	−1.4	−1.3	−3.6	−2.1	5.2	563.9	564.3	564.2	26	34	59	SE 1	SE 3	SE 2	7	3	0	.	
18	−3.4	−2.5	−4.8	−3.6	3.7	563.8	564.4	564.5	64	76	79	SSE 1	S 1	S 2	0	1	0	.	
19	−4.2	−2.9	−5.2	−4.1	3.1	564.7	565.7	567.0	52	65	55	E 2	SSW 2	SSE 2	0	1	0	.	
20	−3.1	−1.9	−3.8	−2.9	4.2	567.7	568.4	568.7	33	38	52	NE 1	SE 2	SSW 1	0	1	0	.	
21	−2.4	−1.1	−3.1	−2.2	4.9	567.3	567.7	567.7	51	32	54	ENE 1	ESE 1	SW 2	0	0	0	.	
22	−2.8	0.0	−3.9	−2.2	4.8	567.5	568.3	569.4	51	65	66	W 2	SW 1	W 2	1	1	1	.	
23	−3.9	−0.6	−3.6	−2.7	4.2	569.6	570.9	571.2	92	69	64	W 2	SW 2	N 2	1	2	0	.	
24	−2.8	−1.2	−3.7	−2.6	4.3	570.8	571.6	572.0	27	46	83	NE 2	SE 1	SSE 1	1	1	2	.	
25	−1.2	−0.6	−2.9	−1.6	5.2	571.8	572.0	571.1	62	55	74	SE 1	ESE 1	SSW 1	1	1	0	.	
26	−1.4	−0.2	−3.7	−1.8	4.9	569.1	567.7	565.4	59	78	77	N 1	SSW 1	W 2	0	1	1	0.2	⫩ n (26./27.)
27	−5.3	−1.5	−5.4	−4.1	2.6	562.5	562.0	561.8	100	82	100	W 2	WSW 1	W 3	10≡	5	10≡	6.3	△ 15–15¼, ⫩ 15¼–19½ mU, *)
28	−6.0	−2.6	−4.5	−4.4	2.2	562.3	563.9	565.6	100	100	100	W 2	WSW 2	WSW 3	10≡*	10≡	2	0.3	✳ 6¾–8½ mU, ≡ 9–17,
29	−3.6	0.0	−1.0	−1.5	5.0	566.2	567.3	567.5	50	51	67	W 2	WSW 3	WSW 3	6	4	2	.	[19–21½, ⋁ II
30	−1.0	2.8	0.8	0.9	7.4	566.3	565.8	563.3	74	39	54	WSW 3	WSW 3	WSW 3	9	5	9	2.7	✳ n (30./31.)
31	−3.1	−3.2	−4.4	−3.6	2.8	560.1	561.1	561.4	100	100	100	W 4	W 3	W 3	10≡*	10≡	10■*	24.3 Summe	✳ n-12½, 19-n, */
Mittel	−5.9	−4.3	−6.1	−5.4	—	565.8	566.2	566.3	60	63	69				4.5	3.8	3.0	50.6	

März 1953
Beobachter: *E. Chiesa*

St. Gotthard (Hospiz)

$\lambda = 8°\,34'$, $\beta = 46°\,33'$,
$H_b = 2095$ m, $G = -0.25$ mm.

1	−4.0	−0.9	−7.0	−4.0	2.5	596.1	596.5	597.5	13	52	63	NW 1	SE 1	SE 0	0	3	0	.	
2	−4.5	0.7	−5.4	−3.1	3.3	597.6	598.8	599.2	20	47	35	NW 1	SE 1	NW 0	0	0	0	.	
3	−3.4	−0.4	−3.8	−2.5	3.9	599.2	599.8	599.9	14	17	32	NW 1	NW 1	NW 2	0	0	0	.	
4	−4.2	0.1	−4.4	−2.8	3.5	599.4	599.4	598.8	25	27	36	NW 2	NW 2	NW 2	0	0	0	.	
5	−4.3	−1.0	−4.2	−3.2	3.1	597.5	598.1	598.3	52	67	73	NW 3	NW 2	NW 1	3	0	0	.	
6	−7.2	1.0	−2.1	−2.8	3.4	599.0	600.1	600.0	97	41	67	SE 0	NW 2	NW 2	0	0	0	.	
7	−2.3	−0.4	−4.8	−2.5	3.6	596.7	594.1	590.1	14	27	90	NW 2	NW 1	NW 3	0	0	10≡	.	≡ ⌿ ⫩ p-n
8	−11.8	−10.5	−13.2	−11.8	−5.7	589.8	591.2	592.4	71	80	100	NW 3	NW 3	NW 3	9	6	3	.	⌿ n-n, ⋁ III
9	−9.2	−7.7	−8.4	−8.4	−2.4	592.4	593.4	595.0	0	5	30	NW 1	NW 2	NW 2	0	0	0	.	
10	−5.5	0.6	−7.2	−4.0	2.0	596.3	597.9	598.2	18	25	50	NW 1	NW 2	NW 2	0	0	0	.	
11	−5.7	−5.8	−10.5	−7.3	−1.4	594.1	590.8	590.2	44	73	100	NW 1	NW 3	NW 2	3	6	10■	0.4	≡ 16¼–n, ⫩ ⌿ a-n
12	−13.4	−9.0	−9.8	−10.7	−4.9	590.7	590.9	592.6	95	90	100	NW 1	NW 2	NW 3	0	3	10≡	.	≡ ⌿ ⫩ ⋁ 16¾–n
13	−12.1	−7.6	−10.0	−9.9	−4.1	593.4	594.3	594.3	75	64	100	NW 2	NW 2	NW 2	0	0	0	.	⊕ 15½, ⋁ III
14	−11.4	−4.6	−9.3	−8.4	−2.7	592.3	593.4	595.5	97	75	99	NW 0	SE 2	SE 1	3	9	10*	1.6	✳ 14½–n mU
15	−11.4	−3.5	−10.2	−8.4	−2.7	594.8	594.1	594.1	100	87	95	SE 1	SE 2	SE 0	10■	3	0	.	≡ ⋁ n-a
16	−4.8	1.3	−3.8	−2.4	3.2	593.5	594.0	594.2	17	22	24	SE 1	SE 1	SE 0	9	3	0	.	
17	−6.6	2.1	−4.5	−3.0	2.5	593.8	594.1	594.4	37	29	70	SE 1	SE 1	SE 0	3	0	0	.	
18	−7.6	0.3	−5.8	−4.4	1.1	594.1	594.3	594.4	95	64	90	SE 0	SE 1	SE 1	0	0	0	.	
19	−7.4	1.0	−5.2	−3.9	1.5	594.2	595.0	596.3	52	39	70	SE 0	SE 1	SE 0	0	0	0	.	
20	−5.4	2.8	−4.3	−2.3	3.1	597.3	597.9	598.3	32	23	29	SE 0	SE 1	SE 0	0	0	0	.	
21	−3.2	3.9	−3.5	−0.9	4.4	597.0	596.9	597.0	38	14	36	SE 0	SE 0	SE 0	0	0	0	.	
22	−4.4	3.5	−3.2	−1.4	3.8	597.1	597.3	598.4	50	35	58	SE 1	SE 0	NW 0	0	0	0	.	
23	−3.6	3.1	−1.2	−0.6	4.6	599.1	599.6	600.3	62	39	63	SE 0	NW 1	NW 0	0	0	0	.	
24	−2.6	3.9	−1.5	−0.1	5.0	600.1	600.6	601.2	60	40	45	NW 1	NW 0	NW 0	0	0	0	.	
25	−2.5	4.3	−1.8	0.0	5.1	601.3	601.4	600.9	55	41	45	NW 0	SE 0	SE 0	0	0	0	.	
26	−3.2	3.3	−2.0	−0.6	4.4	598.8	597.4	595.0	54	44	71	NW 0	SE 0	NW 0	0	0	0	0.7	✳ n (26./27.)
27	−3.6	1.2	−3.0	−1.8	3.1	591.9	591.6	591.2	100	42	100	NW 2	NW 1	NW 1	10≡	3	10*≡	0.2	✳ 20¾–21½, ≡ n-a, 17¾–n
28	−5.0	0.9	−3.2	−2.4	2.5	591.8	593.4	595.9	75	40	71	NW 1	NW 1	NW 0	0	0	0	.	
29	−2.4	4.6	−1.6	0.2	5.0	596.1	597.1	597.4	54	38	91	SE 0	SE 0	SE 0	0	0	0	.	
30	0.2	4.9	0.5	1.9	6.7	596.7	596.0	593.0	80	61	100	SE 1	SE 2	SE 2	0	3	10≡	3.0	✳ n (30./31.), ≡ 20¾–n
31	−0.2	3.3	−2.0	0.4	5.1	591.5	591.6	591.7	100	100	99	SE 0	NW 0	NW 1	10*≡	10*●	0	2.1 Summe	✳ ● n-16½, ≡ n-15½
Mittel	−5.6	−0.2	−5.1	−3.6	—	595.6	595.8	596.0	54	47	69				1.9	1.6	2.0	8.0	

*) Säntis. **11.** ⋁ III, ⌿ a-p **12.** ≡ n-n mU **27.** ≡ n-9, 13½-n **31.** ⫩ 16¾–17, ≡ n-n, ⫩ n-12, ⌿ l, p

$\lambda = 7°\,26'$, $\beta = 46°\,57'$,
$H_b = 572.2$ m, $G = 0.00$ mm.

Bern

April 1953
Beobachter: *Observatorium*

Tag	Lufttemperatur					Luftdruck			Relative Feuchtigkeit			Windrichtung und Stärke			Bewölkung			Niederschlag	Witterung
	7^{30}	13^{30}	21^{30}	Mittel	Abweich. vom Normalst	7^{30}	13^{30}	21^{30}	7^{30}	13^{30}	21^{30}	7^{30}	13^{30}	21^{30}	7^{30}	13^{30}	21^{30}		
1	6.9	12.6	11.3	10.3	4.6	714.6	713.4	713.4	90	53	55	S 1	WNW 1	W 1	9	6	1	1.3	● 6-7¼
2	8.8	15.4	12.2	12.1	6.3	713.8	713.0	712.1	95	61	71	SE 1	WNW 2	SE 1	10	9	1	0.1	● 1¼-7, 12¾
3	9.6	16.6	12.3	12.8	6.8	711.4	710.2	708.4	90	53	87	SSW 1	SE 1	SE 1	10●	4	0	1.6	● 3¼-4, 5½-10, 18¼-19½, ⊼ 18¼-18¾
4	7.7	**20.7**	6.6	11.7	5.6	706.2	703.9	708.8	86	**33**	76	SE 1	SSE 2	WSW 2	2	2	10●	2.5	● 17½, 21-24 ⌒ 18¼
5	3.7	9.9	8.6	7.4	1.1	711.4	710.5	711.2	98	60	57	NE 1	SSW 1	WNW 2	9	5	10	.	● 0-5¾
6	4.2	12.7	7.9	8.3	1.9	709.9	709.7	711.7	89	44	76	NW 1	WSW 3	WNW 1	3	7	10●	2.6	●tr 11¾, ● 17-24, ⌿ II
7	5.6	10.9	7.8	8.1	1.5	713.8	713.9	713.1	73	44	56	W 1	WNW 2	NE 1	2	7	0	.	● 0-0¾
8	2.6	13.1	10.0	8.6	1.9	711.0	708.5	707.7	89	51	76	NNE 1	NNW 1	W 1	4	9	10●	1.3	● 20-24, ⌴ I
9	8.0	14.7	7.3	10.0	3.1	705.6	703.9	705.9	98	50	93	W 1	W 2	W 0	9	9	10●	**16.4**	● 0-3¾, 14-16¾, 18½-24, ⊼ 14¼-14½
10	4.8	6.3	5.2	5.4	-1.6	707.8	709.6	712.6	94	95	97	SSW 2	S 1	SE 1	10●	10●	10●	14.9	● 0-24
11	5.6	9.5	6.8	7.3	0.1	714.8	714.8	714.4	96	74	96	E 1	ENE 2	N 1	10	10	0	.	● 0-2¼, △ II
12	3.7	15.8	11.9	10.5	3.1	713.8	711.9	710.8	96	49	66	S 1	WSW 1	SW 0	0	3	0	.	⌴ I
13	9.3	8.6	5.1	7.7	0.2	711.2	713.1	**714.9**	82	70	98	SSW 1	NE 2	N 1	9	10●	10●	8.8	● 10¾-24
14	3.4	5.2	3.4	4.0	-3.7	713.7	712.4	711.4	97	90	96	W 1	WSW 1	SE 1	10●	10●	10	4.4	● 0-14½, 15¼-20¼
15	2.0	3.9	**1.8**	2.6	-5.3	709.4	709.6	710.7	90	56	96	NW 1	N 1	SE 1	10*	10	9	3.9	●5¼-6½, ✶ 6½-7½, 13½-17¾ mU, 22¾-24
16	1.9	6.2	4.6	4.2	-3.9	711.1	711.8	713.0	96	71	88	SSE 1	NNE 2	SE 1	10●*	10	10	2.3	✶ 0-7, ✶● 7-8, ● 8-11, ☽ 17¼-18¼ ⊠
17	4.3	9.6	6.4	6.8	-1.5	712.1	711.4	711.3	97	61	76	E 1	ENE 2	E 1	10	9	0	.	☽ 2¾-6
18	3.4	14.1	10.4	9.3	0.8	711.8	710.8	711.0	91	55	71	SE 1	NE 2	NE 0	7	7	0	.	⌴ I
19	5.8	16.7	12.9	11.8	3.2	712.3	711.8	711.5	89	43	49	SE 1	NNE 2	NE 1	1	1	0	.	⌴ I
20	6.8	16.9	14.0	12.6	3.8	712.0	711.5	711.2	86	46	51	SE 1	ENE 1	NE 1	0	1	0	.	△ I
21	7.6	17.8	13.7	13.0	4.0	711.6	710.8	710.1	88	45	52	NE 1	NE 1	ENE 2	0	1	0	.	△ I
22	7.4	17.8	13.9	13.0	3.9	711.6	710.3	709.6	88	45	55	SE 1	ENE 1	E 1	0	1	0	.	△ I
23	8.8	19.0	11.0	12.9	3.6	710.3	709.3	709.8	83	44	82	SE 1	NW 1	SE 1	1	2	2	0.5	● 16-18½, ⊼ 16½-17¾, △ I
24	9.4	18.1	11.3	12.9	3.5	711.0	709.8	710.6	87	45	75	SSE 1	N 1	W 1	7	8	1	0.8	● 13¾-14¾, 17½-18¾, ⊼ 13¾
25	8.7	17.1	11.4	12.4	2.8	710.8	709.6	709.0	91	45	88	SSE 1	ENE 1	SE 1	2	9	2	0.3	● 4-6¼, 14-15¼, ⊼ 14-14¾
26	8.0	18.9	14.4	13.8	4.1	707.7	704.7	701.5	89	43	59	SSW 1	NNE 2	E 1	1	1	7	.	△ I
27	9.8	15.3	9.8	11.6	1.7	**698.9**	**698.9**	702.1	81	62	96	S 1	WSW 2	WSW 2	10	10●	10●	6.6	● 13½, 15½-24
28	8.0	12.8	9.6	10.1	0.1	704.8	705.2	706.9	81	47	54	WSW 2	WSW 4	W 2	9	7	8	8.2	● 0-6¼, 11, 22¼-24, ⌿ II
29	5.4	10.8	7.2	7.8	-2.4	710.5	711.4	714.5	84	51	74	SSW 2	WSW 3	W 1	3	9	3	0.2	● 0-4½, 13-13¾, 14½-15¼,
30	5.3	15.0	11.4	10.6	0.3	713.8	712.5	711.5	83	47	65	ESE 1	NE 1	W 1	1	1	1	.	△ I [17½-18¼, ⌿ a-p
Mittel	6.2	13.4	9.3	9.6	—	710.6	709.9	710.4	89	54	74				5.6	6.3	4.5	Summe 76.9	

$\lambda = 6°\,57'$, $\beta = 47°\,0'$,
$H_b = 487.3$ m, $G = 0.02$ mm.

Neuchâtel

April 1953
Beobachter: *Meteorol. Observatorium*

1	5.5	14.4	11.4	10.4	3.9	722.3	721.1	720.9	72	43	53	W 0	S 1	**W** 0	7	1	4	0.6	
2	8.3	14.4	11.0	11.2	4.5	721.3	720.7	719.5	92	68	76	W 0	SW 2	SW 0	9	10	0	4.0	● 0¼-3, ▽ 0¾
3	8.4	17.0	12.5	12.6	5.8	718.7	717.8	715.5	94	64	80	W 0	S 0	NE 0	10●	1	0	0.3	● ¼-1, 5¼-8
4	8.8	18.6	4.4	10.6	3.7	713.5	711.3	716.5	89	44	88	SE 0	SE 0	SW 2	6	8	10●	**12.6**	● 16¼-24, ⊼ 15¾-16½,
5	3.6	9.6	8.4	7.2	0.1	719.4	718.4	718.4	97	60	56	NE 1	S 1	NW 3	10	0	4	.	● 0-5, ⌿ 20-23½ [⌿ 16-20¾
6	5.7	11.2	8.4	8.4	1.2	717.4	717.8	719.3	75	51	66	SW 0	SW 2	W 2	5	10	10●	0.7	● 16¾-18, 21½-22½
7	6.8	12.0	7.6	8.8	1.4	721.4	721.5	720.8	64	42	56	SW 2	SW 1	NE 2	2	6	0	.	
8	5.3	12.0	9.2	8.8	1.3	718.7	716.0	715.1	76	55	83	SE 0	S 0	SW 0	9	10	10●	2.3	●tr 18½, ● 20¾-24
9	7.3	14.9	8.0	10.1	2.4	713.0	711.3	713.3	96	62	83	W 0	SW 1	SW 1	7	8	10●	2.5	● 0-2¾, ▽ 16¼, ● 21½-24
10	5.6	7.9	6.5	6.7	-1.1	715.2	716.8	710.1	94	86	96	SW 1	SW 1	SW 0	10●	10	10	4.0	● 0-10½, 15-21¼
11	6.4	9.2	7.9	7.5	-0.5	722.3	722.5	722.2	96	81	85	NE 0	NE 1	NE 0	10	10	0	.	
12	3.6	13.2	11.3	9.4	1.3	721.6	719.7	718.1	97	67	71	NE 0	SE 0	SW 0	10≡	3	8	.	≡ n-10½
13	10.1	8.8	5.5	8.1	-0.2	718.6	720.6	**722.7**	69	62	91	**W** 1	N 3	NE 0	8	10	10●	1.7	●tr 13¾, ● 17½-24 mU,
14	4.5	5.4	4.2	4.7	-3.7	721.4	720.1	719.2	95	88	90	SW 0	SW 1	SW 0	10	10	8	1.9	● 0-17½ mU [⌿ 10¼-16¾
15	**2.5**	4.9	2.6	3.3	-5.3	716.4	717.2	718.5	61	52	86	N 4	E 2	E 0	10	10	10●	0.5	●tr 21½, ⌿ 5½-10¼
16	2.6	6.8	5.2	4.9	-3.9	718.7	719.6	720.8	91	68	88	E 1	E 1	N 0	10●	10	10	.	● 1-7½
17	4.7	10.4	8.4	7.8	-1.1	719.9	718.9	718.7	90	58	61	E 0	E 2	NE 2	10≡	10	0	.	≡ n-8½
18	3.5	14.8	12.6	10.3	1.2	719.5	718.4	718.4	97	56	52	NE 0	SE 0	NE 1	10	4	0	.	
19	6.6	17.7	15.0	13.1	3.9	720.0	719.4	718.8	92	47	**36**	NE 0	E 1	NE 2	0	1	0	.	
20	8.2	18.6	16.0	14.3	4.9	719.7	719.0	718.4	80	60	42	NE 0	SE 0	NE 2	0	0	0	.	
21	8.7	19.4	15.4	14.5	4.9	719.4	718.2	717.3	84	41	49	NE 0	S 0	NE 2	0	1	0	.	
22	8.8	19.1	14.4	14.1	4.4	719.0	717.8	717.0	76	44	57	NE 0	SE 0	NE 0	0	1	0	.	
23	8.8	**20.3**	11.3	13.5	3.6	717.8	716.9	717.2	85	42	67	NE 0	SE 0	SW 0	3	6	3	.	
24	9.4	18.0	10.7	12.7	2.7	718.4	717.5	717.9	84	62	87	NE 0	S 0	N 0	4	5	2	4.8	▽ 13¼-18½ mU
25	9.2	13.0	10.2	10.8	0.6	718.2	717.6	716.2	95	78	84	NE 0	W 0	W 0	3	9●	9	0.6	● 13-14¾
26	8.4	19.8	16.7	15.0	4.6	715.1	711.8	708.2	92	48	51	W 0	SE 1	NE 2	2	3	9	.	
27	10.3	14.6	9.2	11.4	0.9	**705.8**	706.0	709.2	88	62	89	NE 0	NW 2	W 0	10	10	10●	3.2	● 15-24
28	8.1	12.9	9.4	10.1	-0.6	712.1	712.7	714.2	77	49	55	**W** 2	SW 3	W 2	8	3	7	5.1	▽ 10¾-16 mU, ● 22¼-24¾
29	6.7	10.2	7.4	8.1	-2.7	718.1	719.4	722.0	67	65	71	SW 2	SW 3	SW 1	7	8	2	0.2	▽ 5, 16¼, ⌿ a-p
30	5.2	16.6	9.5	10.4	-0.6	721.6	720.5	719.0	89	42	75	NE 1	SE 1	SW 0	2	2	0	.	⊕ 16
Mittel	6.7	13.5	9.7	10.0	—	718.2	717.6	717.8	85	58	71				6.4	6.0	4.9	Summe 45.0	

April 1953
Beobachter: *Frl. H. Nager*

Altdorf

$\lambda = 8° 39'$, $\beta = 46° 53'$,
$H_b = 456.3$ m, $G = -0.05$ mm.

Tag	Lufttemperatur					Luftdruck			Relative Feuchtigkeit			Windrichtung und Stärke						Bewölkung			Niederschlag	Witterung
	7^{30}	13^{30}	21^{30}	Mittel	Abweich. vom Normalst	7^{30}	13^{30}	21^{30}	7^{30}	13^{30}	21^{30}	7^{30}		13^{30}		21^{30}		7^{30}	13^{30}	21^{30}		
1	7.9	12.8	9.1	9.9	2.9	725.3	723.3	723.9	94	78	78	W	0	NW	1	SE	0	10	4	0	.	
2	9.1	16.7	11.4	12.4	5.3	724.1	722.5	722.5	87	53	62	S	0	NW	1	NW	0	9	7	8	.	
3	15.7	20.8	17.4	18.0	10.7	720.0	720.3	719.1	45	39	40	SE	1	S	2	S	2	4	7	3	.	
4	17.7	19.9	11.8	16.5	9.1	717.5	715.8	716.8	42	40	70	S	2	SE	2	NW	1	6	5	8	7.5	● n (4./5.)
5	5.5	10.7	8.9	8.4	0.9	722.2	721.0	721.6	92	55	95	NE	0	NW	0	NW	0	7	8	10●	2.5	● p-n
6	7.1	12.5	8.0	9.2	1.5	720.2	719.9	722.8	95	60	87	SE	0	N	0	NW	0	7	10	10●	6.8	● p-n
7	7.0	11.5	7.8	8.8	1.0	723.9	723.9	723.6	96	46	70	NE	0	NW	0	NE	0	10●	7	8	.	● n-7½
8	5.3	18.2	11.8	11.8	3.9	721.0	717.8	716.9	85	37	66	NE	0	S	1	NW	0	10	8	10	.	
9	10.1	16.2	9.3	11.9	3.8	715.9	712.6	715.3	84	44	93	NW	0	NW	1	NW	0	9	8	10●	11.8	● 21-n
10	6.4	6.3	4.4	5.7	−2.5	717.5	719.9	723.5	93	90	98	N	0	N	0	NW	0	10●	10●	10●	24.2	● n-n
11	6.2	12.1	8.9	9.1	0.7	725.3	724.0	724.8	100	68	86	NE	0	NW	1	NE	0	8	6	3	.	
12	4.8	14.0	13.3	10.7	2.2	723.8	721.2	721.0	98	59	45	NE	0	NW	1	SE	1	0	0	4	.	
13	10.5	13.7	6.8	10.3	1.7	721.1	721.7	725.2	76	62	95	S	0	NW	2	NW	0	10	10	10●	4.7	● 16-n
14	5.4	6.5	3.6	5.2	−3.6	723.6	722.2	721.7	90	77	97	W	0	N	1	NW	0	10●	10●	10●	18.0	● n-n, ✳ n (14./15.)
15	2.6	2.8	2.5	2.6	−6.3	718.6	719.6	720.9	98	85	100	NW	0	N	1	NW	0	10●	10●	10●	14.8	● ✳ n-n
16	2.9	6.4	4.8	4.7	−4.4	721.9	722.1	723.9	100	71	97	NE	0	NW	1	NW	0	10	9	10	.	
17	4.3	9.9	6.2	6.8	−2.4	723.0	721.5	722.6	94	67	85	NW	0	NW	1	E	0	3	6	4	.	
18	4.3	12.3	9.0	8.5	−0.9	722.1	720.9	721.7	95	57	67	N	0	W	0	SW	0	2	3	2	.	
19	6.3	14.7	9.9	10.3	0.8	722.6	722.1	722.3	87	57	73	S	0	NW	1	SE	0	0	3	0	.	
20	6.7	15.7	11.3	11.2	1.6	722.3	721.4	721.8	90	60	57	E	0	NW	1	SE	0	0	2	2	.	
21	7.8	16.0	10.4	11.4	1.6	721.9	720.5	720.4	88	57	70	S	0	NW	1	NW	0	0	0	0	.	
22	7.5	16.4	12.5	12.1	2.2	721.5	720.4	719.9	89	54	64	W	0	NW	0	NW	0	0	0	2	.	
23	8.3	17.4	12.3	12.7	2.6	720.4	719.0	719.7	94	55	66	SE	0	NW	1	E	0	0	5	4	0.8	● n (23./24.)
24	9.9	18.3	11.2	13.1	2.9	721.3	719.7	720.8	92	49	75	E	0	NW	1	SE	0	10●	4	5	0.4	● n-a
25	10.5	16.7	13.0	13.4	3.1	720.5	719.7	719.0	89	53	65	SE	0	NW	0	SE	0	9●	6	10	1.5	● 7-a
26	10.3	19.1	17.1	15.5	5.0	717.3	714.1	711.4	84	49	40	E	0	NE	1	SE	2	0	4	6	.	
27	17.2	15.5	11.4	14.7	4.1	706.8	708.0	711.0	41	58	96	E	2	W	2	NW	0	10	10	10●	7.9	● p-n
28	9.3	13.3	9.2	10.6	−0.1	714.4	714.6	716.9	95	52	82	E	0	NW	1	SE	0	10	10	8	2.1	● 9-11
29	6.9	12.5	9.3	9.6	−1.3	721.2	720.6	724.7	86	49	89	SE	0	NW	1	NW	1	10	7	10	0.2	● 19¼-21
30	6.4	14.8	10.2	10.5	−0.5	724.2	724.5	721.8	80	51	75	NE	0	NE	1	SE	0	0	0	0	.	
Mittel	8.0	13.8	9.8	10.5		720.7	719.8	720.6	86	58	76							6.1	6.0	6.2	Summe 103.2	

April 1953
Beobachter: *Observatorium*

Genève

$\lambda = 6° 9'$, $\beta = 46° 12'$,
$H_b = 405.0$ m, $G = -0.03$ mm.

1	7.0	15.2	14.4	12.2	5.2	729.3	727.9	728.0	97	51	63	E	0	SSW	0	SW	0	5	5	10●	0.0	●tr 21½
2	8.9	18.0	14.1	13.7	6.6	728.4	727.7	726.5	81	55	82	SW	1	SW	1	S	1	9	6	10	3.0	● n (2./3.)
3	10.4	20.8	15.2	15.5	8.2	726.3	723.7	722.4	95	50	63	E	0	W	1	S	1	5	2	1	.	
4	8.5	18.4	6.4	11.1	3.7	719.9	718.5	724.4	94	59	89	E	0	S	1	S	1	2	7	10●	.	▽ 16, ● 21-22
5	4.6	9.0	10.4	8.0	0.4	726.8	725.7	726.2	87	76	60	ENE	0	SE	1	S	1	10	1	8	10.0	
6	7.0	14.4	10.2	10.5	2.8	725.3	725.3	726.7	80	45	70	SW	1	S	1	SW	1	10	9	7	0.1	▽ 18¼
7	6.2	16.4	8.4	10.3	2.5	729.1	727.8	727.4	79	38	67	S	1	SW	1	WNW	0	3	7	1	.	
8	5.0	11.4	10.2	8.9	0.9	725.2	722.9	722.5	94	59	92	NW	1	NW	1	SSW	0	3	9	10●	0.1	● 20-23 mU
9	8.2	11.2	8.6	9.3	1.2	720.0	720.0	720.8	100	73	89	SSW	0	SSW	2	S	0	10≡	10●	10●	3.0	● a-n mU, ≡ n-a
10	7.6	8.8	7.0	7.8	−0.5	723.2	724.4	727.4	80	80	88	E	0	NNE	1	NE	1	10	10	10	0.0	▽ p
11	7.0	10.6	7.6	8.4	0.0	729.4	729.3	729.2	94	74	91	E	0	NNE	1	NE	0	10	9	1	.	
12	4.2	11.4	14.5	10.0	1.5	728.9	726.5	725.4	93	78	62	NNE	1	S	0	S	1	0	3	10	.	
13	14.0	10.0	6.0	10.0	1.3	726.0	728.0	730.1	57	74	94	S	1	NNE	1	NNE	1	7	10●	10●	9.2	● a-n
14	5.8	9.6	5.0	6.8	−2.0	728.9	726.6	726.7	85	72	87	NE	1	NE	1	E	0	10	9	5	4.0	● 18¼-20
15	4.0	7.0	4.0	5.0	−4.0	724.9	724.5	724.9	61	49	73	NNE	0	NNE	1	ENE	1	7	7	9	.	
16	4.4	8.4	6.5	6.4	−2.7	725.4	726.2	727.6	77	55	76	NNE	2	NNE	1	NE	1	9	10	10	.	
17	6.4	11.0	8.2	8.5	−0.8	726.1	725.6	725.7	79	58	78	NE	1	NNE	1	NE	1	0	4	7	.	
18	6.6	15.8	11.4	11.3	1.9	726.4	725.1	725.7	79	50	83	NNE	0	NNE	1	NE	0	1	2	2	.	
19	6.9	15.0	12.8	11.6	2.0	726.8	725.1	725.4	94	58	62	NNE	1	NNE	1	NNE	0	0	2	0	.	
20	9.8	17.0	14.0	13.6	3.8	726.7	725.5	725.5	76	49	57	NNE	0	NNE	1	NNE	0	0	0	0	.	
21	7.7	17.2	14.9	13.1	3.2	725.9	724.6	723.8	89	50	70	SW	0	NNE	1	NW	0	0	1	2	.	
22	10.4	17.1	13.4	13.6	3.5	726.1	724.2	724.1	82	51	71	W	1	N	1	N	0	0	1	0	.	
23	10.6	20.7	13.1	14.8	4.6	724.8	723.3	724.7	85	47	80	N	0	NNW	1	SSW	0	0	1	5	0.2	▽ 17
24	12.0	18.4	15.2	15.2	4.8	725.8	724.6	725.1	83	54	60	W	0	N	1	ENE	1	4	6	8	.	
25	11.8	17.8	14.0	14.5	4.0	725.8	724.1	723.0	80	57	86	E	0	NNE	1	E	0	9	3	6	.	
26	11.0	18.2	14.8	14.7	4.0	721.9	717.5	715.8	83	55	84	NE	1	NNE	1	ESE	1	1	8	8	0.1	▽ 17¼
27	11.6	13.2	10.0	11.6	0.8	713.4	714.7	717.9	85	86	83	ESE	0	S	0	SW	1	10	10●	10●	5.8	● a-n
28	10.0	15.0	9.3	11.4	0.4	720.2	720.5	722.8	62	78	90	S	1	S	1	S	0	9	6	9	1.8	● p mU
29	8.7	14.0	7.3	10.0	−1.1	726.2	727.4	729.5	64	51	92	S	1	SSW	1	ESE	0	9	3	2	.	
30	7.0	13.7	11.0	10.6	−0.7	728.5	727.1	725.8	85	51	93	SE	0	NNE	1	E	0	1	4	5	0.0	● n (30./1.)
Mittel	8.1	14.2	10.6	10.9	—	725.4	724.5	725.0	83	59	78							5.1	5.5	6.2	Summe 37.3	

$\lambda = 8°\ 34'$, $\beta = 47°\ 23'$,
$H_b = 569.4$ m, $G = 0.03$ mm

Zürich

April 1953
Beobachter: *Meteorol. Zentralanstalt*

Tag	Lufttemperatur 7³⁰	13³⁰	21³⁰	Mittel	Abweich. vom Normalst	Luftdruck 7³⁰	13³⁰	21³⁰	Relative Feuchtigkeit 7³⁰	13³⁰	21³⁰	Windrichtung und Stärke 7³⁰	13³⁰	21³⁰	Bewölkung 7³⁰	13³⁰	21³⁰	Niederschlag	Witterung
1	5 8	13.9	9.0	9 6	4.1	714.9	713.9	712.9	99	50	78	SSE 1	S 1	W 1	9	3	1	1.3	
2	8.3	15.1	11.1	11.5	5.8	713.9	713.1	712.3	93	48	81	WSW 1	SSW 1	SSE 1	10●	9	0	0.1	⛆ 4¾-5, 6½ 6¾
3	10.5	18.8	14.7	14.7	8.9	711.1	710.4	708.4	77	47	44	NNW 1	SSW 1	S 1	9	5	0	0 0	⛆ I
4	12.1	**22.2**	5.5	13.3	7.3	706.4	704.8	708.6	57	**33**	80	WSW 1	SSE 2	W 1	2	2	10	0.9	
5	3 7	8.9	6.9	6.5	0.4	711.9	710.9	710.9	97	65	73	NE 1	N 1	SSW 1	9	7	9	.	● 1-1½, 2¾-4¾
6	6.3	12.7	8.0	9.0	2.7	710.0	709 9	711.6	82	41	70	S 1	SW 3	SSW 2	8	9	10	0.6	● 18½-20, 23¾-24, ⛆ I
7	6.3	11.3	5.8	7.8	1.4	713.7	714.1	714.0	70	45	66	SW 2	W 2	NE 1	2	5	0	.	● 0-0¾, ⛆ I
8	3.4	14.1	10.7	9.4	2.8	711.1	708.7	707.0	84	47	56	NE 1	NNE 1	N 1	9	10	0	0.6	
9	8.9	16.1	7.6	10.9	4.2	705.4	703 6	705.3	8	40	96	SSE 1	WNW 1	SSW 1	7	6	10●	14.5	● 2¾-3¼, 4¾-6½, 17¼-24
10	4.8	4.4	4.4	4.5	−2.4	707.2	709.1	712.3	94	96	100	SSW 2	SSW 2	S 1	10●	10●	10●	18.5	● 0-24
11	5.1	11.8	8.4	8.4	1.4	**715.2**	715.1	714.2	100	68	90	S 1	N 1	NE 1	10≡	4	0	0.0	● 0-0¾, 2¾-3¼, ≡ n-8½
12	4.7	17.4	11.5	11.2	4.0	713.6	712.1	710.6	100	45	65	SE 0	WSW 1	SSW 1	0≡	1	0	0.1	≡ n-9¾
13	10.1	7.5	5.1	7.6	0.3	711.0	712.9	714.8	77	85	97	W 1	W 2	WNW 1	10	10●	10●	9.0	● 5¼-5½, 13½-24
14	3.3	3.9	1.8	3.0	−4.5	713.3	712.3	711 2	95	96	100	NNW 1	SSW 1	SSW 1	10●	10●	10●	17.2	● 0-21¾, 23-24
15	0.8	2.8	**0.3**	1.3	−6.3	708.9	709.3	710.6	100	83	100	WNW 1	WSW 1	ESE 0	10*≡	10	10*	13.5	✳ 0-5¾, 7-11¾, 17¼-24, ≡ 5-7½ mU ⛆
16	0.6	4.9	3.6	3.0	−4.8	711.3	711.9	713.0	100	87	91	SSW 0	SSE 1	SSE 0	10●*≡	10	10	0.4	● ✳ 0-8, ● 8-9¼, ≡ n-a ⛆
17	4 1	10.3	6.2	6.9	−1.0	712.4	711.5	711.8	93	60	83	SSE 0	NNE 1	NE 1	10	7	0	.	
18	4.7	16.2	10.0	10.3	2.2	712.0	711.4	711.1	89	45	55	ENE 1	NNE 1	NNE 1	6	3	0	.	⛆ I
19	7.0	17.7	11.9	12.2	4.0	712.5	712.4	712.0	81	40	50	N 0	NE 1	ENE 1	1	1	0	.	⛆ I
20	8.5	18.9	12.9	13.4	5.0	712.4	711.9	711.8	68	42	59	NE 1	NE 1	NE 2	0	0	0	.	⛆ I
21	8.3	18.3	11.6	12.7	4.2	712.0	711.3	710.7	79	49	57	NNE 1	NNE 1	NE 2	0	0	0	.	⛆ I
22	7.8	19.3	13.8	13.6	4.9	711.6	710.8	709.9	67	47	53	SSE 1	NNW 1	NE 2	0	1	0	.	⛆ I
23	9.5	19.9	13.1	14.2	5.4	710.3	709.4	709.4	73	44	62	S 1	ENE 1	NE 1	0	1	9	0.4	⛆ I
24	10.7	18.4	10.9	13.3	4.3	710.8	709.8	710.1	86	46	71	S 1	S 1	SSE 1	1	5	1	1.4	● 3¾-4¾, ⛆ ● 15¼-16¼
25	10.4	10.5	11.0	10.6	1.5	710.3	710.2	708.6	75	87	75	SSE 1	ESE 1	S 0	4	8●	9	2.2	● ⛆ 13¼-13¾
26	10.1	19.6	13.4	14.4	5.2	707.5	705.2	701.5	73	41	61	S 0	ENE 1	NE 1	1	1	2	.	⛆ I
27	11.1	14.9	9.3	11.8	2.4	**698 0**	698.2	700.9	74	65	98	ENE 1	W 1	WSW 2	9	10	10●	9.8	● 15-24
28	7.6	13.6	7.1	9.4	−0.1	704.4	705.1	707.0	75	49	61	SSW 2	SW 2	N 1	4	5	2	2.6	● 0-3¾, ⛈ 12½
29	4.9	10.6	6.6	7.4	−2.2	710.4	711.0	714.4	82	51	77	SSW 2	SW 3	W 1	9	6	9	0.4	● 1¾-6¾, 14¾-15¼, 17¾, ⛈ 0¼-17¾
30	6.2	16.6	11.3	11.4	1.6	714.1	712.9	711.6	82	37	52	S 1	NNE 1	NE 1	2	1	0	.	⛆ I [mU
Mittel	6.8	13.7	8.8	9.8	—	710.6	710.1	710.3	83	56	73				5.7	5.3	4.1	Summe 93.5	

$\lambda = 6°\ 32'$, $\beta = 46°\ 51'$
$H_b = 1589$ m, $G = -0{,}13$ mm

Chasseron

April 1953
Beobachter: *Ch. H. Martin*

1	−2.1	4.0	5.0	2.3	—	630.2	630.6	630.1	95	85	81	WNW 2	S 1	W 4	5	5	6	.	⛈ III ⛆
2	3.0	4.9	4.6	4.2	—	630.6	630.8	629.9	100	100	88	S 3	S 3	SSW 3	10≡	10	8	6.5	● 8-n mU, ≡ n-12, ⛈ n-n ⛆
3	4.0	6.2	7.0	5.7	—	628.2	628.5	627.2	100	100	92	SSW 3	S 3	S 3	10	10≡ ☽	4	0.8	● n-7, ☽ ≡ 9-15, ⛈ n-n ⛆
4	6.3	9.1	−2.6	4.3	—	624.5	623.9	624 6	70	80	100	SSE 2	NW 2	NNW 3	8	9	10*≡	14.9	● ✳ 15½-n, ⛆ 15½-16½, ≡ 15-n ⛆
5	−3.0	1.0	−0.8	−0.9	—	626.6	626.8	627.5	100	70	100	S 3	SW 2	NW 3	5	4	10≡	.	≡ 18-n, ⛈ n-n mU] ⛈ III ⛆
6	−0.2	−1.0	−0.4	−0.5	—	626.5	626.8	627.9	82	100	100	W 2	W 4	W 4	9	10●*	10≡	4.3	● ✳ 12-17, ≡ 15½-n, ⛈ a-n ⛆
7	−3.1	−0.3	−1.0	−1.5	—	628.7	630.2	629.5	100	72	83	NW 4	WNW 2	E 2	10≡	8	0	0.1	✳ 9-10½ ml, ≡ n-9½, ⛈ n-a ⛆
8	2.1	7.2	2.3	3.9	—	627.0	626.2	625.2	64	**52**	100	S 2	SW 3	S 4	6	9	9●	1.6	● 19-n, ⛈ a-n ⛆
9	2.2	1.6	0.2	1.3	—	623.0	622.3	622.3	93	100	100	SSW 2	W 3	NW 4	5	10●≡	10*≡	5.8	● 13-15, ● ✳ 15-19, *) ⛆
10	−1.6	−1.2	−0.4	−1.1	—	623.4	625 2	627.5	100	100	100	NW 4	NW 3	NW 3	10≡	10≡	10☽≡	2.9	✳ n-12 mU, 14-19 mU, *) ⛆
11	−0.2	1.0	0.3	0.4	—	630.4	**631.0**	630.8	100	100	100	NE 2	E 2	ESE 2	10≡	10≡	10≡	.	≡ n-n mU ⛆
12	3.6	7.8	6.6	6.0	—	630.2	630.1	628.9	89	72	70	SSW 3	S 2	SW 3	2	6	8	.	⛈ n-n mU ⛆
13	2.4	−1.6	−3.0	−0.7	—	628 2	629.3	629.5	94	100	100	NW 4	NNW 3	NW 3	9	10*≡	10*≡	3.4	● 9¾-10½, ✳ 10½-n, ≡ 9½-n.*) ⛆
14	−4 0	−2 0	−4.6	−3.5	—	628.6	627.6	626.5	100	100	100	N 1	NW 2	NW 4	10·	1 *	9	4.1	✳ n-V, 10-17. ≡ n-18, ⛈ III ⛆
15	**−7.0**	**−5.6**	**−6.2**	−6.3	—	623.7	624.4	625.0	100	100	100	NW 3	NW 2	N 2	10≡	10*≡	10≡	1.4	✳ 11-15 mU, 18½-19, ≡ n-n, *) ⛆
16	−4.8	−2.6	−2.8	−3.4	—	625.5	626.8	628.1	100	100	100	NE 3	NNE 2	N 2	10*≡	10*≡	10☽·	0.4	✳ n-17 mU, ☽ 19-n, *) ⛆
17	−2.2	−1.0	−1.0	−1.4	—	627 4	627.1	627.4	100	100	100	E 1	E 2	E 2	10≡	10≡	5	.	≡ n-n mU ⛆
18	0.4	7.2	5.1	4.2	—	628.2	628.7	628.8	**52**	67	55	E 1	E 1	W 1	5	5	5	.	✳
19	4.4	7.2	5.8	5.8	—	629.2	630.0	629.5	80	70	68	E 1	E 1	E 2	3	3	5	.	⛆
20	5.6	10.0	7.0	7.5	—	629.2	630.0	629.6	79	**52**	70	E 2	SE 2	E 2	1	1	3	.	⛆
21	7.0	**10.2**	7.2	8.1	—	629.1	629.3	628.5	80	74	72	S 1	SE 1	E 2	0	4	2	.	⛆
22	7.2	9.6	7.6	8.1	—	629.0	629.2	628.6	80	70	60	NW 1	SE 1	SE 1	0	4	2	.	⛆
23	8.2	8.2	7.3	7.9	—	628.5	628.5	628.2	70	80	60	N 1	E 1	NE 1	1	5	6	3.4	⛆ 14-17
24	4.0	8.2	5.4	5.9	—	628.8	629.0	628.7	100	80	90	NW 2	W 1	ENE 1	6	6	5	.	⛆
25	5.2	5.0	6.0	5.4	—	628.4	628.4	627.3	65	80	75	NNW 3	N 2	NW 1	7	10●	6	4.9	⛆ ⛆ ▲ 13-13¾, ⛈ I ⛆
26	6.1	**10.2**	7.8	8.0	—	625.6	624 0	621 5	90	59	80	S 2	SE 1	ESE 1	4	5	10	0.2	● 20-20¾ ⛆
27	4.2	3.6	1.4	3.1	—	**617.9**	618.1	619.0	100	100	100	NW 3	WNW 2	NW 3	10≡	10●≡	10●·	7.0	☽ 9-11, ● 11-n, ≡ 5½-n,*) ⛆
28	−1.4	−0.1	−0.4	−0.6	—	621.2	622.7	623.5	100	97	100	W 4	W 4	W 4	8	9*	8	9.9	✳ 8½-14, △ 15½-16, *)
29	−3.6	−1.4	−1.6	−2.2	—	625.9	627.7	629.6	100	100	100	NW 4	W 3	W 4	10■	10*≡	6	4.6	✳ 9½-17, ≡ n-17.
30	−0.2	6.2	7.0	4.3	—	629.6	630.1	629.5	70	55	63	ESE 2	SSE 1	SW 1	4	4	4	.	⛆ I [⛆ ⛈ n-n ⛆
Mittel	1.4	3.7	2.3	2.5	—	627.1	627.4	627.3	88	84	87				6.6	7.6	7.2	Summe 76.2	

*) 9. ☽ 19-20½, ✳ 20½-n, ≡ 13-n, ⛈ a n 10 ☽ 19-n, ≡ n-12, 18-n, ⛈ n-n 13. ⛈ n-n, ⛈ I 15. \ ⛈ I 16. ≡\ n-n, ⛈ I
27 ⛈ n-n mU 28 ✳ 19-n mU ≡ n-11¼ mU 23-n ⛈ ⛆ n-n

April 1953
Beobachter: *B. Minsch und C. Clavuot*

Bever

$\lambda = 9° 53'$, $\beta = 46° 33'$,
$H_b = 1711.8$ m, $G = -0.23$ mm

Tag	Lufttemperatur					Luftdruck			Relative Feuchtigkeit			Windrichtung und Stärke			Bewölkung			Niederschlag	Witterung
	7^{30}	13^{30}	21^{30}	Mittel	Abweich. vom Normalst	7^{30}	13^{30}	21^{30}	7^{30}	13^{30}	21^{30}	7^{30}	13^{30}	21^{30}	7^{30}	13^{30}	21^{30}		
1	**-4.9**	8.2	1.4	1.6	3.2	622.0	621.5	622.2	98	44	89	S 0	SW 1	SW 0	6	2	1	.	⌴ l
2	0.3	8.2	1.4	3.3	4.8	**623.7**	622.9	623.5	95	55	89	SW 0	SW 1	SW 0	8	8	3	.	
3	2.1	8.9	4.2	5.1	6.4	622.7	621.6	622.0	99	68	90	SW 0	SW 1	SW 0	9	9	8	.	
4	1.2	5.0	3.2	3.1	4.3	621.3	620.1	618.8	93	80	94	SW 0	SW 1	W 0	10	10●	10●	18.8	● 7½-n
5	2.8	9.1	3.1	5.0	6.0	617.9	618.4	618.8	96	42	91	SW 0	SW 2	SW 1	6	6	7	.	
6	2.9	6.9	1.2	3.7	4.6	619.4	618.9	620.1	73	46	79	S 1	SW 2	SW 0	4	8	7	.	
7	1.0	6.4	2.1	3.2	3.9	619.4	619.6	621.0	81	43	64	SW 0	SW 1	NE 0	2	2	10	.	
8	-1.2	4.8	2.1	1.9	2.5	620.7	620.1	620.3	94	70	94	NE 0	SW 1	SW 1	10*	10	10●	0.5	* 7½, ● 20½-n
9	2.6	4.8	1.8	3.1	3.5	615.6	614.5	613.7	98	70	97	SW 0	SW 2	SW 0	10●	10	10●	2.4	● n-a, 19-n mU
10	0.4	2.2	-0.1	0.8	1.1	613.1	614.5	618.4	98	91	98	NE 0	NE 0	E 0	10●	10*	10●	3.9	● * n-n mU
11	0.3	9.0	0.2	3.2	3.3	621.8	621.3	623.4	81	46	70	NE 1	NE 0	NW 0	8	3	0	.	
12	-3.1	9.9	2.0	2.9	2.8	623.5	622.0	622.1	70	43	65	SW 0	SW 1	SW 0	1	1	2	.	⌴ l
13	2.4	6.7	2.5	3.9	3.7	621.7	620.1	620.5	90	62	96	SW 0	SW 2	SW 0	10	9	10●	0.9	● 20-n
14	2.1	2.1	1.4	1.9	1.5	617.9	616.0	616.1	100	73	86	NE 0	W 1	N 1	10	10*	10*	9.7	* a-n
15	-3.2	-2.6	-3.8	-3.2	-3.8	612.4	612.4	614.4	87	72	75	N 1	NW 1	NW 1	10*	10*	10	0.9	* n-p
16	-3.7	0.8	-1.1	-1.3	-2.0	615.4	616.2	618.3	66	56	67	NE 0	NW 3	NE 1	8	10	3	.	⛈ II
17	1.3	8.0	-1.8	2.5	1.6	618.5	618.1	621.2	62	39	79	W 0	W 0	SW 0	8	2	0	.	
18	-4.0	8.2	3.2	2.5	1.4	621.1	620.5	621.3	83	41	77	W 0	W 0	SW 0	8	2	0	.	
19	0.0	9.6	2.4	4.0	2.7	621.8	621.2	621.9	85	40	75	SW 0	SW 1	SW 1	0	2	8	.	
20	-1.8	10.8	4.5	4.5	3.1	622.6	621.7	622.0	90	37	82	SW 0	SW 0	S 0	0	2	0	.	
21	-1.3	11.6	2.8	4.4	2.8	621.9	621.0	621.0	95	26	76	SW 0	SW 1	SW 0	0	1	1	.	
22	-1.2	14.1	4.8	5.9	4.1	621.1	620.0	620.5	95	**29**	72	W 0	S 1	SW 0	0	1	1	.	
23	1.9	**14.4**	4.6	7.0	5.0	620.5	619.1	619.7	87	33	80	SW 0	SW 1	SW 0	0	3	4	0.4	● n (23./24.)
24	3.1	8.4	1.0	4.2	2.0	619.2	619.3	619.6	98	48	74	W 0	NW 2	SW 0	4	4	1	.	
25	0.4	7.4	3.6	3.8	1.5	619.9	618.1	618.7	90	57	67	SW 0	NW 0	NW 0	10	10	3	.	
26	0.4	10.0	5.2	5.2	2.7	617.9	617.0	615.5	98	52	80	SW 0	SW 3	SW 0	2	8	8	0.1	● 19-20 mU, ⛈ II
27	5.6	9.2	3.4	6.1	3.4	610.8	**609.0**	610.6	72	57	96	NE 0	S 1	SW 1	10	10	10●	13.6	● 14-n mU
28	1.7	6.3	1.2	3.1	0.2	612.1	613.7	615.2	94	44	97	N 0	W 1	SW 1	10*●	3	10*	7.5	* ● n-8¾, * 18¼-n
29	1.1	3.6	-1.8	1.0	-2.1	615.3	618.2	621.4	92	48	74	NE 0	N 1	SW 0	10	8	3	.	
30	-2.4	10.2	1.9	3.2	-0.1	622.3	621.1	621.8	83	35	68	SW 0	NW 0	W 0	1	0	0	.	
Mittel	0.2	7.4	1.9	3.2	—	619.1	618.6	619.5	88	52	81				6.2	5.8	5.3	Summe 58.7	

April 1953
Beobachter: *Couvent des Capucins*

Sion

$\lambda = 7° 21'$, $\beta = 46° 14'$,
$H_b = 548.6$ m, $G = -0.11$ mm.

1	8.2	17.4	13.0	12.9	5.0	717.0	715.1	715.9	92	48	60	ENE 1	SW 0	SW 0	8	2	3	0.7	
2	10.0	17.0	13.2	13.4	5.3	717.0	716.0	715.4	92	46	57	ENE 0	WNW 0	WNW 1	8	8	2	.	● 5½-7
3	11.8	18.4	14.9	15.0	6.8	714.7	714.0	713.2	64	47	46	E 0	WSW 1	WNW 0	9	9	2	.	
4	11.3	19.0	8.4	12.9	4.5	711.5	708.9	710.8	61	41	77	ENE 0	W 2	W 3	3	6	3	.	⛈ p-n
5	5.2	14.8	9.6	9.9	1.4	714.3	712.4	713.2	94	53	61	WSW 0	WSW 1	WSW 1	3	2	2	.	⛈ p
6	7.8	17.6	8.8	11.4	2.7	713.5	711.7	714.5	68	33	84	SSW 0	W 2	W 2	8	6	10	1.4	● 20-20¾, 22½-24
7	7.9	15.4	9.0	10.8	2.0	715.8	715.2	715.1	82	36	**30**	WSW 0	WSW 2	WSW 1	3	7	2	.	● 0-1¾
8	7.5	18.5	12.1	12.7	3.7	714.7	711.1	710.1	62	32	52	NNE 0	NNE 1	WSW 1	4	9	8	3.0	● 23-24
9	8.2	16.3	8.5	11.0	1.9	709.2	707.3	708.3	100	47	94	WSW 0	WSW 0	WSW 0	7	8	10	5.4	● 0-4¾, 18-19¼, 23-24
10	6.2	9.3	6.6	7.4	-1.9	710.1	711.5	713.6	88	72	79	WSW 1	WSW 2	WSW 2	10	10	10	.	● 0-4
11	6.4	15.7	9.4	10.5	1.1	717.3	715.8	716.8	92	43	76	W 0	WNW 1	WNW 0	10	2	0	.	
12	7.7	18.4	12.9	13.0	3.4	717.1	714.4	713.7	80	34	50	WNW 0	WSW 0	WSW 0	0	4	0	0.3	
13	10.8	14.6	11.5	12.3	2.6	714.7	713.7	715.5	73	56	97	ENE 2	NW 3	WSW 2	10	9	10●	2.6	● 5¾-6, 16¾-22¾, ⛈ a-p
14	5.0	7.7	3.9	5.5	-4.4	715.4	714.0	713.3	96	66	82	NW 0	WNW 2	WSW 3	10	10	10	.	● 5-7, ⛈ p-n
15	3.9	6.2	3.7	4.6	-5.4	710.7	710.6	711.7	75	53	63	WSW 1	W 3	W 1	10	10	3	.	⛈ a-p
16	**3.4**	12.3	8.6	8.1	-2.1	713.3	712.7	714.5	71	40	57	W 0	W 2	W 1	6	6	10	.	
17	6.1	14.7	8.1	9.6	-0.7	714.7	712.9	713.7	78	41	79	WSW 0	WSW 1	W 1	9	1	0	.	⛈ p
18	6.1	18.3	12.1	12.2	1.7	714.6	712.6	714.1	78	46	79	ENE 1	E 1	E 1	4	2	0	.	
19	8.6	20.0	13.4	14.0	3.4	715.3	713.5	713.9	83	33	48	NE 0	NE 0	NW 1	0	1	0	.	
20	9.8	20.7	13.8	14.8	4.0	715.2	713.5	714.3	67	33	48	NE 1	NE 0	ENE 1	0	0	0	.	⛈ p
21	10.5	20.5	13.5	14.8	3.9	715.3	**717.7**	712.9	58	33	51	ENE 0	NE 0	ENE 2	0	0	0	.	
22	10.2	**21.7**	14.4	15.4	4.3	714.7	712.3	712.5	53	31	42	ENE 0	ENE 0	ENE 2	0	0	0	.	
23	9.5	21.6	14.4	15.2	4.0	713.9	711.5	712.1	58	34	46	ENE 0	WSW 0	WSW 1	0	1	8	.	
24	13.0	20.0	13.2	15.4	4.0	714.0	712.9	712.8	60	33	55	WSW 1	S 1	ESE 1	3	2	1	.	
25	10.7	19.2	13.2	14.4	2.9	713.9	712.5	711.3	71	47	56	ENE 0	ENE 1	WNW 1	7	8	4	.	
26	10.4	20.4	15.8	15.5	3.8	711.3	706.8	705.3	73	36	45	ENE 0	E 1	ENE 0	0	4	5	.	
27	12.8	16.8	11.4	13.7	1.9	701.6	**701.4**	703.7	62	54	97	ENE 0	WSW 1	W 0	10	10	10	1.7	● 14½-19½
28	10.3	16.8	10.6	12.6	0.6	707.1	706.9	709.0	63	34	41	W 1	WSW 3	WSW 0	3	3	5	3.7	● 0¼-1, ⛈ a-p
29	7.8	14.4	10.2	10.8	-1.3	713.9	714.0	716.6	78	35	54	WSW 0	WSW 2	W 2	4	6	6	.	● 0-0¼, 3¾-5
30	8.0	19.0	11.5	12.8	0.5	716.9	714.0	714.2	64	37	59	ENE 0	SW 1	W 1	7	2	0	.	
Mittel	8.5	16.8	11.0	12.1	—	713.6	712.2	712.7	75	43	62				5.2	4.9	4.1	Summe 18.8	

$\lambda = 8°\,57'$, $\beta = 46°\,0'$,
$H_b = 276.2$ m, $G = -0.01$ mm.

Lugano

April 1953
Beobachter: *G. Vicari*

Tag	Lufttemperatur					Luftdruck			Relative Feuchtigkeit			Windrichtung und Stärke			Bewölkung			Niederschlag	Witterung
	7^{30}	13^{30}	21^{30}	Mittel	Abweich. vom Normalst.	7^{30}	13^{30}	21^{30}	7^{30}	13^{30}	21^{30}	7^{30}	13^{30}	21^{30}	7^{30}	13^{30}	21^{30}		
1	7.4	17.8	12.4	12.5	3.4	739.4	739.6	740.2	93	56	76	NNW 1	S 1	NW 1	8	5	9	.	
2	10.2	19.4	12.6	14.1	4.8	741.2	741.1	740.7	92	52	71	W 1	SW 1	NNW 1	10	6	10	.	
3	10.4	12.4	11.8	11.5	2.1	740.1	740.6	739.5	88	93	96	S 1	W 1	NW 1	10	10	10	5.0	☽ 10½–15½, ☽● 19½-n
4	10.4	11.6	12.2	11.4	1.8	738.1	737.5	734.8	97	94	63	— 0	W 1	E 2	10	10	7	10.7	☽● 8½–10½ mU
5	13.4	15.4	11.4	13.4	3.7	735.5	735.8	736.6	75	61	91	N 1	S 1	NNE 1	9	10	8	5.4	♁ 9–11½, ⚳ 14–15, ● 20-21
6	9.4	13.8	11.2	11.5	1.7	738.0	738.3	737.7	83	56	66	N 1	SSW 1	— 0	4	9	6	.	
7	8.8	21.0	11.4	13.7	3.7	737.9	737.0	737.2	80	38	66	N 1	S 1	NNW 1	0	4	0	0.0	●tr n (7./8.)
8	9.2	11.4	10.4	10.3	0.2	738.5	738.8	736.4	77	82	82	N 1	N 1	WNW 1	10	10	10	2.1	☽ 10–12, ●☽ 20-n
9	9.4	15.2	9.6	11.4	1.2	733.3	731.3	730.0	98	63	93	W 1	S 1	S 1	10●	10	10	22.6	● 7–8, 14½–17½
10	9.2	9.8	11.4	10.1	−0.3	730.0	730.9	733.6	96	86	51	SW 1	W 1	ESE 1	10●	10●	10	15.2	● n–14
11	6.8	19.0	13.4	13.1	2.6	738.2	737.8	740.5	89	46	68	N 1	S 1	N 1	0	0	6	.	
12	11.4	20.8	13.2	15.1	4.5	**741.7**	739.7	739.6	81	46	70	S 1	S 1	N 1	9	2	10	0.9	●tr 16, ● n (12./13.)
13	11.0	11.4	10.2	10.9	0.1	739.6	739.9	739.0	75	77	97	S 1	S 1	WSW 1	10	10☽	10	11.1	●☽ a–20½
14	8.8	9.6	6.4	8.3	−2.6	736.9	735.3	733.3	95	78	83	SW 1	NNW 1	N 2	10●	10☽	10	13.3	●☽ n–20½
15	7.4	9.8	8.6	8.6	−2.4	728.2	727.3	728.9	53	37	35	N 2	N 2	N 2	10	10	10	.	
16	11.2	19.4	11.0	13.9	2.7	730.5	731.2	733.7	32	27	69	N 2	NNE 2	S 1	10	10	10	.	
17	**5 8**	19.2	12.4	12.5	1.2	734.9	734.1	736.2	83	42	55	N 1	S 1	N 1	3	0	0	.	
18	7.8	18.0	10.4	12.1	0.7	739.0	738.5	739.2	80	48	78	N 1	S 1	N 1	0	9	5	.	
19	8.4	20.8	11.8	13.7	2.1	739.8	738.5	739.0	82	44	71	N 1	S 1	NNW 1	3	1	2	.	
20	8.8	22.6	13.2	14.9	3.2	739.9	739.0	739.2	81	44	55	N 1	S 1	N 1	0	2	1	.	
21	9.4	**22 8**	13.4	15.2	3.4	739.6	737.9	737.5	76	40	51	N 1	S 1	N 1	0	1	0	.	
22	8.8	22.4	16.0	15.7	3.7	737.9	736.5	736.9	78	42	63	N 1	S 1	N 1	0	0	8	.	
23	10.0	21.6	15.2	15.6	3.5	737.5	735.5	735.2	85	46	62	N 1	S 1	N 1	7	5	4	.	
24	10.0	18.8	15.2	14.7	2.5	735.6	734.9	735.4	84	57	62	N 1	S 1	N 1	0	8	8	0.0	●tr 14
25	10.8	20.4	14.4	15.2	2.8	736.3	734.9	734.7	92	54	77	N 1	S 1	SE 1	1	8	9	0.0	●tr. 14¼
26	11.8	14.0	14.2	13.3	0.8	734.7	734.2	731.6	86	82	90	N 1	N 1	NNW 1	9	10☽	10●	**23 8**	☽● 8½–14, ♁ 15½, ● 18¼-n
27	10.8	13.0	12.0	11.9	−0.7	726.4	**724.2**	725.5	90	89	94	W 1	W 1	NNW 1	10●	10●	10	10.2	● n–20½
28	11.2	18.8	12.2	14.1	1.3	726.9	728.7	731.5	67	36	71	**E** 1	N 1	N 1	2	8	10	0.2	● 18¾–19¼
29	9.8	20.0	10.8	13.5	0.6	732.8	733.7	735.7	78	**26**	55	W 1	NNE 1	N 1	10	1	0	3.9	● 8–9, ⚳ 8–8¼
30	8.2	22.4	13.2	14.6	1.5	739.5	738.0	738.4	62	41	61	N 1	S 1	N 1	1	0	1	.	
Mittel	9.5	17.1	12.1	12.9	—	736.3	735.7	735.9	81	56	71				5.9	6.3	6.8	Summe 124.4	

$\lambda = 7°\,35'$, $\beta = 47°\,33'$,
$H_b = 317.3$ m, $G = 0.11$ mm.

Basel

April 1953
Beobachter: *Astronom.-Meteorol. Anstalt*

1	5.5	15.2	10 8	10 5	4.0	737.3	735.8	735.4	86	44	63	E 0	NE 1	W 1	2	1	10	1.6	
2	7.1	15.6	9.8	10.8	4.2	735.6	735.0	734.0	93	89	82	E 1	ESE 1	E 1	10	8	1	1.7	● 4¾–6¾ mU, 11½–13¼ mU
3	10.4	22.2	14.5	15.7	9.0	733.1	732.2	730.3	88	43	68	ESE 1	SSW 3	ESE 1	10●	3	1	0.6	● 6¾–9 mU, ☄ a-p
4	12.3	22.0	4.2	12.8	5.9	728.1	726.0	731.9	66	39	85	E 1	WNW 1	WSW 2	7	4	8	5.0	● 17½–17¾, 21½–24
5	4.0	16.2	7.2	9.1	2.1	734.1	732.4	734.0	90	51	74	ENE 1	SSE 1	WNW 1	1	0	0	.	● 0–4¾, ☄ 19¼
6	6.0	10.0	8.6	8.2	1.0	732.2	732.8	733.6	76	74	69	ESE 1	W 1	SSW 1	2	10●	10	0.0	●tr 13½, ☄ 12¾
7	8.0	11.8	6.8	8.9	1.6	736.0	736.6	736.2	63	57	66	WNW 1	W 1	E 1	7	8	1	0.3	♁ 12¾–13, ⊕ 18
8	**2 7**	14.3	10.8	9.3	1.9	734.0	730.9	729.4	87	49	72	NW 1	E 1	SE 1	4	10	10●	0.7	●tr 21½, ⊕ 14
9	9.4	16.2	9.0	11.5	3.9	727.9	726.2	727.8	87	46	76	ESE 1	WNW 2	WNW 1	4	10	10	6.6	● 0¾–1½, 3½–3¾, 21½–24
10	7.4	9.2	8.2	8.3	0.6	729.4	731.1	735.1	90	87	91	WNW 1	WNW 1	NNW 1	10●	10●	10	**9.5**	● 0–17½
11	6 7	11.2	9.6	9.2	1.3	**737.8**	737.6	736.6	100	79	83	NNW 0	NNW 1	S 0	10≡	10	10	.	● 2¾–3, ≡ 3–11
12	7.9	20.5	11.3	13.2	5.2	735.2	733.1	732.2	85	38	72	ESE 1	ESE 1	SE 0	0	1	2	.	
13	9.8	9.2	6.2	8.4	0.3	733.1	736.1	737.3	79	63	91	ENE 1	WSW 2	SSE 1	9	10	10●	1.7	● 10¾–11¼, 15–19, 21½
14	5.7	6.8	4.1	5.5	−2.8	736.1	734.8	733.8	90	88	93	S 1	S 1	SE 1	10	10	9	4.4	● 2¾ 5¾ mU, ♁ 11–20¼ mU
15	3.0	5.3	4.5	4.3	−4.1	732.6	732.7	733.7	87	63	73	WNW 1	NNW 1	NNE 1	10●	10	10	0.5	●tr 7½, ☽ 21¾, ● 23¼–24
16	4.2	9.2	6.0	6.5	−2.1	734.2	734.7	735.6	87	68	90	NW 1	NW 1	S 1	10	10	10	.	● 0–2 mU
17	6.1	10.8	6.1	7.7	−1.0	735.2	734.2	733.8	87	64	84	WNW 0	NNW 1	NNW 0	10	10	7	.	
18	5.4	17.0	9.4	10.6	1.7	734.5	733.5	733.4	86	**27**	71	ENE 0	NW 1	SE 1	6	10	0	.	⏢ I
19	7.9	19 7	12.8	13.5	4.5	734.9	734.6	734.0	75	43	54	ESE 1	NNW 1	ESE 1	2	1	0	.	⏢ I
20	8.6	19.6	11.3	13.2	4.1	734.8	734.0	733.8	79	48	73	SW 1	WNW 1	WSW 1	0	0	0	.	
21	8.4	19.0	13.0	13.5	4.2	734.3	733.5	732.8	78	48	55	SW 0	NNW 1	E 1	0	0	0	.	
22	8.9	20.8	10.5	13.4	4.0	733.8	732.8	732.0	67	40	80	E 1	W 1	SW 1	0	0	0	.	
23	9.2	**22 6**	13.8	15 2	5.6	732.5	731.7	731.6	70	38	60	E 1	N 1	S 1	0	1	10	0 2	♁ 23–23¾
24	11.4	22.0	11.2	14.9	5.2	732.6	731.8	732.1	77	44	72	E 1	NW 1	SSE 1	1	3	3	.	
25	9.9	19.0	10.4	13.1	3.3	732.6	731.7	730.8	76	45	81	E 1	W 1	S 1	3	10	1	.	Ψ III
26	8.5	21 0	12.7	14.1	4.1	730.3	727.1	723.6	83	45	67	ESE 1	NNW 1	NNE 0	0	1	1	.	⏢ I
27	10.5	15 5	9.8	11.9	1.8	721.3	**721.0**	723.3	87	68	86	ESE 0	W 1	WSW 1	9	10●	10●	2.0	● 13½, 16½, 17½–22
28	11.0	15.7	7.8	11.5	1.2	726.6	727.0	729.0	60	39	85	WSW 1	WNW 1	S 1	3	8	10	1.8	♁ 2-2¾, 13¾, 15¼-15¾, ◠ 8, 17–17¼,
29	8.3	12.0	8.2	9.5	−0.9	732.6	733.4	736.4	66	55	72	SW 1	WSW 2	WSW 1	8	6	9	0.1	♁ 0-1¼, 5¼, 6-6¼, 17¾ [☄ 13¾, 17
30	5.4	17.8	11.0	11.4	0.9	736.5	734.7	733.3	94	34	62	ESE 1	E 1	ESE 1	1	1	0	.	☄ 15½
Mittel	7.7	15.6	9.3	10.9	—	733.0	732.3	732.6	81	54	75				5.0	5.8	5.4	Summe 30 7	

April 1953
Beobachter: *Observatorium*

Säntis

$\lambda = 9°\,20'$, $\beta = 47°\,15'$,
$H_b = 2500.1$ m, $G = -0.27$ mm.

Tag	Lufttemperatur 7³⁰	13³⁰	21³⁰	Mittel	Abweich. vom Normalst	Luftdruck 7³⁰	13³⁰	21³⁰	Relative Feuchtigkeit 7³⁰	13³⁰	21³⁰	Windrichtung und Stärke 7³⁰	13³⁰	21³⁰	Bewölkung 7³⁰	13³⁰	21³⁰	Niederschlag	Witterung
1	−5.2	−2.9	−2.4	−3.5	2.9	562.1	563.0	563.5	100	78	97	W 3	WSW 3	W 2	10≡	1	1	0.2	✳ n (1./2.), ≡ n-12
2	−2.4	0.5	−1.1	−1.0	5.3	563.6	564.2	564.0	96	87	80	SW 2	SW 2	S 2	10	7	1	0.5	⟠ 6¾, ▽ 9½-10, 10¾-11,
3	0.5	2.4	0.4	1.1	7.3	562.7	563.2	562.3	79	75	73	S 3	SSW 3	S 3	3	5	1	.	[≡ 15-16½ mU
4	2.0	2.4	−0.5	1.3	7.5	560 9	560.2	558.7	60	72	95	S 3	WSW 2	SW 2	3	9	9	5.0	▽ 12½-12¾
5	−7.6	−4.8	−6.7	−6 4	−0.3	559.0	559.5	559.9	96	49	95	W 4	WSW 3	W 3	10	10	10	2.8	▽ 15-15¾, ⬋ I
6	−5.0	−2.8	−6.1	−4.6	1.4	559.6	559.5	559.5	82	96	100	WSW 1	WSW 2	W 3	9	10≡	10≡*	6.5	✳ 19½-n ≡ 11¼-13¾, *)
7	−8.2	−6.0	−6.6	−6.9	−1.0	559.9	561.4	561.9	95	98	96	W 3	W 3	S 2	10≡	9	10≡	1.6	▽ 15¾-16¾, ≡ n-a, 20½-n,
8	−5.0	−0.2	−1.8	−2.3	3.6	560.5	560.5	559.2	97	91	70	WSW 2	SSW 3	SSW 2	9	6	10	.	[V I
9	−2.6	1.8	−3 2	−1.3	4.5	557.0	556.3	555.5	100	80	98	SSW 2	SW 2	WSW 2	10	9	10≡	4.8	▽ 6¾, △ 17¾-20, ≡ 8½-12,
10	−6.0	−4.0	−5.0	−5.0	0.7	555.4	556.8	559.8	100	98	100	WNW 2	NNW 3	N 3	10≡*	10≡*	10≡*	12.0	✳ ≡ n-n]15½-n, V III
11	−4.4	−2.0	−3.2	−3.2	2.4	562.4	563.5	**564.8**	100	100	98	N 3	ENE 2	S 1	9	1	0	.	
12	0.0	2.8	−1.2	0.5	6.0	563.8	564.1	562.9	55	60	78	W 2	WSW 1	S 1	0	2	5	0.1	✳ n (12./13.)
13	−2.2	−2.4	−3.8	−2.8	2.6	561.9	562.0	561.8	90	90	100	SW 1	SSW 1	Calm.	10≡*	10≡*	10≡*	3.8	✳ ≡ n-n
14	−6.2	−2 4	−9.4	−6.0	−0.7	559.5	558.4	557.2	98	72	98	Calm.	W 1	NW 2	10≡*	10≡*	10≡*	18.8	✳ ≡ n-n
15	−10.8	−9.6	**−11 2**	−10.5	−5.3	554.3	554.5	555.8	98	96	100	N 2	N 2	N 3	10≡*	10≡*	10≡*	19.9	✳ ≡ n-n
16	−9.6	−6.4	−7.4	−7.8	−2.8	556.7	558.1	559 4	96	98	98	N 2	N 3	E 2	10≡	10≡	10≡	.	≡ n-n
17	−7.0	−5.6	−5.6	−6.1	−1.2	559.4	559.8	560.8	98	97	97	NNE 2	NE 1	NE 2	10≡	1	1	.	≡ n-a, V I
18	−1.4	−0.4	−3.4	−1.7	3.1	561.3	562.0	562.3	96	80	82	WSW 2	S 2	SW 2	2	2	2	.	⊕ 16½
19	1.0	0.0	−2.0	−0.3	4.3	562.4	563.3	563.5	60	83	92	Calm.	SE 2	NNE 1	1	2	0	.	≡ 17¼-20½
20	0.2	2.0	−1.0	0.4	5 2	562.9	563.5	563.8	55	70	97	SE 2	SSE 2	SE 2	0	1	1	.	≡ 17-20
21	2.2	2.4	−0.6	1.3	5.6	562.6	563.1	562.7	**43**	52	85	Calm.	SSW 2	E 1	0	1	0	.	≡ 16½-17¾
22	3.0	3.8	0.6	2.5	6.7	362.3	562.8	562.7	57	80	85	NNE 1	SE 1	W 1	0	2	0	.	
23	1.8	3.0	−0.5	1.4	5.4	561.8	561.9	561.6	64	82	100	W 1	W 1	N 1	0	8	10≡*	0.2	✳fl 15½, ▽ 21-21½, ≡ 21-n
24	−1.8	2.3	−2.0	−0.5	3.3	561.4	561.8	561.6	100	62	87	N 1	WSW 1	WNW 1	10≡*	4	8	3.1	▽ 7¾-11 mU, 16¾-17, ≡ n-11¾
25	−1.7	−0.2	−2.3	−1.4	2.3	560.9	561.1	560.3	100	87	97	W 3	W 3	W 3	10≡	7	9	1.3	▽ 17½-18½, ✳ n-9¾, 17¾-
26	−0 2	**4.2**	0.4	1.5	5.0	559.3	558.9	556.3	83	69	64	W 2	SW 2	S 3	5	5	2	.	[20, V a
27	1.0	0.0	−1.9	−0.3	3.0	552.9	**552.3**	552.3	65	89	100	SSE 3	SE 1	W 3	10	10*	10≡*	**29.2**	▽ 9½-9¾, 11¼-16½ mU,*)
28	−6 1	−3 6	−5.5	−5.1	−2.0	553.0	555.5	556.5	100	100	100	W 3	W 3	WNW 3	10≡	10≡	10≡	13.9	✳ n-7, 8-0½, 18-18½, *)
29	−8.8	−6.3	−6.4	−7.2	−4.3	556.1	558.7	560.9	100	100	100	W 4	W 3	W 4	10≡*	10≡*	10≡	11.8	✳ n-8¾, 11¼-14½, ≡ n-n,*)
30	−5.2	−0.8	−1.9	−2.6	0.1	562.1	563.2	563.5	65	60	69	WSW 2	W 2	WSW 1	5	1	1	.	⊕ 10½
Mittel	−3.2	−1.1	−3.4	−2.6	—	559.9	560.4	560.5	84	82	91				6.9	6.1	6.0	Summe 135.5	

April 1953
Beobachter: *E. Chiesa*

St. Gotthard (Hospiz)

$\lambda = 8°\,34'$, $\beta = 46°\,33'$,
$H_b = 2095$ m, $G = -0.25$ mm.

1	−3.3	4.5	1.2	0.8	5.4	591.8	592.7	593.0	100	85	100	NW 1	SE 1	SE 1	10≡	6	10	3.2	● n (1./2.), ≡ n-a
2	0.4	1.7	1.8	1.3	5.8	593.2	593.7	593.8	100	100	91	SE 1	SE 1	SE 1	10	10❩≡	10	7.8	≡ ❩ a-p, ● n (2./3.)
3	0.9	1.0	0.8	0.9	5.4	592 8	593.1	592.6	100	100	100	SE 1	SE 1	SE 1	10≡❩	10●≡	10●	19.7	❩ n-8¼, ●✳ 8¼-n, ≡ n-p
4	1.0	2.1	0.2	1.1	5.5	591.0	590.4	588.0	100	95	100	SE 1	SE 1	SE 1	10●≡	10●≡	10*≡	**51 2**	● n-16¾, ✳ 16¾-n, ≡ n-n
5	−4.3	1.8	−0.5	−1.0	3.3	588.1	588.7	589.1	100	92	97	SE 0	SE 1	SE 0	10*	10	10*≡	27.3	✳ n-n mU, ≡ p-n
6	−1.9	0.0	−2.2	−1.4	2.8	589.1	589.3	589.5	100	90	95	SE 1	SE 2	SE 1	10*≡	10*≡	10*≡	23.1	✳ ≡ n-n
7	−4.2	−3.4	−4.3	−3.0	1.1	589.7	590.9	591.1	100	61	89	NW 1	NW 1	NW 1	9	6	3	.	
8	−1.0	0.8	−0.4	−0.2	3.8	590.7	590.7	589.0	87	92	99	SE 1	SE 0	SE 2	10	10❩≡	10*≡	7.9	❩ a-p, ✳ p-n, ≡ a-n
9	−0.8	2.9	−0.9	0.4	4.2	586.6	585.6	584.7	100	79	100	SE 1	SE 2	SE 1	10*≡	10*≡	10*≡	4.9	✳ ≡ n-n
10	−4.0	−3.0	−4.3	−3.8	−0.2	584.2	585.4	588.2	100	100	100	NW 2	NW 3	NW 3	10≡	10≡	10≡	3.8	≡ V n-n, ⊹ ⬋ a-n
11	−2.9	−0.3	−0.3	−1.2	2.3	591.3	592.2	**593 9**	96	81	79	NW 2	NW 1	NW 0	10≡	10	0	.	≡ n-a
12	1.2	6.7	1.6	3.2	6.5	593.7	593.5	592.7	100	36	82	SE 1	SE 1	SE 1	10	6	10	4.7	✳ n (12./13.)
13	0.0	2.4	−2.6	−0.1	3.0	591.1	591.2	591.1	99	98	100	SE 1	SE 0	NW 1	10≡	10❩≡	10*≡	9.9	❩ a-p, ✳ 20½-n, ≡ n-n
14	−6.0	−4.5	−7.0	−5.8	−2.9	588.9	587.9	586.3	100	100	100	NW 2	NW 2	NW 3	10*≡	10*≡	10*≡	7.2	✳ ≡ ⊹ n-n, ⬋ III
15	−8.3	−8.0	**−9 2**	−8.5	−5.8	582.8	583.3	584.4	100	100	100	NW 3	NW 3	NW 4	10*≡	10*≡	10*≡	3.0	✳ ≡ ⊹ ⬋ n-n
16	−8.6	−4.7	−6 0	−6.4	−3.9	585.8	587.4	588.7	100	97	100	NW 2	NW 2	NW 1	10≡	10≡	10≡	0.7	⊹ n-p, ≡ n-n, V I, III
17	−7.0	−0.1	−3.0	−3.4	−1.1	588 7	588.6	589.7	100	57	80	NW 2	NW 2	NW 1	10≡	0	0	.	≡ n-a
18	−1.2	2.2	−0.3	0.2	2.3	59 0.5	591.3	591.5	95	77	90	NW 0	SE 1	SE 0	10≡	10	10	.	≡ n-a mU
19	−0.2	0.6	0.2	0.2	2.1	591.6	592.2	592.3	100	49	84	SE 1	SE 1	SE 0	9	6	0	.	
20	0.0	5.9	1.0	2.3	4.0	592.3	592.8	592.8	82	48	85	SE 1	SE 1	SE 0	0	9	3	.	
21	−0.1	6.8	1.0	2.6	4.1	592 4	592.5	591.7	68	**32**	64	SE 1	SE 1	SE 0	0	3	0	.	
22	0.0	**7.4**	1.6	3.0	4.3	591.2	591.7	591.8	40	**32**	85	SE 0	SE 1	SE 0	0	0	0	.	
23	0.8	6.3	2.4	3.2	4.3	591.4	591.1	590.8	91	45	82	SE 0	SE 0	NW 0	0	3	10	.	
24	0.1	4 9	1.2	2.1	3.0	590.6	590.9	590.7	100	50	71	NW 1	NW 1	NW 0	10≡	6	0	.	≡ n-a mU
25	0.6	3 7	0.4	1.6	2.3	590.5	590.7	589.6	60	66	97	NW 0	NW 1	NW 0	6	9	6	.	
26	0.6	2.2	0.8	1.2	1.7	589.0	588.2	586.4	74	97	100	NW 0	SE 2	SE 2	0	10●≡	10●≡	31.9	● 12¾-n, ≡ 10¾-n
27	2.0	6.3	0.2	2.8	3.1	582.6	**581.5**	581.6	100	58	100	SE 1	SE 0	NW 1	10*≡	10*≡	10*≡	9.1	✳ n-a, p-n, ✳ ● a-p, ≡ n-n
28	−3.3	0.6	−2.5	−1.7	−1.6	582.8	584 6	585.9	100	76	89	NW 2	NW 1	NW 1	9	3	0	0.6	⊹ n-a, ≡ n-a mU [mU
29	−5.9	0.2	−3.6	−3.1	−3.2	586.5	588.5	591.5	100	**32**	100	NW 2	NW 2	NW 1	10	3	9	.	⊹ 21¼-n
30	−2.6	6.8	0.9	1.7	1.4	592.0	592.4	592.6	78	37	76	SE 0	SE 0	SE 0	0	0	0	.	
Mittel	−1.9	1.9	−1.1	−0.4	—	589.4	589.8	589.8	92	72	91				7.8	7.0	6.7	216.0	

*) Säntis: **6.** 14½-n, ⊹ 20-n **27.** ✳ 16½-n, ≡ 14-n **28.** ≡ n-15, 15¾-n, V n-9 **29.** ⊹ V n-9½, ⬋ n-n mU

$\lambda = 7° 26'$, $\beta = 46° 57'$,
$H_b = 572.2$ m, $G = 0.00$ mm.

Bern

Mai 1953
Beobachter: *Meteorol. Observatorium*

Tag	Lufttemperatur 7³⁰	13³⁰	21³⁰	Mittel	Abweich. vom Normalst	Luftdruck 7³⁰	13³⁰	21³⁰	Relative Feuchtigkeit 7³⁰	13³⁰	21³⁰	Windrichtung und Stärke 7³⁰	13³⁰	21³⁰	Bewölkung 7³⁰	13³⁰	21³⁰	Niederschlag	Witterung
1	7.4	18.9	11.7	12.7	2.3	710.8	709.3	710.8	85	38	87	SSE 1	NNE 2	SSW 2	1	9	10	5.4	● 18¾–21¾, K 18¾-20, △ I
2	11.0	16.8	12.7	13.5	2.9	712.0	711.8	712.8	94	50	93	WSW 1	NE 2	SE 1	9	9	0	.	△ III
3	10.2	19.6	15.6	15.1	4.4	712.8	711.5	712.0	87	48	50	SE 1	NNE 3	NNE 1	5	2	0	.	△ I, ↙ II
4	11.2	20.8	14.8	15.6	4.7	713.4	712.6	713.4	80	36	55	ESE 1	ENE 3	NE 1	0	1	0	.	△ I, ↙ II
5	12.4	18.7	14.4	15.2	4.2	714.1	713.6	713.7	71	50	53	NNE 2	NNE 3	NE 2	1	1	3	.	↙ II
6	11.0	15.0	11.4	12.5	1.4	712.0	711.2	711.5	78	52	64	S 1	N 2	S 1	0	0	9	.	
7	9.3	8.4	6.4	8.0	-3.3	710.0	711.5	712.0	70	56	65	W 2	NNW 3	NNE 1	9	9	1	.	↙ II
8	3.2	12.2	6.2	7.2	-4.2	711.0	709.4	710.5	77	44	76	ENE 1	NNE 2	NE 1	1	5	8	.	⊔ I
9	3.9	9.8	7.5	7.1	-4.4	710.2	709.4	709.2	91	51	63	SE 1	NNW 2	W 1	9	9	10	0.0	● 13½
10	5.5	8.0	4.4	6.0	-5.7	707.3	708.8	709.1	71	55	58	W 2	ESE 2	NE 1	10●	7	0	0.7	●tr 7¼–8¾, 10¼–11¼
11	**2.5**	13.1	9.1	8.2	-3.6	708.7	708.4	708.3	76	45	47	NNE 1	S 2	N 1	0	1	0	.	⊔ I
12	7.1	12.4	10.2	9.9	-2.0	708.5	708.1	707.9	70	58	58	S 1	SSE 1	SW 1	9	9	1	0.0	● 13¼
13	8.0	17.8	13.6	13.1	1.0	707.2	705.2	**702.8**	74	39	56	SSE 1	WSW 2	E 1	1	1	8	.	⊕ 18½
14	12.3	11.3	10.8	11.5	-0.7	704.9	708.3	711.9	72	76	84	S 1	WSW 2	W 1	10	9●	7	0.4	● 11–14
15	10.6	18.9	15.1	14.9	2.6	713.7	713.5	713.5	78	41	68	SE 1	NNW 2	SSW 1	6	9	2	.	Ψ III
16	13.7	24.6	18.4	18.9	6.5	714.5	713.3	713.9	70	41	65	SSE 1	N 2	SE 1	2	8	4	.	
17	15.1	23.7	18.6	19.1	6.5	715.0	715.2	715.3	72	48	62	SE 1	W 2	SSE 1	4	5	9	.	
18	16.6	26.3	19.2	20.7	8.0	715.0	713.7	716.2	72	45	58	SE 1	NNE 1	SE 2	1	7	4	0.2	● 18¼–19¾
19	15.4	25.5	20.7	20.5	7.7	715.2	714.9	715.0	73	43	44	S 1	ENE 2	N 1	5	2	9	.	
20	17.3	24.5	20.2	20.7	7.8	715.6	713.9	713.3	73	48	69	ESE 1	ENE 3	E 1	4	4	3	.	↙ II
21	16.3	26.0	20.4	20.9	7.8	713.5	711.8	711.4	81	42	58	SE 1	NNE 2	E 1	1	2	2	.	△ I, Ψ III
22	17.3	24.6	16.0	19.3	6.1	711.8	711.1	714.2	71	48	97	SSE 1	NNE 2	W 1	9	9	9	0.9	● 16½–18, K 16½–17¼
23	14.5	24.0	16.0	18.2	4.9	715.4	715.1	716.5	89	46	88	S 1	N 1	ENE 1	7	8	9	0.2	● 20½–21¼
24	15.3	22.7	19.9	19.3	5.9	715.9	715.7	715.6	84	46	54	NE 1	NE 2	N 1	8	1	1	.	
25	16.5	26.5	21.5	21.5	8.0	717.0	716.2	716.0	73	41	47	SSE 1	NNE 2	NE 1	0	1	0	.	△ I
26	18.1	**28.3**	17.1	21.2	7.5	717.7	717.0	**719.2**	69	**32**	83	SSE 1	WNW 2	W 1	1	4	9●	21.4	● 17–24, K 17¼–18, ▲ 17¼
27	14.9	21.3	18.1	18.1	4.3	718.8	714.3	712.5	93	35	45	S 1	WNW 3	WSW 2	10	9	10	**31.8**	● 0–1½, 22–24, ↙ II
28	9.9	10.0	9.3	9.7	-4.2	711.2	715.1	716.7	98	91	81	NE 2	E 1	ESE 1	10●	10	4	2.3	● 0–13¼
29	9.1	13.6	11.8	11.5	-2.5	716.0	715.7	714.2	71	47	66	NE 2	E 2	SW 1	1	6	10	2.2	● 23¾–24, △ I
30	9.1	10.9	8.8	9.6	-4.5	711.2	709.1	707.7	95	86	94	W 2	W 2	W 2	10●	10●	10●	14.9	● 0–8¾, 11¾–24 ml
31	7.3	10.2	9.3	8.9	-5.3	707.1	707.6	708.2	97	59	67	W 1	WNW 2	SSW 1	10	9	10	3.2	● 0–6¾, 13½
Mittel	11.4	18.2	13.8	14.5	—	712.5	712.0	712.5	79	50	66				5.2	6.0	5.2	Summe 83.6	

$\lambda = 6° 57'$, $\beta = 47° 0'$,
$H_b = 487.3$ m, $G = 0.02$ mm.

Neuchâtel

Mai 1953
Beobachter: *Observatorium*

Tag	Lufttemperatur 7³⁰	13³⁰	21³⁰	Mittel	Abweich. vom Normalst	Luftdruck 7³⁰	13³⁰	21³⁰	Relative Feuchtigkeit 7³⁰	13³⁰	21³⁰	Windrichtung und Stärke 7³⁰	13³⁰	21³⁰	Bewölkung 7³⁰	13³⁰	21³⁰	Niederschlag	Witterung
1	7.6	18.6	12.4	12.9	1.8	718.4	717.0	718.2	86	44	76	SW 0	SE 0	SW 0	1	8	10	0.1	▽ 20¾, ⊕ 13–14½
2	11.2	18.7	15.8	15.2	3.9	719.5	719.2	720.1	84	54	66	NE 0	E 2	NE 1	10	9	0	.	
3	11.2	22.5	17.5	17.1	5.7	720.4	719.2	719.7	83	47	46	NE 0	E 2	NE 2	2	2	0	.	
4	13.8	23.2	18.3	18.4	6.8	720.8	720.4	720.8	67	34	41	E 2	E 3	NE 2	0	1	0	.	↙ a–16½
5	13.4	22.3	14.6	16.8	5.1	721.7	721.0	721.1	69	34	51	NE 2	E 2	N 1	0	1	1		
6	10.8	13.4	11.6	11.9	0.1	719.7	718.8	719.0	82	49	54	NE 0	NW 3	NW 2	3	9	2	.	↙ 11–n mU
7	10.1	10.1	6.9	9.0	-3.0	717.9	719.5	720.4	60	45	62	SW 2	NW 2	E 0	9	6	3	.	
8	5.9	15.8	5.2	9.0	-3.1	718.8	716.9	718.0	70	38	89	NE 2	SE 1	N 0	1	4	5	5.9	▽ 18¾–20¼
9	5.5	9.6	7.8	7.6	-4.6	717.9	717.1	716.6	93	49	62	N 0	N 2	NW 2	8	9	10	0.2	●tr p mU
10	5.4	11.5	5.6	7.5	-4.9	715.0	716.1	716.6	83	45	54	W 1	E 2	NE 2	10●	3	1	0.2	● 6½–8¼
11	**3.8**	14.4	9.3	9.2	-3.3	716.6	716.1	715.6	74	37	47	E 1	S 1	S 0	0	0	0	.	
12	8.8	13.5	10.2	10.8	-1.8	716.2	715.5	715.3	74	55	57	SW 2	SW 3	W 0	9	9	0		
13	7.1	19.7	14.7	13.8	1.0	714.7	712.3	**709.7**	79	**30**	53	W 0	SE 0	NW 0	1	1	10	.	⊕ 17½–18
14	12.7	12.3	10.6	11.9	-1.0	712.0	715.7	719.4	79	65	73	SW 1	SW 1	W 1	10	10	4	0.3	▽ 12–18 ml
15	8.9	19.7	14.2	14.3	1.3	721.4	721.0	720.6	91	48	66	NE 0	S 0	S 0	9	10	3	.	
16	11.4	24.3	18.4	18.0	4.9	722.1	720.9	721.1	87	44	64	S 0	S 1	SW 0	2	6	4	.	
17	14.4	25.3	18.2	19.3	6.0	722.5	722.3	722.8	83	39	62	SW 0	SW 1	SW 0	5	2	3	.	
18	14.5	26.8	17.8	19.7	6.3	722.4	721.3	723.2	82	39	78	S 0	S 1	NE 0	0	3	10	.	
19	16.1	27.0	22.0	21.7	8.2	722.6	722.4	722.4	81	32	44	SE 0	SE 0	NW 2	2	3	10	.	
20	17.6	28.2	20.6	22.1	8.5	722.9	721.2	720.5	69	41	63	SE 0	E 1	NE 0	3	1	4	.	
21	16.5	**29.1**	20.0	21.9	8.1	721.0	719.3	718.8	84	36	58	N 0	E 1	NE 0	0	2	8	.	
22	16.9	23.1	15.0	18.3	4.4	719.3	718.6	721.6	85	73	98	E 0	N 0	NE 0	3	7	10●	**29.9**	● 11¾–12¼, 14¾–17¼, 19¼–21¾, K ▲ [16¼]
23	13.5	22.2	17.4	17.7	3.7	723.1	722.7	723.7	99	64	70	N 0	E 0	NE 2	10≡	8	4	0.6	● 17¼–18¼, ≡ n–10
24	15.7	24.9	21.4	20.7	6.6	723.4	723.1	722.9	83	52	51	NE 2	E 2	NE 2	4	0	0	.	
25	15.7	26.5	23.5	21.9	7.7	724.4	723.9	723.3	85	56	41	SW 0	SW 0	N 1	0	1	0	.	
26	17.4	28.8	17.2	21.1	6.7	725.0	724.4	**726.6**	81	44	81	N 0	SW 1	SW 1	1	6	1	2.7	●tr 15¾–16, K 16, ▽ 20½, ● 21½–
27	15.9	23.0	18.8	19.2	4.7	726.1	724.2	720.2	93	49	52	SW 1	SW 1	SW 2	8	8	10	16.2	● 22¼–24 [23½]
28	10.7	14.6	11.0	12.1	-2.5	718.3	722.1	724.3	89	50	69	NE 2	N 3	SE 0	9	6	10	.	● 0–7¼, ↙ 9¾–19¾
29	10.0	17.0	13.4	13.5	-1.2	723.7	723.0	721.7	61	52	52	E 2	E 2	NW 2	3	8	10	2.3	● 23¼–24
30	9.4	11.2	8.7	9.8	-5.0	718.9	716.6	715.1	92	87	96	SW 1	SW 2	SW 0	10	10	9	10.5	● 0–24 ml
31	7.7	11.2	10.0	9.6	-5.3	714.3	714.9	715.6	93	58	70	W 0	W 2	SW 0	9	9	10	0.4	● 0–3
Mittel	11.0	19.6	14.4	15.2	—	720.0	719.6	719.8	81	48	63				4.6	5.2	5.2	Summe 69.3	

Mai 1953
Beobachter: *Frl. H. Nager*

Altdorf

$\lambda = 8° 39'$, $\beta = 46° 53'$,
$H_b = 456.3$ m, $G = -0.05$ mm.

Tag	Lufttemperatur 7³⁰	13³⁰	21³⁰	Mittel	Abweich. vom Normalst	Luftdruck 7³⁰	13³⁰	21³⁰	Relative Feuchtigkeit 7³⁰	13³⁰	21³⁰	Windrichtung und Stärke 7³⁰	13³⁰	21³⁰	Bewölkung 7³⁰	13³⁰	21³⁰	Niederschlag	Witterung
1	8.3	17.4	16.5	14.1	2.9	720.6	719.0	720.4	89	54	57	S o	NW 1	SE 1	0	6	8	.	
2	11.9	16.7	14.0	14.2	2.9	721.9	721.8	723.0	78	62	56	NE o	NW o	SE o	9	8	0	.	
3	10.9	18.6	13.2	14.2	2.7	722.9	722.0	722.8	87	64	72	NE o	NW 1	SE o	1	0	0	.	
4	10.5	20.5	15.0	15.3	3.7	723.6	722.1	723.7	84	47	57	SE o	NW 2	NW o	0	4	7	.	
5	12.0	15.8	13.5	13.8	2.0	724.7	723.7	723.4	79	72	83	E o	W o	NW o	4	8	10	0.1	● 13¼–13½
6	12.6	16.1	12.7	13.8	1.9	721.9	719.9	721.0	83	55	61	N o	N 2	N 1	9	9	10	.	
7	11.3	7.0	5.9	8.1	−4.0	719.3	720.7	723.5	76	80	96	NE o	NW 3	N o	10	10●	10	7.1	●a–p, ⸗ II
8	3.8	11.9	7.9	7.9	−4.3	721.8	719.0	720.4	95	48	85	N o	NW 1	SE o	1	7	10	0.2	● n (8./9.)
9	7.9	8.3	6.3	7.5	−4.8	719.4	720.0	718.9	70	77	97	NW 1	N 1	NW o	10	10	10	2.0	● n–n mU
10	7.5	6.4	3.9	5.9	−6.6	715.0	719.7	719.9	65	73	82	N 2	NW 1	NE o	10●	4	2	6.5	● n–a
11	2.7	11.8	8.3	7.6	−5.0	719.1	718.5	718.9	84	47	67	N o	NW 1	N o	0	2	0	.	
12	7.9	13.4	9.4	10.2	−2.6	718.3	717.6	717.8	87	54	75	E o	NW o	NW o	9	10	10	.	
13	8.3	17.2	11.8	12.4	−0.5	717.1	714.6	**713.1**	79	56	69	E o	NW 1	NW o	2	1	6	.	
14	12.8	13.9	10.3	12.3	−0.7	714.4	717.3	722.1	78	75	97	W o	NW 1	NW o	7	10●	10	0.8	● 13¼–14 mU
15	10.5	19.3	15.3	15.0	1.8	723.7	722.9	724.1	84	49	58	W o	NW 1	E 1	3	6	0	.	
16	14.9	24.2	17.2	18.8	5.5	724.0	723.0	724.4	67	**38**	75	SE o	NW o	NW o	0	3	0	.	
17	14.3	22.4	17.7	18.1	4.7	724.5	724.8	725.9	72	57	72	W o	NW 1	NW o	3	7	4	.	
18	15.0	24.1	18.8	19.3	5.8	725.1	723.1	726.3	74	57	62	E o	NW 1	NW o	0	3	4	.	
19	22.3	**26.7**	19.3	22.8	9.1	723.9	724.0	725.3	40	46	75	SE 1	NW 1	NW ○	4	4	7	.	
20	16.9	24.8	17.9	19.9	6.1	725.9	723.2	723.5	80	54	91	NW o	W 1	E o	4	5	7	7.3	⛆ ● 20½–21¾
21	15.7	25.0	19.3	20.0	6.1	723.1	721.5	721.7	89	47	58	E o	NW 1	SE o	0	4	10	.	
22	17.7	23.5	19.3	20.2	6.2	721.3	720.5	723.7	76	56	67	E o	NW o	NW o	6	6	10●	5.4	● 21½–n
23	16.3	23.5	14.2	18.0	3.9	725.5	724.3	727.6	94	52	95	SE o	NW o	SE o	8	7	4	8.9	● ⛆ 15¾–18¾
24	12.9	23.6	18.0	18.2	4.0	726.0	725.9	726.2	94	50	75	SE o	E o	SE o	3	2	0	.	
25	15.8	24.7	21.1	20.5	6.2	726.6	725.8	726.4	84	55	58	S o	N o	SE 1	0	2	0	.	Ψ III
26	17.9	23.5	17.0	19.5	5.1	727.3	727.4	**728.8**	72	56	83	E o	NE o	E 1	0	7	7	5.0	●16¾–17¾
27	16.3	21.3	17.5	18.4	3.9	728.4	725.7	721.2	93	56	66	E o	NW o	NW o	8	8	10	15.6	● n (17./18.)
28	13.4	9.9	10.0	11.1	−3.5	719.4	725.4	727.0	91	80	86	NW 1	NW 1	NE o	10●	10●	10	12.6	● n–p
29	10.3	14.9	12.7	12.6	−2.1	725.9	724.9	723.9	76	52	70	NE o	NW 1	NE o	7	7	10	4.5	● n (29./30.)
30	10.8	10.5	8.7	10.0	−4.8	720.8	719.0	717.3	98	65	97	NE o	NW 1	NW o	10●	10●	10●	**31.4**	● n–n
31	7.7	13.9	8.9	10.2	−4.7	716.7	717.8	718.5	97	84	85	NE o	E o	NW o	10●	10	10	3.5	● n–a
																		Summe	
Mittel	12.2	17.8	13.6	14.5	–	722.2	721.8	722.6	81	59	75				4.8	6.1	6.3	110.9	

Mai 1953
Beobachter: *Observatorium*

Genève

$\lambda = 6° 9'$, $\beta = 46° 12'$,
$H_b = 405.0$ m, $G = -0.03$ mm.

1	6.3	17.6	12.8	12.2	0.8	725.7	724.0	726.1	94	53	66	ESE o	NNE o	ENE o	3	7	10	.	
2	12.0	18.0	13.7	14.6	3.0	726.4	726.2	726.9	72	71	85	S o	NNE 1	S o	10	9	10	.	
3	11.5	19.6	17.0	16.0	4.3	727.2	725.4	726.1	95	53	73	E o	NNE 1	NNE o	2	1	6	.	
4	14.4	20.0	16.2	16.9	5.0	727.6	726.6	727.0	65	46	54	NNE 1	NNE 1	NNE 2	0	1	0	.	
5	14.8	19.8	16.4	17.0	5.0	728.1	726.7	726.7	60	44	52	NNE 2	NNE 2	NNE 2	0	0	1	.	
6	14.0	19.6	14.0	15.9	3.7	726.8	725.0	725.2	65	40	67	E o	NNE 1	NNE o	1	3	4	.	
7	12.0	15.2	8.0	11.7	−0.6	725.7	725.8	726.9	71	41	86	E o	NNW 1	ENE 1	1	2	0	.	
8	7.4	14.0	8.4	9.9	−2.0	725.9	724.0	724.8	71	45	73	NNE o	NNE 1	NNE 1	0	3	6	0.1	⛆ 19
9	7.0	12.8	8.4	9.4	−3.2	725.2	724.3	723.5	85	48	81	NE o	NNE 1	E ○	1	3	0	.	
10	4.0	13.0	8.8	8.6	−4.1	723.2	722.6	722.9	67	60	57	NNE 1	NNE 1	NNE 1	1	1	0	.	
11	6.0	13.2	13.0	10.7	−2.2	723.9	722.9	722.1	65	47	55	ENE o	NNE 1	ESE 1	0	0	3	2.8	● n (11./12.)
12	10.0	17.2	11.8	13.0	0.0	723.9	721.7	722.7	95	50	86	E o	NNE 1	E o	6	5	1	.	
13	10.0	18.4	10.0	14.8	1.7	721.6	719.0	**717.0**	79	**37**	59	SSE o	ESE 1	E o	0	4	10	1.5	● n (13./14.)
14	14.0	16.0	12.2	14.1	0.8	721.5	723.9	726.9	76	59	81	S 1	S o	E o	10	9	8	.	
15	9.6	17.4	14.6	13.9	0.5	728.6	727.8	728.1	95	57	72	E o	E 1	NNE o	2	3	1	.	
16	14.7	26.7	21.2	20.9	7.4	729.4	728.0	728.4	72	45	56	NNE o	SSW 1	SSW 1	0	2	2	.	
17	17.2	25.0	19.4	20.5	6.8	730.1	729.8	728.8	78	47	74	SSW 1	SW 1	ESE o	7	7	3	.	
18	18.0	25.6	19.0	20.9	7.1	729.3	728.2	729.2	73	46	68	ESE o	NNE 1	NE o	2	5	3	.	
19	18.2	**28.0**	22.5	22.9	9.0	729.9	729.1	729.5	62	38	51	E o	WSW 1	S 1	0	5	8	0.0	● tr 21¾
20	20.4	25.6	19.8	21.9	7.9	729.6	727.7	727.5	61	46	77	ESE o	NNE o	SSW 1	1	1	1	.	
21	20.0	26.6	20.0	22.2	8.0	727.7	725.7	725.5	76	48	85	ESE o	NNE o	E ○	0	3	1	.	
22	19.0	27.0	18.0	21.3	7.0	726.2	725.2	728.3	72	50	80	E o	NNE 1	NNE ○	1	6	2	.	
23	16.2	24.4	19.2	19.9	5.5	730.2	728.8	729.5	87	59	70	NNE 1	NNE 1	NNE 1	6	1	2	.	
24	17.2	23.1	20.8	20.4	5.9	730.6	730.1	729.5	88	59	77	NNE 1	NNE 1	NNE ○	0	0	0	.	
25	19.0	26.0	23.7	22.9	8.2	731.3	729.8	730.1	81	45	67	ENE 1	NNE 1	NNE o	0	1	1	.	
26	21.0	25.0	16.8	20.9	6.1	732.2	731.1	**733.8**	69	58	98	E o	NNE o	W 1	0	7	10	12.3	● p, ⛆ 14¾–14½
27	17.0	24.8	19.0	20.5	5.6	733.6	730.6	728.0	96	47	60	E o	NNE 1	S 1	2	5	10	6.5	● a (27./28.)
28	14.0	13.7	12.5	13.6	−1.4	726.0	728.6	730.7	68	75	60	NNE 1	NNE 1	NNE 1	10	10	7	.	
29	11.2	16.6	14.2	14.0	−1.2	730.0	729.6	729.1	57	50	60	NNE 2	NNE 2	NE ○	2	4	10	0.1	⛆ n (29./30.)
30	12.8	13.0	10.4	12.1	−3.2	726.7	724.5	722.8	57	79	93	SE o	S o	S 1	10	10●	10●	3.8	● a–n
31	12.7	14.0	12.4	13.0	−2.4	721.8	722.1	722.7	67	72	76	ENE o	ENE o	ESE 1	9	9	10	0.1	⛆ a
																		Summe	
Mittel	13.6	19.9	15.5	16.3	–	727.3	726.3	726.7	75	52	71				2.6	4.1	4.5	27.2	

$\lambda = 8°\ 34'$, $\beta = 47°\ 23'$,
$H_b = 569.4$ m, $G = 0.03$ mm

Zürich

Mai 1953
Beobachter: *Meteorol. Zentralanstalt*

Tag	Lufttemperatur 7³⁰	13³⁰	21³⁰	Mittel	Abweich. vom Normalst	Luftdruck 7³⁰	13³⁰	21³⁰	Relative Feuchtigkeit 7³⁰	13³⁰	21³⁰	Windrichtung und Stärke 7³⁰	13³⁰	21³⁰	Bewölkung 7³⁰	13³⁰	21³⁰	Niederschlag	Witterung
1	9.0	19.9	15.1	14.7	4.8	710.8	709.6	709.8	66	45	53	NNE 1	NE 1	NE 1	1	3	2	.	⊿ I
2	11.5	19.6	14.1	15.1	5.0	712.5	712.2	712.8	76	52	77	WNW 1	NNE 1	NE 1	8	9	0	.	⊿ I
3	11.9	21.9	14.7	16.2	6.0	713.1	712.6	713.0	76	48	60	NE 1	NE 2	ENE 1	2	2	0	.	
4	12.6	22.6	14.3	16.5	6.1	713.8	713.7	713.9	68	37	60	NE 2	E 2	N 1	0	1	0	.	
5	11.3	19.6	13.7	14.9	4.3	715.1	714.2	713.6	80	44	65	NNE 1	NE 1	NNW 1	1	3	9	0.2	● 18¼–18½
6	11.2	13.8	10.7	11.9	1.2	711.8	711.2	711.1	70	61	70	WSW 1	W 2	WSW 1	10	9	10	.	
7	8.1	6.0	4.5	6.2	-4.7	709.5	711.2	713.2	77	76	80	WSW 1	WNW 2	N 1	10	8	9	0.0	● tr p
8	4.7	10.9	4.8	6.8	-4.2	711.4	709.9	710.5	81	49	85	ENE 1	ENE 1	NE 1	2	9	3	0.0	● tr p
9	6.0	9.9	6.0	7.3	-3.9	710.0	709.4	708.4	81	66	80	W 1	S 1	S 1	6	7	10	9.5	● 10–11, 14½–17¼, ⛆ 14½
10	4.0	5.1	2.7	3.9	-7.5	706.4	709.6	710.0	93	67	68	WSW 2	SSE 1	ENE 1	10	5	0	2.1	● 6–7¾, ✶ 8½–11½
11	1.9	12.9	7.3	7.4	-4.1	709.0	708.9	708.4	83	33	48	ENE 1	NE 1	E 1	1	2	0	.	⊏ I
12	7.8	11.2	9.8	9.6	-2.1	708.2	707.5	707.4	62	57	60	SSW 1	WSW 2	N 1	4	9	10	1.5	● 14¼–15, ⊿ I
13	8.8	18.3	13.0	13.4	1.6	707.1	705.4	703.1	80	38	51	S 1	E 1	ENE 1	1	1	1	0.2	⊿ I
14	9.8	11.5	10.5	10.6	-1.3	704.8	707.2	711 5	80	92	76	NE 1	W 2	SSW 1	9	10●	5	1.5	● 3¼, 4¾–4, 12¾–14¾, 17–17¼
15	11.6	20.1	14.6	15.4	3.4	713.9	713.5	713.7	74	42	65	S 1	SSE 1	SE 1	4	5	3	.	● 1¼–1½
16	14.1	26.2	20.7	20.3	8.1	714.5	713.7	713.6	71	35	45	S 1	S 1	SW 1	1	3	1	.	⊿ I
17	16 6	24.0	17.6	19.4	7.1	714.8	715.1	715.8	63	45	72	WSW 1	WSW 2	NNE 1	5	6	7	0.0	
18	16 6	29.0	20.9	22.2	9.7	715.3	713.9	716.3	74	40	47	ESE 1	ENE 1	SSW 1	2	3	7	.	⊿ I
19	18.8	26.9	20.2	22.0	9.4	714.7	714.8	715.0	60	41	45	SE 0	W 1	WNW 1	3	1	3	.	⊿ I
20	18.3	25.9	19.2	21.1	8.4	716.1	714.1	713.3	61	49	60	SSW 1	NNE 1	E 1	3	1	3	.	
21	16.9	25.9	18.3	20.4	7.5	713.6	712.1	711.8	73	40	68	WSW 1	ENE 1	NNE 1	1	4	10	.	
22	16.5	27.5	17.3	20.4	7.4	711.9	711.1	714.0	83	34	77	S 0	NNW 1	N 1	6	7	10	0.7	● 20¾–21¼, 22½–22¾, ⊿ I
23	16.3	23.4	14.2	18.0	4.8	715.5	715.1	716.9	88	50	100	SSW 1	NNE 1	S 1	9	9	1	5.3	● 14¾–16, 17¾–19¼, ⛆ 14½–15¼, *)
24	13.1	25.6	19.4	19.4	6.1	716.5	716.0	716.0	97	46	59	NNE 1	NE 1	NE 1	10	1	0	.	
25	17.4	27.3	21.1	21.9	8.5	717.1	716.7	716.1	74	43	54	ENE 1	ENE 1	E 1	1	1	1	.	
26	18.7	29.4	19.4	22.5	8.9	717.4	716.8	718.1	75	37	60	S 1	SSW 2	SSW 1	1	2	10	1.7	● 21¾–23¼, ⛆ 17¾–19, 21¾–23, ⊿ I
27	16.4	22.1	15.8	18.1	4.4	718 5	716.4	711.7	86	47	62	WSW 1	WNW 2	WSW 1	10	9	10	37.0	● 21¼, 21¾–24, ⛆ 22–23¼
28	9.8	9.3	8.9	9.3	-4.5	710.1	715.2	716.9	93	92	85	N 2	N 1	NNE 1	10●	10◕	10	6.1	● 0–3, 3¾–13, ◕ 13–14, ⛆ 4¾
29	8.3	13.3	11.1	10.9	-3.0	716.5	715.7	713.8	78	51	62	NNE 1	NNW 1	S 1	3	3	9	1.7	
30	8.8	12.6	6.0	9.1	-4.9	710.9	708.5	706.9	93	72	100	SW 1	SSW 2	S 1	10●	9	10●	12.3	● 0¾–6¼, 7½–8, 10¾–11¾, *)
31	6.1	8.9	7.2	7.4	-6.7	706.8	707.4	707.6	95	78	90	WSW 1	S 2	S 1	10●	9	8	13 0	● 1–1¾, 2¾–7¾, 11¾, 13¾–15, 16–16¼
																		Summe	
Mittel	11.7	18.7	13.3	14.6	—	712.5	712.2	712.4	78	52	67				5.0	5.2	5.2	92.8	

*) 23. 21¾–22¼ 30. 14¼–18¾ mU, 20¾–21¼

$\lambda = 6°\ 32'$, $\beta = 46°\ 51'$
$H_b = 1589$ m, $G = -0{,}13$ mm

Chasseron

Mai 1953
Beobachter: *Ch. H. Martin*

1	6.8	9.8	5.8	7.5	—	628.6	628.5	628.7	55	58	96	SE 1	ESE 1	NW 1	4	9	10	1.3	⛆ 19–19¼
2	2.8	7.8	7.0	5.9	—	629.3	630.1	631.3	100	70	100	NNE 2	ENE 2	NE 2	10≡	9	8	.	≡ n–11
3	6.8	11.2	9.2	9.1	—	630.7	630.9	630.9	100	59	55	E 2	E 2	E 2	8	5	5	.	
4	7.4	12.0	8.2	9.2	—	631.1	632.0	632.1	68	60	72	E 3	E 2	NE 2	1	2	4	.	⛈ I
5	7.3	10.2	6.6	8.0	—	631.7	632.2	631.7	82	67	89	ENE 2	NE 1	N 2	4	4	5	.	
6	5.0	2.8	2.0	3.3	—	629.9	628.9	628.6	80	90	100	N 2	NW 3	NW 3	5	8	10	.	⛈ a–n
7	-0.3	-2.4	-2.3	-1.7	—	627.1	627.0	628.5	100	100	90	NW 3	NW 4	NE 3	10≡	9	5	.	≡ n–8½, 9½–11¾, ⛈ n–n
8	-2.6	1.8	-1.8	-0.9	—	626.5	626.4	626.5	85	66	100	E 1	WSW 1	NNE 2	4	8	10≡△	0.5	✶ 15–18 mU, △ 20–20½, ≡ 19½–n
9	-1.0	0.2	-2.0	-0.9	—	625.9	626.1	625.9	75	85	100	N 1	NW 1	NW 1	5	9*	9	0.3	✶ 9¾–14½ mU ⛆
10	-3.0	-1.8	-3.7	-2.8	—	623.2	624.4	624.5	100	100	90	NW 2	NE 1	E 2	10≡	10≡	2	1.8	△ 5¾–8, 10–10½, 13–14 mU, ≡ n–14
11	-1.4	4.2	3.3	2.0	—	624.1	625.6	626.1	71	64	66	E 1	S 1	NNW 1	1	2	4	.	
12	0.4	4.0	2.8	2.4	—	625.4	625.8	625.8	97	69	70	SW 2	NW 1	NW 2	9	8	5	0.0	✶ Fl 7¾–9½
13	3.7	8.8	7.7	6.7	—	624.4	623.9	622.0	74	70	50	W 1	SE 1	SE 1	4	4	9	0.8	● n (13./14.)
14	5.0	2 2	2.8	3.3	—	622.8	625.7	628.1	100	100	100	S 3	NW 3	WNW 3	10≡	10●	8	3.6	● n–6¾, ◕ 9–11, ✶● 11–12,
15	4.4	9.7	10.3	8.1	—	630.9	632.1	632.3	80	75	75	S 2	S 1	SW 1	8	8	7	.	[● 12–17 mU, ≡ n–17 mU, ⛈ n–n
16	10.0	16.2	14.6	13.6	—	632.8	633.6	633.6	81	50	60	S 3	SSW 2	SW 1	4	6	7	.	⛈ I
17	13.2	17.0	14.2	14.8	—	633 8	635.0	635.2	51	55	50	SW 2	SSW 1	SW 2	5	4	8	0.0	⛆ 14½, 20
18	13.6	18.8	14.2	15.5	—	634.1	634.5	635.5	74	50	70	ESE 2	SSW 2	S 3	4	6	9	.	⛈ III
19	14.8	16.6	12.2	14.5	—	634.7	635.3	635.0	60	70	74	W 1	NW 1	NNW 1	4	5	9	.	
20	12.0	15.8	13.2	13.7	—	634.6	634.4	633.6	75	82	97	E 1	SSE 1	E 1	8	4	6	.	
21	13.4	16.0	14.1	14.5	—	633.1	632.8	632.1	65	65	86	E 2	E 1	NE 1	1	4	8	.	
22	13.3	12.6	12.4	12.8	—	631.7	632.1	633.1	80	90	85	N 1	E 1	E 1	8	9	8	53.5	⛆⛆ 12–13, ⛆● ⛆ 14–17½
23	11.2	15.0	11.4	12 5	—	634.4	635.3	635.3	100	74	91	N 2	E 1	E 1	5	5	5	0.6	⛆ n (23./24.)
24	8.8	13.2	12.8	11.6	—	633 9	635.3	635.4	96	91	75	E 3	E 1	E 1	2	2	2	.	⛈ II
25	14.4	17.2	15.2	15.6	—	636.2	636.8	636.7	79	71	70	WNW 1	E 1	NE 1	0	2	4	.	
26	16.2	17.6	9.4	14.4	—	637.2	637.9	638.2	65	65	100	WNW 1	WNW 1	S 3	1	5	10	30.9	⛆⛆ 14¾–15, 19¾–20, ⛈ III
27	9.4	10.6	8.6	9.5	—	636.9	636.0	633.5	100	57	96	WNW 2	NW 3	NW 3	10≡	8	9	42.3	▽ 21¾–n, ≡ n–8½, ⛈ a–n
28	3 8	2.0	1.4	2.4		627.0	631.4	632 8	100	100	100	NNW 4	N 4	NNE 3	10◕≡	10≡	10◕	3.0	◕ n–11, 10–n, ≡⛈ n–n
29	-0.2	5.4	3.2	2.8	—	631.6	632.5	631.5	98	84	100	E 2	NNW 1	NNW 3	4	5	8	2.8	◕ 22–n, ⛈ III
30	3.2	3.2	1.1	2.5	—	628.1	626.5	624.6	100	100	100	W 3	W 4	NW 4	10●	10●	10●	17.4	● n–15 mU, ● ✶ 15–17, ● 17–n, *)
31	-0.4	-0 1	0.2	-0.1		623.5	624.7	625.1	100	100	100	NNW 3	NW 1	NNW 2	10●	10	9	1.9	✶ 8–12 mU, ≡ n–11, ⛈ I ⛆
																		Summe	
Mittel	6.4	9.9	6.9	7.4	—	630.2	630.8	630.8	84	75	84				5.8	6.5	7.2	161.0	

*) 30. ≡⛈ n–n

Mai 1953
Beobachter: *B. Minsch und C. Clavuot*

Bever

$\lambda = 9° 53'$, $\beta = 46° 33'$,
$H_b = 1711.8$ m, $G = -0.23$ mm

Tag	Lufttemperatur 7³⁰	13³⁰	21³⁰	Mittel	Abweich. vom Normalst	Luftdruck 7³⁰	13³⁰	21³⁰	Relative Feuchtigkeit 7³⁰	13³⁰	21³⁰	Windrichtung und Stärke 7³⁰	13³⁰	21³⁰	Bewölkung 7³⁰	13³⁰	21³⁰	Niederschlag	Witterung
1	-2.5	11.2	6 2	5 0	1.5	621.6	620.9	621.4	93	49	69	SW 0	SW 1	SW 0	0	1	10	.	
2	2.8	12 6	4.9	6.8	3.2	623.0	622.1	623 8	86	37	88	E 1	SE 1	SW 0	6	8	2	.	
3	4.3	14 7	7.4	8 8	5 0	623.5	622.2	623.1	89	31	82	S 0	W 1	SW 0	1	3	4	.	
4	2 4	15.0	9.2	8.9	4.9	622.6	621.8	622.4	98	30	44	SW 0	N 1	N 1	4	1	6	.	⌴ I
5	7.6	8.4	4.8	6.9	2.7	621.8	621.8	621.1	44	61	86	NW 2	WSW 2	SW 1	7	10	10●	0.9	● 14-n, ⸝ 13
6	5.2	8.4	4.5	6.0	1.6	619.1	617.9	618.5	53	51	65	NE 2	W 0	NE 0	10	10	9	.	
7	3.1	5.2	-1.6	2.2	-2.4	616.7	614.9	617.9	89	64	65	SE 0	SW 0	NE 0	10	9	9	.	
8	-5.4	5.2	0.3	0.0	-4.8	616.9	615.1	616.2	91	46	48	NE 0	NW 1	NE 0	2	6	4	.	⌴ I
9	-0.2	3.8	-0.2	1.1	-3.9	615 3	615.0	614.7	62	46	59	S 0	E 1	NW 1	9	9	8	.	
10	2.5	1.7	-1 6	0.9	-4.2	611.3	614.2	616.5	61	39	45	NW 0	SW 1	NE 0	10*	5	2	0.3	✶ 7-8½
11	**-6.2**	7.2	0.2	0.4	-4.9	616.1	616.2	618.1	68	26	63	S 0	SW 0	**SW** 0	0	1	2	.	⌴ I
12	-1.0	6.4	2.4	2.6	-2.9	615.8	615.3	616.3	85	47	52	SW 0	W 1	W 1	5	9	6	.	
13	4 0	11.5	7.0	7.5	1.9	615.6	615.3	615 3	53	33	65	W 0	SW 0	SW 0	3	2	2	.	
14	6.2	11.2	5.4	7.6	1.8	614.7	616.3	621.6	84	49	72	SW 0	SW 1	N 0	10	10	10	0.0	● 16-16½
15	3 8	14.6	6.8	8.4	2.4	622.4	622.9	624.7	83	29	79	SW 0	SW 1	SW 1	3	1	3	.	
16	4 2	18.2	6.2	9.5	3.4	626.1	625.4	627.5	93	29	82	SW 1	SW 2	SW 2	0	1	3	.	
17	0 6	20.6	10.2	10.5	4.2	627.2	626.3	628.5	43	26	70	SW 0	SW 1	W 1	0	2	8	0.2	● 19-21 mU
18	6.6	21.0	11.0	12.9	6.5	628.0	626 6	628.1	9	32	53	S 0	**SW** 1	SW 0	0	4	3	.	
19	8 8	**22 2**	13.2	14.7	8.1	628.3	625.9	626.3	71	**25**	63	SW 0	SW 1	SW 1	1	3	2	.	
20	7.2	20.4	10.4	12.7	6.0	625.8	624.0	624.9	84	37	84	W 0	NW 1	SW 0	4	5	3	.	
21	0.3	20.2	11.0	13.5	6.6	623.8	622.9	623.2	80	35	70	SW 0	NE 1	W 0	1	7	10	.	
22	8.6	19.3	11.8	13.2	6.2	622.4	622.4	624.8	93	29	61	S 0	NE 0	**NW** 2	7	3	10	.	≡ n-a mU
23	10.4	13.4	7.8	10.5	3.4	624.7	625.1	626.9	79	57	92	E 0	NE 2	N 0	9	10	3	1.6	● 14½-18
24	10.1	18.7	9 0	12.6	5.3	627.2	626.3	627.3	74	37	72	E 1	SE 0	W 0	2	4	3	.	
25	7.1	20.4	11.6	13.0	5.6	628.4	627.3	628.4	90	26	67	SW 0	SW 0	SW 0	0	1	0	.	
26	9.2	20.6	10.7	13.5	6.0	**628 7**	628.0	628.4	83	32	62	SW 0	SW 0	SW 0	0	3	3	.	
27	11.5	17.2	10.0	12.9	5.2	627.4	625.4	621.3	75	44	63	S 0	W 2	E 0	5	6	8	**10.2**	● n (27./28.)
28	7.5	7.2	4 3	6.3	-1.5	617.5	619 5	621.2	82	63	64	NE 0	NE 1	N 1	9●	10	10	.	● n-7½
29	3.6	11.4	7.2	7.4	-0.5	622 1	620.6	621.3	69	45	53	N 1	W 2	NE 2	1	1	6	0.2	● n (29./30.)
30	4.6	7.2	3.6	5.1	-2.9	618.7	616.1	614.4	82	76	86	NE 0	NE 1	NE 1	9	10	10	.	
31	3.6	6.4	2.1	4.0	-4.1	613.3	608.8	615.0	62	45	66	NE 0	SW 1	N 1	9	9	10	.	
																		Summe	
Mittel	4 5	12.9	6.3	7 9	—	621.5	620 7	621.9	77	41	67				4.5	5.3	5.8	13.4	

Mai 1953
Beobachter: *Couvent des Capucins*

Sion

$\lambda = 7° 21'$, $\beta = 46° 14'$,
$H_b = 548.6$ m, $G = -0.11$ mm.

1	10.5	18.7	15.2	14.8	2.4	714.1	711.5	712.7	65	42	49	NE 0	WSW 2	W 1	**2**	10	6	.	
2	14.2	19.0	13.9	15 7	3.1	714.2	713.7	715.2	65	34	46	NNE 0	W 3	W 0	8	10	6	.	⸝ a-p
3	13.8	24.2	17.9	18.6	5.9	715.8	713.3	714.6	55	**30**	55	WNW 1	WNW 0	WNW 1	5	2	2	.	⸝ p
4	11.4	23.0	16.2	16.9	4.0	715.7	713.6	714.4	52	38	42	WNW 0	E 1	ENE 1	0	1	2	.	
5	13.4	23.2	18 4	18.3	5.3	715.5	713.5	714.0	61	44	41	ENE 0	WSW 1	WSW 1	3	2	5	.	
6	12.4	19.9	15.0	15.8	2.6	714.2	712.4	712.7	71	42	50	ENE 0	WSW 1	WSW 2	7	8	4	.	⸝ p
7	14.3	18.0	13 0	15.1	1.8	713.0	711.6	714.0	54	50	46	WSW 1	WSW 2	WSW 1	9	7	2	.	
8	**6.4**	16.2	9 2	10.6	-2.9	713.6	710.5	711 9	64	38	58	ENE 1	WSW 1	WSW 2	0	4	7	.	
9	7.6	14.2	9 8	10.5	-3.1	712.4	712.2	711.1	82	37	55	NE 1	**W** 1	W 3	4	6	10	.	⸝ p-n
10	7.9	14.7	8.7	10.4	-3 4	709.9	708.8	710.0	71	46	57	WSW 1	WSW 3	WSW 2	7	2	0	.	⸝ a-p
11	6.5	16.3	10.4	11.1	-2.8	711.3	710.1	710.8	66	47	48	NE 0	**WSW** 1	**W** 0	0	0	0	1.3	
12	7.6	19.6	11.2	12.8	-1.2	712.2	711.3	711 0	100	47	56	W 0	W 2	W 0	10●	10	5	.	● 5½-7½
13	8.4	21.3	15.2	15.0	0.8	710 6	707.0	**705 6**	67	35	49	N 0	WSW 1	N 2	0	1	10	0.1	
14	13.7	15.0	13.8	14.2	-0.1	708.1	709.7	714.0	82	63	57	W 0	W 3	W 1	10	10	10	0.3	●tr 7-7½, 12¼-12½, ⸝ a-p
15	9.7	21.5	16.7	16.0	1.6	717.1	715.2	716.1	81	43	56	ENE 0	NE 1	**W** 1	3	8	0	.	
16	15.2	26.4	19.3	20.3	5.7	718.3	715.7	716.5	63	33	45	ENE 1	ENE 1	ENE 1	1	8	6	.	
17	16.1	23 8	19.5	19.8	5.1	718.1	717.2	717.8	58	45	55	NE 0	WSW 0	NW 0	2	9	8	.	
18	17.3	**29.3**	20.2	22.3	7.5	718.2	715.5	718.2	61	36	49	NNE 1	NNE 0	ENE 1	0	3	5	0.6	● 15½-15¾, ⸝ 3-4
19	17.9	28.0	21.5	22.5	7.6	718.4	715.9	716.5	59	39	52	NE 1	WSW 2	W 0	3	4	5	.	
20	18.8	27.6	21.6	22.7	7.6	717.7	714.9	715.0	60	41	51	NE 1	WSW 1	W 0	5	1	4	.	
21	18.3	28.3	22.4	23.0	7.8	715 9	713.3	713.1	61	45	42	ENE 0	WSW 1	**SW** 0	0	2	8	.	
22	19 4	27.2	16.0	20.9	5.6	714 4	712.9	717.0	60	51	100	ENE 1	WNW 1	NE 1	6	3	10	4.0	● K 17¼-21¼
23	15.8	24.2	16.8	18.9	3.5	718.0	716.4	717.9	78	50	78	NE 1	WSW 1	ENE 1	2	8	6	1.0	● 17¾-18¼
24	17.8	25.7	19.6	21.0	5.5	718.5	716.6	717.5	64	44	55	**ENE** 0	WSW 1	ENE 0	0	3	0	.	
25	18 2	28.8	21.4	22.8	7.1	719.8	717.5	718.3	55	32	36	NE 0	WSW 1	NNE 0	0	3	0	.	
26	18.8	28 6	20.1	22.5	6.7	720.7	718.8	**721.4**	55	36	56	NNE 0	WSW 1	NE 1	0	5	10	0.4	● 19¾-20¼, ⸝ 6-7
27	18.5	24.5	20.1	21.0	5.1	720.8	717.7	715.5	76	49	46	WSW 1	W 2	W 2	9	1	8	**15.1**	
28	15.8	16.4	13.6	15.3	-0.7	712.1	714.9	716.7	86	62	58	WSW 1	SW 2	W 2	10●	10	5	5.0	● 0¼-7, 7¼-9¾
29	10.8	17.8	14.7	14.4	-1.7	717.2	715.3	715.4	76	51	58	NE 0	WSW 2	WSW 1	2	3	6	0.4	
30	11.4	14.6	9.9	12.0	-4.2	714.0	711.8	710.4	94	67	93	WSW 0	W 1	W 2	10	10	8	3.8	● 3-6 mU, ●tr 8¾-9¾, 17¾-19, ● 2¾-5¾, ⸝ a-p [21½-22¼
31	8.9	16.5	10.5	12.0	-4.3	709.2	708.9	710.7	87	46	58	WNW 1	SW 3	WSW 2	8	7	3	.	
																		Summe	
Mittel	13.4	21 7	15.9	17.0	-	713 5	715.1	714.4	69	44	55				4.1	5 2	5.2	32.0	

$\lambda = 8°\,57'$, $\beta = 46°\,0'$,
$H_b = 276.2$ m, $G = -0.01$ mm.

Lugano

Mai 1953
Beobachter: *G. Vicari*

Tag	Lufttemperatur 7³⁰	13³⁰	21³⁰	Mittel	Abweich. vom Normalst	Luftdruck 7³⁰	13³⁰	21³⁰	Relative Feuchtigkeit 7³⁰	13³⁰	21³⁰	Windrichtung und Stärke 7³⁰	13³⁰	21³⁰	Bewölkung 7³⁰	13³⁰	21³⁰	Niederschlag	Witterung
1	9.8	23.2	16.4	16.5	3.2	738.6	736.7	738.3	75	47	60	N 1	S 1	N 1	0	5	10	.	
2	13.0	20.2	15.2	16.1	2.7	740.2	740.0	741.2	81	47	71	N 1	S 1	N 1	10	9	9	.	
3	11.6	22.0	15.4	16.3	2.7	740.7	739.5	740.0	83	51	70	N 1	S 1	NNW 1	5	2	1	.	
4	12.4	26.2	15.8	18.1	4.4	738.5	736.1	735.8	83	42	68	N 1	S 1	NNW 1	0	0	0	.	
5	18.8	27.6	19.2	21.9	8.1	735.8	734.6	735.3	42	**27**	38	N 1	N 3	NNW 1	8	0	0	.	⸗ a–p
6	17.4	27.4	18.8	21.2	7.2	733.2	730.8	731.7	43	31	35	NNE 1	NNE 1	N 2	4	6	0	.	
7	13.2	22.8	13.2	16.4	2.3	732.4	729.5	733 0	66	47	31	S 1	S 1	N 2	1	6	0	.	
8	11.8	21.0	13.4	15 4	1.2	733.7	732.0	732.4	35	38	53	N 2	S 1	N 1	0	3	8	.	
9	8.2	19.0	11.8	13.0	−1.4	732.7	731.0	731.1	68	31	37	NW 1	NNE 1	N 1	8	5	0	.	
10	7.8	18.4	11.0	12.4	−2.1	728.6	728.1	732.1	70	32	31	NNE 1	NNE 2	ENE 1	0	2	0	.	
11	**7 0**	19.8	10.8	12.5	−2.1	735.3	734.5	735.5	57	42	59	N 1	S 1	N 1	0	0	0	.	
12	9.2	17.6	11.8	12.9	−1.9	734.4	732.7	731.8	79	56	68	N 1	S 1	N 1	10	4	0	.	
13	9.2	23.0	16.4	16.2	1.3	732.0	730.7	731.4	72	47	77	N 1	S 1	WSW 1	1	1	10	6.3	● n (13./14.)
14	12 4	19 8	13 8	15.3	0.3	731.7	731.3	733.9	94	55	72	S 1	S 1	N 1	10◗	6	0	1.3	●◗ n–8½, ▽ 18½–19
15	10.6	20.8	16.2	15.9	0.7	738.8	739.7	740.7	72	54	72	N 1	S 1	N 1	0	4	3	.	
16	13.8	26.0	17.8	19.2	3 9	742.5	741.6	741.4	83	42	71	N 1	S 1	N 1	0	0	0	.	
17	15.4	27.4	19 2	20.7	5.3	742.3	740.9	741.2	82	47	65	E 1	S 1	N 1	0	0	1	0.0	▽ 17
18	16 4	29.2	21.4	22.3	6.7	741.6	741.2	742.1	77	46	61	N 1	S 1	N 1	3	0	0	.	
19	18.0	30.6	21.8	23.5	7.8	742.2	740.1	739.3	78	40	57	N 1	S 1	N 1	2	0	0	.	
20	17.4	29.2	17.4	21.3	5.5	740 0	737.5	737.8	75	47	88	N 1	S 1	NNE 1	1	3	10	7.7	● 18¾–19¼, ⛥ 18¾
21	16.6	29.0	18.2	21.3	5.3	736.9	735 0	736.0	77	47	71	N 1	S 1	W 1	0	0	10●	8.7	● 21–n, ⛥ 21¼
22	17.4	21.2	17.2	18.6	2.5	737.5	738.4	739.2	83	55	78	S 1	S 1	W 1	10	9	8	1.3	● 19½–20
23	16.6	27.2	16.8	20.2	4.0	739 9	738.7	742.1	75	53	79	N 1	S 1	N 1	6	5	9	0.1	▽ 18¾
24	15 4	27.6	20.2	21.1	4.7	742 8	741.4	741.9	79	41	58	N 1	S 1	N 1	0	1	3		
25	18.2	30.8	21.4	23.5	7.0	742.4	741.1	741.9	73	38	53	NNE 1	S 1	N 1	0	0	0	.	
26	19.0	30.2	21.4	23.5	6.9	**743.4**	741.8	740.8	66	43	68	N 1	S 1	N 1	0	0	10	0.4	● 20½–21¼
27	19.4	**31 8**	22.2	24.5	7.7	740.4	737.7	734.1	74	37	55	W 1	S 1	WSW 1	0	7	4	.	
28	21.0	23.2	19.4	21.2	4.3	730.1	730.8	734.7	40	35	34	N 2	NNE 2	N 3	9	8	3	.	⸗ p–n
29	15.8	24.4	18.2	19.5	2.5	736.3	736.3	736.3	61	47	66	SE 1	S 1	SSW 1	0	0	10	.	
30	16.2	18.8	14.8	16.6	−0.6	734.4	731.2	728.8	72	64	71	SE 1	S 1	W 1	8	10	2	0.0	● tr 13½, ▽ 2 ½
31	12.0	21.4	14.2	15.9	−1.4	727.5	**726.9**	729.7	74	**27**	39	E 1	N 2	N 1	0	0	0	.	
Mittel	14.2	24.4	16.8	18 5	—	737.0	735.7	736.5	71	44	59				3.1	3.1	3.6	Summe 25.8	

$\lambda = 7°\,35'$, $\beta = 47°\,33'$,
$H_b = 317.3$ m, $G = 0.11$ mm.

Basel

Mai 1953
Beobachter: *Astronom.-Meteorol. Anstalt*

Tag	Lufttemperatur 7³⁰	13³⁰	21³⁰	Mittel	Abweich. vom Normalst	Luftdruck 7³⁰	13³⁰	21³⁰	Relative Feuchtigkeit 7³⁰	13³⁰	21³⁰	Windrichtung und Stärke 7³⁰	13³⁰	21³⁰	Bewölkung 7³⁰	13³⁰	21³⁰	Niederschlag	Witterung
1	10.4	22.1	15.6	16.0	5.3	732.9	731.5	732.2	64	36	58	E 1	WNW 1	WSW 1	0	8	9	0.0	● tr 20¾–22¼ mU, ⊕ p
2	12.4	12.4	18.8	12.8	2.0	734.6	734.6	734 9	78	58	90	S 0	NW 1	NNE 1	10	8	0	.	
3	12.2	22.3	15.3	16.6	5.6	735.4	734.6	734.9	84	49	58	SW 0	W 1	ENE 1	1	1	0	.	
4	12.3	24.4	14.0	16.9	5 8	726.1	**725.3**	736.0	77	32	58	SSW 0	NNW 1	W 1	0	7	5	.	
5	9.8	20.4	12.5	14 2	3.0	737.7	736.6	736.0	88	40	67	W 1	ENE 1	ENE 1	10	2	0	.	
6	11.8	13.5	11.6	12.3	0.9	734 3	734.2	733 6	81	60	63	SSW 0	NNW 1	WSW 1	6	10	10	.	
7	8.2	9.9	**3.1**	7.1	−4.4	732.9	734.0	735.6	75	49	93	WNW 1	WNW 1	SSW 0	10	10	10	0.0	● tr 11¼–11¾, 14, ⸗ 10
8	3.8	13.2	5.0	7.3	−4.4	734.6	732.5	733.0	80	46	86	E 1	NNW 1	SSW 1	4	8	0	.	⌴
9	6.0	9.5	8.2	7.9	−3.9	733.1	732.6	731.4	88	74	71	W 0	SSW 1	WSW 2	8	10	9	0.0	
10	6.1	9.4	4 3	6.6	−5.3	729.7	731.9	732.1	79	57	63	W 2	WNW 1	ENE 1	10●	8	2	1.6	● 7½, ●✳ 8¼–9¼, ● 11½–12½
11	4.4	14.8	5.7	8.3	−3.8	732.1	731.6	731.1	77	**24**	67	S 0	N 1	W 1	0	2	0	.	⌴
12	5.4	18.2	8.0	10.5	−1.7	730.9	729.8	729 7	65	29	76	ESE 1	WSW 2	W 1	8	6	8	.	
13	8.1	20.2	11.4	13.2	0.8	729.7	727.9	725.5	67	43	56	E 0	NNE 1	WSW 1	0	0	3	0.0	
14	10.0	12.4	10.3	10.9	−1.6	726.6	730.4	733.5	83	76	85	ESE 1	WSW 1	SSE 1	10	10	9	0.9	● tr 5, ● 11¼–12½ mU
15	11.8	23.7	15.0	16 8	4.2	735.4	734.9	735.2	75	40	73	ESE 1	ESE 1	ESE 1	8	3	1	.	
16	16.6	30.2	17.7	21.5	8.7	735.2	734.1	734.7	62	25	78	ESE 1	SSE 1	ESE 1	4	2	2	.	
17	16.8	23.3	17.5	19.2	6.3	736.5	737.1	737.5	77	50	74	NNW 0	NNW 1	SSE 1	4	7	1	.	
18	16.5	30.4	18.7	21.9	8.9	736.5	734.9	737 8	75	33	74	E 0	ESE 1	SSE 2	4	6	10●	3.2	⛥● 18¼, 20–21
19	21.0	28.9	18.4	22.8	9.6	736.6	736.7	736.7	62	32	56	SW 0	WNW 1	S 1	4	1	0	.	
20	19.3	26.4	18.0	21.2	7.9	737.6	736.0	735.2	69	53	58	WNW 1	NNE 1	SW 1	7	4	0	.	
21	19.9	29.4	18.7	22.7	9.3	735.3	733.7	733.0	76	32	78	S 0	NE 1	SE 1	0	3	8	.	
22	18.1	27.8	18.4	21.4	7.9	733 6	733.0	735.3	75	49	92	NE 1	NW 1	SW 0	8	6	4	0.3	● tr 16¾–16¾, 17½–17¾, 18¾–19
23	18.4	26.5	17.4	20.8	7.1	737.2	736 8	738.1	80	45	88	E 1	NNW 1	SSE 1	1	6	5	0.0	● tr 19–19¼
24	18.2	28.8	19.4	22.1	8.3	738.3	737.4	737.3	75	38	68	ESE 1	E 1	E 0	0	1	0	.	
25	19.7	30.4	18.3	22.8	8.9	738.9	737.7	737.5	66	38	74	SE 0	ENE 1	NE 0	0	1	0	.	
26	19.7	**31.9**	20.4	24.0	10.0	738.8	737.8	739.7	59	31	73	ENE 1	WNW 1	N 1	0	2	10	0.0	⛥ 22–22¼
27	17.1	23.2	19.3	19.9	5.8	**740.7**	738.6	734.0	69	41	51	W 1	WNW 2	WNW 2	8	8	10	8.6	● 21½–23½
28	10.1	12.5	11.3	11.3	−2.9	734.0	738.1	739.5	88	63	59	NNW 1	N 1	NNW 1	10	10	8	.	● ⅛–5¾ mU
29	9.4	17.6	13.9	13.6	−0.7	739.7	738.1	735.9	74	47	54	SE 0	ENE 1	WSW 1	5	2	10	2.3	● 23–24
30	11.3	12.2	8.6	10.7	−3.7	733.1	730.8	729.2	88	79	92	SW 1	WSW 2	WNW 1	10	10	10	**9.5**	● 2½–4¾ mU, 8½–9½, 12¾–12½, 14½–20½
31	7.8	12.3	10.5	10.2	−4 3	729.6	729.8	730.1	90	59	72	NW 1	N 1	SW 1	10●	9	10	2 4	● 2½–5¾ mU, 7–8¾ [mU, ⸗ 10
Mittel	12.7	20.8	13.5	15.7	—	734.8	734.3	734.4	76	46	71				5.2	5.5	4.5	Summe 28.8	

Mai 1953
Beobachter: *Observatorium*

Säntis

$\lambda = 9°\,20'$, $\beta = 47°\,15'$,
$H_b = 2500.1$ m, $G = -0.27$ mm

Tag	Lufttemperatur					Luftdruck			Relative Feuchtigkeit			Windrichtung und Stärke			Bewölkung			Niederschlag	Witterung
	7^{30}	13^{30}	21^{30}	Mittel	Abweich. vom Normalst	7^{30}	13^{30}	21^{30}	7^{30}	13^{30}	21^{30}	7^{30}	13^{30}	21^{30}	7^{30}	13^{30}	21^{30}		
1	3.3	4.2	1.1	2.9	5.4	562.4	562.8	562.8	47	64	81	SSE 1	SW 2	S 2	1	2	4	.	
2	1.3	4.4	2.0	2.6	4.9	563.5	564.6	565.8	60	57	98	ESE 2	S 2	ENE 2	9	9	2	.	≡ 16¾–21
3	3.4	4.4	1.9	3.2	5.3	564.8	565.4	565.6	50	85	93	ENE 2	SE 1	ENE 2	1	5	1	.	≡ 13¾–20¾
4	1.0	1.8	−0.1	0.9	2.8	564.8	565.6	565.8	83	86	95	NE 2	NNE 2	NE 2	1	9	10	.	
5	−1.6	1.5	−0.7	−0.3	1.4	564.5	564.8	563.8	100	94	100	N 2	N 1	WNW2	10≡	10≡	10≡	1.2	△ n (5./6.), ≡ n-7¾, 9-n mU
6	−2.4	−1.8	−3.8	−2.7	−1.1	561.0	560.3	560.2	100	100	100	WNW3	WNW2	WNW1	10−	10≡	10≡*	7.8	[15, 18¼, ✳ 19-n, ≡ n-n, ⋁ I
7	−4.5	−6.2	−9.8	−6.8	−5.4	557.9	557.6	559.4	100	100	100	W 4	N 2	NW 1	10≡*	10≡*	10≡	26.1	✳ 7-18¼, ≡ n-n, ⋁ I, ⌿ n-a
8	−8.5	−5.3	−8.0	−7.3	−6.1	558.0	558.0	558.0	92	93	97	NE 2	E 1	N 1	2	10≡	10≡	2.0	✳ n–6¾, ▽ 16–16¾, 17¾–18¼,*)
9	−8.2	−7.0	−8.2	−7.8	−6.7	556.7	556.7	555.8	97	98	98	NW 2	WNW3	WNW3	10≡*	10≡*	10≡*	16.2	▽ 6¾-9 mU, ✳ 10¾-n, ≡ n-n, ⋀ a ✳
10	−8.6	−7.6	**−11.4**	−9.2	−8.3	**551.9**	555.7	556.8	100	83	57	W 4	N 1	N 1	10≡*	10≡	1	5.0	✳ n-10¾, 16¾-17¾, ≡ n-18, ⌖
11	−4.9	−6.0	−4.7	−5.2	−4.4	556.1	557.8	558.4	41	62	98	NNW 1	W 2	W 3	1	2	10≡	.	[n-10½, ⋁ II, ⌿ I ≡ 18¾–n
12	−6.7	−4.0	−4.8	−5.2	−4.5	556.8	557.3	557.4	97	97	100	W 3	W 3	WNW3	10	10≡	10≡*	9.0	▽ 12½, ≡ 14–16½ mU, *)
13	−5.0	−2.6	−5.2	−2.6	−2.1	556.8	557.7	557.1	100	78	52	WNW2	W 2	WSW2	10≡	2	1	0.0	≡ n-12½, ⌴ a
14	0.2	−0.4	−2.3	−0.8	−0.4	557.1	558.2	561.5	86	100	100	S 1	WNW3	W 3	10	10≡△	10≡	10.7	▽ 6–6½, 13–13¾, ✳ 14–15½,
15	−1.4	1.2	2.0	0.6	0.9	563.7	565.3	566.7	96	84	88	W 2	W 2	W 3	5	9	3	.	[≡ 10½–n, ⌿ p
16	4.0	7.0	6.6	5.9	6.1	567.3	568.6	569.1	76	40	39	WSW2	W 2	SW 2	3	2	2	.	
17	9.9	10.2	6.5	8.9	8.9	569.0	569.7	570.5	39	50	86	SW 2	WSW1	SW 1	2	8	9	.	
18	11.1	**12.6**	7.5	10.4	10.3	569.8	570.3	571.3	43	41	87	S 2	SW 2	N 1	1	2	9	.	
19	10.7	11.4	8.3	10.1	9.9	569.8	570.2	569.9	37	41	76	SW 2	SSE 1	NE 2	4	5	2	.	
20	8.1	9.7	5.6	7.8	7.5	568.9	568.8	568.4	93	73	78	N 1	SE 1	N 1	2	4	8	.	≡ 9½–12
21	6.9	8.7	5.6	7.1	6.7	567.1	567.2	566.5	68	90	75	NE 2	N 1	N 2	1	9	10	8.0	▽ K 17¾–18
22	7.2	9.4	4.2	6.9	6.4	565.8	566.4	567.4	70	67	88	N 1	N 1	WNW2	8	6	10●	3.3	● 20¾-n, K 20¾-21, ≡ 15½-19
23	4.9	5.8	3.0	4.6	4.0	567.9	568.7	569.3	93	96	100	NW 2	N 2	NE 2	10≡	10≡●	10≡	5.1	▽ 13¾-13½, 15¾-16¼, 18¾, 17¼-17¾
24	7.0	8.3	6.1	7.1	6.4	568.8	569.9	570.4	50	63	87	E 2	S 1	ENE 2	1	1	0	.	[K 15¾-16¼, ≡ n-n mU
25	10.3	9.9	7.6	9.3	8.5	570.7	571.4	571.6	41	72	75	ENE 1	E 1	NE 1	1	2	1	.	
26	8.3	9.1	6.2	7.9	7.0	571.3	**571.8**	571.4	74	77	84	W 2	W 3	W 2	1	2	10	5.6	▽ 19½–20¼
27	4.2	4.4	1.3	3.3	2.3	569.7	568.4	563.9	100	100	93	W 2	W 3	W 4	10≡	10≡	9	29.9	● n (27./28.), ≡ n-17¾
28	−1.4	−3.2	−4.4	−3.0	−4.1	560.2	562.9	564.6	100	100	100	N 2	N 3	N 2	10≡*	10≡	10≡	12.3	▽ n-7½, mU, ≡ n-n, *)
29	−3.5	0.8	−2.6	−1.8	−3.0	563.6	564.4	563.3	88	**22**	100	NNE 1	NNE 2	W 3	1	2	3	6.2	✳ n (29./30.)
30	−2.8	−3.4	−4.3	−3.5	−4.8	560.0	558.4	556.4	100	100	100	W 3	NW 3	WNW3	10≡*	10≡*	10≡*	**37.8**	✳ n-n mU, ≡ n-n, ⋁ I
31	−5.2	−3.2	−5.4	−4.6	−6.0	555.3	556.2	556.9	98	94	95	WNW2	WNW2	W 3	10≡*	10≡	10■*	15.3	✳ n-n mU, ≡ n-n
																		Summe	
Mittel	1.2	2.4	0.2	1.3	–	563.3	563.9	564.0	78	78	88				5.6	6.8	6.9	201.5	

*) 8. ≡ n-n mU 12. 17¼–19, 20¼-n, ≡ n-7, 7¾-n, ⋁ a 28. ✳ 7½–12, 13¾-n mU, K 4½-4¾, ⌿ a, ⋁ I

Mai 1953
Beobachter: *E. Chiesa*

St. Gotthard (Hospiz)

$\lambda = 8°\,34'$, $\beta = 46°\,33'$,
$H_b = 2095$ m, $G = -0.25$ mm.

1	1.3	6.0	2.4	3.2	2.7	591.9	591.9	592.3	65	54	86	SE 0	SE 1	SE 0	0	3	9	2.9	✳ n (1./2.)
2	0.7	4.9	2.2	2.6	2.0	592.6	593.5	594.2	100	100	100	SE 1	SE 1	SE 0	10≡	10	6	.	≡ n-a
3	2.2	7.9	3.0	4.4	3.6	594.1	594.0	594.1	100	43	75	SE 1	SE 1	NW 0	0	0	0	.	
4	3.4	6.6	3.2	4.4	3.5	592.5	593.6	593.8	43	40	64	NW 1	NW 1	NW 2	0	0	0	.	
5	1.0	5.3	1.5	2.6	1.5	592.4	593.6	592.5	100	58	100	NW 2	NW 2	NW 3	10≡	6	9	.	≡ n-a, 18¼-n mU
6	−0.2	3.1	−0.9	0.7	−0.5	590.3	589.6	589.5	100	82	100	NW 2	NW 2	NW 2	9	6	10≡	2.2	✳ n (6./7.), ≡ n-a mU, 17½-n, ⋁ III
7	−1.6	0.1	−6.3	−2.6	−3.9	588.2	586.8	587.8	100	81	62	NW 1	NW 2	NW 4	10≡	9	10*	1.1	✳ n-14 mU, p-n, ≡ n-a mU, ⌿ III
8	−8.2	−1.0	−5.1	−4.8	−6.2	587.7	587.4	587.1	100	30	100	NW 2	NW 2	NW 3	0	3	10*	1.7	✳ 16¾-n, ⌿ ⌖ p-n
9	−5.3	−3.8	−5.4	−4.8	−6.3	586.2	586.2	585.5	100	100	100	NW 2	NW 2	NW 2	10≡	10*≡	10*≡	2.1	✳ a-n, ≡ ⌖ n-n
10	−5.3	−5.0	−7.8	−6.0	−7.6	**582.7**	584.0	586.0	100	100	100	NW 2	NW 3	NW 2	10*≡	10*≡	10≡	0.8	✳ n-p mU, ≡ ⌖ n-n, ⌿ II
11	−5.2	2.9	−2.6	−1.6	−3.3	586.3	587.2	588.4	75	17	90	SE 1	SE 0	NW 0	0	0	0	.	
12	−2.0	0.7	−2.3	−1.2	−3.0	587.0	587.0	587.2	78	59	78	NW 2	NW 2	NW 1	9	10*	3	0.5	✳ 9¾–18¼ mU
13	−1.8	5.7	2.6	2.2	0.3	586.5	586.9	586.6	67	19	90	NW 1	NW 0	SE 1	0	0	9	.	
14	1.4	4.1	−0.1	1.8	−0.2	586.2	587.0	590.2	98	79	100	SE 0	NW 1	NW 1	10■	10	3	1.8	● 14¾–20½, ≡ n-a
15	−0.4	8.8	4.2	4.2	2.1	592.8	594.2	595.8	76	22	100	NW 1	SE 0	SE 1	0	3	10≡	.	≡ 20¾–n
16	4.2	11.7	5.9	7.3	5.1	596.2	597.1	597.4	62	28	100	SE 0	SE 0	SE 0	0	0	0	.	
17	7.3	13.8	7.9	9.7	7.4	597.5	598.3	598.6	97	98	90	SE 1	SE 1	SE 0	0	3	0	.	
18	9.1	**15.2**	7.1	10.5	8.1	598.3	598.5	598.5	75	**51**	93	SE 0	SE 1	SE 0	0	3	0	.	
19	8.5	15.1	8.9	10.8	8.3	598.9	599.0	599.8	70	30	80	SE 0	SE 1	NW 1	0	0	0	.	
20	7.2	8.3	8.4	8.0	5.4	597.9	598.8	598.0	85	47	98	NW 1	NW 1	NW 1	0	0	10	.	≡ 20¼-n mU
21	7.0	12.8	7.7	9.2	6.5	593.1	595.3	594.4	89	23	89	NW 2	NW 1	NW 1	0	0	0	2.2	● 19¼–20½
22	7.1	14.0	5.9	9.0	6.2	594.7	594.9	596.4	94	27	100	NW 1	NW 1	NW 1	6	6	10	5.9	● 17–18, 22–n
23	6.3	9.1	5.0	6.8	3.9	596.1	597.0	597.8	96	82	65	NW 1	NW 2	NW 1	10	10	0	13.0	● 16–8½
24	5.7	13.6	6.8	8.7	5.7	597.6	597.1	598.3	52	35	86	NW 0	SE 1	NW 0	0	0	0	.	
25	8.2	14.9	9.0	10.7	7.6	598.7	599.5	599.5	49	**12**	75	SE 0	NW 0	NW 0	0	0	0	.	
26	9.0	14.1	6.9	10.0	6.8	599.8	**601.2**	597.7	64	27	72	NW 0	NW 2	NW 2	0	3	3	0.5	▽ 21–21¼
27	7.0	10.6	7.8	8.5	5.2	597.8	596.4	593.7	78	72	51	NW 2	NW 2	NW 1	9	6	9	**28.1**	● n (27. 28.), ⌓ 20½
28	1.7	−0.6	−1.4	−0.1	−3.5	589.4	590.2	591.9	100	100	95	NW 2	NW 4	NW 3	10●≡	10●≡	10*≡	4.3	● n-p, ✳ p-n mU, ≡ n-n, ⌿ a-n
29	−3.0	2.0	0.5	0.1	−3.4	592.1	593.0	592.9	97	71	100	NW 3	NW 2	NW 2	0	0	10≡	1.0	✳ n (29./30.), ≡ p-a, ⌿ n-a ⌿ II
30	0.2	0.4	−2.3	−0.6	−4.2	590.4	588.4	585.5	100	100	100	NW 1	NW 2	NW 2	10−	10≡	10	5.6	✳ 16¾-17¾, ≡ n-p, ⌖ III
31	−3.2	−1.1	−3.2	−2.6	−6.2	584.0	584.8	585.3	100	100	100	NW 2	NW 3	NW 2	10−	10−	10−	2.0	⌖ III, ≡ n-n, ⋁ a-n, ⌿ II
																		Summe	
Mittel	2.0	6.5	2.2	3.6	—	592.3	592.7	592.8	84	58	88				4.3	4.5	5.5	73.7	

$\lambda = 7° 26'$, $\beta = 46° 57'$,
$H_b = 572.2$ m, $G = 0.00$ mm.

Bern

Juni 1953
Beobachter: *Meteorol. Observatorium*

Tag	Lufttemperatur 7³⁰	13³⁰	21³⁰	Mittel	Abweich. vom Normalst	Luftdruck 7³⁰	13³⁰	21³⁰	Relative Feuchtigkeit 7³⁰	13³⁰	21³⁰	Windrichtung und Stärke 7³⁰	13³⁰	21³⁰	Bewölkung 7³⁰	13³⁰	21³⁰	Niederschlag	Witterung
1	8.1	12.6	10.0	10.2	−4.1	707.0	706.5	703.1	91	60	74	W 1	WSW 2	WSW 2	9	6	10	5.0	● 3½-6¾, 8¾-11¼, 19½-21, 21¾-24
2	7.2	8.0	**5.1**	6.8	−7.7	702.5	702.9	703.5	75	71	85	WSW 2	WSW 3	WSW 1	9	8	8	4.6	● 0-1¾, 8¾-13¾, 17¾-18¾, 22-22½, ⌿ II
3	6.7	11.6	8.2	8.8	−5.8	704.1	704.2	706.0	73	50	63	WSW 2	WSW 3	SSW 1	9	5	3	0.7	● 4¼-4¾, 7¾-7½, 9¾-12¾, ⌿ II
4	7.5	14.9	9.6	10.7	−4.0	707.3	707.3	709.3	74	42	69	SE 1	SSE 1	NE 1	1	1	1	.	⊿ I
5	9.7	18.4	14.9	14.3	−0.5	710.0	708.9	708.6	68	**38**	50	SE 1	NNE 2	NNE 1	1	6	9	.	⊿ I
6	12.7	19.7	17.0	16.5	1.6	709.1	709.5	709.4	68	42	48	ESE 1	E 1	NE 1	8	8	9	.	
7	13.1	**22.4**	17.5	17.7	2.7	708.8	709.1	710.3	78	50	64	WSW 1	W 2	NNW 1	9	4	10	1.6	
8	14.7	19.7	17.0	17.1	2.0	707.9	705.8	703.7	97	65	71	NE 1	ENE 2	ENE 1	10	10	10	0.0	● 1¾-4¼
9	16.4	17.2	12.6	15.4	0.2	**702.2**	703.7	706.3	83	69	84	NE 1	WSW 3	WSW 3	9	10	10●	13.6	● 4¾-6½, 10½-11¾, 21-24, ⌅ 10½-
10	11.4	11.4	10.8	11.2	−4.1	706.8	709.0	710.1	97	96	94	S 1	WSW 2	WSW 2	10●	10●	10●	**26.5**	● 0-24 [10¾, ⌿ a-n
11	10.4	12.7	12.4	11.8	−3.6	709.6	710.1	710.7	98	95	92	SE 1	SE 1	ENE 1	10●	10	10	0.1	● 0-8¾
12	11.9	16.2	14.3	14.1	−1.4	710.5	710.7	712.2	92	59	73	S 1	NE 1	SE 1	10	9	9	0.2	● 11¾-12¼
13	11.9	18.4	14.8	15.0	−0.6	711.4	710.5	710.3	89	44	62	S 1	SSW 1	ESE 1	2	8	8	.	⊿ I
14	13.3	16.5	13.1	14.3	−1.4	710.1	710.2	710.8	89	65	96	ENE 1	ENE 1	NE 1	10	10	10	0.3	● 19-20
15	13.1	19.3	14.3	15.6	−0.2	710.2	708.7	709.1	95	47	92	S 1	NW 2	SE 1	9	9	10	7.2	● 17½-17¾, 19¼-20, 21½-24
16	13.4	17.7	14.6	15.2	−0.7	709.7	709.2	709.4	87	50	86	SSE 1	NNE 1	ESE 2	3	9	9	.	● 0-6¼
17	14.1	18.0	12.8	15.0	−1.0	709.9	708.9	709.4	79	63	98	ESE 1	WNW 1	N 1	6	10	10●	18.4	● 12¼-13¼, 13¾-24
18	12.2	12.2	12.9	12.4	−3.7	709.8	711.3	713.8	97	88	79	SE 1	W 2	WSW 2	10	10●	9	2.9	● 0-6¾, 7¾-12¾, 21½-22½
19	12.2	18.9	15.4	15.5	−0.7	**715.9**	714.1	713.9	75	45	66	SE 1	WNW 1	NE 1	3	3	1	.	
20	13.3	22.1	18.8	18.1	1.8	713.7	712.9	713.1	78	40	63	SE 1	WSW 1	ESE 1	1	5	1	.	⊿ I
21	15.4	20.3	17.0	17.6	1.2	713.7	712.8	712.7	79	61	85	SE 1	WNW 2	SSE 1	9	9	9	0.0	● 14¼-14¾
22	15.7	21.2	16.0	17.6	1.1	712.8	712.4	713.4	89	59	85	S 1	WNW 2	SE 1	9	8	10	9.1	● 8¼-8¾
23	12.8	17.0	15.9	15.2	−1.4	713.8	713.1	712.4	97	74	92	S 1	NW 1	N 1	10●	10	9	9.0	● 1¾-9¼, 20¾-21, 23½-24
24	14.6	13.3	13.9	13.9	−2.7	711.6	712.0	712.3	95	91	87	SSW 0	WNW 3	NE 1	9	10●	9	15.5	● 0-5, 11¼-23¾ mU, *)
25	13.1	14.7	12.7	13.5	−3.2	712.0	712.6	712.1	88	82	95	W 1	SE 1	SE 1	9	10●	10	5.6	● 1¾-2¼, 8½-9, 12-18½, 21¾-24
26	14.2	18.4	15.4	16.0	−0.8	710.5	710.5	710.7	94	68	97	WSW 1	WSW 2	SE 1	10	9	10●	10.1	● 0-1¼, 8¾-12½, 19½-24
27	14.0	19.5	15.8	16.4	−0.5	710.8	710.6	711.4	97	64	85	SE 1	E 1	SE 1	10●	9	7	0.6	● 0-8½, 13¼-13½, 15½-15¾
28	15.7	22.8	18.9	19.1	2.1	711.4	711.2	710.6	90	56	75	E 1	N 2	NE 1	1	3	3	4.4	
29	15.7	19.5	19.7	18.3	1.3	711.4	711.9	710.5	98	78	77	W 1	E 1	W 1	10●	9	9	2.6	● 6¼-7¾, 9½-12¾, 20¼-20¾,*)
30	18.0	**24.7**	18.1	20.3	3.2	711.4	710.5	711.2	88	52	87	ESE 1	N 2	NE 2	3	6	8	0.0	● 2½-4, 16½-17, ●tr 18¾-19¼
Mittel	12.8	17.3	14.3	14.8	—	709.9	709.7	710.0	87	62	79				7.3	7.8	8.0	Summe 138.0	

*) **24.** ⌅ 11¼-11¾, 13¼-13½, ⌿ II **29.** ⌅ 6¾-7

$\lambda = 6° 57'$, $\beta = 47° 0'$,
$H_b = 487.3$ m, $G = 0.02$ mm.

Neuchâtel

Juni 1953
Beobachter: *Observatorium*

1	8.7	15.5	10.6	11.6	−3.4	714.2	713.6	710.5	75	58	77	SW 1	SW 2	SW 3	10	4	10●	1.2	● 2¾-3½, 21¼-23, ▽ 17¾, ⌿ p-n
2	6.8	9.4	**5.6**	7.3	−7.9	709.6	710.2	710.9	75	65	88	W 2	SW 2	W 3	10●	8	10●	4.8	● 7½-9, ▽ 11¾, 14¼, 16¾-17¾, 21½,
3	6.4	11.8	8.5	8.9	−6.4	711.4	711.6	713.1	80	61	67	SW 2	SW 2	W 1	10	8	3	2.0	● 10¾-11, 16¾ [⌿ p-n
4	7.9	16.5	9.4	11.3	−4.1	714.9	714.9	716.8	82	44	72	E 1	W 1	N 0	2	4	3		
5	9.2	21.0	17.2	15.8	0.3	717.7	716.5	715.7	81	**33**	38	N 0	E 2	NE 2	1	6	9	.	
6	14.5	22.5	18.5	18.5	2.9	716.5	716.8	716.5	58	42	52	NE 2	E 2	NE 1	6	4	2	.	
7	15.2	23.4	18.5	19.0	3.3	716.1	716.8	717.6	78	48	59	NE 0	SW 1	N 2	8	2	10	0.7	
8	14.6	21.0	19.0	18.2	2.4	715.4	713.0	710.5	95	73	83	NE 0	E 0	NE 0	10	10	10	9.8	● 2¾-3¾
9	15.9	15.9	11.6	14.5	−1.4	**709.4**	710.8	713.6	97	87	96	NE 0	SW 2	SW 2	10●	10●	10●	40.1	▽ 4¼, ● 11½-8½, 12½-24
10	11.3	11.3	10.8	11.1	−4.9	714.2	716.5	717.6	96	95	97	SW 3	SW 2	SW 1	10●	10●	10●	20.2	● 0-24, ⌿ n-a
11	10.7	13.2	11.8	11.9	−4.2	717.0	717.5	718.2	96	91	94	SW 1	SW 0	SW 0	10●	10	8	9.1	● 0-5½, ▽ 7½
12	11.8	17.9	13.0	14.2	−2.0	717.9	718.2	719.5	95	63	77	SW 0	SW 0	SW 0	10	8	5	.	
13	12.2	20.6	16.1	16.3	0.0	719.0	717.9	717.4	88	47	61	E 0	SE 0	N 2	0	2	6	.	
14	14.0	18.2	14.0	15.4	−1.0	717.5	717.4	718.3	81	64	85	NW 0	E 1	E 0	6	8	8	.	
15	13.2	21.3	14.9	16.5	0.0	717.7	716.1	716.3	93	57	76	S 1	SE 1	NW 2	9	8	10	0.9	● 20½-21¼
16	14.4	19.7	14.4	16.2	−0.4	717.2	716.5	716.7	81	50	91	E 1	SE 0	N 1	2	6	10●	6.5	● 0½-1, 20½-22¾, ⊕ 12
17	13.6	16.9	13.5	14.7	−2.0	717.2	716.4	716.6	95	73	97	NW 0	S 0	SW 0	8	10	10●	13.4	●tr 11½, ● 14¾-24
18	12.9	13.0	11.7	12.5	−4.3	717.2	718.9	**723.0**	97	89	92	SW 0	SW 1	W 1	10●	10●	7	4.1	● 0-10, 12½-13¾, 20¼-21
19	13.1	20.3	16.4	16.6	−0.3	722.3	721.6	721.3	81	47	66	W 0	SE 0	N 1	3	1	1	.	
20	13.8	21.8	17.5	17.7	0.7	721.3	720.4	720.4	84	47	72	NE 0	SE 0	NE 0	0	6	2	.	⊕ 13¼
21	15.4	21.3	13.3	16.7	−0.3	721.2	720.4	720.1	86	70	94	NE 0	SW 2	SW 0	10	8	2	6.0	⌅ ● 14½-16
22	14.4	18.9	14.1	15.8	−1.3	720.3	720.1	720.8	95	81	92	SW 0	W 0	W 0	10	9	10	9.1	● 6¾-7, 12-13½, 16½-19¼, ⌅ 16¼
23	13.3	17.2	15.0	15.2	−2.0	721.2	720.7	719.8	100	76	88	W 0	SW 0	SW 0	10	10	10●	6.6	● 0¾-7½, 20¾-21
24	14.6	16.7	13.8	15.0	−2.3	719.0	718.9	719.6	97	85	93	NW 0	SW 1	W 0	10	9	9	6.9	● 0-1½, 12¾-21¼ mU
25	12.9	14.7	14.0	13.9	−3.5	719.5	719.8	719.6	92	94	91	SW 1	SW 0	SW 0	8	10●	10●	8.4	● 12¼-16½, 21¼-21¾
26	14.5	19.8	16.8	17.0	−0.5	718.0	717.9	717.9	94	81	80	SW 2	SW 2	W 0	10	7	10	2.5	● 4-5¼, 9¾-24 mU
27	15.9	23.4	16.3	18.5	1.0	718.0	717.9	718.6	92	61	90	W 0	S 1	N 1	9	7	8	0.4	● 0-18¾ mU
28	16.1	24.5	20.5	20.4	2.8	718.8	718.5	717.8	90	66	67	E 1	SE 0	NE 3	1	2	4	1.0	⌿ p-n
29	16.7	20.1	19.7	18.8	1.1	718.6	719.0	717.7	96	90	78	E 0	SE 1	N 1	10	8	10	3.3	▽ 6¼, 10, 21
30	19.6	**24.9**	17.6	20.7	2.9	718.7	717.8	718.5	89	66	90	E 0	SE 0	NE 0	8	5	7	0.3	▽ 18¼
Mittel	13.1	18.4	14.5	15.3	—	717.2	717.1	717.4	88	67	80				7.4	7.0	7.5	Summe 148.3	

Juni 1953
Beobachter: *Frl. H. Nager*

Altdorf

$\lambda = 8° 39'$, $\beta = 46° 53'$,
$H_b = 456.3$ m, $G = -0.05$ mm.

Tag	Lufttemperatur 7³⁰	13³⁰	21³⁰	Mittel	Abweich. vom Normalst	Luftdruck 7³⁰	13³⁰	21³⁰	Relative Feuchtigkeit 7³⁰	13³⁰	21³⁰	Windrichtung und Stärke 7³⁰	13³⁰	21³⁰	Bewölkung 7³⁰	13³⁰	21³⁰	Niederschlag	Witterung
1	8.3	10.5	9 9	9.6	−5 4	716.6	716.1	712.2	94	77	85	N 1	NW 0	SE 0	10●	8	10	5.3	● n-a
2	7.9	9.4	**6 3**	7.9	−7.2	711.8	711.5	713.2	96	56	90	NE 1	NW 2	NW 0	10●	10●	10	1.9	● n-p mU
3	7.4	13.7	8.2	9.8	−5.4	713.8	712.9	716.8	85	47	90	E 0	NW 1	NW 0	8	7	10●	3.2	● 18¼-n
4	7.5	15.3	8.7	10.5	−4.8	717.3	717.1	710.2	89	54	71	SW 0	N 0	NE 0	3	8	3	0.1	● tr a
5	10.1	18.7	13.0	13 9	−1.5	719.5	718.4	718 3	69	45	61	E 0	N 1	N 0	0	3	7	.	
6	11.7	19 4	18.1	16.4	1.0	719.1	718.8	718.5	78	55	49	N 0	NW 1	SE 1	7	7	6	.	
7	19.7	23.7	17.8	20.4	4.9	718.1	718.4	720.3	46	**44**	75	SE 1	NE 1	NW 0	10	4	10	.	
8	15 7	19.5	17.3	17.5	1.9	717.6	715.7	713.5	87	75	60	W 0	NW 1	SW 0	8	9	10	1.5	● p
9	16.7	22.3	15.7	18.2	2.5	**711.3**	711.6	715.5	74	57	96	S 0	NW 1	SE 0	10	8	10	3.8	● n (9./10.)
10	14.4	14.8	12.6	13.9	−1.9	716.0	717.5	720.0	95	97	97	W 0	W 0	W 0	10	10	10●	14.1	● 18¾-n
11	12.3	14.3	12.9	13 2	−2.7	719.2	719.8	721.2	98	83	95	NE 0	NW 0	NW 0	10●	10	10	3.5	● n-a
12	12.9	17.3	14.4	14.9	−1.0	720.3	720.3	722.3	92	60	87	NW 0	W 1	N 0	6	7	10	0.1	● n (12./13.)
13	13.4	17.0	14.2	14.9	−1.1	721.3	720.8	720.7	92	67	97	NW 0	NW 0	N 0	10	8	10●	3.3	● 18-n
14	13.7	15.1	13.7	14.2	−1.9	720.0	720.2	721.6	94	86	97	W 0	W 0	NW 0	10	10●	10●	3.4	● a-n mU
15	13.6	19.8	15.9	16.4	0.2	720.3	718 0	719.0	95	55	93	W 0	NW 1	NW 0	9	7	10●	16.4	● 20½-n
16	13.3	18.8	15.2	15 8	−0.5	720.0	718.8	720 4	96	60	92	W 0	NW 0	NW 0	10●	8	10●	5.5	● n-a, p-n
17	13.5	19.3	15.8	16.2	−0.1	719.7	718.4	719.4	97	62	80	SE 0	N 0	NW 0	10	8	10●	8.7	● p-n
18	14.1	14.0	12.3	13.5	−2.9	720 0	720.6	724.1	94	84	97	N 0	NE 0	NW 0	10●	10●	9	10.4	● n-p
19	12.7	19.8	15.2	15 9	−0 6	**724 8**	723.6	724.7	90	52	81	E 0	N 1	NE 0	6	6	5	.	
20	13.8	20.3	16.8	17.0	0 4	723.3	722.9	723.8	80	57	80	NE 0	**W** 0	E 0	1	8	3	.	
21	14.9	21.4	17.7	18.0	1.4	723 6	722.3	723.0	90	59	76	E 0	NW 0	W 0	10	8	8	0.6	● n (21./22.)
22	16.3	20.7	17.0	18.0	1.3	723.0	722.4	723.9	93	64	81	NW 0	N 0	SW 0	10	7	10	1.4	● n (22./23.)
23	16.3	19.2	15.5	17.0	0.2	723 0	722.9	722 9	94	65	92	SW 0	NW 0	NW 0	10	9	8	1.8	● n (23./24.)
24	15.7	18.2	14.3	16.1	−0.8	721.6	720.9	723.0	98	88	97	NW 0	NW 0	W 0	10●	10	10	34.9	● n-a, 14-20¼
25	13.3	13.9	12.6	13.3	−3.6	721.6	723.1	722.8	98	88	95	E 0	W 0	SE 0	10●	10●	10●	**49.1**	● n-n
26	12 4	14.5	13.6	13.5	−3 5	720.2	720.9	721.5	100	100	98	S 0	SE 0	SE 0	10●	10●	10●	31.3	● n-n
27	13.9	17.7	15.3	15.6	−1.5	720.2	720.9	721.9	99	74	95	E 0	NW 0	NW 0	10	8	10	0.9	● p mU
28	15 1	21.3	17.8	18.1	1.0	721.6	721.0	720 9	95	60	66	N 0	NW 0	E 0	6	5	3	.	
29	16.1	19 5	21.9	19.2	2.0	721.7	721.4	720.2	92	77	46	E 0	N 0	SE 1	6	10	7	2.8	● 9¼-11
30	17.7	**24.4**	19.5	20.5	3.2	721.5	719.7	722.0	84	58	87	NE 0	NW 1	NW 0	5	4	8	1.1	● 18¾-21
																		Summe	
Mittel	13.5	17.8	14.6	15.3	—	719.6	719.2	720 3	89	67	84				8.2	7.9	8.6	205.1	

Juni 1953
Beobachter: *Observatorium*

Genève

$\lambda = 6° 9'$, $\beta = 46° 12'$,
$H_b = 405.0$ m, $G = -0.03$ mm.

1	11.0	17.8	14.0	14.3	−1.2	722.0	720.1	718.5	75	**45**	53	ESE 0	S 1	S 1	9	9	10●	1.5	● p-n
2	10.8	11.4	**6 8**	9.7	−5.9	718.1	718.4	719.3	58	67	85	S 1	SW 0	ESE 0	9	9	10●	6.3	● a, p-n mU
3	9.0	14.8	9.6	11.1	−4.6	719 3	719.2	720.8	89	46	76	SSW 1	W 1	E 0	5	5	5	0.1	● a, ▲ 9¾
4	9.8	16.1	11.4	12.4	−3.5	722.1	722.2	723.6	79	46	71	SE 0	ENE 1	ENE 0	2	3	5	.	
5	11.6	18.0	15.8	15.1	−0.9	724.5	723.0	722.3	76	46	59	ENE 1	NE 1	NNE 0	4	3	9	.	
6	13.4	19.8	18.2	17.1	1.0	723.7	723.3	723.3	73	50	67	E 0	NNE 1	E 1	7	2	3	.	
7	15.7	23.2	16.8	18.6	2.4	723.3	723.7	724.9	72	56	92	ENE 1	NNE 1	ESE 0	3	5	10	10.6	⛆ 18½-19
8	14.5	20.4	19.9	18.3	2.0	721.4	719.2	717.8	98	76	90	E 0	ENE 0	E 0	9	9	10	25.0	⛆ n (8./9.)
9	16.4	15.7	12.5	14.9	−1.5	**717.2**	719 9	721.5	96	87	98	E 0	SSW 1	SSE 0	10●	10	10●	**45.0**	● n-n mU
10	12.7	12.5	11.2	12.1	−4.4	722.9	724.5	725.9	98	94	95	S 1	SW 1	E 0	10●	10●	10●	20.2	● n-n
11	11.6	14.6	14.0	13 4	−3.2	724.8	724.7	724.8	95	84	89	ENE 0	NNE 1	NE 0	10	10	10	.	
12	12.6	18.8	15.0	15.5	−1.2	725.1	725.2	726.7	98	63	85	ENE 0	NNE 1	NNE 1	1	8	2	.	
13	15.0	20.2	16.8	17.3	0.5	725.8	724.9	724.7	85	56	85	NE 0	NNE 0	NNE 1	3	5	5	.	
14	14.0	19.8	15.5	16.4	−0.5	724.6	724.2	725.3	85	50	93	E 0	NNE 0	NNE 1	8	5	9	1.0	⛆ n (14./15.)
15	16.0	21.4	16.8	18.1	1.1	724.9	723.1	723.7	90	63	90	E 0	SW 1	S 1	6	9	10●	0.7	⛆ 21½
16	16.2	22.4	17.8	18.8	1.7	724.0	723 1	723 8	83	64	69	S 0	SSW 1	S 0	5	8	9	.	
17	16.8	16.8	14.4	16.0	−1.2	724.0	724.2	723.9	73	88	91	E 0	S 1	S 0	5	10●	10●	21.5	● 11-n mU
18	13.6	17.8	16.0	15.8	−1.5	724.5	726.4	728.1	95	68	75	E 0	SSW 1	SSW 0	10	9	9	5.2	● n (18./19.)
19	16.0	19.4	16.0	17.1	−0.3	**729.2**	728.1	727.8	71	48	79	E 0	E 1	ENE 0	1	1	1	.	
20	15.4	19.6	19 0	18.0	0.5	728.1	726.7	727.4	78	72	90	E 0	ENE 1	ENE 0	1	1	2	.	
21	17.5	18.5	17.6	17.9	0.3	727.8	728.3	727.2	92	90	96	ENE 0	ESE 1	ENE 0	10	10	5	0.3	⛆ a, p
22	17.5	24.3	17.3	19.7	2.1	728.0	726.4	727.9	90	**85**	98	E 0	NNE 1	SW 1	9	5	10●	12.2	● p-n
23	15.0	18.4	14.8	16.1	−1.6	727.9	727.7	726.8	92	98	98	NNE 1	SSW 1	SSW 1	7	10●	10●	19.3	● a-n mU
24	19.0	20 0	15.7	18.2	0 4	725.8	725.8	727.3	95	68	88	NE 0	NNE 1	E 0	5	7	9	3.5	⛆ ⛆ 13¾-14
25	15.0	20 2	18.2	17.8	−0.1	727.1	726.8	726.7	92	60	92	SE 0	NNE 1	NE 0	5	9	8	5.8	● n (25./26.)
26	16.5	23.0	18.0	19.2	1.2	725.8	725.3	724.8	98	82	95	NNE 0	NNE 1	E 0	9	9	2	1.6	⛆ a
27	16.7	22.3	18.8	19.3	1.2	725.2	724.6	725.6	93	70	83	NNE 1	NNE 1	E 0	5	3	5	.	
28	18.1	22.2	22.0	20.7	2.6	725.8	724.7	724.6	88	67	72	NNE 0	NNE 1	**NNE** 1	1	2	9	4 0	● n (28./29.)
29	17.8	21.6	20.4	19 9	1.7	726.1	725.1	725.3	96	80	85	NNE 0	NNE 1	SSW 1	10●	6	8	4.8	⛆ 7½, 16-17, ⛆ 3-4
30	19.3	**25.2**	20.2	21.6	3.3	725.2	724.4	725.7	96	61	80	NNE 1	NNE 1	SSW 1	7	7	10●	3.8	⛆ p-n mU
Mittel	14.8	19.2	16.0	16.7	—	724.5	724.1	724.5	87	68	84				6.2	6.6	7.5	192.4	

$\lambda = 8°\ 34'$, $\beta = 47°\ 23'$,
$H_b = 569.4$ m, $G = 0.03$ mm

Zürich

Juni 1953
Beobachter: *Meteorol. Zentralanstalt*

Tag	Lufttemperatur					Luftdruck			Relative Feuchtigkeit			Windrichtung und Stärke			Bewölkung			Niederschlag	Witterung
	7^{30}	13^{30}	21^{30}	Mittel	Abweich. vom Normalst	7^{30}	13^{30}	21^{30}	7^{30}	13^{30}	21^{30}	7^{30}	13^{30}	21^{30}	7^{30}	13^{30}	21^{30}		
1	6.2	10.6	10.8	9.2	-5.0	706.6	705.9	702.4	98	73	61	WNW 1	SSW 2	SW 2	10●	8	10	9.5	● 3¾-4, 4¼-8¾, 22¼-24
2	7.2	5.5	4.7	5.8	-8.5	701.8	701.9	702.7	73	88	87	WSW 1	SSW 3	SSW 2	7	9●	6	4.5	● 0-2, 5¼-6¾, 10-13¼, 15½-16, 17¼-
3	6.8	11.0	8.0	8.6	-5.8	703.3	703.9	705.7	73	56	80	SSW 2	WSW 2	E 1	9	7	9	0.0	[18¾, ⊼ 10, 17¼-17½, ⌿ a-p
4	8.5	15.9	8.4	10.9	-3.6	707.4	707.6	709.8	74	41	67	SSW 1	S 1	NE 1	1	7	1	.	⌓ l
5	10.0	20.5	13.9	14.8	0.2	710.1	709.6	709.0	68	37	55	NE 1	NNE 1	NE 1	1	4	2	.	⌓ l
6	13.4	22.0	15.9	17.1	2.4	709.5	709.8	709.6	67	45	56	NE 1	NE 1	NE 1	6	3	1	.	⌓ l
7	13.6	22.9	17.1	17.9	3.1	708.8	708.9	710.6	75	49	74	NE 1	NNW 1	WNW 1	9	2	9	.	⌓ l
8	16.7	21.7	19.5	19.3	4.4	708.0	705.8	703.6	82	66	85	NNE 1	NE 1	NE 1	9	10	10	0.6	⌓ l
9	16.7	21.7	13.7	17.4	2.4	702.0	702.6	705.8	94	57	78	NE 1	WSW 1	WSW 2	10	9	9	.	● 5½-6¼
10	13.1	11.6	10.8	11.8	-3.2	706.1	708.1	709.1	82	93	92	SW 2	SW 2	SW 1	10	10●	10●	17.8	● 8-10½, 11-11¼, 15½-16, 17¼-22¾, [● 13-13½
11	10.5	12.0	11.6	11.4	-3.7	709.1	709.8	710.9	99	95	94	S 1	SW 1	SSE 1	10●	10●	10	10.9	● 3¼-18¾
12	13.1	17.7	14.1	15.0	-0.2	710.3	716.7	712.1	88	53	80	SSE 1	WNW 1	WNW 1	9	9	10	2.8	● 14-14¾, 22¼-24
13	11.9	19.4	15.9	15.7	0.4	711.5	711.0	710.3	96	50	74	W 1	SW 1	S 1	3	3	10	0.5	● 0-0¾, ≡ n-7¼
14	12.9	13.9	12.9	13.2	-2.2	710.3	710.7	710.8	94	92	97	WNW 1	WNW 1	S 1	10●	10●	10●	8.5	● 6¾-10½, 12¾-16¼, 19¼-22½
15	13.7	20.4	14.8	16.3	0.9	710.2	708.9	709.2	90	55	94	SSW 1	SSW 1	SW 1	10	4	10●	12.4	● 20¼-24
16	11.7	19.3	14.6	15.2	-0.3	710.1	709.5	709.5	93	52	83	SSW 1	NNW 1	WNW 1	10	6	10	0.3	● 0-7¼, ⍢ 8¼
17	13.9	20.1	13.0	15.7	0.1	709.9	708.8	709.4	87	49	97	SSE 1	WNW 1	W 1	9	10●	10●	6.7	● 1-1¼, ●tr 13½, 16-16¾, 19-23¾
18	12.3	11.3	10.1	11.2	-4.5	710.0	710.9	713.5	92	95	98	WNW 1	W 2	SE 1	10●	10●	2	9.0	● 1½-7½, 8¾-14¾, 16-16¾.
19	12.7	20.5	14.5	15.9	0.1	715.0	714.5	714.3	87	39	70	S 1	WNW 1	NNE 1	4	3	2	.	[22¾-23¾
20	14.9	23.9	17.4	18.7	2.9	713.8	712.9	713.2	72	43	65	ENE 1	ENE 1	E 1	1	3	1	0.0	⌓ l
21	16.6	23.5	16.2	18.8	2.9	713.7	712.6	712.8	84	50	93	SSW 1	W 1	WSW 0	9	10	9●	0.4	●tr 21½, ⌓ l
22	16.7	22.7	15.1	18.2	2.2	712.8	712.4	713.6	87	54	87	SSW 1	S 1	S 1	9	4	10	0.2	● 2¼-3½, 19¾, ⊼ 19½
23	15.1	19.8	16.3	17.1	1.0	713.4	713.0	712.7	80	56	95	W 1	S 1	SSE 1	10	9	10	4.2	● 9¾-10¾
24	14.9	17.4	12.8	15.0	-1.1	711.9	711.4	712.4	94	92	94	SSW 1	SSW 1	SSE 1	9	10●	9	13.5	● 3¾-6¼, 7-7¼, 12¾-14¼,
25	12.1	12.9	11.5	12.2	-4.0	711.5	712.4	711.9	99	95	98	SW 1	SSW 1	S 1	10●	10●	10●	81.3	● 6¼-24 [15¾-20¼
26	12.7	14.5	13.1	13.4	-2.9	709.7	710.1	710.7	99	98	99	SSW 1	S 1	S 1	10●	10●	10●	68.2	● 0-10¼, 12-24, ⊼ 15-15¼
27	13.4	19.0	15.7	16.0	-0.3	710.5	710.6	711.4	99	78	98	SSW 1	S 1	SSE 1	10●≡	10	10●	4.7	● 0-8¼, 14-15, 16-16¾, 19½-19¾, 21½-
28	15.9	23.1	17.9	19.0	2.6	711.7	711.9	711.6	97	60	87	SW 1	S 1	ENE 1	9≡	5	1	.	≡ 6¾-7¾ [23½, ⊼ 13¾-14½, ≡ 7-8
29	16.9	21.7	19.0	19.2	2.7	711.1	712.6	710.5	85	64	86	NNE 1	NNW 1	NE 1	9	9	9	1.0	⌓ l
30	17.9	26.2	18.1	20.7	4.2	711.6	710.7	711.5	92	50	80	S 1	NNE 1	SSW 1	9●	5	9	0.0	● 5¾-7½
Mittel	13.1	18.1	13.9	15.0	—	709.7	709.7	710.0	87	64	83				8.1	7.3	7.6	Summe 257.0	

$\lambda = 6°\ 32'$, $\beta = 46°\ 51'$
$H_b = 1589$ m, $G = -0{,}13$ mm

Chasseron

Juni 1953
Beobachter: *Ch. H. Martin*

1	-0.6	1.6	1.8	0.9	—	623.4	623.9	621.1	100	100	100	NW 2	W 2	W 4	10*≡	8	10●≡	8.1	✳ n-10½, ●✳ 17-n mU,*) ⊠
2	-2.1	-2.6	-2.8	-2.5	—	618.9	619.3	619.6	100	100	100	NW 3	W 3	W 3	10*≡	10*≡	10*≡	17.8	✳ n-n mU, ≡ ⌿ ⋁ n-n ⊠
3	-2.0	-0.2	-0.6	-0.9	—	620.1	621.4	622.4	100	100	100	WNW 3	W 2	W 3	10≡	10	10≡	1.4	✳ 8-9½ mU, 19-n mU,*) ⊠
4	-0.4	2.2	3.4	1.7	—	624.1	625.4	626.6	70	68	80	W 2	W 2	NNE 1	4	5	5	3.2	✳ △ 9½-12, ⍢ 16¾-17, ⊠
5	6.2	8.8	6.9	7.3	—	627.4	627.9	627.5	72	55	69	E 1	E 1	E 2	2	5	8	.	[◠ 18½ ⊠
6	6.2	11.0	10.2	9.1	—	627.2	628.8	629.1	80	59	70	E 3	ESE 1	E 2	6	5	8	.	⌿ l
7	10.0	9.0	8.4	9.1	—	627.9	629.4	630.0	70	100	92	E 1	NW 2	NW 1	9	10≡	9	11.8	● n (7./8.), ≡ 12¼-14
8	8.6	11.2	11.6	10.5	—	627.2	625.7	624.7	100	100	100	NNE 1	NNE 1	E 2	10≡	10≡	9	3.1	● ● 8-9½, ≡ n-14½
9	10.0	6.0	4.4	6.8	—	622.3	623.6	624.5	100	100	100	N 1	W 2	W 3	10●≡	10●≡	10●≡	105.1	● n-7¾, △ 7¾-9½, *)
10	4.6	4.2	4.4	4.4	—	625.3	626.5	627.5	100	100	100	NW 3	NNW 4	NW 4	10●≡	10●≡	10●≡	28.5	● n-18, ● 18-n, ≡ ⌿ n-n
11	4.2	5.6	6.4	5.4	—	626.8	628.2	628.7	100	100	100	NW 3	NW 2	NNE 1	10●≡	10●≡	8	0.1	● n-7½, 12½-14, ≡ n-14, ⌿ l
12	6.2	8.2	6.4	6.9	—	628.6	629.3	629.8	100	85	100	SSW 1	E 1	NW 2	9	8	10●	1.2	● 9¾-10 mU, ⍢ 15-15¾,*)
13	4.9	9.6	6.3	6.9	—	629.3	629.5	629.3	100	75	100	W 1	WNW 1	NW 2	6	6	9	0.0	⍢ 14-14¾
14	6.2	7.2	7.4	6.9	—	628.5	629.0	629.2	95	100	100	N 1	NNW 1	N 1	9	10●	10●≡	1.4	● 13-n, ≡ 19-n mU
15	6.2	10.0	7.3	7.8	—	628.6	628.2	627.8	100	85	100	NW 1	W 1	NW 2	10	8	10●	11.1	● 15-n, ≡ n-9, 17-n
16	4.6	7.8	6.9	6.4	—	627.8	628.2	628.2	90	100	100	W 1	WNW 1	WNW 1	5	8	10●≡	0.8	⍢ 17½-17¾, ● 20-n, ≡ 19¾-n
17	6.4	8.0	6.2	6.9	—	628.0	628.1	627.5	100	100	100	S 1	SW 0	S 3	10≡	10●	10≡	27.8	⍢ 11½-14 mU, ● 14-n, *)
18	5.2	5.0	4.3	4.8	—	627.7	628.9	630.8	100	100	100	W 2	NW 2	W 3	10●≡	10●≡	8	4.8	● 7-14½, ⍢ 19½-21, ≡ n-15,
19	4.7	9.1	8.6	7.5	—	632.0	632.7	632.6	100	85	94	NW 2	E 1	WNW 1	10≡	5	3	.	≡ n-8½ [⌿ III
20	8.8	13.2	11.7	11.2	—	631.9	632.5	632.8	95	70	85	E 2	W 1	NW 1	2	5	3	.	
21	10.6	12.2	9.4	10.7	—	632.8	632.7	631.7	90	90	88	W 1	WNW 1	SE 2	9	10	6	8.7	⊼ ⍢ 14-14½, ⍢ 14½-17½, ≡ 14-15
22	9.8	10.6	9.0	9.8	—	631.6	632.1	632.0	90	100	100	W 2	SE 1	WNW 2	9	10●≡	10≡	51.9	● 13-14, ⊼ ⍢ ▲ 14½-17, *)
23	6.7	8.0	8.2	7.6	—	631.5	631.6	631.2	100	100	100	SSE 2	S 1	SSE 1	10●≡	10●≡	10●≡	15.6	● n-8½, ● 19-n, ≡ n-n mU
24	8.0	8.6	7.2	7.9	—	630.0	630.1	630.7	100	100	100	S 2	WNW 3	W 3	10≡	10●	8	4.5	⍢ 9¾-9¾, 10¾-11, 13-17 mU, *)
25	6.1	7.4	7.4	7.0	—	630.1	631.1	630.6	97	100	100	WNW 1	NW 1	NW 2	6	10●	10●≡	16.2	● 13-18 mU, ● 18-n, 14¼-n
26	9.2	9.6	9.6	9.5	—	629.2	629.8	629.6	100	100	100	NW 3	NW 3	NW 3	10●≡	10●≡	10●≡	11.5	● n-14, 16-17, ≡ n-14,*)
27	8.3	12.0	10.0	10.1	—	629.7	630.6	630.7	100	100	100	NW 2	NW 1	NW 2	10●≡	9	10●≡	0.4	● n-7, ⍢ 12-12½ ≡ n-10,
28	11.7	14.0	12.4	12.7	—	630.5	631.0	630.7	95	85	97	SE 1	NNE 1	E 2	2	5	5	0.9	[15½-n mU
29	11.2	13.4	12.3	12.3	—	630.9	631.4	631.0	93	92	96	SSE 2	S 2	E 2	10●	6	10	2.9	● 5½-11, ⍢ 19½-21, ⊼ 3½
30	11.8	14.8	13.0	13.2	—	631.2	631.2	632.1	100	90	100	ESE 1	N 1	ESE 2	9	6	7	0.0	
Mittel	6.4	8.2	7.3	7.3	—	628.0	628.6	628.7	95	91	96				7.3	8.3	8.2	Summe 338.8	

*) **1.** n-11, 19-n, ⋁ l, ⌿ p-n **3.** △ 12-13, ≡ n-14, 19-n, ⋁ n-n, ⌿ n-a, p-n **9.** ⊼ ⍢ 8-9½, ● 9½-12, ● 12-n, ≡ n-n, ⌿ III
12. 16¾-n mU, ≡ 9¾-11 mU, 19-n **17.** ≡ n-n mU, ⌿ III **22.** ≡ 13-18, 20-n mU **24.** ≡ 9-12 mU, ⌿ a-n **26.** 16-n, ⌿ n-n

Juni 1953
Beobachter: *B. Minsch und C. Clavuot*

Bever

$\lambda = 9° 53'$, $\beta = 46° 33'$,
$H_b = 1711.8$ m, $G = -0.23$ mm

Tag	Lufttemperatur					Luftdruck			Relative Feuchtigkeit			Windrichtung und Stärke						Bewölkung			Niederschlag	Witterung
	7^{30}	13^{30}	21^{30}	Mittel	Abweich. vom Normalst	7^{30}	13^{30}	21^{30}	7^{30}	13^{30}	21^{30}	7^{30}		13^{30}		21^{30}		7^{30}	13^{30}	21^{30}		
1	3.2	7.9	−0 2	3 6	−4.6	614.0	613.7	612.8	70	56	77	E	1	NE	0	SW	0	10	9	10	(	✳ n (1./2.)
2	1.2	0 8	−3.1	−0.4	−8.7	**608.5**	609.8	610.6	99	90	92	S	0	NE	0	W	1	10*	10	8	6.4	✳ n-9
3	**−3.7**	6.4	0.2	1.0	−7.4	611.9	612.6	614.6	84	39	84	SW	0	NE	1	SW	0	8	3	3	)	
4	−1.4	8.2	0.2	2.3	−6.2	616.1	616.4	618.8	88	46	83	SW	0	SW	2	SW	0	0	6	4	.	
5	1.4	12.4	3.3	5.7	−2.9	620.1	619.8	620.4	79	**35**	82	SW	0	S	1	W	0	0	2	1	.	⌴ I
6	3.8	14.2	7.0	8.3	−0.4	620.9	620.9	622.3	89	42	76	SW	0	SW	2	W	0	3	3	1	.	
7	3.0	13.9	9.0	8.6	−0.2	621.5	621.5	622.4	78	54	80	SW	1	SW	0	SW	0	6	9	10	.	
8	4.2	15.3	10.3	9.9	1.0	619.6	619.6	617.4	82	50	88	SW	0	SW	1	S	0	6	9	10●	**27.0**	● 20¾-n
9	7.4	13.4	7.6	9.5	0.5	615.6	615.1	616.2	89	55	94	NE	0	SW	1	NW	0	6	9	9	1.7	● 19-n mU
10	8.1	9.8	7 8	8.6	−0.5	615.8	616.3	618.0	93	80	81	SW	0	NE	0	NW	0	9	10●	8	4.3	● 11½-n mU
11	8.2	12.2	8.6	9.7	0.5	617.9	617.3	619.7	83	56	65	N	0	W	2	N	1	8	4	6	.	
12	8.6	13.3	9.0	10.3	1.0	619.1	619.1	621.2	74	54	73	NE	0	W	2	N	0	4	8	10	.	
13	9.2	12.8	9.0	10.3	0.9	620.2	620.0	620.3	84	55	89	NE	1	W	0	W	0	9	9	9	2.1	● 9½-p mU, n (13./14.)
14	10.2	12.4	6.4	9.7	0.2	619.5	620.0	620.2	74	56	94	N	0	W	0	SW	0	9	8●	8	1.9	● a-p mU
15	8.0	14.0	9.2	10.4	0.8	619.4	619.0	619.7	93	57	83	SW	0	W	1	SW	0	7	6	10	6.8	● n (15./16.)
16	7.8	12.3	8.0	9.4	−0.3	619.1	619.2	620.5	96	62	88	SW	0	S	1	SW	0	10	10	10	.	
17	8.0	12.8	9.4	10.1	0.3	620.4	620.2	620.3	95	58	88	SW	0	SW	1	SW	0	10	10	10●	4.8	● p-n mU
18	9.6	11.9	6.0	9.2	−0.7	619.0	618.8	622.5	96	79	94	S	0	SW	0	SW	0	10●	10●	9	11.8	● n 21½, n (18./19.)
19	7.0	16.8	9.6	11.1	1.1	623.6	622.6	623.8	90	40	76	NE	0	SW	0	SW	0	1	3	5	.	
20	6.0	16.9	9.1	10.7	0.6	624.4	623.4	**624.9**	95	44	83	S	0	SW	2	SW	0	9	6	3	.	
21	9.9	14.8	10.2	11.6	1.5	624.7	623.5	623.5	84	58	76	SW	0	SW	1	SW	0	5	9	9	1.1	● n (21./22.)
22	10.5	10.6	9.4	10.2	0.0	622.6	623.3	623.9	88	72	89	NE	0	SW	1	NE	0	9	10	9	.	
23	8.6	13.9	10.2	10.9	0.6	623.4	623.2	623.4	90	70	88	NE	0	SW	0	SW	0	8	10	10	0.0	● p mU
24	10.8	16.4	8.0	11.7	1.3	622.0	620.9	621.8	91	56	84	SW	0	SW	1	NW	1	10	9	10●	17.6	● 15-n mU, ⌇ 18¾-19½
25	6.8	10.5	8.3	8.5	−1.9	620.0	620.3	621.3	94	62	82	N	0	W	2	E	0	10	8	8	11.9	● 14½-15¾, n (25./26.)
26	6.2	7.2	8.3	7.3	−3.2	620.8	620.9	620.9	88	95	93	W	1	NE	0	NE	0	10●	10●	10	12.9	● n-14, n (26./27.)
27	8.8	14.7	10.4	11.3	0.7	620.9	620.2	621.6	98	49	87	E	0	W	1	NE	0	10	8	10	0.2	● p-n mU
28	10.1	**18.0**	12.0	13.4	2.8	622.0	622.2	623.7	91	46	67	S	0	NW	1	N	0	8	7	4	.	
29	9.7	14.0	11.2	11.6	0.9	624.1	624.7	623.4	97	73	94	SW	0	SW	1	SW	0	8	10	10●	0.9	● p-n mU
30	11.8	14.8	10.4	12.3	1.5	623.8	623.3	623.2	92	63	79	SW	1	SW	2	SW	0	10	9	2	.	
Mittel	6.8	12.4	7.5	8 9	—	619.7	619.6	620.4	88	58	84							7.4	7.8	7.5	Summe 111.4	

Juni 1953
Beobachter: *Couvent des Capucins*

Sion

$\lambda = 7° 21'$, $\beta = 46° 14'$,
$H_b = 548.6$ m, $G = -0.11$ mm.

1	10.0	17.4	13.1	13.5	−2.9	709.7	708.4	706.3	80	45	58	WSW	0	WSW	2	WSW	1	9	3	4	2.1	
2	8.7	12.5	**7.9**	9.9	−6.6	**705.0**	705.1	706.7	89	50	66	SW	2	W	3	W	1	9	4	10	.	● 0¼-4¼, 6¾-7¼, ⸗ II
3	8.5	16.3	11.1	12.0	−4.6	707.5	706.1	708.2	77	41	52	W	1	SW	2	W	2	8	2	3	.	
4	9.8	18.6	12.0	13.5	−3.2	710.2	709.3	711.7	59	38	57	NNE	0	SW	2	W	1	4	3	2	.	
5	11.2	20.1	18.3	16.5	−0.3	713.5	710.7	711.1	58	34	**33**	NE	1	E	3	SE	3	1	3	10	.	⸗ a-n
6	15.8	22.7	19.0	19.2	2.3	712.8	711.5	712.2	46	34	41	NE	0	ENE	1	W	1	9	3	8	.	
7	17.6	22.3	18 6	19.5	2.5	711.8	711.4	712.6	56	47	61	NNE	0	WNW	2	WNW	0	7	9	7	8.5	● 22¾-24
8	14.7	20.7	16 6	17.3	0.2	711.7	708.7	707.8	80	51	64	ENE	1	ENE	2	NE	1	8	10	10	2.6	● 0-3
9	14.9	22.6	14.6	17.4	0.2	706.0	705.6	708.7	100	51	85	NE	0	WSW	1	WSW	1	10	10	10	6.2	● 4-7¼, 22¼-24
10	12.7	15.5	13.1	13.8	−3.5	710.6	712.1	713.8	100	75	85	WNW	0	WSW	0	WSW	1	10●	10●	10●	**13.5**	● 0-4, 5-12¾, 13¼-16½, 17¾-20, 21-24
11	11.2	19.6	15.5	15.4	−1.9	713.1	711.7	712.6	100	53	62	WSW	0	WSW	2	WSW	1	10≡	9	8	.	● 0-6¼, ≡ n-a
12	13.3	19.1	14.6	15.7	−1.7	713.1	713.0	714.1	94	57	88	WSW	0	WSW	1	WSW	0	10	9	5	0.1	● tr 20¼
13	15.0	21.0	17.2	17.7	0.2	713.8	712.0	712.4	87	47	45	WSW	0	WSW	2	WSW	0	6	5	10	.	
14	15.0	20.3	16.3	17.2	−0.4	711.7	711.5	713.0	90	54	65	WSW	0	W	1	WSW	1	10	4	7	.	
15	16.4	22.4	16.4	18.4	0.7	713.3	710.6	711.3	75	50	70	WSW	1	WSW	2	WSW	1	8	3	10	2.0	
16	15.8	22.3	15.5	17.9	0.1	712.7	710.4	712.8	75	47	76	WSW	0	WSW	2	W	0	7	3	10●	0.5	● 0½-3½, 19-19¼, 21-21½
17	15.5	20.4	15.0	17.0	−0.9	712.8	711.1	712.5	79	55	93	WSW	0	WSW	2	W	0	6	9	10●	10.3	● 15½-24
18	14.7	18.4	12.6	15.2	−2.7	712.6	712.6	710.9	85	68	73	W	0	WSW	1	W	1	10	9	1	0.5	● 0-4¾, 5¾-6¼, 9-9½
19	13.3	21.7	17.2	17.4	−0.6	**717.3**	715.2	715.6	68	44	52	ENE	1	NNW	2	WSW	1	0	2	2	.	
20	16.5	23.6	20.5	20.2	2.1	716.3	715.2	715.6	64	50	50	ENE	0	W	1	W	2	6	4	10	0.9	● 22-24
21	16.4	21.3	17.9	18.5	0.3	716.3	715.5	715.1	78	63	76	W	0	W	1	W	0	10	10	9	0.4	● 0-0¾, ●tr 12¼
22	16.7	22.8	18.0	19.2	0.9	715.5	714.3	715.3	89	49	79	WSW	0	SW	1	WSW	1	9	8	8	4.9	●tr 1½
23	14 3	18.3	16.0	16.2	−2.2	716.0	715.2	714.9	98	74	100	WSW	0	WSW	2	W	0	10	10	5	11.6	● 3-6¾, 14¼-15½, ●tr 17, 19½-20¾
24	15.5	19.7	13.9	16.4	−2.0	714.5	713.3	710.5	92	67	97	W	0	WSW	2	W	0	8	10	8	5.3	● 0¾-6¾, 17¼-17½, 19¼-20½
25	14 1	19.4	14.5	16.0	−2.5	714.6	714.4	715.1	99	59	82	W	0	W	0	W	1	10	9	8	3.6	● 3½-6¾, 20½-21
26	13.8	17.7	16.6	16.0	−2.6	713.7	713.7	713.2	100	88	77	W	0	W	1	WSW	1	10	10●	5	1.6	● 0-6, 7¾-9¾, 13¼-13½
27	15.2	21.7	18.1	18.3	0.4	713.6	713.2	713.4	80	60	76	N	0	NW	2	W	0	9	8	3	.	
28	17.2	25.1	20.6	21.0	2.2	714.0	712.5	712.7	75	54	72	W	0	WSW	1	W	1	1	1	2	1.3	
29	17.2	22.2	19.6	19.7	0.9	714.5	714.5	713.9	92	67	61	ENE	1	E	0	E	0	10	9	1	1.3	● 0-0½, 7½-10½
30	20.4	**25.5**	19.6	21.8	2.9	714.5	712.6	713.6	65	49	85	E	0	E	0	W	0	1	3	10●	8.6	● 2½-3, 16¾-17, 20½-22¼
Mittel	14.4	20.4	16.0	16.9	—	712.8	711.7	712.2	81	54	69							7.5	6.4	6.9	Summe 85.8	

$\lambda = 8°\,57'$, $\beta = 46°\,0'$,
$H_b = 276.2$ m, $G = -0.01$ mm.

Lugano

Juni 1953
Beobachter: *G. Vicari*

Tag	Lufttemperatur 7³⁰	13³⁰	21³⁰	Mittel	Abweich. vom Normalst	Luftdruck 7³⁰	13³⁰	21³⁰	Relative Feuchtigkeit 7³⁰	13³⁰	21³⁰	Windrichtung und Stärke 7³⁰	13³⁰	21³⁰	Bewölkung 7³⁰	13³⁰	21³⁰	Niederschlag	Witterung
1	15.2	24.4	16.0	18.5	1.1	728.5	727.4	726.9	44	**29**	44	N 1	NNE 1	N 1	9	1	0	.	● 8¾-10¼, ⛥ ▲ 9
2	14.4	13.2	11.4	13.0	-4.5	723.7	**723.0**	725.4	63	51	38	E 1	E 2	N 1	8	9	0	16.4	● 8¾-10¼, ⛥ ▲ 9
3	**9.0**	19.2	10.4	12.9	-4.8	727.7	727.5	731.7	56	32	55	N 1	S 1	E 2	0	4	1	0.0	● 15½-15¾
4	10.0	18.4	11.8	13.4	-4.4	733.8	733.6	736.0	70	49	68	NNE 1	SE 1	NNW 1	8	7	0	.	
5	10.4	22.8	15.2	16.1	-1.8	738.3	736.2	736.1	72	37	57	N 1	S 1	NNW 1	0	1	9	.	
6	13.8	21.4	15.4	16.9	-1.1	737.4	737.5	738.1	65	46	69	SE 1	W 1	N 1	9	9	3	0.3	● n (6./7.)
7	15.2	15.8	15.8	15.6	-2.6	737.9	738.8	737.8	90	94	93	NNW 1	E 1	SW 1	10	10●	10	6.3	● 9-14½, ⛆ 21
8	15.6	17.4	16.2	16.4	-1.9	735.5	733.9	730.5	93	88	97	W 1	S 1	SW 1	10	10	10	18.0	● 9-12½, 16½-18, n (8./9.)
9	14.8	17.0	15.2	15.7	-2.7	729.6	730.7	732.1	86	87	98	N 1	S 1	NNE 1	9	10●	10●	18.2	● 12½-14½, 20-n
10	14.8	21.4	16.6	17.6	-0.9	730.4	729.9	731.0	90	53	68	N 1	S 1	W 1	5	9	5	0.4	⛆ 13½-14
11	15.4	25.0	17.4	19.3	0.7	731.8	731.0	731.9	64	45	73	N 1	S 1	S 1	3	1	6	.	
12	16.6	22.4	18.2	19.1	0.3	733.3	733.3	734.0	81	55	71	N 1	SSE 1	NNW 1	9	9	7	.	
13	16.4	22.8	14.4	17.9	-1.0	734.0	733.3	734.3	74	66	88	NNE 1	S 1	N 1	1	9	2	15.3	● 14-16½ mU, ⛥ 13¾-15¼
14	14.6	20.2	16.2	17.0	-2.0	735.0	733.9	734.5	83	64	74	N 1	S 1	NNW 1	4	9	2	2.7	⛆ 13¾-14, 16½-17
15	14.0	25.2	17.8	19.0	-0.1	734.4	732.9	733.6	81	50	71	E 1	S 1	N 1	0	1	9	7.5	⛆ 17
16	14.8	16.6	15.6	15.7	-3.5	734.7	735.0	734.9	89	85	83	SE 1	W 1	N 1	10●	10	10●	11.8	● n-10½, 21¼-22½, ⛥ a
17	15.0	17.2	15 2	15.8	-3.5	736.5	736.6	736.1	93	81	97	N 1	S 1	WNW 1	10	10	10●	35.7	⛆ a, ● 16½-n
18	15.4	15.4	14.8	15.2	-4.2	734.9	734.8	736.2	97	94	81	N 1	NNE 1	N 1	10●	10●	3	15.7	● n-19
19	13.4	25.0	19.2	19.2	-0.3	737.9	737.8	738.8	78	47	71	N 1	S 1	N 1	1	1	4	.	
20	17.0	18.2	16.2	17.1	-2.5	739.6	**741.0**	740.1	80	90	89	N 1	W 1	N 1	5	10●	0	4.4	● 10-14½ mU
21	16.2	19.0	16.8	17.3	-2.4	740.0	739 4	738.7	81	74	86	NNE 1	ESE 1	N 1	10	10	10●	7.6	● 10-11, ● ☽ 21-n
22	15.4	20.6	18.2	18.1	-1.7	738.7	738.0	738.2	94	65	83	N 1	NW 1	N 1	10●	8	6	9.9	● n-11, 21½-n
23	16.8	19.0	17.8	17.9	-2.0	738.9	739.0	738.4	93	80	86	NNE 1	SW 1	NNW 1	10●	10	7	1.8	● n-a, ● ☽ 14-15 mU
24	17 4	19.8	14.8	17.3	-2.7	737.2	736.0	736.1	87	81	95	NNW 1	SE 1	E 1	10	10	10	88.3	● tr 13, ⛆ 15½-21, ● n (24. 25.),
25	14.0	16.2	15.4	15.2	-4.9	736.0	736.2	735.9	96	80	72	N 1	NNE 1	NNW 1	10●	10	6	7.4	● n-11½, ⛆ 13¾ [⛥ 16-18
26	15.2	24.0	17.8	19.0	-1.2	734.8	734.1	734.4	78	51	82	N 1	S 1	N 1	5	6	9	1.9	⛆ 16-16½
27	17.0	22.4	19.2	17.3	-3.0	734.7	734.5	734.4	83	61	79	ESE 1	NW 1	N 1	0	9	9	0.6	● tr 13½, ⛆ 13¾, p
28	18.2	**27.6**	22.2	22.7	2.3	735.6	734.6	736.5	81	48	73	S 1	S 1	NW 1	1	1	9	19.7	● n (28./29.)
29	18.4	18.8	18.2	18.5	-2.0	738.9	739.9	738.7	96	87	96	S 1	E 1	SW 1	10●	10	10	79.2	● n-11½, 18-18½, ⛆ 20½, 22½.
30	17.8	24.0	20.2	20.7	0.1	738.9	737.6	736.5	94	63	76	N 1	S 1	NNW 1	9	4	0	.	[⛥ 6-7½, 22½
Mittel	15.1	20.3	16.3	17.2	—	734.9	734.6	734.9	81	64	77				6.5	7.3	5.9	Summe 369.1	

$\lambda = 7°\,35'$, $\beta = 47°\,33'$,
$H_b = 317.3$ m, $G = 0.11$ mm.

Basel

Juni 1953
Beobachter: *Astronom.-Meteorol. Anstalt*

Tag	Lufttemperatur 7³⁰	13³⁰	21³⁰	Mittel	Abweich. vom Normalst	Luftdruck 7³⁰	13³⁰	21³⁰	Relative Feuchtigkeit 7³⁰	13³⁰	21³⁰	Windrichtung und Stärke 7³⁰	13³⁰	21³⁰	Bewölkung 7³⁰	13³⁰	21³⁰	Niederschlag	Witterung
1	8.8	17.4	8.0	11.4	-3.2	729.3	728.0	725.5	87	53	92	SSW 1	W 1	WNW 1	10●	8	10●	8.1	● 4¾-7½ mU, 20½-23¾ mU
2	9.0	9.2	7.4	8.5	-6.2	724.8	724.8	724.8	71	72	80	W 1	W 2	WSW 1	10	10	10	2.9	● 8-8¼, 11½-12¼, ⛈ 15¾
3	7.1	14.1	**7.0**	9.4	-5.4	725.6	725.8	727.6	87	52	84	NW 1	WNW 1	SE 1	10●	8	9	0.2	● 7½-8, 14¾-16, ⛈ 15½
4	10.1	15.0	8.7	11.3	-3.6	729.6	730.2	731.8	68	56	86	NE 1	ESE 1	SE 0	1	7	6	2.0	● 12-12¾
5	10.0	21.9	13.8	15.2	0.2	732.6	732.0	731.3	70	48	61	E 0	NW 1	WSW 1	1	3	0	.	
6	12.8	22.5	16.3	17.2	2.1	732.2	731.6	731.5	73	44	88	NW 0	WNW 1	NW 0	7	3	3	.	
7	15.2	25.0	18.1	19.4	4.2	731.3	731.2	731.9	76	45	71	W 1	WNW 1	W 0	8	1	9	0.0	● tr 22-22¼
8	18.2	23 0	20.5	20.6	5.3	730.7	728.2	726.0	78	66	84	SW 1	WNW 1	NW 1	7	10	8	0.0	
9	17.1	18.6	13.8	16.5	-1.1	**724.3**	724.9	727.3	92	88	88	WNW 1	W 1	SSW 0	10●	10	10	16.7	● 6½-6¾, 9¾-12¾ mU, 18¾-19¾
10	13.0	12.0	12.4	12.5	-3.0	727.7	730.5	731.2	95	93	95	SSW 1	SSW 1	WSW 1	10●	10●	10	11.6	● 0½-12¾, 13½-17½, 21½-23¾
11	12.6	14.9	13.8	13.8	-1.8	730.9	731.8	732.5	95	82	93	WSW 1	WSW 1	S 0	10●	10	10	0.0	● 5-7½
12	13.2	18.1	13.1	14.8	-0.9	732.3	732.8	734.0	89	73	87	SE 1	NW 0	W 1	10	10	10●	1.6	● tr 13¾, 19¾-22¼ mU
13	14.0	21.0	16.9	17.3	1.5	733.4	733.1	732.7	85	55	75	ESE 1	WNW 1	WNW 1	3	4	10	0.4	
14	14.2	17.9	16.2	16.1	0.2	732.5	733.0	732.6	93	74	83	SW 0	SE 1	SE 0	10	10	9	.	● 6½-6¾
15	14.4	18.9	16.5	16.6	0.6	732.1	730.9	731.1	87	69	77	E 0	WNW 1	WNW 1	9	10	10	0.1	● 14-14¼
16	17.9	20.2	15.4	17.5	1.4	731.8	731.7	731.8	72	55	75	SE 1	NW 1	W 0	2	9	10	8.9	● 23½-24
17	14.9	19.8	13.4	16.0	-0.2	731.9	730.8	731.0	83	66	89	ENE 0	WNW 1	WNW 1	0	10●	10●	11.0	● 0-1, 13½-24 mU, ⛥ 13¼-14, ⊕ 12
18	13.4	14.7	12.1	13.4	-2.9	731.9	733.2	735.4	93	73	74	W 0	W 1	WSW 1	10●	10●	10	1.3	● 0-5, 7½-13½, 21-21½
19	11.4	20.2	13.7	15.1	-1.3	**736.9**	736.3	736.2	91	49	78	ESE 1	WNW 1	SW 1	2	6	1	.	≡ 1½-6½
20	14.6	25.8	18.1	19.5	3.0	735.8	734.6	734.7	73	**42**	81	SE 1	NNW 1	SW 1	0	5	0	.	
21	16.0	25.1	18.2	19.8	3.2	735.3	734.3	734.1	78	51	82	E 1	WNW 1	ESE 1	7	9	9	0.0	● 6½-17, ⊕ II
22	17.0	**26.2**	15.7	19.6	2.9	734.3	733.7	734.9	82	56	88	ESE 1	SSE 1	SE 1	4	7	10●	2.0	● 12½, 14¾-14½, 18-21½ mU
23	14.4	20.0	17.3	17.2	0.5	735.2	734.8	734.0	92	65	90	SE 0	NNE 0	WNW 0	10●	9	9	3.0	● 5¾-10¾ mU, 22-22½
24	16.3	15.3	15.0	15.5	-1.3	733.6	733.6	733.7	93	91	88	W 0	N 1	ESE 1	9	10●	10	7.7	● 0¾-1¾, 12¼-18½ mU, ⛥ 12½-13¼,
25	14 9	15.0	13.3	14.4	-2.5	733.6	734.2	733.4	85	89	96	WNW 1	W 1	E 1	10●	10●	10	22.1	● 11¾-16¾, 21¾-23½ [13-13¾
26	15.8	21.0	16.3	17.7	0.7	731.9	731.3	732.2	94	67	93	WSW 1	WNW 1	WSW 1	10●	10	10	17.3	● 1¾-9¾ mU, 14¾-19¾ mU
27	16.5	21.6	17.0	18.4	1.3	732.4	732.3	733.0	91	71	93	NW 1	ESE 0	E 0	9	9	10	16.0	● 15½-17¼, ⛥ 15¾-16¼
28	17.1	25.6	19.0	20.6	3.5	733.4	733.2	732.8	93	57	80	SE 0	WNW 1	ENE 0	7	3	1	.	
29	16.7	21.4	18.5	18.9	1.7	733.0	733.7	732.4	94	82	86	WNW 1	ESE 0	SSW 1	10	9	7	4.1	● 10½-13, ≡ 1½-7½
30	21.9	**26.2**	20.4	22.8	5.5	732.9	732.5	732.5	74	58	75	E 1	WNW 1	E 1	6	4	10	.	
Mittel	14.2	19.6	14.9	16.2	—	731.8	731.6	731.8	84	64	84				7.3	7.8	8.0	Summe 137.0	

Juni 1953
Beobachter: *Observatorium*

Säntis

$\lambda = 9°\,20'$, $\beta = 47°\,15'$,
$H_b = 2500.1$ m, $G = -0.27$ mm.

Tag	Lufttemperatur 7³⁰	13³⁰	21³⁰	Mittel	Abweich. vom Normalst	Luftdruck 7³⁰	13³⁰	21³⁰	Relative Feuchtigkeit 7³⁰	13³⁰	21³⁰	Windrichtung und Stärke 7³⁰	13³⁰	21³⁰	Bewölkung 7³⁰	13³⁰	21³⁰	Niederschlag	Witterung
1	-5.2	-4.1	-4.6	-4.6	-6.1	555 2	555.6	553.9	100	95	94	W 2	WSW 3	WSW 3	10≡*	10≡	4	23.7	✳ n-11½, 15-16¾, ≡ n-17
2	-7.2	-7.6	**-8.2**	-7.7	-9.3	**550.3**	550.5	550.9	100	100	100	W 4	**W** 4	W 4	10≡*	10≡*	10≡*	22.6	✳ n-14, 19-n, ≡ ⸗ ⋁ n-n, *)
3	-8.0	-5.3	-5.8	-6.4	-8.1	551.5	553.6	555.7	98	95	100	**W** 4	WSW 3	WSW 2	10≡*	10≡	10≡*	12.6	✳ n-8½, 21-n, ▽ 11, 18¾-19½, *)
4	-2.7	-0.8	-3.2	-2.2	-4.0	556.8	558.3	560.2	81	82	94	WSW 1	WSW 1	SSW 1	1	9	4	2.2	◊ 14¾-15¾, 19-19¾
5	2.7	2.4	0.2	1.8	-0.1	561.2	562.0	561.9	**41**	72	100	E 1	SSW 1	SE 2	1	6	5	.	
6	1.6	5.3	3.1	3.3	1.3	561.7	563.2	564.1	56	43	88	SE 3	SW 2	SE 2	5	8	1	.	
7	4.6	7.2	5.2	5.7	3.6	563.0	563.7	565.0	64	73	99	S 3	**S** 2	NNW 2	10	3	10●	2.7	● 20¾-n, ≡ 18¼-n mU
8	5.6	7.0	6.1	6.2	4.1	562.8	561.7	560.6	75	72	83	ESE 2	ESE 2	ENE 1	9	10	10	0.2	◊ 16¼-16½, ⊕ a
9	4.8	9.4	1.5	5.2	3.0	557.7	558.5	558.8	57	55	100	SSW 2	SW 2	W 3	10	8	10=	8.1	◊ 6-6¼, ● 19¾-20½, ≡ 15½-n
10	1.4	0.9	-0.3	0.7	-1.6	558.4	559.1	560.5	100	100	100	WSW 3	W 3	W 3	10≡	10≡◔	10≡◔	16.3	●8¾-9¼, 12-18 mU, ◔ 9¼-n, ≡ n-n
11	0.0	1.8	0.1	0.6	-1.8	560.0	561.1	562.3	100	100	100	**W** 3	WSW 2	W 2	10≡◔*	10≡◔	10≡	8.3	◔ n-17, ✳ n-17 mU, ≡ n-n, ⋁ l
12	3.6	4.1	1.5	3.1	0.6	561.8	562.8	563.8	73	95	97	S 1	W 1	W 2	8	10≡	10≡	2.5	●r 18, ● n (12./13.), ≡ 8¾-n mU
13	1.2	4.7	1.0	2.3	-0.3	562.8	563.3	563.1	84	81	73	W 2	**S** 1	NNE 2	10	10≡	10	2.6	● 19¼-19¾, ≡ 10½-15
14	1.2	3.6	1.7	2.2	-0.5	561.9	562.2	562.7	100	91	100	ENE 1	W 1	W 1	10≡	10≡◔	10≡◔	10.1	◔ ● n-n mU, ≡ n-n
15	1.5	6.4	3.4	3.8	1.0	562.1	562.2	562.2	100	68	100	W 1	SW 1	S 1	10≡	10	10●≡	20.3	● 19¾-n, ≡ n-n mU
16	0.7	5.4	2.0	2.7	-0.1	561.6	561.9	562.6	100	78	98	SSW 1	SW 1	NNW 1	10≡*	10≡	10	1.8	✳ n-10¾, ● 13½-14, ≡ n-21
17	4.4	9.4	3.8	5.9	3.0	562.4	562.7	562.1	71	70	100	N 1	SSW 1	SSW 2	4	10≡	10≡	7.5	◊ 14¼, ●✳ n (17./18.), ≡ 12-n mU
18	0.2	4.2	-1.1	1.1	-1.9	561.5	562.2	564.0	100	91	100	W 1	SW 1	W 4	10≡	10≡	10≡	9.9	✳● n-6¾, ✳ 7¾-9½, 14-18¼, *)
19	-0.4	5.8	3.3	2.9	-0.2	565.1	566.2	566 7	98	77	90	WSW 2	SW 1	W 2	10≡	10≡	9	.	≡ n-7½, 9½-19½ mU
20	6.7	10.4	5.8	7.6	4.4	566.2	567.0	**567.7**	53	72	87	SW 2	SSW 1	SSW 1	1	9	8	0.4	◊ 14, 14¾-15, 15½, ≡ 17½-19½
21	7.5	6.9	5.8	6.7	3.4	567.1	566.8	566.1	63	79	96	SSE 1	ESE 1	SSE 1	9	10	10≡	18.1	◊ 15¼-15¾, ≡ 15½-16, 21-n, *)
22	3.4	4.8	4.3	4.2	0.8	565.1	565.8	566.4	100	100	100	W 3	W 2	SW 1	10≡●	10≡	10≡●	9.6	● 4½-9½, 21½-n, ≡ n-n mU
23	5.9	7.8	5.1	6.3	2.8	565.6	566.0	565.9	82	81	100	SE 2	S 2	S 2	5	10●	10	1.3	● 10½-15, ≡ 9-20½ mU
24	4.2	3.4	0.9	2.8	-0.7	564.6	564.3	564.3	100	87	100	W 2	NW 2	WNW 3	10≡●	10	10≡●	27.0	● 6¾-8½ mU, 15¼-17¾, 18¼-n, *)
25	0.7	1.2	0.6	0.8	-2.8	562.5	563.3	563.4	100	100	100	WNW 2	W 2	W 3	10≡●*	10≡	10≡	34.1	●✳ n-12, ● 21½-n, ≡ n-n
26	1.7	3.7	2.8	2.7	-1.0	562.2	562.8	563.2	100	100	100	NW 2	W 2	SW 3	10≡●	10≡●	10≡●	**70.1**	● n-n mU, ≡ 6¾-n
27	3.2	3.7	3.6	3.5	-0.3	562.9	563.9	564.6	100	100	100	WSW 3	WSW 2	WSW 2	10≡●	10≡	10≡●	15.2	● n-11½ mU, 14¼-n, ≡ n-n
28	5.0	7.4	6.7	6.4	2.5	564.9	566.0	566.7	100	90	75	W 2	SW 1	SE 2	10≡	9	1	6.7	◊ 12-12½, 15¼-15½, ≡ n-11
29	**11.6**	8.7	7.7	9.3	5.3	566.6	567.3	566.5	54	82	83	WSW 1	SE 2	SSW 3	9	10	5	0.0	◊ 18¼
30	9.3	11.3	6.7	9.1	5.0	566.1	566.4	566.1	74	80	91	SE 2	SW 2	WNW 2	5	10	8	3.6	◊ 14-16¼ mU, ≡ 14½-16¼ mU
Mittel	2.3	4.3	2.0	2.9	-	561.7	562.4	562.7	84	84	95				8.2	9.4	8.5	Summe 337.5	

*) **2.** ⊹ n-9, 18½-n **3.** ≡ n-n, ⸗ l, ⋁ III **18.** ◔ 18½-20, ≡ n-n, ⸗ III **21.** ⊕ 10½, 16½ **24.** ▽ 17¾-18¼, ≡ 5½-9, 15-n

Juni 1953
Beobachter: *E. Chiesa*

St. Gotthard (Hospiz)

$\lambda = 8°\,34'$, $\beta = 46°\,33'$,
$H_b = 2095$ m, $G = -0.25$ mm.

1	-3.1	-1.0	1.3	-0.9	-4.6	584.6	585.0	584.4	100	100	47	NW 2	NW 2	NW 0	10≡	6	3	.	≡ ⋁ n-a
2	-3.6	-2.6	**-5.2**	-3.8	-7.6	580.5	**580 2**	580.8	100	100	100	NW 3	NW 2	NW 2	10≡	10*≡	10*≡	1.1	✳ a-n mU, ≡ n-n, ⸗ l
3	-3.4	2.0	-1.4	-0.9	-4.8	581.8	582.9	584.8	57	**26**	83	NW 0	SE 1	SE 1	9	9	10	1.2	✳ 13¾-16½
4	-0.5	5.5	-0.3	1.5	-2.5	586.2	587.4	589.6	98	99	100	SE 1	SE 1	SE 0	9	9	6	.	
5	0.7	6.8	3.4	3.6	-0.5	590.3	591.0	591.0	86	36	30	SE 0	SE 0	SE 0	9	9	3	.	⌴ l
6	3.4	8.7	5.4	5.8	1.6	591.3	592.4	593.2	54	43	95	SE 1	SE 1	SE 1	6	6	9	0.2	◔ n (6./7.)
7	5.3	5.7	6.2	5.7	1.4	592.8	593.0	593.2	97	100	100	SE 2	SE 2	SE 1	10≡	10≡	10●≡	13.9	● 15¼, ≡ n-n
8	6.4	6.9	6.8	6.7	2.3	591.7	590.3	588.8	100	100	95	SE 1	SE 2	SE 1	10●≡	10●≡	10●	20.7	● n-n, ≡ n-p mU
9	5.0	9.1	4.9	6.3	1.8	587.0	587.0	587.4	86	80	100	SE 0	SE 0	SE 1	10	10	10●≡	3.5	● ≡ p-n
10	4.6	5.6	1.7	4.0	-0.6	587.0	587.9	589.1	92	100	100	NW 1	NW 1	NW 2	10	10	10●≡	8.7	● 10¼-n mU, ≡ p-n
11	2.8	3.8	2.5	3.0	-1.7	589.1	589.5	590.7	94	100	100	NW 2	NW 2	NW 2	10●▲	10●≡	10●≡	1.4	● ≡ n-n mU
12	3.0	6.3	4.0	4.4	-0.4	590.4	591.2	591.9	100	76	100	NW 2	NW 1	NW 2	3	10	10≡	0.6	◔ n (12./13.), ≡ 20¼-n
13	3.8	6.1	4.9	4.9	0.0	591.7	591.6	591.5	100	82	100	NW 1	NW 2	NW 2	10	10●≡	10≡	4.6	● 13¼-14, ≡ a-n
14	4.1	5.9	3.5	4.5	-0.5	590.8	590.9	591.1	100	95	100	NW 0	NW 1	NW 2	3	10	10≡	4.3	● 15¾-20¼, ≡ p-n
15	3.2	10.2	5.8	6.4	1.3	590.7	590.8	590.5	100	100	100	NW 1	NW 0	SE 0	6	9	10●	21.3	● 17¼-n
16	1.8	10.3	5.4	5.8	0.7	590.3	590.9	590.8	100	86	100	SE 0	SE 1	SE 0	10●	10	10●	8.0	● n-a, 19-n
17	5.2	6.4	6.3	6.0	0.8	591.1	591.4	591.0	96	97	100	NW 0	SE 2	SE 2	10●≡	10●≡	10●≡	**48.6**	● ≡ n-n
18	4.0	3.2	2.8	3.3	-2.0	590.3	590.5	592.1	100	97	100	SE 1	NW 2	NW 1	10●≡	10●≡	10◔≡	24.6	● n-p, ◔ p-n, ≡ n-n
19	1.8	9.6	4.9	5.4	0.0	593.2	594.3	594.7	85	28	97	NW 2	NW 1	NW 1	3	3	0	.	
20	7.5	9.4	5.6	7.5	2.0	595.0	595.3	**595.7**	71	77	86	SE 1	SE 1	SE 0	6	10≡	0	.	≡ a-p mU
21	7.6	9.9	6.8	8.1	2.5	595.5	595.4	595.1	72	76	80	SE 0	SE 0	SE 0	6	10●	10	1.1	● 13¼-16¾
22	5.9	10.0	7.0	7.6	1.9	594.2	594.5	594.3	100	100	100	NW 1	NW 1	NW 1	10≡	10	10≡	4.1	● n (22./23.), ≡ n-a, p-n mU
23	6.8	8.0	6.8	7.2	1.4	594.3	594.5	594.4	100	100	100	SE 0	SE 1	SE 1	10●≡	10●≡	10●≡	4.3	● ≡ n-n mU
24	6.9	6.0	3.2	5.4	-0.5	593.7	593.3	593.2	100	100	100	SE 0	NW 1	NW 2	10●≡	10●≡	10●≡	42.3	● ≡ n-n mU
25	2.6	3.5	3.0	3.0	-3.0	591.8	592.1	593.7	100	100	100	NW 2	NW 2	NW 1	10●≡	10●	10●	15.7	● n-n, ≡ n-a
26	5.1	7.4	5.7	6.1	0.0	591.7	592.0	592.0	97	95	97	SE 0	NW 1	NW 0	10●	10●	10◔≡	8.8	● n-p mU, ≡ ◔ p-n
27	6.6	10.5	6.3	7.8	1.6	592.0	592.4	592.6	96	54	98	NW 1	NW 1	NW 1	10	9	10	.	
28	7.2	**12.8**	10.7	10.2	3.9	592.5	593.3	593.6	77	40	94	NW 1	NW 1	SE 0	0	6	9	3.6	● n (28./29.)
29	9.4	9.2	8.3	9.0	2.6	594.6	595.1	595.0	100	90	100	SE 0	SE 0	SE 0	10	10●	10●≡	46.8	● 8½-n, ≡ p-n
30	7.9	10.1	9.2	9.1	2.6	594.9	595.4	595.6	100	81	94	SE 0	SE 0	NW 0	10	9	10	0.9	● 21¾-n
Mittel	3.9	6.8	4.5	5.1	—	590.7	591.0	591.4	92	82	93				8.3	9.2	8.7	Summe 290.3	

$\lambda = 7°\,26'$, $\beta = 46°\,57'$,
$H_b = 572.2$ m, $G = 0.00$ mm.

Bern

Juli 1953
Beobachter: *Meteorol. Observatorium*

Tag	Lufttemperatur 7³⁰	13³⁰	21³⁰	Mittel	Abweich. vom Normalst	Luftdruck 7³⁰	13³⁰	21³⁰	Relative Feuchtigkeit 7³⁰	13³⁰	21³⁰	Windrichtung und Stärke 7³⁰	13³⁰	21³⁰	Bewölkung 7³⁰	13³⁰	21³⁰	Niederschlag	Witterung
1	16.6	21.3	16.1	18.0	0.8	711.7	710.8	711 5	90	67	97	S 1	NE 1	NE 1	9	9●	9	8.0	● 11¾–13½, 20¼–20¾, ⛆ 20¼–21
2	15.3	22.8	17.7	18.6	1.3	710.7	709.6	710.5	97	46	78	SE 1	S 1	SSE 1	6	5	9	1.3	● 0½–1¾, 20½, ≡ 4–6½
3	16.3	16.4	17.6	16.8	−0.6	711.2	711.3	711.8	95	97	95	SE 1	W 1	SSW 1	9	9●	8	**35.6**	● 2¾–3¾, 12–15¼, 18¼–18¾, ⛆ 12¾
4	17.0	22.1	16.3	18.5	1.1	712.4	711.6	712.8	92	57	97	S 1	N 1	SE 2	7	8	10●	5.1	● 14¾ 15¾, 18–21¾, ⛆ 17½–18¼
5	16.0	20.0	16.1	17.4	−0.1	713 0	713.1	713.9	98	69	98	SE 1	NNW 1	SE 1	10●	9	10●	17.5	● 9–11½, 16¼–23¼, ⛆ 16½–18¼
6	16.6	21.2	17.8	18 5	0.9	713.9	713.1	714.2	98	66	94	NE 1	N 1	S 1	10	9●	10	2.8	● 12¼–15¾, ⛆ 14¾–15½
7	17.8	22.8	20.8	20.5	2.9	714.3	713.6	713.7	91	53	71	SE 1	N 1	W 1	4	3	9	.	⏢ I
8	18.6	24.1	20.0	20.9	3.2	713.8	713.5	713.3	81	49	62	S 1	WNW 2	WSW 1	1	5	3	0.1	⏢ I
9	16.6	20.4	15.8	17.6	−0.1	712.8	711.9	713.0	90	58	61	SSE 1	WNW 1	W 2	10●	9	9	1.6	● 6–7¾, 15½, 16–16¼
10	11.8	13.5	11.1	12.1	−5.7	713.3	713.2	715.0	97	65	94	SSE 1	NNW 2	W 1	10●	9●	9	2.9	● 1¼–10¼, 13¼–17, 20–21¼
11	**10.9**	17.8	14.4	14.4	−3 4	715.1	714.3	713.6	91	45	65	SE 1	NNW 1	NE 1	4	5	1	.	
12	12 0	18.8	14.6	15.1	−2.8	711.8	709.2	**706.0**	81	54	83	SE 1	SSW 1	WSW 3	9	9	10●	9.5	● 20¼–24, ⛈ III
13	15.0	17.3	14.0	15.4	−2.5	707.0	708.7	711.4	74	51	65	SSE 2	WSW 3	NW 2	5	4●	9●	3.4	● 0–6¼, 9¾ 13½ mU, 16¾–17¼, *)
14	14.5	20.1	15.4	16.7	−1.2	712.7	712.5	713.8	72	42	83	W 2	SSW 3	WNW 2	5	9	9●	2.7	● 0–1½, 2¾–5¼, 17½–24, ⛈ II
15	14.8	20.4	15.8	17.0	−0.9	714.9	714.3	715.4	69	44	53	W 1	WNW 3	SSW 1	9	4	4	.	● 0–0¾, ⛈ II
16	14.4	22.1	19.2	18.6	0.6	715.1	713.3	712.4	70	46	58	ESE 1	NNE 2	SSW 1	3	1	1	.	⏢ I
17	16.9	24.9	21.9	21.2	3.2	711.9	711.5	711.0	71	53	58	W 1	NNE 1	SSE 2	3	1	9	.	⏢ I
18	18.5	19.1	15.0	17.2	−0.8	712.2	712.9	715.5	80	71	97	SSW 1	N 2	W 1	8	10●	9	11.6	● 13¼–20¼, ⛆ 17½–18¼
19	14.4	20.1	15.4	16.6	−1.4	717.8	718.6	720.7	86	41	61	S 1	WNW 2	N 1	5	4	1	.	● 2¼–3¼
20	14.1	21.4	18.0	17.8	−0.2	**721.0**	719.8	718.6	74	**39**	62	E 1	NE 2	NE 1	1	1	0	.	⏢ I
21	15.1	24.8	21.6	20.5	2.5	717.0	714.6	713.8	74	44	63	S 1	NE 1	SSW 1	0	0	1	.	⏢ I
22	17.6	27.0	22.2	22.3	4.3	712.9	711.0	711.5	80	**39**	59	S 1	WNW 1	NW 1	5	5	6	0.3	⏢ I
23	17.2	16.1	14.4	15.9	−2.1	712.9	713.2	716.5	67	85	95	NW 2	WNW 1	SW 1	9●	9●	9	6.8	● 7–21¼ mU
24	12.8	20.3	17.0	16.7	−1.3	718.1	717.1	716.1	98	48	63	NE 1	NE 2	NNE 1	9	1	0	.	
25	16.0	25.6	22.0	21.2	3.2	716.1	714.6	713.4	80	46	66	SE 1	NW 1	SE 1	0	1	1	.	⏢ I
26	19.5	**27.5**	21.5	22.8	4.9	714.2	712.5	713.7	74	47	63	SE 1	SSW 1	SSW 1	0	0	0	.	⏢ I
27	18.2	20.1	18.2	18.8	0.9	713.0	712.6	713.1	68	58	57	W 1	SSW 1	W 1	10	9	7	.	⏢ I
28	15.3	23.0	17.6	18.6	0.7	712.5	711.2	711.9	74	49	97	S 1	WNW 1	SE 1	1	5	6	2.3	● 18¾–19½
29	17.5	24.2	19.9	20.5	2.6	712.3	711.7	711.9	80	44	65	SE 1	WNW 1	W 0	4	9	8	0.5	● 23¾–24
30	16.5	16.3	14.0	15.6	−2.2	711.9	712.5	715.1	63	78	78	W 1	WSW 1	SSW 1	9●	7●	9	0.6	● 7–7½, 10½–13½, 16¾, 19¾–20½
31	13.5	17.9	15.2	15.5	−2.3	714.7	713.1	712.1	80	49	89	SSE 1	NW 1	SSW 1	1	9	10●	5.0	● 15¼–18¾, 20¼–21
																		Summe	
Mittel	15.7	20.9	17.3	18.0	—	713.6	712.9	713.5	82	55	75				5.7	5.7	6.3	117.6	

*) 13. ⛆ 21½, ● 21¾–24, ⛈ II

$\lambda = 6°\,57'$, $\beta = 47°\,0'$,
$H_b = 487.3$ m, $G = 0.02$ mm.

Neuchâtel

Juli 1953
Beobachter: *Observatorium*

1	18.2	23.8	17.0	19.7	1.8	719.1	718.2	718.3	90	67	90	SW 0	S 1	NW 0	10	5	7	0.4	● 19¾–20½
2	16.4	24.1	19.6	20.0	2.1	718.1	717.1	717.7	94	60	77	E 0	SE 0	SW 0	10	6	10	.	
3	18.2	21.5	16.2	18.6	0.6	718.5	718.4	719.1	87	76	93	NE 0	SW 2	W 0	9	8	8	6.1	● 8¾–18 mU
4	18.0	23.3	18.1	19.8	1.7	719.9	719.2	720.2	89	61	85	W 0	NE 0	NE 0	8	8	10	0.4	● 23–23¾
5	17.8	18.8	17.1	17.9	−0.3	720.3	720.5	721.3	91	94	97	NW 0	SW 1	N 0	10	10●	10	**16.8**	● 10–24 mU, ⛆ 18–19½
6	16.9	23.3	18.7	19.6	1.4	721.4	720.6	721.5	94	71	76	N 0	SE 1	N 2	10	8	10	1.7	● 0–0¾, 18–20¼
7	18.4	25.8	21.8	22.0	3.7	721.7	721.1	720.8	84	56	64	NE 0	SE 0	NW 1	1	2	2	.	
8	19.6	27.0	21.4	22.7	4.3	721.1	720.9	720.4	71	55	55	SW 2	S 1	NW 2	0	3	4	.	
9	18.8	21.2	16.3	18.8	0.4	720.0	719.2	720.4	75	71	58	SW 1	S 1	W 2	10	9	10	0.3	
10	13.4	12.5	**11.0**	12.3	−6.2	720.7	721.1	722.5	91	92	94	E 1	NW 0	N 0	10	10	8	14.8	● 5¼–19½ mU, ⛆ 19
11	11.6	17.9	15.2	14.9	−3.7	722.4	722.0	721.0	92	63	62	E 1	SE 0	N 1	3	6	3	.	
12	13.3	19.4	15.6	16.1	−2.5	719.4	716.6	**713.5**	86	64	75	N 0	S 1	SW 4	6	9	10●	6.3	● 21½–23¾, ⛈ 19¼–n
13	14.4	19.1	12.5	15.3	−3.4	714.2	716.8	718.9	76	58	88	SW 3	SW 3	W 1	9	8	10	4.4	● 2¾–n mU, ⛈ n–17
14	14.0	18.4	17.2	16.5	−2.2	720.1	720.1	720.9	84	62	68	SW 1	SW 2	W 1	5	9	8	.	● 0–4¾
15	16.0	21.6	17.0	18.2	−0.5	722.2	721.9	722.6	62	47	62	SW 2	W 2	W 3	4	5	4	.	⛈ III
16	13.6	23.3	17.5	18.1	−0.7	722.8	720.9	719.5	83	43	76	SE 0	S 1	SW 0	0	0	1	.	
17	16.1	26.9	21.4	21.5	2.7	719.7	718.8	719.2	86	65	83	SW 0	E 1	W 0	9	2	7	0.1	● tr a
18	19.2	19.6	14.7	17.8	−1.0	719.4	720.0	723.0	92	61	95	NW 0	NW 4	W 0	9	10	10	10.2	● ⛆ 15–18¼ mU
19	15.2	21.6	16.8	17.9	−0.9	725.2	726.2	727.9	77	45	61	SW 1	W 2	N 3	2	2	0	.	● 0–3, ⛈ III
20	13.4	22.8	19.4	18.5	−0.3	**728.5**	727.3	727.9	87	45	67	NE 0	S 0	N 1	1	0	0	.	
21	15.4	25.8	21.9	21.0	2.2	724.5	722.1	720.7	87	**41**	74	NE 0	SE 0	SW 1	0	0	1	.	
22	18.1	27.6	21.8	22.5	3.6	720.1	718.3	718 6	77	52	67	SW 0	W 0	W 0	2	1	9	0.6	
23	17.2	16.9	13.6	15.9	−3.0	720.1	720.4	724.0	93	97	92	NW 0	NW 0	W 0	10	10	4	15.8	● 6–6½, 9½–12, ⛆ ● 15–16
24	13.6	22.8	18.0	18.1	−0.8	725.5	724.7	723.4	90	50	63	NE 0	E 2	NE 1	6	1	0	.	
25	15.3	25.6	20.6	20.5	1.6	723.5	721.9	720.4	87	57	76	NE 0	SE 1	SW 0	0	0	2	.	
26	22.2	**28.8**	21.8	24.3	5.4	721.1	719.7	720.4	70	54	54	SW 2	S 0	NW 3	0	2	9	.	⛈ III
27	18.6	22.9	18.0	19.8	0.9	720.2	719.9	720.3	64	50	59	W 1	W 2	W 0	10	7	4	.	
28	15.4	24.6	19.6	19 9	1.1	719.9	718.7	719 2	80	48	65	NE 1	SW 1	W 0	1	4	3	0.0	⛉ 15¾
29	18.3	24.0	20.7	21.0	2.2	719.7	719.1	718.8	85	55	59	E 0	SW 0	W 2	4	9	10●	0.3	● tr 15¼, ⛉ 20¼, 21½
30	17.0	18.5	14.9	16.8	−2.0	719.4	719.8	722.6	65	68	72	SW 1	W 2	W 1	10	9	7	0.7	● 9¾, 11¾–12½
31	14.3	19.0	16.7	16.7	−2.1	722.0	720.5	719.3	78	60	73	E 0	S 1	SW 1	0	10	10	3.1	⛉ 19–24 mU
																		Summe	
Mittel	16.4	22.2	17.8	18.8	—	721.0	720.4	720.8	82	61	73				5.5	5.6	6.2	82.0	

Juli 1953
Beobachter: *Frl. H. Nager*

Altdorf

$\lambda = 8°39'$, $\beta = 46°53'$,
$H_b = 456.3$ m, $G = -0.05$ mm.

Tag	Lufttemperatur					Luftdruck			Relative Feuchtigkeit			Windrichtung und Stärke			Bewölkung			Niederschlag	Witterung
	7^{30}	13^{30}	21^{30}	Mittel	Abweich. vom Normalst	7^{30}	13^{30}	21^{30}	7^{30}	13^{30}	21^{30}	7^{30}	13^{30}	21^{30}	7^{30}	13^{30}	21^{30}		
1	16.9	22.9	17.3	19.0	1.7	721.4	720.2	721.6	91	58	96	NW 0	NW 1	NW 1	8	7	10●	13.0	● 14¾-n
2	16.0	21.2	18.8	18.7	1.3	721.0	719.3	720.4	94	52	80	E 0	N 0	NW 0	10	7	10	8.4	● n-n mU
3	16.8	20.3	17.7	18.3	0.9	720.9	720.5	724.2	94	64	90	E 0	SW 0	SW 0	10●	8	10	0.6	● n-a mU
4	17.8	22.9	18.5	19.7	2.2	722.2	721.0	722.9	96	58	92	NW 0	NW 1	NW 0	8	8	10	1.4	● 18
5	17.7	20.4	17.3	18.5	1.0	722.8	722.6	723.9	96	73	95	W 0	NW 0	NW 0	10	9	10	3.9	● 14-18¾
6	17.8	21.7	17.7	19.1	1.5	723.5	722.5	724.5	88	66	95	E 0	NW 0	NW 0	8	8	10	3.5	● 18¾-20
7	18.1	23.3	19.8	20.4	2.8	724.5	722.8	723.7	95	58	83	E 0	SW 1	SE 0	10●	7	3	0.0	● n-7½
8	18.4	23.9	19.8	20.7	3.0	723.3	723.1	723.5	86	60	96	SE 0	NW 1	NW 0	7	8	10	0.8	● 17½-n mU
9	19.0	18.9	15.2	17.7	0.0	721.8	721.7	722.9	95	80	94	N 0	SE 0	NW 1	10	10	10●	14.8	● 17½-n
10	13.4	16.4	13.0	14.3	-3.4	722.9	722.6	725.0	69	55	81	NW 1	N 0	NW 0	10	9	10	3.9	● n-n mU
11	12.7	17.8	13.3	14.6	-3.2	725.1	724.2	724.1	94	53	75	E 0	NW 0	SE 1	9	7	3	1.1	● 8¼-9½
12	13.3	18.5	19.7	17.2	-0.6	721.6	718.7	**714.9**	74	61	**44**	SE 0	SW 0	S 1	8	9	10	3.4	● n (12./13.)
13	14.8	16.4	15.3	15.5	-2.3	716.6	718.3	720.9	93	77	82	W 0	NE 0	SE 0	10●	10	9	0.9	● n-a
14	14.3	19.8	17.2	17.1	-0.7	722.4	722.2	723.5	85	60	78	E 0	W 0	NW 0	5	6	5	2.2	● n (14./15.)
15	15.7	20.7	16.8	17.7	-0.2	723.8	723.6	724.8	90	54	85	W 0	NW 1	NW 0	7	5	10	.	
16	15.7	22.2	17.5	18.5	0.6	725.0	722.6	722.7	89	50	85	W 0	NW 1	NW 0	4	3	2	.	
17	22.4	24.7	20.5	22.5	4.6	720.7	721.3	723.2	45	56	85	SE 1	N 1	SE 1	3	5	10	0.9	⛆ 20½
18	18.8	25.7	15.7	20.1	2.2	721.1	720.6	725.7	84	60	96	SE 0	NW 1	NW 0	4	7	10●	**26.3**	● 14¾-n
19	14.5	16.3	14.4	15.1	-2.8	728.0	728.6	**731.7**	90	60	94	NE 0	N 1	NW 0	10●	10●	7	6.4	● n-p
20	12.7	20.4	16.4	16.5	-1.4	731.0	729.4	729.4	88	55	80	NE 0	NW 0	SE 0	0	0	0	.	
21	15.1	23.3	18.5	19.0	1.0	726.4	724.2	723.6	85	52	85	S 0	NW 0	NW 0	0	0	0	.	
22	18.0	**26.7**	20.1	21.6	3.6	722.8	720.5	721.7	90	54	78	W 0	NW 1	N 0	1	4	5	.	
23	17.7	23.7	15.8	19.1	1.1	722.3	721.1	726.8	87	54	97	E 0	NW 2	NW 0	4	6	10●	14.7	⛆ 16¾, ⛵ 18
24	15.1	21.7	16.8	17.9	-0.1	727.9	726.7	726.3	94	59	89	E 0	NW 1	NW 0	4	4	0	.	
25	13.8	23.8	20.1	19.2	1.2	725.9	724.0	723.6	93	56	75	NW 0	NW 0	E 0	0	0	0	.	
26	18.9	26.5	20.3	21.9	3.9	723.9	722.1	723.8	83	57	86	S 0	NW 0	NW 0	0	3	8	0.9	● n (26./27.)
27	19.3	20.7	18.5	19.5	1.5	722.8	722.0	722.8	94	66	90	W 0	NW 1	NW 0	10	10	10	.	
28	17.9	23.4	17.8	19.7	1.7	722.2	720.2	722.1	79	55	96	N 0	NW 1	SE 0	8	6	10	3.5	● 15½-n mU
29	17.7	24.0	17.7	19.8	1.8	722.0	721.1	722.3	95	55	98	E 0	NW 1	E 0	8	7	8	13.6	⛆ 15¾-16, ⛵ 16, ● n (29./30.)
30	17.1	17.1	14.6	16.3	-1.7	721.2	721.8	724.8	92	89	71	W 0	E 0	W 1	8	8	10●	15.5	● n-n mU
31	13.5	20.3	15.9	16.6	-1.3	724.6	722.3	721.7	94	47	98	E 0	NW 1	NW 0	6	7	10●	6.6	● 20¼-n
																		Summe	
Mittel	16.5	21.5	17.4	18.5	—	723.3	722.3	723.7	88	60	86				6.5	6.4	7.4	146.3	

Juli 1953
Beobachter: *Observatorium*

Genève

$\lambda = 6°9'$, $\beta = 46°12'$,
$H_b = 405.0$ m, $G = -0.03$ mm.

1	21.0	25.4	20.8	22.4	4.0	726.1	723.1	725.0	91	55	80	SW 0	S 1	SSE 0	7	4	6	.	
2	19.0	25.6	19.2	21.3	2.8	724.9	723.9	725.1	81	55	83	E 0	NNW 0	E 0	2	5	7	.	
3	19.0	22.6	20.0	20.5	1.9	725.6	725.1	726.2	81	66	83	E 0	NNE 1	E 0	3	6	9	.	
4	20.0	23.4	20.4	21.3	2.7	726.7	726.3	727.1	83	65	83	NNE 0	S 0	SSW 1	2	9	10	1.6	⛆ 19
5	18.0	23.8	19.8	20.5	1.8	727.4	727.5	727.7	90	67	87	S 1	S 1	NNE 1	10	8	10	.	
6	20.8	24.0	20.8	21.9	3.1	728.1	727.1	728.3	78	66	87	NE 0	NNE 1	NNE 1	3	4	9	.	
7	20.2	26.2	22.4	22.9	4.0	728.6	727.4	728.2	87	55	73	E 0	NNE 1	S 0	0	1	1	.	
8	22.2	27.8	22.0	24.0	5.0	728.2	726.8	726.8	82	45	77	ESE 1	ESE 1	SSE 0	1	0	0	.	
9	21.2	24.8	17.1	21.0	2.0	726.5	725.8	727.3	72	48	68	ESE 0	SW 1	E 0	9	6	3	.	
10	18.7	18.0	15.6	17.4	-1.7	727.6	726.4	728.3	73	65	88	E 0	NNE 1	E 0	9	7	0	.	
11	**15.0**	21.0	17.0	17.7	-1.5	729.3	725.6	724.8	85	52	78	NNE 1	NNE 1	SSW 1	1	3	2	.	
12	17.0	23.2	15.1	18.4	-0.9	723.8	719.8	**718.2**	76	50	98	S 0	SSE 1	S 1	9	6	10●	**14.0**	● p-n
13	16.0	20.0	**15.0**	17.0	-2.3	720.4	724.6	727.1	98	55	97	S 1	SSW 1	SSW 1	10	6	10	6.7	⛆ a, n (13./14.)
14	16.5	23.0	20.0	19.8	0.4	727.5	727.7	728.3	92	55	65	E 0	WSW 0	W 0	6	6	10	.	
15	19.0	23.2	18.2	20.1	0.7	729.8	729.5	729.2	52	52	60	SSW 1	S 1	E 0	1	1	0	.	
16	15.8	22.4	19.2	19.1	-0.3	729.3	727.2	726.3	82	48	73	E 0	NNE 1	W 1	0	0	0	.	
17	19.2	25.4	22.0	22.2	2.8	726.2	725.2	726.2	76	63	72	NW 1	W 0	W 0	1	4	5	.	
18	20.7	23.5	16.6	20.3	0.8	726.6	728.4	731.0	83	65	94	S 1	S 1	SE 1	8	9	8	6.5	⛆ ⛵ 16½-17
19	17.6	21.2	17.0	18.6	-0.9	733.2	733.4	734.8	80	57	70	NNE 1	NNE 1	NNE 1	3	3	1	.	
20	16.4	21.6	18.0	18.7	-0.8	**735.9**	733.8	732.4	75	55	75	NNE 1	NNE 1	E 0	0	0	0	.	
21	18.8	27.0	23.8	23.2	3.7	731.5	728.1	727.9	73	52	54	NE 0	SSW 1	SSW 1	0	0	0	.	
22	22.4	29.2	24.6	25.4	5.9	727.1	725.2	725.9	60	**40**	46	SE 0	S 1	S 2	1	2	5	.	
23	20.6	22.0	16.4	19.7	0.2	726.9	727.0	731.4	54	59	92	S 0	SSW 1	E 0	9	10	9	3.0	⛆ 15¾-16¼
24	14.4	21.6	19.6	18.5	-1.0	732.4	731.0	730.5	84	59	86	NNE 1	NNE 1	E 0	2	0	1	.	≡ n-6
25	19.0	24.2	22.4	21.9	2.4	730.5	727.7	727.5	72	72	79	ENE 1	NNE 1	NNE 0	0	1	1	.	
26	23.8	**29.5**	23.6	25.6	6.2	729.1	726.8	728.0	70	51	58	S 1	S 1	SSW 1	1	3	9	.	
27	20.4	25.0	20.9	22.1	2.7	727.6	727.4	727.1	69	62	65	SSW 1	SSW 1	SSE 1	9	4	1	.	
28	18.4	26.4	22.0	22.3	2.9	726.8	725.5	726.0	73	53	72	SSE 1	S 1	E 0	0	3	4	.	
29	22.2	26.6	21.8	23.5	4.1	726.7	726.3	726.3	63	53	66	S 1	SSW 1	S 1	1	9	8	.	
30	18.9	20.8	16.7	18.8	-0.5	726.4	727.2	730.1	66	59	66	SSE 1	S 1	E 0	9	7	10	1.9	⛆ a, p
31	15.7	24.0	18.4	19.4	0.1	729.4	726.9	727.3	75	54	78	E 0	W 1	W 1	0	3	10	0.9	⛆ 19
																		Summe	
Mittel	19.0	23.9	19.6	20.8	—	727.9	726.9	727.6	77	57	76				3.8	4.2	5.1	34.6	

$\lambda = 8°\ 34'$, $\beta = 47°\ 23'$,
$H_b = 569.4$ m, $G = 0.03$ mm

Zürich

Juli 1953
Beobachter: *Meteorol. Zentralanstalt*

Tag	Lufttemperatur 7³⁰	13³⁰	21³⁰	Mittel	Abweich. vom Normalst	Luftdruck 7³⁰	13³⁰	21³⁰	Relative Feuchtigkeit 7³⁰	13³⁰	21³⁰	Windrichtung und Stärke 7³⁰	13³⁰	21³⁰	Bewölkung 7³⁰	13³⁰	21³⁰	Niederschlag	Witterung
1	17.0	22.8	15.8	18.5	1.8	711.6	710.9	711.2	90	61	97	SSW 1	WNW 1	SSE 1	10	9	8	6.7	● 16-18, 19¾-20¼, 23-24, ⛆ 16-16¼,
2	16.1	24.4	16.5	19.0	2.3	710.9	709.8	710.5	95	54	96	SE 1	SW 1	SW 1	9	5	10●	16.5	● 0¾-5½, 19-24, ⛆ 21½ [⧋ l
3	16.4	21.5	17.5	18.5	1.8	711.0	711.3	711.6	95	72	94	SW 1	SW 1	S 1	10●	7	9	1.4	● 0-2, 6-10¼, 14¾-15¾, ∜ 5¾-6¾
4	17.6	24.2	17.5	19.8	3.0	712.6	711.9	712.5	90	58	95	S 1	SW 1	S 1	8	5	10●	2.9	● 11¾, 17¼-17¾, 20½-22½
5	17.7	20.9	16.7	18.4	1.5	713.2	712.8	714.1	85	74	91	SW 1	SSW 1	SSW 0	10	9	10	1.0	● 11¼-12, 16¼-17½
6	18.1	24.7	18.3	20.4	3.5	713.9	713.1	714.1	83	55	85	NE 1	NE 1	S 1	10	5	10●	0.1	● 7½-8¼, ●tr 21½-22¾
7	18.2	24.6	20.0	20.9	3.9	714.7	713.6	713.8	90	54	73	SSW 1	NW 1	WNW 1	10	4	1	.	
8	19.6	24.5	19.9	21.3	4.2	713.8	713.6	713.8	74	54	65	S 0	W 1	NNW 1	3	7	6	.	⧋ l
9	18.1	18.8	14.1	17.0	-0.1	712.8	712.3	713.3	78	71	97	WNW 1	W 1	SSW 1	10	10	10	12.0	●tr 9¼-9½, 17½-24 mU
10	12.3	16.1	**11.5**	13.3	-3.9	713.0	712.7	714.5	99	61	97	S 1	SSW 1	W 1	10	9	10	5.1	● 1¼-2¾, 7¾-10, 14¾-15, 20¾- [22½ mU
11	11.8	19.6	13.4	14.9	-2.4	715.1	714.7	713.8	79	47	73	W 1	S 1	NE 1	8	8	0	.	
12	12.1	20.4	15.8	16.1	-1.2	711.9	709.2	**705.6**	86	47	81	SW 0	SSE 1	W 1	9	9	10	8.0	● 22¾, ⧋ l, ⊕ a
13	13.4	14.6	12.4	13.5	-3.9	706.6	708.2	710.9	85	85	91	SW 2	SW 2	WSW 2	6	6	9	8.2	● 0¼-13½ mU, 20¼-23¼ mU
14	13.4	19.5	16.0	16.3	-1.1	712.4	712.5	713.3	77	50	66	SW 1	WSW 2	WSW 2	4	7	9	1.5	● 22¾-24
15	14.3	20.0	16.0	16.8	-0.6	714.7	714.3	715.2	78	52	60	WNW 1	WNW 1	WNW 1	7	4	8	.	● 1¾-2, 3¼-4½
16	14.6	24.2	19.0	19.3	1.8	715.2	713.5	712.4	78	**39**	61	S 1	NW 1	SE 1	1	1	1	.	⧋ l
17	18.2	23.8	19.8	20.6	3.1	711.6	712.1	712.4	81	56	89	WSW 1	NE 1	S 1	2	6	10	2.4	∜ 17¼-17½, 18¾, 20-20½, 23
18	18.7	20.3	13.9	17.6	0.1	711.3	712.6	715.1	96	67	96	SSW 1	W 2	S 1	6	9	10	17.2	● 14¾-22½ mU, ⛆ 16, ≡ n-7½
19	14.1	16.6	14.6	15.1	-2.4	718.0	718.6	721.0	84	75	75	S 1	SW 1	N 1	5	7	6	0.1	● 0-4¾ mU
20	13.6	22.7	16.6	17.6	0.0	**721.1**	720.1	719.1	85	40	56	S 1	S 1	NNE 1	1	1	0	.	⧋ l
21	15.9	27.3	20.8	21.3	3.7	716.8	714.6	713.3	74	40	68	WSW 1	S 1	SE 1	0	0	1	.	⧋ l
22	19.0	**28.5**	18.8	22.1	4.5	712.9	711.3	712.5	76	**39**	93	SSE 0	S 1	SSW 1	4	3	9●	4.3	● ⛆ 21½-21¾
23	18.3	19.2	14.1	17.2	-0.4	712.8	712.8	716.2	92	81	95	SW 1	NNW 1	SW 1	9	10	10●	11.5	● 14¾, 16-22¾ mU, ⛆ 17½-
24	13.9	22.4	16.9	17.7	0.1	718.3	717.8	716.6	98	47	66	ENE 1	NE 1	NE 1	4	1	1	.	≡ 6-6½ [17¾
25	15.9	28.1	21.0	21.7	4.1	716.0	714.6	713.1	78	46	71	NE 0	W 1	S 1	0	0	1	.	⧋ l
26	21.8	27.1	18.3	22.4	4.8	714.4	712.8	713.6	80	54	92	S 1	NNW 1	N 1	0	3	9	22.2	● 17-21½ mU, 23¾, ⛆ 16¾-17½,
27	17.6	19.6	15.1	17.4	-0.2	713.2	712.5	713.0	78	65	84	WNW 1	NNW 1	SSE 1	9	10	7	.	∜ 0½-0¾ [▲ 17-17¼
28	16.4	23.6	17.4	19.1	1.6	712.6	711.5	712.0	67	50	94	WSW 1	SSE 1	WNW 1	2	4	9●	0.9	● 21¼-22¼, ⧋ l
29	17.9	23.7	16.4	19.3	1.8	712.3	711.9	712.1	86	51	96	SSE 1	WSW 1	E 1	6	8	8●	**26.7**	∜ 20¼-21½ mU, 22½, 23½-24, ⛆ 20¼
30	15.7	18.6	12.8	15.7	-1.8	711.6	711.8	714.7	96	58	93	SSW 1	SSW 2	WSW 1	10	7	10	11.0	● 0-1¾, 3¾-7¼ mU, 11¼, 14¼-17, 22-24
31	13.7	19.1	15.9	16.6	-0.9	714.6	713.0	711.4	85	52	72	SSW 1	WSW 1	SSW 2	3	10	10●	8.2	● 0-2¼, ●tr 21½, 23-24
																		Summe	
Mittel	16.2	22.0	16.5	18.2	—	713.6	713.0	713.4	84	57	83				6.0	5.9	7.2	167.9	

$\lambda = 6°\ 32'$, $\beta = 46°\ 51'$
$H_b = 1589$ m, $G = -0{,}13$ mm

Chasseron

Juli 1953
Beobachter: *Ch. H. Martin*

Tag	Lufttemperatur 7³⁰	13³⁰	21³⁰	Mittel	Abweich. vom Normalst	Luftdruck 7³⁰	13³⁰	21³⁰	Relative Feuchtigkeit 7³⁰	13³⁰	21³⁰	Windrichtung und Stärke 7³⁰	13³⁰	21³⁰	Bewölkung 7³⁰	13³⁰	21³⁰	Niederschlag	Witterung
1	10.8	12.0	10.2	11.0	—	631.1	630.9	630.7	98	100	100	W 1	NW 2	NW 2	9	10●≡	8	10.8	∜ 5-5¼, 9¼-14½ mU, 17-19¾, ≡ s-p
2	10.2	12.4	10.6	11.1	—	630.0	630.0	630.2	92	91	100	SSE 1	NW 1	NW 1	6	9	8	3.8	∜ 11-12, ≡ 5½-7
3	10.2	11.0	10.8	10.7	—	630.5	631.0	631.0	100	100	100	NW 2	NW 2	NW 1	10≡	10≡	10≡	5.2	∜ 17½-18½ mU, ≡ n-n mU
4	11.8	13.0	11.2	12.0	—	631.9	632.0	632.3	96	97	100	NW 1	NW 2	NNW 2	5	9	10●≡	0.1	∜ 21-21½, ≡ 4½-7, 19-n
5	10.0	11.2	10.8	10.7	—	632.1	632.7	633.0	100	100	100	NW 2	NW 2	N 1	10●≡	10●≡	10●≡	18.6	● n-12, ● 12-15, 15-19 mU,*)
6	10.6	12.3	11.0	11.3	—	632.9	633.1	633.5	100	100	100	E 1	N 1	N 2	10≡	10≡	10●≡	5.3	∜ 12-12¾, ● 14-n, ≡ 7-n
7	11.2	15.4	12.4	13.0	—	633.6	633.9	633.9	92	85	100	ENE 1	NW 1	WNW 2	5	5	5	.	≡ n-7 mU
8	10.4	14.6	11.2	12.1	—	633.2	633.8	633.2	100	91	100	NW 3	NW 3	NW 3	4	4	4	.	⛈ n-n
9	9.2	10.0	5.8	8.3	—	631.8	631.4	631.5	100	100	100	NW 3	NW 3	NW 3	10≡	10≡	10≡	0.0	≡ n-9½, 11-n mU, ⛈ n-n
10	4.6	4.9	**3.4**	4.3	—	630.6	630.8	631.7	100	100	100	NNW 2	WNW 2	NW 3	6	10●≡	2	1.9	△ 9¼-10¾, ● 12¾-14, *)
11	5.7	7.4	6.6	6.6	—	631.8	632.6	632.1	100	86	93	NNE 1	N 1	N 1	1	9	6	.	≡ n-7¾ mU
12	6.8	10.8	7.8	8.5	—	630.0	628.4	**625.0**	89	97	94	WSW 2	S 2	W 4	9	9	10●	10.1	● 19½-n,, ≡ n-11 mU, ⛈ III
13	5.8	6.3	6.4	6.2	—	625.4	627.6	628.6	100	97	100	WNW 4	WNW 3	W 3	10●≡	9	10≡	8.6	∜ n-10¾ mU, 14¾, ≡ n-11½, 19-n,*)
14	5.4	7.2	8.4	7.0	—	630.3	631.5	632.0	100	98	100	WNW 3	W 3	W 4	10≡	10	10≡	2.6	∜ 12, 14¼-15¾, ≡ n-8¾, 15-n, *)
15	5.6	9.8	7.4	7.6	—	632.5	633.4	633.2	100	86	92	W 3	WNW 3	NW 3	10≡	8	1	.	≡ n-8½, ⛈ n-n
16	8.8	14.9	15.4	13.0	—	633.2	632.8	632.5	75	78	59	SE 1	SSE 1	W 2	6	1	1	.	
17	12.7	18.3	15.0	15.3	—	631.9	632.2	632.3	87	78	97	WNW 3	SW 1	S 1	8	5	9	0.0	⛈ l
18	11.4	8.4	7.8	9.2	—	632.0	632.4	633.5	100	99	100	W 3	NW 4	WNW 3	10≡	10	10≡	10.8	⛆ ● 15-16½, ≡ 7-10 mU, 17-n,
19	6.3	8.4	8.4	7.7	—	635.5	636.9	638.3	100	82	98	NW 2	NW 2	N 2	10≡	6	1	.	≡ n-9¾ [⛈ n-n, ⛈ II
20	10.8	15.9	12.4	13.0	—	638.3	**638.7**	638.0	86	59	86	ESE 1	WNW 1	E 2	1	1	0	.	
21	14.4	18.4	15.3	16.0	—	636.1	635.3	634.4	62	77	59	SSE 2	S 1	WSW 3	0	1	1	.	⛈ III
22	16.3	19.5	15.3	17.0	—	632.9	632.3	632.1	49	78	76	SSW 2	W 2	WSW 2	4	1	6	0.3	● n (22./23.)
23	10.0	9.3	6.1	8.5	—	631.9	632.1	634.0	100	80	100	WNW 2	WSW 2	WNW 2	10●≡	10	3	21.5	● ● 7-n, ● 9-12¾, ⛆△ 14¾-17¾,*)
24	9.4	11.1	10.4	10.3	—	635.6	636.1	635.4	73	86	82	ESE 1	SSE 1	SE 3	1	1	1	.	≡ 13½-14 mU, ⛈ III
25	14.0	**20.2**	19.6	17.9	—	635.0	635.4	634.7	63	62	**56**	SW 3	W 1	WSW 2	1	1	1	.	⛈ l
26	14.5	17.7	11.4	14.5	—	634.4	633.9	633.7	73	94	100	W 3	WNW 2	NW 3	1	9	10≡	.	≡ 18½-n, ⛈ n-n mU
27	9.3	9.6	9.8	9.6	—	632.0	632.1	632.1	93	93	94	W 3	W 3	WNW 3	9	9	9	.	≡ 6-6½, 10-n mU, ⛈ n-n
28	8.6	13.8	11.2	11.2	—	631.2	631.5	631.3	100	85	96	W 2	WSW 2	NW 3	10≡	9	8	.	≡ n-9¾, ⛈ III
29	9.6	13.7	11.9	11.4	—	631.5	632.1	631.4	100	85	100	NW 3	NW 2	NW 3	10≡	8	10≡	2.9	∜ 19-19½, ≡ n-9¾, 14½-n mU, *)
30	6.8	7.0	5.6	6.5	—	630.5	630.7	632.1	100	100	100	NW 3	NW 4	NW 4	10≡	10●≡	10≡	3.0	● 8½-9, 13-15¾, 18-19, *)
31	4.8	9.7	8.0	7.5	—	632.3	632.0	631.0	100	75	95	WNW 2	W 2	W 4	4	8	9●	19.0	● 15½-n mU, ⛈ III
																		Summe	
Mittel	9.5	12.1	10.2	10.6	—	632.3	632.6	632.5	91	88	93				6.8	7.2	6.5	124.5	

*) **5.** ∜ 19-n, ≡ n-n **10.** ● 15½-15¾, ≡ n-9 mU, 12½-n mU, ⛈ III **13.** ⛈ n-n, ⛈ I **14.** ⛈ n-n, ⛈ III **23.** ≡ n-8, 9¾-10¾, 13½-14, 15¾-19¾ **29.** ⛈ n-n mU **30.** ≡ 7-11, 11-n mU, ⛈ n-n

Juli 1953
Beobachter: *B. Minsch und C. Clavuot*

Bever

$\lambda = 9° 53'$, $\beta = 46° 33'$,
$H_b = 1711.8$ m, $G = -0.23$ mm

Tag	Lufttemperatur 7³⁰	13³⁰	21³⁰	Mittel	Abweich. vom Normalst	Luftdruck 7³⁰	13³⁰	21³⁰	Relative Feuchtigkeit 7³⁰	13³⁰	21³⁰	Windrichtung und Stärke 7³⁰	13³⁰	21³⁰	Bewölkung 7³⁰	13³⁰	21³⁰	Niederschlag	Witterung
1	15.0	19.0	12.0	15.3	4.5	622.2	621.0	621.8	66	47	90	NW o	W 1	NW 2	7	9	10	13.6	● n (1./2.)
2	10.3	13.4	10.2	11.3	0.4	621.5	620.9	621.7	97	70	98	NW o	SW o	SW o	9	10	10●	3.5	● 9-13, 17½-n mU
3	10.9	14.6	10.9	12.1	1.1	621.0	621.2	622.5	98	66	99	SW o	E 1	SW o	10	10●	10●	2.5	● 13½-n mU
4	12.4	17.2	12.2	13.9	2.9	622.7	621.8	623.0	91	49	87	SW o	W 1	W o	8	7	9	2.1	● n (4./5.)
5	11.5	15.0	10.4	12.3	1.2	622.9	622.5	624.1	94	64	92	SW o	SW o	N o	9●	9	9	6.5	● n-7½, n (5./6.)
6	11.5	16.1	11.1	12.9	1.7	624.1	623.1	624.7	94	59	89	NW o	NW o	SW o	9	8●	10	6.0	● 13½-21
7	10.4	20.9	14.1	15.1	3.9	624.9	623.9	625.2	98	43	82	SW o	SW 1	W o	10	6	4	.	
8	7.0	21.0	12.4	13.5	2.2	625.0	624.5	624.6	92	44	83	SW o	SW 1	W o	2	4	2	2.1	● n (8./9.)
9	12.2	12.4	9.2	11.3	-0.1	623.3	623.0	622.4	97	89	94	W o	SW o	NW o	10	10	10	15.6	● 12½-13½, 18½-20¾
10	6.4	5.5	7.2	6.4	-5.0	620.5	620.6	622.3	91	60	68	SW o	NW o	NW 1	10●	10	10	0.0	● n-9 mU
11	6.2	9.8	**4.2**	6.7	-4.8	621.4	622.2	623.7	70	56	72	NW o	NW 1	NW o	10	7	0	.	
12	8.4	10.9	8.3	9.2	-2.3	622.6	621.0	619.7	74	67	74	SW o	SW 3	S o	8	10●	9	8.0	● 13½-16¼, n (12./13.), ↙ III
13	7.8	10.9	7.6	8.8	-2.7	**617.1**	617.5	620.4	83	66	70	SW o	SW o	NE o	8	8	5●	0.4	● p-n
14	5.4	15.3	9.0	9.9	-1.7	621.7	621.6	623.3	91	35	76	SW o	SW 1	S o	3	3	2	.	
15	7.7	18.4	10.4	12.2	0.6	623.7	623.2	624.4	93	34	82	NW o	S 2	SW o	2	2	1	.	
16	6.8	18.0	12.4	12.4	0.8	624.6	624.3	625.9	98	40	82	W o	SW 2	S o	0	2	0	.	≡ a
17	10.3	21.8	13.8	15.3	3.6	625.8	625.2	626.3	85	40	84	SW o	**SW 2**	SW o	3	1	5	0.8	● 21¾-22¾
18	12.6	21.4	11.4	15.1	3.4	625.3	624.9	624.4	95	47	93	SW o	SW 1	NE o	4	5	9	**49.1**	● 15½-19½, ⛥ 22
19	10.2	12.2	7.3	9.9	-1.8	624.9	627.2	629.3	89	58	66	NE 1	NE 1	NW o	10	9	10●	0.2	● p-n mU
20	3.8	17.8	6.9	9.4	-2.3	**630.3**	629.2	630.0	90	**26**	80	NE o	NW 1	NW o	1	0	0	.	
21	7.3	20.0	10.4	12.6	0.8	628.8	627.1	627.2	84	42	91	NW o	SW 2	SW o	0	1	0	.	
22	9.0	22.4	13.4	14.9	3.1	626.5	623.7	625.4	95	38	71	SW o	SW 1	SW o	0	1	0	.	
23	12.4	20.9	14.3	15.9	4.1	624.9	623.6	623.9	80	45	68	SW o	SW 1	SW 2	0	5	7	5.4	● n (23./24.)
24	9.8	20.6	11.0	13.8	2.0	626.5	626.4	628.2	88	31	81	NE 1	**S** o	W o	2	0	0	.	
25	9.2	21.8	12.4	14.5	2.7	628.3	626.5	627.5	96	40	82	SW o	SW 1	SW o	0	0	0	.	
26	8.4	**24.2**	13.0	15.2	3.5	626.2	625.1	625.2	78	**26**	76	SW o	S 1	NW o	0	0	0	.	
27	9.4	18.5	9.5	12.5	0.8	623.1	622.3	622.9	82	54	88	SW 1	SW 1	SW o	4	9	1	0.2	● 15-16
28	7.2	18.0	14.4	13.2	1.5	623.1	622.0	622.5	98	55	85	SW o	SW 1	SW o	1	8	9	.	
29	13.7	21.2	9.0	14.6	2.9	623.2	622.2	623.3	80	35	96	SW o	SW 2	SW 1	5	3	1	1.6	⛥ ● 18½
30	8.9	7.4	6.2	7.5	-4.1	621.7	622.0	622.5	99	79	98	SW o	W o	S 1	10●≡	10	10●	25.4	● ≡ 7-11, ● 13½-16, p-n mU
31	8.0	17.0	10.3	11.8	0.2	623.5	621.8	621.9	73	58	74	N 1	SW 1	W o	2	5	8	0.1	● tr n (31./1.)
Mittel	9.4	16.9	10.5	12.3	—	623.9	623.3	624.2	88	50	83				5.1	5.5	5.2	Summe 143.1	

Juli 1953
Beobachter: *Couvent des Capucins*

Sion

$\lambda = 7° 21'$, $\beta = 46° 14'$,
$H_b = 548.6$ m, $G = -0.11$ mm.

1	19.1	25.0	19.8	21.3	2.3	714.4	712.7	713.5	86	55	66	W o	WSW 1	W 2	7	8	10	0.6	● 21¾-22¼
2	18.3	24.7	20.4	21.1	2.1	713.4	711.5	712.6	72	53	57	W 1	W 3	W 3	6	7	10	.	
3	18.7	25.6	20.4	21.6	2.5	713.7	713.1	713.8	77	50	65	WSW o	WSW 2	W 1	8	5	10	0.2	● 21½-22
4	20.4	26.3	19.1	21.9	2.7	714.8	713.2	713.5	77	48	83	W 1	WSW 1	WSW o	8	7	7	**14.3**	● tr 22¾-23½, ◠ III
5	17.1	22.3	18.5	19.3	0.1	715.6	715.1	715.7	98	64	91	WSW o	WSW o	WSW o	10●	9	10	3.9	● 3-10¾, 17¼-18½, 19½-20½
6	18.5	25.2	19.0	20.9	1.6	716.0	714.4	716.1	90	51	92	W o	W 1	WSW o	6	6	10●	2.4	● 19-22
7	19.0	26.6	21.0	22.2	2.9	716.7	715.0	715.3	90	52	63	WSW o	WSW o	WSW o	6	2	0	.	
8	21.2	27.0	22.6	23.6	4.3	716.3	714.5	714.5	70	56	52	ENE o	WSW 2	WSW 1	1	3	1	.	
9	20.8	25.0	19.2	21.7	2.3	715.0	713.0	713.4	68	59	57	WSW o	WSW 1	WSW 2	6	5	6	.	
10	15.4	21.3	14.8	17.2	-2.2	713.9	713.4	715.7	60	43	57	W 2	WSW 2	WSW 2	10	5	10	.	
11	14.6	22.0	15.8	17.5	-1.9	716.7	714.8	715.2	62	42	60	W o	WSW 1	WSW o	1	1	0	.	
12	15.3	19.8	17.3	17.5	-2.0	714.8	712.3	**710.0**	69	58	57	W o	W 1	W 2	9	10	10	8.9	● 22½-24
13	15.7	20.5	**14.1**	16.8	-2.7	710.7	711.2	714.6	95	46	70	W o	SW 3	WSW 1	9●	5	10	0.2	● 0-8¼
14	15.7	22.7	16.5	18.3	-1.2	715.6	714.3	715.9	66	45	60	W o	**W** 2	W o	0	2	1	.	
15	16.8	23.6	16.9	19.1	-0.4	716.7	715.5	716.7	68	48	56	NE 1	W 1	W o	3	2	0	.	
16	16.2	25.7	19.3	20.4	0.8	717.8	714.7	715.5	65	42	60	NE o	NE 1	W 2	0	0	0	.	
17	18.9	27.3	18.2	21.4	1.8	715.9	713.9	716.1	65	42	87	ENE 1	E o	E 1	2	7	2	6.8	⛆ 15, 19½-20
18	19.2	19.6	15.8	18.2	-1.4	714.7	713.1	717.6	80	59	96	SE 1	W 2	WSW o	1	10	10●	12.3	⛆ 14¾-15¾ mU, 16¾, 17¾,
19	16.2	23.2	16.0	18.5	-1.1	719.2	719.3	721.9	87	42	59	WSW o	WSW 3	W o	5	2	0	.	● 0¼-2 [● 18½-21¾
20	14.6	23.8	18.7	19.0	-0.6	**723.6**	721.0	720.5	67	43	62	**W** 1	W 2	N 2	0	0	0	.	
21	16.6	27.1	21.2	21.6	2.0	720.0	716.4	716.3	65	44	66	N 1	NNW 2	WSW 2	0	0	1	.	
22	19.1	**30.0**	26.8	25.3	5.8	716.4	713.2	714.0	70	44	67	NNE 1	NNE 1	W 1	0	1	4	.	
23	19.4	24.6	16.8	20.3	0.8	715.0	713.5	718.2	79	52	**85**	W o	WSW 3	WSW 2	5	6	10	3.1	⛆ 17¾, 20½, 21-21½, ● 18½-19½
24	16.4	23.8	18.2	19.5	0.0	720.2	718.0	718.3	76	47	70	NNE o	WSW 2	W 1	0	0	0	.	
25	17.0	28.4	23.0	22.8	3.3	719.1	716.3	716.0	78	**41**	55	NNE o	NNE 1	N 1	0	0	0	.	
26	19.6	26.1	22.0	22.6	3.2	717.1	714.8	714.6	66	51	67	NNE 1	N 1	WSW 1	2	5	1	.	
27	22.2	23.6	20.2	22.0	2.6	715.1	714.2	714.4	65	60	57	WSW 1	WSW 1	WNW 1	5	8	6	.	
28	17.5	25.4	22.3	21.7	2.3	715.3	712.9	713.5	72	43	54	ENE 1	NW o	**W** 1	0	8	2	.	↙ p mU
29	18.3	26.7	21.0	22.0	2.6	714.9	713.3	714.3	77	52	61	ENE 1	SSE o	**W** 1	5	7	8	3.4	⛆ 21½, ↙ p mU
30	17.6	21.7	16.9	18.7	-0.6	714.1	713.9	717.0	90	50	75	NW o	SW 2	WSW o	10	9	10	4.9	● 1¾-6½, 8¾-9¼, 11-11½, 16¼-18¾,
31	14.4	22.4	17.2	18.0	-1.3	717.1	714.7	714.8	63	50	80	ENE 1	WSW 2	SW o	0	3	10	1.1	● 21¾-24 mU [20½-21½
Mittel	17.7	24.4	19.0	20.4	—	716.1	714.4	715.5	75	49	67				4.0	4.6	5.1	Summe 62.1	

$\lambda = 8°\,57'$, $\beta = 46°\,0'$,
$H_b = 276.2$ m, $G = -0.01$ mm.

Lugano

Juli 1953
Beobachter: *G. Vicari*

Tag	Lufttemperatur 7³⁰	13³⁰	21³⁰	Mittel	Abweich. vom Normalst	Luftdruck 7³⁰	13³⁰	21³⁰	Relative Feuchtigkeit 7³⁰	13³⁰	21³⁰	Windrichtung und Stärke 7³⁰	13³⁰	21³⁰	Bewölkung 7³⁰	13³⁰	21³⁰	Niederschlag	Witterung
1	19.2	26.6	19.8	21.9	1.3	736.1	734.9	734.8	82	57	81	N 1	S 1	N 1	8	4	9	12.7	☆ 19, ● tr 21, ⟋ 18–19
2	17.4	22.4	18.2	19.3	−1.4	735.6	735.1	735.6	88	58	95	N 1	SE 1	N 1	10	8	10●	10.0	⟍ 0–1, ● 0–2, 18–n mU
3	17.8	22.6	18.4	19.6	−1.2	735.3	734.9	735.3	92	67	89	N 1	E 1	NNW 1	10	8	10●	4.2	● n-7½ mU, 8-9, ☆ 13¾-13½, ● 19½-
4	18.0	27.0	17.4	20.8	0.0	736.5	735.4	737.2	83	58	93	N 1	S 1	N 1	9	3	10●	3.2	● 16–23¾, ⟍ 17–17½ [22
5	18.8	27.4	20.8	22.3	1.4	736.9	736.0	736.9	84	50	83	NE 1	S 1	N 1	9	3	7	.	
6	18.4	22.6	18.6	19.9	−1.1	737.4	736.7	738.9	83	82	95	N 1	S 1	N 1	4	9	10●	5.9	☆ 12, ● 13½-14, 19-n
7	16.8	27.2	22.2	22.1	1.1	738.4	738.1	738.6	88	57	74	N 1	S 1	N 1	1	1	0	.	
8	18.6	27.6	23.6	23.3	2.2	739.1	738.2	737.8	87	63	75	N 1	S 1	N 1	1	3	4	6.2	
9	19.2	23.0	17.4	19.9	−1.2	737.0	735.8	735.8	94	67	87	N 1	W 1	E 1	10●	7	10●	21.6	⟍● 5–7½, ☆ 11½, 17, ● 20½-n
10	16.4	24.4	21.0	20.6	−0.6	733.6	732.6	733.8	90	50	38	N 1	S 1	N 2	7	7	7	.	⟍ n (9/10.), ⟋ 16–3 mU
11	16.4	25.2	19.2	20.3	−0.9	736.2	736.0	739.7	70	**31**	76	N 1	NNE 1	NNE 1	0	0	5	.	
12	17.0	21.2	16.0	18.1	−3.2	739.4	737.9	735.7	80	50	90	NNE 1	S 1	N 1	10	10	10●	**30.3**	● 14¾–15, 16½–18, 18½ n
13	**15.0**	23.0	20.2	19.4	−1.9	732.5	**731.6**	733.9	93	57	62	N 1	S 1	N 1	10	5	0	.	
14	**15.0**	25.0	20.0	20.0	−1.3	736.6	736.9	737.9	76	55	76	N 1	S 1	N 1	1	3	1	.	
15	17.2	26.4	20.0	21.2	−0.2	738.5	738.0	738.4	83	57	76	N 1	S 1	NNW 1	5	7	0	.	
16	17.2	24.2	22.0	21.1	−0.3	739.7	739.3	739.5	78	68	78	N 1	S 1	N 1	6	7	4	.	
17	19.2	26.0	22.8	22.7	1.3	740.4	739.9	740.3	86	62	78	— 0	S 1	N 1	10	9	10	0.0	☆ n (17./18.)
18	21.0	26.2	21.2	22.8	1.3	739.6	739.4	737.5	87	67	93	N 1	S 1	N 1	9	10	10●	16.6	⟍ 14½, 18, ● 14½–17, 18–23
19	17.0	27.2	22.4	22.2	0.7	737.5	737.8	742.3	84	**31**	**31**	NNE 1	N 3	NNE 2	2	0	0	.	⟋ 13½–22
20	14.6	26.8	20.8	20.7	−0.8	**745.0**	744.2	744.1	57	46	66	NNE 1	S 1	N 1	2	0	0	.	
21	16.0	26.8	20.8	21.2	−0.4	744.6	742.7	741.4	84	53	63	N 1	S 1	N 1	0	1	0	.	
22	16.4	28.0	22.2	22.2	0.6	740.6	739.1	739.0	83	52	66	N 1	S 1	NNW 1	0	0	0	.	
23	20.2	28.6	22.6	23.8	2.2	738.9	738.1	737.6	78	52	73	N 1	SSW 1	N 1	9	6	10	0.4	☆ 22
24	17.0	29.0	22.4	22.8	1.2	739.4	740.5	741.3	78	44	68	N 1	S 1	N 1	0	0	0	.	
25	19.2	29.0	23.0	23.7	2.1	742.4	741.1	740.2	84	56	73	NE 1	S 1	NNW 1	7	1	0	.	
26	19.4	**30.0**	24.4	24.6	3.0	739.9	738.7	737.0	87	60	78	N 1	S 1	N 1	0	3	1	0.0	● tr 15
27	21.2	27.8	23.2	24.1	2.5	736.6	735.6	734.6	87	57	64	N 1	S 1	NW 1	8	8	0	.	
28	20.2	28.8	22.0	23.7	2.1	735.2	735.2	735.2	80	57	83	NE 1	W 1	N 1	6	8	1	0.0	● tr 16
29	19.8	27.0	21.4	22.7	1.2	736.1	735.6	735.7	86	67	88	N 1	S 1	NW 1	4	8	6	16.3	● 13¾, n (29./30.), ⟍▲ 22¾-23
30	18.4	17.0	17.2	17.5	−4.0	734.6	734.1	734.9	84	93	77	NNW 1	N 1	N 1	10	10●	3	23.1	☆ 7¾-8, ⟍ 13-13½, ● 13½-14½
31	17.2	26.2	20.2	21.2	−0.3	736.8	736.3	736.3	45	42	60	NW 1	S 1	NW 1	0	4	6	.	
																		Summe	
Mittel	17.9	25.8	20.7	21.5	—	737.6	737.3	737.6	82	57	75				5.4	4.9	4.6	150.5	

$\lambda = 7°\,35'$, $\beta = 47°\,33'$,
$H_b = 317.3$ m, $G = 0.11$ mm.

Basel

Juli 1953
Beobachter: *Astronom.-Meteorol. Anstalt*

Tag	Lufttemperatur 7³⁰	13³⁰	21³⁰	Mittel	Abweich. vom Normalst	Luftdruck 7³⁰	13³⁰	21³⁰	Relative Feuchtigkeit 7³⁰	13³⁰	21³⁰	Windrichtung und Stärke 7³⁰	13³⁰	21³⁰	Bewölkung 7³⁰	13³⁰	21³⁰	Niederschlag	Witterung
1	20.4	23.7	19.1	21.1	3.7	732.9	732.6	732.3	83	66	86	SW 0	WNW 1	ESE 1	9	10	6	1.0	● 9¼-9¾, 22½-23
2	17.9	26.6	17.4	20.6	3.2	732.5	731.3	732.0	90	54	88	SE 1	WNW 1	S 1	7	8	10	0.4	● 18–18½, ⟍ 16¾–17¾
3	19.4	19.6	16.7	18.6	1.1	732.6	732.7	733.2	90	87	97	SE 0	NNW 1	S 0	9	10●	8	14.0	● 13¾–16¾, ⟍ 13¾–14½
4	18.3	23.4	19.1	20.3	2.7	733.9	733.5	733.9	89	65	89	ESE 0	WNW 1	W 1	7	8	9	0.5	● 22¾–23¾, ⟍ 19–22½ mU
5	18.4	20.3	17.6	18.8	1.2	734.6	734.7	735.5	89	79	88	SW 0	W 1	SSW 1	10	10●	10●	6.0	● 13½-16¼ mU, 20½-21¾, 23¼-23¾, [⟍ 13¼-13½
6	17.6	25.5	19.8	21.0	3.3	735.7	735.0	735.6	96	55	87	SSW 0	NW 1	NNE 1	10	3	10	.	● 3¼–4½
7	19.0	26.5	19.2	21.6	3.8	736.0	735.0	735.0	76	55	85	ESE 1	NE 1	SSW 1	1	1	0	.	
8	21.4	26.0	18.7	22.0	4.2	735.4	735.1	734.9	68	54	80	SE 0	WNW 2	SW 1	1	7	1	.	
9	18.5	22.3	16.0	18.9	1.0	734.5	733.7	734.6	85	59	69	WNW 1	W 1	WSW 1	10	8	5	.	
10	14.6	12.6	**9.9**	12.4	−5.5	735.0	735.4	736.8	75	96	91	NW 0	W 1	S 1	9	10●	2	**25.5**	● 11½, 12–14, 15¼–15½, 16¾–19¾ mU, [⟍ 14¼–15½, 16¾–17½, ▲ 12
11	13.8	21.9	12.5	16.1	−1.9	737.5	736.5	735.7	79	50	87	E 0	WSW 1	SW 1	1	3	2	.	
12	13.8	22.6	16.6	17.7	−0.3	733.9	731.1	**728.0**	80	51	77	SE 0	E 1	SE 1	8	6	9●	4.9	● 21½–22¾ mU, ⊕ 15
13	16.6	18.4	13.4	16.1	−1.9	728.3	729.8	732.3	75	65	87	W 1	WSW 2	S 1	8	4	9	6.0	● 3¼–5¼, 19¼–20½, ⟋ 8, ⌒ 8, 20
14	15.3	19.6	16.1	17.0	−1.1	734.0	734.1	734.9	82	63	78	SW 1	WNW 1	S 1	5	9	9	.	● 3–3¾
15	16.1	21.4	14.6	17.4	−0.7	736.7	736.4	737.0	71	49	76	WNW 1	WNW 2	WSW 1	8	2	1	.	⟋ 14
16	15.1	25.6	18.5	19.7	1.6	736.8	734.9	733.5	71	49	76	ESE 1	SE 1	S 1	1	3	0	.	
17	17.9	26.1	20.9	21.6	3.5	733.8	732.8	732.9	77	61	86	W 1	E 1	SE 1	9●	2	8	1.3	● 7½–10¼
18	19.9	17.3	15.3	17.5	−0.7	733.3	735.5	736.9	89	87	89	WNW 1	WSW 1	WNW 1	8	10●	10	7.0	● 12–14, 15¾–18¼, ⟍ 12
19	15.8	21.3	14.7	17.3	−0.9	739.8	740.7	742.8	86	53	72	E 1	WNW 2	WSW 1	7	5	1	.	● 0–2 mU, ⟋ 0¼
20	15.6	25.0	15.9	18.8	0.6	**743.3**	741.7	740.4	74	**43**	86	E 1	NW 1	S 1	1	1	0	.	
21	17.1	28.8	20.6	22.2	4.0	738.3	735.5	733.9	70	**43**	79	E 1	ENE 1	S 1	0	0	0	.	
22	20.6	27.9	20.3	22.9	4.7	733.9	732.9	733.6	68	47	64	ESE 1	WNW 1	SW 1	4	6	7	0.2	
23	18.5	17.4	13.4	16.4	−1.9	734.6	734.8	738.3	89	93	94	S 1	NW 1	ENE 0	8	10●	1	13.0	● 6½–7, 10½–17¾ mU,
24	14.4	23.8	15.8	18.0	−0.3	740.1	739.4	738.2	85	**43**	54	ESE 1	N 1	NNE 0	7	2	0	.	[⟍ 14¾–17½ mU
25	17.2	**29.2**	23.2	23.2	4.9	737.0	735.4	733.9	72	47	70	E 1	NNW 1	ESE 1	0	0	0	0.0	⟍ 23½
26	23.7	28.4	20.6	24.2	6.0	735.8	734.4	735.2	72	61	86	WNW 1	WNW 1	W 1	0	5	8	.	
27	18.9	21.5	15.8	18.7	0.5	734.8	734.3	734.5	67	62	82	SW 1	WNW 2	W 0	9	9	6	.	
28	15.8	21.8	16.8	18.1	−0.1	734.2	733.2	733.3	78	64	88	ESE 1	WNW 1	E 1	9	10	1	0.0	● tr 15, ⌒ 18½
29	18.8	23.9	18.0	20.2	2.0	733.9	733.7	733.8	79	55	71	ESE 1	WNW 2	WNW 1	8	9	6	.	⊕ 12
30	17.8	15.8	14.0	15.9	−2.2	733.8	734.0	736.6	70	89	91	W 1	W 1	W 1	8	10●	1	7.8	● 13¼ 13½, 15¼–15¾, 20¼, 23¼–23½
31	15.0	19.4	16.6	17.0	−1.1	736.4	735.1	733.3	86	61	87	E 1	WNW 1	WNW 1	3	10	10	2.1	● 22½–24
																		Summe	
Mittel	17.5	22.7	17.0	19.1	—	735.3	734.7	734.9	79	61	82				6.0	6.2	4.8	89.7	

Juli 1953
Beobachter: *Observatorium*

Säntis

$\lambda = 9° 20'$, $\beta = 47° 15'$,
$H_b = 2500.1$ m, $G = -0.27$ mm.

Tag	Lufttemperatur 7³⁰	13³⁰	21³⁰	Mittel	Abweich. vom Normalst	Luftdruck 7³⁰	13³⁰	21³⁰	Relative Feuchtigkeit 7³⁰	13³⁰	21³⁰	Windrichtung und Stärke 7³⁰	13³⁰	21³⁰	Bewölkung 7³⁰	13³⁰	21³⁰	Niederschlag	Witterung
1	6.8	8.0	6.0	6.9	2.7	565.5	565.5	565.4	97	98	78	WSW 1	WSW 1	WNW 1	10≡	10≡●	9	22.2	▽̇ 13¼–13¾, 16¼–16½, *) ⊛
2	6.4	8.2	5.0	6.5	2.2	564.6	564.3	564.8	82	72	100	WSW 1	SSW 1	NW 2	10	8	10≡	8.8	▽̇ 14¼–15, 15¼–15½, 15¾–16¼, *) ⊛
3	5.3	6.4	4.9	5.5	1.2	564.4	565.1	565.6	100	94	100	NW 1	NNW 1	WNW 1	10≡	10	10	20.5	, n–7, ● 7¾–12, ▽̇ 16¼–16¾, *) ⊛
4	5.4	9.0	6.2	6.9	2.5	565.8	566.2	566.7	100	84	100	W 2	W 2	NW 2	10≡	10	10≡●	14.3	▽̇ 14–14¼, 17¾–18, ● 21–n, *) ⊛
5	6.1	10.0	5.3	7.1	2.6	566.3	566.6	567.2	100	80	98	NW 2	N 1	N 1	10≡●	10≡	9	28.6	● n–8¾, 11–12, 14¾–17, *) ⊛
6	5.5	9.0	6.0	6.8	2.2	567.0	567.3	567.9	100	92	98	NE 1	E 1	N 1	10≡	10≡●	10	4.0	▽̇ 13¼–13½, ● n (6./7.), ≡ n–15 ⊛
7	8.6	12.6	8.3	9.8	5.2	567.8	568.4	568.7	84	77	100	N 1	SW 1	W 2	2	6	10≡	.	≡ n–9½ mU, 11½–n mU ⊛
8	8.4	13.3	8.2	10.0	5.3	567.9	568.3	568.0	98	78	100	WSW 2	SW 2	WSW 2	10≡	10≡	10≡	6.4	● n (8./9.), ≡ n–n mU
9	5.7	6.0	2.8	4.8	0.0	566.1	565.7	565.0	100	100	100	W 2	W 2	WNW 2	10≡	10≡●	10≡●	36.1	● 8½–9½, 10¾–n, ≡ n–n
10	0.0	1.4	-1.4	0.0	-4.8	563.3	563.5	564.6	100	100	100	NW 2	N 1	WSW 2	10≡✱	10≡	10≡	10.0	✱ n–13 mU, ⩡ 16½–17, ≡ n–n ⊛
11	-1.4	0.2	0.2	-0.3	-5.2	564.1	565.3	565.5	100	94	76	NW 1	NW 1	SW 1	10≡	10≡	1	.	≡ n–17 mU ⊛
12	3.1	7.4	3.2	4.6	-0.3	564.0	563.3	565.7	70	78	85	SW 2	SW 2	S 2	8	10	4	2.6	● n (12./13.)
13	1.0	0.6	0.6	0.7	-4.3	558.6	559.9	562.1	100	100	100	W 4	SW 3	WSW 4	10≡●	10≡	10≡●	21.0	● n–9½ mU, ▽̇ 15½, 20¾–21½, *)
14	-0.3	4.8	3.4	2.6	-2.4	563.2	565.3	565.8	100	84	100	WSW 3	SW 2	WSW 3	10≡	5	10≡	9.6	● ✱ n (14./15.), ≡ n–9, 17¾–n
15	1.8	6.6	3.0	3.8	-1.3	565.7	566.6	567.1	100	85	100	WSW 3	SW 2	W 3	10≡●	10≡	10≡	2.0	▽̇ 7¼–7¾, ≡ n–n
16	4.1	10.2	8.3	7.5	2.4	567.0	567.4	568.1	82	76	80	SW 2	SW 2	WSW 2	1	5	1	.	≡ n–6¾
17	10.9	13.3	10.6	11.6	6.5	567.5	568.3	569.1	37	67	76	SSW 2	SE 2	S 2	1	6	9	0.0	▽̇ 16¾
18	10.9	13.2	4.0	9.4	4.2	567.2	567.5	567.2	66	75	100	SSW 3	S 3	W 3	2	9	10≡	40.9	● 15¾–16½, ▽̇ 17¾–20½ mU, *)
19	0.1	3.0	1.0	1.4	-3.8	568.0	568.9	571.1	100	89	100	NW 3	W 2	W 2	10≡✱	10≡●	10≡	4.6	● n–5¾, ✱ 5¾–7½, *)
20	3.4	8.2	7.0	6.2	1.0	571.2	572.4	572.5	26	37	18	W 2	WSW 2	W 2	1	1	0	.	
21	13.0	14.9	10.8	12.9	7.6	571.1	570.8	569.8	39	52	65	S 1	SW 2	SSW 2	0	0	1	.	
22	11.0	15.2	10.9	12.4	7.1	568.7	568.4	568.1	69	69	56	WSW 1	SSW 2	SE 2	2	5	1	.	
23	10.4	12.6	3.4	8.8	3.5	567.2	567.1	567.2	63	77	100	S 2	SSW 2	W 3	5	10≡	10≡●	23.3	● 17–n, ≡ 12¾–n
24	3.6	9.0	8.2	6.9	1.6	568.8	570.1	570.5	100	80	71	WSW 2	SSW 2	SW 2	1	1	1	.	≡ 12–16 mU
25	12.2	13.8	11.7	12.6	7.2	570.2	570.8	570.8	39	53	56	SSE 2	WSW 1	W 2	1	1	2	24.1	● n (25./26.)
26	10.0	15.8	10.0	11.9	6.5	570.0	569.7	568.5	97	45	65	WSW 2	SW 2	WSW 3	2	3	9	17.0	K ● 2½–4½, 16–17¼, *)
27	7.2	8.4	5.8	7.1	1.7	566.8	566.2	566.3	100	98	100	WSW 2	W 2	WSW 2	10≡●	10≡	10≡	0.0	● n–8, ≡ n–10¼, 10¾–n
28	5.2	10.9	6.5	7.5	2.1	565.4	566.1	566.1	93	72	100	WSW 3	SW 2	WSW 2	1	1	10≡	5.0	● 17½–17¾, ≡ 15¼–n
29	5.4	10.1	5.7	7.1	1.7	565.9	566.5	566.2	100	79	98	WSW 3	WSW 2	W 3	10≡	8	5	28.7	● 17¼–18, ≡ n–13½
30	3.6	1.6	0.2	1.8	-3.6	564.3	564.0	565.2	100	100	100	W 3	W 2	WNW 2	10≡	10≡●	10≡●	35.9	● a–n mU, ≡ n–n
31	-0.4	4.5	3.8	2.6	-2.8	565.0	565.2	564.1	100	86	100	W 1	SW 2	WSW 4	10≡	8	10≡●	27.5	● 19–19½, 21–n, ≡ n–10½, ↙ III
Mittel	5.6	8.0	6.0	6.5	—	565.4	566.8	567.1	88	77	88				6.7	7.3	7.5	Summe 393.1	

Juli 1953
Beobachter: *E. Chiesa*

St. Gotthard (Hospiz)

$\lambda = 8° 34'$, $\beta = 46° 33'$,
$H_b = 2095$ m, $G = -0.25$ mm.

Tag	Lufttemperatur 7³⁰	13³⁰	21³⁰	Mittel	Abweich. vom Normalst	Luftdruck 7³⁰	13³⁰	21³⁰	Relative Feuchtigkeit 7³⁰	13³⁰	21³⁰	Windrichtung und Stärke 7³⁰	13³⁰	21³⁰	Bewölkung 7³⁰	13³⁰	21³⁰	Niederschlag	Witterung
1	9.2	12.3	7.2	9.6	3.0	595.6	595.9	595.5	81	68	100	NW 1	NW 0	NW 1	6	10	10≡	22.5	K 22¼–22¾, ≡ 16¾–n mU
2	6.9	11.7	8.5	9.0	2.3	595.0	595.2	595.3	84	97	83	NW 1	NW 2	NW 1	10	10	10	1.4	● 8¼–11¼
3	7.0	10.0	8.1	8.4	1.6	594.8	594.5	594.3	100	84	97	NW 2	NW 2	NW 2	10≡	9	6	.	≡ n–a
4	8.2	11.3	8.2	9.2	2.3	593.9	594.1	594.7	98	69	100	NW 1	NW 1	NW 1	10	6	10●	9.3	● 17¾–18, 20½–n, ≡ p–n mU
5	7.6	9.8	7.9	8.4	1.4	594.5	594.4	594.0	100	97	100	NW 1	NW 1	NW 1	10≡	10≡	10≡	9.7	● 12–12¾, 15½–16½, ≡ n–n mU
6	8.1	10.7	7.4	8.7	1.6	594.1	594.3	594.9	100	98	100	NW 2	NW 1	NW 1	10	10	10●≡	6.9	● 13¼–n mU, ≡ 19–n
7	8.3	17.5	11.2	12.3	5.1	594.5	594.9	595.0	100	44	98	NW 1	SE 1	NW 0	9	3	6	.	
8	11.2	15.3	11.9	12.8	5.5	595.3	595.0	595.4	91	52	93	SE 0	SE 1	NW 0	9	6	10≡	0.9	● 18½–18¾, ≡ 20¾–n
9	10.0	10.9	6.8	9.2	1.8	595.5	595.6	595.2	100	94	100	SE 0	SE 0	NW 2	10●≡	10●≡	10●≡	14.1	● ≡ n–n mU
10	7.1	4.0	1.8	4.3	-3.2	594.3	593.5	592.7	100	94	100	NW 2	NW 2	NW 3	10,≡	10≡	10,≡	1.9	, n–n mU, ≡ n–n, ↙ III
11	0.5	5.7	4.4	3.5	-4.1	592.1	592.9	593.7	100	49	65	NW 3	NW 2	NW 1	10●	6	3	0.0	● 7¼–7¾, ↙ I
12	4.0	4.8	4.4	4.4	-3.3	593.4	593.1	591.2	100	92	100	SE 2	SE 1	SE 2	10	10	10●≡	29.2	● 10¾–n mU, ≡ p–n
13	5.0	8.2	5.4	6.2	-1.6	588.3	588.7	590.5	95	56	68	SE 0	NW 1	NW 1	10	9	3	3.5	● 8¼–10¼
14	5.2	10.3	6.0	7.2	-0.7	591.9	593.3	594.6	48	24	90	NW 0	SE 0	NW 0	0	3	0	.	
15	6.8	13.9	6.0	8.9	0.9	594.0	595.5	595.7	62	29	97	NW [illegible]	SE 0	NW 1	3	3	0	.	≡ 17½–20¾, ⌓ I
16	6.6	13.9	9.6	10.0	1.9	595.7	596.3	596.2	62	41	67	NW 0	SE 2	SE 1	0	3	9	.	≡ 19¼–20¾, ⌓ I
17	10.8	13.2	10.9	11.6	3.4	596.8	597.1	597.2	89	73	100	SE 1	SE 1	SE 0	10≡	9	10	1.4	● 20–n mU, ≡ n–a mU
18	10.7	11.6	6.5	9.6	1.3	596.8	596.6	596.3	62	41	67	SE 2	SE 2	NW 2	10≡	10	10	26.1	● n–n mU, K 19¾–20¼, ≡ n–a
19	4.2	6.0	3.8	4.7	-3.6	596.3	596.7	598.1	100	94	100	NW 3	NW 2	NW 2	10≡	6	9	.	≡ n–11¼, ↙ I
20	6.0	13.1	10.5	9.9	1.5	599.3	600.1	600.9	100	84	100	NW 1	NW 1	NW 1	0	0	0	.	⌓ I
21	8.4	16.0	10.3	11.6	3.2	600.1	600.2	599.2	20	0	47	SE 0	SE 1	SE 1	0	0	0	.	⌓ I
22	14.7	16.3	9.8	13.6	5.2	598.5	597.6	597.3	16	48	81	SE 0	SE 1	SE 1	0	3	6	.	⌓ I
23	9.5	11.1	5.4	8.7	0.2	596.8	596.5	596.2	39	35	95	SE 1	SE 1	NW 3	3	10	10≡	27.1	● 15¾–n mU, K 19¼–19¾, ≡ 11¼–n [mU, ⌓ I, ↙ III
24	4.2	15.4	10.7	10.1	1.6	596.3	597.4	598.4	92	15	50	NW 2	NW 0	SE 0	0	0	0	.	
25	9.2	17.7	12.2	13.0	4.5	598.9	599.2	599.6	71	33	82	SE 0	SE 0	SE 0	0	0	0	.	
26	14.0	18.3	12.4	14.9	6.4	599.5	599.7	599.9	32	24	52	SE 0	SE 1	SE 0	0	3	0	.	
27	12.0	15.4	8.7	12.0	3.5	599.6	599.6	599.4	96	54	100	SE 0	SE 1	NW 2	10≡	9	10≡	.	≡ n–a mU, 15¾–n
28	7.2	15.4	9.5	10.7	2.2	599.0	598.7	598.3	90	34	100	NW 1	SE 1	NW 2	0	6	6	1.0	● 16¾–17
29	8.2	16.5	8.6	11.1	2.6	597.8	597.7	597.7	98	35	96	NW 1	SE 1	NW 1	3	9	9	1.5	● n (29./30.), ⌓ I
30	8.7	6.2	3.6	6.2	-2.3	597.1	589.8	594.7	69	100	100	NW 2	NW 2	NW 3	10	10●≡	10≡	4.5	● 11–16½ mU, ≡ 10–n, ↙ III
31	2.4	10.4	8.0	6.9	-1.6	594.3	594.2	593.8	96	26	72	NW 1	NW 1	NW 0	6	6	10	1.4	● n (31./1.)
Mittel	7.8	12.0	7.9	9.2	—	595.8	595.8	596.0	80	58	87				6.1	6.4	6.7	Summe 162.4	

*) Säntis; **1.** ● 18–19½, 21–21¼, ≡ 6¾–19½ **2.** ≡ 8¾–11 mU, 14–14¾, 20½–n **3.** ≡ n–13, 15¼–21 **4.** ≡ n–n mU **5.** K 15, ≡ n–20 **13.** ≡ n–n, ↙ n–n mU **18.** ● n (18./19.), ≡ 15–n **19.** ▽̇ 12¾–13, 13¼–13¾, ≡ n–n mU **26.** ≡ 14¾–17½ mU

$\lambda = 7° 26'$, $\beta = 46° 57'$,
$H_b = 572.2$ m, $G = 0.00$ mm.

Bern

August 1953
Beobachter: *Meteorol. Observatorium*

Tag	Lufttemperatur					Luftdruck			Relative Feuchtigkeit			Windrichtung und Stärke			Bewölkung			Niederschlag	Witterung
	7^{30}	13^{30}	21^{30}	Mittel	Abweich. vom Normalst	7^{30}	13^{30}	21^{30}	7^{30}	13^{30}	21^{30}	7^{30}	13^{30}	21^{30}	7^{30}	13^{30}	21^{30}		
1	15.0	20.2	15.0	16.7	−1.0	713.0	713.1	713.4	98	51	93	WNW 1	WNW 2	N 1	10●	4	10●	4.1	● 0–1½, 4¼–11¼, 20–24
2	15.2	19.4	15.4	16.7	−1.0	713.1	712.5	712.3	92	61	99	E 1	SSW 1	NE 1	9	9	10●	27.0	● 0–0½, 14¼–15¾, 17¼–24
3	12.7	15.1	13.6	13.8	−3.8	713.0	714.2	716.2	98	82	76	NNE 1	N 1	E 1	10●	10●	10●	1.2	● 0–1¾, ●tr 21½–21½
4	13.3	18.2	14.4	15.3	−2.3	718.1	718.7	719.9	65	47	68	ENE 2	NNE 2	NE 1	1	3	0	.	⌓ 1
5	13.1	21.5	18.0	17.5	0.0	720.9	719.5	719.8	76	43	73	SE 1	E 1	SSW 1	2	3	2	0.0	⌓ 1
6	17.4	22.3	18.0	19.2	1.7	719.2	718.1	718.1	76	57	72	W 1	NW 2	NNE 1	9●	8	9	0.1	● 5¾, 7¼–8¾, 10½–10¾
7	16.1	19.6	16.6	17.4	0.0	716.8	716.4	715.3	84	58	65	NE 1	N 1	NE 1	10	5	1	0.0	
8	12.7	21.2	17.5	17.1	−0.3	714.0	713.0	712.0	84	59	75	NE 1	NNE 1	NNE 1	0	4	6	.	● 0–0¼, ⌓ 1
9	14.1	20.0	16.9	17.0	−0.3	712.7	712.6	713.2	82	67	77	NNE 1	NE 1	NE 1	10	6	0	.	⌓ 1
10	13.8	23.8	20.4	19.3	2.1	714.9	714.8	715.5	91	50	70	SSE 1	W 1	NE 1	0	1	1	.	⌓ 1
11	16.4	25.7	21.0	21.0	3.8	717.3	716.8	716.1	86	41	66	ESE 1	NNE 1	NE 1	4	1	1	.	⌓ 1
12	17.9	27.1	22.2	22.4	5.3	717.0	715.6	715.4	85	44	66	SE 1	N 1	SSW 1	1	3	3	.	⌓ 1
13	18.2	27.8	22.1	22.7	5.7	716.9	715.9	715.4	82	38	66	SE 1	NW 1	SE 1	1	2	6	.	⌓ 1
14	19.7	27.7	20.6	22.7	5.7	715.6	713.8	713.9	76	54	58	SE 1	ENE 1	ESE 2	4	2	4	0.0	● 22½
15	17.1	25.6	21.0	21.2	4.3	713.5	712.5	712.0	78	54	76	E 1	NE 1	W 1	1	6	7	5.6	⌓ 1
16	16.7	20.2	16.8	17.9	1.1	714.2	714.8	716.1	99	72	89	SW 1	NNW 1	SE 1	10●	9●	3	6.7	● 0¾–8½, 10½–11¾, 13½–
17	15.8	21.5	17.7	18.3	1.5	716.3	715.9	714.9	92	52	75	NE 1	N 1	NE 1	6	4	0	.	⌓ 1 [15¾ mU
18	14.4	21.0	18.3	17.9	1.2	714.6	714.6	716.4	90	46	65	S 1	WNW 1	N 1	2	4	5	.	⌓ 1
19	15.0	22.7	17.7	18.5	1.9	717.3	716.6	715.8	86	38	60	SE 1	ENE 1	W 1	1	1	0	.	⌓ 1
20	14.6	24.2	19.8	19.5	2.9	714.6	712.9	711.8	83	44	67	SE 1	NW 1	— 0	3	4	3	3.4	⌓ 1
21	15.9	18.2	13.7	15.9	−0.6	708.5	707.1	710.2	98	83	75	SE 1	SSW 1	W 1	10●	9●	7	16.4	● 0–0¼, 4½–7½, 10–18½
22	11.2	15.9	10.3	12.5	−3.9	710.3	710.3	714.6	95	46	92	NE 1	W 2	SSW 1	9	6	9	1.6	● 2–6, 19½–20
23	10.5	18.0	13.4	14.0	−2.4	716.3	717.0	716.9	85	42	70	SE 1	SSW 1	SE 1	1	1	1	.	● 0–0¼
24	10.8	21.0	17.4	16.4	0.1	716.1	714.0	713.2	86	44	62	SE 1	NE 1	SE 1	1	2	7	5.1	⌓ 1
25	14.7	19.2	15.0	16.3	0.1	714.3	714.1	713.1	93	44	70	SSW 1	NNW 1	NNE 1	9	8	10	.	● 2¼–7
26	12.5	18.2	14.6	15.1	−1.0	712.3	711.7	711.6	84	50	70	NNE 1	N 1	NW 0	8	7	7	.	⊕ II
27	12.2	17.9	13.7	14.6	−1.5	713.3	714.2	715.8	88	50	67	N 0	NNE 2	NE 1	7	5	2	.	⌓ 1
28	10.3	18.8	13.6	14.2	−1.8	717.2	717.0	717.1	87	45	72	E 0	NE 0	NE 0	0	1	1	.	⌓ 1
29	10.2	21.1	16.6	16.0	0.1	717.2	716.7	716.5	90	40	63	S 0	W 1	S 0	9	5	1	.	⌓ 1
30	12.3	24.0	18.0	18.1	2.3	717.2	717.0	717.2	79	38	76	S 0	NNW 0	SE 1	0	1	0	.	⌓ 1
31	14.3	26.6	19.0	20.0	4.3	718.9	719.2	719.1	77	38	67	SSW 0	NW 1	W 0	0	0	0	.	⌓ 1
																		Summe	
Mittel	14.3	21.4	17.0	17.6	—	715.3	714.9	715.1	86	51	72				4.8	4.3	4.1	71.2	

$\lambda = 6° 57'$, $\beta = 47° 0'$,
$H_b = 487.3$ m, $G = 0.02$ mm.

Neuchâtel

August 1953
Beobachter: *Observatorium*

Tag																			
1	15.1	22.7	16.6	18.1	−0.6	720.7	720.2	720.9	96	54	83	SW 1	SW 1	SW 0	8	6	10	0.1	● 2¼–6¾, 19¼–19¾
2	15.2	21.0	15.4	17.2	−1.5	720.7	719.8	719.6	89	66	96	SE 0	SW 1	NE 0	10	10	10●	30.0	● 13¾–14¼, 19–24
3	12.9	16.3	13.9	14.4	−4.3	720.6	721.6	723.9	98	83	80	NE 0	E 1	NE 0	10●	9	8	0.1	● 0–7½, ⛆ 18
4	13.2	21.5	16.0	16.9	−1.7	725.6	726.3	727.4	85	55	59	NE 1	E 2	N 0	1	2	0	.	
5	12.7	23.0	19.9	18.5	−0.1	728.5	727.1	726.9	85	53	64	E 0	SE 0	NW 2	2	4	0	.	
6	17.6	21.4	17.9	19.0	0.5	726.7	725.7	725.5	87	67	77	SW 0	W 2	E 0	10	8	8	0.1	● 7½–9½ mU
7	16.8	22.7	18.3	19.3	0.8	724.2	723.9	722.6	86	61	63	NE 1	E 2	NE 2	10	2	0	.	
8	13.6	23.2	19.4	18.7	0.3	721.9	720.6	719.3	80	59	64	NE 2	E 2	NE 2	0	2	2	.	
9	15.8	22.1	18.6	18.8	0.5	720.2	720.1	720.8	79	63	67	E 1	SE 0	NE 2	10	2	0	.	
10	14.9	24.5	20.2	19.9	1.6	722.5	722.3	723.1	87	59	76	NE 0	S 1	N 0	0	1	1	.	
11	16.0	27.6	22.7	22.1	3.9	724.8	724.1	723.7	92	57	53	NE 0	SE 1	NE 0	2	1	0	.	
12	18.0	27.8	21.1	22.3	4.2	724.5	723.1	722.6	84	44	70	SE 0	SE 0	SE 0	6	3	0	.	
13	19.0	30.3	24.3	24.5	6.4	724.1	723.0	722.7	88	39	59	SE 0	S 0	W 0	1	0	10	0.0	●tr 20
14	19.6	28.4	22.3	23.4	5.4	722.9	721.1	721.3	89	59	73	NE 0	SE 0	NE 0	2	6	1	0.0	●tr 15½
15	17.6	26.5	19.6	21.2	3.3	721.1	719.8	719.4	80	51	68	NE 0	S 1	SW 0	0	7	3	16.3	
16	17.0	22.7	18.0	19.2	1.3	721.2	722.0	723.7	96	61	75	SW 1	W 2	N 0	10	8	9	1.8	● 0¼–0¾, 2½–7¼, 9½–9¾,
17	17.0	24.9	19.0	20.3	2.5	723.8	723.3	722.2	81	56	64	E 1	SE 1	NE 1	2	1	0	.	[⛆ 0–1½
18	15.2	23.8	20.4	19.8	2.1	722.4	722.1	723.5	91	60	49	NE 0	S 1	NW 3	4	3	1	.	⛆ III
19	14.8	25.3	20.9	20.3	2.6	725.2	724.1	723.0	87	47	58	NW 0	SE 0	NW 1	0	1	0	.	
20	14.8	25.4	21.9	20.7	3.1	722.3	720.5	718.8	89	48	58	E 0	SE 1	W 1	0	8	2	3.9	
21	17.2	20.1	15.2	17.5	0.0	715.6	714.2	717.7	95	82	67	W 0	SW 3	SW 2	10	10●	5	6.5	● 0–0¼, 4–5¾, 13½–18¾, ⛆ II
22	12.6	18.9	11.8	14.4	−3.0	717.7	717.7	721.0	71	42	71	SW 2	SW 3	W 0	5	4	6	0.7	⛆ 0¾, 11¾, 23½, ⛆ II
23	11.8	20.2	13.6	15.2	−2.2	723.9	724.6	724.1	81	42	65	NW 0	S 1	S 0	2	2	0	.	
24	11.9	22.3	18.7	17.6	0.3	723.9	721.9	720.6	89	46	70	E 0	S 1	SW 0	0	2	9	2.7	
25	14.6	21.0	15.8	17.1	−0.1	721.6	721.4	720.9	85	42	62	W 1	W 2	NW 2	8	10	10	.	● 1¾–3½, 5¼–6½
26	14.0	22.3	16.4	17.6	0.5	719.8	719.0	719.1	77	50	57	NE 0	SE 0	N 3	5	6	9	.	⛆ III
27	13.8	19.1	16.5	16.5	−0.5	720.9	721.7	723.5	76	55	62	NE 0	E 0	N 1	7	8	7	.	
28	13.0	23.3	15.4	17.2	−0.7	724.8	724.4	724.7	82	44	61	NE 0	SE 1	NE 0	2	2	0	.	
29	11.3	23.0	19.8	18.0	0.2	724.9	724.1	723.9	87	41	38	NE 0	SE 0	SW 1	8	2	0	.	
30	13.1	26.0	17.4	18.8	1.1	724.8	724.3	724.5	83	44	63	E 0	S 0	SW 0	0	0	0	.	
31	14.8	27.8	20.2	20.9	3.3	726.4	726.5	726.4	87	43	69	SE 0	SW 0	NW 0	0	0	0	.	
																		Summe	
Mittel	15.0	23.4	18.3	18.9	—	722.8	722.3	722.5	86	54	65				4.3	4.2	3.6	62.2	

August 1953
Beobachter: *Frl. H. Nager*

Altdorf

$\lambda = 8° 39'$, $\beta = 46° 53'$,
$H_b = 456.3$ m, $G = -0.05$ mm.

Tag	Lufttemperatur					Luftdruck			Relative Feuchtigkeit			Windrichtung und Stärke			Bewölkung			Niederschlag	Witterung
	7^{30}	13^{30}	21^{30}	Mittel	Abweich. vom Normalst	7^{30}	13^{30}	21^{30}	7^{30}	13^{30}	21^{30}	7^{30}	13^{30}	21^{30}	7^{30}	13^{30}	21^{30}		
1	15.7	18.7	17.0	17.1	−0.8	722.3	723.1	723.2	97	70	73	N 0	SW 0	NW 0	10●	8	10●	6.6	● n-a, ☽ p-n
2	14.9	16.7	15.7	15.8	−2.1	723.4	722.9	722.5	95	83	99	NW 0	W 0	NW 0	10●	10●	10●	12.4	● ☽ n-n mU
3	14.7	14.9	13.9	14.5	−3.4	721.8	724.1	726.7	98	91	95	W 0	NW 0	NW 0	10●	10●	10	3.8	● n-p
4	14.4	17.7	14.2	15.4	−2.4	727.6	728.7	**731.5**	94	61	79	N 0	NW 0	NW 0	9	7	0	.	
5	12.3	20.2	16.1	16.2	−1.6	**731.5**	730.7	730.1	87	48	90	E 0	NW 0	E 0	5	8	0	.	
6	16.9	19.0	17.0	17.6	−0.2	729.0	728.6	726.6	80	86	97	E 0	NW 0	NW 0	10	10●	10	6.4	● a-p mU
7	15.5	17.3	14.9	15.9	−1.8	727.4	727.6	728.0	98	80	91	N 0	N 0	N 0	10	10	0	.	
8	12.2	19.0	16.1	15.8	−1.9	726.1	724.8	724.4	84	66	91	N 0	NW 1	NW 0	0	8	0	.	
9	16.0	19.1	16.4	17.2	−0.5	724.1	723.6	724.9	82	63	94	NW 0	NW 1	E 0	10	3	0	2.8	⛆ 18¼
10	14.2	22.0	18.8	18.3	0.7	725.8	726.9	727.4	95	65	84	E 0	NW 0	NW 0	0	1	0	.	
11	16.3	25.9	20.2	20.8	3.2	728.8	728.0	728.3	93	60	88	E 0	NE 0	NW 0	2	1	0	.	
12	17.3	25.2	20.9	21.1	3.6	727.2	726.6	726.6	90	55	88	SE 0	NW 0	NW 0	0	1	0	.	
13	19.2	**26.2**	21.2	22.2	4.7	727.0	725.9	725.1	86	59	78	E 0	NW 0	W 0	1	1	0	.	
14	19.2	24.2	18.1	20.5	3.1	726.1	725.0	724.5	84	67	84	W 0	W 0	E 0	1	10	10	12.7	⛆ 17¼-n mU, ⛥ 17¼
15	17.4	22.5	18.2	19.4	2.0	722.8	722.3	722.2	90	65	96	E 0	NE 0	NE 0	8	7	4	**14.2**	● n (15./16.)
16	17.4	18.3	17.1	17.6	0.3	724.6	724.8	726.6	98	92	96	NE 0	NW 0	NW 0	10●	10●	10	13.1	● n-p mU, ⛥ 2¾, ☽ p
17	16.4	21.7	16.8	18.3	1.1	726.1	725.1	725.3	98	63	90	N 0	NW 1	NW 0	6	5	4	.	
18	15.0	22.8	17.4	18.4	1.2	724.8	723.9	726.4	95	55	92	N 0	NW 1	NW 0	0	8	7	.	
19	16.1	23.4	17.3	18.9	1.8	727.6	725.7	725.8	94	51	85	W 0	NW 1	NW 0	6	5	0	.	
20	15.3	23.4	19.7	19.5	2.5	724.7	722.0	721.6	95	54	80	NW 0	N 0	NW 0	0	3	7	.	
21	17.9	21.1	15.3	18.1	1.1	718.5	**716.5**	719.4	87	73	80	SE 1	NE 0	SE 1	10	9	10●	5.2	● 16½-n
22	13.1	16.7	11.7	13.8	−3.1	719.9	719.3	723.2	91	**46**	97	SE 0	E 0	SE 0	10●	5	10	4.5	● n-13, ⛥ 19
23	11.7	18.4	13.3	14.5	−2.3	726.0	726.3	727.5	96	50	79	NW 0	NW 1	SE 0	5	4	0	.	
24	**10.5**	19.8	15.7	15.3	−1.4	726.3	724.1	723.4	89	50	89	E 0	NW 1	E 0	0	0	7	0.8	
25	15.3	17.5	16.1	16.3	−0.4	723.9	724.1	723.4	98	75	95	E 0	NW 0	NW 0	10●	10	10	3.2	● 5½-a
26	14.4	17.9	15.0	15.8	−0.8	722.0	721.6	721.2	89	61	90	E 1	NW 0	NW 0	10	8	8	.	
27	14.8	16.0	14.8	15.2	−1.3	722.8	724.7	726.0	94	81	90	NW 0	N 0	NW 0	9	10●	10	0.6	● 13½-14¾
28	12.3	19.8	13.3	15.1	−1.3	727.0	726.5	727.7	94	50	80	SW 0	NW 1	SW 0	4	4	0	.	
29	10.9	20.3	16.8	16.0	−0.3	727.3	725.7	725.6	92	52	96	E 0	NW 1	E 0	6	2	5	.	
30	12.9	22.3	16.9	17.4	1.2	726.9	726.2	727.9	89	50	80	E 0	N 0	E 0	0	0	0	.	
31	14.8	25.4	17.5	19.2	3.1	728.4	728.5	729.4	90	52	85	E 0	NW 0	E 0	0	0	0	.	
																		Summe	
Mittel	15.0	20.4	16.6	17.3	—	725.4	725.0	725.6	92	64	88				5.5	5.7	4.6	86.3	

August 1953
Beobachter: *Observatorium*

Genève

$\lambda = 6° 9'$, $\beta = 46° 12'$,
$H_b = 405.0$ m, $G = -0.03$ mm.

1	18.2	24.0	16.7	19.6	0.3	728.4	728.0	728.0	77	55	98	S 1	S 1	S 1	5	6	10	1.0	● a-p mU
2	17.3	25.0	16.6	19.7	0.5	727.6	725.8	726.2	90	61	98	S 1	S 1	E 0	10	10	10●	9.5	● n-n mU
3	15.4	18.4	16.8	16.9	−2.3	727.6	728.2	729.9	89	71	70	NNE 1	NNE 1	ENE 2	10	8	5	.	
4	15.6	20.5	17.0	17.7	−1.5	731.8	732.4	733.9	73	50	83	NNE 3	NNE 3	NE 0	0	0	0	.	⛈ n-p
5	15.8	22.4	20.0	19.4	0.3	**735.2**	734.1	734.2	73	53	76	NE 0	NE 1	ENE 0	1	3	0	.	
6	17.0	25.0	20.5	20.8	1.7	734.2	732.2	731.9	81	60	75	E 1	NNE 1	NE 1	2	1	2	.	
7	18.6	22.0	18.6	19.7	0.7	730.6	730.0	729.2	77	72	72	NE 1	NNE 2	NNE 1	2	2	1	.	
8	16.6	21.5	22.0	20.0	1.0	728.6	726.8	725.8	75	77	90	ENE 1	NE 1	S 1	1	5	10	11.0	⛆ ⛥ 23¾-0¾
9	17.6	23.0	20.8	20.5	1.6	726.5	726.9	727.9	98	67	94	NNE 1	NNE 1	NNE 1	5	5	0	.	
10	18.0	23.4	21.7	21.0	2.2	729.6	728.9	730.2	98	69	86	E 0	NNE 1	E 0	0	0	0	.	
11	19.0	26.0	23.0	22.7	3.9	731.8	730.6	730.4	73	55	80	E 0	NE 1	ENE 0	1	2	0	.	
12	20.0	26.8	23.8	23.5	4.8	731.3	729.6	729.7	81	61	74	ESE 0	NNE 1	ESE 1	0	3	0	.	
13	21.0	27.5	24.4	24.3	5.7	731.1	729.4	729.6	88	59	77	E 0	NNE 1	SE 0	0	0	2	.	
14	20.0	27.6	22.0	23.2	4.7	729.5	727.9	727.8	94	57	79	SE 1	NNE 1	E 0	2	3	5	.	
15	19.6	28.7	23.0	23.8	5.3	727.8	725.3	726.1	85	55	80	NNE 1	NNE 1	SE 1	1	3	9	2.2	● n (15./16.)
16	20.5	25.2	20.2	22.0	3.6	728.6	729.2	730.2	92	62	88	SSW 1	S 1	NNE 1	5	4	5	.	
17	18.0	23.2	18.0	19.3	1.0	730.8	727.1	729.0	82	45	84	E 0	NNE 1	E 0	6	1	0	.	
18	18.0	26.6	19.2	21.3	3.1	729.5	729.1	731.0	80	49	76	E 1	SSW 1	E 0	7	1	1	.	
19	17.0	23.4	20.0	20.1	2.0	732.0	730.4	729.9	90	62	56	NE 1	NNE 1	NE 0	1	1	0	.	
20	16.4	**30.0**	22.6	23.0	5.0	729.4	726.9	725.5	77	47	69	SE 1	SSW 1	E 1	0	4	9	3.5	⛆ ⛥ 22-23
21	21.0	19.6	15.0	18.5	0.5	723.0	**722.5**	724.2	70	81	80	SSW 1	SSW 0	SSW 0	10	10●	7	**28.5**	● 9-p
22	15.0	19.0	13.1	15.7	−2.2	725.6	725.9	729.-	68	54	82	SSW 1	SSW 1	ESE 0	5	3	6	0.0	● tr 19
23	**11.3**	18.6	15.2	15.0	−2.8	731.9	732.7	731.2	96	46	93	ENE 1	NNE 1	E 0	1	1	0	.	
24	12.6	25.0	21.8	19.8	2.1	730.9	728.5	727.8	81	**40**	72	E 0	S 1	S 1	0	2	10	1.6	● n (24./25.)
25	18.8	21.4	16.6	18.9	1.3	728.7	728.2	728.1	73	63	64	S 1	SW 2	S 2	9	7	9	.	
26	13.0	19.6	18.0	16.9	−0.6	726.7	725.8	726.0	90	60	78	ESE 0	NNE 1	NNE 1	10	4	6	.	
27	14.0	21.4	16.0	17.1	−0.3	727.9	728.3	730.-	92	44	75	NNE 1	ENE 1	ENE 1	2	3	2	.	
28	13.6	20.5	14.0	16.0	−1.3	731.1	731.4	731.4	94	53	78	E 0	NNE 1	E 0	0	1	1	.	
29	14.2	20.0	17.0	17.1	−0.1	732.7	731.4	731.0	86	55	74	E 0	NNE 1	E 0	1	0	0	.	
30	13.8	25.0	19.0	19.3	2.2	732.0	731.3	732.1	93	45	90	E 0	NNE 1	NNE 1	0	0	0	.	
31	15.0	23.4	20.0	19.5	2.5	733.9	732.9	733.2	85	66	85	E 0	NNE 1	E 0	1	0	0	0.0	
																		Summe	
Mittel	16.8	23.4	19.1	19.8	—	729.9	729.0	729.3	84	58	80				3.2	3.0	3.6	57.3	

$\lambda = 8°\ 34'$, $\beta = 47°\ 23'$,
$H_b = 569.4$ m, $G = 0.03$ mm

Zürich

August 1953
Beobachter: *Meteorol. Zentralanstalt*

Tag	Lufttemperatur 7³⁰	13³⁰	21³⁰	Mittel	Abweich. vom Normalst	Luftdruck 7³⁰	13³⁰	21³⁰	Relative Feuchtigkeit 7³⁰	13³⁰	21³⁰	Windrichtung und Stärke 7³⁰	13³⁰	21³⁰	Bewölkung 7³⁰	13³⁰	21³⁰	Niederschlag	Witterung
1	14.1	17.1	15.6	15.6	−1.8	712.9	713.6	713.3	94	74	77	WSW 1	SSW 1	WNW 1	9	9	9	0.1	● 1–6¾, ⸗ 0–5
2	15.0	19.3	15.2	16.5	−0.9	713.5	712.6	712.5	77	60	94	SSW 1	W 1	E 0	9	9	10	2.9	● 14½–14¾, 21¾–22¾
3	12.5	14 8	12.1	13.1	−4.3	712.9	714.0	716.6	95	77	95	NNW 1	NNW 1	NNE 1	10●	10	10●	5.3	● 1¾–2, 5–10, 13¾–14½, 16½–
4	11 3	19.8	13.1	14.7	−2.6	718.5	719.4	720.1	84	44	78	E 1	NNE 1	N 1	1	3	1	.	[17, 19¾–23¾
5	12.8	22.5	18.1	17.8	0.5	**720.9**	719.7	719.6	85	41	74	SSE 1	WSW 1	SW 1	3	3	9	0.0	⊿ I
6	17.3	18.8	15.2	17.1	−0.1	718.2	718.4	718.4	82	86	96	WSW 2	NW 1	NNW 1	9	10	10●	5.2	● 12–12¾, 14½–15¾, 17¾–
7	15.6	21.1	14.9	17.2	0.0	717.3	717.1	716.1	90	60	75	NE 1	SSE 1	NNE 1	9	3	0	.	[17½, 21½–24
8	11.6	22.4	16.8	16.9	−0.2	714.6	713.8	712.7	87	46	84	NE 1	NNE 1	NNE 1	1	5	10	.	⊿ I
9	12.9	20.5	16.8	16.7	−0.4	713.0	713.2	713.9	83	59	63	ENE 1	**NNE 1**	NE 1	10	3	3	.	⊿ I
10	14.6	24.7	18.7	19.3	2.3	715.0	715.1	716.0	77	52	78	ENE 1	N 1	NNE 1	0	1	0	.	⊿ I
11	16.6	27.6	20.1	21.4	4.5	717.4	716.9	716.8	89	46	59	WNW 0	NNE 1	NE 1	6	1	0	.	⊿ I
12	17.9	28.4	20.7	22.3	5.4	717.0	715.9	715.4	80	48	70	SW 0	ENE 1	N 1	0	2	0	.	⊿ I
13	19.3	29 5	21.5	23.4	6.6	716.9	715.8	715.6	91	43	71	W 1	WNW 1	NE 1	1	1	0	.	⊿ I
14	21.1	28.8	22.2	24.0	7.3	715.7	714.5	714.1	80	55	57	NNE 1	N 1	SE 1	3	3	10	.	⊿ I
15	18.9	25.4	19.6	21.3	4.7	713.4	712.8	711.8	80	54	79	SSE 1	W 1	N 1	7	5	2	2.2	⊿ I
16	16.6	17.3	16.8	16.9	0.4	714.3	714.9	716.6	97	95	92	SSW 1	S 1	N 1	10●	10●	10●	11.3	● 5¾–7½, 9¾–13¾, 21¾–24
17	15.1	22.7	16.6	18.1	1.7	716.7	716.3	715.0	95	53	80	NE 1	NNE 1	N 1	8	4	0	.	
18	14.7	22.1	18.8	18.5	2.2	714.9	715.0	716.4	91	57	65	S 0	W 1	W 1	1	7	3	.	⊿ I
19	16.0	24.9	16.8	19.2	3.0	717.8	716.9	715.6	82	**40**	65	ENE 1	NW 1	N 1	1	2	1	.	⊿ I
20	14.8	25.2	18.4	19.5	3.4	714.7	713.0	711.6	90	43	80	ENE 1	SW 1	S 1	1	4	1	0.5	⊿ I
21	17.4	18.7	13.7	16.6	0.6	708.4	**708.9**	709.6	84	75	82	SW 1	SW 1	W 1	10●	10●	10	10.4	● 6¾–7½, 8¾–9¼, 13¼–20¼, ⸗ 15½
22	11.3	16.5	12.0	13.3	−2.7	710.2	709 9	712 9	85	59	70	SW 1	SW 1	SW 1	10●	6	7	5.6	●tr 7½, 11¼–12, 14–18¼ mU, ⊼ ▲
23	12.4	18.8	12.0	14.4	−1.5	716.5	717.4	717.0	70	47	82	SSW 1	W 1	N 1	6	4	1	.	[14–14¼, ⸗ 12
24	12.5	23.6	17.4	17.8	2.0	716.4	714.2	713.0	85	42	67	S 1	WSW 1	SW 1	1	2	8	3.1	⊿ I
25	13.2	17.8	15.0	15.3	−0.4	714.5	714.5	713.5	96	68	65	W 1	S 1	W 1	10●	9	10	2.2	● 5–8¼
26	13.1	20.9	14.3	16.1	0.5	712.7	711.9	711.9	81	50	74	N 1	WSW 1	N 1	9	8	10	.	
27	13.3	17.9	12.8	14.7	−0.8	713.5	714.5	716.1	80	56	84	NNW 1	NNE 1	N 1	9	8	10	.	⊿ I
28	11.7	20.4	12.7	14.9	−0.5	717.6	717.6	717.2	88	45	75	NE 1	NE 2	N 0	1	4	0	.	⊿ I
29	11.9	22.2	16.8	17.0	1.6	717.0	716.7	716.4	92	44	75	SE 1	SW 1	E 0	5	7	9	.	⊿ I
30	14.4	25.1	18.5	19.3	4.0	717.2	716.9	717.3	81	**40**	70	S 1	SSE 1	**S** 1	0	2	0	.	
31	15.7	27.0	18.5	20.4	5.2	718.8	719.4	719.4	88	44	60	SSE 1	WSW 1	N 1	0	0	0	.	⊿ I
Mittel	14.7	22.0	16.5	17.7	—	715.4	715.1	715.2	86	55	75				5.2	5.0	5.0	Summe 48.8	

$\lambda = 6°\ 32'$, $\beta = 46°\ 51'$
$H_b = 1589$ m, $G = -0{,}13$ mm

Chasseron

August 1953
Beobachter: *Ch. H. Martin*

Tag																			
1	9.1	9.6	8.0	8.9	—	631.7	632.1	632.0	100	87	100	NNW 3	WNW 3	WNW 2	10●≡	6	9	3.0	● n–9, ☽ 9–11, ⛆ 18–18½,*)
2	8.0	10.6	8.2	8.9	—	631.5	631.7	631.1	100	94	100	NW 2	WNW 3	N 1	10≡	9	10≡	13.6	● 18–n mU, ≡ n–10¾, *)
3	5.2	7.0	6.1	6.1	—	630.9	632.2	633.7	100	96	100	NE 2	ENE 1	NE 2	10☽≡	9	10●≡	3.2	☽ n–8, ● 15–n mU, ≡ n–9,
4	4.5	8.8	7.4	6.9	—	635.3	636.7	637.5	100	71	80	NE 3	NE 2	NE 2	2	4	2	.	⸗ I [9–12 mU, 15–n
5	9 4	13.6	10.2	11.1	—	638.0	638.8	638.5	53	75	100	NNE 2	NNW 2	NW 2	2	7	9	1.2	● n (5./6.)
6	10.4	11.4	10.3	10.7	—	637.5	637.6	637.1	100	100	100	NW 3	NW 2	NNW 2	10☽≡	9☽	10☽≡	2.3	☽ n–8½, 13–13¾ mU, 19–n mU, *)
7	8.3	11.0	9.6	9.6	—	635.2	635.4	634.1	100	100	90	N 1	WSW 1	E 3	10≡	9	1	.	≡ n–10, 10–14 mU, ⸗ III
8	10.4	16.0	12.6	13.0	—	632.5	632.8	632.2	100	80	95	SE 3	SE 1	E 1	2	4	9	.	⸗ I
9	10.0	15.2	10.4	11.9	—	631.5	632.3	632.9	100	79	90	NE 1	NE 1	ESE 2	10☽≡	5	2	0.0	☽ 7–7½, ≡ 7–8
10	12.9	17.2	14.1	14.7	—	633 8	635.1	635.9	80	70	90	SE 0	NW 2	ESE 1	1	2	2	.	
11	14 4	17.8	16.2	16.1	—	636.5	637.3	637.0	91	90	40	SE 0	ESE 4	ESE 1	2	2	2	.	⸗ II
12	15.8	18.6	17.0	17.1	—	637.0	636.7	636.4	74	70	75	W 1	SE 1	WSW 1	2	4	3	.	
13	16.0	20 0	15.3	17.1	—	636.6	637.0	636.7	69	85	77	W 3	SSE 0	**NNE** 2	2	1	6	0.9	⊼ ⛆ 18–19, ⸗ I
14	16.0	17.8	16.0	16.6	—	636.0	635.5	635.0	89	95	90	E 2	SE 1	SE 2	5	5	7	0.0	⛆ 13–13¾, 16
15	17.1	16.6	16.0	16.6	—	633.2	633.7	633.0	70	77	66	NE 1	SE 1	SW 2	2	5	7	**14.5**	⛆ 13¾–14½ mU, ● n (15./16.)
16	10.4	10.6	9.2	10.1	—	632.9	634.0	635.2	100	100	98	SW 4	NW 4	N 2	10●≡	10●≡	6	3.2	● n–16½ mU, ≡ n–17, ⸗ n-p
17	8.4	12.0	11.2	10.5	—	635 0	635.1	634.7	100	94	70	ESE 1	SE 1	ESE 2	10≡	5	2	.	≡ n–9
18	10.6	13.6	10.2	11.5	—	633.7	634.5	635.4	50	95	100	W 4	NW 2	NW 3	5	6	5	.	⸗ n–n, ⸗ I
19	11.4	14 4	11.6	12.5	—	636.3	636.4	635.8	74	65	96	NNE 1	NE 1	**NNE** 1	1	2	1	.	
20	12.4	15.6	14.0	14.0	—	633.9	633.7	632.5	90	80	80	W 2	S 1	WSW 3	1	5	6	1.4	⊼ ⛆ 23–23¾, ⸗ III
21	10 6	9.8	5.7	8 7	—	628.2	**627.2**	628.6	100	100	100	WSW 3	W 4	W 4	10	10≡	10≡	13.3	⊼ ⛆ 4½–4¾, ⛆ 11–16 mU,*)
22	3 0	5.0	3.2	3 7	—	627.7	628.6	629.8	100	90	100	NW 4	NW 4	NW 3	10●≡	5	10≡	5.6	⛆ 7–7½, 10–11, n (22./23.) *)
23	4.0	10.4	8.0	7.5	—	633.4	635.0	635.0	100	70	90	NW 2	W 1	SSE 1	5	6	1	.	
24	13 0	16.2	12.4	13.9	—	634.4	634.1	633.6	30	60	85	WSW 2	WSW 2	WNW 4	2	2	8	5.3	● n (24./25.), ⸗ III
25	6 8	8.1	5.2	6.7	—	631.7	632.8	632.0	100	70	98	NW 4	W 2	WNW 1	10≡	8	9	.	≡ n–9, ⸗ I
26	6.2	9 0	6.6	7.3	—	630.5	630.5	630.6	100	97	99	SE 1	ESE 1	N 1	10≡	9	8	.	≡ 3–8½
27	5.4	10.0	6.2	7.2	—	631.1	632.7	634.0	98	85	100	NE 2	N 1	N 2	4	5	5	.	
28	5.8	11.0	7.8	8.2	—	634.5	635.4	635.6	97	80	92	E 2	NE 0	NE 2	1	4	1	.	
29	9.8	15.0	11.2	12.0	—	635.2	636.0	636.0	45	46	51	NE 1	NW 2	NW 3	6	2	1	.	
30	12.3	18.0	15.2	15.2	—	636.1	636.9	637.3	66	65	51	SW 2	WNW 1	W 2	1	1	2	.	
31	15.4	18.0	14.8	16.1	—	638.0	**639.3**	**639.3**	51	51	70	SW 3	NW 2	NW 2	1	1	1	.	⸗ I
Mittel	10.1	13.2	10.6	11.3	—	633.8	634.4	634.5	85	81	86				5.4	5.2	5.3	Summe 67.5	

*) **1.** ≡ n–11, ⸗ n–n mU **2.** 18–n, ⸗ II **6.** ⛆ 14–19 mU, ≡ n–11, 14–n mU, ⸗ I **21.** ☽ 16–18, ≡ 11½–n, ⸗ n–n **22.** ≡ n-9, 19-n, ⸗ n-n

August 1953
Beobachter: *B. Minsch und C. Clavuot*

Bever

$\lambda = 9° 53'$, $\beta = 46° 33'$,
$H_b = 1711.8$ m, $G = -0.23$ mm

Tag	Lufttemperatur 7³⁰	13³⁰	21³⁰	Mittel	Abweich. vom Normalst	Luftdruck 7³⁰	13³⁰	21³⁰	Relative Feuchtigkeit 7³⁰	13³⁰	21³⁰	Windrichtung und Stärke 7³⁰	13³⁰	21³⁰	Bewölkung 7³⁰	13³⁰	21³⁰	Niederschlag	Witterung
1	11.1	16.2	12.8	13 4	1.8	621.5	622.4	622.8	86	46	65	SE o	NW 1	NE o	7	6	10	.	
2	10.4	13.2	10.8	11.5	0.0	622.4	622.4	622.2	89	54	84	SE o	NW 1	NW o	8	10	10●	15.6	● p–n mU
3	8.2	10 3	7.9	8.8	−2.7	621.3	621.5	624.6	94	73	78	N o	NW 2	N 2	8●	10	10	3.8	● n–a
4	6.2	11.4	7.2	8.3	−3.1	625.8	626.4	628.6	92	51	67	NE 1	SW 1	W o	9	9	4	.	
5	3.2	18.2	10.4	10.6	−0.8	629.4	627.9	628.9	94	33	64	SW o	NW 1	NE o	o	5	o	.	⌊
6	13.0	16.8	12.6	14.1	2.7	627.1	627.3	626.8	71	53	58	W 1	W 2	NE o	10●	8	10	0.3	● n–8½ mU
7	10.8	15.8	8.4	11.7	0.4	625.3	625.1	626.2	89	47	68	NE 1	NW 1	NE o	10	6	o	.	
8	4.0	19.1	9.9	11.0	−0.3	625.6	624.6	624.4	92	43	85	S o	SW 2	SW o	o	o	1	.	
9	11.0	13 9	10.6	11.8	0.6	623.5	623.8	625.5	92	65	89	SW o	SW o	W o	7	10	9	2.3	● 19½-n mU
10	10.2	18.8	11.0	13.3	2.1	626.0	626.1	628.1	96	44	92	E o	SW 1	SW o	6	2	2	.	
11	10.6	22.3	12.1	15 0	3.9	628.5	627.6	629.3	92	40	91	**SW** o	SW 2	SW o	8	2	2	.	≡ a mU
12	14 6	22.8	15.2	17.5	6.4	628.6	627.4	628.4	73	42	93	SW o	**SW** 2	SW o	1	2	8	.	
13	12.5	**22.9**	14.8	16.7	5.7	628.9	628.2	627.9	93	43	71	SW o	SW 1	SW o	2	5	2	.	
14	9.4	21.0	12.7	14.4	3.5	628.3	625.6	627.1	94	39	94	SW o	W 1	SW o	o	6	10	2.7	⛆ 16½–17¾, ● 20½–n mU, ⌊
15	13.8	16.8	11.6	14.1	3.2	625.4	624.8	625.5	73	58	97	SW o	NW 2	SW o	5	8	10	.	
16	13.5	13.0	11.4	12.6	1.8	625.6	625.2	626.2	80	86	91	SW 1	NW o	NE o	8	10	10	.	
17	13.8	16.1	11.1	13.7	3 0	625.6	625.6	625.9	92	78	86	SW o	SW o	W o	5	4	2	.	
18	11.8	18.2	13.2	14.4	3.7	625.8	624.5	626.3	76	42	76	**S** o	SW 1	NE o	1	8	5	.	
19	12.8	20.1	11.4	14.8	4.2	627.5	626.0	626.9	73	35	84	S o	SW 1	W o	1	4	1	.	
20	8.7	19.2	10.2	12.7	2.2	626.2	624.6	624.6	94	40	81	SW o	SW 1	SW o	1	2	2	.	
21	9.7	12.6	10.4	10.9	0.5	622.1	621.2	618.9	97	96	98	SW o	NE o	S o	8	10●	10●	**30.6**	● 10½-n mU
22	6.2	9.8	4.2	6.7	−3.7	**617 8**	617.8	621.3	77	57	77	W 1	W 2	SW o	10	6	10●	2.5	● p–n mU
23	6.5	10.8	1.2	6.2	−4.1	624.1	625.1	626.9	66	46	84	SE o	NW 1	SE o	7	3	o	.	
24	**0.3**	19.4	9.6	9.8	−0.4	626.9	624.9	625.2	93	35	75	S o	SW 1	SW o	o	1	3	.	⌊
25	6.1	15.8	10.4	10.8	0.7	623.5	622.2	622.9	97	53	87	S o	**SW** 1	SW o	4	9	8	1.8	● n (25./26.), ⌊
26	9 2	8.9	8.2	8.8	−1.2	621.4	622.1	621.7	98	81	94	SE o	NE o	E o	10●	10	10	10.8	● n–n mU
27	7.8	10 4	7.4	8.5	−1.4	621.4	622.2	624.5	98	65	82	NE o	W 2	NE 2	10	9	9	.	
28	4 2	13.2	5.7	7.7	−2.1	625.3	624.4	626.8	99	39	67	S o	SW 1	NE o	1	3	o	.	⌊
29	2.3	15.2	7.8	8.4	−1.3	626.5	625.7	627.2	94	31	75	SW o	W o	W o	9	2	3	.	⌊
30	4.8	21.3	9.4	11.8	2.2	627.8	627.1	629.2	93	37	90	**S** o	SW 1	**W** o	o	1	o	.	
31	5.4	21.8	7.4	11.5	2.0	630.5	629.6	**630.9**	99	**26**	87	SW o	W 1	SW o	o	o	o	.	≡ n-a mU
																		Summe	
Mittel	8.8	16.3	9.9	11.7	—	625.3	624.8	625.9	89	51	82				5.0	5.5	5.2	70.4	

August 1953
Beobachter: *Couvent des Capucins*

Sion

$\lambda = 7° 21'$, $\beta = 46° 14'$,
$H_b = 548.6$ m, $G = -0.11$ mm.

1	17.5	24.4	16.4	19.4	0.1	715.8	714.1	716.0	82	46	90	SW o	WSW 2	WSW 1	9	2	10	1.8	● o–2, 3–6¾, 19½–20¾
2	17.3	19.7	18.8	18.6	−0.6	715.2	714.4	714.0	90	76	76	WSW o	W 2	W o	8	10	10	5.2	● 21½–24
3	16.3	19.8	16.2	17.4	−1.8	714.3	714.1	716.6	88	60	64	W 1	WSW 2	W o	10	7	6	.	● o–1½
4	13.8	22.8	17.4	18.0	−1.1	719.5	718.6	720.7	78	45	55	W o	SW 1	W o	1	2	o	.	
5	13.3	23.3	19.2	18.6	−0.5	**723.3**	720.8	720.9	74	48	61	WNW 1	NNW 1	W o	2	2	o	.	
6	17.7	25.9	21.3	21.6	2.6	721.3	718.5	718.6	70	48	60	W o	WSW 2	W 1	2	3	5	.	
7	18.2	24.7	19.5	20.8	1.8	718.1	715.9	716.4	76	53	67	W o	WSW 2	W 1	1	o	o	.	
8	16.9	24.6	21.6	21.0	2.1	716.6	714.2	713.9	75	56	62	NE o	WSW 2	WSW 1	o	5	8	**9.8**	● 21¾–24. ⛆ 21¾
9	16.8	24.5	18.2	19.8	1.0	715.0	714.0	715.8	89	54	85	**W** o	**W** 1	W o	9	7	5	0.1	● o–o½, ●tr 15
10	16.3	25.8	20.6	20.9	2.1	717.6	716.3	717.6	76	44	66	W o	**WSW** 2	W 1	1	2	4	.	
11	18.3	26.9	21.8	22.3	3.6	719.8	717.9	718.5	69	48	65	WSW o	WSW 2	ENE 1	2	2	o	.	
12	18.7	27.3	22.5	22.8	4.2	719.8	717.0	717.6	72	49	61	ENE 1	SSW 2	ENE 2	o	2	2	.	
13	19.7	28.2	23.1	23.7	5.1	719.7	717.1	717.3	71	50	60	ENE o	WSW 2	**W** 1	1	2	o	.	
14	19.6	**28.6**	17.3	21.8	3.3	718.1	715.6	717.6	73	50	99	WSW o	WSW 2	NE o	6	4	1	5.2	● 16¼–18¾, (⛆) 15¾, ◠ 19
15	16.4	27.0	21.8	21.7	3.3	717.1	714.3	715.0	87	48	59	NE o	**WSW** 2	WSW 1	o	3	10	.	
16	19.0	24.8	18.0	20.6	2.3	716.4	715.9	718.1	83	57	99	W o	**W** 1	WSW o	10	6	9	1.6	● 7¾–8½, 15½–16, ●tr 18, [19¼–19½
17	17.6	24.6	18.2	20.1	1.8	718.5	717.2	717.0	95	54	71	WNW o	SW 2	WSW o	9	2	o	.	
18	16.4	24.5	18.0	19.6	1.4	717.6	716.1	718.0	80	53	68	W o	WSW 1	WSW o	o	5	o	.	
19	17.1	25.4	20.4	21.0	2.9	720.2	717.2	717.6	71	45	55	NE 1	WSW 2	WSW o	1	1	o	.	
20	17.0	25.8	20.3	21.0	3.0	717.5	714.7	714.5	74	51	54	NE o	WSW 2	WSW o	o	1	6	0.3	⛉ III
21	16.7	17.5	16.8	17.0	−1.0	712.8	712.5	**712.2**	87	95	75	NE o	ENE 1	WSW 1	10	10	8	9.0	●tr 4¾, 6½–7. 11½–14¼ mU, 15¼–19¾
22	15.3	20.1	14.1	16.5	−1.4	712.8	712.4	715.7	70	**37**	65	W 1	WSW 2	NE o	5	5	10	0.3	●tr 19¾, 21–21½, ⛈ 18–19
23	14.1	20.3	13.8	16.1	−1.7	718.6	718.0	719.3	65	44	68	NE o	WSW 1	**W** 1	o	o	o	.	
24	12.5	22.9	17.5	17.6	−0.1	719.4	716.1	715.8	71	41	66	ENE 1	ENE 1	WSW o	o	o	4	0.2	
25	16.8	23.0	12.4	17.4	−0.2	716.3	714.5	714.9	89	55	64	WSW o	WSW 2	W o	8	8	9	0.1	● 4½–5, 7¼
26	15.6	20.8	17.2	17.9	0.3	714.5	712.9	714.1	82	57	63	WSW o	WSW 2	WSW o	10	7	9	.	
27	15.3	22.5	16.7	18.2	0.7	715.1	714.3	716.9	80	46	58	WSW o	W 2	WSW o	5	3	2	.	
28	12.8	21.1	16.3	16.7	−0.7	719.3	717.4	718.5	72	48	60	NE 1	**WSW** 2	W o	1	o	o	.	
29	**12.3**	22.6	17.0	17.3	0.0	720.0	717.9	718.7	75	50	53	NE o	ENE 1	WSW o	3	1	o	.	
30	13.7	24.6	19.0	19.1	1.9	720.6	718.4	720.0	69	44	57	ENE o	ENE 1	NNE 1	o	o	o	.	
31	15.8	26.0	20.8	20.9	3.8	722.4	720.6	720.9	78	44	52	ENE o	SW 1	NNE 1	o	o	o	.	
																		Summe	
Mittel	16.3	23.9	18.5	19.5	—	717.8	716.1	717.1	78	51	66				3.7	3.3	3.8	33.6	

$\lambda = 8°\,57'$, $\beta = 46°\,0'$,
$H_b = 276.2$ m, $G = -0.01$ mm.

Lugano

August 1953
Beobachter: *G. Vicari*

Tag	Lufttemperatur					Luftdruck			Relative Feuchtigkeit			Windrichtung und Stärke						Bewölkung			Niederschlag	Witterung
	7^{30}	13^{30}	21^{30}	Mittel	Abweich. vom Normalst	7^{30}	13^{30}	21^{30}	7^{30}	13^{30}	21^{30}	7^{30}		13^{30}		21^{30}		7^{30}	13^{30}	21^{30}		
1	16.4	27.8	21.2	21.8	0.4	736.1	734.8	734.7	79	50	72	N	1	SSE	1	N	1	1	0	6	0.0	●tr 22
2	19.8	26.2	21.6	22.5	1.1	736.5	735.4	734.3	78	66	83	N	1	S	1	NNW	1	5	9	10	20.7	● n (2./3.)
3	16.8	21.4	20.2	19.5	−1.8	734.4	734.5	736.9	91	73	41	N	1	S	1	N	1	4	8	6	.	
4	16.0	26.2	18.6	20.3	−1.0	739.6	740.4	743.3	73	51	77	NW	1	S	1	N	1	0	0	1	.	
5	15.2	24.8	18.4	19.5	−1.7	744.9	743.2	742.7	72	54	82	N	1	S	1	N	1	0	3	2	.	
6	17.8	29.2	25.2	24.1	2.9	740.4	737.9	738.1	83	55	38	N	1	SSE	1	NNE	2	6	1	0	.	
7	19.0	26.8	20.8	22.2	1.1	739.6	738.5	739.6	82	58	81	N	1	S	1	N	1	0	1	7	.	
8	19.8	26.4	20.4	22.2	1.2	740.2	739.4	738.3	79	55	73	N	1	S	1	N	1	10	1	10	0.6	◑ n (8./9.)
9	18.2	18.4	18.2	18.3	−2.7	738.7	739.7	740.1	96	94	91	N	1	SSE	1	W	1	10◑	10●	10	3.8	◑ 7½–10½, ● 10½–16½
10	17.2	27.4	21.2	21.9	1.0	741.2	741.1	742.1	83	53	74	N	1	S	1	N	1	0	1	0	.	
11	18.6	28.4	21.8	22.9	2.1	743.3	742.2	742.5	84	57	72	N	1	S	1	N	1	0	0	0	.	
12	19.4	29.2	22.6	23.7	2.9	743.3	741.6	741.9	86	56	81	N	1	S	1	N	1	5	0	2	.	
13	20.8	29.8	24.2	24.9	4.2	742.4	740.1	740.3	89	58	78	N	1	S	1	N	1	6	1	0	.	
14	22.6	29.0	21.8	24.5	3.9	740.8	739.1	740.3	85	62	59	N	1	S	1	W	1	9	8	9	1.3	☄ 19, ● n (14./15.)
15	20.0	28.2	22.2	23.5	3.0	739.8	738.9	738.5	76	48	75	W	1	S	1	N	1	6	1	6	0.0	●tr 23
16	20.2	25.8	21.4	22.5	2.0	738.6	738.1	738.7	83	66	79	N	1	S	1	WSW	1	5	9	10●	1.8	☇ 21, ● 21–22
17	18.0	29.2	21.8	23.0	2.6	739.9	739.1	740.2	78	54	81	N	1	S	1	N	1	1	0	0	.	
18	20.6	28.8	21.4	23.6	3.3	740.4	739.1	739.5	77	49	74	N	1	S	1	N	1	5	1	0	.	
19	17.6	29.6	21.8	23.0	2.8	741.4	740.9	741.0	74	53	76	N	1	S	1	N	1	0	1	0	.	
20	18.8	29.0	21.2	23.0	2.9	740.8	738.9	737.8	82	53	73	N	1	S	1	N	1	0	2	9	.	
21	20.2	21.6	16.8	19.5	−0.6	736.2	733.9	732.3	83	78	96	NNE	1	E	1	NNE	1	9	10●	10●	78.9	● 13¾–17, ☇ 15, 20, ● 20–22
22	15.8	26.6	18.4	20.3	0.3	**730.2**	**730.2**	733.8	81	**31**	34	N	1	NNE	2	NNE	2	0	0	0	.	
23	13.6	26.6	16.4	18.9	−1.0	739.4	739.6	741.4	54	33	64	N	1	N	1	N	1	0	0	0	.	
24	13.8	25.4	17.2	18.8	−1.0	742.6	741.0	740.1	74	48	74	N	1	S	1	N	1	0	0	2	.	
25	15.8	25.2	18.8	19.9	0.2	738.3	736.8	737.0	81	55	74	N	1	S	1	N	1	3	6	8	2.4	● n (25./26.), ☋ 21½
26	16.8	20.4	18.0	18.4	−1.2	736.6	736.2	735.2	96	62	83	NNW	1	ENE	1	N	1	10●	10	10	2.9	● 5½–11½
27	15.6	25.8	21.2	20.9	1.4	735.1	734.8	737.6	79	55	36	N	1	S	1	N	1	1	0	0	.	
28	13.8	25.6	18.4	19.3	−0.1	739.5	739.0	741.1	83	51	79	N	1	S	1	N	1	0	0	0	.	
29	**13.4**	26.0	18.2	19.2	−0.1	742.0	741.3	741.7	76	53	78	N	1	S	1	N	1	1	0	0	.	
30	15.4	26.2	18.8	20.1	0.9	743.3	743.0	744.1	85	56	79	N	1	S	1	WNW	1	0	0	0	.	
31	16.2	28.4	20.4	21.7	2.6	**745.1**	744.4	744.1	82	55	81	N	1	E	1	NNW	1	0	0	0	.	
																					Summe	
Mittel	17.5	26.4	20.3	21.4	—	739.7	738.8	739.3	81	56	72							3.1	2.7	3.8	112.4	

$\lambda = 7°\,35'$, $\beta = 47°\,33'$,
$H_b = 317.3$ m, $G = 0.11$ mm.

Basel

August 1953
Beobachter: *Astronom.-Meteorol. Anstalt*

1	16.4	20.8	15.0	17.4	−0.7	734.7	735.5	735.3	81	69	90	WSW	2	WNW	2	W	0	10	3	8	0.0	● 0–0¾, 3–4, ●tr 14¾–15
2	14.2	22.3	16.7	17.7	−0.3	735.3	734.4	734.4	90	56	80	E	1	WNW	1	WNW	1	5	10	10	2.2	
3	13.0	20.4	12.8	15.4	−2.6	735.4	735.8	738.5	94	61	89	W	1	SW	1	E	1	10●	9	8	.	● 0–6¾ mU, 7½
4	12.5	21.3	13.2	15.7	−2.2	740.9	741.4	**742.0**	86	49	83	S	0	NW	1	SW	1	0	4	0	.	⊿ l
5	13.2	25.3	18.7	19.1	1.3	741.8	741.3	741.4	80	52	77	E	1	WNW	1	W	2	7	2	6	0.0	⊿ l
6	18.5	18.9	16.4	17.9	0.1	740.2	740.4	740.5	85	87	91	WNW	1	NW	0	SW	0	10	10●	10	0.8	●tr fr, 10¾–11, 13½
7	15.7	23.1	14.3	17.7	0.0	739.4	738.9	738.0	92	49	71	WNW	1	WNW	1	W	1	10	1	0	.	
8	12.4	24.0	16.9	17.8	0.2	736.4	735.1	734.4	85	47	76	NW	0	NW	1	NW	1	0	5	0	.	⊿ l, ⊕ III
9	14.2	23.2	16.9	18.1	0.5	734.8	734.8	735.4	83	53	74	SW	0	NNE	1	SE	0	10	1	0	.	⊕ 8
10	14.6	26.8	17.4	19.6	2.1	736.6	736.6	737.5	77	45	84	ENE	0	NW	1	S	0	0	0	0	.	⊿ l
11	16.2	30.0	18.0	21.4	4.0	738.8	738.0	737.9	84	36	85	SE	1	NE	1	SW	0	7	0	0	.	⊿ l
12	18.6	31.3	20.2	23.4	6.1	738.3	736.8	736.4	75	38	76	E	1	SW	1	E	1	0	5	5	.	⊿ l
13	19.9	30.9	23.2	24.7	7.4	737.5	737.0	736.9	77	48	57	ESE	1	WNW	1	SW	1	1	1	1	.	
14	21.4	**32.1**	23.0	25.5	8.3	737.0	735.3	735.0	84	42	77	SE	0	NE	1	ENE	1	0	1	2	.	⊿ l
15	20.7	30.0	19.1	23.3	6.2	734.6	733.6	733.0	72	42	83	SE	1	ENE	1	E	1	1	7	0	0.2	
16	18.4	20.2	16.8	18.5	1.5	735.2	736.4	738.1	90	89	87	SE	0	SW	1	SW	0	10●	10	10	9.9	● 7–10½, ☄ 12¾–13¾ mU, 16¾, 19, [20–20¾, ☇ 2, ☄ 3¾
17	15.6	24.4	16.7	18.9	1.9	738.9	737.9	736.8	93	53	76	SW	0	NNE	1	SW	1	10	2	0	.	
18	16.0	25.6	17.0	19.5	2.6	736.4	736.4	738.0	84	45	82	ESE	0	WNW	2	S	1	4	2	1	.	⊿ l
19	16.1	28.1	17.4	20.5	3.7	739.5	738.3	737.5	75	**35**	69	E	1	S	1	S	1	0	1	1	.	
20	16.2	28.4	18.9	21.2	4.5	736.2	734.4	733.2	77	40	86	E	1	WNW	1	S	1	1	7	1	0.6	
21	17.1	17.4	14.0	16.2	−0.4	730.1	**729.2**	731.3	91	87	90	E	1	W	1	WSW	2	10	10●	8	6.9	● 4–4¾, 5¾–6, 10–11¾, 13½–18½,
22	13.2	19.0	**11.6**	14.6	−1.9	732.0	732.1	734.8	78	48	76	WSW	1	WNW	2	SW	1	6	5	5	0.3	●tr 19, ☄ 11½ [☄ 23½–23¾, ☄ 14
23	14.6	20.9	12.1	15.9	−0.6	738.7	739.4	738.6	75	44	87	SE	1	WNW	1	SE	1	0	3	1	.	● 0½–1
24	12.6	26.3	17.1	18.6	2.2	737.8	735.0	734.8	78	45	85	ESE	1	ESE	1	S	1	1	4	7	0.5	● 2¼–2½, 5¼–5¾
25	15.9	21.1	14.0	17.0	0.7	736.2	736.0	735.7	80	42	75	W	1	WNW	1	SW	1	8	7	7	.	
26	14.4	23.4	16.7	18.1	1.9	734.8	733.9	733.8	85	43	64	SSW	0	SSE	1	WNW	1	9	5	10	.	
27	13.4	22.1	15.1	16.5	0.4	736.0	736.2	738.2	85	43	65	WSW	1	WNW	1	W	1	9	2	9	.	
28	11.7	22.0	12.6	15.4	0.6	739.8	739.2	739.4	85	46	85	SSE	0	WNW	1	SW	0	2	3	0	.	
29	12.0	24.8	16.6	17.8	1.8	738.4	738.0	738.0	82	42	74	SE	1	WNW	1	S	1	8	7	0	.	
30	14.4	28.0	17.4	19.9	4.0	738.7	738.0	738.6	75	41	88	ESE	1	WNW	1	E	1	0	1	0	.	
31	16.6	29.3	17.9	21.3	5.5	740.4	740.6	740.8	80	39	74	ESE	1	WNW	1	S	1	0	1	0	.	
																					Summe	
Mittel	15.5	24.6	16.6	18.9	—	737.2	736.6	736.9	83	50	80							4.8	4.1	3.4	21.4	

August 1953
Beobachter: *Observatorium*

Säntis

$\lambda = 9° 20'$, $\beta = 47° 15'$,
$H_b = 2500.1$ m, $G = -0.27$ mm.

Tag	Lufttemperatur					Luftdruck			Relative Feuchtigkeit			Windrichtung und Stärke			Bewölkung			Niederschlag	Witterung
	7^{30}	13^{30}	21^{30}	Mittel	Abweich. vom Normalst	7^{30}	13^{30}	21^{30}	7^{30}	13^{30}	21^{30}	7^{30}	13^{30}	21^{30}	7^{30}	13^{30}	21^{30}		
1	4.0	4.5	3.4	4.0	−1.4	563.9	565.7	565.7	100	100	100	W 4	WNW 2	W 2	10●	10≡	10≡	17.7	● n-10, ≡ 10½-n, ⸝ n-9½
2	1.8	4.2	2.6	2.9	−2.5	564.9	565.0	564.9	100	100	100	WNW 2	W 3	W 2	10≡	9	10	5.8	☽ 16½, ● n (2./3.), ≡ n-16½ mU
3	1.0	0.0	0.2	0.4	−5.0	563.8	564.9	567.0	100	100	100	NNE 3	N 2	N 1	10≡	9	10≡	3.5	✳ n-10½ mU, ≡ n-n mU
4	−0.2	1.9	0.5	0.7	−4.6	567.8	569.3	570.7	100	94	80	N 1	N 1	N 1	10≡	8	1	.	≡ n-13½
5	5.7	9.5	5.0	6.7	1.4	571.7	572.0	571.1	22	60	100	NNE 2	N 1	W 3	3	5	10≡	3.4	● n (5./6.), ≡ 21½ n
6	5.3	4.7	4.3	4.8	−0.5	569.1	570.0	569.7	100	100	100	W 4	NW 2	WNW 3	10≡●	10≡●	10≡●	48.8	● ≡ n-n, ⸝ n-10½
7	2.5	5.5	3.2	3.7	−1.6	568.1	568.7	568.4	100	82	97	NW 3	SW 1	SW 2	10≡	8	1	.	≡ n-11¼
8	8.9	11.5	7.9	9.4	4.1	567.4	567.9	567.5	6	44	73	WNW 2	SW 1	NW 2	1	1	2	.	
9	8.5	10.2	7.4	8.7	3.5	566.2	567.1	567.7	55	80	50	SE 2	SE 1	ENE 2	9	7	4	.	≡ 14½
10	10.1	13.4	8.2	10.6	5.4	568.2	569.7	570.7	61	73	81	SE 2	SSW 2	W 2	1	4	1	.	≡ 16½
11	11.3	14.4	10.2	12.0	6.8	571.2	572.2	572.3	62	80	58	WSW 1	SW 2	WSW 1	6	5	1	.	≡ p mU
12	10.7	**15.0**	12.0	12.6	7.4	571.8	571.9	571.9	71	80	62	WNW 2	SSW 2	— 0	1	4	2	.	
13	9.3	12.7	10.8	10.9	5.8	571.9	572.0	571.8	97	88	42	WNW 2	SW 1	NNW 2	9	9	2	.	≡ n-a mU
14	11.1	12.3	9.5	11.0	5.9	571.0	571.0	570.0	74	69	68	ENE 1	NE 1	ESE 2	3	7	10≡●	0.0	● 21½, ≡ 15-n
15	10.0	11.7	9.3	10.3	5.2	568.3	568.7	567.9	53	68	82	NNE 1	W 1	WSW 2	6	6	4	0.4	● ⸜ 17¾-18¾
16	6.5	5.5	5.1	5.7	0.7	567.7	568.0	568.9	70	100	100	SW 2	WSW 3	NW 2	9	10≡●	10≡	22.7	● 11½-n, ≡ 10½-n
17	5.2	10.1	5.9	7.1	2.1	568.5	569.2	568.9	93	78	99	W 2	SW 2	WSW 2	3	8	1	.	≡ n-16½ mU
18	6.7	7.3	6.1	6.7	1.8	568.0	568.5	569.6	80	87	100	WSW 2	W 2	W 2	1	9	10≡●	3.3	● 21-n, ≡ 16½-n
19	4.4	10.4	6.5	7.1	2.2	569.8	570.4	569.9	89	74	99	WSW 2	SSW 2	WSW 2	2	7	2	.	≡ a-p mU
20	7.3	12.8	7.8	9.3	4.5	568.4	568.4	567.2	70	78	65	W 2	SSW 2	WSW 3	1	6	8	.	≡ a-p mU
21	8.4	9.4	1.5	6.4	1.6	564.1	562.8	562.6	66	94	100	SSW 2	SSW 2	WSW 3	9	10≡	10≡●	39.0	● 16½-n, ≡ 12½-n mU
22	−1.5	−1.2	**−1.9**	−1.5	−6.2	**560.3**	561.0	562.6	100	100	100	W 3	WSW 3	WSW 3	10≡*	10≡	10≡	7.0	✳ n-a, ⸜ ✳ 18½, ≡ n-n
23	−1.8	0.1	1.4	−0.1	−4.7	565.2	567.5	568.3	100	90	78	WSW 2	WNW 2	W 3	10≡	6	0	0.7	✳ a, ≡ n-11¾ ⊠
24	6.1	10.9	6.8	7.9	3.3	568.6	568.8	567.6	22	45	71	SSW 2	WSW 2	W 3	1	1	8	.	
25	4.2	2.9	3.5	3.5	−1.0	566.1	566.0	565.8	100	100	100	W 3	W 3	WSW 2	10≡●	10≡	10≡	4.8	● 7-11½ mU, n (25./26.), ≡ n-n
26	2.9	6.1	1.8	3.6	−0.8	564.3	564.2	564.3	100	82	97	WSW 2	SW 2	W 1	10≡	10≡	9	.	≡ n-16
27	0.7	1.0	0.4	0.7	−3.7	564.2	565.5	567.0	100	100	100	N 2	N 2	NE 1	10≡	10≡	10≡	2.5	☽ 8½-11½, ≡ 6¾-17, 18-n
28	−0.2	2.2	1.1	1.0	−3.3	567.1	568.1	568.7	90	96	47	N 1	SW 1	NW 1	6	10≡	1	.	≡ 8½-9½ mU, 10½-16¾ mU
29	2.3	6.5	5.4	4.7	0.5	568.0	569.1	569.4	50	49	53	WSW 2	WSW 2	SW 3	9	5	10	.	
30	5.5	11.0	7.6	8.0	3.9	569.9	571.3	571.8	47	54	72	WSW 3	SW 2	W 3	1	1	1	.	
31	7.6	8.3	7.8	7.9	3.9	572.0	573.3	**573.5**	61	77	85	WSW 3	W 3	WSW 3	1	1	0	.	
																		Summe	
Mittel	5.3	7.6	5.2	6.0	—	567.7	568.3	568.5	76	81	83				6.2	7.0	5.4	159.6	

August 1953
Beobachter: *E. Chiesa*

St. Gotthard (Hospiz)

$\lambda = 8° 34'$, $\beta = 46° 33'$,
$H_b = 2095$ m, $G = -0.25$ mm.

1	7.0	11.8	8.0	8.9	0.4	593.1	594.1	594.0	92	65	80	NW 1	NW 1	NW 1	6	3	9	0.5	≡ ☽ p-n mU
2	6.2	10.6	6.3	7.7	−0.8	593.8	594.0	593.7	100	60	100	NW 1	NW 2	NW 2	10☽≡	9	10≡	3.7	☽ n-a, ≡ n-a mU, p-n
3	5.0	4.4	3.4	4.3	−4.2	592.4	592.4	593.9	100	100	100	NW 2	NW 2	NW 3	10☽≡	10☽≡	10☽≡	1.1	☽ ≡ n-n, ⸝ III
4	2.6	6.5	4.1	4.4	−4.0	594.5	596.8	598.1	100	66	97	NW 2	NW 2	NW 2	10≡	6	10≡	.	≡ n-a, p-n
5	3.9	12.7	7.7	8.1	−0.3	599.2	599.8	599.8	61	12	91	NW 2	NW 2	NW 2	0	3	3	.	⏢ I
6	7.2	9.3	7.8	8.1	−0.3	598.9	598.4	598.4	100	99	100	NW 2	NW 2	NW 2	9	10☽≡	10☽≡	2.5	☽ ≡ a-n
7	6.0	7.6	7.2	6.9	−1.5	597.1	597.3	597.1	100	94	76	NW 2	NW 2	NW 1	10≡	10≡	0	.	≡ n-p
8	7.9	14.9	9.8	10.9	2.6	596.6	596.5	596.1	78	52	100	SE 0	SE 1	SE 1	0	3	6	.	⏢ I
9	9.2	13.2	7.9	10.1	1.8	595.2	595.4	595.7	100	65	90	SE 0	SE 0	NW 1	10≡	10	10●≡	12.2	● 10-10¾, p-n mU, ≡ n-a,
10	7.7	15.2	10.3	11.1	2.8	595.8	596.8	597.9	45	40	78	NW 0	SE 1	SE 1	0	3	10≡	.	≡ 20¾-n [p-n
11	10.2	17.2	12.6	13.3	5.1	598.5	599.2	599.8	45	41	89	SE 0	SE 0	SE 1	0	0	10≡	.	≡ 20-n
12	10.7	**19.7**	12.2	14.2	6.0	599.6	600.1	600.3	92	45	100	SE 0	SE 0	SE 0	0	3	10≡	.	≡ 20¾-n
13	11.4	17.2	11.1	13.2	5.1	600.0	600.1	600.5	70	33	90	NW 1	NW 1	NW 1	0	0	0	.	
14	12.2	17.6	9.5	13.1	5.0	600.2	599.0	600.0	60	43	72	NW 1	NW 1	NW 1	0	3	3	2.2	⛆ 16¾-16½
15	11.2	11.6	10.3	11.0	3.0	599.9	599.6	599.3	58	45	100	NW 0	SE 0	SE 0	9	9	10≡	.	≡ 20-n
16	8.4	12.3	8.4	9.7	1.8	597.8	597.8	596.1	100	64	100	NW 1	NW 1	NW 1	10≡	6	10☽≡	0.8	☽ 18¾-n, ≡ n-a, 18¾-n
17	6.0	12.3	10.2	9.5	1.6	596.4	598.4	598.1	100	40	98	NW 1	NW 1	NW 1	0	0	10≡	.	≡ 20¼-n
18	9.9	15.4	8.8	11.4	3.6	597.5	597.6	597.4	93	47	98	SE 0	SE 0	NW 1	9	9	10≡	.	≡ 18-n
19	6.7	16.6	10.3	11.2	3.5	597.4	599.4	599.6	97	13	100	NW 1	SE 1	SE 0	0	0	10≡	.	≡ 20¼-n
20	9.7	15.6	10.2	11.8	4.2	598.9	598.8	598.7	94	35	100	SE 0	SE 1	SE 1	9	6	10	.	
21	9.4	9.8	6.7	8.6	1.0	597.4	596.3	593.5	93	100	92	SE 1	SE 1	NW 2	10≡	10■≡	10☽≡	14.2	● 8-n, ≡ n-n mU
22	1.6	4.6	**0.0**	2.1	−5.4	590.7	**590.0**	590.5	100	65	100	NW 3	NW 3	NW 3	10≡	6	10≡	2.1	✳ 17-17½, ≡ n-a, p n,
23	0.4	6.1	5.4	4.0	−3.4	592.6	595.1	596.8	100	67	40	NW 2	NW 2	NW 2	9	0	0	.	⸝ n-n ⊠
24	5.0	13.8	8.5	9.3	2.0	596.9	597.3	597.1	25	23	70	NW 0	NW 0	SE 0	0	0	3	.	
25	7.4	8.0	6.1	7.2	0.0	595.8	595.6	594.9	78	85	100	NW 1	NW 2	NW 2	9	10	10≡	.	≡ 15¾-n
26	4.7	8.7	5.1	6.2	−1.0	593.6	593.4	592.9	100	87	100	NW 1	NW 2	NW 1	10■	9	10☽≡	2.3	● n-a mU, ≡ ☽ p-n
27	3.4	5.0	3.4	3.9	−3.2	592.3	592.8	594.3	100	97	100	NW 2	NW 3	NW 2	10☽≡	10☽≡	10☽≡	1.9	≡ ☽ n-n, ⸝ II
28	2.1	7.6	4.8	4.8	−2.2	595.0	595.8	597.0	100	42	98	NW 2	NW 2	NW 2	3	0	0	.	
29	4.2	11.9	7.9	8.0	1.1	596.8	597.4	598.2	40	**0**	54	NW 1	NW 0	NW 0	6	0	0	.	
30	9.0	16.0	9.1	11.4	4.6	598.6	599.2	600.2	50	27	95	NW 0	NW 0	SE 0	0	0	0	.	
31	10.7	16.8	10.7	12.7	6.0	600.5	601.5	**602.2**	56	3	80	NW 0	NW 0	NW 1	0	0	0	.	
																		Summe	
Mittel	7.0	11.9	7.9	8.0	—	596.5	597.0	597.2	82	53	90				5.5	4.8	6.9	43.5	

$\lambda = 7°\,26'$, $\beta = 46°\,57'$,
$H_b = 572.2$ m, $G = 0.00$ mm.

Bern

September 1953
Beobachter: *Meteorol. Observatorium*

Tag	Lufttemperatur 7³⁰	13³⁰	21³⁰	Mittel	Abweich. vom Normalst	Luftdruck 7³⁰	13³⁰	21³⁰	Relative Feuchtigkeit 7³⁰	13³⁰	21³⁰	Windrichtung und Stärke 7³⁰	13³⁰	21³⁰	Bewölkung 7³⁰	13³⁰	21³⁰	Niederschlag	Witterung
1	14.8	26.0	19.2	20.0	4.4	719.1	717.8	717.4	82	40	63	S 0	NW 1	SE 0	1	0	0	.	⊿ I
2	15.1	**27.2**	20.8	21.0	5.5	716.4	714.8	714.4	86	40	55	S 0	NW 1	NW 0	0	1	3	.	⊿ I
3	16.0	24.2	17.9	19.4	4.1	714.9	715.0	716.4	77	49	75	S 0	WNW 2	N 0	3	5	7	.	
4	14.9	21.8	17.5	18.1	2.9	716.1	715.3	715.7	82	57	67	NE 1	NNE 1	NE 1	8	7	2	.	
5	14.0	21.5	17.4	17.6	2.5	717.3	717.4	718.5	76	55	64	NE 1	NNE 1	ENE 1	2	1	0	.	⊿ I
6	12.5	20.4	16.2	16.4	1.5	719.3	719.6	720.3	81	60	67	NE 1	NE 1	NE 1	2	0	0	.	⊿ I
7	10.5	20.0	15.9	15.5	0.7	**722.5**	721.4	720.8	89	62	71	N 0	NE 1	NE 1	0	0	0	.	⊿ I
8	12.0	24.1	19.0	18.4	3.7	721.1	719.2	717.7	100	51	86	S 1	SSW 1	SSW 1	0	0	0	.	⊿ I
9	14.6	25.4	19.8	19.9	5.4	716.3	714.7	712.6	85	**36**	60	S 1	W 1	W 1	4	5	5	.	⊿ I
10	18.4	15.5	11.6	15.2	0.8	709.8	710.2	710.6	61	62	95	W 1	WNW 2	SSW 1	8	10	10●	11.8	● 11½–11¾, 17¾–24
11	9.8	13.7	9.4	11.0	−3.2	711.8	712.6	714.9	91	50	83	E 0	ENE 1	W 0	7	7	2	0.0	● 2¾–3, 9¾–10, 15½–15¾
12	8.9	17.9	12.8	13.2	−0.9	716.2	715.3	715.9	87	48	73	SE 0	WNW 1	SSW 1	9	1	2	.	
13	9.6	17.1	14.2	13.6	−0.3	715.4	714.1	713.2	95	50	48	SE 0	NNE 1	ENE 1	3	1	0	.	
14	**6.4**	16.5	11.8	11.6	−2.2	711.6	709.5	709.1	85	55	83	NE 0	NE 1	W 1	1	4	2	.	⊿ I
15	8.3	19.8	15.0	14.4	0.8	708.0	707.5	**707.2**	100	49	74	S 0	ENE 1	N 0	2	1	0	0.2	≡ n–7, ⊿ I
16	12.2	17.4	14.6	14.7	1.2	709.9	710.4	712.7	97	76	100	E 0	NE 0	SE 0	10●	5	8●	6.2	● 5½–10, 17¾–22¾ mU
17	13.6	16.9	14.8	15.1	1.8	713.6	714.2	713.3	99	78	95	NE 0	NE 0	NE 0	10	9	10●	1.7	● 1–1¾, 8–8½, 9½–10, 21–24
18	13.8	20.6	16.4	16.9	3.7	712.4	711.1	708.9	99	60	90	SE 0	S 1	NE 1	10≡	5	8	.	● 0–2, ≡ 6½–8
19	14.4	16.6	13.7	14.9	1.9	707.4	707.9	710.5	89	84	70	SW 1	W 1	SW 1	9	9	10	0.1	● 10¼–13½ mU, 18–18¼
20	10.1	12.6	10.7	11.1	−1.8	708.0	708.8	710.9	86	86	95	SSW 0	WSW 1	SE 1	5	10	5	8.2	● 10–12¾, 17¼–17½
21	6.7	16.5	11.8	11.7	−1.0	709.5	707.8	709.9	97	61	96	W 1	W 1	WSW 2	1	3	10●	19.8	● 18¼–24
22	10.0	16.4	11.4	12.6	0.1	710.4	710.6	710.6	79	41	71	WSW 1	WSW 2	SW 0	7	4	1	.	● 0–2½, 5–7¼
23	8.0	16.3	13.0	12.3	−0.1	708.8	708.5	707.5	84	50	82	SE 1	W 1	SE 1	8	9	8	22.0	● 21¾–24
24	9.4	13.0	12.0	11.5	−0.7	709.6	708.8	709.6	99	75	92	SW 1	W 1	NNE 1	10●	9	10●	14.8	● 0–11¼, 20¾–24
25	11.5	14.5	13.0	13.0	0.9	711.4	711.8	712.7	99	85	98	NE 1	NE 1	N 1	10●	10	6	1.4	● 0–10¼
26	12.3	14.7	13.3	13.4	1.5	713.5	713.2	712.2	97	80	98	E 1	N 0	NE 1	10	10●	9	0.2	● 12¼–14¼
27	12.9	16.7	14.4	14.7	3.0	712.0	711.0	709.6	90	79	98	NE 1	WNW 1	W 1	8	10	10	0.5	● 2¾–4½, 12–19¼ mU, ≡ 23½–n
28	13.4	15.1	11.8	13.4	1.9	707.3	709.4	713.9	97	96	86	NE 1	W 1	W 1	9	10	10	6.1	● 10¼–12¾, 16½–17¾, 22½–24
29	9.4	9.9	9.3	9.5	−1.8	715.9	717.1	718.9	90	83	90	ENE 1	NE 2	NE 1	10	10	10	0.1	● 0–6, 9½–10¼
30	9.2	11.2	11.2	10.5	−0.6	719.6	720.1	721.5	83	80	88	NNE 1	NE 1	NE 1	10	10	10	.	
																		Summe	
Mittel	11.8	18.0	14.3	14.7	—	713.5	713.2	713.6	89	63	80				5.9	5.5	5.3	93.1	

$\lambda = 6°\,57'$, $\beta = 47°\,0'$,
$H_b = 487.3$ m, $G = 0.02$ mm.

Neuchâtel

September 1953
Beobachter: *Observatorium*

1	15.5	27.7	19.6	20.9	4.4	726.7	725.3	724.7	83	41	66	NW 0	SE 0	SE 0	0	0	0	.	
2	16.0	**28.6**	19.2	21.3	4.9	723.9	722.3	721.6	92	**37**	68	SE 0	SW 1	SW 0	0	0	0	.	
3	19.4	27.6	20.0	22.3	6.0	722.3	722.4	723.5	65	43	56	SW 2	SW 2	NW 1	2	5	8	.	
4	15.3	24.2	18.0	19.2	3.0	724.1	722.8	723.1	76	45	75	SE 0	SE 1	N 0	1	6	0	.	
5	15.2	25.0	19.3	19.8	3.7	725.0	724.9	726.0	69	44	55	NE 1	E 2	NE 2	0	0	0	.	
6	14.3	23.4	18.6	18.8	2.8	727.2	727.1	727.7	71	44	51	E 1	NE 3	NE 3	1	0	0	.	⌐ a-n
7	13.5	23.3	18.6	18.5	2.7	**729.2**	728.8	728.5	70	50	48	**E** 1	E 2	NE 1	0	0	0	.	
8	13.0	24.6	19.9	19.2	3.5	728.5	726.9	724.0	84	52	62	NE 0	SE 1	NW 0	0	1	0	.	
9	15.2	27.6	21.8	21.5	5.9	723.7	722.1	720.0	89	46	52	NW 0	SW 1	W 1	2	3	0	.	
10	19.4	17.1	12.8	16.4	1.0	717.2	717.0	718.3	55	47	69	SW 2	NW 3	E 0	8	10	10●	0.1	● 21¼–22¾, ⌐ II
11	11.2	15.0	12.3	12.8	−2.5	719.2	720.1	722.3	76	49	58	E 0	NW 1	N 2	10	9	0	.	
12	11.4	21.2	14.6	15.7	0.5	723.6	722.7	723.0	76	39	62	NE 0	SW 2	NW 3	10	1	0	.	⌐ III
13	11.2	22.4	13.8	15.8	0.8	722.9	721.4	720.9	83	45	63	NW 0	SE 1	NE 0	0	0	0	.	
14	9.4	20.1	13.8	14.4	−0.5	719.4	717.1	716.4	72	45	59	E 1	E 2	N 0	1	4	0	.	
15	9.9	21.2	18.6	16.6	1.9	716.5	715.0	**714.4**	86	49	61	N 0	SE 1	NE 1	1	1	3	1.8	
16	14.0	20.9	14.4	16.4	1.8	717.5	718.3	720.1	95	67	91	NE 0	SE 1	NW 0	10●	2	10●	9.8	● 4¼ 10¾, 22¼ 22, ⌐ 20¼–20¾
17	13.2	16.4	16.4	15.3	0.9	721.5	721.8	720.7	93	92	85	NW 0	N 0	NE 0	10●	9	10	2.0	● 4–9, 12½–13½, 22–24
18	14.7	22.6	19.0	18.8	4.6	720.2	718.8	715.9	98	58	62	N 0	**S** 0	NE 1	10	7	9	0.5	● 0–1, 7½–8¾
19	16.2	18.0	13.8	16.0	1.9	714.9	715.3	717.9	95	80	73	NW 0	SW 1	W 2	10●	8	10	1.6	● 6–11¼
20	11.7	12.8	10.6	11.7	−2.2	715.3	716.3	718.4	79	85	90	SW 1	SW 3	W 0	8	10	2	6.4	● 9–12¾, 16¼–17, ⌐ II
21	10.0	16.9	11.2	12.7	−1.0	717.0	715.4	717.1	96	74	95	NW 0	SW 1	**W** 0	10	8	10	12.1	● 17–22½
22	11.7	16.4	12.2	13.4	−0.2	717.9	718.3	718.3	81	51	77	SW 2	SW 3	SW 1	9	8	2	0.3	● 0¾–5 mU, ⌖ 10¼, ⌐ II
23	**8.9**	18.8	14.0	13.9	0.5	716.2	715.7	715.3	92	46	90	W 0	SW 3	**SW** 2	7	5	10●	**35.6**	● 21–24, ⌐ II
24	10.3	14.7	11.5	12.2	−1.0	717.0	716.3	717.8	96	65	96	SW 1	SE 0	N 0	10●	8	10●	22.1	● 0–3½, 5¾–9, 17¾–24
25	11.8	14.5	12.8	13.0	0.0	719.0	719.2	720.3	99	93	95	NE 0	E 0	**S** 0	10●	10	10	0.8	● 0–9½
26	13.0	14.6	13.0	13.5	0.7	721.2	720.9	719.9	94	91	98	N 0	**S** 0	NE 0	10	10●	8	0.9	● 13¾–14¾, 17–18
27	13.6	15.8	13.9	14.4	1.8	719.7	718.4	717.3	95	86	98	NE 0	SW 0	NW 0	10	10	10	0.6	● 16–17¾
28	14.0	15.7	12.0	13.9	1.5	714.8	717.0	720.8	98	99	70	NW 0	SW 0	N 4	10	9●	10	8.4	● 11¾–13½, 14¾–16¼, ⌐ 19–
29	10.0	11.0	10.2	10.4	−1.8	723.7	724.8	726.6	95	99	82	NE 1	E 1	NE 1	10	10	10	.	●2¼–5 [21½
30	10.1	14.2	12.0	12.1	0.1	727.6	727.9	729.1	85	69	81	NE 1	NE 2	E 1	10	10	10	.	
																		Summe	
Mittel	13.1	19.7	15.3	16.0	—	721.1	720.7	721.0	85	61	73				6.0	5.5	5.1	103.0	

September 1953
Beobachter: *Frl. H. Nager*

Altdorf

$\lambda = 8° 39'$, $\beta = 46° 53'$,
$H_b = 456.3$ m, $G = -0.05$ mm.

Tag	Lufttemperatur					Luftdruck			Relative Feuchtigkeit			Windrichtung und Stärke			Bewölkung			Niederschlag	Witterung
	7^{30}	13^{30}	21^{30}	Mittel	Abweich. vom Normalst	7^{30}	13^{30}	21^{30}	7^{30}	13^{30}	21^{30}	7^{30}	13^{30}	21^{30}	7^{30}	13^{30}	21^{30}		
1	14.9	24.3	18.5	19.2	3.2	729.2	727.2	727.2	93	54	85	SE 0	NW 1	NW 0	0	0	0	.	
2	15.5	24.7	19.7	20.0	4.1	725.8	724.2	724.3	92	54	78	NE 0	NW 0	NW 0	0	0	5	.	
3	17.3	24.7	20.1	20.7	4.9	724.7	723.2	726.1	90	50	76	SE 0	W 1	NW 0	5	4	9	.	
4	17.5	21.7	17.7	19.0	3.3	726.3	724.8	726.1	87	63	90	NE 0	W 1	NW 0	10	7	8	.	
5	16.9	20.9	18.3	18.7	3.1	727.0	727.5	728.9	83	63	85	W 0	W 1	NW 0	8	5	10	.	
6	15.9	19.3	17.5	17.6	2.1	729.6	729.8	730.4	84	67	91	W 0	NW 1	NW 0	10	4	10	.	
7	15.6	19.0	15.3	16.6	1.2	731.7	731.5	731.8	92	68	92	N 0	NW 1	NE 0	10	3	0	.	
8	13.3	22.3	17.3	17.6	2.3	730.8	728.6	727.7	97	59	92	N 0	N 1	NW 2	0	2	2	.	
9	15.4	**25.7**	17.7	19.6	4.4	725.9	723.6	722.5	95	45	81	N 0	NW 2	NW 0	6	6	3	0.7	● n (9./10.)
10	16.1	17.3	10.9	14.8	−0.3	718.9	718.2	721.8	97	82	85	NW 0	SE 0	NW 0	9●	10	10●	11.7	● n-n mU
11	10.8	12.8	10.7	11.4	−3.6	721.5	723.2	725.5	98	67	96	N 0	NW 0	NW 0	10	10	10	0.8	● n-a mU
12	10.5	17.4	15.3	14.4	−0.5	725.9	724.3	725.0	95	50	85	NW 1	NW 0	NW 0	9	5	7	.	
13	13.7	17.4	12.8	14.6	−0.1	725.3	724.2	723.7	82	58	85	W 0	NW 1	NW 0	8	3	0	.	
14	10.6	15.6	11.8	12.7	−1.9	722.1	719.4	718.8	94	66	95	NE 0	NW 1	NE 0	10	5	4	.	
15	11.4	22.3	19.6	17.8	3.3	718.5	717.5	717.9	98	57	**38**	N 0	SE 2	SE 3	0	3	0	.	⛈ III
16	15.6	18.4	15.3	16.4	2.0	720.1	720.6	722.6	87	72	85	NE 0	NW 0	NW 0	10	5	6	.	
17	12.9	19.4	14.0	15.4	1.2	723.6	723.9	723.2	97	66	91	NE 0	NW 1	NW 0	5	7	7	.	
18	14.5	21.7	21.9	19.4	5.3	721.9	720.8	718.8	98	60	43	N 0	NW 1	SE 2	8	8	8	.	
19	22.8	18.3	14.3	18.5	4.5	**715.7**	718.0	720.5	42	97	94	E 1	NW 0	NW 0	10	10●	10●	14.3	● 12¾-n
20	13.4	15.0	12.7	13.7	−0.1	717.1	717.7	721.5	98	92	98	S 1	NW 0	NW 0	7	10●	10	4.0	● n-n mU
21	9.0	17.7	14.7	13.8	0.1	718.4	717.0	719.2	94	59	87	E 0	W 0	W 1	0	3	10●	8.3	● 2½-n
22	10.4	16.9	11.1	12.8	−0.7	720.6	719.6	721.0	98	56	82	NE 0	NW 1	SE 0	4	5	2	.	
23	8.7	18.9	14.6	14.1	0.8	719.1	717.6	717.3	91	51	73	SE 0	NW 0	W 0	7	3	5	**16.5**	● n (23./24.)
24	10.9	14.8	12.3	12.7	0.5	719.0	717.9	720.4	98	54	95	NE 0	E 0	E 0	10●	6	10	5.6	● n-a
25	12.3	16.1	13.0	13.8	0.8	721.1	721.5	722.7	100	79	99	E 0	E 0	SE 0	9	10	9	0.5	● tr p
26	11.3	16.3	13.5	13.7	0.9	723.0	723.0	722.1	96	78	95	SE 0	NW 0	SE 0	0	10	7	.	
27	13.1	20.0	17.7	16.9	4.2	722.8	720.2	718.9	100	72	83	SE 0	NW 1	NW 1	10	7	10	3.1	● n (27./28.)
28	15.7	19.2	14.1	16.3	3.8	716.9	718.7	723.6	97	69	87	NE 0	N 0	NW 0	8	9	10●	13.6	● 15¾-n
29	11.7	12.1	11.4	11.7	−0.6	725.6	726.7	729.1	93	80	90	E 0	NW 0	NW 0	10●	10	10	0.3	☽ 7½, ● 17-18¼
30	11.3	12.9	11.7	12.0	−0.1	731.2	730.5	**732.2**	97	76	93	NE 0	NW 0	NE 0	10	10	10	.	
Mittel	13.6	18.8	15.2	15.9		723.3	722.7	723.7	92	66	85				6.8	6.0	6.7	Summe 79.4	

September 1953
Beobachter: *Observatorium*

Genève

$\lambda = 6° 9'$, $\beta = 46° 12'$,
$H_b = 405.0$ m, $G = -0.03$ mm.

1	17.0	25.8	20.0	20.8	3.9	733.6	732.3	731.8	81	55	83	E 0	NNE 1	E 0	0	0	0	.	
2	17.0	**29.4**	20.2	22.2	5.4	731.2	728.6	729.0	80	**38**	64	E 0	S 1	SE 1	0	0	0	.	
3	21.6	26.8	21.0	23.1	6.4	729.9	729.3	730.6	63	49	80	SSE 1	SSW 1	E 0	0	2	0	.	
4	18.0	21.8	19.8	19.9	3.3	730.7	729.1	729.9	74	68	92	NE 0	NNE 1	E 1	1	2	1	.	
5	15.3	23.5	20.0	19.6	3.1	731.9	730.8	732.0	96	50	80	NNE 1	NNE 1	NE 0	0	1	0	.	
6	16.0	22.6	20.2	19.6	3.2	734.0	733.4	734.5	90	62	80	NNE 1	NNE 1	NNE 1	0	0	0	.	
7	16.0	21.0	19.2	18.7	2.4	**736.2**	735.2	734.7	73	59	90	ENE 0	NNE 1	E 0	0	0	0	.	
8	16.0	26.0	20.0	20.7	4.6	735.1	733.0	731.8	96	55	90	E 1	NNW 1	NW 0	1	0	2	.	
9	17.6	26.4	20.4	21.5	5.5	730.8	728.3	727.3	82	56	78	NNW 0	NNE 1	NNE 1	2	1	8	.	
10	20.4	20.2	14.2	18.3	2.4	725.3	724.4	724.7	64	64	91	SSW 0	SW 1	SSW 1	5	8	10●	2.5	● 19¾-n
11	13.6	16.6	13.0	14.4	−1.4	726.3	726.8	729.6	61	46	61	ENE 1	NNE 2	NNE 1	2	3	0	.	
12	11.0	20.7	15.5	15.7	0.0	731.3	730.2	730.5	87	45	89	ENE 1	SE 1	E 1	2	0	1	.	
13	10.6	21.0	16.0	15.9	0.4	730.4	728.0	727.5	90	57	79	NNE 1	NNE 1	E 0	0	0	0	.	
14	11.4	18.5	13.6	14.5	−0.9	725.9	724.0	723.4	71	70	86	NE 1	NNE 1	E 0	2	5	2	.	
15	12.0	20.0	18.0	16.7	1.4	723.6	**721.5**	722.3	93	72	80	NNE 1	NNE 1	S 2	3	4	10	0.3	⛆ n (15./16.)
16	16.4	20.0	17.6	18.0	2.9	724.8	724.4	725.8	89	67	96	SSE 1	NNE 2	NNW 1	10●	3	10	3.5	⛆ 7½, ⛆ ⛉ 16¾-17½
17	15.6	19.7	18.0	17.8	2.8	727.9	727.4	728.0	96	77	98	NNE 1	NNE 1	SW 1	10●	5	10●	1.2	● n-a, p-n mU
18	16.2	24.4	18.4	19.7	4.9	727.3	725.0	722.4	96	49	86	ESE 1	SSW 1	ESE 0	4	3	9	13.5	● n (18./19.)
19	15.2	15.7	15.0	15.3	0.6	723.6	724.4	726.5	96	74	89	NNE 1	SSW 1	S 1	10●	10	10	2.5	● n-a, n (19./20.)
20	12.0	16.2	13.0	13.7	−0.8	724.3	725.1	726.7	87	69	96	SSW 1	S 1	S 1	10	9	10●	7.0	● p-n, ⛉ 4-5
21	9.6	21.6	13.2	14.8	0.5	724.0	722.5	725.8	97	45	86	SSE 1	S 1	S 1	9	5	10●	8.3	● p-n
22	**8.6**	19.4	13.2	13.7	−0.4	726.1	725.3	725.5	94	50	88	SSW 1	SSW 1	E 0	8	5	0	.	
23	11.6	19.0	14.0	14.9	1.0	723.6	722.8	722.1	87	72	95	E 0	E 0	ENE 0	9	7	10●	**49.0**	⛆ 18½-n mU, ⛉ n (23./24.)
24	10.0	15.2	12.6	12.6	−1.1	724.1	723.3	724.9	100	73	100	E 0	NNE 1	E 1	10●	9	10●	39.9	● n-n mU, ⛉ 17
25	12.6	13.8	13.6	13.3	−0.2	726.6	726.6	728.2	100	93	98	E 1	ENE 1	E 0	10	10	9	0.8	● n (25./26.)
26	14.2	16.4	14.8	15.1	1.8	728.2	727.7	727.4	93	96	100	NNE 1	NNE 0	ENE 0	10	10	10	2.5	● p-n mU
27	14.5	17.5	16.0	16.0	2.9	727.0	726.0	725.2	100	88	100	ENE 0	ENE 1	E 0	10	10	10	1.1	● 10-17 mU
28	16.0	17.6	12.6	15.4	2.5	723.0	724.8	729.2	100	84	68	ENE 0	SSE 0	NE 1	10	10	10	.	
29	12.4	13.0	12.5	12.6	−0.1	730.7	731.2	732.7	79	81	83	NNE 1	NNE 2	NNE 1	10	10	10	.	
30	12.2	15.5	14.0	13.9	1.4	733.2	733.4	734.9	85	80	86	NNE 1	NNE 0	NNE 1	10	10	10	0.0	● tr n (30./1.)
Mittel	14.4	20.0	16.3	17.0	—	728.4	727.5	728.2	87	65	86				5.3	4.7	5.7	Summe 132.1	

$\lambda = 8°\ 34'$, $\beta = 47°\ 23'$,
$H_b = 569.4$ m, $G = 0.03$ mm

Zürich

September 1953
Beobachter: *Meteorol. Zentralanstalt*

Tag	Lufttemperatur					Luftdruck			Relative Feuchtigkeit			Windrichtung und Stärke			Bewölkung			Niederschlag	Witterung
	7^{30}	13^{30}	21^{30}	Mittel	Abweich. vom Normalst	7^{30}	13^{30}	21^{30}	7^{30}	13^{30}	21^{30}	7^{30}	13^{30}	21^{30}	7^{30}	13^{30}	21^{30}		
1	15.9	27.2	18.3	20.5	5.4	719 3	718.3	717.3	88	44	79	SE 0	NE 1	N 1	0	1	0	.	△ I
2	16.9	**27 7**	21.0	21.9	6.9	716.2	714.9	714.0	86	42	72	E 0	SSW 1	S 1	0	1	1	.	△ I
3	17.1	24.8	16.8	19.6	4.7	715.2	715.0	716.8	70	54	68	SW 1	WSW 2	SW 1	3	7	10	.	
4	14.4	22.4	15.5	17.4	2.6	716.8	716.9	721.2	74	51	65	NE 1	WSW 1	N 1	3	7	8	.	
5	13.4	22.8	15.7	17.3	2.6	717.9	718.4	719.5	82	50	70	S 1	NE 1	NE 1	6	1	1	.	
6	11.1	21.2	14.6	15.6	1.0	720.2	720.5	721.4	84	52	69	NNE 1	NE 1	ENE 1	2	1	0	.	△ I
7	11.0	21.2	14.8	15.7	1.2	722.0	**722.1**	721.3	79	54	55	NE 1	NE 1	NE 1	0	0	0	.	
8	12.0	24.6	18.5	18.4	4.1	720.9	719.4	717.7	73	54	91	NE 0	NW 1	S 0	0	0	0	.	△ I
9	17.1	26.2	19.9	21.1	6.9	715.7	714.5	712.1	90	**39**	64	SSW 1	WSW 2	S 1	0	4	10	.	△ I
10	16.6	14.3	10.6	13.8	−0.3	709.2	709.4	711.1	76	79	95	W 1	W 2	W 1	6	10	10	5.1	● 17–23½, ⌿ 8–18½ mU
11	9.5	12.6	9.1	10.4	−3.5	712.2	712.9	714.9	94	64	94	NW 1	NNW 1	W 0	9	8	1	0.0	
12	10.3	16.8	11.1	12.7	−1.1	715.5	715.0	716.3	73	49	78	SSW 1	WSW 2	W 1	10	7	4	.	
13	12.5	18.7	11.4	14.2	0.6	715.4	714.4	714.2	78	50	59	WSW 1	WSW 1	ENE 2	9	3	0	.	
14	**6.5**	18.0	11.5	12.0	−1.5	712.3	710.0	709.1	87	44	66	NE 1	NNE 2	NE 1	0	6	0	.	
15	8.0	21.1	14.0	14.4	1.0	709.3	707.8	707.5	89	50	86	NE 1	NE 1	NE 1	2	2	0	0.2	
16	13.2	18.8	13.8	15.3	2.1	710.4	711.3	712.7	92	62	91	SSE 1	NE 1	N 1	10●	8	6	0.4	● 6¼–7½, 10¾–11¼
17	13.5	17.0	13.7	14.7	1.6	714.4	714.8	713.2	95	82	98	SSW 1	WSW 1	N 1	7	10	10	0.5	
18	13.9	20.4	15.6	16.6	3.7	712 6	711.9	709.1	98	68	93	W 0	WNW 1	E 1	9	9	2	0.0	● 1½–2¼
19	14.3	17.2	12.4	14.6	1.8	**707.0**	708.1	710.1	94	68	95	NW 1	SSW 1	SSW 1	10	10	10●	12.7	● 14–15¾, 17–21¾, ⌿ 20¼
20	10.3	11.2	10.3	10.6	−2.0	707.9	708.3	709.9	96	97	85	SW 0	S 1	S 1	6	10●	1	7.5	● 11¾–13½, 18¾–19½, ⌿ 12, [⌿ 18¾
21	8.6	18.3	10.6	12.5	0.1	709.1	707.9	709.7	96	58	97	SSE 1	WNW 1	SW 1	3	3	10●	**13.8**	● 20–24, ⌿ 18¾
22	11.1	16.9	11.3	13.1	0.8	710.0	710.2	710.7	71	46	75	SSW 2	SW 2	S 1	6	3	2	.	●0–1½, ⌿ n-n mU
23	9.1	18.6	12.7	13.5	1.4	708.8	708.6	707.8	93	43	82	SSE 1	SSW 2	NW 1	7	7	3	10.3	
24	9.8	13.5	10.0	11.1	−0.8	709.5	709.0	710.1	94	75	98	SSE 1	N 1	N 1	10●	9	9	7.8	● 1¼–4¼, 5–11¾
25	11.0	16.0	12.2	13.1	1.4	711.8	712.0	712.6	99	83	99	S 1	NE 1	E 1	10	10	9	.	● 2–2¼, 3¼–7½
26	11.6	15.4	13.9	13.6	2.1	713.7	713.5	712.6	100	85	98	NE 1	NE 1	N 1	9≡	10	10	.	≡ n-a mU
27	13.5	21.3	16.4	17.1	5.8	712.8	710.9	709.5	96	66	97	WNW 1	WNW 1	E 1	10	6	9	0.0	
28	15.0	18.8	11.7	15.2	4.1	707.2	708.9	713.4	97	82	98	SE 1	W 1	N 1	10	9●	10●	12.4	●tr 13½, 16¾–18¼, 19¼–24
29	9.1	10.4	9.0	9.5	−1.4	716.6	717.5	719.1	96	85	94	N 1	NNW 1	NNE 1	10	10	10	0.5	●0–2¾, 8¼–9½
30	8.7	15.2	10.7	11.5	0.8	720.4	720.6	721.8	95	63	92	N 1	ENE 1	N 1	10	8	10	0.0	
Mittel	12.2	19.0	13.6	14.9	—	713.7	713.4	713.7	88	61	83				5.9	6.0	5.2	Summe 71.2	

$\lambda = 6°\ 32'$, $\beta = 46°\ 51'$
$H_b = 1589$ m, $G = -0{,}13$ mm

Chasseron

September 1953
Beobachter: *Ch. H. Martin*

1	15.7	**20.0**	16 2	17.3	—	638.5	638.5	638.0	55	65	80	N 1	W 0	NNE 1	1	0	0	.	
2	14.8	19.6	16.8	17.1	—	636.3	636.0	635.3	80	80	45	SW 2	SW 1	WSW 3	1	0	2	.	⌿ III
3	9.0	14.2	9.2	10.8	—	634.4	635.1	635.5	100	85	100	WSW 3	WNW 2	NW 2	10≡	6	10≡	.	≡ 5½–11 mU, 15¼–n, ⌿ I
4	9.0	14.0	10.4	11.1	—	634.9	634.9	634.8	93	86	99	WSW 2	NW 2	NE 1	4	4	4	.	
5	10.3	14.3	10.2	11.6	—	635.6	636.7	637.1	98	73	82	SE 1	NE 1	E 2	2	1	1	.	
6	10.2	13.6	10.0	11.3	—	637.1	638 4	638.5	100	80	80	SE 2	ESE 1	E 2	2	1	0	.	
7	13.7	18.8	14.2	15.6	—	639.0	**640.2**	640.1	83	60	81	SE 2	WNW 1	E 1	0	1	0	.	
8	14.0	17.0	13.8	14.9	—	639.5	639.4	638.1	91	80	73	WSW 2	NW 2	NW 2	0	2	0	.	
9	12.9	16.0	13.8	14.2	—	635.7	635.4	633 6	96	60	81	NW 2	NW 2	NW 3	2	4	3	.	⌿ III
10	19.2	5.0	3.4	5.9	—	628.7	628.8	627.4	95	100	100	NW 4	NW 3	NW 4	6	10≡	10●≡	3.2	☽ 11–11½, 15–17, ● 17–n mU, [≡ 9-n, ⌿ n-n
11	**1.0**	3.0	2.4	2.1	—	628.8	630.2	631.7	100	95	89	N 1	NNW 1	NNE 1	10≡	9	3	.	≡ n-11
12	2.6	8.4	5.0	5.3	—	633.0	633.4	633.8	94	68	100	NW 2	NW 3	NW 2	9	2	3	.	≡ 20-n mU, ⌿ II
13	7.4	11.4	6.6	8.5	—	632.7	632.7	631.9	70	72	96	W 1	NNW 1	E 1	2	1	0	.	
14	11.2	16.2	12.0	13.1	—	629.3	628.7	628.5	**32**	38	55	SE 1	WNW 0	S 2	1	4	6	.	
15	8.6	14.0	10.7	11.1	—	627.5	627.6	627.3	99	56	91	SSE 3	SE 2	SE 1	2	3	6	0.6	● n (15./16.) ⌿ I
16	8.2	9.6	8.8	8.9	—	628.5	629.8	630.9	100	100	100	SE 2	SE 2	S 1	10●≡	6	10	20.7	● 5–9, 9–10½ mU, 16–17, *)
17	6 4	9.3	10.0	8.6	—	631 9	632.7	632.5	100	97	100	SSW 3	WSW 4	SSE 3	10●≡	9●	10≡	2.7	● 6–9, 9–16½ mU, 19–19½ mU, *)
18	9.2	12.0	11.0	10.7	—	631.4	631.2	629.5	92	85	94	SSW 3	SSW 2	ESE 2	9	6	8	0.3	● n (18./19.), ⌿ I
19	9.0	9 4	4.8	7.7	—	626.7	627.3	628.4	80	97	100	W 5	WSW 3	WNW 3	10●	9	10●≡	4.1	● 6–9¼, 15½–17 mU, *)
20	4.8	5.7	4.6	5.0	—	625.7	626.7	628.1	81	100	100	SW 3	WSW 4	WNW 4	7	10●≡	2	5.5	● 8½–13½, ⛆ 10–18½ mU, *)
21	5.1	11.3	4.2	6.9	—	626.8	627.1	**625.6**	83	54	100	SSW 3	WSW 4	NW 5	2	6	5	12.4	● 17–n mU, ≡ 17½–n mU,*)
22	2 1	4.8	4.6	3.8	—	627.5	628.7	628.9	100	86	93	NW 5	WSW 3	WSW 4	10≡	6	2	1.7	⛆ 9½–9¾, ≡ n-8, 8–11 mU,*)
23	4.8	8.6	8.2	7.2	—	626.3	627.5	626.4	82	82	92	S 3	SW 2	W 3	7	6	8	**35.7**	⛆⛆ 21–21¼, ● n (23./24.), *)
24	3.0	7.2	5.6	5.3	—	626.5	626.6	627.8	100	90	100	S 3	WSW 3	SSW 3	10●≡	8	10●≡	23.7	● n–8½, 17½–n, ⛆ 17–17¼,*)
25	6.7	8.0	7.8	7.5	—	629.2	630.2	631.1	100	85	98	S 3	S 3	SSW 1	10●≡	9	8	0.5	● n–9¼ mU, 17–18, ≡ n-11, ⌿ n-p
26	8.2	10 1	10.0	9.4	—	631.7	631.9	631.2	91	79	78	E 2	SE 2	E 3	6	10●	8	1.1	● 12½–18, ⌿ III
27	13.4	14.2	13.0	13.5	—	63 0.5	630.9	629 0	62	77	90	SE 1	SSE 2	E 1	6	9	9	0.5	● 11–12, 15–18 mU
28	10.0	7.8	3.0	6.9	—	627.1	628.6	631.1	100	100	100	NE 2	NW 2	N 3	10≡	10●≡	10≡	13.4	☽ 11–14, ⛆ 14–15½, *)
29	2.1	2.6	2.2	2.3	—	632.4	633.5	634 9	100	100	100	NE 2	NE 1	NNE 1	10●≡	10●≡	10●≡	2.1	☽ n–13½ mU, 16–n mU, *)
30	2.4	4.4	3.8	3.5	—	635.6	636.7	637.5	100	100	100	E 2	E 2	E 2	10≡	10≡	10≡	.	≡ n–11, 11–18 mU, 18–n
Mittel	8.2	11.0	8.5	9.2	—	631.6	632.2	632.2	88	81	90				6.0	5.7	5.6	Summe 128.2	

*) **16.** 20½–n, ⛆ 16¼–16½, ⛆ △ 16½–17, ≡ 2½–11 **17.** ≡ 6¾–11½, 11½–n mU, ⌿ n-n, ⌿ II **19.** ☽ 17–n, ≡ 11–16 mU, 16–n, ⌿ n-n, ⌿ I, **20.** ≡ 12–19 mU, ⌿ n-n **21.** ⌿ n-n **22.** ⌿ n-n **23.** ⌿ n-n mU **24.** ≡ n-11½, 19–n mU, ⌿ n-n **28.** ● 15½–n mU, ≡ n-n ⌿ n-p **29.** ≡n-

September 1953
Beobachter: *B. Minsch und C. Clavuot*

Bever

$\lambda = 9°\,53'$, $\beta = 46°\,33'$,
$H_b = 1711.8$ m, $G = -0.23$ mm

Tag	Lufttemperatur 7³⁰	13³⁰	21³⁰	Mittel	Abweich. vom Normalst	Luftdruck 7³⁰	13³⁰	21³⁰	Relative Feuchtigkeit 7³⁰	13³⁰	21³⁰	Windrichtung und Stärke 7³⁰	13³⁰	21³⁰	Bewölkung 7³⁰	13³⁰	21³⁰	Niederschlag	Witterung
1	5.4	**23.2**	9.0	12.5	3.1	63 .6	629 0	630.1	89	**24**	79	SW 0	SW 1	SW 1	0	0	0	.	⌊⌊
2	4.2	22.0	11.0	12 4	3.1	628.0	627.3	627.9	89	39	83	SW 0	SW 1	W 0	1	0	0	.	⌊⌊
3	6.2	21.2	12.1	13.2	4.1	626 6	625.1	626 4	89	37	85	SW 0	SW 1	SW 0	0	0	3	.	⌊⌊
4	4.6	19.8	10.2	11.5	2.5	626 6	625.4	625.4	99	43	89	W 0	SW 2	SW 0	1	2	3	.	⌊⌊
5	6.4	19.8	12.0	12.7	3.8	627.0	626.7	628 7	99	36	63	SW 0	W 1	SW 0	6	1	1	.	
6	6.7	19.7	7.4	11.3	2.5	629.2	628.4	630.0	99	35	84	W 0	W 1	SW 0	10≡	0	0	.	≡ n-a
7	7.2	17.1	7.4	10.6	2.0	631.5	630.1	**632 3**	98	60	98	SW 0	SW 1	W 0	0	1	0	.	≡ n-a mU
8	8.4	20.9	10.2	13.2	4.7	631.5	628.8	628.8	89	32	77	W 0	W 1	SW 0	9≡	0	0	.	≡ n-a
9	7.8	19.4	8.9	12.0	3.6	626.7	624.4	624.2	93	33	83	SW 0	W 1	S 0	0	3	2	.	
10	9.2	12.0	7.2	9.5	1.3	620.0	617.6	617.6	99	77	94	SW 0	SW 1	NE 1	5	9●	10●	11.1	● 12-n mU
11	4.1	6.4	4.8	5.1	−3.0	618.2	619 5	621.7	88	53	39	NE 0	N 1	N 1	9	9	6	.	
12	1.8	11.6	6.0	6.5	−1.5	623.0	622.4	623.6	86	47	69	S 0	N 0	NE 0	8	3	3	.	
13	5.8	13.8	4.7	8.1	0.3	622.1	621.8	622.7	84	30	62	SW 1	E 1	S 0	5	0	0	.	⌊⌊
14	**−3.9**	13 2	8.5	5.9	−1.8	621.1	620.4	621.9	95	50	84	S 0	SW 2	S 1	0	3	6	.	⌊⌊
15	6.6	11.6	7.0	8.4	0.8	622.2	621.4	622.0	82	64	90	S 1	SW 1	SW 0	10	8	7	0.1	●tr n (15./16)
16	6.4	10.3	6.8	7.8	0.4	621.8	622.7	624 5	100	69	97	NE 0	SW 1	SE 0	10	10	8	.	
17	7.1	10.9	9.0	9.0	1.7	625.4	625.9	626.2	86	68	80	SW 0	SW 1	SW 0	8	9	9	.	
18	7.7	16.0	9.8	11.2	4.0	624.7	623.7	623.6	98	44	83	SW 0	S 0	SW 0	6	3	8	.	
19	8.9	9.8	8.2	9.0	2.0	621.2	620.1	619.8	99	91	97	S 0	NE 1	SE 0	9	10●	10	13.8	● 11½-14½, n (19./20.)
20	7.0	10.1	6.0	7.7	0.8	618.5	**617.4**	619.0	98	76	95	S 0	SW 1	NE 0	8	9	4	6.3	●° 16-17
21	1.0	12.3	6.4	6.6	−0.2	620.8	619.7	619.9	99	44	71	S 0	SW 2	NW 0	10	6	2		● n (21./22.)
22	5.4	13.8	4.6	7.9	1.3	618.5	618.3	620.2	98	34	82	SE 0	SW 1	W 0	8	3	1	.	
23	4.2	12.2	8.5	8.3	1.8	620.4	619.8	620.3	99	64	83	S 0	SW 2	S 0	8	7	8	.	⌊⌊
24	8.2	9.8	8.6	8.9	2.5	618.7	619.3	621.0	78	75	91	W 0	W 1	SW 0	9	9	8	3.2	● 8-10
25	6.6	10 4	6.2	7.7	1.5	621.8	622.5	624.9	99	94	97	SW 0	SE 0	NE 0	7	10●	10●	**25.3**	● 9-22
26	3 8	11.2	10.4	8.5	2.4	625.0	626.0	625 7	99	93	95	SW 0	S 0	W 0	10≡	10●	10●	4.6	● 11½-n, ≡ n-a
27	8.2	15 0	13.8	12.3	6.3	625.9	624.9	623 5	86	89	91	SW 0	SW 0	W 0	9	4	10	2.8	● n (27./28.)
28	10 2	13.1	8.8	10.7	4.9	621.4	620.5	621.9	83	69	97	W 1	SE 0	SW 0	10●	9	10	16.0	● n-12, 22-n
29	7.4	10.8	7.0	8.4	2.7	623.2	623.3	625.3	98	77	99	NE 0	SE 0	NE 0	9	8	8●	3.5	● 18-n
30	5.4	11.0	7.0	7.8	2.3	627.4	627.8	629.5	97	75	98	NE 0	NE 0	N 1	10≡	9	7	.	≡ n-12
Mittel	5.9	14.3	8.3	9.5	—	624.0	623.3	624.3	93	57	84				6.2	5.2	5.1	Summe 86.7	

September 1953
Beobachter: *Couvent des Capucins*

Sion

$\lambda = 7°\,21'$, $\beta = 46°\,14'$,
$H_b = 548.6$ m, $G = -0.11$ mm.

1	17.4	**26.4**	21.5	21.8	4.8	722.1	719.3	719.7	65	44	56	ENE 0	W 2	NE 0	0	0	0	.	
2	17.0	26.2	22.6	21.9	5.0	719.5	716.6	717.0	70	46	56	ENE 0	SW 0	W 0	0	0	2	.	
3	18.7	25.2	21.0	21.6	4.8	717.8	716.4	717.4	76	46	61	NNE 0	W 2	WSW 0	1	1	0	.	
4	17.2	24.5	20.6	20.8	4.1	718.7	716.3	717.0	74	56	60	W 0	WSW 2	WSW 0	3	1	0	.	
5	17.2	24.1	20.8	20.7	4.1	719.3	718.0	719.4	81	58	61	ENE 0	W 2	W 1	1	1	0	.	
6	16.0	23.4	19.8	19.7	3.3	721.5	719.9	721.5	83	58	73	ENE 0	WSW 2	WSW 1	3	2	0	.	
7	15.8	23.2	20.8	19 9	3.6	**723.7**	721.8	722.6	90	62	70	ENE 0	WSW 1	WSW 1	0	3	0	.	
8	15.7	26.1	20.6	20.8	4.6	**723.7**	720.7	719.6	90	54	64	ENE 0	WSW 1	WSW 0	0	1	0	.	
9	16.5	26.2	20.6	21.1	5.0	719.0	715.8	715.5	87	52	54	ENE 0	W 1	W 1	7	1	3	.	
10	17.1	20.7	15.6	17.8	1.8	712.9	711.1	711.2	75	56	65	NE 0	WNW 2	WSW 2	6	10	10	.	
11	11.6	18.8	12.5	14.3	−1.5	713.1	712.9	716.3	84	45	57	WSW 0	WSW 2	WSW 2	4	3	6	.	
12	9.8	18.2	15.6	14.5	−1.2	719.1	717.2	717.2	80	50	55	ENE 0	WSW 0	WSW 0	9	3	0	.	
13	12.1	20.6	16.9	16.5	0.9	716.9	714.6	714.4	82	49	58	W 0	WSW 2	WSW 0	1	0	0	.	
14	11.1	20.5	14.8	15.5	0.0	714.3	711.1	712.6	79	54	79	ENE 0	WSW 2	W 0	0	7	8	.	
15	12.3	22.0	17.0	17.1	1.8	713.2	710.9	712.0	75	40	48	NE 1	ENE 3	NE 0	0	4	4	.	⌐ a-p mU
16	15.1	21.0	16.5	17.5	2.3	713.4	713.0	714.9	72	49	72	ENE 1	ENE 1	W 0	10	3	6	0.1	●tr 8¼
17	14.4	20.7	17.6	17.6	2.5	716.8	716.4	716.0	100	58	66	WSW 0	WSW 1	SW 0	10	4	9	0.7	● 7¼-9¾
18	14.4	22.6	18.2	18.4	3.5	715.7	713.7	713 0	78	46	57	ENE 1	ENE 0	E 1	6	5	7	.	
19	17.0	19.6	15.0	17.2	2.4	**709 7**	710.4	712.8	67	74	70	ENE 0	WNW 0	WNW 0	7	5	5	0.8	● 8¾-9¾, 16¼-18, ⌐ 17-19
20	12.8	15.9	14.3	14.3	−0.3	711.7	712.2	713.6	78	76	73	W 0	WSW 1	WSW 1	4	10●	8	0.9	● 11-13¾
21	9.7	20.6	14.9	15.1	0.7	713 4	711.1	711.2	92	44	85	NE 0	NE 0	WNW 2	1	6	10■	**13 3**	● 21¼-24
22	10.0	19.7	11.8	13.8	−0.5	713.8	713.0	714.2	99	45	64	NE 0	WNW 1	E 2	5	2	0	.	● 0-2
23	8 2	17.7	14.1	13.3	−0.8	713.4	713.2	711.2	85	50	66	ENE 0	WSW 1	ENE 1	6	10	7	10.7	
24	11.9	15.0	12.5	13.1	−0.8	713.4	712.4	712.6	84	66	85	WSW 0	ENE 2	WNW 0	10	5	8	6.2	● 1½-10½, ⌐ 1-3
25	11.9	15 4	13.1	13.5	0.2	714.1	714.5	715.6	98	77	100	WNW 0	WNW 0	WNW	10	10	10	1.0	● 1¾-2, 3½-4½, 15½-18
26	10.4	15.9	14.2	13.5	0.0	716.8	715.7	715.4	100	77	98	WNW 0	WNW 0	WNW 0	2	10	1	0.2	● 18¾
27	14.0	21.6	17.2	17.6	4.3	715.4	713.5	713.1	87	63	68	ENE 1	ENE 0	W 0	8	10	10	0.3	
28	13.2	15.8	13.2	14.1	1.0	710.2	713.2	715.5	99	68	88	W 0	E 2	ENE 0	3	9	10	2.5	● 3½-4¾, 9¼-10¾, 21¼-21¾
29	11.0	16.0	12.1	13.0	0.1	717.2	717.2	719.0	99	63	**28**	W 0	WSW 1	WSW.	10	8	10	.	● 0½-2, 4-4¾
30	12.0	18.5	13.1	14.5	1.8	721.3	721.0	723.4	86	56	79	WSW 0	WSW 1	WSW 0	10	7	10	.	
Mittel	13.7	20.7	16.6	17.0	—	716.4	715.1	715.8	84	56	67				4.6	4.7	4.8	Summe 36.7	

$\lambda = 8°\,57'$, $\beta = 46°\,0'$,
$H_b = 276.2$ m, $G = -0.01$ mm.

Lugano

September 1953
Beobachter: *G. Vicari*

Tag	Lufttemperatur					Luftdruck			Relative Feuchtigkeit			Windrichtung und Stärke			Bewölkung			Niederschlag	Witterung
	7^{30}	13^{30}	21^{30}	Mittel	Abweich. vom Normalst	7^{30}	13^{30}	21^{30}	7^{30}	13^{30}	21^{30}	7^{30}	13^{30}	21^{30}	7^{30}	13^{30}	21^{30}		
1	18.2	28.8	21.2	22.7	3.7	744.2	743.3	743.4	90	56	77	N 1	S 1	N 1	0	0	0	.	
2	19.2	**29.0**	21.6	23.3	4.4	743.0	741.3	741.2	91	57	83	N 1	S 1	N 1	0	0	0	.	
3	18.6	28.8	20.8	22.7	3.9	740.7	739.6	739.8	85	54	76	NNW 1	S 1	N 1	0	0	0	.	
4	18.4	27.8	20.2	22.1	3.4	740.2	739.9	740.2	84	48	73	N 1	S 1	N 1	0	0	0	.	
5	18.0	28.4	22.0	22.8	4.3	740.6	740.7	742.1	81	57	81	N 1	S 1	NNW 1	1	1	6	0.0	●tr n (5./6.)
6	20.4	26.6	22.2	23.1	4.7	744.0	744.2	745.6	80	54	73	N 1	S 1	N 1	10	1	10	.	
7	19.2	18.2	16.2	17.9	−0.4	748.6	749.9	**750.2**	65	67	76	S 1	N 1	NNE 1	10	10	8	.	
8	13.8	25.2	17.4	18.8	0.6	748.7	746.2	744.4	81	51	84	N 1	S 1	NW 1	0	1	0	.	
9	15.6	27.0	19.2	20.6	2.6	741.8	739.2	738.0	90	53	81	N 1	S 1	NW 1	3	0	0	.	
10	17.8	22.0	18.4	19.4	1.5	736.0	733.2	**729.7**	80	67	85	N 1	S 1	NNW 1	9	10	10	.	
11	18.6	19.0	14.4	17.3	−0.5	731.8	735.3	737.1	**33**	64	75	N 2	S 2	S 1	9	6	0	.	
12	11.4	24.6	14.8	16.9	−0.7	738.6	737.0	737.0	82	41	72	N 1	S 1	WNW 1	0	0	0	.	
13	12.8	28.0	17.4	19.4	1.9	735.3	733.8	735.5	73	39	76	N 1	SSE 1	N 1	0	0	0	.	
14	16.8	18.4	16.4	17.2	−0.2	737.8	738.6	738.2	79	65	79	NW 1	S 1	N 1	10	10	10	.	
15	15.0	21.4	16.6	17.7	0.5	738.5	739.0	739.2	83	46	77	N 1	W 1	W 1	10	7	10	15.3	● n (15./16.)
16	13.8	15.4	14.8	14.7	−2.4	738.1	739.3	741.2	98	93	97	N 1	W 1	NNE 1	10●	10●	10	22.2	● ● n–19
17	15.4	19.2	16.8	17.1	0.2	742.1	742.1	742.2	93	73	88	N 1	S 1	NNW 1	9	9	10	.	
18	16.0	24.4	17.4	19.3	2.5	740.7	739.6	739.1	86	56	92	NNW 1	S 1	S 1	7	5	10	1.6	● n (18./19.)
19	18.4	18.2	17.2	17.9	1.3	735.6	733.4	734.2	76	80	94	ENE 2	E 1	NW 1	10	10●	10	**41.2**	● 9½-11, ◺● 11-13½, 21, *)
20	14.8	16.6	13.4	14.9	−1.5	734.0	733.7	733.6	95	81	82	N 1	SW 1	N 1	10	9●	0	16.9	● n–5, a, ▽ 13½, ● 16-18¼
21	**10.8**	21.4	15.2	15.8	−0.4	735.9	736.0	735.5	84	47	83	N 1	SSE 1	N 1	0	5	9	3.6	● n (21./22.)
22	14.2	22.4	14.8	17.1	1.1	734.0	734.1	735.5	92	55	91	NE 1	E 1	W 1	5	1	0	0.5	● n (22./23.)
23	14.4	18.4	15.2	16.0	0.1	736.4	736.6	736.4	90	76	78	W 1	WSW 1	NNW 1	10●	9	7	0.4	● 7–8½, ▽ 14½
24	16.2	15.4	15.4	15.7	0.0	734.3	736.1	736.7	83	96	97	SSW 1	ESE 1	— 0	10	10●	10●	30.8	● 8–19, ● ● 21–n
25	16.0	16.8	15.2	16.0	0.5	736.7	737.7	738.4	98	96	92	W 1	SSE 1	N 1	10●	10●	9	19.0	● n–20
26	13.4	17.0	15.6	15.3	0.0	739.9	740.7	741.3	89	91	98	N 1	NNE 1	W 1	0	10●	10●	8.3	● 10½-n
27	14.8	22.0	18.4	18.4	3.3	740.6	738.9	737.3	94	70	88	N 1	E 1	N 1	9	9	9	14.2	● 18–18½, n (27./28.)
28	17.8	20.2	14.8	17.6	2.7	734.6	734.9	737.8	79	66	95	ESE 1	E 1	NNW 1	10●	8	9	38.7	● n–10, 16–19½, ◺ 17–18½
29	14.2	17.0	15.8	15.7	1.0	738.4	739.7	740.8	91	83	89	N 1	S 1	NNW 1	9	9●	10	2.6	● 4-6½, 10-13½, ● 16½-17½, ◠ 8
30	14.8	23.0	15.8	17.9	3.4	742.2	742.9	744.8	85	54	96	N 1	S 1	N 1	5	3	2	3.5	▽ 17¾–19½ mU
Mittel	16.0	22.0	17.2	18.4	—	739.1	738.9	739.2	84	64	84				5.9	5.4	5.6	Summe 218.8	*) 19. ▽ 13½-14, ● 21-n

$\lambda = 7°\,35'$, $\beta = 47°\,33'$,
$H_b = 317.3$ m, $G = 0.11$ mm.

Basel

September 1953
Beobachter: *Astronom.-Meteorol. Anstalt*

Tag	7^{30}	13^{30}	21^{30}	Mittel	Abweich. vom Normalst	7^{30}	13^{30}	21^{30}	7^{30}	13^{30}	21^{30}	7^{30}	13^{30}	21^{30}	7^{30}	13^{30}	21^{30}	Niederschlag	Witterung
1	16.0	30.2	19.7	21.9	6.2	740.8	739.3	738.6	79	**33**	75	E 1	ESE 1	ESE 1	0	0	0	.	
2	17.4	**31.7**	20.0	23.0	7.4	737.4	735.6	734.9	77	40	80	ESE 1	WNW 1	ESE 1	1	0	0	.	
3	19.1	22.2	15.8	19.0	3.5	736.6	737.2	737.7	74	64	81	W 0	WNW 2	WSW 1	10	7	1	.	◞ 13¾
4	12.3	22.5	15.0	16.6	1.2	739.1	737.9	738.1	93	49	73	SE 0	WNW 1	WSW 1	4	6	1	.	
5	12.5	22.1	14.0	16.2	0.9	740.5	740.3	741.5	85	47	80	SW 0	NNE 1	SW 1	0	0	0	.	
6	10.3	22.0	15.1	15.8	0.6	742.6	742.5	743.2	88	47	72	SW 1	NW 1	E 0	0	0	0	.	
7	11.6	23.8	15.7	17.0	1.9	**744.1**	743.7	743.0	77	36	58	NW 1	ESE 1	ENE 1	0	0	0	.	
8	12.7	27.0	16.0	18.6	3.7	742.5	740.7	739.1	62	47	84	ESE 1	NNW 1	S 0	0	0	0	.	
9	15.1	28.8	20.0	21.3	6.5	737.2	735.7	733.7	84	36	70	E 1	WNW 2	W 1	1	3	7	.	
10	16.6	15.7	11.6	14.6	−0.1	731.8	732.1	733.3	69	69	87	WNW 1	WSW 2	WNW 1	10	10	7	0.0	● 14½–14¾, 16½–16¾
11	10.9	16.0	9.2	12.0	−2.6	734.7	735.4	737.3	83	50	84	WNW 1	WNW 1	SSW 0	9	7	1	.	
12	11.8	17.6	13.1	14.2	−0.2	737.6	737.6	738.2	78	53	81	S 1	WNW 2	WSW 2	9	9	1	.	◞ 12¾
13	9.6	19.8	9.9	13.1	−1.2	737.5	736.6	736.4	94	47	81	SW 0	NNW 1	SW 1	3	4	0	.	
14	**6.2**	20.5	12.0	12.9	−1.3	734.6	731.8	731.0	93	37	66	NNE 0	E 1	NE 0	1	3	0	.	◺ 1
15	11.3	24.5	13.4	16.4	2.4	731.0	729.6	**729.1**	78	42	91	ENE 1	ENE 1	SW 1	1	1	0	0.5	
16	13.5	20.1	13.7	15.8	1.9	732.0	732.7	734.8	96	68	96	S 1	E 1	SSE 1	10●	3	10●	13.2	● 6–11½ mU, 18¼–23½ mU, ◞ 18¼
17	13.5	17.9	15.6	15.7	1.9	736.0	735.8	735.1	95	79	90	ESE 1	E 1	ESE 1	10●	10	10●	6.6	● 0½–0¾, 5¾–9¾ mU, 16–23¼ mU
18	15.5	22.1	16.6	18.1	4.5	734.0	733.3	730.8	90	74	90	E 1	NW 1	E 1	7	8	5	0.2	● 1½–1¾
19	15.0	20.0	13.2	16.1	2.6	729.3	729.4	731.7	96	68	85	SE 1	W 1	WSW 1	10●	10	10	5.1	● 6¾–7½, 16¼–17¾
20	10.4	13.8	10.1	11.4	−1.9	729.7	730.2	732.6	95	88	90	E 1	E 1	ESE 1	9	10●	0	9.9	● 10¼–11½, 13¼–14, 17-18, *)
21	9.3	20.0	11.6	13.6	0.4	731.0	729.5	730.6	98	57	88	ESE 1	E 1	S 1	1	3	10●	12.6	● 17½–21¾, ◞ 18¾, ◺ 1
22	11.5	19.1	10.2	13.6	0.6	732.0	732.0	732.4	70	42	86	WSW 1	WNW 2	ESE 1	4	7	3	.	◞ 10¾
23	10.4	20.2	13.6	14.7	1.8	730.4	729.8	730.4	78	49	81	ESE 1	W 1	WNW 0	8	9	10	**21.5**	● 17, 22–24
24	10.6	16.4	12.2	13.1	0.4	731.0	731.3	732.0	93	68	96	ESE 1	ESE 1	ESE 1	10●	7	10	10.9	● 0–3¾, 6¼–9¾, 20–23¾
25	12.1	15.8	13.4	13.8	1.2	732.7	733.8	735.0	97	81	90	ESE 1	ENE 1	NW 0	10	10	10	0.3	● 0¼–5¼ mU, 8, ●tr 10
26	12.2	16.8	14.6	14.5	2.1	735.5	735.3	734.5	98	89	96	ENE 0	ESE 1	NW 0	9	10	8	1.2	● 15½–16¾, 18½–19½, ◺ 1
27	15.1	21.6	17.2	18.0	5.7	733.4	732.4	732.0	89	72	93	E 1	ESE 1	S 0	4	7	8	0.0	● 1–1¾, 5¼–5½, ●tr 16½–16¾
28	14.6	17.4	11.1	14.4	2.3	729.6	730.9	736.9	98	91	96	ESE 0	NNE 1	W 1	10	10●	10●	9.9	● 12, 13¼–14¾, 18–22¼, ◺ 1
29	10.0	11.1	9.3	10.1	−1.9	739.1	740.2	742.0	92	89	86	NW 1	NNW 1	SW 1	10●	10●	10	1.1	● 0–0½, 2¾–4½, 6¼–7¾, 13½–[19¾ mU
30	9.3	14.4	12.4	12.0	0.2	743.1	743.2	**744.1**	93	66	81	SW 0	NNW 1	E 1	10	9	10	.	
Mittel	12.5	20.4	13.8	15.6	—	735.6	735.2	735.7	86	59	84				5.7	5.8	4.7	Summe 92.7	*) 20. ◺ 17-17½, ▲ 17, ◠ 17¾

September 1953
Beobachter: *Observatorium*

Säntis

$\lambda = 9°\,20'$, $\beta = 47°\,15'$,
$H_b = 2500.1$ m, $G = -0.27$ mm.

Tag	Lufttemperatur					Luftdruck			Relative Feuchtigkeit			Windrichtung und Stärke			Bewölkung			Niederschlag	Witterung
	7^{30}	13^{30}	21^{30}	Mittel	Abweich. vom Normalst	7^{30}	13^{30}	21^{30}	7^{30}	13^{30}	21^{30}	7^{30}	13^{30}	21^{30}	7^{30}	13^{30}	21^{30}		
1	7.5	13.6	10.2	10 4	6.4	572.9	573.4	573.2	75	48	30	W 2	SW 2	W 1	1	1	0	.	
2	11.2	**14 8**	9.9	12.0	8.1	571.4	571.2	570 3	54	59	56	WSW 2	SW 2	WSW 2	1	1	1	.	
3	7.0	11.0	7.0	8.3	4.5	568.8	569.5	569.7	73	78	100	W 2	WSW 2	W 2	6	2	10≡	.	≡ 17–n
4	4.9	10.6	6.7	7.4	3.7	568.6	569.2	569.4	100	76	100	W 3	WSW 1	W 2	10≡	7≡	10≡	.	≡ n–n mU
5	4.8	9.4	6.2	6.8	3.2	569.5	570.8	571.6	78	64	15	W 3	WSW 2	WSW 1	4	4	0	.	≡ 9–16 mU
6	7.5	9.7	9.0	8.7	5.1	571.5	572.7	573 4	48	88	17	NW 2	S 1	NNE 2	4	4	0	.	
7	8.6	11.3	8.6	9.5	6.0	573.5	574.4	**574 5**	32	42	50	N 2	N 1	WSW 1	0	1	0	.	
8	7.3	10.8	7.5	8.5	5.1	573.4	573.5	572.1	55	64	100	WSW 3	WSW 2	W 3	1	1	10≡	.	≡ 20¾–n
9	5.8	6.8	6.2	6.3	3.0	569 1	568.8	566.9	93	95	96	W 3	W 3	W 3	8	10≡	10	2.7	● n (9./10), ≡ n–5, 8–15¾
10	4.6	2.8	−2 8	1.5	−1.7	562.3	561.0	560.7	100	100	100	W 4	W 3	W 3	10≡	10≡	10≡*	**35.9**	▽ 11¼, ● 14¼–16, ✳ 18½–n, *)
11	**−4.0**	−3.4	−3.7	−3.7	−6.8	560.8	562.1	563 9	100	88	98	N 2	N 2	N 2	10≡	10	10≡	1.6	▽ 11–12¾ mU, ≡ n–13¼, 14¼–n ⊠
12	−3.4	−1 7	−0.2	−1.4	−4 5	564 5	564.3	565.5	98	98	100	WSW 3	W 4	W 4	10≡	10≡	10≡	0.5	◑ 17½–n, ≡ n–8½, 9½–n, *)
13	−0.9	0.0	−1.3	−0.7	−3.7	565.0	565.2	564.5	100	91	78	WNW 3	W 2	WSW 3	10≡	10≡	0	.	≡ n–15¾ mU
14	3.4	8.3	5.5	5.7	2.8	563 3	563.4	563.4	**2**	15	5	W 2	SW 2	WSW 3	1	2	1	.	
15	4.1	7.4	5.1	5.5	2.7	562.9	562.6	562.8	91	66	52	WSW 2	S 2	SW 3	4	1	1	.	
16	4.0	7.4	4.4	5.3	2.6	563.4	564.4	566.0	91	77	89	S 2	SW 2	SW 2	9	9	1	.	
17	3.1	8.9	4.3	5.4	2.8	566.5	567.5	567.2	93	74	85	SW 2	SW 2	S 2	5	9	5	.	≡ 11¾–16½ mU
18	4.8	9.4	6.0	6.7	4.2	566.1	566.1	565.1	84	66	78	SW 2	SSW 2	S 3	9	6	3	0.0	●tr 14¾
19	7 0	5.1	2.2	4.8	2.4	562.8	562.4	562.2	65	92	100	S 2	S 3	W 3	10	10	10≡●	27.5	▽ 11–11¾, ● 15¼–n, *)
20	1.3	1.2	−2.2	0.1	−2.2	560.0	560.2	561.5	98	100	100	SW 3	WSW 3	W 3	9	10≡*	10≡	10.8	● ✳ 12¼–17 mU, △ 19½–20¼, *)
21	−1.6	5.4	1.1	1.6	−0.6	560.0	561.6	561.1	51	18	100	WSW 3	WSW 3	NW 2	1	5	10≡	15.1	● 21½–n, ≡ 20¼–n ⊠
22	−2.7	−0.6	−1 6	−1.6	−3.7	**559.9**	561.2	562.3	100	97	87	W 3	WSW 3	WSW 3	10≡	10≡	1	.	≡ n–8¼, 11–14, 15½–17¾, ⌿ 10½ ⊠
23	0.3	5.6	2.5	2.8	0.8	561.1	561.9	561.6	70	70	87	S 3	SSW 2	SSW 3	9	4	1	12.4	● ✳ n (23./24.)
24	0.0	1.1	3 2	1.4	−0.5	560.4	561.4	562.6	100	93	90	SE 2	SW 2	SSW 3	10	10	10	3.4	✳ 8¾–11, ≡ 8–11¼ ⊠
25	2.6	4.8	3.9	3.8	2.0	563.8	564 8	565.8	98	89	83	SW 3	SSE 2	SSE 1	5	10≡	10	2.0	● 15½–19¼ mU, ≡ 12–19¾, [▽ III
26	5.8	8.0	7.2	7.0	5.3	567.0	567.4	567.2	66	66	81	W 1	SSW 3	SSW 4	2	10●	10	0.2	▽ 13¼–13½, ⌿ III
27	7.9	10.9	7.4	8.7	7.1	567.5	567.2	565.7	66	53	68	SW 2	SSW 2	S 2	1	8	9	.	
28	6.8	9.4	3.2	6.5	5.0	562 9	563 5	564.8	62	57	100	S 2	SSW 2	WSW 2	9	10	10≡●	27.1	● 18¾–n, ≡ 17–n
29	−0.6	4.6	0.6	1.5	0.1	565.3	566.2	567.6	100	84	100	ESE 2	S 2	SE 1	10≡*	10≡	10≡	0.4	✳ 7–8½, ≡ n–n mU
30	1.0	6.5	4.8	4.1	2.8	568.5	569.8	571.2	92	63	50	ESE 2	SE 2	N 2	2	2	1	.	
Mittel	3.6	6.7	4.0	4 8	—	565.8	566.3	566 5	78	72	77				6.0	6.6	5.8	Summe 139.6	

*) 10. ≡ n–n, ⌿ l 12. ⌿ 12–n 19. ≡ 15–17¾, 19–n 20. ⌿ 19¾, ≡ 11½–n 25. ▽ III

September 1953
Beobachter: *E. Chiesa*

St. Gotthard (Hospiz)

$\lambda = 8°\,34'$, $\beta = 46°\,33'$,
$H_b = 2095$ m, $G = -0.25$ mm.

1	10.3	**19.6**	11.0	13.6	6.9	602.1	602.3	**603.5**	44	**4**	95	NW 1	NW 0	NW 0	0	0	0	.	
2	10 2	16.8	11.1	12.7	6.1	603.4	603.4	603.1	88	30	94	NW 0	SE 1	SE 0	0	0	0	.	
3	9.7	17.4	10.5	12.5	6.0	602.1	602.2	601.5	39	24	95	SE 0	SE 1	NW 1	0	3	10≡	.	≡ 19¾–n
4	8.0	15.7	9.3	11.0	4.6	601.0	601.0	600.5	90	48	100	NW 1	SE 1	SE 0	0	3	9	.	≡ 20½–n mU
5	8.0	13.4	8.3	9.9	3.6	597.0	599.8	600.1	97	68	98	NW 2	NW 2	NW 1	9	0	0	.	△ 1
6	9 4	14.3	8.5	10.7	4.5	600.0	600.4	600.8	86	59	91	SE 0	NW 2	NW 0	0	0	0	.	≡ 17¼–20½
7	8.7	14.0	7 2	10.0	3.9	600.5	601.6	600.8	94	78	99	SE 0	SE 0	NW 0	10≡	10≡	10≡	.	≡ n–15¼, 20¼–n
8	9.4	15.2	10.4	11.7	5.7	600.8	600.9	601.4	73	54	97	NW 1	NW 1	NW 1	0	0	0	.	
9	9.0	14.1	9.7	10.9	5.0	601.2	600.9	600.9	92	54	80	NW 1	NW 1	NW 1	0	0	0	.	△ l
10	7.4	8.8	2.6	6.3	0.5	600.7	600.4	599.5	96	87	100	SE 1	SE 0	NW 2	3	10≡	10●≡	6.6	● 11½–n mU, ✳ n (10./11.) ≡ 11½–n
11	−0.8	0.0	−0.8	−0.5	−6.2	595.7	593 3	592.2	100	100	100	NW 2	NW 2	NW 3	9	10	10≡	.	≡ p–n, ⌴ III, ⌿ III ⊠
12	**−1.0**	7.5	3.0	3.2	−2.4	594.7	593.6	594.2	100	61	100	NW 2	NW 2	NW 3	10≡	3	10≡	.	≡ n–8½, 18¼–n, ⌴ l, ⌿ III
13	2.0	6.4	3.2	3.9	−1.4	593.3	593.3	593.2	100	68	100	NW 3	NW 2	NW 3	10≡	0	10≡	.	≡ n–11¼, 19½–n, ⌿ n–n mU
14	4 4	7.9	4.6	5.6	0.2	592.4	592.6	592.6	37	86	100	NW 0	SE 1	SE 1	0	9	10◑≡	1.7	≡ ◑ p–n
15	4.0	4.0	3.8	3.9	−1.4	591.9	592.5	592.6	96	97	91	SE 1	SE 2	SE 1	10≡	10≡	10≡	9.2	● n (15./16.), ≡ n–n
16	4.8	5.6	5.0	5.1	0.0	592.3	593.1	594.5	97	95	100	SE 1	SE 1	SE 1	10●≡	10●≡	10●≡	24.6	● ≡ n–n
17	5.0	6.1	6.0	5.7	0.7	595.1	596.2	596.5	97	92	96	SE 1	SE 1	SE 1	10●	10	10≡	9.2	● n–a, ≡ p–n
18	6 2	7.4	6.6	6.7	1.8	595.3	595.3	594.5	90	90	100	SE 1	SE 1	SE 2	10	10	10●	11.3	● 8¼–10¾, 17¾–n
19	7.2	7.3	4.3	6.3	1.5	592.2	590.8	590.8	93	98	100	SE 1	SE 1	SE 0	10≡	10●≡	10●≡	43.3	● 9¼–n, ≡ n–n
20	4.0	5.6	2.8	4.1	−0.5	**589.5**	589.6	590.1	100	92	100	SE 1	SE 0	NW 2	10≡	10●	10●≡	8.6	● 10½–n, ≡ n–a, p–n
21	2.2	8.4	3.8	4.8	0.3	590.3	591.0	590.8	75	62	97	NW 0	SE 2	SE 0	0	3	10	4.8	● n (21./22.)
22	1 8	7.2	3.7	4.2	−0.2	589.7	590.5	591.5	94	46	69	NW 1	NW 1	NW 0	3	0	0	.	
23	3 3	5.2	4.4	4.3	0.1	591.1	591.4	591.2	89	94	95	SE 1	SE 1	SE 1	10	10	10●	**44.8**	● 14–n, ≡ a–p mU
24	3.4	5.7	5.8	5.0	0.9	589.6	590.5	591.5	98	93	96	SE 1	SE 1	SE 1	10●	10●	10●	26.6	● n–n
25	6 4	6.5	5.0	6.0	2.1	592.3	593.6	594.4	94	98	98	SE 1	SE 0	SE 0	10●	10●	3	19.5	● n–20¾
26	6 6	7.8	7.7	7.4	3.6	595.2	596.2	596.1	90	95	100	SE 0	SE 1	SE 1	6	10●	10●≡	21.4	● 12–n, p–n
27	7.9	9.3	8.8	8.7	5.1	596.5	596.3	595.4	97	93	76	SE 1	SE 1	SE 1	10	10●	10	38.6	● 13¼–n mU
28	7 0	7.7	4.0	6.2	2.7	591.6	591.5	593.0	93	82	90	SE 2	SE 2	SE 1	10●	10●	10●	34.2	● n–n
29	1.7	3.4	1.2	2.1	−1.2	593.6	594.4	595.4	100	100	100	NW 2	NW 1	NW 1	10●≡	10≡	10●≡	7.4	● 12¼–n mU, ≡ n–n
30	1.5	9.2	4.2	5.0	1.9	597.4	598.2	599.6	100	79	85	NW 2	NW 0	NW 0	10≡	9	0	1.5	● 12¾–13, 14½–16¾, ≡ n–a
Mittel	5 9	9.2	5.9	6.9	—	595.5	595.9	596.1	88	74	95				6.3	6 3	7.1	Summe 313.3	

$\lambda = 7°\,26'$, $\beta = 46°\,57'$,
$H_b = 572.2$ m, $G = 0.00$ mm.

Bern

Oktober 1953
Beobachter: *Meteorol. Observatorium*

Tag	Lufttemperatur					Luftdruck			Relative Feuchtigkeit			Windrichtung und Stärke						Bewölkung			Niederschlag	Witterung
	7^{30}	13^{30}	21^{30}	Mittel	Abweich. vom Normalst	7^{30}	13^{30}	21^{30}	7^{30}	13^{30}	21^{30}	7^{30}		13^{30}		21^{30}		7^{30}	13^{30}	21^{30}		
1	10.7	12.6	9.8	11.0	0.1	721.8	**722.4**	722.3	94	80	92	NE	o	NE	1	NE	o	10	10	o	.	
2	10.6	16.2	12.4	13.1	2.4	720.9	719.4	718.8	96	61	95	SE	o	SE	o	SE	o	9	1	o	.	
3	8.5	**17.8**	13.9	13.4	2.9	717.8	716.4	715.8	98	54	91	SSW	o	NE	o	W	1	6	1	6	1.7	≡ 2-8 mU, ⏢ l
4	13.2	17.3	14.1	14.9	4.6	714.6	713.6	715.1	95	72	90	SE	1	NNE	1	NE	1	10	8	10	0.0	● 2¼-7, ●tr 21
5	12.3	12.4	10.0	11.6	1.5	717.3	718.4	719.2	75	69	86	ENE	1	ENE	2	ENE	2	10	9	9	.	
6	4.7	11.3	7.3	7.8	−2.1	718.6	716.8	716.0	85	61	71	NE	1	NNE	2	NE	1	8	7	1	.	
7	4.6	11.4	7.7	7.9	−1.8	714.0	713.2	713.8	85	**48**	76	NE	o	ENE	2	NE	1	5	4	4	.	⏤ l
8	3.2	11.8	7.2	7.4	−2.1	715.0	715.9	717.4	97	50	76	NE	o	**E**	2	NE	1	o	3	o	.	⏢ l
9	2.7	10.1	5.6	6.1	−3.2	718.6	718.6	718.6	96	56	87	E	o	NE	1	—	o	o	o	o	.	⏢ l
10	2.7	7.5	4.9	5.0	−4.1	718.2	717.2	716.1	100	79	95	—	o	NNE	1	SSW	1	9≡	4	o	.	≡ 1¾-8¾
11	4.6	8.2	4.8	5.9	−3.0	715.3	713.9	712.9	98	81	98	S	o	W	1	NW	o	10≡	9	o	.	≡ 1-8¾, 22-24
12	2.9	10.9	8.1	7.3	−1.4	712.3	710.7	709.6	100	75	97	SE	o	NE	o	NNW	o	10≡	9	5	.	≡ 0-10
13	7.4	15.7	10.8	11.3	2.8	706.3	**704.4**	704.5	97	56	95	N	o	NE	o	SE	1	6	7	5	0.9	● 18-21, ⏢ l
14	8.3	17.0	12.7	12.7	4.4	705.2	704.7	704.9	98	63	92	S	1	NE	1	S	1	7	8	7	.	≡ 2-4½
15	10.4	15.0	12.8	12.7	4.6	705.0	707.8	710.5	97	74	92	SSW	1	**W**	1	SE	1	9	10	7●	0.4	● 10-11¼, 18¼-24
16	10.6	14.4	11.9	12.3	4.3	711.6	710.9	712.5	98	82	95	NW	1	NE	1	NE	1	9	9	10	0.2	● 15-20¼
17	10.4	16.1	12.4	13.0	5.2	713.4	713.4	714.7	97	56	86	SSW	1	NNE	1	NE	1	10	4	10	0.4	● 21½-24
18	12.1	13.7	12.9	12.9	5.3	713.9	714.3	715.6	95	86	92	NE	1	NE	1	N	1	10●	10	10	1.8	● 0-7, ● 7-10¾
19	11.9	14.5	12.0	12.8	5.4	715.9	716.3	717.3	100	84	97	N	o	NE	1	W	o	10≡	9	9	.	● 4½-6⅝, ≡ 6-9¾
20	12.2	14.1	13.0	13.1	5.9	717.3	717.0	716.7	98	86	86	NE	o	NE	1	NE	1	10≡	10	10	.	≡ 6-8¼
21	12.2	15.3	11.6	13.0	6.0	715.6	713.9	712.8	90	65	92	NE	o	NE	1	NNW	1	10	9	2	.	
22	7.8	16.0	10.4	11.4	4.5	712.7	711.9	712.8	94	56	95	SE	o	NE	o	S	o	8	3	1	.	
23	6.5	15.7	11.2	11.1	4.4	713.8	713.8	715.1	97	61	95	**S**	o	NNW	o	—	o	7	7	7	.	
24	6.8	15.2	9.6	10.5	4.0	715.7	714.5	712.8	97	63	97	SE	o	NNE	1	W	1	o	1	2	.	≡ 23½-24
25	8.6	13.8	10.2	10.9	4.6	711.3	710.8	710.6	95	73	98	SE	o	NE	1	NE	1	10	9	9	9.1	● 10½, ≡ 0-3¼
26	10.0	12.6	8.0	10.2	4.1	710.8	711.4	711.1	95	62	98	W	1	SSW	1	NE	o	10●	8	9≡	1.6	● 0¼-9¾, 15-15½, ≡ 21¼-24
27	7.6	10.7	9.4	9.2	3.2	708.4	707.6	706.9	98	77	91	W	o	NNW	o	W	1	9≡	10	10	0.4	● 23, ≡ 0-8½
28	9.7	14.1	11.9	11.9	6.1	708.5	708.6	710.9	95	63	80	W	o	NE	1	W	1	9	5	10	3.9	● 0-4¾, 22-24
29	7.0	6.9	5.6	6.5	0.9	712.7	712.6	712.8	95	81	92	W	o	SE	o	SE	1	10●	10●	10●	**13.7**	● 0-14, 20-24
30	4.8	8.8	3.9	5.8	0.3	713.1	712.9	713.1	91	57	89	SE	1	S	o	S	1	9	5	o	0.1	● 0-1½, 8½-9¾
31	**1.2**	9.0	3.6	4.6	−0.7	712.5	710.9	711.5	92	54	93	S	o	—	o	—	o	7	7	o	.	⏤ l
																					Summe	
Mittel	7.9	13.1	9.7	10.2	—	713.8	713.4	713.6	95	67	91							8.0	6.6	5.3	34.2	

$\lambda = 6°\,57'$, $\beta = 47°\,0'$,
$H_b = 487.3$ m, $G = 0.02$ mm.

Neuchâtel

Oktober 1953
Beobachter: *Observatorium*

1	11.6	15.0	11.7	12.8	1.0	729.7	**730.0**	729.9	83	75	77	NE	o	E	1	NE	1	10	10	o	.	
2	11.0	17.0	12.4	13.5	1.9	728.9	727.4	726.3	93	67	94	NE	o	SE	1	E	o	9	o	o	.	
3	10.9	14.3	13.4	12.9	1.5	725.5	724.2	723.2	99	90	89	E	o	SE	o	SE	o	10≡	10	8	0.1	≡ n-a
4	13.3	**20.0**	15.6	16.3	5.1	722.1	721.0	722.6	92	61	81	NE	o	NE	1	NE	1	10	5	10	0.6	● 0-3, 21½-22
5	13.0	15.3	10.4	12.9	1.9	724.7	725.8	726.9	84	62	66	NE	2	NE	3	NE	2	10	7	2	.	⸗ 10-16½
6	6.4	13.6	7.6	9.2	−1.6	726.4	724.4	723.9	74	61	77	NE	2	E	2	**E**	o	1	7	o	.	
7	6.9	13.9	7.7	9.5	−1.1	721.7	720.7	721.6	68	**55**	83	NE	1	E	3	E	o	3	3	4	.	⸗ 13-15¾
8	4.9	14.3	9.3	9.5	−0.9	722.7	723.5	725.2	92	57	68	NE	o	E	2	NE	2	o	1	o	.	
9	5.7	12.8	8.5	9.0	−1.2	726.3	726.4	726.5	81	56	68	NE	2	E	2	NE	1	o	o	o	.	⸗ 8-11
10	**3.2**	9.6	4.9	5.9	−4.1	725.9	724.9	723.8	99	77	84	NE	o	SE	1	NE	o	10≡	6	o	.	≡ n-10
11	5.0	8.8	6.2	6.7	−3.1	723.0	721.7	720.9	94	84	99	NE	o	SE	o	E	o	10	10	10≡	.	≡ p-n
12	6.0	9.3	8.4	7.9	−1.7	720.1	718.3	717.3	97	86	96	E	o	E	o	NE	o	10	10	10	.	
13	8.8	13.2	11.6	11.2	1.8	713.6	711.8	**711.6**	94	80	97	NE	o	E	o	N	o	9	9	10	0.8	● 18¼-20¾
14	9.5	14.8	12.9	12.4	3.2	712.5	712.4	712.2	99	83	88	N	o	S	o	S	o	9	8	8	.	
15	11.2	14.7	11.9	12.6	3.6	712.4	715.4	718.1	97	90	92	S	o	SW	1	SW	o	9	10	6	1.2	● 10½-11¾
16	10.0	16.1	12.4	12.8	4.0	719.5	718.6	720.3	99	74	97	SW	o	E	1	NE	o	10	8	10●	1.0	● 18½-22
17	10.8	16.6	14.4	13.9	5.3	721.1	721.4	722.2	99	74	74	NE	o	E	o	N	2	7	8	10	0.1	● n (17./18.)
18	12.6	14.4	13.4	13.5	5.1	721.9	722.0	723.2	93	81	91	NE	1	NE	3	E	o	10	10	10	0.1	● 18-18¼, ⸗ 9¾-13¾
19	12.5	14.9	12.0	13.1	4.9	723.8	724.1	725.0	98	87	93	NE	o	E	1	E	o	10	10	9	.	
20	12.2	14.8	13.2	13.4	5.3	725.0	724.7	724.5	98	85	89	E	o	E	1	NE	o	10	10	10	.	
21	13.4	17.2	12.2	14.3	6.4	723.1	721.4	720.7	80	64	86	NE	1	E	2	SE	o	10	9	8	.	
22	10.3	15.8	10.4	12.2	4.5	720.2	719.5	720.5	95	68	94	E	o	**SE**	o	SE	o	10	2	o	.	
23	9.1	13.1	9.8	10.7	3.2	721.5	721.4	722.9	99	87	93	E	o	SE	1	E	o	10	6	3	.	≡ n-10½
24	9.6	12.9	9.3	10.6	3.2	723.3	722.2	720.6	100	84	88	E	o	SE	1	SE	o	10≡	2	4	.	≡ n-10¾
25	8.6	12.7	11.0	10.8	3.6	718.9	718.3	718.4	97	83	95	**SE**	o	S	o	SW	o	10	9	10	**13.0**	● 23½-24
26	10.1	13.5	9.7	11.1	4.1	718.4	718.8	718.7	96	71	88	W	1	SE	o	NE	o	10●	8	9	0.7	● 0-8¼
27	8.5	12.7	9.2	10.1	3.2	715.9	715.2	714.2	93	79	92	NE	o	SE	o	NE	o	10	9	10	2.7	
28	10.0	15.0	8.6	11.2	4.5	716.2	716.6	718.9	97	71	89	NE	o	S	o	NW	3	10	8	10●	5.8	● 1¾-5, 18-23¾, ⸗ 20-22½
29	6.6	7.6	6.2	6.8	0.3	720.3	720.5	720.5	94	96	99	W	o	S	o	NE	o	10	10	10	2.5	● 3½-6, 9-11¾, 15¾-16¼,
30	4.8	11.7	4.1	6.9	0.5	720.8	720.6	720.7	91	58	92	N	o	S	1	SW	o	9	5	o	.	[20-20½
31	3.3	8.4	3.8	5.2	1.0	720.2	719.2	719.3	90	66	92	E	o	**S**	o	S	o	10	9	o	.	
																					Summe	
Mittel	9.0	13.7	10.1	10.9	—	721.5	721.0	721.3	92	75	88							8.6	7.1	5.8	28.6	

Oktober 1953
Beobachter: *Frl. H. Nager*

Altdorf

$\lambda = 8° 39'$, $\beta = 46° 53'$,
$H_b = 456.3$ m, $G = -0.05$ mm.

Tag	Lufttemperatur					Luftdruck			Relative Feuchtigkeit			Windrichtung und Stärke			Bewölkung			Niederschlag	Witterung
	7^{30}	13^{30}	21^{30}	Mittel	Abweich. vom Normalst	7^{30}	13^{30}	21^{30}	7^{30}	13^{30}	21^{30}	7^{30}	13^{30}	21^{30}	7^{30}	13^{30}	21^{30}		
1	11.9	14.1	12.5	12.8	0.9	732.4	**732.8**	732.3	91	71	95	NW o	N o	NE o	10	10	10	.	
2	11.9	15.3	11.0	12.7	0.9	731.2	729.2	729.1	96	53	98	NW o	NW o	NE o	10	4	0	.	
3	9.0	16.7	12.3	12.7	1.1	728.0	726.4	725.9	96	64	93	N o	NW o	NW o	4	4	10	3.6	● n (3./4.)
4	12.9	15.3	12.9	13.7	2.3	725.1	724.1	725.8	100	83	98	N o	NW o	NW o	10●	10●	10	8.7	● n–18
5	13.1	13.7	11.4	12.7	1.5	727.2	728.6	730.1	94	72	91	E o	NW 1	NW o	10	10	10	.	
6	9.5	11.5	9.0	10.0	−1.0	729.1	726.9	726.3	80	65	90	NW o	NW 1	NW o	10	7	10	.	
7	8.9	11.2	9.4	9.8	−1.1	724.4	723.4	724.0	87	62	86	NW o	NW 1	NW o	8	7	10	.	
8	7.9	12.7	7.2	9.3	−1.4	725.4	725.9	728.5	93	57	85	W o	N 1	N o	8	5	3	.	
9	3.8	11.3	6.0	7.0	−3.5	729.4	728.9	729.1	93	67	90	N o	NW 1	E o	2	2	5	.	
10	3.8	11.3	6.8	7.3	−3.0	728.4	726.5	726.8	92	73	99	W o	NW 1	NW o	2	3	10	.	
11	4.9	11.9	6.8	7.9	−2.3	725.7	723.4	723.4	91	71	95	S o	NW o	NE o	0	3	7	.	
12	7.9	12.3	8.6	9.6	−0.4	722.7	720.4	719.2	93	80	99	NE o	NW 1	E 1	10	7	4	.	
13	15.9	19.7	19.3	18.3	8.5	715.9	**718.5**	714.1	46	39	**37**	SE 2	SE 3	S 3	5	7	7	.	⛈ a–n
14	15.2	18.7	**21.3**	18.4	8.7	714.4	713.9	714.7	60	60	42	SW 1	SE 1	SE 2	4	6	10	.	
15	14.3	17.0	14.4	15.2	5.7	716.3	717.5	721.0	87	80	96	NW 1	NE o	NW o	7	10●	10●	4.3	● a, 19¼–n
16	11.3	12.7	11.6	11.9	2.6	721.8	721.6	722.7	95	88	97	NE o	E 1	NW o	8	10●	10●	14.0	● a–n
17	10.4	15.0	12.8	12.7	3.5	723.5	723.9	725.2	97	74	97	W o	NW o	NW o	7	8	10	3.7	● p mU
18	11.3	13.9	12.3	12.5	3.5	724.2	724.8	725.6	100	87	99	W o	W o	W o	8	10	10	3.8	● 9¾–n mU
19	12.8	16.5	13.9	14.4	5.5	725.7	725.9	727.9	93	70	95	**W** o	NW 1	NW o	10	5	10	0.4	● tr n (19./20.)
20	13.1	16.4	13.8	14.4	5.7	727.5	726.7	727.3	89	65	93	W o	NW o	W o	10	4	10	0.2	● tr n (20./21.)
21	12.9	14.4	10.3	12.5	4.0	725.7	724.3	723.4	90	75	87	NW o	NW o	NW o	10	10	6	.	
22	7.8	16.4	14.3	12.8	4.4	723.0	721.6	723.2	95	64	69	NW o	**W** o	E 1	4	3	**2**	.	
23	10.1	14.0	9.3	11.1	2.9	723.6	723.8	726.0	94	67	91	E o	NW o	NW o	5	8	0	.	
24	6.8	14.3	9.4	10.2	2.1	726.1	724.2	723.2	93	70	97	NW o	NW 1	W o	2	2	7	.	
25	9.5	11.9	9.9	10.4	2.5	721.5	720.8	720.9	98	97	98	NE o	NE o	SW o	10●	10●	9	6.2	● n–17½, ≡ 17½–20
26	10.6	12.3	10.7	11.2	3.4	720.7	720.9	721.0	100	94	97	NE o	NE o	SE o	10●	10●	10●	0.6	● n–n mU
27	9.1	11.4	10.2	10.2	2.6	717.8	717.1	716.7	100	83	95	NE o	NW o	SE o	8	10	10●	1.7	● a mU, ● p–n mU
28	9.6	16.2	10.8	12.2	4.7	719.3	718.4	720.6	99	42	75	W o	SE 3	NW o	8	5	6	4.5	● n (28./29.), ⛈ II
29	9.2	6.3	3.4	6.3	−1.0	722.5	723.4	723.3	96	94	94	W o	E o	NW o	10●	10●	10●	**46.8**	● n–n, ✳ 16
30	4.7	9.3	3.1	5.7	−1.5	723.6	723.2	724.0	96	67	86	SE o	S o	E o	10●	5	2	0.0	● n–a
31	**1.9**	9.3	5.6	5.6	−1.4	722.8	721.3	721.6	85	51	70	SE o	W o	E o	2	6	3	.	⌙ I
																		Summe	
Mittel	9.7	13.6	10.7	11.3	—	724.0	723.3	724.0	91	70	88				7.2	6.8	7.5	98.6	

Oktober 1953
Beobachter: *Observatorium*

Genève

$\lambda = 6° 9'$, $\beta = 46° 12'$,
$H_b = 405.0$ m, $G = -0.03$ mm.

1	13.0	16.2	15.0	14.7	2.4	735.1	735.4	**735.5**	95	81	87	NNE o	NNE 1	NNE 1	10	10	10	.	
2	14.2	17.5	15.0	15.6	3.5	734.4	733.0	731.9	91	83	99	NNE 1	NNE 1	NNE 1	9	3	1	.	
3	12.2	17.0	16.3	15.2	3.3	731.5	731.1	730.6	100	87	100	SSW o	SSW 1	S 1	10	8	9	0.4	▽ p
4	14.7	**18.0**	14.8	15.8	4.0	729.6	729.1	729.6	100	85	94	**S** 1	SSW 1	E o	10	9	10	.	
5	15.4	16.4	12.6	14.8	3.2	731.6	731.6	733.4	71	69	72	NNE 1	NNE 2	NNE 2	10	5	10	.	
6	9.2	13.2	10.8	11.1	−0.3	732.9	731.1	730.7	75	70	77	NNE 2	NNE 1	NNE 1	6	5	2	.	
7	8.4	12.8	11.5	10.9	−0.3	728.5	727.3	728.1	70	**50**	76	NNE 2	NNE 2	NNE 2	2	2	2	.	
8	8.4	14.0	10.0	10.8	−0.2	729.6	730.2	731.6	83	89	86	NE o	NNE 1	E o	5	0	0	.	
9	7.8	12.1	8.0	9.3	−1.5	733.5	733.5	733.8	94	76	94	NNE 1	**NNE** 1	NNE o	0	0	0	.	
10	4.4	10.2	5.6	6.7	−4.0	733.1	732.0	730.7	100	86	94	E o	ENE o	E o	10	5	0	.	
11	6.8	10.8	7.0	8.2	−2.3	730.3	728.9	728.0	100	85	100	ESE o	ENE 1	E o	10	5	10	.	
12	7.4	12.4	11.6	10.5	0.2	726.8	725.3	723.7	97	81	95	E o	NNE o	E o	10	9	10	.	
13	11.0	14.5	12.0	12.5	2.4	720.8	719.6	**719.0**	100	72	100	ENE o	ESE 1	E o	10	6	9	1.5	● p mU
14	11.0	16.0	14.3	13.8	3.9	719.7	**719.0**	719.7	100	89	93	SSW o	SSW o	SSW o	10≡	9	10●	6.5	● p–n mU, ≡ n–a
15	13.8	16.4	12.4	14.2	4.4	721.3	722.6	725.1	91	81	100	SSW o	ESE o	ENE o	10●	10	5≡	4.6	● n–a mU, ≡ p–n
16	11.2	16.2	14.4	13.9	4.3	726.2	725.5	727.0	100	79	89	ENE o	NE o	NNE 1	10≡	9	10	0.3	● n (16./17.), ≡ n–a
17	12.2	17.1	15.3	14.9	5.5	728.7	728.0	729.6	100	72	89	NNE 1	NNE 1	NNE o	10	3	9	0.3	● n (17./18.)
18	14.2	15.8	14.5	14.8	5.6	729.0	728.6	729.8	95	81	93	NNE o	NNE 1	NNE o	10	10	10	.	
19	14.2	17.4	15.2	15.6	6.6	730.7	730.6	732.2	93	76	96	NNE o	NNE 1	NNE 1	10	7	9	.	
20	13.4	16.0	15.6	15.0	6.1	731.8	731.4	731.3	92	75	85	NNE 1	NNE 1	NNE 1	10	6	9	.	
21	15.0	16.2	14.5	15.2	6.5	729.4	728.5	728.0	78	87	91	NNE 1	NNE 1	NE o	10	10	10	.	
22	11.2	16.3	12.6	13.4	4.9	727.6	726.1	727.6	100	73	93	NE o	NNE 1	NNE 1	10≡	0	3	.	≡ n–a
23	10.4	15.8	12.6	12.9	4.6	729.1	728.5	730.1	93	77	95	NNE o	NNE 1	NNE o	10	5	9	.	
24	10.4	14.2	11.0	11.9	3.7	730.6	728.8	727.8	100	76	100	S o	SW 1	SW o	10≡	3	5	.	≡ n–a
25	10.0	13.2	12.4	11.9	3.9	726.3	725.3	725.5	100	86	95	NW o	NW o	NW 1	10≡	8	10●	**20.1**	● p–n, ≡ n–a
26	11.8	14.4	12.6	12.9	5.1	726.6	725.8	725.6	95	70	87	SE 1	NNE 1	NE o	10●	7	10●	0.1	● n–a, p–n
27	10.0	13.6	9.0	10.9	3.2	724.0	722.2	721.7	92	69	95	NE o	NNE 1	NE o	10	5	8	0.1	● n (27./28.)
28	10.5	14.4	10.0	11.5	4.0	723.6	723.7	727.2	93	86	89	E o	NW 1	E o	10	10●	10●	11.2	● a–n mU
29	8.5	11.6	8.8	9.6	2.3	728.0	727.0	727.7	94	67	94	ENE o	NNE 1	NNE o	10	3	9	2.0	⛈ ▽ 17
30	3.8	10.6	5.2	6.5	−0.7	728.6	727.6	727.3	93	60	94	ESE o	NNE 1	E o	1	3	1	.	
31	**2.0**	9.3	5.4	5.6	−1.4	727.5	726.4	726.1	100	76	100	ENE o	ENE o	E o	2	2	0	0.0	
																		Summe	
Mittel	10.5	14.5	11.8	12.3	—	728.6	727.9	728.2	93	77	92				8.5	5.7	6.8	47.1	

$\lambda = 8° 34'$, $\beta = 47° 23'$,
$H_b = 569.4$ m, $G = 0.03$ mm

Zürich

Oktober 1953
Beobachter: *Meteorol. Zentralanstalt*

Tag	Lufttemperatur 7³⁰	13³⁰	21³⁰	Mittel	Abweich. vom Normalst.	Luftdruck 7³⁰	13³⁰	21³⁰	Relative Feuchtigkeit 7³⁰	13³⁰	21³⁰	Windrichtung und Stärke 7³⁰	13³⁰	21³⁰	Bewölkung 7³⁰	13³⁰	21³⁰	Niederschlag	Witterung
1	10.7	14.0	9.5	11.4	0.9	722.4	722.8	722.3	90	73	96	NE 1	ENE 1	N 1	10	10	10	.	⌓ I
2	10.5	17.1	11.5	13.0	2.7	721.2	720.0	718.8	93	62	97	— 0	SSW 1	E 1	10	2	0	.	⌓ I
3	8.9	18.8	12.6	13.4	3.3	718.1	716.8	715.4	99	62	97	SSE 1	WSW 1	E 0	10≡	3	6	1.1	≡ n-11
4	12.7	16.4	13.8	14.3	4.4	715.3	714.3	715.6	98	79	99	W 0	ESE 1	ENE 0	10●	9	10	1.1	● 3½-8
5	10.5	11.5	8.1	10.0	0.3	718.4	719.5	720.4	89	70	72	NE 1	NE 1	NE 2	10	10	10	.	
6	4.7	12.3	7.2	8.1	-1.5	719.1	717.5	716.7	89	52	79	NNE 1	NE 1	ENE 2	6	2	9	.	⌓ I
7	3.3	12.2	7.3	7.6	-1.8	714.6	713.6	714.3	96	57	89	NE 1	NNE 2	N 1	0	7	10	.	⌓ I
8	4.7	13.4	6.9	8.3	-0.9	715.8	716.5	718.5	100	52	87	NE 1	NNE 1	NE 1	8	1	0	.	⌓ I
9	3.5	12.0	5.8	7.1	-1.9	719.5	719.2	718.9	100	54	84	NE 1	NNE 1	NE 2	8	0	0	.	⌓ I
10	2.7	9.4	5.0	5.7	-3.2	718.4	717.4	716.2	100	70	100	ESE 1	ENE 1	N 1	10	4	0	.	≡ 6¾-a mU, ⌓ I
11	4.8	9.9	5.0	6.6	-2.1	715.6	713.8	713.0	100	81	99	WSW 1	NE 1	NNE 1	10≡	8	0	0.1	≡ n-a, ⌓ I
12	5.4	10.0	7.6	7.7	-0.8	712.6	710.8	709.3	100	87	100	S 1	E 1	N 1	10≡	4	10≡	0.0	≡ n-12, p-n
13	6.3	18.1	13.3	12.6	4.3	706.5	704.4	704.8	100	57	85	S 1	NE 1	NW 1	4≡	3	10	0.0	≡ n-7¾
14	10.3	18.3	13.1	13.9	5.8	705.5	704.8	704.9	87	58	95	WSW 1	NW 1	N 0	5	6	4	.	
15	11.0	16.2	12.7	13.3	5.3	704.5	707.7	710.5	98	77	99	NNW 1	WSW 1	SW 0	9	10	10	0.0	⌓ I
16	10.4	11.9	11.9	11.4	3.6	712.2	711.6	712.5	100	99	100	ENE 0	NE 1	S 1	10≡	10	10	2.7	● 10-11¾, 15½-19¼, ≡ n-10
17	11.0	18.4	12.4	13.9	6.3	713.5	713.9	715.2	100	64	97	SSW 1	S 1	W 0	10	6	10●	4.6	● 0-0½, 21½-24
18	11.7	13.7	13.0	12.8	5.4	714.7	715.1	715.6	98	82	96	NE 2	NNE 1	NE 1	10●	10	10	0.2	● 1¾-5¼, 6¼-7½
19	12.3	16.7	13.8	14.3	7.0	716.5	716.3	717.8	99	70	91	NE 1	NNE 1	NNE 1	10	6	10	.	
20	12.8	14.6	12.7	13.4	6.3	717.9	717.0	717.4	98	81	96	NE 1	N 1	NE 1	10	10	10	.	
21	12.3	15.0	11.8	13.0	6.1	715.9	714.3	713.1	98	81	95	ENE 1	NE 1	NE 1	10	9	9	.	
22	9.5	16.9	10.2	12.2	5.5	713.0	712.3	712.9	98	65	99	NE 1	SW 1	NNE 1	10	1	0	0.0	⌓ I
23	8.2	16.0	10.3	11.5	4.9	713.8	714.1	715.4	100	74	100	W 1	SSW 1	SSE 1	10≡	5	1	0.1	≡ n-11½
24	6.2	14.2	9.5	10.0	3.6	716.0	714.6	712.8	100	77	100	NE 1	ENE 1	N 0	0≡	1	8	0.1	≡ n-10¾
25	9.1	11.2	10.3	10.2	4.0	711.3	711.0	711.1	100	99	100	WSW 1	SSE 0	ENE 1	10≡	10●≡	10	2.4	● 6½-7¼, 9¼-15½, ≡ n-p mU
26	10.1	10.1	8.4	9.5	3.5	710.7	711.5	711.3	100	97	97	ENE 1	WNW 1	WSW 1	10	10❟	10	0.6	● 5-7, 10½-11, 12¾-13, ❟ 13-14,
27	7.3	9.4	8.7	8.5	2.6	708.5	707.5	706.5	100	93	99	NW 1	E 1	ENE 0	10	10	10	.	≡ a mU [≡ a mU
28	8.3	16.2	10.3	11.6	5.9	709.4	708.8	710.8	100	65	90	SSE 1	NE 1	W 1	3	2	10	0.4	⌓ I
29	7.0	6.4	4.6	6.0	0.4	712.8	712.6	712.8	98	100	100	W 1	WSW 1	S 1	10	10●	10●	20.8	● 6½-7¼, 9-24
30	5.3	9.5	4.6	6.5	1.1	713.3	713.1	713.0	100	70	91	SSW 1	S 1	SSE 1	10	6	0	.	● 0-7
31	2.6	9.7	3.5	5.3	0.0	712.4	711.5	711.4	98	61	100	SE 1	ENE 1	E 1	7	7	0	.	⊔ I
Mittel	8.2	13.5	9.5	10.4	—	714.2	713.7	713.8	98	73	94				8.4	6.2	6.7	Summe 34.2	

$\lambda = 6° 32'$, $\beta = 46° 51'$
$H_b = 1589$ m, $G = -0{,}13$ mm

Chasseron

Oktober 1953
Beobachter: *Ch. H. Martin*

Tag	Lufttemperatur 7³⁰	13³⁰	21³⁰	Mittel	Abweich. vom Normalst.	Luftdruck 7³⁰	13³⁰	21³⁰	Relative Feuchtigkeit 7³⁰	13³⁰	21³⁰	Windrichtung und Stärke 7³⁰	13³⁰	21³⁰	Bewölkung 7³⁰	13³⁰	21³⁰	Niederschlag	Witterung
1	3.3	5.0	4.2	4.2	—	637.8	638.9	638.7	100	100	100	E 3	E 2	E 2	10≡	10≡	10≡	.	≡ n-n, ↙ n-a
2	11.0	13.0	10.0	11.3	—	637.5	638.0	637.2	55	73	85	WSW 2	SW 2	ESE 1	2	1	0	.	
3	9.2	13.8	10.4	11.1	—	635.8	635.5	635.0	80	59	76	S 1	SSE 1	SE 2	5	5	10●	0.0	● 20-n mU
4	8.0	11.0	7.6	8.9	—	633.0	632.9	633.1	95	80	100	ESE 1	NE 1	NE 2	10	8	10≡	.	≡ 18-n mU
5	6.0	7.2	1.0	4.7	—	634.0	635.1	634.5	100	94	100	E 2	ESE 1	E 3	10	4	10≡	.	≡ n-11½, 15-n mU, ↙ p-n
6	1.2	9.4	1.7	4.1	—	634.0	634.0	632.9	73	30	81	E 3	E 1	NE 1	2	4	1	.	↙ n-a
7	-2.2	3.2	0.1	0.4	—	629.0	629.7	629.9	96	84	98	E 3	E 1	ENE 2	6	5	0	.	↙ n-a
8	-0.6	4.0	1.2	1.5	—	630.7	632.4	633.0	92	64	100	ENE 2	NE 1	E 3	1	2	1	.	↙ p-n
9	-1.3	5.1	4.8	2.9	—	635.5	635.0	635.0	100	75	31	E 2	ENE 1	E 2	4	0	0	.	
10	5.1	9.3	3.6	6.0	—	633.7	633.9	632.8	40	42	70	E 1	E 1	ESE 2	1	0	0	.	
11	3.7	11.4	6.2	7.1	—	631.6	631.4	630.7	100	56	70	W 1	WNW 1	SE 2	1	0	0	.	
12	7.8	9.6	7.0	8.1	—	629.5	629.1	628.0	60	55	75	SSE 2	SSE 2	SE 2	4	6	8	.	
13	7.2	10.2	8.3	8.6	—	624.8	623.9	623.6	82	65	93	SE 2	S 3	S 2	8	8	10	2.8	● 17-20½ mU, ↙ n-n mU
14	8.0	10.4	10.3	9.6	—	620.6	624.4	624.7	97	80	62	WSW 1	E 1	E 1	8	8	9	0.2	● 17-18 mU
15	10.4	6.3	7.2	8.0	—	624.2	626.5	628.8	96	100	80	NW 2	WNW 2	W 1	9●	10≡	5	2.7	● n-12 mU, ≡ 8-14½
16	7.0	9.0	6.4	7.5	—	629.9	629.9	630.6	75	74	100	N 1	NE 1	NNW 1	6	8	10●	1.8	● 19-n mU
17	5.3	7.0	5.6	6.0	—	630.9	631.8	632.6	100	100	100	NW 2	WNW 1	N 1	10≡	10≡	10≡	0.8	≡ n-n
18	5.8	6.3	6.8	6.3	—	631.8	632.1	633.3	100	100	100	NNE 1	E 2	E 1	10≡	10❟≡	10≡	2.2	❟ n-n mU, ≡ n-n
19	6.9	7.1	7.0	7.0	—	633.5	634.3	635.2	100	100	100	E 1	SE 0	N 1	6	10≡	6	.	❟ n-7, ≡ n-7¼, 8-12, 12-n
20	8.3	7.4	6.0	7.2	—	634.7	634.8	634.6	100	100	100	N 1	E 1	ESE 2	10≡	10≡	10≡	.	≡ 7-n [mU
21	5.1	7.0	5.4	5.8	—	632.4	632.0	631.0	100	100	100	E 2	E 2	ESE 2	10≡	2	10≡	.	≡ n-12½, 14-n
22	5.3	11.1	9.2	8.5	—	629.9	630.4	631.2	100	67	59	SW 2	SW 1	WSW 3	10≡	3	1	.	≡ n-8½ mU, ↙ p-n
23	7.0	7.0	6.2	6.7	—	631.5	632.1	633.0	89	100	100	S 2	NW 1	SW 2	6	8	4	5.6	K ◊ 15-15¾, ▽̇ 15-16½,
24	5.3	9.8	5.2	6.8	—	632.8	632.6	631.2	99	80	98	SE 2	SSE 1	E 3	2	2	9	.	↙ p-n [≡ 12-14
25	5.8	7.0	4.9	5.9	—	629.0	629.2	628.9	99	93	100	NW 1	S 1	W 1	10	10	10	21.0	● 14-15½, 22-n
26	3.1	3.4	3.3	3.3	—	628.0	628.8	628.5	100	100	97	N 2	WNW 1	SW 1	10●≡	10≡	5	6.6	● n-8, ❟ 8-11, *)
27	3.6	8.6	6.7	6.3	—	626.2	625.7	625.0	90	64	79	SE 1	W 1	SE 1	4	4	6	4.6	● n (27./28.), ≡ n-7
28	4.4	6.6	1.4	4.1	—	626.4	627.3	628.3	98	94	100	SSE 2	ESE 1	NW 2	8	9	10●	9.3	● n-5, 15-22 mU, ✶ 22-n, *)
29	-0.2	0.0	-1.4	-0.5	—	628.8	628.7	628.5	100	100	100	NW 1	NW 2	NW 2	10≡	10≡	9	1.8	✶ n-4, 12-13 mU, *) ⊛
30	-2.4	-0.4	-0.8	-1.2	—	628.8	629.2	629.0	100	65	98	NW 2	W 1	S 2	5	6	1	.	≡ n-8 mU ⊛
31	0.3	3.2	2.4	2.0	—	628.2	628.0	628.0	50	47	70	W 2	S 2	SW 2	6	8	1	.	⊛
Mittel	4.8	7.4	5.1	5.8	—	630.8	631.2	631.2	89	79	88				6.6	6.2	6.0	Summe 59.4	

*) 26. n-15, 15-n mU 28. ≡ 8¼-10 mU, 14-n 29. ✶ 14½-15½, 16¼-n mU, ≡ n-16½, 16½-n mU

Oktober 1953
Beobachter: *B. Minsch und C. Clavuot*

Bever

$\lambda = 9° 53'$, $\beta = 46° 33'$,
$H_b = 1711.8$ m, $G = -0.23$ mm

Tag	Lufttemperatur					Luftdruck			Relative Feuchtigkeit			Windrichtung und Stärke			Bewölkung			Niederschlag	Witterung
	7^{30}	13^{30}	21^{30}	Mittel	Abweich. vom Normalst	7^{30}	13^{30}	21^{30}	7^{30}	13^{30}	21^{30}	7^{30}	13^{30}	21^{30}	7^{30}	13^{30}	21^{30}		
1	4.9	13.4	7.4	8.6	3.3	63 .4	629.8	**631.4**	98	56	100	SE o	SE 1	NE o	10	8	10≡	.	≡ p-n
2	7.2	**15.0**	4 2	8.8	3.6	631.0	629.9	629.4	88	44	92	SE o	SE 1	SE o	9	4	0	.	
3	1.2	14.2	8.9	8.1	3.1	628.7	626.9	627.2	99	36	73	S o	SW 1	SW o	10≡	3	5	2.3	● n (3./4.), ≡ n-a
4	7.2	10.8	7.2	8 4	3.6	624.6	623.5	624.1	96	79	96	SE o	E o	SW o	9	10	10	13.2	● p, n (4./5.)
5	6.3	11.6	4.4	7.4	2.8	624.6	625.1	626.6	99	42	62	NE o	N 2	NE 2	9	1	1	.	
6	−0.6	11.3	1.2	4.0	−0.4	625.6	623.2	622.5	97	**19**	56	W o	W o	N 1	10≡	8	1	.	≡ n-a
7	−4.1	6.8	3.2	2.0	−2.2	621.1	618.4	620.6	94	39	64	SW o	NW 2	NE o	0	3	7	.	⌊
8	−0.3	5.4	3.0	2.7	−1.3	621.8	622.2	624.3	85	47	56	NE o	W o	NW 1	3	8	9	.	
9	−5.0	9.1	0.0	1.4	−2.5	625.7	625.9	626.3	96	31	51	SW o	NE 1	NE o	0	0	0	.	⌊
10	−6.0	12.2	−1.0	1.7	−2.0	625.9	623.9	625.7	93	26	90	SW o	NE o	SW o	1	0	0	.	⌊
11	−4.8	13.8	1.2	3 4	−0.1	624.8	622.6	623.5	98	26	73	S o	**SW** o	NW o	0	0	0	.	⌊
12	−3.3	11.2	0.2	2.7	−0.6	623.0	621.5	622.2	99	43	93	SW o	S 2	SW o	0	4	3	.	⌊
13	0 3	8.2	5.2	4.6	1.5	620.2	619.3	619.0	98	71	98	NE o	S 1	SW o	7	9	10●	2.3	● 20-n
14	2.2	12 5	7.9	7.5	4.6	619.0	**618.2**	619.7	98	56	97	SE o	W o	SW o	5	8	10●	6.6	● 20-n
15	6.8	11.9	8.3	9.0	6.3	**618.2**	618.9	622.3	98	82	97	SE o	SW o	**W** o	4	10●	9	3.3	● 13-15½, 19½-20¾
16	5.5	10.0	6.8	7.4	4.9	621.6	620.8	623 1	99	78	98	SW o	NE 1	SW o	10●	9	10	14.1	● n-a, 22½-n
17	3.6	9.8	6.7	6.7	4.4	623.1	623.0	624.3	100	85	99	SW o	SE o	**S** o	10≡	10●	10●	9.1	● 13-n mU, ≡ n-a
18	7.8	10.9	8.8	9.2	7.1	624.6	624.9	626.0	98	82	98	NE 1	NW 1	NE 1	10●	10	9	4.9	● n-a
19	6.7	13.5	7.2	9.1	7.2	626.8	626.1	626.3	99	55	89	NE o	NE 1	NW o	8	5	4	.	
20	0.3	14.3	4.2	6.3	4 6	628.3	625.5	625.9	99	48	93	SW o	SW o	W o	0	5	2	.	≡ a
21	1.0	9.6	6.2	5.6	4.1	624.6	623.0	623.1	98	75	90	SW o	N o	N o	10≡	2	5	.	≡ n-a
22	4.2	9.0	5.1	6.1	4.8	624.0	622.9	624.4	69	61	87	SW 1	SW o	NW o	9	9	8	.	
23	2.0	8.8	4.4	5.1	4.0	624.3	623.9	625.6	99	66	99	SW o	SW 1	S o	7	10	10●	4.2	● 17-n
24	2.2	10.6	6.0	6.3	5.3	625.7	624.3	623.9	99	56	93	SW o	**S** 1	SE o	10≡	8	10●	8.6	● 17-n mU, ≡ n-a
25	5.0	4.2	2.9	4.0	3.2	621.6	621.0	621.7	96	98	98	W o	SW 1	SW o	10●	10●	10	**17.2**	● n-n mU
26	3 0	6.8	4.0	4.6	4.0	620.6	620.8	620.9	98	81	98	S o	SW 1	SW o	10●	10	10	8.1	● n-a, n (26./27.)
27	3.0	10 0	8.0	7.0	6.6	619.8	619.2	618.5	98	63	89	SW o	SW 2	SW o	8	10	10	4.7	● n (27./28.)
28	3 1	8.8	7.0	6.3	6.1	620.1	620.1	621.6	98	47	82	SW o	SW 1	SW o	6	5	3	0.2	● n (28./29.), ≡ a
29	2.2	4 5	1.0	2.6	2.6	620.4	618.6	618.4	98	81	98	S o	S o	SW o	8	9●	10	2.3	● 12½-15½, ✶ 15½-n
30	−0.6	2.2	−5.8	−1.4	−1.2	618.7	619.5	621.4	99	57	83	E o	NW 1	SW o	10	8	0	.	
31	**−9.8**	3.7	−2.8	−3.0	−2.7	621.7	620.9	621.8	96	43	93	SW o	SW 1	S o	0	4	5	.	≡ a mU
																		Summe	
Mittel	1.7	9.8	4.2	5.2	—	623.6	622.7	623.6	96	57	87				6.5	6.5	6.2	101.1	

Oktober 1953
Beobachter: *Couvent des Capucins*

Sion

$\lambda = 7° 21'$, $\beta = 46° 14'$,
$H_b = 548.6$ m, $G = -0.11$ mm.

1	12.0	18.3	11.7	14.0	1.5	724.1	722.7	**724.5**	99	59	93	WSW o	WSW 2	W o	10	2	0	.	
2	10.8	17.7	14.0	14.2	1.9	723.5	721.1	721.0	99	64	80	W o	WSW 1	WSW o	0	5	0	.	
3	10.1	19.6	14.4	14.7	2.6	720.9	718.6	718.3	90	43	86	WSW o	**WSW** o	WSW o	10	3	10	5.0	
4	12.6	16.7	13.2	14.2	2.3	718.1	717.0	717.1	100	82	100	WSW o	WSW o	WSW o	10●	10●	10	2.5	● 0¾-8¾, 13¾-20¾
5	12.1	19.0	12.1	14.4	2.7	718.6	717.9	720.3	100	54	89	WSW o	WSW o	W o	4	0	0	.	
6	10.8	14.6	10.0	11.8	0.3	719.9	717.9	717.5	95	69	81	**W** o	WSW 1	**WSW** 1	10	10	0	.	
7	8.1	14.0	7.8	10.0	−1.3	715.8	713.9	715.5	96	51	74	WSW o	WSW 1	ENE 1	10	0	10	.	
8	6.7	13.8	8.7	9.7	−1.4	717.3	716.4	718.7	89	48	73	ENE o	WSW 1	**ENE** 1	10	0	0	.	
9	3.9	13.4	7.3	8.2	−2.7	720.7	719.3	720.5	99	57	86	ENE o	WSW 1	WSW 1	0	0	0	.	
10	3.4	13.3	7.6	8.1	−2.6	720.7	718.2	718.7	100	59	87	WSW o	WSW 1	WSW o	0	0	0	.	
11	3.4	14.4	8.3	8.7	−1.8	718.0	715.4	716.1	100	50	84	WSW o	WSW 1	WSW 1	0	0	0	.	
12	5.2	14.3	10.7	10.1	−0.2	715.4	713.5	713.2	96	59	84	WSW o	WSW o	WSW o	4	8	2	.	
13	11.4	18.7	12.9	14.3	4.2	711.4	709.8	708.9	59	43	60	ENE 1	ENE o	ENE 1	5	6	2	.	
14	13.6	**20.6**	15.4	16.5	6.6	709.4	**707.4**	708.0	67	46	61	ENE o	ENE 1	ENE o	7	6	8	.	
15	11.3	16.7	13.6	13.9	4.2	708.3	710.7	713.6	91	84	93	ENE o	WSW 1	WSW o	8	10	10	0.6	● 9¼-9¾, 11-11¾
16	10.0	16.1	12.3	12.8	3.2	714.6	713.7	715.1	100	63	100	**WSW** o	WSW o	WSW o	10	10	10	0.3	● 18-18¾
17	9.0	16.9	14.0	13.0	3.6	716.2	715.2	716.4	100	61	80	**WSW** o	**WSW** 1	W o	7	3	9	0.1	●tr 21¾
18	12.3	16.2	12.3	13.6	4.4	716.4	716.3	717.6	99	60	100	WNW o	ENE 3	E o	8	10	6	4.7	● 15½-20, ●tr 21, 22, ☂ a-p
19	11.2	17.6	12.0	13.6	4.6	719.2	718.6	719.9	83	55	100	ENE 1	ENE 1	ENE o	5	6	4	3.1	● 4¼-5, 8¾-9¾, ●tr 15¾, [16-17¾
20	9.3	16.2	12.8	12.8	4.0	719.7	718.6	719.4	100	74	91	ENE o	S 1	W o	5	2	10	.	
21	12.6	16.6	12.0	13.7	5.1	717.9	715.2	716.1	80	62	90	W o	W 1	W o	10	0	9	.	
22	9.3	18.7	13.2	13.7	5.2	716.1	714.6	716.2	96	**41**	57	W o	**W** o	ENE o	1	2	5	.	
23	10.5	15.9	12.6	13.0	4.7	716.6	715.9	718.0	66	54	80	ENE 1	**WSW** 1	**W** o	6	5	5	.	
24	8.2	16.6	10.0	11.6	3.5	719.0	716.3	715.8	90	45	89	WSW o	WSW o	W o	0	1	5	.	
25	8.4	16 1	11.6	12.0	4.1	714.1	713.2	713.6	100	56	95	WSW o	WSW o	WSW o	10	4	10	4.6	● 22½-24
26	10.4	12.8	9.6	10.9	3.2	714.0	713.9	713.7	100	76	99	W o	WSW o	W o	10●	10●	10	0.8	● 0-8¾, 12¼-14¾
27	9.2	15.3	10.2	11.6	4.0	712.4	710.3	709.8	91	51	100	**WSW** o	WSW o	WSW o	8	7	10	1.2	● 22½-24
28	9.8	16.8	9.8	12.1	4.7	711.7	711.6	713.6	100	44	92	W o	E o	W o	10	7	1	1.4	● 0-3
29	7.4	7.0	5.0	6.5	−0.7	715.0	715.4	715.4	96	95	100	W 1	WSW 1	W o	10●	10●	10	**6.0**	● 5-15¾
30	4.2	10.6	5.0	6.6	−0.4	716.0	715.4	716.5	99	56	75	WSW o	WSW o	WSW 1	10	2	0	.	
31	**1.0**	10.2	5.2	5.5	−1.4	716.6	714.5	715.4	89	42	57	ENE o	ENE 1	ENE 1	0	6	0	.	
																		Summe	
Mittel	9.0	15.6	10.8	11.8	—	716.7	715.4	716.3	93	58	85				6.4	4.7	5.0	30.3	

$\lambda = 8°\,57'$, $\beta = 46°\,0'$,
$H_b = 276.2$ m, $G = -0.01$ mm.

Lugano

Oktober 1953
Beobachter: *G. Vicari*

Tag	Lufttemperatur 7³⁰	13³⁰	21³⁰	Mittel	Abweich. vom Normalst	Luftdruck 7³⁰	13³⁰	21³⁰	Relative Feuchtigkeit 7³⁰	13³⁰	21³⁰	Windrichtung und Stärke 7³⁰	13³⁰	21³⁰	Bewölkung 7³⁰	13³⁰	21³⁰	Niederschlag	Witterung
1	15.4	23.4	15.4	18.1	3.7	746.7	746.9	**747.5**	90	54	87	NNW 1	E 1	N 1	7	6	0	.	
2	15.0	**24.2**	15.8	18.3	4.1	**747.5**	746.6	745.8	88	52	85	N 1	S 1	NNW 1	1	1	0	.	
3	13.4	21.0	16.8	17.1	3.1	744.9	743.5	742.8	82	59	90	N 1	SSE 1	S 1	4	5	10 ☽	16.6	● ☽ 19–n
4	14.8	15.2	14.8	14.9	1.1	741.0	739.9	739.0	96	97	97	WNW 1	SSW 1	W 1	10 ●	10 ●	10 ●	27.5	● n–n
5	12.4	23.6	14.2	16.7	3.1	739.1	739.3	740.0	93	56	81	N 1	S 1	N 1	5	0	0	.	
6	10.2	20.4	14.2	14.9	1.5	741.9	739.6	737.7	77	63	91	N 1	S 1	NW 1	8	9	10	.	
7	10.0	19.2	11.4	13.5	0.3	737.4	736.8	737.7	72	48	79	N 1	SW 1	NW 1	2	3	1	.	
8	8.6	19.0	10.4	12.7	−0.3	739.7	739.2	741.5	82	48	83	N 1	S 1	N 1	0	0	0	.	
9	6.6	17.2	11.8	11.9	−0.9	743.9	744.4	744.9	79	56	85	N 1	S 1	SW 1	0	3	10	.	
10	10.8	17.6	9.2	12.5	−0.1	744.7	743.6	743.8	86	48	79	N 1	S 1	N 1	10	0	0	.	
11	6.4	19.2	9.6	11.7	−0.7	742.8	740.5	741.2	87	51	88	N 1	S 1	NNW 1	0	0	0	.	
12	7.0	18.2	9.4	11.5	−0.8	741.3	739.6	740.0	87	53	91	N 1	S 1	N 1	0	7	0	.	
13	11.2	13.8	11.4	12.1	0.0	738.6	737.6	737.1	91	77	98	NW 1	S 1	N 1	10	10	10 ☽	6.4	☽ 11½–12½, ● ☽ 16–n
14	11.4	13.2	12.6	12.4	0.5	735.1	735.3	734.8	95	86	99	N 1	NNW 1	N 1	10	10 ●	10 ●	12.7	● 11½–n
15	13.0	14.4	14.2	13.9	2.2	**733.1**	734.4	736.8	97	96	98	WNW 1	NNE 1	N 1	10 ●	10 ●	10	27.5	● n–20½
16	12.8	14.2	12.2	13.1	1.6	736.5	736.6	737.9	93	97	98	NW 1	E 1	NNW 1	10 ●	10 ●	10 ●	41.1	● n–n
17	12.4	16.6	14.8	14.6	3.3	738.8	738.3	739.1	93	83	98	N 1	N 1	N 1	5	10 ☽	10 ●	43.3	● ☽ 13¼–14, ● 15–17, 19–n
18	13.2	16.4	14.8	14.8	3.7	740.4	740.7	741.9	95	80	96	N 1	N 1	NW 1	4	9	9	**55.7**	● n–6, 8–11, 14½–20½, n (18./19.)
19	14.4	17.8	13.8	15.3	4.4	742.6	742.7	743.2	97	72	94	S 1	NNE 1	N 1	10 ●	1	7	5.5	● n–11½, n (19./20.)
20	14.0	20.8	14.4	16.4	5.7	743.0	741.5	741.4	91	62	91	NNW 1	S 1	N 1	9	0	1	.	
21	12.0	17.6	15.2	14.9	4.3	740.2	739.8	740.1	92	76	88	N 1	N 1	— 0	0	9	10	0.9	● n (21./22.)
22	13.4	16.4	12.8	14.2	3.8	741.4	741.0	741.9	91	68	92	N 1	N 1	N 1	9	10	10	0.6	● n (22./23.)
23	12.8	14.0	12.8	13.2	3.0	741.7	741.9	743.2	97	95	98	N 1	N 1	N 1	10 ●	10 ●	10	10.8	● n–17
24	11.8	17.0	13.4	14.1	4.1	742.9	741.8	741.2	94	72	91	N 1	S 1	— 0	9	8	10 ●	20.7	● 18–n
25	13.2	13.8	12.4	13.1	3.3	737.5	736.9	737.4	99	94	96	E 1	N 1	WSW 1	10 ●	10 ●	10	42.2	● n–15, 22–n
26	12.0	14.4	11.8	12.7	3.1	737.4	738.2	737.1	98	83	96	NNE 1	W 1	WSW 1	10 ●	9	10 ●	45.0	● n–11, 14–14½, 17½–n
27	11.2	12.4	12.0	11.9	2.5	736.7	735.8	734.1	97	91	98	NW 1	W 1	S 1	10 ●	10 ●	10 ☽	21.4	● n–21½, ☽ 21½–n
28	11.4	17.2	12.0	13.5	4.3	737.3	737.6	738.6	93	66	91	N 1	W 1	NNW 1	4	9	10 ☽	1.9	☽ 13¾–14, ⛆ 14–14¼, *)
29	11.8	11.4	7.8	10.3	1.3	737.4	736.0	736.9	93	95	86	NNW 1	NNW 1	N 1	10	10 ●	10	31.8	● 8½–21¼, ⛈ 15–18
30	8.6	17.2	7.4	11.1	2.3	736.4	736.2	738.9	91	**45**	71	N 1	S 1	N 1	8	0	0	.	
31	**3.8**	12.8	8.4	8.3	−0.3	740.2	739.6	740.4	84	53	87	N 1	S 1	NW 1	0	8	4	.	
																		Summe	*) 28. ☽ 20½–22, ● 22–n
Mittel	11.4	16.8	12.5	13.6	—	740.3	739.7	740.1	90	70	90				6.3	6.4	6.5	411.6	

$\lambda = 7°\,35'$, $\beta = 47°\,33'$,
$H_b = 317.3$ m, $G = 0.11$ mm.

Basel

Oktober 1953
Beobachter: *Astronom.-Meteorol. Anstalt*

1	9.0	17.2	10.7	12.3	0.7	**745.1**	**745.1**	744.9	92	63	92	W 0	NW 1	E 1	9	3	0	.	
2	10.4	18.8	13.0	14.1	2.7	743.2	741.3	740.3	92	60	94	ESE 1	E 1	SE 1	10	0	0	.	⛆
3	10.2	21.3	13.0	14.8	3.6	739.4	738.0	737.3	96	65	90	SE 1	ENE 1	E 1	6	1	0	.	≡ 5–7¾
4	12.6	**21.4**	14.0	16.0	5.0	736.7	736.2	737.9	93	65	93	ESE 1	WNW 1	WNW 1	10	5	8	0.4	
5	9.1	12.0	7.7	9.6	−1.2	741.1	742.1	743.1	88	82	76	NW 1	NW 1	NNW 1	10	10	10	.	● 3¾–4¼
6	3.7	13.1	6.1	7.6	−3.0	742.4	740.4	739.0	100	57	86	SW 1	NNW 1	WSW 1	10 ≡	1	4	.	≡ 4½–9, ⌙
7	3.9	13.0	8.5	8.5	−1.9	737.5	736.4	737.1	97	67	84	SW 0	WNW 1	WSW 1	1	4	10	.	⛆
8	5.8	12.1	6.6	8.2	−2.0	738.6	739.1	739.9	99	65	96	E 0	WNW 1	NW 0	10 ≡	1	0	.	≡ 4–10¼
9	4.2	12.2	3.2	6.5	−3.5	742.6	741.9	741.5	98	62	90	SE 0	NNW 1	SW 1	10 ≡	1	0	.	≡ 1½–10¼, ⛆
10	1.9	14.4	4.3	6.9	−2.9	740.7	739.3	738.5	96	59	96	ESE 1	SE 1	ESE 1	0	0	0	.	⌊
11	2.4	14.2	6.8	7.8	−1.7	737.3	735.9	735.4	93	65	99	ESE 1	ESE 1	ESE 1	0	0	0	.	⛆
12	4.7	13.7	9.1	9.2	−0.1	734.2	733.0	731.4	97	70	87	ESE 1	ESE 1	ESE 1	3	6	4	.	⛆
13	10.2	19.3	12.9	14.1	5.0	728.1	726.5	**726.4**	93	**54**	95	ENE 1	ENE 1	SW 1	9	4	10 ●	0.3	● 21½
14	9.7	21.2	13.9	14.9	6.0	727.3	726.8	727.3	96	56	93	ESE 1	ESE 0	WSW 1	6	6	3	.	
15	12.8	15.1	11.9	13.3	4.6	727.2	729.7	732.5	97	84	95	SW 0	ESE 1	S 0	10	10	8	0.0	⛆
16	10.8	14.6	13.3	12.9	4.4	734.3	733.9	734.6	98	84	96	SSE 1	E 0	W 0	10	10	10	0.1	● 10, 17¼–18¼, ≡ 9¾–10¼
17	11.5	17.2	13.2	14.0	5.7	735.6	735.8	737.3	99	75	94	W 0	WNW 1	W 0	10 ≡	6	10	4.7	● 20¼–21½, 22½–23¾, ≡ 5¾–10¼
18	12.6	13.4	12.6	12.9	4.8	736.7	737.2	738.2	98	96	98	W 1	NW 1	NW 1	10 ≡ ☽	10	10	1.3	☽ 7¼–8½, ≡ 3–8¾
19	11.7	13.4	13.3	12.8	4.9	738.7	738.9	740.0	99	96	97	NW 1	NW 1	WNW 1	10 ≡	10	10	0.1	● 2–5, ≡ 2–12
20	12.9	14.0	13.3	13.4	5.7	739.9	739.5	739.6	100	96	97	WNW 0	NW 1	NW 0	10 ≡	10	10	.	≡ 0–11¾
21	12.6	15.7	12.7	13.7	6.2	738.3	736.7	735.6	99	85	100	W 0	WNW 1	W 1	10 ≡	10	9	.	≡ 6–11¼
22	8.8	17.7	10.4	12.3	4.9	735.0	734.1	734.9	98	65	98	SE 0	E 1	WNW 0	10 ≡	1	0	.	≡ 4–9
23	8.2	16.4	11.6	12.1	4.9	735.8	736.0	736.9	98	83	82	ESE 1	ESE 1	ESE 1	10 ≡	9	9	0.0	≡ 5–10½
24	9.4	17.6	9.0	12.0	5.0	737.7	736.3	735.2	99	68	95	ESE 1	ESE 1	E 0	10 ≡	3	5	.	≡ 2½–9¾
25	9.6	13.5	10.7	11.3	4.5	733.4	733.1	733.2	95	88	97	E 1	ESE 0	E 0	10	10	10	1.0	● 9¾–10½
26	10.0	10.6	7.2	9.6	2.9	733.1	734.1	733.9	97	83	98	ENE 0	SSW 1	W 0	10 ≡ ●	10	3	3.8	● 4¼–10¼, ≡ 6–9¾
27	6.0	14.2	10.3	10.2	3.7	731.2	729.5	728.9	99	69	88	S 1	ESE 1	E 1	9	8	10	4.0	≡ 1–4, ⛆
28	9.9	18.4	10.9	13.1	6.8	731.0	731.3	733.9	85	**54**	85	ESE 1	NNW 1	WNW 1	10	4	10	3.5	● 3–3½, 3¾–5¾
29	7.3	8.5	7.0	7.6	1.4	735.5	735.2	735.0	96	93	92	SE 1	SSE 0	SE 0	10 ●	10 ●	10	**5.4**	● 1¾–3¼ mU, 5¾–10¼, 11–15¼
30	4.6	12.8	3.0	6.8	0.8	735.8	735.4	735.6	92	57	91	S 0	WNW 1	WNW 0	2	5	0	.	
31	**1.6**	9.8	5.5	5.6	−0.3	734.7	733.6	733.6	100	69	82	ESE 1	E 1	ESE 1	4 ≡	8	0	.	≡ 6–7¾, ⌙
																		Summe	
Mittel	8.4	15.0	9.9	11.1	—	736.4	735.9	736.1	96	72	92				8.0	5.7	5.6	24.6	

Oktober 1953
Beobachter: *Observatorium*

Säntis

$\lambda = 9° 20'$, $\beta = 47° 15'$,
$H_b = 2500.1$ m, $G = -0.27$ mm.

Tag	Lufttemperatur					Luftdruck			Relative Feuchtigkeit			Windrichtung und Stärke			Bewölkung			Niederschlag	Witterung
	7^{30}	13^{30}	21^{30}	Mittel	Abweich. vom Normalst	7^{30}	13^{30}	21^{30}	7^{30}	13^{30}	21^{30}	7^{30}	13^{30}	21^{30}	7^{30}	13^{30}	21^{30}		
1	5.0	8.4	4.4	5 9	4.8	571.6	572.6	**573 9**	71	54	60	E 1	SSE 1	E 2	1	1	0	.	
2	5.4	**9.0**	4.2	6.2	5.2	571.9	571.8	571.0	71	63	68	SSW 2	SSW 2	WSW 2	1	1	0	.	
3	3.9	7.2	4.9	5.3	4.4	569.8	569.2	569.0	64	44	59	NE 1	SW 2	S 2	6	4	5	4.6	● n (3./4.)
4	2.2	3.4	1.7	2.4	1.6	566.7	566.1	566.8	100	92	100	SSW 2	N 1	NNE 2	10●	10≡●	10≡	11.4	● n-8¾, 9¾-10¾ mU, 13-n mU, ▽ 8¾-
5	0.2	1.3	0.0	0.5	-0.1	567.2	568 2	565.1	100	91	5	N 2	W 1	NNW 2	10≡	4	0	.	≡ n-9½ [½, ≡ 8½-n mU
6	0.5	4.0	-3 3	0.4	-0.1	566.9	566.3	564.2	**2**	14	13	NW 2	SSW 2	WSW 2	1	2	1	.	
7	-4.8	-4.4	-6.2	-5.1	-5.5	562.0	562.0	562.3	78	86	98	NE 2	NNE 1	NNE 2	1	3	10	.	≡ 15½-20½
8	-6.2	-3.8	-5.6	-5.2	-5.4	562.8	564.4	565.8	96	78	100	ENE 2	ESE 1	NNE 1	1	9	10≡	.	≡ 14½-n
9	-2.0	0.8	0.6	-0.2	-0.3	566 2	567.6	567.9	9	5	4	NNE 3	NE 2	NE 2	0	0	0	.	
10	0.4	3.9	2 3	2.2	2.2	567.0	567.3	566.7	9	16	22	NE 2	NE 2	ESE 1	2	1	0	.	
11	3.9	6.0	4.3	4.7	4.9	565.5	563.5	565.1	15	23	40	SE 2	S 2	SE 2	1	0	0	.	
12	3.2	7.0	2.9	4.4	4.7	564.1	563.6	562.7	39	45	63	W 1	SSW 2	S 2	1	2	1	.	
13	6.4	7.5	5.0	6.3	6.8	560.9	560.3	**559.5**	56	48	80	N 1	ESE 2	S 3	8	4	10	.	
14	4.1	7.6	6.1	5.9	6.5	560 1	560.2	561.2	61	57	69	ESE 2	S 3	E 2	4	9	10	.	
15	5.1	8.0	4.0	5.7	6.5	**559.5**	561.4	563.4	82	77	88	SSE 3	S 3	S 3	9	6	8	0.0	●tr 16-16¼
16	2.3	3.0	2.9	2.7	3.6	564.0	563.8	564.6	88	100	100	S 2	ENE 2	SW 2	10	10≡	10≡●	4.1	● 7¾-13, 19-19¾, 20¾-n, ≡ 9-13¾,
17	2.8	7.2	1.8	3.9	5.0	564.8	565.5	566.3	70	60	98	SSW 3	SW 1	NE 2	8	9	10	2.8	● 16¾-20 [19¼-n
18	3.8	6.5	5.5	5.3	6.5	566.3	567.3	568.3	80	60	71	SE 3	E 2	ESE 2	9	8	9	.	
19	4 9	8.0	5.9	6.3	7.6	568.5	569.1	569.9	72	58	60	SE 2	SSE 2	ENE 2	6	2	2	.	
20	5.2	7.8	4.6	5.9	7.4	569.2	569.2	568.7	62	59	65	NE 2	SE 2	NE 2	1	1	1	.	
21	3.9	6.3	3.2	4.5	6.1	566.9	565.8	564.6	65	21	52	NNE 2	ENE 2	SSW 2	1	2	1	.	
22	1.9	5.5	2 5	3.3	5.0	564.3	565.0	565.5	68	63	62	SW 2	SSW 2	SSW 2	2	1	1	.	
23	1.7	3.1	0.5	1.8	3.7	565.5	565.7	566.6	62	86	99	ESE 1	S 2	SW 2	9	10	1	0.5	✶ 12¼-14¼ mU
24	-0.4	4.3	2.1	2.0	4.0	566.6	566.3	565.3	97	70	76	SE 2	S 2	S 2	1	1	3	0.8	● n (24./25.), ⌯ III
25	2.6	1.2	0.4	1.4	3.5	563.2	562.6	562.5	93	100	100	SSW 1	S 2	WSW 2	10●	10≡●	10≡	7.4	● 5¾-14½, ✶ 14½-17¾, [≡ 11½-20, 21-n
26	0.4	2.2	1.1	1.2	3.5	561.6	562.5	562.5	98	88	77	SE 2	SE 3	S 2	9	9	4	.	
27	1.0	3.6	3.4	2.7	5.1	560.8	560.7	560.1	88	76	82	ESE 3	SE 3	SE 3	3	9	10	.	
28	0.3	3.1	-0.6	0.9	3.4	561 2	561.5	561.9	81	63	73	SSW 2	SSW 2	SSW 3	1	2	1	.	
29	-2.0	-3.3	-5.2	-3.6	-0.9	561.4	560.5	560.1	100	100	96	SE 2	NNE 1	NW 2	10≡	10≡*	10≡*	**25.7**	✶ 12¾-n, ≡ n-n
30	-7.1	-6.0	**-7.4**	-6.8	-4.0	560.0	560.5	561.0	97	93	59	NW 2	SW 2	WSW 2	10≡*	1	1	4.1	✶ n-10¾, ≡ n-12, 14-16 ⊠
31	-5.3	-0.9	-3.3	-3.2	-0.3	561.0	561.3	561.6	33	60	40	WSW 3	SSW 2	SE 1	3	8	0	.	⊕ 16½ ⊠
																		Summe	
Mittel	1.4	3.8	1.4	2 2	—	564.7	565 0	565.1	68	63	67				4.8	4.8	4.5	61.4	

Oktober 1953
Beobachter: *E. Chiesa*

St. Gotthard (Hospiz)

$\lambda = 8° 34'$, $\beta = 46° 33'$,
$H_b = 2095$ m, $G = -0.25$ mm.

1	4.2	10.5	7.2	7.3	4.3	599.7	600.9	**601.2**	83	85	100	NW 0	NW 0	SE 0	3	3	10≡	.	≡ 14¾-n, ⌙ l
2	6.2	9.1	5.6	7.0	4.2	601.0	**601.2**	600.4	95	92	100	SE 0	SE 0	SE 1	10	10≡	10≡	0.8	● 17¼-18½, ≡ a-n
3	3.8	9.9	5.6	6.4	3.8	599.1	599.0	598.1	81	73	98	SE 0	SE 1	SE 1	0	3	10	9.8	● n (3./4.), ⌙ l
4	4.2	5.2	3.2	4.2	1.7	595.8	595.0	595.2	98	100	98	SE 0	NW 1	NW 2	10●	10●	10●≡	11.8	● n-n mU, ≡ p-n
5	3.6	4.6	0.7	3.0	0.7	595.0	596.3	596.7	100	87	100	NW 2	NW 2	NW 2	10≡	0	10≡	.	≡ n-9, 15¼-n
6	0.4	5.8	-2.2	1.3	-0.8	595.6	595.4	593.6	65	**24**	100	NW 1	NW 2	NW 2	0	3	10≡	.	≡ 17½-n, ⌙ l
7	-3.1	2.5	-2.1	-0.9	-2.9	591.4	591.0	591.3	86	44	98	NW 2	NW 2	NW 2	0	0	10≡	.	≡ 15¾-n, ⌙ l
8	-3.2	0.8	-2.6	-1.7	-3.5	591.9	592.9	594.8	97	73	97	NW 1	NW 2	NW 2	0	0	0	.	⌙ l
9	-2.1	5.4	2.9	2.1	0.5	594.8	596.0	596.3	63	**24**	49	NW 1	NW 1	NW 1	0	0	0	.	⌙ l
10	1.6	5.2	0.6	2.5	1.0	595.8	595.9	595.9	35	88	87	NW 1	NW 0	SE 0	0	0	0	.	
11	1.3	8.7	1.4	3.8	2.5	595.0	595 0	594.3	52	36	85	SE 0	SE 0	SE 0	0	0	0	.	
12	0.6	5.8	1.5	2.6	1.5	593.9	593.5	592.9	89	76	98	SE 0	SE 1	SE 1	0	3	10	.	
13	0.9	1.1	0.6	0.9	0.0	591.2	590.8	589.8	100	100	100	SE 2	SE 1	SE 1	10●≡	10●≡	10●≡	7.5	● n-17½, ● 17½-n mU, ≡ n-n
14	2.4	4.2	5.0	3.9	3.1	589.6	589.9	590.1	100	98	100	SE 1	SE 1	SE 0	10●≡	10●≡	10●≡	10.0	● ≡ n-n, ● n (14./15.)
15	4.8	6.6	5.2	5.5	4.9	589.3	589.7	591.8	92	95	97	SE 0	SE 2	SE 0	10●≡	10●≡	10●≡	30.6	● ≡ n-n mU
16	4.6	1.5	3.6	3.2	2.8	592.5	592.6	593.3	76	95	100	NW 1	NW 1	NW 0	10	10●	10●	45.1	● 8¼-n
17	4.7	8.0	4.2	5.6	5.4	593.4	594.1	594.2	100	75	100	SE 0	SE 0	NW 0	10●≡	9	10●≡	23.7	● n-7¾, 20¾-n, ≡ n-7½, 16-n
18	4 7	7.4	6.4	6.2	6.2	594.1	594.9	595.7	92	80	90	SE 1	SE 3	SE 2	10●	10●	10●	62.8	● n-n mU, ⌿ a-p
19	2.5	7.9	5.9	5.4	5.5	596.5	597.2	597.6	93	75	90	SE 0	SE 0	SE 0	10●	10	3	3.7	● n-a
20	5.6	**11.7**	7.0	8.1	8.4	597.5	598.2	597.7	75	69	70	SE 0	SE 0	NW 1	0	3	0	.	
21	5 6	8 1	5.0	6.2	6.7	596.6	596.0	594.9	72	93	96	NW 1	SE 1	SE 0	0	10≡	10≡	7.6	● n (21./22.), ≡ 12¼-n mU
22	3.0	3.8	2.4	3.1	3.8	594.1	594.5	594.6	100	95	98	SE 1	SE 1	SE 0	10●≡	10●≡	9	3.4	● ≡ n-p
23	3.1	3.3	2.4	2.9	3.7	594.7	594.8	595.3	98	97	96	SE 0	SE 1	SE 0	10	10●≡	10	3.4	● ≡ a-p mU
24	3.1	5.9	3.6	4.2	5.2	595.6	595.7	594 7	78	74	99	SE 0	SE 0	SE 0	0	9	10●≡	6.7	● 20¾-n, ≡ 16¼-n
25	3.2	2.0	2.5	2.6	3.8	592.4	592.0	591.7	98	90	95	SE 1	SE 0	SE 0	10●	10●	10●	25.9	● n-10¾, 12¾-n mU, ✶ 10¾-12¾
26	0.5	2 6	1.4	1.5	2.8	590.9	591.3	591.6	100	100	100	SE 1	SE 0	SE 0	10*≡	10●≡	10●≡	35.3	✶ ● n-a, ● a-n, ⌿ n-n
27	0.0	3.0	5.7	2.9	4.4	590.5	590.3	**588 9**	98	95	90	SE 0	SE 0	SE 3	10*	10●	10●	53.7	✶ n-a, ● a-n, ⌿ p-n ⊠
28	1.3	1.4	1.2	1.3	3.0	590.0	590.8	591.7	98	86	90	SE 2	SE 2	SE 2	10≡	10*●	10*●	23.8	● ✶ a-n mU, ≡ n-a ⊠
29	-0.2	-2.0	-4.1	-2.1	-0.3	590.6	590.1	589.3	95	97	98	SE 0	NW 1	NW 2	10*	10*	10*	34.2	✶ n-n, ⊹ a-n ⊠
30	-4.8	-3.4	**-6.3**	-4.8	-2.8	589.3	590.2	590.5	97	98	54	NW 1	NW 1	NW 0	10≡	10≡	0	.	≡ n-14½, ⊹ n-a ⊠
31	-6.0	-0.5	-3.1	-3.2	-1.0	590.8	591.1	591.3	52	65	95	NW 0	SE 1	SE 1	0	9	10	.	⊠
																		Summe	
Mittel	1.8	4.7	2.3	2.9	—	593.8	594.1	594.1	86	80	93				6.1	6 8	7.8	399.8	

$\lambda = 7°\,26'$, $\beta = 46°\,57'$,
$H_b = 572.2$ m, $G = 0.00$ mm.

Bern

November 1953
Beobachter: *Meteorol. Observatorium*

Tag	Lufttemperatur 7³⁰	13³⁰	21³⁰	Mittel	Abweich. vom Normalst	Luftdruck 7³⁰	13³⁰	21³⁰	Relative Feuchtigkeit 7³⁰	13³⁰	21³⁰	Windrichtung und Stärke 7³⁰	13³⁰	21³⁰	Bewölkung 7³⁰	13³⁰	21³⁰	Niederschlag	Witterung
1	1.4	**10.1**	4.5	5.3	0.1	710.7	708.0	706.4	92	**49**	86	W 0	W 1	W 0	9	1	10	2.3	
2	6.0	8.0	3.8	5.9	0.9	705.6	706.6	**703.8**	96	76	99	**W** 1	SSW 1	SE 0	10●	10●	10≡	7.6	● 4½-14, ≡ 21¼-24
3	4.4	6.4	5.0	5.3	0.4	705.1	707.3	709.1	92	69	85	W 0	SSW 1	— 0	10●	9	9	0.1	● 3¾-8, ≡ 0-2¼
4	0.1	6.8	6.0	4.3	−0.4	709.7	709.9	712.7	100	64	85	— 0	NW 0	SE 1	9	8	10	0.4	● 17-17½, ≡ 4-9¾
5	3.2	9.4	7.8	6.8	2.2	713.2	712.4	712.8	100	66	88	NW 1	SSW 0	S 1	9≡	9	9	**17.1**	● 0¼-0½, 19, ≡ 5½-11
6	7.6	7.2	4.2	6.3	1.9	714.3	718.9	721.2	94	70	92	SW 1	NW 1	SE 0	10●	9	9	5.2	● 0¼-0¾, 2½-9¾, 13¾-14½
7	2.7	6.5	2.3	3.8	−0.5	721.0	719.8	719.6	90	61	93	NE 1	NE 1	— 0	5	4	0	.	⊿ I, ⌴ III
8	−1.0	2.2	1.3	0.8	−3.4	719.5	718.3	717.4	97	94	100	SE 0	NNW 1	N 1	3≡	9≡	9≡	.	≡ 7¼-24, ⌴ I
9	0.5	3.6	0.4	1.5	−2.5	716.9	716.7	717.5	97	78	100	S 1	**S** 0	— 0	10≡	0	10≡	.	≡ 0-11¾, 19¼-24
10	−1.2	6.4	0.9	2.0	−1.9	718.3	718.2	718.8	100	66	99	— 0	NE 0	NE 0	10≡	1	0	.	≡ 0-11½, ⌴ I
11	0.2	2.5	2.3	1.7	−2.0	720.0	720.2	721.0	95	86	87	N 0	NW 0	ENE 1	10	10	10	.	≡ 7¾-10¼
12	0.5	2.8	1.7	1.7	−1.9	720.9	720.6	721.0	89	76	96	W 1	W 1	SSW 1	10	9	10	.	
13	1.0	3.8	0.9	1.9	−1.5	721.1	721.7	722.2	94	76	97	S 1	N 0	— 0	10	1	10≡	.	≡ 21¼-24
14	−0.1	3.2	−0.3	0.9	−2.4	721.1	721.5	722.1	99	78	100	SE 1	NW 0	SE 1	10≡	6	10≡	.	≡ 0-11, 16¼-24, ⌴ I
15	−1.4	3.8	−0.2	0.7	−2.5	**722.6**	722.1	722.5	99	76	100	S 0	NE 1	— 0	10≡	7	10≡	.	≡ 0-10½, 16¾-24, ⌴ I
16	**−1.9**	5.8	3.2	2.4	−0.6	722.4	721.4	721.5	100	67	89	NE 0	NE 0	SE 0	10≡	0	1	.	≡ 0-10, ∾ I
17	1.1	4.9	2.9	3.0	0.1	721.9	721.7	721.7	98	84	98	SE 0	SE 1	W 1	10≡	10	10≡	.	≡ 6¾-10, 19½-23¼
18	1.0	4.2	1.4	2.2	−0.5	721.8	721.7	721.4	97	79	100	SE 1	**S** 0	S 1	10≡	9	10≡	0.4	≡ 5½-11, 15¼-24
19	0.5	2.2	1.0	1.2	−1.4	721.2	721.1	721.6	100	94	99	S 0	W 0	W 1	10◑≡	10≡	10≡	0.0	◑ 0-10, ≡ 0-24
20	−0.5	1.3	0.4	0.4	−2.0	722.4	722.3	722.2	100	92	99	SE 0	— 0	SSW 1	10≡	10≡	10≡	.	≡ 0-24
21	0.1	1.8	0.6	0.8	−1.5	721.7	721.0	720.5	96	90	98	SE 1	— 0	— 0	10≡	10	10≡	.	≡ 0-10½, p-24
22	−0.4	1.1	0.3	0.3	−1.9	719.8	719.2	719.3	96	88	98	**S** 1	W 0	N 0	10≡	10	10≡	.	≡ 0-8, 17-24
23	−0.9	−0.2	−0.3	−0.5	−2.5	719.1	718.7	719.2	97	92	99	SE 0	NE 0	NE 1	10≡	10≡	10≡	.	≡ 0-24 mU
24	−1.5	−0.4	−0.5	−0.8	−2.7	719.3	719.2	719.7	97	93	95	NW 0	N 0	— 0	10≡	10	10≡	.	≡ 0-12¾, 17-23
25	−1.8	0.3	−0.6	−0.7	−2.4	720.3	720.7	721.9	95	85	98	S 0	WNW 1	W 1	10	10	10	.	≡ 9½-12¼, 18½-20
26	−1.0	1.2	0.9	0.4	−1.2	721.5	720.8	720.3	92	85	96	SE 1	SSW 0	— 0	10	10	10≡	0.1	≡ 21¼-24
27	0.2	5.4	3.3	3.0	1.6	718.6	717.8	717.5	98	72	92	S 1	— 0	**W** 1	10≡	7	9	0.0	◑ 0-5, ≡ 0-7¾
28	0.0	7.2	2.4	3.2	1.9	718.2	718.7	719.4	100	60	60	S 1	SE 0	SE 1	7	1	0	.	≡ 2¼-7¾, ⌴ I
29	0.2	8.5	3.0	3.9	2.7	719.7	718.8	719.2	90	53	86	S 1	— 0	S 1	1	1	0	.	
30	0.1	8.0	4.8	4.3	3.3	718.6	719.2	720.6	97	72	75	**S** 0	S 0	SE 1	1	9	4	.	⌴ I
Mittel	0.6	4.5	2.1	2.4	—	718.2	718.2	718.5	96	76	93				8.8	7.0	8.0	Summe 33.2	

$\lambda = 6°\,57'$, $\beta = 47°\,0'$,
$H_b = 487.3$ m, $G = 0.02$ mm.

Neuchâtel

November 1953
Beobachter: *Observatorium*

Tag	Lufttemperatur 7³⁰	13³⁰	21³⁰	Mittel	Abweich. vom Normalst	Luftdruck 7³⁰	13³⁰	21³⁰	Relative Feuchtigkeit 7³⁰	13³⁰	21³⁰	Windrichtung und Stärke 7³⁰	13³⁰	21³⁰	Bewölkung 7³⁰	13³⁰	21³⁰	Niederschlag	Witterung
1	3.4	**10.3**	5.6	6.4	0.3	718.4	715.7	713.5	97	71	82	E 0	S 1	E 0	10	1	7	5.8	
2	7.8	8.0	5.6	7.1	1.2	712.8	713.9	**711.1**	93	89	96	W 1	W 0	W 0	10●	10	8	6.5	● 0-11¾
3	5.1	7.4	4.8	5.8	0.0	712.3	714.6	717.2	80	**61**	81	W 1	**W** 2	NW 0	10	10	9	.	● 0¼-4
4	0.6	6.3	5.9	4.3	1.3	717.5	717.6	720.5	96	84	94	NW 0	NW 0	NW 0	7	10	10	0.3	● 15¾-16, ⌴ I
5	5.0	9.4	8.3	7.6	2.1	720.9	720.1	720.5	97	77	89	NW 0	SW 0	W 1	10	10	10●	**15.7**	● 18¼-18¾, 21½, 23¾-0¼
6	7.1	7.4	5.4	6.6	1.3	722.3	726.9	729.1	94	75	79	SW 2	NW 1	E 1	10●	9	10	2.1	● 2¼-8½
7	1.7	8.7	4.6	5.0	−0.2	728.9	727.8	727.5	87	65	76	N 0	NE 2	NE 1	2	4	0	.	
8	1.3	3.3	1.8	2.1	−2.9	726.4	726.5	725.5	98	92	93	NE 0	E 0	N 0	10	10	10	.	⌴ I
9	2.9	5.6	1.7	3.1	−1.8	724.8	724.5	725.3	87	82	96	NW 0	S 0	E 0	10	10	0	.	
10	3.1	5.3	1.8	3.4	−1.3	726.2	726.4	726.8	98	82	98	SE 0	SE 0	E 0	10	10	10≡	.	≡ 17-n
11	2.8	3.6	2.9	3.1	−1.5	728.0	728.3	728.9	98	92	93	E 0	E 0	E 0	10≡	10	10	.	≡ n-9½
12	2.1	3.4	2.6	2.7	−1.7	729.0	728.9	729.0	91	83	88	NW 0	W 0	N 0	10	10	10	.	
13	1.8	6.6	0.8	3.1	−1.2	729.2	729.9	730.0	85	76	95	NW 0	SE 0	E 0	10	2	0	.	
14	2.0	5.5	2.4	3.3	−0.8	729.7	729.4	730.0	96	80	98	E 0	S 1	SE 0	10	7	10≡	.	≡ 21½-n
15	3.3	4.8	1.6	3.2	−0.8	**730.8**	730.4	730.6	93	87	98	N 0	E 0	NE 0	10	9	10≡	.	≡ 20-n
16	0.0	9.1	7.0	5.4	1.5	730.4	729.4	729.6	97	68	82	NE 0	**E** 1	NE 2	10	0	0	.	
17	6.0	6.4	5.1	5.8	2.1	729.8	729.6	729.8	88	88	89	E 0	SE 0	NE 0	10	10	10	.	
18	3.2	6.0	4.3	4.5	0.9	729.6	729.6	729.5	88	85	95	NW 0	SE 0	E 0	10	10	10	.	
19	3.5	4.4	3.4	3.8	0.3	729.0	728.9	729.7	93	90	97	N 0	W 0	W 0	10	10	10	0.2	◑ n (19./20.)
20	1.7	2.7	2.1	2.2	1.1	730.4	730.1	730.3	100	98	98	NE 0	NE 0	E 0	10≡	10≡	10≡	.	≡ n-n
21	2.1	3.0	2.5	2.5	−0.7	729.4	728.8	728.6	98	95	95	SW 0	NW 0	NE 0	10≡	10	10	.	≡ n-a
22	1.3	3.0	1.6	2.0	−1.1	727.6	727.2	727.3	96	90	95	NE 0	E 0	NE 0	10	10	10	.	
23	0.1	0.6	**−0.5**	0.1	−2.8	727.0	726.6	727.2	95	93	98	NE 0	E 1	NE 0	10	10	10	.	
24	**−0.5**	0.2	−0.2	−0.2	−3.0	727.2	727.0	727.7	92	95	91	NE 0	E 0	NE 1	10	10	10	.	
25	−0.2	2.8	1.8	1.5	−1.2	728.3	728.4	729.7	95	83	93	N 0	S 0	NE 0	10	10	10	.	
26	1.8	3.2	2.9	2.6	0.1	729.6	728.7	728.3	89	88	93	W 1	W 0	W 0	10	10	10	.	
27	1.4	4.0	3.6	3.0	0.6	726.6	725.9	725.3	100	93	93	NW 0	E 0	E 0	10≡	9	10	.	≡ n-9
28	0.8	4.9	2.1	2.6	0.3	726.3	726.7	727.1	96	89	89	E 0	SE 0	S 0	10≡	2	0	.	≡ n-12
29	0.4	3.8	2.6	2.3	0.2	727.9	727.1	727.2	98	96	100	SE 0	SE 0	SE 0	10≡	10	10≡	.	≡ n-n mU, ⌴ I
30	2.7	4.2	4.3	3.7	1.7	726.3	726.8	728.4	100	100	100	S 0	SE 0	NE 0	10≡	10≡	7	.	≡ n-14½
Mittel	2.4	5.1	3.3	3.6	—	726.1	726.1	726.4	94	85	92				9.6	8.4	8.0	Summe 30.6	

November 1953
Beobachter: *Frl. H. Nager*

Altdorf

$\lambda = 8° 39'$, $\beta = 46° 53'$,
$H_b = 456.3$ m, $G = -0.05$ mm.

Tag	Lufttemperatur 7³⁰	13³⁰	21³⁰	Mittel	Abweich. vom Normalst	Luftdruck 7³⁰	13³⁰	21³⁰	Relative Feuchtigkeit 7³⁰	13³⁰	21³⁰	Windrichtung und Stärke 7³⁰	13³⁰	21³⁰	Bewölkung 7³⁰	13³⁰	21³⁰	Niederschlag	Witterung
1	5.1	14.1	12.9	10.7	3.8	720.8	718.1	716.4	81	40	40	W 0	SE 1	SE 2	8	6	0	.	
2	10.4	9.8	6.9	9.0	2.3	714.4	717.1	**713 0**	60	75	80	NW 1	NW 0	NW 0	10	10	8	.	
3	7.2	7.0	5.9	6.7	0.1	713.7	717.0	720.1	96	78	96	E 0	W 0	NW 0	10●	10●	10	1.5	● 7½-p
4	5.5	8.9	7.4	7.3	0.8	719.6	720.1	723.8	89	60	96	E 0	NW 0	NW 0	5	7	10●	0.6	●tr 20-n
5	4.1	11.5	7.4	7.7	1.4	723.7	722.8	723.0	96	72	90	E 0	W 0	W 0	4	8	3	5.6	● n (5./6.)
6	7.9	6.7	5.4	6.7	0.5	723.5	728.6	731.9	98	94	99	E 0	NE 0	NW 0	10●	10●	10●	18.1	● n-n
7	5.3	8.3	2.7	5.4	−0.7	731.3	730.4	730.5	97	67	85	N 0	W 0	E 0	10	5	3	.	
8	0.3	6.4	1.8	2.8	−3.1	730.3	729.0	727.6	90	70	94	SE 0	N 0	NE 0	4	5	0	.	
9	2.5	5.0	1.4	3.0	−2.8	727.0	727.0	727.7	94	89	96	NE 0	SE 0	E 0	10	7	3	.	
10	2.3	6.8	2.7	3.9	−1.7	729.2	729.0	729.7	100	88	95	N 0	NW 0	NE 0	10≡	4	6	.	≡ n-a
11	3.1	6.3	4.5	4.6	−0.9	730.5	730.4	731.4	90	71	80	SE 0	NW 0	E 0	10	7	0	.	
12	1.3	6.5	3.3	3.7	−1.7	732.5	731.1	731.4	91	73	96	E 0	W 0	W 0	8	3	10	.	
13	1.7	6.8	1.8	3.4	−1.8	732.1	733.1	733.0	95	81	80	E 0	NW 0	NE 0	10	7	4	.	
14	1.5	6.3	1.2	3.0	−2.1	732.7	731.6	732.7	92	76	98	SE 0	NW 0	E 0	10	4	0	.	
15	1.3	6.1	1.1	2.8	−2.2	**734.0**	733.1	733.6	95	89	93	NE 0	**W** 0	NE 0	10	3	0	.	⌊
16	1.2	3.9	2.7	2.6	−2.2	733.0	732.6	733.4	100	96	99	E 0	E 0	E 0	10≡	10≡	10≡	.	≡ n-n
17	2.3	4.3	2.4	3.0	−1.7	732.8	732.2	732.5	100	96	100	E 0	SE 0	S 0	10≡	10≡	10≡	0.2	≡ n-n
18	1.4	3.7	0.8	2.0	−2.6	732.3	732.3	732.3	100	100	100	E 0	E 0	S 0	10≡	10≡	10≡	.	≡ n-n
19	0.8	3.5	**−0.1**	1.4	−3.0	731.6	732.2	732.1	100	100	100	E 0	E 0	E 0	10≡	10≡	10≡	0.4	≡ n-n
20	0.8	3.5	2.0	2.1	−2.2	733.1	733.2	733.2	100	96	100	E 0	E 0	E 0	10≡	10≡	10≡	.	≡ n-n
21	1.6	3.2	1.6	2.1	−2.1	732.6	731.4	731.5	98	92	96	E 0	E 0	E 0	10	10	10	0.0	
22	0.8	2.9	1.4	1.7	−2.3	730.5	729.9	730.9	97	93	95	E 0	E 0	E 0	10	10	10≡	.	≡ p-n
23	1.1	2.9	2.0	2.0	−1.9	729.6	729.2	729.7	97	93	95	E 0	E 0	SE 0	10	10	10	.	
24	1.3	2.9	1.5	1.9	−1.8	729.9	729.1	729.8	94	90	90	SE 0	E 0	E 0	10	10	10	.	
25	0.8	2.5	0.9	1.4	−2.2	731.1	731.2	732.7	90	90	99	E 0	SE 0	E 0	10	10	10	.	
26	0.4	2.5	1.4	1.4	−2.1	732.2	731.5	731.0	95	88	96	E 0	E 0	SW 0	10	10	10	.	
27	3.2	12.3	11.3	8.9	5.6	729.0	727.8	728.7	83	**21**	23	NW 1	S 2	S 1	7	4	7	.	
28	12.5	**14 5**	6.4	11.1	7.9	728.6	727.8	729.5	37	36	70	SE 1	S 1	E 0	5	2	0	.	
29	2.3	9.3	6.0	5.9	2.8	730.4	729.5	729.8	84	73	75	NE 0	NW 0	NE 0	0	0	0	.	
30	1.4	7.9	5.8	5.0	2.1	733.3	729.4	731.6	95	78	85	W 0	W 0	NW 0	4	5	7	.	⌊
Mittel	3.0	6.5	3.8	4.4	–	728.8	728.6	729.2	91	79	88				8.5	7.2	6.4	Summe 26.4	

November 1953
Beobachter: *Observatorium*

Genève

$\lambda = 6° 9'$, $\beta = 46° 12'$,
$H_b = 405.0$ m, $G = -0.03$ mm.

1	2.6	7.6	8.0	6.1	−0.8	724.8	722.7	720.8	96	64	89	E 0	NNE 1	NNE 0	0	6	9	17.2	● 22¼-n
2	8.4	**10.8**	6.4	8.5	1.8	721.5	721.3	**718 4**	92	80	88	SE 1	NNE 0	NE 0	10●	10	10	16.0	● n-a, n (2./3.)
3	5.8	8.8	6.0	6.9	0.3	721.5	722.8	723.7	82	63	85	SSE 0	NNE 1	NNE 1	8	6	9	.	
4	0.6	9.2	7.4	5.7	−0 7	724.6	724.7	727.1	96	69	89	NNE 0	NNW 1	ENE 0	9	10	9	.	
5	3.0	9.0	8.0	6.7	0.4	728.5	727.7	728.5	100	86	94	ENE 0	SSW 1	S 1	5	9	10●	3.0	● p-n
6	8 4	9.2	7.2	8.3	2.2	732.6	734.3	736.1	83	71	74	S 1	NNE 1	NNE 1	10	9	4	.	
7	6.0	8.8	5.2	6.7	0.7	735.5	732.5	733.5	73	73	91	NNE 2	NNE 2	NNE 1	2	3	0	.	
8	0.8	7.8	3.0	3.9	−2.0	733.9	732.4	732.2	88	70	97	NNE 1	NNE 1	NNE 1	1	1	0	.	
9	2.2	3.7	1.7	2.5	−3.2	732.4	731.8	732.8	100	100	100	NE 0	NE 0	NE 0	10≡	10	10≡	.	≡ n-a, p-n
10	0.6	5.0	4.4	3.3	−2.3	734.4	734.1	734.4	100	100	100	NW 0	NW 0	NW 0	10≡	10	10	.	≡ n-a
11	4.0	6.0	5.0	5.0	−0.5	735.9	735.1	735.9	100	85	84	NW 0	NNW 0	NNE 1	10	10	10	.	
12	5.0	5.8	4.4	5.1	−0.2	736.4	736.3	736.7	81	85	87	NE 0	NE 0	ENE 0	10	10	10	.	
13	2.6	4.7	3.5	3.6	−1.6	736.6	737.0	737.5	93	87	95	E 0	ENE 0	E 0	10	9	10	.	
14	2.4	4.5	0.9	2.6	−2.5	738.0	737.4	737.2	93	87	100	ENE 0	ENE 0	ENE 0	10	5	2	.	
15	1.2	3.7	4.0	3.0	−1.9	**738.5**	737.9	737.8	100	100	97	NNE 0	NNE 0	NNE 0	10≡	10	10	.	≡ n-a
16	4.0	7.6	1.8	4.5	−0.3	737.6	736.6	737.2	97	70	96	NNE 0	NNE 1	NNE 0	9	0	1	.	
17	2.2	7.0	5.5	4.9	0.2	737.6	737.2	737.4	100	91	94	NNE 1	NNE 1	E 0	10	10	10	.	
18	2.6	7.0	4.0	4.5	−0.1	737.2	737.0	736.7	96	88	97	E 0	NNE 0	E 0	10	10	10	.	
19	3.6	5.0	4.4	4.3	−0.1	736.9	736.0	737.0	87	89	97	E 0	ENE 0	E 0	10	10	10	.	
20	3.2	6.0	4.8	4.7	0.4	737.1	737.1	737.6	97	85	92	E 0	NNE 1	NE 0	10	10	10	.	
21	2.6	4.8	4.2	3.9	−0.3	737.0	736.6	735.8	96	87	93	ESE 0	ESE 0	E 0	10	10	10	.	
22	2.4	3.9	3.6	3.3	−0.8	734.7	734.3	734.4	96	93	97	E 0	NNE 1	E 0	10	10	10	.	
23	2.6	4.0	2.8	3.1	−0.8	734.3	733.8	734.1	96	93	93	E 0	NNE 1	E 0	10	10	10	.	
24	2.0	2.9	2.8	2.6	−1.2	734.5	734.1	734.9	93	89	96	E 0	E 0	E 0	10	10	10	.	
25	1.8	2.2	2.0	2.0	−1.7	736.3	736.5	737.5	96	93	96	E 0	NNE 0	E 0	10	10	10	.	
26	0.0	3.0	2.4	1.8	−1.8	737.6	735.7	735.6	96	86	93	**E** 0	E 0	E 0	10	10	10	.	
27	3.0	5.0	3.4	3.8	0.4	734.0	733.6	732.7	91	84	100	E 0	SE 1	E 0	10	10	7	.	
28	2.4	9.7	4.5	5.5	2.2	734.2	733.5	733.8	96	**63**	93	E 0	NNE 0	E 0	8	3	2	.	
29	0.0	9.0	4.6	4.5	1.3	734.6	733.5	734.1	96	73	100	ESE 0	NNE 1	E 0	0	0	0	.	
30	0.7	8.8	9.3	6.3	3.2	733.8	733.9	735.1	100	81	82	E 0	NE 1	ESE 0	3	6	2	0.0	●tr n (30./1.)
Mittel	2.9	6.4	4.5	4.6	—	733.8	733.2	733.6	94	83	93				8.2	7.9	7.5	Summe 36.2	

$\lambda = 8°\ 34'$, $\beta = 47°\ 23'$,
$H_b = 569.4$ m, $G = 0.03$ mm

Zürich

November 1953
Beobachter: *Meteorol. Zentralanstalt*

Tag	Lufttemperatur					Luftdruck			Relative Feuchtigkeit			Windrichtung und Stärke			Bewölkung			Niederschlag	Witterung
	7³⁰	13³⁰	21³⁰	Mittel	Abweich. vom Normalst	7³⁰	13³⁰	21³⁰	7³⁰	13³⁰	21³⁰	7³⁰	13³⁰	21³⁰	7³⁰	13³⁰	21³⁰		
1	1.8	10.7	5.7	6.1	1.0	711.0	708.4	705 7	100	60	90	E 0	SW 1	N 1	9	5	4	0.3	≡ 7¾-9, ⌴ l
2	6.5	8.0	4.7	6.4	1.5	704.8	706.4	**703.7**	99	88	92	ENE 1	SSW 1	NE 1	10	10	9	2.1	● 6¾-7¾, 7¾-11¾
3	4 6	5.3	4.5	4.8	0.0	704 3	707.1	709.9	100	90	98	W 1	SSW 1	SSE 0	10	10●	10	0.7	● 12½-14¼
4	-0.1	8.0	6.2	4.7	0.1	709.8	710.0	713.2	100	69	93	NNE 1	S 1	S 1	3	3	10	0.0	● 17-18¾, 21-21¼, ≡ 8½-11¼
5	5.9	8.7	6.8	7.1	2.6	713.8	712.6	712.7	98	83	96	NW 1	WNW 1	S 1	10	10	6	10.7	● 23-24¾
6	7.4	7.0	4 7	6.4	2.1	713.5	718.5	721.6	100	85	95	WSW 1	W 1	S 1	10●	10	10	**11.7**	● 1¾-3¼, 3¾-10¼
7	1.5	8.0	2.2	3.9	-0.3	721.5	720.3	719.7	100	71	97	NNE 1	NNE 1	NE 1	2	2	0	.	
8	-0.3	3.2	1.1	1.3	-2.7	719.9	718.9	717.5	100	93	100	NE 1	N 1	NE 1	10≡	10	10≡	.	≡ 6¾-9¾, p-n, ⌴ l
9	1.4	8.7	3.1	4.4	0.5	716.7	716.4	717.1	100	66	100	SW 1	SSW 1	ESE 1	10	0	0	.	⧋ l
10	-1.3	8.9	1.2	2.9	-0.8	718.4	718.9	719.4	100	64	100	ESE 1	E 1	NNE 1	10≡	1	0	0.1	≡ 7-9¼, 9½-11¼, ⌴ l
11	1.1	3.1	2.6	2.3	-1.3	720.5	720.5	721.0	100	97	95	E 1	ESE 1	S 1	10≡	10	10	.	≡ n-9¼
12	2 1	3.0	1.2	2.1	-1.3	721.1	720.9	720.7	97	91	100	WSW 1	SW 1	SSW 1	10	10	10	.	
13	0.6	6.0	0.4	2.3	-1.0	721.2	722.1	722.3	100	73	100	SSW 1	WSW 1	NE 1	10	1	0	.	⧋ l
14	**-1.4**	2.0	-0.3	0.1	-3.0	721.9	721.3	722.1	100	100	100	SSW 1	SW 0	N 0	10≡	9≡	10≡	.	≡ n-14¼, 17¼-n, ⌴ l
15	-0.8	3.3	-0.7	0.6	-2.4	722.7	722.7	**723.0**	100	93	100	SSE 1	SSW 1	ENE 1	10≡	8≡	10≡	0.1	≡ n-n, ⌴ l
16	-0.5	6.6	4.6	3.6	0.8	**723.0**	722.4	722.5	100	76	98	NE 1	NE 1	N 1	10≡	0	0	0.1	≡ n-12
17	4.5	5.3	3.7	4.5	1.8	722.2	721.7	721.7	100	95	100	SW 1	NNE 1	SSE 1	10	10	10	.	⧋ l
18	2.3	8.5	2.8	4.5	2.0	721.4	721.3	721.0	100	71	100	SSW 1	SSW 1	S 0	10	2	10≡	0.1	≡ p-n, ⧋ l
19	0.9	2.9	1.9	1.9	-0.5	721.1	720.8	721.8	100	100	100	S 1	SSW 1	NE 1	10≡	10≡	10≡	0.2	≡ n-13½, 16-n
20	1.0	1 4	0.4	0.9	-1.3	722.5	722.4	722.5	100	100	100	SSE 1	SSE 1	NE 1	10≡	10≡	10≡	0.2	≡ n-n
21	0 5	1.2	0.4	0.7	-1.4	721.6	720.9	720.5	100	100	100	WSW 0	SSE 1	NE 1	10≡	10≡	10≡	0.1	≡ n-n
22	0.1	0.7	-0.3	0.2	-1.7	719 9	719.3	719.2	100	100	100	NE 1	SSE 1	NE 1	10≡	10≡	10≡	0.2	≡ n-n
23	-0.3	0.1	-0.9	-0.4	-2.2	719.4	719.0	719.3	100	100	100	ESE 1	NNE 1	NNE 1	10≡	10≡	10	.	≡ n-n mU
24	-1.3	-0.4	-1.3	-1.0	-2.6	719.3	719.4	719.7	100	100	100	NE 1	NE 1	ENE 1	10≡	10	10≡	.	≡ n-a, p-n
25	-0.7	0.3	-0.7	-0.4	-1.9	720.3	720.8	721.6	100	100	100	E 1	S 1	S 0	10	10	10≡	.	≡ p-n, ⧋ l
26	-1.1	3.1	0.7	0.9	-0.4	721.6	720.7	720.4	100	86	100	WNW 1	SSW 1	SSE 1	10	6	10≡	.	≡ p-n, ⧋ l
27	-0.7	2.9	1.1	1.1	0.1	719.3	718.4	717.8	100	90	98	S 1	SW 1	W 1	10≡	9	9	.	≡ n-10½, ⧋ l
28	0.3	10.3	3.9	4.8	3.8	718.2	718.8	719.5	95	**48**	78	NE 1	SSW 1	SW 1	2	1	0	.	⌴ l
29	2.8	**11.8**	5.3	6.6	5.7	719.8	719.0	718.8	82	55	80	SSE 0	SSE 1	S 0	1	2	0	.	
30	2.3	**11.8**	10.5	8.2	7.4	718.2	719.2	720.4	91	61	63	S 0	WSW 1	S 1	1	3	10	.	⌴ l
																		Summe	
Mittel	1.3	5.3	2.5	3.0	—	718.3	718.3	718.5	99	84	96				8.6	6.7	7.3	27.5	

$\lambda = 6°\ 32'$, $\beta = 46°\ 51'$
$H_b = 1589$ m, $G = -0{,}13$ mm

Chasseron

November 1953
Beobachter: *Ch. H. Martin*

1	1.0	4.4	1.6	2.3	—	626.6	625.4	623.8	66	59	90	SE 2	SSE 2	SE 2	9	4	6	4.2	● ✳ n (1./2.) ✳
2	0.6	-1.0	-1.4	-0.6	—	622.1	623.2	621.2	100	100	90	NW 3	WSW 3	S 3	10*≡	10≡	5	8.6	● ✳ n-8, ✳ 8-11½, ≡ n-18, ⸝ n-n ✳
3	-3.0	-2.8	**-4.2**	-3.3	—	**620.6**	623.1	625.1	100	100	100	NNW 3	NW 3	N 1	10≡	10*≡	5	0.5	✳ n-7, 9-15½ mU, ≡ n-16, 16-n mU, ✳
4	-3.6	1.4	2.9	0.2	—	625.1	626.1	628.9	100	75	100	S 1	W 2	WNW 2	6	9	10≡	0.0	◑ 19-n mU, ≡ 17-n [⸝ n-p ✳
5	0.4	2.6	1.2	1.4	—	629.3	629.0	629.8	100	80	100	S 2	SW 2	SW 2	3	9	10	**12.7**	● 17-n mU, ≡ 15½-n ✳
6	-0.3	-1.6	-3.4	-1.8	—	629.3	633.8	635.8	100	100	100	NW 5	NW 4	N 1	10*≡	10*≡	10≡	1.7	● ✳ n-9, ✳ △ 11-14, ≡ n-n, ✳
7	-3.8	-2.8	-1.6	-2.7	—	635.0	634.6	634.5	100	100	78	E 3	E 2	E 3	10≡	5	1	.	≡ n-11, ⸝ n-n mU [⸝ n-p ✳
8	4.4	7.2	4.2	5.3	—	634.4	634.2	633.5	20	33	21	E 2	E 2	E 3	4	5	1	.	⸝ p-n ✳
9	5.2	8.8	5.0	6.3	—	632.6	633.5	633.9	28	33	42	W 2	WNW 1	W 2	1	1	1	.	
10	3.6	6.2	1.6	3.8	—	634.1	635.0	634.6	47	51	81	NNW 2	N 1	ESE 3	1	1	1	.	⸝ p-n
11	2.0	4.2	2.0	2.7	—	634.5	635.4	635.6	60	60	75	NNW 1	NNW 1	E 1	1	0	1	.	
12	3.7	8.2	6.8	6.2	—	635.6	636.3	636.4	20	**15**	19	ESE 1	ENE 1	ESE 1	2	2	1	.	
13	5.9	8.4	6.1	6.8	—	636.7	637.5	637.7	20	21	25	SSW 1	SE 1	NNE 1	1	2	2	.	
14	6.9	9.0	6.1	7.3	—	637.1	637.6	638.0	30	32	51	ESE 1	WNW 1	SW 2	1	1	3	.	
15	6.5	9.2	8.0	7.8	—	638.3	638.5	**638.8**	**15**	20	18	NW 1	NNE 1	NE 1	5	7	4	.	
16	8.0	9.1	5.3	7.5	—	638.0	638.1	637.8	18	70	76	E 3	E 3	E 3	1	1	0	.	⸝ n-n
17	8.1	**9.6**	6.3	8.0	—	635.7	637.4	637.7	70	36	40	W 2	NW 2	NW 1	0	1	0	.	
18	5.0	6.4	4.0	5.1	—	637.1	637.6	637.3	77	70	75	NW 1	WNW 1	E 1	2	3	3	.	
19	4.1	6.1	3.2	4.5	—	636.5	636.9	637.0	80	70	98	E 2	NW 1	E 1	2	1	1	.	
20	5.2	7.4	5.2	5.9	—	637.4	637.5	637.4	70	45	38	NE 1	NE 1	E 1	1	1	1	.	
21	5.3	7.4	5.2	6 0	—	636.6	636.5	636.0	20	45	52	E 1	NW 1	E 1	1	1	1	.	
22	6.1	9.2	5.0	6.8	—	634.8	635.0	634 7	21	33	35	E 1	SE 1	ESE 2	0	0	0	.	
23	6.1	9.2	5.7	7.0	—	634.1	634.3	634.3	50	42	51	SW 1	SW 1	SE 1	1	1	0	.	
24	5.2	7.0	5.2	5.8	—	634.1	634.4	634.7	25	27	46	W 1	WNW 1	WNW 1	1	1	0	.	
25	4.3	4.0	2.6	3.6	—	635.0	635.7	636.4	42	60	50	WNW 1	NW 2	NW 1	0	1	0	.	
26	1.3	3.0	1.8	2.0	—	635.9	635.7	635.2	55	90	100	W 2	SSW 2	SW 2	7	6	9	.	
27	0.9	3.2	1.0	1.7	—	633.5	633 6	632.9	82	46	42	S 3	S 3	SE 3	9	6	8	.	⸝ n-n
28	3.4	6.0	5.1	4 8	—	634.1	635.3	635 4	45	42	65	SE 3	SSE 2	S 3	9	5	3	.	⸝ n-n mU
29	3.5	9.4	6.1	6.3	—	635.6	635.9	635.5	86	60	65	SW 2	WSW 2	SW 1	3	1	0	.	
30	6.8	6.0	4.4	5.7	—	634.6	635.6	636.6	65	76	98	SW 2	W 2	W 3	1	5	6	.	⸝ p-n
																		Summe	
Mittel	3.4	5.5	3.4	4.1	—	633.5	634.0	634.2	57	56	64				3.7	3.7	3.1	27.7	

November 1953
Beobachter: *B. Minsch und C. Clavuot*

Bever

$\lambda = 9° 53'$, $\beta = 46° 33'$,
$H_b = 1711.8$ m, $G = -0.23$ mm

Tag	Lufttemperatur 7³⁰	13³⁰	21³⁰	Mittel	Abweich. vom Normalst	Luftdruck 7³⁰	13³⁰	21³⁰	Relative Feuchtigkeit 7³⁰	13³⁰	21³⁰	Windrichtung und Stärke 7³⁰	13³⁰	21³⁰	Bewölkung 7³⁰	13³⁰	21³⁰	Niederschlag	Witterung
1	−1.6	3.8	−0.5	0.6	1.1	622.2	618.6	618.9	98	56	83	SW o	SW o	NW o	7	4	3	.	
2	−1.3	2.8	0.8	0.8	1.5	616.2	615.2	613.9	94	91	98	SE o	S o	SW o	8	10	10*	12.8	✳ 20–n
3	0.2	2.4	−0.5	0.7	1.6	**611.1**	612.4	615.8	98	88	73	NE o	NE o	NW 1	10*	10*	10	2.4	✳ n–p
4	−3.2	5.6	0.4	0.9	2.0	617.4	618.6	620.5	92	49	80	S o	SW 1	SW o	1	1	2	.	
5	−4.4	5.4	0.4	0.5	1.8	622.0	621.4	621.6	98	52	75	S o	W 1	SW o	0	0	4	.	
6	−4.0	1.8	−1.0	−1.1	−0.4	620.7	622.1	625 0	94	86	70	S o	N o	NE 1	2	10	6	.	
7	−1.9	0.4	−6.8	−2.8	−1.1	625.6	625.2	626.3	80	59	80	NE o	NW 2	SW o	7	1	2	.	
8	−8.1	5.2	−5.0	−2.6	−0.7	626.5	625.3	626.9	93	36	75	SW o	SW o	SW o	1	1	0	.	
9	−7 6	6.8	−4.2	−1.7	0.4	626.1	625.5	626.5	88	36	82	S o	SW o	S o	0	0	0	.	
10	−6.6	8 4	−3.6	−0.6	1.7	626.0	625.3	626.2	91	31	75	SE o	N o	SW o	0	0	0	.	
11	−7.6	5.0	−3.3	−2.0	0.5	626.8	625.5	626.9	93	46	74	W o	W o	NW o	2	0	0	.	
12	−8 4	4.7	−3.8	−2.5	0.2	628.1	627.1	628.2	90	39	74	SW o	NW o	S o	1	2	0	.	
13	−6.4	**9.6**	−2.8	0.1	3.0	628.8	627.3	628.8	89	35	66	S o	SW o	S o	0	0	0	.	
14	−7.6	6.4	−3.8	−1.7	1.4	629.2	628.4	629.4	85	39	75	S o	W o	SW o	0	0	0	.	
15	−5.4	8.4	−3.6	−0.2	3.1	629.9	629.2	630.6	86	31	70	S o	NE o	S o	6	0	1	.	I, III
16	−6.2	8.2	−2.1	0.0	3 5	630.7	629.6	**630.8**	81	46	88	S o	N 1	S o	0	0	0	.	
17	−5.0	5.1	−3.6	−1.2	2.5	630.0	629.1	630.0	99	59	93	S o	S o	S o	0	0	0	.	
18	−6.2	5.8	−3.4	−1.3	2.6	629.6	627.7	628.5	98	51	82	SW o	W o	SW o	1	1	0	.	
19	−6.5	4.3	−4.7	−2.3	1.8	627.9	627.4	629.0	97	53	83	S o	SW o	S o	1	1	0	.	
20	−7.2	5.4	−3.8	−1.9	2.4	628.9	628.2	629.4	95	46	76	SW o	SW o	SW o	1	0	0	.	
21	−7.0	5.1	−3.6	−1.8	2.7	628.4	626.7	627.6	89	41	80	S o	W o	S o	0	0	0	.	
22	−7.4	7.6	−3.8	−1.2	3.5	626 9	625.4	626.7	99	42	84	S o	NW o	S o	0	1	0	.	
23	−7 2	4.8	−5.2	−2.5	2.4	626.6	625.4	626.7	99	43	86	S o	SW o	S o	0	0	0	.	
24	−8.8	3.8	−7.0	−4.0	1.1	625.9	625.3	626.4	89	43	78	SW o	W o	S o	0	0	0	.	
25	−9.2	4.2	−8.5	−4.5	0.8	626.8	625.8	628.7	87	50	97	S o	S 1	S o	0	0	0	.	
26	**−10.3**	4.0	−5.3	−3 9	1.6	629.4	628.1	628.7	98	51	67	S o	SW 1	SW o	1	1	3	.	
27	−7.4	8.6	−5.8	−1.5	4.2	628.4	627.4	628.6	76	**29**	57	S o	SW 1	**SW** o	3	2	1	.	
28	−7.0	4 2	−6.2	−3.0	2.9	628.6	628.4	628.8	80	61	93	NE o	S 2	S o	**8**	2	2	.	
29	−9.0	3.6	−5.0	−3.5	2.5	628.7	628.0	628.1	100	58	87	SW o	SW o	SW o	1	1	0	.	
30	−8.0	4.2	−3.8	−2.5	3.7	628.5	628.2	629.5	99	62	98	SW o	SW 1	S o	0	0	0	.	
Mittel	−6.2	5.2	−3.6	−1.5	–	626.1	625.3	626.4	92	50	80				2.0	1.6	1.5	Summe 15.2	

November 1953
Beobachter: *Couvent des Capucins*

Sion

$\lambda = 7° 21'$, $\beta = 46° 14'$,
$H_b = 548.6$ m, $G = -0.11$ mm.

Tag	Lufttemperatur 7³⁰	13³⁰	21³⁰	Mittel	Abweich. vom Normalst	Luftdruck 7³⁰	13³⁰	21³⁰	Relative Feuchtigkeit 7³⁰	13³⁰	21³⁰	Windrichtung und Stärke 7³⁰	13³⁰	21³⁰	Bewölkung 7³⁰	13³⁰	21³⁰	Niederschlag	Witterung
1	3.0	**12.2**	7.4	7.5	0.8	715.2	712.3	711.3	78	40	54	ENE o	ENE 1	ENE 1	8	2	2	2.7	
2	6 8	8.8	4.8	6.8	0.3	710.3	709.9	707.8	100	80	100	ENE o	ENE o	ENE o	10●	9	0	5.9	● 5–9¾, ●tr 15
3	4.2	8.7	5.1	6.0	−0.3	**706.7**	709.0	712.3	97	58	81	W 2	WSW 2	W o	10●	7	10	0.5	● 3¼–5¼, 7¼–8½
4	1.7	8.8	6.9	5.8	−0.4	713.6	713.4	715.8	93	57	88	ENE o	ENE 1	ENE o	1	7	1	.	
5	3.2	11.1	7.8	7.4	1.4	716.6	715.0	716.4	99	56	94	ENE 1	**ENE** o	W o	2	10	5	2.3	● 23½–24
6	6.4	8.5	4.8	6.6	0.8	717.1	719.7	722.2	100	85	76	W o	W 2	W o	10●	9	1	1.8	● 2½–11 mU
7	0.9	7.6	3.1	3.9	−1.8	723.1	721.6	722.2	94	49	68	NNE o	N 1	N o	1	1	1	.	
8	−0.1	8.1	2.9	3.6	−1.9	722.4	719.7	720.3	90	41	70	N 1	N o	N o	6	4	0	.	
9	1.5	10.7	3.5	5.2	−0.2	719.5	718.3	719.7	83	50	75	N 1	N o	WNW 1	0	0	0	.	
10	1.6	9 7	3.1	4.8	−0.4	720.9	720.0	721.1	87	50	86	WSW o	WSW o	WSW o	0	0	0	.	
11	−0.4	7.5	2.4	3.2	−1.8	722.3	721.7	723.4	100	62	99	WSW o	WSW 1	WSW o	0	0	0	.	
12	−0.4	7.8	1.8	3.1	−1.8	724.2	722.3	723.5	100	54	91	**WSW** o	WSW 1	WSW o	3	3	1	.	
13	−0.2	7.9	2.8	3.5	−1.2	724.2	723.2	724.2	93	55	76	WSW 1	WSW o	WSW o	0	0	0	.	
14	0.0	8.1	2.3	3.5	−1.0	724.7	723.6	723.7	93	51	76	WSW o	WSW 1	WSW o	3	0	0	.	
15	1.8	8.4	3.6	4.6	0.2	**725.6**	724.1	724.8	80	61	76	WSW o	WSW 1	WSW o	2	3	0	.	
16	2.0	9.4	3.1	4.8	0.6	724.6	722.9	724.1	75	50	91	WSW o	WSW o	**WSW** o	0	0	0	.	
17	1.6	7.6	3.1	4.1	0.0	724.2	723.4	724.2	96	66	99	**WSW** o	**WSW** 1	WSW o	0	0	0	.	
18	0.6	7.1	3.0	3.6	−0.3	724.2	723.3	723.9	100	70	87	WSW o	**WSW** 1	WSW o	0	0	0	.	
19	0.8	7.1	3.1	3.7	0.0	723.8	722.9	724.0	98	65	94	SW o	SW o	SW o	0	0	0	.	
20	0.2	7.1	2.1	3.1	−0.5	725.0	723.5	724.4	99	59	90	WSW o	WSW 1	WSW o	0	0	0	.	
21	−0.5	5.8	1.2	2 2	−1.2	724.2	722.3	722.9	96	64	86	WNW o	WNW 1	WSW o	0	0	0	.	
22	−1.0	5.4	1.6	2.0	−1.2	722.2	720.8	721.5	99	65	91	WSW o	WSW 1	WSW o	0	0	0	.	
23	−0.8	6.1	1.7	2.3	−0.8	721.3	720.0	722.2	97	65	100	WSW o	WSW 1	WSW o	1	0	0	.	
24	−0.8	4 8	0.8	1.6	−1.3	721.3	720.4	721.8	99	71	100	WSW o	WSW 1	**WSW** o	0	0	0	.	
25	−1.6	4.5	0.3	1.1	−1.7	722.9	722.1	724.4	100	67	97	WSW o	WSW 1	WSW o	0	0	0	.	
26	−1.7	4.6	1.1	1.3	−1.3	724.3	723.0	722.6	95	75	80	WSW o	WSW o	NE o	1	10	0	.	
27	2.4	10.9	7.1	6.8	4.4	722.4	721.1	722.6	43	**26**	28	NE o	NE o	NE o	7	3	10	.	
28	4.6	11.2	5.1	7.0	4.7	722.7	722.4	722.7	42	36	53	ENE o	ENE o	ENE o	6	0	0	.	
29	2.2	9.4	4.5	5.4	3.3	723.3	721.5	722.1	75	48	67	NE o	ENE o	ENE o	2	0	0	.	
30	3.0	6.9	6.0	5.3	3.4	722.1	721.7	723.5	76	67	66	ENE 1	ENE o	ENE o	0	10	0	.	
Mittel	1.4	8.1	3.5	4.3	—	721.1	720.2	721.2	89	58	81				2.4	2.6	1.0	Summe 13.2	

$\lambda = 8° 57'$, $\beta = 46° 0'$,
$H_b = 276.2$ m, $G = -0.01$ mm.

Lugano

November 1953
Beobachter: *G. Vicari*

Tag	Lufttemperatur					Luftdruck			Relative Feuchtigkeit			Windrichtung und Stärke			Bewölkung			Niederschlag	Witterung
	7^{30}	13^{30}	21^{30}	Mittel	Abweich. von Normalst	7^{30}	13^{30}	21^{30}	7^{30}	13^{30}	21^{30}	7^{30}	13^{30}	21^{30}	7^{30}	13^{30}	21^{30}		
1	6.2	13.4	9.6	9.7	1.2	739.9	737.8	736.8	88	58	85	NW 1	S 1	N 1	8	8	10	1.1	● n (1./2.)
2	9.2	9.4	8.2	8.9	0.6	734.6	733.5	732.0	97	89	98	W 1	W 1	NNW 1	10●	10◕	10●	11.4	● ◕ n-n mU
3	8.2	13.2	8.8	10.1	2.0	**728.0**	728.6	731.2	97	63	89	WNW 1	SW 1	NNW 1	10◕	6	10	0.9	◕ n-11, n (3./4.)
4	7.8	16.0	8.4	10.7	2.8	734.2	734.8	737.2	85	52	90	N 1	S 1	NNW 1	4	0	0	.	
5	5.4	15.8	9.6	10.3	2.5	739.1	739.0	739.7	88	47	91	N 1	S 1	NNW 1	0	1	8	.	
6	5.8	12.4	12.2	10.1	2.5	738.1	737.7	740.9	91	72	**31**	N 1	E 1	N 3	2	7	0	.	⛈ p-n
7	10.8	**17.2**	6.2	11.4	4.0	742.3	742.4	743.7	34	37	66	N 2	S 1	N 1	0	0	0	.	
8	3.2	14.2	4.8	7.4	0.1	744.6	744.8	745.9	78	47	83	N 1	S 1	N 1	1	3	0	.	
9	3.4	14.8	4.6	7.6	0.5	745.2	741.2	744.0	86	43	86	N 1	SSE 1	N 1	0	0	0	.	
10	3.2	13.8	5.6	7.5	0.5	743.1	742.2	743.2	80	52	78	N 1	S 1	N 1	0	0	0	.	
11	4.0	15.2	6.4	8.5	1.7	744.5	743.9	744.4	81	45	79	N 1	S 1	N 1	0	0	0	.	
12	3.6	14.4	5.4	7.8	1.1	745.7	745.3	746.7	88	46	85	N 1	S 1	N 1	0	1	0	.	
13	3.4	14.2	5.6	7.7	1.2	746.3	745.4	747.0	81	55	81	N 1	S 1	N 1	0	0	0	.	
14	3.2	13.0	5.8	7.3	0.9	747.8	747.2	747.5	88	52	85	N 1	S 1	N 1	0	0	0	.	
15	3.0	14.0	5.2	7.4	1.2	746.4	745.6	746.5	88	50	86	N 1	S 1	N 1	3	8	0	.	
16	3.4	14.8	5.4	7.9	1.8	746.9	747.0	748.2	81	47	82	N 1	S 1	N 1	0	0	0	.	
17	3.2	12.6	7.6	7.8	1.9	750.1	750.6	751.0	86	63	83	N 1	S 1	S 1	0	2	10	.	
18	7.2	11.4	5.4	8.0	2.2	749.7	748.3	748.2	89	61	95	N 1	S 1	NNW 1	10	0	10	.	
19	3.4	11.2	4.4	6.3	0.7	747.3	746.2	747.1	100	64	94	N 1	S 1	WNW 1	10≡	0	0	.	≡ n-9
20	2.2	11.6	4.2	6.0	0.5	747.6	746.9	747.7	92	61	87	N 1	S 1	N 1	6	0	0	.	≡ n-7
21	2.2	10.6	4.4	5.7	0.3	747.7	746.2	746.3	89	57	91	N 1	S 1	NNW 1	10	0	0	.	≡ 8-9
22	2.4	12.2	3.8	6.1	0.9	744.9	743.5	744.2	91	55	91	N 1	S 1	N 1	0	0	1	.	
23	3.0	6.2	3.8	4.3	−0.8	743.8	743.4	744.7	99	85	97	N 1	SSE 1	N 1	10≡	10	10	.	≡ n-8½
24	3.4	7.0	2.8	4.4	−0.5	745.9	746.1	747.3	91	71	95	N 1	SE 1	N 1	10	5	7	.	
25	4.8	5.2	4.2	4.7	−0.1	748.2	750.1	**751.7**	81	73	78	N 1	W 1	N 1	10	10	10	.	
26	**−0.4**	9.0	2.8	3.8	−0.9	**751.7**	750.7	751.1	88	53	82	N 1	S 1	N 1	0	0	9	.	
27	0.8	6.4	1.4	2.9	−1.6	751.2	750.9	751.6	72	63	89	N 1	SSE 1	N 1	10	1	10	.	
28	4.0	7.4	1.4	4.3	−0.1	751.0	750.3	749.4	82	57	84	N 1	E 1	N 1	10	10	0	.	
29	0.6	11.2	2.8	4.9	0.6	749.5	748.2	749.0	89	55	86	N 1	S 1	N 1	0	0	0	.	
30	3.8	9.4	4.2	5.8	1.7	748.9	748.0	748.3	84	62	87	N 1	W 1	NW 1	10	10	4	.	
Mittel	4.2	11.9	5.5	7.2	—	744.8	744.3	745.1	86	58	84				4.5	3.1	3.6	Summe 13.4	

$\lambda = 7° 35'$, $\beta = 47° 33'$,
$H_b = 317.3$ m, $G = 0.11$ mm.

Basel

November 1953
Beobachter: *Astronom.-Meteorol. Anstalt*

Tag	Lufttemperatur					Luftdruck			Relative Feuchtigkeit			Windrichtung und Stärke			Bewölkung			Niederschlag	Witterung
	7^{30}	13^{30}	21^{30}	Mittel	Abweich. von Normalst	7^{30}	13^{30}	21^{30}	7^{30}	13^{30}	21^{30}	7^{30}	13^{30}	21^{30}	7^{30}	13^{30}	21^{30}		
1	3.0	**12.4**	9.5	8.3	2.5	732.7	730.1	727.9	91	54	58	E 1	E 1	ESE 1	8	7	8	1.4	
2	7.8	12.0	5.7	8.5	2.9	727.6	728.5	**726.1**	92	62	90	ESE 1	S 1	ESE 1	10●	7	0	2.2	● 6½-9¾
3	5.5	7.5	5.0	6.0	0.5	727.3	729.6	732.3	88	69	89	WSW 1	W 2	S 1	10	10	10	0.0	● 3¼-5½ mU
4	0.1	8.5	6.8	5.1	−0.3	732.3	732.1	735.3	100	67	85	ESE 1	ESE 1	E 1	10≡	8	10	.	≡ 6¼-a, ⌴ l
5	4.1	12.0	8.3	8.1	2.9	735.8	734.4	734.6	98	66	75	SE 1	E 1	ENE 1	4	10	10	**7.3**	⊕ 11-13
6	8.5	7.4	5.7	7.2	2.1	736.3	741.6	744.6	94	88	84	WSW 1	WNW 1	SW 1	10●	10●	10	1.0	● 0¼-1, 4¼-9¼ mU, 12-14¾ mU,
7	2.0	7.0	2.2	3.7	−1.3	744.8	743.6	742.5	100	81	96	E 0	NNW 1	SE 1	10≡	0	0	.	≡ n-a [△ 15
8	0.4	7.4	1.6	3.1	−1.8	742.4	741.2	740.0	96	69	96	ESE 1	E 1	E 1	2	4	0	.	
9	0.3	9.8	3.5	4.5	−0.2	738.8	738.3	739.3	81	64	88	ESE 1	ESE 1	ESE 1	0	0	0	.	≡ 0-1¾, ⌴ l
10	−0.2	9.5	1.3	3.5	−1.1	741.4	741.6	742.4	100	67	94	ESE 1	ENE 1	E 0	10≡	2	6	0.2	≡ 3¾-a,
11	1.7	5.7	4.3	3.9	−0.6	743.4	743.4	743.8	100	85	89	NW 1	WNW 1	S 0	10≡	10	10	.	◕ 6, ≡ n-10½
12	2.8	5.3	0.4	2.8	−1.5	743.8	743.9	744.5	77	69	95	ESE 0	W 1	SSE 1	10	3	0	.	
13	**−3.9**	7.0	0.8	1.3	−2.9	743.8	743.9	744.5	97	61	95	SSE 0	NE 1	ESE 1	0	0	0	.	⌴ l
14	−1.3	6.6	1.1	2.1	−2.0	744.0	743.6	744.3	98	65	94	ESE 1	ESE 1	SE 1	1	0	1	.	⌴ l
15	−0.3	7.9	1.1	2.9	−1.1	**745.6**	745.0	745.0	98	68	96	ESE 1	E 0	ESE 1	10≡	6	6	.	≡ n-a
16	−0.4	9.2	0.8	3.2	−0.6	745.3	745.0	745.0	97	63	96	ESE 1	ESE 0	S 1	1	0	0	0.6	⌴ l
17	1.2	8.5	3.6	4.4	0.7	744.6	743.6	743.8	100	76	93	NNW 1	NE 1	ESE 1	10≡◕	0	0	.	◕ 6½-8¼, ≡ 5-10½
18	1.9	11.8	4.2	6.0	2.4	743.7	743.3	743.4	95	63	92	ESE 1	ESE 1	ESE 1	3	6	6	.	⌴ l
19	1.8	7.7	3.1	4.2	0.7	743.5	743.0	744.3	100	76	95	ESE 1	E 1	ENE 1	10≡	1	7	0.1	≡ 2-10¼, 22¼-24
20	2.2	3.4	2.3	2.6	−0.7	745.3	745.2	745.1	100	93	95	ESE 1	NE 0	NE 1	10≡	10	10	.	≡ 0-10½
21	1.3	3.3	1.7	2.1	−1.1	744.4	743.6	743.4	98	88	93	SE 1	SE 0	E 1	10	10	10	.	
22	0.1	5.0	1.2	2.1	−1.0	742.0	741.9	742.0	96	78	91	S 1	ESE 1	E 1	10	5	10	.	
23	0.9	3.1	0.6	1.5	−1.4	741.8	741.4	741.5	87	79	90	ESE 1	ENE 1	E 1	10	10	10	.	
24	0.0	3.1	0.2	1.1	−1.7	741.7	741.7	742.1	90	78	89	ESE 1	E 1	ENE 1	10	10	10	.	
25	**−2.6**	4.7	0.2	0.8	−1.9	742.8	743.1	744.1	94	70	93	ESE 1	E 1	ESE 1	1	1	0	.	
26	−1.0	5.3	2.5	2.3	−0.3	744.1	742.5	742.1	92	74	89	ESE 1	ESE 1	E 1	7	10	0	0.0	⌴ l
27	1.7	4.1	4.9	3.6	1.2	740.5	740.1	739.5	91	80	65	E 1	ESE 1	ESE 1	10	10	0	.	⌴ l
28	2.6	11.5	4.5	6.2	3.9	740.2	740.3	740.8	75	**47**	72	ESE 1	ESE 1	ESE 1	8	1	0	.	
29	0.8	10.8	5.3	5.6	3.4	741.9	741.4	741.2	89	56	78	ESE 1	E 1	ESE 1	0	0	0	.	
30	1.3	8.7	6.8	5.6	3.5	740.5	740.9	742.3	94	73	80	E 1	E 1	E 1	0	9	4	.	
Mittel	1.4	7.5	3.3	4.1	—	740.8	740.6	740.9	94	71	88				6.8	5.0	4.6	Summe 12.8	

November 1953
Beobachter: *Observatorium*

Säntis

$\lambda = 9°\,20'$, $\beta = 47°\,15'$,
$H_b = 2500.1$ m, $G = -0.27$ mm.

Tag	Lufttemperatur					Luftdruck			Relative Feuchtigkeit			Windrichtung und Stärke			Bewölkung			Niederschlag	Witterung
	7^{30}	13^{30}	21^{30}	Mittel	Abweich. vom Normalst.	7^{30}	13^{30}	21^{30}	7^{30}	13^{30}	21^{30}	7^{30}	13^{30}	21^{30}	7^{30}	13^{30}	21^{30}		
1	−4.7	−2.0	−1.9	−2.9	0.2	560.4	559.2	558.0	52	66	50	ESE 2	SSE 2	SE 2	6	8	1	.	✳ 6-6¾, 7¾-10¾, ≡ 5½-7, 8-11
2	−4.1	−2.6	−4.2	−3.6	−0.4	556.1	556.1	554.6	100	98	100	SW 3	SSW 2	SSW 2	10	10≡	7	0.8	✳ 6½-8½, ▽ 8¾-10½ mU, ≡ 6¾-n
3	−6.1	−6.9	−6.9	−6.6	−3.3	**553.1**	554.7	557.1	93	97	100	N 2	WNW 2	NE 1	10≡*	10≡	10≡	2.6	✳ n (4./5.), ≡ 18¾-n
4	−5.8	−3.8	−2.4	−4.0	−0.5	557.4	558.6	561.7	82	37	100	SW 3	WSW 3	W 3	1	3	10≡	3.2	✳ n (5./6.)
5	−3.7	2.2	−3.6	−1.7	1.9	562.6	562.8	562.2	53	18	99	NE 1	S 1	W 3	1	3	10	5.3	
6	−3.7	−6.2	−8.4	−6.1	−2.4	561.4	564.0	566.0	100	100	98	WSW 2	NW 2	N 1	10≡*	10≡*	10≡*	**27.2**	✳ ≡ n-n
7	−9.8	−8.3	−1.6	−6.6	−2.8	565.9	565.7	566.3	98	94	22	ENE 2	E 2	NNE 2	5	1	1	.	≡ n-11 mU
8	−0.8	2.0	2.1	1.1	5.1	566.8	567.4	567.2	10	10	21	N 2	NNE 2	ENE 2	5	8	0	.	
9	2.4	4.0	1.0	2.5	6.6	566.1	566.9	567.3	29	31	24	WSW 3	WSW 2	W 2	0	0	1	.	
10	−0.6	1.0	−2.4	−0.7	3.5	567.5	568.7	568.0	35	30	48	W 2	NNW 1	SE 1	1	1	0	.	
11	−1.0	1.8	−1.4	−0.2	4.1	567.0	567.5	568.0	17	31	28	NNW 1	SW 2	WSW 3	1	0	0	.	
12	0.6	3.0	3.2	2.3	6.7	568.4	569.2	569.5	**6**	9	11	WNW 2	W 2	WSW 2	7	7	1	.	
13	−0.2	1.2	1.0	0.7	5.3	569.4	570.1	570.5	13	16	10	WSW 3	WSW 2	WSW 2	1	1	1	.	
14	1.8	**5.0**	0.8	2.5	7.2	570.1	570.7	570.5	14	16	16	W 2	SW 2	WSW 3	1	1	6	.	
15	−0.4	3.0	1.5	1.4	6.2	570.9	571.1	571.5	15	14	12	WSW 3	SW 2	N 2	8	3	1	.	
16	0.9	2.2	0.1	1.1	6.0	571.4	**571.9**	571.4	75	60	84	NNE 3	NE 2	NE 2	1	1	1	.	
17	2.6	3.7	0.2	2.2	7.2	570.4	570.7	570.5	57	41	44	E 2	SW 2	SW 2	0	1	0	.	
18	−1.2	2.3	0.0	0.4	5.5	569.5	569.9	569.7	63	60	39	W 3	SW 1	N 1	1	2	7	.	
19	−0.2	2.3	−1.0	0.4	5.7	569.0	569.2	569.6	52	43	44	NE 2	SSW 1	W 1	6	5	1	.	
20	0.0	2.9	0.0	1.0	6.4	569.7	570.1	570.1	46	42	19	W 2	WSW 2	WSW 1	2	1	0	.	
21	1.2	3.0	0.2	1.5	7.0	569.2	569.2	569.1	**6**	8	38	NW 1	WSW 1	NNE 1	1	1	0	.	
22	0.8	3.7	2.2	2.2	7.8	568.2	568.3	568.3	60	51	57	NE 2	E 1	NE 2	1	1	1	.	
23	1.7	3.4	0.9	2.0	7.7	567.7	567.6	567.7	31	26	34	NE 3	ESE 1	SSE 1	0	1	0	.	
24	0.4	2.4	−0.4	0.8	6.6	567.2	567.4	567.4	39	38	41	NW 1	S 1	W 2	0	0	0	.	
25	−2.9	−1.1	−3.4	−2.5	3.4	567.1	567.5	568.3	37	70	42	W 3	SW 3	W 3	1	1	0	.	
26	−3.7	−0.3	−3.4	−2.5	3.5	568.1	567.9	567.5	45	40	42	WSW 2	SSW 1	S 2	1	9	3	.	
27	−4.3	−1.3	−2.2	−2.6	3.4	566.5	566.6	567.2	41	41	45	SW 2	SSW 2	WSW 1	2	9	2	.	
28	−1.4	1.6	−1.0	−0.3	5.8	567.6	568.5	568.5	75	61	50	ENE 1	SW 1	W 1	8	1	0	.	
29	−1.4	2.1	0.4	0.4	6.6	568.2	568.7	569.1	89	81	72	WSW 3	SW 2	W 1	2	3	0	.	
30	1.2	2.5	−2.0	0.6	6.9	568.1	568.8	568.8	73	58	88	WSW 3	WSW 2	WSW 4	1	1	9	.	⸗ III
																		Summe	
Mittel	−1.4	0.8	−1.1	−0.6	—	566.4	566.8	567.1	50	46	49				3.1	3.4	2.8	39.1	

November 1953
Beobachter: *E. Chiesa*

St. Gotthard (Hospiz)

$\lambda = 8°\,34'$, $\beta = 46°\,33'$,
$H_b = 2095$ m, $G = -0.25$ mm.

1	−3.6	−1.0	−2.2	−2.3	0.0	590.9	590.0	589.0	96	80	90	SE 1	SE 1	SE 1	10	10	10*	6.9	✳ 20-n
2	−2.5	−1.2	−2.0	−1.9	0.6	589.8	586.1	584.4	100	100	100	SE 1	SE 1	SE 1	10*	10≡	10*≈	**9.1**	✳ n-n mU, ≡ a-n
3	−3.6	−4.4	−5.1	−4.4	−1.8	**582.0**	583.7	586.0	100	98	97	NW 1	NW 1	NW 2	10≡	10−	10≈	1.8	✳ a, ≡ ⋁ n-n
4	−4.3	−0.1	−1.0	−1.8	1.0	586.9	588.7	590.7	98	100	95	NW 0	SE 0	NW 1	0	3	9	.	
5	−3.2	3.1	0.2	0.0	2.9	591.7	592.3	593.5	46	31	89	NW 0	SE 1	SE 0	0	0	0	.	
6	−2.3	−3.0	−6.2	−3.8	−0.8	593.8	592.6	594.7	100	100	97	NW 2	NW 3	NW 3	9	10≡	10	1.9	≡ a-p, ⸗ a-n, ⋁ III
7	−6.0	−6.0	−2.4	−4.8	−1.6	595.0	595.2	595.3	97	95	35	NW 2	NW 3	NW 1	10≡	0	0	.	≡ ⸗ ⋁ n-10¾, ⸗ II
8	−1.8	4.7	−2.5	0.1	3.4	595.5	596.1	596.3	36	**24**	70	NW 2	NW 1	NW 0	0	0	0	.	
9	−1.2	4.1	0.0	1.0	4.4	595.9	596.2	596.2	54	50	49	S 0	SE 1	SE 0	0	0	0	.	
10	0.4	2.5	0.0	1.0	4.5	595.9	596.2	596.4	51	52	50	NW 1	NW 2	NW 0	0	0	0	.	
11	−1.4	2.9	0.0	0.5	4.2	596.3	596.7	597.0	64	54	56	SE 0	NW 1	NW 1	0	0	0	.	
12	2.0	5.0	1.2	2.7	6.5	597.2	597.9	598.3	40	**24**	40	NW 2	NW 1	NW 0	0	0	0	.	
13	3.1	4.8	1.2	3.0	6.9	598.4	598.5	598.6	36	32	40	NW 2	NW 1	NW 1	0	0	0	.	
14	1.8	5.2	3.0	3.3	7.3	599.0	599.1	599.4	39	38	35	NW 0	NW 1	NW 2	0	0	0	.	
15	1.8	2.8	2.0	2.2	6.3	599.3	599.8	600.0	42	40	36	NW 2	NW 1	NW 1	0	0	0	.	
16	1.8	5.1	2.4	3.1	7.3	599.9	600.3	**600.4**	36	60	72	NW 1	NW 1	NW 1	0	0	0	.	
17	−1.0	3.3	−1.1	0.4	4.7	599.8	599.9	599.8	86	85	90	NW 0	NW 0	NW 0	0	0	0	.	
18	−1.4	4.7	0.0	1.1	5.5	599.3	599.4	599.0	85	58	71	NW 0	SE 0	NW 0	0	0	0	.	
19	1.0	4.0	0.6	1.9	6.4	598.1	597.9	598.5	75	55	61	NW 1	NW 1	NW 1	0	0	0	.	
20	1.3	4.1	1.2	2.2	6.8	598.6	598.9	598.9	55	46	47	NW 1	NW 1	NW 0	0	0	0	.	
21	2.0	4.8	1.6	2.8	7.5	598.3	598.2	597.8	36	33	41	NW 1	NW 1	NW 0	0	0	0	.	
22	2.8	**6.0**	2.0	3.6	8.4	597.0	598.1	596.9	59	51	63	NW 1	NW 1	NW 0	0	0	0	.	
23	3.1	5.7	2.6	3.8	8.7	596.5	596.5	596.4	57	52	58	NW 1	NW 0	NW 0	0	0	0	.	
24	1.9	4.0	1.1	2.3	7.3	596.1	596.2	596.2	55	51	54	NW 1	NW 2	NW 1	0	0	0	.	
25	−0.8	2.1	−1.2	0.0	5.1	596.4	596.5	597.8	51	53	58	NW 1	NW 1	NW 0	0	0	0	.	
26	−4.6	−2.0	−4.5	−3.7	1.5	598.3	598.4	598.5	48	40	38	SE 0	SE 2	SE 1	0	0	0	.	
27	**−6.3**	−3.8	−6.0	−5.4	−0.1	597.8	597.9	597.9	38	33	57	SE 1	SE 1	SE 1	0	3	6	.	
28	−4.2	−1.5	−5.2	−3.6	1.8	598.2	596.6	598.5	92	92	90	SE 1	SE 1	SE 0	10	10	0	.	
29	−2.6	2.4	−2.0	−0.7	4.8	598.1	598.3	598.3	75	70	85	SE 0	SE 0	SE 0	0	0	0	.	
30	−2.7	0.4	−0.9	−1.1	4.4	598.2	598.6	598.8	93	85	90	SE 1	SE 2	SE 1	0	3	0	.	
																		Summe	
Mittel	−1.0	2.0	−0.8	0.1	—	595.7	596.0	596.3	65	59	65				2.0	2.0	1.8	19.7	

$\lambda = 7°\,26'$, $\beta = 46°\,57'$,
$H_b = 572.2$ m, $G = 0.00$ mm.

Bern

Dezember 1953
Beobachter: *Meteorol. Observatorium*

Tag	Lufttemperatur 7³⁰	13³⁰	21³⁰	Mittel	Abweich. vom Normalst	Luftdruck 7³⁰	13³⁰	21³⁰	Relative Feuchtigkeit 7³⁰	13³⁰	21³⁰	Windrichtung und Stärke 7³⁰	13³⁰	21³⁰	Bewölkung 7³⁰	13³⁰	21³⁰	Niederschlag	Witterung
1	2.4	9 9	3.8	5.4	4.5	721.3	**721.4**	**721.4**	95	72	90	S 1	E 1	W 0	0	1	0	.	⌓ III
2	0.4	7.9	3.0	3.8	3.1	721.0	719.6	718.7	99	65	95	— 0	— 0	— 0	2	3	0	.	⌴ I
3	0 6	6.2	5.0	3.9	3.3	716.2	715.6	715.4	97	75	83	SE 1	E 0	N 0	7	7	9	.	⌴ I
4	1.1	9.4	4.7	5.1	4.6	716.1	716.1	716.2	97	65	94	SE 0	— 0	SSW 0	1	5	4	0.0	● 15¾–16, ⌴ I
5	2.1	9.4	4.0	5.2	4.9	717.8	717.4	717.6	95	62	66	SE 0	NE 1	SSW 1	2	5	8	.	
6	1.0	5.2	1.6	2.6	2.4	717.9	717.7	717.0	99	85	100	SSW 1	SE 0	NE 1	10≡	8	10≡	.	≡ 6–12, 18¼–22
7	0.8	3.1	1.8	1.9	1.8	715.1	714.3	714.7	100	97	100	NE 0	NNW 0	W 1	10≡	10≡	10≡	.	≡ 0¼–24
8	0.0	1.6	1.4	1.0	1.0	715.6	715.7	716.5	100	95	99	SE 1	— 0	WNW 1	10≡	9	10≡	.	≡ 0–13½, 20–24
9	1.5	7.7	3.8	4.3	4.4	717.0	717.3	718.5	99	**60**	89	W 0	W 1	S 1	9	4	10	.	≡ 0–3
10	4.2	7.7	5.8	5.9	6.1	718.9	719.1	720.1	84	83	90	S 1	— 0	E 0	10	10	9	0.5	● 13¾–18 mU
11	3.8	5.2	4.0	4.3	4.6	719.5	718.8	719.0	100	100	100	— 0	NW 0	— 0	9	10≡	10≡	0.1	≡ 7¾–24
12	2.0	2.2	1.3	1.8	2.2	719.1	719.5	719.9	100	97	100	E 1	W 1	E 1	10◕≡	10≡	10≡	0.0	◕ 5–9¾, ≡ 0–24
13	0.0	0.6	-0.4	0.1	0.6	719.0	717.5	716.7	100	98	97	SSW 0	— 0	E 1	10≡	10≡	10≡	.	≡ 0–14, 16¼–24
14	-0.6	1.4	0.5	0.4	1.0	715.9	715.3	715.8	98	93	100	SE 1	E 0	NE 1	10≡	10	10≡	.	≡ 0–13¾, 18¾–24
15	0.0	2.6	0.9	1.2	1.9	716.0	715.1	714.7	100	87	100	SE 0	NNE 0	N 0	10≡	9	10≡	.	≡ 0–11½, 17¾–24
16	-0.5	0.5	-0.4	-0.1	0.7	715.4	716.1	717.0	100	99	100	— 0	— 0	NE 0	10≡	10≡	10≡	.	≡ 0–24
17	-1.4	-0.2	-1.1	-0.9	-0.1	717.4	716.0	715.5	100	96	100	E 1	WSW 1	NE 1	10≡	10≡	10≡	.	≡ 0–24
18	-2.0	-0.6	-1.0	-1.2	-0.3	715.6	714.6	713.6	100	95	100	S 1	WNW 1	N 1	10≡	10≡	10≡	0.3	≡ 0–2½, 5–24
19	-1.0	2.8	3.4	1.7	2.7	712.3	711.1	**709.9**	94	89	100	SSW 1	SE 1	S 0	10●	10	10●	7.5	● 6¼–7½, 9¾–11½, 15¾–23¼, ≡ 23¼–
20	3 6	5.2	2.4	3.7	4.7	711.0	711.6	713.4	96	81	93	W 0	NE 0	NE 1	9	10	10●	1.1	● 1–2¾, 20¾–22½ [2
21	1.0	1.9	1.0	1.3	2.4	714.1	715 0	716.5	95	86	90	NE 2	ENE 2	NE 1	10●*	10	10	0.0	● ✳ fl 7¼–10
22	0.6	1.8	0.8	1.1	2.2	717.2	717.7	717.5	84	83	90	N 1	N 1	ENE 1	10	10	10	.	
23	-0.2	3.2	2.1	1.7	2.9	717.6	717.0	716.5	88	85	90	N 1	NE 0	N 1	10	9	9	.	
24	0 5	4.4	3.2	2.7	3.9	715.7	715 9	716.9	96	79	82	S 1	NE 0	SE 1	9	10	10	.	
25	0.6	4.2	3.1	2.6	3.9	715.6	714.6	713.6	96	66	99	W 1	W 1	SSW 1	8	9	10●	3.8	● 18–21¾
26	1.8	3.2	-0.8	1.4	2.7	714.8	717.1	718.1	97	71	99	SSW 1	ENE 1	W 0	9	9	0	0.1	● 1¼–6½
27	0.1	1.8	1.6	1.2	2.6	716.2	716.1	716.9	86	91	96	S 1	SE 1	S 1	10*	10*	9	0.5	✳ 5–10¾, 12½–14 ✳
28	0.2	2.2	0.6	1.0	2.4	716.4	715.8	715.1	100	70	97	E 0	WSW 1	W 1	9	10*	10	3.3	✳ 13–16¼, 18½–21, 23½–24
29	0.5	1.6	0.7	0.9	2.4	712.5	710.8	710.6	99	94	97	S 0	W 1	NW 1	10*	10*	9	2.9	✳ 0–4¼, 7–18 mU ✳
30	-1.7	-1.1	-3.5	-2.1	-0.6	712.4	712.6	713.0	72	69	81	NNE 2	NE 2	NE 2	9	9	4	0.0	✳ fl 9½–11, 14–14¾, 17¾–18, ∾ I ✳
31	-3.4	-2.4	**-5.2**	-3.7	-2.2	712.5	711.7	712.8	88	82	76	NE 2	ENE 2	ENE 2	9*	9*	3	0.1	✳ fl 7½–8, 9¼–14 mU ✳
																		Summe	
Mittel	0.6	3.5	1.6	1.9	—	716.2	715.9	716.1	95	83	93				8.1	8.6	8.2	20.2	

$\lambda = 6°\,57'$, $\beta = 47°\,0'$,
$H_b = 487.3$ m, $G = 0.02$ mm.

Neuchâtel

Dezember 1953
Beobachter: *Observatorium*

Tag																			
1	2.6	**6.0**	3.1	3.9	2.0	729.3	729.4	**729.5**	100	98	100	NE 0	E 0	SE 0	10≡	7	10≡	0.2	≡ 7¼–13, 19¼–n
2	1.8	4.0	3.4	3.1	1.3	728.8	727.5	726.7	100	100	100	E 0	**E** 0	E 0	10≡	10≡	10≡	0.2	≡ n–n
3	1.4	4.6	4.9	3.6	1.9	724.3	723.3	723.4	100	99	99	E 0	SE 0	SE 0	10≡	10	9	0.1	● 17¼–18, ≡ n–10½
4	1.4	3.7	3.7	2.9	1.3	724.0	723.9	724.4	100	100	100	NE 0	SE 0	E 0	10≡	10≡	10≡	0.2	≡ n–n
5	2.6	4.7	3.6	3.6	2.1	725 7	725.4	725.5	100	100	100	E 0	S 0	S 0	10≡	10≡	10≡	0.1	≡ n–n
6	4.0	4.7	2.8	3.8	2.4	725.7	725.6	725 2	100	100	100	NE 0	N 0	E 0	10≡	10≡	10≡	.	≡ n–n
7	2.4	3.2	2.7	2.8	1.5	722.4	722.1	722.6	100	100	100	E 0	NE 0	N 0	10≡	10≡	10≡	.	≡ n–n
8	1.5	1.7	2.4	1.9	0.7	723.7	724.0	724.3	100	100	100	NE 0	SE 0	NE 0	10≡	10≡	10≡	.	≡ n–n
9	2.4	4.4	3.8	3.5	2.4	725.1	725.4	726.5	100	99	100	NE 0	NE 0	NE 0	10≡	10≡	10≡	0.3	≡ n–14¼, 16–n
10	3.9	5.6	5.4	5.0	4.0	726.9	726.9	728.1	100	97	99	NE 0	NE 0	NE 0	10≡	10	10	1.1	● 6½–6¾, 14–15¾, 17¼–19¼, ≡ n–a
11	4.8	5.1	4.0	4.6	3.7	727.5	727.0	727.0	100	100	100	NE 0	SE 0	E 0	10≡	10≡	10≡	.	≡ n–n
12	3.7	3.9	2.6	3.4	2.6	727.2	727.4	727.8	100	99	99	E 0	E 0	NE 0	10≡	10≡	10	.	≡ n–n mU
13	1.6	1.6	0.5	1.2	0.4	727.0	725.3	725.7	99	99	99	NE 0	E 0	E 0	10	10	10≡◕	0.4	≡ ◕ p–n
14	-0.2	1.2	1.6	0.9	0.2	723.8	723.2	723.7	98	99	96	NE 0	E 0	E 0	10	10	10	.	
15	0.8	2.6	1.0	1.5	0.9	723.5	723.1	722.6	98	98	98	NE 1	E 0	NE 0	10≡	10≡	10	.	≡ n–n mU
16	-0.1	0.9	0.0	0.3	-0.2	723.4	723.7	725.4	98	98	100	NE 0	NE 0	NE 0	10≡	10≡	10≡	0.1	≡ n–n
17	0.1	1.0	0.2	0.4	0.0	725.2	723.7	723.7	100	100	98	NE 0	NE 0	SE 0	10≡	10≡	10	.	≡ n–n mU
18	-0.3	0.1	-0.2	-0.1	-0.5	723.6	722.3	721.6	100	100	100	SE 0	NE 0	NE 0	10≡	10≡	10≡	0.6	≡ n–n
19	-0.1	2.4	4.3	2.2	1.9	720.3	718.6	**717.5**	98	98	99	NE 0	NE 0	NE 0	10≡	10	10●	4.5	● 6½–10 mU, 14¾–21¾,
20	2.6	4.7	3.9	3.7	3.5	718.8	719.3	721.1	95	89	71	NE 1	E 0	N 2	2	10	10	0 5	[≡ n–a
21	2.0	3.9	1.6	2.5	2.3	721.7	722.4	724.5	82	71	82	NE 2	E 2	NE 2	10	9	10	.	● 1½–3, ⌿ 12½–19¾ mU
22	1.0	2.5	1.2	1.6	1.5	725.4	725.9	725.6	85	74	85	NE 0	E 0	NE 1	10	8	10	.	
23	0.3	2.1	2.4	1.6	1.6	725.8	725.2	724.6	87	82	86	E 0	N 0	E 0	10	10	10	.	
24	1.6	3.5	3.2	2.8	2.8	723.7	724.1	725.0	98	89	92	E 0	NE 0	NE 0	10	10	10	.	
25	2.4	4.4	4.1	3.6	3.7	723.7	722.7	721.4	93	81	87	NE 0	SW 0	SW 1	10	10	10	0.6	●tr p
26	2.3	3.9	-1.3	1.6	1.8	723.0	724.7	726.0	81	**57**	86	NW 0	N 2	N 0	10	5	0	.	● 2–3½, △ 7–7½, ⌿ 8½–
27	1.6	2.6	1.2	1.8	2.0	724.3	723.9	724.5	72	85	82	SW 2	W 1	W 0	10	10	9	0.2	✳ fl a [14¼ mU
28	2.0	2 9	0.9	1.9	2.2	724.0	723.4	723.2	65	69	93	N 1	SW 1	W 1	9	10	10	3.2	● ✳ 19–21¼
29	0.5	2.5	0.7	1.2	1.5	720.4	718.3	718.8	96	80	96	W 0	NW 1	NE 0	10	10	8	6.9	✳ 0½–2½, 6½–22½ mU
30	-0.8	-0.1	-2.2	-1.0	-0.6	720.3	720.4	721.0	86	64	64	E 2	NE 2	NE 3	10	7	3	0.0	✳ fl a, ⌿ 19–n ✳
31	-2.6	-1.1	-3.2	-2.3	-1.9	720.3	719.6	721.0	71	62	67	NE 2	NE 2	NE 2	8	9	10	0.0	✳ fl p
																		Summe	
Mittel	1.5	3.0	2.0	2.2	—	724.1	723.8	724.1	94	90	93				9.6	9.5	9.0	19.2	

Dezember 1953
Beobachter: *Frl. H. Nager*

Altdorf

$\lambda = 8° 39'$, $\beta = 46° 53'$,
$H_b = 456.3$ m, $G = -0.03$ mm.

Tag	Lufttemperatur					Luftdruck			Relative Feuchtigkeit			Windrichtung und Stärke			Bewölkung			Niederschlag	Witterung
	7^{30}	13^{30}	21^{30}	Mittel	Abweich. vom Normalst	7^{30}	13^{30}	21^{30}	7^{30}	13^{30}	21^{30}	7^{30}	13^{30}	21^{30}	7^{30}	13^{30}	21^{30}		
1	5.1	10.2	3.8	6.4	3.6	731.4	731.8	**732.2**	81	67	88	N o	N o	N o	7	2	o	.	
2	1.6	5.5	1.1	2.7	0.0	731.5	730.0	729.2	99	100	100	S o	NW o	NW o	8	9	10≡	0.3	☽ n (2./3.), ≡ 16-n
3	3.4	15.9	9.0	9.4	6.8	726.0	724.9	725.5	97	40	76	NW 2	SE 2	SE 1	4	3	o	.	≡ n-6
4	5.4	15.5	13.8	11.6	9.2	726.7	725.6	726.1	94	37	46	NE o	S 2	SE 1	7	7	3	.	
5	5.6	9.2	4.2	6.3	4.0	728.2	728.0	728.0	91	76	90	NE o	NW o	NW o	7	2	7	.	
6	3.4	6.5	4.8	4.9	2.7	728.4	727.9	727.9	100	92	100	NE o	NE o	NE o	10	10	10≡	.	≡ p-n
7	8.1	**16.3**	14.2	12.9	10.8	724.4	723.5	724.9	51	56	**30**	E 2	SE 1	S 1	4	6	8	.	
8	4.4	**15.4**	5.1	8.3	6.3	726.1	725.7	726.5	90	36	90	W o	SE o	NW o	7	5	10	.	
9	3.7	5.2	1.2	3.4	1.5	727.1	728.2	729.4	97	95	95	**W** o	NE o	E o	10	10	2	.	≡ 15½-20¾
10	1.8	6.8	5.5	4.7	2.9	729.5	729.8	730.8	92	82	88	E o	NE o	E o	9	10	7	.	⌊ l
11	4.3	6.7	4.9	5.3	3.6	730.5	729.1	729.5	87	90	98	NE o	NW o	NW o	8	6	10	.	
12	4.3	5.3	3.3	4.3	2.7	729.5	729.9	730.9	92	88	98	W o	W o	NW o	10	10	10	.	
13	1.6	3.7	2.8	2.7	1.2	729.5	728.1	727.0	99	94	97	NW o	NW o	NW o	10≡	10≡	10	.	≡ n-p
14	2.1	4.4	2.9	3.1	1.7	726.2	725.2	726.4	96	89	95	NW o	NW o	W o	10	8	8	.	
15	2.4	3.9	3.3	3.2	1.9	726.4	725.2	725.6	100	93	96	NE o	NW o	NW o	10≡	10≡	10≡	.	≡ n-n
16	2.8	3.2	2.1	2.7	1.5	726.2	726.6	727.8	97	97	99	N o	N o	N o	10≡	10≡	10≡	.	≡ n-n
17	1.3	3.3	1.6	2.1	1.0	728.1	727.0	725.7	100	100	100	N o	NW o	NE o	10≡	10≡	10≡	.	≡ n-n
18	0.8	1.8	0.7	1.1	0.1	725.8	724.9	724.5	100	100	100	NE o	NE o	NE o	10≡	10≡	10≡	.	≡ n-n
19	0.3	4.3	4.3	3.0	2.1	722.5	721.2	719.9	99	92	100	NE o	NW o	NW o	8	10	10●	**14.2**	● 17-n
20	5.0	5.1	4.7	4.9	4.0	720.9	722.1	723.8	100	100	91	NE o	NW o	NE o	10●	10	10●	1.9	● n-n mU
21	3.4	4.7	3.8	4.0	3.2	724.4	725.1	727.7	91	75	85	W o	NW 1	NW o	10	10	10	0.1	●tr n (21./22.)
22	2.7	2.7	1.0	2.1	1.4	727.2	728.2	728.4	80	85	94	NW o	NW o	N o	10	10●*	10	0.6	● ✳ a-p mU
23	-0.1	4.8	2.3	2.3	1.7	728.5	726.4	727.0	89	62	86	SE o	NW 1	NW o	5	6	8	.	
24	0.1	4.9	0.1	1.7	1.1	726.4	726.3	728.2	91	72	81	NE o	W o	W 1	0	0	10	.	
25	2.1	6.3	2.5	3.6	3.1	726.2	724.4	723.9	66	56	83	SE o	NE o	NE o	7	4	9	1.6	● n (25./26.)
26	2.3	4.3	2.7	3.1	2.7	724.5	726.8	728.7	96	72	89	SW o	NW 1	NW o	10●	10	10	0.5	● n-8
27	1.4	1.8	4.9	2.7	2.3	726.7	725.4	726.5	90	92	65	SE o	W o	NW 1	10	10●	10	1.5	✳ 9-p mU
28	2.1	3.4	1.4	2.3	2.0	726.3	725.9	725.4	92	73	95	E o	N o	NW o	10	10*	10*	5.3	✳ a-n
29	1.2	1.9	1.2	1.4	1.1	723.7	720.1	720.9	99	97	82	SW o	S o	NW 1	10●	10●	10*	11.9	● n-p, ✳ p-n
30	-1.8	-0.9	-3.8	-2.2	-2.4	722.6	722.7	724.1	65	85	80	NW 1	NW o	E o	10	10*	4	2.4	✳ a-p
31	**-6.2**	1.8	-3.2	-2.5	-2.7	719.9	723.0	**719.1**	77	79	65	NE o	NE o	E o	8	7	4	.	
																		Summe	
Mittel	2.4	5.9	3.4	3.9	–	726.5	726.1	726.5	90	80	87				8.4	7.9	8.1	40.3	

Dezember 1953
Beobachter: *Observatorium*

Genève

$\lambda = 6° 9'$, $\beta = 46° 12'$,
$H_b = 405.0$ m, $G = -0.03$ mm.

1	2.6	**9.6**	4.2	5.5	2.5	736.0	736.1	736.3	96	**71**	97	E o	E o	E o	o	o	o	.	
2	1.0	5.8	4.0	3.6	0.7	**736.5**	734.4	734.0	100	98	100	ESE o	ENE o	ENE o	10≡	2	10≡	.	≡ n-a, p-n
3	3.0	5.0	4.7	4.2	1.5	732.0	730.3	730.8	100	94	100	SE o	SSE o	E o	10≡	10	10≡	.	≡ n-a, p-n
4	3.4	6.4	5.2	5.0	2.4	732.1	731.0	731.5	100	88	100	ESE o	ESE o	E o	10≡	4	10	.	≡ n-a
5	3.0	4.8	4.6	4.1	1.6	733.8	732.6	732.8	96	100	100	ESE o	ENE o	NE o	10	9	10≡	.	≡ p-n
6	1.8	5.1	5.8	4.2	1.8	732.7	732.2	732.3	100	100	100	NE o	NE o	NE o	10≡	10	10≡	.	≡ n-a, p-n
7	5.9	6.0	5.2	5.7	3.4	730.3	728.3	728.8	100	100	100	SE o	SE o	E o	10≡	10	10≡	.	≡ n-a, p-n
8	3.0	5.0	5.0	4.3	2.1	730.3	730.8	731.4	100	90	97	E o	E o	NNE 1	10≡	10	10	.	≡ n-a
9	3.6	8.7	7.2	6.5	4.4	734.1	733.5	734.6	97	86	94	E o	NNE 1	E o	5	0	10	.	
10	5.0	7.8	7.6	6.8	4.8	734.6	734.3	734.6	100	94	94	SE o	E o	E o	10	10	2	.	
11	6.0	8.1	4.9	6.3	4.4	734.6	734.3	734.5	100	77	100	E o	E o	E o	10	4	10≡	0.1	☽ n (11./12.), ≡ p-n
12	4.0	5.3	4.4	4.6	2.8	734.9	734.3	734.8	100	87	93	E o	NNE 1	ESE 1	10	10	10	.	
13	3.0	4.4	3.6	3.7	2.0	733.6	731.9	731.6	97	87	90	E o	NE 1	NE 1	10	10	10	.	
14	2.3	4.9	4.2	3.8	2.2	731.1	730.3	730.9	96	86	93	E o	ENE o	E o	10	10	10	.	
15	4.0	6.6	5.0	5.2	3.7	730.8	729.4	729.6	97	91	94	E o	NNE 1	NE o	9	10	9	.	
16	3.6	4.8	3.2	3.9	2.5	730.0	730.8	732.6	93	87	97	E o	NNE 1	NNE o	10	10	10	.	
17	1.0	2.4	2.2	1.9	0.6	732.5	730.6	731.0	100	100	100	**E** o	E o	E o	10≡	10≡	10≡	.	≡ n-a, p-n
18	1.2	1.6	2.2	1.7	0.5	730.2	730.6	729.0	100	100	100	E o	**E** o	E o	10≡	10≡	10	1.3	● n (18./19.), ≡ n-p
19	1.8	4.4	5.0	3.7	2.6	727.6	725.8	**725.0**	100	93	100	E o	E o	E o	10●≡	10●	10●	**10.2**	● n-n, ≡ n-a
20	5.5	7.6	6.5	6.5	5.4	726.8	726.7	728.0	85	75	91	ESE o	ESE o	NNE 1	7	8	10	.	
21	4.0	4.8	3.6	4.1	3.1	728.7	728.9	732.3	73	**71**	76	NNE 3	NNE 2	NNE 1	10	10	10	.	
22	3.3	4.2	3.0	3.5	2.6	733.3	732.4	732.3	78	77	72	NNE 1	NNE 1	NNE 1	10	5	2	.	
23	2.6	3.5	2.5	2.9	2.1	733.5	731.4	731.7	79	86	93	NNE 1	NNE 1	E o	10	10	10	.	
24	2.0	4.8	2.0	2.9	2.1	731.3	731.4	732.3	89	77	96	E o	E o	E o	10	10	10	.	
25	0.5	4.0	4.6	3.1	2.4	731.9	730.9	729.8	98	90	87	NNE 1	NNE 1	NNE 1	10	7	6	*2.0	● n (25./26.)
26	2.0	3.8	0.0	1.9	1.3	730.6	731.7	733.7	93	73	89	E o	NNE 1	E o	10	2	2	.	
27	0.3	4.0	1.0	1.8	1.2	732.2	731.7	732.2	89	83	91	E o	E o	E o	10	10	6	0.0	▽ a
28	-1.4	2.4	1.4	0.8	0.3	731.7	731.4	731.1	96	89	89	ESE o	ESE o	ESE o	3	8	10	.	
29	0.6	3.0	1.8	1.8	1.3	728.2	726.5	726.0	92	88	89	ESE 1	SSE 1	NNE 1	9	6	5	1.0	✳ 9½-n mU
30	0.6	0.2	-0.4	0.1	-0.3	726.8	726.4	727.0	88	78	79	NNE 2	NNE 3	NNE 4	7	5	5	.	⛆ a-n, ⛆ III
31	-1.4	-0.6	**-2.0**	-1.3	-1.7	726.5	725.9	726.7	88	89	87	NNE 3	NNE 3	NNE 4	5	5	3	.	⛆ n-n, ⛆ III
																		Summe	
Mittel	2.5	4.8	3.6	3.6	–	731.6	730.9	731.2	94	87	93				8.9	7.6	8.1	14.6	

$\lambda = 8°\ 34'$, $\beta = 47°\ 23'$,
$H_b = 569.4$ m, $G = 0.03$ mm

Zürich

Dezember 1953
Beobachter: *Meteorol. Zentralanstalt*

Tag	Lufttemperatur 7³⁰	13³⁰	21³⁰	Mittel	Abweich. vom Normalst	Luftdruck 7³⁰	13³⁰	21³⁰	Relative Feuchtigkeit 7³⁰	13³⁰	21³⁰	Windrichtung und Stärke 7³⁰	13³⁰	21³⁰	Bewölkung 7³⁰	13³⁰	21³⁰	Niederschlag	Witterung
1	6.1	14.0	6.7	8.9	8.3	721.2	721.5	721.5	87	61	86	E 1	WSW 1	ENE 1	0	1	0	.	≡ 16¾-n, ⌙ l
2	3.3	7.2	1.8	4.1	3.6	721.1	719.6	718.7	100	81	100	ENE 1	SSW 1	E 1	1	2	10≡	0.0	≡ n-p mU, ⌙ l
3	−1.3	4.3	5.0	2.7	2.3	716.1	715.5	715.5	100	94	98	NE 1	SSW 1	ENE 1	1=	9≡	10	.	≡ n-9½ mU, ⌓ l
4	1.5	11.1	6.5	6.4	6.1	716.3	715.8	716.5	100	64	85	SW 1	SW 1	NNW 1	10≡	1	0	.	≡ 11½-n mU, ⌓ l
5	4.9	11.4	4.8	7.0	6.8	717.7	717.7	717.6	95	67	100	NW 1	SSE 1	N 0	9	1	0	0.0	
6	0.8	2.0	0.3	1.0	0.9	718.2	718.0	717.8	100	100	100	ESE 1	SW 1	NE 1	10≡	10≡	10≡	0.0	≡ n-n
7	1.2	1.4	0.2	0.9	0.8	715.3	714.5	714.7	100	100	100	NNE 1	ENE 1	NE 1	10≡	10≡	10≡	0.0	≡ n-n
8	−0.6	1.5	1.2	0.7	0.7	716.4	716.2	716.4	100	100	100	SE 1	ENE 1	S 0	10≡	10≡	10≡	0.1	≡ n-n
9	0.1	4.3	1.4	1.9	2.0	717.4	717.7	718.7	100	88	100	SE 0	S 1	S 1	9≡	2≡	10≡	0.2	≡ n-7½, 8¼-13½, 15½-n
10	1.7	5.1	5.0	3.9	4.1	719.2	719.4	720.1	100	100	100	— 0	S 0	E 1	9	10	10≡	0.5	● 16-19, ≡ n-7, 7¾-8¼, p-n
11	3.8	8.7	4.3	5.6	5.9	720.2	719.1	719.0	100	70	99	SE 0	NE 1	NE 1	8	8	10	0.1	≡ 8¾-12
12	3.1	3.8	2.2	3.0	3.4	719.5	719.7	720.1	99	94	100	ENE 1	SSE 1	E 1	10≡	10	10≡	0.0	☽ n-n mU, ≡ n-n mU
13	1.0	1.8	0.2	1.0	1.4	719.1	717.6	716.8	100	94	100	ENE 1	NE 1	NE 1	10≡	10	10≡	0.0	≡ n-13, 15-n
14	−0.6	1.2	0.1	0.2	0.7	716.2	715.7	716.1	99	90	100	SSE 1	E 1	NE 1	10≡	10	10≡	.	≡ n-n mU
15	−1.3	−0.5	−0.5	−0.8	−0.2	716.4	715.4	715.2	100	98	100	NE 1	ENE 1	E 0	10≡	10≡	10≡	.	≡ n-n
16	−0.9	−0.3	−0.5	−0.6	0.1	715.8	716.2	717.5	100	97	100	NNE 1	NE 1	NE 0	10≡	10≡	10≡	.	≡ n-n
17	−0.5	0.3	−0.4	−0.2	0.5	717.7	716.0	715.7	100	99	100	SSE 1	NE 1	NE 0	10≡	10≡	10	0.0	≡ n-n
18	−0.5	0.1	−0.8	−0.4	0.4	715.6	714.4	713.7	99	99	100	SSW 1	SSE 1	E 0	10≡	10≡	10	0.0	≡ n-n
19	−0.9	0.9	4.7	1.6	2.5	712.3	710.4	709.7	100	99	97	SW 1	S 1	S 0	10≡	10≡	10●	7.8	● 16½-23¾, ≡ n-14¾
20	1.2	4.0	1.6	2.3	3.2	711.3	712.1	713.7	96	84	94	NW 1	NW 1	N 1	7	10☽	10*●	5.6	☽ 13½-17, ● ✳ 17-22¼
21	1.0	1.7	0.0	0.9	1.9	714.7	715.6	717.0	94	85	80	N 1	N 3	NE 1	10☽	10	10	0.1	☽ 7½, ☄ II
22	−0.3	0.4	−0.4	−0.1	1.0	717.2	718.3	717.9	86	85	85	W 1	WSW 1	E 1	10	10	10	.	
23	−0.4	1.9	1.0	0.8	1.9	717.9	717.3	716.7	85	77	90	SSW 1	S 1	S 1	10	10	9	1.3	● ✳ 18-20½
24	1.3	4.1	3.5	3.0	4.2	715.9	716.1	716.9	92	79	76	NE 1	SSW 1	S 1	9	10	10	0.0	
25	2.1	5.2	1.9	3.1	4.3	715.7	714.5	713.6	75	59	92	S 1	SSW 1	SSW 1	5	9	10●	4.2	● 18-22¼
26	1.2	2.5	−0.5	1.1	2.4	714.4	717.0	717.8	91	76	94	W 1	W 1	NNE 1	10*	10	0	0.1	● 0¼-1¾, 3¾-6¼, ✳ 6¾-7½
27	0.8	2.1	1.6	1.5	2.8	715.5	715.7	717.7	76	73	87	SW 2	SW 2	S 1	10*	10	10	0.0	✳ II 5¼-10 mU
28	0.2	1.0	0.3	0.5	1.9	716.3	715.1	714.4	90	81	90	WNW 0	SW 2	SSW 2	9	10*	10*	1.2	✳ 13½-15½, ✳ II 16½-24
29	0.3	0.9	−0.1	0.4	1.8	711.9	710.1	710.9	94	89	92	SSW 1	SW 1	NNW 1	10*	10*	10*	6.5	✳ 5½-9¼, 13½-16¾, 20¼-21½, 23-23¾.
30	−2.8	−1.1	−4.6	−2.8	−1.3	712.7	712.9	713.9	83	75	92	NE 1	NNE 1	N 1	10	6	6	0.5	✳ II a [≡ p mU ✳]
31	−3.5	−3.2	−5.8	−4.2	−2.7	713.3	713.1	714.1	85	81	79	NNE 1	NNE 1	NNE 1	10	10*	10	0.5	✳ II 12-16 mU [✳]
																		Summe	
Mittel	0.7	3.2	1.3	1.7	—	716.4	716.1	716.3	94	85	94				8.6	8.4	8.2	28.7	

$\lambda = 6°\ 32'$, $\beta = 46°\ 51'$
$H_b = 1589$ m, $G = -0{,}13$ mm

Chasseron

Dezember 1953
Beobachter: *Ch. H. Martin*

Tag	Lufttemperatur 7³⁰	13³⁰	21³⁰	Mittel	Abweich. vom Normalst	Luftdruck 7³⁰	13³⁰	21³⁰	Relative Feuchtigkeit 7³⁰	13³⁰	21³⁰	Windrichtung und Stärke 7³⁰	13³⁰	21³⁰	Bewölkung 7³⁰	13³⁰	21³⁰	Niederschlag	Witterung
1	5.0	8.1	7.1	6.7	—	637.5	637.9	638.1	95	45	46	SSE 1	WNW 1	SSE 2	1	1	1	.	☄ n-n mU
2	7.7	9.4	7.0	8.0	—	637.2	636.5	635.8	59	57	62	S 2	SSE 3	S 3	2	2	3	.	
3	5.7	8.4	5.9	6.7	—	633.0	632.5	632.5	71	76	94	SSE 2	WSW 2	S 3	7	9	9	0.3	● 15-19 mU, ☄ p-n
4	5.1	7.2	7.0	6.4	—	632.7	633.3	633.7	80	75	64	S 2	S 3	SE 2	3	7	2	0.0	● 14½-15 mU, ☄ a-p
5	8.2	9.1	5.3	7.5	—	634.7	635.2	634.8	65	57	76	W 1	NE 1	ESE 2	4	5	5	.	
6	3.7	6.0	5.4	5.0	—	634.2	634.3	633.9	100	80	67	NW 2	NW 2	E 2	8	7	5	.	
7	4.3	7.6	3.8	5.2	—	632.1	630.9	631.1	80	38	54	SSE 2	S 2	SSE 2	8	4	5	.	
8	2.8	4.4	3.6	3.6	—	631.7	632.2	632.7	55	56	60	SE 2	SE 2	SE 2	2	6	9	.	
9	3.8	7.0	3.6	4.8	—	635.5	634.3	634.9	60	54	80	SE 1	S 1	SW 2	6	3	9	.	
10	2.3	2.2	2.0	2.2	—	634.0	635.0	635.8	100	100	100	WSW 2	W 2	SW 2	9	10●	9	1.0	☽ 8½-11 mU, ● 11-17 mU
11	1.7	3.6	1.6	2.3	—	635.3	635.0	634.7	100	83	83	SW 1	SE 1	S 1	6	5	2	.	
12	1.9	5.0	2.0	3.0	—	634.2	635.0	635.0	80	63	78	SSE 1	SE 1	SE 2	1	6	4	.	
13	2.0	7.1	3.6	4.2	—	634.0	633.4	632.6	73	46	54	SE 2	SSW 2	SSE 2	2	2	3	.	
14	6.1	6.2	4.3	5.5	—	631.0	631.8	632.4	49	48	57	WNW 1	SE 1	SSE 2	6	8	9	.	
15	3.4	6.0	4.1	4.5	—	632.3	631.7	632.5	53	56	60	SW 2	SE 2	ESE 2	9	9	6	.	
16	6.0	7.1	4.3	5.8	—	631.7	632.2	633.1	55	54	89	ESE 1	NW 1	N 1	4	2	1	.	
17	3.4	5.9	3.0	4.1	—	632.9	631.9	631.2	98	73	82	N 2	W 1	SSE 1	1	1	1	.	
18	3.1	5.8	1.6	3.5	—	630.7	630.4	629.7	89	67	98	NW 1	ESE 1	E 2	1	2	2	0.2	● n (18, 19)
19	1.9	2.7	2.0	2.2	—	628.2	627.1	626.4	100	100	100	SW 2	W 2	NW 2	10●	10●	10●	7.8	● 0-2 mU, 14-n mU, ≡ 8½-n mU
20	−3.7	−2.8	−4.2	−3.6	—	626.0	627.2	628.3	100	100	100	NW 3	NW 2	NNW 2	10−	10−	10−	0.1	≡ n-n, \ n-n, ☄ n-a
21	−5.2	−4.3	−4.8	−4.8	—	627.3	628.6	630.2	100	100	100	E 3	ENE 3	E 3	10≡	10	5	.	✳ n-6, ≡ n-18½, \ ☄ n-n ✳
22	−5.4	−3.2	−4.3	−4.3	—	631.5	631.9	631.5	100	100	100	NE 3	NE 3	N 2	2	9	0	.	≡ 12½-19 mU, \ ☄ n-n ✳
23	−4.1	−2.2	−1.8	−2.7	—	631.4	631.8	631.5	96	100	100	N 2	NNE 2	NE 2	8	10≡	10≡	.	≡ 12-n
24	−3.2	−0.7	−3.0	−2.3	—	630.7	631.0	631.6	100	100	100	NE 2	NNW 0	NNW 2	1	2	3	.	≡ n-7, 14-19, \ n-n
25	−3.2	−1.6	−2.8	−2.5	—	632.1	631.4	630.3	100	100	100	S 2	W 2	W 3	9	10*	10*	2.5	✳ 9-n mU, ≡ 11-n, *) ✳
26	−6.1	−5.8	−7.0	−6.3	—	629.2	632.2	633.1	100	100	100	WNW 3	N 2	E 2	10*	6	2	0.3	✳ n-7½, ≡ n-10, 10-11 mU, *) ✳
27	−4.4	−3.7	−4.8	−4.3	—	631.2	631.6	632.0	100	100	100	W 4	W 3	NNW 2	10*	10*≡	10≡	3.3	✳ 0-10 mU, ≡ 0-n, *) ✳
28	−7.3	−6.0	−6.9	−6.4	—	631.4	630.8	629.2	100	100	100	NW 2	NW 2	NW 3	8	10≡	10*≡	4.8	✳ 11½-16½ mU, 16½ n,*) ✳
29	−5.7	−5.0	−6.0	−5.6	—	627.1	625.4	624.7	100	100	100	NW 3	NW 3	NW 3	10*	10*	10*	2.1	✳ ≡ \ ☄ n-n ✳
30	−10.0	−9.1	−11.2	−10.1	—	625.4	625.4	624.7	100	100	100	NE 2	NNE 2	NNE 4	10	10	3	0.3	✳ 15½-18½, ≡ n-19, 19-n mU,*) ✳
31	−12.0	−10.7	−13.6	−12.1	—	624.3	624.1	624.7	100	100	100	E 4	NE 3	NE 4	10	9	8	0.4	✳ n-n mU, ≡ n-n mU, \ n-n*) ✳
																		Summe	
Mittel	0.3	2.1	0.3	0.9	—	631.7	631.7	631.7	86	78	84				6.1	6.6	5.7	23.2	

*) 25. ⋁ n-n, ☄ p-n 26. ⋁ n-n, ☄ n-a 27. ⋁ n-n, ☄ n-p, ☄ I 28. ≡ 7-10 mU, 10-n, ⋁ n-n, ☄ p-n 30. ⋁ n-n, ☄ p-n 31. ☄ n-n mU

Dezember 1953
Beobachter: *B. Minsch und C. Clavuot*

Bever

$\lambda = 9° 53'$, $\beta = 46° 33'$,
$H_b = 1711.8$ m, $G = -0.23$ mm

Tag	Lufttemperatur 7³⁰	13³⁰	21³⁰	Mittel	Abweich. vom Normalst	Luftdruck 7³⁰	13³⁰	21³⁰	Relative Feuchtigkeit 7³⁰	13³⁰	21³⁰	Windrichtung und Stärke 7³⁰	13³⁰	21³⁰	Bewölkung 7³⁰	13³⁰	21³⁰	Niederschlag	Witterung
1	−7.8	5.0	−4.9	−2.6	3.8	629.9	629.2	**631.5**	99	62	93	SW o	S o	SW o	o	o	o	.	⌊⌊ l
2	−7.6	4.7	−4.2	−2.4	4.2	630.8	629.4	629.8	100	49	83	SW o	SW o	S o	o	o	o	.	⌊⌊ l
3	−6.2	5.8	−3.0	−1.1	5.3	628.6	626.9	626.9	99	64	96	SW o	SW 1	SW o	o	9	5	0.0	● tr. n (3./4.), ⌊⌊ l
4	1.1	**6.9**	−1.1	2.3	4.6	627.3	626.9	628.0	99	58	95	E o	SW 1	SW o	9	6	8	.	
5	−4.6	5.4	−1.0	−0.1	6.9	628.4	627.6	628.9	98	67	90	SW o	W 1	SW o	1	1	o	.	⌊⌊ l
6	−5.6	3.2	−4.0	−2.1	5.1	628.7	627.5	627.9	97	67	82	SW o	S o	S o	2	1	1	.	⌊⌊ l
7	−5.4	6.8	−2.2	−0.3	7.0	626.1	624.3	624.8	91	**42**	90	SW o	SE 1	SW o	5	5	6	1.3	✳ n (7./8.), ⌊⌊ l
8	−0.8	2.0	−1.2	0.0	7.4	626.1	626.1	626.5	98	85	95	SW 1	SW 1	S o	10*	8	10	0.0	✳ fl n−9
9	−2.3	3.9	−4.8	−1.1	6.5	626.0	625.8	626.9	99	65	93	NE o	W o	SW o	7	8	4	.	
10	−7.8	2.4	−2.4	−2.6	5.1	627.2	626.5	627.3	98	65	94	SW o	SW o	NW o	3	9	9	.	⌊⌊ l
11	−7.2	1.3	−2.6	−2.8	5.0	627.0	626.8	627.5	97	66	81	NW o	NW o	S o	3	4	5	.	⌊⌊ l
12	−7.4	1.6	−5.2	−3.7	4.3	627.5	626.9	628.0	96	59	88	S o	W 1	W o	o	o	1	.	⌊⌊ l
13	−7.9	1.8	−6.4	−4.2	3.9	627.5	625.9	626.5	98	66	89	SW o	SW o	SW o	1	2	1	.	⌊⌊ l
14	−3.5	1.6	−0.8	−0.9	7.3	626.2	625.4	626.5	91	60	82	SW o	SW 1	SW o	9	10	9	.	⌊⌊ l
15	−1.7	5.0	−0.1	1.1	9.4	625.9	625.1	626.1	91	64	90	SW o	S o	SW o	9	5	6	.	⌊⌊ l
16	−1.2	4.3	−4.8	−0.6	7.9	624.9	624.3	625.2	91	64	90	SE o	W 1	SW o	7	o	o	.	⌊⌊ l
17	−7.6	1.6	−5.2	−3.7	4.9	624.8	623.2	623.6	98	68	89	SW o	S o	SW o	2	2	o	.	⌊⌊ l
18	−8.9	1.5	−6.6	−4.7	4.0	623.3	622.0	622.3	98	65	86	S o	SW o	SW o	o	1	o	.	⌊⌊ l
19	−4.6	1.3	−0.8	−1.4	7.4	621.7	619.9	618.8	95	81	98	NE o	S 1	SW o	6	9	10*	12.6	✳ 15½-n, ⌊⌊ l
20	−1.4	0.2	−1.4	−0.9	8.0	617.4	617.0	618.3	98	93	92	NE o	NE o	N o	10*	10	9	0.0	✳ fl a
21	−3.1	−1.2	−3.2	−2.5	6.5	618.8	620.1	622.0	91	78	88	NE 1	NE 1	N o	10	9	9	.	⌊⌊ l
22	−7.8	−0.8	−8.2	−5.6	3.5	621.3	620.9	622.4	99	51	90	SW o	N o	SW o	10≡	8	1	.	≡ n−9, ⌊⌊ l
23	−16.2	−5.4	−4.8	−8.8	0.3	622.4	621.9	622.3	98	69	88	SW o	S o	S o	10≡	9	10	.	≡ n−9, ⌊⌊ l
24	−10.4	−0.4	−12.6	−7.8	1.4	621.5	621.2	622.2	98	60	88	N o	NE o	SW o	10≡	3	1	.	≡ n−9, ⌊⌊ l
25	−15.0	−8.9	−10.8	−11.6	−2.3	622.0	620.7	620.5	97	78	88	S o	SW o	S o	1	1	o	1.6	✳ n (25./26.), ⌊⌊ l
26	−8.4	−2.0	−5.8	−5.4	3.9	619.2	620.6	623.0	98	73	64	SW o	E 1	SW 1	10	6	1	.	
27	−9.2	−2.7	−3.6	−5.2	4.2	621.1	619.9	620.4	92	82	78	SW o	SE o	N 1	10	9	10	.	
28	−15.4	−6.8	−9.8	−10.7	−1.3	620.7	619.4	617.4	90	63	80	S o	E o	S o	3	10	2	.	⌊⌊ l
29	−7.9	−4.8	−6.0	−6.2	3.3	616.2	614.2	**613.2**	88	71	80	S o	NE o	NE 1	3	10	10*	1.4	✳ p−22, ⌊⌊ l
30	−8.0	−8.7	−16.8	−11.2	−1.7	614.3	614.3	616.2	63	52	70	N 1	N 2	N 1	10	8	3	.	⌊⌊ lll, ⸗ p
31	**−21.7**	−10.8	−14.2	−15.6	−6.0	615.9	614.6	615.8	87	54	65	S o	E 1	N o	1	1	1	.	≡ a, ⌊⌊ l
																		Summe	
Mittel	−7.1	0.5	−5.1	−3.9	—	623.8	623.0	623.7	95	66	86				4.6	5.3	4.3	16.9	

Dezember 1953
Beobachter: *Couvent des Capucins*

Sion

$\lambda = 7° 21'$, $\beta = 46° 14'$,
$H_b = 548.6$ m, $G = -0.11$ mm.

1	2.6	9.4	5.0	5.7	3.9	**724.9**	723.3	724.6	87	61	79	ENE 1	ENE o	ENE o	2	o	o	.	
2	2.6	11.2	6.0	6.6	5.0	724.2	722.1	721.9	85	48	62	ENE 1	ENE o	ENE 1	6	1	o	.	
3	6.5	**12.9**	11.7	10.4	8.9	720.1	718.3	718.6	65	41	50	ENE o	ENE o	ENE 1	8	7	o	.	
4	7.0	10.8	9.2	9.2	7.8	720.3	719.7	719.9	65	58	58	ENE 1	ENE 1	ENE 1	o	8	o	.	
5	7.8	12.2	5.2	8.4	7.2	721.2	719.7	721.3	65	52	93	ENE 1	ENE o	ENE o	2	o	o	.	
6	2.2	7.1	7.1	5.5	4.4	720.5	719.6	719.7	99	76	59	NE 1	NE 1	NE o	7	4	o	.	
7	7.6	12.8	8.6	9.7	8.7	718.0	716.8	717.7	49	**38**	41	NE 1	NE 1	NE o	1	2	o	.	
8	6.4	11.0	9.9	9.1	8.2	719.2	718.5	720.8	50	46	46	NE 2	NE 1	ESE o	o	9	8	.	
9	7.3	11.6	4.8	7.9	7.2	720.3	719.7	721.9	54	44	66	ENE 1	ENE o	ENE o	8	o	o	.	
10	3.3	7.4	6.1	5.6	5.0	722.1	721.4	722.7	78	63	66	WSW o	WSW o	WSW o	10	10	o	.	
11	1.3	8.8	3.7	4.6	4.1	723.2	721.1	721.5	87	54	73	WSW o	SSE o	SSE o	7	7	o	.	
12	1.4	6.1	1.8	3.1	2.7	721.9	721.3	722.1	80	62	81	SSE o	SSE 1	SSE o	o	2	3	.	
13	0.4	7.4	5.1	4.3	4.0	722.1	719.8	719.4	84	73	58	SSE o	SSE o	SSE o	3	1	o	.	
14	5.5	8.9	8.2	7.5	7.3	719.3	718.4	719.1	56	50	51	E o	ENE o	ENE 1	4	8	8	.	
15	6.2	9.8	10.1	8.7	8.6	718.9	717.5	717.1	61	55	54	ENE 1	ENE 1	ENE 1	4	10	7	.	
16	7.4	9.2	2.4	6.3	6.3	717.9	717.7	719.3	62	59	100	ENE 1	ENE 1	ENE o	1	o	10	.	
17	−1.8	5.2	1.0	1.5	1.6	719.9	717.9	718.0	100	76	95	WSW o	WSW o	WSW o	10≡	o	o	.	≡ n-a
18	0.0	6.4	0.4	2.3	2.4	718.1	716.4	716.3	90	55	90	WSW o	WSW o	NNW o	o	o	o	.	
19	−0.1	4.9	3.6	2.8	3.0	716.0	714.6	714.1	80	61	100	WNW o	ESE 1	E o	7	10	10●	5.0	● 16¾-24
20	3.1	5.8	4.3	4.4	4.7	713.2	713.9	714.	100	81	88	E o	E o	E o	10	9	6	.	● 0-3¾
21	3.3	5.3	3.8	4.1	4.4	715.6	715.4	718.4	89	80	83	NW o	WNW o	W o	10	5	10	.	
22	2.7	4.6	2.9	3.4	3.8	719.7	718.9	719.4	90	81	84	WSW o	WSW 1	W o	10	10	10	.	
23	1.8	3.3	0.8	2.0	2.5	720.2	719.2	719.1	71	55	76	NE 1	NE 1	ENE 1	10	4	o	.	
24	−2.0	3.7	−1.1	0.2	0.7	720.0	718.5	720.4	92	64	84	ENE o	ENE 1	NE o	o	3	3	.	
25	−2.6	2.5	1.5	0.5	1.1	719.8	717.7	716.7	94	64	70	NNE o	ESE 1	ESE o	5	6	10	0.7	
26	1.0	3.7	0.9	1.9	2.5	716.3	718.4	720.8	100	66	81	W o	W o	N 1	10	8	o	.	✳ 5¾-6¾
27	0.0	2.1	1.5	1.2	1.9	720.6	718.6	718.6	90	90	93	NNE o	NNE o	NNE o	10	10	10	.	
28	0.9	4.2	1.5	2.2	2.0	718.7	717.0	717.6	91	68	83	NNE o	ENE o	WSW 1	7	10	10	.	
29	0.8	1.1	1.0	1.0	1.7	715.5	713.4	**712.7**	100	97	100	WSW o	WSW o	WSW o	10	10*	8	1.8	✳ 12¼-14, 19¼-20
30	−2.1	1.2	0.1	−0.3	0.5	713.2	713.1	714.4	91	55	62	W o	NNW o	W o	4	1	o	.	
31	−9.1	−5.2	**−9.2**	−7.8	−7.0	715.2	713.8	714.6	81	61	75	NNW o	W o	W o	1	1	o	.	
																		Summe	
Mittel	2.3	6.6	3.8	4.2	—	719.2	718.1	718.8	80	62	74				5.4	5.0	3.6	7.5	

$\lambda = 8°\,57'$, $\beta = 46°\,0'$,
$H_b = 276.2$ m, $G = -0.01$ mm.

Lugano

Dezember 1953
Beobachter: *G. Vicari*

Tag	Lufttemperatur 7³⁰	13³⁰	21³⁰	Mittel	Abweich. vom Normalst.	Luftdruck 7³⁰	13³⁰	21³⁰	Relative Feuchtigkeit 7³⁰	13³⁰	21³⁰	Windrichtung und Stärke 7³⁰	13³⁰	21³⁰	Bewölkung 7³⁰	13³⁰	21³⁰	Niederschlag	Witterung
1	4.4	13.4	4.2	7.3	3.3	748.5	748.3	749.9	86	53	88	N 1	S 1	N 1	0	0	0	.	
2	3.4	12.4	4.8	6.9	3.0	749.6	748.5	748.6	94	56	89	N 1	SE 1	N 1	0	1	0	.	
3	7.4	9.8	8.2	8.5	4.7	747.7	746.9	746.6	83	74	94	N 1	N 1	— 0	10	10	10	4.1	20-n
4	8.2	9.2	8.6	8.7	5.1	746.8	747.1	747.1	97	88	95	— 0	— 0	— 0	10	10	10	0.4	7¾-9¾, ≡ n-8
5	8.4	8.8	7.8	8.3	4.8	747.4	747.3	748.1	95	92	98	NNW 1	NNE 1	N 1	10	10	10	.	≡ 12½-n
6	7.0	8.4	7.2	7.5	4.1	748.0	747.4	747.5	97	84	93	N 1	— 0	N 1	10	10	10	.	≡ n-11½
7	6.6	7.8	7.0	7.1	3.8	746.2	745.5	746.4	83	76	91	N 1	N 1	N 1	10	10	10	4.4	21-n
8	6.8	8.0	7.2	7.3	4.1	746.9	747.4	746.6	96	91	97	N 1	SSE 1	W 1	10	10	10	4.7	n-16½, 21-n
9	7.4	11.2	6.2	8.3	5.1	746.1	745.6	746.7	97	72	88	N 1	SE 1	N 1	10	9	3	0.2	n-8
10	6.8	10.4	5.4	7.5	4.4	746.6	746.3	746.6	91	71	92	N 1	SE 1	N 1	10	10	2	.	
11	2.8	11.6	5.8	6.7	3.7	746.8	746.6	747.8	88	56	85	N 1	S 1	N 1	0	8	5	.	
12	3.2	8.2	4.8	5.4	2.5	747.7	747.7	748.3	89	74	88	N 1	S 1	WSW 1	0	3	10	.	
13	5.4	9.0	8.2	7.5	4.6	747.5	747.0	747.3	87	73	85	N 1	SE 1	NW 1	9	10	10	.	
14	7.8	8.4	7.2	7.8	5.0	746.7	746.5	746.7	86	86	88	SW 1	— 0	N 1	10	10	10	0.0	tr 21¼
15	6.8	9.4	7.6	7.9	5.2	746.2	745.3	745.1	88	71	92	N 1	NNW 1	SW 1	10	10	10	0.4	tr 13½, 16-n mU
16	7.4	11.6	8.2	9.1	6.5	744.2	743.9	744.1	93	69	88	NNW 1	S 1	N 1	9	8	9	.	
17	8.2	9.0	7.8	8.3	5.7	744.0	743.8	744.5	81	73	83	— 0	— 0	N 1	10	10	10	.	
18	7.2	9.4	7.4	8.0	5.5	743.3	742.2	742.0	83	68	79	N 1	S 1	— 0	10	9	9	.	
19	6.8	8.4	7.0	7.4	5.0	741.0	739.9	738.7	83	83	98	W 1	SE 1	N 1	10	10	10	7.7	13-n mU
20	6.0	10.4	5.4	7.3	4.9	736.5	735.5	735.3	98	63	91	N 1	SE 1	N 1	10	4	4	.	
21	5.2	11.8	4.2	7.1	4.8	735.4	737.3	739.9	91	54	91	N 1	N 1	N 1	9	1	2	.	
22	1.8	10.4	5.2	5.8	3.6	738.9	738.2	741.4	83	57	92	N 1	S 1	S 1	0	0	9	.	
23	3.4	7.2	4.4	5.0	2.8	741.3	740.5	741.2	75	57	83	N 1	S 1	NNW 1	1	4	10	.	
24	2.8	4.4	3.4	3.5	1.4	740.3	740.6	742.3	86	71	83	NW 1	N 1	W 1	10	10	10	.	
25	3.4	4.2	3.6	3.7	1.7	743.8	743.5	742.2	72	71	77	N 1	N 1	N 1	10	10	10	0.6	n (25./26.),
26	2.2	4.8	1.8	2.9	0.9	740.8	742.2	744.7	96	76	82	N 1	S 1	N 1	10	8	0	0.9	a mU
27	1.2	8.4	1.4	3.7	1.8	742.2	739.5	739.0	85	51	84	N 1	E 1	N 1	8	0	0	.	
28	-0.8	1.8	0.0	0.3	-1.5	740.0	738.4	737.9	93	85	97	N 1	NNE 1	N 1	0	10	0	.	⌊
29	3.0	10.8	5.2	6.3	4.5	735.2	732.1	732.0	63	31	38	E 1	N 2	N 2	0	0	0	.	⌊
30	4.2	7.4	3.0	4.9	3.2	732.5	732.5	733.9	31	26	33	N 2	N 2	N 2	0	0	0	.	
31	0.4	7.2	-0.2	2.5	0.8	733.4	732.7	734.8	35	31	45	SSW 1	E 1	N 1	0	0	0	.	⌊
Mittel	5.0	8.8	5.4	6.4	—	743.3	742.8	743.3	84	67	84				6.7	6.6	6.2	Summe 23.4	

$\lambda = 7°\,35'$, $\beta = 47°\,33'$,
$H_b = 317.3$ m, $G = 0.11$ mm.

Basel

Dezember 1953
Beobachter: *Astronom.-Meteorol. Anstalt*

Tag	Lufttemperatur 7³⁰	13³⁰	21³⁰	Mittel	Abweich. vom Normalst.	Luftdruck 7³⁰	13³⁰	21³⁰	Relative Feuchtigkeit 7³⁰	13³⁰	21³⁰	Windrichtung und Stärke 7³⁰	13³⁰	21³⁰	Bewölkung 7³⁰	13³⁰	21³⁰	Niederschlag	Witterung
1	4.4	13.8	6.7	8.3	6.3	743.2	743.6	743.4	92	61	87	ESE 1	E 1	ESE 1	1	2	0	.	⊿
2	2.6	11.2	3.1	5.6	3.7	742.7	741.3	740.6	96	67	91	ESE 1	ESE 1	ESE 1	1	1	0	.	⊿
3	0.6	4.2	6.8	3.9	2.2	738.2	737.0	737.2	98	85	87	ESE 1	ESE 1	ESE 1	4	10	10	0.6	17-19, 19½
4	5.6	12.8	8.3	8.9	7.3	737.5	737.3	738.0	83	57	72	ESE 1	ESE 1	E 1	7	1	0	.	
5	4.6	14.0	4.8	7.8	6.3	739.9	739.9	740.3	86	73	92	ESE 1	ESE 1	E 0	8	7	0	.	
6	4.0	6.5	2.0	4.2	2.8	740.1	740.0	740.0	87	81	96	ESE 1	ESE 1	ENE 1	7	9	0	.	
7	0.6	5.0	0.6	2.1	0.8	737.4	736.3	737.2	98	81	94	E 0	ESE 1	NW 0	9	10	10	.	
8	0.6	5.4	1.1	2.4	1.2	738.0	738.3	738.9	100	78	95	E 1	ESE 1	E 1	10	1	0	.	≡ 6¼-9¼, 23½-24
9	0.0	3.2	1.2	1.5	0.4	739.9	740.1	740.9	100	93	100	E 1	SW 1	ESE 1	10	7	10	0.0	≡ 0-10, 21-24
10	2.6	4.3	5.6	4.2	3.2	741.2	741.5	742.4	89	93	91	E 1	E 1	ESE 1	10	10	10	1.8	7½, 10¼-13½ mU, 21½-0¾ mU, ≡ 0-2
11	4.2	7.0	5.8	5.7	4.7	742.4	741.8	741.9	96	92	97	ESE 1	W 0	NW 1	4	10	10	0.0	≡ 5-6, 7-9, 18-24
12	5.1	6.8	3.8	5.2	4.3	741.8	742.3	742.0	92	82	90	ESE 1	E 1	ENE 1	10	8	8	.	≡ 0-3½
13	2.0	5.4	1.4	2.9	2.1	740.9	739.8	739.0	91	75	94	E 2	ENE 1	E 1	2	0	4	.	
14	1.2	3.8	2.1	2.4	1.7	738.2	737.3	738.0	91	80	87	ESE 1	E 1	E 1	9	6	10	.	⌊
15	1.1	4.6	1.2	2.3	1.7	738.1	737.6	737.5	90	79	90	ESE 1	SE 1	ENE 1	7	8	0	.	
16	-0.5	3.5	1.0	1.3	0.7	738.0	738.6	739.8	98	82	92	S 0	SE 1	ESE 1	10	0	10	.	
17	0.2	3.0	1.3	1.5	1.0	740.0	738.7	738.5	96	85	91	ESE 0	SSE 1	E 1	10	10	10	.	
18	-0.1	4.2	0.8	1.6	1.2	737.9	736.5	736.7	96	77	92	SE 1	ENE 1	E 1	10	1	10	0.0	≡ 17¾-18½
19	0.2	2.0	3.3	1.8	1.5	734.3	732.7	732.5	92	91	90	E 2	E 1	W 1	10	10	10	5.2	7½, 9-21¾ mU
20	3.4	4.9	1.1	3.1	2.9	733.5	734.8	737.7	93	86	98	SE 1	WNW 1	NW 1	10	10	10	2.1	15½-19¾ mU, ⚹fl 23½
21	0.7	1.0	1.0	0.9	0.7	738.2	739.2	740.6	98	98	96	NW 1	NW 1	NW 1	10	10	10	0.0	1½-2¼, ≡ 3½-11½, 13-13¾,
22	0.5	2.2	1.6	1.4	1.3	740.7	741.4	741.0	96	82	89	NW 0	WNW 1	W 0	10	10	10	.	≡ 0-4 [20-24
23	0.5	2.6	2.0	1.7	1.7	740.7	740.0	739.5	85	82	93	ESE 1	E 1	ESE 1	6	10	10	0.9	16½-18¾, 22¼-23
24	1.0	5.1	4.2	3.6	3.7	738.7	738.8	739.4	96	88	93	ESE 1	E 0	S 0	10	10	10	.	
25	3.3	4.4	3.8	3.8	3.9	737.8	737.0	735.7	90	85	92	E 1	E 1	E 1	9	10	10	2.7	1½-4¼
26	2.2	5.1	-2.0	1.8	2.0	737.7	740.4	741.4	89	73	95	W 1	W 1	S 1	10	7	0	0.0	
27	0.0	1.2	2.3	1.2	1.5	738.4	738.4	739.3	90	89	86	E 1	E 1	W 1	10*	10	10	0.1	⚹ 7-8
28	0.1	3.0	2.1	1.7	2.0	739.3	738.2	737.4	92	83	93	SSE 1	W 1	W 1	8	10	10	2.3	16¼-17¾, 19-19¾, 21¼-22
29	2.4	3.8	1.6	2.6	3.0	734.9	733.6	734.3	91	80	93	W 1	W 1	NNW 1	10	10	10	1.1	2¼-3, 5½-6, 7¾, 15¼-16¼, 19-19¾,
30	-1.0	0.2	-2.1	-1.0	-0.6	736.2	736.5	737.4	96	83	90	NW 1	NNW 1	NW 1	10	6	10	0.0	⚹fl 16¼-17, ⌊ 1, ⌃ 1 [21
31	-3.5	-1.1	-2.7	-2.4	-1.9	737.1	736.4	737.5	95	76	78	NW 1	NE 1	NE 1	10	10	10	0.0	⚹fl 12¾-12½
Mittel	1.6	4.9	2.4	3.0	—	738.8	738.6	738.9	93	81	91				8.1	7.2	7.2	Summe 16.8	

Dezember 1953
Beobachter: *Observatorium*

Säntis

$\lambda = 9°\,20'$, $\beta = 47°\,15'$,
$H_b = 2500.1$ m, $G = -0.27$ mm.

Tag	Lufttemperatur 7³⁰	13³⁰	21³⁰	Mittel	Abweich. vom Normalst	Luftdruck 7³⁰	13³⁰	21³⁰	Relative Feuchtigkeit 7³⁰	13³⁰	21³⁰	Windrichtung und Stärke 7³⁰	13³⁰	21³⁰	Bewölkung 7³⁰	13³⁰	21³⁰	Niederschlag	Witterung
1	-1.9	1.6	0.9	0.2	6.6	570.0	571.0	571.8	98	69	63	WSW 3	WSW 3	SSW 1	1	2	1	.	✳
2	1.2	4.8	1.8	2.6	9.1	570.9	570.5	569.8	35	36	39	WSW 1	S 1	W 1	1	1	1	.	✳
3	1.6	6.1	1.1	2.9	9.4	567.6	567.1	566.5	40	36	69	SW 1	SW 1	S 3	1	2	10	.	✳
4	0.5	3.4	1.1	1.7	8.3	567.4	567.8	569.0	77	55	67	N 1	WSW 1	S 2	1	1	0	.	✳
5	2.1	4.9	2.9	3.3	10.0	568.8	568.8	568.9	57	53	46	NE 1	S 2	SE 2	4	2	2	.	✳
6	2.3	3.1	1.0	2.1	8.9	568.5	568.1	567.9	37	28	31	SSE 2	SE 3	ESE 2	8	3	10	.	✳
7	-0.2	0.9	-1.2	-0.2	6.7	565.7	564.9	564.2	35	36	61	SE 3	S 3	S 3	9	10	9	.	✳
8	-3.2	-0.7	-2.4	-2.1	4.8	565.0	565.4	565.9	79	69	74	SSW 3	SSW 3	SSW 2	1	1	9	.	✳
9	-2.5	0.3	-2.8	-1.7	5.3	566.1	566.7	567.3	78	73	83	SW 2	S 2	S 1	9	1	1	.	✳
10	-3.1	-2.1	-3.8	-3.0	4.1	567.1	567.1	567.6	71	71	98	SW 1	SSW 2	WSW 1	9	10	10≡*	0.3	✳ 20¾-n, ≡ 20½-n
11	-4.1	-2.4	-2.3	-2.9	4.3	567.5	567.1	567.3	98	75	47	SW 1	SW 2	SW 2	10≡	4	8	.	≡ n-8½
12	-2.8	1.0	-1.9	-1.2	6.0	566.9	567.5	567.7	52	37	43	SW 2	SSW 2	SSE 1	2	1	1	.	✳
13	-3.1	0.4	-0.7	-1.1	6.2	566.9	566.2	565.9	73	44	50	S 1	SW 2	WSW 3	1	1	1	.	✳
14	-0.4	3.6	-1.6	0.5	7.9	565.1	565.3	565.4	51	40	67	WSW 2	SSW 1	SE 1	2	10	10	.	✳
15	-0.8	1.8	-0.1	0.3	7.7	565.8	565.3	565.3	71	65	63	WSW 1	SSW 2	SSW 2	8	6	8	.	✳
16	-1.2	1.5	-1.9	-0.5	7.0	564.8	565.4	566.1	63	56	65	SSW 1	S 1	W 1	1	1	1	.	✳
17	-2.9	-0.6	-1.8	-1.8	5.8	565.5	564.7	564.2	77	74	68	NNE 1	E 1	SSW 2	2	2	0	.	✳
18	-3.7	-0.3	-3.7	-2.6	5.0	563.6	563.1	562.7	72	69	69	E 1	ESE 1	SSW 1	1	1	6	.	☋ III
19	-4.6	-1.2	-3.2	-3.0	4.7	561.4	560.3	558.8	79	65	98	SW 2	SSW 2	W 3	4	10	10≡*	15.2	✳ 15¼-n, ≡ 15¾-n
20	-6.4	-6.6	-8.1	-7.0	0.7	558.1	558.7	559.7	98	100	100	W 2	W 2	SE 1	10≡	10≡	10≡	0.5	✳fl 15-17, ≡ n-n, ⋁ II
21	-9.0	-8.6	-5.5	-7.7	0.1	559.3	560.3	562.1	100	96	81	NE 3	NE 3	ENE 3	10≡	10≡	2	.	≡ n-17 mU, ⋁ II
22	-7.1	-9.2	-9.5	-8.6	-0.8	562.0	561.9	562.3	76	68	35	NW 2	NNW 2	NNE 2	1	9	0	1.1	✳ 10¾-11½, ≡ 14½-16½
23	-9.1	-7.3	-6.9	-7.8	0.0	562.1	562.5	562.6	82	67	100	WNW 2	NNW 3	N 2	2	10	10≡*	0.4	✳fl 15½-n, ≡ 17½-n
24	-8.3	-7.4	-7.0	-7.6	0.3	562.0	562.2	562.7	97	50	50	NE 1	WNW 3	WSW 1	1	1	3	.	✳ 17¼-17½, n (25./26.), ≡ 15¼-n
25	-8.6	-5.5	-7.8	-7.3	0.6	561.4	561.3	559.9	71	83	100	WSW 3	WSW 2	WSW 2	1	9	10≡	9.8	
26	-9.6	-10.2	-13.0	-10.9	3.0	558.8	560.8	561.9	100	95	45	WNW 2	W 2	W 1	10≡*	10≡	0	7.5	✳ n-11¼, ≡ n-17¼, ⋁ n-S
27	-11.4	-9.2	-10.8	-10.5	-2.5	559.2	560.0	560.5	98	100	100	WSW 5	W 4	WNW 3	10≡	10≡*	10≡*	12.8	✳ 7¾-9½, 12-n mU, ≡ 5¼-n, *)
28	-12.3	-12.3	-12.6	-12.4	-4.4	559.9	558.4	557.6	100	95	96	W 3	NW 2	W 4	10≡	10≡*	10≡*	22.6	✳ 11½-n, ≡ ⋁ n-n, ⌿ III
29	-12.8	-11.5	-14.5	-12.9	-4.9	556.7	554.9	554.6	97	95	93	WNW 2	NW 2	N 3	10≡*	10≡*	10≡*	40.0	✳ 6¾-n, ≡ n-n, ⫩ 19-a, ⋁ n-11
30	-17.4	-17.3	-18.1	-17.6	-9.5	554.6	554.8	555.5	94	94	94	N 2	N 2	N 2	10≡*	10≡	10≡*	9.2	✳ n-12, 14-15, 20½-n, ≡ n-n, ⫩
31	-18.8	-18.6	-20.4	-19.3	-11.2	554.7	554.0	554.3	93	94	92	NNE 3	N 2	NE 3	10≡	10≡	3≡	0.5	✳ 8¾-10 mU, ≡ n-n [N½-16
																		Summe	
Mittel	-5.1	-3.2	-4.9	-4.4	—	563.7	563.6	563.7	76	67	70				5.2	5.7	5.7	119.9	*) 27. ⫩ n-13, ⌿ n-p, ⌿ !

Dezember 1953
Beobachter: *E. Chiesa*

St. Gotthard (Hospiz)

$\lambda = 8°\,34'$, $\beta = 46°\,33'$,
$H_b = 2095$ m, $G = -0.25$ mm.

1	-0.4	5.6	1.0	2.1	7.7	599.1	600.1	600.9	84	57	78	NW 1	NW 0	NW 0	0	0	0	.	
2	1.8	5.5	0.3	2.5	8.2	600.5	600.3	599.6	75	62	81	NW 0	NW 0	SE 0	0	0	0	.	
3	-2.3	-0.5	0.0	-0.9	4.9	598.1	597.6	597.2	100	100	100	SE 2	SE 2	SE 1	10≡	10≡	10*≡	4.9	✳ p-n, ≡ n-n, ⌴ I
4	0.4	1.3	0.8	0.8	6.7	597.2	597.8	597.8	100	96	100	SE 1	SE 2	SE 0	10*≡	10☽≡	10☽≡	1.9	✳ n-a, ☽ a-n, ≡ n-n mU
5	1.0	3.4	0.5	1.6	7.5	598.1	598.5	598.6	100	85	99	SE 1	SE 0	SE 0	10≡	6	3	.	≡ n-9
6	0.3	4.8	-0.8	1.4	7.4	598.5	598.3	598.0	84	65	97	SE 1	SE 0	SE 0	6	0	0	.	
7	0.4	0.7	-3.6	-0.8	5.3	596.2	595.6	595.4	68	74	100	SE 2	SE 2	SE 1	9	10	10*≡	3.9	✳ 18¼-n, ≡ p-n
8	-3.0	-2.1	-2.0	-2.4	3.8	595.7	596.1	596.1	99	96	100	SE 1	SE 1	SE 1	10*≡	10≡	10*	11.8	✳ n-a, p-n, ≡ n-p
9	-2.2	0.6	-3.5	-1.7	4.5	596.1	596.3	596.8	99	86	80	SE 0	SE 0	SE 0	9	6	0	.	
10	-3.9	-0.3	-2.0	-2.1	4.2	596.7	596.8	597.0	90	83	85	SE 0	SE 0	NW 1	0	10	0	.	
11	-3.6	0.8	-2.0	-1.6	4.8	597.0	596.9	597.2	82	70	79	NW 1	SE 0	SE 0	0	3	0	.	
12	-3.4	0.2	-3.7	-2.3	4.1	597.0	597.0	597.3	90	76	90	SE 0	SE 1	SE 0	0	0	0	.	
13	-2.7	-1.2	-2.8	-2.2	4.3	597.1	596.7	596.6	84	78	85	SE 1	SE 1	SE 1	3	3	6	.	
14	-3.0	-2.4	-3.2	-2.9	3.6	595.9	595.4	595.6	90	94	100	SE 2	SE 2	SE 2	10	10	10≡	0.9	✳ n (14./15.), ≡ 16¾, ⋁ III
15	-2.6	-1.2	-1.0	-1.6	5.0	595.7	595.5	595.4	100	100	100	SE 0	SE 1	SE 1	10	10≡	10*≡	2.6	✳ p-n, ≡ ⋁ a-n
16	-0.8	1.5	-2.9	-0.7	5.9	595.1	595.1	595.1	100	89	85	SE 0	SE 0	SE 0	10	6	0	.	≡ a mU
17	-1.2	0.7	-4.6	-1.7	4.9	594.5	594.1	593.8	70	78	96	NW 0	NW 0	NW 0	0	0	0	.	
18	-3.7	-2.1	-3.4	-3.1	3.6	593.2	592.9	592.7	98	82	93	SE 0	SE 1	SE 1	10	10≡	10	.	≡ a-p mU
19	-4.5	-1.0	-3.4	-3.0	3.7	591.8	590.5	589.2	92	74	100	SE 1	SE 1	SE 1	10	10	10*≡	2.5	✳ 15¼, ≡ p-n mU
20	-3.8	-3.8	-5.8	-4.5	2.2	587.9	588.2	588.7	98	98	97	NW 2	NW 2	NW 2	6	10≡	10≡	3.2	✳ n-n mU, ≡ n-n mU, p-n, ⋁ n-p [⫩ n-a, p-n
21	-7.1	-6.0	-7.6	-6.9	-0.1	588.5	589.4	591.5	95	98	96	NW 2	NW 2	NW 2	10≡	6	9	1.0	≡ ⋁ ⫩ n-a, p-n
22	-7.2	-7.2	-8.0	-7.5	-0.7	591.2	591.8	591.9	95	96	98	NW 1	NW 2	NW 2	0	10≡	0	.	≡ 9¾-18¾
23	-9.4	-5.8	-7.2	-7.5	-0.7	591.4	591.7	591.7	95	83	85	NW 2	NW 3	NW 2	0	0	3	.	⌿ III
24	-7.6	-4.4	-7.3	-6.4	0.5	591.3	591.4	591.7	93	83	85	NW 2	NW 2	NW 2	0	0	0	.	
25	-8.0	-3.3	-6.8	-6.0	0.9	591.6	591.0	590.3	61	58	82	NW 2	NW 1	NW 0	0	0	3	2.3	✳ n (25./26.)
26	-7.3	-7.7	-10.8	-8.6	-1.7	588.9	590.4	592.1	100	98	100	NW 1	NW 2	NW 1	10*≡	10≡	0	0.8	✳ n-a, ≡ n-20½
27	-8.3	-5.6	-7.2	-7.0	-0.1	591.0	590.1	590.3	96	95	100	NW 1	NW 2	NW 2	10*≡	10*≡	10	4.6	✳ ≡ n-p, ⫩ p-n
28	-9.4	-8.9	-9.8	-9.4	-2.4	590.0	589.1	588.3	95	95	94	NW 2	NW 2	NW 2	10	10	10	1.5	≡ ⋁ n-n, ⫩ a-n
29	-10.0	-9.7	-10.4	-10.0	-3.0	586.9	584.6	584.0	92	88	90	NW 2	NW 2	NW 3	10	10	10	6.5	✳ ⋁ ⫩ n-n, ⌿ III
30	-14.3	-13.4	-15.2	-14.3	-7.3	583.9	584.2	584.9	89	90	88	NW 2	NW 3	NW 3	10	9	10	0.7	≡ ⫩ n-n mU, ⌿ a-n
31	-17.8	-15.9	-16.5	-16.7	-9.7	584.5	584.0	584.5	89	90	88	NW 2	NW 3	NW 3	3	3	10	.	≡ a-p mU, ⫩ n-n, ⋁ I, III, [⌿ a-n
																		Summe	
Mittel	-4.6	-2.5	-4.8	-4.0	—	593.6	593.5	593.5	90	84	92				6.0	6.2	5.3	49.1	

Ergänzende Witterungsnotizen zu den Tabellen Seite 1—72

Januar

Bern: Alpen sichtbar: 28. I, II. — Alpen schwach sichtbar: 11., 20. I, 25. II, 27. I, II. — Gewitter: 31. ☒ 19^{35}—19^{58h}. — Schneehöhe: 2. 3 cm, 9. 4 cm, 16. 7,5 cm, 23. 7 cm, 30. 5 cm. — Neuschnee: 2. 3 cm, 7. 0,3 cm, 8. 2,5 cm, 9. 1 cm, 10. 5 cm, 11. 2,5 cm, 23. 0,1 cm. — **Neuchâtel:** Dunst: 21. d. g. T., 22. Vm., 27. Nm. — Neuschnee: 2. 1 cm, 7. 2 cm, 10. 2 cm. — Schneehöhe: 2. 1 cm, 9. 1 cm. — **Altdorf:** Schneehöhe: 3. 1,5 cm, 26. 18 cm. — **Genf:** Schneehöhe: 8. 1 cm, 10. 1 cm. — **Zürich:** Alpen hell: 31. Vm. — Alpen sichtbar: 29. Vm. — Alpen schwach sichtbar: 16. Vm., 27. Nm. — Dunst: 15. d. g. T., 16. Vm. — Taldunst: 23. Nm, 28. Vm. (450 m), Nm. (600 m), 30., 31. Vm. — Nebel (Sicht): 1. Vm. (150 m), 2. Vm. (300 m), 7. Vm. (900 m), 9. Vm. (800 m), 12. Vm. (200 m), 17 Vm. (50 m), mtg. (700 m), 22. Nm. (200 m), 23. mtg. (200 m), 27. Vm. (90 m). — Talnebel: 31. fr. — Hochnebel: 24. d. g. T. — Neuschnee: 3. 6,5 cm, 4. 0,5 cm, 6. 2 cm, 7. 2 cm, 8. 1 cm, 9. 1 cm, 10. 2,5 cm 11. 6 cm, 26. 4 cm. — Schneehöhe: 9. 8 cm, 16. 10 cm, 23. 7 cm, 30. 3 cm. — **Chasseron:** Nebelmeer (Mittelland): 1. I (1000), II 1200, 12. I (800), 13. I 1200, III 1200, 14. I 1250, II 1200, III 1200, 15. I 1200, II 1200, III 1050, 16. I 900, II (800), 17. I (750), II (750), 18. I 800, II (800), III (800), 19. I 1100, 20. I (900), II (1200), 21. I 1100, II 1100, III (800), 22. I 800, II (800), III (800), 23. I. (950), II (950), III (800), 24. I 1100, II 1100, III 800, 25. I (800), 26. III (1250), 27. I (800), II (800), 30. I 1000, II 900, III 800. — Neuschnee: 2. 1 cm, 7. 1 cm, 10. 1 cm, 11. 1 cm, 26. 1 cm. — Schneehöhe: 2. 76 cm, 9. 77 cm, 16. 79 cm, 23. 75 cm, 30. 74 cm. — **Bever:** Opt. Erscheinungen: n (29./30.) Mondfinsternis — Neuschnee: 6. 1 cm, 8. 1 cm. — Schneehöhe: 2. 82 cm, 9. 81 cm, 16. 80 cm, 23. 78 cm, 30. 77 cm. — **Sitten:** Hochnebel: 1., 2. III, 3. d. g. T., 5. III, 8., 9. Vm. — Talnebel: 14., 16., 17., 19. I, 20. I II, 22., 23., 24. I. — Neuschnee: 10. 5 cm, 26. 2 cm. Schneehöhe: 11. 5 cm. — **Lugano:** Nordföhn: 2. 20^{30}–**3**, 3^{h}., 9. 14–21^{30h}, 10. 21^{30}–21^{45h}, 11. 3–14^{h}, 20. 3–8^{h}, 26. 8^{30}–20^{h}, 31. 1^{30}–7^{30h}. — **Basel:** Dunst: 12., 16., 18., 19., 20. II, 21. III, 22. II. — Neuschnee: 6. 1,4 cm, 7. 1,9 cm, 8. 1,2 cm, 9. 0,2 cm 10. 2,6 cm, 11. 2,5 cm, 20. 0,3 cm, 21. 0,3 cm, 26. 0,8 cm. — Schneehöhe: 2. 0,5 cm, 9. 4,2 cm, 16. 5,8 cm, 23. 4 cm. — **Säntis:** Neuschnee: 1. 1 cm, 3. 8 cm, 6. 1 cm, 7. 1 cm, 10. 10 cm, 11. 42 cm, 12. 8 cm, 20. 1 cm, 26. 42 cm, 29. 3 cm. — Schneehöhe: 2. 430 cm, 9. 430 cm, 16. 460 cm, 23. 440 cm, 30. 460 cm. — Schneegrenze: 2. 600 m, 9. Bodensee, 16. Bodensee, 23. Bodensee, 30. Bodensee. — **Gotthard:** Neblig: 6. I, 7. II, 8. I, 11., 31. II. — Opt. Erscheinungen: 4. Morgenrot, 16., 18., 21. Abendrot, 22., 23. Morgenrot, 27. Abendrot, 31. Morgenrot. — Neuschnee: 1. 5 cm. — Schneehöhe: 2. 145 cm, 9. 125 cm, 16. 110 cm, 23. 100 cm, 30. 90 cm.

Februar

Bern: Alpen klar: 22. I II. — Alpen hell: 11. II, 23. I. — Alpen sichtbar: 10. I. — Gewitter: 1. ☒ 0^{30h}. — Schneehöhe: 6. 9 cm, 13. 12 cm, 20. 8 cm, 27. 1 cm, — Neuschnee: 1. 9 cm, 2. 8 cm, 3. 6 cm, 4. 0,5 cm, 6. 1 cm, 7. 1,5 cm, 8. 4 cm, 9. 2 cm, 10. 4 cm, 11. 3 cm, 12. 0,5 cm, 13. 1,5 cm. — **Neuchâtel:** Dunst: 8. abd. — Neuschnee: 1. 7 cm, 7. 4 cm, 9. 4 cm, 11. 1 cm, 12. 6 cm, 13. 1 cm. — Schneehöhe: 6. 20 cm, 13. 15 cm. — **Altdorf:** Neblig: 18. abd., 24. mtg., 28. III. — Föhn: 10. n bis Nm. — **Genf:** Schneehöhe: 2. 1 cm, 6. 1 cm, 9. 5 cm, 12. 2 cm. — **Zürich:** Alpen hell: 11. Nm. — Alpen sichtbar: 10., 11. Vm. — Alpen schwach sichtbar: 21. Vm., 22. d. g. T. — Dunst: 3. d. g. T., 4. Vm., 6., 17., 20. d. g. T., 21. Nm., 23., 25., 28. d. g. T. — Taldunst: 5. Vm. 19. Nm., 22. d. g. T., 24. Vm., 26., 27. Nm. — Neblig: 24. Vm. — Talneblig: 8. Vm. — Nebel (Sicht): 1. Nm. (200 m), 9. Vm. (900 m), 11. Vm. (700 m), 13. Vm. (180 m), 18. abd. (300 m), 19. Vm. (300 m), 26. Vm. (60 m), 27. Vm. (40 m), mtg. (800 m), abd. (600 m), 28. Vm (300 m). — Talnebel: 21. fr. bis 550 m. — Neuschnee: 1. 5 cm, 2. 20 cm, 3. 9 cm, 4. 2 cm, 5. 0,5 cm, 6. 6. cm, 7. 2,5 cm, 8. 3 cm, 10. 8 cm, 11. 2 cm, 12. 1 cm, 13. 1 cm, 17. 0,5 cm. — Schneehöhe: 6. 24 cm,. 13. 22 cm, 20. 17,5 cm. **Chasseron:** Nebelmeer (Mittelland): 8. I 1400, 17. I 1200, II (1000), 21. I (1200), 22. I (800), 23. I (1200), 24. I 1200, II 1200, III 1200, 25. I 1100, II 1000, 26. I 1100, II 1000, III (800), 27. I. (700), II (700), III (700), 28. I (700). — Neuschnee: 1. 3 cm, 2. 17 cm, 3. 5 cm, 6. 5 cm, 7. 6 cm, 10. 2 cm, 11. 1 cm, 12. 4 cm, 13. 10 cm, 14. 1 cm, 16. 3 cm, 17. 1 cm, 20. 1 cm. — Schneehöhe: 6. 102 cm, 13. 120 cm, 20. 126 cm, 27. 118 cm. — Gewitter: 1. Elmsfeuer 19^{30h}—n. — **Bever:** Neuschnee: 6,8 cm, 3. 4,6 cm, 12. 1 cm. — Schneehöhe: 6. 88 cm, 85 cm, 20. 82 cm, 27. 79 cm. — **Sitten:** Hochnebel: 17. 28. I, II. — Talnebel: 25., 26. I. — Neuschnee: 9. 1 cm 10. 10 cm, 11. 33 cm, 12. 6 cm. — Schneehöhe: 13. 45 cm — **Lugano:** Nordföhn: 1. 7^{30}–20^{h}, 2. 6^{30}–15^{h}, 3. 1–18^{h}, 16–18^{h}, 7. 19–8^{20h}, 18. 14–19^{h}. — Schneehöhe: 10. 8 cm. — **Basel:** Dunst: 26., 27., 28. II — Neuschnee: 1. 1 cm, 4 cm, 4. 0,5 cm, 7. 3,2 cm, 8. 4 cm, 9. 0,6 cm, 13. 0,2 cm. — Schneehöhe: 6. 1 cm. — **Säntis:** Föhnmauer: 10. Vm — Neuschnee: 3. 80 cm, 6. 25 cm, 7. 40 cm, 8. 35 cm, 5 cm, 12. 7 cm, 13. 15 cm, 19. 10 cm. — Schneehöhe: 530 cm, 13. 550 cm, 20. 530 cm, 27. 500 cm. — Schneegrenze: 6. Bodensee, 13. Bodensee, 20. Bodensee, 27. Bodensee. — **St. Gotthard:** Neblig: 2., 6. III, 7., 8., 16. II. — Optische Erscheinungen: 5. Morgenrot, 25. Morgenrot Abendrot. — Neuschnee: 1. 10 cm, 6. 5 cm, 10. 10 cm, 5 cm. — Schneehöhe: 6. 95 cm, 13. 90 cm, 20. 90 cm, 80 cm.

März

Bern: Alpen klar: 9., 10., 30. II. — Alpen hell: 4. 5., 11. I, 16. III, 17., 18. I, 29. II, 30. I. — Alpen schwach sichtbar: 1., 3., 4., 9., I, 15. II, 16., 20., 21. I, 22. I. II, 31. — Neuschnee: 12. 0,5 cm. — **Neuchâtel:** Dunst: 7. Vm. — Schneehöhe: 12. 1 cm. — **Altdorf:** Föhn: 15. 14^{15h}–N, 30 15^{10}–18^{40h}. — **Zürich:** Alpen hell: 9. d. g. T., 10. Nm., 11. 21. fr. — Alpen sichtbar: 19., 20. fr., 30. d. g. T. — Alpen schwach sichtbar: 16., 18., 24. Vm. — Dunst 4., 5., 6., 7. d. g. T., 10. Vm., 17., 18. d. g. T., 22. Vm., 25., 26. 27. d. g. T. — Taldunst: 16., 19., 20., 21., 23., 24. Vm. — Neblig: 3. d. g. T. — Talneblig: 4. d. g. T., 5., 17. Vm., 18 d. g. T., 22., 25. Vm. — Nebel (Sicht): 7. Vm. (500 m). — Neuschnee: 12. 3 cm. — **Chasseron:** Nebelmeer (Mittelland): 6. I 1250, 12. I 1500. — Neuschnee: 12. 3 cm, — Schneehöhe: 6. 108 cm, 13. 106 cm, 20. 98 cm, 27. 87 cm — **Bever:** Optische Erscheinungen: Morgenrot 7. I — Neuschnee: 8. 2,5 cm. — Schneehöhe: 6. 76 cm, 13 73 cm, 20. 65 cm, 27. 45 cm. — **Lugano:** Nordföhn: 5. 1–18^{30h} 7. 20^{30h}–8. 22^{h}, 10. 10^{30}–23^{h}, 18. 17^{30}–21^{h}. — **Basel:** Dunst 3., 5., 6. II. — Neuschnee: 12. 0,5 cm. — **Säntis:** Neuschnee: 12. 15 cm, 13. 7 cm, 14. 8 cm, 28. 5 cm, 31. 5 cm — Schneehöhe: 6. 470 cm, 13. 500 cm, 20. 460 cm, 27 440 cm. — Schneegrenze: 6. 900 m, 13. 700 m, 20. 1100 m 27. 1200 m. — **St. Gotthard:** Neblig: 31. II. — Nebelmeer 6. I i. S. 1500 m. — Optische Erscheinungen: 2., 3 Abendrot. — Schneehöhe: 6. 80 cm, 13. 75 cm, 20. 75 cm 27. 60 cm.

April

Bern: Alpen klar: 12. II, 30. I, II. — Alpen hell: 6. I 8. I, II, 27. I. — Alpen sichtbar: 1., 3., 4., 6. II. — Alpen schwach sichtbar: 2. II, 3., 4. I, 5. II, 7., 8. I, II, 29. I, II, III — Gewitter: 3. ☒ 18^{20}–18^{45h}, 9. ☒ 14^{10}–14^{35h}, 23. ☒ 16^{30}–16^{40h}, ☒ 17^{16}–17^{41h}, 24. ☒ 13^{45h}, 25. ☒ 13^{55}–14^{h}. — Neuschnee: 16. 1 cm. — **Neuchâtel:** Gewitter: 4. 15^{45}–16^{30h}, 24. (T) 14^{45h}. — **Altdorf:** Föhn: 3. 4^{30}–4. 19^{10h} 8. 12–17^{40h}, 26. 14^{25}–27. 11^{40h}. — Schneehöhe: 15. 3 cm. — **Zürich:** Alpen klar: 3. Nm., 6. Vm. — Alpen hell: 4 d. g. T., 8. Vm. — Alpen sichtbar: 2. fr. — Alpen schwach sichtbar: 12. Nm., 27. Vm. — Föhnmauer: 3., 4., d. g. T., 6. I. — Föhnlücke: 8. Nm. — Dunst: 21. 22., 24., 26. d. g. T. — Taldunst: 4., 19., 30. Vm. — Neblig: 1., 2. Vm. — Nebel (Sicht): 11. Vm. (300 m), 12. Vm. (130 m), 15. Vm. (300 m), 16. Vm. (600 m). — Gewitter: 24. ☒ 15–15^{45h}, 25. ☒ 13^{05}–13^{25h}, 27. T i. S. 16^{30h}. — Neuschnee 15. 4,5 cm, 16. 6 cm. — **Chasseron:** Nebelmeer (Mittelland): 5. I, 1200, II (1500), 9. I (700), 12. I (700) Neuschnee: 5. 8 cm, 7. 1 cm, 10. 2 cm, 14. 3 cm, 15. 2 cm. 16. 1 cm, 28. 1 cm, 29. 4 cm. — Schneehöhe: 3. 45 cm, 10. 34 cm, 17. 26 cm, 24. 2 cm. — Gewitter: 2. ☇ 20^{h}–n, 4. ☒ 15^{30}–16^{30h}, 23. (☒) SW, W, N 13—15^{h}, 24. (☒), ES 12–14^{h}, (☒), 16^{15}–17^{h}, 25. ☒ ▲ 13–13^{45h}, (☒), E 18–18^{15h}. — **Bever:** Phänol. Erscheinung: 15. erste Schwalben. — Neuschnee: 15. 6 cm. — Schneehöhe: 3. 12 cm. — **Lugano:** Nordföhn: 10. 17–19^{h}, 14. 15–16. 14^{h}. — **Basel:** Dunst: 21. II, 25., 26., 27. I. — Gewitter: 4. T 14^{53h}, T SW 15^{30}–16^{35h}, 29. T. E 17^{50h}. — **Säntis:** Großes Lichtermeer: 3. III. — Föhnmauer: 3., 4., 8. I. — Gewitter: 9. T 16^{30h}. — Neuschnee: 1. 16 cm, 5. 8 cm, 6. 4 cm, 10. 15 cm, 14. 4 cm,

25. 1 cm, 26. 1 cm, 28. 23 cm, 29. 12 cm, 30. 8 cm. — Schneehöhe: 3. 430 cm, 10. 450 cm, 17. 520 cm, 24. 480 cm. — Schneegrenze: 3. 1300 m, 10. 1300 m, 17. 700 m, 24. 1500 m. — **St. Gotthard:** Neblig: 3. III, 5. I, II, 7. I, 16. III. — Neuschnee: 5, 10 cm, 6. 12 cm, 7. 10 cm, 9. 5 cm, 10. 5 cm, 14. 8 cm, 27. 5 cm, 28. 10 cm. — Schneehöhe: 3. 55 cm, 10. 100 cm, 17. 100 cm, 24. 75 cm.

Mai

Bern: Alpen klar: 1. I, 13. II, 16. I, II, 19. I. — Alpen hell: 1. II, 13. I, 15. I, II, 17. I, 19. II. — Alpen sichtbar: 8. I, 18. I, II. — Alpen schwach sichtbar: 2. I, II, 3. I, 4., 8., 11. II, 14. I, 17. II, 20. I, 26. II. — Gewitter: 1. (⊠) W 18^{40}h, ⊠ 18^{45}–20^{h}, 18. (⊠), 18^{40}h, ⩽ N 18^{43}h, (⊠) N 19^{04}–19^{25}h, 22. (⊠) SW 14^{54}–14^{58}h, (⊠) N 15^{48}–16^{16}h, (⊠) 16^{20}–16^{30}h, ⊠ 16^{33}–17^{10}h, 26. (⊠) Jura 16^{45}–16^{55}h, ⩽ 16^{56}–17^{05}h, ⊠ 17^{12}–18^{09}h, (⊠) 18^{32}h, (⊠) NW 21–23h, ▲ 17^{10}–17^{17}h, 28. (⊠) 6^{15}–6^{25}h. — **Neuchâtel:** Joran: 17. 16^{30}–18^{h}, 19. 16–21^{30}h, 21. 18–19^{30}h, 26. 16–17^{15}h, 29. 18^{15}–23^{15}h, 31. 12^{30}–17^{15}h. — Gewitter: 1. ⩽ Abd., 8. ⊠ 18^{20}h, 18. ⊤ 18–18^{30}h, 22. ⊤ 11^{30}h, ⊠ ▲ 16^{20}h, 26. ⊠ 16–20^{h}. — **Altdorf:** Föhn: 19. 3^{30}h — Vm. — Gewitter: 20. ⊠ 20^{35}–21^{45}h, 21. (⊤) 17h, 23. ⊠ 15^{15}–18^{50}h, 26. ⊤ 15^{15}h. — **Genf:** Gewitter: 19. ⊤ 21^{40}h, 26. ⊠ 14^{20}–14^{30}h. — **Zürich:** Alpen klar: 15., 16. d. g. T. — Alpen hell: 1., 17. d. g. T., 18. 19. Vm. — Alpen sichtbar: 19. Nm. — Alpen schwach sichtbar: 3. Vm., 11. d. g. T. — Dunst: 2. Nm., 3., 5., 6., 7. d. g. T., 8. Vm., 9. d. g. T., 11., 13., 14. Vm., 19., 21., 22., 23., 24., 25. d. g. T., 26., 29. Vm. — Gewitter: 9. ⊠ 14^{30}h, 18. ⩽ ENE–ESE 20^{15}–21^{15}h, 22. ⊤ 14^{58}h, 23. ⊠ 14^{35}–15^{20}h v. NW nach SE, ⊠ 21^{50}–22^{10}h, 26. ⊠ SW 17^{45}–19^{h}, ⊠ W 21^{45}–23^{h}, 27. ⊠ 22^{05}–23^{15}h, 28. ⊠ 4^{40}h, 31. ⊤ W 13^{30}h. — **Chasseron:** Nebelmeer (Mittelland): 24. I (1000). — Neuschnee: 9. 1 cm, 31. 2 cm. — Gewitter: 1. (⊠) EWN 19–22h, 17. ⩽ 21^{30}–22^{h}, 19. ⩽ 22h–n, 20. (⊠) W 18–18^{15}h, ⩽ 22–n, 21. (⊠) SE 16–16^{15}h, (⊠) SE 17–18h, 22. ⊠ 12–13h, (⊠) 13–14h, ⊠ ▲ 14–17^{30}h, 26. ⊠ 14^{45}–15^{h}, (⊠) 15–15^{30}h, ⊠ 19^{45}–20^{h}, (⊠) 20^{h}–n. — **Lugano:** Nordföhn: 5. 9^{30}–20^{h}, 6. 3–24h, 7. 16^{h}–8. 8^{h}, 9. 11–20^{h}, 10. 12^{30}–20^{h}, 28. 5^{h}–29. 4^{h}, 31. 8^{30}–20^{h}. — **Basel:** Dunst: 4., 22. 23., 24., 25. I. — Gewitter: 18. ⊤ 17^{43}–18^{h}, ⊠ 18^{10}–18^{30}h, Nah ⊠ W 1 km, 20–20^{40}h, 22. ⊤ 14^{52}–19^{h}, 26. ⊠ 22–22^{15}h, ⊤ 20^{20}–21^{h}, Nah ⊠ SE 3 km 21^{10}–21^{20}h, 28. (⊠) 1^{h}. — **Säntis:** Föhnmauer: 2. I. — Gewitter: 18. (⊠) N und E 19^{40}–22^{10}h, 19. (⊠) NE 20^{15}–20^{40}h, 20. ⊤ S 18^{h}, 21. (⊠) S u. E 15^{45}–17^{h}, Nah-⊠ SE 17^{10}–18^{h}, 22. (⊠) S 14^{50}–15^{30}h, Nah-⊠ N u. E 20^{10}–21^{h}, 23. Nah-⊠ 15^{45}–16^{20}h, (⊠) 16^{20}–17^{h}, 26. (⊠) N 19^{15}–20^{h}, Nah-⊠ E 19^{50}–20^{30}h, 28. Nah-⊠ SE 4^{30}–4^{50}h. — Elmsfeuer: 28. 10^{30}h. — Neuschnee: 7. 4 cm, 8. 35 cm, 9. 3 cm, 11. 7 cm, 13. 13 cm, 15. 3 cm, 28. 5 cm, 29. 10 cm, 30. 8 cm, 31. 32 cm. — Schneehöhe: 1. 450 cm, 8. 420 cm, 15. 400 cm, 22. 310 cm, 29. 240 cm. — Schneegrenze: 1. 1600 m, 8. 800 m, 15. 1700 m, 22. 1900 m, 29. 1800 m. — **St. Gotthard:** Schneehöhe: 1. 65 cm, 8. 50 cm, 15. 35 cm.

Juni

Bern: Alpen klar: 5., 6. I, 7. II. — Alpen hell: 4. I, 5., 6. II, 7. 17., 30. I. — Alpen sichtbar: 9., 20. I. — Alpen schwach sichtbar: 3., 4., 19., 20. II. — Gewitter: 8. ⩽ 21–22^{30}h, 9. ⊠ 10^{36}–10^{45}h, 21. (⊠) SW 13^{47}–14^{41}h, 24. (⊠) 11^{10}–11^{15}h, ⊠ 11^{16}–11^{41}h, (⊠) 13^{10}–13^{15}h, ⊠ 13^{10}–13^{24}h, (⊠) 12^{58}–13^{07}h, 29. ⊠ 6^{42}–7^{03}h. — **Neuchâtel:** Joran: 4. 18–19h, 7. 13^{45}–21^{30}h, 12. 17^{30}–19^{h}, 13. 17^{45}–23^{h}, 15. 20–21^{45}h, 16. 17^{45}–22^{15}h, 18. 10–12h, 19. 19^{30}–21^{30}h, 27. 16^{15}–21^{30}h. Gewitter: 2. ⊤ 17^{05}h, 9. (⊠) 7^{15}–8^{15}h, 16. ⊤ 21^{h}, 21. ⊠ 14^{30}–16^{h}, 22. ⊤ 16^{15}h, 30. ⊤ 16^{35}h. — **Altdorf:** Föhn: 6. 20^{h}–7. 17h, 29. 19^{10}–N. — Gewitter: 26. ⊤ NW 16^{15}–16^{50}, 30. (⊤) 13^{30}h. — **Genf:** Gewitter: 3. (⊠) ▲ 9^{50}h, 9. ⊤ 6h, 24. ⊠ 13^{50}–14^{h}, 29. ⊠ 3–4h. — **Zürich:** Alpen klar: 9., 17. Vm. — Alpen hell: 1., 3. Nm. 4., 5., 6. d. g. T., 7. Vm. — Alpen sichtbar: 7. Nm, 8. d. g. T., 20. Vm. — Föhnmauer: 7. Vm. — Dunst: 9., 11. Vm., 12. Nm., 15., 21. Vm. — Neblig: 13. I — Nebel (Sicht): 13. Fr. (800), 27. Vm. (300), 28. Vm. (800). — Gewitter: 2. ⊠ 10^{09}h, ⊠ NW–N–NE 17^{16}–17^{30}h, 22. ⊤ S 16^{15}–16^{45}h, ⊠ 19^{35}h, 26. ⊠ 15^{07}–15^{20}h, ⊤ 14–16^{40}h, 27. ⊠ 13^{40}–14^{35}h. — **Chasseron:** Nebelmeer (Mittelland): 28. I (1000). — Neuschnee: 1. 1 cm, 2. 1 cm, 3. 17 cm. — Schneehöhe: 1. 1 cm, 3. 18 cm, 5. 2 cm. — Gewitter: 7. (⊠) W 10^{15}–10^{30}h, (⊠) W–N 21^{15}h–n, 9. (⊠) N 7–8^{h}, ⊠ 8–9^{30}h, 12. ⊠ N 15^{20}–15^{35}h, 16. ⩽ 22h–n, 21. (⊠) SW 13^{15}–14^{h}, ⊠ 14–14^{30}h, 22. ⊠ ▲ 14^{30}–17^{h}, 24. (⊠) 14^{h}–n, 29. ⊠ ⩽ SE, 3^{30}h, (⊠), SE 20^{15}–20^{30}h, ⊠. 30. 14–17^{h}. Elmsfeuer: 2. 13^{30}–16^{30}h. — **Bever:** Neuschnee: 2. 15 cm. — Gewitter: 24. ⊠ 18^{20}–19^{30}h. — **Lugano:** Nordföhn: 1. 9–13^{h}. — **Basel:** Dunst: 5. I, 8., 11. II, 12. I, II, 29. II, 30. I. — Gewitter: 4. ⊤ SW, 17–17^{25}h, 8. ⩽ W 22^{h}, 17. Nah-⊠, 2,8 km, 13^{10}–14^{h}, 21. ⊤ SSW–NNE 16^{10}–16^{30}h, 22. ⊤ 13^{20}–13^{40}, 24. ⊠ SSE → NNW 12^{49}–13^{12}h, ⊠ SW–NE 13^{30}–13^{45}h, 26. (⊠) ENE 13^{14}–13^{38}h, 27. ⊤ 14^{50}h, ⊠ SW–NE 15^{10}–16^{10}h, 30. ⊤ SE 13^{22}h, ⩽ ⊤ NW 21^{30}h. — **Säntis:** Föhnmauer: 6., 7., 8. I, 29. Nm., 30. I. — Gewitter: 4. (⊠) N 20–20^{10}h, 7. (⊠), E u. NE 20^{20}–21^{30}h, 9. (⊠) N u. NE 15^{30}–16^{30}h, (⊠), S 17^{30}–18^{15}h, 15. (⊠) NE 20^{20}–20^{25}h, 17. ⊤ N 14^{10}h, 20. ⊤ NW 18^{50}h, 24. Nah-⊠ 17^{45}h, 30. (⊠) 13^{30}h. — Neuschnee: 1. 15 cm, 4. 15 cm, 5. 1 cm, 16. 1 cm. — Schneehöhe: 5. 320 cm, 12. 250 cm, 19. 190 cm, 26. 110 cm. — Schneegrenze: 5. 1500 m, 12. 2100 m, 19. 2200 m, 26. 2300 m. — **St. Gotthard:** Neblig: 1. II. 15. I. 25. II, 29. I.

Juli

Bern: Alpen klar: 20. II, 21. I, II, 25. II. — Alpen hell: 14. I, 16., 17. I- II, 19. II, 20. I., 22. I, II, 25. I. — Alpen sichtbar: 14. II, 28. I, II. — Alpen schwach sichtbar: 1. I, 4., 10. II, 12., 24., 26., 27. I, 31. I, II. — Gewitter: 1. 20^{17}–21^{05}, 2. (⊠) E 19^{37}–20^{10}h, 3. (⊠) 12^{25}–12^{30}h, ⊠ 12^{41}h, 4. (⊠) S 15^{01}–15^{10}h, ⊠ 17^{25}–18^{12}h, ⊠ 19^{50}h, 5. ⊠ 16^{30}–18^{35}h, 6. ⊠ von N nach S 14^{49}–15^{35}h, 18. (⊠) 15^{17}h, ⊠ von SW nach NE 17^{30}–18^{14}h, 30. (⊠) 13^{04}h. — **Neuchâtel:** Joran: 2. 15^{30}–21^{h}, 6. 14–24^{20}h, 8. 15–22h, 9. 14–24h, 10. 18^{45}–19^{30}h, 11. 18^{30}–22^{10}h, 21. 14^{45}–22h, 29. 18–21^{15}h, — Gewitter: 1. ⊤ 19^{05}h, 4. ⊤ SE 17^{03}–17^{25}h, 5. ⊤ 18^{05}–19^{30}h, 10. ⊤ 18^{35}h, 18. ⊤ 18^{20}h, 23. ⊠ 15–16h. — **Altdorf:** Föhn: 12. 14^{50}–01^{20}h, 17. 3^{45}h–Vm. — Gewitter: 17. (⊤) 20^{30}h, 23. ⊤ 18h, 29. ⊠ 15^{40}–16^{05}h von NW nach SW. — **Zürich:** Alpen hell: 1., 17. fr., 21., 23. Vm., 25. d. g. T. — Alpen sichtbar: 12. Nm. 14. Vm., 16., 20. d. g. T., 21. 22. Nm. — Alpen schwach sichtbar: 14. Nm., 22., 26. Vm. — Dunst: 2. I, 6. Nm., 7. d. g. T., 8. 23. Vm. — Taldunst: 3., 4., 17. fr. — Talneblig: 6. Vm. — Talnebel: 18. fr., 24. 8h. — Gewitter: 1. (⊠) SSW von W nach E 15^{50}h, Nah-⊠ 16^{04}–16^{20}h, 2. ⊠ 21^{30}h, 3. ⊤ 5^{45}–6^{45}h, (⊠) W 14^{30}–14^{40}h, 4. ⊤ NE 16^{05}h, (⊠) S 17^{30}–17^{45}h, 6. (⊠) SW–SE 16^{20}–17^{50}h, 17. ⊤ SW 16^{45}h, ⊤ SSE 17^{05}h, (⊠) 21^{30}h, 18. ⩽ SSW 15^{15}h, ⊠ aus SW 16^{h}, 19. (⊠) SSE 12^{h}, 22. ⊠ 21^{25}–21^{45}h, 23. ⊠ 17^{30}–17^{45}h, 26. ⊤ 15^{35}–16^{h}, ⊠ von NW 16^{50}–17^{25}h, ▲ 17^{05}–17^{10}h, ⊠ 18^{10}–Abd., 29. Nah-⊠ 20^{10}h, (⊠) S 20^{10}h–n. — **Chasseron:** Nebelmeer (Mittelland): 2. (700), 24. 900. — Gewitter: 1. (⊠) 17^{30}–19^{30}h, 2. (⊠) N 15^{30}–15^{45}h, 3. (⊠) SW 16^{35}–17^{h}, 4. (⊠) SE 12–12^{15}h, (⊠) SE 16–16^{30}h, (⊠) E u. NW 20^{h}-n, 5. (⊠) 14–15^{30}h, 10. (⊠) SE 10^{48}–11^{h}, (⊠) 15^{55}–16^{25}h, 18. ⩽ S 1^{h}, ⊠ 14^{58}–16^{30}h, 23. ⊠ 14^{30}–17^{45}h. — **Bever:** Schneegrenze: 31. 2500 m. — **Sitten:** Hochnebel: 5. Vm. — **Lugano:** Nordföhn: 10. 16^{h}–11. 3^{h}, 19. 10^{30}–22^{h}. — Gewitter: 1. (⊠) 18^{h}, 2. ⊠ 0–1^{h}, (⊠), S 16^{40}h, 3. (⊠) S 17 h, 4. ⊠ 17–17^{30}h, 5. (⊠) 16^{30}h, 6. ⩽ ⊤ 13^{30}h, 9. ⊠ 5–7^{30}h, 10. ⊠ Fr., 17. ⩽ ⊤ S 21^{30}h, 18. ⊠ 14^{30}h, ⊠ 18^{h}, ⊠ 22^{h}, 29. ⊠ ▲ 22^{45}–23^{h}, 30. ⊠ 13–13^{30}h. — **Basel:** Dunst: 3. I, 6. II, 11. I. — Gewitter: 1, ⊤ SE 14^{20}–14^{33}h, 2. ⊠ E 16^{48}–17^{50}h, 3. mehrere ⊠ SW–NE 13^{15}–14^{30}h, 4. mehrere ⊠ W–N–E 19–22^{30}h, 5. ⊤ 13^{10}h, ⊠ 13^{20}–13^{25}h, ⊤ 19^{10}–19^{40}h, ⊤ 20^{10}–20^{30}h, 6. ⊤ 17^{45}h, 10. ⊠ 14^{15}–15^{30}h, ▲ 11^{58}–12^{06}h, ⊠ 16^{45}–17^{30}h, 17. ⊤ 16^{35}–16^{40}h, ⊤ 17^{10}–17^{40}h, ⊤ 20^{15}–20^{30}h, ⩽ E 20^{30}–22^{30}h, 18. ⊤ 6^{45}h, ⊠ 11^{55}h, 23. mehrere ⊠ 14^{40}–17^{30}h, 25. ⊠ 23^{30}h, 29. ⩽ W 22^{30}h. — **Säntis:** Föhnmauer: 12. d. g. T. — Gewitter: 1. (⊠) NE 18–18^{40}h, 4. ⊤ 13^{15}h, 5. Nah-⊠ E 14^{55}h, 6. ⊤ SE 16–16^{20}h, 17. ⩽ N 21^{30}h, 18. (⊠) E 16–16^{25}h, 19. (⊠) NW 13^{h}, 22. (⊠) W u. NE 21^{h}–n, 23. (⊠) SE 19–19^{20}h, 26. Nah-⊠ E u. S 23^{0}–4^{30}h, Nah-⊠ 16–17^{15}h, (⊠) W, NW, NE 21–21^{20}h, 29. (⊠) W n. N 22^{h}. — Neuschnee: 10. 2 cm. — Schneehöhe: 3. 50 cm, 10. 2 cm. Schneegrenze: 3. 2300 m, 10. 2300 m. — **St. Gotthard:** Neblig: 7. III, 12. II. — Gewitter: 1. ⊠ 22^{15}–22^{45}h, 18. ⊠ N 19^{50}–20^{20}h, ⊠ S 21^{45}h, 23. ⊠ 19^{10}–19^{50}h.

August

Bern. Alpen klar: 20. I, 23.. 24., 30., 31. I, II. — Alpen hell: 5. II, 15. I, 20. II, 29. I, II. — Alpen sichtbar: 15. II, 18. I, 19. II. — Alpen schwach sichtbar: 1. II, 5., 6., 14. I, 22. II. — Gewitter: 8. (⊠), SSW 24h, 14. (⊠) NE 21^{30}h, 17. (⊠) 1^{30}h. — **Neuchâtel:** Joran: 1. 16–18^{45}h, 5. 19–22^{30}h, 6. 14^{45}–18^{h}, 13. 19^{30}–20^{45}h, 16. 13^{45}–17^{15}h, 18. 17–21^{45}h, 19. 20–21^{30}h, 27. 17^{15}–21^{15}h, 29. 19^{30}–21^{h}, 31. 18^{15}–20^{15}h. — Gewitter: 13. (⊤) 18^{45}–20^{30}h, 15. (⊤) 13^{30}–15^{30}h, 16. ⊠ 0–1^{30}h, 20. (⊠) SSW 23–24h. — **Altdorf:** Gewitter: 9. ⊤ 17^{30}h, 14. ⊠ 17^{15}h, 16. ⊠ 24^{5}h, 22. ⊠ 19^{h}. — **Zürich:** Alpen

klar: 22. Nm, 23. d. g. T. — Alpen hell: 30., 31. d. g. T. — Alpen sichtbar: 29. Nm. — Alpen schwach sichtbar: 2. Nm., 5. d. g. T., 8. Nm. — Dunst: 4., 5. 7. d. g. T., 8. Vm., 9., 10., 11., 12. d. g. T., 13. Vm., 18. d. g. T., 19., 20., 28., 29. Vm. — Gewitter: 22. ☒ 13^{55}–14^{10}h, ▲ 13^{55}–14^{05}h. — **Chasseron:** Gewitter: 1. (☒) SW 17^{30}–17^{45}h, 8. ≺ in der Nacht, 13. (☒) SW 15^{30}–18^{h}, ☒ 18–19h, (☒) NNE 19–20^{30}h, ≺ in der Nacht, 14. (☒) W. n. N, 12^{20}–16^{30}h, ≺ W n. N n. E 21^{h}–n, 15. (☒) SW–W–N 12^{30}–16^{30}h, ≺ u. (☒) S 22–02h, 20. ☒ 23–23^{10}h, 21. ☒ 4^{30}–4^{45}h. — **Bever:** Schneegrenze: 3. 2500 m, 23. 1900 m. — **Sitten:** Hochnebel: 21. III 1500 m. — Schneegrenze: 22. 2500 m, 23. 2500 m. — **Lugano:** Nordföhn: 3. 19–20^{h}, 6. 15–22^{h}, 22. 8^{30}–23^{h}, 23. 10–12^{h}, 27. 15^{30}–21^{h}. — Gewitter: 2. ≺ S 20^{30}–21^{30}h, 14. (☒) 18^{h}, (☒) SW 20^{30}h, 16. ☒ 21^{h}, 21. ☒ 15^{h}, ☒ 20h. — **Basel:** Dunst: 5., 8. I, 10. I, II, 11.–14. I, 17. II. — Purpurlicht: 1. 20^{15}–20^{35}h, 4. 20^{15}–20^{29}h, 9. 20^{09}–20^{18}h, 30. 19^{28}–19^{47}h. — Gewitter: 14. ⊤ 14^{30}h, ⊤ 15^{35}h, ⊤ 16^{15}h, ≺ S 20–21^{h}, 16. ☒ 20^{5}h. — **Säntis:** Gewitter: 13. (☒) S 21^{h}–n, 14. (☒) SE 19^{30}h, (☒) NW 21^{30}h, 15. Nah-☒ 17^{45}–18^{15}h, (☒) SE 20^{30}h, 22. ☒ 18^{25}h. — **St. Gotthard:** Neblig: 1. I, 8. III, 18. I, 20. I, III, 23. I, 26. I, II.

September

Bern: Alpen klar: 1. I, II, 2. I, 21. II, 23. I. — Alpen hell: 22. II, 27. I. — Alpen sichtbar: 13. I, 17., 18., 23., 24. II. — Alpen schwach sichtbar: 2. II, 3. I, II, 4. I, 12. I, II, 13., 14. II, 20., 21. I. — Neblig: 15. Vm. — Gewitter: 16. ≺ 21^{30}h. — **Neuchâtel:** Joran: 3. 15–20^{45}h, 4. 18^{45}–20^{30}h, 11. 13^{30}–23^{h}, 12. 17–22^{h}, 16. 17^{30}–18^{15}h. — Gewitter: 16. ☒ 20^{15}–20^{45}h, 23. (☒) SW 20^{30}–21^{30}h. — **Altdorf:** Dunst: 26. I. — Neblig: 26. III. — Föhn: 15. 9^{35}h–n, 18. 19^{h}–n, 27. 10^{05}–15^{20}h. — **Zürich:** Alpen klar: 20. Vm., 21. Nm., 22. Vm. tw., 23. Vm. — Alpen sichtbar: 1. Nm., 21. Vm. — Alpen schwach sichtbar: 1. Vm., 2., 14., 15. d. g. T., 16. Nm., 18. Vm., 23. Nm. — Föhnmauer: 23. Vm. tw. — Dunst: 1. Vm., 5. d. g. T., 7. Vm., 8. d. g. T., 9. Vm., 10. d. g. T., 11. Vm., 15., 18., 25. Nm., 26., 29. d. g. T., 30. Nm. — Taldunst: 9. fr. — Neblig: 25., 27., 28. I. — Talneblig: 18. Vm. — Nebel (Sicht): 26. Vm. ztw. — Talnebel: 25. Vm. (600 m). — Hochnebel: 30. d. g. T. — **Chasseron:** Nebelmeer (Mittelland): 15. I (1300 m), 18. I (1400 m), 21. I (1300 m), 25. II (1000 m), 26. I 1300 m, II 1300 m, III (800 m), 27. I 1000 m, II (900 m). — Gewitter: 15. ≺ NW 20^{h}, 16. (☒) WNW 14^{05}–14^{20}h, ☒ W 16^{15}–16^{30}h, ☒ 16^{30}–17^{h}, 23. ≺ 20^{h}–n, ☒ 21–21^{15}h, 24. ☒ 17–17^{15}h. — **Bever:** Schneegrenze: 11. Waldgrenze, 20. 2800 m. — **Sitten:** Hochnebel: 4., 24. I, 25., 28. III, 29. d. g. T., 30. I. — Schneegrenze: 11. 2000 m, 22. 2000 m. — **Lugano:** Nordföhn: 11. 0–15^{h}. — Gewitter: 19. ☒ 9^{30}–11^{h}, (☒) 19^{h}, 20. (☒) 16^{30}h, 25. (☒) 9^{45}h, 28. (☒) 2^{h}, ☒ 17–18^{30}h, ≺ S 22^{15}–22^{30}h, 30. ≺ SE u. SW 17^{45}–19^{h}. — **Basel:** Dunst: 1., 6., 26., 28. I. — Purpurlicht: 5., 6. III, 13. 19^{05}–19^{28}h. — Gewitter: 16. ⊤ NW 14^{58}–15^{08}h, ⊤ 17^{45}–18^{10}h, ☒ W 18^{10}–18^{25}h, ⊤ 22^{30}h, 19. ⊤ 15^{h}, 20. ☒ W–E 17–17^{30}h, ▲ 17^{08}h. — **Säntis:** Großes Lichtermeer: 1. III. — Föhnmauer: 15.—18. d. g. T., 19. n–15^{h}, 23. d. g. T., 24. 11^{15}h–n, 26. 13^{30}h–n, 27. d. g. T., 28. n–17^{h}. — Gewitter: 19. (☒) SE 18^{35}–18^{40}h, 20. Nah-☒ SE 19^{40}–19^{45}h, 23. ≺ N 21^{30}h. — Neuschnee: 11. 7 cm. — Schneehöhe: 11. 7 cm. — Schneegrenze: 11. 1800 m. — **St. Gotthard:** Neblig: 10. I, 14. II, 17. I, II, 18., 20. II, 24. II, III, 25. II, 28. I. — Schneegrenze: 22. 2400 m, 24. 2500 m.

Oktober

Bern: Alpen klar: 14., 31. I. — Alpen hell: 2., 3., II, 23. I. — Alpen schwach sichtbar: 24. I. — Neblig: 16., 17. Vm., 19. d. g. T., 20. Vm. — **Neuchâtel:** Joran: 17. 17–23^{15}h. — **Altdorf:** Föhn: 13. 1^{h}–14. 23^{h}, 22. 15^{20}–23^{h}, 28. 10^{40}–18^{35}h. — Schneegrenze: 30. 950 m. — **Genf:** Gewitter: 29. ☒ 17 h. — **Zürich:** Alpenklar: 30. Nm. — Föhnmauer: 13. Nm., 14. Vm., 28. d. g. T. — Dunst: 1., 2. d. g. T., 4., 5. Vm., 8., 9. d. g. T., 12. Nm., 15. d. g. T., 16. Nm., 17. Vm., 18.—21. d. g. T., 22.—24. Nm. — Neblig: 10., 16., 22. Vm. — Talneblig: 12. Nm., 13.—15. d. g. T. — Nebel (Sicht): 12. Vm. (50—60 m), abd. (80—100 m), 13. I (200—500 m), 25. I (300 m), II (800—900 m). — Talnebel: 4. fr. bis 600 m. **Chasseron:** Nebelmeer (Mittelland): 2. I 1300, 3. I 800, II (700), 6. I (1300), 9. II (1400), 10. I 900, II 900, 11. I 900, II 900, 12. I (800), II (800), 13. I (850), 14. I (700), 20. fr. 1750, 23. I 1100, 24. I 1100, 25. I (700), II (700), 27. I (900), 31. I (1100). — Gewitter: 23. ☒ W–NW 15–15^{45}h. — **Bever:** Schneegrenze: 26. Waldgrenze. — **Sitten:** Schneegrenze: 29. 1500 m. — **Lugano:** Nordföhn: 30. 15–18^{h}. — Schneegrenze: 30. 1300 m. — Gewitter: 19. (☒), I, 29. (☒) 18^{40}h. — **Basel:** Dunst: 1., 7., 25. II. — Purpurlicht: 21. 17^{52}–18^{h}. — **Säntis:** Purpurlicht: 9., 10. III. — Föhnmauer: 2. n–17^{h}, 12. 12–16^{30}h, 13. n–n, 14. 8^{h}–n, 18., 22., 24., 26., 27., 28. n–n. — Gewitter: 19. ≺ abd. i. SE, 28. ≺ abd. i. S — Neuschnee: 30. 31 cm, 31. 6 cm. — Schneehöhe: 30. 31 cm. — **St. Gotthard:** Neblig: 2. I, 4. II, 15. III, 25. II. — Neuschnee: 27. 3 cm, 29. 5 cm, 30. 45 cm. — Schneehöhe: 30. 50 cm.

November

Bern: Alpen klar: 1. I, II, 10., 29. II. — Alpen hell: 4. II, 30. I II. — Alpen schwach sichtbar: 5., 16. II. — Neblig: 4. Vm,. 5. mtg, 9. Nm, 11., 13. Vm, 14., 17. mtg., 24. Nm, 25., 26. Vm. — **Altdorf:** Neblig: 7., 11. II, 12. I, 14. II. — Föhn: 1. 11^{30}h–n, 27. 8^{40}–28. 19^{h}. — **Zürich:** Alpen klar: 1. Nm. — Alpen hell: 1. Vm. — Alpen sichtbar: 30. Nm. — Alpen schwach sichtbar: 28. d. g. T., 30. Vm. — Dunst: 5. Vm., 7., 13., 26.—29. d. g. T. — Taldunst: 30. Vm. — Neblig: 17. Vm. — Talneblig: 5. d. g. T., 10., 16., 18. Nm, 23. abd., 24., 25. d. g. T., 28. Vm, 29. d. g. T., 30. Nm. — Nebel (Sicht): 8. I (300 m), III (80 m), 10. I (120 m), 11. I (500 m), 14. I (50 m), II (900 m), III (50 m), 15. I (50 m), II (900 m), III (40 m), 16. I (200 m), 18. III (200 m), 19. I (60 m), II (900 m), III (50 m), 20. I (100 m), II (100 m), III (50 m), 21. I (100 m), II (300 m), III (200 m), 22. I (150 m), II (300 m), III (150 m), 23. I (300 m), II (900 m), 24. I (900 m), III (250 m), 25. III (200 m), 26. III (50 m), 27. I (50 m). — Talnebel: 1., 4., 10. Vm., 28., 30. fr. — **Chasseron:** Nebelmeer (Mittelland): 4. I (1300 m), 5. I (1100 m), II (1400 m), 8. I. 700 m, II (900 m), III (900 m), 9. I (850 m), II (850 m), 10. I (800 m), II (750 m), 11. I 1000 m, II 1200 m, III 1200 m, 12. I 1150 m, II 1100 m, III 1000 m, 13. I (800 m), 14. I 750 m, II (750 m), 15. I (750 m), II (700 m), III (700 m), 16. I (700 m), 17. I 1200 m, II 1100 m, III 1000 m, 18. I 800 m, II 800 m, III (800 m), 19. I (750 m), II (750 m), III (750 m), 20. I (750 m), II (750 m), III (800 m), 21. I 800 m, II (900 m), III (900 m), 22. I 850 m, II 950 m, III 950 m, 23. I 900 m, II 900 m, III 900 m, 24. I 950 m, II 950 m, III 950 m, 25. I 900 m, II 900 m, III 850 m, 26. I 800, II 850, III (800 m), 27. I (800 m), II 750 m, 28. I (700 m). — Neuschnee: 3. 6 cm, 4. 1 cm, 6. 2 cm. — Schneehöhe: 6. 2 cm. — **Bever:** Morgenrot: 26. — Neuschnee: 3. 2 cm. — **Sitten:** Talnebel: 10. I, 17. II. — Schneegrenze: 2. 1500 m, 3. 1300 m. — **Lugano:** Nordföhn: 6. 14^{30}h–7. 8^{30}h. — **Basel:** Dunst: 7., 8., 15., 21., 23., 24. II. — Purpurlicht: 7. 17^{32}h, 8. 17^{25}h, 9. 17^{15}–17^{52}h, 10. 17^{13}–17^{38}h, 13. 16. III — Morgenrot: 28. — **Säntis:** Föhnmauer: 1. 11^{h}–n, 28. n–15^{h}. — Elmsfeuer: 6. I. — Neuschnee: 3. 3 cm, 4. 6 cm, 5. 2 cm, 6. 12 cm, 7. 36 cm. — Schneehöhe: 6. 32 cm, 13. 30 cm, 20. 20 cm, 27. 20 cm. — Schneegrenze: 6. 1500 m, 13. 1500 m, 20. 1700 m, 27. 1800 m. — **St. Gotthard:** Neuschnee: 2. 5 cm, 3. 10 cm. — Schneehöhe: 6. 35 cm.

Dezember

Bern: Alpen klar: 1. I, II, 2., 3., 4., 24., 25. I. — Alpen hell: 5., 11. I. — Alpen sichtbar: 9., 19., I, 23. II. — Alpen schwach sichtbar: 6. II. — Neblig: 8. mtg., 13., 14. Nm., 15. mtg. — Neuschnee: 27. 1 cm, 29. 4 cm, — **Neuchâtel:** Schneehöhe: 29. 1 cm. — **Altdorf:** Neblig: 6. I, II. — Föhn: 3. 12^{20}h–4. 21^{30}h, 7. Vm–8. Nm., Schneehöhe: 29. 2 cm, 30. 6 cm. Schneegrenze: 23. 650 m, 26. 600 m. — **Zürich:** Alpen klar: 11. fr. — Alpen hell: 2. fr., 4., 25. Nm. — Alpen sichtbar: 10. Vm ztw., 25. Vm. — Alpen schwach sichtbar: 1. d. g. T., 2. Vm., 3. Nm., 5. Vm., 11. d. g. T. — Dunst: 3. Nm., 20. Vm., 22., 24. d. g. T., Taldunst: 1. Nm. — Neblig: 11. d. g. T., 12. mtg., 13. 13–15h, 14. mtg., 28. Vm. — Talneblig: 2.—4. Nm., 5. d. g. T., 11. Nm., 25. Vm. — Nebel (Sicht): 2. III (200 m), 3. I (60 m), 4. I (40 m), 6. II (50 m), III (40 m), 7. I (150 m), II (300 m), III (50 m), 8. I (200 m), II (120 m), III (50 m), 9. I (400 m), II (700 m), III (20 m), 10. III (700 m), 12. I (500 m), II (150 m), 13. I (400 m), III (200 m), 14. III (200 m), 15. I (300 m), II (150 m), III (60 m), 16. I (100 m), II (700 m), III (60 m), 17. I (50 m), II (150 m), III (60 m), 18. I (50 m), II (80 m), III (60 m), 19. I (50 m), II (200 m). Talnebel: 1.–4., 9. Vm., 10. d. g. T., 11. Vm. — Neuschnee: 29. 1,5 cm, 30. 6 cm, 31. 0,5 cm. — **Chasseron:** Nebelmeer (Mittelland): 5. II (600 m), 6. I (600 m), II (650 m), III (650 m), 7. I (650 m), II (650 m), III (650 m), 8. I (650 m), II (650 m),

11. I (1400 m), II (700 m), III (650 m), **12.** I 650 m, II 900 m, III 800 m, **13.** I 850 m, II 700 m, III 850, **14.** I 700 m, II 600 m, III (600 m), **15.** I 600 m, II (600 m), III (600 m), **16.** I (600 m), II (650 m), III 700 m, **17.** I 650 m, II 750 m, III 750 m, **18.** I 750 m, II 800 m, III 800 m, **22.** I 1200 m, III 1400 m, **23.** I 1050 m, **24.** I 1400 m, III (1200 m). — Neuschnee: **21.** 1 cm, **26.** 6 cm, **27.** 1 cm, **28.** 1 cm, **29.** 6 cm, **30.** 5 cm, **31.** 1 cm. — **Bever:** Neuschnee: **8.** 2 cm, **20.** 15 cm, **26.** 2 cm, **29.** 2 cm. — Schneehöhe: **25.** 11 cm. — **Sitten:** Neuschnee: **26.** 1 cm, **30.** 1 cm. — Schneegrenze: **20.** 1250 m. — **Lugano:** Nordföhn: **29.** 8^{30h}–**31.** 1^{h}. — **Basel:** Dunst: **5., 6., 8., 9., 16.–18., 23., 24., 30.** II. — Morgenrot: **14.** — **Säntis:** Föhnmauer: **3.** 9^{30h}–n, **4.** 11–15^{h}, **8.** d. g. T., **9.** n–17^{h}, **15.** 7^{h}–n. — Neuschnee: **11.** 0,5 cm, **20.** 14 cm, **23.** 1 cm, **24.** 0,5 cm, **26.** 14 cm, **27.** 10 cm, **28.** 12 cm, **29.** 24 cm, **30.** 80 cm, **31.** 17 cm. — Schneehöhe: **4.** 15 cm, **11.** 10 cm, **25.** 15 cm, **31.** 140 cm. — Schneegrenze: **4.** 2000 m, **11.** 2000 m, **25.** 1600 m, **31.** Bodensee. — **St. Gotthard:** Neblig: **14.** II, **15.** I, **29.** I, II. — Neuschnee: **9.** 12 cm, **16.** 2 cm, **20.** 2 cm, **26.** 2 cm, **28.** 7 cm, **30.** 10 cm. — Schneehöhe: **11.** 10 cm, **25.** 22 cm.

Säntis Nebelmeer

Obergrenze des Nebelmeeres in Hektometer über Meer; ohne Klammer: geschlossenes, mit Klammer: aufgelockertes Nebelmeer.

1953 Januar

	1.	2.	3.	4.	5.	6.	7.	8.	11.	12.	13.	14.	15.	16.	17.	18.	19.	20.	21.	22.	23.	24.	26.	27.	29.	30.	31.
7^{30}	9	15	24	20	—	(18)	—	22	—	(6)	13	13	12	8	—	9	—	18	10	8	8	11	—	(9)	(9)	12	6
10^{30}	10	—	25	20	20	19	—	22	—	(9)	13	12	11	(8)	(9)	10	24	17	10	8	8	10	22	(7)	(10)	(13)	(6)
13^{30}	12	—	24	19	22	22	18	23	—	10	13	12	11	(8)	(13)	10	14	15	10	8	8	10	24	(8)	(11)	—	—
16^{30}	13	—	24	19	24	19	19	23	23	10	14	12	12	—	(12)	9	—	(15)	—	8	(8)	9	22	—	15	—	—
21^{30}	14	—	23	19	20	18	20	—	—	10	14	13	9	—	11	10	—	12	(9)	7	11	8	10	—	14	—	—

Februar

	3.	4.	13.	14.	15.	16.	17.	18.	19.	20.	21.	22.	23.	24.	25.	26.	27.	28.
7^{30}	19	20	(10)	18	16	20	13	—	17	—	6	5	12	12	11	9	7	7
10^{30}	19	19	(15)	(16)	17	20	13	—	20	—	(7)	(6)	12	13	11	9	7	8
13^{30}	—	17	20	—	19	20	(12)	—	21	—	(8)	(6)	—	13	(11)	9	7	—
16^{30}	—	16	21	(17)	20	20	—	—	21	(18)	—	—	—	14	—	(9)	(7)	—
21^{30}	—	(14)	22	15	23	19	—	21	—	22	—	—	—	12	—	(7)	(7)	—

März

	2.	4.	5.	6.	7.	15.
7^{30}	9	(6)	—	12	(6)	(9)
10^{30}	10	—	—	11	(6)	—
13^{30}	—	—	—	(10)	—	—
16^{30}	—	—	(18)	—	—	—
21^{30}	—	—	12	—	—	—

April

	1.	4.	5.	9.	11.	17.	18.	30.
7^{30}	—	—	(10)	(23)	22	—	(5)	(6)
10^{30}	—	—	13	—	13	24	—	—
13^{30}	23	—	—	—	20	21	—	—
16^{30}	—	—	—	—	(20)	21	—	—
21^{30}	—	(16)	—	—	(20)	(20)	—	—

Mai

	22.	23.	29.
7^{30}	(7)	9	23
10^{30}	—	—	23
13^{30}	—	—	25
16^{30}	—	—	—
21^{30}	—	—	—

Juni

	17.	23.	24.	29.
7^{30}	(14)	21	—	9
10^{30}	—	24	(15)	—
13^{30}	—	24	—	—
16^{30}	—	—	—	—
21^{30}	—	24	—	—

Juli

	5.	7.	16.	18.	22.	24
7^{30}	—	22	—	(17)	—	7
10^{30}	—	—	—	—	—	—
13^{30}	—	—	—	—	—	—
16^{30}	—	—	(24)	—	—	(25)
21^{30}	16	—	—	—	(18)	—

August

	28.
7^{30}	9
10^{30}	—
13^{30}	—
16^{30}	—
21^{30}	—

September

	20.	21.	22.	24.	25.	26.	27.	28.	29.	30.
7^{30}	(17)	6	—	—	(11)	9	10	(10)	—	24
10^{30}	(22)	—	(25)	—	—	10	(10)	12	25	24
13^{30}	—	—	—	—	—	(11)	—	—	—	21
16^{30}	—	—	—	(17)	—	12	—	—	—	21
21^{30}	—	—	—	(15)	—	11	—	—	—	19

Oktober

	1.	2.	3.	5.	6.	8.	9.	10.	11.	12.	13.	15.	16.	17.	18.	19.	20.	21.	22.	23.	24.	25.	26.	27.	28.	30.	31.
7^{30}	19	14	7	—	16	(9)	13	10	8	8	7	—	8	19	16	15	17	18	13	7	7	(8)	13	10	(22)	—	6
10^{30}	19	13	7	20	(16)	—	13	11	9	8	7	—	—	18	16	14	16	20	12	7	7	—	18	9	(15)	—	7
13^{30}	19	(12)	(8)	20	(17)	—	—	(10)	(9)	8	—	(20)	—	22	16	14	15	21	12	(7)	—	—	20	10	—	24	—
16^{30}	18	—	—	20	(18)	—	—	—	—	(7)	—	22	19	22	15	15	18	20	—	—	—	—	20	11	—	—	—
21^{30}	16	—	—	20	22	—	—	—	—	—	—	19	—	23	15	16	17	(18)	—	—	—	—	15	9	—	—	—

November

	1.	4.	5.	8.	9.	10.	11.	12.	13.	14.	15.	16.	17.	18.	19.	20.	21.	22.	23.	24.	25.	26.	27.	29.
7^{30}	6	19	13	9	9	6	11	10	9	8	7	7	10	7	6	8	9	9	9	10	9	7	8	(6)
10^{30}	7	9	14	10	8	(6)	11	8	8	8	7	8	10	8	7	9	10	9	10	11	9	8	7	(7)
13^{30}	—	(13)	15	(10)	(7)	(6)	12	9	9	8	7	—	11	(8)	8	9	10	9	10	11	10	9	7	—
16^{30}	—	—	—	(10)	—	—	13	10	—	8	7	—	10	—	7	9	9	9	11	10	9	8	7	—
21^{30}	—	—	—	—	—	—	11	9	—	7	7	—	10	(7)	8	9	9	9	11	11	8	7	—	—

Dezember

	2.	3.	4.	5.	6.	7.	8.	9.	10.	11.	12.	13.	14.	15.	16.	17.	18.	19.	21.	22.	23.	24.	25.
7^{30}	(6)	7	6	6	7	8	7	6	6	7	10	8	9	7	9	9	8	8	—	15	12	12	20
10^{30}	6	7	6	(6)	8	8	7	7	7	(8)	10	9	8	8	9	9	8	8	22	17	—	12	—
13^{30}	7	(7)	(6)	—	8	8	7	7	7	(8)	10	9	8	8	9	9	9	(7)	—	18	—	13	—
16^{30}	(7)	(7)	(6)	—	—	8	7	7	—	9	10	10	8	7	9	9	8	—	—	—	—	14	—
21^{30}	(6)	(7)	(6)	(7)	8	8	6	6	—	—	9	10	7	8	9	9	7	—	17	12	—	18	—

Jungfraujoch: Lufttemperaturen

Tag	Januar			Februar			März			April			Mai			Juni		
	7^{30}	13^{30}	21^{30}	7^{30}	13^{30}	21^{30}	7^{30}	13^{30}	21^{30}	7^{30}	13^{30}	21^{30}	7^{30}	13^{30}	21^{30}	7^{30}	13^{30}	21^{30}
1	−17.4	−14.0	−17.0	−24.6	−23.8	−23.0	−10.2	−12.0	−12.0	−11.6	−9.8	−8.8	−7.6	−5.4	−7.2	−12.4	−11.0	−10.2
2	−17.6	−17.4	−19.2	−22.4	−22.4	−24.0	−9.8	−8.6	−9.6	−8.2	−6.4	−7.6	−8.2	−8.2	−9.0	−13.2	−13.2	**−15.8**
3	−19.4	−16.6	−17.2	−23.4	−23.0	−19.2	−10.6	−8.2	−9.2	−7.4	−5.8	−7.6	−5.4	−4.8	−6.4	**−15.8**	−11.8	−13.0
4	−17.6	−17.0	−16.6	−18.6	−16.8	−18.4	−7.4	−6.8	−10.4	−7.4	−6.2	−7.0	−6.0	−3.6	−6.2	−13.2	−10.0	−11.0
5	−15.2	−14.8	−15.4	−20.8	−23.2	−24.8	−10.8	−5.0	**−4.0**	−10.0	−8.2	−10.4	−6.6	−6.4	−7.0	−10.6	−7.6	−8.0
6	−16.4	−16.0	−15.8	−24.0	−24.2	−25.2	−9.0	−8.4	−5.8	−11.8	−10.2	−10.4	−10.2	−7.6	−10.8	−6.0	−3.4	−4.6
7	−18.0	−17.4	−18.6	−25.6	−25.2	−28.0	−8.4	−10.4	−15.8	−14.0	−11.8	−10.2	−9.4	−10.8	**−16.8**	−3.6	−1.8	−2.4
8	−16.2	−13.6	−14.0	**−30.8**	−30.0	−27.8	**−24.0**	−16.8	−13.4	−10.0	−8.0	−8.6	−14.6	−14.0	−14.6	−2.4	−1.8	−1.8
9	−18.6	−20.2	−19.8	−15.8	−19.8	−20.2	−13.4	−10.0	−10.8	−9.2	−7.6	−10.2	−16.2	−14.2	−15.2	−4.6	−2.4	−2.6
10	−18.6	−17.6	−20.2	−16.8	−16.2	−17.4	−11.4	−12.0	−14.6	−13.4	−13.2	−12.0	−16.2	−15.0	−14.0	−4.4	−4.0	−6.0
11	**−21.6**	−19.6	−19.6	−20.4	−20.6	−21.4	−16.4	−18.8	−21.6	−10.6	−8.0	−8.0	−13.2	−11.6	−10.4	−5.2	−4.4	−4.8
12	−20.2	−17.6	−16.8	−21.6	−21.2	−22.2	−16.4	−17.4	−15.2	−7.0	−5.6	−9.4	−12.0	−11.8	−12.4	−5.0	−2.0	−4.4
13	−16.4	−14.0	−15.2	−22.4	−20.2	−21.8	−13.4	−12.6	−14.8	−9.0	−7.6	−9.6	−11.0	−7.4	−6.4	−5.4	−3.2	−4.4
14	−17.2	−16.2	−18.0	−23.0	−20.8	−22.4	−17.6	−18.4	−20.0	−11.0	−12.2	−17.0	−6.4	−6.0	−9.6	−5.4	−3.4	−4.6
15	−17.8	−15.2	−13.6	−22.6	−18.6	−14.6	−19.8	−15.8	−16.6	−19.4	**−19.6**	−18.6	−7.2	−4.2	−2.0	−4.8	−2.8	−2.0
16	−15.2	−10.8	−10.0	−14.2	−13.0	−15.0	−11.6	−10.0	−12.8	−13.2	−9.2	−9.8	−1.8	0.0	−0.8	−3.8	−2.0	−3.4
17	−11.2	−11.8	−13.0	−15.6	−12.2	−11.8	−11.6	−11.0	−13.6	−11.2	−6.6	−10.2	−0.1	1.4	0.4	−4.8	−2.0	−2.4
18	−12.0	−10.6	−10.2	−13.0	−11.6	−11.6	−12.4	−11.6	−13.4	−9.4	−8.6	−9.0	0.4	1.6	−0.8	−2.6	−0.8	−5.4
19	−13.0	−13.4	−15.4	−10.0	−7.0	−8.6	−13.0	−10.2	−12.6	−8.4	**−5.0**	−7.6	−0.4	1.2	−0.4	−4.4	−2.8	−2.2
20	−14.0	−12.4	−12.4	−14.6	−10.4	−8.2	−10.0	−8.4	−8.2	−7.4	−7.8	−6.0	−0.4	**2.6**	1.0	−2.2	0.0	−0.8
21	−12.0	−11.8	−11.2	−6.2	−7.0	−8.2	−10.0	−7.4	−8.0	−7.4	−6.0	−6.0	−1.4	0.0	−1.6	−2.4	−1.4	−2.0
22	−11.0	−11.2	−12.8	−4.8	−4.4	−5.0	−10.4	−7.4	−8.8	−6.2	−6.4	−8.2	−2.4	−1.0	−2.0	−3.4	−2.2	−1.4
23	−13.6	−12.2	−14.2	−4.0	−3.6	−4.2	−10.6	−10.0	−10.2	−9.2	−5.6	−8.0	−2.6	−2.0	−2.4	−1.8	−0.2	−1.2
24	−14.0	−12.8	−11.4	−6.6	−4.0	−4.2	−10.2	−9.4	−10.6	−8.8	−9.4	−9.2	−2.8	1.0	−1.0	−1.6	−1.0	−5.0
25	−11.8	−13.2	−17.6	−4.8	−4.6	−4.6	−11.2	−9.8	−11.6	−9.8	−7.6	−8.1	−1.4	1.0	1.2	−6.0	−4.8	−3.0
26	−21.2	−18.0	−16.0	−6.4	−4.0	−3.6	−12.0	−10.2	−11.8	−9.4	−6.0	−6.8	−0.8	0.0	−1.8	−3.0	−2.0	−3.6
27	−13.4	−11.6	−11.8	−3.8	**−1.0**	−3.8	−13.0	−12.6	−13.4	−7.4	−5.6	−7.0	−2.4	−2.4	−2.6	−2.6	−2.0	−2.2
28	−9.4	−10.0	−8.0	−6.6	−5.8	−6.6	−13.6	−9.6	−10.2	−13.2	−10.4	−13.2	−7.6	−9.4	−10.0	−2.0	−0.2	−0.4
29	−5.6	−8.6	−6.4				−8.2	−7.2	−7.0	−16.6	−14.6	−14.0	−7.2	−5.2	−7.0	0.4	−0.2	−0.2
30	**−5.4**	−6.0	−6.2				−6.0	−4.6	−7.2	−9.2	−6.6	−6.4	−7.6	−10.0	−10.2	−0.6	**2.0**	0.2
31	−8.0	−9.6	−19.4				−8.4	−9.0	−11.4				−12.0	−12.0	−13.8			
Mittel	−14.8	−13.9	−14.6	−15.8	−14.8	−15.2	−12.0	−10.6	−11.8	−10.2	−8.5	−9.5	−6.5	−5.3	−6.4	−5.1	−3.4	−4.3

Tag	Juli			August			September			Oktober			November			Dezember		
	7^{30}	13^{30}	21^{30}	7^{30}	13^{30}	21^{30}	7^{30}	13^{30}	21^{30}	7^{30}	13^{30}	21^{30}	7^{30}	13^{30}	21^{30}	7^{30}	13^{30}	21^{30}
1	0.4	2.2	0.0	−3.0	−5.0	−1.4	3.2	**5.6**	4.6	−5.4	−1.8	−2.4	−9.6	−8.0	−11.0	−6.2	−3.0	−3.4
2	−1.0	0.4	−1.4	−2.4	−1.0	−2.6	2.6	5.0	2.6	−5.0	−3.0	−4.8	−10.8	−9.0	−11.2	**−2.6**	−3.6	−6.2
3	−1.2	0.0	−0.6	−3.0	−3.4	−5.0	0.4	2.0	0.6	−4.2	−2.8	−3.2	−12.0	−11.2	−11.2	−3.0	**−2.6**	−4.6
4	−1.0	1.8	−0.6	−8.0	−6.6	−5.6	2.0	4.0	1.6	−2.4	−0.6	−3.6	−13.0	−8.6	−7.2	−4.8	−3.4	−5.6
5	−0.4	1.4	−0.2	−2.4	−1.8	−0.4	0.0	2.4	2.4	−1.6	−1.6	−4.6	−7.4	−5.6	−7.8	−5.0	−4.6	−5.4
6	0.4	1.8	−0.2	−0.8	−0.2	−0.4	1.8	4.4	2.6	−6.0	−3.0	−8.1	−11.2	−13.6	**−15.4**	−7.0	−6.4	−10.6
7	2.0	2.0	3.4	−2.0	1.2	1.4	3.0	5.4	3.0	−10.8	−8.4	−9.6	−13.5	−10.4	−4.6	−10.8	−11.6	−10.8
8	2.4	3.4	2.6	3.6	**4.6**	2.0	2.0	3.6	2.0	−8.0	−6.0	−6.0	−3.2	−1.6	−2.2	−11.2	−11.2	−10.8
9	1.2	2.4	−0.2	−1.2	2.0	1.0	0.2	0.4	−1.4	−3.4	**0.4**	−0.6	−1.2	**1.2**	−1.0	−10.8	−8.2	−10.0
10	−5.4	−5.0	−6.8	2.1	3.4	2.0	−2.2	−3.0	−6.2	−3.1	−1.0	−3.6	−3.0	−1.4	−2.6	−10.8	−9.4	−9.8
11	**−9.6**	−4.6	−3.0	2.4	3.2	3.0	−10.0	−9.0	**−11.0**	−3.8	−2.4	−5.9	−5.0	−3.2	−5.2	−11.6	−7.2	−8.0
12	−4.6	−2.0	−3.2	2.6	3.8	3.0	−7.0	−5.0	−6.6	−4.6	−2.4	−2.4	−5.2	−1.8	−0.6	−8.0	−7.8	−7.4
13	−4.8	−4.4	−5.4	2.4	4.2	3.2	−3.6	−2.8	−3.0	−0.2	−1.0	−4.1	−0.6	−0.2	−0.2	−8.6	−7.2	−6.8
14	−6.0	−3.0	−4.0	3.0	4.4	1.0	−0.6	0.2	−0.2	−2.4	−2.6	−3.0	−0.6	1.0	−1.2	−6.2	−6.2	−7.8
15	−3.4	−2.0	−1.2	1.2	2.6	1.0	−1.4	−3.4	−5.2	−2.6	−1.8	−3.0	−4.0	−3.2	−4.2	−8.4	−7.4	−8.0
16	0.4	2.0	2.2	0.2	0.4	−1.6	−3.8	−3.2	−2.8	−5.0	−2.2	−3.8	−2.2	−1.2	−3.2	−9.0	−8.4	−8.0
17	2.2	3.0	2.2	0.2	2.4	2.0	−3.2	−2.2	−2.4	−4.4	−2.8	−2.8	−1.2	−1.0	−3.2	−8.6	−6.8	−7.4
18	2.4	3.0	0.0	1.0	1.6	−0.6	−1.4	−0.6	−1.2	−3.8	−3.4	−3.2	−3.4	−2.0	−2.6	−7.6	−6.6	−8.4
19	−4.4	−5.2	−7.0	0.4	1.4	2.0	−1.6	−0.6	−3.2	−3.8	−3.0	−3.0	−5.0	−3.8	−5.8	−8.2	−7.6	−8.4
20	−1.0	2.0	2.6	1.2	3.4	1.8	−2.2	−5.0	−6.6	−3.8	−2.0	−4.0	−5.0	−4.0	−3.0	−11.4	−13.0	−15.8
21	4.6	5.0	4.0	0.2	−0.1	−2.6	0.2	1.2	−3.2	−2.8	−1.0	−1.6	−3.8	−2.2	−4.0	−13.0	−10.0	−8.8
22	3.0	4.8	3.6	−7.2	−7.4	−9.6	−8.4	−7.0	−7.8	−6.8	−5.2	−6.6	−3.0	−1.4	−4.0	−10.4	−16.2	−10.0
23	3.0	1.8	−1.4	**−10.4**	−7.2	−2.4	−3.0	−3.0	−3.0	−6.6	−5.0	−5.6	−4.4	−4.0	−5.0	−11.0	−12.0	−12.8
24	−2.2	5.0	**7.0**	0.0	3.0	0.0	−5.0	−3.2	−4.0	−6.6	−3.8	−4.8	−5.8	−5.0	−4.6	−9.2	−9.0	−10.8
25	5.0	5.2	3.8	−1.4	−0.8	−1.2	−3.2	−2.2	−1.0	−4.0	−3.0	−4.8	−6.4	−7.4	−8.4	−11.8	−11.2	−13.0
26	2.2	4.2	3.2	−4.0	−2.2	−3.0	0.1	−0.8	−0.2	−5.8	−5.2	−6.8	−8.2	−7.2	−10.4	−17.9	−15.6	−16.6
27	1.6	3.2	1.0	−5.4	−4.4	−6.6	−1.4	−0.2	−1.8	−5.4	−4.8	−4.0	−10.6	−8.2	−8.8	−11.6	−11.8	−16.6
28	−0.2	2.2	0.0	−6.6	−4.8	−3.0	−2.2	−3.0	−3.0	−8.6	−8.2	−8.0	−7.4	−7.0	−6.4	−19.4	−19.4	−19.8
29	−1.0	1.2	−0.4	−3.4	−3.0	−1.6	−3.4	−2.4	−3.8	−8.6	−10.4	−13.0	−7.4	−4.6	−3.0	−20.8	−20.4	−21.4
30	−1.4	−3.0	−5.2	1.0	3.6	3.0	−4.8	−3.0	−3.8	**−14.8**	−13.8	−12.4	−4.8	−4.4	−5.8	**−25.2**	*−25.0	−23.0
31	−7.6	−2.2	−1.2	1.8	3.2	4.0				−9.4	−8.0	−9.6				−22.4	−19.4	−19.6
Mittel	−0.8	0.9	−0.2	−1.2	0.0	−0.6	−1.8	−0.8	−2.1	−5.3	−3.9	−5.1	−6.0	−4.6	−5.5	−10.7	−10.1	−10.8

1953

Tägliche Maxima und Minima der Lufttemperatur

(Nach den Aufzeichnungen des Thermographen)

Zürich

Tag	Januar		Februar		März		April		Mai		Juni		Juli		August		Septemb.		Oktober		Novemb.		Dezember	
	Max	Min.	Max.	Min	Max	Min.	Max.	Min.	Max	Min.	Max.	Mín.	Max.	Min.	Max.	Min.	Max.	Min.	Max.	Min	Max.	Min.	Max	Min
1	-2.1	-3.9	0.4	-3.4	8.5	-1.4	14.7	5.3	23.0	4.8	14.8	5.7	24.0	15.0	21.4	13.8	**29.7**	14.4	14.4	9.6	12.7	1.3	**14.9**	4.5
2	-1.2	-2.7	0.3	-2.4	6.3	-2.7	18.6	7.6	22.2	8.7	10.4	**3.5**	26.0	15.0	22.3	13.0	29.4	15.2	19.2	10.1	8.2	3.4	8.7	0.9
3	-1.9	-4.1	2.9	-2.9	10.3	-3.1	22.4	7.7	23.6	9.4	14.7	4.9	23.8	15.5	20.0	11.8	25.5	15.7	20.4	7.8	5.5	2.5	7.7	-1.2
4	-2.0	-4.0	2.2	-4.2	12.9	-1.3	**23.9**	3.7	23.5	9.3	18.4	4.7	25.4	16.0	22.4	9.4	24.3	13.4	17.8	12.4	9.2	-0.2	12.7	1.2
5	-0.5	-2.8	0.9	-4.1	10.1	1.7	13.8	2.9	21.7	9.8	21.9	5.1	21.4	16.3	24.3	10.2	24.6	11.5	13.3	6.5	10.9	5.7	11.9	3.7
6	-2.8	-4.2	0.2	-2.8	9.0	1.0	15.4	4.4	16.3	9.4	24.4	9.5	25.8	15.9	19.7	14.6	23.1	9.7	13.4	4.7	8.3	4.5	4.2	0.4
7	-0.1	-4.3	-1.1	-9.5	11.6	-1.6	12.9	4.5	11.8	2.7	25.1	12.3	26.6	17.1	23.1	12.7	23.6	9.4	13.5	3.1	9.0	0.8	1.9	0.3
8	-2.8	-4.0	-1.6	**-12.8**	4.4	-2.4	16.1	1.9	14.9	0.7	24.7	13.8	**25.8**	16.9	24.9	**9.2**	27.4	9.8	15.3	3.8	5.4	-0.4	1.6	-0.5
9	-1.1	-3.0	4.7	-7.5	5.8	**-4.7**	18.8	6.9	11.3	3.2	24.1	13.0	19.9	13.4	23.2	11.5	28.0	15.1	13.4	2.5	10.3	1.4	4.9	-0.3
10	-0.9	-2.8	4.0	-0.1	9.5	-3.6	6.8	4.3	9.6	0.5	13.3	10.6	18.7	9.8	26.8	11.3	19.3	8.8	12.5	**1.6**	10.3	-1.4	5.7	1.-
11	4.2	-7.0	6.6	-0.8	4.2	-1.2	14.2	4.5	16.2	**-1.4**	12.5	10.5	20.5	10.1	29.3	14.7	16.0	8.0	12.7	3.5	3.2	-0.6	9.9	3.1
12	-2.7	**-9.6**	1.6	-1.5	7.0	-0.6	20.8	4.0	15.7	3.1	19.4	10.5	22.6	**9.5**	30.6	15.3	18.7	8.6	12.3	3.9	3.6	1.2	4.3	1.6
13	-2.0	-6.4	5.3	-3.4	6.6	-1.7	15.1	4.5	20.6	4.7	23.1	10.6	19.9	12.3	**31.4**	17.3	20.4	9.4	19.2	5.5	7.2	-0.5	2.1	-0.2
14	-5.0	-6.4	4.3	-2.8	6.0	-1.5	4.4	1.7	14.7	8.1	15.4	11.9	22.4	11.7	30.5	18.7	20.5	5.2	**21.6**	9.6	4.9	**-2.0**	1.9	-0.9
15	-4.9	-6.9	-2.8	-5.1	10.1	-3.9	4.7	**-0.1**	22.9	8.6	22.5	11.6	22.1	13.3	27.8	17.3	23.6	6.7	17.2	10.8	4.2	-1.4	0.6	-1.4
16	1.5	-7.3	-2.8	-7.1	14.1	-0.3	6.1	**-0.1**	28.9	10.2	20.4	10.6	26.3	12.1	20.8	15.3	21.1	11.5	12.2	10.0	10.5	-1.8	0.0	-1.0
17	0.9	-8.7	0.4	-8.6	15.2	0.0	13.3	3.1	28.0	12.7	22.9	11.0	28.6	14.7	24.2	14.3	20.4	12.5	19.1	10.3	5.6	2.7	0.6	-0.3
18	-2.4	-4.6	-0.4	-7.7	16.7	1.2	18.2	2.1	**30.8**	12.7	14.9	9.9	26.0	13.7	24.7	12.7	22.8	13.4	14.5	11.6	10.6	2.1	0.4	-1.0
19	1.7	-4.9	6.0	-0.2	16.6	2.3	19.8	4.2	28.7	14.6	22.4	9.2	21.0	11.7	26.7	14.3	20.2	12.3	18.7	12.2	4.5	0.6	4.8	-1.2
20	4.2	-4.4	**10.6**	1.4	17.4	1.6	21.3	6.0	28.1	15.3	26.0	10.5	25.8	11.3	26.7	13.6	16.0	9.6	14.8	12.5	1.8	0.3	4.2	1.2
21	0.9	-6.7	9.8	-1.8	17.6	2.3	20.5	6.3	29.4	13.7	25.0	13.1	29.3	12.6	20.6	13.1	20.2	8.0	15.9	9.9	1.5	0.3	2.0	-0.1
22	-4.2	-7.6	10.4	-1.0	17.4	2.6	21.4	4.9	28.0	14.3	24.8	14.6	**31.3**	16.9	17.6	10.0	18.1	9.9	**18.1**	9.3	0.9	-0.2	0.9	-1.3
23	-2.5	-9.5	8.7	-1.7	17.4	3.5	22.8	6.7	25.4	13.0	22.2	14.1	20.6	13.9	20.8	10.0	20.1	8.5	16.4	6.3	0.4	-0.9	2.7	-0.6
24	-2.5	-6.2	5.4	0.5	18.4	3.6	21.4	8.3	27.1	11.4	21.5	12.3	24.1	12.0	25.7	9.6	16.4	9.6	16.6	6.2	-0.3	-1.2	4.2	1.1
25	1.1	-6.4	5.4	-1.1	18.4	3.6	18.7	7.3	29.7	13.5	13.3	11.5	29.5	12.5	20.5	13.2	16.3	10.2	11.3	8.9	0.6	-1.2	6.1	1.3
26	3.8	-4.2	2.3	-3.1	18.2	4.2	22.2	7.0	**30.8**	15.1	15.4	11.9	31.2	18.1	21.8	12.1	16.0	11.6	11.1	7.8	3.6	-1.1	2.8	-1.2
27	0.6	-6.0	4.7	-3.5	14.4	6.1	16.0	8.4	23.8	13.3	20.2	12.6	22.0	15.1	20.1	10.6	22.7	13.3	10.2	6.9	6.0	-0.6	2.6	-0.8
28	0.3	-3.2	9.2	-4.3	13.4	5.4	16.2	6.4	12.5	7.6	25.5	14.3	26.1	13.7	21.6	9.8	20.4	10.1	17.6	7.7	11.5	0.1	2.0	-0.1
29	7.4	1.7			18.3	4.2	13.3	3.7	17.3	5.2	25.0	13.9	25.7	15.3	24.4	9.8	11.3	8.9	8.9	4.1	12.3	2.1	1.1	-0.4
30	**7.8**	-1.8			**21.2**	9.2	19.5	3.7	12.9	6.1	**27.1**	16.1	21.7	11.6	27.5	13.2	15.7	8.8	11.0	3.7	**12.9**	2.0	2.0	-4.6
31	7.5	-3.4			14.5	5.5			12.1	6.1			21.1	11.0	28.2	14.6			11.6	2.2			2.0	**-6.6**
Mittl. Max	0.20		3.49		12.66		16.44		21.34		20.38		24.36		24.18		21.06		14.97		6.51		4.11	
Mittl. Min.	-5.01		-3.63		0.90		4.73		8.59		10.79		13.68		12.81		10.64		7.26		0.58		-0.14	
Differenz	5.21		7.12		11.76		11.71		12.75		9.59		10.68		11.37		10.42		7.71		5.93		4.25	
Abs Max.	7.8		10.6		21.2		23.9		30.8		27.1		31.3		31.4		29.7		21.6		12.9		14.9	
Abs. Min.	-9.6		-12.8		-4.7		-0.1		-1.4		3.5		9.5		9.2		5.2		1.6		-2.0		-6.6	
Differenz	17.4		23.4		25.9		24.0		32.2		23.6		21.8		22.2		24.5		20.0		14.9		21.5	

Stündliche Monatsmittel der Lufttemperatur

	Januar	Februar	März	April	Mai	Juni	Juli	August	Septemb.	Oktober	Novemb.	Dezemb.	Jahr
1^{30}	-3.67	-1.90	3.08	6.83	10.91	12.23	15.23	14.74	12.51	8.92	1.86	1.52	6.86
2^{30}	-3.79	-1.96	2.77	6.43	10.47	11.91	14.93	14.32	12.37	8.73	1.71	1.41	6.61
3^{30}	-3.86	-2.05	2.48	6.09	9.95	11.74	14.65	14.02	12.14	8.44	1.69	1.29	6.38
4^{30}	-3.91	-2.14	2.08	5.76	9.69	11.51	14.51	13.64	11.79	8.23	1.67	1.24	6.17
5^{30}	-4.00	-2.40	1.87	5.59	9.61	11.57	14.56	13.29	11.63	8.20	1.50	1.09	6.04
6^{30}	-4.12	-2.51	1.59	5.90	10.26	12.07	14.99	13.57	11.48	8.04	1.35	0.92	6.13
7^{30}	-3.99	-2.45	2.02	6.95	11.81	13.17	16.27	14.80	12.27	8.30	1.40	0.81	6.78
8^{30}	-4.05	-2.39	3.35	8.53	13.92	14.30	17.74	16.35	13.79	8.95	1.54	0.71	7.73
9^{30}	-3.63	-1.62	5.02	10.16	15.36	15.35	19.04	18.03	15.42	9.88	2.23	1.10	8.86
10^{30}	-2.91	-0.57	6.62	11.14	16.38	16.15	19.84	19.31	16.53	11.07	3.14	1.78	9.87
11^{30}	-1.77	0.44	7.98	12.57	17.28	17.02	20.84	20.57	17.52	12.16	3.81	2.51	10.91
12^{30}	-1.19	1.37	9.35	13.46	18.37	17.64	22.05	21.54	18.62	13.20	4.67	3.00	11.84
13^{30}	-0.91	1.84	10.54	13.81	18.83	18.19	22.08	22.10	19.05	13.63	5.45	3.25	12.32
14^{30}	-0.93	2.29	11.31	14.95	19.21	18.49	22.31	22.85	19.61	14.03	5.76	3.37	12.77
15^{30}	-1.35	2.05	11.46	14.69	19.10	18.42	22.27	22.61	19.57	13.78	5.55	2.97	12.59
16^{30}	-1.90	1.59	11.19	14.38	18.93	18.30	21.85	22.61	19.13	13.01	4.62	2.35	12.17
17^{30}	-2.52	0.63	10.18	13.54	18.31	17.59	20.91	22.02	18.04	11.49	3.46	2.06	11.31
18^{30}	-2.61	-0.13	7.88	11.96	16.99	16.77	20.08	20.39	16.27	10.53	3.24	1.89	10.27
19^{30}	-2.97	-0.58	6.72	10.16	15.01	15.67	18.41	17.78	14.67	10.04	2.94	1.71	9.13
20^{30}	-3.17	-0.88	5.88	9.46	13.95	14.29	17.21	16.88	14.16	9.77	2.80	1.55	8.49
21^{30}	-3.15	-1.05	5.16	8.88	13.43	14.01	16.64	16.61	13.67	9.63	2.62	1.41	8.16
22^{30}	-3.27	-1.31	4.49	8.31	12.52	13.56	16.10	16.02	13.29	9.31	2.47	1.24	7.73
23^{30}	-3.39	-1.48	4.02	7.74	11.94	13.01	15.64	15.48	12.95	9.08	2.37	1.18	7.38
0^{30}	-3.54	-1.64	3.64	7.40	11.45	12.70	15.43	15.04	12.67	8.88	2.24	1.05	7.11
Mittel	-2.94	-0.70	5.86	9.78	14.32	14.82	18.06	17.69	14.96	10.30	2.92	1.73	8.90

1953 **Tägliche Maxima und Minima der Lufttemperatur** Säntis

(Nach den Aufzeichnungen des Thermographen)

Tag	Januar		Februar		März		April		Mai		Juni		Juli		August		Septemb.		Oktober		November		Dezember	
	Max.	Min.	Max.	Min.	Max.	Min.	Max.	Min.	Max.	Min.	Max.	Min.	Max.	Min.	Max.	Min.	Max.	Min.	Max.	Min.	Max.	Min.	Max.	Min.
1	-7.8	-10.8	-14.8	-16.0	-4.8	-10.0	-1.9	-5.2	4.2	-1.4	-4.1	-5.9	10.0	5.3	4.5	3.1	13.6	6.9	8.4	4.3	-1.9	-4.7	1.8	-2.5
2	-9.6	-14.9	-13.6	-15.7	-2.7	-4.2	0.9	-3.1	4.8	0.1	-5.4	**-8.3**	8.2	5.0	4.2	1.8	**14.8**	8.9	**9.0**	4.0	-2.5	-4.4	4.8	0.8
3	-11.5	-14.9	-14.8	-17.2	-3.0	-4.9	3.0	-0.9	4.4	1.8	-2.8	**-8.3**	8.2	4.9	2.3	0.0	11.3	6.3	7.2	3.7	-4.7	-8.0	**6.1**	0.9
4	-10.6	-13.0	-10.1	-15.6	-1.0	-6.0	3.3	-1.6	2.1	-0.8	-0.6	-7.1	9.0	5.0	1.9	-0.2	10.6	4.8	4.0	1.2	-2.4	-6.9	3.4	0.3
5	-9.2	-15.0	-14.8	-17.2	-0.8	-7.8	-3.0	-6.9	1.6	-2.9	2.7	-3.0	10.0	5.1	9.5	0.8	9.4	4.6	1.9	-0.7	2.2	-4.9	4.9	0.9
6	-8.9	-15.0	-15.4	-16.8	-0.7	-3.7	-0.9	-7.0	-1.8	-4.0	6.4	-0.9	9.3	4.9	5.7	3.9	10.3	6.8	4.0	-4.3	-2.5	-8.5	3.1	0.9
7	-10.7	-12.9	-15.9	-21.9	-2.9	-13.2	-4.9	-8.2	-4.0	-10.1	10.4	3.0	12.6	6.6	6.2	2.5	11.3	8.5	-4.0	-6.2	-1.3	**-10.0**	1.0	-1.9
8	-10.9	-15.7	-18.9	**-24.0**	-13.0	**-17.4**	0.0	-6.9	-4.0	-10.1	7.3	4.2	13.3	7.8	11.5	5.2	10.9	7.2	-3.8	-7.2	3.0	-2.0	-0.7	-3.2
9	-14.4	-16.2	-10.0	-20.3	-7.1	-16.1	2.3	-4.8	-6.4	-8.9	9.4	1.4	7.9	1.0	10.2	7.3	7 3	5.7	1.3	-5.0	4.2	0.2	0.4	-3.1
10	-12.1	-15.0	-9.3	-11.8	-7.1	-12.7	-4.0	-6.0	-5.9	**-11.4**	1.9	-0.3	2.2	-1.4	13.4	7.5	6.2	-3.0	3.9	0.1	1.0	-2.4	-2.1	-4.0
11	-13.8	-15.9	-10.8	-13.6	-11.0	-13.4	-2.0	-5.2	-3.5	-9.0	1.8	-0.1	1.9	**-2.3**	14.4	8.3	-2.1	**-4.0**	6.7	2.8	1.8	-1.7	-2.2	-4.2
12	-13.8	-15.8	-12.8	-14.9	-9.0	-13.9	3.0	-2.2	-4.0	-6.7	5.9	1.0	7.4	0.8	**15.0**	9.7	0.2	**-4.0**	7.0	2.8	3.6	-1.2	1.0	-2.8
13	-9.4	**-17.0**	-11.3	-15.3	-12.3	-14.7	-0.8	-4.9	0.5	-5.2	4.7	0.6	2.8	-0.2	13.7	9.3	0.9	-1.3	7.9	3.7	2.0	-0.2	0.4	-3.3
14	-10.6	-13.2	-11.2	-14.9	-10.6	-13.8	-2.4	-9.9	3.2	-2.9	3.6	1.2	5.9	-0.3	14.0	9.2	8.3	0.1	7.6	4.1	**5.0**	0.0	3.6	-1.6
15	-7.4	-14.2	-11.8	-14.2	-6.0	-11.1	-9.2	**-11.2**	2.5	-2.6	7.4	0.6	6.6	1.4	13.7	8.4	7.4	3.8	8.1	3.1	3.0	-0.4	1.8	-1.1
16	-7.9	-9.8	-10.2	-12.9	-2.2	-5.7	-6.0	-10.8	8.6	2.2	5.6	0.2	10.2	1.7	8.2	5.0	7.4	3.7	4.8	1.8	2.2	0.0	1.7	-2.0
17	-8.0	-10.6	-7.3	-12.4	0.2	-3.7	-5.3	-7.8	10.2	5.8	9.4	2.6	13.6	7.6	10.1	4.2	8.9	3.0	7.2	1.8	4.5	-0.7	-0.4	-2.9
18	-8.1	-11.1	-5.1	-8.6	-1.6	-4.8	0.1	-5.2	13.1	6.5	4.2	-1.2	13.2	3.2	8.3	4.8	9.4	4.2	6.5	2.0	2.3	-1.2	-0.3	-3.8
19	-8.9	-13.2	-2.3	-8.1	-2.8	-5.2	1.0	-3.3	**13.9**	7.2	6.2	-1.1	3.0	0.1	10.4	3.2	8.0	1.8	8.0	4.9	2.3	-1.0	-1.2	-4.6
20	-9.0	-13.1	-4.2	-8.2	-0.7	-4.9	2.2	-2.2	9.8	5.6	10.4	3.2	8.7	1.0	12.8	6.0	5.5	-2.6	7.8	4.3	2.9	-1.0	-4.1	-8.7
21	-6.1	-9.8	-4.3	-8.0	-0.9	-3.9	2.7	-0.9	8.9	5.2	7.5	4.7	14.9	7.9	10.2	0.2	6.3	-2.9	6.3	2.7	3.0	0.1	-4.9	-9.3
22	-5.4	-8.7	0.2	-6.3	0.0	-3.9	**5.2**	-0.1	9.4	3.9	5.5	3.2	15.2	9.3	-0.2	-1.9	-0.2	-3.2	5.5	1.8	3.7	0.8	-5.0	-10.0
23	-7.2	-9.0	3.6	-0.5	-0.6	-4.0	4.4	-0.8	6.0	2.6	8.7	4.0	12.6	2.6	2.5	**-2.2**	5.6	-0.9	3.8	0.5	3.4	0.7	-6.9	-9.8
24	-7.4	-9.9	2.6	-1.4	-0.9	-3.8	2.3	-2.0	8.5	3.2	5.0	0.3	9.4	1.7	10.9	2.3	4.2	-1.9	4.3	-0.4	2.4	-1.2	-5.2	-8.7
25	-7.2	-11.8	2.3	-1.1	-0.2	-3.1	-0.1	-3.0	11.4	7.3	1.4	0.1	14.4	9.4	5.3	2.9	5.0	2.0	2.7	0.2	-1.1	-3.6	-5.5	-8.7
26	-10.3	-14.5	**5.7**	-0.5	1.0	-4.2	4.2	-1.7	11.1	4.8	3.7	1.3	**15.8**	7.6	6.3	1.4	8.0	4.0	2.7	0.4	0.2	-3.8	-8.3	-13.0
27	-7.4	-10.0	2.8	-2.9	-1.5	-5.6	2.7	-4.0	4.8	0.7	4.2	3.0	9.5	4.0	1.3	0.3	10.9	7.0	4.0	0.8	-1.0	-4.4	-8.4	-12.6
28	-2.0	-8.0	-1.7	-4.8	-2.1	-6.0	-3.2	-6.1	0.8	-4.6	7.9	4.0	11.2	2.7	3.7	-0.8	9.4	0.4	3.1	-0.8	1.6	-2.1	-11.5	-13.1
29	-2.2	-3.9			-0.1	-5.0	-5.6	-8.8	0.8	-4.4	11.6	7.2	10.1	4.7	6.6	1.7	4.6	-0.6	-1.1	-6.1	2.1	-1.4	-11.3	-14.8
30	**-0.4**	-3.3			**3.5**	-1.2	-0.2	-6.9	-2.3	-6.3	**12.0**	6.6	5.2	-1.7	11.3	4.2	7.4	-0.7	-5.8	**-7.7**	2.6	-2.2	-15.0	-18.9
31	-2.9	-15.2			-0.4	-4.9			-3.2	-6.3			4.6	-1.0	10.6	7.1			-0.8	-6.9			-18.2	**-20.7**
Mittl. Max	-8.42		-7.62		-3.27		-0.41		3.40		5.10		9.25		8.34		7.36		4.14		1.39		-2.49	
Mittl. Min.	-12.30		-11.61		-7.51		-4.92		-1.31		0.54		3.40		3.72		2.15		0.18		-2.54		-5.98	
Differenz	3.88		3.99		4.24		4.51		4.71		4.56		5.85		4.62		5.21		3.96		3.93		3.49	
Abs. Max	-0.4		5.7		3.5		5.2		13.9		12.0		15.8		15.0		14.8		9.0		5.0		6.1	
Abs. Min.	-17.0		-24.0		-17.4		-11.2		-11.4		-8.3		-2.3		-2.2		-4.0		-7.7		-10.0		-20.7	
Differenz	16.6		29.7		20.9		16.4		25.3		20.3		18.1		17.2		18.8		16.7		15.0		26.8	

Stündliche Monatsmittel der Lufttemperatur

	Januar	Februar	März	April	Mai	Juni	Juli	August	Sept.	Okt.	Nov.	Dez.	Jahr
1^{30}	-10.33	-10.40	-6.02	-3.72	0.12	1.43	5.06	4.73	3.72	1.49	-1.30	-4.64	-1.66
2^{30}	-10.41	-10.47	-6.12	-3.84	0.09	1.39	4.92	4.74	3.59	1.39	-1.32	-4.70	-1.73
3^{30}	-10.51	-10.43	-6.11	-3.97	0.13	1.33	4.76	4.74	3.50	1.42	-1.34	-4.74	-1.77
4^{30}	-10.57	-10.39	-6.23	-4.04	0.23	1.35	4.66	4.65	3.44	1.41	-1.30	-4.87	-1.81
5^{30}	-10.65	-10.28	-6.23	-3.94	0.54	1.48	4.79	4.76	3.29	1.32	-1.43	-5.05	-1.78
6^{30}	-10.74	-10.24	-6.08	-3.65	0.98	1.92	5.10	4.99	3.39	1.30	-1.50	-5.10	-1.64
7^{30}	-10.69	-10.06	-5.85	-3.19	1.19	2.31	5.59	5.30	3.60	1.40	-1.41	-5.08	-1.41
8^{30}	-10.48	-9.74	-5.47	-2.67	1.50	2.62	6.13	5.81	4.32	1.97	-1.04	-4.87	-0.99
9^{30}	-10.10	-9.21	-5.05	-2.17	1.69	3.13	6.73	6.34	5.06	2.56	-0.45	-4.36	-0.49
10^{30}	-9.80	-8.68	-4.57	-1.67	1.95	3.54	7.38	6.77	5.58	3.08	0.21	-3.75	0.00
11^{30}	-9.49	-8.36	-4.50	-1.40	2.19	3.88	7.81	7.11	6.10	3.45	0.48	-3.54	0.31
12^{30}	-9.44	-8.31	-4.35	-1.29	2.28	4.17	8.20	7.43	6.38	3.65	0.63	-3.30	0.50
13^{30}	-9.36	-8.11	-4.30	-1.09	2.39	4.30	8.65	7.57	6.67	3.79	0.76	-3.15	0.68
14^{30}	-9.44	-8.16	-4.29	-0.98	2.41	4.29	8.40	7.62	6.74	3.64	0.50	-3.32	0.62
15^{30}	-9.74	-8.60	-4.52	-1.09	2.28	4.25	8.11	7.51	6.49	3.20	0.11	-3.73	0.36
16^{30}	-9.86	-8.98	-4.72	-1.39	1.96	3.98	7.64	7.35	6.10	2.77	-0.26	-4.16	0.04
17^{30}	-10.03	-9.32	-4.96	-1.86	1.58	3.63	6.89	6.95	5.64	2.29	-0.72	-4.46	-0.36
18^{30}	-10.15	-9.49	-5.40	-2.30	1.14	3.10	6.38	6.31	5.13	1.94	-0.94	-4.62	-0.74
19^{30}	-10.23	-9.62	-5.75	-2.76	0.67	2.63	6.06	5.77	4.55	1.70	-1.06	-4.73	-1.06
20^{30}	-10.30	-9.94	-6.06	-3.07	0.27	2.25	5.65	5.35	4.21	1.56	-1.14	-4.90	-1.34
21^{30}	-10.36	-10.06	-6.13	-3.36	0.15	1.99	5.44	5.20	4.03	1.37	-1.09	-4.93	-1.48
22^{30}	-10.49	-9.96	-6.05	-3.43	0.10	1.90	5.25	5.12	3.92	1.32	-1.16	-4.96	-1.54
23^{30}	-10.45	-9.99	-6.04	-3.50	0.01	1.84	5.09	5.03	3.82	1.31	-1.16	-5.03	-1.59
0^{30}	-10.56	-10.03	-5.98	-3.53	-0.02	1.84	4.99	4.95	3.72	1.28	-1.23	-5.09	-1.64
Mittel	-10.17	-9.53	-5.45	-2.66	1.08	2.69	6.24	5.92	4.71	2.11	-0.72	-4.46	-0.85

Temperatur-Minima 1953 (Ablesungen an den Minimumthermometern)

Tag	Januar							Februar							März						
	Bern	Neuchâtel	Genève	Basel	Altdorf	Bever	Lugano	Bern	Neuchâtel	Genève	Basel	Altdorf	Bever	Lugano	Bern	Neuchâtel	Genève	Basel	Altdorf	Bever	Lugano
1	-3.9	-3.4	-0.9	-3.6	-0.6	-15.0	0.6	-2.6	-3.0	-0.2	-0.3	-0.1	-12.9	0.2	-1.4	1.5	-1.5	-1.6	-2.9	-8.1	1.2
2	-3.1	-3.1	-0.0	-2.2	-1.0	-18.6	-2.2	-2.6	-2.3	-0.8	-1.0	0.0	-9.5	-0.6	-2.7	-2.0	-1.8	-2.2	-2.8	-16.7	-0.2
3	-3.5	-2.8	-1.3	-2.7	-1.2	-15.0	-0.4	-3.0	-4.0	-2.0	-1.7	-1.2	-15.0	2.2	-2.8	-2.9	-2.2	-2.5	-2.8	-16.5	-0.6
4	-3.5	-3.1	-2.0	-3.3	-1.4	-21.5	-0.8	-5.8	-4.0	-4.5	-1.4	-5.9	-23.9	-2.0	-2.5	-2.0	-1.8	-1.5	-1.7	-13.0	1.2
5	-2.0	-1.8	-0.6	-2.6	-2.4	-24.2	-3.6	-7.1	-6.6	-7.0	-2.6	-6.5	-23.2	-3.6	0.3	-0.4	0.0	-0.1	0.9	-4.5	5.6
6	-3.7	-3.9	-2.3	-3.3	-3.4	-18.8	-0.2	-2.9	-2.8	-3.3	-0.4	-2.2	-18.5	-3.8	2.0	3.0	4.6	-1.2	1.0	-12.5	2.4
7	-3.8	-4.3	-3.5	-3.5	-2.2	-19.0	-1.2	-8.4	-8.3	-4.3	-6.8	-5.0	-25.0	-2.8	-0.8	-1.1	0.0	-1.1	-0.3	-12.7	0.2
8	-3.9	-4.0	-1.4	-4.0	-1.8	-19.7	-1.2	**-12.8**	**-11.9**	-7.8	**-12.8**	**-6.7**	-21.9	-1.8	-1.5	-0.2	2.0	-1.4	-0.5	-8.6	4.4
9	-4.3	-3.5	-1.0	-3.4	-3.3	-24.9	-3.2	-9.0	-7.1	-5.2	-9.5	-5.9	**-25.1**	**-6.2**	-3.1	-2.2	-0.5	**-5.1**	-2.8	**-21.0**	**-2.4**
10	-4.3	-3.0	-2.0	-2.5	-2.8	-13.5	-2.2	0.7	-0.3	1.8	2.8	-0.4	-15.6	-5.6	-2.4	-1.0	0.5	-4.0	**-3.1**	-18.4	-2.2
11	-7.1	-4.0	-1.8	-8.0	-2.4	-19.0	-1.2	-0.1	-0.4	0.6	0.8	-1.3	-16.4	-4.2	-0.9	-0.6	0.2	-1.8	0.5	-15.1	1.6
12	**-10.5**	-6.8	-4.3	**-12.6**	-6.6	-21.5	-3.8	-0.7	-0.9	-0.4	0.3	-0.1	-18.1	-3.6	-3.0	-1.5	0.6	0.2	-1.7	-17.7	-1.4
13	**-10.5**	-7.1	-4.7	-10.1	-5.0	-24.4	-4.8	-2.3	-1.8	-2.3	-0.5	-2.7	-22.4	-3.0	-1.0	-0.2	2.7	-1.6	-1.5	-15.1	0.2
14	-8.7	-5.8	-5.3	-12.0	-5.5	-23.9	-5.8	-3.7	-2.8	-2.4	-1.4	-4.2	-23.7	-0.4	-1.2	0.4	2.3	1.0	0.9	-14.8	-1.0
15	-7.4	-6.1	-4.7	-8.9	-6.1	-25.8	**-6.4**	-4.6	-4.7	-1.4	-3.6	-4.9	-24.4	-2.8	**-4.3**	**-3.7**	-2.0	-3.2	1.1	-15.0	-0.8
16	-8.6	-7.4	-6.3	-10.1	**-7.0**	-21.7	-4.6	-5.0	-5.1	-3.2	-3.6	-3.1	-17.9	-3.4	-2.3	-2.3	-1.3	-1.3	4.9	-13.1	-1.2
17	-10.3	**-8.1**	**-6.4**	-9.4	-6.6	-21.6	-5.0	-8.2	-8.0	-5.4	-8.6	-5.0	-23.5	-3.6	-0.5	0.0	1.7	-0.8	1.4	-11.5	-0.4
18	-7.9	-4.8	-5.0	-7.4	-4.5	-21.5	-4.8	-9.7	-8.5	**-8.0**	-6.0	-5.6	-18.6	-3.2	-0.4	-1.0	0.7	-0.9	3.1	-11.1	0.2
19	-7.6	-5.0	-2.2	-2.4	-3.1	-19.6	-4.6	-1.2	-0.8	-1.0	0.8	-2.0	-12.6	-0.8	0.3	0.1	2.0	-0.3	2.7	-12.8	0.4
20	-7.3	-2.2	-4.2	-2.2	-3.0	-16.5	-2.4	1.0	-0.5	1.2	2.0	-0.2	-15.5	-0.4	0.4	0.4	1.2	-0.1	1.9	-12.8	0.6
21	-7.8	-6.5	-1.8	-6.7	-4.9	-21.5	-1.0	-2.0	-0.4	0.7	-1.3	0.4	-16.1	-0.2	0.2	0.8	2.2	1.5	1.7	-12.2	1.2
22	-7.8	-7.9	-5.8	-7.9	-3.4	-19.2	-4.6	-2.8	-3.4	-2.6	-2.2	-1.1	-14.8	-1.2	0.7	1.1	1.7	0.6	2.0	-10.6	2.0
23	-8.9	**-8.1**	-6.3	-7.8	-4.8	-18.7	-4.2	-2.8	-2.4	-2.0	-1.0	-2.1	-11.5	-0.2	1.5	1.7	2.3	2.5	3.1	-10.4	2.2
24	-7.8	-6.0	-4.0	-4.3	-5.4	-20.9	-0.4	-2.7	-1.5	-2.0	1.8	-1.9	-12.1	0.2	1.6	2.0	2.9	3.0	3.5	-9.9	2.4
25	-6.8	-4.7	-5.5	-5.1	-6.2	-19.9	-1.8	-1.6	-0.4	1.2	0.6	-0.4	-14.5	0.4	1.2	1.7	3.0	-0.8	3.4	-9.1	3.4
26	-3.8	-2.2	0.3	-0.2	-0.1	-16.1	-3.0	-3.4	-2.6	-1.5	-1.6	-2.5	-14.4	1.8	2.2	1.9	4.7	2.1	4.0	-9.0	2.8
27	-8.8	-6.9	-1.7	-4.7	**-7.0**	-22.6	-2.8	-3.7	-1.5	-0.7	-1.7	-1.8	-14.2	-0.2	4.4	4.8	7.1	4.3	8.0	-7.9	2.4
28	-4.0	-2.8	-2.6	-2.2	-2.8	--7.8	-2.2	-3.9	-3.1	0.0	-2.6	-1.8	-12.8	0.2	4.6	5.6	4.7	5.0	6.2	-5.4	3.0
29	-1.2	-0.7	-1.7	2.4	-0.9	--5.6	-2.2								1.6	2.4	3.1	4.6	4.1	-7.6	3.6
30	-3.0	-1.7	-3.4	1.7	-2.4	-11.0	-2.0								3.9	6.5	7.3	5.6	5.3	-6.3	3.8
31	-2.8	-1.0	-1.0	-0.9	-2.4	-13.7	-2.4								7.8	8.3	10.5	6.1	9.0	-2.1	7.2
Mittel	-6.0	-4.5	-3.0	-2.5	-3.6	-18.8	-2.7	-4.0	-3.5	-2.2	-2.2	-2.7	-17.6	-1.7	0.1	0.7	1.8	0.2	1.6	-11.7	1.3

Tag	April							Mai							Juni						
	Bern	Neuchâtel	Genève	Basel	Altdorf	Bever	Lugano	Bern	Neuchâtel	Genève	Basel	Altdorf	Bever	Lugano	Bern	Neuchâtel	Genève	Basel	Altdorf	Bever	Lugano
1	6.3	3.8	6.9	3.6	7.9	-5.1	5.2	4.8	4.4	5.7	5.2	6.0	-3.5	6.8	6.7	7.5	8.7	8.0	8.0	-0.6	11.2
2	8.2	7.8	8.3	6.9	8.6	-1.4	8.2	9.4	10.5	9.7	8.2	11.1	1.0	11.2	**3.3**	4.2	6.5	5.0	6.3	-3.6	10.6
3	8.4	7.7	9.8	9.2	9.9	0.0	9.2	7.5	9.1	9.0	6.6	9.5	4.3	9.6	4.7	4.9	5.5	6.7	6.1	**-9.5**	**5.4**
4	4.1	3.9	6.2	4.2	11.7	0.3	9.2	8.4	10.8	9.7	5.6	8.7	-0.5	10.2	3.6	**3.4**	**5.3**	**2.8**	**5.3**	-6.0	5.6
5	2.7	2.4	3.3	1.8	5.5	1.4	9.8	11.4	10.8	13.5	7.5	10.0	4.4	15.0	4.7	5.1	7.0	4.0	6.6	-5.0	6.8
6	3.4	2.8	6.2	4.6	6.8	0.6	7.6	9.1	8.9	10.7	8.0	11.1	3.6	14.2	8.7	10.4	9.8	7.2	9.5	-1.6	9.8
7	3.7	5.0	5.7	4.8	6.5	-0.8	7.0	4.2	6.7	7.6	3.1	5.9	-2.0	11.4	11.3	12.4	14.2	10.2	16.4	3.0	13.4
8	1.7	2.6	4.0	**-0.7**	4.5	-3.7	7.4	0.7	1.5	3.8	-1.9	2.7	-7.1	8.4	13.8	13.8	13.5	14.2	14.7	4.2	13.6
9	6.8	6.2	7.0	8.5	9.3	1.2	8.2	2.0	1.8	4.0	0.2	6.3	-2.2	5.4	11.4	11.2	12.0	13.5	15.6	5.1	12.6
10	4.6	4.9	6.0	6.7	4.4	-0.1	8.2	1.1	5.0	**2.4**	1.5	2.9	-3.1	4.8	10.4	10.6	10.7	11.7	12.6	7.3	13.0
11	4.8	5.5	5.8	6.5	5.6	-0.9	4.6	**-1.0**	**1.1**	2.5	**-2.7**	**1.0**	**-10.6**	**4.2**	10.1	9.9	10.3	12.4	12.0	4.2	11.8
12	2.2	1.8	3.2	4.7	4.3	-4.0	8.6	4.7	5.9	8.7	0.9	5.6	-6.0	6.6	10.5	10.1	11.6	11.5	11.5	3.0	14.0
13	5.0	5.1	5.6	6.2	6.6	-3.4	9.8	4.0	3.4	5.8	1.0	6.0	-1.2	5.8	9.4	8.1	12.0	9.0	12.5	6.0	13.2
14	3.0	3.4	4.3	3.9	3.3	-1.7	6.4	8.8	11.1	12.0	9.0	10.3	2.7	11.4	12.5	11.6	11.2	13.2	13.0	5.7	12.0
15	1.3	2.0	**1.8**	2.7	2.2	-4.6	5.2	6.5	6.0	8.0	8.3	8.3	0.2	8.0	12.0	10.7	12.5	10.7	12.7	4.3	10.6
16	**0.7**	**1.3**	3.2	2.8	**2.0**	**-7.3**	8.4	9.4	8.6	9.8	10.7	11.4	-0.6	10.6	11.8	10.7	12.6	12.8	13.0	7.3	13.2
17	3.8	3.9	5.7	5.2	4.0	-6.5	**4.2**	11.4	11.9	14.0	11.6	12.0	-9.8	12.4	11.2	11.1	13.2	12.0	12.1	5.6	13.4
18	1.1	2.2	3.6	0.9	2.9	-6.5	5.2	11.6	11.8	12.8	10.2	12.4	1.5	13.4	11.2	11.4	12.4	12.1	12.3	6.0	14.2
19	3.7	4.3	5.8	2.3	5.0	-6.0	5.4	12.6	13.1	14.0	12.6	15.7	2.0	15.4	10.2	8.7	10.6	8.4	10.6	6.7	9.8
20	4.5	6.2	6.6	2.6	5.4	-2.6	6.4	13.4	16.0	16.6	13.6	15.6	1.7	14.8	10.0	10.0	10.7	9.3	11.7	4.9	14.2
21	5.6	7.3	7.0	3.7	6.8	-3.0	6.8	13.5	13.2	15.3	13.0	14.1	1.2	13.8	12.7	12.0	14.8	12.5	13.0	3.5	12.6
22	5.7	6.6	8.0	3.0	6.1	-3.5	7.2	13.4	14.4	14.7	13.2	15.5	4.8	15.2	14.0	12.2	16.0	13.5	15.6	7.5	14.0
23	6.7	6.9	8.2	3.6	7.4	-0.2	8.0	12.5	12.0	13.0	12.9	14.0	7.0	14.4	12.3	12.0	13.6	13.6	15.4	5.1	14.6
24	8.2	8.0	10.0	8.3	9.3	0.5	8.6	10.9	13.5	14.8	12.9	11.0	4.4	12.4	12.4	13.0	14.6	13.5	13.7	6.7	15.4
25	7.2	7.3	9.7	7.2	9.6	-2.9	8.4	13.2	13.5	14.8	11.5	14.1	1.5	14.8	12.0	11.0	12.8	12.7	12.5	5.0	12.6
26	5.7	5.8	8.0	3.7	9.0	-3.7	9.2	14.5	14.1	16.5	12.4	15.5	4.0	16.6	12.3	13.1	14.3	13.0	12.1	5.0	12.4
27	8.0	8.7	9.7	7.0	11.4	2.6	9.6	13.3	13.4	14.3	16.2	15.5	8.9	15.8	13.7	14.5	15.7	14.4	13.0	8.5	14.0
28	6.1	7.0	7.3	7.8	8.8	0.6	8.8	7.5	9.8	12.2	6.9	9.5	4.2	18.2	12.5	12.3	14.3	13.5	13.8	7.7	15.2
29	3.5	4.5	6.2	5.3	6.4	-2.0	7.4	6.6	6.2	9.3	3.4	8.6	0.3	13.2	14.8	15.6	17.2	15.1	14.5	5.8	17.4
30	1.9	1.8	2.7	3.1	5.0	-5.5	5.8	7.4	8.2	9.7	8.6	8.7	3.0	13.8	16.2	16.0	17.0	17.1	17.0	9.6	16.2
31								6.5	5.9	8.7	7.8	7.6	0.0	8.4							
Mittel	4.6	4.9	6.2	4.7	6.5	-2.3	7.5	8.4	9.1	10.4	7.8	9.9	0.5	11.5	10.7	10.6	12.0	11.1	12.1	3.7	12.4

Temperatur-Minima 1953

Juli

Tag	Bern	Neuchâtel	Genève	Basel	Altdorf	Bever	Lugano
1	14.8	15.9	17.3	17.8	15.0	5.3	16.0
2	14.2	14.8	15.6	15.4	15.6	7.7	16.0
3	15.7	15.7	16.3	16.1	16.5	9.5	16.0
4	15.7	13.9	16.4	15.2	16.4	9.0	15.2
5	15.3	15.8	17.1	15.7	17.2	10.1	16.2
6	15.3	14.8	17.7	16.1	16.7	8.0	17.0
7	16.0	14.7	17.7	14.5	16.9	8.4	15.0
8	16.6	16.1	17.4	15.0	17.0	7.0	17.0
9	14.8	16.3	17.0	15.7	14.9	8.9	18.6
10	10.0	10.3	15.6	9.9	12.6	5.5	15.8
11	9.0	7.9	9.7	7.6	12.0	4.2	15.0
12	9.0	10.3	12.8	7.7	10.5	0.4	15.6
13	12.8	10.2	14.6	12.6	14.6	5.6	13.4
14	11.7	11.8	12.8	11.5	13.0	1.4	13.2
15	12.9	14.1	14.9	13.7	15.0	3.9	15.0
16	9.9	9.5	11.5	10.5	14.8	2.5	14.6
17	13.1	13.1	14.7	14.9	16.5	6.5	17.2
18	14.6	14.2	16.3	15.2	15.7	9.7	18.6
19	12.6	12.4	13.8	10.9	14.2	7.2	15.4
20	10.0	10.1	11.1	9.7	11.4	-0.5	13.2
21	12.1	11.7	12.7	11.2	12.5	2.5	14.6
22	15.0	14.9	17.2	15.5	16.3	4.5	15.2
23	13.2	13.5	16.1	13.0	15.8	12.0	17.8
24	10.4	10.0	11.6	10.1	14.0	8.0	15.6
25	12.7	11.8	12.5	9.7	13.4	5.0	17.6
26	16.9	18.6	19.6	17.6	16.5	7.2	18.2
27	15.2	17.5	19.2	18.0	18.0	8.6	19.6
28	12.4	12.5	14.1	12.5	16.6	4.4	18.0
29	15.2	15.6	17.2	14.7	16.5	8.5	16.0
30	13.4	14.4	16.5	13.9	14.3	6.2	16.0
31	11.5	11.3	11.3	11.7	13.1	5.1	15.6
Mittel	13.3	13.3	15.1	13.3	14.9	6.2	16.1

August

Tag	Bern	Neuchâtel	Genève	Basel	Altdorf	Bever	Lugano
1	14.3	13.6	16.2	15.0	15.0	8.0	15.6
2	14.0	11.1	15.5	12.3	14.9	7.5	17.2
3	12.4	11.0	12.0	12.8	13.9	7.4	15.8
4	10.1	9.0	12.8	7.9	13.4	3.2	13.8
5	9.6	8.6	12.3	9.5	10.5	0.4	13.0
6	15.3	15.4	14.7	16.3	15.5	12.0	14.8
7	15.4	14.5	15.3	13.2	14.9	8.2	17.2
8	10.0	10.8	14.3	7.3	11.0	0.2	19.2
9	13.4	13.5	15.6	12.2	14.0	6.6	17.2
10	12.3	11.6	14.3	9.0	13.0	8.2	15.2
11	14.2	13.1	16.0	12.7	15.0	7.0	16.2
12	15.9	14.2	17.6	13.2	16.0	10.4	17.4
13	17.1	15.8	18.2	14.7	17.1	11.0	19.6
14	17.6	17.0	19.0	18.4	18.0	5.8	20.0
15	15.1	14.3	16.6	17.2	16.7	11.6	17.6
16	16.3	15.4	17.8	16.7	16.9	9.2	18.4
17	14.3	13.6	14.2	13.7	15.9	8.0	16.2
18	12.8	11.9	14.0	11.7	14.0	11.3	19.0
19	13.1	11.2	13.6	12.8	15.0	10.7	16.0
20	12.3	11.5	13.3	12.6	14.5	5.3	17.0
21	13.7	11.6	14.5	14.0	15.3	6.2	16.8
22	10.3	10.6	12.4	10.8	11.7	3.8	14.4
23	9.4	9.3	9.8	9.5	11.1	1.1	12.2
24	9.0	8.0	9.6	9.2	9.9	-1.3	11.6
25	14.1	12.8	16.2	13.7	15.0	3.5	13.8
26	12.2	11.7	12.8	12.4	14.3	7.4	15.6
27	10.2	10.4	12.0	11.7	14.0	6.4	14.0
28	9.2	9.0	10.6	7.6	12.0	2.8	11.8
29	8.6	8.0	9.5	8.5	10.4	-1.6	12.2
30	10.7	10.0	11.1	11.6	12.2	1.7	13.6
31	11.8	11.5	13.3	13.0	14.0	3.5	14.4
Mittel	12.7	11.9	14.0	12.3	14.0	6.0	15.7

September

Tag	Bern	Neuchâtel	Genève	Basel	Altdorf	Bever	Lugano
1	13.0	12.2	13.5	12.5	14.4	2.6	14.4
2	13.7	12.9	14.6	14.7	14.6	3.6	17.4
3	14.0	15.3	18.2	14.1	16.5	3.6	16.6
4	14.0	13.0	15.4	9.1	17.3	4.6	16.4
5	12.1	11.7	14.3	9.6	16.7	4.0	15.6
6	11.2	12.4	13.8	7.2	15.0	3.5	20.0
7	9.6	11.1	14.5	7.4	14.5	2.0	16.2
8	11.2	10.2	14.0	10.2	11.5	6.8	11.8
9	13.4	12.7	15.6	13.2	14.0	2.5	13.4
10	11.6	11.5	13.7	11.3	12.6	4.4	16.8
11	8.8	7.4	11.5	8.4	10.6	3.1	14.4
12	7.6	9.3	8.9	8.6	10.1	0.0	9.6
13	9.2	8.3	8.8	9.6	12.6	3.7	11.0
14	5.6	6.9	9.5	2.6	9.9	-5.0	15.6
15	7.4	7.0	9.3	9.0	10.9	5.6	14.2
16	11.5	12.7	15.0	11.4	15.3	6.0	12.6
17	13.2	11.5	14.5	13.0	12.9	4.9	13.8
18	13.5	12.5	16.0	14.3	14.1	5.9	14.2
19	13.7	12.5	14.7	13.2	14.3	7.5	16.2
20	8.9	8.5	11.0	9.0	12.7	3.5	13.2
21	5.9	7.4	8.4	8.0	9.0	-0.7	8.6
22	8.8	9.0	8.4	8.3	10.4	3.5	13.0
23	7.1	6.5	9.7	7.9	8.5	-1.0	13.4
24	8.6	8.6	9.3	10.5	10.9	7.7	14.6
25	11.0	10.0	12.4	11.5	12.1	5.8	14.4
26	11.8	10.5	13.0	12.0	11.3	2.6	12.2
27	12.4	11.2	13.4	13.4	12.0	8.0	13.0
28	11.8	10.7	12.3	11.0	14.1	2.5	14.4
29	9.2	8.3	10.3	9.2	11.4	0.6	12.4
30	9.0	8.6	10.5	8.9	11.2	4.9	13.2

Oktober

Tag	Bern	Neuchâtel	Genève	Basel	Altdorf	Bever	Lugano
1	9.8	9.9	11.0	8.7	11.6	4.6	14.2
2	8.6	7.8	13.2	8.5	11.0	4.1	13.4
3	8.1	9.0	11.2	9.5	9.0	0.4	11.6
4	12.6	11.5	14.1	12.1	12.5	6.5	13.8
5	10.0	9.0	12.0	7.7	11.4	4.3	11.6
6	4.0	4.2	9.2	2.0	9.0	-2.4	8.2
7	3.2	3.6	8.0	3.7	8.5	-5.0	8.8
8	2.7	3.4	7.2	3.5	7.2	-1.0	7.2
9	2.2	4.0	7.0	3.2	3.8	-5.5	5.0
10	1.4	1.2	3.0	-0.1	3.8	-6.5	9.0
11	2.2	2.1	4.0	0.7	4.9	-6.0	5.2
12	2.7	4.7	6.2	2.7	6.0	-4.0	5.8
13	7.1	7.0	9.4	8.2	8.5	-1.8	9.2
14	7.6	8.0	9.3	9.0	15.2	1.6	10.2
15	9.9	10.0	12.4	11.9	14.0	6.0	11.6
16	9.9	8.3	10.2	9.9	11.3	4.5	11.2
17	9.4	9.2	11.6	10.2	10.2	3.0	11.0
18	11.6	11.2	13.4	12.2	11.3	6.0	9.4
19	11.8	10.6	13.0	11.5	12.2	6.0	13.2
20	11.6	10.6	12.7	12.7	12.9	0.3	11.8
21	11.6	10.8	14.0	12.5	10.3	-0.6	10.6
22	6.1	8.9	9.3	8.5	7.3	4.0	12.4
23	6.1	7.4	8.5	7.8	8.1	0.6	11.6
24	6.4	7.7	9.0	9.0	6.8	0.8	10.6
25	8.1	6.7	9.0	8.0	9.2	1.6	12.4
26	8.0	8.0	10.0	7.2	9.3	1.4	11.0
27	7.4	6.4	8.7	5.5	9.1	2.0	10.4
28	9.4	7.1	8.7	9.1	9.0	2.6	10.2
29	5.6	5.1	8.0	7.0	3.4	0.7	7.2
30	3.9	2.8	3.0	3.0	3.1	-5.8	6.4
31	0.8	1.2	1.2	0.9	1.7	-10.2	2.6
Mittel	7.1	7.0	9.3	7.3	8.8	0.4	9.9

November

Tag	Bern	Neuchâtel	Genève	Basel	Altdorf	Bever	Lugano
1	1.4	1.7	1.8	2.6	5.0	-7.6	5.2
2	3.8	4.4	6.0	5.2	6.9	-2.9	8.0
3	2.5	3.5	4.5	5.0	5.9	-0.6	7.4
4	-0.1	-0.6	0.3	-0.3	5.0	-4.0	6.6
5	2.8	3.0	1.5	3.9	4.1	-5.3	4.0
6	4.2	3.3	7.0	5.7	5.4	-4.6	4.6
7	2.2	0.5	4.6	-0.1	2.7	-6.9	5.6
8	-1.3	-0.6	0.4	-0.5	0.3	-9.6	1.6
9	-0.2	0.6	0.8	-1.2	1.4	-8.4	1.8
10	-1.5	0.4	0.0	-0.5	1.4	-7.6	2.0
11	-1.3	-0.1	3.5	1.3	1.5	-8.0	2.4
12	0.3	0.7	3.6	-0.8	1.3	-8.7	2.2
13	-0.3	-0.4	1.8	-4.2	1.7	-7.0	2.0
14	-0.5	-0.5	0.4	-4.5	0.6	-8.3	1.8
15	-1.5	0.6	-0.5	-0.5	1.1	-6.4	2.2
16	-2.0	-2.2	1.6	-0.7	1.1	-6.8	1.8
17	1.1	4.0	0.0	-1.2	2.3	-6.4	2.2
18	1.0	2.1	1.6	-1.1	0.8	-7.5	5.2
19	-0.5	2.0	3.0	1.6	-0.1	-7.1	2.0
20	-0.8	0.3	2.5	2.0	0.7	-7.9	1.2
21	-0.1	0.5	2.0	1.2	1.5	-7.0	0.8
22	-0.7	0.0	1.8	0.0	0.8	-8.0	1.2
23	-1.1	-1.5	1.8	0.5	1.1	-8.0	1.8
24	-1.5	-1.7	1.3	-0.2	1.3	-9.6	2.6
25	-2.0	-1.8	0.4	-3.9	0.8	-10.6	1.6
26	-1.1	-0.5	-0.6	-1.7	0.4	-11.7	-1.2
27	-0.4	0.2	1.3	1.0	1.3	-8.5	-1.4
28	-0.2	-0.9	1.0	1.6	6.4	-7.2	1.2
29	-0.1	-1.5	-0.3	0.5	2.3	-0.6	-0.4
30	-0.1	0.4	0.4	0.7	1.4	-8.7	1.6
31							
Mittel	0.1	0.4	1.8	0.4	2.2	-7.4	2.6

Dezember

Tag	Bern	Neuchâtel	Genève	Basel	Altdorf	Bever	Lugano
1	1.7	1.0	2.4	3.8	2.5	-7.8	3.2
2	0.0	0.6	-0.3	0.9	1.1	-8.5	2.2
3	-0.3	0.1	2.6	0.6	1.8	-7.8	4.0
4	0.6	0.2	3.0	5.0	5.0	-2.0	7.0
5	2.0	0.9	2.2	3.9	4.2	-5.1	7.6
6	0.7	1.5	1.9	1.8	3.4	-6.6	6.2
7	0.7	1.2	4.8	0.3	4.1	-6.1	5.4
8	-0.6	0.3	2.5	-0.3	4.4	-1.6	5.8
9	1.0	0.8	3.0	0.0	1.2	-4.9	6.2
10	3.7	2.3	4.8	1.1	0.9	-8.0	4.4
11	3.3	2.8	4.5	3.0	3.5	-7.8	2.0
12	1.3	1.5	3.0	3.8	3.3	-8.0	1.8
13	-0.5	-0.6	2.4	1.4	1.6	-8.5	3.2
14	-1.2	-1.4	1.8	-2.0	2.0	-7.0	6.2
15	-0.6	-0.3	3.3	1.0	2.1	-2.1	5.8
16	-0.7	-1.5	3.0	-0.5	2.1	-5.4	6.2
17	-1.7	1.3	0.8	0.0	1.3	-8.0	6.0
18	-2.3	-1.6	0.5	-0.2	0.6	-8.9	6.2
19	-1.7	-1.7	1.5	-0.7	0.3	-9.4	5.6
20	1.9	0.2	4.7	1.1	3.9	5.5	4.8
21	0.9	0.2	3.0	0.3	3.4	-3.2	3.2
22	0.0	-0.6	2.0	0.1	1.0	-9.7	0.8
23	-0.7	-1.0	1.0	0.1	-0.1	-18.0	2.2
24	-0.8	-1.1	1.6	1.6	0.1	-13.4	0.4
25	0.0	1.2	0.2	3.2	1.9	-17.2	2.6
26	-1.4	-2.5	-1.0	-2.0	1.5	12.2	1.2
27	-1.8	-3.0	-1.5	-2.5	0.7	15.0	-0.4
28	-0.1	-1.8	-2.0	-0.1	1.4	16.9	-1.8
29	0.4	-0.7	0.0	1.4	1.2	10.0	-2.2
30	-3.5	-3.7	-1.0	-2.6	-3.8	-17.4	2.8
31	-5.9	-4.6	-2.4	-3.5	-6.1	-22.8	-1.2
Mittel	-0.2	-0.4	1.7	0.6	1.0	-9.2	3.5

Temperatur-Maxima 1953

(Ablesungen an den Maximumthermometern)

Tag	Januar							Februar							März						
	Bern	Neu-châtel	Genève	Basel	Altdorf	Bever	Lugano	Bern	Neu-châtel	Genève	Basel	Altdorf	Bever	Lugano	Bern	Neu-châtel	Genève	Basel	Altdorf	Bever	Lugano
1	-2.1	-1.9	1.0	0.5	0.7	-3.5	9.0	0.8	0.5	3.0	1.7	2.9	-4.9	11.2	6.3	7.8	7.7	10.6	5.5	4.7	15.4
2	0.0	0.2	2.3	-0.2	0.6	-3.4	6.4	1.2	0.3	3.8	1.5	2.6	0.0	12.4	7.0	7.7	7.8	11.0	7.1	9.4	16.4
3	-1.5	-1.3	1.0	-0.7	0.0	-5.7	3.6	0.0	0.6	1.8	1.0	1.4	-5.4	11.6	8.6	9.9	8.8	14.5	8.8	5.2	17.2
4	-1.8	-1.2	0.8	-0.5	0.0	-7.6	7.8	0.6	-0.6	1.4	2.2	-0.4	-8.2	10.2	11.9	11.6	10.4	15.2	11.0	5.4	18.0
5	-1.0	-0.1	0.5	-0.3	-0.5	-13.4	6.4	0.7	2.0	0.0	2.3	-0.5	-4.9	8.6	10.2	12.3	13.0	11.0	11.0	4.5	**21.4**
6	-1.8	-1.7	0.2	-0.7	-0.6	-0.9	2.4	0.9	1.0	2.2	1.9	0.5	-5.8	10.6	9.4	9.4	8.4	12.5	10.4	6.0	17.4
7	-2.1	-1.6	-0.8	-2.0	-0.5	-9.8	3.4	-0.7	0.2	2.5	0.0	1.6	-7.5	8.6	11.7	12.3	11.5	14.5	11.7	7.4	17.8
8	-2.7	-1.2	0.2	-1.9	-0.5	-8.9	4.2	-3.4	-1.9	-1.0	0.5	-2.8	-12.2	3.8	4.4	5.6	5.6	7.5	5.7	2.8	13.0
9	-0.6	-0.2	1.2	0.9	-0.7	-11.5	10.0	2.8	2.6	4.4	5.8	3.7	-7.1	5.2	4.0	6.4	6.6	9.3	7.1	3.1	13.2
10	0.3	1.3	1.0	1.8	1.3	-1.8	9.4	2.9	3.0	7.5	7.6	5.4	0.0	-1.6	7.3	9.6	10.0	10.0	9.4	1.9	20.8
11	-0.4	0.9	2.0	0.6	0.9	-7.2	10.2	4.0	2.1	6.0	6.9	4.0	0.9	8.4	4.9	6.8	8.5	6.3	6.5	1.2	13.8
12	-3.0	-1.1	0.5	-1.3	-1.7	-7.8	8.4	1.5	0.2	2.7	3.5	3.3	-1.5	7.6	4.4	5.6	6.6	6.8	4.8	2.1	15.0
13	-2.4	-1.6	-2.0	-3.5	-1.4	-14.3	7.8	2.0	0.7	1.6	3.0	2.0	-4.8	8.4	5.0	7.4	7.4	9.3	8.0	1.0	14.4
14	-4.3	-4.2	-2.4	-2.9	-3.0	-11.4	4.8	2.3	2.3	2.0	1.5	2.2	-3.9	4.4	4.9	6.2	7.4	7.6	9.0	1.8	9.2
15	-5.2	-4.6	-3.3	-2.1	-2.9	-12.1	5.4	-1.1	-1.3	0.4	0.6	-0.4	0.0	3.0	7.5	6.7	7.2	10.3	13.5	3.0	8.8
16	-1.0	-2.5	-2.7	-0.3	-1.6	-3.0	7.2	-2.9	-1.0	1.2	0.1	-0.3	-3.9	8.8	11.8	13.0	12.2	15.3	12.7	8.1	15.4
17	-0.7	-1.0	-1.6	0.2	-2.0	-10.0	7.4	-1.9	-1.6	0.0	2.3	-0.6	6.4	8.4	13.8	13.9	12.0	14.9	14.3	7.1	17.2
18	-3.0	-1.7	0.0	2.7	-2.0	-4.6	7.0	2.7	0.3	2.4	2.3	1.9	4.2	**18.4**	14.1	14.3	11.6	18.8	18.3	5.2	16.6
19	-0.7	0.2	1.4	1.5	-0.3	-4.0	8.0	6.1	4.6	7.2	7.2	4.3	4.0	13.2	14.2	14.8	12.1	19.3	17.8	7.4	17.2
20	1.0	3.0	4.5	0.6	1.1	-3.8	7.6	**9.0**	6.7	**8.6**	9.3	6.2	6.0	12.8	14.8	15.0	13.4	19.7	18.0	6.6	20.6
21	-2.0	-1.8	0.8	3.5	-0.5	-7.2	7.2	8.6	5.3	6.8	11.4	**6.5**	4.2	13.0	15.4	15.8	15.2	19.9	17.8	6.9	20.4
22	-5.2	-4.1	-1.0	-0.2	-1.4	-5.8	6.6	8.1	6.4	7.2	12.5	**6.5**	7.1	13.2	16.1	15.7	12.8	19.4	17.8	7.9	20.2
23	-5.6	-5.2	-1.2	0.0	-1.8	-5.1	6.2	7.3	6.6	6.6	10.3	6.2	7.0	18.2	16.1	16.5	13.2	10.0	17.3	9.1	20.0
24	-3.3	-2.4	-1.5	0.9	-1.8	-6.1	6.2	4.1	5.3	5.1	6.7	5.4	7.6	14.4	15.7	17.2	16.0	19.3	17.4	8.0	21.2
25	0.4	3.4	6.0	2.1	1.9	-1.9	5.4	4.1	3.6	4.6	9.3	4.7	**10.6**	17.0	16.1	16.4	14.5	19.8	17.7	10.2	**21.4**
26	1.4	1.7	4.0	1.8	1.8	-1.4	**12.8**	4.1	1.7	3.6	8.9	3.3	10.5	14.2	16.2	17.5	18.0	20.7	17.4	**10.9**	**21.4**
27	0.5	0.4	3.2	1.0	0.0	-5.9	7.2	4.3	0.7	2.0	9.4	2.2	6.4	15.0	13.3	15.3	16.4	15.7	13.3	8.6	18.6
28	5.3	6.3	5.8	4.3	4.3	4.2	7.0	6.8	**8.7**	6.6	**12.6**	2.9	4.7	16.4	13.4	14.8	15.5	14.2	14.7	9.1	18.4
29	6.4	**7.0**	7.4	6.3	4.3	**8.5**	10.0								17.5	17.6	19.4	21.1	18.0	9.8	19.4
30	1.1	3.2	1.7	8.9	3.3	2.2	7.4								**19.4**	**18.8**	**20.4**	**24.5**	**21.6**	9.8	19.2
31	**7.1**	5.2	**11.2**	**10.5**	**5.1**	7.7	5.2								13.8	13.0	16.5	18.9	13.0	8.6	21.2
Mittel	-0.9	-0.2	1.3	1.0	0.1	-5.0	7.0	2.7	2.1	3.6	5.1	2.7	0.3	10.6	11.3	12.1	11.8	14.8	12.8	6.2	17.4

Tag	April							Mai							Juni						
	Bern	Neu-châtel	Genève	Basel	Altdorf	Bever	Lugano	Bern	Neu-châtel	Genève	Basel	Altdorf	Bever	Lugano	Bern	Neu-châtel	Genève	Basel	Altdorf	Bever	Lugano
1	16.3	16.2	18.4	18.7	16.2	9.0	20.0	20.3	19.3	21.0	23.9	19.5	14.1	23.8	14.8	15.6	18.1	17.5	16.1	9.1	26.2
2	18.1	16.1	19.6	18.5	18.9	11.4	21.8	18.2	18.7	18.4	22.4	20.7	14.5	22.2	10.0	10.9	14.4	12.8	11.0	5.2	17.4
3	19.5	18.7	22.0	23.8	**22.0**	11.5	13.0	21.8	23.0	21.4	25.0	22.6	15.8	24.4	13.1	12.9	15.8	16.1	15.6	8.8	20.8
4	**21.1**	**20.5**	**22.2**	23.8	**22.0**	8.4	12.2	22.1	23.6	22.0	25.7	21.2	19.2	27.2	15.2	17.5	17.2	18.2	17.8	12.8	19.6
5	14.3	11.5	15.0	17.4	12.0	9.6	17.6	19.9	22.3	22.2	21.7	18.5	12.1	29.2	19.6	21.0	20.0	22.5	21.6	15.4	24.4
6	13.2	11.6	15.2	14.2	13.1	8.7	17.8	17.2	16.5	20.4	16.6	16.1	8.6	27.6	22.1	23.0	22.6	26.1	23.4	16.2	24.0
7	11.9	13.3	10.4	14.1	11.5	8.4	21.4	11.8	12.1	17.0	13.0	11.5	7.4	25.0	23.4	23.9	24.8	25.9	**25.6**	15.6	17.4
8	14.5	13.1	13.0	16.2	18.2	6.5	13.4	13.6	15.9	14.5	15.4	12.0	7.4	21.2	21.4	22.6	21.8	26.3	19.8	17.4	17.8
9	15.0	14.9	13.2	18.3	17.0	9.1	16.0	10.6	12.5	14.2	14.3	10.0	4.6	20.8	18.6	16.7	17.4	19.6	22.5	17.2	19.4
10	7.3	8.7	9.8	10.2	7.0	3.1	14.6	8.6	12.4	14.0	12.0	7.9	3.4	22.4	12.6	11.4	13.0	14.5	15.9	17.4	24.0
11	11.5	11.1	12.5	13.7	12.4	10.0	20.0	15.2	15.0	16.0	18.1	15.0	10.4	21.0	13.7	14.7	16.8	18.7	14.5	16.0	27.0
12	18.1	16.6	17.2	**23.9**	17.5	10.6	21.2	15.4	15.5	18.4	19.4	13.7	10.6	20.2	19.0	18.9	19.1	22.8	17.8	18.2	26.4
13	12.4	12.9	15.2	15.5	13.7	10.4	11.6	19.5	20.2	19.0	22.2	20.4	13.4	24.0	19.0	21.2	21.2	24.4	17.0	17.2	25.6
14	6.8	6.6	10.2	8.9	6.9	10.4	10.4	14.9	14.2	17.6	16.3	14.7	16.2	21.4	17.0	19.5	20.2	19.6	15.4	17.2	21.4
15	4.7	6.1	7.6	6.9	4.7	10.2	10.2	21.7	20.7	18.2	24.9	20.5	17.2	24.8	20.2	21.5	22.8	23.5	21.1	15.6	26.6
16	6.5	7.5	8.8	9.4	7.3	2.4	20.2	26.3	25.5	28.1	31.7	26.4	20.0	27.8	19.1	20.6	23.8	23.0	18.8	14.2	21.2
17	11.1	11.4	11.6	14.0	9.9	9.6	20.8	26.4	26.6	27.6	27.8	24.6	21.2	29.2	18.1	17.8	18.5	24.1	19.3	15.4	18.0
18	16.4	16.7	17.0	19.6	15.0	10.0	19.8	28.3	28.0	**30.0**	**33.1**	**30.5**	23.4	30.4	16.1	15.7	19.5	19.7	16.4	17.0	16.8
19	18.7	18.6	18.4	22.0	18.3	10.2	22.2	26.5	27.6	29.6	30.3	27.9	24.1	32.2	20.9	21.0	21.0	23.5	22.5	17.6	27.2
20	19.9	19.3	18.4	21.6	18.0	11.2	23.2	25.2	28.3	27.4	28.2	26.7	**26.5**	30.6	23.7	23.4	21.4	27.6	25.1	19.1	21.4
21	19.7	19.9	19.4	21.4	19.0	13.4	23.8	27.1	29.2	27.6	30.9	26.0	24.3	31.0	20.5	21.3	20.0	26.5	23.4	19.0	20.2
22	20.4	20.4	20.4	22.5	19.2	17.0	**24.0**	26.1	24.9	27.7	29.5	27.3	22.2	21.8	22.8	22.6	25.0	27.2	22.3	18.4	25.4
23	19.2	20.4	21.2	23.7	19.0	**18.8**	23.2	25.1	23.2	25.8	28.2	23.5	16.1	27.8	18.2	18.4	19.0	21.2	19.4	16.3	20.4
24	19.9	20.1	20.0	23.3	18.6	14.9	23.2	24.5	24.9	25.2	29.5	24.9	23.3	29.6	18.3	19.1	21.5	23.6	18.6	17.1	20.8
25	18.8	18.0	20.4	21.3	18.8	14.9	23.4	28.1	27.2	28.6	32.2	27.7	25.4	32.2	15.1	15.8	22.0	16.4	14.0	19.0	19.4
26	20.3	20.4	19.5	23.5	19.5	15.2	17.2	**29.7**	**29.3**	28.0	32.7	24.4	23.3	32.4	21.2	20.9	23.4	23.2	17.3	18.7	26.2
27	16.1	15.4	15.2	18.2	17.0	10.6	14.0	22.3	23.9	25.8	24.7	22.4	18.5	**32.6**	20.6	23.4	23.8	24.7	18.8	18.9	26.2
28	14.7	14.6	10.0	16.8	15.8	7.0	22.6	18.1	15.4	20.0	19.3	14.0	10.6	24.8	23.6	24.7	24.0	26.9	25.0	**23.2**	**30.2**
29	12.6	11.0	15.0	15.6	15.0	7.6	22.0	15.2	17.7	18.4	18.9	17.5	15.5	26.0	22.4	22.3	23.8	26.8	22.4	16.1	20.8
30	19.2	17.2	15.4	19.7	19.0	13.9	23.4	12.0	11.4	15.2	14.3	12.3	12.2	20.8	**24.7**	**26.9**	**26.5**	**29.1**	25.2	17.0	27.8
31								12.4	12.5	14.5	15.8	13.9	8.3	23.8							
Mittel	15.3	15.0	16.1	17.9	15.4	10.5	18.8	20.1	20.6	21.7	23.2	19.8	15.8	26.1	18.8	19.5	20.6	22.4	19.4	16.2	22.7

Temperatur-Maxima 1953

Tag	Juli							August							September						
	Bern	Neu-châtel	Genève	Basel	Altdorf	Bever	Lugano	Bern	Neu-châtel	Genève	Basel	Altdorf	Bever	Lugano	Bern	Neu-châtel	Genève	Basel	Altdorf	Bever	Lugano
1	23.8	24.7	26.8	25.6	22.9	20.9	28.2	22.5	25.0	25.0	22.0	20.0	21.2	30.2	27.9	28.9	27.0	32.2	26.5	**29.6**	**30.2**
2	23.6	24.7	26.5	28.6	24.7	13.6	24.8	20.5	22.2	25.7	22.3	18.4	14.9	28.8	**28.6**	**29.3**	**30.0**	**32.3**	**27.3**	22.8	30.0
3	21.2	22.4	24.4	24.9	21.0	15.2	27.4	15.6	18.2	19.0	22.2	15.7	12.0	25.8	25.4	27.9	28.5	24.3	24.8	25.3	29.6
4	23.2	24.9	24.5	26.7	24.5	22.8	27.6	19.2	21.0	22.0	23.0	19.0	22.4	28.0	23.4	25.2	24.0	25.1	21.7	24.6	29.8
5	22.2	20.4	24.3	24.1	20.4	19.2	28.2	23.6	23.7	24.6	25.9	22.5	22.5	28.2	22.2	25.4	24.6	24.3	22.4	23.6	29.4
6	22.0	24.3	24.5	26.8	23.0	18.4	25.4	22.5	22.3	26.2	22.9	19.0	17.5	**34.2**	21.1	24.2	23.4	24.7	21.5	24.1	28.6
7	25.5	25.8	28.4	28.6	26.6	25.5	29.6	20.9	23.4	23.2	24.6	18.0	22.3	29.0	21.6	24.0	23.0	25.2	21.6	25.1	19.2
8	25.6	27.5	29.0	26.5	24.0	**30.0**	30.2	23.1	23.9	23.0	25.6	22.5	19.5	28.4	26.6	27.0	27.5	29.1	25.0	25.2	26.6
9	20.8	21.8	25.6	23.6	20.1	17.9	26.6	21.6	23.6	24.0	25.9	21.5	19.2	19.6	26.8	28.7	27.8	29.1	25.8	22.3	28.2
10	16.1	15.2	21.3	21.4	16.5	16.0	27.0	25.6	25.8	24.2	29.3	22.0	20.3	29.4	20.4	19.9	22.2	21.1	18.5	13.8	23.4
11	18.6	20.3	21.2	23.2	18.5	11.6	28.4	27.3	28.4	27.6	31.8	27.0	28.5	30.6	14.1	18.3	17.8	17.6	13.0	7.5	21.8
12	20.4	21.5	25.2	25.8	22.0	14.3	22.4	28.5	28.7	27.6	33.1	28.0	28.3	31.4	19.2	22.4	21.2	19.2	19.5	15.1	26.2
13	18.6	19.8	22.3	20.9	20.2	15.0	25.4	**29.5**	**30.6**	29.2	32.9	**29.5**	23.6	31.6	18.3	22.7	21.6	20.5	18.8	16.0	29.8
14	21.6	20.4	24.0	23.1	22.2	17.8	27.6	28.6	30.4	28.8	**33.3**	25.5	23.8	30.2	18.1	20.4	19.0	21.4	19.0	21.6	19.2
15	21.5	22.8	23.8	22.6	20.7	19.2	28.4	26.6	27.8	30.2	31.9	26.6	19.0	30.2	21.6	22.4	22.5	25.8	23.0	21.6	22.2
16	24.7	23.8	28.0	27.1	25.8	21.4	28.2	21.0	23.2	27.0	24.4	18.5	18.0	29.4	19.1	21.4	22.2	22.8	19.9	10.7	15.4
17	26.4	27.2	29.1	29.3	27.4	22.6	28.4	23.0	25.2	24.0	26.5	23.6	21.9	30.4	18.5	18.7	21.2	21.2	21.2	14.4	20.0
18	22.9	23.4	26.6	23.2	25.7	22.0	27.0	24.2	24.9	28.0	26.4	22.8	23.3	30.2	22.5	23.5	25.6	23.9	22.7	16.4	25.2
19	20.9	21.7	22.2	22.8	18.0	14.1	30.2	24.4	26.0	26.3	29.5	24.7	23.3	31.2	18.8	19.8	19.0	21.3	22.3	12.7	19.6
20	23.8	23.9	24.0	27.0	25.3	27.2	28.6	26.0	25.7	**30.8**	29.8	24.3	20.0	30.6	16.6	16.0	19.6	18.1	15.5	17.4	17.8
21	27.7	26.4	29.0	30.6	25.7	27.6	29.6	19.8	20.5	23.0	22.8	21.2	14.2	23.2	20.9	20.2	22.6	21.5	21.4	15.1	23.4
22	28.9	27.9	**30.3**	28.8	**28.0**	22.8	30.0	17.1	19.6	19.8	20.6	18.3	13.4	27.4	17.1	17.5	20.0	19.8	16.9	14.4	24.4
23	22.2	18.3	24.8	20.3	23.7	23.0	30.2	19.5	20.8	19.0	22.5	20.0	20.1	28.6	18.1	20.8	21.4	22.1	18.9	13.3	18.6
24	21.6	22.9	22.8	25.9	24.0	26.5	**31.4**	23.2	23.7	26.5	28.7	24.1	21.8	27.4	14.5	15.7	16.0	17.6	17.5	13.3	17.8
25	**29.0**	26.8	25.0	**32.2**	**28.0**	23.5	30.4	20.4	22.7	22.2	22.3	18.0	18.4	26.4	14.8	14.8	15.0	17.1	16.5	10.9	17.4
26	28.6	**28.9**	30.0	29.6	26.5	25.0	**31.4**	19.5	22.9	20.7	24.3	19.6	11.0	21.2	14.8	15.3	17.2	18.7	16.5	14.1	17.8
27	22.6	24.0	26.1	23.5	21.2	22.5	31.2	19.1	22.1	22.0	23.1	16.4	11.0	26.8	17.5	16.5	18.2	12.7	23.1	16.0	22.2
28	24.9	26.0	27.8	25.6	23.4	23.1	29.4	19.9	23.6	22.0	23.6	20.3	25.1	26.8	16.7	16.3	18.5	17.9	19.3	14.7	22.4
29	24.8	26.6	27.3	25.7	25.0	22.4	28.6	24.0	24.5	23.3	26.7	21.7	25.2	26.2	11.8	11.7	13.0	11.5	12.9	13.9	20.8
30	19.9	20.4	23.2	20.7	17.2	11.4	23.6	26.2	27.3	27.0	30.4	24.9	25.1	28.2	11.6	14.8	15.5	15.7	13.0	12.0	24.0
31	18.1	19.9	25.6	22.8	21.1	22.5	29.0	27.9	29.4	24.0	29.9	26.0	**29.2**	29.8							
Mittel	23.0	23.4	25.6	29.5	23.0	20.5	28.2	22.9	24.5	24.7	26.4	21.9	20.5	28.4	19.6	21.0	22.0	22.1	20.2	17.6	23.4

Tag	Oktober							November							Dezember						
	Bern	Neu-châtel	Genève	Basel	Altdorf	Bever	Lugano	Bern	Neu-châtel	Genève	Basel	Altdorf	Bever	Lugano	Bern	Neu-châtel	Genève	Basel	Altdorf	Bever	Lugano
1	13.0	15.3	16.8	18.5	14.5	14.0	24.2	**10.7**	**11.5**	**11.6**	**13.7**	14.3	4.2	14.0	**10.8**	**6.7**	**12.6**	14.8	10.2	7.6	**14.0**
2	18.0	17.8	18.0	20.7	16.7	**16.0**	24.4	8.5	9.4	11.0	12.4	11.8	4.1	9.4	9.4	4.5	6.2	12.0	5.8	**8.6**	13.2
3	**18.7**	17.5	18.8	**22.9**	20.0	14.4	23.6	7.1	8.3	9.2	8.4	7.8	2.8	13.8	7.3	5.2	5.5	6.9	15.9	6.6	9.8
4	18.3	**20.8**	**19.0**	21.8	15.3	11.0	15.4	7.4	7.1	9.5	8.9	9.1	6.0	16.0	10.1	5.1	6.6	13.2	16.4	6.9	9.4
5	14.5	16.4	16.5	14.8	13.7	13.2	**24.8**	10.1	9.8	9.2	12.2	11.5	6.0	16.2	10.1	5.2	5.2	**15.3**	9.2	7.0	8.8
6	11.8	14.3	13.6	13.6	12.0	14.5	21.4	7.8	8.6	10.2	9.5	8.6	2.7	15.6	7.1	5.1	6.2	7.3	7.5	6.2	8.4
7	11.7	14.3	13.2	13.8	11.6	8.4	19.8	7.2	9.2	9.8	8.9	8.3	2.4	17.8	3.4	3.6	6.5	5.4	**16.5**	6.9	7.8
8	12.3	15.1	14.4	14.7	14.0	8.3	20.2	2.5	4.2	8.2	8.4	6.5	6.0	15.0	2.4	2.7	5.3	5.8	15.4	4.6	8.2
9	11.2	13.4	12.4	13.8	13.4	10.5	17.8	5.1	6.8	4.0	10.8	5.4	7.0	14.8	9.4	5.9	9.0	4.6	6.9	3.9	12.2
10	10.3	10.1	11.3	15.8	12.3	12.5	18.8	7.2	7.0	5.2	10.9	6.8	8.4	15.6	7.7	5.9	8.6	5.6	6.8	2.7	11.4
11	10.2	9.4	11.3	15.4	13.6	13.9	20.4	2.8	4.1	6.2	6.1	6.0	8.7	16.2	5.9	5.4	8.2	7.9	6.9	5.8	11.8
12	12.5	10.8	12.8	14.7	15.9	12.6	19.0	2.9	4.4	6.2	6.2	6.5	7.9	15.4	4.0	4.2	5.4	7.1	5.4	2.0	9.2
13	16.5	15.3	15.8	20.4	20.4	9.6	14.2	5.3	6.9	5.2	8.8	6.8	0.7	14.8	1.3	2.0	5.4	5.6	3.9	2.5	9.6
14	18.5	17.0	17.1	22.8	**22.0**	13.8	13.6	4.0	6.7	5.4	7.5	6.3	8.3	14.2	2.0	1.9	5.2	4.8	4.4	2.0	8.6
15	16.3	16.5	16.6	16.2	17.0	13.8	15.2	4.0	6.1	4.5	8.4	6.1	**9.8**	14.6	3.4	3.0	6.9	5.4	5.6	5.5	9.6
16	14.7	16.4	16.3	15.0	13.3	12.3	14.2	8.1	11.2	8.0	10.3	4.1	8.4	14.8	0.9	1.3	5.2	3.6	3.5	5.2	11.8
17	16.7	16.9	17.2	18.2	15.2	9.9	17.2	5.3	6.9	7.2	9.3	4.3	5.9	13.4	0.3	1.4	2.5	3.6	4.4	2.0	9.2
18	14.0	15.0	16.0	14.0	14.0	11.6	18.4	4.4	6.7	7.4	12.5	3.8	5.9	11.8	0.3	0.7	2.5	4.4	2.5	2.0	10.2
19	15.1	15.2	17.0	14.3	16.5	14.6	19.2	3.5	4.7	5.4	8.3	3.6	8.6	11.4	3.4	4.9	5.2	6.1	5.0	1.8	8.8
20	14.2	15.1	16.4	15.1	16.5	14.4	21.6	2.2	3.0	6.3	3.8	3.5	9.6	12.4	5.5	5.6	8.0	5.1	5.4	1.7	11.4
21	15.7	18.1	16.4	17.6	14.5	14.5	17.8	2.1	3.5	5.6	3.9	3.2	5.8	11.2	2.4	4.3	5.0	1.9	7.6	1.8	12.4
22	17.6	16.9	16.4	18.8	16.7	14.3	17.0	2.0	3.3	4.0	5.6	3.0	8.3	13.0	2.5	3.3	4.8	2.5	3.5	1.8	10.8
23	17.6	13.5	16.6	17.8	14.5	8.8	14.2	0.3	1.0	4.4	3.5	3.0	7.5	7.0	3.7	2.9	4.0	3.0	4.8	-4.0	7.8
24	15.7	14.7	14.6	19.1	14.3	10.8	17.2	-0.1	0.7	3.0	3.4	3.0	8.3	7.6	4.7	4.0	5.0	5.7	4.9	1.7	4.6
25	14.5	13.8	13.8	14.3	11.9	6.2	14.0	0.8	3.1	2.5	4.9	4.6	5.4	6.2	4.4	5.0	5.0	4.9	6.3	0.5	4.4
26	13.1	14.1	14.7	11.9	12.3	8.2	14.6	1.6	4.0	3.5	6.4	4.8	4.1	9.2	4.0	4.5	5.5	5.7	4.3	0.8	5.8
27	12.4	13.8	14.4	15.1	11.6	10.4	12.6	6.4	5.8	5.4	5.8	12.6	8.6	6.8	2.5	4.0	4.6	3.5	5.5	-2.4	9.2
28	15.1	16.4	14.6	18.9	16.6	9.5	19.2	9.3	6.7	10.0	11.6	**14.6**	8.3	8.2	2.5	3.4	2.8	3.5	3.8	-3.0	2.8
29	11.9	8.0	12.0	11.7	9.6	14.2	11.8	0.7	4.2	9.6	12.4	9.5	6.1	12.4	2.1	3.0	3.5	4.0	3.5	-4.2	11.4
30	9.8	12.9	10.9	14.0	9.5	6.8	17.2	8.5	5.3	10.0	10.3	7.9	6.2	9.8	0.7	1.1	2.0	2.1	0.0	-7.0	7.4
31	9.6	10.7	11.6	11.7	9.3	3.9	13.6								-2.1	0.2	-0.2	-0.5	1.8	-10.2	7.8
Mittel	14.2	14.7	15.1	16.4	14.5	11.5	17.8	5.2	6.0	6.9	8.4	6.9	6.7	12.6	4.3	3.7	5.4	5.8	6.6	2.2	9.3

Monats- und Jahresübersichten
sämtlicher schweiz. meteorologischen Stationen

In die hier folgenden Uebersichten werden die Beobachtungsresultate aller schweizerischen Stationen, soweit es die Zuverlässigkeit und Vollständigkeit derselben gestatten, aufgenommen. Zu beachten ist:

1. Die Minima und Maxima bei Luftdruck, Temperatur und die Minima bei der relativen Feuchtigkeit sind stets den üblichen Terminbeobachtungen entnommen (7^{30} 13^{30} 21^{30}, resp. 7^{30} 13^{30} 20^{30}).
2. Die Monatsmittel der Temperatur werden aus den 3 Terminbeobachtungen in der Weise abgeleitet, daß der Abendbeobachtung (21^{30}) das doppelte Gewicht beigelegt ist $[m = \frac{1}{4}\ (7^{30} + 13^{30} + 2 \cdot 21^{30})]$. Bei den wenigen Stationen, die eine andere Kombination der Beobachtungsstunden haben, wird eine nach den stündlichen Werten von Bern und Säntis berechnete Reduktion angebracht.
3. Als Tage mit Niederschlag werden diejenigen gezählt, an denen wenigstens 0.3mm gemessen wurden. Eine zweite Rubrik enthält die Zahl der Tage mit Niederschlagsmengen von mindestens 1.0mm.
4. Für die Zählung der Tage mit Gewittern werden nur die Gewitter berücksichtigt, welche über der Beobachtungsstation selbst niedergehen oder in höchstens 3 km Distanz an ihr vorüberziehen (Nahgewitter). Tage mit mehreren Gewittern werden als «Gewittertage» nur einfach gezählt.
5. Als heitere (trübe) Tage werden solche bezeichnet, deren mittlere Bewölkung < 2 (> 8) Zehntel ist.
6. Bei der Uebersicht der Windverteilung wird nur die Häufigkeit der verschiedenen Windrichtungen mit Index > 0 berücksichtigt.
7. λ bezeichnet die geographische Länge in Graden von Greenwich, β die geographische Breite, H_b die Höhe des Stationsbarometers über dem Meer in Metern, H die Höhe der Station (des Regenmessers) über Meer, G ist die Korrektion, welche an den Luftdruckdaten für deren Reduktion auf die Normalschwere (45° Breite und das Meeresniveau) noch anzubringen ist, h_r die Höhe des oberen Randes des Regenmessers über dem Erdboden. Die Stationen, bei denen die Höhe (des Barometergefäßes) bis auf den Dezimeter angegeben ist, sind an das schweizerische Präzisionsnivellement angeschlossen. Alle Höhen sind auf Pierre du Niton 373.6m bezogen.

NB. Die Schwerekorrektionen *(G)* sind vom Jahrgang 1936 an auf Grund neuer Berechnungen von Herrn Prof. Niethammer, Basel, eingesetzt worden.

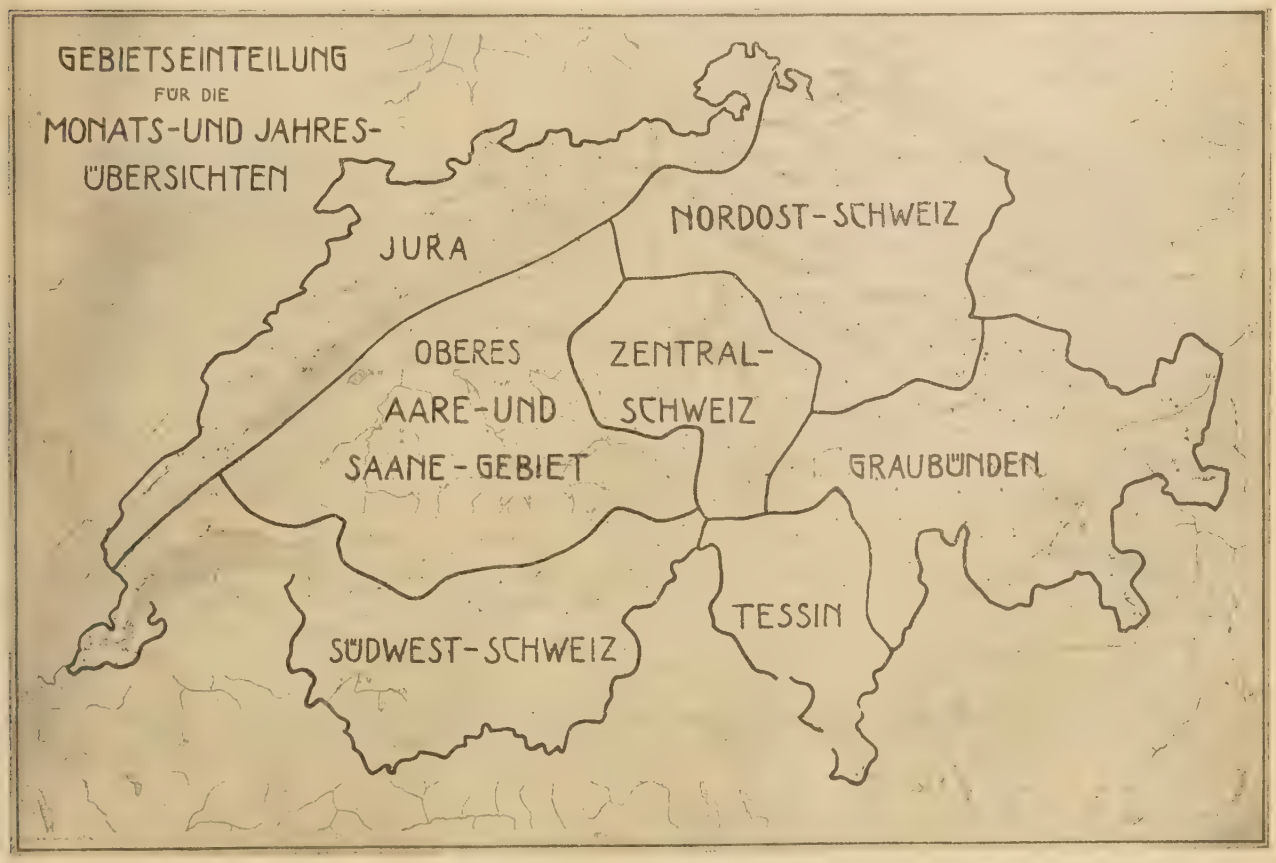

Reihenfolge der Gebiete: Nordostschweiz, Zentralschweiz, Jura, Oberes Aare- und Saanegebiet, Südwestschweiz, Graubünden, Tessin.

Zürich-MZA

$\lambda = 8° 34'$, $\beta = 47° 23'$, $H_b = 569.4^m$, $G = 0.02$ mm, $h_r = 1.4^m$

1953	Luftdruck					Luft-Temperatur								Relative Feuchtigkeit					
	Mittel	Minimum	Tag	Maximum	Tag	7^{30}	13^{30}	21^{30}	Mittel	Minimum	Tag	Maximum	Tag	7^{30}	13^{30}	21^{30}	Mittel	Minimum	Tag
Januar	713.4	695.6	1	722.6	20	-4.1	-1.0	-3.3	-2.9	-9.5	23	6.0	30	91	79	90	87	60	28
Februar	712.0	690.8	10	723.6	26	-2.6	1.7	-1.2	-0.8	-12.3	8	8.4	21	91	69	83	81	48	22
März	719.5	710.5	30	725.0	10	1.9	10.4	5.1	5.6	-4.4	9	19.6	30	76	47	63	62	30	24
April	710.3	698.0	27	715.2	11	6.8	13.7	8.8	9.5	0.3	15	22.2	4	83	56	73	71	33	4
Mai	712.4	703.1	13	718.5	27	11.7	18.7	13.3	14.3	1.9	11	29.4	26	78	52	67	66	33	11
Juni	709.8	701.8	2	715.0	19	13.1	18.1	13.9	14.7	4.7	2	26.2	30	87	64	83	78	37	5
Juli	713.3	705.6	12	721.1	20	16.2	22.0	16.5	17.8	11.5	10	28.5	22	84	57	83	75	39	16. 22
August	715.3	706.9	21	720.9	5	14.7	22.0	16.5	17.4	11.3	4. 22	29.5	13	86	55	75	72	40	19. 30
September	713.6	707.0	19	722.1	7	12.2	19.0	13.6	14.6	6.5	14	27.7	2	88	61	83	77	39	9
Oktober	713.9	704.3	13	722.8	1	8.2	13.5	9.5	10.2	2.6	31	18.8	3	98	73	94	88	52	6. 8
November	718.4	703.7	2	723.0	15. 16	1.3	5.3	2.5	2.9	-1.4	14	11.8	29. 30	99	84	96	93	48	28
Dezember	716.3	709.7	19	721.5	1	0.7	3.2	1.3	1.6	-5.8	31	14.9	1	94	85	94	91	59	25
Jahr	714.0	690.8	II	725.0	III	6.7	12.2	8.0	8.7	-12.3	II	29.5	VIII	88	65	82	78	30	III

Zürich-BG

$\lambda = 8° 32'$, $\beta = 47° 22'$, $H_b = 410.6^m$, $G = 0.05$ mm, $h_r = 1.5^m$

Januar	727.8	709.5	1	736.9	20	-2.6	-0.1	-1.9	-1.6	-7.5	12	6.8	29	90	75	88	84	63	30
Februar	726.3	704.4	10	738.2	27	-1.4	2.9	-0.2	0.3	-11.2	8	9.2	22	89	66	83	79	41	22
März	735.6	724.0	30	739.7	2	1.9	12.2	5.3	6.2	-2.6	3	21.9	30	83	48	71	67	34	4
April	724.0	711.1	27	729.8	1	7.6	15.4	9.8	10.6	1.9	15. 16	23.4	23	82	60	76	73	33	26
Mai	725.9	716.4	13	731.8	27	13.2	20.8	14.8	15.9	3.7	11	31.5	18	73	48	65	62	31	26
Juni	723.1	714.7	9	728.4	19	14.4	19.7	15.3	16.2	6.1	2	28.8	30	81	60	79	73	36	30
Juli	726.6	718.9	12	734.8	20	17.6	23.7	17.8	19.2	13.0	10	31.0	26	76	51	80	69	35	22
August	728.5	720.0	21	734.5	5	15.5	23.5	17.7	18.6	11.7	29	31.2	13	81	51	74	69	34	19
September	727.1	720.3	19	735.7	7	12.9	20.6	14.7	15.7	7.6	14	29.5	2	83	55	81	73	34	9
Oktober	727.6	717.4	13	736.3	1	9.1	14.5	10.4	11.1	0.5	31	20.0	3	91	64	88	81	46	6
November	732.5	717.3	2	737.3	15. 16	2.2	5.8	3.5	3.7	-0.3	29	11.7	1	92	73	90	85	50	1
Dezember	730.4	723.7	19	735.4	1	1.6	3.7	2.3	2.5	-4.0	31	11.7	1	89	77	89	85	50	1
Jahr	727.8	704.4	II	739.7	III	7.8	13.6	9.1	9.9	-11.2	II	31.5	V	84	61	80	75	31	V

Baden

$\lambda = 8° 19'$, $\beta = 47° 22'$, $H_b = 386.6^m$, $G = 0.08$ mm, $h_r = 1.5^m$

Januar	730.3	712.1	1	739.6	20	-2.7	-0.2	-2.4	-1.9	-8.3	12	6.9	29	83	66	79	76	52	28
Februar	728.6	706.7	10	740.8	27	-1.6	2.0	-1.2	-0.5	-13.1	8	7.7	28	85	63	80	76	48	28
März	736.0	726.0	30	741.6	3. 6	1.1	11.0	3.9	5.0	-2.7	3. 4	21.0	30	85	42	68	65	22	26
April	726.4	713.5	27	731.6	11	7.2	15.5	9.0	10.2	2.2	18	23.0	4	89	49	76	71	27	4
Mai	728.2	718.8	13	734.5	26	12.4	20.3	13.1	14.7	1.7	10	31.2	26	77	44	71	64	27	11
Juni	725.5	717.5	2. 9	730.8	19	14.3	19.4	14.6	15.7	5.8	2	27.1	30	86	61	85	77	28	5
Juli	728.9	721.0	12	737.3	20	16.8	22.7	17.1	18.4	12.7	10	30.4	22	86	54	81	74	35	22
August	731.0	722.4	21	736.8	5	14.8	22.9	15.7	17.3	10.1	24	30.5	13	88	51	81	73	34	7
September	729.5	722.6	19	739.9	8	12.3	19.4	13.6	14.7	6.8	23	27.9	2	89	58	81	76	36	9
Oktober	730.0	719.7	13	739.0	1	9.0	13.7	9.4	10.4	1.2	31	19.4	4	89	65	84	79	47	6
November	735.1	720.0	2	740.5	15	1.9	5.5	2.2	3.0	-1.9	29	10.8	5	88	74	85	82	56	29
Dezember	733.0	726.3	19. 29	738.1	1	1.2	3.3	1.5	1.9	-3.5	31	11.5	1	91	82	89	87	58	1
Jahr	730.2	706.7	II	741.6	III	7.2	13.0	8.0	9.1	-13.1	II	31.2	V	86	59	80	75	22	III

Winterthur

$\lambda = 8° 44'$, $\beta = 47° 30'$, $H = ca\ 485^m$, $G = 0.05$ mm, $h_r = 1.6^m$

Januar	—	—	—	—	—	-3.4	-0.7	-2.7	-2.4	-12.3	12	5.9	30	82	71	82	78	54	28
Februar	—	—	—	—	—	-2.1	1.7	-1.0	-0.6	-13.8	8	7.0	21	86	66	79	77	45	11
März	—	—	—	—	—	1.4	10.3	4.2	5.0	-3.7	10	19.8	30	78	43	60	60	29	21. 24. 30
April	—	—	—	—	—	6.9	14.3	8.6	9.6	1.3	15	20.9	4	83	48	71	67	29	4. 23
Mai	—	—	—	—	—	12.1	18.6	13.0	14.2	3.0	10	29.1	26	72	44	62	59	27	16
Juni	—	—	—	—	—	13.8	18.1	14.2	15.1	5.2	2	25.4	30	82	61	80	74	33	5
Juli	—	—	—	—	—	16.9	21.4	16.7	17.9	12.0	10. 11	27.6	22	79	52	80	70	33	22
August	—	—	—	—	—	14.9	21.2	15.9	17.0	10.8	28	28.4	13	80	48	76	68	31	19
September	—	—	—	—	—	12.3	18.3	13.3	14.3	7.4	15	26.8	2	85	56	79	73	36	9. 14
Oktober	—	—	—	—	—	8.2	12.9	9.2	9.9	0.0	31	18.2	13	96	69	90	85	45	6. 13
November	—	—	—	—	—	1.4	5.1	2.3	2.8	-2.8	10	11.0	29. 30	97	79	93	90	38	29
Dezember	—	—	—	—	—	0.8	3.1	1.4	1.7	-5.0	31	12.8	1	93	84	94	90	44	1
Jahr	—	—	—	—	—	6.9	12.0	7.9	8.7	-13.8	II	29.1	V	84	60	79	74	27	V

Beobachter: Meteorolog. Zentralanstalt

Zürich-MZA

Bewölkung				Niederschlag			Zahl der Tage								Windverteilung									1953
7^{30}	13^{30}	21^{30}	Mittel	Summe	Maximum	Tag	•	•*	*	▲	K	=	heiter	trüb	N	NE	E	SE	S	SW	W	NW	Calmen	
								>1.0																
9.3	8.9	8.6	8.9	26	7	31	11	7	11	—	—	10	—	25	13	18	12	3	18	10	11	1	7	Januar
9.4	7.4	6.7	7.8	35	6	2	12	10	12	—	—	10	1	16	5	16	8	1	11	21	9	2	11	Februar
4.2	2.5	3.0	3.2	8	8	31	5	3	3	—	—	1	13	3	5	20	10	6	14	12	4	2	20	März
5.7	5.3	4.1	5.0	94	19	10	16	10	3	—	2	4	7	8	12	18	4	4	20	11	12	2	7	April
5.0	5.2	5.2	5.1	93	37	27	12	11	1	—	6	—	6	6	14	21	11	2	17	11	12	3	2	Mai
8.1	7.3	7.6	7.7	257	81	25	19	15	—	—	4	3	1	17	5	14	4	4	26	18	12	6	1	Juni
6.0	5.9	7.2	6.4	168	27	29	19	18	—	1	8	2	4	11	5	6	2	5	25	21	16	8	5	Juli
5.2	5.0	5.0	5.1	49	11	16	10	9	—	1	1	—	8	9	21	15	4	4	11	14	13	5	6	August
5.9	6.0	5.2	5.7	71	14	21	10	7	—	—	—	1	6	10	14	19	5	3	13	11	11	7	7	September
8.4	6.2	6.7	7.1	34	21	29	8	6	—	—	—	11	—	14	11	31	9	4	10	6	8	3	11	Oktober
8.6	6.7	7.3	7.5	28	12	6	6	3	—	—	—	18	3	19	7	19	7	6	19	14	6	2	10	November
8.6	8.4	8.2	8.4	29	8	19	9	6	7	—	—	19	2	22	9	21	11	3	16	13	4	4	12	Dezember
7.0	6.2	6.2	6.5	892	81	VI	137	105	37	2	21	79	51	160	121	218	87	45	200	162	118	45	99	Jahr

Beobachter: Botanischer Garten.

Zürich-BG

9.8	9.3	8.7	9.3	27	9	31	10	7	10	—	—	4	—	26	—	—	—	—	—	—	—	—	—	Januar
9.3	8.0	6.4	7.9	49	14	1	13	11	12	—	—	5	—	17	—	—	—	—	—	—	—	—	—	Februar
4.0	2.3	3.0	3.1	8	3	31	5	3	3	—	—	1	14	4	—	—	—	—	—	—	—	—	—	März
5.7	5.5	4.2	5.1	89	21	14	16	11	1	—	2	2	8	9	—	—	—	—	—	—	—	—	—	April
4.1	4.6	4.6	4.4	114	50	27	12	10	1	—	5	—	9	6	—	—	—	—	—	—	—	—	—	Mai
7.7	7.5	7.5	7.6	241	73	26	19	14	—	—	2	—	1	16	—	—	—	—	—	—	—	—	—	Juni
6.1	6.0	7.1	6.4	185	33	2	21	18	—	1	9	1	3	11	—	—	—	—	—	—	—	—	—	Juli
4.3	4.2	4.1	4.2	56	17	3	10	8	—	—	1	—	11	6	—	—	—	—	—	—	—	—	—	August
5.3	5.2	4.9	5.1	72	14	21	10	7	—	—	—	—	8	7	—	—	—	—	—	—	—	—	—	September
8.2	6.0	5.2	6.5	34	21	29	9	6	—	—	—	8	2	13	—	—	—	—	—	—	—	—	—	Oktober
8.4	6.3	7.4	7.4	27	11	5	6	4	—	—	—	9	3	18	—	—	—	—	—	—	—	—	—	November
9.1	8.7	8.6	8.8	29	9	19	8	7	3	—	—	14	1	25	—	—	—	—	—	—	—	—	—	Dezember
6.8	6.1	6.0	6.3	931	73	VI	139	106	30	1	19	44	60	158	—	—	—	—	—	—	—	—	—	Jahr

Beobachter: Nordostschweiz. Kraftwerke

Baden

10.0	8.5	8.4	9.0	23	7	31	9	7	9	—	—	1	—	24	8	14	25	—	—	2	17	10	17	Januar
9.8	7.0	6.3	7.7	54	12	1	12	11	11	—	—	5	—	15	16	18	3	—	—	4	20	7	16	Februar
3.6	2.7	1.2	2.5	5	2	27	4	2	—	—	—	2	16	2	7	22	27	3	1	6	7	10	10	März
6.4	5.2	3.9	5.2	87	22	10	11	8	1	—	—	2	4	9	3	5	21	1	—	18	25	2	15	April
4.5	5.5	4.5	4.8	74	21	27	12	9	—	—	1	1	9	6	24	5	12	—	—	4	31	14	3	Mai
7.6	6.9	7.1	7.2	243	75	25	19	17	—	1	2	1	2	13	—	3	—	—	—	5	50	12	20	Juni
6.2	5.5	5.9	5.9	100	18	13	15	14	—	—	3	1	4	10	4	5	2	—	—	5	47	24	6	Juli
5.6	4.8	3.9	4.8	50	30	21	7	7	—	—	—	3	9	8	21	4	2	—	—	9	35	11	11	August
6.1	5.0	4.8	5.3	73	15	21	13	10	—	—	—	2	8	9	7	7	15	—	—	22	19	10	10	September
8.9	5.6	5.9	6.8	26	12	29	6	6	—	—	—	11	1	10	3	17	26	1	—	12	19	1	14	Oktober
9.3	7.1	7.3	7.9	16	9	5	5	4	—	—	—	14	2	20	1	5	37	—	—	3	30	1	13	November
9.6	9.2	8.5	9.1	23	5	20	9	7	4	—	—	14	1	27	3	18	8	—	—	14	20	11	19	Dezember
7.3	6.1	5.6	6.3	774	75	VI	122	102	25	1	6	57	56	153	97	123	178	5	1	104	320	113	154	Jahr

Beobachter: A. Meyer

Winterthur

8.8	8.7	8.6	8.7	27	6	31	11	8	11	—	—	—	—	22	—	4	1	1	—	—	—	—	87	Januar
9.1	7.5	7.1	7.9	59	14	1	12	11	10	—	—	3	1	17	—	7	4	2	9	—	—	—	62	Februar
3.8	2.6	2.6	3.0	4	2	31	4	2	2	—	—	—	12	2	—	9	4	3	3	—	—	—	74	März
6.3	5.6	4.4	5.4	74	14	9	11	9	1	—	—	1	6	7	1	--	5	1	7	1	—	—	75	April
4.6	5.0	4.2	4.6	91	38	27	13	10	2	—	1	—	4	4	2	2	8	3	3	—	—	—	75	Mai
7.8	7.4	7.0	7.4	226	82	25	19	18	—	—	2	1	1	14	1	1	2	6	2	1	—	—	77	Juni
5.8	6.2	6.5	6.2	147	24	5	20	18	—	—	-?	—	4	9	—	1	1	4	4	—	1	—	82	Juli
5.2	4.3	4.7	4.7	37	10	21	9	9	—	—	1	2	8	4	—	2	1	1	1	—	—	—	88	August
5.4	5.4	4.8	5.2	62	12	21	11	7	—	—	—	1	8	8	1	5	6	2	1	—	—	—	75	September
8.6	6.8	6.7	7.4	35	16	29	9	7	—	—	—	9	—	16	1	2	3	2	—	—	—	—	85	Oktober
9.0	7.3	7.2	7.8	19	8	5	8	4	—			12	2	19		1	1	1	1	—	—	—	80	November
9.0	8.3	8.9	8.7	27	8	19	11	7	4	—	—	8	2	24	—	1	—	—	1	—	—	—	91	Dezember
7.0	6.2	6.0	6.4	808	82	VI	138	110	30	—	4?	37	48	146	6	35	36	26	32	2	1	—	957	Jahr

Frauenfeld

$\lambda = 8° 54'$, $\beta = 47° 34'$, $H_b = 432.9^m$, $G = 0.06$ ‰, $h_r = 1.5^m$

1953	Luftdruck					Luft-Temperatur								Relative Feuchtigkeit					
	Mittel	Minimum	Tag	Maximum	Tag	7^{30}	13^{30}	21^{30}	Mittel	Minimum	Tag	Maximum	Tag	7^{30}	13^{30}	21^{30}	Mittel	Minimum	Tag
Januar	726.3	707.7	1	735.6	20	-3.2	-0.6	-2.5	-2.2	-9.8	12	6.8	31	88	73	85	82	52	28
Februar	724.7	702.8	10	736.6	27	-2.2	1.6	-1.0	-0.6	-12.1	8	6.8	20	90	69	81	80	45	11
März	732.3	722.0	30	737.9	10	0.3	9.9	4.3	4.7	-5.0	3	19.2	30	90	43	65	66	25	24
April	722.6	709.8	27	727.8	11	6.7	14.2	8.7	9.6	1.8	15	19.6	4. 24	87	48	76	70	25	4
Mai	724.5	715.3	13	730.5	27	13.0	19.1	13.3	14.7	1.7	10	29.0	26	73	43	69	62	27	11. 13
Juni	721.8	713.7	2	727.4	19	14.5	18.8	14.7	15.7	5.7	2	26.1	30	82	60	84	75	27	5
Juli	725.2	717.3	12	733.5	20	17.6	22.4	17.2	18.6	12.3	11	28.7	22	80	51	84	72	31	22
August	727.3	718.8	21	733.2	5	15.6	21.9	16.0	17.4	11.0	28	28.4	13	81	48	83	71	32	19
September	725.8	719.0	19	734.6	7	11.8	18.6	13.4	14.3	5.8	14	27.4	2	90	56	85	77	35	14
Oktober	726.3	716.2	13	735.2	1	7.8	12.9	9.1	9.7	-0.1	31	18.7	14	98	69	94	87	44	6
November	731.2	716.0	2	736.3	15	1.1	4.3	2.1	2.4	-3.0	29	9.6	5	98	85	96	93	61	7
Dezember	729.1	722.1	19	734.2	1	0.5	2.5	1.0	1.3	-5.1	31	10.7	1	95	88	94	92	60	1
Jahr	726.4	702.8	II	737.9	III	7.0	12.1	8.0	8.8	-12.1	II	29.0	V	88	61	83	77	25	III IV

Kreuzlingen

$\lambda = 9° 10'$, $\beta = 47° 39'$, $H_b = 445.6^m$, $G = 0.06$ ‰, $h_r = 1.4^m$

Januar	724.8	706.9	1	734.0	20	-2.9	-0.5	-2.4	-2.1	-7.4	12	6.4	31	88	72	86	82	50	28
Februar	723.2	702.7	10	736.0	26	-2.1	1.2	-1.2	-0.8	-12.0	8	6.8	20	90	60	83	80	44	28
März	730.6	720.3	30	736.3	10	2.6	9.1	4.6	5.2	-2.6	4	18.6	30	76	44	58	59	26	30
April	721.0	708.8	27	726.4	11	7.4	13.7	8.7	9.6	1.4	15	21.2	4	85	48	71	68	22	4
Mai	723.0	715.4	13	728.9	27	11.8	18.4	12.7	13.9	0.8	10	28.6	26	72	42	69	61	25	div.
Juni	720.3	712.5	2	725.9	19	13.8	18.2	13.9	14.9	5.8	2	24.8	30	83	56	83	74	24	17
Juli	723.8	716.4	12	732.0	20	16.8	21.6	16.4	17.8	11.4	10	27.8	26	76	49	82	69	25	21
August	725.8	717.3	21	731.5	5	15.4	21.2	16.0	17.1	10.8	28	26.8	13. 14	80	45	75	67	27	28
September	724.3	717.5	19	732.9	7	12.9	18.1	13.2	14.3	8.8	14	25.0	1. 2. 9	82	53	82	72	28	9
Oktober	724.9	714.8	13	733.5	1	8.6	12.7	9.2	9.9	2.5	31	17.0	4. 21	97	68	91	85	40	6
November	729.6	715.1	2	734.8	16	2.0	4.5	2.6	2.9	-0.8	26. 29	10.0	5	97	81	96	91	54	28
Dezember	727.6	720.5	29	732.6	2	0.7	2.6	1.2	1.4	-5.4	31	10.6	1	95	88	95	93	56	25
Jahr	724.9	702.7	II	736.3	III	7.2	11.7	7.9	8.7	-12.0	II	28.6	V	85	60	81	75	22	IV

Haidenhaus

$\lambda = 9° 0'$, $\beta = 47° 39'$, $H_b = 694.4^m$, $G = —$ ‰, $h_r = 1.7^m$

Januar	—	—	—	—	—	-4.7	-2.7	-4.3	-4.0	-9.2	23	4.1	31	--	—	—	--	—	—
Februar	—	—	—	—	—	-3.3	-0.6	-2.1	-2.0	-12.9	8	5.4	21	—	—	—	—	—	—
März	—	—	—	—	—	2.6	7.5	5.0	5.0	-4.3	15	15.6	30	—	—	—	—	—	—
April	—	—	—	—	—	7.4	11.5	8.4	8.9	0.1	15	19.4	4	—	—	—	—	--	—
Mai	—	—	—	—	—	11.7	16.7	12.6	13.4	-0.6	10	26.2	26	—	—	—	—	—	—
Juni	—	—	—	—	—	12.7	16.8	13.4	14.1	3.8	2	22.3	21	—	—	—	—	—	—
Juli	—	—	—	—	—	16.6	20.1	16.0	17.2	11.6	14	26.5	26	—	—	—	—	—	—
August	—	—	—	—	—	15.2	20.0	16.0	16.8	11.3	24	27.1	20	—	—	—	—	—	—
September	—	—	—	—	—	12.1	16.8	12.8	13.6	7.2	14	25.0	2	—	—	—	—	—	—
Oktober	—	—	—	—	—	7.6	11.7	8.7	9.2	0.0	31	19.2	21	—	—	—	—	—	—
November	—	—	—	—	—	0.8	3.9	1.8	2.1	-2.8	24	9.8	29	—	—	—	—	—	—
Dezember	—	—	—	—	—	0.7	3.3	1.6	1.8	-7.0	31	9.6	2. 5	—	—	—	—	—	—
Jahr	—	—	—	—	—	6.6	10.4	7.5	8.0	-12.9	II	27.1	VIII	—	—	—	—	—	—

Haidenhaus: Beobachterwechsel am 1. Dezember.

St. Gallen (Bruggen)

$\lambda = 9° 20'$, $\beta = 47° 24'$, $H_b = 678.8^m$, $G = -0.01$ ‰, $h_r = 1.5^m$

Januar	704.1	686.9	1	712.9	20	-5.0	-1.0	-4.6	-3.8	-12.5	22	8.4	28	85	68	84	79	41	31
Februar	702.8	682.4	10	713.9	26	-3.6	1.9	-2.5	-1.7	-11.0	8	8.3	10	93	68	90	84	42	10
März	710.3	702.0	30	715.4	10. 25	-0.1	8.9	2.0	3.2	-9.3	9	19.8	30	88	52	82	74	30	30
April	701.7	689.8	27	706.0	11	5.8	12.6	6.4	7.8	0.1	15	19.5	4	88	56	86	77	34	4
Mai	703.6	695.8	13	709.2	27	10.6	17.0	10.8	12.3	-0.4	10	27.6	26	86	54	82	74	33	26
Juni	701.3	693.2	2	705.9	19	12.0	17.5	12.7	13.7	2.4	2	24.2	30	92	62	89	81	36	30
Juli	704.6	697.6	12	712.3	19. 20	15.1	20.4	15.4	16.6	10.2	10	27.6	22	89	60	88	79	41	31
August	706.6	699.2	21	711.7	5	13.6	20.2	14.4	15.6	9.4	22. 25	26.6	13	89	56	89	78	39	30
September	705.1	699.6	19	713.4	7	11.1	17.5	11.9	13.1	4.6	14	26.2	2	90	61	90	80	40	9
Oktober	705.2	695.9	13	713.6	1	7.0	12.3	8.1	8.9	-0.2	31	17.8	14	97	72	95	88	54	8
November	709.0	695.3	3	713.6	15. 16	-0.2	5.2	1.5	2.0	-4.4	26	12.8	29	94	80	91	88	42	28. 29
Dezember	707.0	701.1	19	712.4	1	-0.3	3.4	0.5	1.0	-6.8	31	12.4	1	94	82	95	90	54	3. 25
Jahr	705.1	682.4	II	715.4	III	5.5	11.3	6.4	7.4	-12.5	I	27.6	V VII	90	64	88	81	30	III

Beobachter: S. Dannacher

Frauenfeld

Bewölkung				Niederschlag		Zahl der Tage								Windverteilung								1953
7^{30}	13^{30}	21^{30}	Mittel	Summe	Maximum Tag	•	≧Lö	*	▲	K.	≡	heiter	trüb	N	NE	E	SE	S	SW	W	NW	Calmen	
9.7	8.9	8.5	9.0	20	4	10	11	7	11	—	—	—	—	24	—	13	18	8	8	9	2	—	35	Januar
9.8	8.1	7.2	8.4	47	9	2	13	10	12	—	—	5	—	19	4	10	8	1	2	13	3	—	43	Februar
4.5	3.1	3.4	3.7	5	2	11	5	2	3	—	—	2	11	5	3	11	11	8	5	8	5	2	40	März
7.3	5.5	5.2	6.0	62	13	13	13	10	2	—	1	3	5	11	1	12	9	12	4	15	5	1	31	April
5.7	6.0	4.6	5.4	103	29	27	12	11	1	—	1	—	4	7	3	10	16	10	2	9	5	2	36	Mai
7.9	7.8	7.1	7.6	178	57	25	19	17	—	—	4	1	1	17	4	5	8	4	2	13	6	1	47	Juni
6.5	6.5	7.2	6.7	145	32	26	20	16	—	1	4	2	4	14	3	4	2	8	5	12	7	5	47	Juli
5.8	5.2	4.9	5.3	48	9	6	10	9	—	—	1	3	6	8	1	8	10	10	5	12	5	1	41	August
5.8	5.6	5.0	5.5	59	13	19	8	7	—	—	—	1	8	10	2	9	11	11	4	7	2	2	42	September
8.8	7.0	8.1	8.0	38	16	29	10	6	—	—	—	10	1	18	3	11	7	8	3	2	2	—	57	Oktober
9.3	7.6	8.0	8.3	18	6	5.6	6	4	—	—	—	12	1	21	1	10	8	6	8	4	1	3	49	November
9.3	9.3	9.0	9.2	25	7	29	8	6	2	—	—	11	1	26	—	10	13	3	1	5	2	—	59	Dezember
7.5	6.7	6.5	6.9	748	57	VI	135	105	31	1	11	50	42	180	25	113	121	89	49	109	45	17	527	Jahr

Beobachter: Fam. Zwick

Kreuzlingen

9.9	9.4	8.3	9.2	16	3	9	9	8	9	—	—	2	—	26	1	2	—	—	—	2	7	—	81	Januar
9.4	7.6	7.0	8.0	47	11	10	13	12	11	—	—	5	—	19	2	4	7	—	—	12	4	—	55	Februar
4.6	2.5	1.1	2.7	5	2	11	4	2	2	—	—	3	14	—	2	4	5	—	—	3	5	3	71	März
5.9	4.9	4.2	5.0	50	13	14	12	10	—	—	1	3	9	10	1	1	1	—	1	3	7	—	76	April
4.6	4.9	4.5	4.7	105	38	27	15	15	1	—	5	2	9	6	1	4	3	—	—	5	10	4	66	Mai
7.3	7.4	6.7	7.1	133	21	25	19	18	—	—	1	—	3	15	—	—	1	—	—	4	5	1	79	Juni
5.9	6.2	5.5	5.9	154	27	3	17	16	—	—	4	1	4	8	1	—	—	—	—	8	12	3	69	Juli
5.2	4.3	3.2	4.2	45	11	3	9	7	—	—	—	2	8	6	2	1	1	—	—	5	7	2	75	August
5.8	5.1	3.7	4.9	43	8	23	9	8	—	—	—	—	9	7	2	—	—	—	—	7	9	1	71	September
8.9	6.2	4.4	6.5	44	17	29	8	8	—	—	—	9	3	12	—	2	—	—	—	2	2	—	87	Oktober
9.8	7.3	6.4	7.8	11	4	3	7	3	—	—	—	17	1	18	—	—	—	—	—	2	1	—	87	November
9.4	9.3	7.9	8.9	25	6	19	11	8	4	—	—	13	1	21	—	3	2	—	—	6	1	—	81	Dezember
7.2	6.2	5.2	6.2	678	38	V	133	115	27	—	11	57	61	148	12	21	20	—	1	59	70	14	898	Jahr

Beobachter: J. und E. Sommer, A. Mächler

Haidenhaus

9.6	9.0	9.4	9.3	21	5	25	6	6	6	—	—	—	—	28	7	15	—	2	—	15	—	2	52	Januar
8.9	6.6	6.0	7.2	54	11	1	10	10	10	—	—	9	2	15	4	9	—	16	—	26	1	7	21	Februar
3.8	2.2	3.4	3.1	14	9	11	5	4	2	—	—	—	12	3	4	45	—	—	1	18	3	7	15	März
5.8	5.7	5.3	5.6	64	13	14	12	9	2	—	1	4	8	8	1	13	1	2	2	28	2	3	38	April
4.4	5.0	6.7	5.4	97	37	27	13	11	1	—	4	2	8	11	11	32	—	9	—	21	—	12	8	Mai
8.1	7.5	7.7	7.8	166	33	25	19	18	—	—	6	8	1	18	2	16	—	1	—	46	—	11	14	Juni
6.2	5.9	5.9	6.0	130	36	26	18	17	—	1	7	1	6	14	3	—	—	—	2	44	7	21	16	Juli
4.6	4.0	4.4	4.3	54	11	3	9	9	—	—	1	—	12	9	8	15	—	—	—	23	3	15	29	August
5.0	5.3	4.5	4.9	57	12	19	9	7	—	—	—	4	11	11	7	6	—	—	—	19	3	1	54	September
7.3	5.7	6.3	6.4	47	20	29	8	5	—	—	—	15	6	15	5	17	—	—	—	4	4	2	61	Oktober
7.9	6.5	6.9	7.1	10	—	—	5	4	—	—	—	18	4	16	6	2	—	—	—	6	7	1	68	November
7.9	6.5	7.4	7.3	26	5	25	11	10	8	—	—	13	8	20	12	7	5	18	1	24	3	—	23	Dezember
6.6	5.8	6.2	6.2	740	37	V	125	110	29	1	19	74	78	168	70	177	6	48	6	274	33	82	399	Jahr

Beobachter: P. Flückiger

St. Gallen (Bruggen)

8.4	6.9	8.5	7.8	44	12	25	11	9	11	—	—	3	2	16	4	8	2	25	2	4	7	—	41	Januar
8.1	7.1	7.1	7.4	33	15	2	8	8	8	—	—	1	3	16	1	14	—	22	4	12	6	1	24	Februar
4.8	2.8	3.2	3.6	13	4	31	7	4	4	—	—	—	13	4	3	21	1	39	8	1	5	2	13	März
5.8	5.0	4.7	5.2	123	20	14	14	9	2	—	2	—	9	10	1	12	—	24	9	6	9	3	26	April
5.5	4.9	5.6	5.3	116	23	27	15	14	2	—	3	1	5	6	9	8	—	20	13	3	9	12	19	Mai
7.4	7.4	7.2	7.3	265	56	15	23	19	1	—	4	1	1	17	10	5	1	13	12	7	9	2	31	Juni
6.3	5.8	9.5	7.2	203	27	5	21	18	—	—	4	—	5	12	9	4	—	19	10	8	10	4	29	Juli
5.7	4.5	4.7	5.0	47	12	6	11	8	—	—	1	—	6	9	5	9	—	31	6	6	10	8	18	August
5.5	4.8	5.1	5.1	84	25	28	11	7	—	—	—	2	8	6	4	8	1	21	5	11	11	6	23	September
7.1	5.6	6.2	6.3	50	19	29	7	6	—	—	—	7	4	13	4	7	1	23	8	—	6	5	39	Oktober
6.4	5.6	6.3	6.1	34	22	6	4	3	—	—	—	15	6	11	6	4	1	29	6	4	5	1	34	November
7.4	7.5	7.9	7.6	27	9	29	11	7	8	—	—	12	3	20	1	6	2	19	6	5	5	—	49	Dezember
6.5	5.7	6.3	6.2	1039	56	VI	143	112	36	—	14	42	65	140	57	106	9	285	89	67	92	44	346	Jahr

Heiden

$\lambda = 9° 32'$, $\beta = 47° 27'$, $H_b = 811.4^m$, $G = -0.03$ ‰, $h_r = 1.7^m$

1953	Luftdruck					Luft-Temperatur								Relative Feuchtigkeit					
	Mittel	Minimum	Tag	Maximum	Tag	7^{30}	13^{30}	21^{30}	Mittel	Minimum	Tag	Maximum	Tag	7^{30}	13^{30}	21^{30}	Mittel	Minimum	Tag
Januar	691.9	675.0	1	700.8	20	-5.7	-2.5	-5.5	-4.8	-12.5	22	7.5	31	93	80	94	89	35	31
Februar	690.7	670.6	10	701.8	26	-4.4	-0.1	-3.8	-3.0	-12.1	8. 17	5.7	22	88	69	89	82	33	10
März	698.5	690.6	30	703.5	10 . 25	0.3	6.9	1.0	2.3	-10.3	9	16.9	30	71	49	76	65	32	21 . 22 . 30
April	690.1	678.5	27	694.8	11	6.5	10.7	5.4	7.0	-0.6	15	16.9	4	68	57	81	69	30	4
Mai	692.3	684.6	13	698.0	27	10.8	15.0	9.4	11.2	-2.9	10	24.3	26	65	55	75	65	26	16
Juni	690.0	681.9	2	694.7	19	12.0	15.1	11.7	12.6	1.9	2	20.9	8. 30	80	68	84	77	36	5
Juli	693 8	686.7	13	700.7	20	15.1	18.3	14.5	15.6	6.9	11	24.9	22	78	63	80	74	36	17 . 21
August	695.3	687.7	21	700.5	5	13.9	18.3	13.1	14.6	6.7	28	24.9	14	76	60	81	72	37	19 . 28
September	693.6	688.0	20	702.1	7	11.3	16.2	11.5	12.6	5.9	14	24.3	27	80	62	79	74	29	27
Oktober	693.6	684.4	13	702.4	1	7.2	11.5	7.4	8.4	-0.1	31	18.1	14	89	72	88	83	33	13
November	697.2	683.9	3	701.6	15	0.5	4.8	1.0	1.8	-4.9	25	11.9	29	83	74	85	81	15	27
Dezember	695.1	688.8	29	701.1	1	0.7	4.1	0.6	1.5	-8.1	31	14.9	4	84	75	89	83	33	4
Jahr	693.5	670.6	II	703.5	III	5.7	9.8	5.5	6.6	-12.5	I	24.9	VII VIII	80	65	83	76	15	XI

Altstätten

$\lambda = 9° 33'$, $\beta = 47° 33'$, $H_b = 467.6^m$, $G = 0.01$ ‰, $h_r = 1.5^m$

Januar	723.0	706.3	1	732.2	20	-5.7	-1.1	-4.4	-3.9	-14.5	23	5.1	30	*86	*70	*84	*80	—	—
Februar	721.4	700.7	11	736.5	21	-3.2	2.0	-1.9	-1.2	-9.6	8. 17	8.2	10 . 20	*90	*70	*86	*82	—	—
März	728.9	719.4	30	734.5	10	1.6	10.8	3.8	5.0	-5.7	9	21.4	30	86	52	74	71	39	11
April	719.3	706.5	27	725.3	11	7.4	15.0	8.6	9.9	0.2	15	21.2	26	86	60	82	76	42	4
Mai	721.2	712.5	13	727.1	27	12.0	19.2	12.1	13.8	1.2	10	29.2	26	82	61	79	74	39	16
Juni	718.8	711.3	1. 2	724.1	19	13.8	19.1	13.8	15.1	5.4	2	25.6	30	85	67	85	79	42	5
Juli	722.1	714.4	12	730.6	19	16.6	22.3	16.3	17.9	10.2	11	29.0	22	85	65	86	79	45	12
August	724.1	715.6	21	729.9	5	15.4	22.5	15.7	17.3	9.8	22	29.2	13 . 14	84	61	82	76	47	19 . 28
September	722.5	715.2	19	731.1	7	12.3	19.7	13.7	14.8	7.0	14	27.8	2	91	64	82	79	42	9
Oktober	723.1	712.5	13	734.8	1	8.2	14.3	9.7	10.5	0.8	31	20.6	13 . 14	95	73	89	86	39	1
November	727.8	712.7	3	732.6	15 . 16	0.2	4.7	2.0	2.2	-6.6	27	11.8	5	96	84	92	91	44	1
Dezember	725.7	718.7	19	730.9	1	0.1	3.2	0.9	1.3	-5.5	31	13.2	4	95	87	93	92	57	25
Jahr	723.2	700.7	II	736.5	II	6.5	12.6	7.5	8.5	-14.5	I	29.2	V VIII	88	68	84	80	39	III V/X

Säntis

$\lambda = 9° 20'$, $\beta = 47° 15'$, $H_b = 2500.1^m$, $G = -0.27$ ‰, $h_r = 1.3^m$

Januar	557.7	544.6	1	566.2	29	-10.7	-9.4	-10.3	-10.2	-16.2	9	-0.4	30	81	78	76	78	21	20
Februar	557.2	540.7	11	571.5	26	-10.1	-8.1	-10.1	-9.6	-23.8	8	5.7	26	75	70	76	74	13	27
März	566.1	572.0	24 . 25	559.8	11	-5.9	-4.3	-6.1	-5.6	-17.3	8	2.8	30	60	63	69	64	7	6
April	560.3	552.3	27	564.8	11	-3.2	-1.1	-3.4	-2.8	-11.2	15	4.2	26	84	82	91	86	43	21
Mai	563.7	551.9	10	571.8	26	1.2	2.4	0.2	1.0	-11.4	10	12.6	18	78	78	88	81	22	29
Juni	562.3	550.3	2	567.7	20	2.3	4.3	2.0	2.6	-8.2	2	11.6	29	84	84	95	88	41	5
Juli	566.8	558.6	13	572.5	20	5.6	8.0	6.0	6.4	-1.4	10 . 11	15.8	26	88	77	88	84	18	20
August	568.2	560.3	22	573.5	31	5.3	7.6	5.2	5.8	-1.9	22	15.0	12	76	81	83	80	6	8
September	566.2	559.9	22	574.5	7	3.6	6.7	4.0	4.6	-4.0	11	14.8	2	78	72	77	76	2	14
Oktober	564.9	559.5	13 . 15	573.9	1	1.4	3.8	1.4	2.0	-7.4	30	9.0	2	68	63	67	66	2	6
November	566.8	553.1	3	571.9	16	-1.4	0.8	-1.1	-0.7	-9.8	7	5.0	14	50	46	49	48	6	12 . 21
Dezember	563.7	554.0	31	571.8	1	-5.1	-3.2	-4.9	-4.5	-20.4	31	6.1	3	76	67	70	71	28	6
Jahr	563.7	540.7	II	574.5	IX	-1.4	0.6	-1.4	-0.9	-23.8	II	15.8	VII	75	72	77	75	2	IX X

Sargans

$\lambda = 9° 26'$, $\beta = 47° 3'$, $H_b = 509.9^m$, $G = -0.05$ ‰, $h_r = 1.5^m$

Januar	718.7	700.6	1	727.8	20	-5.8	-1.4	-4.3	-4.0	-17.2	15	5.0	29	89	73	87	83	48	28
Februar	717.4	695.9	10	729.0	26	-3.4	1.6	-1.0	-0.9	-11.0	17	7.6	20	83	68	83	78	38	10
März	724.8	716.2	30	730.3	3	2.5	10.3	5.4	5.9	-5.2	9	19.8	30	71	46	65	61	26	20
April	715.4	702.5	27	720.1	1. 29	8.2	14.7	10.0	10.7	0.6	15	20.8	26	76	52	73	67	32	3
Mai	717.3	708.7	13	723.8	26	12.5	18.7	14.0	14.8	3.6	10	29.0	18	77	53	72	67	30	15 . 16
Juni	714.8	707.0	2. 9	720.1	19	13.3	18.2	14.5	15.1	6.0	2	25.2	30	84	64	84	77	34	5
Juli	718.2	711.0	12	726.5	20	16.5	22.0	17.3	18.2	11.2	11	28.3	26	83	58	83	75	42	12
August	720.2	711.9	21	726.2	5	15.1	21.3	16.8	17.5	11.2	23	28.2	13	85	62	84	77	43	5
September	718.6	712.1	21	727.1	7	13.6	19.5	15.4	16.0	8.8	14	26.6	2	86	63	79	76	37	15
Oktober	719.0	709.2	13 . 14	727.9	1	9.2	14.6	11.1	11.5	2.5	31	21.0	14	87	67	83	79	38	13
November	723.7	709.0	3	728.7	16	2.3	6.4	3.3	3.8	-3.3	20	15.2	28	84	73	85	81	16	27
Dezember	721.5	714.7	29	727.3	1	3.1	5.3	2.8	3.5	-6.3	31	17.8	4	79	75	84	79	35	8
Jahr	719.1	695.9	II	730.3	III	7.3	12.6	8.8	9.4	-17.2	I	29.0	V	82	63	80	75	16	XI

Beobachter: **Frau F. Niederer-Tobler**

Heiden

Bewölkung				Niederschlag			Zahl der Tage								Windverteilung									1952
7^{30}	13^{30}	21^{30}	Mittel	Summe	Maximum	Tag	• *	•* ≧1.0	*	▲	K	≡	heiter	trüb	N	NE	E	SE	S	SW	W	NW	Calmen	
7.6	6.8	6.8	7.1	53	20	25	10	7	10	—	—	9	2	15	19	1	5	—	5	2	11	38	12	Januar
7.6	7.2	5.3	6.7	55	20	2	8	8	8	—	—	6	6	14	2	15	9	—	14	10	27	4	3	Februar
3.3	2.8	2.3	2.8	23	6	7	6	6	4	—	—	3	17	3	4	18	20	1	9	4	25	8	4	März
5.3	4.7	3.7	4.6	160	26	15	15	13	5	1	2	1	9	6	12	6	11	14	12	3	28	3	1	April
4.2	4.7	5.7	4.9	173	41	27	15	14	3	—	5	—	7	8	11	19	12	10	5	3	16	17	—	Mai
7.9	7.9	8.0	7.9	186	24	14	22	20	2	1	4	2	2	20	4	13	23	8	11	7	20	1	3	Juni
6.4	6.3	6.9	6.5	202	30	18	21	20	—	—	4	—	5	16	4	—	12	3	10	4	45	11	4	Juli
4.8	4.2	4.3	4.4	82	20	21	10	9	—	—	1	1	12	9	—	14	17	1	5	4	39	3	10	August
5.1	4.9	4.2	4.7	122	33	28	11	8	—	—	—	4	10	7	1	—	8	3	10	4	34	15	15	September
7.2	5.7	4.8	5.9	69	28	29	8	7	—	—	—	9	6	12	8	1	9	10	4	—	23	19	19	Oktober
4.4	5.3	4.5	4.7	38	24	6	4	3	—	—	—	11	12	8	—	—	29	2	3	14	19	—	23	November
6.5	6.2	6.2	6.3	36	10	25	8	8	6	—	—	12	7	14	6	—	24	2	9	19	8	1	24	Dezember
5.8	5.6	5.2	5.5	1199	41	V	138	123	38	2	16	58	95	132	71	87	179	54	97	74	295	120	118	Jahr

Beobachter: **E. Eisenring**

Altstätten

7.4	6.1	6.7	6.7	49	16	31	8	6	8	—	—	9	4	15	1	4	—	—	—	1	—	6	81	Januar
8.8	6.8	7.1	7.6	32	16	2	9	5	8	—	—	6	4	17	—	2	—	—	—	12	1	4	65	Februar
4.0	3.0	1.8	2.9	13	4	31	6	5	3	—	—	1	18	4	—	10	—	3	—	8	—	19	53	März
6.2	6.1	4.4	5.6	110	2)	14	13	11	3	—	—	2	9	11	—	12	1	3	—	12	—	14	48	April
4.8	5.5	5.9	5.4	140	32	27	17	16	1	—	2	1	6	11	2	20	1	2	—	14	1	14	39	Mai
7.8	8.1	6.9	7.6	183	26	9	21	18	—	—	—	11	—	15	1	18	1	1	—	12	1	15	41	Juni
6.5	6.3	6.4	6.4	217	38	9	20	20	—	—	1	2	5	13	1	19	—	4	—	6	1	16	46	Juli
5.1	4.8	3.8	4.6	50	18	21	10	8	—	—	—	—	11	10	3	16	—	1	1	7	1	16	48	August
5.5	5.0	3.7	4.7	89	21	10	9	8	—	—	—	5	10	6	3	12	—	6	—	12	—	16	41	September
8.2	6.4	4.9	6.5	51	16	29	7	7	—	—	—	15	3	11	2	5	—	6	—	8	—	15	57	Oktober
7.1	7.1	5.9	6.7	29	20	6	4	3	1	—	—	20	5	15	1	7	—	4	—	10	—	13	55	November
8.1	8.1	8.1	8.1	33	10	19	6	5	3	—	—	20	3	19	—	12	—	1	—	4	—	11	65	Dezember
6.6	6.1	5.5	6.1	996	38	VII	130	112	27	—	3	92	78	147	14	137	3	31	1	106	5	159	639	Jahr

Beobachter: **E. Hostettler**

Säntis

5.2	4.2	3.9	4.4	56	22	25	10	6	10	—	—	16	11	7	21	19	8	4	1	10	27	5	—	Januar
5.1	5.7	5.2	5.3	108	23	2	10	10	10	—	—	14	10	12	13	15	3	3	3	8	33	6	0	Februar
4.5	3.8	3.0	3.8	51	24	31	9	8	9	—	—	10	15	4	12	20	8	13	7	10	22	1	—	März
6.9	6.1	6.0	6.3	136	29	27	15	14	15	—	—	20	4	14	13	3	2	6	13	16	31	2	4	April
5.6	6.8	6.9	6.4	202	38	30	17	17	13	—	5	20	2	11	20	10	7	3	6	7	30	10	—	Mai
8.2	9.4	8.5	8.7	338	70	26	25	24	12	—	1	25	—	20	3	1	4	9	13	21	35	4	—	Juni
6.7	7.3	7.5	7.2	393	41	18	22	22	7	—	2	25	4	17	6	1	1	3	9	30	33	10	—	Juli
6.2	7.0	5.4	6.2	160	49	6	13	11	3	—	2	24	3	10	12	4	2	3	4	24	35	8	1	August
6.0	6.6	5.8	6.1	140	36	10	12	10	8	—	1	18	5	11	7	—	1	4	16	26	34	2	—	September
4.8	4.8	4.5	4.7	61	26	29	9	7	6	—	—	8	12	6	8	14	10	16	22	15	5	3	—	Oktober
3.1	3.4	2.8	3.1	39	27	6	5	4	5	—	—	5	13	3	8	11	6	4	7	24	26	4	—	November
5.2	5.7	5.7	5.5	120	40	29	12	8	12	—	—	14	8	7	10	6	4	7	18	22	20	6	—	Dezember
5.6	5.9	5.4	5.6	1804	70	VI	159	141	110	—	11	199	87	122	133	104	56	75	119	213	331	59	5	Jahr

Beobachter: **J. Albrecht**

Sargans

6.7	5.5	6.3	6.2	41	14	25	8	7	8	—	—	4	5	12	—	12	51	3	—	—	15	9	3	Januar
7.1	4.9	5.6	5.9	46	16	2	7	6	7	—	—	4	6	12	—	6	37	21	1	1	10	6	2	Februar
4.2	3.4	2.8	3.5	18	11	7	6	4	3	—	—	1	15	4	—	2	13	29	10	—	29	6	4	März
6.2	5.7	5.4	5.8	92	19	10	14	13	2	—	1	—	7	11	1	—	6	19	2)	3	29	9	3	April
5.0	6.0	6.2	5.7	119	23	27	17	14	1	—	1	—	4	9	4	1	14	11	23	—	26	12	2	Mai
7.8	7.8	8.1	7.9	190	38	26	20	17	—	—	—	—	—	16	—	—	7	22	4	4	41	11	1	Juni
6.3	6.1	6.3	6.2	163	26	9	20	18	—	—	—	1	4	12	—	—	4	14	3	1	66	2	3	Juli
5.6	5.3	4.9	5.3	67	17	6	10	10	—	—	1	—	5	9	—	—	12	18	3	10	44	5	1	August
5.5	5.4	5.0	5.3	74	18	28	10	8	—	—	—	1	6	8	—	—	22	18	9	10	26	4	1	September
6.7	6.1	5.4	6.1	65	22	29	9	8	—	—	—	4	3	7	—	2	33	17	13	—	24	1	3	Oktober
6.1	5.5	5.0	5.5	14	8	6	5	3	—	—	—	12	6	12		1	39	16	11	1	14	4	4	November
6.3	7.0	7.5	6.9	43	21	29	7	6	5	—	—	8	4	16	—	3	31	11	13	4	17	10	4	Dezember
6.1	5.7	5.7	5.8	932	38	VI	153	114	26	—	3	35	65	128	5	27	269	199	110	34	341	79	31	Jahr

Bad Ragaz

$\lambda = 9° 30'$, $\beta = 47° 0'$, $H_b = 518^m$, $G = -0.06$ ‰, $h_r = 1.6^m$

1953	Luftdruck					Luft-Temperatur								Relative Feuchtigkeit					
	Mittel	Minimum	Tag	Maximum	Tag	7^{30}	13^{30}	21^{30}	Mittel	Minimum	Tag	Maximum	Tag	7^{30}	13^{30}	21^{30}	Mittel	Minimum	Tag
Januar	718.6	700.1	1	727.7	20	-6.7	-1.4	-4.9	-4.5	-17.4	15	7.3	29	97	79	95	90	51	31
Februar	717.2	696.4	10	728.9	26	-4.2	1.3	-1.6	-1.5	-10.9	15	7.6	22	91	73	89	84	41	10
März	724.6	716.4	30. 31	730.0	10	2.0	11.1	4.6	5.6	-4.6	9	22.8	30	83	49	73	68	27	19
April	715.2	701.9	27	720.3	11	8.0	14.7	9.9	10.6	0.7	15	21.0	12	86	58	78	74	32	12
Mai	717.1	708.9	13	723.9	26	12.5	18.7	13.3	14.4	2.1	10	29.8	18	76	55	71	67	35	16
Juni	714.6	706.5	2	719.8	19	13.5	18.2	14.4	15.1	5.8	2	26.7	7	84	65	80	76	37	5
Juli	718.0	711.8	12	726.3	19	16.7	22.0	17.0	18 2	10.5	11	29.2	18	83	62	79	75	45	12. 18
August	720.1	711.7	21	726.1	5	15.3	21.2	16 3	17.3	10.5	22. 23	28.3	14	85	63	80	76	43	24
September	718.4	712.3	19	726.8	7. 30	13.6	19.7	15.8	16.2	8.0	14	27.1	2	83	63	73	73	38	15
Oktober	718.9	709.7	14	727.8	1	8.7	14.6	11.0	11.3	1.3	31	21.5	14	88	68	79	78	43	13. 22
November	723.5	708.3	3	728.5	16	1.2	6.6	2.5	3.2	-5.4	26	14.5	1	86	71	86	81	21	27
Dezember	721.3	714.7	19. 29	727.3	1	2.7	5.2	2.9	3.4	-5.3	31	16.5	3. 4	80	74	82	79	39	19
Jahr	719.0	696.4	II	730.0	III	6.9	12.7	8.4	9.1	-17.4	I	29.8	V	85	65	80	77	21	XI

Glarus

$\lambda = 9° 3'$, $\beta = 47° 3'$, $H_b = 503.4^m$, $G = -0.04$ ‰, $h_r = 1.5^m$

Januar	719.8	701.6	1	728.9	20	-6.1	-2.5	-5.1	-4.7	-14.6	14	4.3	29	86	71	88	82	53	5
Februar	718.3	697.3	10	729.8	26. 27	-3.8	0.6	-1.8	-1.7	-10.1	15	6.1	21	86	66	85	79	32	10
März	725.9	717.2	30	731.3	10. 25	0.2	8.8	3.2	3.9	-6.1	9	18.7	30	78	46	71	65	29	30
April	716.5	703.9	27	721.3	11	6.7	13.8	9.0	9.6	0.3	15	20.5	34	84	50	76	70	30	3
Mai	718.4	709.5	13	725.1	26	10.6	17.9	13.0	13.6	1.4	11	27.4	18	81	51	73	68	28	16
Juni	716.0	707.7	2	721.3	19	12.8	17.7	14.0	14.6	5.5	2	23.9	30	84	61	84	76	27	5
Juli	719.4	711.3	12	727.8	20	15.6	21.3	16.8	17.6	11.3	10	27.5	22	83	53	81	72	33	22
August	721.4	713.1	21	727.2	5	14.3	20.7	16.4	16.9	9.3	24	28.5	13	86	54	80	73	32	30
September	719.8	712.9	15	728.1	30	12.3	18.4	13.9	14.6	7.1	14	26.3	2	86	55	81	74	33	2
Oktober	720.0	709.7	13	729.6	1	8.0	13.4	9.5	10.1	2.0	31	19.4	13	91	64	88	81	35	13
November	724.8	710.1	3	729.5	15. 16	0.6	4.5	2.0	2.3	-3.1	26	10.3	1	91	75	88	85	35	1
Dezember	722.5	715.8	29	728.4	1	0.3	3.3	1.2	1.5	-5.9	31	10.0	4	89	80	90	86	49	4
Jahr	720.2	697.3	II	731.3	III	6.0	11.5	7.7	8.2	-14.6	I	28.5	VIII	85	60	82	76	27	VI

Elm

$\lambda = 9° 10'$, $\beta = 46° 55'$, $H = 962^m$, $G = -$ ‰, $h_r = 1.6^m$

Januar	—	—	—	—	—	-7.9	-5.2	-7.7	-7.1	-16.0	14	6.3	31	76	61	75	71	34	31
Februar	—	—	—	—	—	-6.1	0.2	-4.6	-3.8	-13.2	17	7.0	27	73	52	75	67	36	22. 25
März	—	—	—	—	—	-1.9	7.1	0.0	1.3	-10.6	9	16.0	30	64	36	68	56	22	15
April	—	—	—	—	—	4.8	11.6	5.4	6.8	-1.4	15	17.5	24	72	41	77	63	23	12
Mai	—	—	—	—	—	11.1	15.5	9.2	11.3	-1.0	10	27.2	18	60	45	77	61	17	16
Juni	—	—	—	—	—	11.9	15.3	11.0	12.3	1.8	2	22.4	7	73	58	85	72	23	6
Juli	—	—	—	—	—	15.8	19.4	13.8	15.7	7.9	11	27.2	22	66	50	83	66	25	22
August	—	—	—	—	—	13.1	18.3	13.0	14.3	6.8	24	25.9	13	73	53	83	70	21	24
September	—	—	—	—	—	10.5	16.4	11.9	12.7	4.3	14	23.7	2	85	54	79	73	30	15. 18
Oktober	—	—	—	—	—	6.6	12.0	17.5	8.4	-3.1	31	25.0	14	82	56	80	73	23	12
November	—	—	—	—	—	0.6	3.7	1.0	1.6	-2.5	11	9.8	1	68	60	68	65	15	27
Dezember	—	—	—	—	—	0.2	3.0	1.0	1.3	-10.3	31	13.1	7	76	67	77	73	23	7
Jahr	—	—	—	—	—	4.9	9.8	5.1	6.2	-16.0	I	27.2	V VII	72	53	77	67	15	XI

Auen (Linthal)

$\lambda = 8° 59'$, $\beta = 46° 54'$, $H_b = 815.2^m$, $G = -0.11$ ‰, $h_r = 1.5^m$

Januar	692.0	674.5	1	700.9	20	-6.2	-1.5	-5.7	-4.8	-13.5	15	7.1	31	73	51	74	66	25	25
Februar	690.8	670.7	11	703.1	26	-4.6	2.2	-3.2	-2.2	-11.0	17	7.5	27	70	45	70	62	27	22
März	698.6	691.4	31	703.9	10	0.2	8.7	2.0	3.2	-8.4	9	16.4	30	55	32	55	47	19	19
April	690.1	678.2	27	694.5	11. 13	5.8	13.3	6.5	8.0	-1.0	15	18.6	20	69	37	68	58	25	8. 12. 21. 25
Mai	692.3	684.2	13	699.4	26	10.8	16.9	10.3	12.1	-0.8	11	29.0	18	63	44	65	57	23	11. 15. 16
Juni	690.0	681.6	2	694.9	19	12.1	16.5	11.7	13.0	2.5	2	22.8	7	85	68	89	81	35	5
Juli	693.6	686.2	12	701.4	20	15 5	20.6	14.7	16.4	8.7	11	27.4	22	83	63	87	78	35	25
August	695.4	687.5	21	700.8	5	13.7	20.0	14.1	15.5	8.0	22	28.2	13	85	63	88	79	35	24
September	693.7	687.6	21	701.7	7	11.4	17.4	12.5	13.4	5.9	21	26.0	2	90	69	86	82	38	15
Oktober	693.7	684.5	15	702.3	1	7.3	12.6	8.4	9.2	-0.4	31	19.6	13	90	73	88	84	38	22
November	697.6	683.9	3	702.3	15	1.5	6.6	2.7	3.4	-4.8	24	11.8	18	80	66	77	74	35	27
Dezember	695.4	689.0	29	701.2	1	1.6	5.5	2.2	2.9	-8.6	31	15.8	7	81	70	82	78	30	7
Jahr	693.6	670.7	II	703.9	III	5.8	11.6	6.2	7.5	-13.5	I	29.0	V	77	57	77	70	19	III

Beobachter: **Frl. M. Wermelinger**

Bad Ragaz

Bewölkung 7^{30}	13^{30}	21^{30}	Mittel	Niederschlag Summe	Maximum	Tag	Zahl der Tage ● ✱	●✱ ≧1.0	✱	▲	K	≡	heiter	trüb	Windverteilung N	NE	E	SE	S	SW	W	NW	Calmen	1953
5.4	5.4	5.7	5.5	37	13	25	8	6	8	—	—	3	8	12	1	1	1	7	7	4	3	13	56	Januar
6.6	5.1	5.1	5.6	35	14	2	7	6	7	—	—	2	8	12	—	—	—	11	3	8	2	23	37	Februar
4.4	3.1	2.6	3.4	6	3	7	4	3	2	—	—	1	13	4	1	—	—	10	9	13	4	26	30	März
6.3	5.3	5.1	5.6	109	24	10	15	13	2	—	1	—	7	10	1	1	1	14	4	14	6	33	16	April
4.8	5.4	5.6	5.3	80	22	28	15	11	1	—	—	—	6	9	—	—	2	8	1	20	20	19	23	Mai
8.1	7.9	8.0	8.0	182	37	24	17	16	—	1	1	—	1	18	—	—	4	9	1	8	13	20	35	Juni
6.5	5.1	6.3	6.0	173	31	18	19	18	—	—	3	—	5	10	—	—	1	6	1	5	26	16	38	Juli
5.8	4.8	4.8	5.1	88	25	21	11	8	—	1	2	—	6	8	—	—	—	2	2	17	22	15	35	August
6.0	5.2	4.7	5.3	98	36	28	10	9	—	—	1	—	6	8	—	—	1	13	2	9	20	12	33	September
6.6	5.3	5.1	5.7	67	26	29	11	6	—	—	—	2	4	6	1	—	—	15	—	12	9	13	43	Oktober
5.8	4.9	5.0	5.2	13	7	6	5	3	—	—	—	12	7	9	1	—	—	10	—	1	9	18	51	November
6.0	6.5	6.9	6.5	38	14	29	6	5	4	—	—	7	5	12	5	1	—	17	—	2	7	6	55	Dezember
6.0	5.3	5.4	5.6	926	37	VI	128	104	24	2	8	27	76	118	10	3	10	122	30	113	141	214	452	Jahr

Beobachter: **F. Friedau**

Glarus

Bewölkung 7^{30}	13^{30}	21^{30}	Mittel	Niederschlag Summe	Maximum	Tag	Zahl der Tage ● ✱	●✱ ≧1.0	✱	▲	K	≡	heiter	trüb	Windverteilung N	NE	E	SE	S	SW	W	NW	Calmen	1953
6.0	5.2	5.7	5.6	53	17	25	6	4	6	—	—	1	7	8	4	—	—	12	8	2	7	14	46	Januar
5.6	4.5	4.6	4.9	58	18	2	7	7	7	—	—	4	9	9	6	2	—	—	9	3	7	20	37	Februar
3.4	2.5	2.2	2.7	19	6	7	7	4	8	—	—	2	19	2	11	—	—	1	20	3	8	16	34	März
5.9	4.9	4.5	5.1	105	17	4	15	13	2	—	—	1	8	9	27	—	—	2	7	3	3	9	39	April
4.3	5.0	4.8	4.7	126	29	30	17	14	—	—	—	—	9	9	27	1	—	4	8	5	6	13	29	Mai
7.6	7.9	7.9	7.8	313	84	26	22	22	-	—	1	—	2	19	17	—	—	3	4	3	2	15	46	Juni
5.8	5.5	6.5	5.9	161	26	1	20	18	—	—	2	—	7	10	25	1	—	2	3	2	7	10	43	Juli
5.5	4.6	4.3	4.8	101	19	21	12	11	—	—	3	—	10	9	17	—	—	4	11	3	3	14	41	August
5.8	5.2	3.9	5.0	103	25	10	10	8	—	—	2	—	8	8	18	—	—	—	4	4	5	12	47	September
5.6	5.3	4.6	5.2	74	26	29	10	8	—	—	—	3	9	7	14	—	—	1	8	4	3	9	54	Oktober
5.8	5.3	4.7	5.3	44	34	6	5	3	—	—	—	12	8	9	5	—	—	1	8	3	5	3	65	November
5.5	6.7	6.6	6.3	49	16	29	9	6	7	—	—	9	7	14	11	—	—	—	2	5	6	13	56	Dezember
5.6	5.2	5.0	5.3	1206	84	VI	140	118	25	—	8	32	103	113	182	4	—	30	92	40	62	148	537	Jahr

Beobachter: **E. Frei-Altherr**

Elm

Bewölkung 7^{30}	13^{30}	21^{30}	Mittel	Niederschlag Summe	Maximum	Tag	Zahl der Tage ● ✱	●✱ ≧1.0	✱	▲	K	≡	heiter	trüb	Windverteilung N	NE	E	SE	S	SW	W	NW	Calmen	1953
5.2	4.6	4.7	4.8	54	15	25	9	6	9	—	—	—	10	8	2	1	—	—	—	16	1	73	—	Januar
5.6	5.4	5.5	5.5	63	16	1	7	6	7	—	—	—	12	14	5	—	—	3	3	29	5	41	—	Februar
3.4	2.5	2.7	2.9	16	4	7	8	7	4	—	—	—	15	3	7	2	—	2	8	41	10	23	—	März
6.6	6.0	5.2	5.9	146	31	4	16	14	10	—	1	1	6	12	25	—	—	10	7	15	3	30	—	April
5.4	6.1	6.3	5.9	129	28	30	17	15	4	—	2	—	5	11	36	2	—	3	1	11	1	30	—	Mai
7.9	8.5	8.4	8.3	283	48	24	24	22	1	—	1	1	1	22	62	5	—	4	—	5	1	13	—	Juni
6.5	6.7	7.2	6.8	215	31	9	21	21	—	—	3	—	5	14	41	1	2	4	1	5	1	38	—	Juli
6.0	6.2	5.3	5.8	123	29	14	16	12	—	—	1	—	5	11	52	3	—	2	—	1	—	35	—	August
5.9	6.1	5.5	5.8	125	35	19	13	12	—	—	1	—	5	11	39	3	3	7	—	6	—	32	—	September
6.3	6.1	5.9	6.1	93	30	29	13	10	2	—	—	2	5	9	41	—	—	6	3	4	1	38	—	Oktober
2.7	2.2	2.3	2.4	19	12	6	5	3	1	—	—	1	18	2	8	—	1	5	—	32	14	30	—	November
4.3	5.7	4.7	4.9	67	27	29	9	6	9	—	—	1	10	8	24	1	2	31		13	—	22	—	Dezember
5.5	5.5	5.3	5.4	1333	48	VI	158	134	47	—	9	6	97	125	340	18	8	77	23	178	37	414	—	Jahr

Beobachter: **J. Zweifel**

Auen (Linthal)

Bewölkung 7^{30}	13^{30}	21^{30}	Mittel	Niederschlag Summe	Maximum	Tag	Zahl der Tage ● ✱	●✱ ≧1.0	✱	▲	K	≡	heiter	trüb	Windverteilung N	NE	E	SE	S	SW	W	NW	Calmen	1953
5.2	5.1	5.0	5.1	69	30	10	7	6	7	—	—	2	9	8		—	—	—	—	—	—	—	93	Januar
5.1	5.1	5.3	5.2	140	54	2	8	8	8	—	—	—	10	10	2	—	—	1	—	—	—	—	8	Februar
3.3	2.5	2.4	2.7	17	5	26	6	6	2	—	—	—	16	3	—	—	—	—	—	—	—	—	93	März
6.3	5.3	4.8	5.5	136	23	14	14	13	3	—	—	—	7	9	—	—	—	1	4	1	—	—	84	April
4.7	5.1	5.6	5.1	140	32	30	14	14	2	—	—	—	8	9	1	—	—	—	1	1	—	—	90	Mai
7.7	8.0	7.5	7.7	301	81	25	23	23	—	—	1	3	1	15	34	7	2	1	3		—	1	42	Juni
6.3	6.4	6.4	6.4	186	33	30	20	17	—	—	4	1	4	13	39	6	11	—	2	—	—	2	33	Juli
5.5	5.6	4.5	5.2	130	26	6	14	13	—	—	2	4	7	9	33	15	4	—	—	—	1	—	40	August
5.4	5.6	5.2	5.4	114	27	10	10	10	—	—	1	2	8	11	37	10	2	1	5	—	1	1	23	September
6.1	5.5	5.8	5.8	95	27	29	12	12	1	—	—	—	7	12	28	6	10	7	4	2	—	1	35	Oktober
2.5	2.4	2.9	2.6	34	21	6	5	5	—	—	—	2	19	3	19	3	8	11	1	2	—	—	46	November
3.8	5.0	5.1	4.6	92	39	29	9	9	7	—	—	5	13	7	5	4	1	5	12	2	—	—	64	Dezember
5.2	5.1	5.0	5.1	1454	81	VI	142	136	30	—	8	19	109	109	198	51	48	27	32	8	2	5	724	Jahr

Oberiberg

$\lambda = 8° 47'$, $\beta = 47° 2'$, $H_b = 1090^m$, $G = -0.10$ $^m/_m$, $h_r = 1.7^m$

1953	Luftdruck					Luft-Temperatur								Relative Feuchtigkeit					
	Mittel	Minimum	Tag	Maximum	Tag	7^{30}	13^{30}	21^{30}	Mittel	Minimum	Tag	Maximum	Tag	7^{30}	13^{30}	21^{30}	Mittel	Minimum	Tag
Januar	668.4	651.4	1	676.8	20	-8.7	-1.6	-8.0	-6.6	-18.8	14	8.8	31	82	55	82	73	35	31
Februar	667.6	648.0	11	679.3	26	-7.2	1.1	-5.9	-4.5	-18.0	17	7.8	27	82	50	81	71	33	10
März	675.6	669.0	30	680.7	25	-3.2	8.4	-1.4	0.6	-14.2	9	15.2	30	78	41	81	67	28	15
April	667.5	656.3	27	671.4	1	4.2	11.7	3.8	5.9	-2.2	15	17.2	22	77	45	84	69	28	8
Mai	670.1	661.8	10	676.7	26	9.3	15.7	8.3	10.4	-2.9	10	26.6	18	72	49	80	67	24	16
Juni	667.8	658.9	2	673.0	19	10.6	16.1	9.8	11.6	1.4	2	25.4	7	74	51	84	70	24	5
Juli	671.6	664.4	12	678.7	19	13.6	19.7	12.9	14.8	6.2	11	28.0	26	73	49	80	67	27	25
August	673.4	666.0	21	678.1	5	12.3	19.6	12.4	14.2	3.7	28	26.3	13	78	49	79	69	31	$^{24.29}_{30}$
September	671.5	665.6	20	679.4	7	9.6	17.4	10.2	11.9	3.0	14	26.7	1	80	52	81	71	35	$^{15.21}_{27}$
Oktober	671.0	662.4	13	679.7	1	5.1	12.6	6.7	7.8	-2.4	10	19.8	3	85	56	83	75	32	31
November	674.3	660.2	2	679.2	15	-0.5	8.7	0.6	2.3	-3.6	12	14.0	16	74	47	74	65	22	14
Dezember	672.2	666.1	29	678.6	1	-0.9	5.9	-0.1	1.2	-12.5	31	14.8	7	80	56	82	73	26	7
Jahr	670.9	648.0	II	680.7	III	3.7	11.3	4.1	5.8	-18.8	I	28.0	VII	78	50	81	70	22	XI

Einsiedeln

Die Abendbeobachtung erfolgt um 20.30 $\lambda = 8° 45'$, $\beta = 47° 8'$, $H_b = 913.9^m$, $G = -0.08$ $^m/_m$, $h_r = 1.5^m$

Januar	683.3	666.2	1	691.9	20	-6.8	-2.5	-5.4	-5.0	-13.0	13	9.8	31	89	77	89	85	41	31
Februar	682.4	662.5	11	693.8	26	-4.9	0.1	-3.0	-2.8	-14.0	17	6.8	27	88	71	84	81	36	10
März	690.3	683.1	31	695.3	25	-1.3	6.5	1.6	2.1	-10.1	9	14.4	30	82	54	77	71	39	4
April	681.7	670.2	27	686.2	29	5.2	10.9	6.9	7.4	0.0	15	15.8	4	84	60	80	75	33	4
Mai	684.2	675.7	13	690.4	26	10.0	15.1	11.6	11.8	0.4	11	25.4	25	81	61	77	73	26	16
Juni	681.8	672.3	2	686.6	19	11.4	15.8	12.8	12.8	3.8	2	23.0	7	87	66	82	78	40	7
Juli	685.5	678.3	12	692.7	19	14.4	19.1	16.4	16.1	9.5	10	25.1	25	83	63	78	75	50	10 . 25
August	687.5	679.9	21	692.5	5	13.2	18.6	15.3	15.3	9.6	28	24.7	14	86	63	80	76	35	29
September	685.6	679.3	19	693.8	7	11.0	16.2	12.4	12.9	6.0	14	23.8	2	88	68	87	81	40	27
Oktober	685.3	676.1	13	693.8	1	6.4	11.4	8.1	8.4	-0.4	31	16.8	2	92	75	91	86	47	13
November	688.9	675.2	3	693.3	15	-0.1	6.0	1.5	2.3	-4.6	24	10.1	16	86	67	86	80	38	1
Dezember	686.8	680.2	29	692.7	1	0.5	4.5	1.4	2.0	-7.6	31	11.0	7	86	76	87	83	37	7
Jahr	685.3	662.5	II	695.3	III	4.9	10.1	6.6	6.9	-14.0	II	25.4	V	86	67	83	79	26	V

Zentralschweiz

Luzern

$\lambda = 8° 19'$, $\beta = 47° 3'$, $H_b = 497.8^m$, $G = -0.02$ $^m/_m$, $h_r = 1.5^m$

Januar	720.4	702.9	1	728.9	20	-3.2	-0.8	-2.3	-2.1	-7.3	12	6.0	29	87	77	84	83	57	28
Februar	719.1	697.9	10	730.5	26	-1.4	2.4	0.0	0.3	-9.0	8	8.4	20 . 22	82	65	73	73	47	9 . 22
März	726.2	717.9	30	731.6	10	1.7	10.3	6.1	6.1	-3.7	10	18.8	30	76	46	58	60	35	18 . 20
April	717.4	705.2	27	722.0	7. 11	6.7	13.9	10.2	10.2	1.4	15	19.4	24 . 26	84	54	67	68	34	4
Mai	719.4	709.9	13	725.2	27	11.7	18.7	15.1	15.2	1.7	11	27.2	26	84	57	66	69	37	4
Juni	716.9	708.7	9	721.9	19	13.1	18.5	15.2	15.5	7.4	2	26.1	30	96	68	86	83	40	5
Juli	720.2	712.9	12	727.6	2	16.3	22.2	18.6	18.9	12.3	12	27.9	26	95	59	82	79	39	22
August	722.0	714.0	21	727.4	5	14.9	21.5	18.1	18.2	10.3	28	28.3	13	90	59	76	75	41	19 . 30
September	720.6	714.1	15	728.6	7	12.4	18.9	14.9	15.3	6.2	14	26.4	2	70	63	83	72	46	22
Oktober	720.9	711.1	13	729.2	1	8.6	12.9	10.1	10.4	1.4	31	17.7	4	96	73	91	87	49	7
November	725.3	711.0	2	729.9	16	1.7	4.7	3.1	3.1	-0.9	26	9.5	5	96	84	93	91	54	29
Dezember	723.3	717.0	19	728.8	1	1.0	3.0	2.0	2.0	-5.6	31	10.8	1	93	87	91	90	56	25
Jahr	721.0	697.9	II	731.6	III	7.0	12.2	9.3	9.4	-9.0	II	28.3	VIII	87	66	79	77	34	IV

Pilatus-Kulm

Die Abendbeobachtung erfolgt um 20.30 $\lambda = 8° 16'$, $\beta = 46° 59'$, $H_b = 2068^m$, $G = -0.23$ $^m/_m$, $h_r = 2.0^m$

Januar	589.6	575.0	1	598.2	29	-8.3	-5.2	-7.6	-7.1	-14.8	4	5.0	30	74	71	72	72	15	20
Februar	589.2	571.6	11	602.3	26	-7.7	-4.5	-7.3	-6.7	-19.6	8	6.2	26	74	73	74	74	19	25
März	597.6	592.3	31	603.2	25	-3.5	-0.2	-3.0	-2.4	-14.0	9	7.0	30	61	62	67	63	23	10
April	591.1	582.6	27	594.8	2	-0.5	2.5	-0.4	0.2	-8.8	15	7.2	4	79	74	85	79	45	8.18.20
Mai	594.4	586.8	10	602.1	25 . 26	3.7	6.5	3.6	4.2	-6.2	7	19.0	17	75	76	84	78	35	19 . 24
Juni	592.8	582.0	2	598.5	20	5.0	7.2	4.7	5.1	-5.2	2	13.8	29	79	80	90	83	36	6
Juli	597.0	589.1	13	603.1	20	8.1	11.8	8.7	9.0	0.2	10	20.0	17	81	78	86	82	28	20
August	598.7	591.1	21	604.0	31	8.2	11.6	8.5	9.0	1.0	22	19.2	12	72	72	79	74	16	8
September	596.8	590.3	20	604.7	7	6.5	10.6	7.1	7.8	-1.2	11	18.0	2	73	67	76	72	12	14
Oktober	595.7	586.8	13	603.6	2	4.0	7.1	3.8	4.8	-5.0	30	13.0	20	60	61	68	63	6	10
November	597.8	584.4	3	603.1	15	1.0	4.1	1.4	2.0	-6.8	7	7.6	9	52	50	55	52	13	12
Dezember	594.9	586.4	31	602.2	1	-2.1	0.4	-2.3	-1.5	-16.8	31	9.2	3	68	64	70	67	35	3
Jahr	594.6	571.6	II	604.7	IX	1.2	4.3	1.4	2.0	-19.6	II	20.0	VII	71	69	76	72	6	X

Beobachter: A. Holdener

Oberiberg

Bewölkung				Niederschlag			Zahl der Tage								Windverteilung									1953
7^{30}	13^{30}	21^{30}	Mittel	Summe	Maximum	Tag	•	•* ≧1.0	*	▲	K	≡	heiter	trüb	N	NE	E	SE	S	SW	W	NW	Calmen	
4.8	4.9	5.5	5.1	76	32	25	10	8	10	—	—	5	12	10	—	—	—	—	1	2	—	1	89	Januar
6.4	5.5	5.0	5.6	75	19	1	11	10	11	—	—	—	9	12	—	1	1	—	—	9	—	1	72	Februar
3.2	2.7	2.1	2.7	35	11	7	8	6	5	—	—	—	16	3	—	3	—	4	—	2	—	1	83	März
6.3	6.2	5.2	5.9	156	34	14	13	12	8	—	1	1	7	12	—	—	—	4	1	4	—	5	76	April
4.9	6.3	4.5	5.2	196	52	30	13	13	5	—	1	1	8	10	—	4	—	3	1	4	5	1	75	Mai
8.1	8.3	7.7	8.0	302	61	25	23	22	3	—	—	—	1	20	—	—	1	—	—	7	2	—	80	Juni
6.2	7.3	7.3	6.9	295	37	18	21	19	—	1	4	4	4	14	—	1	2	3	1	1	2	3	80	Juli
5.8	6.0	4.9	5.6	110	17	1	13	12	—	—	2	3	9	9	—	1	1	1	1	3	—	3	83	August
5.6	5.7	5.4	5.6	132	33	10	12	9	—	—	—	6	7	10	—	4	—	1	—	4	2	3	76	September
6.4	6.2	5.3	6.0	79	35	29	11	8	1	—	—	7	5	12	—	—	1	—	1	—	—	—	91	Oktober
2.3	2.5	2.0	2.3	40	23	6	5	5	2	—	—	3	20	2	—	2	—	1	—	—	—	—	87	November
4.2	5.6	5.1	5.0	69	25	29	9	8	8	—	—	3	10	9	2	1	—	1	1	2	—	—	86	Dezember
5.3	5.6	5.0	5.3	1565	61	VI	149	132	53	1	8	33	108	123	2	17	6	18	7	38	11	18	978	Jahr

Beobachter: P. C. Merkt

Einsiedeln

6.1	5.8	6.5	6.1	58	20	25	12	7	12	—	—	4	7	12	1	8	—	1	—	—	2	1	80	Januar
7.4	5.8	5.3	6.2	67	20	2	10	9	10	—	—	—	7	10	1	6	—	—	1	11	4	5	56	Februar
3.3	2.7	2.1	2.7	33	14	31	7	4	4	—	—	1	17	2	8	5	3	1	—	1	3	4	68	März
6.1	5.8	5.0	5.6	167	32	10	15	13	7	—	1	—	7	12	11	1	1	2	1	5	8	5	56	April
4.5	5.4	5.8	5.2	163	41	30	15	15	3	—	2	—	6	8	10	5	2	1	2	4	5	13	51	Mai
7.8	8.0	7.5	7.8	293	59	25	21	20	1	—	4	1	1	18	5	—	1	3	—	6	11	13	51	Juni
6.3	6.7	6.4	6.5	228	37	6	21	21	—	—	1	—	5	13	5	2	—	2	1	2	5	15	61	Juli
5.5	4.9	4.4	4.9	101	18	1	11	10	—	—	1	1	8	9	16	2	1	—	—	5	3	8	58	August
5.4	5.0	5.3	5.2	101	27	28	10	9	—	—	1	3	6	9	7	—	1	2	1	3	5	12	59	September
5.6	6.0	5.7	5.8	60	30	29	9	7	—	—	—	3	7	10	6	3	—	3	—	—	4	10	67	Oktober
2.2	2.9	2.3	2.5	34	15	6	5	4	1	—	—	3	19	3	—	—	—	12	1	—	5	5	67	November
4.9	5.3	3.6	4.6	58	19	29	8	8	7	—	—	1	11	7	2	1	6	1	2	1	2	5	73	Dezember
5.4	5.4	5.0	5.3	1363	59	VI	144	127	45	—	10	17	101	113	72	33	15	28	9	38	57	96	747	Jahr

Beobachter: Kloster Wesemlin

Luzern

9.5	9.1	9.0	9.2	46	13	10	9	7	9	—	—	6	—	25	33	8	3	8	1	—	—	7	33	Januar
8.8	7.3	6.4	7.5	16	8	2	6	6	6	—	—	3	4	15	19	8	5	8	4	6	7	8	19	Februar
3.6	2.5	3.0	3.0	25	17	31	5	3	2	—	—	2	13	4	24	9	11	17	3	1	1	7	20	März
6.0	6.1	5.1	5.7	127	31	10	13	9	3	—	—	—	8	12	19	4	7	16	4	1	4	10	25	April
4.7	5.2	6.9	5.6	115	37	30	12	10	1	—	1	1	6	10	18	10	10	13	4	1	2	11	24	Mai
8.1	7.7	8.1	8.0	237	37	25	23	20	—	2	3	—	1	21	22	5	14	19	3	—	2	11	14	Juni
6.0	6.1	7.6	6.6	207	39	18	19	19	—	—	1	1	5	13	22	12	10	20	5	—	3	11	10	Juli
6.5	4.6	5.4	5.5	108	34	15	11	9	—	—	—	4	7	10	31	8	8	21	1	—	—	10	14	August
5.7	4.9	4.8	5.1	99	28	28	12	10	—	—	—	3	6	6	22	14	3	14	2	—	5	15	15	September
8.4	7.5	5.8	7.2	38	25	29	10	6	—	—	—	13	1	13	18	20	4	14	1	1	1	6	28	Oktober
9.2	7.0	8.0	8.1	31	13	5	5	4	1	—	—	18	1	20	22	16	4	4	3	2	3	18	18	November
8.5	8.6	8.4	8.5	42	13	19	12	6	6	—	—	16	1	22	20	16	4	11	1	1	3	17	20	Dezember
7.1	6.4	6.5	6.7	1090	39	VII	137	109	28	2	5	67	53	171	270	130	83	165	32	13	31	131	240	Jahr

Beobachter: Pilatusbahn

Pilatus-Kulm

4.9	4.8	3.6	4.4	64	20	25	9	8	9	—	—	12	13	7	4	38	3	6	—	1	25	16	—	Januar
5.4	5.8	4.5	5.2	64	17	2	12	11	12	—	—	17	10	11	6	17	4	7	—	13	19	18	—	Februar
3.5	4.0	2.9	3.5	39	13	11	8	5	8	—	—	8	14	4	4	23	14	10	8	9	17	6	2	März
6.6	6.8	6.0	6.5	217	52	14	11	11	10	—	—	11	6	13	1	10	4	11	1	21	29	13	—	April
4.8	7.2	6.0	6.0	145	32	30	13	13	8	—	—	15	4	12	4	25	4	7	1	21	13	5	13	Mai
8.4	8.6	8.4	8.5	386	60	26	21	21	2	—	—	20	—	22	—	4	6	7	3	12	36	20	2	Juni
6.8	6.3	7.9	7.0	301	41	18	20	18	2	—	-?	22	3	18	—	5	2	4	3	30	29	20	—	Juli
5.9	7.3	4.7	6.0	119	34	2	10	8	1	—	—	13	4	11	6	5	11	2	—	20	36	13	—	August
4.9	6.1	6.1	5.7	94	24	28	12	10	4	—	—	12	5	6	6	4	—	—	—	50	19	11	—	September
5.0	5.5	5.6	5.4	21	4	29	9	7	2	—	—	6	8	9	14	1	9	3	—	48	13	5	—	Oktober
2.2	3.0	2.1	2.4	67	54	6	5	5	4	—	—	4	19	2	9	4	7	8	5	23	33	1	—	November
4.7	5.7	4.9	5.1	70	23	29	9	9	9	—	—	12	9	8	2	10	6	4	15	21	19	16	—	Dezember
5.3	5.9	5.2	5.5	1587	60	VI	139	126	71	—	—	152	95	123	56	146	70	69	36	209	288	144	17	Jahr

Sarnen

$\lambda = 8° 15'$, $\beta = 46° 54'$, $H_b = 479^m$, $G = -0.03$ m/m, $h_r = 1.7^m$.

1953	Luftdruck					Luft-Temperatur								Relative Feuchtigkeit					
	Mittel	Minimum	Tag	Maximum	Tag	7^{30}	13^{30}	21^{30}	Mittel	Minimum	Tag	Maximum	Tag	7^{30}	13^{30}	21^{30}	Mittel	Minimum	Tag
Januar	721.9	703.6	1	731.0	20	-3.4	-0.7	-2.5	-2.3	-7.4	16. 18	4.4	29	87	74	85	82	55	13
Februar	720.6	698.9	10	732.1	26	-2.1	2.4	-0.8	-0.3	-7.0	8	6.4	21	85	62	78	75	40	1
März	727.8	719.1	30	733.5	10	0.6	9.9	4.0	4.6	-4.2	9	17.8	30	87	44	70	67	31	20
April	718.0	703.5	27	723.5	11	6.4	14.0	9.2	9.7	0.8	30	20.2	4	90	52	72	71	34	4
Mai	719.2	709.6	13	727.0	26	11.5	18.6	14.5	14.8	2.1	11	28.2	26	84	50	67	67	31	16
Juni	717.8	709.3	9	723.3	19	13.5	18.8	14.5	15.3	7.7	4	23.2	21	86	57	85	76	35	4
Juli	720.7	713.4	12	727.4	20	16.6	22.3	17.9	18.7	12.5	10. 11	26.9	26	86	53	82	74	42	16. 31
August	722.5	713.4	21	728.1	5	15.3	21.1	17.0	17.6	10.4	28	28.2	13	87	54	81	74	38	22
September	721.6	714.8	28	730.2	30	12.5	18.7	14.2	14.9	7.0	14	26.1	9	92	60	87	80	41	9
Oktober	722.0	712.0	13	731.2	1	8.8	13.4	9.6	10.4	0.6	31	17.3	3. 15	95	69	92	85	47	31
November	726.9	711.6	2	731.6	20	1.8	5.3	2.7	3.1	-0.6	26	11.1	1	97	80	95	91	46	1
Dezember	724.7	718.0	19	729.9	1	0.9	3.5	2.0	2.1	-5.2	31	9 3	1	95	86	92	91	55	25
Jahr	722.0	698.9	II	733.5	III	6.9	12.3	8.5	9.0	-7.4	I	28.2	V VIII	89	62	82	78	31	III V

Engelberg

Die Abendbeobachtung erfolgt um 20.30 $\lambda = 8° 25'$, $\beta = 46° 49'$, $H_b = 1017.8^m$, $G = -0.12$ m/m, $h_r = 1.6^m$

Januar	674.3	658.3	1	682.5	20	-7.7	-4.0	-7.2	-6.4	-16.7	14	9.5	31	83	73	81	79	42	31
Februar	673.6	653.8	11	684.4	21. 26	-5.5	-0.2	-4.1	-3.5	-13.5	17	7.3	27	77	62	73	70	44	1
März	680.9	674.7	31	685.9	24	-1.8	6.2	1.1	1.6	-11.3	9	14.7	30	73	51	65	63	30	15
April	673.4	662.1	27	677.5	11	3.9	10.2	6.2	6.5	-2.8	15	17.2	3	80	56	75	70	30	26
Mai	675.8	667.6	13	682.9	26	8.4	14.2	10.3	10.6	-1.7	11	23.7	16	78	59	73	70	26	16
Juni	673.6	665.1	2	677.8	19	10.2	14.3	11.3	11.4	1.9	2	21.2	30	81	66	84	77	39	5
Juli	677.1	670.2	12	683.4	19	12.8	18.4	14.5	14.7	7.9	10	25.0	22	83	61	81	75	46	22
August	678.8	672.1	21	683.7	5	11.3	17.7	13.7	13.8	6.3	8	24.8	13	84	64	83	77	35	24
September	677.1	671.3	20	684.5	7	9.7	15.3	11.7	11.9	3.9	14	23.0	2	87	68	85	80	40	15
Oktober	676.8	668.2	13	684.6	1	5.5	10.3	7.3	7.5	-2.5	31	16.3	13	89	72	85	82	46	13
November	679.9	660.6	3	684.0	15	-0.5	4.6	0.7	1.4	-3.9	12	8.3	16	78	65	76	73	46	14
Dezember	678.0	671.8	29	683.7	1	-0.3	3.4	0.6	1.1	-13.8	31	12.2	7	77	69	79	75	29	7
Jahr	676.6	653.8	II	685.9	III	3.8	9.2	5.5	5.9	-16.7	I	25.0	VII	81	64	78	74	26	V

Altdorf

$\lambda = 8° 39'$, $\beta = 46° 53'$, $H_b = 456.3^m$, $G = -0.05$ m/m, $h_r = 1.5^m$

Januar	723.8	705.7	1	733.2	20	-2.8	-0.3	-2.1	-1.8	-7.0	27	4.3	29	83	75	80	79	48	20
Februar	722.3	701.5	11	734.6	26	-1.9	1.7	-0.8	-0.5	-6.8	8	5.8	20	80	67	81	76	44	10
März	729.8	721.4	30	735.4	3. 10	2.2	9.6	5.0	5.4	-2.9	1	15.2	30	79	53	69	67	40	15. 30
April	720.4	706.8	27	725.3	1. 11	8.0	13.8	9.8	10.3	2.5	15	20.8	3	86	58	76	73	37	8
Mai	722.2	713.1	13	728.8	26	12.2	17.8	13.6	14.3	2.7	11	26.7	19	81	59	75	72	38	16
Juni	719.7	711.3	9	724.8	19	13.5	17.8	14.6	15.1	6.3	2	24.4	30	89	67	84	80	44	7
Juli	723.1	714.9	12	731.7	19	16.5	21.5	17.4	18.2	12.7	11. 20	26.7	22	88	60	86	78	44	12
August	725.3	716.5	21	731.5	4. 5	15.0	20.4	16.6	17.1	10.5	24	26.2	13	92	64	88	81	46	22
September	723.2	715.7	19	732.2	30	13.6	18.8	15.2	15.7	8.7	23	25.7	9	92	66	85	81	38	15
Oktober	723.8	713.5	13	732.8	1	9.7	13.6	10.7	11.2	1.9	31	21.3	14	91	70	88	83	37	13
November	728.9	713.0	2	734.0	15	3.0	6.5	3.8	4.3	-0.1	19	14.5	28	91	79	88	86	21	27
Dezember	726.4	719.1	31	732.2	1	2.4	5.9	3.4	3.8	-6.2	31	16.3	7	90	80	87	86	30	7
Jahr	724.1	701.5	II	735.4	III	7.6	12.3	8.9	9.4	-7.0	I	26.7	V VII	87	66	82	78	21	XI

Göschenen

$\lambda = 8° 35'$, $\beta = 46° 40'$, $H_b = 1107.2^m$, $G = -0.16$ m/m, $h_r = 2.7^m$

Januar	666.3	649.9	1	674.9	20	-5.6	-3.7	-5.3	-5.0	-13.0	14	6.4	31	66	66	69	67	39	27. 30
Februar	665.2	646.3	11	677.3	26	-4.6	-1.2	-3.6	-3.3	-12.0	17	9.0	26	66	60	69	65	37	26
März	673.7	665.9	7	679.1	25	0.3	5.7	2.2	2.6	-9.0	9	13.4	30	55	46	58	53	32	29
April	665.8	654.8	27	670.2	12	5.2	9.8	5.7	6.6	-3.6	15	15.8	23	66	56	70	64	36	25
Mai	668.1	660.4	13	675.4	26	9.1	14.3	9.8	10.8	0.2	8. 10	23.8	18	63	60	69	64	36	3
Juni	666.1	649.2	1	670.2	19	11.1	14.3	11.1	11.9	2.2	2	22.4	30	71	61	75	69	37	5. 6
Juli	669.9	662.8	13	676.6	20	13.8	18.2	14.1	15.0	8.6	11	24.8	22	69	58	74	67	36	21. 27. 25
August	671 5	664.2	21	676.5	5	13.0	17.6	13.7	14.5	7.6	22	24.8	14	72	65	71	69	36	24
September	669.4	663.7	20	677.4	7	11.6	15.3	12.5	13.0	6.2	14	22.8	2	70	61	70	67	37	21
Oktober	668.9	661.4	27	676.9	1	7.7	10.7	8.7	9.0	0.6	30	17.0	2	68	62	68	66	37	11
November	671.9	660.0	3	676.5	16	4.0	5.9	4.4	4.7	-1.6	11	10.0	30	52	57	57	55	35	26. 27
Dezember	670.1	662.0	29	676.2	1	3.1	4.7	3.9	3.9	-11.2	31	13.2	6	64	61	64	63	37	6
Jahr	668.9	646.3	II	679.1	III	5.7	9.3	6.4	7.0	-13.0	I	24.8	VII VIII	65	59	68	64	32	III

Göschenen: Beobachterwechsel im Oktober

Beobachter: P. Ch. Durrer

Sarnen

Bewölkung				Niederschlag			Zahl der Tage								Windverteilung									1953
7^{30}	13^{30}	21^{30}	Mittel	Summe	Maximum Tag		•	•* >1.0	*	▲	K	≡	heiter	trüb	N	NE	E	SE	S	SW	W	NW	Calmen	
9.7	9.1	9.0	9.3	38	15	25	8	6	8	—	—	5	—	27	—	31	—	—	—	1	—	—	61	Januar
8.6	6.7	7.3	7.5	10	3	1	5	5	5	—	—	3	2	17	—	25	—	—	—	5	—	—	54	Februar
4.1	3.1	3.3	3.5	11	5	31	6	3	3	—	—	2	13	3	—	32	—	—	—	—	—	—	61	März
6.0	6.0	5.6	5.9	96	24	14	12	9	2	—	—	—	4	8	—	36	—	—	—	1	—	—	53	April
5.4	6.2	6.5	6.0	89	22	30	14	12	1	—	2	—	2	6	—	33	—	—	—	2	1	—	57	Mai
7.6	7.5	7.9	7.7	194	30	26	20	18	—	—	2	—	—	14	—	19	—	—	—	2	—	—	69	Juni
6.2	6.3	7.0	6.5	160	37	18	20	15	—	—	1	—	4	10	—	28	—	—	—	3	—	—	62	Juli
6.1	5.6	5.6	5.8	58	17	2	9	8	—	—	1	—	2	8	—	28	—	—	—	3	—	—	62	August
6.5	5.7	6.8	6.3	71	14	19	11	9	—	—	1	1	2	10	—	22	—	—	—	3	—	—	65	September
8.6	6.6	6.8	7.3	58	33	29	11	8	—	—	—	6	—	14	—	27	—	—	—	2	—	—	64	Oktober
8.7	7.6	8.1	8.1	36	18	6	4	4	—	—	—	13	2	20	—	28	—	—	—	1	—	—	61	November
8.4	8.2	8.9	8.5	39	13	19	10	7	4	—	—	15	1	21	—	34	—	—	—	—	—	—	59	Dezember
7.2	6.6	6.9	6.9	860	37	VII	130	104	23	—	7	45	32	158	—	343	—	—	—	23	1	—	728	Jahr

Beobachter: P. A. Jenny

Engelberg

6.1	5.2	5.8	5.7	53	18	25	9	7	9	—	—	5	6	9	—	—	—	36	—	5	—	9	43	Januar
6.4	5.9	5.5	5.9	38	12	2	10	9	10	—	—	1	8	12	—	1	—	27	—	11	—	19	26	Februar
3.1	2.7	2.9	2.9	20	6	7	8	6	4	—	—	—	15	3	—	—	—	23	—	15	—	21	34	März
6.1	6.0	5.8	6.0	142	26	10	14	11	9	—	1	1	7	13	—	1	—	28	—	9	—	22	30	April
4.7	6.2	6.7	5.9	143	31	25	14	14	4	1	3	—	4	11	—	6	—	24	—	9	—	26	28	Mai
7.7	8.0	8.1	7.9	231	44	18	24	23	1	—	—	—	1	19	—	8	—	23	—	11	—	19	29	Juni
5.8	6.4	6.7	6.3	195	35	16	21	20	—	—	2	—	4	11	—	8	—	20	—	16	—	20	29	Juli
5.5	6.0	6.0	5.8	89	18	28	12	12	—	—	1	2	5	12	—	4	—	18	—	15	—	26	30	August
5.7	5.9	6.7	6.1	111	25	28	12	11	—	—	2	4	3	10	—	5	—	13	—	6	—	32	34	September
6.2	6.6	6.4	6.4	114	44	29	14	11	2	—	1	5	4	13	—	2	—	21	—	10	—	24	36	Oktober
2.9	2.7	2.9	2.8	47	34	6	6	5	3	—	—	2	17	3	—	1	—	29	—	5	—	9	46	November
3.5	5.4	5.8	4.9	85	31	29	10	9	10	—	—	2	9	8	—	1	—	23	—	7	—	16	46	Dezember
5.3	5.6	5.8	5.6	1268	44	VI	154	138	52	1	10	22	83	124	—	37	—	285	—	119	—	243	411	Jahr

Beobachter: Frl. H. Nager

Altdorf

9.7	8.0	9.3	9.0	50	28	25	7	5	7	—	—	3	—	23	—	—	3	1	—	—	—	3	86	Januar
9.1	7.3	7.8	8.1	26	8	2	6	6	6	—	—	2	—	18	2	1	1	3	1	—	—	4	72	Februar
4.8	3.5	3.2	3.8	14	5	31	5	4	1	—	—	—	11	4	2	1	1	2	—	—	2	13	72	März
6.1	6.0	6.2	6.1	103	24	10	13	11	2	—	—	—	6	14	2	2	1	4	4	—	1	17	59	April
4.8	6.1	6.3	5.7	111	31	30	13	12	1	—	2	—	5	9	4	—	2	3	—	—	1	19	64	Mai
8.2	7.9	8.6	8.2	205	49	25	22	20	—	—	—	—	—	20	3	2	—	3	—	—	1	7	74	Juni
6.5	6.4	7.4	6.8	146	26	18	22	17	—	—	2	—	3	14	2	—	—	3	1	1	1	16	69	Juli
5.5	5.7	4.6	5.3	86	14	15	13	11	—	—	3	—	6	10	—	—	1	2	—	—	—	9	81	August
6.8	6.0	6.7	6.5	79	17	23	12	8	—	—	—	—	4	11	1	—	1	3	1	—	4	13	67	September
7.2	6.8	7.5	7.2	99	47	29	12	10	—	—	—	1	—	16	1	—	3	5	1	1	—	9	73	Oktober
8.5	7.2	6.4	7.4	26	18	6	5	3	—	—	—	7	1	14	—	—	—	3	3	—	—	2	82	November
8.4	7.9	8.1	8.1	40	14	19	10	7	4	—	—	9	—	18	—	—	1	4	2	—	1	7	78	Dezember
7.1	6.6	6.8	6.8	985	49	VI	140	114	21	—	7	22	36	171	17	6	14	36	13	2	11	119	877	Jahr

Beobachter: O. Lendenmann, Th. Koller

Göschenen

5.3	5.0	3.9	4.7	50	15	10	6	6	6	—	—	2	9	11	4	—	—	1	31	—	—	—	57	Januar
6.0	5.8	5.4	5.7	44	11	2	7	6	7	—	—	—	8	11	15	—	—	—	27	—	—	—	42	Februar
3.1	2.4	1.9	2.5	7	3	7	6	3	2	—	—	1	15	2	9	—	—	2	45	—	—	—	37	März
7.1	6.1	5.3	6.2	110	21	14	15	10	7	—	—	1	6	12	10	—	—	—	34	—	—	—	46	April
5.0	6.6	4.7	5.4	94	22	27	14	12	3	—	1	—	7	10	31	—	—	—	32	—	—	—	30	Mai
8.0	8.2	7.6	7.9	169	25	24	23	17	1	—	—	1	—	20	13	—	1	—	28	—	—	—	48	Juni
6.5	6.3	6.3	6.4	122	25	18	18	14	—	—	2	2	6	16	21	—	—	—	23	—	—	—	49	Juli
5.7	5.3	3.9	5.0	44	7	6	12	11	—	—	1	2	8	9	22	—	1	—	24	—	—	—	46	August
6.3	6.0	5.0	5.8	115	22	23	13	11	—	—	—	6	5	8	14	—	—	3	31	—	—	2	40	September
6.3	7.1	4.2	5.9	200	64	29	13	13	1	—	—	8	4	11	3	—	—	8	20	9	—	—	53	Oktober
2.7	1.6	1.8	2.0	15	—	—	5	3	2	—	—	1	23	4	—	1	—	2	14	24	—	1	48	November
4.0	5.9	3.6	4.5	46	11	29	10	7	10	—	—	7	10	8	2	—	—	4	32	13	1	—	41	Dezember
5.5	5.5	4.5	5.2	1016	64	X	142	113	39		4	31	101	122	141	1	2	20	341	40	1	3	537	Jahr

St. Gotthard

$\lambda = 8° 34'$, $\beta = 46° 33'$, $H_b = 2095^m$, $G = -0.25$ ‰, $h_r = 1.8^m$

1953	Luftdruck					Luft-Temperatur							Relative Feuchtigkeit					
	Mittel	Minimum	Tag	Maximum	Tag	7^{30}	13^{30}	21^{30}	Mittel	Minimum	Tag	Maximum	Tag	7^{30}	13^{30}	21^{30}	Mittel	Minimum	Tag
Januar	587.5	574.3	1	595.7	28.29/30	-9.6	-7.0	-9.1	-8.7	-16.2	9	3.9	29	62	65	61	63	5	15. 27
Februar	587.2	570.3	11	600.5	26	-9.2	-5.8	-8.6	-8.1	-18.8	8	5.9	23	65	58	66	63	0	17. 22
März	595.8	589.8	8	601.4	25	-5.6	-0.2	-5.1	-4.0	-13.4	12	4.9	30	54	47	69	57	0	9
April	589.7	581.5	27	593.9	11	-1.9	1.9	-1.1	-0.5	-9.2	15	7.4	22	92	72	91	85	32	21.22/29
Mai	592.6	582.7	10	601.2	26	2.0	6.5	2.2	3.2	-8.2	8	15.2	18	84	58	88	77	12	25
Juni	591.0	580.2	2	595.7	20	3.9	6.8	4.5	4.9	-5.2	2	12.8	28	92	82	93	89	26	3
Juli	595.9	588.3	13	600.9	20	7.8	12.0	7.9	8.9	0.5	11	18.3	26	80	58	87	75	0	21
August	596.9	590.0	22	602.2	31	7.0	11.9	7.9	8.7	0.0	22	19.7	12	82	53	90	75	0	29
September	595.8	589.5	20	603.5	1	5.6	9.2	5.9	6.6	-1.0	12	19.6	1	88	74	95	86	4	1
Oktober	594.0	588.9	27	601.2	1. 2	1.8	4.7	2.3	2.8	-6.3	30	11.7	20	86	80	93	86	24	6. 9
November	596.0	582.0	3	600.4	16	-1.0	2.0	-0.8	-0.1	-6.3	27	6.0	22	65	59	65	63	24	8. 12
Dezember	593.5	583.9	30	600.9	1	-4.6	-2.5	-4.8	-4.2	-17.8	31	5.6	1	90	84	92	89	57	1
Jahr	593.0	570.3	II	603.5	IX	-0.3	3.3	0.1	0.8	-18.8	II	19.7	VIII	78	66	83	76	0	II/III VII/VIII

Jura

Basel (Binningen)

$\lambda = 7° 35'$, $\beta = 47° 33'$, $H_b = 317.3^m$, $G = 0.11$ ‰, $h_r = 1.5^m$

Januar	736.7	718.3	1	745.5	20	-3.5	-0.2	-2.6	-2.2	-10.9	12	8.4	30	94	81	91	89	60	21
Februar	735.0	712.6	10	746.1	28	-1.2	3.5	0.4	0.8	-11.6	8	12.3	22	91	71	83	82	51	28
März	742.1	731.7	30	748.3	10	1.1	12.7	5.2	6.1	-4.7	9	23.6	30	86	46	74	69	24	30
April	732.6	721.0	27	737.8	11	7.7	15.6	9.3	10.5	2.7	8	22.6	23	81	54	75	70	27	18
Mai	734.5	725.3	4	740.7	27	12.7	20.8	13.5	15.1	3.1	7	31.9	26	76	46	71	64	24	11
Juni	731.7	724.3	9	736.9	19	14.2	19.6	14.9	15.9	7.0	3	26.2	22. 30	84	64	84	77	42	20
Juli	735.0	728.0	12	743.3	20	17.5	22.7	17.0	18.6	9.9	10	29.2	25	79	61	82	74	43	20. 21/24
August	736.9	729.2	21	742.0	4	15.5	24.6	16.6	18.3	11.6	22	32.1	14	83	50	80	71	35	19
September	735.5	729.1	15	744.1	7. 30	12.5	20.4	13.8	15.1	6.2	14	31.7	2	86	59	84	76	33	1
Oktober	736.1	726.4	13	745.1	1	8.4	15.0	9.9	10.8	1.6	31	21.4	4	96	72	92	87	54	13. 28
November	740.8	726.1	2	745.6	15	1.4	7.5	3.3	3.9	-3.9	13	12.4	1	94	71	88	84	47	28
Dezember	738.8	732.5	19	743.6	1	1.6	4.9	2.4	2.8	-3.5	31	14.0	5	93	81	91	88	57	4
Jahr	736.3	712.6	II	748.3	III	7.3	13.9	8.6	9.6	-11.6	II	32.1	VIII	87	63	83	78	24	III V

La Chaux-de-Fonds

$\lambda = 6° 50'$, $\beta = 47° 7'$, $H_b = 989.9^m$, $G = -0.03$ ‰, $h_r = 1.3^m$

Januar	676.3	660.7	1	684.0	20. 21	-6.6	-2.0	-5.3	-4.8	-12.1	15	5.9	30	88	78	86	84	44	21
Februar	675.5	650.7	11	686.9	21. 27	-4.3	0.5	-2.8	-2.3	-16.1	8	8.9	27	90	77	85	84	45	27
März	683.0	675.8	30	688.4	10	-0.5	7.7	2.1	2.9	-6.1	9	15.1	30	79	54	72	68	30	4
April	674.6	664.2	27	679.8	11	5.4	10.6	6.6	7.3	-2.2	5. 15	17.3	4	84	65	76	75	41	18
Mai	677.4	668.3	13	684.3	26	10.0	15.6	11.1	12.0	0.9	10	24.9	18	80	57	74	70	30	16
Juni	675.0	665.7	2	679.4	19	11.1	14.7	11.6	12.3	2.9	2	21.1	30	85	69	86	80	33	6
Juli	678.7	670.1	12	686.0	19	14.4	18.6	15.1	15.8	9.9	11	25.0	25	79	62	80	74	34	22
August	680.5	673.1	21	686.2	31	12.9	19.4	14.6	15.4	8.3	23	26.9	31	84	55	79	73	33	24
September	678.6	672.8	21	686.2	7	10.8	16.5	11.9	12.8	5.4	21	24.9	1. 2	87	62	85	78	35	2
Oktober	678.3	669.5	13	686.8	1	6.7	12.5	8.1	8.8	0.7	31	17.7	3	89	65	86	80	36	12
November	681.7	667.8	2	686.3	15	0.3	8.2	2.4	3.3	-3.6	22	11.7	28	80	54	80	71	25	12. 15
Dezember	679.8	674.4	31	685.7	1. 2	1.1	5.7	1.9	2.7	-7.6	31	12.7	4	88	72	85	82	42	7
Jahr	678.3	650.7	II	688.4	III	5.1	10.7	6.4	7.2	-16.1	II	26.9	VIII	84	64	81	76	25	XI

Chasseron

Abendbeobachtung 20.30

$\lambda = 6° 32'$, $\beta = 46° 51'$, $H_b = 1588^m$, $G = -0.13$ ‰, $h_r = 1.5^m$

Januar	626.9	611.6	1	635.5	28	-5.6	-4.1	-5.5	-5.2	-11.8	6. 7. 8	9.8	30	78	74	76	76	15	21/29. 30
Februar	626.2	607.8	11	638.4	26	-5.6	-3.4	-5.0	-4.9	-15.8	8	9.2	26	86	79	82	82	22	27
März	634.4	629.1	31	640.0	25	-0.8	2.0	0.2	0.3	-11.3	9	8.4	30	71	68	69	69	27	3
April	627.3	617.9	27	631.0	11	1.4	3.7	2.3	2.2	-7.0	15	10.2	21. 26	88	84	87	86	52	8.18.20
Mai	630.6	622.0	13	638.2	26	6.4	9.0	6.9	7.0	-3.7	10	18.8	18	84	75	84	81	50	18. 16 17. 18
Juni	628.4	618.9	2	632.8	20. 21	6.4	8.2	7.3	6.8	-2.8	2	14.8	30	95	91	96	94	55	5
Juli	632.5	625.0	12	638.7	20	9.5	12.1	10.2	10.1	3.4	10	20.2	25	91	88	93	91	56	25
August	634.2	627.2	21	639.3	31	10.1	13.2	10.6	10.9	3.0	22	20.0	13	85	81	86	84	30	24
September	632.0	625.6	21	640.2	7	8.2	11.0	8.5	8.9	1.0	11	20.0	1	88	81	90	86	32	14
Oktober	631.1	620.6	14	638.9	1	4.8	7.4	5.1	5.6	-2.4	30	13.8	3	89	79	88	85	30	6
November	633.9	620.6	3	638.8	15	3.4	5.5	3.4	3.9	-4.2	3	9.6	17	57	56	64	59	15	12. 15
Dezember	631.7	624.1	31	638.1	1	0.3	2.1	0.3	0.8	-13.6	31	9.4	2	86	78	84	83	38	7
Jahr	630.8	607.8	II	640.2	IX	3.2	5.6	3.7	3.9	-15.8	II	20.2	VII	83	78	83	81	15	I XI

Beobachter: E. Chiesa

St. Gotthard

Bewölkung				Niederschlag			Zahl der Tage								Windverteilung									1953
7^{30}	13^{30}	21^{30}	Mittel	Summe	Maximum	Tag	●	●≥1.0	✶	▲	K	≡	heiter	trüb	N	NE	E	SE	S	SW	W	NW	Calmen	
3.4	3.2	3.4	3.3	32	9	10	10	9	10	—	—	9	17	6	—	—	—	8	—	—	—	70	15	Januar
4.1	4.5	4.2	4.3	24	7	9	9	7	9	—	—	12	11	7	—	5	—	—	—	—	—	54	25	Februar
1.9	1.6	2.0	1.8	8	3	30	5	3	5	—	—	7	21	—	—	—	—	18	—	—	—	42	33	März
7.8	7.0	6.7	7.2	216	51	4	17	15	17	—	—	20	3	16	—	—	—	35	—	—	—	32	23	April
4.3	4.5	5.5	4.8	74	26	27	17	14	12	—	—	13	10	9	—	—	—	13	—	—	—	58	22	Mai
8.3	9.2	8.7	8.7	290	49	17	23	21	2	—	—	20	—	21	—	—	—	22	—	—	—	39	29	Juni
6.1	6.4	6.7	6.4	162	29	12	17	16	—	—	3	17	6	15	—	—	—	21	—	—	—	47	25	Juli
5.5	4.8	6.9	5.7	44	14	21	11	9	1	—	—	20	5	14	—	—	—	10	—	—	—	57	26	August
6.3	6.3	7.1	6.6	313	45	23	17	17	1	—	—	18	6	14	—	—	—	36	—	—	—	30	24	September
6.1	6.8	7.8	6.9	400	63	18	19	18	5	—	—	17	5	16	—	—	—	26	—	—	—	26	41	Oktober
2.0	2.0	1.8	1.9	20	9	2	4	4	4	—	—	4	22	4	—	—	—	19	—	—	—	44	27	November
6.0	6.2	5.3	5.8	49	12	8	15	12	15	—	—	18	8	14	—	—	—	27	—	—	—	38	28	Dezember
5.2	5.2	5.5	5.3	1632	63	X	164	145	81	—	3	175	114	136	—	5	—	235	—	—	—	537	318	Jahr

Jura

Beobachter: Astronom.-Meteorolog. Anstalt

Basel (Binningen)

8.4	7.7	7.3	7.8	18	8	31	8	6	8	—	—	6	3	20	6	1	19	8	1	7	6	17	28	Januar
8.0	7.6	6.9	7.5	14	5	2	8	5	7	—	—	5	3	18	2	5	18	4	4	12	14	10	15	Februar
4.2	2.7	2.0	3.0	7	5	11	2	2	1	—	—	3	14	4	6	4	23	10	6	8	5	12	19	März
5.0	5.8	5.4	5.4	37	10	10	13	9	—	—	—	1	8	8	4	3	18	11	8	8	14	14	10	April
5.2	5.5	4.5	5.1	29	10	30	8	6	1	—	2	—	6	7	9	6	13	7	5	8	17	11	17	Mai
7.3	7.8	8.0	7.7	137	22	25	17	16	—	—	3	2	2	19	1	1	6	10	2	10	22	15	23	Juni
6.0	6.2	4.8	5.7	90	26	10	13	11	—	1	8	—	5	5	1	3	10	10	8	12	22	14	13	Juli
4.8	4.1	3.4	4.1	21	10	16	7	3	—	—	1	—	10	4	1	4	14	8	6	11	17	14	18	August
5.7	5.8	4.7	5.4	93	22	23	11	10	—	1	2	—	8	10	3	3	23	10	4	8	12	11	16	September
8.0	5.7	5.6	6.4	25	5	29	9	7	—	—	—	16	2	12	2	1	20	14	2	5	9	12	28	Oktober
6.8	5.0	4.6	5.5	13	7	5	5	4	—	—	—	9	5	8	1	5	40	21	5	2	4	3	9	November
8.1	7.2	7.2	7.5	17	5	19	8	6	1	—	—	8	2	18	1	4	38	18	2	1	9	10	10	Dezember
6.5	5.9	5.4	5.9	501	26	VII	109	85	18	2	16	50	68	133	37	40	242	131	53	92	151	143	206	Jahr

Beobachter: Police locale

La Chaux-de-Fonds

5.4	4.8	5.1	5.1	21	9	31	7	4	7	—	—	6	13	13	—	1	—	1	—	2	—	1	88	Januar
7.0	6.0	6.6	6.5	79	16	1	14	11	11	—	—	4	8	17	—	6	1	1	—	11	—	2	63	Februar
2.6	2.2	1.6	2.1	10	5	11	3	3	1	—	—	—	19	2	—	10	—	—	—	3	1	—	79	März
5.4	6.1	4.1	5.2	81	23	4	16	14	6	3	1	5	9	8	—	3	1	—	1	12	2	1	70	April
3.9	4.8	3.9	4.2	98	29	27	14	13	3	—	2	—	8	3	1	4	—	—	—	7	—	6	75	Mai
7.6	7.9	6.6	7.4	245	52	9	21	19	1	—	4	3	—	17	—	1	—	—	—	6	1	—	82	Juni
5.8	6.5	4.8	5.7	118	18	10	13	13	—	1	2	—	5	6	—	—	—	—	—	11	—	1	81	Juli
4.0	4.5	3.2	3.9	45	12	3	10	9	—	—	3	—	8	6	—	—	—	—	—	1	1	2	89	August
6.0	5.1	5.8	5.6	127	35	23	14	11	—	—	2	2	8	11	—	—	—	—	—	12	1	—	77	September
5.4	5.3	5.5	5.4	44	15	25	11	9	—	—	1	4	8	10	3	1	—	1	—	—	—	—	88	Oktober
2.7	2.5	2.1	2.4	40	23	5	6	4	2	—	—	3	19	3	—	—	—	2	—	1	—	—	87	November
5.8	6.2	4.3	5.4	57	20	29	13	11	9	—	—	5	8	10	—	2	—	—	—	2	—	1	88	Dezember
5.1	5.2	4.5	4.9	965	52	VI	142	121	40	4	15	32	113	106	4	28	2	5	1	68	6	14	967	Jahr

Beobachter: Ch. H. Martin

Chasseron

5.4	5.5	4.8	5.2	24	14	31	9	5	9	—	—	18	10	11	4	15	43	1	2	—	16	12	—	Januar
7.0	7.1	6.6	6.9	52	17	1	13	11	13	—	—	19	6	17	7	2	33	1	6	1	17	17	—	Februar
4.3	4.0	3.8	4.0	11	8	31	3	2	3	—	—	9	10	3	7	7	41	6	2	3	10	17	—	März
6.6	7.6	7.2	7.1	76	15	4	16	14	11	1	2	17	1	14	8	3	17	7	14	6	14	21	—	April
5.8	6.5	7.2	6.5	161	54	22	13	10	5	1	2	9	—	7	12	9	23	4	10	6	8	21	—	Mai
7.3	8.3	8.2	7.9	339	105	9	23	20	4	1	4	22	—	21	8	2	14	5	8	—	24	28	1	Juni
6.8	7.2	6.5	6.8	125	22	23	15	14	—	—	2	23	4	13	8	—	4	5	6	5	27	38	—	Juli
5.4	5.2	5.3	5.3	68	15	15	12	11	—	—	3	12	4	9	10	14	9	11	2	7	15	21	4	August
6.0	5.7	5.6	5.8	128	36	23	16	12	—	—	3	15	7	10	6	6	11	12	11	12	11	19	2	September
6.6	6.2	6.0	6.3	59	21	25	11	10	2	—	1	16	5	11	7	6	29	12	10	7	10	11	1	Oktober
3.7	3.7	3.1	3.5	28	13	5	5	4	5	—	—	6	16	4	6	4	21	10	8	11	13	17	—	November
6.1	6.6	5.7	6.1	23	8	19	10	6	8	—	—	13	3	11	8	9	9	18	15	6	11	16	1	Dezember
5.9	6.1	5.8	5.9	1094	105	VI	146	119	60	3	17	179	66	131	91	77	254	92	94	64	176	238	9	Jahr

Neuchâtel

$\lambda = 6° 57'$, $\beta = 47° 0'$, $H_b = 487.3^m$, $G = 0.02$ ‰, $h_r = 1.3^m$

1953	Luftdruck					Luft-Temperatur								Relative Feuchtigkeit					
	Mittel	Minimum	Tag	Maximum	Tag	7^{30}	13^{30}	21^{30}	Mittel	Minimum	Tag	Maximum	Tag	7^{30}	13^{30}	21^{30}	Mittel	Minimum	Tag
Januar	721.1	703.1	1	729.5	20	−3.0	−0.7	−2.2	−2.0	−7.6	22	5.6	29	90	83	85	86	70	4.8 12.20
Februar	719.9	698.2	11	732.0	26	−1.9	1.2	−0.6	−0.5	−11.2	8	7.0	28	93	78	84	85	57	28
März	726.6	718.7	30	732.5	25	1.8	10.5	6.0	6.1	−3.0	15	17.4	30	82	47	60	63	34	16.29 30
April	717.8	705.8	27	722.7	13	6.7	13.5	9.7	9.9	2.5	15	20.3	23	85	58	71	71	36	19
Mai	719.8	709.7	13	726.6	26	11.6	19.6	14.4	15.0	3.8	11	29.1	21	81	48	63	64	30	13
Juni	717.2	709.4	9	723.0	18	13.1	18.4	14.5	15.1	5.6	2	24.9	30	88	67	80	78	33	5
Juli	720.7	713.5	12	728.5	20	16.4	22.2	17.8	18.6	11.0	10	28.8	26	83	61	73	72	41	21
August	722.5	714.2	21	728.5	5	15.0	23.4	18.3	18.8	11.3	29	30.3	13	86	54	65	68	38	29
September	720.9	714.4	15	729.2	7	13.1	19.7	15.3	15.8	8.9	23	28.6	2	85	61	73	73	37	2
Oktober	721.3	711.6	13	730.0	1	9.0	13.7	10.1	10.7	3.2	10	20.0	4	92	75	88	85	55	7
November	726.2	711.1	2	730.8	15	2.4	5.1	3.3	3.5	−0.5	23.24	10.3	1	94	85	92	90	61	3
Dezember	724.0	717.5	19	729.5	1	1.5	3.0	2.0	2.1	−3.2	31	6.0	1	94	90	93	92	57	26
Jahr	721.5	698.2	II	732.5	III	7.1	12.5	9.0	9.4	−11.2	II	30.3	VIII	88	67	77	77	30	V

Chaumont

$\lambda = 6° 49'$, $\beta = 47° 1'$, $H_b = 1141^m$, $G = -0.06$ ‰, $h_r = 1.3^m$

Januar	663.9	647.2	1	671.4	20	−5.7	−2.2	−5.2	−4.6	−10.4	15	7.2	30	87	77	86	83	29	21
Februar	663.0	644.9	11	674.4	22	−4.3	−0.7	−3.8	−3.2	−14.2	8	8.7	27	90	81	87	86	33	25
März	670.0	664.4	30.31	675.1	3	0.5	6.5	1.7	2.6	−7.0	9	13.6	30	72	53	67	64	34	4.30
April	662.9	653.2	27	666.8	1	4.4	8.9	5.2	5.9	−2.8	15	16.0	22	85	69	81	78	40	4
Mai	665.1	657.2	14	671.6	26	9.4	15.5	10.1	11.3	0.0	10.11	26.0	21	82	58	70	70	31	17
Juni	663.3	654.7	2	668.1	19	9.9	14.0	10.4	11.2	1.0	2	21.0	28.30	84	71	80	78	42	28
Juli	666.8	661.1	12	673.2	20	12.8	17.3	13.3	14.2	6.8	10	24.4	26	81	67	80	76	46	22
August	668.4	662.7	21	672.6	5	12.6	18.4	13.3	14.4	6.4	22.23	26.0	13	78	57	70	68	34	31
September	666.8	661.6	20	674.1	7	10.3	15.3	11.1	12.0	5.6	29	25.2	1	79	60	74	71	38	15
Oktober	666.7	658.9	13	673.9	1	6.6	11.0	7.4	8.1	0.6	30	18.4	3	88	73	85	82	51	13
November	669.2	657.6	2	673.4	16	2.5	7.0	3.5	4.1	−4.2	12	11.2	16	69	59	65	64	18	12 15.16
Dezember	667.4	662.2	29	673.3	1	1.8	4.7	2.1	2.7	−8.0	31	13.0	5	84	72	83	80	43	9.14
Jahr	666.1	644.9	II	675.1	III	5.1	9.6	5.8	6.6	−14.2	II	26.0	V VIII	82	66	77	75	18	XI

Weißenstein

Die Abendbeobachtung erfolgt um 20.30

$\lambda = 7° 30'$, $\beta = 47° 15'$, $H_b = 1285^m$, $G = -0.08$ ‰, $h_r = 1.7^m$

Januar	651.3	635.3	1	659.3	20	−5.4	−4.2	−5.5	−5.1	−10.4	13	8.4	30	—	—	—	—	—	—
Februar	650.5	631.3	10	662.9	27	−4.7	−3.4	−4.0	−4.2	−14.6	8	6.6	25	—	—	—	—	—	—
März	658.5	652.3	31	663.7	24.25	0.5	3.3	1.8	1.7	−9.2	9	8.2	26	—	—	—	—	—	—
April	650.8	640.7	27	654.8	11	3.5	6.7	4.6	4.6	−4.2	15	14.0	4.26	—	—	—	—	—	—
Mai	653.8	645.3	13	660.5	26	8.1	11.1	9.0	9.0	−1.8	10	23.0	18	—	—	—	—	—	—
Juni	651.5	642.5	2	655.8	19	9.3	11.7	10.0	9.9	−0.2	2	17.6	20	—	—	—	—	—	—
Juli	655.3	648.3	13	661.7	19	12.0	14.7	12.8	12.7	6.0	10	21.8	22	—	—	—	—	—	—
August	657.0	649.6	21	662.0	31	11.6	15.7	12.6	12.9	6.0	22	23.0	13	85	73	80	79	50	23
September	654.8	648.2	21	662.9	7	10.1	12.9	10.8	11.0	3.6	11.30	21.8	1	87	78	83	83	55	2
Oktober	654.5	646.4	13	662.6	1	6.3	8.8	6.8	7.1	−0.2	30	16.6	13	89	80	87	85	26	12
November	657.5	644.3	2	661.9	15.16	4.0	6.0	4.7	4.7	−1.8	7	12.0	14	92	60	64	62	19	13
Dezember	655.4	649.1	29	661.5	1	1.9	3.2	1.7	2.2	−11.2	31	10.4	2	80	78	82	80	42	7
Jahr	654.2	631.3	II	663.7	III	4.8	7.2	5.4	5.5	−14.6	II	23.6	VIII	—	—	—	—	—	—

Solothurn

$\lambda = 7° 32'$, $\beta = 47° 1'$, $H = 470$ m, $G = —$ ‰, $h_r = 1.5^m$

Januar	—	—	—	—	—	−3.7	−0.8	−2.7	−2.5	−9.6	12.17	8.2	29	87	73	80	80	54	16
Februar	—	—	—	—	—	−2.9	2.0	−1.6	−1.0	−15.3	8	10.2	20	93	65	86	81	42	20
März	—	—	—	—	—	1.9	11.7	5.6	6.2	−3.6	3	19.4	30	78	38	54	57	20	16
April	—	—	—	—	—	7.4	14.5	9.1	10.0	1.9	15	23.1	4	80	52	69	67	24	26
Mai	—	—	—	—	—	12.4	19.5	13.8	14.9	4.2	10	30.3	18	76	50	62	63	26	11.16
Juni	—	—	—	—	—	13.8	19.1	14.5	15.5	5.6	2	27.1	30	84	62	77	74	29	5
Juli	—	—	—	—	—	16.7	22.8	16.7	18.2	10.9	10	29.7	26	—	—	—	—	—	—
August	—	—	—	—	—	15.3	23.7	16.7	18.1	10.7	29	30.8	14	—	—	—	—	—	—
September	—	—	—	—	—	12.4	20.0	13.8	15.0	6.8	21	29.8	1	—	—	—	—	—	—
Oktober	—	—	—	—	—	8.4	14.0	9.3	10.2	0.8	10	19.0	4	94	72	88	85	45	2
November	—	—	—	—	—	1.5	4.8	2.1	2.6	−2.8	29	12.7	1	95	85	92	91	70	7
Dezember	—	—	—	—	—	0.5	2.5	1.1	1.3	−3.4	31	8.3	1	—	—	—	—	—	—
Jahr	—	—	—	—	—	7.0	12.8	8.2	9.0	−15.3	II	30.8	VIII	—	—	—	—	—	—

Beobachter: **Obervatorium**

Neuchâtel

Bewölkung				Niederschlag			Zahl der Tage								Windverteilung									1953
7^{30}	13^{30}	21^{30}	Mittel	Summe	Maximum	Tag	●	●≥1.0	✳	▲	K	≡	heiter	trüb	N	NE	E	SE	S	SW	W	NW	Calmen	
8.5	8.4	7.7	8.2	17	12	31	7	3	7	—	—	2	2	18	4	29	7	1	—	6	3	1	42	Januar
8.6	7.8	6.7	7.7	75	22	1	12	9	11	—	—	4	2	17	—	18	3	—	—	13	11	2	37	Februar
3.5	3.0	1.7	2.7	3	3	11	1	1	1	—	—	1	15	5	1	20	4	7	—	12	3	2	44	März
6.4	6.0	4.9	5.8	45	13	4	15	10	1	—	1	2	5	9	2	10	5	3	2	14	4	2	48	April
4.6	5.2	5.2	5.0	69	30	22	9	6	—	1	3	1	6	5	4	10	12	1	3	13	3	6	41	Mai
7.4	7.0	7.5	7.3	148	40	9	21	17	—	—	2	—	1	14	6	4	6	2	2	19	5	1	45	Juni
5.5	5.6	6.2	5.8	82	17	5	15	9	—	—	4	—	6	11	4	2	4	2	6	16	11	4	44	Juli
4.3	4.2	3.6	4.0	62	30	2	7	6	—	—	1	—	10	6	2	7	6	4	5	9	5	4	51	August
6.0	5.5	5.1	5.5	103	36	23	14	9	—	—	1	—	10	12	2	11	8	5	—	16	2	4	42	September
8.6	7.1	5.8	7.2	29	13	25	9	6	—	—	—	5	2	18	1	14	9	4	1	1	1	1	61	Oktober
9.6	8.4	8.0	8.7	31	16	5	5	4	—	—	—	10	—	25	—	4	3	—	2	1	5	1	74	November
9.6	9.5	9.0	9.4	19	7	29	9	4	2	—	—	18	—	27	3	10	2	—	—	3	2	1	72	Dezember
6.9	6.5	5.9	6.4	683	40	VI	124	84	22	1	12	43	59	167	29	139	69	29	21	123	55	29	601	Jahr

Beobachter: **Frau B. Pierrehumbert**

Chaumont

6.0	5.9	6.2	6.0	16	12	31	3	2	3	—	—	10	6	13	1	—	38	—	—	—	2	1	51	Januar
6.9	6.2	5.4	6.2	73	23	1	8	7	8	—	—	8	7	12	1	—	18	—	—	6	13	3	43	Februar
3.2	2.9	2.3	2.8	4	4	11	1	1	1	—	—	3	15	4	—	—	34	3	—	3	6	—	47	März
5.6	5.7	4.7	5.3	63	14	4	14	13	8	1	1	7	6	6	1	1	17	—	—	—	17	1	53	April
4.6	5.2	3.7	4.5	121	41	22	8	7	3	2	3	6	4	4	5	—	27	3	1	3	6	3	45	Mai
7.0	6.5	6.8	6.8	188	29	9	22	21	2	—	4	8	2	11	1	—	8	—	—	—	14	—	67	Juni
5.6	5.9	5.1	5.5	88	17	23	13	12	—	—	2	4	4	6	—	—	5	1	—	3	18	2	64	Juli
4.1	4.0	3.6	3.9	53	16	21	10	7	—	—	2	5	9	3	3	—	25	—	—	1	10	3	51	August
5.7	5.6	5.0	5.4	118	36	23	13	11	—	—	—	6	7	9	2	—	20	1	2	5	6	4	50	September
6.4	6.1	5.5	6.0	35	10	25	8	7	—	—	—	7	5	8	—	1	38	—	—	1	2	5	46	Oktober
3.2	3.2	2.8	3.1	40	17	5	5	5	—	—	—	3	14	4	3	—	21	—	—	4	11	2	49	November
5.1	6.3	4.3	5.2	38	18	28	10	6	7	—	—	6	9	10	4	1	9	3	—	1	7	2	66	Dezember
5.3	5.3	4.6	5.1	837	41	V	115	99	32	3	12	73	88	90	21	3	260	11	3	27	112	26	632	Jahr

Beobachter: **Th. Klein**

Weißenstein

6.4	6.0	6.5	6.3	26	16	31	6	5	6	—	—	19	8	17	11	17	18	13	2	6	7	19	—	Januar
7.1	7.3	6.6	7.0	44	8	11. 12	12	11	11	—	—	19	7	18	6	8	10	8	6	8	17	21	—	Februar
3.8	4.2	3.1	3.7	2	2	11	2	1	2	—	—	5	13	4	9	17	11	22	5	11	8	10	—	März
6.4	7.0	5.5	6.3	37	10	10	14	11	8	1	1	11	3	11	9	3	5	20	10	20	9	14	—	April
5.5	6.9	6.5	6.3	117	40	26	11	8	1	—	1	—	4	12	15	12	7	12	8	12	7	20	—	Mai
8.3	8.8	8.8	8.6	226	40	8	20	17	2	—	-?	7	—	19	10	6	3	11	9	18	12	21	—	Juni
6.5	6.3	6.7	6.5	101	20	3	19	15	—	—	-?	7	4	15	8	1	1	2	3	32	14	28	—	Juli
4.9	5.4	4.4	4.9	115	46	21	9	8	—	—	-?	8	5	6	15	13	4	6	10	14	6	25	4	August
5.8	5.8	4.7	5.4	88	22	23	12	11	—	—	—	12	6	7	10	8	5	9	18	22	4	13	1	September
7.0	6.5	4.8	6.1	26	8	25	9	6	2	—	—	12	3	6	15	16	6	16	11	8	4	16	1	Oktober
3.6	3.4	2.8	3.3	24	16	5	5	4	2	—	—	5	16	4	8	5	4	7	4	26	11	25	—	November
6.2	6.9	6.0	6.4	30	10	28	8	6	7	—	—	13	3	13	14	12	3	4	4	24	9	23	—	Dezember
6.0	6.2	5.5	5.9	836	46	VIII	127	103	41	1	2?	118	72	132	130	118	77	130	90	201	108	235	6	Jahr

Beobachter: **B. u. G. Glutz**

Solothurn

9.3	8.3	8.1	8.6	19	10	31	9	4	9	—	—	5	—	23	—	14	15	3	—	—	5	2	54	Januar
9.5	7.2	6.7	7.8	92	20	11	9	9	9	—	—	6	—	16	1	11	5	1	—	1	13	7	45	Februar
3.9	3.2	2.5	3.2	2	2	11	2	1	1	—	—	4	16	6	3	7	21	3	—	4	10	4	41	März
6.2	5.9	5.3	5.8	69	19	10	14	14	2	—	1	2	5	7	—	3	7	4	—	3	17	5	51	April
4.7	5.5	4.2	4.8	105	41	26	11	6	—	—	3	1	7	6	2	9	12	5	—	5	6	5	49	Mai
7.7	7.1	7.3	7.4	202	38	10	17	16	—	—	1	2	2	17	—	4	5	3	—	5	12	4	57	Juni
5.4	5.4	6.4	5.7	178	35	3	16	15	—	—	3	—	5	6	—	3	1	2	—	10	6	7	64	Juli
4.1	4.2	4.0	4.1	90	37	21	11	8	—	1	1	—	10	4	1	—	8	8	—	1	12	1	62	August
5.9	5.3	5.0	5.4	85	25	23	14	10	—	—	—	4	8	10	—	3	9	5	—	3	8	5	57	September
8.8	6.3	6.3	7.1	31	10	25	12	7	—	—	1	12	3	12	—	8	7	5	—	2	4	4	63	Oktober
9.7	7.6	7.8	8.4	19	11	5	5	4	—	—	—	19	1	22	—	4	3	—	—	3	3	8	69	November
9.9	9.1	8.5	9.2	37	17	28	8	5	3	—	—	18	0	24	1	7	5	—	—	—	2	2	76	Dezember
7.1	6.2	6.0	6.4	929	41	V	128	99	24	1	10	73	57	153	8	73	98	39	—	37	98	54	688	Jahr

Langenbruck

$\lambda = 7^\circ 46'$, $\beta = 47^\circ 21'$, $H_b = 740.4^m$, $G = 0.02$ $^m/_m$, $h_r = 1.6^m$

1953	Luftdruck					Luft-Temperatur								Relative Feuchtigkeit					
	Mittel	Minimum	Tag	Maximum	Tag	7^{30}	13^{30}	21^{30}	Mittel	Minimum	Tag	Maximum	Tag	7^{30}	13^{30}	21^{30}	Mittel	Minimum	Tag
Januar	698.5	681.0	1	707.1	20	−5.1	−2.8	−4.1	−4.0	−11.3	23	4.6	28	83	76	81	80	53	21
Februar	697.3	676.8	10	708.7	26	−2.6	−0.3	−1.8	−1.6	−15.6	8	4.8	20 . 28	81	68	76	75	42	8
März	704.9	696.9	30	710.2	10	1.1	6.9	3.0	3.5	−3.8	2	16.0	30	65	50	58	58	31	30
April	696.1	683.9	27	700 9	11	7.0	11.1	7.6	8.3	0.0	15	17.8	23	72	54	66	64	36	23
Mai	698.6	689.7	13	704.8	27	11.4	16.0	11.7	12.7	2.2	10	28.8	21	69	50	61	60	32	16
Juni	696.1	687.7	2	701.0	19	13.0	15.9	12.5	13.5	4.4	3	21.6	30	75	62	76	71	35	5
Juli	699.7	692.6	12	707.1	20	15.9	19.0	15.3	16.4	9.4	10	25.4	25	70	56	70	65	37	22
August	701.5	693.4	21	706.8	5	14.6	19.6	14.8	16.0	10.2	23	26.6	14	76	52	67	65	41	31
September	699.8	693.7	15 . 21	707.8	7	11.8	16.6	12.4	13.3	6.6	21	24.2	1	77	59	72	69	42	15
Oktober	699.8	690.3	13	708.7	1	8.0	11.6	8.5	9.1	0.2	31	17.4	3	82	66	79	76	49	4. 8
November	703.8	689.8	2	708.3	15	0.6	3.8	1.3	1.8	−3.2	25	8.8	1	85	76	82	81	39	1
Dezember	701.6	695.5	19	707.3	1	0.2	2.8	0.8	1.1	−6.3	31	11.2	5	86	80	85	84	51	5
Jahr	699.8	676.8	II	710.2	III	6.3	10.0	6.8	7.5	−15.6	II	28.8	V	77	62	73	71	31	III

Aarau

$\lambda = 8^\circ 2'$, $\beta = 47^\circ 23'$, $H_b = 407.6^m$, $G = 0.07$ $^m/_m$, $h_r = 1.6^m$

Januar	728.7	710.7	1	737.8	20	−3.0	−0.2	−2.3	−2.0	−9.2	12	7.0	29	83	70	81	78	55	28
Februar	727.5	705.8	10	739.2	27	−1.9	2.1	−0.9	−0.4	−14.8	8	8.0	20	87	66	83	79	52	28
März	734.6	724.5	30	740.4	3	1.2	10.8	4.1	5.1	−2.4	3	19.8	30	82	44	70	65	27	24
April	725.0	712.3	27	730.5	11	7.0	14.8	8.9	9.9	2.6	15	22.2	4	82	50	76	69	29	4
Mai	727.0	717.2	13	733.1	27	12.5	19.5	13.5	14.8	3.4	8	28.6	18	68	44	71	61	30	11
Juni	724.3	716.1	9	730.0	19	13.8	19.1	14.6	15.5	6.2	2	26.4	30	78	57	81	72	31	5
Juli	727.7	720.1	12	736.1	20	16.7	22.5	17.2	18.4	12.2	12	28.2	22 . 26	75	50	78	68	36	22
August	729.7	721.3	21	735.7	5	14.8	22.6	16.8	17.7	10.0	24	29.4	14	78	49	76	68	36	24
September	728.3	721.8	15	737.4	7	12.7	19.0	13.7	14.8	6.6	23	26.8	1	80	55	82	72	38	1
Oktober	728.6	718.5	13	737.9	1	8.7	13.8	9.5	10.4	1.8	10	19.0	4	87	61	88	79	45	8
November	733.7	718.2	2	739.1	16	1.7	5.0	2.6	3.0	−1.8	29	10.8	5	90	71	89	83	50	1
Dezember	731.6	724.6	19	736.9	1	0.9	3.2	1.6	1.8	−4.2	31	9.8	1	88	76	88	84	57	31
Jahr	728.9	705.8	II	740.4	III	7.1	12.7	8.3	9.1	−14.8	II	29.4	VIII	81	58	80	73	27	III

Beznau

$\lambda = 8^\circ 14'$, $\beta = 47^\circ 33'$, $H_b =$ ca 330^m, $G = -$ $^m/_m$, $h_r = 1.5^m$

Januar	—	—	—	—	—	−2.2	0.0	−1.6	−1.3	−8.0	12	6.2	29	—	—	—	—	—	—
Februar	—	—	—	—	—	−0.9	2.5	−0.4	0.2	−10.0	8	8.0	28	—	—	—	—	—	—
März	—	—	—	—	—	0.9	10.1	5.3	5.4	−3.0	4. 10	18.4	30	—	—	—	—	—	—
April	—	—	—	—	—	6.8	14.0	8.5	9.4	3.2	8	19.4	23 . 26	—	—	—	—	—	—
Mai	—	—	—	—	—	11.9	19.1	13.9	14.7	3.0	8	29.0	26	—	—	—	—	—	—
Juni	—	—	—	—	—	14.4	19.5	14.7	15.8	7.0	2	26.2	30	—	—	—	—	—	—
Juli	—	—	—	—	—	16.9	22.3	17.8	18.7	11.0	10	27.6	2	—	—	—	—	—	—
August	—	—	—	—	—	14.8	22.2	16.8	17.7	10.0	24	28.4	14	—	—	—	—	—	—
September	—	—	—	—	—	12.7	19.3	14.0	15.0	6.6	14	27.0	2. 9	—	—	—	—	—	—
Oktober	—	—	—	—	—	8.9	13.8	9.1	10.2	0.5	10	19.0	4	—	—	—	—	—	—
November	—	—	—	—	—	2.6	5.4	2.8	3.4	−0.6	30	11.0	5	—	—	—	—	—	—
Dezember	—	—	—	—	—	1.6	3.3	1.9	2.2	−3.0	31	10.0	1	—	—	—	—	—	—
Jahr	—	—	—	—	—	7.4	12.6	8.6	9.3	−10.0	II	29.0	V	—	—	—	—	—	—

Hallau

$\lambda = 8^\circ 27'$, $\beta = 47^\circ 42'$, $H_b = 449.5^m$, $G = 0.09$ $^m/_m$, $h_r = 1.3^m$

Januar	724.6	704.9	3	734.1	20	−2.8	−0.5	−2.1	−1.9	−7.3	12	6.8	30 . 31	90	80	87	86	64	13 . 30
Februar	723.2	701.3	10	735.2	26	−2.3	1.2	−0.6	−0.6	−15.8	8	8.8	28	92	78	85	85	46	28
März	730.8	720.1	30	736.9	10	1.6	10.8	5.7	5.9	−2.8	15	18.8	30	84	47	66	66	29	30
April	721.4	708.8	27	726.3	11	7.3	14.6	9.9	10.4	2.5	15	21.9	3	86	55	74	72	33	4
Mai	723.3	714.3	13	729.1	27	11.9	19.3	14.8	15.2	3.6	10	29.2	26	83	50	67	67	28	11
Juni	720.5	712.6	2	725.8	19	14.0	18.7	15.3	15.8	6.4	3	25.6	30	87	62	85	78	30	5
Juli	724.0	716.7	13	732.1	20	16.3	21.7	17.8	18.4	12.3	12	28.8	22	88	57	84	76	31	21
August	726.0	717.5	21	731.7	5	15.0	22.5	17.4	18.1	10.8	5	29.2	14	87	50	77	71	39	*)
September	724.4	718.0	19	733.2	7	12.4	19.2	14.6	15.2	8.3	23	29.1	3	89	60	82	77	35	14
Oktober	725.0	715.1	13	734.0	1	8.3	13.6	10.3	10.6	−1.2	11	19.2	4	94	72	90	85	46	9
November	729.6	709.9	2	734.3	15 . 16	1.3	4.8	2.6	2.8	−2.4	29	10.2	5	97	84	94	92	58	1. 7
Dezember	727.5	720.7	19 . 29	732.5	1	0.6	3.0	1.4	1.6	−4.8	31	10.8	1	96	88	95	93	62	31
Jahr	725.0	701.3	II	736.9	III	7.0	12.4	8.9	9.3	−15.8	II	29.2	V VIII	90	65	82	79	28	V

*) 11. 14. 19. 20. 31.

Beobachter: E. Müller

Langenbruck

Bewölkung 7^{30}	13^{30}	21^{30}	Mittel	Niederschlag Summe	Maximum	Tag	Zahl der Tage ●/✳	●✳ ≥1.0	✳	▲	⚡	≡	heiter	trüb	Windverteilung N	NE	E	SE	S	SW	W	NW	Calmen	1953
7.9	7.6	8.1	7.9	28	15	31	8	4	8	—	—	5	2	18	8	15	4	—	3	—	1	2	60	Januar
8.3	7.2	7.1	7.5	85	15	1	14	10	12	—	—	3	5	18	3	3	10	—	1	1	11	3	52	Februar
3.0	2.3	2.2	2.5	4	2	27	3	1	1	—	—	—	17	3	4	7	12	—	1	1	6	4	58	März
4.9	5.6	4.7	5.1	77	22	9	15	12	3	1	1	1	9	9	4	9	11	—	—	1	9	3	53	April
4.0	5.7	3.7	4.5	96	25	30	14	9	1	1	1	—	11	4	13	5	13	—	—	—	6	4	52	Mai
7.3	7.7	7.2	7.4	197	34	25	23	19	—	—	1	—	2	15	9	9	7	1	2	—	6	2	54	Juni
5.5	6.6	5.8	6.0	117	29	1	18	16	—	—	2	—	5	9	6	4	7	1	1	2	8	3	61	Juli
4.0	4.2	3.0	3.7	101	40	21	10	8	—	—	—	—	13	7	5	5	3	1	2	—	5	1	71	August
5.5	5.6	4.4	5.2	68	18	21	12	9	—	—	—	—	9	10	8	2	7	—	1	—	6	4	62	September
6.7	6.1	4.7	5.8	23	6	29	9	6	—	—	—	4	6	9	5	4	5	1	—	2	2	2	72	Oktober
7.5	5.9	5.4	6.3	30	14	5	4	4	—	—	—	14	5	12	1	2	4	1	—	—	3	—	79	November
7.3	7.5	7.3	7.4	34	14	28	10	6	5	—	—	8	4	20	5	3	2	1	1	—	5	5	71	Dezember
6.0	6.0	5.3	5.8	860	40	VIII	140	104	30	2	5	35	88	134	71	68	85	6	12	7	68	33	745	Jahr

Beobachter: W. Amsler

Aarau

7^{30}	13^{30}	21^{30}	Mittel	Summe	Maximum	Tag	●/✳	●✳ ≥1.0	✳	▲	⚡	≡	heiter	trüb	N	NE	E	SE	S	SW	W	NW	Calmen	1953
9.7	7.9	7.9	8.5	19	6	31	10	7	10	—	—	10	—	9	4	6	12	6	—	6	18	—	41	Januar
9.5	7.0	7.0	7.8	68	20	1	15	11	14	—	—	8	—	18	—	2	11	2	—	3	25	1	40	Februar
4.0	2.1	2.8	3.0	5	2	27	4	2	2	—	—	2	15	3	2	5	11	5	2	8	10	—	50	März
6.5	4.9	4.6	5.3	70	18	10	15	10	—	—	—	4	5	7	1	6	11	3	3	13	24	1	28	April
4.3	4.5	3.8	4.2	65	18	30	11	9	—	1	1	1	12	5	3	6	12	2	—	7	24	5	34	Mai
7.4	7.0	7.3	7.2	156	37	25	20	18	—	1	1	2	2	10	3	4	1	1	1	11	34	6	29	Juni
6.1	5.3	5.8	5.7	83	12	18	18	14	—	—	2	3	4	6	1	4	1	—	—	15	40	8	24	Juli
5.0	3.9	3.3	4.1	99	52	21	9	8	—	1	—	4	11	5	4	2	7	2	5	3	27	2	41	August
6.0	5.4	4.8	5.4	66	16	21	11	9	—	—	—	9	8	9	2	5	12	1	2	20	7	5	36	September
8.7	5.9	5.5	6.7	22	9	29	8	5	—	—	—	14	2	11	3	4	12	6	—	6	9	2	51	Oktober
10.0	7.2	7.7	8.3	24	11	5	7	4	—	—	—	25	—	19	—	—	1	6	2	9	29	—	43	November
9.5	8.9	9.2	9.2	28	6	28	13	6	5	—	—	21	—	25	—	—	10	1	2	5	23	1	51	Dezember
7.2	5.8	5.8	6.3	705	52	VIII.	141	103	31	3	4	103	59	133	23	44	101	35	17	106	270	31	468	Jahr

Beobachter: K. Sutter

Beznau

7^{30}	13^{30}	21^{30}	Mittel	Summe	Maximum	Tag	●/✳	●✳ ≥1.0	✳	▲	⚡	≡	heiter	trüb	N	NE	E	SE	S	SW	W	NW	Calmen	1953
9.6	8.7	8.5	8.9	12	5	31	7	5	7	—	—	2	—	24	19	1	8	27	7	1	2	3	25	Januar
9.7	7.8	6.5	8.0	43	13	1	11	8	11	—	—	9	0	14	10	3	—	26	9	3	1	9	23	Februar
4.3	3.3	2.5	3.4	2	1	30	3	—	1	—	—	5	13	2	10	7	6	14	2	1	1	16	36	März
6.2	5.8	4.7	5.6	62	14	9	11	10	—	—	3	6	4	7	8	3	3	22	3	4	3	17	27	April
4.2	4.6	5.0	4.6	54	23	30	11	7	1	—	5	2	8	6	7	8	5	10	5	4	3	15	36	Mai
7.6	7.3	7.5	7.5	161	56	25	18	18	—	—	5	2	2	11	5	3	1	26	12	8	3	6	26	Juni
6.0	5.4	6.3	5.9	113	26	5	14	13	—	—	8	4	4	7	3	2	1	8	8	12	5	17	37	Juli
6.2	5.1	3.3	4.9	35	23	21	7	6	—	—	—	8	9	5	6	2	5	12	6	5	4	8	45	August
6.6	4.9	4.8	5.4	73	14	20	12	11	—	—	—	9	7	10	10	—	3	12	9	3	2	8	43	September
8.9	6.1	6.2	7.1	20	10	29	8	4	—	—	—	14	2	13	9	12	1	12	6	1	—	5	47	Oktober
10.0	7.4	7.8	8.4	11	4	1	3	3	—	—	—	17	—	20	11	3	2	29	4	—	—	3	38	November
9.7	9.2	8.6	9.2	21	5	19. 20	9	7	3	—	—	8	1	26	2	5	1	15	7	—	1	7	55	Dezember
7.4	6.3	6.0	6.6	607	56	VI	114	92	23	—	21	86	50	145	100	49	36	213	78	42	25	114	438	Jahr

Beobachter: H. Rahm

Hallau

7^{30}	13^{30}	21^{30}	Mittel	Summe	Maximum	Tag	●/✳	●✳ ≥1.0	✳	▲	⚡	≡	heiter	trüb	N	NE	E	SE	S	SW	W	NW	Calmen	1953
9.3	8.2	8.1	8.5	16	8	31	9	4	9	—	—	5	2	23	6	16	7	3	—	6	19	8	28	Januar
9.0	8.0	6.6	7.9	46	11	9	12	9	12	—	—	6	0	18	2	6	13	2	—	2	21	4	34	Februar
4.0	3.1	2.0	3.0	2	1	27	3	—	2	—	—	3	15	3	—	15	10	4	—	6	12	1	45	März
6.3	5.5	4.3	5.4	63	21	10	11	10	—	—	—	2	8	10	—	1	2	1	2	9	7	2	66	April
4.9	5.9	4.8	5.2	56	20	27	13	6	2	—	2	1	6	8	5	6	11	4	1	5	18	3	40	Mai
8.1	7.8	7.3	7.7	208	78	25	16	15	—	—	2	1	2	16	2	4	5	3	2	15	25	4	30	Juni
7.0	6.1	5.8	6.3	101	18	5	14	13	—	—	1	—	4	12	1	2	1	1	—	21	25	2	40	Juli
4.7	4.2	3.6	4.2	35	26	21	6	5	—	—	—	1	9	4	1	6	6	7	—	8	24	7	34	August
6.1	5.8	4.3	5.4	67	17	19	11	9	—	—	—	3	8	10	2	3	5	4	2	10	8	5	51	September
8.0	6.1	5.2	6.4	26	12	29	8	6	—	—	—	12	3	11	6	2	4	1	2	6	9	4	59	Oktober
9.3	7.9	7.1	8.1	11	6	5	4	3	—	—	—	15	2	21	2	7	9	3	2	2	15	3	47	November
9.4	8.6	8.6	8.9	20	4	10. 19	8	6	3	—	—	11	1	26	5	10	6	3	—	7	4	—	58	Dezember
7.2	6.4	5.6	6.4	651	78	VI	115	86	28	—	5	60	60	162	32	78	79	36	11	97	187	43	532	Jahr

Lohn

$\lambda = 8° 40'$, $\beta = 47° 45'$, $H_b = 643^m$, $G = 0.06$ ‰, $h_r = 1.6^m$.

1953	Luftdruck					Luft-Temperatur								Relative Feuchtigkeit					
	Mittel	Minimum	Tag	Maximum	Tag	7^{30}	13^{30}	21^{30}	Mittel	Minimum	Tag	Maximum	Tag	7^{30}	13^{30}	21^{30}	Mittel	Minimum	Tag
Januar	707.3	690.0	1	716.5	20	-4.2	-1.9	-3.1	-3.1	-10.9	23	5.0	30	88	78	84	83	62	30
Februar	705.9	685.0	11	717.5	28	-2.8	0.0	-1.6	-1.5	-12.2	8	6.2	28	90	75	82	82	46	28
März	713.6	704.0	30	719.0	10	2.7	8.8	5.9	5.8	-4.8	15	17.6	30	66	46	53	55	26	30
April	704.6	692.5	27	709.6	11	7.2	12.6	8.6	9.3	1.8	15	18.9	4	76	55	67	66	32	30
Mai	706.7	698.2	13	712.4	27	12.5	17.4	13.2	14.1	2.0	10	26.5	26	72	48	61	60	32	16
Juni	704.1	695.6	2	709.1	19	13.4	17.0	13.8	14.5	4.4	2	22.6	21	83	64	78	75	33	5
Juli	707.5	699.9	12	715.1	20	16.6	20.4	16.7	17.6	11.0	10	26.7	26	77	55	72	68	31	21
August	709.6	701.6	21	714.0	5	15.4	20.7	16.7	17.4	10.8	22	26.9	13	73	50	62	62	38	19 . 20
September	707.9	701.4	19 . 28	716.7	7	12.4	17.7	13.8	14.4	7.7	15	27.0	2	80	56	71	69	34	7
Oktober	708.2	698.6	13	717.1	1	8.2	12.2	10.0	10.1	1.8	31	18.2	14	89	71	80	80	47	6
November	712.4	698.2	3	717.1	16	0.9	3.5	2.2	2.2	-3.0	14	8.5	1. 16	93	86	90	90	48	28
Dezember	710.3	703.7	19	715.8	1	0.4	2.3	1.0	1.2	-6.8	31	10.5	5	94	87	90	90	52	5
Jahr	708.2	685.0	II	719.0	III	6.9	10.9	8.1	8.5	-12.2	II	27.0	IX	82	64	74	73	26	III

Oberes Aare- und Saanegebiet

Bern

$\lambda = 7° 26'$, $\beta = 46° 57'$, $H_b = 572.2^m$, $G = 0.00$ ‰, $h_r = 1.5^m$

Januar	713.3	696.1	1	721.5	20	-4.9	-1.6	-3.6	-3.4	-9.8	17	5.8	29	92	84	89	88	68	13 . 16
Februar	712.0	691.5	11	723.7	26	-2.8	1.6	-1.1	-0.9	-11.8	8	7.4	20	90	69	81	80	49	22
März	719.2	711.3	30	724.6	25	0.9	9.4	5.3	5.2	-3.8	15	18.0	30	85	48	64	66	32	16
April	710.3	698.9	27	714.9	13	6.2	13.4	9.3	9.6	1.8	15	20.7	4	89	54	74	72	33	4
Mai	712.3	702.9	13	719.2	26	11.4	18.2	13.8	14.3	2.5	11	28.3	26	79	50	66	65	32	26
Juni	709.9	702.2	9	715.9	19	12.8	17.3	14.3	14.7	5.1	2	24.7	30	87	62	79	76	38	5
Juli	713.3	706.0	12	721.0	20	15.7	20.9	17.3	17.8	10.9	11	27.5	26	82	55	75	71	39	20 . 23
August	715.1	707.1	21	720.9	5	14.3	21.4	17.0	17.4	10.2	29	27.8	13	86	51	72	70	38	18 . 19 30 . 31
September	713.4	707.2	15	722.5	7	11.8	18.0	14.3	14.6	6.4	14	27.2	2	89	63	80	77	36	9
Oktober	713.6	704.4	13	722.4	1	7.9	13.1	9.7	10.1	1.2	31	17.8	3	95	67	91	84	48	7
November	718.3	703.8	2	722.6	15	0.6	4.5	2.1	2.3	-1.9	16	10.1	1	96	76	93	88	49	1
Dezember	716.1	709.9	19	721.4	1	0.6	3.5	1.6	1.8	-5.2	31	9.9	1	95	83	93	90	60	9
Jahr	713.9	691.5	II	724.6	III	6.2	11.6	8.3	8.6	-11.8	II	28.3	V	89	63	80	77	32	III V

Fribourg

$\lambda = 7° 9'$, $\beta = 46° 47'$, $H_b =$ ca 677^m, $G = —$ ‰, $h_r = 1.6^m$

Januar	—	—	—	—	—	-5.2	-1.6	-4.2	-3.8	-12.5	23	7.5	31	85	71	85	80	45	28
Februar	—	—	—	—	—	-3.4	1.2	-1.9	-1.5	-12.0	8	6.7	20	83	61	77	74	43	22
März	—	—	—	—	—	1.4	9.4	4.6	5.0	-4.4	15	17.4	30	69	41	55	55	26	16
April	—	—	—	—	—	6.2	12.6	8.1	8.8	0.6	15	18.8	24	78	49	69	65	34	18 . 19
Mai	—	—	—	—	—	11.3	17.8	12.9	13.7	1.5	11	27.6	26	70	43	60	58	28	4
Juni	—	—	—	—	—	12.7	17.4	13.4	14.2	3.9	2	22.4	28	79	53	76	69	28	5
Juli	—	—	—	—	—	15.9	21.2	16.7	17.6	9.9	11	26.5	22	72	47	68	62	34	22
August	—	—	—	—	—	14.4	21.1	16.3	17.0	10.0	28	28.3	14	79	46	66	64	32	19
September	—	—	—	—	—	11.8	18.0	13.5	14.2	6.1	14	26.4	2	89	64	85	79	43	12
Oktober	—	—	—	—	—	7.7	13.1	9.1	9.7	1.0	31	18.0	4	96	72	94	87	57	8
November	—	—	—	—	—	0.6	4.7	2.1	2.4	-2.3	16	9.7	5. 29	96	82	95	91	50	28
Dezember	—	—	—	—	—	0.4	3.8	1.2	1.7	-7.2	31	10.8	1. 5	92	82	94	89	63	4
Jahr	—	—	—	—	—	6.2	11.6	7.6	8.2	-12.5	I	28.3	VIII	82	59	77	73	26	III

Fribourg: Die bisher angegebene Höhe (670 m) war ungenau.

Langnau i. E.

$\lambda = 7° 47'$, $\beta = 46° 56'$, $H_b = 685^m$, $G = —$ ‰, $h_r = 1.6^m$

Januar	—	—	—	—	—	-6.6	-1.1	-4.8	-4.4	-13.5	24	6.6	29	90	70	88	83	56	26
Februar	—	—	—	—	—	-3.9	2.0	-2.3	-1.6	-13.4	8	8.0	20	91	61	87	80	45	22 . 28
März	—	—	—	—	—	0.2	9.8	2.8	3.9	-5.5	13	17.0	30	86	44	77	69	29	16
April	—	—	—	—	—	5.8	13.3	7.3	8.4	1.0	16	20.8	4	89	56	86	77	28	4
Mai	—	—	—	—	—	11.0	17.9	11.7	13.0	2.2	11	27.1	18	80	48	81	70	28	16
Juni	—	—	—	—	—	12.6	17.5	12.7	13.9	4.8	2	24.0	30	84	59	90	78	38	4 . 6
Juli	—	—	—	—	—	15.8	21.4	15.9	17.2	10.2	10	27.6	26	81	52	87	73	35	22
August	—	—	—	—	—	13.9	21.3	14.8	16.2	9.1	28	27.8	14	86	53	88	76	36	14 . 29
September	—	—	—	—	—	11.3	18.2	12.5	13.6	6.8	14 . 21	25.8	2	90	60	92	81	38	2. 9
Oktober	—	—	—	—	—	7.2	13.4	8.6	9.4	0.4	10	18.6	3	96	64	96	85	43	13
November	—	—	—	—	—	-0.7	5.3	1.2	1.8	-5.0	22 . 23	10.7	1	94	73	94	87	50	15 . 29
Dezember	—	—	—	—	—	0.2	4.7	0.9	1.7	-5.8	31	11.8	5	93	73	92	86	49	9
Jahr	—	—	—	—	—	5.6	12.0	6.8	7.8	-13.5	I	27.8	VIII	88	59	88	78	28	IV V

Beobachter: W. Sonderegger

Lohn

Bewölkung				Niederschlag			Zahl der Tage								Windverteilung									1953
7^{30}	13^{30}	21^{30}	Mittel	Summe	Maximum	Tag	●	●≥1.0	✶	▲	⛆	≡	heiter	trüb	N	NE	E	SE	S	SW	W	NW	Calmen	
9.0	8.2	8.0	8.4	25	12	31	10	7	10	—	—	3	2	23	1	27	6	—	3	5	11	3	37	Januar
8.4	7.1	5.8	7.1	53	17	2	12	7	12	—	—	3	3	14	2	22	3	3	2	15	16	3	18	Februar
4.1	2.8	1.6	2.8	4	2	11	4	2	2	—	—	2	16	2	3	37	8	7	2	10	10	7	9	März
6.3	5.6	4.1	5.3	49	16	10	11	8	—	—	—	3	8	11	3	21	10	9	4	6	15	4	18	April
5.3	5.8	3.8	5.0	123	44	23	13	10	2	1	4	—	6	7	5	24	16	3	5	3	11	15	11	Mai
8.0	7.6	6.9	7.5	176	70	25	19	16	—	—	2	2	2	16	5	15	4	4	5	9	20	10	18	Juni
6.4	6.5	5.8	6.2	86	18	23	16	13	—	—	5	2	4	8	3	2	5	3	6	16	30	8	20	Juli
4.9	4.8	3.5	4.4	29	15	21	9	6	—	—	—	—	8	6	6	16	3	6	3	11	16	8	24	August
6.0	5.6	4.7	5.4	60	16	19	12	8	—	—	—	3	8	9	7	26	6	5	3	8	14	5	22	September
7.7	6.2	5.1	6.3	24	14	29	6	4	—	—	—	7	3	12	1	31	13	4	4	1	3	2	28	Oktober
8.2	7.6	5.5	7.1	11	8	5	4	3	—	—	—	17	4	15	4	9	5	3	4	9	5	4	47	November
8.5	7.8	7.2	7.8	21	5	20	12	7	5	—	—	14	2	20	—	22	3	—	2	4	10	2	50	Dezember
6.9	6.3	5.2	6.1	661	70	VI	128	91	31	1	11	56	66	143	40	252	82	47	43	97	161	71	302	Jahr

Oberes Aare- und Saanegebiet

Beobachter: Meteorolog. Observatorium

Bern

8.2	8.0	6.8	7.7	26	15	31	7	5	7	—	1	5	4	19	7	36	12	14	13	3	2	—	6	Januar
7.8	6.5	5.0	6.4	31	10	10	10	8	10	—	1	4	4	12	5	21	4	2	11	14	12	—	15	Februar
3.8	3.3	2.4	3.2	5	2	31	4	2	1	—	—	—	13	4	7	21	11	16	21	7	6	2	2	März
5.6	6.3	4.5	5.5	77	16	9	16	13	3	—	5	—	7	7	7	13	10	18	9	7	18	5	3	April
5.2	6.0	5.2	5.5	84	32	27	10	7	—	1	3	—	5	6	14	18	10	15	14	5	15	2	—	Mai
7.3	7.8	8.0	7.7	138	27	10	18	15	—	—	3	—	1	20	7	13	10	21	7	9	18	4	1	Juni
5.7	5.7	6.3	5.9	118	36	3	18	15	—	—	5	1	5	12	9	11	2	16	18	9	17	10	1	Juli
4.8	4.3	4.1	4.4	71	27	2	9	9	—	—	—	—	7	5	13	21	7	15	6	4	9	6	12	August
5.9	5.5	5.3	5.6	93	22	23	10	9	—	—	—	2	8	11	4	23	4	3	5	7	16	4	24	September
8.0	6.6	5.3	6.6	34	14	29	10	6	—	—	—	11	3	11	5	24	3	5	5	2	7	1	41	Oktober
8.8	7.0	8.0	7.9	33	17	5	6	4	—	—	—	24	1	20	2	4	1	9	11	3	9	2	49	November
8.1	8.6	8.2	8.3	20	8	19	8	5	4	—	—	13	2	21	6	13	7	6	10	3	9	2	37	Dezember
6.6	6.3	5.8	6.2	730	36	VII	126	98	25	1	18	60	60	148	86	218	81	140	130	73	138	38	191	Jahr

Beobachter: Frau P. Gockel

Fribourg

9.2	4.2	8.6	7.3	14	5	31	7	4	7	1	—	6	2	21	4	25	—	—	—	9	3	3	49	Januar
9.2	6.6	7.7	7.8	14	5	10	10	5	9	1	—	3	1	16	1	10	1	—	—	25	8	4	35	Februar
6.5	4.3	5.1	5.3	5	3	31	3	2	1	—	—	—	3	6	4	23	—	1	—	26	10	3	26	März
7.9	5.9	7.2	7.0	72	15	9	13	9	3	—	1	1	—	8	7	6	1	—	1	16	16	5	38	April
6.8	6.3	7.0	6.7	62	32	27	10	8	—	—	2	—	1	9	6	14	2	—	—	21	4	9	37	Mai
7.8	7.5	7.9	7.7	193	34	10	20	18	1	1	2	—	—	18	1	6	—	—	1	23	9	8	42	Juni
5.9	6.3	6.7	6.3	79	10	12	15	13	—	—	5	1	6	14	3	2	—	—	1	26	26	7	28	Juli
6.1	4.9	6.5	5.8	82	36	2	10	8	—	—	2	2	2	7	6	9	1	—	—	19	11	11	36	August
7.0	6.7	7.8	7.2	113	30	23	14	12	—	—	1	4	2	14	16	13	—	—	1	7	10	6	37	September
8.5	7.1	5.4	7.0	32	12	25	9	6	—	—	—	9	—	20	12	9	—	—	—	12	3	5	52	Oktober
8.1	6.9	7.7	7.6	28	12	2	5	4	—	—	—	18	2	15	3	1	—	—	—	13	1	3	69	November
7.8	8.4	8.6	8.3	21	8	19	7	6	4	—	—	10	3	23	1	9	—	—	—	11	1	1	70	Dezember
7.6	6.3	7.2	7.0	715	36	VIII	123	95	25	3	13	54	22	171	64	127	5	1	4	208	102	65	519	Jahr

Beobachter: Frl. R. Zbinden

Langnau i. E.

6.6	5.7	6.5	6.3	30	12	31	9	5	9	—	—	2	7	13	—	3	47	7	2	2	16	—	16	Januar
7.4	5.8	5.8	6.3	48	12	1	11	9	11	—	—	—	6	14	—	—	39	2	—	7	23	2	11	Februar
3.7	3.5	2.0	3.1	20	7	27	5	3	2	—	—	—	15	3	1	4	59	2	1	5	20	1	—	März
6.0	7.2	5.5	6.2	128	40	9	12	10	6	—	1	—	4	10	1	—	43	—	1	1	32	—	12	April
4.9	6.4	5.7	5.7	101	38	27	11	10	1	1	5	—	4	9	1	1	50	—	1	6	20	2	12	Mai
8.3	8.8	7.9	8.3	337	74	22	22	19	1	—	3	—	—	22	1	4	23	5	3	5	17	5	27	Juni
6.4	7.7	7.2	5.1	134	17	2	17	17	—	—	5	—	4	16	1	1	22	3	4	5	34	1	22	Juli
4.7	5.2	4.1	4.7	73	28	21	10	9	—	—	—	—	8	7	1	1	41	10	2	4	16	3	15	August
5.8	6.2	6.0	6.0	92	19	23	8	8	—	—	—	—	7	13	—	—	38	—	—	1	32	—	19	September
7.7	7.0	6.7	7.1	34	21	29	9	6	—	—	—	2	3	16	1	1	34	2	1	5	15	—	34	Oktober
5.4	4.8	5.9	5.4	42	16	5	5	5	—	—	—	11	7	9	1	—	41	1	—	6	18	—	23	November
6.8	7.0	7.2	7.0	42	11	29	9	7	8	—	—	8	4	16	—	—	42	—	2	7	12	1	29	Dezember
6.1	6.3	5.9	6.1	1081	74	VI	128	108	38	1	14	23	69	148	8	15	479	32	17	54	255	15	220	Jahr

Beatenberg

$\lambda = 7°48'$, $\beta = 46°41'$, $H_b = 1148^m$, $G = -0.13$ ‰, $h_r = 1.1^m$

1953	Luftdruck					Luft-Temperatur								Relative Feuchtigkeit					
	Mittel	Minimum	Tag	Maximum	Tag	7^{30}	13^{30}	21^{30}	Mittel	Minimum	Tag	Maximum	Tag	7^{30}	13^{30}	21^{30}	Mittel	Minimum	Tag
Januar	663.4	646.9	1	671.5	20	-5.8	-2.3	-5.1	-4.6	-12.6	13	7.4	30	71	67	70	69	39	30
Februar	—	—	—	—	—	-4.4	0.0	-3.9	-3.0	-14.5	8	7.6	27	72	57	69	66	40	18. 27
März	—	—	—	—	—	1.3	6.6	1.7	2.8	-8.0	9	12.8	30	57	47	58	54	27	30
April	—	—	—	—	—	5.3	9.8	4.8	6.2	-2.7	15	16.2	26	70	56	73	66	33	4. 26
Mai	665.1	656.6	13	672.4	26	10.1	14.7	9.0	10.7	-0.8	10	24.0	18	68	55	70	64	24	16
Juni	662.9	654.4	2	667.2	19	10.2	14.3	9.8	11.0	1.6	2	20.2	7	80	70	79	76	39	5
Juli	666.6	659.4	12	673.2	20	13.7	17.9	13.1	14.5	8.0	10	23.6	22	74	63	80	72	43	20
August	668.3	660.9	21	673.0	5	13.0	18.2	12.9	14.2	6.8	22	24.4	14	76	62	76	72	43	30
September	666.3	660.6	23	674.2	7	11.3	15.5	11.3	12.4	4.8	11	22.8	1. 2	77	64	77	73	42	9
Oktober	665.9	657.8	13	674.1	1	7.4	10.3	7.4	8.1	0.0	30. 31	16.0	3	77	70	76	74	46	14
November	669.3	656.3	2	673.8	15	2.6	6.8	3.4	4.1	0.0	8	10.0	16	57	52	57	55	30	16
Dezember	667.0	661.0	29	673.0	1	1.8	4.3	1.7	2.4	-10.2	31	11.0	5	65	62	67	65	40	4
Jahr	—	—	—	—	—	5.5	9.7	5.5	6.6	-14.5	II	24.4	VIII	70	60	71	67	24	V

Interlaken

$\lambda = 7°51'$, $\beta = 46°42'$, $H_b = 568^m$, $G = -0.07$ ‰, $h_r = 1.5^m$

Januar	714.0	696.2	1	721.9	20	-4.1	-0.6	-3.5	-2.9	-9.2	13	5.9	29	66	82	80	76	48	28
Februar	712.9	691.9	11	724.0	21. 26	-2.8	2.1	-1.7	-1.0	-8.2	8	7.2	21	82	56	74	71	38	8
März	719.9	712.0	30	725.5	25	1.2	10.1	4.7	5.2	-4.2	9	15.8	30	81	40	61	61	26	16
April	711.0	699.5	27	715.4	11	7.2	14.0	8.3	9.5	0.8	15	20.2	4	79	49	72	67	33	26
Mai	713.1	703.3	13	719.8	26	11.6	18.8	12.6	13.9	3.0	10	28.1	26	75	46	68	63	27	16
Juni	710.7	703.2	9	715.6	19	12.8	18.1	13.0	14.2	4.8	2	26.2	30	79	55	84	73	33	5
Juli	714.0	706.8	12	721.7	20	16.6	22.0	16.8	18.0	11.0	10	26.9	26	74	49	77	67	37	22
August	715.8	708.8	21	721.7	5	14.8	21.7	16.3	17.3	10.1	22	28.4	13	82	50	77	70	35	15
September	714.2	706.4	15	722.1	7	12.3	18.4	14.2	14.8	7.4	23	26.2	2	86	55	79	73	34	1. 9
Oktober	714.6	704.6	13	723.0	1. 2	8.5	13.6	9.5	10.3	1.2	31	18.0	3	88	59	86	78	40	31
November	719.0	704.6	2	723.3	15	1.6	6.1	3.0	3.4	-0.6	14	13.0	1	88	66	85	80	34	1
Dezember	717.0	711.0	19	722.4	1	1.0	4.1	2.0	2.3	-5.6	31	9.4	3	88	71	85	81	42	31
Jahr	714.7	691.9	II	725.5	III	6.7	12.0	7.9	8.7	-9.2	I	28.4	VIII	81	57	77	72	26	III

Meiringen

$\lambda = 8°12'$, $\beta = 46°44'$, $H_b = 604^m$, $G = -0.08$ ‰, $h_r = 1.6^m$

Januar	710.7	693.4	1	719.1	20	-6.4	-1.2	-4.8	-4.3	-12.0	23	5.0	28. 29	92	77	90	86	64	6
Februar	709.4	688.8	11	721.3	21	-4.2	2.3	-1.9	-1.4	-8.5	18	7.2	28	91	70	85	82	49	10
März	716.7	709.4	30	721.9	10	-0.1	10.4	4.3	4.7	-5.2	9	18.6	30	87	56	69	71	42	20. 21
April	707.8	695.2	27	712.5	11	6.0	15.8	9.0	10.0	0.9	15	21.8	26	90	56	78	75	40	21
Mai	710.0	700.3	13	717.0	26	9.4	19.7	12.6	13.6	0.6	8	29.1	18. 26	89	56	78	74	37	16
Juni	707.6	699.4	2	712.5	19	12.1	19.4	13.7	14.7	3.6	4	26.2	30	94	63	89	82	40	5
Juli	711.0	702.7	12	718.4	19. 20	14.4	23.4	16.6	17.7	9.6	31	28.4	22	95	57	92	81	45	11. 12 / 14
August	712.8	705.3	21	718.8	5	13.3	22.2	16.1	16.9	7.6	24	29.7	13	96	62	92	83	47	4. 23
September	711.1	704.1	19	719.5	30	11.6	19.5	14.1	14.8	6.4	21	26.6	1	96	66	91	84	40	15
Oktober	711.4	701.6	13	720.0	1	7.8	14.7	9.5	10.4	-1.6	31	21.3	14	97	69	92	86	36	28
November	715.9	701.5	3	720.4	15	-0.3	5.8	1.3	2.0	-5.0	23. 25	13.6	1	98	80	92	90	20	27
Dezember	713.8	707.9	19	718.8	1. 12	0.0	3.9	0.9	1.4	-8.2	31	16.6	1	94	83	92	90	30	7
Jahr	711.5	688.8	II	721.9	III	5.3	13.0	7.6	8.4	-12.0	I	29.7	VIII	93	66	87	82	20	XI

Guttannen

$\lambda = 8°17'$, $\beta = 46°39'$, $H_b = 1058^m$, $G = -0.15$ ‰, $h_r = 1.5^m$

Januar	670.9	654.0	1	679.2	20	-6.7	-4.2	-6.0	-5.7	-13.7	14	4.5	31	81	73	80	78	53	17
Februar	670.2	651.4	11	681.9	21	-5.3	-1.2	-4.4	-3.8	-12.1	17	4.4	27	80	70	80	77	57	27. 28
März	678.0	671.9	31	683.1	24	-0.7	6.1	1.8	2.3	-8.8	6	14.0	30	70	53	68	64	32	16
April	670.1	659.1	27	673.7	11. 29	5.3	10.9	6.7	7.4	-2.0	15	17.6	23	76	56	74	69	35	21. 22
Mai	672.4	663.6	13	679.8	26	9.4	15.8	11.1	11.8	-1.0	11	25.8	18	78	57	72	69	31	16
Juni	670.2	661.3	2	674.5	19	11.0	14.8	11.8	12.3	2.7	2	21.8	30	84	68	83	78	37	6
Juli	673.9	667.3	13	680.8	19	13.4	19.2	15.0	15 7	8.3	11	25.6	25	86	61	81	76	36	25
August	675.7	669.1	21	680.8	5	11.9	18.5	14.4	14.8	7.8	5	25.4	13	89	62	83	78	40	29
September	673.9	668.1	20	681.7	7	11.4	16.6	13.0	13.5	6.0	14. 21	23.4	2	83	62	79	75	30	16
Oktober	673.4	665.6	14. 15	682.7	1	8.0	11.8	8.9	9.4	-2.0	31	20.0	3	85	67	81	77	40	3
November	677.0	663.1	2	681.1	15	1.4	3.2	2.1	2.2	-2.9	12	8.1	28	78	74	77	76	25	27
Dezember	674.7	668.1	29	680.9	1	2.8	4.3	3.0	3.3	-10.3	31	13.4	6	74	69	75	73	34	1. 6
Jahr	673.4	651.4	II	683.1	III	5.2	9.6	6.4	6.9	-13.7	I	25.8	V	80	64	78	74	25	XI

Guttannen: Hs. Huber † im Juni.

Beatenberg

Beobachter: B. Lutz

Bewölkung				Niederschlag			Zahl der Tage							Windverteilung									1953
7^{30}	13^{30}	21^{30}	Mittel	Summe	Maximum	Tag	●	●≥1.0	✳	▲	K_4	≡	heiter	trüb	N	NE	E	SE	S	SW	W	NW	Calmen	
5.4	5.4	4.9	5.2	48	14	25	7	7	7	—	—	5	11	11	3	2	—	—	—	—	2	10	76	Januar
5.8	5.0	4.4	5.1	60	16	2	10	10	10	—	—	2	10	11	1	—	—	1	—	1	3	8	70	Februar
3.4	2.6	2.5	2.8	13	8	11	5	4	2	—	—	—	16	3	—	—	1	3	2	4	2	9	72	März
6.0	6.0	5.4	5.8	116	?	—	12	10	5	—	—	-?	7	9	—	—	—	6	1	3	2	13	65	April
4.4	5.8	4.1	4.8	140	44	27	11	9	2	—	—	1	8	6	1	—	1	3	4	5	1	11	67	Mai
7.5	7.2	6.4	7.0	228	29	25	25	24	—	—	—	3	3	13	—	—	—	6	3	3	3	15	60	Juni
5.6	6.4	6.7	6.2	205	39	18	20	17	—	—	-?	1	3	13	—	—	—	4	2	2	1	8	76	Juli
4.7	4.7	4.1	4.5	81	18	21	12	10	—	—	—	3	12	6	1	—	—	2	5	5	—	11	69	August
5.0	5.1	5.7	5.3	125	33	28	12	9	—	—	—	4	6	7	1	1	—	5	1	3	—	6	73	September
6.6	6.4	5.7	6.2	60	30	29	11	10	1	—	—	5	5	13	—	—	—	2	2	—	3	12	74	Oktober
2.1	2.2	2.2	2.2	60	19	2	5	5	3	—	—	1	20	2	3	2	—	1	2	1	2	17	62	November
4.8	5.7	3.9	4.8	80	23	29	9	9	7	—	—	3	7	6	1	1	—	1	1	—	—	9	80	Dezember
5.1	5.2	4.7	5.0	1216	44	V	139	124	37	—	—	28	108	100	11	6	2	34	23	27	19	129	844	Jahr

Interlaken

Beobachter: P. Furrer

8.7	6.9	7.4	7.7	26	7	31	6	6	6	—	—	2	3	19	—	—	10	11	—	10	4	—	58	Januar
7.6	5.2	4.6	5.8	34	10	2	9	8	9	—	—	2	6	12	—	2	17	5	1	23	1	2	33	Februar
2.9	2.5	1.7	2.4	4	3	11	2	1	1	—	—	—	16	3	—	1	32	5	—	28	2	—	25	März
5.4	5.4	4.5	5.1	106	25	9	13	12	2	—	—	—	7	9	—	—	11	16	—	35	11	—	17	April
4.2	5.2	5.0	4.8	106	35	27	11	11	—	—	2	—	8	8	—	—	20	12	3	36	4	1	17	Mai
6.9	6.7	7.0	6.9	191	24	26	23	23	—	—	—	1	2	10	—	—	18	14	3	33	1	—	21	Juni
5.4	5.7	6.3	5.8	172	35	18	19	18	—	—	4	—	5	9	—	—	13	8	3	33	11	2	23	Juli
4.7	4.5	4.4	4.5	61	15	2	9	9	—	—	1	—	8	7	—	—	24	13	1	29	5	—	21	August
5.6	5.7	5.7	5.7	98	20	28	10	10	—	—	—	—	4	6	—	—	12	10	3	34	2	—	29	September
6.4	5.5	6.1	6.0	64	35	29	12	10	—	—	—	—	5	12	—	1	9	10	3	27	—	—	43	Oktober
6.8	5.7	6.5	6.3	35	14	6	5	5	—	—	—	5	5	12	—	1	17	8	1	27	2	1	33	November
7.2	7.3	7.5	7.3	56	18	19	7	7	4	—	—	9	3	18	—	—	22	6	2	24	2	—	37	Dezember
6.0	5.5	5.6	5.7	953	35	V	126	120	22	—	7	19	72	125	—	5	205	118	20	339	45	6	357	Jahr

Meiringen

Beobachter: Frau E. Michel

6.2	6.2	6.4	6.3	46	21	25	6	5	6	—	—	3	7	13	—	—	—	—	—	1	1	4	87	Januar
7.0	6.0	5.6	6.2	38	11	1	7	6	7	—	—	1	7	14	—	1	1	—	—	—	1	4	77	Februar
2.7	2.4	2.1	2.4	9	3	7	5	4	1	—	—	—	16	2	2	1	—	—	—	—	9	7	74	März
5.7	5.7	4.6	5.3	100	20	10	13	12	2	—	—	—	6	9	1	2	6	1	2	—	5	9	64	April
4.8	6.0	4.1	5.0	97	35	30	11	11	1	—	1	—	7	7	—	1	1	—	—	4	3	10	74	Mai
8.0	7.6	7.3	7.6	197	36	25	26	21	—	—	1	1	1	16	—	2	1	—	1	—	3	14	69	Juni
5.8	6.2	6.4	6.1	161	26	29	19	17	—	—	1	—	5	10	—	—	—	—	—	—	4	20	69	Juli
5.2	4.8	3.6	4.5	78	17	14	11	11	—	—	—	—	9	8	1	—	—	—	—	—	2	14	76	August
6.0	5.3	4.3	5.2	81	16	28	11	9	—	—	—	1	7	9	1	1	2	—	1	—	4	10	71	September
6.6	5.5	5.3	5.8	113	54	29	11	10	1	—	—	2	6	10	—	—	3	1	—	—	6	3	80	Oktober
4.7	4.6	4.6	4.6	37	23*	6	5	4	—	—	—	13	7	3	—	2	—	—	—	—	4	—	84	November
5.6	7.1	6.3	6.3	77	36	19	8	8	6	—	—	8	3	12	—	1	—	—	—	—	3	2	87	Dezember
5.7	5.6	5.0	5.4	1034	54	X	133	118	24	—	3	29	81	113	5	11	14	2	4	5	45	97	912	Jahr

Guttannen

Beobachter: Hs. Huber, Frau L. Huber

4.4	4.9	5.2	4.8	55	18	25	7	6	7	—	—	—	12	12	—	—	—	2	—	—	—	1	90	Januar
5.6	5.3	4.7	5.2	76	19	1	9	9	9	—	—	—	10	12	—	1	—	3	—	—	—	8	72	Februar
3.0	2.4	2.4	2.6	9	—	—	5	3	2	—	—	—	18	4	—	—	1	13	—	—	—	5	74	März
6.0	6.2	5.4	5.9	195	39	27	13	13	7	—	—	1	7	12	—	2	—	27	—	—	—	2	59	April
4.6	5.7	5.4	5.2	136	49	30	11	11	2	—	1	—	8	11	—	—	—	16	—	—	2	13	62	Mai
6.8	7.9	7.6	7.4	259	43	25	24	23	2	—	—	1	2	16	—	—	—	16	—	—	1	4	69	Juni
5.8	6.0	7.0	6.3	157	28	18	18	18	—	—	—	—	6	13	1	1	—	5	—	—	2	5	79	Juli
5.4	5.0	5.2	5.2	116	31	14	13	11	—	1	2	—	6	10	1	2	—	1	—	—	—	9	80	August
4.9	5.4	5.9	5.4	116	30	28	11	10	—	—	—	—	3	6	—	1	—	19	—	—	1	17	52	September
6.4	6.3	6.5	6.4	146	43	18	11	9	1	—	—	3	5	14	—	—	—	26	—	—	—	—	67	Oktober
1.8	2.3	2.1	2.1	44	?	—	5	4	1	—	—	—	21	3	—	—	—	10	—	—	—	—	80	November
3.4	5.0	4.8	4.4	84	22	29	8	7	8	—	—	—	11	7	2	—	—	28	—	—	—	1	62	Dezember
4.8	5.2	5.2	5.1	1393	49	V	135	124	39	1	3	5	109	120	4	7	1	166	—	—	6	65	846	Jahr

Grimsel

$\lambda = 8° 20'$, $\beta = 46° 34'$, $H = 1964^m$, $G = —\ ^{m}/_{m}$, $h_r = 1.5^m$

1953	Luftdruck					Luft-Temperatur								Relative Feuchtigkeit					
	Mittel	Minimum	Tag	Maximum	Tag	7^{30}	13^{30}	21^{30}	Mittel	Minimum	Tag	Maximum	Tag	7^{30}	13^{30}	21^{30}	Mittel	Minimum	Tag
Januar	598.2	583.8	7	606.7	29. 30	−6.9	−4.1	−6.0	−5.7	−14.0	13	7.0	29	62	60	62	61	22	22
Februar	597.4	580.2	11	610.7	27	−6.4	−1.5	−5.5	−4.7	−13.5	4	8.8	23	67	66	67	67	16	22
März	605.7	600.9	8. 12	611.8	6	−2.7	3.7	−1.6	−0.6	−10.2	8	8.1	28. 30	44	37	49	43	17	16
April	599.8	590.5	27	606.2	22	0.5	5.0	1.2	2.0	−7.8	15	10.8	24	70	55	70	65	26	22
Mai	602.4	594.7	31	609.8	26	4.3	8.9	4.8	5.7	−6.2	8	17.2	26	65	56	62	61	18	15. 18
Juni	600.5	590.7	2	605.4	20	5.3	8.9	6.2	6.6	−2.5	3	18.1	30	78	63	76	72	24	6
Juli	604.8	597.7	13	610.2	19. 30	9.0	13.1	9.8	10.4	4.0	10. 11	19.6	22	62	55	67	61	9	20
August	606.2	599.4	22	611.4	31	7.8	12.3	8 9	9.5	1.2	23	21.2	14	66	53	64	61	14	5. 24
September	604.5	598.5	20	612.2	7	6.7	10.4	7.4	8.0	0.3	11	16.9	2	61	56	65	61	7	14
Oktober	603.7	599.2	14	608.6	3	3.4	6.5	4.1	4.5	−4.5	31	14.1	1	61	51	62	58	7	11
November	606.4	592.9	3	610.7	15. 16	−0.4	2.7	0.1	0.6	−6.0	7	6.2	16	42	35	40	39	10	26. 27
Dezember	603.9	595.5	29	610.2	1	−2.5	−0.2	−2.1	−1.7	−14.5	31	6.1	6	59	54	58	57	21	6
Jahr	602.8	580.2	II	612.2	IX	1.5	5.5	2.3	2.9	−14.5	XII	21.2	VIII	61	53	62	59	7	IX X

Jungfraujoch

$\lambda = 7° 59'$, $\beta = 46° 35'$, $H_b = 3577.8^m$, $G = -0.38\ ^{m}/_{m}$, $h_r = 1.8^m$

Januar	485.3	473.1	1	496.0	29	−14.8	−13.9	−14.6	−14.5	−21.6	11	−5.4	30	65	68	66	66	15	27
Februar	484.8	469.2	11	499.5	26	−15.8	−14.8	−15.2	−15.3	−30.8	8	−1.0	27	69	69	68	69	11	28
März	493.0	498.2	24	484.9	8	−12.0	−10.6	−11.8	−11.5	−24 0	8	−4.0	5	56	59	59	58	8	5
April	488.4	480.4	15	493 2	11	−10.2	−8.5	−9.5	−9.4	−19.6	15	−5.0	19	80	82	85	82	30	7
Mai	492.3	481.6	10	501.5	26	−6.5	−5.3	−6.5	−6.2	−16.8	7	2.6	20	75	80	86	80	28	16
Juni	491.4	479.5	2	496.8	20	−5.1	−3.4	−4.3	−4.3	−15.8	2. 3	2.0	30	91	95	96	94	18	19
Juli	496.5	489.0	13	502.2	20	−0.8	0.9	−0.2	−0.1	−9.6	11	7.0	24	70	79	88	79	10	16
August	497.8	489.3	22	503.7	31	−1.2	0.0	−0.6	−0.6	−10.4	23	4.6	8	68	70	75	71	13	30
September	495.8	488.2	11	504.1	7	−1.8	−0.8	−2.1	−1.7	−11.0	11.	5.6	1	65	80	85	77	10	14
Oktober	493.5	486.4	30	501.1	1	−5.3	−3.9	−5.1	−4.8	−14.8	30	0.4	9	79	76	82	79	17	5
November	495.1	481.2	3	499.9	14. 15	−6.0	−4.6	−5.5	−5.4	−15.4	6	1.2	9	49	48	55	51	9	13
Dezember	491.2	478.7	30	500.0	1	−10.7	−10.1	−10.8	−10.6	−25.2	30	−2.6	2. 3	71	75	77	74	12	2. 24
Jahr	492.1	469.2	II	504.1	IX	−7.5	−6.2	−7.2	−7.0	−30.8	II	7.0	VII	70	73	77	73	8	III

Südwestschweiz

Genève

$\lambda = 6° 9'$, $\beta = 46° 12'$, $H_b = 405.0^m$, $G = -0.03\ ^{m}/_{m}$, $h_r = 1.7^m$

Januar	728.4	710.4	1	736.1	20	−2.0	0.8	−1.0	−0.8	−5.6	16. 22	10.0	31	92	82	90	88	41	28
Februar	727.3	707.2	10. 11	738.4	22	−1.2	2.7	0.7	0.7	−7.0	8	7.8	20	89	75	85	83	57	1. 2
März	733.9	727.3	30	739.8	3	2.5	10.5	7 0	6.7	−2.0	3	20.0	30	82	55	70	69	28	29
April	725.0	713.4	27	730.1	13	8.1	14.2	10.6	10.9	4.0	15	20.8	3	83	59	78	73	38	7
Mai	726.8	717.0	13	733.8	26	13.6	19.9	15.5	16.1	4.0	10	28.0	19	75	52	71	66	37	13
Juni	724.4	717.2	9	729.2	19	14.8	19.2	16.0	16.5	6.8	2	25.2	30	87	68	84	80	45	1
Juli	727.5	718.3	12	735.9	20	19.0	23.9	19.6	20.5	15.0	11. 13	29.5	26	77	57	76	70	40	22
August	729.4	722.5	21	735.2	5	16.8	23.4	19.1	19.6	11.3	23	30.0	20	84	58	80	74	40	24
September	728.0	721.5	15	736.2	7	14.4	20.2	16.3	16.8	8.6	22	29.4	2	87	65	86	79	38	2
Oktober	728.2	719.0	13. 14	735.5	1	10.5	14.5	11.8	12.2	2.0	31	18.0	4	93	77	92	87	50	7
November	733.5	718 4	2	738.5	15	2.9	6.4	4.5	4.6	0.0	26	10.8	2	94	83	93	90	63	28
Dezember	731.2	725.0	19	736.5	2	2.5	4.8	3.6	3.6	−2.0	31	9.6	1	94	87	93	91	71	1. 21
Jahr	728.6	707.2	II	739.8	III	8.5	13.4	10.3	10.6	−7.0	II	30.0	VIII	86	68	83	79	28	III

Lausanne (Champ de l'Air)

$\lambda = 6° 38'$, $\beta = 46° 31'$, $H_b = 552.9^m$, $G = -0.02\ ^{m}/_{m}$, $h_r = 1.4^m$

Januar	714.8	698.0	1	722.5	20	−3.2	−0.2	−2.4	−2.0	−7.4	15	6.8	29	89	77	83	83	60	12
Februar	714.0	693.6	8	725.8	22	−1.8	1.8	−0.5	−0.3	−7.6	8	7.2	22	90	74	82	82	51	8
März	720.7	714.7	30	726.1	25	2.8	10.3	6.3	6.4	−2.6	9	18.2	30	72	50	58	60	40	17
April	712.3	701.0	27	716.8	13	8.0	13.9	9.4	10.2	1.8	15	20.6	24	82	59	73	71	43	7
Mai	714.2	705.2	13	721.6	26	13.6	19.6	14.4	15.5	5.5	10	27.8	19	76	53	64	64	38	4
Juni	711.9	704.2	9	716.6	19	14.0	18.7	14.5	15.4	5.2	2	26.8	30	87	67	81	78	43	13
Juli	715.4	708.7	12	722.6	20	17.5	22.4	17.7	18.8	12.4	10	28.2	26	84	60	78	74	42	19
August	716.9	709.9	21	722.2	5	16.1	22.8	17.8	18.6	11.8	22	29.2	14	90	58	73	74	44	31
September	715.3	709.6	28	722.9	7	13.2	19.1	14.7	15.4	8.9	14	26.5	2	94	81	85	87	46	12
Oktober	715.4	706.0	13	724.0	1	9.5	14.3	10.4	11.2	3.8	31	18.7	4	97	75	93	88	55	8
November	720.0	705.7	2	724.2	15	3.7	7.0	4.3	4.8	1.0	25	12.1	1	94	78	92	88	51	29
Dezember	717.9	712.2	19	723.3	1	2.4	4.4	2.7	3.0	−5.9	31	11.3	1	90	82	90	87	61	1
Jahr	715.7	693.6	II	726.1	III	8.0	12.8	9.1	9.8	−7.6	II	29.2	VIII	87	68	79	78	38	V

Beobachter: Grimselwärter

Grimsel

Bewölkung				Niederschlag			Zahl der Tage								Windverteilung									1953
7^{30}	13^{30}	21^{30}	Mittel	Summe	Maximum	Tag	•	•* ≧1.0	*	▲	⛆	≡	heiter	trüb	N	NE	E	SE	S	SW	W	NW	Calmen	
4.1	4.4	4.6	4.4	114	30	31	10	10	5	—	—	9	9	6	—	—	—	21	—	39	1	32	—	Januar
5.4	6.0	5.0	5.5	183	32	6	11	11	11	—	—	13	8	10	—	—	—	21	—	33	—	30	—	Februar
3.4	4.0	3.7	3.7	38	19	7	6	6	6	—	—	7	11	3	—	—	—	29	—	37	—	23	4	März
6.7	6.5	6.4	6.5	214	40	14	19	19	14	—	—	16	5	16	—	1	—	49	—	16	—	23	1	April
5.9	6.3	6.4	6.2	163	26	27	16	16	12	—	—	10	4	13	—	—	—	19	—	31	—	41	2	Mai
8.3	8.1	8.4	8.3	275	29	25	24	24	3	—	—	13	—	21	—	—	—	36	—	16	—	38	—	Juni
6.1	6.8	7.4	6.8	204	37	18	17	17	—	—	—	16	5	16	—	—	—	32	—	22	—	39	—	Juli
6.0	5.7	6.3	6.0	98	19	15	16	16	1	—	—	13	4	10	1	—	—	20	—	13	—	59	—	August
6.7	6.7	7.3	6.9	189	55	28	17	16	3	—	—	14	3	16	3	—	—	44	—	14	—	28	1	September
5.6	6.6	5.7	6.0	303	67	18	15	15	2	—	—	13	5	12	2	—	—	57	—	9	—	24	1	Oktober
3.1	2.9	3.3	3.1	42	28	6	5	4	5	—	—	2	16	4	—	—	—	34	—	52	—	3	1	November
5.7	6.5	6.0	6.0	142	45	29	9	9	9	—	—	9	4	10	—	—	—	46	—	33	—	14	—	Dezember
5.6	5.9	5.9	5.8	1965	67	X	165	163	71	—	—	135	74	137	6	1	—	408	—	315	1	354	10	Jahr

Beobachter: Jungfraubahn

Jungfraujoch

4.3	3.8	3.5	3.9	—	—	—	—	—	—	—	—	14	13	5	10	—	2	27	2	—	—	51	1	Januar
5.4	5.3	3.8	4.8	—	—	—	—	—	—	—	—	12	12	10	4	1	—	28	2	—	—	47	2	Februar
3.1	3.3	2.8	3.1	—	—	—	—	—	—	—	—	8	14	4	7	1	—	44	2	—	—	38	1	März
6.2	6.6	6.3	6.4	—	—	—	—	—	—	—	—	19	6	14	2	—	—	51	—	—	1	36	—	April
5.8	6.9	6.3	6.3	—	—	—	—	—	—	—	—	17	4	10	19	—	—	22	5	—	—	46	1	Mai
8.0	8.7	8.8	8.5	—	—	—	—	—	—	—	—	27	—	19	4	—	—	53	—	—	—	33	—	Juni
5.1	6.7	6.7	6.2	—	—	—	—	—	—	—	—	17	6	12	2	—	—	35	—	1	—	55	—	Juli
4.8	4.6	5.6	5.0	—	—	—	—	—	—	—	—	14	9	9	5	—	—	22	2	—	—	62	2	August
5.2	6.5	6.4	6.0	—	—	—	—	—	—	—	—	20	6	13	12	—	—	50	1	—	—	27	—	September
5.5	6.2	5.5	5.7	—	—	—	—	—	—	—	—	20	7	12	4	—	—	69	1	—	—	19	—	Oktober
2.3	3.2	2.8	2.8	—	—	—	—	—	—	—	—	5	17	3	1	—	—	33	—	—	—	53	3	November
5.0	5.5	4.1	4.9	—	—	—	—	—	—	—	—	13	10	7	3	2	—	42	2	—	—	44	—	Dezember
5.1	5.6	5.2	5.3	—	—	—	—	—	—	—	—	186	104	118	73	4	2	476	17	1	1	511	10	Jahr

Südwestschweiz

Beobachter: Observatorium

Genève

8.9	7.1	7.0	7.7	4	3	31	1	1	1	—	—	—	1	19	10	28	8	—	3	2	—	—	42	Januar
7.7	6.0	5.9	6.5	23	13	11	5	2	5	—	—	—	3	11	16	16	3	—	8	3	4	1	33	Februar
2.6	2.1	2.7	2.5	4	4	31	1	1	—	—	—	—	15	2	21	23	—	—	9	2	1	—	37	März
5.1	5.5	6.2	5.6	37	10	4	7	7	—	—	—	1	5	7	12	16	2	1	13	7	2	2	35	April
2.6	4.1	4.5	3.7	27	12	26	5	5	—	—	1	—	12	5	17	16	4	1	6	3	2	—	44	Mai
6.2	6.6	7.5	6.8	192	45	8	19	17	—	1	2	—	2	11	9	12	5	—	10	7	1	—	46	Juni
3.8	4.2	5.1	4.4	35	14	12	7	6	—	—	1	1	8	6	9	8	2	4	24	7	3	1	35	Juli
3.2	3.0	3.6	3.3	57	29	21	7	7	—	—	2	—	14	3	14	22	7	3	14	4	—	—	29	August
5.3	4.7	5.7	5.2	132	49	23	13	11	—	—	4	—	11	11	15	18	8	3	13	5	—	1	27	September
8.5	5.7	6.8	7.0	47	20	25	9	6	—	—	1	6	4	17	18	17	2	1	3	2	—	2	48	Oktober
8.2	7.9	7.5	7.9	36	17	1	3	3	—	—	—	3	3	19	11	10	—	2	3	—	—	—	64	November
8.9	7.6	8.1	8.2	15	10	19	4	4	1	—	—	11	1	18	13	14	1	1	1	—	—	—	63	Dezember
5.9	5.4	5.9	5.7	609	49	IX	81	70	7	1	11	22	79	129	165	200	42	16	107	42	13	7	503	Jahr

Beobachter: A. George

Lausanne (Champ de l'Air)

6.5	5.8	5.5	5.9	12	8	31	5	3	5	—	—	—	5	11	2	38	11	2	2	5	7	4	22	Januar
6.5	5.1	4.3	5.3	31	13	10	9	8	9	—	—	4	6	8	1	18	7	1	2	6	22	1	26	Februar
1.7	1.7	0.5	1.3	4	2	31	3	2	1	—	—	—	24	1	—	21	3	1	6	9	11	5	37	März
5.3	5.2	4.8	5.1	55	19	4	11	8	1	—	1	—	8	10	3	14	4	4	5	13	16	4	27	April
3.4	4.5	3.7	3.9	42	14	30	10	6	—	—	4	1	8	4	3	22	6	6	5	9	11	3	28	Mai
6.8	6.0	7.4	6.7	229	65	9	18	17	1	—	2	1	3	13	—	8	7	3	3	11	18	2	38	Juni
4.8	4.6	5.2	4.9	68	28	4	12	9	—	—	3	—	10	9	2	11	3	1	5	8	23	6	34	Juli
3.7	3.2	2.2	3.0	55	16	21	7	6	—	—	3	—	14	4	1	20	6	4	1	19	3	6	33	August
4.9	4.2	4.9	4.7	136	44	23	14	14	—	—	2	—	10	9	1	20	5	4	3	13	9	4	31	September
7.4	6.2	5.8	6.5	43	25	25	9	6	—	—	—	2	2	11	—	24	9	1	5	8	7	—	39	Oktober
8.2	6.1	6.8	7.0	33	14	2	6	3	—	—	—	—	3	16	4	9	7	—	5	7	11	5	42	November
7.2	7.5	7.3	7.3	29	15	19	6	4	2	—	—	11	1	15	4	16	11	6	4	4	7	1	40	Dezember
5.5	5.0	4.9	5.1	737	65	VI	110	86	19	—	15	19	94	111	21	221	79	33	46	112	145	41	397	Jahr

Montreux-Clarens

$\lambda = 6° 54'$, $\beta = 46° 27'$, $H_b = 408^m$, $G = -0.03$ mGal, $h_r = 1.5^m$

1953	Luftdruck					Luft-Temperatur								Relative Feuchtigkeit					
	Mittel	Minimum	Tag	Maximum	Tag	7^{30}	13^{30}	21^{30}	Mittel	Minimum	Tag	Maximum	Tag	7^{30}	13^{30}	21^{30}	Mittel	Minimum	Tag
Januar	727.8	710.0	1	736.0	28	−3.6	1.0	−1.9	−1.6	−8.2	14	6.8	29	84	66	78	76	45	6. 26
Februar	726.9	706.1	11	738.2	26	−1.9	3.0	0.3	0.4	−7.0	4	9.0	21	83	65	77	75	50	13
März	733.6	727.2	30	739.7	25	2.7	10.0	7.1	6.7	−2.6	9	17.2	30	74	64	60	66	30	8
April	724.7	712.8	27	729.0	11	8.4	13.5	11.2	11.1	3.2	15	19.8	4	81	56	67	68	35	4. 6
Mai	726.6	717.4	13	734.5	26	12.7	18.6	15.7	15.7	5.4	8	27.0	26	76	51	59	62	38	6
Juni	724.1	716.1	9	729.2	19	14.0	18.7	15.6	16.0	5.4	2	25.2	30	83	59	76	73	37	6
Juli	727.5	720.6	12	735.0	20	17.2	22.8	19.2	19.6	12.4	10	27.4	8	81	57	75	71	40	31
August	729.0	721.9	21	734.9	5	16.7	22.5	18.6	19.1	12.8	22	27.0*	14	85	56	74	72	42	31
September	727.6	720.9	15	735.9	7	13.9	19.4	16.2	16.4	10.0	14. 23	26.8	3	90	63	80	78	45	8.12.29
Oktober	727.8	718.1	13	736.2	1	9.5	14.6	11.1	11.6	3.4	31	18.6	5	95	71	90	85	53	8
November	733.0	717.6	2	737.4	14. 15	3.2	8.5	4.7	5.3	1.2	9. 13	12.0	1	93	73	89	85	37	7
Dezember	730.6	724.8	19	736.2	1	3.0	6.1	3.6	4.1	−6.1	31	12.2	1	90	75	88	84	45	30
Jahr	728.3	706.1	II	739.7	III	8.0	13.2	10.1	10.4	−8.2	I	27.4	VII	85	63	76	75	30	III

Leysin

$\lambda = 7° 0'$, $\beta = 46° 21'$, $H_b = 1350^m$, $G = —$ mGal, $h_r = 1.5^m$

Januar	—	—	—	—	—	−4.6	−1.6	−4.2	−3.6	−10.4	5	9.4	30	53	53	56	54	30	16. 17/30
Februar	—	—	—	—	—	−4.1	−1.1	−3.6	−3.1	−12.6	8	9.0	26	69	64	68	67	27	26
März	—	—	—	—	—	1.7	5.5	2.7	3.1	−5.4	11	13.4	30	47	45	47	46	27	15
April	—	—	—	—	—	5.0	8.8	5.1	6.0	−2.6	15	15.0	4	65	58	67	63	33	21
Mai	—	—	—	—	—	10.1	13.8	9.8	10.9	1.6	10	22.8	18	62	55	61	59	33	16
Juni	—	—	—	—	—	10.2	12.7	10.0	10.7	0.4	2	19.4	29	79	75	78	77	31	6
Juli	—	—	—	—	—	13.9	17.0	13.4	14.4	7.6	10	23.8	25	79	70	78	76	41	21
August	—	—	—	—	—	13.3	16.6	13.6	14.3	7.6	22	21.8	14	75	72	72	73	39	24
September	—	—	—	—	—	11.1	14.5	11.4	12.1	3.8	24	20.0	9	77	69	75	74	45	15
Oktober	—	—	—	—	—	7.0	9.9	7.5	8.0	0.2	30	14.4	3. 13	81	79	82	81	35	31
November	—	—	—	—	—	3.8	7.2	4.5	5.0	−2.4	7	11.2	9	48	47	46	47	29	27
Dezember	—	—	—	—	—	2.3	4.3	2.3	2.8	−11.8	31	11.4	2. 5	62	59	63	61	35	7
Jahr	—	—	—	—	—	5.8	9.0	6.0	6.7	−12.6	II	23.8	VII	66	62	66	65	27	II III

Grand-St-Bernard

$\lambda = 7° 11'$, $\beta = 45° 52'$, $H_b = 2478.7^m$, $G = -0.32$ mGal, $h_r = 6.0^m$

Januar	558.9	545.1	1	569.0	28. 29	−10.3	−8.8	−10.0	−9.8	−16.8	9	2.2	29	67	66	72	68	26	27
Februar	558.7	542.5	11	572.0	26	−10.1	−7.7	−9.5	−9.2	−20.5	8	6.0	23	76	73	77	75	19	22
März	567.0	559.7	8	572.9	24	−6.8	−3.7	−5.8	−5.5	−14.1	12	3.8	30	69	66	74	70	30	13
April	561.3	553.2	27	565.8	11	−3.4	−1.0	−2.9	−2.5	−12.2	15	4.0	30	89	81	89	86	35	30
Mai	564.8	555.6	10	573.0	26	1.4	4.2	1.0	1.9	−8.0	9	11.4	18	78	66	88	77	35	13
Juni	563.4	552.5	2	568.9	20	1.3	3.3	1.9	2.1	−7.3	2	10.8	28	93	88	96	92	60	5. 28
Juli	567.9	561.3	13	573.3	20	5.8	9.0	6.7	7.0	−2.0	11	16.0	25	80	68	86	78	25	21
August	569.3	562.0	22	574.9	31	6.0	9.6	6.7	7.2	−2.2	22. 23	15.2	14	82	67	84	78	32	31
September	567.4	560.8	11	575.5	7	3.6	6.3	4.6	4.8	−2.6	11	15.8	1	84	79	90	84	34	1
Oktober	565.7	560.6	15	573.5	1	0.4	2.1	0.8	1.0	−8.0	30	6.4	5	84	83	90	86	28	6
November	567.9	553.8	3	572.3	15	−2.0	−0.3	−1.7	−1.4	−10.5	7	4.8	16	62	57	60	60	27	8. 12
Dezember	564.8	553.4	31	573.0	1	−6.3	−5.3	−6.1	−6.0	−20.2	31	2.7	1	88	86	88	87	50	23. 24
Jahr	564.8	542.5	II	575.5	IX	−1.7	0.6	−1.2	−0.9	−20.5	II	16.0	VII	79	73	83	78	19	II

Sion

$\lambda = 7° 21'$, $\beta = 46° 14'$, $H_b = 548.6^m$, $G = -0.11$ mGal, $h_r = 2.4^m$

Januar	715.7	698.1	1	723.8	20	−6.7	−1.4	−4.4	−4.2	−12.4	15	5.8	29	85	64	76	75	49	28
Februar	715.0	696.1	11	726.9	21	−3.8	2.1	−1.4	−1.1	−8.9	14	7.1	27	86	62	79	76	46	27
März	721.2	715.1	30	727.5	25	1.9	11.7	6.8	6.8	−3.5	9	19.4	30	75	41	55	57	29	16
April	712.9	701.4	27	717.7	21	8.5	16.8	11.0	11.8	3.4	16	21.7	22	75	43	62	60	30	7
Mai	714.3	705.6	13	721.4	26	13.4	21.7	15.9	16.7	6.4	8	29.3	18	69	44	55	56	30	3
Juni	712.2	705.0	2	717.3	19	14.4	20.4	16.0	16.7	7.9	2	25.5	30	81	54	69	68	33	5
Juli	715.3	710.0	12	723.6	20	17.7	24.4	19.0	20.0	14.1	13	30.0	22	75	49	67	64	41	25
August	717.0	712.2	21	723.3	5	16.3	23.9	18.5	19.3	12.3	29	28.6	14	78	51	66	65	37	22
September	715.8	709.7	19	723.7	7. 8	13.7	20.7	16.6	16.9	8.2	23	26.4	1	84	56	67	69	28	29
Oktober	716.1	707.4	14	724.5	1	9.0	15.6	10.8	11.6	1.0	31	20.6	14	93	58	85	79	41	22
November	720.8	706.7	3	725.6	15	1.4	8.1	3.5	4.1	−1.7	26	12.2	1	89	58	81	76	26	27
Dezember	718.7	712.7	29	724.9	1	2.3	6.6	3.8	4.1	−9.2	31	12.9	3	80	62	74	72	38	7
Jahr	716.2	696.1	II	727.5	III	7.3	14.2	9.7	10.2	−12.4	I	30.0	VII	81	53	70	68	26	XI

Beobachter: A. Thétaz

Montreux-Clarens

Bewölkung				Niederschlag		Zahl der Tage							Windverteilung									1953
7^{30}	13^{30}	21^{30}	Mittel	Summe	Maximum Tag	●	●* ≧1.0	*	▲	⛆	≡	heiter	trüb	N	NE	E	SE	S	SW	W	NW	Calmen	
6.2	5.8	5.5	5.8	18	11	31	3	3	3	—	1	—	5	9	1	—	1	—	9	3	1	—	78	Januar
6.8	5.4	5.9	6.0	36	10	10	9	6	9	—	—	—	5	11	2	2	—	—	9	4	1	—	66	Februar
3.9	3.4	2.0	3.1	9	8	31	2	1	—	—	—	—	13	2	4	2	—	—	10	5	3	—	69	März
6.0	6.3	5.7	6.0	76	19	9	13	10	—	—	1	1	3	9	5	3	—	—	7	4	2	1	68	April
4.5	6.0	4.6	5.0	63	24	27	12	11	—	—	1	—	6	5	4	2	2	1	6	4	5	—	69	Mai
7.6	7.6	7.3	7.5	222	45	10	21	18	—	—	2	—	1	17	—	—	1	—	3	—	2	—	84	Juni
5.8	5.8	6.6	6.1	91	12	18	18	14	—	—	4	—	5	12	—	—	—	1	3	4	5	3	77	Juli
4.6	4.7	3.9	4.4	111	40	21	10	8	—	—	2	—	9	5	1	1	2	1	6	4	3	—	75	August
6.0	5.4	5.5	5.6	134	35	23	13	10	—	—	1	—	5	11	—	—	3	—	2	3	—	—	82	September
6.7	7.1	6.1	6.6	56	28	25	7	5	—	—	—	—	3	12	—	—	—	—	2	1	1	—	89	Oktober
5.8	6.3	5.8	6.0	45	18	2	5	5	—	—	—	1	5	8	—	—	—	—	1	—	2	—	87	November
8.0	7.6	5.9	7.2	37	14	19	7	4	2	—	—	—	1	15	—	—	—	—	—	—	1	—	92	Dezember
6.0	6.0	5.4	5.8	898	45	VI	120	95	14	—	12	2	61	116	17	10	9	3	58	32	26	4	936	Jahr

Beobachter: M. Baud

Leysin

3.2	3.7	3.1	3.3	20	7	25	6	4	6	—	—	2	16	6	7	5	—	—	1	1	37	11	31	Januar
4.3	4.1	3.6	4.0	93	19	1	10	10	10	—	—	1	15	7	—	13	—	—	—	5	28	11	27	Februar
1.9	2.2	1.8	2.0	9	5	31	4	3	1	—	—	—	20	3	—	22	—	—	—	6	26	10	29	März
5.1	5.7	5.1	5.3	97	20	9	13	11	7	—	1	5	8	10	—	13	—	—	—	20	27	11	19	April
3.7	6.2	4.6	4.8	87	35	27	11	9	4	—	1	3	7	5	6	19	—	—	—	19	15	17	17	Mai
7.3	7.4	7.1	7.3	231	39	10	20	19	2	—	—	6	2	14	3	9	—	—	—	35	17	9	17	Juni
5.1	5.8	5.9	5.6	150	30	5	16	15	—	—	3	4	6	12	1	5	—	2	3	49	8	16	9	Juli
3.6	5.0	2.9	3.8	95	35	21	12	12	—	—	4	2	13	6	3	4	—	3	2	34	11	28	8	August
5.1	5.4	4.8	5.1	113	37	23	12	9	1	—	1	4	10	10	5	12	—	—	—	37	12	14	10	September
5.2	6.9	5.5	5.9	43	14	29	10	9	2	—	—	11	5	11	3	12	—	—	2	27	12	12	25	Oktober
2.5	2.7	2.0	2.4	40	13	2	6	6	3	—	—	2	19	1	5	12	—	—	—	13	34	8	18	November
4.5	5.3	3.8	4.5	51	20	29	6	6	5	—	—	4	11	6	3	7	—	—	—	24	33	8	18	Dezember
4.3	5.0	4.2	4.5	1029	39	VI	126	113	41	—	10	44	132	91	36	133	—	5	8	270	260	155	228	Jahr

Beobachter: Hospice

Grand-St-Bernard

2.5	3.2	2.7	2.8	48	17	10	7	7	7	—	—	6	19	2	—	52	—	3	1	8	—	—	29	Januar
4.4	4.4	3.6	4.1	87	31	10	10	10	10	—	—	9	13	8	2	34	—	—	—	11	—	—	37	Februar
2.5	2.8	3.2	2.8	9	6	30	2	2	2	—	—	3	15	2	3	21	—	6	3	20	3	2	35	März
6.5	6.5	7.7	6.9	230	32	4	15	15	15	—	—	20	1	13	—	26	—	—	8	28	—	—	28	April
4.3	5.8	7.0	5.7	132	32	27	12	12	9	—	2	14	3	7	9	39	1	—	—	16	—	3	25	Mai
7.9	8.3	8.7	8.3	331	66	17	25	24	9	—	1	18	3	22	—	42	—	—	—	29	—	—	19	Juni
5.4	6.1	5.8	5.8	123	28	18	16	16	—	1	3	14	6	13	—	47	—	—	—	32	—	—	14	Juli
4.3	4.6	5.3	4.7	107	27	8	11	11	2	1	3	12	12	7	—	58	—	—	—	19	—	—	16	August
5.4	6.3	5.8	5.8	197	32	23	15	15	8	—	—	14	7	13	—	29	1	—	—	21	17	7	15	September
7.2	7.3	6.9	7.1	251	39	27	16	16	6	—	—	20	4	18	—	22	—	1	—	44	3	2	21	Oktober
2.2	3.1	1.9	2.4	71	24	2	5	5	5	—	—	4	18	4	—	27	—	—	—	24	2	2	35	November
5.7	5.6	5.3	5.5	71	15	8	11	11	11	—	—	19	7	10	—	34	—	1	5	39	—	—	14	Dezember
4.9	5.3	5.3	5.2	1657	66	VI	145	144	84	2	9	153	108	119	14	431	2	11	17	291	25	16	288	Jahr

Beobachter: Kapuzinerkloster

Sion

3.2	2.7	2.9	2.9	6	3	10	3	3	3	—	—	—	15	2	2	7	8	—	1	—	3	—	72	Januar
5.9	4.4	2.7	4.3	39	24	10	4	3	4	—	—	—	5	8	—	4	7	1	1	7	9	—	55	Februar
2.8	2.9	1.2	2.3	2	1	26	2	—	—	—	—	—	17	1	4	13	13	—	1	10	9	2	41	März
5.2	4.9	4.1	4.7	19	5	9	8	6	—	—	—	—	5	5	1	4	8	—	1	10	23	4	39	April
4.1	5.2	5.2	4.8	32	15	27	10	6	—	—	1	—	4	4	2	11	5	—	—	15	29	2	29	Mai
7.5	6.4	6.9	6.9	86	14	10	19	15	—	—	—	1	2	11	1	4	4	1	—	15	26	1	38	Juni
4.0	4.6	5.1	4.6	62	14	4	11	10	—	—	—	—	9	5	6	6	3	1	—	12	31	—	34	Juli
3.7	3.3	3.8	3.6	34	10	8	8	6	—	—	1	—	13	5	2	7	4	—	1	14	22	1	42	August
4.6	4.7	4.8	4.7	37	13	21	9	5	—	—	—	—	9	5	—	4	6	—	—	8	17	1	54	September
6.4	4.7	5.0	5.4	30	6	29	11	8	—	—	—	—	5	6	—	5	6	—	1	8	10	—	63	Oktober
2.4	2.6	1.0	2.0	13	6	2	5	4	—	—	—	—	18	1	3	2	3	—	—	6	10	1	65	November
5.4	5.0	3.6	4.7	8	5	19	3	2	2	—	—	1	8	7	1	16	10	1	1	1	1	—	62	Dezember
4.6	4.3	3.9	4.2	368	24	II	93	68	9	—	2	2	110	60	22	83	77	4	7	106	190	12	594	Jahr

Montana

$\lambda = 7° 29'$, $\beta = 46° 19'$, $H_b = 1453.2^m$, $G = -0.21$ mm, $h_r = 1.5^m$.

1953	Luftdruck					Luft-Temperatur								Relative Feuchtigkeit					
	Mittel	Minimum	Tag	Maximum	Tag	7^{30}	13^{30}	21^{30}	Mittel	Minimum	Tag	Maximum	Tag	7^{30}	13^{30}	21^{30}	Mittel	Minimum	Tag
Januar	637.9	622 3	1	646.5	28	-6.9	-1.6	-5.7	-5.0	-11.9	13	11.7	29	66	56	65	62	32	29
Februar	637.4	619.4	11	649.2	28	-5.8	-0.7	-4.1	-3.7	-11.9	4	9.9	26	78	65	70	71	32	22, 26, 27
März	645.2	640.1	8	650.6	24	-0.3	6.2	2.6	2.8	-6.9	12	12.8	30	61	53	55	56	30	16
April	638.1	627.8	27	642.6	2	4.0	9.1	6.1	6.3	-3.9	15	15.1	26	75	57	61	64	32	22
Mai	640.8	633.3	13	648.2	26	8.7	14.0	11.3	11.3	0.9	8, 9, 10	22.2	19, 25	71	51	52	58	29	13, 16
Juni	638.9	630.0	2	642.8	20	9.1	13.3	10.9	11.0	0.7	2	20.9	30	82	62	66	70	37	6
Juli	643.0	637.0	13	649.2	20	12.9	17.7	14.5	14.9	7.0	11	23.3	26, 27	78	57	61	65	31	21
August	644.3	638.1	22	649.3	5	12.2	17.6	13.4	14.2	6.9	23	23.9	14	80	57	60	66	40	4, 20, 27, 31
September	642.4	637.1	21	650.0	8	10.4	15.1	11.7	12.2	4.7	24	23.1	2	80	60	65	68	33	13
Oktober	641.9	635.4	13	649.3	1	6.3	11.0	7.1	7.9	-1.0	31	15.0	2	79	66	76	74	35	11
November	645.1	630.7	3	649.3	15	1.7	7.1	2.9	3.7	-4.1	7	10.9	16	59	51	55	55	20	27
Dezember	642.9	634.2	31	648.9	2	0.3	3.7	1.1	1.5	-13.9	31	11.5	2	69	62	66	66	40	5
Jahr	641.5	619.4	II	650.6	III	4.4	9.4	6.0	6.4	-13.9	XII	23.9	VIII	73	58	63	65	20	XI

Reckingen

$\lambda = 8° 14'$, $\beta = 46° 28'$, $H_b = 1332^m$, $G = -0.19$ mm, $h_r = 1.6^m$

Januar	648.9	632.6	1	657.5	28	-12.9	-4.6	-10.8	-9.8	-20.0	13	5.8	29	80	60	75	72	45	16, 28
Februar	648.3	629.8	11	660.9	26	-10.4	-1.0	-7.3	-6.5	-18.4	4	8.2	28	83	55	75	71	36	28
März	656.3	650.5	27	662.9	25	-5.7	5.5	-1.6	-0.8	-12.8	9	10.8	30	75	42	65	61	32	20
April	649.0	637.5	27	653.6	2	1.9	9 3	3.6	4.6	-3.8	15, 16	15.4	23	87	50	72	70	26	30
Mai	651.2	643.1	10	658.9	26	7.9	16.0	8.1	10.0	-0.2	11	25.6	26	68	37	60	55	23	20
Juni	649.3	638.7	2	654.2	20	9.4	15.0	9.2	10.7	1.4	2	23.4	28	77	52	77	69	31	6
Juli	653.1	646.5	13	659.9	20	13.2	19.5	12.8	14.6	8.0	11	24.4	8	73	41	69	61	28	16
August	654.7	647.1	21	660.2	31	10.9	20.5	12.1	13.9	3.0	24	26.2	13	84	37	68	63	26	11
September	653.0	647.2	21	660.7	7	8.1	17.3	9.9	11.3	3.0	14	26.2	2	91	47	76	71	21	1
Oktober	652.8	646.3	15	660.8	1	4.2	11.7	5.9	6.9	-8.0	31	17.2	3	89	55	83	76	29	3
November	656.0	642.2	3	660.6	15	-2.9	6.4	-0.7	0.5	-5.0	11	10.2	16	79	47	71	66	28	27
Dezember	653 7	644.5	31	660.6	1	-3.4	2.9	-1.9	-1.1	-17.6	31	9.0	5	85	61	79	75	31	1, 8
Jahr	652.2	629.8	II	662.9	III	1.7	9.9	3.3	4.5	-20.0	I	26.2	VIII IX	81	49	72	67	21	IX

Graubünden

Chur

$\lambda = 9° 32'$, $\beta = 46° 51'$, $H_b = 633^m$, $G = -0.10$ mm, $h_r = 1.7^m$

Januar	707.9	690.1	1	717.9	20	-5.6	-1.9	-4.3	-4.0	-12.5	15	8.5	31	75	55	71	67	26	31
Februar	706.7	686.6	11	718.6	26	-3.5	1.5	-1.4	-1.2	-9.4	8	9.4	27	67	45	65	59	23	27
März	714.2	706.2	31	719.9	25	1.8	9.9	4.4	5.1	-6.2	9	19.1	30	52	29	46	42	12	17
April	705.1	692.5	27	710.1	11	7.1	14.2	9.4	10.0	1.0	16	19.7	20	67	34	57	53	18	12
Mai	706.9	698.9	13	713.2	26	10.8	18.4	13.2	13.9	0.9	10	29.8	18	66	31	53	50	15	19
Juni	704.7	696.4	2	709.9	19	12.5	17.6	13.9	14.5	4.4	2	24.4	30	85	61	81	76	31	5
Juli	708.0	701.5	13	716.8	20	15.2	21.7	16.7	17.6	10.2	20	29.8	22	83	56	78	72	34	22
August	710.0	702.5	21	716.3	5	14.3	20.8	16.1	16.8	9.7	24	27.6	13, 14	85	57	74	72	35	24
September	708.4	702.3	20	716.8	7	12.8	19.2	14.6	15.3	7.6	21	26.8	2	83	60	73	72	40	27, 28
Oktober	708.8	700.5	14	717.3	1	8.8	14.5	10.1	10 9	1.0	31	20.4	14	86	61	81	76	36	3, 28
November	713.1	698.0	3	718.3	16	1.6	6.8	2.8	3.5	-5.0	25	13.2	1	81	63	78	74	16	27
Dezember	711.0	703.6	29	717.3	1	2.9	6.6	3.5	4.1	-6.7	31	15.2	4	74	64	76	71	33	7
Jahr	708.7	686.6	II	719.9	III	6.6	12.4	8.3	8.9	-12.5	I	29.8	V VII	75	51	69	65	12	III

Disentis

Die Abendbeobachtung erfolgt um 20.30

$\lambda = 8° 51'$, $\beta = 46° 42'$, $H_b =$ ca 1168^m, $G = -$ mm, $h_r = 1.8^m$

Januar	—	—	—	—	—	-6.0	-2.2	-4.9	-4.5	-11.5	13	6.5	31	69	54	68	64	32	29
Februar	—	—	—	—	—	-4.2	0.8	-2.9	-2.3	-10.9	9	10.7	26	67	48	71	62	24	26
März	—	—	—	—	—	-0.1	7.6	2.7	3.2	-8.0	9	14.7	30	58	33	55	49	18	16, 20
April	—	—	—	—	—	4.9	10.7	6.8	7.2	-0.7	15, 16	17.2	22	75	46	65	62	26	29
Mai	—	—	—	—	—	9.7	16.2	10.7	11.8	0.2	11	25.4	19	67	39	61	56	18	11
Juni	—	—	—	—	—	10.4	14.6	11.4	11.6	1.6	2	21.3	30	78	52	73	68	31	4, 19
Juli	—	—	—	—	—	13.9	19.7	15.1	15.7	8.8	10	26.1	25	72	42	71	62	22	20
August	—	—	—	—	—	12.7	19.1	14.5	15.0	7.5	22	26.0	12	75	44	68	62	23	24
September	—	—	—	—	—	11.2	16.7	12.8	13.2	6.1	11	25.8	2	77	50	67	65	27	1
Oktober	—	—	—	—	—	7.5	11.7	8.1	8.9	-0.9	31	18.2	2	77	55	76	69	21	10
November	—	—	—	—	—	2.8	8.2	4.0	4.8	-0.6	8	12.6	9	58	41	57	52	14	26, 27
Dezember	—	—	—	—	—	2.1	5.4	3.0	3.4	-10.6	31	14.0	6	67	57	64	63	31	6
Jahr	—	—	—	—	—	5.4	10.7	6.8	7.3	-11.5	I	26.1	VII	70	47	66	61	14	XI

Beobachter: Sanatorium «La Moubra»

Montana

Bewölkung				Niederschlag			Zahl der Tage							Windverteilung								1953
7^{30}	13^{30}	21^{30}	Mittel	Summe	Maximum	Tag	●	●≥1.0	✳	▲	⛆	≡	heiter	trüb	N	NE	E	SE	S	SW	W	NW	Calmen	
3.1	3.3	1.8	2.7	18	5	25	4	4	4	—	—	6	15	2	—	—	—	—	—	—	3	—	90	Januar
4.8	4.0	3.2	4.0	66	20	10	7	7	7	—	—	—	13	8	—	—	3	—	—	—	15	1	65	Februar
1.9	2.0	1.5	1.8	5	2	30	3	2	1	—	—	—	22	2	—	1	11	1	—	—	4	1	75	März
4.3	4.8	4.9	4.7	47	11	9	11	10	7	—	—	1	7	6	—	—	11	—	—	2	11	—	66	April
4.0	5.1	5.5	4.9	53	21	27	8	6	1	—	2		6	4	4	1	6	—	—	—	11	6	65	Mai
7.3	6.7	7.0	7.0	113	20	10	18	17	2	—	1	1	1	11	—	—	11	—	—	—	9	1	69	Juni
4.2	4.1	5.1	4.5	87	16	4	12	12	—	—	2	1	7	5	—	—	7	—	—	—	8	—	78	Juli
3.3	3.2	3.6	3.4	32	8	2	8	6	—	—	1	1	12	2	1	—	—	1	—	—	12	4	75	August
4.0	4.8	4.5	4.4	45	13	23	9	9	—	—	—	3	9	4	—	—	13	—	—	—	5	2	70	September
5.1	4.7	5.6	5.1	43	9	29	11	9	1	—	—	5	7	7	—	—	15	—	—	—	—		78	Oktober
2.0	2.0	1.8	1.9	15	7	2	4	3	1	—	—	1	20	2	—	—	7	—	—	—	1	—	82	November
4.1	4.5	3.5	4.0	26	16	29	4	4	4	—	—	3	12	5	—	—	13	—	—	—	2	—	78	Dezember
4.0	4.1	4.0	4.0	550	21	V	99	89	28	—	6	22	131	58	5	2	97	2	—	2	81	15	891	Jahr

Beobachter: Th. Weissen

Reckingen

2.8	2.7	2.5	2.7	20	9	31	6	4	6	—	—	—	18	2	—	—	—	—	—	—	—	—	—	Januar
5.4	4.4	3.2	4.3	38	10	9	9	9	9	—	—	—	10	8	—	2	—	2	4	7	—	—	69	Februar
1.7	1.7	0.3	1.2	1	1	27	2	—	—	—	—	—	24	—	—	4	—	—	—	3	5	—	81	März
5.3	5.8	4.7	5.3	57	24	27	11	9	6	—	—	—	6	10	—	3	—	4	4	3	2	—	74	April
3.6	5.0	2.9	3.8	69	23	30	9	8	—	—	—	—	13	4	—	7	3	3	4	3	1	1	71	Mai
7.6	7.4	8.2	7.7	156	24	25	16	14	—	—	—	—	1	17	—	2	—	—	3	4	5	—	76	Juni
5.7	4.8	5.3	5.3	98	21	18	15	13	—	—	3		8	9	1	1	1	—	7	5	1	1	76	Juli
4.5	2.6	3.0	3.4	28	7	9	10	7	—	—	—		14	4	—	9	—	—	5	2	—	1	76	August
5.3	4.5	4.1	4.6	112	38	28	12	12	—	—	—	1	9	9	2	3	1	1	3	4	—	—	76	September
5.8	5.1	5.9	5.6	229	56	18	14	14	1	—	—	1	7	10	—	1		1		1		—	90	Oktober
1.8	2.3	1.3	1.8	5	4	2	3	1	—	—	—	1	23	3	—	1		—	—			—	89	November
4.5	4.1	4.1	4.2	22	8	29	5	5	5	—	—	—	12	9	—	2		—	3		—	—	88	Dezember
4.5	4.2	3.8	4.2	835	56	X	112	96	27	—	3	3	145	85	—	—	—	—	—	—	—	—	—	Jahr

Graubünden

Beobachter: Kantonsschule

Chur

5.5	5.0	6.4	5.6	13	5	10	8	4	8	—	—	—	7	11	—	—	—	5	1	—	—	4	83	Januar
4.4	5.0	5.4	4.9	21	10	1	6	6	6	—	—	—	9	9	1	—	1	14	1	—		12	55	Februar
4.0	3.1	2.5	3.2	22	19	7	4	2	3	—	—	—	15	5	2	—		27	2	3	2	25	32	März
6.5	6.2	6.4	6.4	27	12	27	13	9	3	—	—	—	5	13	4	—	1	23	2	—	1	23	36	April
5.0	5.5	6.1	5.5	33	9	23	10	7	2	—	2	—	5	10	—	—	1	16	—	—	2	34	40	Mai
8.4	8.0	8.5	8.3	193	40	24	20	17	—	—	2	—	1	21	—	1	—	16	—	—	3	23	47	Juni
6.6	5.7	6.6	6.3	102	24	18	18	13	—	—	3	—	4	12	1	—	2	14	—	1	2	32	41	Juli
5.9	5.6	5.5	5.7	44	15	21	12	10	—	—	1	—	7	10	1	—	4	21	—	—	1	28	38	August
6.5	5.3	6.0	5.9	76	30	25	9	6	—	—	1	—	4	10	—	—	4	23	1	—	2	25	35	September
5.9	5.5	6.1	5.8	58	15	29	11	10	—	—	—	—	5	8	3	1	1	32	2	—	—	13	41	Oktober
3.8	3.7	4.0	3.8	4	3	2	3	1	—	—	—	3	11	4	—			18	2	—	—	6	64	November
5.2	5.8	5.4	5.5	22	8	28	5	4	4	—	—	4	7	6	—		2	27	2	1	5	3	53	Dezember
5.6	5.4	5.7	5.6	615	40	VI	119	89	26	—	9	7	80	119	12	2	16	236	13	5	18	228	565	Jahr

Beobachter: P. Fl. Maissen

Disentis

4.3	3.3	5.2	4.3	30	12	10	8	7	8	—	—	1	10	5	7	7	1	—	5	11	—	14	48	Januar
6.1	4.6	5.9	5.5	39	14	2	8	6	8	—	—		8	11	13	6		—	1	11	2	12	39	Februar
2.7	2.2	1.9	2.3	3	3	7	2	1	2	—	—	—	18	3	11	11	—	2	7	12	—	12	38	März
6.7	6.5	5.9	6.4	112	33	4	10	10	6	—	—	—	5	13	6	24	—	—	6	24	2	6	22	April
4.2	5.2	5.6	5.0	65	16	27	14	12	3	—	—	—	8	6	10	14	—	—	6	16	1	7	39	Mai
8.4	8.4	7.7	8.2	210	35	25	19	15	2	—	—	1	—	19	7	9	2	2	2	7		8	53	Juni
6.2	5.7	6.3	6.1	155	33	1	17	14	—		2	0	4	14	5	17	—	—	5	10	6	4	46	Juli
5.5	4.6	4.5	4.9	48	25	21	10	9	—	—	—	—	8	8	1	20	1	—	3	7	2	3	50	August
6.5	5.9	6.0	6.1	132	36	19	14	12	—	—	1	1	5	14	9	15		1	2	15	1	8	39	September
6.5	6.5	6.5	6.5	186	48	16	13	13	1	—		-	3	9	9	4		-	4	7	3	2	64	Oktober
2.2	2.5	2.2	2.3	11	5	6	4	2	2	—	—	1	19	3	10	3	-	-	5	8	1	3	60	November
5.9	5.7	5.4	5.4	40	26	29	7	5	6	—	—	2	8	9	6	5	—	—	7	11	—	9	55	Dezember
5.4	5.1	5.3	5.3	1031	48	X	126	106	38	—	3	6	96	114	94	141	4	5	53	139	18	88	553	Jahr

Platta-Medels

$\lambda = 8° 51'$, $\beta = 46° 39'$, $H_b = 1378^m$, $G = -0.21$ $^m/_m$, $h_r = 1.2^m$

1953	Luftdruck					Luft-Temperatur								Relative Feuchtigkeit					
	Mittel	Minimum	Tag	Maximum	Tag	7^{30}	13^{30}	21^{30}	Mittel	Minimum	Tag	Maximum	Tag	7^{30}	13^{30}	21^{30}	Mittel	Minimum	Tag
Januar	644.9	627.9	1	653.3	20	-9.0	-0.6	-8.5	-6.4	-16.0	5	11.0	30	68	43	67	59	22	30
Februar	644.2	625.5	11	656.6	26	-7.1	1.4	-5.9	-4.4	-14.0	8	11.0	23	63	43	66	57	28	27
März	652.7	646.1	31	658.4	24	-2.2	6.6	-0.2	1.0	-11.4	9	12.0	21	56	35	54	48	21	16 . 20
April	644.9	634.5	27	649.4	11	3.1	9.4	4.4	5.3	-3.8	15	18.8	22	71	44	62	59	21	30
Mai	647.2	638.0	10	654.3	26	6.8	15.9	8.1	9.7	-4.4	11	25.0	18 . 26	66	34	58	53	20	4
Juni	645.4	635.0	2	650.5	29	8.8	13.7	9.3	10.3	0.4	2	20.4	30	76	49	71	65	27	5
Juli	649.0	641.8	13	656.1	20	11.8	19.2	12.6	14.0	5.8	20	24.2	21	71	39	73	61	22	15
August	650.7	642.8	21	655.5	31	10.5	19.4	12.0	13.5	5.2	29	25.4	5	75	39	71	62	23	24
September	649.1	642.7	20	657.0	7	9.3	16.1	10.6	11.6	3.0	14	26.0	9	75	44	72	63	21	9
Oktober	649.1	642.4	27	656.7	1	5.8	11.2	6.6	7.6	-3.6	31	16.0	19	74	51	70	65	20	11
November	652.1	637.1	3	656.9	16	1.2	10.2	2.4	4.1	-4.0	11	15.0	16	54	32	52	46	16	27
Dezember	649.8	640.2	29	656.5	1	0.2	4.0	1.1	1.6	-14.0	31	13.0	2	64	53	61	59	29	2
Jahr	648.3	625.5	II	658.4	III	3.3	10.5	4.4	5.7	-16.0	I	26.0	IX	68	42	65	58	16	XI

Arosa

$\lambda = 9° 41'$, $\beta = 46° 47'$, $H_b = 1864^m$, $G = -0.24$ $^m/_m$, $h_r = 1.6^m$

Januar	605.7	591.0	6	613.8	29	-8.7	-3.3	-9.2	-7.6	-14.6	4. 13	8.2	30	76	57	77	70	34	27 . 30
Februar	605.3	587.7	11	618.0	26	-8.6	-1.8	-7.5	-6.4	-18.5	8	9.0	23	75	53	76	68	27	22
März	613.7	608.2	31	619.2	25	-3.5	3.6	-2.4	-1.2	-13.6	9	12.0	30	62	45	69	59	27	30
April	607.1	598.1	27	611.1	2	0.8	6.2	1.0	2.3	-6.7	15	12.6	23	77	55	81	71	31	23
Mai	610.1	600.4	10	619.9	26	5.4	10.2	4.4	6.1	-7.2	10	21.6	19	71	54	82	69	27	19
Juni	608.2	598.3	2	613.0	29	6.1	10.1	6.0	7.1	-4.4	2	17.4	30	85	71	90	82	29	5
Juli	612.3	605.1	13	618.3	20	9.8	14.8	9.0	10.7	2.8	11	22.2	21	82	62	84	76	30	20
August	613.8	606.9	22	619.0	31	9.2	14.4	9.0	10.4	2.0	22	21.2	11	78	61	87	75	25	8
September	612.1	606.0	24	619.4	7	7.6	13.2	8.0	9.2	1.0	11	23.0	2	79	59	79	72	27	14
Oktober	611.1	605.5	13	618.7	1	3.3	9.3	4.2	5.2	-6.0	30	15.7	14	82	61	83	75	24	10
November	613.5	599.9	3	618.2	16	0.7	7.3	1.1	2.5	-4.0	7	11.0	14 . 17	57	40	58	52	20	12
Dezember	611.1	602.3	29	618.4	1	-2.3	2.4	-1.7	-0.8	-16.8	31	10.3	2	80	61	77	73	27	6
Jahr	610.3	587.7	II	619.9	V	1.6	7.2	1.8	3.1	-18.5	II	23.0	IX	75	57	79	70	20	XI

Davos-Platz

$\lambda = 9° 49'$, $\beta = 46° 48'$, $H_b = 1560.7^m$, $G = -0.21$ $^m/_m$, $h_r = 9.5^m$

Januar	629.4	613.8	1	637.4	20	-11.9	-5.3	-10.4	-9.5	-19.2	13	5.0	29	78	60	76	71	44	31
Februar	628.9	611.0	11	641.6	26	-11.2	-2.3	-7.8	-7.3	-18.6	17	5.2	26	78	53	76	69	26	26
März	637.3	643.2	25	631.4	7	-6.3	4.1	-2.3	-1.7	-16.6	9	11.8	30	81	44	74	66	27	16
April	630.0	619.2	27	634.6	11	2.1	8.1	2.5	3.8	-3.8	15	13.8	26	77	47	77	67	28	30
Mai	632.6	622.8	10	640.3	26	7.7	12.4	6.3	8.2	-5.2	10	21.4	19	68	46	78	64	26	16
Juni	630.7	620.3	2	635.9	20	8.2	12.2	8.0	9.1	-0.6	2	19.2	30	80	60	85	75	28	5
Juli	634.6	627.8	13	641.4	20	12.1	16.9	10.9	12.7	4.4	11	23.4	26	73	52	81	69	24	20
August	636.3	629.7	22	641.9	31	10.5	15.5	10.3	11.7	4.2	22	22.2	12	74	55	83	71	27	8
September	634.6	628.3	20	642.5	7	7.7	14.2	8.7	9.8	2.4	14 . 21	22.4	2	83	56	82	74	22	14
Oktober	634.0	627.9	14	641.9	1	3.1	10.2	4.9	5.8	-7.2	31	16.0	2	88	59	84	77	28	10
November	636.8	622.3	3	641.9	16	-3.0	5.7	-1.2	0.1	-6.0	8	7.8	13 . 17	71	40	69	60	15	27
Dezember	634.5	625.4	29	641.7	1	-3.9	2.2	-2.6	-1.7	-16.6	31	10.0	7	85	63	82	77	34	6
Jahr	633.3	611.0	II	642.5	IX	1.3	7.8	2.3	3.4	-19.2	I	23.4	VII	78	53	79	70	15	XI

Weißfluhjoch

$\lambda = 9° 50'$, $\beta = 46° 48'$, $H_b = 2667^m$, $G = -0.30$ $^m/_m$, $h_r = 3.0^m$, $H_r = 2540^m$

Januar	545.5	532.7	1	554.8	29	-11.4	-9.5	-10.9	-10.7	-16.8	9. 11	0.4	30	61	63	56	60	10	20
Februar	545.1	528.8	11	559.2	26	-10.7	-8.4	-10.6	-10.1	-25.2	8	3.9	26	53	63	54	57	5	25
März	553.8	546.5	8	559.8	24	-6.8	-5.1	-7.1	-6.5	-18.4	8	1.7	30	44	58	57	53	5	6. 9
April	548.4	540.4	27	552.7	2	-4.5	-1.8	-3.5	-3.3	-11.4	15	2.1	3.22.26	82	80	82	82	32	30
Mai	551.7	540.5	10	559.8	26	-0.9	1.5	-0.6	-0.2	-12.2	10	10.7	19	78	73	82	78	16	10
Juni	550.6	538.5	2	555.9	20 . 29	0.7	2.8	1.2	1.5	-9.4	2	8.7	30	88	87	92	89	44	6
Juli	555.2	547.7	13	561.9	20	5.1	8.5	5.1	6.0	-2.5	11	17.8	22	82	75	84	80	25	20
August	556.5	548.4	22	562.1	31	4.4	7.4	4.8	5.4	-3.5	22	13.3	8	83	80	85	83	31	5
September	554.7	548.2	11	562.6	7	3.6	6.8	3.8	4.5	-4.1	11	14.1	2	74	71	78	74	8	14
Oktober	553.2	547.6	30	560.9	1	0.3	3.7	0.4	1.2	-8.4	30	9.4	3	70	68	75	71	9	6
November	554.9	541.3	3	559.8	16	-2.0	-0.1	-1.5	-1.3	-10.2	7	5.3	14	46	46	47	46	1	9
Dezember	551.6	540.9	31	559.8	1	-6.0	-4.0	-5.9	-5.5	-21.8	31	4.7	5	74	69	73	72	27	6
Jahr	551.8	528.8	II	562.6	IX	-2.4	0.2	-2.1	-1.6	-25.2	II	17.8	VII	70	69	72	70	1	XI

Beobachter: Frl. G. Levy

Platta-Medels

Bewölkung				Niederschlag			Zahl der Tage							Windverteilung								1953
7^{30}	13^{30}	21^{30}	Mittel	Summe	Maximum	Tag	● *	●* ≧1.0	*	▲	⛆	≡	heiter	trüb	N	NE	E	SE	S	SW	W	NW	Calmen	
3.5	3.3	3.9	3.6	32	10	10	6	6	6	—	—	1	14	5	—	1	—	2	6	—	—	—	84	Januar
4.8	4.9	4.8	4.8	29	?	?	7*	5*	7*	–	–	—	11	9	—	1	3	—	6	2	—	—	72	Februar
2.5	2.4	1.8	2.2	0	0	—	—	—	—	—	—	1	18	2	2	2	—	—	14	6	2	—	67	März
7.0	7.6	5.7	6.8	99	26	4	10	10	7	—	1	1	3	16	—	—	1	2	18	5	—	—	64	April
4.2	5.4	5.8	5.1	58	15	27	9	9	3	—	4	2	8	9	1	2	2	1	9	4	—	—	74	Mai
8.8	8.6	7.9	8.4	222	35	24	15	15	1	—	—	4	—	22	—	1	-	—	18	1	1	—	69	Juni
6.5	5.9	6.6	6.3	107	41	1	14	13	—	—	7	6	4	12	—	3	3	-	18	4	—	—	65	Juli
5.7	5.5	4.9	5.4	37	18	21	7	7	—		1	4	7	9	2	1	1	—	14	—	—	—	75	August
6.9	6.3	6.1	6.4	207	49	19	14	14	—	—	-	5	6	15	—	—	1	—	29	-	—	—	60	September
7.2	7.0	6.3	6.8	241	50	16	12	12	1	—		6	4	14	—	—	1	1	20	1	--	—	70	Oktober
1.9	2.1	2.2	2.1	0	0	—	0	0	—	—	—	1	21	3	-	-	-	—	25	3	—	-	62	November
4.7	5.3	5.9	5.3	21	14	29	3	3	3	—	—	5	8	10	—	—	—	6	35	—	—	—	52	Dezember
5.3	5.4	5.2	5.3	1113	50	X	97	94	28	—	13	56	104	126	5	11	12	12	212	26	3	-	814	Jahr

Beobachter: Lichtklimatisches Observatorium

Arosa

5.0	4.3	3.0	4.1	29	11	16	9	6	9	—	—	—	11	6	—	—	—	—	1	1	2	—	89	Januar
4.8	4.6	5.1	4.8	35	16	1	10	6	10	—	—	2	10	7	—	—	—	—	1	4	2	--	77	Februar
3.5	2.7	3.1	3.1	14	9	7	6	3	5	—	—	1	14	4	--	—	—	—	2	—	1	—	90	März
6.3	6.0	5.8	6.0	119	25	27	15	13	14	—	—	3	3	11	—	—	—	3	2	4	—	-	81	April
5.1	5.9	6.5	5.8	73	9	27	17	16	12	—	3	2	6	10	—	—	—	—	6	1	-	—	86	Mai
8.7	8.1	8.0	8.3	270	51	24	21	19	5	1	1	8	1	20	—	—	—	4	2	—	—	--	84	Juni
6.5	6.1	6.5	6.4	213	37	9	21	18	-	—	3	9	5	13	—	—	-	5	6	1	—	—	81	Juli
5.5	5.8	4.9	5.4	99	32	21	13	13	—	—	1	6	7	9	—	—	—	4	—	1	—	—	88	August
6.0	5.2	5.3	5.5	107	30	25	12	10	2	—	1	11	5	9	—	—	—	3	10	3	—	—	74	September
4.5	6.3	5.8	5.5	88	25	29	14	12	2	—	—	10	5	10	—	—	—	2	3	—	—	--	88	Oktober
3.1	2.2	2.3	2.5	13	7	6	3	3	3	—	—	1	19	3	—	—	—	1	3	1	--	—	85	November
3.8	5.2	5.0	4.7	35	9	19.29	8	7	8	—	—	2	9	7	—	—	—	1	2	3	2	—	85	Dezember
5.2	5.2	5.1	5.2	1095	51	VI	149	126	70	1	9	55	95	109	—	—	—	23	38	19	7	—	1008	Jahr

Beobachter: Kurverein

Davos-Platz

5.5	4.5	4.3	4.8	20	7	10	6	5	6	—	—	—	10	7	—	6	6	2	1	—	—	—	78	Januar
5.8	5.2	5.5	5.5	42	19	1	8	5	8	—	—	—	9	9	1	4	7	1	6	1	0	0	70	Februar
3.9	3.4	2.6	3.3	5	3	7	4	2	4	—	—	—	15	4	—	4	8	2	—	—	—	—	79	März
6.9	6.7	5.5	6.4	53	13	27	14	8	10	—	—	—	4	12	1	4	14	2	—	6	—	—	63	April
5.6	6.2	6.3	6.0	50	11	23	14	11	5	—	1	—	4	8	—	11	13	1	2	1	--	—	65	Mai
8.5	8.6	7.7	8.3	192	44	26	22	21	3	—	2	—	1	20	—	3	15	1	1	—	1	-	69	Juni
5.7	6.1	5.9	5.9	164	27	30	18	16	—	—	3	—	6	9	—	6	14	5	1	4	—	1	62	Juli
5.5	6.1	5.5	5.7	82	27	21	14	10	—	—	2	—	5	11	—	3	21	—	1	-	1	-	67	August
6.1	6.0	5.0	5.7	73	27	25	9	7	—	—	2	—	5	10	—	3	16	1	1	2	-	--	67	September
6.0	6.7	6.1	6.3	68	20	29	15	12	2	—	—	—	4	11		3	9	1	--	2	-	—	78	Oktober
3.7	2.8	2.4	3.0	4	4	6	1	1	1		—	—	13	3	—	—	3	--	—	—	—	-	87	November
4.7	5.7	5.3	5.2	33	11	19	7	6	7	—	—	1	7	7	—	1	6	—	-	2	-	1	83	Dezember
5.7	5.7	5.2	5.5	786	44	VI	132	104	46	—	10	1	83	111	2	48	132	16	7	18	2	2	868	Jahr

Beobachter: Eidg. Institut für Schnee- und Lawinenforschung

Weißfluhjoch

5.6	5.9	3.6	4.7	24	7	10	6	5	6	—	—	9	7	5	15	19	4	8	9	6	7	22	3	Januar
5.5	5.2	4.4	5.0	41	20	1	7	5	7	—	–	7	8	9	10	15	5	4	8	4	8	18	12	Februar
4.0	3.6	3.8	3.8	6	2	31	4	3	4	—	—	9	10	3	14	10	5	10	19	6	3	13	13	März
6.9	6.9	6.6	6.8	61	14	27	14	12	14	—	—	16	5	10	8	2	3	14	25	10	5	9	14	April
6.9	7.0	7.0	6.7	70	9	27	17	16	13	—	1	15	1	13	14	9	2	6	10	7	10	26	3	Mai
8.6	9.0	7.9	8.5	250	60	26	24	22	13	1	1	17	-	22	8	2	—	15	20	6	3	18	18	Juni
6.3	7.0	6.5	6.6	216	32	30	21	20	6	1	2	14	4	14	12	1	2	10	21	9	4	21	13	Juli
6.0	6.9	5.0	6.0	104	31	21	14	14	2	-	1	11	4	10	16	6	3	3	12	7	6	29	11	August
5.8	6.6	4.9	5.8	80	26	25	10	8	4	—	1	9	3	7	8	1	1	10	29	7	5	13	7	September
5.9	6.5	5.0	5.5	61	13	29	15	13	9	—	—	7	6	9	7	4	6	31	28	4	3	5	5	Oktober
4.9	3.4	3.0	3.5	5	4	6	3	1	3	—	—	5	11	2	10	8	5	4	10	4	3	11	26	November
4.7	5.9	4.5	5.0	32	11	19	6	6	6	—	—	10	4	4	13	7	3	12	35	3	5	9	6	Dezember
5.7	6.1	5.2	5.7	959	60	VI	141	125	87	2	6	129	63	114	135	84	39	136	241	73	62	194	131	Jahr

Schuls

$\lambda = 10° 18'$, $\beta = 46° 48'$, $H_b = 1253.2^m$, $G = -0.17$ m/m, $h_r = 1.5^m$

1953	Luftdruck					Luft-Temperatur								Relative Feuchtigkeit					
	Mittel	Minimum	Tag	Maximum	Tag	7^{30}	13^{30}	21^{30}	Mittel	Minimum	Tag	Maximum	Tag	7^{30}	13^{30}	21^{30}	Mittel	Minimum	Tag
Januar	654.8	638.6	1	664.1	20	-10.8	-3.5	-9.1	-8.1	-19.0	15	7.4	29	—	—	—	—	—	—
Februar	654.1	636.6	11	667.7	26	-10.1	0.5	-7.0	-5.9	-17.0	8	8.2	23	—	—	—	—	—	—
März	662.2	655.0	31	669.4	25	-4.4	8.1	-0.8	0.5	-13.0	9	16.8	30	—	—	—	—	—	—
April	654.2	642.9	27	660.1	2	4.4	12.4	4.7	6.6	0.0	15 . 16	19.0	22	—	—	—	—	—	—
Mai	656.5	647.2	10	663.5	26	9.8	17.2	8.7	11.1	-1.0	7	27.0	20	—	—	—	—	—	—
Juni	654.6	644.4	2	659.8	20	11.2	17.5	10.9	12.6	1.0	1	24.4	20	—	—	—	—	—	—
Juli	658.1	651.8	13	666.3	20	14.2	22.1	13.7	15.9	5.5	11	28.2	8	—	—	—	—	—	—
August	659.9	653.2	21	665.1	5	12.0	21.0	11.7	14.1	6.0	23. 24 28	29.2	13	—	—	—	—	—	—
September	658.6	651.3	10	667.1	7	9.5	18.5	9.6	11.8	1.0	14	26.6	3	86	53	87	75	30	1
Oktober	658.8	651.9	27	667.6	2	4.7	13.0	6.0	7.4	-5.0	31	19.0	2	92	59	90	80	34	10
November	662.1	647.4	3	667.4	16	-3.1	5.9	-1.2	0.1	-7.0	26	9.2	5	85	55	82	74	40	9. 16
Dezember	659.9	651.2	29	667.5	1	-4.2	1.9	-2.9	-2.0	-15.5	31	7.0	1. 5	90	69	88	82	55	2
Jahr	657.8	636.6	II	669.4	III	2.8	11.2	3.7	5.3	-19.0	I	29.2	VIII	—	—	—	—	—	—

Buffalora (Ofenpaß)

$\lambda = 10° 16'$, $\beta = 46° 38'$, $H_b = $ ca 1977^m, $G = —$ m/m, $h_r = 1.5^m$

Januar	—	—	—	—	—	-16.7	-3.8	-16.1	-13.2	-25.0	11	7.0	29	87	47	85	73	22	11 . 16
Februar	—	—	—	—	—	-16.6	-1.8	-14.3	-11.7	-26.3	8	10.2	23	90	43	89	74	20	27
März	—	—	—	—	—	-11.0	3.3	-7.8	-5.8	-23.8	9	9.0	30	84	32	81	66	15	7
April	—	—	—	—	—	-0.7	6.8	-1.0	1.0	-6.0	15	14.0	22	75	46	90	70	25	1.7.30
Mai	—	—	—	—	—	4.6	12.1	2.8	5.6	-7.2	11	21.6	19	61	37	71	56	15	11
Juni	—	—	—	—	—	6.6	11.2	5.4	7.2	-6.0	2	15.3	28	78	56	95	76	25	3
Juli	—	—	—	—	—	9.7	16.7	8.2	10.7	0.8	12	25.2	26	68	46	91	68	15	20
August	—	—	—	—	—	8.3	17.5	7.7	10.3	0.4	23	24.0	19	71	43	89	68	15	31
September	—	—	—	—	—	6.5	13.7	6.1	8.1	-1.0	21	23.8	8	76	55	92	74	14	1
Oktober	—	—	—	—	—	1.7	8.7	1.8	3.5	-11.8	31	15.0	11	92	61	94	82	14	9
November	—	—	—	—	—	-6.7	5.8	-6.0	-3.2	-10.8	25	10.0	9. 13	85	40	93	73	15	8. 15
Dezember	—	—	—	—	—	-8.8	0.3	-7.6	-5.9	-25.3	31	8.3	2	94	54	95	81	27	6
Jahr	—	—	—	—	—	-1.9	7.5	-1.7	0.6	-26.3	II	25.2	VII	80	47	89	72	14	IX X

Bever

$\lambda = 9° 53'$, $\beta = 46° 33'$, $H_b = 1711.8^m$, $G = -0.23$ m/m, $h_r = 1.6^m$

Januar	617.9	603.6	1	626.1	30	-16.2	-6.7	-14.1	-12.8	-24.3	15	8.4	29	86	66	78	77	36	29
Februar	617.4	600.7	11	630.6	26	-16.3	-1.9	-10.8	-9.9	-24.9	7	7.0	24	88	54	76	73	40	8
März	626.0	618.9	7	632.3	25	-10.5	4.4	-4.8	-3.9	-20.1	9	10.2	26	90	44	75	70	26	7
April	619.1	609.0	27	623.7	2	0.2	7.4	1.9	2.9	-4.9	1	14.4	23	88	52	81	74	29	22
Mai	621.4	608.8	31	628.7	26	4.5	12.9	6.3	7.5	-6.2	11	22.2	19	77	41	67	62	25	19
Juni	619.9	608.5	2	624.9	20	6.8	12.4	7.5	8.5	-3.7	3	18.0	28	88	58	84	77	35	5
Juli	623.8	617.1	13	630.3	20	9.4	16.9	10.5	11.8	4.2	11	24.2	26	88	50	83	74	26	20 . 26
August	625.3	617.8	22	630.9	31	8.8	16.3	9.9	11.2	0.3	24	22.9	13	89	51	82	74	26	31
September	623.9	617.4	20	632.3	7	5.9	14.3	8.3	9.2	-3.9	14	23.2	1	93	57	84	78	24	1
Oktober	623.3	618.2	14 . 15	631.4	1	1.7	9.8	4.2	5.0	-9.8	31	15.0	2	96	57	87	80	19	6
November	625.9	611.1	3	630.8	16	-6.2	5.2	-3.6	-2.1	-10.3	26	9.6	13	92	50	80	74	29	27
Dezember	623.5	613.2	29	631.5	1	-7.1	0.5	-5.1	-4.2	-21.7	31	6.9	4	95	66	86	82	42	7
Jahr	622.3	600.7	II	632.3	III IX	-1.6	7.6	0.8	1.9	-24.9	II	24.2	VII	89	54	80	74	19	X

St. Moritz

$\lambda = 9° 5'$, $\beta = 46° 30'$, $H_b = $ ca 1853^m, $G = -0.24$ m/m, $h_r = 2.7^m$

Januar	605.3	590.8	1	613.2	29	-11.1	-3.3	-9.8	-8.5	-17.6	13	8.9	29	77	53	73	68	30	27
Februar	605.0	587.3	11	618.0	26	-10.9	-1.4	-8.2	-7.2	-19.1	17	9.2	25	76	48	72	65	21	22
März	613.5	607.2	31	619.8	25	-6.6	4.4	-3.2	-2.2	-16.5	9	9.5	26	80	42	76	66	24	7. 21
April	606.7	597.4	27	611.4	2. 11	1.1	6.7	1.6	2.8	-5.0	15	12.0	22	84	57	85	75	30	30
Mai	609.4	599.1	10	617.0	26	5.4	12.9	5.4	7.3	-5.2	10	21.7	20	74	44	77	65	26	17
Juni	608.1	596.8	2	613.2	20	6.8	11.5	6.8	8.0	-3.9	2	16.9	28	85	61	87	78	31	3
Juli	612.0	605.3	13	618.1	20	10.1	16.2	10.3	11.7	4.8	11	22.0	26	79	47	81	69	17	20
August	613.4	605.7	22	618.7	31	8.7	16.5	9.9	11.2	2.8	28 . 29	24.0	13	83	46	80	70	21	29
September	612.0	605.6	10	620.2	7	6.6	13.2	7.9	8.9	-1.0	14	22.9	1	85	56	83	75	21	1
Oktober	611.2	606.0	29	619.2	1	1.9	8.8	3.7	4.5	-8.2	31	13.1	2	90	58	84	77	16	6
November	613.7	599.2	3	618.3	16	-2.8	5.9	-1.0	0.3	-7.0	26	10.6	13	71	43	64	59	21	26
Dezember	611.3	601.1	29	618.9	1	-4.5	1.2	-3.7	-2.7	-17.1	31	7.5	1	83	60	81	75	42	2. 30
Jahr	610.1	587.3	II	620.2	IX	0.4	7.7	1.6	2.8	-19.1	II	24.0	VIII	80	51	79	70	16	X

Beobachter: J. Stocker

Schuls

Bewölkung 7^{30}	13^{30}	21^{30}	Mittel	Niederschlag Summe	Maximum	Tag	Zahl der Tage ●*	●* ≥1.0	✱	▲	K	≡	heiter	trüb	Windverteilung N	NE	E	SE	S	SW	W	NW	Calmen	1953
5.0	4.0	4.2	4.4	3	2	1	2	1	2	—	—	—	11	8	—	—	—	—	—	6	5	1	81	Januar
4.6	3.9	3.0	3.8	15	10	1	5	3	5	—	—	—	13	7	—	2	—	—	—	5	2	4	71	Februar
2.5	2.0	1.5	2.0	2	2	7	1	1	1	—	—	—	19	1	—	1	8	—	—	10	2	—	72	März
6.0	5.9	6.3	6.1	60	15	27	9	8	4	—	—	—	6	12	—	2	4	—	3	8	4	—	69	April
5.3	4.6	4.5	4.8	20	7	27	6	4	1	—	—	—	18	9	3	1	6	—	2	8	2	3	68	Mai
8.1	7.5	7.5	7.7	68	14	24	18	16	2	—	—	1	1	19	—	4	4	1	1	4	1	—	75	Juni
5.5	5.4	5.6	5.5	133	33	18	20	17	—	—	1	3	7	8	—	2	8	—	1	4	4	2	72	Juli
4.6	5.4	4.7	4.9	65	30	21	11	10	—	—	—	4	8	9	—	1	13	1	1	2	1	1	73	August
5.5	5.0	4.5	5.0	69	21	25	10	8	—	—	—	2	7	10	—	1	2	—	—	3	2	2	80	September
6.8	6.4	5.5	6.2	52	8	29	13	12	—	—	—	3	4	12	—	—	3	—	—	1	2	—	87	Oktober
2.5	2.0	2.2	2.2	0	0	—	0	0	—	—	—	—	19	3	—	2	1	—	—	—	—	—	87	November
4.0	5.1	4.8	4.6	18	12	19	7	5	7	—	—	1	10	7	—	1	—	—	—	—	1	—	91	Dezember
5.0	4.8	4.5	4.8	505	33	VII	102	85	22	—	1	14	113	105	3	17	49	2	8	51	26	13	926	Jahr

Beobachter: Ch. Waldburger

Buffalora (Ofenpaß)

Bewölkung 7^{30}	13^{30}	21^{30}	Mittel	Niederschlag Summe	Maximum	Tag	Zahl der Tage ●*	●* ≥1.0	✱	▲	K	≡	heiter	trüb	Windverteilung N	NE	E	SE	S	SW	W	NW	Calmen	1953
3.0	3.0	2.4	2.8	3	1	31	3	2	3	—	—	—	16	2	4	41	—	3	1	27	—	17	—	Januar
3.4	4.0	2.3	3.2	21	10	1	6	4	6	—	—	—	12	3	7	35	3	5	2	18	—	14	—	Februar
2.4	2.5	1.4	2.1	5	2	31	3	3	2	—	—	—	19	—	8	45	3	8	3	13	1	12	—	März
5.3	6.7	4.9	5.6	102	28	27	11	11	9	—	—	—	3	8	2	14	16	17	3	30	3	5	—	April
3.8	5.3	4.5	4.5	53	15	18	12	12	4	—	—	—	9	6	3	10	6	5	—	36	2	31	—	Mai
6.8	8.0	7.2	7.3	225	38	24	22	22	3	1	-?	—	—	14	1	17	8	22	2	32	1	7	—	Juni
5.6	6.1	5.5	5.7	187	49	18	18	17	3	—	—	—	5	6	—	21	5	18	4	18	1	26	—	Juli
4.2	4.4	2.0	3.5	53	24*	21	9	5	—	—	—	—	12	5	7	20	1	5	—	15	1	42	2	August
4.3	5.0	4.1	4.5	142	30	25	12	12	—	—	—	1	11	7	13	23	1	8	1	19	2	22	1	September
5.8	5.9	5.7	5.8	146	24	17	17	14	5	—	—	3	5	13	9	23	4	25	—	11	2	10	9	Oktober
2.7	2.3	1.9	2.3	2	1	6	3	—	3	—	—	—	19	2	9	41	2	6	—	18	1	12	1	November
3.4	3.9	2.4	3.2	9	3	29	6	2	6	—	—	1	14	3	11	30	1	6	—	23	3	19	—	Dezember
4.2	4.8	3.7	4.2	948	49	VII	122	104	44	1	—	5	125	69	74	320	50	128	16	260	17	217	13	Jahr

Beobachter: B. Minsch u. C. Clavuot

Bever

Bewölkung 7^{30}	13^{30}	21^{30}	Mittel	Niederschlag Summe	Maximum	Tag	Zahl der Tage ●*	●* ≥1.0	✱	▲	K	≡	heiter	trüb	Windverteilung N	NE	E	SE	S	SW	W	NW	Calmen	1953
3.8	3.5	2.9	3.4	1	1	5	2	—	2	—	—	1	13	3	1	6	—	—	—	2	—	4	80	Januar
5.0	4.2	3.6	4.3	8	4	1	3	2	3	—	—	—	11	7	1	6	1	—	1	7	1	3	64	Februar
2.0	1.9	2.2	2.0	2	1	31	2	1	1	—	—	—	18	—	1	10	—	—	3	4	3	1	71	März
6.2	5.8	5.3	5.8	59	19	4	10	6	7	—	—	—	5	9	3	2	—	—	3	20	2	4	56	April
4.5	5.3	5.8	5.2	13	10	27	4	2	1	—	—	1	3	8	5	7	3	1	—	14	7	5	51	Mai
7.4	7.8	7.5	7.6	111	27	8	16	15	1	—	1	--	1	17	1	2	1	—	2	13	6	2	63	Juni
5.1	5.5	5.2	5.3	143	49	18	15	13	—	—	2	2	8	10	1	3	1	—	3	18	2	4	61	Juli
5.0	5.5	5.2	5.2	70	31	21	9	8	—	—	1	2	7	9	1	3	—	—	—	14	7	7	61	August
6.2	5.2	5.1	5.5	87	25	25	10	10	—	—	—	5	6	9	3	2	1	—	2	15	6	—	61	September
6.5	6.5	6.2	6.4	101	17	25	14	14	1	—	—	9	4	13	2	6	—	2	3	8	—	4	68	Oktober
2.0	1.6	1.5	1.7	15	13	2	2	2	2	—	—	—	22	2	1	1	—	—	2	4	1	2	79	November
4.6	5.3	4.3	4.7	17	13	19	4	4	4	—	—	4	11	6	4	3	2	1	1	6	3	—	73	Dezember
4.9	4.8	4.6	4.8	627	49	VII	91	77	22	—	4	24	109	93	24	51	9	4	20	125	38	36	788	Jahr

Beobachter: J. Tuena

St. Moritz

Bewölkung 7^{30}	13^{30}	21^{30}	Mittel	Niederschlag Summe	Maximum	Tag	Zahl der Tage ●*	●* ≥1.0	✱	▲	K	≡	heiter	trüb	Windverteilung N	NE	E	SE	S	SW	W	NW	Calmen	1953
4.1	3.1	2.6	3.3	4	2	5	5	1	5	—	—	—	12	3	5	20	—	—	—	3	2	—	63	Januar
3.2	3.3	2.0	2.8	4	2	1	4	3	4	—	—	—	16	2	9	20	—	—	—	12	—	2	41	Februar
1.6	1.8	1.5	1.6	0	0	—	—	—	—	—	—	—	20	—	2	29	—	—	—	18	—	—	44	März
5.9	6.0	5.2	5.7	67	15	14	10	9	8	—	—	—	7	9	—	25	—	—	—	39	3	3	20	April
4.3	4.7	4.3	4.4	12	6	23	5	2	—	—	2	—	10	5	11	27	—	—	—	23	4	1	27	Mai
8.2	8.2	6.3	7.6	102	18	8	18	15	2	—	—	—	3	17	3	14	—	—	—	28	4	—	41	Juni
4.8	5.3	5.0	5.0	157	62	18	17	17	—	—	2	3	10	9	2	13	—	—	—	33	3	—	42	Juli
4.8	4.6	4.1	4.5	56	26	21	8	6	—	—	1	2	9	7	3	24	1	—	—	22	3	—	40	August
4.3	5.4	4.7	5.5	82	27	25	12	11	—	—	1	4	6	11	3	10	—	—	—	39	1	—	37	September
6.3	6.0	5.7	6.0	134	24	25	15	13	1	—	—	4	7	15	1	11	—	—	—	23	9	—	49	Oktober
2.0	1.5	2.1	1.9	2	1	2	2	1	2	—	—	2	20	1	1	6	—	—	—	19	2	1	61	November
4.6	5.0	3.8	4.5	10	7	19	5	2	5	—	—	1	10	7	1	5	—	—	—	22	3	—	62	Dezember
4.7	4.6	3.9	4.4	630	62	VII	101	80	27	—	6	16	130	86	41	204	1	—	—	281	34	7	527	Jahr

Vicosoprano

$\lambda = 9° 37'$, $\beta = 46° 21'$, $H =$ ca 1065m, $G = -$ mgal, $h_r = 1.5$m

1953	Luftdruck					Luft-Temperatur								Relative Feuchtigkeit					
	Mittel	Minimum	Tag	Maximum	Tag	7^{30}	13^{30}	21^{30}	Mittel	Minimum	Tag	Maximum	Tag	7^{30}	13^{30}	21^{30}	Mittel	Minimum	Tag
Januar	—	—	—	—	—	-1.1	-0.1	-1.0	-0.8	-7.2	21	11.9	29	45	48	47	47	25	27
Februar	—	—	—	—	—	-1.6	2.3	-0.8	-0.2	-9.5	9	13.5	23	47	41	50	46	19	22
März	—	—	—	—	—	2.7	8.4	3.8	4.7	-5.1	9	13.3	7	48	37	53	46	19	20
April	—	—	—	—	—	6.6	10.6	7.3	7.9	1.0	15	14.4	23	66	51	72	63	23	30
Mai	—	—	—	—	—	12.0	16.4	12.1	13.1	3.4	10	23.7	26	49	39	53	47	27	15.16 21
Juni	—	—	—	—	—	12.2	15.0	11.9	12.7	3.1	3	19.7	28	70	61	77	69	27	3
Juli	—	—	—	—	—	15.2	19.5	15.3	16.3	10.3	13	23.7	26	67	56	77	67	32	19.30 31
August	—	—	—	—	—	14.7	19.5	15.5	16.3	10.0	24	23.6	13	66	51	69	62	28	28
September	—	—	—	—	—	12.0	15.8	12.7	13.3	8.1	21	22.2	1	74	67	77	73	21	13
Oktober	—	—	—	—	—	8.1	11.2	8.6	9.1	2.7	10	17.1	5	76	67	80	74	29	15
November	—	—	—	—	—	4.1	5.5	3.9	4.3	-2.3	27	15.5	15	53	55	61	56	18	15
Dezember	—	—	—	—	—	1.6	3.0	1.6	1.9	-6.1	31	6.1	9.10.23	66	62	67	65	29	23.28
Jahr	—	—	—	—	—	7.2	10.6	7.6	8.2	-9.5	II	23.7	V VII	61	53	65	60	18	XI

Splügen-Dorf

$\lambda = 9° 19'$, $\beta = 46° 33'$, $H_b =$ ca 1504m, $G = -0.21$ mgal, $h_r = 0.8$m

Januar	634.6	620.1	1	642.6	20	-11.2	-5.5	-10.6	-9.5	-18.4	13	6.0	30	86	68	86	80	52	28
Februar	634.0	615.4	11	646.6	27	-10.5	-2.1	-8.6	-7.4	-19.0	8	6.4	26	85	58	86	76	42	28
März	642.4	635.9	7	648.3	25	-4.6	4.7	-2.2	-1.1	-16.0	9	10.0	30	80	48	79	69	33	10
April	635.3	624.6	27	640.0	11	3.5	7.6	2.9	4.2	-3.4	15	14.0	22	81	61	86	76	38	22.30
Mai	637.6	628.3	10	644.9	26	6.9	12.7	7.0	8.4	-2.0	10	21.4	19	73	51	78	67	32	19
Juni	636.0	625.0	2	641.2	20	7.8	11.9	7.8	8.8	-1.4	2	17.0	28	87	68	92	82	38	5
Juli	639.7	633.4	13	646.7	20	12.3	16.7	11.7	13.1	4.4	11	23.0	25	81	58	87	75	40	20.22
August	641.3	634.4	21	646.5	31	12.0	16.5	10.9	12.6	5.2	22	24.0	13	78	60	87	75	35	31
September	640.0	633.4	10	648.0	7	9.3	14.4	9.2	10.5	5.0	11.14 29	23.0	1	85	67	90	81	33	1
Oktober	639.5	633.9	15	647.4	1	5.3	9.2	5.5	6.4	-5.4	31	15.0	20	87	71	88	82	35	9
November	642.2	627.5	3	647.4	16	-2.0	4.8	-1.0	0.2	-5.4	25	9.0	9	84	58	83	75	30	26
Dezember	640.0	630.2	29	647.0	1	-1.4	2.0	-1.1	-0.4	-11.4	31	10.0	5	86	75	85	82	46	6
Jahr	638.6	615.4	II	648.3	III	2.3	7.7	2.6	3.8	-19.0	II	24.0	VIII	83	62	86	77	30	XI

Braggio

$\lambda = 9° 7'$, $\beta = 46° 18'$, $H_b = 1332$m, $G = -$ mgal, $h_r = 1.5$m

Januar	—	—	—	—	—	-3.1	2.2	-2.6	-1.5	-9.1	15	13.1	29	59	50	60	56	28	11
Februar	—	—	—	—	—	-3.1	3.2	-2.1	-1.0	-11.9	8	16.1	22	58	44	58	53	24	28
März	—	—	—	—	—	0.8	8.8	1.9	3.3	-6.5	8	14.1	4	59	43	56	53	23	4
April	—	—	—	—	—	4.6	9.0	5.0	5.9	-0.9	14	14.1	25	80	67	80	76	37	15
Mai	—	—	—	—	—	9.3	15.7	10.1	11.3	-0.5	11	24.3	27	63	45	62	57	27	6.7.8
Juni	—	—	—	—	—	10.0	15.3	10.1	11.4	1.5	2	22.3	28	82	73	83	79	28	1
Juli	—	—	—	—	—	13.1	18.9	13.9	15.0	8.9	12	23.5	26	78	65	80	74	35	11
August	—	—	—	—	—	13.2	19.1	14.7	15.4	8.5	23	24.1	12	74	57	74	68	33	4
September	—	—	—	—	—	11.1	16.1	12.0	12.8	6.7	21	23.9	1.2	85	74	84	81	27	13
Oktober	—	—	—	—	—	6.7	11.3	7.4	8.2	0.7	31	16.9	5	84	78	87	83	37	6
November	—	—	—	—	—	2.7	8.5	3.8	4.7	-3.5	26	14.5	16	58	53	60	57	25	15
Dezember	—	—	—	—	—	0.7	4.9	0.8	1.8	-9.1	31	11.3	2	78	67	76	74	34	31
Jahr	—	—	—	—	—	5.5	11.1	6.3	7.3	-11.9	II	24.3	V	72	60	72	68	23	III

Tessin

Bosco-Gurin

$\lambda = 8° 30'$, $\beta = 46° 19'$, $H =$ ca 1510m, $G = -$ mgal, $h_r = 1.5$m

Januar	—	—	—	—	—	-4.6	-2.7	-3.9	-3.8	-10.5	15	8.0	29	54	50	53	52	34	26
Februar	—	—	—	—	—	-4.6	-0.8	-3.5	-3.1	-11.5	8	8.5	23	54	48	53	52	33	17
März	—	—	—	—	—	-0.9	5.6	0.8	1.6	-7.8	9	10.8	31	54	47	56	52	27	7
April	—	—	—	—	—	3.5	7.6	4.3	4.9	-2.0	15	14.8	24	74	62	73	70	32	28
Mai	—	—	—	—	—	8.9	16.0	9.6	11.0	1.6	8	24.4	26	55	40	54	50	26	8
Juni	—	—	—	—	—	9.4	13.2	9.9	10.6	2.8	2	21.0	28	76	65	76	72	33	2
Juli	—	—	—	—	—	13.2	17.7	13.2	14.3	9.0	12	24.0	26	70	58	75	68	32	20
August	—	—	—	—	—	13.0	19.1	13.5	14.8	8.0	23	24.5	13	67	55	68	63	19	10
September	—	—	—	—	—	10.6	14.4	11.0	11.8	6.0	21	23.0	1	79	70	82	77	23	13
Oktober	—	—	—	—	—	6.0	9.4	6.7	7.2	-0.8	31	13.5	1.3	80	74	85	80	37	11
November	—	—	—	—	—	1.1	3.8	1.6	2.2	-4.2	27	9.5	15	57	52	58	56	29	27
Dezember	—	—	—	—	—	-0.4	1.5	-0.4	0.1	-10.0	31	5.6	5	70	62	70	67	31	29
Jahr	—	—	—	—	—	4.6	8.7	5.2	5.9	-11.5	II	24.5	VIII	66	57	67	63	19	VIII

Beobachter: H. Roffler

Vicosoprano

Bewölkung				Niederschlag			Zahl der Tage								Windverteilung								1953
7^{30}	13^{30}	21^{30}	Mittel	Summe	Maximum	Tag	● *	●* ≥1.0	*	▲	⛆	≡	heiter	trüb	N	NE	E	SE	S	SW	W	NW	Calmen	
3.4	3.6	2.9	3.3	1	1	6	1	1	1	—	—	—	11	3	—	64	—	—	—	1	—	—	28	Januar
3.5	4.0	2.5	3.3	8	8	10	1	1	1	—	—	—	9	2	—	46	—	—	—	2	—	1	35	Februar
1.8	2.0	2.3	2.0	1	1	14	1	—	1	—	—	—	18	1	2	45	—	—	—	—	—	—	46	März
6.7	7.2	7.1	7.0	103	30	4	11	11	1	—	1	—	—	14	—	23	—	—	—	—	—	—	67	April
3.7	5.1	5.2	4.7	14	4	20	7	6	—	—	2	—	∀	2	—	45	—	—	—	3	—	—	45	Mai
7.3	8.6	7.4	7.8	178	39	24	21	18	—	—	-?	—	—	15	—	22	—	—	—	—	—	—	68	Juni
5.3	5.8	5.4	5.5	230	102	18	12	12	—	—	1	—	6	7	1	20	—	—	—	—	—	2	70	Juli
5.0	5.0	5.1	5.0	83	41	21	12	8	—	—	—	—	5	6	1	30	—	—	—	—	—	1	61	August
6.0	6.6	6.5	6.4	175	31	25	16	14	—	—	1	—	5	13	—	18	—	—	—	—	—	—	72	September
6.7	6.4	6.2	6.4	283	35	25	18	16	—	—	1	—	4	14	—	18	—	—	—	—	—	—	75	Oktober
2.3	2.7	2.1	2.4	13	13	2	1	1	—	—	—	—	19	3	—	27	—	—	—	—	—	—	63	November
5.4	5.9	5.3	5.5	22	12	19	6	4	2	—	—	3	5	8	—	25	—	—	—	—	—	—	68	Dezember
4.8	5.2	4.8	4.9	1111	102	VII	107	92	6	—	6	3	89	88	4	383	—	—	—	6	—	4	698	Jahr

Beobachter: J. Engi

Splügen-Dorf

4.6	3.2	3.2	3.7	20	5	31	7	7	7	—	—	—	13	4	—	—	15	—	—	—	18	—	60	Januar
4.2	4.4	3.9	4.2	19	12	1	3	3	3	—	—	—	12	5	—	—	13	—	—	—	20	—	51	Februar
2.2	2.5	1.5	2.1	3	3	7	1	1	1	—	—	—	20	2	—	—	20	—	—	—	19	—	54	März
6.9	7.3	5.9	6.7	37	9	27	10	10	5	—	—	—	3	13	—	—	33	—	—	—	28	—	29	April
4.6	5.9	5.2	5.2	20	?	—	5	5	1	—	1	—	5	5	—	—	47	—	—	—	15	—	31	Mai
8.7	8.8	7.9	8.5	212	54	24	17	17	1	—	—	—	1	21	—	—	24	—	—	—	26	—	40	Juni
7.4	6.6	6.3	6.8	142	*39	9	15	15	—	—	3	—	4	14	—	—	25	—	—	—	34	—	34	Juli
6.1	5.9	4.3	5.4	53	*29	21	8	8	—	—	3	—	5	7	—	—	30	—	—	—	16	—	47	August
6.8	5.8	5.9	6.2	135	*35	25	13	13	—	—	—	—	5	13	—	—	30	—	—	—	35	—	25	September
7.1	6.8	6.1	6.7	169	38	26	14	14	1	—	—	—	3	14	—	—	14	—	—	—	34	—	45	Oktober
2.4	2.2	1.7	2.1	1	1	2	1	0	1	—	—	—	21	3	—	—	6	—	—	—	20	—	64	November
5.2	5.5	5.5	5.4	3	1	29	4	2	4	—	—	—	9	10	—	—	16	—	—	—	31	—	46	Dezember
5.5	5.4	4.8	5.2	814	54	VI	98	95	24	—	7	—	101	111	—	—	273	—	—	—	296	—	526	Jahr

Beobachter: M. Berera

Braggio

5.2	3.5	2.8	3.8	0	0	—	—	—	—	—	—	3	10	4	6	9	1	6	—	—	—	6	65	Januar
3.5	4.7	2.0	3.4	11	11	10	1	1	1	—	—	1	11	3	5	8	—	—	—	1	—	1	69	Februar
2.0	3.4	0.6	2.0	0	0	—	—	—	—	—	—	1	17	—	1	7	—	10	4	9	—	5	57	März
6.8	7.8	6.0	6.9	79	?	—	9	9	1	—	—	6	3	15	—	8	3	8	1	3	—	5	62	April
3.4	5.6	3.3	4.1	15	7	1	4	4	—	—	3	2	7	1	7	7	—	9	4	6	2	7	51	Mai
7.9	8.9	7.0	7.9	282	57	24	14	14	—	—	2	4	—	16	1	3	4	11	6	3	—	—	62	Juni
6.2	6.7	5.7	6.2	189	54	18	14	13	—	—	4	2	6	15	3	4	5	7	12	3	—	2	57	Juli
3.3	5.8	4.6	4.6	115	84	21	8	8	—	—	1	5	8	6	7	8	7	8	13	4	—	2	44	August
6.4	6.8	6.0	6.4	200	50	25	13	13	—	—	1	11	5	13	1	7	6	15	8	1	—	1	51	September
6.9	7.3	6.5	6.9	354	52	26	16	16	1	—	—	5	2	16	—	10	2	8	7	4	—	1	61	Oktober
2.4	3.3	3.1	2.9	16	15	2	2	2	—	—	—	2	16	4	1	6	—	1	1	3	—	1	77	November
5.8	6.0	5.2	5.7	24	11	19	5	5	3	—	—	5	7	11	10	—	—	3	1	—	—	1	78	Dezember
5.0	5.8	4.4	5.1	1285	84	VIII	86	85	6	—	11	47	92	104	42	77	28	86	57	37	2	32	734	Jahr

Tessin

Beobachter: Frau R. Della Pietra

Bosco-Gurin

4.1	3.5	3.6	3.7	8	?	—	3	3	3	—	—	—	15	8	—	—	—	—	—	—	5	—	88	Januar
4.7	4.4	3.1	4.1	15	6	1	4	4	4	—	—	—	11	5	—	—	—	—	—	—	4	—	80	Februar
2.1	4.0	0.9	2.3	2	2	14	1	1	1	—	—	3	17	0	—	—	—	—	—	—	4	—	89	März
6.4	8.6	6.3	7.1	231	—	—	13	13	5	—	—	3	1	17	—	—	—	—	—	—	5	—	85	April
4.1	6.2	4.3	4.9	25	11	1	4	4	—	—	1	1	5	2	—	—	—	—	—	—	4	—	89	Mai
8.5	9.5	8.7	8.9	349	*74	29	21	18	3	—	—	7	—	21	—	—	—	—	—	—	2	—	88	Juni
5.6	7.5	6.9	6.7	188	?	—	16	16	—	—	5	9	3	15	—	—	—	—	—	—	2	—	91	Juli
4.3	5.8	4.7	4.9	34	13	21	8	7	—	—	2	?10	5	7	—	—	—	—	—	—	7	—	86	August
7.5	7.9	6.2	7.2	322	58	28	16	15	1	—	1	?14	3	17	2	—	—	3	—	—	—	—	85	September
7.0	7.4	7.5	7.3	542	—	—	19	19	1	—	—	17	3	20	—	—	1	—	1	—	1	—	90	Oktober
2.2	3.5	2.3	2.7	15	13	2	2	2	2	—	—	2	20	4	—	1	—	—	—	—	—	—	89	November
6.2	6.3	3.9	5.5	24	8	7	7	7	5	—	—	2	7	10	1	1	—	—	2	5	4	1	79	Dezember
5.2	6.2	4.9	5.4	1755	*74	VI	114	109	25	—	9	68	90	126	3	2	1	3	3	5	38	1	1039	Jahr

Bellinzona

$\lambda = 9° 1'$, $\beta = 46° 12'$, $H_b = 229.8^m$, $G = -0.02$ $^m/_m$, $h_r = 1.6^m$.

1953	Luftdruck					Luft-Temperatur								Relative Feuchtigkeit					
	Mittel	Minimum	Tag	Maximum	Tag	7^{30}	13^{30}	21^{30}	Mittel	Minimum	Tag	Maximum	Tag	7^{30}	13^{30}	21^{30}	Mittel	Minimum	Tag
Januar	741.6	723.2	1	752.1	20	−1.1	4.3	0.2	0.9	−6.2	15	9.8	26	76	54	72	67	24	26
Februar	740.8	721.9	11	756.1	26	−0.5	6.7	2.3	2.7	−5.5	9	13.6	28	72	47	64	61	23	1
März	749.4	739.9	7	756.0	25	3.9	14.0	8.9	8.9	−0.9	9	18.5	5	68	39	50	52	17	10
April	740.1	728.7	27	745.4	12	10.0	16.1	12.7	12.9	5.8	11	21.6	22	78	54	64	65	22	29
Mai	740.5	731.7	31	747.4	26	14.4	23.3	18.1	18.5	6.7	10	30.2	25	66	39	50	52	27	10. 27
Juni	738.8	727.4	2	744.9	20	15.1	20.5	17.0	17.4	9.6	4	27.2	28	79	58	72	70	27	1
Juli	741.5	734.8	13	749.1	20	18.3	25.9	20.9	21.5	14.1	14	29.4	26	76	49	70	65	26	11. 19
August	743.1	734.4	22	748.8	5	17.3	25.8	20.6	21.1	11.5	29	30.6	6	77	48	71	65	25	23
September	742.8	734.1	10	754.3	7	15.6	20.9	17.3	17.8	10.6	21	27.6	2. 3	79	61	77	72	33	11
Oktober	744.1	737.3	15	751.3	1	10.6	15.9	12.3	12.8	3.1	31	23.1	5	90	64	86	80	32	30
November	748.9	732.1	3	756.2	27	2.4	9.9	4.6	5.4	−1.2	27	15.8	6	90	52	81	74	25	7
Dezember	747.3	736.0	29	754.5	1	3.7	7.4	4.6	5.1	−1.6	28	11.1	1	85	66	81	77	21	31
Jahr	743.2	721.9	II	756.2	XI	9.1	15.9	11.6	12.1	−6.2	I	30.6	VIII	78	53	70	67	17	III

Locarno-Muralto

$\lambda = 8° 48'$, $\beta = 46° 10'$, $H_b = 244.4^m$, $G = 0.02$ $^m/_m$, $h_r = 1.2^m$

Januar	740.3	722.8	1	750.5	20	−0.2	4.6	1.1	1.6	−4.2	15	9.0	26	70	56	67	64	30	9.11.26
Februar	739.6	720.9	11	754.7	26	0.3	7.0	3.3	3.5	−4.0	9	12.6	23	66	46	59	57	23	8
März	748.2	738.5	7	754.7	25	5.0	13.9	8.8	9.1	0.2	9	17.8	10	57	38	47	47	20	8
April	738.6	727.2	27	744.2	12	10.5	15.5	12.3	12.7	6.4	14	20.4	25	80	56	65	67	20	30
Mai	738.9	729.6	31	746.2	26	14.5	22.7	17.1	17.8	7.4	11	29.2	27	67	39	51	52	24	10
Juni	737.5	725.3	2	743.3	20	15.4	20.0	16.2	17.0	10.2	3	25.6	28	79	59	73	70	25	3
Juli	740.2	734.1	13	747.8	20	18.6	24.3	19.8	20.6	15.0	12	28.0	26	83	54	76	71	26	19
August	741.9	732.4	22	747.6	5. 31	18.3	24.7	19.9	20.7	14.0	23. 24 29	28.4	13	83	52	73	69	32	22
September	741.6	732.2	10	753.0	7	15.9	20.1	16.9	17.5	11.2	21	26.6	3	82	66	79	76	25	12
Oktober	742.8	736.3	15	750.0	1	11.4	15.4	12.8	13.1	4.4	31	21.4	2	85	71	82	79	42	10
November	747.5	730.9	3	754.7	25	4.2	9.8	6.3	6.6	0.2	27	14.0	7	79	62	73	71	34	7
Dezember	745 9	734.4	30	753.1	1	4.9	7.8	5.4	5.9	0.4	31	10.0	1. 2	79	74	76	76	23	30
Jahr	741.9	720.9	II	754.7	II/III XI	9.9	15.5	11.7	12.2	−4.2	I	29.2	V	76	56	68	67	20	III IV

Locarno-Muralto: Am 16. März wurde das Barometer 5,7 m höher gehängt. Alle Luftdruckwerte beziehen sich auf die obige neue Höhe.

Locarno-Monti

$\lambda = 8° 48'$, $\beta = 46° 10'$, $H_b = 378.9^m$, $G = -0.01$ $^m/_m$, $h_r = 1.2^m$

Januar	728.0	710.5	1	738.4	20	0.5	4.2	1.7	2.0	−3.6	15	9.4	26	60	55	60	58	27	26
Februar	727.5	708.8	11	742.5	26	1.0	6.5	3.7	3.7	−4.1	9	12.7	23	57	45	51	51	24	1
März	736.1	726.2	7	742.5	25	5.7	12.4	9.6	9.3	0.0	9	17.8	5	50	39	41	43	21	10
April	727.1	715.5	27	732.4	2	10.0	14.4	12.6	12.4	6.3	14	18.9	23	74	60	61	65	27	15
Mai	727.6	718.2	31	734.5	26	14.8	21.0	17.7	17.8	7.3	11	28.2	27	61	42	46	50	27	31
Juni	726.1	713.7	2	732.1	20	15.0	19.1	16.9	17.0	10.5	4	24.4	28	76	60	65	67	29	1. 3
Juli	728.9	714.9	13	736.2	20	18.3	23.3	20.6	20.7	14.9	13	26.8	26	78	54	64	65	27	19
August	730.5	721.8	22	736.3	31	18.0	23.3	20.8	20.7	13.8	24	26.8	13	77	54	62	64	27	22
September	730.2	721.3	10	741.2	7	15.9	19.3	17.3	17.4	11.9	21	25.2	2	80	67	74	74	35	11
Oktober	731.2	724.5	15	738.4	1	11.3	14.5	13.0	12.9	4.5	31	20.2	2	84	72	79	78	42	31
November	735.6	719.3	3	742.4	25	4.8	9.2	6.8	6.9	0.2	27	13.7	7	70	60	64	65	25	6
Dezember	734.1	723.5	29	740.9	1	5.0	7.3	5.5	5.8	0.7	28	10.7	1	75	70	74	73	23	30
Jahr	730.2	708.8	II	742.5	II III	10.0	14.5	12.2	12.2	−4.1	II	28.2	V	70	57	62	63	21	III

Lugano

$\lambda = 8° 57'$, $\beta = 46° 0'$, $H_b = 276.2^m$, $G = -0.01$ $^m/_m$, $h_r = 1.7^m$

Januar	737.1	719.5	1	747.9	20	−1.0	6.5	0.3	1.5	−5.2	15	12.4	26	79	55	77	70	27	11. 26
Februar	736.6	717.9	11	751.8	26	−0.4	9.0	2.8	3.5	−5.2	9	16.8	25	75	49	65	63	24	1
März	745.2	734.9	7	751.6	25	3.4	16.0	7.8	8.7	−0.8	9. 10	20.8	25	71	41	58	57	21	10
April	736.0	724.2	27	741.7	12	9.5	17.1	12.1	12.7	5.8	17	22.8	21	81	56	71	69	26	29
Mai	736.4	726.9	31	743.4	26	14.2	24.4	16.8	18.1	7.0	11	31.8	27	71	44	59	58	27	5. 31
Juni	734.8	723.0	2	741.0	20	15.1	20.3	16.3	17.0	9.0	3	27.6	28	81	64	77	74	29	1
Juli	737.5	731.6	13	745.0	20	17.9	25.8	20.7	21.3	15.0	13. 14	30.0	26	82	57	75	71	31	11. 19
August	739.3	730.2	22	745.1	31	17.5	26.4	20.3	21.1	13.4	29	29.8	13	81	56	72	70	31	22
September	739.1	729.7	10	750.2	7	16.0	22.0	17.2	18.1	10.8	21	29.0	2	84	64	84	77	33	11
Oktober	740.0	733.1	15	747.5	1. 2	11.4	16.8	12.5	13.3	3.8	31	24.2	2	90	70	90	83	45	30
November	744.7	728.0	3	751.7	25. 26	4.2	11.9	5.5	6.8	−0.4	26	17.2	7	86	58	84	76	31	6
Dezember	743.1	732.0	29	749.9	1	5.0	8.8	5.4	6.2	−0.8	28	13.4	1	84	67	84	78	26	30
Jahr	739.2	717.9	II	751.8	II	9.4	17.1	11.5	12.4	−5.2	I II	31.8	V	80	57	75	71	21	III

Beobachter: A. Lienhard

Bellinzona

Bewölkung 7^{30}	13^{30}	21^{30}	Mittel	Niederschlag Summe	Maximum	Tag	Zahl der Tage ● *	●* ≥1.0	*	▲	K	≡	heiter	trüb	Windverteilung N	NE	E	SE	S	SW	W	NW	Calmen	1953
4.5	3.6	3.2	3.8	5	2	6	3	3	2	—	—	3	9	3	19	7	—	—	7	1	—	—	59	Januar
3.5	4.3	3.0	3.6	7	7	10	1	1	1	—	—	1	10	2	14	16	—	—	10	7	—	—	37	Februar
2.5	3.3	1.8	2.5	0	0	—	—	—	—	—	—	—	16	—	17	6	—	—	22	9	—	—	39	März
6.8	7.7	7.0	7.2	98	19	5	13	11	—	—	1	?6	1	16	5	15	—	—	22	15	—	—	33	April
4.5	5.8	5.5	5.3	8	3	14	6	4	—	—	3	1	4	5	15	22	—	—	23	10	—	—	23	Mai
7.3	8.3	7.1	7.6	319	68	18	21	18	—	1	2	?8	1	16	8	22	—	—	17	4	—	—	39	Juni
5.6	6.1	4.8	5.5	198	100	18	14	13	—	1	6	3	7	9	14	11	—	—	27	5	—	—	36	Juli
4.2	5.0	4.4	4.5	129	100	21	8	7	—	—	1	1	8	5	22	10	—	—	20	9	—	—	32	August
7.1	6.6	7.2	7.0	240	67	25	14	13	—	—	3	6	3	14	10	12	—	—	20	7	—	—	41	September
6.6	6.9	7.2	6.9	351	42	18	18	17	—	—	—	13	2	15	17	16	—	—	9	6	—	—	45	Oktober
3.4	3.4	3.5	3.4	13	11	2	2	2	—	—	—	4	13	6	10	9	—	—	5	2	—	—	64	November
6.0	6.8	6.0	6.3	20	8	19	7	4	—	—	—	?12	5	12	16	7	—	—	2	—	—	—	68	Dezember
5.2	5.6	5.1	5.3	1388	100	VII	107	93	3	2	16	58	79	103	167	153	—	—	184	75	—	—	516	Jahr

Beobachter: Frau A. Mariani

Locarno-Muralto

7^{30}	13^{30}	21^{30}	Mittel	Summe	Maximum	Tag	● *	≥1.0	*	▲	K	≡	heiter	trüb	N	NE	E	SE	S	SW	W	NW	Calmen	
3.4	3.0	2.4	2.9	7	4	3	3	2	—	—	—	—	16	3	—	—	1	1	—	—	1	—	90	Januar
3.0	2.8	2.0	2.6	6	6	10	1	1	1	—	—	—	15	2	—	—	1	1	1	1	2	—	78	Februar
1.4	1.8	1.1	1.4	0	0	—	—	—	—	—	—	—	23	—	1	1	1	—	5	3	9	5	68	März
5.9	6.3	6.8	6.3	159	59	4	14	11	—	—	1	—	4	13	1	—	1	—	5	2	6	2	73	April
2.3	3.3	3.6	3.1	12	5	1	3	3	—	—	2	—	11	1	6	1	—	2	10	7	7	5	55	Mai
6.6	7.3	6.4	6.8	377	101	29	17	15	—	—	4	—	1	14	—	1	—	—	3	4	3	—	79	Juni
4.7	4.7	5.1	4.8	261	68	9	14	14	—	—	6	—	8	7	—	—	—	1	1	4	9	—	78	Juli
3.1	3.1	5.3	3.8	124	102	21	8	5	—	—	2	—	11	3	2	—	1	—	5	10	9	—	66	August
6.5	5.9	6.5	6.3	302	105	19	15	14	—	—	2	—	6	13	—	—	—	—	4	5	5	—	76	September
6.3	6.7	7.7	6.9	472	86	29	18	16	—	—	—	—	3	15	—	—	—	—	1	1	5	—	86	Oktober
2.6	3.0	3.8	3.1	18	14	2	3	3	—	—	—	—	15	4	—	—	—	—	—	—	2	—	88	November
6.3	6.0	5.1	5.8	22	8	7	6	4	—	—	—	1	6	12	2	—	2	—	—	1	—	—	88	Dezember
4.3	4.5	4.6	4.5	1760	105	IX	102	88	1	—	17	1	119	87	12	3	7	5	35	38	58	12	925	Jahr

Beobachter: Osservatorio Meteorologico Ticinese

Locarno-Monti

7^{30}	13^{30}	21^{30}	Mittel	Summe	Maximum	Tag	● *	≥1.0	*	▲	K	≡	heiter	trüb	N	NE	E	SE	S	SW	W	NW	Calmen	
4.6	3.7	3.3	3.9	4	2	3	2	2	2	—	—	—	11	5	16	8	10	8	—	9	7	7	28	Januar
3.6	3.8	1.6	3.0	5	5	10	1	1	1	—	—	1	12	2	20	12	4	6	5	7	6	9	15	Februar
2.5	3.3	1.0	2.3	0	0	—	—	—	—	—	—	—	17	—	8	6	7	1	3	16	16	8	28	März
6.6	6.6	6.6	6.6	153	58	4	14	12	—	—	1	3	3	13	4	12	6	6	0	10	13	14	25	April
4.2	4.9	2.9	4.0	9	4	13	6	2	—	—	—	—	6	2	10	13	13	5	3	16	17	10	6	Mai
7.3	7.9	6.7	7.3	360	95	18	18	14	—	—	3	5	—	14	7	9	8	4	4	6	8	11	33	Juni
5.4	5.3	5.1	5.3	238	52	9	15	13	—	—	6	0	5	7	13	8	9	5	4	6	16	12	20	Juli
4.0	4.1	5.4	4.5	114	94	21	8	3	—	—	1	0	9	4	10	6	5	12	3	19	11	10	17	August
6.9	6.4	6.1	6.5	287	96	19	14	13	—	—	3	6	6	13	13	11	4	6	1	10	9	7	29	September
6.7	6.8	7.0	6.8	415	74	29	18	16	—	—	—	9	2	15	15	7	5	4	2	6	5	7	42	Oktober
4.0	4.4	3.5	4.0	15	12	2	3	2	—	—	—	1	11	5	21	5	2	12	3	8	5	9	25	November
6.9	7.0	5.4	6.4	19	7	7	4	3	—	—	—	4	4	15	13	13	7	6	2	7	2	6	37	Dezember
5.2	5.4	4.6	5.1	1619	96	IX	103	81	3	—	14	29	86	95	150	110	80	75	30	120	115	110	305	Jahr

Beobachter: G. Vicari

Lugano

7^{30}	13^{30}	21^{30}	Mittel	Summe	Maximum	Tag	● *	≥1.0	*	▲	K	≡	heiter	trüb	N	NE	E	SE	S	SW	W	NW	Calmen	
4.1	3.1	3.3	3.5	7	3	3	3	3	3	—	—	1	13	6	54	2	2	2	19	2	6	4	2	Januar
3.1	3.2	2.0	2.8	10	8	10	2	2	2	—	—	—	16	3	49	3	4	5	11	2	3	5	2	Februar
1.3	2.0	0.7	1.3	0	0	—	—	—	—	—	—	—	23	—	48	3	1	3	30	2	2	4	—	März
5.9	6.3	6.8	6.3	124	24	26	12	11	—	—	2	—	5	13	42	1	3	1	23	3	10	5	2	April
3.1	3.1	3.6	3.3	26	9	21	6	5	—	—	2	—	10	2	47	4	3	2	29	1	5	2	—	Mai
6.5	7.3	5.9	6.6	369	88	24	22	19	—	1	5	—	1	11	38	4	8	5	18	4	6	7	—	Juni
5.4	4.9	4.6	5.0	151	30	12	12	11	—	1	7	—	9	7	49	6	2	1	24	—	3	6	2	Juli
3.1	2.7	3.8	3.2	112	79	21	8	7	—	—	2	—	14	4	55	2	3	1	25	—	5	2	—	August
5.9	5.4	5.6	5.6	219	41	19	15	13	—	—	2	—	8	13	41	3	5	2	22	1	8	7	1	September
6.3	6.4	6.5	6.4	412	56	18	18	16	—	—	—	—	4	14	47	1	3	—	18	3	7	12	2	Oktober
4.5	3.1	3.6	3.7	13	11	2	3	2	—	—	—	4	12	5	51	—	2	2	23	1	5	6	—	November
6.7	6.6	6.2	6.5	23	8	19	8	4	—	—	—	3	5	15	53	1	3	6	11	2	4	4	9	Dezember
4.7	4.5	4.4	4.5	1466	88	VI	109	93	5	2	20	8	120	93	574	30	39	30	253	21	64	64	20	Jahr

Muri (Aargau)

$\lambda = 8° 20'$, $\beta = 47° 16'$, $H_b = 483^m$, $h_r = 0.9^m$ — Beobachter: E. Hunzinger

1953	Luft-Temperatur								Relative Feuchtigkeit						Bewölkung				Niederschlag			Zahl der Tage							
	7^{30}	13^{30}	21^{30}	Mittel	Minimum	Tag	Maximum	Tag	7^{30}	13^{30}	21^{30}	Mittel	Minim.	Tag	7^{30}	13^{30}	21^{30}	Mitt.	Summe	Maxim.	Tag	• *	≥ 1.0	*	▲	K	≡	helle	trübe
Jan.	−3.7	−1.1	−3.2	−2.8	−9.4	12	5.4	29	92	80	87	86	64	31	9.4	8.9	8.5	8.9	24	5	31	10	7	10	—	—	6	1	25
Febr.	−2.2	1.7	−1.0	−0.6	−14.4	8	7.0	28	89	75	84	83	54	11	8.5	7.9	6.5	7.6	20	7	10	13	4	12	—	—	8	2	15
März	0.8	10.2	4.2	4.9	−4.2	3	19.2	30	90	52	74	72	38	21.30	4.5	3.5	2.5	3.5	6	4	31	4	2	2	—	—	4	13	5
April	6.6	14.1	8.7	9.5	1.0	16	21.2	4	91	59	81	77	36	4	6.2	5.3	4.4	5.3	86	14	14	14	9	3	1	—	3	6	8
Mai	11.4	19.5	13.5	14.5	1.2	11	29.1	26	85	53	73	70	33	11.26	5.3	5.4	4.8	5.2	56	21	30	11	9	1	—	—	1	8	7
Juni	13.3	19.0	14.2	15.2	5.8	2	26.4	30	89	63	88	80	39	5	8.0	7.6	7.3	7.6	196	35	25	19	16	—	—	3	1	1	18
Juli	16.1	22.0	17.0	18.0	11.6	12	28.0	22	90	60	86	79	36	22	6.2	6.6	6.6	6.5	141	22	3	20	19	—	—	5	3	4	13
Aug.	13.9	22.1	16.3	17.2	9.4	5	29.2	13	91	58	82	77	44	19	5.2	5.3	3.6	4.7	50	14	16	11	8	—	—	1	2	8	7
Sept.	12.2	18.8	13.6	14.6	6.8	23	27.8	2	91	65	86	81	37	9	6.2	5.4	4.5	5.4	79	16	19	10	9	—	—	—	4	8	9
Okt.	8.4	13.2	9.1	10.0	−1.5	31	17.8	17	96	75	93	88	54	9	9.0	7.0	6.0	7.3	29	14	29	9	7	—	—	—	10	—	12
Nov.	1.0	4.4	2.0	2.4	−2.0	11.28	9.8	5	97	84	96	92	64	7	8.9	8.5	8.2	8.5	30	13	5	5	4	—	—	—	18	2	24
Dez.	0.5	2.8	1.1	1.4	−4.4	31	10.6	1	95	88	93	92	57	25	8.9	9.5	8.4	8.9	27	7	19	9	5	4	—	—	19	1	24
Jahr	6.5	12.2	8.0	8.7	−14.4	II	29.2	VIII	91	68	85	81	33	V	7.2	6.7	5.9	6.6	744	35	VI	135	99	32	1	9	79	54	167

Rorschach

$\lambda = 9° 30'$, $\beta = 47° 29'$, $H = 445^m$, $h_r = 1.4^m$ — Beobachter: Seminar: J. Schenk

Jan.	−2.8	−0.9	−2.2	−2.0	−7.0	23	5.6	29	87	74	83	81	55	13	9.2	8.0	8.1	8.4	51	18	25	10	8	10	—	—	10	—	21
Febr.	−1.8	1.1	−0.5	−0.4	−9.4	8	12.0	10	85	73	79	79	33	10	8.7	7.8	6.5	7.7	47	12	2	9	9	8	—	—	10	1	14
März	1.5	7.7	4.4	4.5	−5.2	9	17.0	30	83	50	65	66	32	30	4.9	3.0	2.2	3.4	16	5	31	5	5	2	—	—	2	16	5
April	7.0	12.9	9.1	9.5	1.6	15	21.0	4	83	57	74	71	25	18	6.2	4.7	5.1	5.3	167	25	10	15	15	2	—	—	—	7	9
Mai	11.7	17.2	12.9	13.7	1.6	10	25.8	26	80	50	68	66	35	4.11.12	5.8	4.7	5.0	5.2	159	39	27	15	14	1	—	2	1	7	8
Juni	13.8	18.1	14.2	15.1	5.2	2	25.0	30	81	60	79	73	37	6	8.2	7.6	7.3	7.7	205	26	14	23	22	—	2	2	—	1	16
Juli	17.0	20.9	17.2	18.1	12.5	10.11	25.7	17	76	53	72	67	27	22	6.5	5.4	6.8	6.2	212	29	18	21	21	—	—	4	1	6	13
Aug.	15.9	20.5	16.8	17.5	11.2	24	26.0	14	72	53	68	64	30	19	5.1	4.1	4.4	4.5	73	20	21	8	7	—	—	—	—	9	7
Sept.	13.1	18.1	14.0	14.8	7.9	15	25.4	9	82	58	76	72	31	9	5.3	5.0	5.2	5.2	116	29	28	10	9	—	—	—	—	8	9
Okt.	9.3	12.8	9.7	10.4	4.1	30	18.4	3	91	71	88	83	46	8	8.7	5.6	5.7	6.7	61	27	29	8	7	—	—	—	7	1	12
Nov.	2.9	4.9	3.6	3.7	−0.6	25.26	10.6	1	92	81	91	88	60	2	8.4	7.3	6.9	7.5	36	21	6	4	4	—	—	—	15	3	18
Dez.	1.7	3.2	1.9	2.2	−4.8	31	10.1	1	90	84	89	88	60	28	9.4	8.9	9.0	9.1	37	10	19	7	7	5	—	—	19	0	25
Jahr	7.4	13.8	8.4	8.9	−9.4	II	26.0	VIII	84	64	78	75	25	IV	7.2	6.0	6.0	6.4	1180	39	V	135	128	28	2	8	65	59	157

Rorschach: Die bisher angegebene Höhe ist zu streichen.

Schwäbrig (ob Gais)

$\lambda = 9° 29'$, $\beta = 47° 23'$, $H_b = 1156^m$, $h_r = 1.7^m$ — Beobachter: Frl. H. Hugentobler

Jan.	−5.6	−4.0	−5.5	−5.2	−13.4	15	8.0	31	—	—	—	—	—	—	7.0	6.7	6.1	6.6	74	23	25	11	9	11	—	—	9	6	14
Febr.	−4.4	−2.0	−4.1	−3.6	−14.0	8	7.0	27	—	—	—	—	—	—	7.6	6.8	6.1	6.8	68	19	2	10	9	10	—	—	5	6	15
März	1.0	4.9	1.5	2.2	−9.5	9	14.0	30	71	64	73	69	31	4	4.5	3.5	2.8	3.6	32	9	7	7	6	4	—	—	1	12	4
April	5.0	8.6	5.0	5.9	−3.0	15	14.4	3.4	82	70	83	78	40	30	6.2	5.9	5.0	5.7	191	37	14	12	11	7	1	1	?2	8	11
Mai	9.4	12.8	9.0	10.0	−1.6	10	24.0	18	82	73	80	78	42	10	5.2	5.3	5.4	5.3	184	37	27	17	15	5	-	5	6	7	10
Juni	10.3	13.3	10.3	11.1	0.0	2	21.2	8	88	82	89	86	43	5	8.3	8.2	7.9	8.1	226	31	15	22	20	2	—	1	7	1	21
Juli	13.6	16.3	13.3	14.1	6.2	11	23.0	17.26	85	78	87	83	40	21	6.6	6.5	7.1	6.7	259	40	18	18	18	—	1	3	16	6	16
Aug.	12.9	16.3	13.2	13.9	6.8	22	24.0	14	*83	*78	*82	*81	?	—	6.1	5.1	3.8	5.0	86	29	21	10	9	—	—	—	4	6	9
Sept.	10.9	14.3	10.8	11.7	4.0	29	22.6	2	84	75	83	81	46	27	5.4	6.0	4.8	5.4	119	34	28	10	9	—	—	—	3	9	8
Okt.	7.1	10.1	7.7	8.1	0.4	30	17.0	3	84	77	82	81	48	13	6.5	6.4	5.3	6.1	65	24	29	8	8	1	—	—	10	3	11
Nov.	3.7	5.8	3.9	4.3	−1.6	11	9.2	28.29	63	65	66	65	31	13.27	3.0	3.0	1.9	2.6	48	29	6	4	4	1	—	—	1	18	3
Dez.	2.5	4.0	2.3	2.8	−10.8	31	13.7	2	79	74	77	76	34	7	5.0	5.2	3.7	4.8	56	22	29	8	7	8	—	—	2	10	8
Jahr	5.5	8.4	5.6	6.3	−14.0	II	24.0	V VIII	–	—	—	–	—	–	6.0	5.7	5.0	5.6	1408	40	VII	137	125	49	2	10	?66	92	130

Ebnat

$\lambda = 9° 8'$, $\beta = 47° 16'$, $H_b = 649^m$, $h_r 1.9^m$ — Beobachter: Frl. M. Kuratle

Jan.	−6.2	−2.0	−5.2	−4.7	−14.6	22	8.0	28	90	78	90	86	50	31	6.9	5.5	6.0	6.1	53	18	25	10	7	10	—	—	—	4	11
Febr.	−4.1	1.0	−3.0	−2.3	−10.8	17	6.8	20.21	92	75	90	86	40	10	6.8	5.4	6.2	6.1	102	26	1	9	9	9	—	—	—	4	9
März	−1.1	8.4	1.3	2.5	−10.2	9	17.2	30	93	56	84	78	34	4.30	4.1	2.6	2.8	3.2	35	13	31	6	5	3	—	—	—	14	4
April	5.9	12.4	7.1	8.1	0.2	15	20.0	4	88	62	80	77	40	4.25	5.3	5.3	5.0	5.2	143	34	27	15	11	2	—	—	—	8	8
Mai	12.1	16.9	11.1	12.8	1.2	10	28.2	19	74	57	80	70	30	16	4.4	4.9	4.5	4.6	130	32	30	14	11	3	—	2	—	6	4
Juni	13.2	16.4	12.9	13.8	3.8	2. 3	24.4	30	81	68	86	78	42	4	6.8	7.2	7.3	7.1	257	60	25	20	20	1	—	1	—	2	13
Juli	16.7	20.7	15.4	17.1	11.0	10	28.6	16	80	65	87	77	38	25	5.5	5.7	6.0	5.7	235	36	29	18	16	—	—	2	—	6	9
Aug.	14.2	20.0	14.8	16.0	8.4	8	27.8	13	84	60	87	77	40	29	5.1	4.7	4.2	4.7	62	14	21	10	8	—	—	—	—	6	6
Sept.	10.8	17.0	12.3	13.2	6.2	21	26.0	2	89	65	88	81	38	2	5.1	4.6	4.6	4.8	88	20	28	11	8	—	—	—	—	8	4
Okt.	6.9	12.8	8.1	9.3	−2.0	31	18.0	3	93	73	92	86	50	31	6.0	5.4	5.7	5.7	43	14	29	7	6	—	—	—	–?	6	11
Nov.	−1.4	6.1	0.7	1.5	−5.8	25	12.6	18	94	70	91	85	44	1	5.2	3.9	5.0	4.7	23	12	6	4	3	—	—	—	10	8	7
Dez.	−1.4	3.6	−0.1	0.5	−7.8	31	11.8	4	93	80	93	89	44	1	6.4	5.5	6.9	6.3	47	20	29	7	7	6	—	—	—	5	10
Jahr	5.5	11.2	6.2	7.3	−14.6	I	28.6	VII	88	67	87	81	30	V	5.6	5.1	5.4	5.4	1218	60	VI	131	111	34	—	5	10	77	96

Wald (Faltigberg)

$\lambda = 8°\,56'$, $\beta = 47°\,16'$, $H = 908^m$, $h_r = 1.5^m$

Beobachter: Sanatorium

1953	Luft-Temperatur							Relative Feuchtigkeit						Bewölkung				Niederschlag		Zahl der Tage						
	7^{30}	13^{30}	21^{30}	Mittel	Minimum	Tag	Maximum Tag	7^{30}	13^{30}	21^{30}	Mittel	Minim.	Tag	7^{30}	13^{30}	21^{30}	Mittel	Summe	Maxim. Tag	●	●≥1.0	✳	▲	K	=	hell trübe
Jan.	−4.3	−2.7	−3.9	−3.7	−10.2	15	5.7 31	71	65	73	70	18	31	5.9	5.9	5.5	5.8	58	16 25	9	6	9	—	—	6	8 11
Febr.	−2.9	−0.3	−1.7	−1.6	−11.0	8	6.2 27	75	63	67	68	20	19.27	6.9	6.0	6.0	6.3	115	30 2	13	11	13	—	—	3	7 14
März	2.7	6.9	4.8	4.8	−4.8	9	15.4 30	—	—	—	—	—	—	3.3	2.8	2.0	2.7	29	9 31	8	5	5	—	—	1	17 3
April	6.3	11.0	8.0	8.3	−0.2	15	10.6 26	—	—	—	—	—	—	6.1	5.1	4.3	5.2	182	41 27	13	10	5	—	—	4	9 8
Mai	10.4	14.8	12.4	12.5	1.0	10.11	24.2 26	—	—	—	—	—	—	4.0	5.7	3.9	4.5	161	44 27	14	14	3	—	1	3	13 7
Juni	11.5	15.0	12.9	13.1	3.0	2	21.1 30	85	74	80	80	42	3	7.7	7.9	7.0	7.5	450	100 25	20	20	1	—	1	2	2 16
Juli	14.0	18.7	15.7	16.2	9.8	10	24.0 22.26	84	72	78	78	53	16.20	6.2	6.1	5.8	6.0	346	54 5	22	19	—	—	1	3	5 10
Aug.	14.1	18.6	15.9	16.1	9.2	22	25.4 13	84	71	72	76	48	11	5.4	5.2	3.6	4.7	76	13 21	11	11	—	—	—	2	7 6
Sept.	12.3	16.0	13.2	13.7	7.4	13	23.0 2	84	75	80	80	55	12 9 15	5.0	5.3	4.0	4.8	99	26 28	9	8	—	—	—	2	8 7
Okt.	8.4	11.5	9.4	9.7	2.4	10	16.6 13	87	81	84	84	53	31	5.2	5.9	5.4	5.5	59	29 29	9	6	1	—	—	7	7 11
Nov.	3.6	5.9	4.3	4.5	−3.4	24	10.6 29	72	75	72	73	37	27	2.5	3.1	2.5	2.7	42	20 6	5	4	1	—	—	7	19 4
Dez.	3.3	4.8	3.6	3.8	−7.0	31	12.8 4	76	74	78	76	47	7	5.4	5.9	4.6	5.3	84	24 29	10	9	9	—	—	1	7 8
Jahr	6.7	10.0	7.9	8.1	−11.0	II	25.4 VIII	—	—	—	—	—	—	5.3	5.4	4.6	5.1	1701	100 VI	143	123	47	—	3	41	109 105

Walenstadtberg

$\lambda = 9°\,18'$, $\beta = 47°\,08'$, $H = ca\ 982^m$, $h_r = 1.8^m$

Beobachter: Sanatorium

Jan.	−5.3	−2.0	−4.5	−4.1	−11.2	15	6.8 31	—	—	—	—	—	—	4.7	4.8	5.0	4.8	103	44 25	12	10	12	—	—	?	10 9
Febr.	−3.4	0.6	−2.6	−2.0	−10.0	8	8.8 27	—	—	—	—	—	—	5.7	5.2	4.5	5.1	125	28 2	9	9	9	—	—	?	10 10
März	1.9	7.4	3.5	4.1	−6.2	9	15.6 30	—	—	—	—	—	—	3.1	3.0	2.2	2.8	34	23 7	4	4	2	—	—	1	18 3
April	6.0	11.0	7.0	7.7	−0.8	15	17.0 22	—	—	—	—	—	—	5.7	4.7	5.1	5.2	147	30 14	14	13	4	—	—	2	8 9
Mai	10.4	15.2	11.2	12.0	0.1	11	25.2 18	78	61	76	72	38	11	3.9	4.9	4.9	4.6	186	34 27	16	16	2	1	—	—	11 7
Juni	11.1	15.2	11.9	12.5	2.9	2	22.2 7	85	69	86	80	36	5	7.1	6.8	7.3	7.1	276	72 26	21	21	2	—	—	2	2 11
Juli	14.4	19.3	14.9	15.9	8.3	11	25.5 22	84	67	86	79	43	23.26	5.5	5.0	5.8	5.4	212	48 30	21	20	—	—	−?	−?	6 8
Aug.	14.1	19.4	15.9	16.3	10.0	23.24	28.6 15	83	71	80	78	38	24	5.9	4.7	4.6	5.1	110	? —	11	11	—	—	—	3	7 9
Sept.	11.6	16.5	12.6	13.3	7.0	11.14	24.0 2	85	68	81	78	43	1	4.4	4.5	4.0	4.3	101	22 10	10	10	—	—	—	3	10 6
Okt.	8.2	12.2	8.9	9.6	0.6	31	17.8 14	86	71	83	80	10	15	4.3	4.3	4.3	4.3	77	30 29	9	8	1	—	—	3	11 8
Nov.	3.3	7.1	4.3	4.8	0.2	8	11.6 16.28	71	68	71	70	28	26	1.5	1.9	1.5	1.6	40	24 6	4	4	1	—	—	2	23 2
Dez.	3.0	6.1	3.3	3.9	−9.1	31	14.2 2	77	69	76	74	40	2	3.5	4.3	3.9	3.9	70	21 28	8	8	7	—	—	−?	13 8
Jahr	6.3	10.7	7.2	7.8	−11.2	I	28.6 VIII	—	—	—	—	—	—	4.6	4.5	4.4	4.5	1481	72 VI	139	134	40	1	—	16	129 90

Vättis

$\lambda = 9°\,26'$, $\beta = 46°\,55'$, $H_b = 956^m$, $h_r = 1.5^m$

Beobachter: A. Jäger

Jan.	−8.3	−3.1	−7.0	−6.3	−15.8	13	5.3 31	90	73	87	83	44	31	5.1	5.0	5.1	5.1	25	9 10	9	6	9	—	—	—	10 9
Febr.	−6.8	0.0	−5.2	−4.3	−14.6	15	7.6 27	87	61	89	79	38	22.27	5.3	5.2	4.8	5.1	50	19 1	7	6	7	—	—	2	11 10
März	−1.9	7.8	−0.5	1.2	−12.0	9	16.6 30	80	42	83	68	25	17.29 30	3.8	2.8	2.1	2.9	7	5 7	4	1	2	—	—	—	16 3
April	5.1	12.2	5.5	7.1	−1.1	15	17.8 23	83	50	84	72	28	20	6.1	6.4	5.6	6.0	61	13 27	14	11	4	—	—	—	7 11
Mai	9.5	15.8	8.9	10.8	−2.3	10	27.0 19	80	49	82	70	23	16.19 20	5.3	5.5	5.8	5.5	69	12 28	16	12	3	—	1	—	8 10
Juni	11.7	16.2	10.7	12.3	2.6	2	23.5 30	81	59	90	77	26	5	8.4	8.3	8.0	8.2	212	47 25	21	18	1	—	1	—	1 22
Juli	14.6	19.6	13.3	15.2	5.3	11	27.5 22	82	57	88	76	32	22	6.5	6.0	6.3	6.3	154	31 18	20	17	—	—	3	—	4 12
Aug.	11.8	18.9	11.9	13.6	6.4	24	25.8 13	89	55	92	79	33	29	5.8	5.7	4.7	5.4	77	24 14	12	11	—	—	1	—	8 10
Sept.	10.7	17.3	12.0	13.0	3.4	14	25.0 2	87	58	81	75	33	21	5.6	5.5	5.3	5.5	85	23 25	8	7	—	—	1	—	7 8
Okt.	6.5	13.0	8.0	8.9	−2.0	31	20.1 14	88	59	84	77	32	3.12	5.0	5.7	4.8	5.2	62	14 29	12	10	2	—	—	—	8 7
Nov.	0.5	6.7	1.0	2.3	−3.1	11	11.0 30	80	57	80	72	14	27	2.8	1.8	2.5	2.4	10	6 6	4	2	—	—	—	1	17 3
Dez.	2.1	5.7	2.4	3.1	−8.8	31	15.0 7	75	64	77	72	30	7	4.1	5.0	4.4	4.5	29	11 29	6	4	5	—	—	—	10 6
Jahr	4.6	10.8	5.1	6.4	−15.8	I	27.5 VII	83	57	85	75	14	XI	5.3	5.2	5.0	5.2	841	47 VI	133	105	33	—	7	3	107 111

Zentralschweiz

Werthenstein

$\lambda = 8°\,6'$, $\beta = 47°\,3'$, $H_b = 594^m$ $h_r = 1.5^m$

Beobachter: D. Ineichen

Jan.	−5.4	−2.0	−4.3	−4.0	−12.0	22	6.4 29.31	90	81	90	87	57	29	8.8	8.6	8.5	8.6	36	12 31	9	6	9	—	1	3	— 22
Febr.	−3.3	1.6	−2.3	−1.6	−14.2	8	9.8 22	88	70	84	81	43	22	8.2	7.0	6.1	7.1	29	9 1	12	7	12	—	—	4	3 13
März	0.6	10.7	3.1	4.4	−5.8	10	19.3 30	81	45	75	67	29	23	3.8	2.7	3.0	3.2	13	6 31	6	4	3	—	—	—	15 3
April	5.9	13.6	7.1	8.4	0.4	16	22.7 4	85	55	82	74	24	4	5.5	5.8	4.5	5.3	131	31 9	12	11	3	—	1	—	8 9
Mai	10.9	18.5	11.5	13.1	0.6	10	29.8 26	80	49	79	69	28	4	5.0	5.3	5.2	5.2	103	32 30	11	11	1	—	2	—	7 9
Juni	12.2	17.9	12.7	13.9	4.8	2	26.7 30	87	64	87	79	33	5	7.6	7.3	7.3	7.4	297	42 26	21	19	—	—	1	1	— 16
Juli	15.3	21.6	15.8	17.1	10.8	10.11	29.5 26	86	59	86	77	41	22	5.4	5.9	6.6	6.0	218	27 4	21	21	—	1	3	—	5 11
Aug.	13.9	21.7	15.0	16.4	9.4	28	29.6 13	87	58	86	77	35	31	5.5	4.6	4.3	4.8	79	26 2	10	7	—	—	—	—	9 8
Sept.	11.1	18.9	12.4	13.7	4.7	14	28.9 2	91	64	91	82	34	12	5.3	5.3	5.0	5.2	100	26 28	13	11	—	—	—	—	9 9
Okt.	7.2	12.9	8.4	9.2	0.4	31	18.6 3	95	74	94	88	45	28	7.5	6.7	5.9	6.7	40	23 29	10	8	—	—	—	5	3 14
Nov.	−0.4	4.0	1.2	1.5	−4.2	14	10.6 1	96	83	95	91	46	29	7.4	6.2	6.9	6.8	42	23 6	5	5	—	—	—	18	4 14
Dez.	−0.4	2.7	0.8	1.0	−6.7	31	11.6 1	94	86	93	91	54	1	7.6	8.2	8.4	8.1	29	8 29	10	7	7	—	—	13	3 20
Jahr	5.6	11.8	6.8	7.8	−14.2	II	29.8 V	88	66	87	80	24	IV	6.5	6.1	6.0	6.2	1117	42 VI	140	117	35	1	8	44	66 148

Walchwil

$\lambda = 8°30'$, $\beta = 47°6'$, $H_b = 450^m$, $h_r = 1.5^m$ — Beobachter: K. Halter

1953	Luft-Temperatur								Relative Feuchtigkeit						Bewölkung				Niederschlag			Zahl der Tage						
	7^{30}	13^{30}	21^{30}	Mittel	Minimum	Tag	Maximum	Tag	7^{30}	13^{30}	21^{30}	Mittel	Minim.	Tag	7^{30}	13^{30}	21^{30}	Mitt.	Summe	Maxim.	Tag	●	●* >1.0	*	▲	≡	helle	trübe
Jan.	−3.0	−1.1	−2.5	−2.3	−6.0	15.16	6.0	28	84	73	79	79	50	4.28	9.9	8.6	8.9	9.1	42	13	10	6	5	6	—	2		23
Febr.	−1.8	0.9	−1.0	−0.7	−9.4	8	7.4	10	81	68	72	74	35	8	8.6	8.3	7.9	8.3	21	11	2	7	5	7	—	4	2	19
März	1.1	8.6	4.8	4.8	−3.8	9	17.0	30	82	50	60	64	30	16	4.1	2.0	2.2	2.8	23	15	31	5	4	1	—	3	17	4
April	7.1	12.8	9.2	9.6	1.0	15	21.0	4	80	56	69	68	30	3.4	6.2	4.9	6.1	5.7	144	28	10	13	10	2	—	2	5	11
Mai	11.9	18.7	13.5	14.4	2.3	11	29.0	16	76	54	67	66	35	4.26	4.0	4.0	5.2	4.4	154	39	28	12	12	—	—	—	12	9
Juni	13.5	17.9	14.3	15.0	6.8	4	24.0	20.30	79	60	75	71	34	19	7.8	7.4	7.8	7.7	309	50	25	20	19	—	—	—	3	10
Juli	16.9	22.3	18.1	18.8	11.4	11	27.4	26	75	50	72	66	38	29	6.8	6.1	7.9	6.9	244	31	29	20	19	—	-?	—	4	18
Aug.	15.5	21.0	17.1	17.7	10.4	4	27.2	14	77	56	68	67	40	20	5.8	4.8	4.4	5.0	102	?	—	10	10	—	—	—	7	9
Sept.	13.9	19.2	15.4	16.0	9.0	21	26.0	3. 9	79	61	75	72	35	15	5.4	5.3	5.8	5.5	84	31	28	8	8	—	—	—	6	10
Okt.	9.5	13.2	10.4	10.9	2.4	31	17.4	14	90	68	85	81	44	8	8.5	6.5	6.3	7.1	49	33	29	10	7	—	—	-?	—	11
Nov.	2.7	5.2	3.8	3.9	0.0	28	14.2	I	91	80	88	86	54	1	9.2	8.0	7.6	8.3	38	19	6	5	5	—	—	2	1	21
Dez.	1.4	2.9	1.9	2.0	−4.8	31	10.2	I	91	85	91	89	54	25	9.1	9.2	9.1	9.1	59	16	19	8	8	3	—	10	1	28
Jahr	7.4	11.8	8.8	9.2	−9.4	II	29.0	V	82	63	75	73	30	III IV	7.1	6.2	6.6	6.6	1269	50	VI	124	112	19	—	23	58	182

Weggis

$\lambda = 8°26'$, $\beta = 47°2'$, $H = ca\,444^m$, $h_r = 1.5^m$ — Beobachter: Frau R. Zimmermann

Jan.	−1.8	−0.6	−1.6	−1.4	−5.0	15.16	4.6	29	80	73	78	77	60	5	9.5	8.7	8.8	9.0	4.5	14	25	8	6	8	—	—	—	1	27
Febr.	−0.6	2.4	0.0	0.4	−7.6	8	7.0	10.19	79	62	75	72	35	10	7.0	6.3	5.6	6.3	17	7	2	5	3	5	—	—	3	4	11
März	2.0	8.8	5.2	5.3	−3.0	9	14.4	27	82	50	60	64	32	8	3.4	1.5	2.3	2.4	19	9	31	4	4	2	—	1	—	17	3
April	6.6	12.9	8.7	9.2	0.8	15	20.0	23	85	57	72	71	30	4.26	4.2	4.5	4.5	4.4	141	37	10	10	9	2	—	1	—	10	6
Mai	11.0	17.6	13.2	13.7	2.8	11	26.4	26	81	54	69	68	31	4	4.1	3.9	4.9	4.3	150	46	30	11	10	1	—	2	—	10	7
Juni	13.1	18.2	14.2	14.9	6.4	2.4	24.6	30	86	61	81	76	38	19	6.8	5.6	7.0	6.5	247	54	25	20	18	—	—	4	—	5	12
Juli	16.4	22.0	17.3	18.2	12.0	20	26.0	26	85	55	79	73	40	13	5.1	4.0	6.0	5.0	210	56	18	19	18	—	—	4	—	7	6
Aug.	15.4	21.1	16.8	17.5	10.8	22	27.2	13	85	59	77	74	35	28	5.6	3.7	3.3	4.2	122	48	15	11	10	—	—	1	—	12	7
Sept.	13.5	18.2	14.7	15.3	8.0	14.15	24.4	9	85	66	81	77	40	15	3.9	3.6	5.5	4.3	102	39	28	9	9	—	—	—	—	9	6
Okt.	10.0	13.1	10.2	10.9	3.6	31	16.2	15	89	72	88	83	55	9.31	8.2	6.0	5.3	6.5	50	33	29	9	7	—	—	—	1	3	14
Nov.	3.8	6.0	4.3	4.6	0.6	26	11.0	5	88	77	88	84	60	1.2.7	8.2	7.3	8.1	7.9	34	16	6	4	4	—	—	—	4	2	21
Dez.	2.5	4.0	2.8	3.0	−3.4	31	9.0	1	88	81	87	85	43	31	8.2	8.3	8.2	8.2	53	16	29	8	7	3	—	—	9	2	21
Jahr	7.6	12.0	8.8	9.3	−7.6	II	27.2	VIII	84	64	78	75	30	IV	6.2	5.3	5.8	5.8	1190	56	VII	118	105	21	—	13	17	82	141

Lungern

$\lambda = 8°10'$, $\beta = 46°48'$, $H_b = ca\,745^m$, $h_r = 1.7^m$ — Beobachter: O. Imfeld

Jan.	−5.2	−2.5	−3.7	−3.8	−10.8	23.24	9.4	31	87	76	84	82	33	28	8.9	7.3	8.5	8.1	53	16	31	10	6	10	—	—	6	1	21
Febr.	−3.0	1.1	−2.1	−1.5	−9.6	8	7.2	20	80	61	74	72	34	10	7.1	6.6	7.3	7.0	24	6	1	12	7	12	—	—	—	4	15
März	1.7	8.2	3.5	4.2	−5.4	10	18.4	30	61	46	61	56	30	4.7.30	4.4	3.8	4.6	4.3	11	6	31	3	3	1	—	—	2	11	7
April	6.7	12.1	7.1	8.3	−0.8	15	18.8	4	78	52	74	68	29	4	6.0	6.0	4.7	5.6	96	18	14	14	10	3	—	—	1	7	10
Mai	11.6	16.5	11.4	12.7	1.4	10	27.2	16	70	53	71	65	23	16	4.6	5.8	5.3	5.2	127	37	27	13	12	—	—	—	—	9	11
Juni	12.3	16.6	12.1	13.3	5.2	2	22.0	30	78	59	81	73	34	3	7.7	7.7	7.8	7.7	191	33	15	22	18	—	—	—	—	—	16
Juli	15.6	20.0	15.5	16.6	9.6	10	25.8	26	79	61	79	73	40	13	6.0	6.7	6.9	6.5	181	37	18	20	18	—	—	—	—	5	14
Aug.	14.3	19.4	14.7	15.8	9.2	22	26.8	13	79	57	77	71	27	24	5.2	5.2	5.4	5.3	128	23	14	13	11	—	—	—	1	5	6
Sept.	12.2	17.0	13.0	13.8	6.2	14	25.4	2	82	62	79	74	33	22	6.6	5.5	6.8	6.3	89	19	23	15	11	—	—	—	1	3	7
Okt.	8.0	11.4	8.7	9.2	1.2	29	16.8	3	88	70	84	81	37	31	7.2	6.7	6.9	6.9	79	40	29	10	9	—	—	—	2	2	15
Nov.	0.8	4.8	2.6	2.7	−2.8	23	11.6	1	85	74	80	80	31	1.27	6.7	5.9	5.5	6.0	29	13	6	5	4	—	—	—	15	4	11
Dez.	1.0	3.6	1.5	1.9	−7.0	31	10.6	4	81	73	82	79	25	7	6.8	7.5	6.3	6.9	54	16	19	11	9	7	—	—	7	3	13
Jahr	6.3	10.7	7.0	7.8	−10.8	I	27.2	V	79	62	77	73	23	V	6.4	6.2	6.3	6.3	1062	40	X	148	118	33	—	—	35	54	146

Gurtnellen

$\lambda = 8°37'$, $\beta = 46°44'$, $H_b = 742^m$, $h_r = 1.5^m$ — Beobachter: Stationspersonal

Jan.	−5.6	−2.5	−4.8	−4.4	−11.1	15	10.0	31	80	72	79	77	35	31	6.5	5.5	4.1	5.4	39	14	25	7	4	7	—	—	—	7	10
Febr.	−3.6	−0.1	−2.2	−2.0	−9.1	17	4.8	21	73	62	75	70	33	10	5.2	5.4	4.4	5.0	54	20	1	6	6	6	—	—	—	10	10
März	1.9	8.8	4.3	4.8	−5.1	9	18.1	30	59	40	56	52	19	16	3.1	2.1	2.4	2.5	6	2	11	6	2	2	—	—	—	15	3
April	7.3	13.1	8.9	9.5	1.0	15	19.2	23	72	48	66	62	25	21	6.4	5.8	6.2	6.1	88	15	14	14	10	4	—	—	1	7	12
Mai	10.6	17.7	13.0	13.6	1.0	11	28.5	18	69	45	61	58	21	16	4.7	5.9	5.5	5.4	85	22	27	13	13	2	—	—	—	7	11
Juni	12.7	16.8	13.8	14.3	5.0	2.4	25.4	30	76	58	72	69	30	6.9 30	7.5	8.0	7.8	7.8	188	31	24	20	18	—	—	—	1	—	16
Juli	15.0	21.1	16.3	17.2	10.3	14	27.3	17	73	49	72	65	29	17	6.4	5.8	7.0	6.4	116	19	18	18	13	—	—	?	—	4	13
Aug.	13.9	20.2	15.7	16.4	9.8	8	27.0	13	78	53	72	68	33	30	5.5	5.4	5.8	5.6	47	13	9	10	10	—	—	—	1	7	10
Sept.	13.4	18.4	15.3	15.6	8.0	14	25.3	2	74	54	68	65	29	23	6.2	6.1	6.8	6.4	82	21	23	10	9	—	—	—	1	5	11
Okt.	9.3	12.5	10.5	10.7	0.9	31	19.6	14	74	64	75	71	29	31	6.4	6.6	6.2	6.4	147	46	29	11	11	1	—	—	3	3	13
Nov.	2.3	5.2	3.3	3.5	−3.0	23	14.0	29	79	71	79	76	16	27	2.1	2.7	3.5	2.8	21	10	5	5	4	—	—	—	7	15	3
Dez.	4.6	5.9	5.1	5.2	−7.1	31	15.1	5	62	63	66	64	30	7.14	5.1	5.6	6.2	5.6	28	9	29	8	7	6	—	—	4	8	10
Jahr	6.8	11.4	8.3	8.7	−11.1	I	28.5	V	72	56	70	66	16	XI	5.4	5.4	5.5	5.4	901	46	X	128	107	28	—	—	18	88	122

Andermatt

$\lambda = 8°\,35'$, $\beta = 46°\,38'$, $H = 1442^m$, $h_r = 1.5^m$

Beobachter: P. C. Rusterholz

1953	Luft-Temperatur								Relative Feuchtigkeit								Bewölkung				Niederschlag			Zahl der Tage							
	7^{30}	13^{30}	21^{30}	Mittel	Minimum	Tag	Maximum	Tag	7^{30}	13^{30}	21^{30}	Mittel	Minim.	Tag			7^{30}	13^{30}	21^{30}	Mitt.	Summe	Maxim.	Tag	● *	●* ≧1.0	*	▲	K	=	helle	trübe
Jan.	−11.9	−8.5	−11.0	−10.5	−20.2	15	4.7	31	—	—	—	—	—	—			5.2	3.6	3.7	4.2	34	11	10	8	7	8	—	—		14	8
Febr.	−10.7	−3.8	−7.7	−7.6	−20.7	17	6.0	26	—	—	—	—	—	—			4.9	5.0	4.3	4.7	44	12	1	8	6	8	—	—	—	11	10
März	−6.1	3.4	−2.0	−1.8	−13.7	10	9.5	30	—	—	—	—	—	—			2.3	1.9	2.1	2.1	7	3	7	6	4	4	—	—	1	21	3
April	2.0	7.3	3.0	3.8	−4.8	15	12.0	22.23	—	—	—	—	—	—			6.3	5.6	6.6	6.2	80	17	27	14	13	9	—	—	4	6	15
Mai	5.9	12.1	7.1	8.0	−4.0	8	21.3	17	—	—	—	—	—	—			4.6	4.5	5.6	4.9	100	25	27	14	14	6	—	2	1	10	7
Juni	8.2	11.8	8.8	9.1	0.0	2	19.8	30	—	—	—	—	—	—			7.8	7.7	8.0	7.8	184	31	24	20	18	2	—	—	2		16
Juli	11.7	15.5	11.5	12.4	5.2	11	23.0	22.25	—	—	—	—	—	—			6.4	6.3	7.4	6.7	115	19	18	16	14	—	—	3	2	4	14
Aug.	9.3	15.3	10.7	11.4	3.6	24	21.5	13	—	—	—	—	—	—			5.2	4.7	4.8	4.9	34	9	9	11	9	—	—	—	6	9	5
Sept.	8.0	13.0	9.7	9.9	1.0	14	21.4	2	—	—	—	—	—	—			6.0	5.7	5.4	5.7	126	22	23	15	13	—	—	—	3	7	10
Okt.	4.2	9.0	6.0	6.2	−7.7	31	15.6	20	—	—	—	—	—	—			6.2	6.3	5.2	5.9	238	51	29	12	12	1	—	—	3	5	10
Nov.	−2.6	2.4	−1.2	−0.7	−6.8	8	6.5	5	—	—	—	—	—	—			2.8	2.0	2.5	2.4	10	7	6	2	2	2	—	—	3	18	5
Dez.	−1.7	0.8	−0.6	−0.6	−15.8	31	7.8	6	—	—	—	—	—	—			4.8	5.5	5.6	5.3	30	16	29	7	5	7	—	—	2	7	9
Jahr	1.4	6.5	2.9	3.3	−20.7	II	23.0	VII	—	—	—	—	—	—			5.2	4.9	5.1	5.1	1002	51	X	133	117	47	—	5	27	112	112

Die Abendbeobachtung erfolgt um 20.30 Uhr

Jura

La Brévine

$\lambda = 6°\,34'$, $\beta = 46°\,58'$, $H_b = $ ca 1060^m, $h_r = 1.8^m$

Beobachter: Frau A. Favre

Jan.	−11.3	−4.9	−9.5	−8.8	−26.2	15	4.0	30.31	82	76	86	81	44	13			6.7	5.5	4.1	5.4	16	12	31	2	2	2	—	—	1	7	10
Febr.	−7.0	−1.0	−5.7	−4.9	−21.6	8	4.6	23	86	69	86	80	25	28			9.0	6.5	5.8	7.1	31	11	2	9	8	9	—	—	2	3	15
März	−5.2	4.5	−2.1	−1.2	−14.6	3	11.0	30	78	43	69	63	21	3.15			4.9	3.5	2.5	3.6	10	5	31	3	3	1	—	—	—	11	1
April	3.5	9.7	3.3	5.0	−8.2	5	16.2	21	79	49	79	69	22	12			6.6	6.9	5.4	6.3	66	15	4	15	12	6	—	1	2	3	10
Mai	7.5	13.9	7.5	9.1	−2.0	9	26.5	20	77	40	69	62	21	16.17			5.8	6.5	5.4	5.9	128	57	26	9	9	2	—	2	—	1	6
Juni	9.9	14.1	9.1	10.5	0.6	2	22.0	29	80	55	85	73	22	5			7.8	8.8	7.0	7.9	334	76	9	23	22	3	—	3	1	—	20
Juli	12.7	17.3	11.8	13.4	4.2	15	25.6	25	78	52	78	69	24	25			7.5	7.4	6.1	7.0	123	19	13	16	14	—	—	−?	1	2	11
Aug.	10.6	18.9	11.6	13.2	4.0	28	26.4	13	88	42	75	68	23	29			6.6	5.3	4.3	5.4	105	34	15	12	12	—	1	3	5	6	6
Sept.	9.0	15.7	9.3	10.8	3.0	20	25.0	2	79	47	77	68	21	2			6.9	6.3	5.5	6.2	164	29	23	13	12	—	—	1	3	4	12
Okt.	4.7	12.2	5.8	7.1	−5.0	31	19.0	3	88	50	83	74	22	10.11			8.3	6.1	5.7	6.7	55	23	25	10	8	1	—	—	5	4	12
Nov.	−4.1	7.8	−1.0	0.4	−9.6	25	13.6	17	86	37	75	66	16	9			3.1	3.2	5.0	3.8	48	25	5	5	5	2	—	—	4	14	3
Dez.	−2.1	4.9	−0.9	0.2	−13.0	26	12.6	4	88	61	84	78	25	8			6.6	6.8	6.0	6.5	39	10	28	8	7	7	—	—	3	4	11
Jahr	2.4	9.4	3.3	4.6	−26.2	I	26.5	V	82	52	79	71	16	XI			6.6	6.2	5.2	6.0	1119	76	VI	125	114	33	1	10	27	59	117

Cernier

$\lambda = 6°\,54'$, $\beta = 47°\,4'$, $H_b = 800^m$, $h_r = 1.7^m$

Beobachter: Ecole d'Agriculture

Jan.	−6.0	−2.7	−5.1	−4.7	−13.2	23	4.8	28	93	85	95	91	67	7			7.1	6.7	6.4	6.7	18	15	31	2	2	2	—	—	7	5	17
Febr.	−3.5	0.3	−2.8	−2.2	−14.6	8	7.4	28	94	78	92	88	40	28			6.9	6.0	5.3	6.1	64	—	—	10	10	10	—	—	2	6	12
März	1.5	7.0	1.7	3.0	−5.0	11	14.4	26	85	62	78	75	31	10			3.2	2.1	1.4	2.2	12	5	27	3	3	1	—	—	1	20	2
April	6.9	12.8	7.0	8.4	2.8	16	18.4	4	83	68	86	79	38	30			6.6	6.3	5.5	6.1	66	14	3	14	14	?2	—	1	−?	5	11
Mai	11.7	18.2	11.7	13.3	2.0	7	29.8	25	79	58	79	72	30	18			3.9	5.3	5.2	4.8	94	34	27	11	10	1	—	2	—	6	6
Juni	12.6	18.1	12.3	13.8	3.5	3	26.5	7	81	69	87	79	49	5.16			7.1	7.2	8.0	7.4	224	59	9	20	20	1	—	−?	—	1	16
Juli	15.4	20.4	14.5	16.2	9.0	10	28.0	25	80	65	87	77	45	20			5.6	5.7	6.2	5.8	109	17	3	15	14	—	—	−?	—	5	6
Aug.	14.6	20.4	13.8	15.7	9.0	23	26.4	11	81	59	87	76	40	28			4.6	3.8	3.1	3.8	51	17	15	8	8	—	—	1	—	9	3
Sept.	12.6	18.0	12.1	13.7	7.0	19	24.2	1	86	67	91	81	46	15			5.4	5.7	5.1	5.4	132	35	23	11	11	—	—	—	3	11	13
Okt.	7.6	13.5	8.1	9.3	1.0	10.15 30.31	17.0	4	93	73	96	87	54	8			7.0	5.8	4.7	5.8	33	11	25	10	8	—	—	—	−?	6	11
Nov.	−0.4	4.5	0.0	1.0	−5.0	10	9.2	1	97	88	98	94	50	1			7.0	6.3	5.3	6.2	48	29	5	5	4	—	—	—	13	5	13
Dez.	0.2	4.6	0.5	1.5	−6.0	31	12.2	4	96	86	96	93	70	26			7.2	7.1	6.6	7.0	25	8	29	7	6	5	—	—	6	5	18
Jahr	6.1	11.3	6.2	7.4	−14.6	II	29.8	V	87	72	89	83	30	V			6.0	5.7	5.2	5.6	876	59	VI	116	110	22	—	4	32	84	128

Mont Soleil

$\lambda = 7°\,0'$, $\beta = 47°\,9'$, $H = $ ca 1200^m, $h_r = 1.5^m$

Beobachter: H. Sutter

Jan.	−5.3	−2.4	−5.3	−4.6	−11.4	14.15	7.6	30	84	79	85	83	45	23			6.0	5.3	6.1	5.8	50	20	31	9	7	8	—	—	16	8	13
Febr.	−4.5	−1.0	−3.8	−3.3	−14.5	8	7.6	27	87	80	84	84	49	25			6.9	6.8	6.0	6.6	95	23	1	12	12	10	—	—	−?	9	17
März	0.8	6.4	2.0	2.8	−7.2	9	13.8	30	76	63	72	70	45	16			3.6	3.2	2.0	2.9	15	6	11	5	5	3	—	—	2	15	3
April	4.3	9.2	4.0	5.7	−3.5	15	16.3	4	84	70	83	79	38	20			5.5	0.7	4.7	5.6	90	21	4	13	13	8	—	—	6	5	9
Mai	9.2	14.1	9.2	10.4	−0.4	10	24.2	21	80	58	75	71	35	16			5.1	5.7	4.7	5.2	99	25	30	11	10	2	—	2	2	4	6
Juni	9.6	13.3	9.6	10.5	1.2	2	20.7	30	91	75	93	86	39	5			7.9	7.9	7.4	7.7	238	53	9	24	24	2	—	1	4	—	18
Juli	12.7	16.6	12.7	13.7	5.3	15	23.4	25	86	72	88	82	42	22			6.4	6.8	5.5	6.2	98	18	23	13	11	—	—	−?	?1	3	10
Aug.	12.5	17.9	12.5	13.9	6.8	22	24.6	15	86	63	81	77	40	29.30 31			4.4	4.7	3.3	4.1	60	22	15	10	9	—	—	−?	2	7	3
Sept.	9.9	15.3	10.3	11.5	1.7	12	24.8	2	86	67	85	79	40	1			6.2	5.8	5.0	5.7	128	47	23	13	11	—	—	—	4	9	12
Okt.	6.2	11.3	7.1	7.9	−0.4	31	16.5	3.4	90	71	88	83	48	10			6.3	6.2	5.8	6.1	47	16	25	9	8	—	—	—	4	4	11
Nov.	2.6	8.0	3.5	4.4	−1.6	11	12.8	16	74	66	74	69	24	8			3.6	3.4	3.0	3.3	30	24	5	4	4	1	—	—	−?	15	5
Dez.	1.6	4.7	1.9	2.5	−9.4	31	12.0	5	82	73	81	79	42	7.14			7.0	7.3	6.7	7.0	67	20	29	11	10	8	—	—	7	6	16
Jahr	5.0	9.4	5.4	6.3	−14.5	II	24.8	IX	84	69	82	78	24	XI			5.7	5.8	5.0	5.5	1023	53	VI	134	124	42	—	?3	48	85	123

Biel

$\lambda = 7°15'$, $\beta = 47°08'$, $H_b = 435.8^m$, $h_r = 1.6^m$ — Beobachter: Gaswerk

1953	Luft-Temperatur							Relative Feuchtigkeit						Bewölkung				Niederschlag		Zahl der Tage						
	7^{30}	13^{30}	21^{30}	Mittel	Minimum	Tag	Maximum	Tag	7^{30}	13^{30}	21^{30}	Mittel	Minim.	Tag	7^{30}	13^{30}	21^{30}	Mittel	Summe	Maxim. Tag	●	●* >1.0	*	▲	≡	helle	trübe
Jan.	−2.7	−0.6	−1.7	−1.7	−8.2	17	5.6	31	87	80	84	84	63	11	8.7	7.9	7.4	8.0	17	12 31	6	2	5	—	—	3	1	22
Febr.	−1.8	1.7	−0.1	−0.1	−14.2	8	6.5	20.22	92	74	83	83	59	28	8.5	7.5	6.1	7.4	100	24 1	11	9	10	—	—	6	3	17
März	1.5	9.7	6.4	6.0	−3.0	3	16.6	30	87	50	64	67	33	16	3.6	3.3	2.5	3.1	2	2 11	3	1	2	—	—	1	15	5
April	7.1	13.8	9.7	10.1	2.0	18	20.0	4	86	55	75	72	33	4	5.9	6.1	4.4	5.5	52	13 10	14	11	1	—	1	1	6	8
Mai	12.5	19.4	15.2	15.6	3.2	11	28.6	21	78	48	63	63	29	11.27	5.4	5.6	4.4	5.1	67	22 27	9	8	—	—	1	1	6	5
Juni	14.0	19.2	15.8	16.2	7.0	2	26.0	28	82	58	77	72	31	5	7.5	7.6	7.4	7.5	156	42 8	19	17	—	—	2	—	2	15
Juli	17.0	22.9	18.8	19.4	11.4	11	29.0	26	78	51	72	67	32	22	5.5	5.6	5.8	5.6	98	23 5	11	10	—	1	2	—	5	10
Aug.	15.6	22.9	18.7	19.0	11.1	24	30.4	14	82	49	67	66	34	25	4.0	4.1	3.8	4.0	39	18 21	8	7	—	—	1	—	9	6
Sept.	13.1	18.9	15.3	15.6	8.8	15	26.2	2	84	60	75	73	40	12	5.7	5.5	5.0	5.4	105	30 23	14	10	—	—	1	1	9	10
Okt.	9.1	13.6	10.5	10.9	2.2	10	19.2	4	90	68	85	81	46	8	7.9	6.5	5.6	6.7	29	9 28	10	5	—	—	—	9	4	13
Nov.	2.3	5.2	3.1	3.4	−0.6	24	9.8	5	89	77	89	85	56	16	9.3	8.1	7.8	8.4	20	11 5	5	3	—	—	—	10	1	23
Dez.	1.5	3.1	2.1	2.2	−2.4	31	6.4	1.10	88	81	88	86	53	26	9.5	9.3	8.8	9.2	23	7 28	9	5	3	—	—	15	—	25
Jahr	7.4	12.5	9.5	9.7	−14.2	II	30.4	VIII	85	63	77	75	29	V	6.7	6.4	5.8	6.3	708	42 VI	119	88	21	1	8	47	61	149

Allerheiligenberg

$\lambda = 7°49'$, $\beta = 47°21'$, $H = 897^m$, $h_r = 1.7^m$ — Beobachter: Sanatorium

Jan.	−3.7	−1.5	−3.0	−2.8	−7.9	12	4.4	28	94	88	90	91	50	21	6.6	7.8	7.7	7.4	33	12 31	9	7	9	—	—	12	2	16
Febr.	−2.2	0.5	−1.5	−1.2	−11.3	8	9.0	27	89	79	86	85	48	27	8.3	6.6	6.6	7.2	75	13 2	14	13	13	—	—	4	5	16
März	3.1	8.8	4.6	5.3	−4.0	9	19.4	23	68	56	61	62	38	30	3.1	2.7	2.5	2.8	10	6 27	4	4	1	—	—	1	14	2
April	7.1	11.4	8.1	8.7	0.0	15	18.9	4	80	67	73	73	48	4	5.4	6.3	4.8	5.5	108	32 10	14	12	4	—	1	5	7	9
Mai	11.5	16.2	12.1	13.0	2.8	10	25.0	18	77	61	71	70	42	16	4.5	5.5	5.6	5.2	104	31 26	13	12	2	1	1	1	7	8
Juni	11.6	15.0	12.2	12.8	3.0	2	21.6	30	89	77	87	84	43	5	7.4	7.8	8.0	7.7	203	37 25	19	17	2	—	—	4	2	16
Juli	14.8	18.5	15.0	15.8	8.9	10	24.7	26	84	70	80	78	50	22	5.2	6.5	6.1	5.9	116	25 1	16	15	—	—	1	1	5	11
Aug.	14.2	19.0	15.4	16.0	8.3	23	26.3	14	81	67	72	73	48	31	3.7	5.0	4.0	4.2	105	43 21	8	8	—	—	—	1	9	8
Sept.	11.8	15.9	12.8	13.3	7.2	24.30	24.2	2	85	72	80	79	50	9	6.1	5.9	5.4	5.8	85	23 21	11	11	—	—	—	4	6	13
Okt.	8.6	12.0	9.1	9.7	3.3	31	16.9	3	89	77	87	84	48	3	5.7	6.0	5.5	5.7	29	9 29	8	5	—	—	—	6	6	11
Nov.	2.5	5.4	3.6	3.8	−3.3	25	11.2	16	81	76	76	78	38	16	3.7	4.4	3.6	3.9	28	13 5	5	4	—	—	—	10	13	9
Dez.	2.4	4.6	2.7	3.1	−8.1	31	12.0	4. 5	83	79	81	81	49	15	6.0	6.4	5.5	6.0	40	13 10	8	8	6	—	—	6	6	13
Jahr	6.8	10.5	7.6	8.1	−11.3	II	26.3	VIII	83	72	79	78	38	III XI	5.5	5.9	5.4	5.6	936	43 VIII	129	116	37	1	3	55	82	132

Olten

$\lambda = 7°54'$, $\beta = 47°21'$, $H_b = ca\,400^m$, $h_r = 1.5^m$ — Beobachter: Geschwister Naef

Jan.	−2.9	−0.5	−2.2	−1.9	−8.8	12	6.4	29	86	72	82	80	60	28	9.7	8.5	8.3	8.8	24	12 31	9	7	9	—	—	9	—	24
Febr.	−2.2	2.0	−0.9	−0.5	−18.4	8	8.2	28	90	70	86	82	58	8	9.5	7.7	7.1	8.1	79	15 1	14	12	14	—	—	7		18
März	0.7	10.8	4.2	5.0	−3.4	3	19.8	30	*88	*62	*77	*76	?	—	4.0	2.8	3.3	3.4	4	2 27	5	1	2	—	—	2	12	4
April	6.5	14.7	8.9	9.7	2.0	18	21.4	24	89	68	83	80	37	23	6.9	5.9	5.6	6.1	92	24 9	17	12	—	—	1	4	5	10
Mai	11.6	19.6	13.9	14.8	2.2	10	28.8	25	79	53	72	68	33	4	5.1	6.2	5.6	5.6	82	23 30	11	11	—	1	2	1	4	9
Juni	13.7	19.4	14.6	15.6	6.2	2	27.4	30	85	62	86	78	28	5	8.0	8.1	8.0	8.0	181	36 25	22	19	—	—	—	3	1	20
Juli	16.0	22.9	16.8	18.1	11.4	25	27.4	26	85	55	84	75	38	22	6.9	6.9	6.8	6.9	132	58 5	16	13	—	—	—	3	4	16
Aug.	14.3	23.0	16.6	17.6	9.4	29	30.2	13.14	86	53	79	73	38	11	4.9	4.8	4.3	4.7	113	62 21	9	7	—	—	—	2	6	4
Sept.	11.5	19.2	13.9	14.6	6.0	14	27.2	2	92	60	85	79	41	6	7.0	6.0	5.8	6.3	58	17 21	11	8	—	—	—	6	6	13
Okt.	8.6	13.9	9.4	10.3	1.0	10.31	17.2	14.17	95	67	91	84	48	8	9.0	6.3	6.2	7.2	23	8 29	9	7	—	—	—	17	2	13
Nov.	1.8	4.9	2.4	2.9	−1.8	29	11.0	5	96	80	94	90	60	3	9.9	7.5	9.0	8.8	30	11 5	6	4	—	—	—	24	0	22
Dez.	1.2	3.0	1.6	1.8	−4.0	31	9.2	1	94	85	93	91	64	30	9.8	9.4	9.5	9.6	30	9 28	9	8	4	—	—	20	0	28
Jahr	6.7	12.7	8.3	9.0	−18.4	II	30.2	VIII	89	66	84	80	?	—	7.6	6.7	6.6	7.0	848	62 VIII	138	109	29	1	3	98	40	181

Rheinfelden

$\lambda = 7°47'$, $\beta = 47°33'$, $H_b = 287^m$, $h_r = 1.6^m$ — Beobachter: Frl. M. Waidele

Jan.	−3.3	−0.3	−2.2	−2.0	−12.0	12	7.2	30	96	88	95	93	70	16	9.1	7.7	8.4	8.4	21	6 31	8	7	8	—	—	8	1	25
Febr.	−1.4	3.2	−0.1	0.4	−12.0	8	10.0	22.28	90	82	83	85	45	28	8.4	7.1	6.8	7.4	31	? ?	13	10	11	—	—	10	3	18
März	0.0	12.1	4.1	5.1	−6.0	10	22.0	30	—	—	—	—	—	—	4.0	2.7	2.2	3.0	3	2 11	2	2	1	—	—	2	14	4
April	6.7	15.7	8.8	10.0	2.2	5	24.0	26	—	—	—	—	—	—	5.2	6.4	3.8	5.1	47	9 4	10	10	—	—	2	2	8	9
Mai	11.3	20.4	13.0	14.4	1.0	11	31.0	18.26	—	—	—	—	—	—	5.5	6.1	5.2	5.6	50	18 27	9	8	—	—	2	1	5	7
Juni	13.7	19.0	14.3	15.3	6.8	2	26.0	20.30	93	72	96	87	45	20	7.9	7.8	7.4	7.7	219	80 26	21	17	—	—	1	1	2	16
Juli	16.3	22.6	16.5	18.5	10.8	11	30.0	21	83	58	90	77	40	22.24	6.7	6.9	5.8	6.5	111	16 23	14	13	—	—	4	6	5	13
Aug.	14.1	23.4	15.7	17.2	9.8	28	32.0	14	91	52	90	78	35	31	5.2	4.9	4.4	4.8	55	34 21	9	9	—	—	—	2	7	6
Sept.	11.9	20.4	13.1	14.6	6.8	14	32.0	2	91	56	90	79	36	1	5.8	5.8	4.4	5.3	84	16 21	12	9	—	—	—	4	8	11
Okt.	8.2	15.1	9.0	10.3	0.5	10.11	21.2	4	97	66	96	86	40	9.28	8.3	5.9	5.3	6.5	20	6 29	6	5	—	—	—	15	2	13
Nov.	1.5	7.2	2.3	3.3	−4.0	13	12.8	5	94	69	93	85	46	28	7.7	6.0	5.8	6.5	17	8 5	4	3	—	—	—	9	5	14
Dez.	1.2	4.9	1.9	2.5	−4.5	31	13.5	5	94	77	93	88	53	4	9.1	7.8	8.0	8.3	38	14 28	9	8	2	—	—	6	2	21
Jahr	6.7	13.6	8.0	9.2	−12.0	I II	32.0	VIII IX	—	—	—	—	—	—	6.9	6.2	5.6	6.2	696	80 VI	117	101	22	—	9	66	62	157

Schaffhausen

$\lambda = 8°\,38'$, $\beta = 47°\,42'$, $H_b = 448^m$, $h_r = 1.5^m$ — Beobachter: Th. Bächtold

1953	Luft-Temperatur								Relative Feuchtigkeit						Bewölkung				Niederschlag			Zahl der Tage							
	7^{30}	13^{30}	21^{30}	Mittel	Minimum	Tag	Maximum	Tag	7^{30}	13^{30}	21^{30}	Mittel	Minim.	Tag	7^{30}	13^{30}	21^{30}	Mitt.	Summe	Maxim.	Tag	●	★ ≥1.0	∗	▲	≤	≡	hell	trüb
Jan.	−2.9	−0.2	−1.9	−1.7	−8.6	22	7.4	31	84	73	80	79	59	20	9.8	8.2	8.1	8.7	19	7	31	9	7	9	—	—	5	—	23
Febr.	−2.0	1.7	−0.8	−0.5	−13.8	8	8.2	28	80	70	80	77	50	28	9.1	6.9	5.9	7.3	46	13	1	11	9	11	—	—	9	2	14
März	1.3	10.6	5.2	5.6	−3.8	3	19.4	30	79	47	62	63	30	24	3.5	2.5	2.0	2.7	5	2	11	5	2	3	—	—	3	16	2
April	7.1	14.3	9.2	10.0	2.3	16	21.4	4	80	53	72	68	36	25	6.2	4.9	4.3	5.1	56	21	10	10	10	—	—	—	3	8	8
Mai	12.3	19.0	13.6	14.6	2.0	10	29.1	26	74	48	66	63	35	1.4.16	5.3	5.0	4.1	4.8	120	32	27	13	10	1	—	4	1	9	8
Juni	14.2	18.3	14.3	15.3	6.2	2	23.8	8	80	63	79	74	33	5	7.5	6.9	6.1	6.8	183	74	25	17	16	—	—	1	—	2	10
Juli	16.9	21.6	17.0	18.1	11.5	11	27.4	26	78	55	76	70	38	19.22	6.5	5.4	4.8	5.6	166	30	2	16	16	—	—	8	—	4	7
Aug.	15.4	22.3	16.7	17.8	11.2	29	29.3	13	77	52	71	67	38	31	4.4	3.4	2.9	3.6	25	15	21	7	5	—	—	—	—	12	3
Sept.	12.3	19.2	14.1	14.9	7.8	21	27.9	2	81	57	76	71	37	7	5.4	5.2	4.7	5.1	62	18	19	10	8	—	—	—	4	8	7
Okt.	8.1	13.5	9.6	10.2	0.4	11.31	18.6	4	88	68	84	80	44	9	8.3	5.1	4.9	6.1	23	12	29	6	5	—	—	—	14	3	11
Nov.	1.1	4.4	2.2	2.5	−1.8	29	9.9	5	92	80	88	87	57	7	9.4	7.4	6.1	7.6	11	6	5	6	3	—	—	—	15	2	18
Dez.	0.5	2.7	1.2	1.4	−4.2	31	11.8	1	93	86	91	90	65	26.31	9.2	8.7	8.7	8.9	19	5	29	9	5	2	—	—	10	1	24
Jahr	7.0	12.3	8.4	9.0	−13.8	II	29.3	VIII	82	63	77	74	30	III	7.0	5.8	5.2	6.0	735	74	VI	119	96	26	—	13	64	67	135

Oberes Aare- und Saanegebiet

Thun

$\lambda = 7°\,37'$, $\beta = 46°\,46'$, $H_b = 565^m$, $h_r = 1.9^m$ — Beobachter: Eidg. Munitionsfabrik: H. Stucki u. H. Rothen

Jan.	−5.2	−1.6	−4.2	−3.8	−12.1	27	8.1	31	85	71	79	78	50	5.28	8.5	7.0	7.1	7.5	18	7	25	5	4	5	—	—	5	2	18
Febr.	−2.8	2.5	−1.4	−0.8	−9.1	7	7.7	20	81	56	73	70	34	11	6.8	5.5	4.9	5.7	15	7	10	7	5	7	—	—	2	6	7
März	0.7	10.0	4.0	4.7	−5.1	15	17.3	30	86	41	67	65	25	16.30	2.1	2.5	2.4	2.3	10	7	31	5	2	3	—	—	—	15	3
April	6.7	13.4	9.0	9.5	1.5	15	19.3	26	85	50	75	70	31	23	4.8	5.6	5.5	5.3	100	32	9	9	8	1	—	—	—	6	7
Mai	11.4	18.3	13.7	14.3	2.7	11	27.9	26	76	43	65	61	24	26	3.4	4.8	4.5	4.2	70	31	27	9	9	—	—	2	—	11	5
Juni	13.1	17.7	14.8	15.1	5.9	2	25.3	30	81	55	81	72	28	5	7.0	7.2	7.6	7.3	209	31	30	21	18	—	—	3	—	2	14
Juli	16.1	21.8	18.0	18.5	11.3	10.11	28.3	26	79	48	70	66	32	21.22	5.2	5.9	6.6	5.9	116	22	5	17	14	—	—	4	—	5	10
Aug.	14.5	22.0	17.4	17.9	9.9	29	27.9	13.14	87	46	72	68	31	5	4.0	3.8	3.3	3.7	55	21	2	9	8	—	—	—	—	17	7
Sept.	12.1	18.7	14.4	14.9	7.5	23	26.7	2	91	54	80	75	32	9	4.8	4.3	4.9	4.7	105	33	28	9	9	—	—	—	1	10	6
Okt.	8.3	13.8	9.8	10.4	1.1	31	17.5	3.14	94	60	91	82	42	8	5.8	5.7	6.1	5.9	46	29	29	12	8	—	—	—	—	5	10
Nov.	0.4	4.9	1.8	2.2	−3.1	16	9.9	5	97	74	96	89	37	28	8.1	6.3	6.8	7.1	33	12	5	5	4	—	—	—	17	4	16
Dez.	0.1	3.6	1.1	1.5	−8.9	31	9.5	5	95	78	94	89	50	25	6.9	7.4	7.7	7.3	33	12	19	6	6	2	—	—	13	3	17
Jahr	6.3	12.1	8.2	8.7	−12.1	I	28.3	VII	86	56	79	74	24	V	5.6	5.5	5.6	5.6	810	33	IX	114	95	18	—	9	38	86	120

Heiligenschwendi

$\lambda = 7°\,41'$, $\beta = 46°\,45'$, $H_b = 1125^m$, $h_r = 1.4^m$ — Beobachter: Sanatorium

Jan.	−4.4	−0.2	−3.4	−2.8	−10.5	15	9.7	30	62	51	60	58	26	16.18	6.3	5.3	4.5	5.4	38	12	25	9	7	9	—	—	5	9	12
Febr.	−3.5	1.3	−2.4	−1.7	−11.5	8	9.8	27	63	46	62	57	30	8	6.8	5.2	4.6	5.5	33	10	2	9	7	9	—	—	1	8	11
März	1.3	7.9	3.5	4.0	−6.8	9	16.0	30	51	37	41	43	23	30	3.1	3.6	1.7	2.8	14	6	31	4	4	2	—	—	1	14	3
April	5.5	10.6	6.4	7.2	−2.0	15	18.2	4	64	49	64	59	26	4	5.5	6.3	4.8	5.5	133	32	9	13	9	6	—	—	3	6	8
Mai	10.1	15.0	10.8	11.6	0.8	10	24.6	26	59	47	56	54	25	16	4.4	6.3	5.8	5.5	89	36	27	12	9	—	—	—	1	3	6
Juni	10.7	14.1	11.4	11.6	2.6	2	20.7	30	77	60	74	70	37	6	7.2	7.8	7.2	7.4	219	28	10	22	20	2	—	1	4	1	13
Juli	13.9	18.1	14.6	15.0	8.6	10	24.7	26	70	52	68	63	36	22	5.5	6.4	6.7	6.2	196	42	5	20	18	—	—	1	2	4	11
Aug.	13.3	18.3	14.4	15.1	7.8	22	24.7	13	64	51	65	60	31	29	5.2	5.1	4.1	4.8	71	23	2	10	9	—	—	1	1	8	7
Sept.	11.5	15.5	12.6	12.9	6.4	11	23.4	2	74	57	72	68	38	9	5.2	5.5	5.5	5.4	91	20	23	12	9	—	—	—	3	5	8
Okt.	7.2	10.7	8.4	8.7	1.0	31	16.6	3	82	65	79	75	42	31	6.6	7.0	5.8	6.5	36	17	29	13	7	1	—	—	7	5	15
Nov.	3.5	8.5	4.4	5.3	−0.2	7	13.0	16	49	44	51	48	22	16	2.8	2.7	1.7	2.4	53	13	5	6	6	2	—	—	1	19	3
Dez.	3.0	5.9	2.9	3.8	−10.0	31	13.5	5	59	52	62	58	34	9	5.5	6.0	5.4	5.6	53	17	29	8	8	6	—	—	3	5	12
Jahr	6.8	9.1	7.0	7.5	−11.5	II	24.7	VII VIII	64	51	63	59	22	XI	5.3	5.6	4.8	5.2	1026	42	VII	138	113	37	—	3	32	87	109

Die Abendbeobachtung erfolgt um 20.30 Uhr

Grindelwald

$\lambda = 8°\,3'$, $\beta = 46°\,38'$, $H =$ ca 1040^m, $h_r = 1.6^m$ — Beobachter: G. Bohren

Jan.	−6.6	−3.8	−5.8	−5.5	−12.8	14	6.1	31	—	—	—	—	—	—	4.3	3.7	4.4	4.1	31	12	25	4	3	4	—	—	1	12	7
Febr.	−5.5	−0.2	−3.8	−3.3	−12.1	17	7.6	27	—	—	—	—	—	—	4.7	4.5	4.3	4.5	33	13	1	7	7	7	—	—	—	12	7
März	−0.9	8.3	1.5	2.6	−9.0	9	10.9	30	—	—	—	—	—	—	2.2	2.0	1.8	2.0	8	3	26	3	3	2	—	—	—	19	3
April	4.5	12.8	5.8	7.2	−1.7	15	18.4	26	—	—	—	—	—	—	5.4	5.7	4.7	5.3	101	22	10	12	11	6	—	—	1	7	9
Mai	9.3	16.6	10.0	11.5	0.0	11	26.8	18.26	—	—	—	—	—	—	4.4	5.5	4.4	4.8	110	27	27	13	11	1	—	1	1	10	7
Juni	10.5	16.1	10.7	12.0	3.0	2	24.5	30	—	—	—	—	—	—	6.6	7.4	7.1	7.0	231	35	10	23	23	1	—	1	2	3	14
Juli	13.4	20.3	14.0	15.4	8.2	31	26.8	25	—	—	—	—	—	—	5.0	5.9	6.3	5.7	129	32	19	17	15	—	—	3	—	6	11
Aug.	12.1	20.3	13.7	14.9	6.4	23	27.6	13	—	—	—	—	—	—	4.7	4.3	4.4	4.5	66	14	2	10	10	—	—	1	—	14	9
Sept.	10.2	17.6	11.6	12.8	4.6	23	26.5	2	—	—	—	—	—	—	4.9	5.0	4.9	4.9	93	21	28	13	9	—	—	—	2	9	7
Okt.	6.3	12.0	7.4	8.3	−1.8	31	18.6	3	—	—	—	—	—	—	6.4	5.0	5.7	5.7	145	57	29	13	13	1	—	—	2	6	13
Nov.	1.5	4.4	2.2	2.6	−2.3	7	6.9	5	—	—	—	—	—	—	1.3	2.1	2.0	1.8	28	15	6	5	5	2	—	—	—	22	2
Dez.	0.6	3.1	1.2	1.5	−11.1	31	10.9	8	—	—	—	—	—	—	4.3	5.4	3.9	4.5	56	20	19	7	6	6	—	—	1	10	8
Jahr	4.6	10.6	5.7	6.7	−12.8	I	27.6	VIII	—	—	—	—	—	—	4.5	4.7	4.5	4.6	1031	57	X	127	116	30	—	6	10	130	97

$\lambda = 7^\circ 35'$, $\beta = 46^\circ 30'$, $H_b =$ ca 1345^m, $h_r = 1.5^m$

Adelboden

Beobachter: G. Gyger-Spori

1953	Luft-Temperatur 7^{30}	13^{30}	21^{30}	Mittel	Minimum	Tag	Maximum	Tag	Relative Feuchtigkeit 7^{30}	13^{30}	21^{30}	Mittel	Minim.	Tag	Bewölkung 7^{30}	13^{30}	21^{30}	Mitt.	Niederschlag Summe	Maxim.	Tag	Zahl der Tage •	•* ≥1.0	*	▲	K	≡	helle	trübe
Jan.	-6.4	-0.5	-5.9	-4.7	-12.0	7.11 18	11.0	29	76	62	75	71	36	30	4.7	4.0	4.0	4.2	28	11	25	5	4	5	—	—	4	13	8
Febr.	-5.5	0.5	-4.7	-3.6	-14.0	8	8.2	26.27	76	59	76	70	39	18	5.8	4.9	5.0	5.2	31	17	1	7	5	7	—	—	3	8	11
März	-1.4	6.7	0.3	1.5	-11.0	9	16.0	30	70	51	68	63	31	30	3.0	3.6	3.3	3.3	8	3	26	4	3	2	—	—	—	12	4
April	4.3	10.5	4.4	5.9	-3.0	16	15.6	23	77	62	77	72	36	6.8	6.0	6.0	6.4	6.1	109	27	10	10	10	6	—	—	7	2	7
Mai	9.5	14.6	9.2	10.6	0.0	8	24.6	18	73	66	77	72	32	16	4.5	6.7	6.4	5.9	94	31	27	16	12	5	—	3	4	1	9
Juni	10.2	14.8	10.4	11.4	1.0	2	21.0	30	80	70	82	77	45	5	7.4	7.6	8.3	7.8	177	22	9	22	22	2	—	1	6	—	15
Juli	13.6	18.3	13.6	14.8	7.0	10	25.0	25	78	65	80	74	35	25	5.5	6.6	7.3	6.5	149	36	18	16	16	—	—	6	5	4	10
Aug.	12.3	17.8	13.7	14.4	6.8	22	25.0	14	80	66	79	75	49	30	4.7	4.9	5.8	5.1	67	14	21	12	10	—	—	2	7	4	8
Sept.	9.7	15.5	10.7	11.7	3.0	21	22.0	1	86	69	82	79	46	22	5.5	5.4	5.7	5.5	88	18	23	13	10	—	—	—	7	3	8
Okt.	5.2	11.2	6.0	7.1	-3.0	30	16.0	3.13	86	72	85	81	47	31	6.0	5.7	6.2	6.0	66	21	29	11	11	1	—	—	1?	4	10
Nov.	1.4	7.2	2.1	3.2	-4.2	9	11.0	16	67	57	67	63	36	14	2.6	3.0	1.9	2.5	29	12	6	5	4	3	—	—	5	17	2
Dez.	-0.3	4.8	-0.2	1.0	-12.0	31	12.0	2.3	78	64	76	73	34	7	4.4	5.3	4.3	4.7	47	16	29	8	8	7	—	—	5	9	7
Jahr	4.4	10.1	5.0	6.1	-14.0	II	25.0	VII VIII	77	64	77	73	31	III	5.0	5.3	5.4	5.2	893	36	VII	129	115	38	—	12	54	77	99

$\lambda = 7^\circ 29'$, $\beta = 46^\circ 34'$, $H_b = 1214^m$, $h_r = 1.5^m$

Grimmialp

Beobachter: **Kurheim**

1953	Luft-Temperatur 7^{30}	13^{30}	21^{30}	Mittel	Minimum	Tag	Maximum	Tag	Relative Feuchtigkeit 7^{30}	13^{30}	21^{30}	Mittel	Minim.	Tag	Bewölkung 7^{30}	13^{30}	21^{30}	Mitt.	Niederschlag Summe	Maxim.	Tag	Zahl der Tage •	•* ≥1.0	*	▲	K	≡	helle	trübe
Jan.	-7.2	-0.2	-6.7	-5.2	-14.6	13	13.2	29	73	56	72	67	30	30	—	—	—	—	33	12	31	6	5	6	—	—	1	14	9
Febr.	—	—	—	—	—	—	—	—	—	—	—	—	—	—	—	—	—	—	65*	?	—	10*	10*	10*	—	—	—	—	—
März	—	—	—	—	—	—	—	—	—	—	—	—	—	—	—	—	—	—	10*	?	—	4*	4*	2*	—	—	—	—	—
April	2.9	11.1	4.1	5.5	-3.4	15	17.7	4	82	49	79	70	22	8	5.7	5.7	4.7	5.4	95	21	10	13	9	7	—	—	1	7	7
Mai	9.1	15.6	8.7	10.5	-0.1	7	28.0	18	77	48	72	66	22	16	4.2	6.1	4.9	5.1	106	32	27	14	11	3	1	4	1	8	8
Juni	10.0	14.0	9.9	10.9	0.4	2	21.8	30	84	65	85	78	32	5.6	7.4	8.3	8.1	7.9	182	27	10	25	23	2	—	1	—	1	21
Juli	13.1	19.2	13.5	14.8	5.4	11	28.3	25	84	60	82	75	23	25	5.4	6.7	6.8	6.3	136	30	18	18	16	—	—	4	—	5	13
Aug.	11.2	19.4	12.2	13.8	5.8	28	25.3	12	82	49	81	71	27	24	4.5	5.2	4.4	4.7	90	28	21	11	10	—	—	4	—	11	9
Sept.	9.1	16.7	10.8	11.9	3.2	21	25.1	1	86	59	87	77	29	1	4.7	5.7	5.5	5.3	71	21	28	12	8	—	—	—	1	6	9
Okt.	5.1	11.9	6.4	7.5	-2.0	31	18.1	3	88	59	86	78	31	11	5.9	5.2	4.9	5.3	40	20	29	9	9	1	—	—	—	9	11
Nov.	1.3	8.8	1.7	3.4	-3.6	4	13.5	16	71	49	71	64	25	13	3.8	2.9	2.0	2.9	29	19	5	4	4	3	—	—	—	18	5
Dez.	-0.3	4.9	-0.1	1.1	-9.8	31	13.4	2	76	62	75	71	27	7	5.6	5.5	4.7	5.3	66	18	30	9	9	8	—	—	—	9	12
Jahr	—	—	—	—	—	—	—	—	—	—	—	—	—	—	—	—	—	—	923	32	V	135	118	42	—	—	—	—	—

$\lambda = 7^\circ 16'$, $\beta = 46^\circ 30'$, $H_b =$ ca 1155^m, $h_r = 1.6^m$

Saanen

Beobachter: **Kindersanatorium Solsana**

1953	Luft-Temperatur 7^{30}	13^{30}	21^{30}	Mittel	Minimum	Tag	Maximum	Tag	Relative Feuchtigkeit 7^{30}	13^{30}	21^{30}	Mittel	Minim.	Tag	Bewölkung 7^{30}	13^{30}	21^{30}	Mitt.	Niederschlag Summe	Maxim.	Tag	Zahl der Tage •	•* ≥1.0	*	▲	K	≡	helle	trübe
Jan.	-6.9	-2.2	-4.7	-4.6	-12.4	14	5.4	29	81	66	75	74	45	28	3.8	4.1	3.6	3.8	33	16	25	3	3	3	—	—	—	16	6
Febr.	-5.9	-0.8	-3.0	-3.2	-15.0	8	7.6	28	87	68	80	78	39	28	5.1	4.2	4.2	4.5	60	15	10	6	6	6	—	—	—	10	7
März	-0.8	6.9	2.7	2.9	-7.2	9	15.6	30	81	48	66	65	30	30	3.1	3.0	2.1	2.7	4	3	31	2	2	—	—	—	—	15	2
April	3.8	10.6	6.4	6.8	-2.2	16	16.2	26	90	57	77	75	30	21	6.0	7.0	5.8	6.3	81	18	9	15	11	6	—	1	1	3	10
Mai	8.4	15.5	11.0	11.5	0.0	11	25.2	18	87	52	70	70	29	16.17	5.0	6.7	7.1	6.3	97	30	27	15	10	2	1	2	—	3	11
Juni	9.5	14.6	11.5	11.8	1.4	3	20.8	30	94	70	86	83	35	5	7.2	7.7	8.1	7.7	187	27	10	23	22	2	—	4	2	1	17
Juli	12.9	19.1	15.2	15.6	7.8	31	23.8	22	90	58	76	75	39	25	5.5	5.5	6.6	5.9	132	37	2	17	14	—	—	2	3	6	12
Aug.	11.7	18.8	15.2	15.2	5.2	23	24.6	13	93	62	74	76	42	29	4.7	5.2	5.5	5.1	82	36	21	11	10	—	—	3	—	5	8
Sept.	9.8	16.1	12.8	12.9	5.0	21	21.8	8.9.3	94	67	81	81	43	15	5.3	6.0	5.9	5.7	89	25	23	11	9	—	—	1	1	2	10
Okt.	6.2	11.8	8.6	8.8	0.0	31	16.0	3	92	69	87	83	49	3	6.8	5.3	6.8	6.3	42	13	29	12	9	1	—	—	6	4	11
Nov.	1.3	7.1	3.4	3.8	-1.8	7	10.0	16.17	81	56	68	68	35	27	2.8	2.4	2.4	2.5	33	12	5	6	5	4	—	—	1	18	3
Dez.	0.5	4.3	2.0	2.2	-11.6	31	11.8	7	85	68	77	77	30	7	5.2	5.7	4.2	5.0	44	17	29	7	6	6	—	—	1	8	8
Jahr	4.2	10.2	6.8	7.0	-15.0	II	25.2	V	88	62	76	75	29	V	5.0	5.2	5.2	5.1	884	37	VII	128	107	30	1	13	15	91	105

$\lambda = 7^\circ 13'$, $\beta = 46^\circ 29'$, $H = 1003^m$, h_r 1.3^m

Rougemont

Beobachter: **V. Saugy**

1953	Luft-Temperatur 7^{30}	13^{30}	21^{30}	Mittel	Minimum	Tag	Maximum	Tag	Relative Feuchtigkeit 7^{30}	13^{30}	21^{30}	Mittel	Minim.	Tag	Bewölkung 7^{30}	13^{30}	21^{30}	Mitt.	Niederschlag Summe	Maxim.	Tag	Zahl der Tage •	•* ≥1.0	*	▲	K	≡	helle	trübe
Jan.	-9.6	-3.2	-7.6	-7.0	-17.4	14	7.5	31	83	64	80	76	46	28.30	—	—	—	—	38	23	31	5	5	5	—	—	—	—	—
Febr.	-8.1	-0.3	-4.8	-4.5	-14.5	8	6.8	27	86	62	81	76	38	25	—	—	—	—	75	16	1	10	9	10	—	—	—	—	—
März	-2.9	8.4	1.7	2.2	-9.2	12	17.8	30	82	47	72	67	27	30	—	—	—	—	7	5	31	3	2	1	—	—	—	—	—
April	3.8	12.4	6.0	7.1	-0.8	15	18.2	23	89	52	82	74	32	26	—	—	—	—	68	17	9	14	10	6	—	—	—	—	—
Mai	7.8	17.3	10.8	11.7	-0.8	11	27.1	18	81	49	75	68	25	16	—	—	—	—	119	41	27	17	11	1	—	5	—	—	—
Juni	10.3	16.0	11.8	12.5	1.8	3	22.6	28	81	62	83	75	33	5	—	—	—	—	180	31	10	22	21	1	—	2	—	—	—
Juli	13.7	20.9	15.0	16.1	9.8	10	27.2	25	78	53	80	70	33	25	—	—	—	—	112	18	18	18	14	—	—	2	—	—	—
Aug.	11.7	20.7	14.0	15.1	6.9	23	26.7	13	87	56	82	75	40	29	—	—	—	—	114	34	21	12	11	—	1	3	—	—	—
Sept.	9.2	17.9	11.8	12.7	4.9	12	25.6	2	88	59	84	77	42	18	—	—	—	—	91	26	23	11	10	—	—	1	—	—	—
Okt.	5.6	13.0	7.9	8.6	-2.1	31	19.1	3	87	64	86	79	47	3	—	—	—	—	42	13	29	11	9	1	—	—	4	—	—
Nov.	-1.2	7.7	0.8	2.0	-3.7	26	11.0	16	83	56	80	73	41	13	—	—	—	—	37	12	5	6	4	2	—	—	—	—	—
Dez.	-1.4	3.4	0.2	0.6	-13.2	31	9.3	7	85	73	82	80	49	7	—	—	—	—	55	23	29	7	5	5	—	—	—	—	—
Jahr	3.2	11.2	5.6	6.4	-17.4	I	27.2	VII	84	58	80	74	25	V	—	—	—	—	938	41	V	136	111	32	1	13	4	—	—

Die bisher angegebene Höhe (1010 m) war unrichtig.

Château d'Oex

$\lambda = 7°8'$, $\beta = 46°29'$, $H_b = 993.5^m$, $h_r = 1.5^m$

Beobachter: E. Jaccard

1953	Luft-Temperatur								Relative Feuchtigkeit						Bewölkung				Niederschlag		Zahl der Tage							
	7^{30}	13^{30}	21^{30}	Mittel	Minimum	Tag	Maximum	Tag	7^{30}	13^{30}	21^{30}	Mittel	Minim.	Tag	7^{30}	13^{30}	21^{30}	Mitt.	Summe	Maxim. Tag	●	●* >1.0	*	▲	≡	helle	trübe
Jan.	-9.7	-2.9	-7.5	-6.9	-17.8	14	5.6	29	83	64	83	77	43	28	3.9	3.8	3.7	3.8	40	18 31	5	4	5	—	—	—	15	8
Febr.	-7.8	-0.3	-5.2	-4.6	-15.0	8	5.8	27	87	61	84	77	42	26.27	4.4	4.2	3.2	3.9	71	20 1	10	10	10	—	—	1	13	7
März	-2.8	7.8	1.0	1.7	-10.8	12	17.7	30	82	43	74	66	23	30	2.6	2.9	2.2	2.6	9	5 31	3	3	1	—	—	—	18	2
April	3.8	12.5	5.1	6.6	-1.9	15	18.4	4	86	52	83	74	27	4	5.7	6.1	5.1	5.6	75	20 9	13	13	6	—	—	1	3	8
Mai	8.4	17.1	9.5	11.1	0.2	11	27.0	18	81	47	75	67	21	16	4.2	6.4	5.0	5.2	103	32 27	16	13	—	1	4	—	4	6
Juni	10.2	16.1	10.8	12.0	1.3	2	23.3	30	85	61	87	78	30	5	7.4	7.9	7.2	7.5	265	58 10	22	22	1	—	2	1	3	15
Juli	13.4	20.3	13.9	15.4	8.7	11	25.8	22 25.26	82	53	83	73	36	26	5.2	5.8	5.8	5.6	108	22 18	16	15	—	—	2	—	7	10
Aug.	11.7	20.3	13.2	14.6	6.6	23	26.3	13	88	53	83	75	35	20	4.3	4.6	3.2	4.0	108	35 21	12	11	—	1	4	1	11	6
Sept.	9.3	17.8	11.2	12.4	4.7	12	25.3	2	90	56	87	77	27	21	5.2	5.0	5.0	5.1	116	32 23	12	10	—	—	1	3	11	11
Okt.	5.4	12.9	7.7	8.4	-2.8	31	17.7	3.13	93	63	90	82	42	31	6.6	5.4	6.8	6.3	37	13 29	9	8	1	—	—	7	4	12
Nov.	-1.1	7.1	0.9	1.9	-4.1	12	10.0	1	84	53	81	73	35	27	3.5	2.8	2.7	3.0	50	18 6	6	5	3	—	—	1	18	3
Dez.	-1.3	4.3	0.2	0.9	-14.2	31	9.9	6	85	65	84	78	49	14.30	5.4	5.8	4.6	5.3	44	18 29	7	5	4	—	—	1	7	9
Jahr	3.3	11.1	5.1	6.1	-17.8	I	27.0	V	86	56	83	75	21	V	4.9	5.0	4.5	4.8	1026	58 VI	131	119	31	2	13	16	114	97

Marsens

$\lambda = 7°4'$, $\beta = 46°39'$, $H_b = 727^m$, $h_r = 1.5^m$

Beobachter: E. Baeriswyl

Jan.	-6.7	-2.2	-5.3	-4.9	-13.4	18	6.8	31	89	80	89	86	61	27	7.2	5.7	5.9	6.3	20	13 31	6	4	6	—	—	6	5	13
Febr.	-5.1	0.5	-2.8	-2.5	-12.8	8	5.2	20	90	73	86	83	55	22	6.9	4.9	4.6	5.5	31	13 10	10	7	10	—	—	3	7	9
März	0.0	8.9	3.3	3.9	-5.4	15	16.2	30	85	52	76	71	31	16	2.5	2.3	1.6	2.1	12	5 31	4	3	1	—	—	1	17	1
April	5.4	12.5	7.5	8.2	0.6	15	18.6	4	91	63	83	79	44	25	5.2	5.6	4.5	5.1	109	25 9	16	10	3	—	—	1	7	6
Mai	10.5	17.3	12.1	13.0	0.8	11	25.4	26	84	56	77	72	40	21	3.6	4.9	4.6	4.4	80	28 27	12	10	—	—	3	1	9	4
Juni	12.6	16.9	13.2	14.0	4.6	2	23.0	30	87	66	85	79	39	5	6.6	6.8	6.3	6.6	241	60 10	20	17	—	—	1	—	3	9
Juli	15.5	21.0	16.3	17.3	10.0	11	25.6	26	84	59	82	75	42	22.25	5.4	5.3	5.5	5.4	222	78 4	15	15	—	—	2	1	7	8
Aug.	14.2	20.7	15.3	16.4	9.4	28	27.0	13	87	58	84	76	41	24	4.4	3.5	2.7	3.5	91	38 21	11	11	—	—	1	1	12	4
Sept.	11.4	17.4	12.8	13.6	6.4	14	24.8	2	92	68	89	83	45	2	6.1	5.0	4.6	5.2	127	32 23	13	10	—	—	1	6	7	10
Okt.	7.5	13.0	9.2	9.7	-0.2	10	17.8	3	94	72	91	86	58	30	7.6	6.0	4.7	6.1	37	16 25	10	7	—	—	—	7	2	11
Nov.	-0.5	5.4	1.6	2.0	-3.6	20	9.8	1.29	94	77	93	88	49	28	6.4	4.9	5.2	5.5	35	13 2	5	4	—	—	—	16	4	10
Dez.	-0.4	4.6	0.9	1.5	-7.0	31	10.2	5	91	78	92	87	60	9	5.6	6.2	5.8	5.9	35	14 19	6	4	3	—	—	5	3	8
Jahr	5.3	11.3	7.0	7.7	-13.4	I	27.0	VIII	89	67	86	80	31	III	5.6	5.1	4.7	5.1	1040	78 VII	128	102	23	—	8	48	83	93

Romont

$\lambda = 6°55'$, $\beta = 46°41'$, $H_b = 764^m$, $h_r = 1.5^m$

Beobachter: Couvent des Capucins

Jan.	-5.1	-2.6	-4.5	-4.2	-11.3	23	5.6	29	93	90	94	92	54	31	7.8	7.5	6.2	7.2	11	3 31	4	4	4	—	—	1	5	19
Febr.	-3.5	-0.1	-2.2	-2.0	-11.0	8	4.6	20.27	93	79	88	87	60	19	6.2	4.2	5.9	5.4	35	16 10	10	9	10	—	—	—	8	7
März	0.5	7.6	4.5	4.3	-5.2	15	14.8	30	82	61	67	70	40	16	2.2	1.8	1.0	1.7	4	2 31	3	1	1	—	—	—	21	1
April	5.5	11.5	7.8	8.2	0.2	15	17.8	24	90	68	81	80	49	20.22	5.2	5.2	4.3	4.9	69	19 9	12	12	3	—	—	—	8	7
Mai	10.1	16.7	12.5	12.9	0.2	11	29.0	26	85	57	71	71	41	17	3.8	3.9	4.2	4.0	69	29 26	8	7	—	1	1	—	10	5
Juni	11.8	16.6	13.1	13.7	3.4	2	23.5	30	91	68	84	81	43	20	6.6	6.0	6.3	6.3	240	42 30	20	19	1	—	2	—	4	9
Juli	14.7	20.4	16.3	16.9	9.8	11	25.5	26	94	66	90	83	50	22	4.5	4.9	5.6	5.0	119	31 4	13	12	—	—	1	—	6	10
Aug.	13.3	19.7	15.8	16.2	8.9	28	25.0	13	94	67	87	83	49	20	3.8	3.2	2.4	3.1	88	40 2	10	8	—	—	1	1	16	3
Sept.	11.0	16.5	13.0	13.4	5.6	14	24.2	8	96	76	92	88	53	9	5.1	4.1	4.6	4.6	137	33 23	11	11	—	—	—	4	12	8
Okt.	7.2	12.0	8.8	9.2	0.7	31	16.2	4	99	82	98	93	66	31	6.8	5.9	5.2	6.0	37	21 25	7	6	—	—	—	7	4	12
Nov.	0.7	5.0	2.2	2.5	-3.5	20	10.4	1	97	89	96	94	67	29	6.8	5.4	4.1	5.4	24	12 2	4	4	—	—	—	16	4	8
Dez.	0.5	4.0	1.7	2.0	-5.0	30	10.1	5	97	88	97	94	67	9	7.6	6.7	4.5	6.3	21	9 19	6	6	4	—	—	9	4	11
Jahr	5.6	10.6	7.4	7.8	-11.3	I	29.0	V	93	74	87	85	40	III	5.5	4.9	4.5	5.0	854	42 VI	108	99	23	1	5	38	102	100

Südwestschweiz

Allaman

$\lambda = 6°24'$, $\beta = 46°29'$, $H = 432^m$ $h_r = 1.5^m$

Beobachter: E. Honegger

Jan.	-2.0	0.0	-1.3	-1.1	-6.1	23	5.0	29	81	77	80	79	55	12	8.2	7.3	5.0	6.8	12	10 31	4	1	3	—	—	2	4	14
Febr.	-1.3	2.1	-0.3	0.1	-6.4	7	6.7	21	87	74	79	80	54	8	8.3	5.8	4.9	6.3	49	25 10	7	5	6	—	—	—	4	11
März	3.3	10.2	6.4	6.6	-1.1	9	17.8	30	78	56	66	67	41	17	3.1	3.3	1.6	2.7	1	1 31	1	—	—	—	—	—	15	1
April	8.5	14.2	9.9	10.6	2.8	15	19.0	25	81	61	74	72	44	24	6.4	7.1	6.1	6.5	51	17 4	11	8	0	—	1	—	3	11
Mai	13.9	19.8	14.6	15.7	5.3	10	27.8	21	78	55	69	67	34	21	3.5	5.1	3.5	4.0	44	19 26	10	7	—	—	1	—	9	5
Juni	14.5	18.5	15.1	15.8	5.2	2	25.0	30	87	68	83	79	45	5	6.5	6.0	7.1	6.5	193	67 9	22	19	—	—	1	—	3	11
Juli	18.4	22.8	18.5	19.6	14.5	10	27.8	26	76	61	76	71	45	11	4.6	4.7	5.6	5.0	44	12 12	10	9	—	—	—	—	11	10
Aug.	17.1	22.9	17.9	19.0	10.4	29	28.8	14	76	61	75	71	51	28	3.0	2.9	2.4	2.8	44	13 21	8	7	—	—	2	—	17	4
Sept.	14.0	19.1	15.5	16.0	8.8	21	24.1	2	86	71	82	80	52	3.6	5.5	5.2	5.1	5.3	147	45 23	14	13	—	—	—	—	10	11
Okt.	11.2	14.2	12.0	12.3	4.4	31	18.3	2	89	75	87	84	52	7.8	7.2	5.9	5.1	6.1	21	7 25	10	7	—	—	—	2	6	13
Nov.	3.8	6.8	4.2	4.7	1.2	24	10.8	2	93	84	92	90	66	8	8.6	7.3	6.6	7.5	38	? —	4	4	—	—	—	2	2	17
Dez.	2.5	4.8	3.1	3.4	-2.8	31	9.1	1	90	85	90	88	58	26	8.0	7.9	7.4	7.8	12	8 19	4	2	2	—	—	5	3	16
Jahr	8.7	13.0	9.6	10.2	-6.4	II	28.8	VIII	83	69	79	77	34	V	6.1	5.7	5.0	5.6	656	67 VI	105	82	11	—	5	11	87	124

Rochers de Naye

λ = 6° 59', β = 46° 26', H_b = 1982m, h_r = 2.3m — Beobachter: Santchin u. Hertel

1953	Luft-Temperatur								Relative Feuchtigkeit						Bewölkung				Niederschlag		Zahl der Tage							
	7³⁰	13³⁰	21³⁰	Mittel	Minimum	Tag	Maximum	Tag	7³⁰	13³⁰	21³⁰	Mittel	Minim.	Tag	7³⁰	13³⁰	21³⁰	Mitt.	Summe	Maxim Tag	● *	●* ≥1.0	*	▲	≋	≡	helle	trübe
Jan.	−6.6	−3.8	−6.5	−5.8	−13.0	8	7.0	29.30	66	66	70	67	15	27.29	3.5	4.5	4.1	4.0	51	15 31	7	7	7	—	—	12	12	7
Febr.	−6.5	−4.0	−5.5	−5.4	−15.0	16	9.0	26	75	64	73	71	22	22	5.1	4.9	4.8	4.9	180	53 7	10	10	10	—	—	?	9	10
März	−2.9	2 5	−2.0	−1.1	−11.0	12	9.0	28.30	67	61	72	67	29	1	3.1	4.1	2.8	3.3	18	9 31	3	3	3	—	—	?3	?11	3
April	0.4	4.2	−0.1	1.1	−8.0	15.16	11.0	4	87	77	85	83	35	30	6.8	7.1	5.6	6.5	135	28 9	14	14	?	?	?	?	1	13
Mai	6.4	8.6	4.7	6.1	−5.0	9	21.0	26	72	75	80	76	32	16	4.7	6.9	6.4	6.0	194	35 28	14	14	?7	—	-?	?8	2	9
Juni	5.9	7.8	5.6	6.2	−2.0	2. 3	15.0	28.29	85	88	89	87	33	5	8.5	8.7	7.9	8.4	448	65 10	22	22	?	?	?	18	—	20
Juli	9.4	12.3	9.4	10.1	3.0	10.11	24.0	21	83	81	90	85	20	20	6.4	7.3	8.0	7.2	304	46 4	18	18	—	—	-?	22	4	18
Aug.	9.7	13.5	10.0	10.8	1.0	22	24.0	14	77	78	87	81	25	24	4.9	6.8	4.9	5.5	207	41 2	10	10	—	—	—	13	5	10
Sept.	8.0	12.3	8.5	9.3	0.0	11.24	24.0	1	75	71	83	76	20	14	6.0	5.9	5.2	5.7	135	22 24	14	14	?3	—	—	10	6	10
Okt.	3.9	8.0	4.4	5.2	−6.0	30	16.0	11	68	69	76	71	8	6	5.4	6.0	5.8	5.7	83	18 29	12	12	2	—	—	11	5	11
Nov.	1.4	4.7	1.7	2.4	−5.0	3 6.7	11.0	22.29	48	48	57	51	17	12	3.5	3.4	3.0	3.3	72	21 1	5	5	5	—	—	3	16	4
Dez.	−1.4	0.9	−1.2	−0.7	−6.0	31	9.0	2	76	73	75	75	32	3	6.1	6.2	5.1	5.8	221	73 29	8	8	8	—	—	9	1	8
Jahr	2.3	5.6	2.4	3.2	−15.0	II	24.0	VII VIII IX	73	71	78	74	8	X	5.3	6.0	5.3	5.5	2048	73 XII	137	137	45	—	—	109	72	12

Chippis

λ = 7° 41', β = 46° 20', H_b = 522.5m, h_r = 1.5m — Beobachter: Aluminium-Industrie-AG

Jan.	—	—	—	—	—	—	—	—	—	—	—	—	—	—	—	—	—	—	—	—	—	—	—	—	—	—	—	—
Febr.	—	—	—	—	—	—	—	—	—	—	—	—	—	—	—	—	—	—	—	—	—	—	—	—	—	—	—	—
März	—	—	—	—	—	—	—	—	—	—	—	—	—	—	—	—	—	—	—	—	—	—	—	—	—	—	—	—
April	—	—	—	—	—	—	—	—	—	—	—	—	—	—	—	—	—	—	—	—	—	—	—	—	—	—	—	—
Mai	12.5	21.2	14.4	15.6	4.2	8	30.3	18	74	45	66	62	26	3	4.3	5.9	4.5	4.9	34	18 27	7	4	—	—	2	—	5	4
Juni	13.2	19.9	14.9	15.7	6.7	3	26.0	30	83	56	78	72	31	5	7.5	6 5	6.9	7.0	78	15 7	17	16	—	—	—	—	4	13
Juli	16.1	24.2	17.6	18.9	12.5	12	30.4	22	80	51	79	70	40	21.25	4.9	5.2	5.4	5.2	76	24 4	11	9	—	—	2	—	8	7
Aug.	14.4	24.2	16.7	18.0	9.0	23	29.6	14	86	50	82	73	38	1. 22 24.30	4.2	4.2	3.6	4.0	20	6 21	8	5	—	—	2	—	10	4
Sept.	11.0	21.0	14.4	15.2	5.9	23	28.2	1	94	55	83	77	35	15	4.7	4.4	4.7	4.6	30	7 28	11	6	—	—	—	—	9	3
Okt.	7.1	16.4	9.4	10.6	−0.8	31	22.4	3	95	57	91	81	38	31	6.2	5.1	5.8	5.7	37	10 29	9	7	—	—	—	1	5	6
Nov.	−1.1	9.4	1.3	2.7	−4.7	24	14.3	1	95	51	90	79	28	27	2.4	2.5	2.0	2.3	12	5 2	5	3	—	—	—	—	20	2
Dez.	−0.2	7.0	0.9	2.2	−11.2	31	15.8	7	91	62	88	80	29	7	5.7	4.9	4.3	5.0	11	5 19	4	3	3	—	—	2	4	7
Jahr	—	—	—	—	—	—	—	—	—	—	—	—	—	—	—	—	—	—	—	—	—	—	—	—	—	—	—	—

Leukerbad

λ = 7° 37', β = 46° 23', H_b = ca 1380m, h_r = 1.1m — Beobachter: Spitalbad: Schw. G. Gränicher

Jan.	−7.1	−0.9	−6.4	−5.2	−12.8	8	9.5	29	62	47	65	58	34	16	3.2	3.3	2.7	3.1	50	23 31	5	5	5	—	—	2	16	3
Febr.	−6.0	0.4	−4.9	−3.8	−12.0	4	9.1	26	72	52	70	65	34	8.25	4.8	4.9	3.8	4.5	99	38 8	7	7	7	—	—	—	11	9
März	−1.4	6.4	0.7	1.6	−7.8	12	12.5	30	58	40	54	51	24	10.19	2.5	2.5	1.9	2.3	11	4 30	5	4	3	—	—	—	18	2
April	3.3	10.1	4.3	5.5	−3.9	16	15.0	26	70	44	64	59	31	5.6.30	5.7	6.3	5.6	5.9	19	7 10	9	6	5	—	—	2	6	9
Mai	8.9	14.3	8.8	10.2	−1.5	6	22.9	18	58	41	55	51	26	16.19	4.6	6.1	4.3	5.0	66	22 28	13	10	3	—	—	—	7	7
Juni	10.1	14.9	9.5	11.0	0.1	2	22.0	30	71	53	78	67	32	4	7.8	7.8	6.0	7.2	146	20 15	17	17	1	—	—	6	3	16
Juli	13.9	18.7	13.9	15.1	8.9	31	24.0	21	66	49	72	62	30	16	4.7	6.0	4.7	5.1	121	35 17	11	11	—	—	4	—	8	9
Aug.	11.3	19.0	12.9	14.0	5.0	23	23.4	12. 13 14	74	46	67	62	29	29	4.3	4.5	4.3	4.4	67	18 21	11	11	—	—	3	—	8	5
Sept.	10.3	16.5	10.6	12.0	5.9	11.23	22.8	6	75	51	71	66	31	13	5.6	5.1	4.9	5.2	59	18 21	9	9	—	—	—	4	5	6
Okt.	5.8	11.9	6.8	7.8	−1.8	31	17.1	13	79	57	80	72	33	11	5.3	5.2	5.5	5.3	80	18 18	8	8	1	—	—	8	8	10
Nov.	1.1	7.8	2.2	3.3	−4.0	7	10.9	16.17	62	45	61	56	26	27	2.2	2.8	3.1	2.7	11	3 5	5	5	3	—	—	—	19	4
Dez.	−0.3	4.3	0.2	1.1	−12.5	31	11.8	6	66	55	67	63	34	7	3.9	4.6	3.8	4.1	46	16 19	5	5	5	—	—	3	10	6
Jahr	4.2	10.3	4.9	6.1	−12.8	I	24.0	VII	68	48	67	61	24	III	4.6	4.9	4.2	4.6	775	38 II	105	98	33	—	7	25	119	86

Grächen

λ = 7° 51', β = 46° 12', H_b = 1629m, h_r 1.5m — Beobachter: P. Heinzmann

Jan.	−8.2	−2.8	−7.7	−6.3	−14.0	9	6.4	29	—	—	—	—	—	—	3.4	2.6	2.1	2.7	6	4 3	3	2	3	—	—	1	16	2
Febr.	−7.0	−0.9	−5.9	−4.8	−13 4	8	9.4	23	—	—	—	—	—	—	4.1	3.1	3.4	3.5	5	2 9	4	3	4	—	—	—	13	4
März	−2.0	4.7	−1.0	0.4	−7.8	12	11.6	30	—	—	—	—	—	—	1.0	1.6	0.8	1.1	0	0 —	—	—	—	—	—	—	26	1
April	2.8	7.5	3.2	4.2	−4.6	15	11.8	23-26 30	—	—	—	—	—	—	4.7	5.1	4.6	4.8	23	? —	10	7	7	—	—	6	8	8
Mai	7.9	13.8	7.9	9.4	0.2	8	21.2	18	—	—	—	—	—	—	3.2	4.9	3.5	3.9	44	35 27	8	5	1	—	3	—	9	2
Juni	8.6	12.7	8.6	9.5	−0.8	3	19.8	30	—	—	—	—	—	—	6.9	7.4	7.2	7.2	118	27 7	17	15	1	—	—	10	—	12
Juli	12.2	17.6	12.4	13.7	5.8	10	22.4	22	—	—	—	—	—	—	4.7	4.6	4.8	4.7	70	24 5	12	10	—	—	2	7	6	6
Aug.	11.2	17.6	11.9	13.2	5.8	23	22.2	31	—	—	—	—	—	—	3.6	3.3	3.3	3.4	7	2 21	7	4	—	—	2	3	12	4
Sept.	9.1	14.9	10.5	11.2	2.0	12	22.0	1	—	—	—	—	—	—	4.3	4.5	3.5	4.1	63	18 28	12	11	—	—	—	2	11	4
Okt.	4.6	9.5	5.3	6.3	-3.4	31	15.2	2	—	—	—	—	—	—	5.7	4.9	5.4	5.3	147	36 18	15	13	1	—	—	10	8	9
Nov.	0.2	6.2	1.1	2.3	−5.0	7	11.4	16	—	—	—	—	—	—	1.5	1.9	1.7	1.7	7	3 3	4	3	4	—	—	1	22	1
Dez.	−2.1	1.9	−1.6	−0.7	−15.0	31	9.8	5	—	—	—	—	—	—	3.9	4.2	3.7	3.9	8	6 19	3	1	3	—	—	3	12	7
Jahr	3.1	8.6	3.7	4.9	−15.0	XII	22.4	VII	—	—	—	—	—	—	3.9	4.0	3.7	3.9	498	36 X	95	74	24	—	7	43	143	60

Die Abendbeobachtung erfolgt um 20.30 Uhr

Zermatt

$\lambda = 7^\circ 45', \beta = 46^\circ 2', H_b = 1610^m, h_r = 0.8^m$

Beobachter: G. Brantschen

1953	Luft-Temperatur							Relative Feuchtigkeit						Bewölkung				Niederschlag			Zahl der Tage							
	7^{30}	13^{30}	21^{30}	Mittel	Minimum	Tag	Maximum Tag	7^{30}	13^{30}	21^{30}	Mittel	Minim.	Tag	7^{30}	13^{30}	21^{30}	Mitt.	Summe	Maxim.	Tag	•	≥ 1.0	*	▲	K	=	heit	Höhe
Jan.	−11.6	−2.2	−10.6	−8.7	−16.8	5	6.7	29	75	52	71	66	39	13	2.9	2.7	1.3	2.3	11	4	25	5	5	5	—	—	2	19	3
Febr.	−9.9	0.1	−7.8	−6.3	−16.1	13	9.0	26.28	77	51	75	68	37	15	3.8	3.3	2.4	3.2	8	2	9	5	4	5	—	—	2	13	5
März	−5.1	6.1	−1.2	−0.4	−10.2	12	13.0	30	76	48	70	65	37	17	2.2	2.3	0.8	1.8	0	0	—	—	—	—	—	—	—	21	1
April	0.9	10.0	3.3	4.4	−4.0	17	15.0	25	86	49	75	70	32	29	4.9	4.7	4.5	4.7	50	12	27	11	8	7	—	—	1	9	8
Mai	6.2	16.2	7.0	9.1	−1.6	10	23.7	17	76	41	66	61	26	16	3.5	4.5	3.4	3.8	39	15	27	12	9	2	—	2	—	10	1
Juni	7.8	14.1	8.6	9.8	1.0	3	21.2	28	88	62	88	79	35	4	7.3	7.0	7.3	7.2	154	35	8	22	16	2	—	—	6	2	16
Juli	10.5	18.7	10.6	12.6	6.6	16	24.0	21	86	51	84	74	32	19	4.9	4.9	4.5	4.8	63	15	4	14	11	—	—	3	1	6	7
Aug.	8.0	19.5	9.8	11.8	1.5	23	25.0	13	90	49	82	74	34	1	3.9	3.3	3.7	3.6	16	4	3	10	7	—	—	—	3	14	4
Sept.	6.2	16.4	8.2	9.7	0.4	12	24.0	1.2	92	55	84	77	35	1	4.5	4.3	3.6	4.1	67	25	28	13	11	—	—	1	3	11	6
Okt.	2.9	11.1	4.6	5.8	−6.0	31	16.5	2	95	58	93	82	30	11	5.2	5.6	5.6	5.5	135	36	18	16	15	1	—	1	5	6	9
Nov.	−2.4	6.9	−1.2	0.5	−7.3	7	11.2	16	80	48	77	68	36	12	2.1	2.5	0.6	1.7	8	5	6	3	2	3	—	—	—	20	1
Dez.	−4.5	2.4	−3.3	−2.2	−18.0	31	9.0	1.5	85	59	80	75	42	2.12	3.5	5.3	3.3	4.0	10	2	27	6	5	6	—	—	3	8	2
Jahr	0.8	9.9	2.3	3.8	−18.0	XII	25.0	VIII	84	52	79	72	26	V	4.0	4.2	3.4	3.9	561	36	X	117	93	31	—	7	26	139	63

Saas-Fee

$\lambda = 7^\circ 56', \beta = 46^\circ 7', H = ca\ 1785^m, h_r = 1.5^m$

Beobachter: Familie Imseng

Jan.	−10.4	−4.2	−9.9	−8.6	−16.8	9	4.3	30	65	51	65	61	39	27	2.8	2.9	1.8	2.5	10	4	8	4	4	4	—	—	—	16	1
Febr.	−9.2	−1.5	−7.6	−6.5	−15.3	4	8.3	28	68	51	64	61	34	25.28	4.1	3.6	3.2	3.6	11	4	15	6	4	6	—	—	—	12	5
März	−4.8	4.6	−2.3	−1.2	−11.2	12	11.1	30	66	44	61	57	33	2.8 15 21	2.0	2.3	1.5	1.9	0	0	—	—	—	—	—	—	—	16	1
April	1.0	6.6	2.2	3.0	−5.4	15	10.7	22	73	52	68	65	31	30	4.9	5.3	4.6	4.9	42	10	4	11	10	8	—	—	—	8	9
Mai	6.6	12.4	7.1	8.3	−1.6	8	19.8	26	66	43	57	55	27	4	3.0	4.7	2.4	3.4	29	17	27	8	6	1	—	—	—	11	—
Juni	7.3	10.9	7.9	8.5	−0.9	2	17.6	28	73	60	76	70	4	2	6.7	7.5	8.0	7.4	145	43	8	20	14	3	—	—	−?	1	13
Juli	10.8	16.2	11.3	12.4	5.6	31	21.3	25	77	51	72	67	29	20	5.0	4.9	5.3	5.1	70	19	18	14	10	—	—	−?	—	6	5
Aug.	9.6	16.7	10.8	12.0	2.0	23	22.7	13	82	47	70	66	32	31	3.7	3.5	3.8	3.7	18	6	21	6	5	—	—	—	—	13	6
Sept.	7.5	14.1	8.9	9.9	1.8	12	22.4	2	88	60	79	76	28	1	4.1	4.2	4.1	4.1	106	28	28	13	10	—	—	—	—	10	3
Okt.	3.5	9.4	4.8	5.6	−6.2	31	14.0	2	89	67	87	81	34	11	5.8	5.3	5.6	5.6	274	52	18	15	15	1	—	—	—	6	8
Nov.	−2.2	4.6	−1.3	−0.1	−7.3	7	7.8	16	75	59	73	69	47	12	1.8	2.3	0.9	1.7	4	3	3	2	1	1	—	—	—	20	1
Dez.	−4.0	0.3	−3.6	−2.7	−17.6	31	7.5	6	81	73	80	78	36	6	2.9	4.5	2.5	3.3	17	9	19	5	4	5	—	—	—	14	2
Jahr	1.3	7.5	2.4	3.4	−17.6	XII	22.7	VIII	75	55	71	67	4	VI	3.9	4.2	3.6	3.9	726	52	X	104	83	29	—	—	—	133	54

Die bisher angegebene Höhe (1800 m) ist ungenau.

Graubünden

Seewis

$\lambda = 9^\circ 38', \beta = 46^\circ 59', H_b = 953^m, h_r = 1.5^m$

Beobachter: Frau B. Janett

Jan.	−6.9	−1.4	−5.7	−4.9	−13.1	13	8.2	31	81	56	82	73	33	31	4.5	4.7	5.2	4.8	27	8	10	9	6	9	—	—	2	12	10
Febr.	−5.2	1.1	−3.4	−2.7	−12.0	8	9.0	27	79	52	82	71	37	26.27	4.9	5.5	5.5	5.3	58	17	1	8	7	8	—	—	—	11	11
März	0.2	8.4	1.7	3.0	−8.2	9	16.0	30	70	41	69	60	23	16	3.3	2.3	1.7	2.4	12	6	7	7	4	4	—	—	1	20	2
April	5.6	12.9	6.3	7.8	−0.1	15	18.4	23	77	44	76	66	28	18	6.2	5.1	4.4	5.2	92	15	14	15	13	5	—	—	6	7	8
Mai	10.5	17.3	10.0	12.0	−1.0	10	28.3	19	69	46	73	63	25	16.19	4.4	4.9	4.5	4.6	75	20	27	16	14	3	—	—	1	10	7
Juni	11.6	17.3	11.7	13.1	2.4	2	26.3	30	81	56	82	73	26	5	8.0	7.7	7.3	7.7	206	45	24	22	19	1	—	—	5	2	18
Juli	15.0	21.0	14.4	16.2	8.2	11	28.1	22	77	53	83	71	28	22	6.5	4.8	5.8	5.7	210	36	18	21	19	—	—	2	9	5	11
Aug.	13.5	19.3	13.4	14.9	8.0	22	26.1	13.14	78	58	86	74	37	29	5.3	4.6	3.5	4.5	80	24	14	13	11	—	—	1	9	12	9
Sept.	11.7	17.4	11.7	13.1	6.1	11	24.3	2	81	57	84	74	35	18	5.8	5.0	3.5	4.8	92	27	28	9	7	—	—	—	6	7	8
Okt.	6.8	13.1	7.8	8.9	−2.0	31	19.2	14	90	59	88	79	35	12.28	4.9	5.4	4.4	4.9	65	17	29	10	9	2	—	—	6	9	7
Nov.	1.2	7.2	1.9	3.1	−2.2	8	11.1	1	70	53	74	66	15	27	2.3	1.8	1.7	1.9	14	9	6	5	3	—	—	—	5	21	2
Dez.	0.8	5.8	1.8	2.5	−9.0	31	14.0	3.7	77	59	76	71	34	7	3.5	4.4	5.4	4.4	47	14	29	8	6	7	—	—	4	15	9
Jahr	5.4	11.6	6.0	7.2	−13.1	1	28.3	V	78	53	80	70	15	XI	5.0	4.7	4.4	4.7	978	45	VI	143	118	39	—	3	54	131	102

Schiers

$\lambda = 9^\circ 41', \beta = 46^\circ 58', H_b = ca\ 682^m, h_r = 1.5^m$

Beobachter:, Ch. Lötscher

Jan.	−8.2	−3.8	−6.4	−6.2	−16.1	15	4.7	31	92	78	90	87	59	31	6.0	4.8	5.6	5.5	23	8	10	6	6	6	—	—	2	9	11
Febr.	−6.2	0.1	−3.3	−3.2	−13.2	15	5.8	20	92	70	92	85	52	1	5.4	5.1	5.4	5.3	35	9	9	6	6	6	—	—	—	11	10
März	−1.9	8.6	1.0	2.2	−8.3	9	19.5	30	94	51	89	78	32	30	4.1	3.3	2.8	3.4	5	2	7	4	3	2	—	—	—	13	4
April	4.8	14.5	7.5	8.6	0.5	15	20.4	23	95	51	88	78	31	21	6.4	6.0	6.0	6.1	72	11	14	12	11	3	—	1	—	6	10
Mai	8.7	19.1	10.9	12.4	−1.6	11	29.6	18	93	47	90	77	25	19	5.4	5.1	5.5	5.3	62	15	27	15	13	1	—	2	—	8	10
Juni	11.7	18.4	13.2	14.1	3.2	2	25.3	30	94	64	91	83	28	5	8.3	7.6	7.7	7.9	191	36	26	18	16	—	—	—	—	1	19
Juli	14.3	22.2	15.5	16.9	7.9	12	29.1	22	94	62	93	83	35	22	6.1	5.1	6.2	5.8	168	33	18	17	16	—	—	3	—	5	10
Aug.	12.5	20.6	15.0	15.8	7.9	24	27.5	14	95	65	92	84	46	29.30	5.6	5.2	3.9	4.9	60	26	21	12	10	—	—	—	—	8	9
Sept.	11.1	18.7	13.0	14.0	5.4	21	26.1	1	94	68	93	85	40	18	6.1	5.1	4.5	5.2	74	25	25	8	8	—	—	1	1	7	11
Okt.	6.5	13.9	8.6	9.4	−1.4	31	19.0	14	97	73	95	88	41	28	5.7	6.1	5.0	5.6	61	17	29	12	10	—	—	—	2	7	12
Nov.	−1.3	4.1	0.2	0.8	−5.4	24	10.3	1	95	79	95	90	49	27	3.3	2.8	2.5	2.9	8	5	6	4	2	—	—	—	1	15	4
Dez.	−0.9	2.8	0.2	0.6	−8.0	31	6.6	3	95	86	93	91	70	3	4.1	5.6	5.0	4.9	43	13	28	7	5	5	—	—	3	9	8
Jahr	4.2	11.6	6.3	7.1	−16.1	I	29.6	V	94	66	92	84	25	V	5.5	5.2	5.0	5.2	802	36	VI	121	106	23	—	7	9	99	118

Tschiertschen

$\lambda = 9°36'$, $\beta = 46°49'$, $H_b = 1351^m$, $h_r = 1.2^m$ — Beobachter: Gg. Meister

1953	Luft-Temperatur							Relative Feuchtigkeit						Bewölkung				Niederschlag		Zahl der Tage						
	7^{30}	13^{30}	21^{30}	Mittel	Minimum	Tag	Maximum	Tag	7^{30}	13^{30}	21^{30}	Mittel	Minim.	Tag	7^{30}	13^{30}	21^{30}	Mittel	Summe	Maxim. Tag	●	●* ≥1.0	✶	▲	☇	≡	heiße	trübe
Jan.	-7.3	-2.8	-7.5	-6.3	-13.1	13	7.9	31	—	—	—	—	—	—	4.7	3.7	5.5	4.6	21	6	10	9	6	9	—	—	6	10	8
Febr.	-6.6	-3.6	-5.2	-4.4	-15.8	8	8.5	26	—	—	—	—	—	—	4.2	4.4	5.0	4.5	24	10	1	8	5	8	—	—	4	11	8
März	-1.0	5.3	-0.2	1.0	-12.4	9	12.7	30	—	—	—	—	—	—	3.3	2.5	2.7	2.8	19	15	7	5	2	5	—	—	1	18	5
April	3.7	9.4	4.0	5.3	-3.9	15	15.3	26	—	—	—	—	—	—	5.6	5.1	5.2	5.3	71	21	27	16	11	12	—	—	10	7	9
Mai	8.3	13.4	7.6	9.2	-4.1	10	23.4	18	—	—	—	—	—	—	4.4	4.6	4.5	4.5	44	8	23	16	12	4	—	—	7	11	7
Juni	9.2	13.7	8.7	10.1	0.1	2	20.7	30	—	—	—	—	—	—	7.9	8.4	7.2	7.8	241	49	24	22	18	2	—	1	13	2	19
Juli	12.3	17.4	12.0	13.4	5.9	11	24.7	18	—	—	—	—	—	—	6.2	5.2	6.1	5.8	153	26	18	21	15	—	—	-?	9	6	10
Aug.	11.5	16.2	11.1	12.5	5.3	22	23.3	13	—	—	—	—	—	—	5.2	4.7	3.7	4.5	67	31	21	13	10	—	—	—	8	11	7
Sept.	10.3	14.5	9.7	11.0	4.5	12	21.3	2	—	—	—	—	—	—	6.1	5.0	4.0	5.0	85	27	25	10	9	—	—	—	4	8	10
Okt.	6.2	10.4	6.2	7.3	-3.9	31	15.7	19	—	—	—	—	—	—	4.9	5.7	5.4	5.3	58	16	29	13	9	2	—	—	4	8	9
Nov.	1.8	6.6	2.1	3.1	-3.6	7	10.1	9	—	—	—	—	—	—	2.5	1.8	2.1	2.1	6	2	6	3	2	2	—	—	1	19	3
Dez.	-0.4	3.4	0.2	0.9	-13.5	31	10.9	2	—	—	—	—	—	—	3.7	4.6	5.2	4.5	40	11	29	9	6	9	—	—	6	11	9
Jahr	4.0	8.9	4.0	5.2	-15.8	II	24.7	VII	—	—	—	—	—	—	4.9	4.6	4.7	4.7	829	49	VI	145	105	53	—	1	13	122	104

Bivio

$\lambda = 9°39'$, $\beta = 46°28'$, $H_b = ca\ 1770^m$, $h_r = 1.6^m$ — Beobachter: U. Grisch

Jan.	-11.0	-3.6	-10.1	-8.7	-19.4	13	6.3	29	75	55	75	68	37	27	4.9	4.5	4.0	4.5	35	9	10	9	9	9	—	—	1	11	8
Febr.	-10.2	-1.1	-9.0	-7.3	-20.8	8	8.5	23	74	52	75	67	36	22	4.8	4.0	4.0	4.3	31	15	1	8	6	8	—	—	1	11	8
März	-6.2	4.1	-3.6	-2.3	-15.2	9	8.5	30	68	47	71	62	29	9	2.6	2.8	2.6	2.7	14	12	7	4	1	4	—	—	—	17	3
April	0.8	6.7	1.5	2.6	-6.2	15	11.7	22	77	57	78	71	34	30	6.5	6.6	5.1	6.1	142	28	14	13	11	10	—	—	2	6	10
Mai	5.5	10.7	4.4	6.3	-6.0	10	19.9	19	71	51	80	67	29	11	5.7	5.6	5.0	5.4	35	5	28	14	11	5	—	1	—	6	7
Juni	6.9	11.4	6.5	7.8	-3.2	2	16.9	20	80	58	83	74	36	3	8.4	8.0	6.8	7.7	164	39	24	19	17	2	—	1	3	1	18
Juli	9.7	15.8	9.6	11.2	2.6	11	23.3	26	79	54	82	72	21	20	5.9	5.5	5.6	5.7	188	86	18	18	15	—	—	4	3	7	9
Aug.	8.0	14.7	8.5	9.9	2.8	22	22.4	12	81	53	85	73	21	8	5.6	5.3	4.6	5.2	82	28	21	9	7	—	1	3	3	8	9
Sept.	7.0	13.1	7.7	8.9	-0.4	14	20.7	2	80	56	81	72	28	1	5.8	5.6	5.8	5.7	106	26	25	12	11	—	—	2	7	7	9
Okt.	3.2	8.8	4.5	5.2	-6.8	30	14.0	19	84	63	80	76	29	9.10	5.7	6.5	5.7	6.0	167	28	29	17	13	2	—	—	8	6	10
Nov.	-2.1	5.1	-1.1	0.2	-7.8	7	7.9	13	65	51	65	60	34	13.15	2.4	2.3	1.7	2.1	14	9	6	3	3	3	—	—	1	18	1
Dez.	-2.7	1.7	-1.6	-1.1	-14.7	31	8.7	5	79	66	77	74	38	6	5.1	6.1	4.8	5.3	24	6	29	9	8	9	—	—	3	7	9
Jahr	0.7	7.3	1.4	2.7	-20.8	II	23.3	VII	76	55	78	70	21	VII VIII	5.3	5.2	4.6	5.0	1002	86	VII	135	112	52	1	11	32	105	101

Sils-Maria

$\lambda = 9°46'$, $\beta = 46°26'$, $H = 1802^m$, $h_r = 1.8^m$ — Beobachter: K. Breu-Sciucchetti

Jan.	-12.8	-4.0	-11.2	-9.8	-18.3	18	7.8	29	87	57	84	76	30	27	3.2	2.8	2.3	2.8	2	1	6	2	—	2	—	—	—	14	1
Febr.	-12.6	-1.5	-9.5	-8.3	-22.5	7	8.2	22.23	86	50	80	72	25	22	2.9	3.1	2.3	2.8	4	3	10	2	2	2	—	—	—	14	3
März	-8.2	3.8	-4.3	-3.2	-16.6	9	9.0	21	86	44	80	70	21	20	1.8	2.2	1.8	1.9	0	0	—	—	—	—	—	—	—	20	—
April	0.6	6.2	1.2	2.3	-5.4	15	10.8	22	86	62	89	79	36	30	5.9	6.1	6.5	6.2	83	22	4	11	10	9	—	—	4	3	11
Mai	5.9	11.8	4.8	6.8	-5.1	10	20.0	19.26	70	48	79	66	25	25	4.5	5.2	4.6	4.8	16	6	23	9	6	1	—	4	—	7	5
Juni	7.2	10.8	6.5	7.7	-4.2	2	17.3	28	82	67	91	80	28	3	8.1	8.0	6.9	7.7	109	18	24	19	17	2	—	1	3	—	16
Juli	10.7	15.5	10.0	11.6	4.6	11	22.4	26	80	60	89	76	22	20	5.3	6.0	4.7	5.3	186	86	18	16	16	—	—	3	3	5	8
Aug.	10.2	15.8	9.9	11.5	5.0	22	23.2	13	79	54	85	73	28	29	4.9	5.5	4.2	4.9	72	29	21	9	7	—	—	3	1	6	6
Sept.	7.0	12.6	7.8	8.8	-0.1	21	19.8	1	89	66	88	81	30	13	6.2	6.0	5.8	6.0	105	25	25	14	12	—	—	1	4	3	11
Okt.	2.4	8.1	3.7	4.5	-8.4	31	11.9	1	95	66	90	84	20	9	6.5	6.4	5.9	6.3	205	31	25	16	15	2	—	—	8	4	14
Nov.	-3.4	4.9	-1.7	-0.5	-7.2	26	9.8	15	86	48	82	72	24	12	2.0	2.5	1.6	2.0	7	6	2	2	2	1	—	—	1	18	2
Dez.	-4.6	0.5	-3.8	-2.9	-15.4	31	6.2	1	90	65	85	80	45	2	4.5	5.4	3.5	4.5	14	8	19	5	4	4	—	—	2	8	4
Jahr	0.2	7.0	1.1	2.4	-22.5	II	23.2	VIII	85	57	85	76	20	X	4.6	4.9	4.2	4.6	803	86	VII	105	91	23	—	12	26	102	81

Scarl (Unterengadin)

$\lambda = 10°20'$, $\beta = 46°43'$, $H = ca\ 1810^m$, $h_r = 2.0^m$ — Beobachter: Eidg. Grenzwachtposten

Jan.	—	—	—	—	—	—	—	—	—	—	—	—	—	—	—	—	—	—	—	—	—	—	—	—	—	—	—	—	—
Febr.	—	—	—	—	—	—	—	—	—	—	—	—	—	—	—	—	—	—	—	—	—	—	—	—	—	—	—	—	—
März	—	—	—	—	—	—	—	—	—	—	—	—	—	—	—	—	—	—	—	—	—	—	—	—	—	—	—	—	—
April	—	—	—	—	—	—	—	—	—	—	—	—	—	—	—	—	—	—	—	—	—	—	—	—	—	—	—	—	—
Mai	6.9	12.0	7.2	8.5	-4.8	11	25.1	27	46	32	49	42	13	16	5.5	5.2	5.5	5.4	19	6	23	7	6	3	—	—	—	7	4
Juni	8.0	11.5	6.6	8.2	-4.9	3	16.8	30	62	57	77	65	25	6	7.6	7.7	7.4	7.6	153	19	15	22	22	3	—	—	—	—	13
Juli	9.4	15.2	12.0	12.2	3.4	20	22.4	26	46	51	62	53	15	20	4.7	5.1	6.0	5.3	99	18	18	17	17	2	1	1	—	4	4
Aug.	11.0	18.3	13.2	13.9	4.7	24	23.6	14	45	42	51	46	19	21	3.5	4.6	4.9	4.3	40	11	21	7	7	—	—	1	—	9	2
Sept.	8.6	13.8	10.7	10.9	1.4	12	21.7	1	49	50	52	50	30	9	4.5	5.2	5.4	5.0	93	17	28	10	10	—	—	—	2	6	8
Okt.	—	—	—	—	—	—	—	—	—	—	—	—	—	—	—	—	—	—	—	—	—	—	—	—	—	—	—	—	—
Nov.	—	—	—	—	—	—	—	—	—	—	—	—	—	—	—	—	—	—	—	—	—	—	—	—	—	—	—	—	—
Dez.	—	—	—	—	—	—	—	—	—	—	—	—	—	—	—	—	—	—	—	—	—	—	—	—	—	—	—	—	—
Jahr	—	—	—	—	—	—	—	—	—	—	—	—	—	—	—	—	—	—	—	—	—	—	—	—	—	—	—	—	—

Sta. Maria (Münstertal)

$\lambda = 10° 25'$, $\beta = 46° 36'$, $H_b = 1411^m$, $h_r = 1.8^m$

Beobachter: Frau B. Graber

1953	Luft-Temperatur								Relative Feuchtigkeit						Bewölkung				Niederschlag			Zahl der Tage							
	7^{30}	13^{30}	21^{30}	Mittel	Minimum	Tag	Maximum	Tag	7^{30}	13^{30}	21^{30}	Mittel	Minim.	Tag	7^{30}	13^{30}	21^{30}	Mitt.	Summe	Maxim.	Tag	●	●* ≧1.0	*	▲	≡	≡	helle	trübe
Jan.	−5.8	−2.0	−4.9	−4.4	−10.6	15	8.4	30	55	44	51	50	25	16	4.0	4.0	1.8	3.3	0	0	—	—	—	—	—	—	—	14	3
Febr.	−5.4	0.6	−4.2	−3.3	−14.6	8	8.8	22	54	40	52	49	27	17	4.4	4.0	1.8	3.4	5	3	10	2	2	2	—	—	—	14	4
März	−1.6	6.4	0.5	1.4	−10.0	9	11.4	28	50	33	49	44	21	7	2.0	2.0	1.3	1.8	1	1	31	1	1	—	—	—	—	21	1
April	6.3	11.0	5.5	7.1	0.0	15	15.0	23	65	42	69	59	28	7	5.4	6.3	5.2	5.6	89	21	14	11	9	5	—	—	—	5	10
Mai	9.4	15.5	9.1	10.8	−1.8	10	28.0	25	43	39	56	46	26	11	4.6	5.4	4.0	4.7	9	3	22.26	4	3	—	—	—	—	7	6
Juni	10.1	14.9	10.1	11.3	0.6	3	18.6	30	60	53	75	63	30	3.5	8.8	8.6	7.9	8.4	86	21	8	16	15	1	—	—	—	—	20
Juli	13.2	19.0	13.4	14.8	7.8	11	23.4	26	55	41	74	60	26	20	5.0	6.0	4.6	5.2	160	52	18	18	16	—	—	2	1	8	9
Aug.	12.1	18.5	13.1	14.2	6.4	28	25.8	13	62	50	70	61	29	5	5.1	5.3	5.3	5.2	67	32	21	7	6	—	—	—	—	6	9
Sept.	9.8	15.1	10.5	11.5	2.8	34	22.0	1	76	58	78	71	26	13	4.8	5.7	5.0	5.2	79	26	25	11	10	—	—	—	1	9	9
Okt.	5.9	10.4	6.5	7.3	−4.0	11	14.8	5	78	61	77	72	22	6	6.0	6.1	5.5	5.9	106	15	18	17	15	1	—	—	—	6	14
Nov.	0.6	3.9	1.5	1.9	−5.4	25.26	11.6	15	58	51	56	55	24	15	2.6	2.6	1.0	2.1	3	2	2	2	1	--	—	—	—	20	2
Dez.	−2.1	0.6	−1.5	−1.1	−10.0	31	5.0	1	71	62	70	68	36	23.30	3.4	4.6	2.3	3.4	9	*5	19	4	2	4	—	—	—	12	2
Jahr	4.4	9.5	5.0	6.0	−14.6	II	28.0	V	61	49	65	58	21	III	4.7	5.0	3.8	4.5	614	52	VII	93	80	13	—	2	2	122	89

Grono

$\lambda = 9° 9'$, $\beta = 46° 15'$, $H_b = 335^m$, $h_r = 1.3^m$

Beobachter: A. Parolini

Jan.	−1.7	3.1	0.5	0.6	−6.0	15	7.0	26	74	58	70	67	30	9	2.8	2.5	2.4	2.6	1	1	6	1	1	1	—	—	1	16	2
Febr.	−0.1	5.5	2.0	2.4	−5.4	7	13.0	28	66	52	61	60	28	8	3.5	3.0	2.0	2.8	2	2	10	1	1	1	—	—	—	16	4
März	5.3	13.0	7.0	8.1	2.2	15	18.3	5	59	42	54	52	31	5.8	0.9	0.8	0.3	0.7	0	0	—	—	—	—	—	—	—	28	—
April	8.7	14.7	9.4	10.5	6.0	2.15	21.1	25	81	57	73	70	39	17	4.6	4.7	3.9	4.4	70	14	5	9	9	—	—	—	—	13	7
Mai	14.5	21.1	15.0	16.4	8.0	8.11	27.4	25	64	43	59	55	31	31	2.3	2.4	2.1	2.3	5	4	20	2	2	—	—	—	—	20	1
Juni	13.7	18.4	14.1	15.1	8.8	5	24.0	28	87	63	80	77	29	1	6.2	6.5	5.4	6.0	241	68	24	20	20	—	—	-?	2	4	9
Juli	18.8	23.8	19.1	20.2	15.0	13	28.1	26	81	55	72	69	34	11	3.4	3.4	3.4	3.4	137	71	18	10	10	—	—	2	1	13	1
Aug.	17.9	24.6	18.6	19.9	14.0	28	29.2	13	79	52	72	68	29	4	2.4	2.0	2.7	2.4	105	71	21	6	6	—	—	—	—	18	1
Sept.	14.6	20.5	15.4	16.5	10.8	28	26.1	1.5	85	63	81	76	30	13	4.7	4.7	5.1	4.8	163	42	19	14	14	—	—	—	3	9	7
Okt.	10.2	15.1	11.1	11.9	3.5	31	19.8	3	94	74	88	85	57	5	5.6	5.5	5.8	5.6	340	45	18.26	18	18	—	—	—	3	8	12
Nov.	3.8	9.3	5.5	6.0	0.4	26	14.0	6	85	60	75	73	31	7	2.0	1.6	0.9	1.5	6	6	2	1	1	—	—	—	1	24	1
Dez.	3.2	6.8	4.0	4.5	−1.0	28	12.0	1	86	65	81	77	27	31	3.2	3.3	3.4	3.3	7	2	8	4	4	—	—	—	4	15	3
Jahr	9.1	14.7	10.1	11.0	−6.0	I	29.2	VIII	78	57	72	69	27	XII	3.5	3.4	3.1	3.3	1077	71	VIII	86	82	2	—	2	15	184	48

Tessin

Airolo

$\lambda = 8° 36'$, $\beta = 46° 31'$, $H_b = $ ca 1170^m, $h_r = 0.8^m$

Beobachter: Familie Rossi-Burkhalter

Jan.	−3.4	−0.8	−3.0	−2.6	−8.2	21.24	9.1	29	62	56	62	60	33	20	3.1	2.5	2.7	2.8	12	7	31	5	4	5	—	—	—	18	3
Febr.	−2.9	1.8	−1.8	−1.2	−10.0	8	9.9	28	63	52	63	59	34	24	3.8	3.2	2.8	3.3	13	5	10	3	3	3	—	—	—	15	4
März	0.6	7.3	2.6	3.3	−6.0	9	12.3	28	64	49	62	58	31	20	2.1	2.3	2.0	2.1	5	4	30	2	1	1	—	—	—	18	—
April	4.8	9.2	5.8	6.4	0.8	16	14.3	30	80	68	79	76	38	28	5.9	6.6	6.3	6.3	190	45	4	11	11	—	—	—	—	4	13
Mai	9.0	17.0	9.7	11.4	0.1	10	24.6	18.20	76	47	75	66	32	13.15	3.4	3.3	3.6	3.4	21	9	27	4	4	—	—	—	—	10	1
Juni	9.9	14.2	10.5	11.3	2.5	5	22.0	28	84	73	86	81	45	27	7.0	7.6	8.1	7.6	242	52	17	20	20	—	—	—	—	1	15
Juli	13.3	19.4	14.2	15.3	9.6	31	23.5	26	81	62	84	76	33	24	4.4	5.7	5.3	5.1	143	35	18	14	14	—	—	3	—	7	7
Aug.	12.3	19.9	14.2	15.2	7.6	22	25.9	13	82	55	76	71	35	5	4.0	4.0	5.0	4.3	55	30	21	5	5	—	—	1	—	7	4
Sept.	10.5	15.5	11.3	12.1	5.4	14	23.2	2.5	81	71	83	78	33	22	6.1	6.4	6.2	6.2	294	48	23	16	16	—	—	1	3	2	12
Okt.	6.3	10.5	7.1	7.8	−1.3	31	15.8	1	85	74	85	81	41	5.8	6.2	6.2	6.8	6.4	344	52	18	17	15	1	—	—	4	6	16
Nov.	1.6	6.3	2.0	3.0	−4.0	26	12.4	16	69	54	67	63	32	10.16	2.4	2.3	2.5	2.4	18	9	2	2	2	—	—	—	1	18	4
Dez.	0.1	2.7	0.2	0.8	−9.0	31	5.4	16	79	71	78	76	40	23	5.5	5.9	5.4	5.6	23	10	19	9	7	6	—	—	4	5	9
Jahr	5.2	10.2	6.1	6.9	−10.0	II	25.9	VIII	75	61	75	70	31	III	4.5	4.7	4.7	4.6	1360	52	X	108	102	16	—	5	12	111	88

Comprovasco

$\lambda = 8° 56'$, $\beta = 46° 28'$, $H_b = 544.1^m$, $h_r = 1.6^m$

Beobachter: Frl. P. Gianella

Jan.	−1.1	3.7	−0.5	0.4	−6.6	14	11.3	29	—	—	—	—	—	—	4.3	3.1	1.6	3.0	2	2	6	1	1	1	—	—	1	12	1
Febr.	−1.1	5.8	0.7	1.5	−6.6	9	13.5	23	—	—	—	—	—	—	3.6	3.2	1.8	2.9	5	5	10	1	1	1	—	—	—	10	1
März	3.2	13.0	5.9	7.0	−3.0	9	17.4	30	—	—	—	—	—	—	2.1	2.4	1.5	2.0	0	0	—	—	—	—	—	—	—	17	—
April	8.4	14.7	9.5	10.5	5.2	14	19.4	22	—	—	—	—	—	—	6.4	6.7	6.5	6.5	113	49	4	13	10	—	—	1	—	5	13
Mai	12.5	22.2	13.9	15.6	2.4	11	30.0	26	—	—	—	—	—	—	2.7	4.2	2.6	3.2	7	4	17	5	2	—	—	1	—	7	—
Juni	13.7	19.1	13.5	15.0	6.5	4	25.2	28	—	—	—	—	—	—	7.6	8.4	6.5	7.5	202	52	29	18	16	—	—	2	—	1	18
Juli	16.1	24.0	16.7	18.4	11.1	31	28.0	8	—	—	—	—	—	—	4.9	5.4	4.8	5.0	168	75	1	13	10	—	—	5	—	7	7
Aug.	15.7	24.0	17.1	18.5	9.8	24	29.0	13	—	—	—	—	—	—	3.5	3.8	5.2	4.2	40	16	21	8	7	—	—	3	—	8	3
Sept.	13.4	19.4	14.4	15.4	7.8	21	26.4	2	—	—	—	—	—	—	6.2	6.3	5.5	6.0	201	53	19	14	14	—	—	1	—	4	10
Okt.	8.9	14.3	10.0	10.8	0.8	31	22.0	5	—	—	—	—	—	—	5.6	6.4	6.5	6.2	255	45	18	18	15	—	—	—	—	6	12
Nov.	2.5	9.1	3.9	4.9	−2.8	27	13.8	6	—	—	—	—	—	—	2.2	3.3	2.4	2.6	17	14	2	2	2	—	—	—	1	17	3
Dez.	2.7	6.6	3.3	4.0	−1.4	24.26	10.7	1	—	—	—	—	—	—	5.5	7.0	4.9	5.8	17	6	19	5	4	1	—	—	—	5	10
Jahr	7.9	14.7	9.0	10.2	−6.6	I II	30.0	V	—	—	—	—	—	—	4.6	5.0	4.2	4.6	1027	75	VII	98	82	3	—	13	2	99	78

Fescoggia

$\lambda = 8°53'$, $\beta = 46°02'$, $H_b = ca\ 845^m$, $h_r = 1.8^m$ — Beobachter: H. Suter

1953	Luft-Temperatur								Relative Feuchtigkeit						Bewölkung				Niederschlag		Zahl der Tage							
	7^{30}	13^{30}	21^{30}	Mittel	Minimum	Tag	Maximum	Tag	7^{30}	13^{30}	21^{30}	Mittel	Minim.	Tag	7^{30}	13^{30}	21^{30}	Mitt.	Summe	Maxim. Tag	• *	•* ≥1.0	*	▲	K_x	≡	helle	trübe
Jan.	0.1	5.5	1.0	1.9	-4.0	15	15.8	29	—	—	—	—	—	—	3.4	2.8	2.7	3.0	8	4 6	3	2	3	—	—	—	16	4
Febr.	0.5	7.5	1.6	2.8	-5.6	9	17.4	23	—	—	—	—	—	—	2.4	3.2	1.9	2.5	10	9 10	2	2	2	—	—	—	16	3
März	5.7	13.4	5.9	7.7	-2.9	15	17.7	10	—	—	—	—	—	—	1.0	1.9	0.8	1.2	0	0 —	1	—	1	—	—	—	23	—
April	9.0	13.0	9.5	10.2	2.2	15	18.8	22	—	—	—	—	—	—	5.7	6.9	6.6	6.4	162	22 5	14	12	2	—	2	3	4	13
Mai	13.4	19.6	13.5	15.0	7.1	11	25.8	25	—	—	—	—	—	—	3.3	3.6	3.6	3.5	29	10 26	8	5	—	—	3	—	11	3
Juni	13.3	16.9	13.6	14.3	7.3	3	23.1	28	—	—	—	—	—	—	6.7	7.6	6.6	7.0	492	116 29	22	19	—	—	4	2	1	14
Juli	16.9	21.4	17.2	18.2	12.5	12	25.4	26	—	—	—	—	—	—	5.2	5.6	4.9	5.2	261	39 12	14	13	—	—	4	—	9	8
Aug.	16.5	21.9	17.2	18.2	12.2	23	25.3	13	—	—	—	—	—	—	3.5	3.9	3.6	3.7	132	104 21	8	7	—	—	2	—	13	5
Sept.	14.5	18.1	14.8	15.5	11.0	20	24.8	2	—	—	—	—	—	—	6.0	6.8	6.2	6.3	296	72 19	15	15	—	—	2	1	6	14
Okt.	10.3	13.7	10.8	11.4	4 4	31	19.9	2	—	—	—	—	—	—	6.8	7.4	7.1	7.1	466	61 29	18	16	—	—	—	4	1	16
Nov.	5.2	11.1	6.1	7.1	-0.9	26	15.9	16	—	—	—	—	—	—	2.3	3.1	2.9	2.8	19	15 2	4	3	—	—	—	2	17	4
Dez.	4.1	7.2	4.2	4.9	-2.0	31	13.1	2	—	—	—	—	—	—	6.5	6.2	5.5	6.1	24	7 19	7	5	1	—	—	6	5	13
Jahr	9.1	14.1	9.6	10.6	-5.6	II	25.8	V	—	—	—	—	—	—	4.4	4.9	4.4	4.6	1899	116 VI	116	99	9	—	17	18	122	97

Monte Brè

$\lambda = 8°59'$, $\beta = 46°1'$, $H_b = 910^m$, $h_r = 1.5^m$ — Beobachter: A. Rezzonico

Jan.	0.1	2.0	0.4	0.7	-4.3	14	11.0	29	—	—	—	—	—	—	3.6	3.4	2.8	3.3	6	4 6	2	2	2	—	—	1	14	4
Febr.	0.0	3.0	0.8	1.2	-7.3	10	11.1	23	—	—	—	—	—	—	3.5	3.5	2.8	3.3	6	4 10	2	2	2	—	—	—	13	2
März	3.8	8.8	5.7	6.0	-3.0	15	14.0	31	—	—	—	—	—	—	1.8	2.0	2.0	1.9	0	0 —	—	—	—	—	—	—	21	—
April	7.8	12.0	9.1	9.5	1.2	15	17.0	23	—	—	—	—	—	—	6.5	6.4	6.7	6.5	108	24 26	12	12	1	—	1	2	2	13
Mai	12.5	18.1	13.6	14.5	5.0	11	25.8	27	—	—	—	—	—	—	3.2	3.5	4.6	3.8	16	7 13	5	5	—	—	3	1	10	3
Juni	13.0	16.1	14.1	14.3	5.0	3	20.6	28	—	—	—	—	—	—	6.8	7.7	5.8	6.8	292	81 29	17	17	—	—	4	1	1	11
Juli	16.8	21.1	18.2	18.6	12.0	12	25.0	26	—	—	—	—	—	—	5.1	4.8	4.7	4.9	143	29 12	10	10	—	—	6	1	9	6
Aug.	16.1	20.4	17.5	17.9	12.6	23	24.0	13	—	—	—	—	—	—	3.4	3.5	4.3	3.7	90	63 21	5	5	—	—	2	—	14	5
Sept.	14.1	16.9	14.8	15.2	10.2	16	22.2	1. 3	—	—	—	—	—	—	6.1	6.0	5.9	6.0	180	38 19	14	14	—	—	1	3	8	12
Okt.	9.8	12.3	10.3	10.7	5.0	29 30.31	17.2	2	—	—	—	—	—	—	6.4	6.8	7.3	6.8	390	48 18	18	18	—	—	—	4	3	14
Nov.	5.3	7.7	5.7	6.1	-0.5	27	12.0	16	—	—	—	—	—	—	2.6	2.6	2.9	2.7	14	12 2	3	3	—	—	—	4	17	3
Dez.	3.8	5.1	3.5	4.0	-3.0	31	9.2	2	—	—	—	—	—	—	6.2	5.8	5.5	5.8	23	8 19	5	5	—	—	—	7	6	11
Jahr	8.6	12.0	9.5	9.9	-7.3	II	25.8	V	—	—	—	—	—	—	4.6	4.7	4.6	4.6	1268	81 VI	93	93	5	—	17	24	118	84

Mezzana

$\lambda = 9°0'$, $\beta = 45°51'$, $H = 335^m$, $h_r = 1.0^m$ — Beobachter: Istituto Agrario Cantonale

Jan.	-1.8	5.5	-0.5	0.7	-5.5	14	12.0	29	97	71	94	87	35	26	3.6	3.5	3.1	3.4	14	14 6	1	1	1	—	—	4	16	5
Febr.	-0.4	8.8	2.2	3.2	-6.5	9	17.0	28	86	58	81	75	30	8	3.3	2.8	1.7	2.6	5	5 10	1	1	1	—	—	1	15	3
März	3.4	15.9	6.6	8.1	-2.2	15	21.0	5	88	48	75	70	30	8.10	1.6	1.6	0.7	1.3	0	0 —	—	—	—	—	—	—	23	—
April	10.0	17.2	11.4	12.5	5.0	15	22.5	21	97	67	91	85	35	30	5.8	5.5	5.2	5.5	163	45 14	12	12	—	—	2	—	7	10
Mai	15.2	24.5	17.4	18.6	7.5	9	32.0	25.26	87	47	75	70	26	31	3.1	2.4	3.5	3.0	33	28 13	5	3	—	—	—	—	12	—
Juni	15.7	21.4	17.4	18.0	10.0	3	28.5	28	95	75	93	88	30	1	6.6	7.1	5.5	6.4	305	83 29	24	20	—	—	3	—	3	13
Juli	19.7	27.3	21.4	22.5	15.0	13	31.5	26	89	56	76	75	14	19	4.1	4.3	3.5	4.0	215	62 9	13	12	—	—	2	—	12	4
Aug.	18.3	27.3	20.6	21.7	13.5	28	30.8	12	90	53	84	76	40	23.24	4.0	2.5	3.1	3.2	79	55 21	7	7	—	—	1	—	13	4
Sept.	15.9	22.4	17.2	18.2	9.0	12	31.0	2	96	67	92	85	40	13	5.9	5.2	4.2	5.1	254	63 19	14	14	—	—	1	—	7	8
Okt.	11.8	16.7	12.5	13.4	3.8	31	24.0	2. 3	99	78	96	91	50	10	6.2	6.7	5.6	6.2	495	58 26	19	18	—	—	—	1	4	10
Nov.	3.9	11.3	5.4	6.5	-1.2	26	17.0	7	96	72	94	87	30	7	4.6	3.8	3.6	4.0	14	9 2	3	3	—	—	—	8	13	5
Dez.	4.7	8.0	5.2	5.8	-1.0	28	13.5	2	94	86	93	91	28	30	7.4	7.0	6.3	6.9	37	9 7	10	7	—	—	—	6	6	18
Jahr	9.7	17.2	11.4	12.4	-6.5	II	32.0	V	93	65	87	82	14	VII	4.7	4.4	3.8	4.3	1614	83 VI	109	98	2	—	9	20	131	80

Anhang

zum Jahrgang 1953 der Annalen der
Schweizerischen Meteorologischen Zentralanstalt

Ergänzende Beobachtungen und Abhandlungen

Nr. 1

Übersicht über den Witterungsverlauf in der Schweiz im Jahre 1953

Die mittlere *Temperatur* des Berichtsjahres war auf den meisten Stationen um 0.6 bis 0.8° höher als das langjährige Mittel. Zum Vergleich sei bemerkt, daß die maximalen Überschüsse der bisherigen Meßreihe seit 1864 etwa 1.3° betragen. Noch etwas größere Abweichungen ergeben sich für den Alpensüdfuß und die Hochstationen (vgl. hierzu die Tabelle Seite 8).

Der Januar war sehr kalt, besonders in den Alpen und im Jura. Die Monate März, April, Mai, ferner der Oktober sowie schließlich der Dezember weisen in der ganzen Schweiz einen ausgesprochenen Temperaturüberschuß auf. Der Dezember war für den Alpensüdfuß ein Rekordmonat an Wärme. Auch der Mai war dort ungewöhnlich warm, der Juni dagegen sehr kühl.

Die Jahressummen der *Sonnenscheindauer* weisen nur geringe Abweichungen vom Normalwert auf. Diese waren meist positiv, auf vereinzelten Stationen negativ. Von den Tieflandstationen haben Zürich und Basel die größten Überschüsse zu verzeichnen (9 bzw. 11% des Normalbetrages). Solche oder größere Überschüsse sind immerhin durchschnittlich jedes siebente Jahr festzustellen.

In der ganzen Schweiz hat sich der März durch einen ungewöhnlich großen Überschuß, der Juni durch ein ungewöhnlich großes Defizit an Sonnenschein ausgezeichnet. Auch der Mai war sehr sonnig, besonders am Südfuß der Alpen.

Was die *Niederschlagsmengen* anbetrifft, so sind im Mittelland, im Jura und in Graubünden meist etwa drei Viertel des langjährigen Durchschnitts gemessen worden, im Wallis sogar nicht viel mehr als die Hälfte desselben. Diese Beträge sind ungewöhnlich gering. Auf unseren langjährigen Stationen sind erst ein- oder zweimal seit 1864 (Beginn der Messungen) noch kleinere Beträge als die erwähnten gemessen worden. Im übrigen Alpengebiet und im Tessin schwanken die Beträge zwischen 80 und 90% des normalen. Luzern und Locarno kommen noch etwas näher an diesen heran. Überschüsse sind jedoch nirgends zu verzeichnen.

Ungewöhnlich trocken war der März in der ganzen Schweiz. Sehr geringe Mengen sind besonders auf der Alpensüdseite auch im Januar, Februar (teilweise) November und Dezember gefallen. Ungewöhnlich niederschlagsreich war der Juni besonders im Alpengebiet. Der Oktober war relativ trocken auf der Nordseite, sehr naß auf der Südseite der Alpen.

Die folgende Zusammenstellung gibt näher Auskunft über die mittleren Verhältnisse und den Witterungsablauf in den einzelnen Monaten.

Der JANUAR war ausgesprochen kalt. Annähernd normale Temperaturmittel sind nur am Alpensüdfuß zu verzeichnen. Im Mittelland beträgt das Temperaturdefizit 1 bis 2 Grad, in den Alpentälern meist 2 bis 3, im Jura etwa 2, im Wallis 3½ Grad. — Die Sonnenscheindauer war im Tessin, im Alpengebiet, am oberen Genfersee und im Jura etwas zu groß, in den Niederungen der Alpennordseite zu klein. Im nordöstlichen Mittelland ist etwa die Hälfte, im Wallis das Anderthalbfache des Normalwerts gemessen worden. — Die Niederschlagsmengen betragen im Engadin weniger als 10 Prozent, im Tessin 10 bis 20, im Wallis, in der Westschweiz, im Berner Oberland, in Nord- und Mittelbünden sowie im nordöstlichen Mittelland etwa 20 bis 25%, im Alpengebiet der Zentral- und Nordostschweiz 50 bis 70% des Normalbetrages. Bemerkenswert ist, daß Stationen des nordöstlichen Mittellandes wie Aarau, Olten, Muri seit dem Jahre 1900 keine kleineren Beträge gemessen haben, während dies in den Jahren vorher seit 1864 etwa 6 bis- 12mal der Fall war. Weniger ausgesprochen ist dies auch auf anderen Stationen festzustellen.

Die Alpensüdseite war nur am 3., am 6. bis 8., am 24., 25. und 28. ausgesprochen trübe, sonst fast immer sonnig. Auf der Alpennordseite herrschte während des ersten Monatsdrittels, unter dem Einfluß von Störungen (Depressionen), die, von Nordwesten her kommend, mehr oder weniger direkt über die Alpen hinüber nach dem Mittelmeer wanderten, etwas unbeständiges Wetter. Dabei waren nur die Höhen oberhalb zirka 2000 m zeitweise hell, die Niederungen fast anhaltend bedeckt. Dann baute sich auf dem Kontinent ein Hoch mit wechselnden Zentren auf, das sich bis zum 24. zu halten vermochte und im Alpengebiet und am Alpensüdfuß anhaltend, im Genferseegebiet vom 11. bis 13. und vom 18. bis 20., in Basel vom 21. bis zum 24. sonniges Wetter verursachte. Das Mittelland war vorwiegend bedeckt durch Hochnebel (Obergrenze 1000 bis 1300 m) und kalt. Das Temperaturminimum ist auf den meisten Stationen am 13., 14. oder 15. erreicht worden. Der 25. brachte ganz unerwartet eine allgemeine Trübung, die durch eine schwache Tiefdruckrinne in der Kanalgegend veranlaßt worden war. Mit dem Einsetzen westlicher Höhenwinde am 27. trat eine fühlbare Erwärmung ein. Im Mittelland stiegen die Mittagstemperaturen fortan bis auf 5 bis 7 Grad über Null. Der 29. war für den Westen, der 30. im Nordosten vorwiegend sonnig. Am 31. vertiefte sich eine Depression über der Nordsee zu einem starken Sturmwirbel, der verheerende Hochwasser in den Küstengebieten von Großbritannien, Holland und Nordwestdeutschland zur Folge hatte. Im Mittelland setzte der Wind schlagartig um die Mittagszeit des 31. ein. Er erreichte in Zürich eine Stärke von 20 Meter pro Sekunde. Der nachfolgende Kaltlufteinbruch verursachte einige Regen- und Schneeschauer. Die Temperatur sank in der Höhe bis zum Nachtag um zirka 10 Grad.

Die FEBRUAR-Temperaturen blieben im allgemeinen unter dem langjährigen Mittelwert. Die Abweichungen von diesem waren im nordöstlichen Mittelland und im Jura meist kleiner, in der Westschweiz und im Alpengebiet größer als 1 Grad. Ein Defizit von mehr als 2 Grad hat das Wallis aufzuweisen. Am Alpensüdfuß entspricht das Temperaturmittel des Monats ungefähr dem Normalwert. — Die Sonnenscheindauer betrug im Mittelland meist nur 70 bis 80, in der Westschweiz und im Jura 90 bis 100 Prozent des langjährigen Mittels. Die Alpensüdseite, das Alpengebiet und die Stationen am oberen Genfersee weisen Überschüsse auf, die im allgemeinen 20 Prozent des Normalwertes nicht überschreiten. — Die Niederschlagsmengen waren im Tessin, Bergell und Oberengadin auffallend gering. Sie betrugen hier nur 10 bis 20 Prozent des Normalbetrages. Das Alpengebiet und die Westschweiz haben zirka 50 bis 80 Prozent erhalten. Überschüsse bis zu 20 Prozent sind im Gebiet des Mittellandes längs der Jurakette aufgetreten.

Das auf Ende Januar erschienene Sturmtief lag am 1. Februar über Hamburg und verursachte auch an diesem Tage in der Schweiz stürmischen Westwind. Der Einbruch der kalten Rückseitepolarluft verursachte namhafte Niederschläge und einen Temperaturrückgang von 10 Grad in der Höhe. Eine zweite, wesentlich schwächere Störung erscheint am 5., ebenfalls aus Nordwesten kommend, über der norddeutschen Küste und eine dritte am 12. Februar über Westdeutschland. Das Wetter blieb daher kalt und bis zum 12. unbeständig. Seither sind keine nennenswerten Niederschläge mehr gefallen. Die Schneedecke vermochte sich im Mittelland noch strichweise bis etwa zum 22. Februar zu halten. Eine Depression, die sich, von Nordafrika her kommend, am 15. ziemlich unerwartet über dem Mittelmeer entwickelt hatte, verursachte an diesem Tage und ebenso am 16. eine starke Bise besonders in der Westschweiz. Das letzte Monatsdrittel war unter dem Einfluß eines nordwestlich, später nordöstlich der Alpen liegenden Hochdruckkerns ausgesprochen trocken und für die Höhen sonnig und mild. Das Mittelland war nur vom 21. bis 23. und am 28. anhaltend sonnig. An den übrigen Tagen trat wenigstens vormittags Nebel oder Hochnebel auf. Seit dem 19. lag hier das Tagesmittel der Temperatur wieder einige Grad über dem Gefrierpunkt.

Der MÄRZ war ausgesprochen warm. Vor allem aber zeichnete er sich durch eine ungewöhnlich große Helligkeit und Trockenheit aus. Die Temperaturmittel weichen in den Niederungen vom Normalwert um 1.5 bis 2 Grad ab. Die Gipfelstation Säntis zeigt eine positive Abweichung von 2.3 Grad. Dagegen sind in den Alpentälern weniger große Überschüsse erreicht worden, was als eine Folge der nächtlichen Ausstrahlung anzusehen ist. — Die Sonnenscheindauer ereichte auf der Alpennordseite den Betrag von 180 bis 190 Prozent, auf der Südseite denjenigen von 150 bis 170 Prozent des langjährigen Mittels, was für viele Stationen das absolute Maximum der bisherigen Messungsergebnisse darstellt. In Bern und Luzern sind im März 1948, in Lausanne im März 1938 noch größere Beträge ereicht worden. Einige Meßreihen reichen bis ins Jahr 1884 zurück. Der Bewölkungsgrad beträgt im Mittelland etwa die Hälfte, am Alpensüdfuß ein Drittel des normalen. — Von vereinzelten Stationen abgesehen, ist das Tessin und das Bergell niederschlagsfrei geblieben. Im Wallis, im Engadin und im Mittelland sind meist weniger als 5 Prozent, im Jura höchstens 10 Prozent des Normalbetrages gefallen. Diese Beträge stellen fast überall das absolute Minimum der ganzen Meßreihe seit 1864 dar. Größere Verhältniswerte hat das übrige Alpengebiet aufzuweisen. Doch ist nur auf vereinzelten Stationen mehr als ein Drittel des Normalbetrages gefallen.

Das außergewöhnlich sonnige Wetter — gänzlich sonnenlos war auf der Alpennordseite lediglich der 11. und strichweise der 31. — ist auf eine ungewöhnliche Luftdruckverteilung in Europa zurückzuführen. Die Wetterlage wurde fast den ganzen Monat hindurch von einem kräftigen Hochdruckgebiet beherrscht, dessen Maximum von etwa 1040 Millibar sich meist über Großbritannien oder Deutschland befand. Es verursachte am 1., 5., 8. und 9., 13. bis 15. mäßige Bise. Während der ersten Monatshälfte sank die Temperatur nachts noch zeitweise unter den Gefrierpunkt. Erhebliche Temperaturüberschüsse brachte erst die zweite Monatshälfte. Ein weiterer Hochdruckkern wanderte vom 18. bis 24. von Südschweden her über Rußland nach dem Balkan. Die Tage vom 18. bis 26. waren nahezu wolkenlos. Vom 26. an lagen die höchsten Druckwerte südlich des 45. Breitengrades. Gegen Ende des Monats wurde die Wetterlage daher allmählich unsicher, indem die Störungslinien eines bedeutenden Tiefdrucksystems im Norden auch die Schweiz zu streifen begannen. Am 31. früh wehte ein stürmischer Westwind.

Im APRIL überschreitet das Temperaturmittel den Normalwert in allen Landesteilen um 1½ bis 2 °. — Die Sonnenscheindauer war nur im Tessin zu klein. Das Defizit beträgt am Alpensüdfuß 15 %. In den übrigen Landesteilen sind folgende prozentualen Beträge gemessen worden: In Graubünden, im Wallis und im südwestlichen Mittelland 100 bis 120 %, im Jura, im nordöstlichen Mittelland und Alpengebiet 120 bis 130 %, auf dem Säntis 147 % des langjährigen Durchschnitts. Der Bewölkungsgrad nimmt von 80 % in Basel südwärts auf 120 % in Lugano zu. Die Überschüsse beschränken sich auf die Südseite der Alpen. — Die Niederschläge sind sehr ungleichmäßig verteilt. Während im Wallis und strichweise in Nord- und Mittelbünden nur die Hälfte, in der Jurazone 60 bis 80 % des Normalbetrages gemessen wurden, überschreiten die Beträge den Normalwert im Engadin, in den Tessineralpen sowie im Alpengebiet der Zentral- und Nordostschweiz. Der maximale Überschuß der prozentualen Beträge von 40 % entfällt auf das Vierwaldstätterseegebiet.

Vom 1. bis 4. entwickelte sich bei tiefem Luftdruck über Nordwesteuropa allmählich eine Föhnlage, welche in der Nacht vom 4. zum 5. zusammenbrach und von einem mäßigen Kaltlufteinbruch mit Neuschnee bis gegen 1000 m hinunter gefolgt war. Unter dem Einfluß eines über Mitteleuropa hinwegziehenden Hochdruckkernes setzte wieder leichte Erwärmung ein, doch war nur der 7. beinahe niederschlagsfrei und ziemlich sonnig.

Am 9. und 10. bildete sich ein Tief über Mitteleuropa, welches allgemein Niederschläge verursachte. Nach kurzer Aufheiterung setzte ein sehr kräftiger Kaltluftvorstoß ein, welcher polare Luftmassen vom Raum Grönland-Spitzbergen nach Mitteleuropa brachte. Die Temperaturen fielen am 15. sogar in den Niederungen gegen Null Grad und Schneefälle hüllten vorübergehend die Frühlingslandschaft bis auf 500 m wieder in weiß. Ein Hochdruckvorstoß vom Atlantik her brachte am 17. Aufheiterung, wobei es in der Nacht zum 18. zu mäßigem Nachtfrost kam (Sion: — 4 Grad). Am Nachmittag stieg das Thermometer schon am 20. wieder auf über 20 °. Eine schwache Gewitterstörung am 25./26. brachte noch keinen Witterungsumschlag, dagegen steuerte am 28./29. ein neues Tief über Mitteleuropa frische Kaltluft vom Atlantik her in den Kontinent, die am 30. morgens in der Westschweiz nochmals Frost verursachte.

Der MAI hat sich besonders auf der Alpensüdseite durch ungewöhnlich große Wärme, Besonnung und Trokkenheit ausgezeichnet. Bemerkenswert sind auch die starken Temperaturschwankungen. Im Mittel ergibt sich ein Temperaturüberschuß von etwa $1^1/_2$ Grad in den Alpen, $2^1/_2$ Grad im Mittelland und im Wallis und bis zu 3 Grad im Tessin. — Die Sonnenscheindauer erreichte im Mittelland den bedeutenden Betrag von 115 bis 125 % des langjährigen Mittels, im Tessin sind sogar bis zu 140 % des dortigen Mittelwerts zu verzeichnen gewesen, womit die bisherigen Höchstwerte vom Jahre 1919 nahezu erreicht wurden. — Die Niederschlagsmengen waren im Bereich des Alpennordhangs und im St. Galler Rheintal etwas zu groß, sonst überall zu klein. Das Bündner Rheingebiet hat etwa 50 bis 70 %, das Wallis 80 %, das Mittelland 80 bis 90 %, Basel und Lausanne weniger als 50 %, das Tessin und das Engadin sogar nur 10 bis 20 % des langjährigen Mittelwerts erhalten. Z. B. sind in Lugano nur 26 statt 192, in Bever 13 statt 72 mm Niederschlag gefallen.

Während der ersten fünf Tage war das Wetter in der Schweiz unter dem Einfluß eines von Großbritannien nach Skandinavien sich erstreckenden Hochdruckbandes sonnig und mild. Auf der östlichen Flanke des Hochs begannen Kaltluftmassen südwärts vorzustoßen, die etwa vom 6. an durch ein über Polen sich entwickelndes Tief in die Schweiz gesteuert wurden und hier nebst einigen Niederschlägen einen bedeutenden Temperaturrückgang verursachten. Infolge der bald wieder einsetzenden Bewölkungsabnahme kam es erstmals am 8., dann besonders am 11. früh zu erheblichen Nachtfrösten, die namentlich im nordöstlichen Mittelland und im Kanton Genf zu bedeutenden Schäden führten. Das Erscheinen eines Tiefs über dem Ostatlantik, das einen kräftigen Warmluftstrom aus Südwest unterhielt, leitete dann eine zeitweilig geradezu sommerliche Wärmeperiode ein. Einige Störungslinien passierten unser Land am 12. und 14. In der Folge war jedoch das Wetter vorwiegend sonnig. In der Zeit vom 16. bis 26. wurde im Mittelland an einigen Tagen ein Temperaturmaximum von über 30 Grad erreicht. Etwa am 26. begann sich zwischen Irland und den Azoren ein Hoch aufzubauen, welches vom Nordatlantik her feuchte Luftmassen nach Mitteleuropa steuerte. Bedeutende, von Gewittern begleitete Niederschläge fielen besonders am 26. und 28. Die Temperatur ging im Mittelland gegen Monatsende wieder auf etwa 10 Grad zurück.

Der JUNI war auf der Alpensüdseite sehr kühl. Das Temperaturdefizit beträgt hier etwa 2 Grad. Auf der Alpennordseite halten sich die ebenfalls durchwegs negativen Abweichungen vom Normalwert unterhalb 1 Grad. — Die Sonnnenscheindauer erreichte in Graubünden nicht einmal die Hälfte, im Tessin noch 50 bis 60 Prozent des Normalbetrages. So kleine Werte sind hier seit Beginn der Messungen (1886) noch nie festgestellt worden. In Lugano beträgt das bisherige Juniminimum 150 Stunden (1923). Aber auch auf der Alpennordseite sind bloß in den Jahren 1886, 1898 und 1903 ähnlich geringe Junibeträge (es sind etwa 60 bis 70 Prozent der normalen) gemessen worden. Die Zahl der trüben Tage beträgt etwa das Doppelte, die der hellen ein Fünftel der normalen. — Die Niederschlagsmengen waren überall zu groß und im übrigen sehr unterschiedlich verteilt. Ungewöhnlich große Beträge, nämlich ungefähr das Doppelte des langjährigen Mittels, sind gemessen worden im Genferseegebiet, Wallis, Tessin, Nordgraubünden und im nordöstlichen Mittelland. Im übrigen Mittelland, namentlich in der Zentralschweiz und im Engadin, waren die Regenmengen erheblich kleiner, strichweise annähernd normal. Die Zahl der Regentage war in der Nordhälfte der Schweiz von der normalen nicht sehr verschieden.

Der Monatsanfang war kühl. Vom 3. bis 6. stieg die Temperatur und blieb dann ziemlich stationär. Sommerliche Hitze trat keine auf. Das Wetter war vorwiegend unbeständig. Vorwiegend heitere Tage waren der 4., 5., 19., 20. und 28. zumeist unter Hochdruckeinfluß. Im allgemeinen befand sich jedoch unser Land im Bereich eines flachen Tiefdruckgebiets. Ein Hochdruckband, das sich meist von den Azoren aus nordostwärts über Großbritannien nach Skandinavien oder über Island nach dem Nordmeer erstreckte, riegelte zwar den Kontinent vom direkten Angriff atlantischer Luftmassen und Störungen ab. Dagegen geriet die Schweiz zuerst am 9., 10. und 11. in den Grenzbereich zwischen feuchter, gewittriger Warmluft, die vom Balkan her nach Mitteleuropa vorstieß und dem kälteren Luftstrom, der auf der Südostflanke des oben genannten Hochdruckbandes südwärts floß. Der 9. und 10. brachte besonders der Westschweiz bedeutende Niederschläge und am 10. und 11. regnete es in den nordöstlichen Landesteilen mehr oder weniger den ganzen Tag. Ferner kam es am 25. und 26. im Gebiet der Zentral- und Nordostschweiz zu ganz ungewöhnlich ergiebigen und anhaltenden Niederschlägen, in Zürich u. a. O. die bedeutendsten Sommerregen seit dem Jahre 1878. Die großen Niederschlagsmengen haben im genannten Gebiet verbreitete Hochwasserschäden zur Folge gehabt. Solche wurden ferner verursacht durch lokale Starkregen (Gewitter) in Langnau am 22. und in Luzern am 30. Juni. Der Alpensüdfuß hat am 18., 24. und 29. Juni teilweise bedeutende Niederschläge erhalten.

Das Temperaturmittel war im JULI am Alpensüdfuß sowie strichweise im westlichen Mittelland normal, in

der übrigen Schweiz um durchschnittlich $^1/_2$ bis 1 Grad zu hoch. — Der Alpensüdfuß war ausgesprochen trübe. Lugano hatte 241 statt 280 Stunden Sonnenschein. Auch die übrigen Landesteile haben zu wenig Sonne erhalten. Das Defizit betrug jedoch im allgemeinen weniger als 10 Prozent des Normalwertes. Dementsprechend war auch der Bewölkungsgrad überall etwas zu groß. Im Mittelland wurden 12 statt $8^1/_2$ trübe und 5 statt $7^1/_2$ helle Tage gezählt. — Die Niederschlagsmengen schwanken bei unregelmäßiger Verteilung mäßig um den Normalwert. Größere Überschüsse bis zu etwa 50% sind in der Nordostschweiz und im Engadin vorgekommen, ein ungefähr ebenso großes Defizit in der Westschweiz.

Die allgemeine Wetterlage war während des ersten Monatsdrittels wie im Juni gekennzeichnet durch ein kräftiges Azorenhoch mit Ausläufer meist über Großbritannien, das Wetter mäßig warm, stark bewölkt mit Aufhellungen und zeitweiligen gewittrigen Niederschlägen. Die vorübergehende Entwicklung einer kräftigen Depression im Norden von Europa hatte am 7. und 8. eine vorübergehende Aufhellung zur Folge. Am 11. stellte sich eine neue Wetterlage ein, die nun die übrigen zwei Drittel des Monats beherrschte. Sie ist charakterisiert durch eine Reihe von Depressionen, die, vom Atlantik her kommend, über Großbritannien nach Osten wanderten. Ihre Störungszonen gingen in Abständen von einigen Tagen über unser Land hinweg und verursachten hier Niederschläge meist gewittrigen Charakters. Zu heftigen Unwettern kam es besonders in der Nacht vom 18. zum 19. im Engadin und im Bergell. Die nach den Störungen sich jeweils aufbauenden Hochdruckgebiete brachten der Schweiz warmes, sommerliches Wetter, so am 15. und 16., vom 19. bis 22. und vom 24. bis 26. Während der letzten fünf Tage des Monats war das Wetter anhaltend unbeständig bei veränderlicher Bewölkung.

Der AUGUST war für die ganze Schweiz zu warm. Die Abweichungen vom Normalwert betragen auf den meisten Stationen 0.7 bis 1.2°, in Graubünden weniger als 0.7°. Sie sind also nur mäßig. — Die Sonnenscheindauer war in der Nordschweiz sehr bedeutend. Hier sind Beträge von 120 bis 130 % des langjährigen Mittels gemessen worden. In Davos ist andrerseits ein leichtes Defizit zu verzeichnen. Der Bewölkungsgrad beträgt im Mittelland 70 bis 90 %, im Alpengebiet meist 90 bis 100, in Graubünden 100 bis 110 % des normalen. — Die Niederschlagsmengen waren überall zu klein. Die Verteilung der prozentualen Mengen zeigt ein lokales Minimum von etwa 20 % bei Basel, ein Maximum von etwa 95 % bei Olten. Ferner zeichnet sich ein Gebiet von 30 bis 40 % im Oberwallis, Nordtessin und Nordwestgraubünden ab. In der übrigen Schweiz sind meist Mengen von 50 bis 70 % des Normalwertes gefallen.

Unter dem Einfluß wechselnder Hochdruckgebiete war das Wetter vorwiegend sonnig. Die 30°-Grenze der Temperatur ist jedoch im Mittelland nur an wenigen Tagen (12. bis 15.) etwas überschritten worden. Ausgesprochen trübe Tage waren auf der Nordseite der Alpen lediglich der 1. bis 3., der 16. und der 21. Dazu kommen in der Nordostschweiz der 6. und der 27. In Graubünden waren bedeckt: der 1. bis 4., der 6., 9., 16., 21., 22. und der 25. bis 27., am Alpensüdfuß nur der 9., 21. und 26. Die Gewittertätigkeit war gering.

Die Störungsperiode vom 1. bis 3. mit täglichen geringen Niederschlägen knüpfte sich an folgende Wetterlage: Am 1. August erschien von WNW her kommend ein Tief über Norddeutschland, hinter dessen Kaltfront sich eine Hochdruckzelle aufbaute, so daß die Front in einer über Frankreich deutlich sichtbaren, von W nach E verlaufenden flachen Rinne stehen blieb, während in der Höhe der Westwind andauerte. Auf der Front bildete sich am 1. westlich der Bretagne eine Welle, die bis zum 3. südwestwärts nach der Poebene wanderte. Am 21. verursachte ein Kaltlufteinbruch aus Nordwesten, der von einer Abkühlung von 6 bis 10 Grad in der Höhe begleitet war, beträchtliche Niederschlagsmengen in der Ost- und Südschweiz. Im Tessin wurden strichweise über 100 mm gemessen. Am 25. wiederholte sich die Wetterlage vom 1. Die Front einer mäßig hoch reichenden Kaltluftschicht blieb diesmal im Bereich der Alpen hängen. Eine Welle, die auf ihr am 24. auf dem Atlantik entstanden war, verschwand dann zwar auf der Bodenkarte des 27. Dennoch finden wir an diesem Tag wieder ein Tief über Italien, welches nun das weitere Vordringen der Kaltluft nach Süden ermöglichte und so diese letzte Störungsperiode beendete. Sie hat sich, abgesehen von verbreiteten mäßigen Einbruchsniederschlägen am Morgen des 25. und einigen Schauern im Westen und Süden unseres Landes, vorwiegend durch starke hohe Bewölkung über dem Alpengebiet (Graubünden am 25. und 27., Wallis und Tessin am 26.) bemerkbar gemacht. Dagegen blieb Basel sonnig.

Der SEPTEMBER war zu warm. Die Überschüsse der Temperatur über den Normalwert erreichen allerdings nur mäßige Werte: im Mittelland und am Alpensüdfuß etwa 1.0°, in den Voralpen 1.3°, im Jura und in den Alpen meist 1.5°. — Die Sonnenscheindauer hatte am Alpensüdfuß das beträchtliche Defizit von fast 30 % des Normalwertes zu verzeichnen. Leichte Überschüsse finden sich im nordöstlichen Voralpengebiet. Dagegen war die Sonnenscheindauer in den Niederungen der Alpennordseite und im übrigen Alpengebiet meist normal. Der Bewölkungsgrad zeigt ein leichtes Defizit am Nordfuß, einen Überschuß von etwa 25 % des normalen am Südfuß der Alpen. — Die Niederschlagsmengen erreichen in der Nordostschweiz wenig mehr als die Hälfte der Normalbeträge. Auch das Alpengebiet hatte ein meist leichtes Defizit. Dagegen hat das Genferseegebiet und der Alpensüdfuß Überschüsse bis zu 50 % aufzuweisen.

Für die allgemeine Wetterlage war eine stark meridionale Zirkulation charakteristisch, also ein meridional ausgedehnter Hochdruckrücken flankiert von Depressionen. Das Hoch lag zunächst vorwiegend über Mitteleuropa und trieb gelegentlich Ausläufer nach Norden vor. Das Wetter war daher während der ersten 9 Tage auf der Alpennordseite nur leicht bewölkt, teilweise wolkenlos. Dann wurde das Hoch nach Westen abgedrängt und am 10. kam es zu einem Kaltlufteinbruch aus Norden, der eine Abkühlung von etwa 9 Grad und nennenswerte Niederschläge besonders in den Alpen verursachte. Doch setzte sich die Sonne unter Hochdruckeinfluß bereits am

12. wieder allgemein durch. Nachher verschob sich das Hoch weiter nach Osten und während der zweiten Monatshälfte wurde nun das Wetter beherrscht durch ein Depressionssystem im Raum: Island-Großbritannien-Frankreich mit gelegentlichen Ausläufern über dem westlichen Mittelmeergebiet. Auf der Nordseite der Alpen war daher das Wetter bis ans Monatsende wechselnd bewölkt mit fast täglichen Niederschlägen, die allerdings meist unbedeutend und kurzdauernd waren. Größere Beträge sind am 23. in der Westschweiz (30—50 mm) und am 25. in Graubünden (20—40 mm) gefallen. Die Temperatur vermochte im Mittelland die 30°-Grenze nur am 1. und 2. des Monats noch zu überschreiten. Nach dem Kaltlufteinbruch vom 10. stieg sie an keinem Tag mehr über 24°. Die sonnigen Tage der Alpensüdseite sind: der 1. bis 6., 8. und 9., 11. bis 13., 21., 22. und 30. Am 19. sind in der Südschweiz bedeutende Niederschläge gefallen (im Centovalligebiet strichweise über 150 mm).

Der OKTOBER war ein ausgesprochen warmer Monat. Die Abweichungen des Monatsmittels der Temperatur vom normalen lagen auf den meisten Stationen zwischen 2 und $2^1/_2$° und am Alpensüdfuß zwischen $1^1/_2$ und 2°. — Die Besonnung war in den nördlichen Landesteilen sowie im Jura etwas zu groß, sonst vorwiegend zu klein. Am Alpensüdfuß beträgt die Sonnenscheindauer nur etwa 70%, am Genfersee 85 bis 90% des langjährigen Mittels. Der Bewölkungsgrad weicht im allgemeinen um höchstens 15% vom normalen ab. Nur am Alpensüdfuß ist ein größerer Überschuß festzustellen. — Die Niederschlagsmengen waren auf der Alpensüdseite zu groß, auf der Nordseite zu klein. Am Südfuß überschreiten sie das Doppelte des Normalwertes. Auf der Nordseite sind nur im Alpengebiet mehr als die Hälfte des Normalbetrages gefallen. Das Mittelland und die Jurazone haben etwa ein Drittel desselben erhalten.

Während der ersten Monatshälfte war das Wetter in den Hochlagen vorwiegend sonnig, vom 7. bis 9. auch in den Niederungen. Das Mittelland lag sonst vormittags meist unter einer Nebel- oder Hochnebeldecke. Vom 6. bis 12. war es hier infolge von Kaltluftzufuhr aus Norden und nächtlicher Ausstrahlung besonders am Morgen empfindlich kühl. Die Wetterlage wurde beherrscht durch ein Hochdruckgebiet, das vom 5. bis 8. über Großbritannien lag, um sich dann nach Mittel- und Osteuropa zu verlagern. Vom 11. an befand sich unser Land im Bereich der Ostseite einer von Nord nach Süd gerichteten Tiefdruckrinne, die zunächst in der Westschweiz und nach ihrer Verlagerung nach Osten (vom 15. zum 16.) auch in der östlichen Schweiz starke Bewölkung und einige Niederschläge verursachte. Vom 17. an erstreckte sich ein Hochdruckrücken von den Azoren nordostwärts über Großbritannien nach Skandinavien und bewirkte in West- und Mitteleuropa eine Strömung aus Nord bis Nordost und ausgedehnte Hochnebelfelder. Während des letzten Monatsdrittels befand sich unser Land wiederum auf der Ostseite einer neuen Tiefdruckrinne (V-Depression). Zunächst entwickelte sich eine Föhnlage. Vom 25. bis 29. war das Wetter unbeständig. Namhafte Niederschläge wurden besonders an diesen beiden Tagen durch Störungslinien aus Westen verursacht. Helle Tage waren im Mittelland der 22., 24., 28. und 31. Im Tessin sind hauptsächlich an folgenden Tagen namhafte Niederschlagsmengen gefallen: 15. bis 18., 25., 26. und 29. Oktober. Schon am 27. kam es durch den Hochwasserstand der Seen zu lokalen Überschwemmungen. Diese Niederschläge sind hauptsächlich durch verschiedene Mittelmeerdepressionen verursacht worden.

Im NOVEMBER waren die Temperaturen in den Niederungen annähernd normal, auf den Hochstationen zu hoch. Auf dem Säntis ist mit minus 0,7° das Maximum der Novembermittel seit Beginn der Messungen (1883) erreicht worden. In den Hochtälern ist infolge der starken nächtlichen Ausstrahlung der Überschuß geringer. In Davos z. B. beträgt er noch 1,4°. — Die Sonnenscheindauer war im Mittelland zu klein, auf den Jurahöhen, am Juranordfuß und im Alpengebiet zu groß (etwa 150 bis 180% der normalen). In Basel und auf dem Säntis sind die größten Novembersummen seit Beginn der Messungen (1886) registriert worden. — Die Nebelhäufigkeit war in den Niederungen (Genferseegebiet und Juranordfuß ausgenommen) zu groß. Selbst das sonst sehr nebelarme Lugano hat einige Nebeltage aufzuweisen. — Die Niederschlagsmengen haben die Hälfte des Normalbetrages nirgends übertroffen. Auf der Alpensüdseite betrugen sie ein Zehntel, im Juragebiet ein Drittel desselben.

Niederschläge sind überhaupt nur an den ersten sechs Tagen des Monats gefallen, namhafte Beträge am Morgen des 2. in der West- und Südschweiz, am 6. auf der ganzen Alpennordseite. Erstere knüpfen sich an eine tiefe, ausgedehnte, über Schottland zentrierte Depression, letztere an ein schwaches, vom Atlantik her gekommenes Randtief eines nordatlantischen Tiefdrucksystems. Am 7. begann eine bis ans Monatsende dauernde Hochdrucklage. Während derselben waren die Höhen oberhalb 1100 m fast anhaltend sonnig. Über dem Mittelland bildete sich fast täglich eine Nebel- oder Hochnebeldecke (Obergrenze 700 bis 1100 m über Meer), die vom 19. bis zum 25. den ganzen Tag anhielt. Das Hochdruckgebiet erstreckte sich meist etwa längs des 47. Breitengrades vom Atlantik her über Frankreich und Süddeutschland bis nach dem Nordbalkan oder Rußland, während die Störungstätigkeit sich auf den Nordatlantik und Nordeuropa beschränkte. Über Skandinavien baute sich zeitweise ein passageres zweites Hoch auf, das sich dann nach Süden verlagerte. Basel teilte mit dem Mittelland die ganztägigen Nebellagen, hat aber, wie erwähnt, sonst viel mehr Sonnenschein aufzuweisen als letzteres. Anhaltend sonnig und nebelfrei waren die drei letzten Tage des Monats. Das Hoch hatte sich vorübergehend nach Osteuropa zurückgezogen und vor der französischen Küste lag ein meridional gerichteter Trog, der eine leichte Föhnlage hervorrief. Die Temperatur hielt sich im Mittelland während der Nebelperiode zwischen minus 1 und plus 6°. Strichweise, besonders im Wallis, sind auch stärkere Nachtfröste aufgetreten. Die Höhen oberhalb 1000 m waren dagegen, wie erwähnt, ausgesprochen mild.

Der DEZEMBER war für das Alpengebiet, die Juraöhen und den Alpensüdfuß ein ungewöhnlich warmer Monat. Die Abweichungen der Temperatur vom Normalwert liegen hier zwischen $3^1/_2$ und $4^1/_2$, im Mittelland und im Juranordfuß zwischen $2^1/_2$ und 3°. In Lugano überstieg die Temperatur mit 6.2° das bisherige Monatsmaximum (seit 1864) um 0.6°. — Die Sonnenscheindauer hat den Normalwert nur in den Hochlagen erreicht oder überschritten. In der Westschweiz beträgt sie 80, in Lugano 65 % der normalen. Der Bewölkungsgrad war im Mittelland ungefähr normal, am Alpensüdfuß zu groß, sonst überall zu klein. — Die Niederschlagsmengen sind in der ganzen Schweiz zu klein gewesen. Die höchsten Prozentwerte wurden im Bereich des Alpennordhangs erreicht (50 bis 85 % des Normalbetrages). Das Mittelland hat etwa ein Drittel, das Wallis und die Alpensüdseite teilweise weniger als ein Viertel der Normalbeträge erhalten.

Vom 1. bis zum 5. wurde das Wetter in der Schweiz durch ein Hochdruckgebiet über Südosteuropa beherrscht. Bei leichter Südströmung in der Höhe herrschte anfangs sonniges, vom 3. an besonders im Westen und Süden des Landes bewölktes Wetter. Unbedeutende Niederschläge fielen am 3. auf der Alpensüdseite. Vom 6. bis 18. lag das Hoch über dem Osten des Kontinents. Die Schweiz befand sich somit weiterhin im Bereich milder südlicher Winde. Während die Höhen oberhalb 700 bis 900 m sowie das Wallis vorwiegend sonnig blieben, lag über den Niederungen fast anhaltend eine Nebel- oder Hochnebeldecke.

Eine Umstellung der Wetterlage trat mit dem 19. ein. Das Hoch im Osten wurde abgebaut, und hierauf verursachte ein vom Atlantik her bis gegen den Rhein vordringender Tiefdrucktrog erstmals in der ganzen Schweiz verbreitete Niederschläge. Hinter dieser Störung baute sich über Europa ein neues Hochdruckgebiet auf. Es lag am 24. über der Schweiz. Die dadurch verursachte Aufhellung in der Höhe war jedoch von kurzer Dauer (24. und 25.). Die nunmehr über dem nördlichen Europa ostwärts ziehenden Störungen brachten der Alpennordseite vom 25. bis zum 30. zeitweise weitere Niederschläge. Ein vom 27. an westlich von Frankreich sich aufbauendes Hoch steuerte Kaltluft von Norden her in unser Land. Die Abkühlung machte sich besonders in der Höhe geltend, im Mittelland sank die Temperatur erst seit dem 30. dauernd unter Null. Der Alpensüdfuß war vom 27. an unter Nordföhneinfluß vorwiegend sonnig.

Die oben genannten Niederschläge vermochten in den Niederungen keine nennenswerte Schneedecke aufzubauen. In den Alpen bestand eine solche vom 20., auf den Jurahöhen vom 26. an. Bedeutendere Schneemengen (30 bis 100 cm) gab es in den Alpen jedoch erst seit dem 29.

M. Grütter.

Monatswerte der wichtigsten meteorologischen Elemente 1953

	Höhe m	Januar	Febr.	März	April	Mai	Juni	Juli	August	Sept.	Okt.	Nov.	Dez.	Jahr
Temperatur in ° C														
Basel	317	–2.2	0.8	6.1	10.5	15.1	15.9	18.6	18.3	15.1	10.8	3.9	2.8	9.6
La Chaux-de-Fonds	990	–4.8	–2.3	2.9	7.3	12.0	12.3	15.8	15.4	12.8	8.8	3.3	2.7	7.2
Zürich	569	–2.9	–0.8	5.6	9.5	14.3	14.7	17.8	17.4	14.6	10.2	2.9	1.6	8.7
Bern	572	–3.4	–0.9	5.2	9.6	14.3	14.7	17.8	17.4	14.6	10.1	2.3	1.8	8.6
Lausanne	553	–2.0	–0.3	6.4	10.2	15.5	15.4	18.8	18.6	15.4	11.2	4.8	3.0	9.8
Genève	405	–0.8	0.7	6.7	10.9	16.1	16.5	20.5	19.6	16.8	12.2	4.6	3.6	10.6
Davos-Platz	1561	–9.5	–7.3	–1.7	3.8	8.2	9.1	12.7	11.7	9.8	5.8	0.1	–1.7	3.4
Säntis	2500	–10.2	–9.6	–5.6	–2.8	1.0	2.6	6.4	5.8	4.6	2.0	–0.7	–4.5	–0.9
Lugano	276	1.5	3.5	8.7	12.7	18.1	17.0	21.3	21.1	18.1	13.3	6.8	6.2	12.4
Abweichungen von den normalen Mitteln														
Basel	317	–1.9	–0.5	1.6	1.8	1.9	–0.6	0.2	0.8	0.9	2.0	–0.2	2.5	0.7
La Chaux-de-Fonds	990	–2.2	–0.7	1.8	2.3	2.4	–0.7	0.8	1.2	1.5	2.4	1.4	4.4	1.2
Zürich	569	–1.4	–0.8	2.2	1.8	2.2	–0.8	0.5	1.0	1.3	2.3	–0.1	2.3	0.8
Bern	572	–1.8	–1.1	1.8	1.6	2.0	–0.9	0.1	0.7	0.9	2.2	–0.7	2.6	0.6
Lausanne	553	–2.0	–1.8	1.9	1.7	2.6	–0.9	0.5	1.1	0.9	2.0	0.2	2.0	0.7
Genève	405	–1.4	–1.3	1.5	1.7	2.5	–0.7	1.2	1.2	1.8	2.5	–0.5	2.1	0.9
Davos-Platz	1561	–2.5	–1.9	0.6	1.7	1.2	–1.2	0.6	0.4	1.5	2.4	1.4	4.0	0.7
Säntis	2500	–1.5	–0.8	2.3	2.0	1.4	–0.2	1.4	1.0	1.8	3.3	4.3	3.4	1.5
Lugano	276	–0.1	0.2	1.8	1.6	2.9	–2.1	0.0	0.7	1.1	1.8	0.5	3.6	1.0
Niederschlag in mm														
Basel	317	18	14	7	37	29	137	90	21	93	25	13	17	501
La Chaux-de-Fonds	990	21	79	10	81	98	245	118	45	127	44	40	57	965
Zürich	569	26	35	8	94	93	257	168	49	71	34	28	29	892
Bern	572	26	31	5	77	84	138	118	71	93	34	33	20	730
Lausanne	553	12	31	4	55	42	229	68	55	136	43	33	29	737
Genève	405	4	23	4	37	27	192	35	57	132	47	36	15	609
Davos-Platz	1561	20	42	5	53	50	192	164	82	73	68	4	33	786
Säntis	2500	56	108	51	136	202	338	393	160	140	61	39	120	1804
Lugano	276	7	10	0	124	26	369	151	112	219	412	13	23	1466
Abweichungen von den normalen Summen														
Basel	317	–23	–27	–46	–28	–52	39	0	–65	15	–49	–46	–35	–317
La Chaux-de-Fonds	990	–85	–16	–97	–45	–32	103	–17	–85	10	–93	–78	–73	–508
Zürich	569	–28	–17	–64	2	–17	126	35	–78	–33	–58	–38	–43	–213
Bern	572	–22	–20	–61	1	–10	25	6	–37	4	–54	–35	–44	–247
Lausanne	553	–46	–28	–71	–21	–50	130	–32	–55	37	–65	–52	–50	–303
Genève	405	–43	–27	–59	–32	–49	113	–43	–39	47	–52	–43	–53	–280
Davos-Platz	1561	–39	–11	–49	–7	–20	85	29	–49	–19	–2	–58	–33	–173
Säntis	2500	–174	–73	–140	–115	–21	58	86	–128	–83	–132	–141	–118	–981
Lugano	276	–53	–51	–115	–38	–166	184	–23	–75	44	214	–123	–57	–259
Sonnenscheindauer in Stunden														
Basel	317	54	74	240	185	237	145	215	280	167	117	115	51	1880
La Chaux-de-Fonds	990	105	89	220	159	216	99	176	—	—	—	—	—	—
Zürich	569	26	68	249	204	248	143	226	260	192	108	71	35	1830
Bern	572	49	88	241	179	234	143	228	255	174	106	60	33	1790
Lausanne	553	80	121	266	182	259	164	243	279	186	110	76	49	2015
Genève	405	47	92	244	182	272	191	284	293	194	105	46	33	1983
Davos-Platz	1561	111	123	233	151	193	80	182	184	154	118	153	89	1771
Säntis	2500	171	151	259	187	228	109	179	210	201	211	225	130	2261
Lugano	276	147	176	264	147	282	131	241	272	141	101	145	69	2116
Abweichungen von den normalen Summen														
Basel	317	–10	–20	113	38	42	–69	–18	57	9	8	50	–3	197
La Chaux-de-Fonds	990	30	–7	98	31	47	–87	–35	—	—	—	—	—	—
Zürich	569	–22	–20	115	47	46	–80	–18	30	30	5	18	–1	150
Bern	572	–9	–9	109	26	34	–80	–21	16	2	–9	–3	–10	46
Lausanne	553	6	7	114	6	34	–87	–23	24	–2	–16	1	–11	53
Genève	405	–14	–13	88	–8	28	–82	–9	18	–6	–21	–21	–14	–54
Davos-Platz	1561	17	14	85	0	21	–96	–19	–19	–12	–16	55	6	36
Säntis	2500	59	30	121	60	76	–32	18	39	48	67	104	24	614
Lugano	276	22	30	92	–28	76	–111	–39	6	–55	–45	36	–37	–53

Nr. 2

Liste des chutes de grêle en Suisse pendant l'année 1953

établie à l'aide des statistiques de la Station Centrale Suisse de Météorologie et celles de la Société Suisse d'Assurances contre la grêle à Zurich, par Jean Rieker.

Canton	Jan.	Fév.	Avril									Mai												Juin																
	31	11	4	7	9	20	23	24	25	28	29	1	8	11	12	18	20	21	22	26	28	30	31	1	2	3	4	5	7	8	9	10	11	12	13	15	18	21	22	23
Argovie	.	.	.	.	.	.	.	.	1	1	.	.	.	.	.	.	.	.	.	2	.	.	1	.	5	2	.	.	.	.	.	.	.	.	.	.	.	.	.	.
Appenzell	.	.	.	.	1	.	.	.	.	.	.	.	.	.	.	2	.	.	.	.	.	.	.	.	5	1	.	.	3	.	6	.	.	.	.	1	.	.	.	.
Bâle	.	.	.	1	.	.	.	.	.	.	.	.	.	.	.	.	.	.	.	1	.	.	.	.	.	.	11	.	.	.	.	.	.	.	.	.	.	.	.	.
Berne	.	.	.	.	.	.	.	.	.	.	.	2	.	.	.	3	1	.	1	27	1	.	1	.	4	.	.	.	.	3	1	2	.	2	.	1	1	15	6	1
Fribourg	1	1	.	.	.	.	.	.	.	.	.	1	.	.	.	3	.	.	.	8	.	.	.	.	1	.	.	.	.	.	.	.	.	.	.	.	.	.	.	.
St-Gall	.	.	.	.	.	.	.	.	.	.	.	.	.	.	.	2	.	1	1	.	.	.	.	.	8	5	1	.	.	.	5	.	.	.	.	1	.	5	.	.
Genève	.	.	.	.	.	.	.	.	.	.	.	.	.	.	.	.	.	.	.	1	.	.	.	.	3	1	.	.	.	.	.	.	.	.	.	.	.	.	.	.
Glaris	.	.	.	.	.	.	.	.	.	.	.	.	.	.	.	.	.	.	.	.	.	.	.	.	.	.	.	.	.	.	.	.	.	.	.	.	.	.	.	.
Grisons	.	.	.	.	.	.	.	.	.	.		.	.	.	.	.	.	.	.	.	.	.	.	.	5	.	.	.	.	.	.	.	.	.	.	.	.	.	.	.
Lucerne	.	.	.	.	.	.	.	.	.	.	.	.	.	.	.	4	.	.	1	8	1	.	.	.	2	7	1	1	1	.	1	.	.	1	.	.	1	9	3	.
Neuchâtel	.	.	2	.	.	.	1	1	.	2	.	.	1	.	.	.	.	.	9	7	.	.	.	.	1	.	1	.	.	.	.	.	.	.	.	.	.	.	.	.
Schaffhouse	.		.	.	.	.	.	.	.	.	.	.	.	.	.	.	.	.	.	3	.	.	1	.	1	1	.	.	.		.	.	.	.	.	.	.	.	.	.
Schwyz	.	.	.	.	.	.	.	.	.	.	.	.	.	.	.	.	.	.	.	.	.	.	.	.	7	.	.	.	.	.	.	.	.	.	.	.	.	1	.	.
Soleure	.	.	.	.	.	.	.	1	.	.	.	.	.	.	.	.	.	.	2	2	.	.	.	.	1	.	3	.	1	.	.	.	.	.	.	.	.	.	.	.
Tessin	.	.	.	.	.	1	.	.	.	3	1	.	.	.	.	.	12	.	.	.	.	.	.	.	30	1	.	.	.	.	.	.	2	.	8	.	.	.	.	1
Thurgovie	.		.	.	.	.	.	.	.	.	.	.	.	1	1	6	.	.	.	.	.	6	3	4	14	8	8		3	.	3	.	.	.	.	.	.	1	.	.
Unterwald	.	.	.	.	.	.	.	.	.	.	.	.	.	.	.	.	.	.	.	.	.	.	.	.	.	.	.	.	.	.	.	.	.	.	.	.	.	1	.	.
Uri	.	.	.	.	.	.	.	.	.	.	.	.	.	.	.	.	.	.	.	.	.	.	.	.	.	.	.	.	.	.	.	.	.	.	.	.	.	.	.	.
Vaud	.	.	.	.	.	.	.	.	1	.	.	.	.	.	.	.	1	.	5	23	.	.	1	.	3	.	.	.	.	.	.	.	.	.	.	.	.	.	1	.
Valais	.	.	.	.	.	.	.	.	.	.	.	.	.	.	.	.	.	.	.	.	.	.	.	.	.	.	.	.	.	.	.	.	.	.	.	.	.	.	.	.
Zurich	.	.	.	.	.	.	.	.	.	.	.	.	.	.	.	.	.	.	.	.	.	.	5	.	23	6	.	.	.	.	.	.	.	.	.	.	.	.	1	.
Zoug	.	.	.	.	.	.	.	.	.	.	.	.	.	.	.	.	.	.	.	1	.	.	.	.	3	3	.	1	.	.	1	.	.	.	.	.	.	.	2	.
totaux	1	1	2	1	1	1	1	2	2	6	1	3	1	1	1	20	14	1	19	83	2	6	12	4	116	35	25	2	8	3	17	2	2	3	8	3	2	32	13	2
par mois	1	1	17									163												359																

Suite de la dite statistique

Canton	Juin				Juillet																		Août							Septembre					Sommes
	24	26	29	30	1	2	3	4	5	6	9	10	13	14	17	18	19	23	26	29	30	31	8	11	14	15	16	22	29	10	11	16	20	26	
Argovie	.	3	.	4	.	2	1	.	.	.	.	7	.	1	.	.	1	.	.	1	.	.	.	.	.	.	.	1	.	.	.	.	.	.	33
Appenzell	.	.	.	.	.	.	1	.	.	.	.	.	.	.	.	.	2	.	4	.	.	.	.	1	.	.	.	.	.	.	.	.	.	.	27
Bâle	.	.	.	.	.	.	.	.	.	.	.	1	1	.	.	.	.	.	.	.	.	.	.	.	.	.	.	.	.	.	.	.	1	.	16
Berne	2	2	.	32	5	.	1	1	1	.	.	6	3	1	.	.	2	.	.	.	.	.	.	.	16	10	.	.	.	.	.	4	.	.	158
Fribourg	2	1	.	6	4	2	.	1	.	.	.	.	.	.	.	.	.	.	.	.	.	.	.	.	.	.	1	.	.	.	.	.	.	.	32
St-Gall	.	.	.	1	.	.	.	.	.	.	.	.	.	.	.	.	10	1	8	5	.	.	.	.	1	.	.	11	.	.	1	.	.	.	67
Genève	.	.	.	.	.	.	.	.	.	.	.	.	.	.	.	.	.	.	.	.	.	1	.	.	.	.	.	.	.	.	.	.	.	.	6
Glaris	.	.	.	.	.	.	.	.	.	.	.	.	.	.	.	.	.	.	.	.	.	.	.	.	.	.	.	.	.	.	.	.	.	.	0
Grisons	3	.	.	.	.	.	.	.	.	.	.	.	.	.	.	2	.	.	.	.	.	.	.	.	3	.	.	.	.	.	.	.	.	.	13
Lucerne	.	1	.	4	.	.	.	1	.	2	.	.	.	.	.	.	3	.	32	.	.	.	.	.	.	.	.	2	.	.	.	.	.	1	87
Neuchâtel	.	.	.	2	.	.	.	.	.	.	.	2	.	.	.	.	.	.	.	.	.	.	.	.	1	1	.	.	.	.	.	.	.	.	31
Schaffhouse	.	.	.	.	.	.	.	.	.	.	.	.	.	.	2	.	.	.	2	.	.	.	.	.	1	.	.	.	.	.	.	.	.	.	11
Schwyz	.	.	.	.	.	.	.	.	.	.	.	.	.	.	.	1	.	.	4	.	1	.	.	.	.	.	.	3	.	.	.	.	.	.	17
Soleure	.	.	.	.	.	.	.	.	.	.	.	.	.	.	1	.	1	.	.	1	.	.	.	.	8	.	.	.	.	.	.	.	.	.	21
Tessin	3	.	1	.	5	2	.	5	.	1	2	1	1	.	.	52	1	.	.	35	.	.	.	.	2	.	.	.	1	.	.	.	.	.	171
Thurgovie	.	.	.	.	.	1	.	2	.	.	.	.	.	.	1	.	1	.	40	.	.	.	.	.	.	.	.	4	.	.	.	.	.	.	107
Unterwald	.	.	.	1	.	.	.	.	.	.	.	.	.	.	.	.	.	.	2	.	.	.	.	.	2	.	.	1	.	.	.	.	.	.	7
Uri	.	.	.	.	.	.	.	.	.	.	.	.	.	.	.	.	.	.	.	.	.	.	.	.	.	1	.	.	.	.	.	.	.	.	1
Vaud	11	1	.	1	14	.	.	.	.	2	.	5	.	.	.	.	.	.	.	.	1	.	.	.	1	6	1	.	.	1	.	.	.	.	79
Valais	.	.	.	.	.	.	.	.	.	.	.	.	.	.	.	1	.	.	.	.	.	.	1	.	3	.	.	.	.	.	.	.	.	.	5
Zurich	.	1	.	.	.	.	.	.	.	.	.	.	.	.	2	.	.	.	29	3	.	.	.	.	.	.	.	7	.	.	.	.	.	.	77
Zoug	.	.	.	.	.	.	.	.	.	.	.	.	.	.	.	.	1	.	4	.	.	.	.	.	.	.	.	.	.	.	.	.	.	.	16
totaux	21	9	1	51	28	7	3	10	1	5	2	22	5	2	6	56	22	1	125	45	2	1	1	1	38	18	2	29	1	1	1	4	1	1	982
par mois					343																		90							8					

Monats- und Jahressummen

der Niederschlagsmessungen sämtlicher meteorol. Stationen I.—III. Ordnung im Jahre 1953

Als Niederschlagstage werden für diese Tabelle nur die Tage mit mindestens 1.0 mm Niederschlag gezählt. Die mit * bezeichneten Summen sind nach den Nachbarstationen interpoliert.

Stationen:	Höhe üb. Meer	Jan.	Febr.	März	April	Mai	Juni	Juli	Aug.	Sept.	Okt.	Nov.	Dez.	Jahr	Maxima		Zahl d. Tage
A. Rheingebiet																	
I. Quellgebiet bis Bodensee																	
Sedrun (Tavetsch)	1418	44	46	9	81	71	181	135	37	121	191	6	39	961	44	16. X.	118
Platta (Medels)	1378	32	29	0	99	58	222	167	37	207	241	0	21	1113	50	16. X.	94
Disentis	ca 1168	30	39	3	112	65	210	155	48	132	186	11	40	1031	48	16. X.	106
Vial	ca 1275	35*	40*	0*	125*	31	190	198	62	203	157	9	28	1078	62	24. IX.	112
Val	ca 1208	32	28	0	125	39	177	134	38	134	142	1	28	878	56	4. IV	86
Surrhein	899	36	36	0	99	40	174	126	36	91	149	18	32	837	43	4. IV.	92
Panix	ca 1300	47	62	6*	83	69	212	157	87	112	119	12	48	1014	60	24. VI.	126
Vrin	1452	17	27	5	78	32	188	208	73	125	156	13	8	930	41	18. VII.	104
Vals	ca 1248	13	6	0	110	26	167	110	55	122	164	8	16	797	44	24. VI.	106
Ilanz	ca 704	20	28	2	41	36	177	126	40	78	84	5	20	657	42	24. VI.	92
Flims	ca 1100	32	65	6	91	60	214	178	62	86	88	11	40	933	47	24. VI.	107
Safienplatz	ca 1270	24	29	5	81	47	196	139	66	105	111	9	18	830	55	24. VI.	95
Bernhardin-Paß	2073	—	—	—	—	22	351	186	117	359	322	52	—	—	86	24. IX.	—
Hinterrhein	1625	—	8	18	—	19	259	160	76	203	313	29	5	—	48	24. VI.	—
Splügen (Dorf)	ca 1504	20	19	3	37	20	212	142	53	135	169	1	3	814	54	24. VI.	95
Avers am Bach	ca 1955	6	3	4	82	26	173	176	81	143	189	5	11	899	50	18. VII.	99
Inner-Ferrera	ca 1480	7	3	1	116	32	204	137	85	130	181	2	4	902	52	24. VI.	91
Andeer	ca 980	9	6	0	63	13	200	129	67	114	129	1	9	740	57	24. VI.	76
Thusis	ca 810	10	18	0	72	29	205	135	49	77	83	2	10	690	58	24. VI.	82
Bivio (bisher)	ca 1768	36	28	3	122	35	165	188	85	103	169	18	32	984	86	18. VII.	109
Bivio (neu)	ca 1770	35	31	14	142	35	164	188	82	106	167	14	24	1002	86	18. VII.	112
Marmorera	1600	18	20	3	90	33	167	160	72	102	145	9	13	832	43	18. VII.	110
Savognin	ca 1205	15	12	8	82	24	191	130	60	97	112	9	21	761	38	24. VI.	99
Weißfluhjoch	2540	24	41	6	61	70	250	216	104	80	61	5	32	950	60	26. VI.	125
Davos-Platz	1561	20	42	5	53	50	192	164	82	73	68	4	33	786	44	26. VI.	104
Preda	1796	—	—	—	—	—	—	173	72	105	129	8	22	—	—	—	—
Filisur	ca 1040	9	4	0	61	19	166	122	61	77	77	20	21	637	30	24. VI.	86
Lenzerheide	ca 1460	29	23	9	64	15	206	147	66	67	101	9	26	762	58	24. VI.	100
Nisellas (Alvaschein)	ca 890	8	8	1	52	20	189	132	60	71	88	3	14	646	41	24. VI.	81
Tomils	ca 823	11	19	2	48	28	201	123	47	79	74	3	16	651	51	24. VI.	91
Arosa	1864	29	35	14	119	73	270	213	99	107	88	13	35	1095	51	24. VI.	126
Tschiertschen	1351	21	24	19	71	44	241	153	67	85	58	6	40	829	49	24. VI.	105
Chur	633	13	21	22	27	33	193	102	44	76	58	4	22	615	40	24. VI.	89
Klosters	ca 1200	37	59	9	103	78	175	167	106	89	76	10	59	968	33	21. VIII.	133
St. Antönien	ca 1460	28	59	10	91	97	221	226	100	90	61	10	43	1036	42	21. VIII	124
Schiers	ca 682	23	35	5	72	62	191	168	60	74	61	8	43	802	36	26. VI.	106
Seewis	953	27	58	12	92	75	206	210	80	92	65	14	47	978	45	24. VI.	118
Plantahof b. Landqu.	ca 530	30	54	6	75	54	177	145	64	93	58	9	32	797	37	24. VI.	100
Vättis	956	25	50	7	61	69	212	154	77	85	62	10	29	841	47	25. VI.	105
Bad Ragaz	518	37	35	6	109	80	182	173	88	98	67	13	38	926	37	24. VI.	104
Sargans	510	41	46	18	92	119	190	163	67	74	65	14	43	932	38	26. VI.	114
Sevelen	464	27	25	16	100	83	149	154	61	81	61	11	20	788	31	18. VII.	104
Vaduz(Liechtenstein)	460	21	17	12	72	80	155	172	51	70	61	13	15	739	31	9. VI.	104
Haag	448	48	51	33	124	128	248	199	97	128	76	25	32	1189	54	28. IX.	110
Altstätten	468	49	32	13	110	140	183	217	50	89	51	29	33	996	38	9. VII.	112
Widnau	404	37	21	17	125	116	178	223	59	93	56	21	33	979	41	9. VI.	111
Heiden	811	53	55	23	160	173	186	202	82	122	69	38	36	1199	41	27. V.	123
Rorschach	445	51	47	16	167	159	205	212	73	116	61	36	37	1180	39	27. V.	128
St. Gallen (Bruggen)	679	44	33	13	123	116	265	203	47	84	50	34	27	1039	56	15. VI.	112

Stationen:	Höhe üb. Meer	Jan.	Febr.	März	April	Mai	Juni	Juli	Aug.	Sept.	Okt	Nov.	Dez.	Jahr	Maxima		Zahl d. Tage
II. Bodensee bis Basel (Rorschach und St Gallen siehe vorhergehende Seite)																	
Arbon	ca 400	37	32	7	90	107	185	122	46	69	56	17	18	786	30	27. V.	112
Amriswil	ca 455	26	31	2	73	131	161	126	49	55	45	17	21	737	43	27. V.	109
Altnau	ca 458	20	52	8	60	111	140	149	37	48	45	13	25	708	38	27. V.	104
Kreuzlingen	446	16	47	5	50	105	133	154	45	43	44	11	25	678	38	27. V.	115
Ermatingen	408	15	58	8	49	103	143	123	57	48	41	10	23	678	33	27. V.	104
Haidenhaus	694	21	54	14	64	97	166	130	54	57	47	10	26	740	37	27. V.	11
Steckborn	ca 404	14	44	7	47	99	150	98	33	53	35	10	23	613	39	27. V.	99
Eschenz	ca 417	13	51	3	51	97	152	122	55	57	32	14	26	673	45	25. VI.	98
Thayngen	ca 455	22	49	4	50	99	174	127	30	58	31	12	23	679	60	25. VI.	89
Buch (Schaffhausen)	433	12	40	5	42	76	156	139	47	56	24	12	19	628	33	26. VI.	87
Dießenhofen	ca 404	14	44	4	61	83	147	181	33	57	28	9	20	681	63	25. VI.	91
Lohn	643	25	53	4	49	123	176	86	29	60	24	11	21	661	70	25. VI.	91
Merishausen	ca 535	25	51	5	54	115	225	185	30	74	25	15	23	827	80	25. VI.	97
Schaffhausen	448	19	46	5	56	120	183	166	25	62	23	11	19	735	74	25. VI.	96
Neu-Rheinau	392	17	32	3	56	85	191	143	38	62	25	11	18	681	79	25. VI.	100
Rheinau	358	10	28	3	55	82	177	156	36	59	23	11	19	659	77	25. VI.	95
Flaach	360	17	53	2	53	87	213	129	41	60	28	10	20	713	68	25. VI.	100
Wil (bei Rafz)	415	21	72	7	69	63	214	98	38	75	29	12	18	721	68	26. VI.	93
Kaiserstuhl	ca 342	21	59	4	71	66	196	140	47	76	30	13	18	741	77	25. VI.	102
Schleitheim	477	18	49	2	56	70	180	110	30	63	27	14	21	640	81	25. VI.	85
Hallau	450	16	46	2	63	56	208	101	35	67	26	11	20	651	78	25. VI.	86
Wilchingen	ca 415	19	56	5	68	72	206	124	35	78	29	13	20	725	78	25. VI.	96
Laufenburg	ca 325	17	54	1	50	74	179	104	50	99	27	17	39	711	43	25. VI.	97
Wittnau	ca 415	24	28	8	58	84	183	98	64	78	21	17	34	697	30	17. VI.	102
Frick	ca 350	23	38	3	54	76	189	103	51	88	23	19	32	699	35	21. VIII.	111
Möhlin	ca 332	22	39	3	52	60	187	81	60	83	20	19	33	659	48	26. VI.	102
Wintersingen	444	25*	52	5	55*	60*	183	96	72	95	21	19	30	713	33	21. VIII	116
Rheinfelden	287	21	31	3	47	50	219	111	55	84	20	17	38	696	80	26. VI.	101
Kilchberg	ca 582	30	44	3	63	76	205	93	66	71	21	32	32	736	45	26. VI.	109
Böckten	ca 385	18	24	4	49	65	171	116	64	75	22	24	35	667	33	25. VI.	107
Eptingen	ca 565	28	43	4	75	68	196	89	80	77	24	21	26	731	37	21. VIII.	116
Bennwil	ca 526	30	37	4	57	78	186	103	76	70	22	23	25	711	36	26. VI.	109
Waldenburg	ca 533	31	55	6	78	75	201	126	69	77	22	23	29	792	31	25. VI.	111
Lampenberg	ca 536	32	39	6	56	79	198	106	76	84	22	20	30	748	37	26. VI.	118
Reigoldswil	ca 497	30	47	9	72	77	191	134	82	83	23	25	32	805	31	21. VIII.	107
Liestal	325	30	34	4	65	54	143	117	77	100	22	22	37	705	30	25. VI.	117
Arisdorf	ca 430	24	33	3	48	49	128	110	58	102	22	20	35	632	30	25. VI.	104
Basel-Augst	ca 275	17	18	4	52	40	152	128	54	89	21	19	34	628	43	4. VII.	95
Mervelier	ca 560	34	41	11	77	76	205	148	109	93	32	15	39	880	73	16. VIII	101
Bellelay	ca 930	21	67	4	85	108	229	139	77	119	31	22	48	950	46	23. IX.	122
Delémont	ca 420	21	21	5	39	66	158	100	65	87	24	13	36	635	36	16. VIII	102
Seewen	ca 551	27	28	4	71	73	183	124	73	94	25	25	33	760	33	16. VIII	109
Grellingen	ca 328	32	27	5	58	83	166	94	89	108	30	15	30	737	39	16. VIII.	109
Pfeffingen	ca 390	31	24	4	53	81	157	89	80	115	35	17	29	715	41	16. VIII.	111
Aesch	ca 315	27	25	6	45	68	167	79	68	109	28	13	27	662	39	16. VIII.	97
Neue Welt	ca 280	18	17	6	43	40	138	83	27	96	28	16	19	531	21	25. VI.	91
Therwil	ca 310	23	15	7	46	45	149	78	35	102	35	15	22	572	25	25. VI.	95
Basel-Binningen	317	18	14	7	37	29	137	90	21	93	25	13	17	501	26	10. VII.	85
Basel-Bernouillanum	277	18	16	7	38	31	142	120	16	91	24	14	17	534	40	5. VII.	88
III. Thur																	
Starkenbach	ca 894	66	135	30	177	166	257	197	91	118	58	46	55	1396	55	26. VI.	116
Ebnat	649	53	102	35	143	130	257	235	62	88	43	23	47	1218	60	25. VI.	111
Ricken	ca 790	55	121	25	144	154	380	309	69	86	60	41	66	1510	87	25. VI.	118
Peterzell	704	50	66	19	145	153	313	263	57	96	56	38	44	1300	54	26. VI.	117
Nollen	ca 740	36	32	11	93	142	221	167	53	61	53	25	37	931	45	27. V.	122
Degersheim	818	61	63	22	143	124	223	244	55	106	55	40	59	1195	35	25. VI.	121
Herisau	778	40	25	11	103	102	219	193	44	80	46	35	23	921	32	29. VII.	101
Flawil	ca 616	43	49	11	109	96	220	189	55	75	48	31	37	963	30	21. VI.	115
Säntis	2500	56	108	51	136	202	338	393	160	140	61	39	120	1804	70	26. VI.	141
Urnäsch	847	58	62	40	161	177	254	315	68	113	62	47	47	1404	45	28. V.	120
Befang b. Hundwil	871	66	98	34	173	147	374	319	65	119	88	47	46	1576	83	9. VI.	125

Stationen:	Höhe üb. Meer	Jan.	Febr.	März	April	Mai	Juni	Juli	Aug.	Sept.	Okt.	Nov.	Dez.	Jahr	Maxima		Zahl d. Tage
Appenzell	794	62	54	31	170	142	232	260	65	110	60	44	31	1261	41	18. VII.	128
Schwäbrig	1156	74	68	32	191	184	226	259	86	119	65	48	56	1408	40	18. VII.	125
Teufen	ca 853	65	57	24	147	152	267	261	68	102	61	41	38	1283	38	1. VII.	124
Bischofszell	ca 502	43	25	6	101	103	154	120	50	77	53	19	16	767	?	—	119
Sulgen	ca 483	32	36	3	82	128	174	140	52	56	51	18	27	799	44	27. V.	114
Weinfelden	ca 435	20	41	2	65	122	186	125	55	54	44	14	28	756	35	27. V.	111
Illhart	ca 540	19	38	4	63	109	158	138	58	49	37	10	27	710	37	27. V.	104
Müllheim	ca 412	15	45	4	70	123	167	138	42	61	41	12	25	743	45	27. V.	104
Dußnang	ca 597	32	92	7	106	108	291	229	65	58	52	31	38	1109	82	25. VI.	112
Eschlikon	ca 569	31	46	6	88	115	228	165	60	56	41	22	30	888	70	25. VI.	109
Wängi	ca 477	23	40	3	80	108	241	129	45	55	36	24	26	810	67	25. VI.	106
Aadorf	ca 537	28	43	6	75	122	267	123	58	60	43	30	29	884	91	25. VI.	113
Affeltrangen	ca 486	25	33	6	77	131	191	137	54	55	44	20	29	802	41	27. V.	115
Thundorf	ca 560	27	41	8	77	128	210	129	47	57	39	11	33	807	47	25. VI.	100
Frauenfeld	433	20	47	5	62	103	178	145	48	59	38	18	25	748	57	25. VI.	105
Kalchrain	ca 585	17	44	5	67	90	163	156	43	55	38	9	33	720	55	25. VI.	105
Niederneunforn	ca 446	15	30	4	64	88	180	140	46	56	31	13	26	693	83	25. VI.	101
Andelfingen	370	25	53	3	67	102	210	170	48	70	31	15	29	823	85	25. VI.	102
IV. Töß																	
Bauma	ca 643	40	80	13	142	139	328	238	72	70	43	37	56	1258	90	25. VI.	123
Sternenberg	ca 880	35	78	14	108	111	310	198	68	59	40	28	41	1090	81	25. VI.	111
Kollbrunn	ca 495	30	66	9	94	94	210	147	48	58	39	24	33	852	68	25. VI.	117
Fehraltorf*)	ca 536	39	54	9	113	83	233	155	65	63	37	33	30	914	74	25. VI.	113
Winterthur	ca 485	27	59	4	74	91	226	147	37	62	35	19	27	808	82	25. VI.	110

*) Ab Mai Station Effretikon, H = ca 512 m.

V. Glatt																	
Grüningen	ca 488	38	39	11	124	97	302	235	80	79	48	32	56	1141	80	25. VI.	116
Hinwil	ca 606	42	69	17	161	124	403	252	77	88	55	45	71	1404	94	25. VI.	118
Pfäffikon	ca 550	44	61	9	118	89	274	184	71	69	42	34	44	1039	64	25. VI.	118
Uster	ca 466	29	40	7	108	104	278	206	85	60	41	29	33	1020	73	25. VI.	112
Zürich-Strickhof	515	23	43	8	94	104	245	152	38	72	33	26	26	864	79	25. VI.	103
Oerlikon	ca 450	18	41	5	93	95	248	159	34	70	31	19	26	839	103	25. VI.	96
Reckenholz (Zch.-Aff.)	443	20	19	4	84	89	259	191	32	68	33	24	24	847	99	25. VI.	93
Kloten (Flughafen)	425	22	59	7	74	63	237	183	41	68	34	17	24	829	77	25. VI.	99
Dielsdorf	428	21	53	3	72	78	256	168	43	73	33	18	26	844	70	25. VI.	105
Bülach	ca 430	21	43	2	70	57	197	122	38	68	29	18	20	685	72	25. VI.	97
VI. Limmat																	
Weißtannen	ca 998	63	82	23	124	89	230	230	82	82	74	23	39	1141	46	25. VI.	123
Walenstadt	ca 430	44	61	25	83	130	221	134	60	76	62	22	42	960	60	26. VI.	111
Walenstadtberg	ca 982	103	125	34	147	186	276	212	110	101	77	40	70	1481	72	26. VI.	134
Obstalden	ca 690	37	48	17	94	136	308	160	57	100	74	45	30	1106	101	26. VI.	115
Auen (Linthal)	815	69	140	17	136	140	301	186	130	114	95	34	92	1454	81	25. VI.	136
Urnerboden	ca 1350	64	43	21	133	148	276	227	134	129	102	27	62	1366	69	25. VI.	137
Braunwald ob Linthal	1190	72	103	22	125	172	297	203	133	124	96	25	67	1439	73	25. VI.	125
Elm	962	54	63	16	146	129	283	215	123	125	93	19	67	1333	48	24. VI.	134
Glarus	480	53	58	19	105	126	313	161	101	103	74	44	49	1206	84	26. VI.	118
Klönthal	ca 838	58	66	25	122	172	386	256	186	135	93	40	62	1601	90	25. VI.	126
Weesen	ca 430	60	50	29	142	198	399	176	103	118	62	68	55	1460	121	26. VI.	116
Schänis (Steinerried)	ca 417	49	39	21	149	135	376	229	100	114	56	52	54	1374	105	26. VI.	114
Doggen	ca 411	65	38	22	134	142	394	225	108	115	56	48	57	1404	97	26. VI.	115
Oberkirch (b.Uznach)	ca 468	61	58	21	154	140	377	285	71	101	55	43	66	1432	92	25. VI.	116
Vorder-Wägital	ca 740	74	80	41	156	184	460	316	109	130	85	35	80	1750	80	25. VI.	127
Lachen	ca 410	58	45	20	116	122	372	225	96	87	62	39	44	1286	84	26. VI.	118
Wald (Sanatorium)	908	58	115	29	182	161	450	346	76	99	59	42	84	1701	100	25. VI.	123
Bachtel	1120	59	55	39	136	168	413	276	75	124	53	42	97	1537	93	25. VI.	131
Rapperswil	410	54	41	14	131	120	349	249	77	83	57	33	48	1256	85	25. VI.	118
Männedorf	ca 415	34	50	10	119	92	304	236	74	77	46	31	42	1115	84	25. VI.	117
Wädenswil	ca 475	37	42	14	151	126	338	262	112	83	49	29	49	1292	76	25. VI.	112
Horgen	ca 445	28	41	5	114	97	247	193	90	71	36	27	44	993	55	25. VI.	107
Pfannenstiel	ca 853	48	93	9	145	127	341	236	91	86	57	39	81	1353	92	25. VI.	126
Küsnacht (Zürich)	ca 412	26	38	5	101	80	243	229	90	74	37	21	31	975	68	25. VI.	106
Zollikon (Anst. f. Ep.)	ca 460	27	26	8	101	98	266	290	68	70	34	23	26	1037	81	25. VI.	106
Wollishofen	463	29	49	10	112	114	216	221	71	79	37	34	39	1011	76	25. VI.	114

Stationen:	Höhe üb. Meer	Jan.	Febr.	März	April	Mai	Juni	Juli	Aug.	Sept.	Okt.	Nov.	Dez.	Jahr	Maxima		Zahl d. Tage
Zürich MZA	569	26	35	8	94	93	257	168	49	71	34	28	29	892	81	25. VI.	105
Zürich-Botan. Garten	411	27	49	8	89	114	241	185	56	72	34	27	29	931	73	26. VI.	106
Oberiberg	1090	76	75	35	156	196	302	295	110	132	79	40	69	1505	61	25. VI.	132
Willerzell	ca 892	57	46	27	169	169	313	247	96	106	68	37	79	1414	69	25. VI.	119
Einsiedeln	914	58	67	33	167	163	293	228	101	101	60	34	58	1363	59	25. VI.	127
Schönenberg (Waldh.)	ca 700	45	62	20	143	153	294	212	110	95	45	39	58	1276	58	25. VI.	119
Sihlbrugg	540	43	58	15	160	126	287	194	141	82	52	37	67	1262	73	25. VI.	118
Zürich-Albishof	453	27	52	8	106	114	220	199	52	79	33	29	39	958	73	25. VI.	113
Uetliberg (Bahnhof)	ca 810	36	13	8	83	102	216	190	52	91	35	24	24	874	76	25. VI.	102
Waldegg	ca 625	31	45	4	96	107	222	181	44	92	32	26	31	911	74	25. VI.	107
Dietikon	ca 400	24	58	7	88	92	207	170	34	70	27	23	27	827	65	25. VI.	110
Otelfingen	ca 442	25*	61	6	84	79	291	185	47	72	27	19	25	921	90	25. VI.	107
Baden	387	23	54	5	87	74	243	100	50	73	26	16	23	774	75	25. VI.	102
VII. Reuß																	
Andermatt (Dorf)	1442	34	44	7	80	100	184	115	34	126	238	10	30	1002	51	29. X	117
Göschenen	1107	50	44	7	110	94	169	122	44	115	200	15	46	1016	64	29. X.	113
Gurtnellen	742	39	54	6	88	85	188	116	47	82	147	21	28	901	46	29. X.	107
Altdorf	456	50	26	14	103	111	205	146	86	79	99	26	40	985	49	25. VI.	114
Isenthal	ca 778	63	48	30	117	180	222	231	126	86	75	47	66	1291	48	25. VI.	121
Muotathal	ca 603	66	79	25	180	204	278	247	139	105	98	54	85	1560	58	25. VI.	123
Schwyz	522	63	41	27	172	160	310	211	114	113	74	48	71	1404	72	25. VI.	113
Sattel	ca 832	53	52	27	154	178	293	205	119	98	63	45	80	1367	63	25. VI.	120
Weggis	444	45	17	19	141	150	247	210	122	102	50	34	53	1190	56	18. VII.	105
Küßnacht (Schwyz)	ca 440	36	15	22	125	111	265	188	103	86	46	32	48	1077	43	25. VI.	102
Engelberg	1018	53	38	20	142	143	231	195	89	111	114	47	85	1268	44	25. VI.	138
Stans	ca 456	45	21	19	125	136	234	209	93	127	57	48	43	1157	55	18. VII	111
Bürgenstock	ca 855	65	22	22	140	124	317	225	118	138	59	35	51	1316	58	30. VI.	113
Lungern	ca 745	53	24	11	96	127	191	181	128	89	79	29	54	1062	40	29. X.	118
Sarnen	479	38	10	11	96	89	194	160	58	71	58	36	39	860	37	18. VII.	104
Pilatus-Kulm	2068	64	64	39	217	145	386	301	119	94	21	67	70	1587	60	26. VI.	126
Luzern (Wesemlin)	498	46	16	25	127	115	237	207	108	98	38	31	42	1090	39	18. VII.	109
Luzern (Reg.-Geb.)	ca 440	42	10	16	122	108	293	203	117	99	41	33	37	1121	83	30. VI.	109
Flühli	890	52	59	33	159	155	283	239	81	101	46	48	70	1326	47	26. VI.	120
Entlebuch	730	41	64	22	136	124	253	235	76	110	47	40	49	1197	50	26. VI.	126
Ruswil	623	47	36	11	123	107	258	268	67	89	46	40*	39	1131	70	5. VII.	114
Werthenstein	594	36	29	13	131	103	297	218	79	100	40	42	29	1117	42	26. VI.	117
Eigenthal (Buchsteg)	1010	68	52	42	177	173	295	297	119	145	57	60	66	1551	68	26. VI.	120
Morgarten	ca 729	58	50	35	183	163	333	243	123	106	66	47	81	1488	68	25. VI.	116
Unterägeri	ca 742	50	53	31	159	173	363	228	119	102	50	49	72	1449	68	25. VI.	121
Lorzetobel	ca 546	40	36	20	134	125	324	207	127	100	56	43	70	1282	64	25. VI.	120
Walchwil	450	42	21	23	144	154	309	244	102	84	49	38	59	1269	50	25. VI.	112
Zug	ca 425	32	22	16	123	135	264	207	113	90	46	34	52	1134	61	25. VI.	109
Ebertswil (b. Hausen a. Alb.)	ca 625	35	48	12	142	107	305	207	139	75	47	34	64	1215	65	25. VI.	118
Mettmenstetten	ca 483	23	29	7	105	77	234	153	81	77	36	34	38	894	61	25. VI.	107
VIII. Aare																	
Grimsel	1964	114	183	38	214	163	275	204	98	189	303	42	142	1965	67	18. X.	163
Guttannen	1058	55	76	9	195	136	259	157	116	116	146	44	84	1393	49	30. V.	124
Gadmen	1207	49	71	18	154	157	300	203	84	99	143	42	87	1407	57	25. VI.	139
Meiringen	605	46	38	9	100	97	197	161	78	81	113	37	77	1034	54	29. X.	118
Brienz	ca 575	36	36	5	126	164	203	159	110	101	69	35	56	1100	49	27. V.	114
Grindelwald	ca 1005	31	33	8	101	110	231	129	66	93	145	28	56	1031	57	29. X.	116
Eigergletscher	2323	80	—	36	260	—	—	—	76	—	290	89	127	—	—	—	—
Lauterbrunnen	790	37	45	7	89	91	172	120	46	78	100	22	51	858	43	29. X.	112
Interlaken	568	26	34	4	106	106	191	172	61	98	64	35	56	953	35	27. V.	120
Beatenberg	1148	48	60	13	116	140	228	205	81	125	60	60	80	1216	44	27. V.	124
Kandersteg	1176	33	21	7	93	89	161	155	77	90	91	19	60	896	32	18. VII.	123
Adelboden	ca 1345	28	31	8	109	94	177	149	67	88	66	29	47	893	36	18. VII.	115
Frutigen	ca 890	34	35	7	92	72	195	184	64	86	54	31	48	902	36	18. VII.	115
Kienthal	ca 970	36	28	11	120	116	186	177	59	105	74	26	68	1006	44	18. VII.	116
Hondrich	ca 760	21	20	7	101	105	199	143	84	95	55	28	27	885	29	20. X.	111
Zweisimmen	ca 955	33	62	9	92	104	180	104	97	94	44	33	37	889	34	27. V.	110
Boltigen	ca 820	37	67	10	94	124	216	113	84	90	34	37	42	948	42	10. VI.	112
Alp Kiley	1380	52	71	19	108	118	177	183	101	107	50	30	59	1075	46	28. V.	135
Grimmialp	1214	33	65*	10*	95	106	182	136	90	71	40	29	66	923	32	27. V.	118
Wimmis	ca 635	35	38	6	127	129	201	144	88	108	51	42	46	1015	33	9. IV.	109
Heiligenschwendi	1125	38	33	14	133	89	219	196	71	91	36	53	53	1026	42	5. VII.	113

Stationen:	Höhe üb. Meer	Jan.	Febr.	März	April	Mai	Juni	Juli	Aug.	Sept.	Okt.	Nov.	Dez.	Jahr	Maxima		Zahl d. Tage
Thun	565	18	15	10	100	70	209	116	55	105	46	33	33	810	33	28. IX.	95
Schwarzenegg	ca 925	29	32	14	117	92	226	174	64	94	43	41	45	971	37	27. V.	114
Großhöchstetten	ca 743	34	38	9	102	91	181	143	59	81	37	38	45	858	34	27. V.	108
Belp	ca 525	30	28	11	100	78	160	143	75	107	34	31	29	826	37	2. VIII.	99
Bern	572	26	31	5	77	84	138	118	71	93	34	33	20	730	36	3. VII.	98
Lauenen	ca 1260	29	47	7	91	73	211	133	71	90	52	26	45	875	31	18. VII.	106
Gsteig bei Saanen	ca 1188	22	42	11	82	88	170	136	112	103	43	20	50	879	26	27. V.	114
Saanen (Solsana)	1160	33	60	4	81	97	187	132	82	89	42	33	44	884	37	2. VII.	107
Rougemont	1003	38	75	7	68	119	180	112	114	91	42	37	55	938	41	27. V.	111
Château-d'Oex	ca 1021	40	71	9	75	103	265	108	108	116	37	50	44	1026	58	10. VI.	119
L'Etivaz	ca 1155	39	74	9	83	136	255	136	99	124	43	37	48	1083	40	22. V.	114
Jaun	1030	37	81	13	123	170	250	163	125	104	40	41	78	1225	56	10. VI.	116
La Valsainte	1015	28	69	12	152	121	291	219	111	129	40	43	72	1287	66	10. VI.	111
Marsens	727	20	31	12	109	80	241	222	91	127	37	35	35	1040	78	4. VII.	102
La Roche	755	20	45	9	123	72	268	194	103	135	42	41	33	1085	69	4. VII.	109
Romont	764	11	35	4	69	69	240	119	88	137	37	24	21	854	42	30. VI.	99
Freiburg	ca 677	14	14	5	72	62	193	79	82	113	32	28	21	715	36	2. VIII.	95
Gauglera	921	20	23	7	89	80	211	206	103	114	41	37	39	970	77	4. VII.	108
Schwarzenburg	797	32	33	11	99	94	182	100	66	108	36	32	38	831	44	27. V.	108
Wahlendorf	ca 760	26	41	4	93	78	156	134	76	115	40	42	27	832	35	10. VI.	108
Aarberg	457	18	40	2	57	77	119	113	61	102	31	29	20	669	36	1. VII.	89
Rossenges s. Moudon	ca 700	19	46	9	92	51	191	125	74	131	31	29	31	829	39	23. IX.	98
Moudon	515	15	43	6	79	44	182	112	65	131	32	24	29	762	40	23. IX.	98
Payerne	ca 445	15	20	3	59	68	199	45	75	121	33	22	21	681	36	2. VIII.	89
Avenches	480	20	21	2	54	66	122	58	57	101	29	24	17	571	33	23. IX.	87
Witzwil	ca 448	21	46	2	52	98	143	101	78	107	34	30	17	729	34	23. IX.	94
La Cure	ca 1160	—	—	—	104	118	310	144	95	154	51	50	—	—	46	23. IX.	—
Le Sentier	ca 1024	28	53	6	69	92	261	124	75	137	60	40	37	982	60*	9. VI.	110
Le Pont	1008	30	79	8	66	69	310	112	61	112	68	33	36	984	86	9. VI.	116
Vallorbe-Reposoir	928	34	90	12	94	81	304	160	74	123	69	45	41	1127	90	9. VI.	115
Vallorbe-Village	790	29	57	6	67	86	271	128	63	112	59	44	33	955	56	9. VI.	111
L'Abergement	640	26	38	3	53	78	220	80	27	113	32	35	24	729	91	9. VI.	82
Valleyres-s.-Rances	505	17	47	3	32	55	198	81	32	108	34	21	14	642	74	9. VI.	87
Bochuz	ca 440	16	42	0	37	55	206	75	37	122	37	26	20	673	88	9. VI.	80
Echallens	ca 625	15*	69	3	84	57	219	67	74	143	35	31	17	814	53	9. VI.	90
Corcelles	ca 560	14	73	3	59	55	204	45	64	122	33	27	21	720	69	9. VI.	91
Yverdon	440	12	37	1	55	57	247	79	43	128	29	22	15	725	61	9. VI.	86
Baulmes	ca 634	27	84	7	64	110	270	90	45	121	34	35	35	922	93	9. VI.	109
La Frêtaz p. Bullet	ca 1197	17	73	8	65	188	312	110	51	156	41	45	30	1096	76	9. VI.	104
Chasseron	1588	24	52	11	76	161	339	125	68	128	59	28	23	1094	105	9. VI.	119
L'Auberson	ca 1110	28	202	10	88	145	376	128	78	128	55	48	49	1335	82	9. VI.	117
St-Sulpice	ca 760	24	113	11	73	119	304	95	70	119	50	40	36	1054	88	9. VI.	109
Couvet	755	29	107	10	62	106	268	118	58	109	37	33	29	966	72	9. VI.	107
Champ-du-Moulin	620	10	106	5	76	82	217	99	69	145	42	40	30	921	53	9. VI.	96
Grandchamp-Areuse	440	20	72	2	45	54	172	79	49	142	33	26	21	715	34	23. IX.	90
La Brévine	ca 1060	16	31	10	66	128	334	123	105	164	55	48	39	1119	76	9. VI.	114
Les Ponts	ca 1056	33	96	9	91	121	220	116	61	121	35	37	40	980	58	9. VI.	113
Cernier	800	18	64	12	66	94	224	109	51	132	33	48	25	876	59	9. VI.	110
Serrières	ca 470	17*	74	1	41	67	194	74	63	123	38	25	17	734	48	9. VI.	85
Neuchâtel	487	17	75	3	45	69	148	82	62	103	29	31	19	683	40	9. VI.	84
Hauterive	ca 475	11	75	3	48	83	144	82	71	108	24	33	23	705	41	2. VIII.	84
Chaumont	1141	16	73	4	63	121	188	88	53	118	35	40	38	837	41	22. V.	99
Biel-Gaswerk	436	17	100	2	52	67	156	98	39	105	29	20	23	708	42	8. VI.	88
Biel	ca 440	12	84	2	47	66	152	106	40	104	28	20	22	683	35	8. VI.	84
Evilard	ca 700	26	123	3	58	76	160	111	49	118	32	24	27	807	36	8. VI.	103
Mont-Soleil	ca 1200	50	95	15	90	99	238	98	60	128	47	36	67	1023	53	9. VI.	124
Weißenstein	1285	26	44	2	37	117	226	101	115	88	26	24	30	836	46	21. VIII.	103
Solothurn	470	19	92	2	69	105	202	178	90	85	31	19	37	929	41	26. V.	99
Marbach	ca 872	56	42	25	162	162	316	225	72	120	49	52	75	1356	48	28. IX.	126
Escholzmatt	ca 920	42	54	23	144	121	307	176	80	105	48	48	63	1211	45	29. VI.	127
Langnau i. E.	685	30	48	20	128	101	337	134	73	92	34	42	42	1081	74	22. VI.	108
Wasen i. E.	760	25	64	17	98	129	198	165	45	108	31	42	46	968	41	27. V.	110
Affoltern i. E.	796	23	81	3	95	115	176	115	47	87	25	38	34	839	38	27. V.	107
Burgdorf	ca 535	12	24	2	71	98	136	140	41	77	27	33	21	682	42	27. V.	89

Stationen:	Höhe üb. Meer	Jan.	Febr.	März	April	Mai	Juni	Juli	Aug.	Sept.	Okt.	Nov.	Dez.	Jahr	Maxima		Zahl d. Tage
Gerlafingen	454	25	64	2	64	90	196	136	101	90	36	28	31	803	30	26. VI.	99
Herzogenbuchsee	ca 475	15	22	2	62	81	145	140	49	75	24	28	23	666	46	5. VII.	90
St. Urban	457	22	64	0	93	107	189	186	55	66	20	30	30	862	34	25. VI.	108
Luthern	785	36	52	11	105	122	248	180	89	109	27	47	33	1059	45	21. VI.	121
Wauwilermoos	ca 502	25*	70*	0	81	99	238	165	66	88	27	37	27	923	49	26. VI.	105
Zofingen	ca 436	23	67	7	79	94	228	112	66	64	19	27	34	820	41	17. VI.	108
Herbetswil	ca 526	31	64	1	65	113	209	102	103	70	28	39	31	856	45	16. VIII	97
Langenbruck	740	28	85	4	77	96	197	117	101	68	23	30	34	8[illegible]	4[illegible]	21. VIII.	104
Balsthal	ca 503	24	49	3	59	85	212	92	147	66	18	28	29	812	44	2. VIII.	100
Allerheiligen	897	33	75	10	108	104	203	116	105	85	29	28	40	936	43	21. VIII.	116
Olten	ca 400	24	79	4	92	82	181	132	113	58	23	30	30	848	62	21. VIII.	109
Barmelweid	ca 770	26	62	6	67	51	160	74	56	59	22	20	39	642	28	21. VIII	104
Aarau	408	19	68	5	70	65	156	83	99	66	22	24	28	705	52	21. VIII.	103
Kölliken	ca 431	24	95	7	73	85	179	153	67	69	16	30	31	829	32	1. II.	107
Beromünster	ca 642	35	64	7	96	86	255	153	80	82	26	38	40	962	47	25. VI.	111
Unter-Kulm	ca 470	27	66	6	81	74	229	140	59	79	20	37	33	851	54	25. VI.	103
Aesch (Hitzkirch)	ca 484	30	52	8	90	61	231	187	56	76	23	28	24	866	52	25. VI.	104
Seengen	ca 471	25	34	5	74	62	217	115	58	67	30	24	26	737	44	25. VI.	102
Muri	483	24	20	6	86	56	196	141	50	79	29	30	27	744	35	25. VI.	99
Bötzberg	518	23	49	4	74	51	183	92	55	77	21	37	30	696	43	25. VI.	91
Schinznach-Dorf	ca 365	20	43	4	70	71	153	100	66	67	18	17	28	657	41	21. VIII.	98
Brugg	ca 350	19	41	4	76	66	168	86	54	71	22	14	19	640	57	25. VI.	96
Beznau	ca 330	12	43	2	62	54	161	113	35	73	20	11	21	607	56	25. VI.	92
Oberweningen	ca 470	17	44	5	68	70	218	117	47	67	27	15	22	717	68	25. VI.	103
B. Rhonegebiet I. Rhone und Genfersee																	
Oberwald	1370	46	56	10	97	96	170	125	36	145	263	21	41	1106	59	18. X.	118
Reckingen	1332	20	38	1	57	69	156	98	28	112	229	5	22	835	56	18. X.	96
Fiesch	ca 1060	9	20	0	26	29	134	75	16	80	242	4	20	655	56	18. X.	75
Binn	ca 1400	25	23	0	67	28	152	66	24	151	229	16	12	793	56	18. X.	90
Saas-Fee	ca 1785	10	11	0	42	29	145	70	18	106	274	4	17	726	52	18. X.	83
Zermatt	1610	11	8	0	50	39	154	63	16	67	135	8	10	561	36	18. X.	93
Grächen	1629	6	5	0	23	44	118	70	7	63	147	7	8	498	36	18. X.	74
Visp	648	13	13	1	7	18	88	44	4	40	153	5	8	394	41	18. X.	60
Kippel	ca 1376	33	60	4	49	51	130	72	28	64	142	16	53	702	44	18. X.	98
Leukerbad	ca 1380	50	99	11	19	66	146	121	67	59	80	11	46	775	38	8. II.	98
Varen bei Leuk	ca 750	9	22	0	19	29	91	66	19	42	55	13	21	386	19	18. VII.	72
[illegible]		—	—	—	—	34	78	76	2[illegible]	39	37	12	11	-	—		--
Sierre	ca 570	4	41	2	24	29	87	66	18	29	37	12	13	362	20	4. VII.	65
Montana (Lac d'Y-coor)	1509	30	61	6	46	60	114	87	39	44	40	21	26	574	22	27. V.	96
Montana (La Moubra)	1453	18	66	5	47	53	113	87	32	45	43	15	26	550	21	27. V.	89
Grimentz	ca 1570	0	47	3	30	60*	189	82	45	64	69	11	30	630	27	24. VI.	98
Hérémence	ca 1240	7	26	2	32	50	96	66	27	39	45	15	10	415	20	27. V.	71
Sion	549	6	39	2	19	32	86	62	34	37	30	13	8	368	24	10. II.	68
Sion (Aérodrome)	483	—	—	—	—	—	—	52	44	35	32	14	9	—	—	—	—
Bagnes (Châble)	ca 820	24	49	1	44	29	114	46	35	68	58	14	20	502	21	10. II.	74
St. Bernhard	2479	48	87	9	230	132	331	123	107	197	251	71	71	1657	66	17. VI.	144
Bourg-St-Pierre	ca 1625	36	57	3	75	67	185	69	44	82	130	14	25	787	25	9. VI.	99
Orsières	ca 885	29	37	0	31	58	104	38	22	67	74	15	21	496	26	23. IX.	69
Martigny-Ville	475	15	28	5	30	41	86	69	47	56	34	17	17	445	29	18. VII.	79
Les Marecottes	ca 1055	40	63	15	66	56	94	107	57	67	55	43	34	697	30	10. II.	93
Gryon	ca 1130	29	78	7	81	87	202	136	80	117	69	29	62	1004	34	23. IX.	116
Les Plans	ca 1100	33	69	5	136	94	185	134	99	97	60	37	63	1012	35	27. V.	105
Bex	430	21	25	3	80	69	147	107	61	105	50	25	37	730	32	23. IX.	97
Val d'Illiez	ca 890	24	37	11	89	65	166	149	80	123	55	31	26	856	36	18. VII.	109
Diablerets-Village	1168	23	87	10	92	95	228	134	89	99	41	32	55	985	33	30. VI.	111
Leysin	1350	20	93	9	97	87	231	150	95	113	43	40	51	1029	39	10. VI.	113
Chessel	ca 380	28	38	9	68	80	176	104	84	103	48	43	46	827	39	30. V.	96
Rochers-de-Naye	1982	51	180	18	135	194	448	304	207	135	83	72	221	2048	73	29. XII.	137
Montreux-Clarens	408	18	36	9	76	63	222	91	111	134	56	45	37	898	45	10. VI.	95
Vevey	380	16	36	9	66	59	236	110	88	136	36	45	33	870	43	10. VI.	93
Rieх	445	11	36	4	72	59	223	137	92	124	38	57	48	901	53	9. VI.	93
Tour-de-Gourze	925	17	34	3	84	69	241	196	99	151	40	40	50	1024	60	4. VII.	100
Pully	461	10	41	4	78	56	266	114	88	166	46	46	39	954	64	9. VI.	92

Stationen:	Höhe üb. Meer	Jan.	Febr.	März	April	Mai	Juni	Juli	Aug.	Sept.	Okt.	Nov.	Dez.	Jahr	Maxima		Zahl d. Tage
Lausanne	553	12	31	4	55	42	229	68	55	136	43	33	29	737	65	9. VI.	86
Cossonay	ca 575	8	49	1	57	43	225	55	61	136	41	30	17	723	63	9. VI.	84
Morges	380	13	46	2	65	40	194	57	43	132	36	38	17	683	61	9. VI.	78
Marcelin s. Morges	ca 425	8	42	2	73	35	188	54	41	129	40	35	15	662	60	9. VI.	75
Allaman	432	12	49	1	51	44	193	44	44	147	21	38	12	656	67	9. VI.	82
Longirod	890	11	30	5	70*	76	243	81	50	138	53	35	20	813	48	9. VI.	92
Nyon	ca 405	4	52	5	46	47	188	47	51	139	36	36	10	661	56	9. VI.	78
Céligny	ca 435	11	69	1	39	50	195	39	43	136	37	36	13	669	51	9. VI.	77
Genève-Observatoire	405	4	23	4	37	27	192	35	57	132	47	36	15	609	49	23. IX.	71
Jussy	ca 475	7	13	3	47	36	186	42	76	131	41	32	25	639	51	9. VI.	77
Compesières	ca 476	8	20	5	51	24	185	39	57	143	44	31	23	630	51	23. IX.	79
Genève-Cointrin	424	2	24	1	40	36	196	29	36	116	51	30	18	579	51	9. VI.	73
II. Doubs																	
Les Brenets	878	27	111	17	84	113	251	98	73	127	50	45	47	1043	64	9. VI	120
Le Locle	ca 920	33	106	15	106	141	278	97	65	147	55	51	49	1143	71	9. VI	121
La Chaux-de-Fonds	990	21	79	10	81	98	245	118	45	127	44	40	57	965	52	9. VI	121
Saignelégier	ca 985	38	59	21	85	108	268	113	103	120	57	25	57	1054	58	9. VI	120
Mormont	ca 550	20	21	7	37	66	204	121	49	100	31	13	26	695	45	9. VI	96
C. Pogebiet I. Tessin																	
Gotthard	2095	32	24	8	216	74	290	162	44	313	400	20	49	1632	63	18. X.	145
Airolo	ca 1170	12	13	5	190	21	242	143	55	294	344	18	23	1360	52	18. X.	102
Lago di Tremorgio	1851	20*	15	5	205	23	325	193	52	333	387	9	17	1584	73	17. VI.	112
Olivone	ca 893	0	23	0	142	12	214	161	46	241	329	24	20	1212	59	19. IX.	73
Comprovasco	544	2	5	0	113	7	202	168	40	201	255	17	17	1027	75	1. VII.	82
Biasca	ca 300	1	7	0	140	15	243	192	134	196	322	29	29	1308	99	21. VIII	89
Mesocco (Misox)	ca 785	5	7	0	100*	6	251	216	129	234	346	5	25*	1324	111	21. VIII.	79
Braggio	1332	0	11	0	79	15	282	189	115	200	354	16	24	1285	84	21. VIII.	85
Grono	335	1	2	0	70	5	241	137	105	163	340	6	7	1077	71	21. VIII	82
Bellinzona	230	5	7	0	98	8	319	198	129	240	351	13	20	1388	100	18. VII.	93
Locarno-Aeroporto	198	—	—	—	—	—	287	214	121	267	381	12	20	—	86	29. VI.	
Vira (Gambarogno)	ca 210	5	7	0	142	12	380	192	72	277	429	11	17	1544	98	29. VI.	86
Fusio	ca 1285	4	11	0	195	17	261	177	39	306	399	20	25	1454	68	29. VI.	91
Cevio	ca 430	5	5	0	180	17	258	186	62	336	401	11	22	1483	74	29. VI.	91
Bosco-Gurin	ca 1510	8	15	2	231	25	349	188	34	322	542	15	24	1755	74*	29. VI.	109
Mosogno	ca 790	14	5	0	196	10	293	146	48	453	451	14	22	1652	156	19. IX.	83
Camedo	ca 610	14	6	0	217	14	385	194	76	507	509	11	21	1954	151	19. IX.	76
Locarno-Muralto	239	7	6	0	159	12	377	261	124	302	472	18	22	1760	105	19. IX.	88
Locarno-Monti	379	4	5	0	153	9	360	238	114	287	415	15	19	1619	96	19. IX.	81
Ascona	ca 203	5	5	0	157	7	387	213	100	323	398	16	19	1630	111	19. IX.	85
Brissago	ca 257	12	8	0	232	11	439	160	82	487	476	20	28	1955	195	19. IX.	92
Mezzana	335	14	5	0	163	33	305	215	79	254	495	14	37	1614	83	29. VI.	98
Monte Brè	910	6	6	0	108	16	292	143	90	180	390	14	23	1268	81	29. VI.	93
Pregassona	ca 350	5	7	0	106	18	311	153	106	211	374	13	22	1326	82	21. VIII.	90
Lugano	276	7	10	0	124	26	369	151	112	219	412	13	23	1466	88	24. VI.	93
Piandanazzo (Val Colla)	1620	15	15	2	149	25	424	216	139	270	458	17	34	1764	112	24. VI.	103
Crana-Torricella	1010	12	15	1	179	34	552	303	126	326	441	27	32	2048	106	29. VI.	100
Fescoggia	ca 845	8	10	0	162	29	492	261	132	296	466	19	24	1899	116	29. VI.	99
Ponte Tresa	ca 280	10	6	0	117	14	461	125	66	228	433	12	21	1493	107	29. VI.	88
II. Adda																	
Bernina-Hospiz	ca 2309	5	16	2	101	7	222	152	126	213	321	11	22	1198	59	21. VIII.	96
Cavaglia	ca 1701	5	13	0	88	15	168	131	89	166	277	9	20	981	46	25. X.	96
Brusio	ca 755	3	8	1	74	14	96	166	108	100	219	15	11	815	43	25. X.	90
Vicosoprano	ca 1065	1	8	1	103	14	178	230	83	175	283	13	22	1111	102	18. VII.	92
Soglio	ca 1090	0	21	0	105	17	218	247	99	138	298	11	13	1167	118	18. VII.	91
D. Donaugebiet Inn																	
Sils-Maria	1802	2	4	0	83	16	109	186	72	105	205	7	14	803	86	18. VII.	91
St. Moritz	1853	4	4	0	67	12	102	157	56	82	134	2	10	630	62	18. VII.	80
Bever	1712	1	8	2	59	13	111	143	70	87	101	15	17	627	49	18. VII.	77
Buffalora	ca 1977	3	21	5	102	53	225	187	53	142	146	2	9	948	49	18. VII.	104
Süs-Susch	ca 1440	2	14	3	27	21	121	107	58	61	59	3	17	493	28	21. VIII	80
Scarl	ca 1800	—	—	—	—	19	153	99	40	93	106	2	—	—	—	—	—
Schuls	1253	3	15	2	60	20	68	133	65	69	52	0	18	505	33	18. VII.	85
Martina	ca 1035	8	19	2	46	35	102	131	66	54	41	2	14	520	33	21. VIII	83
E. Etschgebiet Rombach																	
Sta. Maria	1411	0	5	1	89	9	86	160	67	79	106	3	9	614	52	18. VII.	80

Monats- und Jahressummen im Jahre 1953

ausgedrückt in Prozenten der Normalmengen*)

Stationen:	Höhe üb. Meer	Jan.	Febr.	März	April	Mai	Juni	Juli	Aug.	Sept.	Okt.	Nov.	Dez.	Jahr
Platta (Medels)	1378	58	56	0	108	49	182	123	25	157	158	0	29	89
Bernhardin	2073	—	—	—	—	9	181	88	51	150	107	21	—	—
Splügen	ca 1504	36	37	4	34	14	145	82	30	85	99	1	4	56
Davos-Platz	1561	34	79	9	88	71	179	121	63	79	97	6	50	82
Chur	633	29	49	46	50	46	227	94	42	90	78	7	39	74
Sargans	510	54	66	22	95	107	136	96	43	61	60	18	49	72
Altstätten	468	70	49	17	110	119	115	129	32	73	51	38	40	77
St. Gallen	679	64	52	15	114	89	155	121	31	64	49	45	36	78
Kreuzlingen	446	34	112	9	68	125	124	143	44	51	59	20	43	76
Lohn (Schaffhausen)	643	49	120	7	78	152	181	92	31	76	32	19	34	78
Basel-Bernoullianum	277	44	39	13	58	38	145	133	19	117	32	24	33	65
Glarus	480	65	74	22	100	110	190	83	56	81	67	51	51	85
Zürich	569	48	67	11	102	85	196	126	39	68	37	42	40	81
Einsiedeln	914	66	76	30	127	107	147	112	51	69	48	36	55	83
Altdorf	456	78	42	18	107	105	150	94	58	75	93	32	49	81
Engelberg	1018	57	44	19	115	104	134	106	50	83	90	51	84	83
Luzern-Wesemlin	498	96	33	37	143	100	161	135	76	92	43	52	72	97
Guttannen	ca 1058	49	71	7	128	95	169	94	73	86	99	38	65	84
Beatenberg	1148	55	73	12	94	104	129	116	50	105	52	65	79	82
Bern	572	54	61	8	101	89	122	105	66	104	39	49	31	75
Neuchâtel	487	28	125	4	63	84	148	86	63	120	31	39	24	70
Chaumont	1141	25	120	5	80	132	165	81	47	123	34	48	46	78
Affoltern i. E.	796	37	131	4	100	101	126	92	37	85	26	51	44	72
Langenbruck	740	36	116	5	82	86	150	90	88	67	23	38	37	72
Olten	ca 400	36	122	5	114	81	143	104	94	59	23	38	36	76
Aarau	408	32	117	7	91	68	133	71	91	72	26	34	38	69
Muri (Aargau)	483	41	34	8	99	53	150	110	41	83	33	44	36	68
Reckingen	1332	28	59	1	61	78	186	111	33	120	196	6	25	80
Sion	549	14	93	4	49	80	191	115	52	77	53	25	13	62
St. Bernhard	2479	28	56	4	107	74	203	95	78	131	117	36	33	77
Martigny	475	26	55	9	57	80	148	97	59	93	45	28	23	59
Montreux-Clarens	408	33	64	13	95	67	193	75	87	140	58	63	51	85
Lausanne	553	21	53	5	72	46	231	68	50	137	40	39	37	71
Genève	405	9	46	6	54	36	243	45	59	155	47	46	22	69
St. Gotthard	2095	21	17	4	104	36	163	85	23	151	161	10	26	70
Airolo	ca 1170	17	18	4	141	13	183	96	34	171	155	11	21	82
Braggio	1332	0	18	0	62	9	170	104	61	124	205	13	31	81
Locarno-Muralto	239	11	9	0	98	6	202	134	59	149	212	12	26	94
Lugano	276	12	16	0	77	14	199	87	60	125	208	10	29	85
Sils-Maria	1802	4	9	0	109	18	114	162	62	103	193	9	23	80
Bever	1712	3	23	4	102	18	129	135	65	96	115	22	31	73
Schuls	1253	8	45	6	143	38	101	145	71	97	87	0	36	74

*) Normalperiode 1864—1940. Die mittleren Monats- und Jahressummen sind im Jahrgang 1941 im Anschluß an die vorstehende Tabelle veröffentlicht.

Ergebnisse

der im Alpengebiet aufgestellten Niederschlags-Totalisatoren

für das hydrologische Jahr 1952/1953

Station	m ü.M.	Langjähriges Mittel		Periode 1952/1953				
				Zeitdauer		Gemessener Wert	Red. Wert 1. 10. 52 - 30. 9. 53	In % des Mittels
		Wert	Anzahl Jahre	1952	1953			
		cm				cm	cm	
Suchetgebiet (Jura)								
Suchet (Chalet)	1465	167	24	27.10. — 22. 9.		150	**173**	104
Diableretsgebiet								
Becca d'Audon	2870	162	30	28.10. — 6. 9.		133	**165**	102
Mont Blancgebiet								
Col d'Orny	3169	289	30	16. 9. — 14. 9.		295	**303**	105
Monte Rosagebiet								
Mondellipaß	2800	230	31	26. 9. — 1.10.		215	**213**	93
Thäliboden	2485	148	31	26. 9. — 1.10.		120	**120**	81
Galmen	2690	118	31	26. 9. — 29. 9.		99	**98**	83
Seewinenberg	3025	294	31	24. 9. — 30. 9.		362	**361**	123
Ofentalpaß	2800	203	31	26. 9. — 29. 9.		181	**179**	88
Stelli-Weißtal	2620	183	31	26. 9. — 29. 9.		130	**128**	70
Schwarzenberggletscher (Fuß Fluchthorn)	2968	148	31	24. 9. — 26. 9.		115	**119**	80
Schwarzenbergkopf	2565	186	31	1.10. — 29. 9.		122	**122**	66
Mattmarksee	2117	80	31	1.10. — 29. 9.		87	**87**	109
Allalingletscher	3369	189	31	24. 9. — 26. 9.		167	**173**	92
Kessjen	2840	124	31	23. 9. — 25. 9.		100	**106**	85
Plattje	2228	148	31	4.10. — 3.10.		105	**109**	74
Furgghorn	3390	318	26	17. 9. — 12. 9.		276	**284**	89
Gornergrat	3100	122	29	15. 9. — 11. 9.		126	**135**	111
Simplongebiet								
Magenhorn	2470	137	15	28. 9. — 13. 9.		118	**127**	93
Jungfraugebiet								
Mönchsgrat	3810	390	32	26. 9. — 17. 9.		368	**377**	97
Trugberg	3530	170[1]	27	23. 9. — 18. 9.		143	**150**	88
Kranzberg	3180	402	24	24. 9. — 3.10.		434	**420**	104
Konkordia	2890	138	32	25. 9. — 2.10.		126	123	89
Aletschwald	2040	118	17	15. 9. — 17. 9.		125	**131**	111
Grimsel- und Gelmergebiet								
Kl. Siedelhorn	2430	224	34	14. 7. — 21. 9.		206	**186**	83
Abschwung	2900	216	34	16. 7. — 23. 9.		248[3]	**216[3]**	100
Pavillon Dollfus	2415	158	34	16. 7. — 23. 9.		199	**177**	112
Oberaarjoch	3310	283	34	15. 7. — 22. 9.		339[3]	**300[3]**	106
Oberaaralp	2257	141	34	15. 7. — 1. 4.		122	**147[3]**	104
Gelmer Bergli	2144	186	34	14. 7. — 24. 9.		229	**203**	109
Titlisgebiet								
Trübsee-Jochpaß	1800	215	25	15. 9. — 5.10.		259	**250**	116
Dammastockgebiet								
Bergsee (ob Göscheneralp)	2420	183	8	30. 9. — 25. 9.		170[2]	175	95
Gotthardgebiet								
Lago Ritom	1960	148	31	1.12. — 10.10.		110	**140**	95
Cristallinagebiet								
Lago di Naret	2313	256	7	1.10. — 30. 9.		210	**210**	82
Lago Sfundau	2523	213	7	1.10. — 30. 9.		180	**180**	85
Lago Bianco	2063	245	6	1.10. — 30. 9.		255	**255**	104
Oberes Maggiagebiet								
Großalp-Bosco	1900	223	6	1.10. — 30. 9.		191	**191**	86
Alpe Quadrella	1810	211	6	30. 9. — 30. 9.		199	**199**	94
Campo-Maggia	1380	193	6	30. 9. — 30. 9.		160	**160**	83
Greinagebiet								
Greinaboden (West)	2327	203	16	21.10. — 1.10.		195	**214**	105
Greinaboden (Ost)	2327	128	16	22.10. — 2.10.		115	**127**	99
Alp Sutglatschèr	1420	170	16	16.10. — 2.10.		175	**188**	111
Medelserhütte SAC.	2480	202	16	8.10. — 17. 9.		234	**277**	137
Alp Cugn	2154	139	16	16.10. — 30. 9.		144	**153**	110
Alp Nadèls	1880	120	16	15.10. — 28. 9.		111	**120**	100
Alp Naustgel	1945	135	16	14.10. — 29. 9.		114	**123**	91
Rhätisches Alpengebiet								
Gemskanzel-Rheinwaldfirn	2916	144	29	30. 9. — 30. 8.		114[2]	128	89
Älpetlistock-Splügenpaß	2393	192	30	28. 9. — 6. 9.		149	**161**	84
Muotaulta-Annarosa	2800	144	30	6.10. — 3. 9.		125	**151**	105
Crapet-Prassignola	2650	151	29	24. 9. — 21. 9.		124	**129**	85
Piz Curvèr	2810	109	30	8.10. — 1. 9.		82	**101**	93
Piz Scalotta	2965	164	30	24. 9. — 22. 9.		134	**136**	83
Julier-Hospiz	2315	108	30	18. 9. — 16. 9.		95	99	92
Albula-Hospiz	2315	90	20	5.10. — 1.10.		96	**99**	110
Sils	1830	—	1	1.10. — 1.10.		115	**115**	—
St. Moritz	1895	—	1	1.10. — 1.10.		95	**95**	–
Stazerwald	1810	—	1	1.10. — 1.10.		85	**85**	–
Punt Muragl	1800	—	1	1.10. — 1.10.		83	**83**	–
Zuoz	1880	—	1	1.10. — 1.10.		85	**85**	–
Cluoza (Blockhaus)	1910	92	34	2.10 — 2.10.		88	89	97
Silvrettagebiet								
Silvrettahütte	2375	145	34	19.10. — 9. 9.		117	**134**	92
Eckhorn	3145	142	33	18.10. — 10. 9.		127	**144**	101
Taminagebiet								
Vättneralpli	1885	131	23	26. 9. — 28. 9.		147	**149**	114
First (Wasserböden)	2200	101	23	22.10. — 30. 9.		110	**120**	119
St. Martin	1396	147	23	13.10. — 5.10.		130	**134**	91
Panäraalp	2028	158	23	14.10. — 3.10.		159	**169**	107
Tödigebiet								
Claridenfirn	2710	347	34	16. 9. — 17. 9.		358	**365**	105
Säntisgebiet								
Säntis	2504	385	25	30. 9. — 30. 9.		423	**423**	110
Gebiet des Hohen Randen (Jura)								
Auf dem Hagen	915	87	26	25. 9. — 18. 9.		99	**102**	117
Nachträge 1951/1952								
Bergsee (ob Göscheneralp)	2420	184	7	1951 7.10. — 30. 9.	1952	179[2]	179	97
Gemskanzel-Rheinwaldfirn	2916	145	28	1951 16. 9. — 30. 9.	1952	155[2]	150	104

[1] Mittel ohne interpolierte Jahreswerte

[2] Nach dem zweijährigen Meßergebnis 1951/53 interpoliert

[3] Nach Vergleichsstationen interpoliert

Von den der MZA gehörenden 30 Niederschlags-Totalisatoren im Alpengebiet konnten durch unsere Organe 21 Volumenmessungen ausgeführt werden. Außerdem wurden uns, wie seit Jahren, von nachgenannten 7 Institutionen 47 Volumenergebnisse und Meßresultate von ihren Untersuchungsgebieten zwecks Auswertung und Publikation zur Verfügung gestellt, wofür wir hiemit unsern besten Dank zum Ausdruck bringen möchten.

Die Abteilung für Hydrologie der Versuchsanstalt für Wasser- und Erdbau an der ETH gab uns 16 reduzierte Werte vom Mattmark- und Taminagebiet bekannt; die Rhätischen Werke für Elektrizität 13 Volumenergebnisse des Greina- und Bündner Alpengebietes; die Kraftwerke Oberhasli AG 6 Resultate vom Grimsel- und Gelmergebiet; die Lärchenwickler-Station Zuoz des Entomologischen Instituts der ETH (durch Herrn Dr. J. K. Maksymov, Zürich) monatliche Abstich- sowie Volumenwerte von 5 Stationen im Oberengadin; das Baudepartement des Kantons Tessin (durch Herrn Prof. Dr. F. Gygax, Bern) 4 Ergebnisse vom Cristallina- und obern Maggiagebiet; das «Consorzio sistemazione dell'altipiano di Campo et di Cimalmotto» (durch das Forstinspektorat, VII. Kreis, Locarno) Monatswerte von 2 Stationen aus dem obern Maggiatal und das Studiensyndikat der Urseren-Kraftwerke (durch Herrn Th. Frey, Ing., Zürich) 1 Volumenwert vom Dammastockgebiet.

Der Apparat Oberaaralp der Kraftwerke Oberhasli AG wurde infolge des Seestaues im Juli 1953 und derjenige vom Bergsee des Studiensyndikates der Urseren-Kraftwerke nach der Messung am 25. September 1953 abmontiert. Somit reduziert sich der Totalisatoren-Bestand der obgenannten Institutionen auf Ende 1953 um zwei auf 45, die ebenfalls alle gut unterhalten werden und befriedigende Resultate ergaben. Von den bestehenden Apparaten konnten 68 Ergebnisse publiziert werden.

Im Berichtsjahre 1952/53 ergaben folgende Stationen vom Oberengadin die kleinsten Niederschlagsmengen: Punt Muragl 83 cm, Stazerwald und Zuoz je 85 cm, ferner Mattmarksee im Wallis 87 cm, während die größten Mengen von den Apparaten Seewinenberg (Wallis) 361 cm, Claridenfirn 365 cm, Mönchsgrat 377 cm, Kranzberg 420 cm und vom Säntis sogar 423 cm gesammelt wurden.

Im Vergleich zu den Normalmengen verzeichnen nachstehende Stationen im Mattmarkgebiet minimale prozentuale Werte: Schwarzenbergkopf, Stelli-Weißtal und Plattje 66—74% sowie Schwarzenberggletscher 80%; maximale prozentuale Werte ergeben die Stationen Trübsee-Jochpaß, Auf dem Hagen und First (Wasserböden) mit 116—119%, Seewinenberg und Medelserhütte SAC jedoch 123 und 137%.

Die größten Fehlbeträge weisen das Monte Rosa-, Simplon-, Cristallina- und obere Maggiagebiet mit durchschnittlich 11%, das Bündner Alpengebiet etwa 7%, Silvretta- und Jungfraugebiet ungefähr 3% auf; geringe Überschüsse ergeben die Gebiete Grimsel und Gelmer mit 2%, ferner Greina und Tamina im Mittel 8%.

Zusammenfassend erwähnen wir noch die Abweichungen vom Normalmittelwert: 4 Stationen figurieren mit Defiziten von 20—34% und 32 Stationen mit 1—19%, wogegen die positiven Abweichungen mit 1—10% auf 17 Stationen, 11—20% auf 8 Stationen sowie 23 und 37% auf je eine Station entfallen.

Auf Grund aller dem Berichterstatter zur Kenntnis gelangten Totalisatoren-Ergebnisse und weiterer Anhaltspunkte, konnte der Schluß gezogen werden, daß die Niederschlagsmengen im Alpengebiet für das hydrologische Jahr 1952/53 mit 97% annähernd dem langjährigen Mittelwert entsprechen.

R. Bohner

Die Niederschläge des Jahres 1953

Die Niederschlagssummen des Jahres 1953 betragen im Jura und in Graubünden meist etwa drei Viertel des langjährigen Durchschnitts, im Wallis sogar nicht viel mehr als die Hälfte desselben. Diese Beträge sind ungewöhnlich gering. Sie sind auf mehreren unserer langjährigen Stationen seit Beginn der Messungen (1864) erst ein- oder zweimal unterschritten worden. Im übrigen Alpengebiet und im Tessin schwanken sie meist zwischen 80 und 90% des Normalswerts. Luzern und Lugano kommen noch etwas näher an diesen heran; er ist jedoch nirgends überschritten worden.

Der Januar war ganz ausgesprochen arm an Niederschlägen, besonders für die Alpensüdseite, das Wallis, die Westschweiz und die Jurazone, wo kaum ein Drittel der Normalmengen gemessen wurde, was seit dem Jahre 1900 nur selten der Fall gewesen ist. (Früher ist dies jedoch wiederholt vorgekommen.) Nennenswerte Niederschläge sind auf der Nordseite der Alpen nur im ersten Drittel des Monats sowie am 25. und 31., auf der Südseite am 3. und 6. gefallen.

Der Februar hat der Alpensüdseite ebenfalls sehr wenig Niederschlag gebracht. Im Tessin, Bergell und Oberwallis sind nur 10 bis 20% des Normalbetrages zu verzeichnen, Überschüsse bis zu 20% lediglich teilweise längs des Jura und in der Nordschweiz. Namhafte Beträge sind am 1., 2. und 10. gefallen, strichweise etwas über 20 mm am 1. im Neuenburger und Berner Jura, am 2. im nordöstlichen Alpengebiet, am 10. in der Westschweiz und im Wallis (Sion 24 mm). Dagegen war auch in diesem Monat das zweite und letzte Drittel nahezu trocken.

Der März war in der ganzen Schweiz außergewöhnlich trocken. Am Südfuß der Alpen haben viele Stationen überhaupt keinen Niederschlag erhalten. Aber auch am Nordfuß wurde fast überall das absolute Minimum der ganzen Meßreihe seit 1864 unterschritten. Nur im Alpengebiet sind die Beträge etwas höher. Sie überschreiten aber nur an vereinzelten Stellen ein Drittel des Normalwerts. Es sind nur an wenigen Tagen (11., 31.) nennenswerte Niederschläge gefallen.

Der April war etwas ergiebiger. Überschüsse hat allerdings nur das Alpengebiet aufzuweisen. Sie erreichen etwa 40% des Normalwerts im Vierwaldstätterseegebiet. Der 17. bis 26. waren nahezu niederschlagsfrei. Größere Niederschläge gingen nieder am 4. auf der Alpensüdseite (im Centovalligebiet 60 bis 110? mm). Beträge von etwas über 30 mm sind ferner zu verzeichnen am 10. in der Umgebung des Vierwaldstättersees, am 14. im Kanton Schwyz (Schwyz 42 mm, Morgarten 40) und am 27. strichweise in der Umgebung des Zürichsees (Wald [Sanatorium] 41 mm, Horgen 32).

Der Mai hat wiederum sehr wenig Niederschlag im Tessin aufzuweisen. Aber auch sonst ergibt sich auf den meisten Stationen ein Defizit. Nur im Alpengebiet wurden die Normalwerte strichweise leicht überschritten. Größere Niederschläge sind nur während der letzten fünf Tage niedergegangen.

Eine während einer Drucksattellage langsam von Westen hereinkommenden Kaltfront löste am *26. Mai* nachmittags und abends im westschweizerischen Jura größere Gewitterregen aus (La Brévine 57 mm, Le Locle 59).

Die am *27. Mai* notierten Beträge sind der Hauptsache nach in der Frühe des 28. gefallen. Mit Ausnahme des waadtländischen Mittellandes und des Gebiets der Kantone Baselland und Aargau hat die ganze Alpennordseite mehr als 20 mm erhalten, während das Tessin trocken geblieben ist. Mehr als 30 mm finden sich auf der Nordabdachung des Jura und im Gebiet des Alpenvorlandes, d. h. im Einzugsgebiet der Saane, der großen Emme, der Töß und der Thur. Auf mehreren Stationen sind 40 mm überschritten worden, so u. a. in Schwarzenburg (44 mm), Brienz (49), Burgdorf (42), Marbach (42), ferner in Dietikon (48 mm), Sternenberg (44), Sulgen 44).

Die Wetterkarte vom 28. Mai, 1 Uhr, zeigt ein kräftiges Hochdruckgebiet über dem Ostatlantik, in der Breite des Kanals und ein über Karelien zentriertes Tief im Nordosten des Kontinents. Eine Kaltfront verläuft von einem Teiltief bei Königsberg ausgehend in Richtung WSW etwa über Breslau, Straßburg, Limoges. Dahinter strömt über Nordwesteuropa Kaltluft nach Süden, davor wehen über Südfrankreich und in der Schweiz Westwinde. Dieselbe Windverteilung zeigt sich in der Höhenkarte der 500-Millibar-Fläche, die einen ausgesprochenen Höhentrog aufweist. Die Kaltfront passierte Zürich um 6 h 30. Die Niederschläge gehen ihr größtenteils voraus, sind also auf die Okklusion des vorangehenden Warmsektors zurückzuführen. Eine deutliche Warmfront ist jedoch nicht zu erkennen. Auf dem Säntis beginnt der Temperaturrückgang um 17 h des 27. und beträgt bis zum 28. abends 9°, wovon etwa die Hälfte auf den eigentlichen Kaltluftbereich, gekennzeichnet durch Nordwinde, entfällt.

Das Niederschlagsgebiet des *28. Mai* (20 bis 40 mm), das nun etwas tiefer ins Innere des Alpennordhangs verschoben erscheint und sich als schmaler Streifen vom Berner Oberland über die Unterwaldner und Schwyzer Alpen bis ins Alpsteingebiet erstreckt, besteht aus den Niederschlägen, die hinter der obigen Kaltfront gefallen sind.

Die für den *30. Mai* notierten Beträge sind hauptsächlich während der Nacht vom 30. zum 1. niedergegangen. Wiederum hat der Alpennordhang mehr als 30 mm erhalten, während das Tessin, das Engadin und die Südtäler des Wallis nahezu niederschlagsfrei blieben. Das Gebiet mit mehr als 30 mm umfaßt das Hasli- und das Gadmertal (Guttannen 49 mm), das Napfgebiet (Entlebuch 42 mm) und die Umgebung des Vierwaldstättersees, ferner die Kantone Uri und Schwyz, wo meist 40 bis 50, auf vereinzelten Stationen mehr als 50 mm gemessen worden sind ((Sattel 56 mm, Oberiberg 52, Muotathal 55).

Diese Niederschläge sind bei ähnlicher Druckverteilung wie oben durch eine von einer Nordweststrómung herangetragene Störung (Kaltfrontokklusion ?) verursacht worden, die aber weit weniger ausgeprägt war als die oben erwähnte. Insbesondere liegt der Höhentrog schon seit dem 29. auf der Südseite der Alpen. Es ist daher auch auf den Höhenstationen nur eine vorübergehende Winddrehung und kaum ein sichtbarer postfrontaler Druckanstieg festzustellen. Die Störung passierte Zürich um etwa 21 h des 30. Mai.

Der Juni zeichnet sich aus durch ungewöhnlich große Niederschlagsmengen im Genferseegebiet, im Wallis, im Tessin, in Nordgraubünden und im nordöstlichen Mittelland, wo ungefähr das Doppelte des langjährigen Mittelwerts erreicht wurde. Er hat wenigstens auf der Alpennordseite nur wenig trockene Tage aufzuweisen.

Bemerkenswert sind vor allem die Niederschläge, die am *9. und 10. Juni* vorwiegend in der Westschweiz gefallen sind. Am 9. Juni übersteigen dieselben in einem Gebiet, das den Jura und das Waadtland westlich der Linie St. Ursanne, Neuchâtel, Estavayer, Echallens, Vevey umfaßt den Betrag von 50 mm. Im Jura sind vereinzelt sogar 100 mm erreicht worden: Mormont (Pruntrut) 45 mm, Saignelégier 58, La Brévine 76, Chasseron 105, Vallorbes-Reposoir 90, Nyon 55, Lausanne 65, Corcelles 64, Neuchâtel 40. Die übrige Schweiz östlich der Linie Leysin, Jaun, Murten, Delémont hat meist weniger als 20 mm aufzuweisen (das St. Galler Rheintal ausgenommen), das nordöstliche Mittelland nordöstlich der Reuß blieb meist niederschlagsfrei. Am 10. liegt das Kerngebiet über den Freiburger Alpen, wo nun folgende Beträge erreicht wurden: Freiburg 34 mm, Marsens 45, La Roche 64, Jaun 56, Château-d'Œx 58 mm. Im Jura sind nur noch strichweise mehr als 30 mm gefallen (Le Locle 40 mm). Dagegen erstreckt sich nun das Gebiet mit über 20 mm (bis 30) weiter ostwärts über das Mittelland bis an die Reuß.

Diese Niederschläge sind auf folgende Situation zurückzuführen: Die Wetterkarte vom 9. Juni 01 h zeigt eine Depression über den Alpen mit einem ersten Druckminimum bei Nizza und einem zweiten nordöstlich des Bodensees. Auf der Ostseite fließt tropische Warmluft vom Mittelmeerraum her nordwestwärts. Die Warmfront verläuft etwas über Warschau, Berlin, Köln, Dijon, Nizza. Sie erzeugt ein ausgedehntes Niederschlagsgebiet über dem südlichen Frankreich, wo am Boden Kaltluft aus dem Norden des Kontinents in starkem Strom südwärts fließt, während die Schweiz bei vorwiegend östlichen bis

nördlichen Winden noch im Warmluftgebiet liegt. Die Luft ist hier etwa 5° wärmer als in der Kaltluft. In der Höhe herrscht am 9. Juni über den Alpen eine kräftige Ostströmung, das Höhentief (500-Millibar-Fläche) liegt über dem Golf von Genua. Die ganze Depression verlagert sich langsam nordwärts, indem das südliche Tief sich ausfüllt und das nördliche (das am 9. Juni 13 h bei Regensburg liegt) sich vertieft. Damit erfolgt in den Morgenstunden des 9. in den Niederungen der Alpennordseite eine Winddrehung auf West bis Südwest, in Genf zwischen 4 und 7 h. Um eben diese Zeit beginnen in der Westschweiz die Niederschläge, begleitet von Gewitterstörungen. Sie sind also auf den Einbruch der Kaltluft von Westen her zurückzuführen, wobei die Front rückläufig wird, wie der allmähliche Temperaturrückgang auf den westschweizerischen Stationen beweist. Auch die östlichen Stationen (Zürich, Säntis) zeigen einen Temperaturrückgang vom 9. zum 10. Juni 7 h. Er beträgt etwa 4°. Der Temperaturverlauf am 9. zeigt ein mittägliches Maximum, welches durch die Einstrahlung bedingt ist. Der Säntiswind drehte im Laufe des Vormittags des 9. von Ost über Süd nach West. Der Vergleich des «Temps» von Payerne vom 8. und 9. um 14 h zeigt die Abkühlung und Winddrehung von Ost nach West bis in 4000 m Höhe. Am 10. Juni liegt das Höhentief über der mittleren Adria. Das Niederschlagsgebiet erstreckt sich nun als breites Band von den Alpen über Westdeutschland nordwärts bis an die norddeutsche Küste, dann ostwärts der hier nordwärts vorstoßenden Warmluft entlang bis in die Ostsee. Im Laufe des 10. Juni fanden keine nennenswerten Temperaturänderungen mehr statt.

Am *15. Juni* verursachte eine aus Nordwesten kommende Kaltfrontokklusion (Tief über England, Hoch auf dem Atlantik) größere Niederschläge, die den Betrag von 30 mm hauptsächlich im Gebiet der Kantone Schwyz und Appenzell strichweise überschritten haben (Küßnacht 38 mm, Vorder-Wägital 37, Oberkirch 37, Teufen 35).

Bemerkenswert sind ferner die durchaus lokalen Starkregen, die an zwei aufeinanderfolgenden Tagen, nämlich am *21. und 22. Juni*, in Langnau (Emmental) beobachtet wurden. Der erstere brachte innerhalb einer Stunde nach 15½ h 38 mm Niederschlag (total am 21. Juni 42 mm), der letztere innerhalb zwei Stunden nach 16½ h 69 mm (total am 22. Juni 69 mm), was zu lokalen Überschwemmungsschäden führte.

Die Schweiz befand sich an diesen Tagen im Gebiet eines flachen Drucksattels zwischen einem Hoch bei den Azoren und einem zweiten über Nordeuropa (Teildepression über Irland). Auf der Wetterkarte sieht man einige flache lokale Tief in unserer Gegend, die ost- bis nordostwärts wandern. Jeweils nachmittags liegt ein solches über der Schweiz. Es sind weder im Druck noch im Temperaturverlauf Anzeichen vorhanden, daß irgendeine Front die Schweiz im genannten Zeitraum passiert hat. Immerhin war am Morgen des 22. Juni ein Aufzug verbreiteter Altocumuli cumuliformis (cast.) zu beobachten, die sich aber mittags wieder auflösten, um der Cumulusentwicklung Platz zu machen. Es handelt sich also in der Hauptsache um lokale Umlagerungen instabiler Luft, wobei wellenartige Störungen eine Rolle zu spielen scheinen. Das Säntisthermogramm zeigt zwischen 21. Juni 18 h und 22. Juni 02 h einen Temperaturrückgang von 3° und am 23. früh einen starken Temperaturanstieg. Der Druckverlauf folgte an beiden Tagen ungefähr dem normalen Tagesgang. Die Sondierungen von Friedrichshafen vom 22. und 23. Juni 03 h zeigen Temperaturunterschiede von 1°, oberhalb 6000 m fallend, unterhalb dieses Niveaus steigend. Dagegen scheint in Frankreich und in Nordwestdeutschland in der Tat Kaltluft eingebrochen zu sein, die aber bis zum 23. höchstens den Jura erreicht haben kann. Die Höhenwinde wehten über der Schweiz mäßig aus WSW.

Ganz ungewöhnlich große Niederschlagsmengen sind am 24., 25. und 26. Juni gefallen.

Am *24. Juni* liegt ein erstes Gebiet mit mehr als 40 mm Niederschlag im Tessin, umfassend das Gebiet des Luganer- und Langensees sowie die südlichen Teile des Tessintales ((Riviera) und des Misox. Maximale Beträge wurden gemessen in: Bellinzona (66 mm), Piandanazzo (112), Crana Torricella (104), Lugano (88). Ferner sind mehr als 40 mm gemessen worden im Bereich des Kantons Schwyz (Einsiedeln 53 mm, Schwyz 47), im Quellgebiet der Linth (Braunwald 45 mm, Elm 48), in den Tälern des Vorderrheins (Vals 44 mm, Panix 60) und des Hinterrheins (Splügen-Dorf 54 mm, Thusis 58, Lenzerheide 58). In Locarno-Monti regnete es zwischen 24. Juni 14 h und 25. Juni 4 h 10, in Zürich zwischen 24. Juni 12 h 40 und 20 h 20. Die Bündner Stationen melden Gewitter zwischen 17 und 18½ h, vereinzelt auch später. Am Alpensüdfuß sind schon früher Gewitter aufgetreten.

Die Wetterkarte vom 24. Juni 7 h zeigt ein kräftiges Hoch über der Nordwestküste von Norwegen und ein flaches Tiefdruckgebiet über Südosteuropa mit Luftdruckminima in Lothringen und Ungarn. Nach der 500-Millibar-Höhenkarte vom 24. Juni 03 h liegt ein Kaltluftropfen mit Höhentief über Orléans, die sich bis zum Nachtag südostwärts? verlagern. Die Höhenwinde wehten in der Schweiz anfangs aus Südwest bis West, später aus West bis Nordwest. Chasseron (1600 m) und Säntis (2500 m) registrieren einen Temperaturrückgang von etwa 2° zwischen 16 h und 20 h. Auf den Bündner Stationen war die Abkühlung größer. Es liegt anscheinend ein schwacher Kaltlufteinbruch aus Westen vor. Im wesentlichen sind aber offenbar Umschichtungen labiler Luftmassen für die großen Niederschläge verantwortlich zu machen.

Am *25. Juni* liegt das Hauptniederschlagsgebiet auf der Alpennordseite. Wir finden mehr als 40 mm Niederschlag im Viereck: Laufenburg, Meiringen, Chur, Steckborn. Die 60 mm Isohyete verläuft etwa über Baden, Zug, Muotathal, Linthal, Walensee, Wattwil, Frauenfeld, Thayngen. Maximale Mengen wurden gemessen in: Aadorf (91 mm), Hinwil (94), Wald [Sanatorium] (100), Weesen (100), Vorderwägital (80), Glarus (71). Das Niederschlagsgebiet vom *26. Juni* ist etwas kleiner. Es fielen noch mehr als 60 mm im Zürcher Oberland (Wald [Sanatorium] 89 mm, Weesen 121, Vorderwägital 77, Glarus 84). Die Westschweiz, das Wallis, das Tessin und das Engadin haben an beiden Tagen meist weniger als 10 mm Niederschlag erhalten. Nach einer Mitteilung des Wetter-

amtes Freiburg im Breisgrau erstreckte sich das Gebiet mit mehr als 40 mm Niederschlag am 25. Juni noch über den ganzen Schwarzwald. Bei Waldau-Jostal und Bad Dürrheim wurden über 100 mm gemessen.

Diese starken und namentlich ungewöhnlich lang anhaltenden Niederschläge haben zu verbreiteten Überschwemmungs- und Erdrutschschäden (Schmerikon) geführt, worüber in der Tagespresse seinerzeit eingehend berichtet wurde. In Zürich regnete es fast ohne Unterbrechung vom 25. Juni 6 h 15 bis 27. Juni 8 h 10, am 26. bedeutend ungleichmäßiger als am 25. und zweitweise mit gewitterregenartiger Stärke.

Nach der Wetterkarte vom 26. Juni 7 h lag ein Hochdruckband über dem Ost- und Nordatlantik vor den Nordwestküsten Europas. In dem Tiefdruckgebiet über Mittel- und Südosteuropa herrschten nur schwache Druckgradienten. Minima des Luftdrucks sind zu erkennen über Berlin, Prag, Belgrad und Mailand. Die Regenzone erstreckt sich strichweise über Westdeutschland, wobei allerdings nur im Bereich der Alpen starke Niederschläge gefallen sind, die teilweise von Gewittern begleitet waren. Die große Regenstärke ist wieder auf gewittrige Umlagerungen zurückzuführen. Das Verharren des Starkregengebiets an ungefähr derselben Stelle ist eine Folge der Beeinflussung der Strömung durch die Alpen. Schwer zu erklären ist jedoch die spezielle Lage dieses Regengebiets. Die Höhenkarte der 500-Millibarfläche vom 26. Juni 03 h zeigt einen Kaltlufttropfen mit Höhentief im Osten der Schweiz mit zwei Zentren einerseits über der Adria, anderseits über München. Unser Land lag also an diesem Tag um diese Zeit im Rückseitebereich dieser Depression. Auf dem Säntis (2500 m) sind folgende Winde registriert worden: am 25. früh NW, ab 06 h schwacher, gegen Mittag zunehmender W bis WSW (im Mittel 30 km/h), am 26. ab 06 h wieder NW (mäßig), ab 16 h W bis SW (Einsatz stark). Dies steht mit der Rückseitesituation nicht in Widerspruch. Zweifelhaft ist dieselbe jedoch am Morgen des 25. Juni. Zwar hat Payerne um 14 h dieses Tages in der Höhe NNW festgestellt. Nach der Höhenkarte von 04 h (Payerne fehlt um diese Zeit) müßte aber das Höhentief westlich der Schweiz etwa bei Châlons liegen, was wohl nicht ganz richtig ist. Auch die Art und Herkunft der Luftmassen ist daher etwas zweifelhaft. Es registrierten die Stationen Jungfraujoch (3600 m) am 25. Juni und Säntis (2500 m) am 26. Juni einen sich über 12 Stunden erstreckenden Temperaturanstieg um 2°, was auf aufgleitende Warmluft schließen läßt. Vom 25. zum 26. ist in der Tat über Südwesteuropa eine erhebliche Erwärmung mit Druckanstieg in der Höhe eingetreten. Daher verschiebt sich auch das Druckminimum der Höhenkarte, das am 24. und 25. ? noch über Frankreich lag, nach Osten. Nach der Vorgeschichte des Falles ist auf Grund der Druck- und Strömungsverteilung am Boden anzunehmen, daß es sich hier um warme Tropikluft handelt, die ursprünglich aus Südosteuropa heraufgekommen war, dann um das südosteuropäische Tief herumgeführt wurde und die Schweiz nunmehr von Westen bis Nordwesten her erreichte.

Zu erwähnen sind noch die Niederschläge, die am *29. Juni* auf der Südseite der Alpen gefallen sind. Südwestlich des Tessinflusses und im Sottoceneri sind fast überall mehr als 60 mm Niederschlag zu verzeichnen, südlich des Langensees sogar über 100 mm (Brissago 106, Locarno-Muralto 101, Crana Torricella 106, Fescoggia 116). In Locarno regnete es vom 29. Juni 02 h bis 30. Juni 05 h. Gewitter sind hauptsächlich am Morgen aufgetreten. Die Wetterkarten zeigen mehr oder weniger in allen Höhen ein Hochdruckgebiet im Norden und ein Tief über Spanien. Die Alpenkette liegt im Bereich einer warmen feuchten Strömung aus Südwest bis Süd.

Im J u l i weichen die Niederschlagssummen besonders im Alpengebiet von den Normalwerten wenig ab. Ein beträchtliches Defizit bis zu 50% ist in der Westschweiz, ein ungefähr gleichgroßer Überschuß im Engadin und strichweise in der Nordschweiz festzustellen. Es sind wenig Trockentage vorgekommen. Anderseits sind mit Ausnahme des 18., der dem Alpensüdfuß verbreitet große Tagesmengen brachte, nur lokal größere Gewitterregen niedergegangen, so u. a. am *4. Juli* im Bereich der Stationen: Gauglera (77 mm), La Roche (69), Marsens (78), auch Tour de Gourze (60), also am Nordwestfuß der Freiburger Alpen. Es wurden jedoch aus Marsens erst bezüglich des 5. Wasserschäden berichtet, die hier durch ein zweites Gewitter am Nachmittag des 5. verursacht erscheinen, obwohl die Tagesmengen am 5. nur 28 mm ergeben. Wieder einmal ist zu ersehen, daß für Wasserschäden nicht nur die Gesamtmenge, sondern vor allem die Regenintensität maßgebend ist. Auch werden viele dieser lokalen Starkregen durch unser weitmaschiges Stationsnetz gar nicht erfaßt. Daher beschränken wir uns in dieser Arbeit in der Regel auf die Regenfälle mit großen Tagesmengen, die über ein großes Gebiet verbreitet sind. Immerhin sei noch erwähnt, daß am *5. Juli* noch von einigen disparaten Stationen große Mengen gemeldet wurden (Herzogenbuchsee 46 mm, Olten 58, Ruswil 69).

Am *18. Juli* verursachte ein Kaltlufteinbruch größere Niederschläge im Bereich des Nord- und Südhangs der Alpen. Ein Gebiet mit mehr als 50 mm erstreckt sich vom Centovalligebiet und dem Hügelland am Monte-Ceneri nördlich von Lugano aus ostwärts über Bellinzona und das ganze Misox, Bergell und Oberengadin bis nach Bevers (Camedo 70 mm, Locarno-Monti 52, Crana Torricella 76, Bellinzona 100, Misox 80?, Soglio 118, Vicosoprano 102, Sils-Maria 86, St. Moritz 62. Im Nordtessin und im übrigen Graubünden sind ebenfalls noch strichweise etwas über 30 mm gemessen worden (Fusio 55 mm, Vrin 41, Avers 50, Schiers 36) und ebenso im Bereich des Voralpengebiets der Alpennordseite, besonders in der Umgebung des Vierwaldstättersees (Stans 55 mm, Weggis 56, Walchwil 46, ferner Frutigen 36 mm, Interlaken 35, Urnäsch 44).

In Zürich regnete es am 18. Juli von 15 h bis 21 h. Der Temperaturrückgang und der Druckanstieg setzten um die Mittagszeit ein. Ersterer betrug auch in der Höhe etwa 10°. Er war also sehr erheblich. Es ist jedoch keine ausgesprochene Bö aufgetreten. Am Alpensüdfuß fielen die Niederschläge von 16 h bis 18 h und von 22½ bis 23 h. Sie waren waren sowohl nord- wie südseits der Alpen von Gewitterstörungen begleitet. Hochwasserschäden sind hauptsächlich aus dem Bergell gemeldet worden.

Es handelt sich um eine nahezu isobarenparallele Kaltfront, die sehr langsam von Nordwesten her hereinkam. Am Vortag den 17. Juli um 13 h verlief sie etwa über Hamburg, Frankfurt, Dijon, Toulouse, Madrid, begleitet von einem langen, schmalen Gewittersack des Isobarenbildes. Das zugehörige Tief (Druckminimum 1002 Millibar) lag um diese Zeit über Irland, ein Hoch (Max. 1021 Millibar) über den Karpathen.

Die Niederschlagssummen des Monats August betragen im größten Teil der Schweiz etwa die Hälfte, in der Nordschweiz und strichweise am Alpensüdhang ein Drittel des langjährigen Mittels.

Es sind nur am *21. August* größere Tagesmengen besonders auf der Alpensüdseite zu verzeichnen. Das Kerngebiet mit über 80 mm ist bezeichnet durch die Stationen: Mesocco (111 mm), Braggio (84), Biasca (99), Bellinzona (100), Locarno (102), Crana Torricella (94), Lugano (79). Erwähnt seien noch: Vicosoprano (41 mm), Bernina-Hospiz (59). Von diesem Kerngebiet aus nehmen die Beträge nach Norden hin rasch ab. Das nördliche Tessin hat noch etwa 20 mm, das Tal des Vorderrheins 10 bis 20, das Wallis weniger als 10 mm erhalten. Anderseits findet sich nun noch ein Gebiet mit mehr als 30 mm in den Freiburger und Waadtländer Alpen (Jaun 51 mm, Leysin 35, Montreux 40) und ein zweites im nordöstlichen Jura, besonders an dessen Südwestfuß (Olten 62 mm, Aarau 52, Allerheiligen 43, Frick 35). Die Zentral- und die Nordostschweiz, der Berner und der Neuenburger Jura sowie die westliche Waadt haben meist 5 bis 15 mm erhalten.

Die Wetterkarte vom 21. August 13 h zeigt ein Tief (Druckminimum = 998 Millibar) über der Nordsee. Eine Kaltfront verläuft über Hamburg, Frankfurt, Straßburg, Genf, Toulouse. Sie wandert ostwärts. In Zürich setzen der Druckanstieg, der Temperaturrückgang und die Niederschläge um 14 h ein. Die Niederschläge dauern bis um 20 h. Der Temperaturrückgang bis zum Nachtag beträgt etwa 6°. In Locarno-Monti fallen die Niederschläge zwischen 7¼ h und 20 h in mehreren getrennten Phasen. Um 13 h traten hier Gewitterstörungen auf (während auf der Alpennordseite nur vereinzelt Gewitter notiert wurden). Auf Monte Brè beträgt der Temperaturrückgang 3°. Die Niederschlagsverteilung ist ziemlich schwer zu erklären, da das Windfeld und leider auch die Zeitpunkte der größten Niederschläge in den Kerngebieten der Alpennordseite ungenügend bekannt sind. Die 500-Millibar-Höhenkarte vom 21. August 04 h zeigt ein Druckminimum über Mittelengland; am 22. liegt es über dem Ostende des Kanals. Über der Schweiz war die Strömung im wesentlichen WSW, und zwar auch am Morgen des Nachtages (22. August). Die Bevorzugung der südwestlichen Voralpen erklärt sich vielleicht dadurch, daß die Strömung auch im Süden Frankreichs noch eine westliche war. Sie wird dann zunächst durch die orographische Wirkung der Westalpen in die Richtung WSW umgelenkt, wobei bekanntlich am Alpennordhang oft eine absteigende Luftbewegung auftritt. Dabei springen die südwestlichen Voralpen bis und mit dem Napfgebiet (so weit reichen auch die größeren Niederschläge dieser Zone) etwas ins Mittelland vor. Weiter im Nordosten folgt dann die Strömung ohnehin der normalen zyklonalen Krümmung, dreht also allmählich auf SW. Der Südosthang des nordöstlichen Jura scheint dann eine ähnliche Rolle gespielt zu haben wie der Alpensüdhang. Leider ist hier die Strömungsrichtung nicht exakt genug bekannt. Auf dem Säntis wehten während des Regens Winde bis 65 km/h zwischen W und SW, am Nachtag nach 06 h sogar SSE, dem ausgeprägten Höhentrog entsprechend. Jedenfalls hat sich die Rückseitenströmung erst am zweiten Nachtag (23. August) in der Höhe völlig durchgesetzt. Die für den 22. notierten Beträge gehören einer andern Wetterphase (Rückseiteschauer) an.

Im September waren auf der Alpensüdseite, in der Westschweiz und im Juragebiet meist übernormale, in der übrigen Schweiz zu geringe Niederschlagsmengen zu verzeichnen. Auf der Alpennordseite war die erste Monatshälfte, vom 10. September abgesehen, trocken, die zweite etwas unbeständig.

Am *19. September* verursachte die Westostwanderung einer Wellenstörung mit ausgeprägten Tiefdruckgebieten auf der Nord- und der Südseite der Alpen Niederschläge von mehr als 60 mm im Einzugsgebiet der Maggia und der Verzasca sowie im Südwesten des Tessins. Im Centovalli-Onsernonegebiet wurden zum Teil über 150 mm gemessen (Fusio 64 mm, Cevio 66, Mosogno 155, Camedo 151, Brissago 195, Crana Torricella 67, Mezzana 63, anderseits Lugano 38 mm, Biasca 27, Platta (Medels) 49, Vicosoprano 29. Sie wurden teilweise von Gewittern begleitet.

Am *23. September* ist die Westschweiz westlich der Linie: Basel, Biel, Freiburg, Château-d'Œx, Bex mit mehr als 30 mm überregnet worden. Im Waadtländer Jura und Mittelland sind 40 bis 55 mm gefallen: La Cure 46 mm, Vallorbe 39, Valeyres sous Rances 53, Yverdon 55, Longirod 48, Genf 49, Lausanne 44, Echallens 48. Das Gebiet der Kantone Thurgau, St. Gallen, Appenzell, Graubünden sowie das Oberwallis haben dagegen weniger als 10 mm erhalten. Diese Niederschläge sind in der Hauptsache nachts und am Morgen des 24. (Messung um 7½ h) gefallen. Sie wurden am Vorabend (23.) von Gewitterstörungen eingeleitet. Die für den *24. September* notierten ebenfalls im Westen noch bedeutenden Beträge gehören nur zum kleinen Teil der im folgenden besprochenen zusammenhängenden Regenperiode an. Anderseits sind auch im Tessin, namentlich im Einzugsgebiet der Maggia, noch beträchtliche Niederschläge gefallen, zum Teil vor, zum Teil nach 7½ h des 24. Es wurden notiert für den 23. und für den 24.: Airolo 48 mm bzw. 41 mm, Fusio 53, 28, Cevio 69, 40, Mosogno 79, 48, Brissago 31, 79, Locarno-Monti 13, 44, Piandanazzo 12, 54.

Die Wetterkarte vom 23. September 13 h zeigt ein Tiefdruckgebiet über Großbritannien (Druckminimum 991 Millibar über der südlichen Nordsee). Ein kräftiges Hochdruckgebiet befindet sich über dem Atlantik. In Westfrankreich, wo eine durchgehende Westsüdwest-Strömung herrscht, liegt eine annähernd windparallele Kaltfront, die, langsam ostwärts wandernd, am Abend die obigen Niederschläge in der Schweiz verursacht hat. Die Temperaturunterschiede vor und hinter der Front bzw. vor und nach der Passage derselben sind am Boden un-

bedeutend. In 5000 m Höhe betragen sie jedoch etwa 7°. Nach der Passage wehen die Winde über dem Alpengebiet noch aus Südwesten, da der Höhentrog auch am 24. noch im Westen liegt. Im übrigen füllte sich die Depression ohne nennenswerte Verlagerung an Ort und Stelle auf (auch in der Höhe). Am 24. ist die Druckverteilung in der Höhe noch ungefähr dieselbe (Tief über Großbritannien); in den Niederungen ist sie bedeutend flacher geworden.

Im Oktober waren die Niederschlagsmengen auf der Alpensüdseite zu groß, auf der Nordseite zu klein. Am Südfuß der Alpen überschritten sie das Doppelte des Normalbetrages, anderseits hat das Mittelland und die Jurazone nur etwa ein Drittel des Normalwerts erhalten.

Auf der Alpennordseite sind nur am 4., am 15. bis 18., am 25., 26. und 30. nennenswerte Niederschläge gefallen. Im Tessin war die Niederschlagstätigkeit während der zweiten Monatshälfte wesentlich lebhafter. Hier sind zunächst am *18. Oktober* Beträge von 40 bis 70 mm niedergegangen (Airolo 52 mm, Fusio 56, Mosogno 54, Lugano 56).

Zu erwähnen sind jedoch vor allem die Niederschläge vom *29. Oktober*, die sich wie folgt verteilen: Das Kerngebiet mit 80 bis 90 mm Niederschlag liegt in der Gegend des Langensees: Camedo 88 mm, Brissago 89, Locarno-Monti 74. Von ihm aus erstreckt sich eine Zone mit mindestens 40 mm hauptsächlich in Richtung NNW Sie umfaßt das Einzugsgebiet der Maggia und der Verzasca (Cevio 49 mm, Fusio 50), das Oberwallis (Fiesch 53, Reckingen 51, Grimsel 55), die Lütschinentäler (Lauterbrunnen 43 mm, Grindelwald 57), das Haslital (Meiringen 54 mm, Gadmen 52), den Kanton Uri (Göschenen 64 mm, Engelberg 44, Altdorf 47) und das Muotathal (Schwyz 43 mm, Muotathal 46). Anderseits haben das tiefere Mittelland, der Jura und das Mittelwallis weniger als 10 mm, Graubünden und die Nordostalpen noch 10 bis 30 mm erhalten.

Die Wetterkarte vom 29. Oktober 07 h zeigt eine größere Depression im Nordwesten mit Zentrum südwestlich von Island, auf dem Kontinent ein flaches Drucksattelgebiet zwischen einem Hoch (Maximum 1022 Millibar) westlich von Portugal und einem zweiten kräftigeren Hoch über Ost- und Nordeuropa (red. Luftdruck in Zürich 1017 Millibar). Die Niederschläge knüpfen sich an eine Kaltfront (Troglinie), die die Schweiz, sehr langsam wandernd, von Nordwesten her erreicht. Im genannten Zeitpunkt verläuft diese Front etwa über Jan Mayen, Oslo, Kopenhagen, Stettin, Prag, Ulm, Schweiz, Westalpen, Tyrrhenisches Meer. Wann die Kaltluft in den Niederungen der Alpennordseite in mehr oder weniger flacher Schicht eingedrungen ist, läßt sich nicht genau feststellen, in Zürich schon am Vortag (28. Oktober) um etwa 22 h. (Der Druckanstieg hatte schon mittags begonnen.) Auf den Höhenstationen ist die Ankunft der kälteren Luft weit schärfer bezeichnet durch den Temperaturrückgang und den ziemlich plötzlichen Windsprung aus SSE bis SE nach NNW bis NW, so auf dem Chasseron (Westjura 1600 m ü. M.) am Nachmittag des 28., auf dem Alpenkamm (Säntis 2500 m und Theodul-Paß [Testa Grigia]) erst am 29. um etwa 13 h. Auf der Alpennordseite sind die Niederschläge verursacht worden durch den Aufstau der Kaltluft an der Alpenkette unter Verdrängung des vorausgehenden Föhns. In der Westschweiz fiel die Hauptmenge der Niederschläge schon am 28., in Zürich setzen sie am 29. um 09 h ein und dauern während des ganzen Temperaturrückgangs, d.. h. bis um 18 h, in mäßiger Stärke, dann noch schwach bis um etwa 06 h des 30. Oktober. In Locarno-Monti fiel die Hauptmenge am 29.. zwischen 16 h und 23 h. Die Niederschläge setzten also hier kurze Zeit nach Ankunft der kalten Luft auf dem Alpenkamm ein. Die Höhenströmung ist leider über den Alpen immer nur mangelhaft bekannt. Die Höhenkarte der 500-Millibarfläche zeigt am 29. Oktober 03 h ein Höhentief über Mittelfrankreich. Am 30. Oktober 03 h liegt es über der Schweiz (Payerne registriert in der Höhe schwachen Westwind, München starken Südwind). Der gesamte Temperaturrückgang, soweit er durch den Einbruch der kalten Luft verursacht war, beträgt etwa 6°.

Vom 6. November bis zum 18. Dezember ist praktisch kein Niederschlag gefallen. Der November brachte es denn auch nur auf höchstens die Hälfte der Normalbeträge an Niederschlag (im Alpengebiet). Am Südfuß der Alpen ist sogar nur ein Zehntel der dortigen Normalwerte gefallen. Der Dezember hat nicht viel größere Beträge aufzuweisen. Große Tagesmengen waren in diesen Monaten keine zu verzeichnen.

M. Grütter

Meteorologische und Regenmess-Stationen der Schweiz 1953/54 Stations météorologiques et pluviométriques de la Suisse

Eidg. Landestopographie Bern
Service topographique fédéral Berne

● Meteorologische Station, Klimatologisches Netz / Station météorologique, Réseau climatologique

○ Regenmess - Station / Station pluviométrique

■ Meteorologische Station, Synoptisches Netz / Station météorologique, Reseau synoptique

Schweizerische Meteorologische Zentralanstalt
Station Centrale Suisse de Météorologie

Nr. 4

Ergebnisse der Registrierungen der Sonnenscheinautographen im Jahre 1953

U = Stationen mit Sonnenscheinautographen «Usteri»
N = Stationen mit Sonnenscheinautographen «Negretti & Zambra» (N* = neues Modell)
F = Stationen mit Sonnenscheinautographen «Fuess»

Monats- und Jahressummen der Sonnenscheindauer in Stunden

1953	Apparat	Januar	Februar	März	April	Mai	Juni	Juli	August	September	Oktober	November	Dezember	Jahr
Zürich	N*	26	68	249	204	248	143	226	260	192	108	71	35	1830
Säntis	N*	171	151	259	187	228	109	179	210	201	211	225	130	2261
Hallau	U	30	54	237	188	222	136	195	258	170	97	42	23	1652
Wald	U	96	101	242	154	201	88	170	199	173	116	167	100	1807
Braunwald	F	98	100	218	157	204	96	166	174	153	109	150	89	1714
Unterägeri	U	58	97	220	167	223	112	186	217	157	116	116	74	1743
Luzern	N	20	56	238	162	221	125	203	214	158	80	41	23	1541
Jungfraujoch	N	142	127	248	159	193	92	202	241	146	110	183	111	1954
Grimmialp	N	105	—	—	151	187	87	191	185	133	118	144	71	—
Heiligenschwendi	U	107	114	222	155	181	89	169	202	164	98	169	92	1762
Bern	N	49	88	241	179	234	143	228	255	174	106	60	33	1790
Basel	N	54	74	240	185	237	145	215	280	167	117	115	51	1880
Barmelweid	U	41	61	227	157	194	94	161	214	158	*92	79	55	1533
Allerheiligen	U	57	61	229	170	215	98	171	242	158	108	120	73	1702
Mont Soleil s. St. Imier	U	103	85	239	149	212	95	172	237	158	120	182	78	1830
La Chaux-de-Fonds	U	105	89	220	159	216	99	176	—	—	—	—	—	—
Chasseron	N*	—	—	—	—	—	—	178	246	162	125	201	79	—
Neuchâtel	U	37	67	241	157	245	162	222	275	177	95	33	6	1717
Payerne	N*	54	62	238	146	237	120	218	260	172	95	39	16	1657
Genève-Observat.	N	47	92	244	182	272	191	284	293	194	105	46	33	1983
Genève-Cointrin	N*	58	84	254	188	271	179	269	284	188	99	47	32	1953
Lausanne	N	80	121	266	182	259	164	243	279	186	110	76	49	2015
Montreux-Clarens	U	97	121	230	163	215	132	203	247	152	98	85	40	1783
Château d'Oex	F	141	146	244	179	222	130	218	243	170	150	159	84	2086
Leysin	U	157	152	252	163	218	108	200	234	163	119	179	94	2039
Sitten	U	153	146	253	198	246	144	260	270	184	158	171	98	2281
Montana s. Sierre	U	172	161	266	195	245	129	238	272	186	160	195	107	2326
Walenstadtberg	U	92	106	205	155	189	80	161	176	161	128	170	113	1736
Plantahof b/Landquart	U	73	108	212	169	229	101	204	203	157	130	113	72	1771
Arosa	N	115	133	237	172	206	86	197	194	169	140	168	100	1917
Weissfluhjoch	F	161	166	265	187	215	84	188	190	182	170	216	145	2169
Davos-Platz	N	111	123	233	151	193	80	182	184	154	118	153	89	1771
Bivio	N	100	134	225	137	201	90	178	176	133	112	155	70	1711
St. Moritz	U	132	156	254	174	218	78	203	209	144	108	177	74	1927
Schuls	N	104	140	253	171	230	98	199	226	160	103	147	81	1912
Lugano	N	147	176	264	147	282	131	241	272	141	101	145	69	2116
Monte Brè	U	163	180	266	156	302	142	260	289	144	104	170	95	2271
Locarno-Monti	N	168	182	281	164	314	145	257	302	150	115	168	86	2332

1953

Tägliche Dauer des Sonnenscheins in Stunden

Januar

Tag	Lugano	Genève	Montana s. Sierre	Chaux-de-Fonds	Bern	Luzern	Basel	Zürich	Davos	Säntis
1	3.5	0.0	7.7	5.4	0.0	0.0	0.6	0.0	0.0	6.9
2	4.9	0.0	1.8	0.0	0.0	0.0	0.0	0.0	0.0	0.0
3	0.0	0.0	0.0	0.0	0.0	0.0	0.0	0.0	0.2	2.3
4	4.1	0.0	5.8	0.5	0.0	0.0	0.0	0.0	5.0	8.1
5	6.6	0.0	7.1	0.0	0.0	0.0	0.0	0.0	5.5	5.2
6	0.0	0.5	4.4	0.2	0.0	0.0	0.0	0.0	2.4	8.2
7	0.0	0.0	5.7	0.0	0.0	0.0	0.0	0.0	5.1	7.4
8	0.0	0.0	0.0	0.0	0.0	0.0	0.0	0.0	0.0	3.5
9	7.0	0.0	1.5	0.0	0.0	0.0	0.0	0.0	0.0	0.0
10	6.5	0.0	0.0	0.1	0.0	0.0	0.0	0.0	0.0	0.0
11	6.9	7.4	1.9	4.7	4.4	0.2	0.0	2.5	0.0	4.0
12	7.0	6.5	6.8	7.0	7.4	0.0	5.9	0.2	4.4	7.7
13	7.0	0.0	7.8	5.9	3.9	0.0	0.0	0.1	5.7	8.5
14	6.9	0.0	8.2	5.5	0.0	0.0	0.0	0.0	5.3	8.7
15	7.2	0.0	8.2	5.0	0.0	0.0	0.6	0.0	5.7	8.6
16	5.0	2.1	5.1	2.1	1.5	1.8	0.2	2.5	0.5	3.7
17	4.3	0.1	8.3	7.0	5.6	0.5	0.0	0.8	5.7	5.8
18	7.3	3.5	8.4	7.8	2.4	0.0	6.6	0.0	5.7	8.7
19	7.3	0.5	8.4	4.0	3.9	0.0	1.3	1.0	5.4	4.0
20	7.0	0.7	8.3	6.4	5.7	0.0	0.0	3.1	5.9	8.1
21	6.2	4.1	8.1	8.1	0.0	0.0	7.2	2.8	5.8	8.3
22	7.2	2.7	8.6	8.0	0.0	0.0	8.0	0.0	6.0	9.0
23	6.5	0.0	8.5	7.2	2.2	0.0	6.5	0.0	5.7	7.8
24	0.5	0.0	8.5	6.9	0.0	0.0	7.8	0.2	6.1	9.0
25	0.0	0.5	1.0	0.0	0.0	0.0	0.0	0.0	0.4	0.0
26	7.7	4.7	7.0	0.0	1.9	1.3	0.0	0.8	2.8	5.9
27	5.2	3.2	6.2	5.3	2.4	2.5	0.0	0.0	4.7	4.8
28	0.8	1.8	1.2	0.0	0.3	0.2	0.0	0.1	0.0	0.0
29	6.9	8.0	8.5	0.5	7.6	7.5	0.0	1.9	5.1	5.3
30	6.4	0.0	8.7	7.0	0.0	4.0	8.5	8.3	6.4	9.4
31	1.5	1.1	0.5	0.1	0.1	1.6	0.9	2.0	5.9	2.6
Mittel	4.8	1.5	5.6	3.4	1.6	0.6	1.7	0.8	3.6	5.5

Februar

	Lugano	Genève	Montana s. Sierre	Chaux-de-Fonds	Bern	Luzern	Basel	Zürich	Davos	Säntis
1	8.2	1.3	0.0	0.0	0.7	1.3	0.2	0.3	0.0	0.0
2	7.1	0.1	0.0	0.0	0.0	0.0	0.0	0.0	0.0	0.0
3	8.4	1.7	6.5	2.8	2.3	1.0	0.0	2.4	4.5	0.8
4	8.4	5.0	7.9	0.0	0.2	0.7	0.0	1.5	6.6	9.5
5	5.2	5.8	4.8	1.3	3.9	1.2	2.0	0.5	3.6	0.0
6	8.4	3.2	2.1	0.5	0.9	0.0	0.1	0.1	0.0	0.0
7	7.0	2.8	0.1	1.6	1.0	0.0	0.0	0.1	1.1	0.0
8	8.7	7.4	6.9	5.3	6.8	4.7	4.5	4.2	4.5	2.0
9	3.5	1.6	0.0	0.0	0.6	0.5	1.3	0.7	0.0	0.0
10	0.0	0.0	0.0	0.0	0.0	0.0	0.0	0.0	0.6	0.6
11	6.4	0.0	0.2	0.0	1.6	2.7	1.5	4.0	3.2	2.7
12	3.8	2.3	2.1	0.1	0.0	0.0	0.0	0.0	2.6	0.0
13	2.1	1.8	7.6	0.0	0.1	0.0	0.1	2.7	7.0	8.8
14	0.5	3.1	7.4	3.5	4.3	6.0	0.0	4.4	7.0	8.6
15	0.0	0.0	3.9	2.2	0.0	0.3	0.0	0.0	0.0	6.8
16	1.6	0.0	2.4	0.2	0.0	0.0	0.0	0.0	6.2	8.3
17	8.1	5.1	5.5	6.7	8.2	3.7	9.1	4.5	7.1	9.6
18	2.6	6.9	8.8	0.0	0.0	0.0	0.0	0.0	0.0	0.0
19	8.6	3.1	9.7	0.1	0.1	0.1	0.0	0.0	7.3	10.4
20	8.5	2.3	5.1	0.0	4.7	3.6	0.2	3.1	0.9	0.0
21	9.1	8.6	9.8	7.5	8.6	8.5	7.2	6.7	7.3	10.4
22	9.2	8.9	10.0	6.8	9.3	9.0	9.5	9.8	7.5	10.1
23	9.3	9.1	9.4	7.9	7.5	7.8	4.5	6.8	7.0	9.5
24	9.0	0.0	10.1	7.6	5.3	0.0	0.1	1.2	7.5	10.6
25	9.2	1.9	9.4	8.1	3.2	0.0	8.3	3.2	7.7	10.7
26	5.1	1.8	10.1	8.6	4.5	0.0	8.9	1.0	7.7	10.7
27	8.9	2.1	10.4	9.4	6.3	1.6	9.2	4.1	7.8	10.8
28	9.6	5.7	10.4	9.2	7.9	3.1	7.4	6.9	7.8	10.5

März

1	9.2	8.7	9.5	8.6	8.7	7.1	9.6	8.6	7.9	9.4
2	10.0	9.1	9.1	8.6	8.3	6.4	9.8	5.4	8.0	10.9
3	10.0	9.1	10.2	8.9	8.6	7.9	9.9	8.6	8.0	10.9
4	9.8	8.6	9.3	8.8	10.0	9.7	9.8	10.2	8.1	11.0
5	3.9	8.2	9.4	7.5	6.9	4.7	4.2	5.0	1.1	2.0
6	9.7	6.8	10.2	8.3	5.0	5.7	7.9	4.8	8.3	11.1
7	8.0	6.3	8.2	4.7	4.1	4.9	3.4	4.5	7.7	5.6
8	10.2	10.0	10.3	4.6	8.4	6.7	5.7	5.3	2.2	0.0
9	10.0	10.5	10.5	9.5	10.4	10.0	10.0	10.6	8.9	10.7
10	9.9	10.0	10.4	9.0	10.0	9.8	6.5	10.1	9.0	10.2
11	3.1	0.3	0.0	0.0	0.0	0.0	0.0	0.0	0.0	0.0
12	10.2	5.6	10.0	4.2	3.3	4.6	0.5	2.3	1.5	0.8
13	6.9	4.6	9.3	8.4	5.7	9.6	10.0	9.9	9.0	8.5
14	2.7	7.5	9.3	7.2	7.0	7.7	9.0	7.5	8.2	8.3
15	3.6	3.2	4.1	5.7	6.6	6.4	8.8	8.9	9.6	9.9
16	4.4	6.9	7.8	7.2	8.9	5.9	6.7	7.1	8.5	7.7
17	10.0	6.3	1.6	9.4	9.0	6.7	7.9	7.7	9.6	11.2
18	9.7	9.4	10.0	9.2	10.1	10.5	10.2	10.6	9.6	11.4
19	9.7	9.6	10.4	9.6	10.5	10.6	10.0	10.9	9.7	11.4
20	10.0	10.2	10.7	8.3	8.9	10.4	10.8	11.1	9.7	11.5
21	10.3	10.3	10.8	9.7	10.7	10.9	10.8	11.1	9.7	11.5
22	9.9	10.6	10.7	9.9	10.8	10.8	10.6	11.0	9.7	11.6
23	9.8	10.0	10.7	9.6	10.5	10.9	10.8	10.9	9.8	10.6
24	8.5	10.3	10.3	9.6	10.5	10.1	10.4	11.0	9.8	11.9
25	10.0	10.5	10.5	10.0	10.6	10.8	10.8	11.2	9.9	11.6
26	10.1	7.9	10.3	5.7	9.4	10.5	10.1	10.9	9.9	11.6
27	9.8	4.2	2.6	1.4	2.6	4.8	1.9	0.6	4.7	4.8
28	9.7	8.2	8.8	3.4	6.9	3.9	5.3	6.9	3.9	2.3
29	9.8	10.9	10.8	5.3	10.5	10.5	7.5	10.8	10.0	11.7
30	9.1	9.1	9.8	7.6	8.3	9.8	7.9	9.9	9.9	9.3
31	5.6	1.6	0.5	0.0	0.0	0.2	2.9	0.1	1.3	0.0
Mittel	8.5	7.9	8.6	7.1	7.8	7.7	7.7	8.0	7.5	8.4

April

1	3.6	8.3	8.2	9.9	7.3	6.3	11.3	7.4	9.8	7.2
2	3.1	3.3	1.8	2.9	4.3	3.8	1.9	4.0	2.3	6.0
3	0.0	7.3	2.3	9.2	6.7	6.2	7.2	7.3	2.4	8.1
4	0.0	6.5	5.0	4.4	6.3	7.2	5.1	8.8	4.1	7.2
5	1.3	5.6	*9.0	9.4	5.9	2.3	10.1	4.5	5.9	1.1
6	0.6	2.5	7.3	0.9	5.5	2.7	4.0	4.4	6.7	3.3
7	8.3	6.6	6.0	3.7	7.0	3.6	5.5	10.1	0.1	2.9
8	0.0	2.8	6.4	1.3	1.8	3.7	1.9	5.4	3.7	5.9
9	0.0	0.0	1.4	1.4	3.1	0.4	2.5	2.8	1.1	2.6
10	0.0	0.7	0.0	0.0	0.0	0.0	0.0	0.0	0.0	0.0
11	10.6	3.3	6.6	1.9	2.0	0.0	0.4	2.6	2.6	9.6
12	6.3	7.7	9.9	9.0	9.4	10.6	9.9	8.8	9.1	12.8
13	0.0	0.2	0.1	0.0	0.0	0.0	0.5	0.0	3.3	0.0
14	0.0	0.8	0.0	0.1	0.0	0.0	0.0	0.0	0.0	0.0
15	0.0	4.3	0.0	0.2	0.0	0.0	0.0	0.0	0.0	0.0
16	3.2	1.9	2.0	0.0	0.0	0.0	0.0	0.0	1.1	0.0
17	11.5	7.1	6.6	1.0	1.7	0.0	1.4	5.5	8.0	9.0
18	6.4	10.5	11.0	9.8	9.6	11.2	10.6	11.9	8.2	12.5
19	9.8	9.3	10.5	11.9	11.7	12.2	12.2	12.7	11.2	11.8
20	9.6	11.7	12.5	12.2	12.6	12.4	11.9	12.5	10.7	13.1
21	11.4	11.8	12.5	11.3	12.1	12.2	12.6	12.8	9.7	12.9
22	10.4	11.8	12.5	11.2	12.3	12.3	12.7	12.8	11.2	12.6
23	8.9	8.9	12.1	4.7	7.9	7.1	11.7	12.0	5.4	11.3
24	8.3	7.5	5.3	8.7	7.7	7.2	10.2	8.7	3.7	4.1
25	6.7	9.5	5.7	5.6	5.8	2.4	7.1	6.6	2.8	6.3
26	0.0	7.1	8.6	7.6	9.7	11.2	9.9	11.4	8.4	12.3
27	0.0	0.0	0.0	0.0	1.0	0.8	0.4	1.2	0.1	0.3
28	8.7	7.3	11.4	5.1	9.1	6.8	6.2	10.5	4.0	9.6
29	7.4	6.0	8.5	3.3	5.7	6.3	6.2	6.6	4.9	0.0
30	11.0	11.9	11.9	12.1	13.2	13.0	12.1	12.9	10.9	13.9
Mittel	4.9	6.1	6.5	5.3	6.0	5.4	6.2	6.8	5.0	6.2

Tägliche Dauer des Sonnenscheins in Stunden

1953

Mai

Tag	Lugano	Genève	Montana s. Sierre	Chaux-de-Fonds	Bern	Luzern	Basel	Zürich	Davos	Säntis
1	9.3	6.8	6.4	8.5	8.2	10.7	7.9	11.6	11.2	13.5
2	2.0	2.3	3.3	1.7	0.1	2.0	2.8	8.2	3.8	9.3
3	11.9	10.0	12.6	12.0	12.7	12.2	12.8	13.1	11.4	10.5
4	11.4	13.0	13.0	12.0	12.9	12.5	8.2	11.9	9.0	10.3
5	6.7	12.9	10.7	11.3	11.5	10.1	8.3	9.9	3.6	4.5
6	8.8	12.1	3.2	1.3	6.7	0.6	1.2	1.3	0.4	0.0
7	10.6	8.8	3.9	2.4	3.2	1.1	3.2	3.4	0.7	0.0
8	9.7	9.8	10.2	4.3	9.8	8.5	8.8	7.8	7.2	5.6
9	8.3	10.2	2.6	1.1	2.8	1.7	3.2	3.0	0.2	0.0
10	12.4	13.4	6.2	5.6	5.9	4.7	4.0	4.0	2.5	2.4
11	12.1	13.5	13.2	13.4	13.2	13.2	13.7	13.4	11.6	10.5
12	8.3	5.7	2.6	5.7	3.8	3.5	9.5	6.7	1.9	1.0
13	10.9	9.3	11.2	10.4	10.7	12.7	12.7	13.3	9.1	7.8
14	3.0	2.3	1.5	1.0	0.8	0.7	0.6	0.5	0.1	2.4
15	10.9	11.1	10.8	4.0	9.6	10.8	8.5	11.1	9.6	10.2
16	11.1	10.9	12.1	10.7	11.5	12.1	10.0	12.5	11.8	13.9
17	10.2	5.2	4.6	6.3	7.4	7.7	6.9	8.3	8.5	11.2
18	10.7	10.6	10.0	10.2	10.4	9.3	10.4	10.0	10.8	13.2
19	12.5	11.2	10.5	10.1	8.8	10.9	11.2	12.3	11.8	14.1
20	10.4	11.3	13.2	11.2	12.3	12.2	12.6	12.6	7.8	12.6
21	11.0	7.5	12.1	10.8	10.5	10.8	8.7	9.7	7.6	8.7
22	0.1	6.8	6.9	6.8	3.9	7.1	7.3	6.9	6.8	9.1
23	6.3	11.1	6.7	6.1	7.4	2.6	8.0	2.9	0.8	4.4
24	12.6	13.5	13.1	13.5	12.0	8.9	13.6	11.1	11.1	12.6
25	12.6	13.5	13.4	10.0	13.4	14.3	13.3	14.2	12.1	14.6
26	12.1	8.2	9.8	10.9	9.6	9.5	11.6	11.4	7.8	13.2
27	6.7	6.6	4.6	6.1	4.7	2.6	5.7	4.0	1.7	0.4
28	1.3	0.0	0.8	0.0	0.1	0.0	0.3	0.0	0.6	0.0
29	11.5	11.2	10.1	7.8	8.8	4.7	8.1	9.6	9.5	11.7
30	3.6	0.2	0.1	0.0	0.0	0.0	1.3	0.3	0.1	0.0
31	12.9	3.0	5.2	0.4	0.9	3.4	2.9	2.8	2.0	0.0
Mittel	9.1	8.8	7.9	7.0	7.5	7.1	7.7	8.0	6.2	7.3

Juni

Tag	Lugano	Genève	Montana s. Sierre	Chaux-de-Fonds	Bern	Luzern	Basel	Zürich	Davos	Säntis
1	10.3	5.1	3.8	1.6	4.0	3.7	2.7	3.4	1.5	2.7
2	3.2	3.7	5.3	2.3	3.9	5.2	5.3	3.7	0.0	0.0
3	9.2	9.2	7.9	3.4	7.3	5.0	4.6	6.5	6.5	4.3
4	6.9	13.3	12.5	7.3	10.8	9.7	9.5	9.9	7.2	9.5
5	11.8	12.6	12.9	12.1	13.8	13.8	13.0	14.4	10.5	14.5
6	1.0	7.3	5.8	7.5	8.2	11.3	11.1	12.3	5.1	9.6
7	0.0	7.6	4.3	2.5	5.3	5.3	8.0	5.8	5.5	5.5
8	0.0	1.2	1.3	0.1	0.1	0.5	3.4	1.7	0.5	2.7
9	0.7	0.0	2.9	0.0	0.2	1.9	0.0	1.6	1.9	4.2
10	2.9	0.0	0.2	0.0	0.0	0.0	0.0	0.0	0.0	0.0
11	7.0	0.0	0.0	0.0	0.0	0.0	0.0	0.0	0.1	0.0
12	3.1	7.6	0.8	1.4	3.2	0.7	2.3	0.6	0.5	2.2
13	6.5	12.0	2.4	6.6	7.2	2.7	9.6	6.4	2.8	0.9
14	4.9	2.3	2.4	0.1	0.1	0.0	0.1	0.0	2.0	0.0
15	10.9	7.6	3.8	1.8	3.7	2.9	2.9	5.1	2.5	2.3
16	0.9	8.5	3.7	3.3	5.1	4.9	5.2	3.4	0.4	0.3
17	0.0	1.4	0.0	1.1	4.1	3.8	4.6	5.3	3.9	7.3
18	0.0	4.9	5.4	2.9	2.2	0.2	2.7	1.6	0.0	0.0
19	12.6	12.9	11.4	8.8	13.0	10.8	10.8	12.7	11.2	8.9
20	2.3	13.9	10.4	10.2	14.3	9.9	14.3	12.8	7.1	8.9
21	0.0	1.9	0.8	0.7	2.9	2.2	4.3	3.0	0.8	4.0
22	2.4	3.8	2.2	1.5	4.1	3.0	4.5	4.6	0.0	0.4
23	0.0	0.0	0.7	1.0	0.2	1.4	0.1	2.2	1.9	3.3
24	0.0	5.4	1.9	1.7	1.2	0.0	3.2	0.5	1.4	0.2
25	0.0	6.5	0.0	0.0	0.0	0.0	0.0	0.0	0.0	0.0
26	6.6	6.4	1.6	3.1	3.1	0.9	1.5	0.0	0.0	0.0
27	9.0	9.0	1.7	1.9	3.3	1.5	2.1	0.6	0.1	0.0
28	11.7	13.9	12.8	9.6	12.9	11.5	8.9	9.0	1.3	6.1
29	0.0	4.1	1.2	4.3	2.7	3.1	4.8	6.2	0.0	4.8
30	6.6	8.9	8.6	2.6	6.1	8.8	5.8	8.9	5.4	5.6
Mittel	4.4	6.4	4.3	3.3	4.8	4.2	4.8	4.8	2.7	3.9

Juli

Tag	Lugano	Genève	Montana s. Sierre	Chaux-de-Fonds	Bern	Luzern	Basel	Zürich	Davos	Säntis
1	7.2	11.4	4.5	4.9	4.2	1.3	4.4	0.8	2.0	1.0
2	1.0	8.0	6.8	3.3	8.1	4.7	8.4	6.8	1.3	1.4
3	4.8	6.9	2.0	1.7	1.9	4.2	2.4	2.7	0.1	1.7
4	5.6	8.5	3.4	1.0	4.0	2.9	2.9	5.2	1.6	0.4
5	4.4	2.6	0.1	0.0	1.7	0.9	0.7	0.1	0.1	0.0
6	4.3	5.8	2.7	0.1	0.4	1.0	3.9	2.9	0.6	2.8
7	13.0	11.6	11.1	8.6	10.7	9.6	12.4	9.5	9.2	8.6
8	9.9	13.8	12.0	10.6	12.0	5.6	12.3	9.9	11.2	1.4
9	2.3	7.7	6.4	0.3	0.5	0.6	1.7	0.2	0.3	0.0
10	8.0	2.5	1.9	1.6	1.3	0.3	0.8	1.0	0.0	0.0
11	12.3	13.8	13.0	5.4	10.9	8.8	9.5	7.4	0.5	1.6
12	0.2	4.0	1.5	2.1	4.6	4.0	5.6	4.6	2.0	7.9
13	9.6	5.8	3.5	3.7	5.2	6.7	5.9	5.6	3.0	0.0
14	12.1	7.7	9.6	4.3	7.4	10.3	4.1	9.3	8.5	7.6
15	10.7	13.5	11.5	9.5	10.9	6.5	10.6	10.5	6.9	2.2
16	8.0	14.5	13.5	13.1	14.3	13.6	14.6	14.3	9.5	13.8
17	6.3	12.0	7.6	3.1	8.2	10.3	7.1	9.3	11.0	12.2
18	2.0	2.9	7.1	0.0	2.5	5.0	2.0	6.3	7.1	9.0
19	12.4	11.7	8.5	8.5	12.2	5.1	12.6	10.1	1.4	0.0
20	12.6	14.5	13.4	14.0	14.5	14.0	14.6	14.2	12.2	15.3
21	12.6	13.9	13.6	13.8	14.4	13.9	14.2	14.2	12.3	15.3
22	12.2	12.6	13.5	11.0	13.5	13.1	11.1	13.4	12.1	14.2
23	0.0	1.2	5.6	0.4	0.2	2.1	0.0	1.1	0.8	0.0
24	12.5	12.5	12.1	12.6	11.6	11.5	12.7	13.1	11.9	13.3
25	11.3	13.7	13.2	13.5	13.2	13.3	13.9	13.7	12.1	14.8
26	9.5	11.2	11.6	8.1	11.9	10.0	10.9	10.3	8.7	10.4
27	5.7	4.9	3.8	3.6	1.7	0.4	1.0	2.2	5.1	1.0
28	5.5	12.6	11.1	6.0	11.5	9.1	2.1	10.0	7.1	9.3
29	5.8	8.1	8.6	7.2	9.0	6.2	8.7	8.4	6.9	1.5
30	1.2	3.6	2.0	1.3	2.2	1.5	1.0	2.2	0.0	0.0
31	11.9	10.6	3.1	3.0	3.7	5.8	2.3	6.3	6.7	4.5
Mittel	7.8	9.2	7.7	5.7	7.4	6.5	6.9	7.3	5.9	5.8

August

Tag	Lugano	Genève	Montana s. Sierre	Chaux-de-Fonds	Bern	Luzern	Basel	Zürich	Davos	Säntis
1	11.3	5.8	10.0	4.2	5.0	2.4	4.5	3.9	4.0	0.0
2	5.3	0.0	1.2	0.6	1.5	0.6	3.4	2.0	2.0	0.0
3	6.3	3.2	*3.0	1.9	0.0	0.0	0.5	0.4	0.0	0.0
4	11.3	13.1	8.2	12.3	12.8	8.4	12.6	13.0	1.8	1.7
5	9.2	12.9	11.2	8.6	11.7	10.7	10.9	10.8	11.0	13.1
6	11.4	11.3	9.4	0.1	3.6	0.0	0.6	0.1	0.0	0.0
7	11.2	12.0	10.2	8.5	6.6	4.9	10.3	7.4	4.9	5.3
8	6.7	9.7	11.2	9.5	10.2	6.7	9.7	10.6	11.7	13.0
9	0.0	5.8	2.2	8.8	6.2	5.6	9.0	8.4	1.8	8.0
10	11.1	13.0	12.1	11.4	12.2	12.6	13.1	13.4	11.7	12.9
11	11.3	12.1	12.3	11.1	12.0	11.6	12.9	13.1	11.1	12.8
12	11.0	12.0	12.7	10.1	12.4	12.9	11.2	12.8	11.9	12.0
13	10.0	12.6	11.0	9.0	11.4	12.2	12.1	11.7	7.9	4.3
14	6.1	7.5	7.3	4.9	7.8	8.4	11.6	11.6	7.0	8.8
15	5.7	10.8	7.5	4.9	7.4	3.1	10.7	5.5	5.2	9.8
16	3.8	5.9	3.0	2.1	1.3	0.0	1.9	0.3	0.0	0.0
17	11.2	10.9	8.0	6.2	10.2	7.9	9.3	10.7	9.0	10.4
18	8.7	8.4	9.9	5.2	7.1	7.5	12.0	11.0	7.7	6.7
19	11.3	12.8	12.5	8.5	12.8	11.3	12.7	13.1	10.8	11.5
20	10.3	10.9	9.9	6.3	9.2	9.5	9.6	10.1	10.7	11.1
21	0.0	0.0	0.0	0.2	0.1	0.2	0.5	0.2	0.3	1.2
22	11.1	8.6	8.1	6.2	6.7	4.8	9.9	5.5	1.0	0.0
23	12.1	12.0	12.2	7.8	12.4	10.4	12.7	11.1	8.3	6.7
24	11.3	10.3	11.1	7.8	10.1	10.4	10.2	10.8	11.1	12.4
25	7.6	5.6	7.4	3.9	4.2	1.6	7.0	5.2	1.9	0.0
26	0.0	4.9	1.8	Apparat außer Betrieb	7.3	4.7	8.8	6.9	0.2	5.1
27	11.6	10.5	9.2		5.1	2.1	8.1	2.3	0.0	0.8
28	11.5	11.9	12.3		11.7	9.8	10.8	12.0	6.5	5.0
29	10.3	12.5	12.0		10.6	9.7	8.9	10.2	9.5	10.0
30	11.4	12.4	12.4		12.6	12.2	12.4	12.7	10.7	13.4
31	11.1	12.5	12.3		12.4	12.2	12.3	12.6	11.7	13.3
Mittel	8.8	9.5	8.8	—	8.2	6.9	9.0	8.4	5.9	6.8

1953

Tägliche Dauer des Sonnenscheins in Stunden

September

Tag	Lugano	Genève	Montana s. Sierre	Chaux-de-Fonds	Bern	Luzern	Basel	Zürich	Davos	Säntis
1	11.1	12.3	11.7	—	12.1	12.1	12.1	12.6	10.7	12.7
2	10.2	12.3	11.5	—	11.7	12.9	12.0	12.2	10.7	12.5
3	9.9	11.7	9.9	—	10.4	8.1	8.8	10.5	10.7	10.4
4	8.2	11.8	9.6	—	9.9	6.3	10.0	11.1	7.3	4.9
5	9.2	11.2	10.8	—	11.6	10.6	11.2	10.9	8.9	10.7
6	6.8	11.2	*10.8	—	11.6	5.0	11.5	11.8	9.7	11.7
7	0.0	11.0	10.9	—	11.3	6.8	11.9	11.9	10.5	12.6
8	10.5	10.8	10.4	—	10.2	9.6	11.5	11.6	10.3	12.1
9	10.2	9.6	9.8	—	9.7	10.3	10.9	10.6	9.7	4.3
10	1.1	0.9	1.8	—	0.2	0.8	0.0	0.7	0.2	0.0
11	8.6	10.4	8.4	Keine Registrierungen	2.8	0.6	4.1	1.2	0.1	0.5
12	11.1	11.6	7.1		7.8	7.3	3.2	8.1	3.2	0.0
13	11.2	10.4	11.3		9.9	5.6	9.0	8.1	7.9	8.5
14	0.0	9.1	9.9		10.1	8.9	9.7	10.9	9.2	11.7
15	0.9	9.2	9.9		10.0	10.6	10.9	10.8	10.1	11.3
16	0.0	6.4	3.8		3.3	2.1	3.1	2.5	0.2	5.1
17	0.2	4.7	3.6		1.3	1.3	1.5	2.3	2.3	6.2
18	3.6	6.1	2.6		4.3	4.2	2.8	3.3	7.4	7.5
19	0.2	0.0	2.0		0.5	0.5	0.1	0.8	0.5	0.9
20	0.2	1.6	2.5		2.9	1.9	0.8	3.4	1.3	1.4
21	6.8	7.6	8.7		7.0	9.1	6.0	8.9	7.1	9.9
22	8.1	5.3	6.9		7.0	8.4	5.9	9.0	3.5	4.8
23	0.3	4.2	3.2		5.3	7.8	1.9	9.0	2.7	9.7
24	0.0	4.9	4.8		2.8	1.8	2.5	2.4	0.6	4.1
25	0.0	0.0	0.0		0.1	5.3	0.0	0.0	0.1	0.1
26	1.8	0.0	1.2		0.0	0.0	2.4	0.0	2.4	4.1
27	2.2	0.0	0.8		0.3	0.0	3.2	5.5	5.2	7.9
28	0.3	0.2	1.4		0.3	0.1	0.1	0.7	1.1	4.9
29	0.6	0.0	0.0		0.0	0.0	0.0	0.0	0.5	1.0
30	7.3	0.0	0.5		0.0	0.0	0.0	0.7	0.1	9.9
31										
Mittel	4.7	6.5	6.2	—	5.8	5.3	5.6	6.4	5.1	6.7

Oktober

Tag	Lugano	Genève	Montana s. Sierre	Chaux-de-Fonds	Bern	Luzern	Basel	Zürich	Davos	Säntis
1	2.3	0.0	6.6	—	0.0	0.0	2.0	0.0	4.7	10.8
2	9.0	7.2	9.6	—	6.5	5.1	8.6	5.2	8.6	10.7
3	3.7	1.6	4.5	—	5.1	5.0	7.2	6.3	7.4	9.1
4	0.0	3.1	0.0	—	2.2	0.0	4.0	0.1	0.0	0.0
5	8.5	4.7	6.3	—	1.5	0.1	0.0	0.8	3.7	7.3
6	6.8	4.9	5.0	—	7.9	1.4	5.8	7.3	6.8	10.5
7	6.2	8.6	4.8	—	8.1	6.0	5.0	7.7	4.0	8.8
8	9.6	8.3	9.1	—	9.2	6.3	5.0	7.1	6.0	6.0
9	5.5	8.7	9.8	—	9.0	3.3	7.7	9.0	8.2	10.8
10	6.9	3.7	9.1	—	4.5	2.9	9.5	4.5	8.0	10.5
11	9.8	2.9	10.2	Keine Registrierungen	3.4	3.4	9.4	4.3	8.1	10.7
12	5.2	0.0	2.3		0.8	0.6	4.7	1.8	7.3	9.2
13	0.0	2.4	2.8		1.5	5.4	3.2	6.1	4.1	7.7
14	0.0	0.0	4.6		3.9	6.5	4.1	7.6	3.0	7.8
15	0.0	0.9	1.3		0.2	1.3	0.0	1.5	0.5	5.0
16	0.0	1.3	0.0		0.9	0.0	0.0	0.0	0.0	1.0
17	0.1	3.3	3.4		3.3	1.7	2.9	3.5	1.3	3.9
18	0.6	0.0	4.3		0.0	0.0	0.0	0.0	0.7	6.4
19	1.6	2.5	4.1		0.0	0.0	0.0	3.5	5.9	8.9
20	6.5	2.6	8.0		0.0	0.0	0.0	0.0	6.6	9.9
21	0.7	0.0	6.0		0.1	0.0	0.0	0.3	0.9	9.8
22	0.0	7.2	8.2		7.5	7.5	5.7	5.2	2.7	9.6
23	0.0	2.9	6.8		5.1	3.2	2.4	3.4	0.0	1.2
24	1.9	3.0	9.0		8.2	2.5	5.5	6.0	5.2	9.4
25	0.0	0.2	1.1		0.1	0.0	0.0	0.0	0.0	0.0
26	0.0	2.9	0.2		0.9	0.0	0.0	0.0	0.7	4.8
27	0.0	2.8	4.2		0.8	0.0	3.6	0.0	0.0	0.2
28	2.7	0.0	6.5		3.9	6.9	6.3	6.5	6.4	9.6
29	0.0	3.5	0.0		0.0	0.0	0.0	0.0	1.0	0.0
30	8.9	8.5	5.3		4.9	3.2	7.5	3.6	0.7	3.0
31	4.2	7.4	7.3		6.9	8.1	7.2	7.2	5.1	8.4
Mittel	3.2	3.4	5.2	—	3.4	2.6	3.8	3.5	3.8	6.8

November

Tag	Lugano	Genève	Montana s. Sierre	Chaux-de-Fonds	Bern	Luzern	Basel	Zürich	Davos	Säntis
1	1.5	6.6	6.3	—	6.8	6.0	7.2	6.7	5.2	5.1
2	0.0	0.1	0.0	—	0.0	0.0	0.5	0.0	0.1	0.0
3	2.1	3.9	0.5	—	0.5	0.0	0.0	0.0	0.0	0.0
4	7.8	1.4	1.0	—	0.3	1.5	0.9	1.5	6.6	8.2
5	6.5	1.1	4.4	—	1.3	0.6	2.3	0.7	6.2	6.9
6	1.8	1.3	0.9	—	0.1	0.0	1.2	0.0	0.0	0.0
7	8.4	2.7	8.4	—	5.5	3.2	2.8	7.4	1.6	8.4
8	6.6	6.1	7.5	—	0.0	0.0	6.5	0.8	4.6	7.9
9	8.2	0.0	9.1	—	3.8	3.1	8.6	6.2	6.6	9.5
10	8.1	0.0	8.9	—	6.0	0.5	6.3	5.8	6.5	9.5
11	8.1	0.0	8.8	Keine Registrierungen	0.0	0.0	0.0	0.0	6.5	9.3
12	8.0	0.0	8.7		0.0	0.3	3.7	0.0	6.5	9.1
13	8.0	0.0	8.8		3.7	3.1	6.4	4.0	6.4	9.3
14	7.7	2.4	8.8		3.3	0.0	6.9	2.8	6.3	9.3
15	5.9	0.0	4.0		2.4	1.4	2.9	1.2	2.3	6.8
16	7.7	6.7	8.7		6.0	0.8	7.3	4.7	6.3	8.8
17	4.2	0.0	8.6		0.0	0.0	3.8	0.0	6.1	9.1
18	3.5	0.0	8.0		0.4	2.7	7.7	5.4	6.1	8.9
19	5.3	0.0	8.5		0.0	0.0	5.8	0.7	6.0	8.8
20	6.3	0.0	8.5		0.0	0.0	0.0	0.0	6.0	9.0
21	5.4	0.0	8.4		0.0	0.0	0.0	0.0	6.0	8.9
22	7.2	0.0	8.5		0.0	0.0	0.9	0.0	6.0	9.0
23	0.0	0.0	8.4		0.0	0.0	0.0	0.0	5.9	8.9
24	2.0	0.0	8.4		0.0	0.0	4.0	0.0	5.9	8.9
25	0.0	0.0	8.0		0.0	0.0	7.3	0.0	5.8	8.6
26	5.4	0.0	2.2		0.0	0.7	2.9	1.5	5.0	7.1
27	2.5	0.0	6.8		3.4	0.8	0.2	0.9	5.6	6.1
28	0.0	5.0	5.3		5.5	4.7	5.6	7.2	5.8	8.4
29	6.7	6.8	8.0		7.7	7.2	7.7	7.8	5.7	8.4
30	0.0	2.0	2.2		3.6	4.4	5.2	5.3	5.7	6.7
31										
Mittel	4.8	1.5	6.5	—	2.0	1.4	3.8	2.4	5.1	7.5

Dezember

Tag	Lugano	Genève	Montana s. Sierre	Chaux-de-Fonds	Bern	Luzern	Basel	Zürich	Davos	Säntis
1	6.7	6.8	7.7	—	7.3	7.1	7.7	7.5	5.6	8.2
2	6.6	5.2	5.6	—	6.5	4.6	7.4	6.8	5.7	8.4
3	0.0	0.0	2.4	—	0.7	1.9	0.0	1.9	4.0	8.2
4	0.0	0.0	2.8	—	3.9	4.2	4.8	5.0	3.9	7.2
5	0.0	0.0	7.4	—	6.1	0.0	4.8	5.8	4.1	8.0
6	0.0	0.0	6.2	—	1.2	0.0	1.1	0.0	4.7	5.1
7	0.0	0.0	4.7	—	0.0	0.0	0.0	0.0	2.5	3.3
8	0.0	0.0	2.9	—	0.1	0.0	4.0	0.0	2.3	7.1
9	1.3	5.7	5.4	—	5.1	0.0	1.0	2.2	1.0	7.8
10	0.0	0.0	0.0	—	0.0	0.0	0.0	0.0	0.7	0.0
11	4.2	1.7	2.2	Keine Registrierungen	0.0	0.0	1.2	2.2	3.9	5.1
12	3.5	0.0	5.4		0.0	0.0	0.0	0.0	5.4	7.6
13	0.0	0.0	4.7		0.0	0.0	7.1	0.0	5.5	7.9
14	0.0	0.0	0.6		0.0	0.0	1.4	0.0	3.8	5.3
15	0.0	0.0	0.0		0.0	0.0	0.0	0.0	4.1	3.9
16	0.9	0.0	7.6		0.0	0.0	0.0	0.0	5.4	8.2
17	0.0	0.0	7.8		0.0	0.0	3.2	0.0	4.3	5.1
18	1.7	0.0	7.2		0.0	0.0	5.0	0.0	5.4	8.2
19	0.0	0.0	0.0		0.0	0.0	0.0	0.0	1.3	0.0
20	5.7	1.7	0.0		0.7	0.0	0.0	0.0	0.0	0.0
21	3.7	0.0	0.8		0.0	0.0	0.0	0.0	0.0	0.3
22	5.9	0.3	0.0		0.0	0.0	0.0	0.0	0.0	0.1
23	1.8	0.0	2.3		0.4	0.3	0.0	0.0	1.6	1.5
24	0.0	0.0	6.6		0.4	2.0	0.0	0.2	3.6	7.7
25	0.0	1.5	3.9		0.4	2.6	0.0	2.0	5.1	5.8
26	1.1	4.0	0.0		0.1	0.0	2.1	0.1	0.5	0.0
27	6.4	0.0	0.2		0.0	0.0	0.0	0.0	0.0	0.0
28	0.0	0.0	0.0		0.0	0.0	0.0	0.0	0.4	0.0
29	6.8	0.3	0.0		0.0	0.0	0.0	0.0	0.0	0.0
30	5.9	5.0	6.0		0.2	0.0	0.2	1.2	0.0	0.0
31	6.8	0.6	6.8		0.1	0.0	0.2	0.3	3.7	0.0
Mittel	2.2	1.1	3.5	—	1.1	0.7	1.7	1.1	2.9	4.2

Nr. 5

Jahresbericht 1953 des Erdbebendienstes

der Schweizerischen Meteorologischen Zentralanstalt

von Dr. E. Wanner

Stationen: **Zürich** — *Direktor:* Dr. J. Lugeon, *Bearbeiter:* Dr. E. Wanner; **Chur** — Prof. Dr. h. c. Kreis; **Neuchâtel** — Prof. Dr. E. Guyot; **Basel** — Dr. M. Bider

1. **Persönliches, statistische Bemerkungen und Besprechung einzelner Fälle.**
2. **Tabellarische Zusammenstellung der in der Schweiz im Jahre 1953 verspürten und auf den Erdbebenwarten registrierten Erdbeben.**

1. Persönliches, statistische Bemerkungen und Besprechung einzelner Fälle

Im Berichtsjahre ist die Statistik der in unserem Lande gespürten Erdstöße und Erdbeben nicht vollständig. Im Val d'Illiez sind zahlreiche Lokalstöße beobachtet worden, die nachträglich zeitlich nicht mehr fixiert werden konnten. Die uns bekannt gewordenen Ereignisse verteilen sich auf die verschiedenen Tagesstunden bzw. Monate wie folgt:

0—2	2—4	4—6	6—8	8—10	10—12	12—14	14—16	16—18	18—20	20—22	22—24
5	5	3	5	3	5	1	4	1	3	2	3

Januar	Februar	März	April	Mai	Juni	Juli	August	September	Oktober	November	Dezember
1	2	2	1	2	3	0	8	2	10	5	5

14 Beben gingen vom bekannten Herd im Mittelwallis aus. Sehr aktiv war ferner ein Herd im Unterwallis.

Erdbeben anläßlich des Ausbruchs neuer Thermen bei Buchelieulaz, Val d'Illiez.

Nach einem Rapport des Beobachters der Regenmeßstation Val d'Illiez, Herr L. Rey, wurden seit anfangs 1953 zahlreiche unterirdische Detonationen wie Sprengschüsse beobachtet. Die Phänomene wurden besonders gut im Innern der Häuser wahrgenommen. Zeitweise waren diese Detonationen gefolgt von starken Vibrationen der Gebäude. Besonders hoch wurde die Frequenz dieser Detonationen im Monat September, wo an einzelnen Tagen bis zu 10 gezählt worden sind. Besonders heftig sind die Erscheinungen in der Umgebung von Buchelieulaz wahrgenommen worden, wo die Anwohner während der Nacht öfters aus dem Schlafe geweckt wurden und wo das Phänomen in der Bevölkerung große Beunruhigung verursacht hat. Nur vereinzelte Stöße sind im ganzen Tal zwischen Champéry und Monthey beobachtet worden. Leider wurden damals Zeit und Datum der Stöße nicht notiert. Auch auf den Seismogrammen der Stationen Neuchâtel und Zürich konnten nachträglich mit Sicherheit keine entsprechenden Spuren von Nahebebenregistrierungen aufgefunden werden.

Am 27. September traten plötzlich bei Buchelieulaz im Bette der Vièze drei warme Quellen zutage. Diese Quellen, die heute noch mit unverminderter Intensität ausfließen, haben Temperaturen von 28 Grad, 26 Grad und 18 Grad Celsius und eine Gesamtergiebigkeit von etwa 1300 Minutenliter. Bezüglich des Mineralgehaltes dieser Quellen verweisen wir auf: Mariétan, Les sources chaudes de Val d'Illiez, Bulletin de la «Murithienne», Fasc. LXX 1953. Nach dem Austritt der Quellen ist dann die Stoßfrequenz rasch gefallen. Ab 12. Oktober notierte Herr Bieri, der Verwalter des in unmittelbarer Nachbarschaft gelegenen Elektrizitätswerkes, die von ihm beobachteten Erschütterungen. Tabelle I, die noch durch einige Angaben von Herrn Rey in Play, Val d'Illiez, ergänzt wurde, enthält diese Notierungen.

Mit Sicherheit sind nur 2 Stöße (Nr. 89 und 90, Tab. II) auf den Erdbebenwarten Neuchâtel, Basel und Zürich registriert worden. Vermutlich gingen aber auch die schwachen Beben Nr. 87 und 91, Tab. II, von dieser Herdstelle aus. Merkwürdigerweise liegen die nach den Registrierungen fixierten Herde etwa 10 bis 15 km südlich der Ausbruchstelle der Thermen. Genaue Herdtiefenbestimmungen können mit Hilfe der Seismogramme nicht durchgeführt werden. Die Verteilung der makroseismischen Intensitäten deutet auf oberflächlich gelegene Herde hin.

Leider erhielt der Schweizerische Erdbebendienst von den Vorgängen im Val d'Illiez erst Kenntnis, als die Stoßfrequenz bereits stark abgeklungen war. Der Berichterstatter hat einen Augenschein vorgenommen, um die Möglichkeiten der Aufstellung eines transportablen Seismographen abzuklären. Es war nicht möglich, im Gebiet von Bucheliculaz einen passenden Aufstellungsort, sowie eine geeignete Persönlichkeit zur Bedienung dieses Instrumentes ausfindig zu machen. Auch hätte der Transport des Instrumentes ziemlich große Schwierigkeiten verursacht, so daß auf die Aufstellung eines Seismographen verzichtet wurde.

Der Universalseismograph der Station Basel mußte wegen Revisionsarbeiten im Laufe des Sommers während etwa 4 Wochen stillgelegt werden.

Als Konstanten für die Instrumente können die folgenden Werte benützt werden:

Station 1953	Apparat	Maße in kg	Komponente	Vergrößerung für schnelle Schwingungen	Eigenperioden in Sek.	Dämpfung	Reibung in mm	Registriergeschwindigkeit p. Min. in mm	Mittlerer Zeitinterpolationsfehler in Sek.
Zürich Juli 22.	U–S Q.-P.	20600	N–S	1400	3.0	3.0 : 1	0.8	ca. 90	± 0.1
			E–W	1400	3.0	3.0 : 1	0.8	90	± 0.1
			V	1400	1.0	2.0 : 1	0.6	90	± 0.1
	Mainka	450	N–S	120	8.0	3.0 : 1	1.6	25	± 0.5
			E–W	120	7.0	3.0 : 1	1.6	25	± 0.5
	Kreis	1050	V	180	2.6	2.5 : 1	0.2	30	± 0.5
Chur	U–S	13000	X, N 62° W	1210	2.7	2.5 : 1	1.2	60	± 0.1
			Y, N 28° E	1350	2.7	2.0 : 1	1.5	60	± 0.1
			V	2400	1.7	1.9 : 1	1.7	60	± 0.1
Neuchâtel	U–S	19000	N–S	1550	2.7	3.9 : 1	0.7	60	± 0.1
			E–W	1560	2.7	4.0 : 1	0.2	60	± 0.1
			V	1750	1.1	2.0 : 1	0.1	60	± 0.1
Basel	U–S	19750	N–S	2040	3.2	3.0 : 1	0.2	60	± 0.1
			E–W	2220	3.3	4.4 : 1	0.1	60	± 0.1
		19500	V	2010	3.2	5.0 : 1	0.1	60	± 0.1

U-S Q.-P. = Universalseismograph Quervain-Picard

2. Tabellarische Zusammenstellung der in der Schweiz verspürten und der an den Erdbebenstationen Zürich, Chur, Basel und Neuchâtel registrierten Erdbeben

Tabelle I. In der Schweiz verspürte Erdbeben 1952

Z = Zürich Ch = Chur B = Basel N = Neuchâtel (Vgl. auch Tafel)

Nr.	Datum	MEZ 0-24h	Epizentralgebiet (gesperrt gedruckt) und erschütterte Gebiete	Grad Forel-Rossi	Grösste Ausdehnung	Zahl d. pos. Meldungen	Zahl d. neg. Meldungen	Registriert in	Bemerkungen über Charakter, Zahl der Stöße und Wirkungen
	1953	h m			km				
1	Jan. 19.	5. 18	**Mittelwallis** Leukerbad V, Montana V, Zermatt III, Kandersteg V (vgl. Tab. II, Nr. 2, Tafel 3)	V	60	6	—	N, B, Z	Erwachen der Bevölkerung, in Kandersteg fallen einzelne Gegenstände um
2	Febr. 18.	9. 07	**Mittelwallis** Montana lokal V (vgl. Tab. II, Nr. 12, Tafel 2)	V	—	1	—	N, Z	Scharfer Stoß mit Vibrationen
3	„ 19.	8. 55	**Mittelwallis** Montana lokal III (vgl. Tafel 2)	III	—	1	—	—	Schwache, aber deutliche Erschütterung
4	März 3.	6. 55	**Mittelwallis** Montana lokal III (vgl. Tafel 1)	III	—	2	—	—	Deutlicher Stoß, von mehreren Personen beobachtet
5	„ 3.	8. 28	**Evolène, Val d'Hérens** lokal IV (vgl. Tab. II, Nr. 18, Tafel 1)	IV	—	1	—	Z	Deutlicher Stoß
6	April 6.	21. 11	**Mittelbünden** Chur III (vgl. Tab. II, Nr. 23)	III	—	1	—	Ch	Ganz vereinzelt verspürt!
7	Mai 5.	2. 25	**Mittelwallis** Sitten lokal V (vgl. Tab. II, Nr. 30, Tafel 6)	V	—	2	—	N, B, Z, Ch	Heftiger Stoß S–N
8	„ 21.	18. 40	**Mittelwallis** Montana lokal V (vgl. Tab. II, Nr. 31, Tafel 1)	V	—	1	—	N, B, Z	Heftiger Vertikalstoß; auf Barogramm der Met. Station Montana registriert
9	Juni 2.	14. 26	**Aarmassiv** Haslital IV, Grindelwald IV (vgl. Tab. II, Nr. 33, Tafel 2)	IV	20	4	—	Z, Ch, N, B	Erschütterung, besonders in der Talsohle gut spürbar
10	„ 8.	2. 15	**Belfaux-La Sonnaz** (Kt. Freiburg) (vgl. Tab. II, Nr. 37, Tafel 1)	IV	10	3	—	N, B, Z	Deutliche Erschütterung
11	„ 24.	13. 07	**Mittelwallis** Montana V, Leukerbad IV, Chippis IV, Sierre IV (vgl. Tab. II, Nr. 42, Tafel 5)	V	10	5	—	N, Z, Ch	Scharfer Stoß, Krachen im Gebälk; registriert auf dem Barogramm der Met. Station Montana
12	Aug. 9.	00. 02	**Mittelwallis** Sitten lokal III (vgl. Tab. II, Nr. 49, Tafel 6)	III	—	2	—	N, Z	Leichter Stoß
13	„ 12.	22. 40	**Berner Jura** Bellelay V, Delémont IV, Saignelégier IV, Moutier IV (vgl. Tab. II, Nr. 51, Tafel 5)	V	50	7	12	N, Z, Ch	Erschütterung auch im Freien verspürt
14	„ 21.	7. 46	**Kt. Glarus** zwischen Glarus und Weesen V, Wägital V, March IV, Wallenstadt III (vgl. Tab. II, Nr. 53, Tafel 3)	V	30	12	—	Z, Ch, N, B	Vertikalstoß in Glarus und Weesen; Leute gehen ins Freie, um nachzusehen
15	„ 23.	22. 17	**Berner Jura** Nachstoß zu Nr. 13, Bellelay V, Laufenburg III (vgl. Tab. II, Nr. 54, Tafel 5)	V	60	6	10	N, B, Z, Ch	Erschütterung auch im Erdgeschoß beobachtet

Nr.	Datum	MEZ 0-24 h	Epizentralgebiet (gesperrt gedruckt) und erschütterte Gebiete	Grad Forel-Rossi	Grösste Ausdehnung	Zahl d. pos. Meldungen	Zahl d. neg. Meldungen	Registriert in	Bemerkungen über Charakter, Zahl der Stöße und Wirkungen
	1953	h m			km				
16	Aug. 27.	1.31	**Mittelwallis** Sitten IV, Adelboden III (vgl. Tab. II, Nr. 58, Tafel 3)	IV	30	3		N,B,Z,Ch	Erdstoß
17	„ 27.	1.45-2	**Mittelwallis** Sitten lokal III (vgl. Tafel 4)	III		2		—	Leichtes Beben
18	„ 27.	2.47	**Mittelwallis** Sitten lokal IV (vgl. Tab. I, Nr. 60, Tafel 4)	IV	—	2	—	N, B, Z	Leichtes Beben S–N
19	„ 27.	22.47	**Mittelwallis** Montana IV, Sierre IV, Chippis IV, Adelboden IV, Leuk IV (vgl. Tab. II, Nr. 62, Tafel 3)	IV	20	5	-	N, B, Z, Ch	Schaukeln, Krachen in den Wänden
20	Sept. 27.	15.53	**Evolène, Val d'Hérens** lokal IV (vgl. Tab. II, Nr. 68, Tafel 1)	IV		1		Z	Leichter Stoß
21	„ 30.	11.59	**Albula?** Engadin IV, Oberhalbstein IV, Albula III–IV, Splügen III, Prätigau III (vgl. Tab. II, Nr. 69, Tafel 6)	?	60	26	—	Ch, Z, B, N	Schaukeln, Krachen in den Wänden
22	Nov. 1.	20.20	**Eglisau lokal V** (vgl. Tab. II, Nr. 75, Tafel 2)	V		2	—	Z	Vertikalstoß mit Knall, in obern Stockwerken wie Fall schwerer Gewichte; Leute öffnen die Fenster, um nachzusehen
			Erdbebenschwarm im Val d'Illiez						
23	Okt. 12.	3.20	Play (Tafel 5)	IV	1	—	—	—	Stoß mit Vibrationen der Häuser
24	„ 13.	11.10	Play (Tafel 5)	III	1	—	—	—	Leichter Stoß
25	„ 13.	11.52	Play (Tafel 5)	III	1	-	-	—	Leichter Stoß
26	„ 14.	0.45	Play (Tafel 5)	IV	1	—	—	-	Stoß mit nachfolgenden Vibrationen
27	„ 14.	2.20	Play (Tafel 5)	IV	1	—	—	--	Stoß mit nachfolgenden Vibrationen
28	„ 14.	5.44-6	Play (Tafel 5)	—	1	--	-	—	Drei aufeinanderfolgende Detonationen
29	„ 14.	11.55	Play (Tafel 5)	—	1	--	--	—	Detonation
30	„ 14.	17.18	Play (Tafel 5)	III	1	—	—	—	Leichter Stoß
31	„ 14.	18.43	Play (Tafel 5)	III	1	—	—	—	Leichter Stoß
32	„ 17.	?	Buchelieulaz (Tafel 5)	V	1	—		--	Starker Vertikalstoß
33	Nov. 2.	5.00	Buchelieulaz (Tafel 5)	III	1	—	—	—	Leichter Stoß
34	„ 2.	7.15	Buchelieulaz (Tafel 5)	III	1	—	—	--	Leichter Stoß
35	„ 7.	15.00	Buchelieulaz (Tafel 5)	V	1	—	—		Starker Vertikalstoß
36	„ 19.	15.55	Buchelieulaz (Tafel 5)	V	1	-	—	—	Starker Vertikalstoß mit Schaukeln E–W
37	Dez. 1.	19.30	Buchelieulaz (Tab. II, Nr. 89, Tafel 5)	V	1	—	—	N, B, Z	Starker Vertikalstoß mit Schaukeln E–W
38	„ 2.	6.41	Buchelieulaz (Tab. II, Nr. 90, Tafel 5)	V	1	-	--	N, B, Z	Stoß
39	„ 3.	10.00	Buchelieulaz (Tafel 5)	III	1	—		—	Leichter Vertikalstoß
40	„ 16.	6.40	Buchelieulaz (Tafel 5)	V	1	—	-	--	Starker Vertikalstoß
41	„ 31.	1.20	Buchelieulaz (Tafel 5)	V	1	-		—	Starker Vertikalstoß
	1954								
42	Jan. 1.	21.57	Buchelieulaz (Tafel 5)	V	1	—	—	--	Starker Vertikalstoß; das ganze Elektrizitätswerk vibriert!
43	„ 6.	10.20	Play (Tafel 5)	IV	1	—		Z?	Starker Stoß
44	„ 31.	22.35	Buchelieulaz (Tafel 5)	III	1	-	-	-	Leichter Stoß
45	Febr. 4.	23.00	Buchelieulaz (Tafel 5)	V	1	-	--	—	Starker Vertikalstoß; das ganze Elektrizitätswerk erschüttert

Tabelle II. In der Schweiz 1953 registrierte Nahebeben

Mittlere Zeit Greenwich;

Station	Meereshöhe	Lage	Untergrund
Erdbebenwarte Zürich (Z);	604 m;	Breite: 47° 22′ 7.2″ N; Länge: 8° 34′ 49.5″ E;	Molassesandstein u. Mergel, wechsellagernd.
Erdbebenwarte Chur (Ch);	630 m;	Breite: 46° 50′ 59.5″ N; Länge: 9° 32′ 12.1″ E;	Bündnerschiefer der penninischen Decke.
Observatoire Neuchâtel (N);	487 m;	Breite: 46° 59′ 50.6″ N; Länge: 6° 57′ 26.2″ E;	Gewachsener Kalkfels.
Erdbebenwarte Basel (B);	309 m;	Breite: 47° 32′ 24″ N; Länge: 7° 34′ 58.5″ E;	Nagelfluhschichten.

Nr.	Datum	Station	Epizentralentfernung nach S–P	Max. Amplitude	Ungefähre Dauer der Registr.	Phasen, Bemerkungen Wo nichts weiteres bemerkt ist, beziehen sich die Ablesungen auf die Apparate Quervain-Piccard der Stationen Zürich, Chur, Neuchâtel und Basel.
	1953		km	μ	Min.	
1	Jan. 8.	B	370	—	3.0	ePn 09 h 03 m 21.6 s eSg 09 h 04 m 17.0 s
		Z	370	0.5	3.0	ePn 09 h 03 m 22.4 s e 09 h 04 m 10,7 s eSg 09 h 04 m 17.7 s Vermutlich Westalpen (Meeralpen)?
2	” 19.	N	88		2.0	iPg 04 h 18 m 54.6 s i 04 h 18 m 57.6 s iSg 04 h 19 m 05.1 s i 04 h 19 m 09.1 s
		B	—	—	2.0	ePb 04 h 19 m 02.4 s ePg 04 h 19 m 04.0 s eSg? 04 h 19 m 25.1 s
		Z	145	4.0	2.0	ePb 04 h 19 m 03.1 s Dilat. iPg 04 h 19 m 04.3 s Dilat. eSb 04 h 19 m 19.1 s Mittelwallis (Tab. I, Nr. 1) [eSg 04 h 19 m 21.5 s
3	” 20.	Z	210	0.3	1.0	ePg 04 h 32 m 13.3 s eSg 04 h 32 m 38.0 s
		B	—	—	1.0	ePg 04 h 32 m 15.0 s e 04 h 32 m 34.0 s
4	” 20.	B	28	—	0.5	ePg 18 h 15 m 01.6 s iSg 18 h 15 m 05.0 s
		Z	75	5.0	0.5	ePg 18 h 15 m 08.7 s iSg 18 h 15 m 17.3 s Vermutlich südlicher Schwarzwald? Evtl. Sprengung bei Istein?
5	” 24.	B	144	—	1.0	ePg 13 h 13 m 58.1 s eSg 13 h 14 m 15.0 s
		N	185		1.0	iPg 13 h 14 m 05.4 s iSg 13 h 14 m 26.9 s
		Z	193?	0.5	1.0	ePg? 13 h 14 m 08.0 s eSg 13 h 14 m 30.9 s Nach diesen Daten Gebiet östlich von Nancy; nach Strasbourg 0 = 13 h 13 m 32.0 s, 49.4° N 7.0° E
6	” 25.	Z		0.3	1.5	ePg? 01 h 09 m 27.6 s eSg? 01 h 10 m 15.4 s schwach
7	” 30.	B		—	1.0	e 06 h 26 m 58.0 s e 06 h 27 m 20.0 s Spuren!
8	” 31.	Ch	230	—	1.0	ePg 21 h 47 m 23.9 s eSg 21 h 47 m 51.3 s
		Z	-	0.2	0.5	eSg 21 h 48 m 05.6 s
		B		—	1.0	eSg 21 h 48 m 37.5 s
9	Febr. 4.	Z	—	0.2	1.0	ez 15 h 19 m 05.6 s eSg 15 h 19 m 48.4 s
10	„ 13.	Ch	—	—	—	ePn 16 h 30 m 29.9 s; gestört durch Bogenwechsel
		Z	390	0.5	2.0	ePg 16 h 30 m 47.7 s eSg 16 h 31 m 33.7 s
		B	455	—	2.0	ePg 16 h 31 m 00.2 s eSg 16 h 31 m 54.0 s Rom 44° 21.8′ N 11° 31.5′ E, 0 = 16 h 29 m 45.0 s
11	„ 13.	Z	405	0.5	2.0	ePg 16 h 35 m 13.8 s e 16 h 35 m 56.5 h eSg 16 h 36 m 01.7 s
		B	445	—	2.0	ePg 16 h 35 m 23.4 s eSg 16 h 36 m 16.0 s
		N	—	—	2.0	ePg 16 h 35 m 30.9 s eL 16 h 36 m 39.0 s Nachstoß zu Nr. 10
12	„ 18.	N	90	—	1.0	ePg 8 h 07 m 28.4 s e 8 h 07 m 31.0 s eSg 8 h 07 m 39.0 s e 8 h 07 m 43.0 s
		Z	138	1.0	1.0	ePb 8 h 07 m 38.5 s iPg 8 h 07 m 40.4 s Dilat. eSg 8 h 07 m 58.4
		B	135?	—	1.0	ePg 8 h 07 m 38.6 s eSg? 8 h 07 m 56.0 s Mittelwallis (Tab. I, Nr. 2)
13	„ 22.	Z	410–420	65.0	10.0	ePn 20 h 17 m 14.0 s ePg 20 h 17 m 28.7 s e 20 h 18 m 06.6 s eSg 20 h 18 m 16.6 s
		B	420	—	15.0	ePn? 20 h 17 m 18.5 s ePg? 20 h 17 m 30.0 s eSg 20 h 18 m 20.0 s
		Ch	450	—	15.0	ePn 20 h 17 m 20.8 s ePg 20 h 17 m 37.1 s eSg? 20 h 18 m 39.8 s
		N	500	—	30.0	ePn 20 h 17 m 26.6 s ePg 20 h 17 m 42.0 s eSg 20 h 18 m 40.0 s Oberes Werratal, nach Stuttgart 0 = 20 h 16 m 19.0 s 50° 53′ N, 10° 01′ E
14	„ 22.	Z	410–420	10.0	6.0	ePn 20 h 35 m 32.2 s ePg 20 h 35 m 45.1 s eSn? 20 h 36 m 24.6 s
		B	420–430	—	10.0	ePn 20 h 35 m 34.3 s eSg 20 h 36 m 25.0 s e 20 h 36 m 46.0 s
		Ch	450?	—	6.0	ePn? 20 h 35 m 37.0 s eSg? 20 h 36 m 51.8 s
		N	490?	—	10.0	ePn? 20 h 35 m 43.8 s eSg 20 h 37 m 00.0 s Nachstoß zu Nr. 13
15	„ 27.	Z	—	0.5	4.0	eSg? 00 h 16 m 13.2 s
		B	—	—	2.0	e 00 h 17 m 06.2 s e 00 h 18 m 13.0 s Nach B. I. in der Provinz Perugia gespürt!

Bemerkung: Die Buchstabengruppen B. I., bzw. J. S. A. und U. S. C. G. S. sind gebräuchliche Abkürzungen für Bureau International, bzw. Jesuit Seismological Association und United States Coast and Geodetic Survey.

Tabelle II (Fortsetzung)

Nr.	Datum	Station	Epizentralentfernung nach 8-P	Max. Amplitude	Ungefähre Dauer der Registr.	Phasen. Bemerkungen
	1953		km	μ	Min.	
16	Febr. 27.	Z	—	0.5	3.0	eSg? 07 h 29 m 54.1 s Nachstoß zu Nr. 15
17	März 1.	B	110?	—	0.5	ePg? 04 h 00 m 27.1 s iSg 04 h 00 m 40.0 s
		Z	138	0.5	1.0	ePg 04 h 00 m 32.3 s iSg 04 h 00 m 48.3 s schwach! Keine makr. Meldungen; vermutlich südlich von Freiburg?
18	" 3.	Z	—	0.2	0.2	iSg 7 h 28 m 21.0 s Wallis (vgl. Tab. I, Nr. 5)
19	" 21.	Ch	770?	—	10.0	ePn? 19 h 36 m 55.3 s ePn 19 h 36 m 56.7 s Dilat. eSn? 19 h 38 m 17.8 s
		Z	830?	7.0	10.0	ePn 19 h 37 m 02.3 s ePg? 19 h 37 m 27.8 s eSn? 19 h 38 m 29.2 s
		B	—	—	15.0	ePn? 19 h 37 m 14.5 s Min'-Lücke eSn? 19 h 38 m 59.0 s e 19 h 39 m 41.0 s
		N	—	—	15.0	ePn 19 h 37 m 16.5 s eL 19 h 40 m 52.0 s B. I. 0 = 19 h 35 m 20.0 s; 45° 15′ N 17° 45′ E
20	" 26.	B	300?	—	2.0	ePg? 23 h 16 m 38.0 s eSg 23 h 17 m 13.0 s
		Z	—	0.7	1.0	eSg 23 h 16 m 47.1 s B. I. 0 23 h 15 m 42.0 s; 47.1 N 11.8 E
21	April 3.	Z	130	0.3	0.5	ePg 2 h 36 m 38.2 s eSg 2 h 36 m 53.4 s
		B	—	—	0.5	e 2 h 37 m 17.2 s Keine makr. Meldungen!
22	" 3.	N	—	—	1.0	e 18 h 50 m 49.5 s i 18 h 50 m 56.6 s i 18 h 51 m 00.6 s
		B	—	—	1.0	ePg 18 h 50 m 55.5 s eSg? 18 h 51 m 17.0 s
		Z	—	0.5	1.0	ePb? 18 h 50 m 56.4 s ePg? 18 h 50 m 57.5 s eSg? 18 h 51 m 16.6 s Nach Habitus Mittelwallis; keine makr. Meldungen!
23	" 6	Ch	35	—	0 5	ePg 20 h 11 m 59.5 s iSg 20 h 12 m 03.8 s (Tab. I, Nr. 6)
24	" 7.	Ch	8	—	0.3	iPg 15 h 22 m 56.7 s iSg 15 h 22 m 57.7 s Keine makr. Meldungen!
25	" 7.	N	—	—	0.1	iPg 16 h 08 m 43.2 s iSg 16 h 08 m 43.5 s fraglich! Keine makr. Meldungen!
26	Mai 2.	B	60	—	1.0	ePg 9 h 38 m 59.0 s eSg 9 h 39 m 06.0 s
27	" 2.	Ch	540	—	6.0	ePn 12 h 38 m 44.2 s e 12 h 39 m 38.0 s eSg 12 h 40 m 07.7 s
		Z	620	8.0	6.0	ePn 12 h 38 m 49.7 s Dilat. e 12 h 39 m 51.0 s eSg? 12 h 40 m 16.8 s
		N	740	—	10.0	ePn? 12 h 39 m 05.4 s eSg 12 h 41 m 05.0 s [iSg 12 h 40 m 26.0 s
		B	—	—	10.0	e 12 h 39 m 25.3 s eSg 12 h 40 m 44.0 s e 12 h 40 m 52.0 s Regelsbrunn V; B. I. 0 = 12 h 37 m 27.0 s 48.1° N 16.8° E
28	" 2.	Ch	410?	—	3.0	ePn? 19 h 08 m 26.8 s eSg 19 h 09 m 23.6 s
		Z	510?	1.5	2.5	ePn? 19 h 08 m 47.3 s ePg? 19 h 09 m 10.1 s eSn 19 h 09 m 42.6 s
		B	580?	—	3.0	ePn? 19 h 09 m 01.6 s eSn 19 h 10 m 02.0 s B. I. 0 = 19 h 07 m 23.0 s; 45.5° N 14.5° E; Gebiet von Fiume
29	" 4.	Ch	170	—	2.0	iPg 6 h 19 m 09.8 s eSg 6 h 19 m 30.3 s
		Z	220	1.0	1.0	ePg 6 h 19 m 18.3 s eSg? 6 h 19 m 44.1 s Min'-Lücke
		B	—	—	1.0	eSg 6 h 20 m 08.4 s e 6 h 20 m 15.0 s Nach Wien im Gebiet von Hall (Tirol) verspürt!
30	" 5.	N	86	—	0.5	iPg 1 h 25 m 12.8 s i 1 h 25 m 15.9 s eSg 1 h 25 m 23.0 s i 1 h 25 m 27.2 s
		B	140	—	1.0	ePb 1 h 25 m 22.6 s ePg 1 h 25 m 24.0 s eSb 1 h 25 m 42.0 s eSg 1 h 25 m 44 0 s
		Z	145	3 5	2.0	ePb 1 h 25 m 25.4 s iPg 1 h 25 m 26.4 s eSg 1 h 25 m 46.0 s
		Ch	160–170	—	1.0	ePg 1 h 25 m 25.2 s e 1 h 25 m 32.3 s eSg 1 h 25 m 55.0 s Mittelwallis (vgl. Tab. 1 Nr. 7)
31	" 21.	N	–		1.0	iPg 17 h 40 m 26.3 s e 17 h 40 m 33.0 s
		Z	140	0.5	1.0	ePb 17 h 40 m 33.9 s iPg 17 h 40 m 34.7 s iSg 17 h 40 m 53.2 s Mittelwallis (vgl. Tab. I Nr. 8)
32	" 21.	Z	—	0.5	4.0	ePn? 19 h 40 m 04.9 s eSn 19 h 40 m 52.5 s schwach
		B	—	—	5.0	e 19 h 41 m 41.9 s Marche Italien!
33	Juni 2.	Z	93	10.0	1.0	iPg 13 h 26 m 43.7 s Compr. eSg? 13 h 26 m 54.6 s Min'-Lücke i 13 h 26 m 58.5 s
		Ch	100	—	1.0	iPg 13 h 26 m 45.7 s eSg 13 h 26 m 57.4 s
		N	108	—	1.0	iPg 13 h 26 m 48.3 s i 13 h 26 m 49.8 s iSg 13 h 27 m 01.0 s i 13 h 27 m 04.0 s
		B	128	—	1.0	ePg 13 h 26 m 48.9 s eSg 13 h 27 m 04.0 s Aarmassiv etwa 46° 34′ N 8° 15′ E (vgl. Tab. I Nr. 9)

Tabelle II (Fortsetzung)

Nr.	Datum	Station	Epizentral-Entfernung nach S-P	Max. Amplitude	Ungefähre Dauer der Registr.	Phasen, Bemerkungen
	1953		km	μ	Min.	
34	Juni 6.	Z	285?	0.5	1.0	ePg? 10 h 02 m 07.6 s eSg 10 h 02 m 41.0 s
		B	—	—	1.0	eSg 10 h 02 m 34.8 s
						B. I. 0 = 10 h 01 m 25.0 s; südl. v. Nürnberg?
35	„ 7.	B	—	—	1.0	e 20 h 49 m 58.5 s e 20 h 50 m 37.0 s Spuren!
36	„ 8.	N	25	—	0.5	iPg 00 h 33 m 34.5 s iSg 00 h 33 m 37.5 s
		Z	—	0.2	0.3	eSg? 00 h 34 m 06.2 s
						Vorbeben zu Nr. 37
37	„ 8.	N	27	—	1.0	iPg 1 h 15 m 23.1 s iSg 1 h 15 m 26.5 s Azimut 135
		B	76	—	1.0	ePg 1 h 15 m 34.1 s eSg 1 h 15 m 43.0 s
		Z	123	—	1.0	ePg? 1 h 15 m 40.9 s eSg 1 h 15 m 55.2 s
						Kt. Freiburg etwa 46° 51′ N 7° 9′ E (vgl. Tab. I, Nr. 10)
38	„ 8.	Z	225	1.0	2.0	ePg? 20 h 40 m 45.0 s eSg 20 h 41 m 11.6 s
		B	—	—	2.0	e 20 h 40 m 55.0 s eSg 20 h 41 m 36.0 s
						Wahrscheinlich Norditalien?
39	„ 10.	Ch	166	—	1.0	ePb 22 h 16 m 17.2 s Dilat. iPg 22 h 16 m 20.0 s Dilat. eSg 22 h 16 m 40.3 s
		Z	230	1.0	1.0	iPg 22 h 16 m 28.1 s eSg 22 h 16 m 55.2 s
		B	300?	—	2.0	ePg? 22 h 16 m 45.5 s e 22 h 17 m 17.0 s eSg 22 h 17 m 21.0 s
						Nach B. I. 0 = 22 h 15 m 50.0 s 47.3° N 11.6° E; im Geb. von Innsbruck versp.
40	„ 11.	B	—	—	2.0	e 00 h 23 m 53.4 s e 00 h 24 m 31.0 s
		Z	—	0.2	2.0	e 00 h 24 m 14.3 s Spuren!
						B. I. 0 = 00 h 22 m 22.0 s 50.5° N 3.9° E gespürt in Boussot (Hainaut)
41	„ 11.	Ch	—	—	0.3	ePg 10 h 22 m 14.3 s e 10 h 22 m 26.0 s
		Z	100	1.0	1.0	ePg 10 h 22 m 21.3 s i 10 h 22 m 23.5 s eSg 10 h 22 m 33.1 s
		B	175	—	1.0	ePg 10 h 22 m 34.4 s eSg 10 h 22 m 55.0 s
						Wahrscheinlich Bregenzer Wald, Vorarlberg?
42	„ 24.	N	92	—	1.0	ePg 12 h 07 m 21.1 s i 12 h 07 m 23.8 s iSg 12 h 07 m 32.2 s i 12 h 07 m 36.2 s
		Z	150	3.0	1.5	ePb 12 h 07 m 30.0 s ePg 12 h 07 m 31.7 s eSg 12 h 07 m 49.9 s
		Ch	175	—	1.5	ePg 12 h 07 m 33.8 s eSg 12 h 07 m 54.8 s
						Mittelwallis (vgl. Tab. I Nr. 11)
43	Juli 7.	B	—	—	2.0	e 9 h 45 m 09.7 s eSg 9 h 45 m 37.0 s Spuren!
44	„ 8.	Z	90?	0.5	0.5	ePg? 2 h 49 m 04.4 s e 2 h 49 m 07.0 s iSg 2 h 49 m 15.1 s i 2 h 49 m 19.4 s
						Keine makr. Meldungen!
—	„ 9.	Ch	—	—	0.5	iPg 11 h 14 m 58.1 s
		Z	120?	0.1	0.5	ePg? 11 h 15 m 15.4 s eSg? 11 h 15 m 32.6 s
						Sprengung in Marmorera, Kt. Graubünden!
45	„ 11.	Z	108	1.0	0.4	ePg 23 h 39 m 10.9 s eSg 23 h 39 m 23.7 s e 23 h 39 m 24.6 s
		B	138	—	0.4	ePg 23 h 39 m 16.7 s eSg 23 h 39 m 33.0 s
						Nach Stuttgart Schwäbische Alb IV
46	„ 19.	Z	900?	0.2	4.0	ePn 18 h 48 m 39.6 s e 18 h 48 m 55.5 s eSn? 18 h 50 m 15.6 s
		B	—	—	5.0	e 18 h 50 m 31.0 s
						Roma: San Giovanni Rotondo, Provinz Foggia V—VI
47	„ 25.	Z	350	4.5	3.0	ePn 1 h 35 m 46.0 s ePg? 1 h 35 m 51.6 s eSg 1 h 36 m 37.9 s
		N	470	—	5.0	ePn 1 h 35 m 58.7 s eSg 1 h 37 m 12.0 s
						Friaul; nach Roma 0 = 1 h 34 m 50.0 s 46.5° N 13.1° E Arta V, Paularo IV
48	„ 30.	Z	—	0.5	2.0	ez 11 h 55 m 15.3 Dilat.
						Roma: 0 = 11 h 52 m 54.3 s 40° N 17.2′ E
49	Aug. 8.	N	85	—	1.0	ePg 23 h 02 m 40.1 s iSg 23 h 02 m 50.0 s
		Z	150	2.0	1.0	ePb 23 h 02 m 51.7 s ePg 23 h 02 m 53.0 s eSb 23 h 03 m 10.8 s eSg 23 h 03 m 12.5 s
						Mittelwallis (vgl. Tab. I Nr. 12)
50	„ 12.	N	—	—	1.0	ePg 10 h 03 m 04.9 s der vorausgehenden Registrierung überlagert!
		Z	185?	2.5	2.0	ePg? 10 h 03 m 19.2 s eSg? 10 h 03 m 41.1 s Min'-Lücke
						Roma: 0 = 10 h 02 m 45.0 s 45° 50′ N 7° 24′ E im Val d'Aosta verspürt!
51	„ 12.	N	40	—	4.0	iPg 21 h 40 m 03.6 s iSg 21 h 40 m 08.5 s Az. 30
		Z	117	25.0	2.0	ePb? 21 h 40 m 15.4 s iPg 21 h 40 m 16.0 s eSg 21 h 40 m 29.7 s
		Ch	180	—	2.0	ePg 21 h 40 m 30.4 s Dilat. eSg 21 h 40 m 51.8 s
						Jura (Kt. Bern) 47° 17′ N 7° 10′ E 0 = 21 h 39 m 56.6 s (vgl. Tab. I, Nr. 13)

Tabelle II (Fortsetzung)

Nr.	Datum	Station	Epizentral-Entfernung nach S-P	Max. Amplitude	Ungefähre Dauer der Registr.	Phasen, Bemerkungen
	1953		km	μ	Min.	
52	Aug. 17.	Ch	260?	—	2.0	ePg? 7 h 10 m 17.9 s eSg 7 h 10 m 48.3 s
		Z	365?	1.0	2.0	ePg? 7 h 10 m 41.0 s Compr. eSg 7 h 10 m 23.9 s e 7 h 10 m 26.0 s B. I. 0 = 7 h 09 m 06.0 s 44¼° N 10½° E
53	„ 21.	Ch	42	—	1.0	iPg 6 h 46 m 27.8 s Compr. iSg 6 h 46 m 32.8 s
		Z	55	20	2.0	iPg 6 h 46 m 28.9 s Dilat. i 6 h 46 m 27.6 s iSg 6 h 46 m 35.4 s Az. SE
		B	133	—	2.0	ePg 6 h 46 m 41.2 s Dilat. eSg 6 h 46 m 57.0 s
		N	163	—	2.0	ePn 6 h 46 m 46.7 s ePg 6 h 46 m 48.6 s iSg 6 h 47 m 08.0 s Kt. Glarus etwa 47° 3′ N 9° 7′ E, h $\leq$ 10 km, 0 = 6 h 46 m 20.0 s (vgl. Tab. 1, Nr. 14)
54	„ 23.	N	40	—	2.0	iPg 21 h 17 m 02.1 s iSg 21 h 17 m 06.9 s Az. 30°
		B	48	—	2.0	ePg 21 h 17 m 03.3 s iSg 21 h 17 m 09.9 s
		Z	110	10	2.0	ePb 21 h 17 m 13.2 s iPg 21 h 17 m 14.3 s eSg 21 h 17 m 27.2 s
		Ch	185	—	1.5	ePg 21 h 17 m 27.8 s iSg 21 h 17 m 49.8 s Jura (Kt. Bern) etwa 47° 17′ N 7° 10′ E, h $\leq$ 20 km 0 = 21 h 16 m 55,0 s (vgl. Tab. 1, Nr. 15)
55	„ 25.	Z	138?	1.0	0.5	ePg? 00 h 56 m 19.5 s e 00 h 56 m 32.8 s iSg 00 h 56 m 35.8 s
		B	145	—	0,5	ePg 00 h 56 m 22.8 s eSg 00 h 56 m 40.0 s Vermutlich Oberwallis; Gebiet südl. Visp. Keine makroseismischen Meldungen!
56	„ 25.	Z	—	0.5	0.5	eSg 2 h 55 m 33.0 s schwach! Vermutlich Nachstoß zu Nr. 55; keine makroseismischen Meldungen
57	„ 25.	Ch	150	—	1.0	ePg 06 h 42 m 21.1 s eSg 06 h 42 m 38.9 s
		Z	—	0.2	1.0	eSg 06 h 42 m 54.5 s
58	„ 27.	N	86	—	2.0	ePg 00 h 31 m 09.5 s i 00 h 31 m 30.0 s iSg 00 h 31 m 20.0 s
		B	138	—	2.0	ePg 00 h 31 m 18.6 s eSg 00 h 31 m 35.0 s
		Z	150	2.0	2.0	ePb 00 h 31 m 19.7 s ePg 00 h 31 m 20.9 s eSg 00 h 31 m 38.8 s
		Ch	—	—	1.0	ePg 00 h 31 m 26.0 s e 00 h 31 m 44.0 s Mittelwallis (vgl. Tab. I Nr. 16)
59	„ 27.	N	26?	—	0.5	iPg 01 h 19 m 56.6 s iSg 01 h 19 m 59.9 s
		Z	—	—	—	Evtl. schwache Spuren? Keine makroseismischen Meldungen.
60	„ 27.	N	86	—	1.0	iPg 01 h 47 m 11.5 s eSg 01 h 47 m 22.0 s e 01 h 47 m 34.0 s
		B	135	—	1.0	ePg 01 h 47 m 22.1 s eSg 01 h 47 m 38.0 s
		Z	150	1.0	1.0	ePg 01 h 47 m 22.6 s eSg 01 h 47 m 40.3 s
		Ch	—	—	0.8	ePg 01 h 47 m 27.7 s e 01 h 47 m 45.0 s Mittelwallis (Tab. I, Nr. 18)
61	„ 27.	Z	124?	0.5	0.5	ePg? 07 h 13 m 30.2 s eSg 07 h 13 m 44.8 s schwach Keine makroseismischen Meldungen!
62	„ 27.	N	85	—	1.0	ePg 21 h 47 m 00.3 s eSg 21 h 47 m 10.0 s
		Z	150?	1.5	1.0	ePg? 21 h 47 m 11.0 s Min'-Lücke eSg 21 h 47 m 29.8 s
		B	128?	—	2.0	ePg? 21 h 47 m 11.1 s eSg? 21 h 47 m 26.0 s Mittelwallis (Tab. I, Nr. 19)
63	„ 29.	Z	185?	0.5	1.0	ePg? 09 h 59 m 48.0 s eSg 10 h 00 m 09.8 s
		B	—	—	1.0	e 10 h 00 m 35.1 s
64	Sept. 1.	Z	1050?	0.5	6.0	eP 06 h 11 m 33.7 s eS 06 h 13 m 20.0 s
65	„ 10.	B	—	—	1.0	ez 09 h 43 m 20.7 s eSg? 09 h 43 m 41.0 s
66	„ 13.	Ch	580	—	3.0	ePn 08 h 03 m 10.3 s eSn 08 h 04 m 11.8 s
		Z	—	1.0	3.0	ePn 08 h 03 m 21.1 s e 08 h 04 m 20.6 s
		B	—	—	4.0	e 08 h 04 m 12.0 s e 08 h 05 m 44.0 s Gebiet des Plattensees (Ungarn)
67	„ 15.	Z	—	0.5	0.4	e 16 h 13 m 09.4 s e 16 h 13 m 11.3 s Spuren
68	„ 27.	Z	—	0.5	0.5	ePg? 14 h 53 m 06.9 s iSg 14 h 53 m 21.2 s schwach! Evolène, Wallis (Tab. I, Nr. 20)
69	„ 30.	Ch	35	—	1.0	iPg 10 h 59 m 13.2 s eSg? 10 h 59 m 17.3 s
		Z	130	3.0	1.5	ePg 10 h 59 m 28.8 s z 10 h 59 m 30.7 s eSg 10 h 59 m 44.5 s i 10 h 59 m 47.9 s
		B	195	—	2.0	ePg 10 h 59 m 42.8 s eSg 11 h 00 m 06.0 s
		N	220	—	2.0	iPg 10 h 59 m 45.6 s eSg 11 h 00 m 11.4 s Albula (Kt. Graubünden) etwa 46° 36′ N 9° 50′ E (Tab. I, Nr. 21)

Tabelle II (Fortsetzung)

Nr.	Datum	Station	Epizentral-entfernung nach S–P	Max. Ampli-tude	Ungefähre Dauer der Registr.	Phasen, Bemerkungen
	1953		km	η	Min.	
70	Okt. 1.	Ch	500	—	4.0	ePn 18 h 28 m 09.9 s ePn 18 h 29 m 04.5 s
		Z	555	8.0	6.0	ePn 18 h 28 m 19.0 s eSn 18 h 29 m 19.9 s
		B	—	—	6.0	ePn 18 h 28 m 28.8 s eL 18 h 29 m 59.0 s
		N	—	—	10.0	ePn 18 h 28 m 35.1 s eL 18 h 30 m 17.0 s
						Nach B. I. 46.0° N 15.3° E 0 = 18 h 27 m 06.0 s
71	„ 13.	N	—	—	10.0	ePn? 09 h 47 m 27.2 s eL 09 h 48 m 58.0 s
		B	—	—	10.0	ePn 09 h 47 m 55.0 s
		Z	800?	3.5	5.0	ePn Compr. 09 h 48 m 02.3 s eSn? 09 h 49 m 28.0 s
						B. I. 43.0° N 0,5° E 0 = 9 h 45 m 40.0 s Argelès VII, Bagnères VII, Héches VII
72	„ 13.	Ch	—	—	7.0	ePn 14 h 16 m 17.2 s e 14 h 17 m 37.3 s
		N	—	—	10.0	ePn? 14 h 16 m 38.9 s e 14 h 18 m 11.0 s
		Z	—	5.0	6.0	ePn? 14 h 16 m 39.0 s Min'-Lücke e 14 h 17 m 57.8 s e 14 h 18 m 03.0 s
		B	—	—	3.0	e 14 h 17 m 15.0 s e 14 h 18 m 22.0 s
						B. I. 42.8° N 17° E 0 = 14 h 14 m 33.0 s
73	„ 18	Z	23	9.0	0.5	iPg 16 h 14 m 24.0 s iSg 16 h 14 m 26. 7 s Az.350
		B	63	—	1.0	ePg 16 h 14 m 34.6 s eSg 16 h 14 m 42.0 s
		N	136	—	1.0	ePg 16 h 14 m 43.6 s iSg 16 h 14 m 59.7 s
						Eglisau (Kt. Zürich), etwa 47° 36′ N 8° 30′ E; keine makr. Beobachtungen!
74	„ 24.	B	—	—	3.0	e 11 h 29 m 00.3 s Spuren!
75	Nov. 1.	Z	25	0.3	0.5	ePg? 19 h 20 m 38.5 s ePg 19 h 20 m 41.5 s schwach
						Eglisau (Kt. Zürich) (Tab. I Nr. 22)
76	„ 9.	Z	14	0.5	0.3	ePg 16 h 10 m 20.0 s eSg 16 h 10 m 21.6 s i 16 h 10 m 24.6 s
						Keine makroseismischen Beobachtungen!
77	„ 11.	Z	—	0.3	0.3	eSg 13 h 02 m 01.3 s schwach
78	„ 11.	Z	—	0.3	0.2	eSg 14 h 36 m 45.1 s schwach
79	„ 11.	Z	—	0.2	0.2	eSg 15 h 11 m 00.0 s schwach
80	„ 11.	Z	—	0.2	0.2	eSg 15 h 12 m 01.2 s schwach
						Keine makroseismischen Meldungen!
81	„ 18.	Ch	490?	—	3.0	ePn 04 h 33 m 09.2 s eSg? 04 h 34 m 24.7 s
		Z	600?	2.0	3.0	ePn 04 h 33 m 14.9 s Dilat. eSg? 04 h 34 m 49.1 s
		B	720?	—	3.0	ePn 04 h 33 m 25.3 s eSg? 04 h 35 m 21.0 s
						B. I. 45° N 15.5° E, 0 = 04 h 31 m 57.0 s
82	„ 18.	Ch	—	—	3.0	ePn 10 h 14 m 52.7 s eSn? 10 h 16 m 18.0 s
		Z	—	0.5	4.0	ez 10 h 15 m 21.1 s Spuren!
						Dalmatien; nach Beograd in Slano verspürt IV;
						B. I. 42.8° N 18° E 0 = 10 h 13 m 05.0 s
83	„ 18.	Z	14	0.3	0.3	ePg 14 h 15 m 12.6 s eSg 14 h 15 m 14.2 s
						Keine makroseismischen Beobachtungen!
84	„ 24.	Ch	133	—	1.0	ePg 08 h 40 m 14.7 s eSg 08 h 40 m 30.3 s
						Keine makroseismischen Beobachtungen!
85	„ 24.	Z	—	0.2	0.3	eSg 14 h 58 m 51.6 s schwach
86	„ 25.	Z	—	0.3	1.5	ez 17 h 42 m 11.2 s Spuren von Nahebeben!
		Ch	—	—	1.5	ez 17 h 42 m 12.2 s
87	„ 29.	B	—	—	3.0	e 05 h 53 m 33.3 s
		Z	186	0.4	1.0	ePg 05 h 53 m 34.2 s iz 05 h 53 m 35.2 s iSg 05 h 53 m 56.1 s
						Evtl. Unterwallis, Val d'Illiez?
88	„ 30.	B	—	—	2.0	e 04 h 09 m 07.3 s e 04 h 09 m 40.0 s
89	Dez. 1.	N	105	—	1.0	iPg 18 h 31 m 40.5 s i 18 h 31 m 42.8 s iSg 18 h 31 m 53.0 s
		B	176	—	1.5	ePg? 18 h 31 m 52.3 s Min'-Lücke eSg 18 h 32 m 13.0 s
		Z	206	2.0	2.0	ePn 18 h 31 m 54.1 s ePg 18 h 31 m 56.1 s eSg 18 h 32 m 20.4 s
		Ch	230	1.0	2.0	iPn 18 h 32 m 02.3 s ePg 18 h 32 m 03.7 s Dilat. i 18 h 32 m 05.7 s
						Südlich von Val d'Illiez (Tab. I. Nr. 37) [eSg 18 h 32 m 30.9 s

Tabelle II (Schluß)

Nr.	Datum	Station	Epizentral-entfernung nach S–P	Max. Amplitude	Ungefähre Dauer der Registr.	Phasen, Bemerkungen
	1953		km	μ	Min.	
90	Dez. 2.	N	105	—	1.0	ePg 05 h 41 m 07.0 s i 05 h 41 m 09.9 s iSg 05 h 41 m 19.6 s
		B	170	—	1.0	ePg 05 h 41 m 20.2 s eSg 05 h 41 m 40.0 s
		Z	203	1.0	1.0	ePn 05 h 41 m 21.9 s ePg 05 h 41 m 23.6 s iSg 05 h 41 m 47.5 s
		Ch	230	1.0	1.0	ePn? 05 h 41 m 29.5 s ePg 05 h 41 m 31.0 s Dilat. i 05 h 41 m 33.1 s Compr.
						Nachstoß zu Nr. 89 (Tab. I Nr. 38) [eSg 05 h 41 m 58.0 s
91	„ 1.	N	103	—	1.0	ePg 12 h 11 m 00.1 s e 12 h 11 m 02.0 s iSg 12 h 11 m 12.1 s e 12 h 11 m 15.0 s
		Z	—	0.5	2.0	ePb? 12 h 11 m 18.1 s ePg? 12 h 11 m 20.7 s eSg? 12 h 21 m 38.9 s
		B	—	—	2.0	ePg 12h 11 m 22.4 s e 12 h 11 m 33.0 s
						Vermutlich Nachstoß zu Nr. 89? Keine makroseismischen Meldungen!
92	„ 4.	Ch	—	—	0.5	iz Compr. 12 h 49 m 15.0 s
		Z	—	0.5	1.0	ez 12 h 49 m 29.2 s e 12 h 49 m 39.7 s e 12 h 49 m 44.0 s
						Keine makroseismischen Meldungen!
93	„ 4.	Ch	—	—	0.2	ePg 20 h 30 m 15.2 s iSg 20 h 30 m 16.0 s
						Keine makroseismischen Meldungen!
94	„ 7.	Z	365?	0.5	2.0	ePg? 09 h 27 m 52.4 s eSg? 09 h 28 m 35.5 s
		B	—	—	1.0	e 09 h 28 m 34.3 s
95	„ 7.	Z	380?	0.3	1.0	ePg? 10 h 01 m 16.9 s eSg? 10 h 02 m 02.4 s
96	„ 7.	Z	13	0.3	0.2	ePg 14 h 32 m 38.8 s eSg 14 h 32 m 40.3 s
97	„ 8.	Z	—	0.3	1.0	eSg? 06 h 24 m 47.3 s schwach
						Nach Stuttgart in Mannheim und Umgebung verspürt! IV.
98	„ 14.	Ch	350?	—	4.0	iPn 07 h 12 m 01.9 s Dilat. eSn? 07 h 12 m 41.0 s
		Z	410?	3.5	5.0	ePn 07 h 12 m 11.0 s Dilat. eSn? 07 h 12 m 55.7 s
		N	470?	—	5.0	iPn 07 h 12 m 19.4 s eSn? 07 h 13 m 33.0 s
		B	460?	—	6.0	ePn 07 h 12 m 20.1 s eSn? 07 h 13 m 10.0 s
						Apennin SE von Bologna, B. I. 44° N 12,4° E 0 = 07 h 11 m 06.0 s
99	„ 15.	Z	—	0.3	4.0	ez 12 h 02 m 15.3 s
						Nachstoß zu Nr. 98.
100	„ 25.	B	30?	—	0.5	ePg? 11 h 36 m 41.9 s iSg 11 h 36 m 45.4 s
		Z	65?	0.5	0.5	ePg? 11 h 36 m 49.1 s eSg 11 h 36 m 56.9 s
						Vermutlich Jura, westlich von Olten? Keine makroseismischen Meldungen!

Tabelle III. In der Schweiz 1953 registrierte Fernbeben

Mittlere Zeit Greenwich.

Nr.	Datum	Station	Epizentral-entfernung nach S–P	Ungefähre Dauer der Registr.	Phasen, Bemerkungen (Wo nichts weiteres bemerkt ist, beziehen sich die Ablesungen auf die Apparate Quervain-Piccard.)
	1953		km	Std.	
1	Januar 2.	Z	—	0.1	eP 03 h 21 m 45.0 s Dilat. Nur Vorläufer!
		B	—	0.1	eP 03 h 21 m 48.8 s
					B. I. 0 = 03 h 09 m 53.0 s 54.5° N 162.0° E
2	„ 5.	Z	8880	1.0	eP 08 h 00 m 24.4 s Compr. eP 08 h 00 m 25.0 s Dilat. ePP 08 h 03 m 39.4 s
		B	8880	1.0	eP 08 h 00 m 25.9 s eS 08 h 10 m 30.0 s [eS 08 h 10 m 28.1 s
		Ch	8660	1.2	eP 08 h 00 m 29.2 s Dilat. eS 08 h 10 m 22.6 eL 08 h 27 m 33.0 s
		N	8650	1.0	eP 08 h 00 m 30.6 s eS 08 h 10 m 23.0 s
					Komandorskje-Insel; nach B. I. 54° N 170° E; 0 = 07 h 48 m 17.0 ;
					in Attu gespürt!
3	„ 5.	Z	8670	1.0	iP Compr. 10 h 18 m 38.0 s eS 10 h 28 m 34.3 s Azimut 15°
		B	8650	1.0	iP Compr. 10 h 18 m 39.6 s ePP 10 h 21 m 46.0 s eS 10 h 28 m 32.0 s
		Ch	8760	1.0	iP Compr. 10 h 18 m 40.0 s eS 10 h 28 m 38.6 s eL 10 h 44 m 30.0 s Azimut 10°
		N	8760	1.0	iP 10 h 18 m 42.9 s eS 10 h 28 m 42.0 s Azimut 20°
					U. S. C. G. S. 0 = 10 h 06 m 25.0 s 49° N 156° E
4	„ 5.	Z	—	0.1	eP 10 h 28 m 36.2 s Compr. Nur erste Vorläufer!
		B	—	0.1	eP 10 h 28 m 37.1 s
					Nachstoß zu Nr. 3; jener Registr. überlagert, 0 = 10 h 16 m 25.0 s

Tabelle III (Fortsetzung).

Nr.	Datum	Station	Epizentral-entfernung nach S–P	Ungefähre Dauer der Registr.	Phasen. Bemerkungen
	1953		km	Std.	
5	Januar 5.	Z	—	0.1	eP 16 h 15 m 51.7 s Compr. Nur Vorläufer!
		B	—	0.1	eP 16 h 15 m 52.9 s Nachstoß zu Nr. 3; 0 = 16 h 03 m 45.0 s
6	„ 7.	B	—	0.1	e 00 h 00 m 47.6 s
7	„ 7.	Ch	1000	0.3	eP 00 h 03 m 46.0 s eS 00 h 05 m 29.3 s
		Z	1160	0.3	eP 00 h 03 m 57.1 s e 00 h 05 m 38.4 s eS 00 h 05 m 55.2 s
		B	1370	0.5	eP 00 h 04 m 05.6 s e 00 h 04 m 27.0 s eS 00 h 06 m 25.0 s
		N	—	0.5	eP 00 h 04 m 08.7 s eL 00 h 07 m 34.0 s B. I. 0 = 00 h 01 m 28.0 s 41.5° N 20.0° E in der Umgeb. von Elbasan verspürt! Beograd: 41° 06′ N 20° 05′ E
8	„ 7.	Ch	1000	5.0	eP 01 h 21 m 16.0 s eS 01 h 22 m 59.0 s Min'-Lücke
		Z	1130	10.0	eP 01 h 21 m 26.0 s Compr. eS 01 h 23 m 21.2 s
		B	—	10.0	eP 01 h 21 m 34.6 s e 01 h 21 m 46.0 s
		N	—	15.0	eP 01 h 21 m 37.5 s eL 01 h 25 m 07.0 s Nachstoß zu Nr. 7
9	„ 7.	Z		0.2	eP 06 h 00 m 49.2 s Nur erste Vorläufer!
		B		0.2	eP 06 h 00 m 49.5 s U. S. C. G. S. 0 = 05 h 48 m 54.0 s 53.5 N 161 E
10	„ 7.	B	—	0.5	ePKP 14 h 27 m 33.6 s U. S. C. G. S. 0 = 14 h 08 m 20.0 s 5.5° S 150.5° E
11	„ 10.	Z	—	0.1	eP 23 h 33 m 47.9 s Dilat. B. I. 0 = 23 h 29.0 m 37.9° N 25.6° E
12	„ 11.	B	7000	0.8	eP 23 h 03 m 57.8 s Compr. e 23 h 05 m 17.0 s ePP 23 h 06 m 17.0 s
		Z	7210	0.9	eP 23 h 04 m 04.7 s Compr. eS 23 h 12 m 41.7 s Azimut N 10° W
		N	7230	1.0	eP 23 h 04 m 07.8 s eS 23 h 12 m 47.0 s
		Ch	7320	1.0	eP 23 h 04 m 10.6 s Compr. eS 23 h 12 m 54.1 s Yukon; B. I. 0 = 22 h 53 m 30.0 s 65.7° N 133.5° W
13	„ 11.	B	—	0.4	e 23 h 32 m 50.7 s
		Z	—	0.1	e 23 h 32 m 53.2s
14	„ 12.	Z	8800	1.0	eP 17 h 35 m 40.7 s Compr. e 17 h 36 m 13.4 s eS 17 h 45 m 38.8 s e 17 h 46 m 23.2 s
		B	—	1.0	eP 17 h 35 m 41.7 s e 17 h 36 m 26.0 s e 17 h 37 m 15.0 s
		Ch	—	0.8	eP 17 h 35 m 42.8 s eL 18 h 05 m 40.0 s
		N	—	0.8	eP 17 h 35 m 46.4 s U. S. C. G. S. 0 17 h 23 m 39.0 s 49.5° N 156.0° E. h = 60 km
15	„ 14.	Z	—	0.1	eP 13 h 08 m 14.3 s Compr. Nur erste Vorläufer
		B	—	0.1	eP 13 h 08 m 15.3 s Dilat.
		N	—	0.1	eP 13 h 08 m 19.0 s U. S. C. G. S 0 = 12 h 56 m 17.0 s 52.5° N 159.5 E
16	„ 15.	Z		0.1	ez 07 h 34 m 25.3 s schwach!
17	„ 15.	Z	—	0.1	iP 08 h 23 m 09.3 s Compr.
		B	—	0.1	eP 08 h 23 m 11.3 s
		Ch		0.1	eP 08 h 23 m 11.7 s Compr.
		N	—	0.1	eP 08 h 23 m 13.9 s 0 = 08 h 11 m 09.0 s 53° N 159° E; 0 = 08 h 11 m 09.0 s
18	„ 15.	Z		0.1	ez 20 h 13 m 42.6 s Compr. schwach! B. I. 0 20 h 06 m 00.0 s 31.5° N 58° E
19	„ 15.	Z		0.1	ez 20 h 50 m 43.5 s
20	„ 17.	Z		0.1	eP 17 h 41 m 50.2 s Dilat. ez 17 h 42 m 23.0 s schwach!
		B	—	0.1	eP 17 h 41 m 50.4 s U. S. C. G. S. 0 = 17 h 30 m 03.0 s 50.5° N 155° E. h = 150 km
21	„ 18.	Z		0.1	eP 18 h 20 m 02.3 Compr.
		B	—	0.2	eP 18 h 20 m 02.3 Compr.
		Ch		0.1	eP 18 h 20 m 04.3 Compr. U. S. C. G. S. 0 = 18 h 08 m 10.0 s 53.5° N 160.5 E
22	„ 19.	Z	—	0.1	eP 05 h 09 m 46.3 s Nur erste Vorläufer!
		B		0.1	eP 05 h 09 m 49.8 s Nach den japan. Stationen 0 = 04 h 52 m 29.0 s 41.6 N 143.8 E h = 40 km

Tabelle III (Fortsetzung)

Nr.	Datum	Station	Epizentral-entfernung nach S–P	Ungefähre Dauer der Registr.	Phasen, Bemerkungen
	1953		km	Min.	
23	Januar 20.	Z	—	0.2	ePKP 02 h 56 m 11.2 s schwach!
		B	—	0.2	ePKP 02 h 56 m 11.8 s e 00 h 56 m 38.0 s
					U. S. C. G. S. 0 = 02 h 36 m 22.0 s 19.5° S 169.0° E
24	„ 20.	Z	—	0.4	e 17 h 48 m 14.8 s e 17 h 58 m 54.8 s schwach!
		B	—	1.0	e 17 h 52 m 12.8 s
					U. S. C. G. S. 0 = 17 h 33 m 06.0 s 1.5° N 126° E
25	„ 21.	Z	—	0.4	eP 01 h 55 m 00.9 s e 01 h 55 m 13.4 s eS? 02 h 05 m 15.2 s schwach!
					U. S. C. G. S. 0 = 01 h 43 m 00.0 s 50.0° N 156° E h = 60 km
26	„ 23.	B	—	0.1	e 02 h 54 m 01.2 s
27	„ 25.	Z	—	0.1	eP 11 h 57 m 19.7 s schwach!
		B	—	0.1	eP 11 h 57 m 21.4 s
					0 = 11 h 45 m 17.0 s 51.5° N 160° E
28	„ 25.	B	—	0.3	eP 19 h 59 m 17.4 s
		Z	—	0.3	eP 19 h 59 m 20.7 s Compr eS? 20 h 09 m 56.1 s
					Schadenbeben in Anse à Veau und Sault du Barl Haiti.
					0 = 19 h 47 m 58.0 s 19° N 73.5° W
29	„ 26.	Z	—	0.1	eP 05 h 14 m 35.5 s Compr. Nur erste Vorläufer!
		B	—	0.1	eP 05 h 14 m 36.4 s Compr.
		Ch	—	0.1	eP 05 h 14 m 37.9 s Compr.
					U. S. C. G. S. 0 = 05 h 02 m 35.0 s 52.5° N 159.0° E
30	„ 27.	Z	—	0.1	eP 03 h 24 m 55.9 s
		B	—	0.1	eP 03 h 24 m 57.3 s
		Ch	—	0.1	eP 03 h 24 m 59.1 s 0 = 03 h 12 m 55.0 s 52° N 159.5° E
31	„ 27.	Ch	—	0.3	ePKP 03 h 44 m 11.0 s e 03 h 44 m 29.0 s
		Z	—	0.3	ePKP 03 h 44 m 11.2 s Compr. e 03 h 54 m 20.4 s Nur Vorläufer!
		B	—	0.7	ePKP 03 h 44 m 13.0 s
					U. S. C. G. S. 0 = 03 h 25 m 02.0 s 4.5° S 153° E
32	„ 27.	B	—	0.3	eP 04 h 18 m 24.0 s Dilat.
		Z	—	0.3	eP 04 h 18 m 25.3 s Compr. Nur Vorläufer!
		Ch	—	0.1	eP 04 h 18 m 27.7 s Compr.
					U. S. C. G. S 0 = 04 h 06 m 24.0 s 52.0° N 160.0° E
33	„ 28.	Z	—	0.1	ePKP 12 h 46 m 23.9 s
		B	—	0.1	ePKP 12h 46 m 27.8 s
					U. S. C. G. S. 0 = 12 h 26 m 29.0 s 20° S 169.5° E
34	„ 30.	Z	—	0.1	iP 15 h 42 m 37.9 s Compr.
		B	—	0.4	eP 15 h 42 m 38.0 s Compr.
		Ch	—	0.1	eP 15 h 42 m 39.6 s Compr.
		N	—	0.1	iP 15 h 42 m 42.0 s Compr.
					B. I. 0 = 15 h 30 m 43.0 s 52.9° N 160.1° E
35	„ 30.	Z	16000	0.4	ePKP 22 h 06 m 09.3 s epPKP 22 h 06 m 39.7 s ePP 22 h 09 m 08.8 s
		N	—	0.1	ePKP 22 h 06 m 09.5 s
		B	16000	0.1	ePKP 22 h 06 m 11.0 s ePP 22 h 09 m 11.0 s e 22 h 09 m 54.0 s
					U. S. C. G. S. 0 = 21 h 46 m 50.0 s 12° S 166.5° E, h = 100 km
36	„ 31.	Ch	—	0.1	eP 22 h 03 m 10.0 s Min'-Lücke
		Z	—	0.3	eP 22 h 03 m 11.1 s Compr. e 22 h 13 m 27.2 s
		B	—	0.1	eP 22 h 03 m 12.0 s
					Atlantik zirka 15° S 18° W 0 = 21 h 52 m 25.0 s
37	Febr. 1.	B	—	0.1	eP 20 h 50 m 45.4 s
		Z	—	0.1	eP 20 h 50 m 50.9 s schwach!
					Fox-Insel; 0 = 20 h 38 m 57.0 s 54° N 165° W
38	„ 2.	Z	—	0.1	eP 09 h 42 m 10.3 s Compr. Nur erste Vorläufer!
		B		0.1	eP 09 h 42 m 11.9 s Min'-Lücke
		Ch	—	0.1	eP 09 h 42 m 12.2 s Compr.
		N	—	0.1	eP 09 h 42 m 14.2 s
					U. S. C. G. S. 0 = 09 h 30 m 00.0 s 49° N 156° E
39	„ 2.	Z	—	0.1	ez 10 h 30 m 50.3 s Compr.
		N	—	0.1	ez 10 h 30 m 55.1 s
40	„ 2.	B		0.1	ez 18 h 35 m 33.3 s e 18 h 36 m 12.0 s
		Z		0.1	e 18 h 35 m 35.9 s schwach!

Tabelle III (Fortsetzung)

Nr.	Datum	Station	Epizentral-entfernung nach S–P	Ungefähre Dauer der Registr.	Phasen. Bemerkungen
	1953		km	Std.	
41	Febr. 4.	B	2600?	0.4	eP? 10 h 58 m 10.0 s Min'-Lücke eS 11 h 02 m 32.0 s
		Z	2800?	0.2	eP 10 h 58 m 16.3 s Compr.? eS 11 h 02 m 25.6 s
					Atlantik B. I. 0 = 10 h 53 m 10.0 s 37.5° N 19.5° W
42	„ 5.	Z	—	0.1	ePKP 12 h 05 m 00.1 s schwach!
		B	—	0.5	ePKP 12 h 05 m 01.0 s e 12 h 11 m 25.0 s
					U. S. C. G. S. 0 = 11 h 45 m 23.0 s 14° S 176° W
43	„ 5.	Ch	1570?	0.2	eP 22 h 45 m 41.3 s eS 22 h 48 m 17.6 s
		Z	1880	0.2	eP 22 h 45 m 49.7 s ez 22 h 45 m 55.8 s Dilat. eS 22 h 48 m 55.1 s
		N	—	0.1	eP 22 h 45 m 58.3 s
		B	—	0.7	eP 22 h 45 m 59.0 s Dilat. eL 22 h 50 m 00.0 s
					Westlich Kreta, B. I. 0 = 22 h 42 m 05.0 s 35.8° N 22.8° E
44	„ 6.	Z	—	0.1	eP 05 h 45 m 25.9 s Compr. Nur erste Vorläufer!
		B	—	0.1	eP 05 h 45 m 26.9 s Compr.
					U. S. C. G. S. 0 = 05 h 33 m 22.0 s 51.0° N 159.0 E
45	„ 6.	Ch	—	0.1	eP? 12 h 37 m 45.0 s Zeitmarken fehlen!
		Z	—	0.1	eP 12 h 37 m 45.8 s schwach; nur erste Vorläufer!
		B	—	0.1	eP 12 h 37 m 52.5 s
		N	—	0.1	eP 12 h 37 m 54.6 s
					0 = 12 h 28 m 45.0 s Delta des Indus?
46	„ 6.	B	9300	1.2	eP 13 h 25 m 23.1 s Compr. e 13 h 27 m 40.0 s eS 13 h 35 m 42.0 s [eL 13 h 55 m
		Z	9220	1.2	eP 13 h 25 m 23.8 s Compr. e 13 h 25 m 36.5 s e 13 h 25 m 47.1 s
		Ch	9200	0.8	eP 13 h 25 m 24.3 s eS 13 h 35 m 39.4 s eL 13 h 55 m 50.0 s [eS 13 h 35 m 39.8 s
		N	9320	1.0	eP 13 h 25 m 28.5 s eS 13 h 35 m 49.0 s
					Nach den japan. Stationen 0 = 13 h 13 m 03.0 s 42.0° N 144.2° E h = 80 km
47	„ 6.	B	—	0.1	e 14 h 17 m 56.1 s
48	„ 7.	Z	8750	1.0	eP 18 h 35 m 23.8 s Compr. eS? 18 h 45 m 08.2 s
		B	—	1.0	eP 18 h 35 m 24.4 s Compr. ePP 18 h 38 m 19.0 s
		Ch	—	1.0	eP 18 h 35 m 24.9 s Compr. eL 19 h 20 m
		N	—	1.0	eP 18 h 35 m 27.3 s
					U. S. C. G. S. 0 = 18 h 23 m 12.0 s 49.0° N 156° E
49	„ 7.	Ch	2060	0.3	eP 22 h 34 m 48.2 s e 22 h 34 m 59.8 s i 22 h 35 m 05.0 s eS 22 h 38 m 11.4 s
		N	2320?	0.7	eP 22 h 35 m 06.2 s eS 22 h 38 m 53.0 s
		Z	1910	0.2	eP 22 h 35 m 08.7 s eS 22 h 38 m 17.9 s
		B	2100	0.5	eP 22 h 35 m 16.2 s Compr. eS 22 h 38 m 42.0 s
					Gebiet von Kreta V, Insel Gavdhos VII—VIII
					B. I. 0 = 22 h 31 m 05.0 s 35° N 24.5° E
50	„ 9.	Z	—	0.1	ez 15 h 02 m 10.0 s Nur schwache Spuren!
		B	—	0.1	ez 15 h 02 m 11.3 s
51	„ 9.	B	—	0.1	eP 21 h 44 m 50.3 s
		Z	—	0.1	eP 21 h 44 m 53.2 s Nur erste Vorläufer; schwach!
					U. S. C. G. S. 0 = 21 h 32 m 36.0 s 52.5° N 169.0° E
52	„ 10.	B	—	0.5	eP 08 h 10 m 46.2 s
					0 = 07 h 58 m 29.0 s 52° N 169° W
53	„ 11.	Z	—	0.1	e 14 h 42 m 30.0 s
					B. I. 0 = 14 h 37.2 m 41° N 20° E
54	„ 12.	Ch	3870	0.8	eP 08 h 22 m 29.8 s eS 08 h 27 m 57.1 s
		Z	3940	0.8	eP 08 h 22 m 37.1 s Compr. ePP 08 h 23 m 55.2 s e 08 h 25 m 48.1 s
		B	—	0.8	eP 08 h 22 m 42.3 s e 08 h 24 m 19.0 s [eS 08 h 28 m 09.1 s
		N	4150	0.5	eP 08 h 22 m 45.0 s eS 08 h 28 m 31.0 s
					B. I. = 08 h 15 m 29.0 s 35° N 54.5° E Schwere Schäden in Turut
55	„ 12.	Z	—	0.2	eP 08 h 34 m 30.5 s
		B	—	0.1	eP 08 h 34 m 36.3 s
					0 = 08 h 27 m 27.0 s Nachstoß zu Nr. 54
56	„ 14.	Ch	1900	0.2	eP 08 h 47 m 12.3 s eS 08 h 50 m 19.6 s
		Z	1980	0.4	eP 08 h 47 m 20.9 s Compr. e 08 h 47 m 40.4 s eS 08 h 50 m 36.7 s
		N	2070	0.6	eP 08 h 47 m 29.3 s eS 08 h 50 m 53.0 s
		B	2040	0.5	eP 08 h 47 m 29.3 s e 08 h 48 m 00.0 s eS 08 h 50 m 50.0 s
					B. I. 0 = 08 h 43 m 13.0 s 35.5° N 26.5° E auf Kreta verspürt

Tabelle III (Fortsetzung)

Nr.	Datum	Station	Epizentral-entfernung nach S–P	Ungefähre Dauer der Registr.	Phasen, Bemerkungen
	1953		km	Std.	
57	Febr. 14.	B	—	0.7	ePP 22 h 06 m 33.5 s e 22 h 13 m 58.0 s Nach den japan. Stationen 0 = 21 h 48 m 15.0 s 19° N 146° E
58	„ 14.	B	—	0.2	e 22 h 22 m 52.9 s U. S. C. G. S. 0 = 22 h 10 m 20.0 s 1.5° S 77.5° W h = 200 km
59	„ 19.	Z	18000	0.4	ePKP$_1$ 13 h 25 m 36.7 s Dilat. ePKP$_2$ 13 h 26 m 23.9 s ePP 13 h 30 m 03.1 s
		B	18000	0.4	ePKP$_1$ 13 h 25 m 38.2 s ePKP$_2$ 13 h 26 m 23.0 s ePP 13 h 30 m 05.0 s
		Ch	—	0.2	ePKP$_2$ 13 h 26 m 24.5 s Dilat. Kermadec-Inseln U. S. C. G. S. 28° S 179° W 0 = 13 h 05 m 42.0 s
60	„ 19.	N	5780	1.0	eP 15 h 26 m 52.6 s eS 15 h 34 m 13.0 s
		Z	5870	0.8	eP 15 h 26 m 57.8 s Compr.? ePP 15 h 28 m 54.5 s ePPP 15 h 29 m 38.8 s
		Ch	5810	1.0	eP 15 h 26 m 58.7 s eS 15 h 33 m 20.4 s [eS 15 h 34 m 23.8 s Atlantik, B. I. 0.0° N 17.9° W 0 = 15 h 17 m 43.0 s
61	„ 22.	Z	—	0.1	ePKP 22 h 35 m 02.8 s schwach; nur erste Vorläufer!
		B	—	0.1	ePKP 22 h 35 m 02.8 s e 22 h 38 m 25.0 s B. I. 15.3° N 173.8° W 0 = 22 h 15 m 15.0 s
62	„ 23.	Z	—	0.2	eP 00 h 56 m 01,4 s e 01 h 06 m 33.8 s schwach!
		B	—	0.2	eP 00 h 56 m 06.3 s e 00 h 59 m 14.0 s
		N	—	0.2	eP 00 h 56 m 10.2 s B. I. 0 = 00 h 46 m 12.0 s 28.7° N 81.8° E
63	„ 23.	Z	—	0.1	eP 03 h 53 m 41.0 s schwach!
		B	—	0.1	eP 03 h 53 m 43.1 s Compr.
		N	—	0.4	eP 03 h 53 m 45.4 s 0 = 03 h 41 m 45.0 s 53° N 161° E
64	„ 25.	B	—	0.1	e 00 h 10 m 26.5 s
65	„ 25.	B	--	0.1	e 09 h 53 m 05.0 s e 09 h 53 m 15.0 s
66	„ 25.	Ch	—	0.1	eP 21 h 27 m 57.4 s Dilat.
		B	8450	0.5	eP 21 h 28 m 02.5 s eS 21 h 37 m 43.0 s
		Z	8510	0.3	eP 21 h 28 m 03.1 s Dilat. epP 21 h 28 m 16.4 s eS 21 h 37 m 45.6 s
		N	—	0.5	eP 21 h 28 m 04.9 s epP 21 h 28 m 18.0 s Küste von Alaska 0 = 21 h 16 m 18.0 s 56° N 156.5° W h = 60 km
67	„ 26.	B	—	0.1	iP 00 h 44 m 12.1 s Compr.
		Z	—	0 4	eP 00 h 44 m 13.3 s Compr. Nur erste Vorläufer!
		Ch	—	0.1	eP 00 h 44 m 14.8 s Compr.
		N	—	0.1	eP 00 h 44 m 17.2 s U. S. C. G. S. 0 = 00 h 32 m 07.0 s 51° N 156.5° E
68	„ 26.	Z	—	0.2	ePKP 10 h 32 m 55.0 s Compr. iPKP 10 h 33 m 05.2 s Dilat. e 10 h 34 m 35.9 s
		Ch	—	0.2	ePKP 10 h 32 m 55.5 s
		B	—	0.2	ePKP 10 h 32 m 57.0 s e 10 h 33 m 07.0 s
		N	—	0.4	ePKP 10 h 32 m 58.0 s Nur Vorläufer registriert! U. S. C. G. S. 0 = 10 h 13 m 07.0 s 20° S 169° E
69	„ 26.	Ch	—	1.3	ePKP 12 h 01 m 49.0 s
		Z	—	1.5	ePKP? 12 h 01 m 51.9 s e 12 h 04 m 57.3 s e 12 h 05 m 34.6 s
		B	—	1.0	ePKP 12 h 01 m 56.9 s e 12 h 05 m 02.0 s e 12 h 05 m 48.0 s
		N	—	1.0	e 12 h 05 m 08.7 s Santa-Cruz-Inseln B. I. 0 = 11 h 42 m 30.0 s 11.0° S 164.3° E
70	„ 27.	Z	—	0.1	e 20 h 45 m 12.3 s Nur erste Vorläufer schwach! 0 = 20 h 30 m 00.0 s Dagestan?
71	März 1.	Z	--	0.1	ez 02 h 35 m 07.4 s schwach!
		B	—	0.5	ez 02 h 36 m 19.2 s e 02 h 46 m 47.3 s B. I. 0 = 02 h 12 m 55.0 s 6.3° S 155.3° E
72	„ 3.	Z	16350	2.0	ePKP 11 h 46 m 46.3 s Dilat. ePKP 11 h 46 m 52.6 s Dilat. ePP 11 h 50 m 27.1 s
		Ch	—	0.1	ePKP 11 h 46 m 46.5 s Dilat. e 11 h 46 m 52.9 s
		N	—	0.5	ePKP 11 h 46 m 49.9 s B. I. 0 = 11 h 26 m 59.0 s 20.4° S 169.0° E
73	„ 3.	Z	—	0.2	eP 23 h 06 m 11.6 s Min'-Lücke Nur Vorläufer schwach!
		B	—	0.5	eP 23 h 06 m 12.0 s
		Ch	—	0.1	eP 23 h 06 m 13.6 s Min'-Lücke
		N	—	0.1	eP 23 h 06 m 15.2 s Nach japanischen Stationen 0 = 22 h 53 m 54.0 s 49.0° N 157° E

Tabelle III (Fortsetzung)

Nr.	Datum	Station	Epizentral-entfernung nach 8–P	Ungefähre Dauer der Registr.	Phasen, Bemerkungen
	1953		km	Std.	
74	März 4.	B	—	0.1	eP 01 h 10 m 34.3 s
		Z	—	0.1	eP 01 h 10 m 35.9 s Dilat. ePP 01 h 14 m 43.1 s Nur Vorläufer!
					B. I. 0 = 00 h 57 m 58.0 s 27.8° S 63.5° W h = 600 km
75	„ 4.	B	—	0.0	e 07 h 33 m 37.9 s
76	„ 4.	B	—	0.2	e 13 h 58 m 47.5 s e 14 h 01 m 09.0 s
77	„ 4.	Z	1480	0.3	eP 15 h 33 m 48.8 s eS 15 h 36 m 20.7 s
		B	—	0.3	e 15 h 34 m 00.9 s
					Griechenland, Naupactos VII B. I. 0 = 15 h 30 m 36.0 s 38.3° N 22.0° E
78	„ 5.	Z	8560	0.5	iP 21 h 13 m 21.0 s Compr. eS 21 h 23 m 07.0 s e 21 h 23 m 54.1 s
		B	—	0.5	eP 21 h 13 m 21.7 s Compr. e 21 h 25 m 47.0 s
		N	—	0.5	iP 21 h 13 m 25.4 s
					B. I. 0 = 21 h 01 h 20.0 s 52° N 157° E
79	„ 5.	Z	8850	0.5	iP 21 h 33 m 57.0 s Compr. eS 21 h 43 m 57.2 s Nr. 78 überlagert!
		B	—	0.5	eP 21 h 33 m 57.6 s
		Ch	—	0.2	eP 21 h 33 m 58.2 s Compr. e 21 h 47 m
		N	—	0.7	eP 21 h 34 m 01.6 s
					Nach japanischen Stationen 0 = 21 h 21 m 45.0 s 50° N 158° E
80	„ 6.	Z	—	0.1	eP 00 h 57 m 12.1 s Compr. schwach!
		B	—	0.1	eP? 00 h 57 m 14.2 s Min'-Lücke
81	„ 6.	B	—	0.1	e 02 h 50 m 45.2 s
82	„ 9.	Z	—	0.1	ePKP 10 h 22 m 49.5 s Nur erste Vorläufer schwach!
		B	—	0.1	ePKP 10 h 23 m 14.6 s
					U. S. C. G. S. 0 = 10 h 03 m 41.0 s 4.5° S 153.5° E
83	„ 10.	Z	—	0.1	ePKP 06 h 18 m 38.4 s Compr. schwach!
		B	—	0.1	ePKP 06 h 18 m 39.7 s
					0 = 05 h 58 m 55.0 s 18.5° S 168° E
84	„ 13.	B	—	0.4	e 01 h 29 m 56.2 s
85	„ 15.	Z	—	0.1	iP 14 h 20 m 04.0 s
		B	—	0.1	eP 14 h 20 m 06.4 s
					B. I. 0 = 14 h 15.9 m 34° N 25° E
86	„ 17.	Z	8780	0.3	eP 13 h 16 m 40.6 s Compr. e 13 h 17 m 15.5 s eS 13 h 26 m 34.0 s
		B	8700	0.6	eP 13 h 16 m 40.8 s Dilat. eS 13 h 26 m 33.0 s
		N	—	0.1	eP 13 h 16 m 44.2 s
					U. S. C. G. S. 0 = 13 h 04 m 33.0 s 50.5° N 156.5° E
87	„ 18.	Ch	—	0.8	eP 19 h 09 m 42.6 s iP 19 h 09 m 43.4 s
		Z	1800?	0.8	eP? 19 h 09 m 52.3 s Min'-Lücke eS? 19 h 12 m 51.0 s Min'-Lücke
		B	2030	1.0	eP 19 h 10 m 00.6 s Dilat. e 19 h 12 m 16.0 s eS 19 h 13 m 22.0 s
		N	2030	1.0	eP 19 h 10 m 04.0 h eS 19 h 13 m 24.0 s
					B. I. 40.0° N 27.3° E 0 = 19 h 06 m 13.0 s Schweres Schadenbeben an der Küste des Marmarameeres, besonders Yenice-Gonen.
88	„ 18.	Z	—	0.2	eP 21 h 21 m 47.8 s
		B	—	0.6	eP 21 h 21 m 53.5 s
		N	—	0.6	eP 21 h 21 m 59.5 s
					Nachstoß zu Nr. 87 0 = 21 h 18 m 08.0 s
89	„ 19.	N	7130	0.7	eP 08 h 38 m 19.7 s eS 08 h 46 m 54.0 s
		B	7150	0.7	eP 08 h 38 m 22.2 s Compr. eS 08 h 46 m 58.0 s
		Z	7220	0.5	eP 08 h 38 m 26.7 s Dilat. eS 08 h 47 m 05.6 s
		Ch	7290	0.7	eP 08 h 38 m 31.2 s i 08 h 38 m 36.6 s iS 08 h 47 m 13.4 Min'-Lücke
					B. I. 0 = 08 h 27 m 54.0 s 14° N 61.5° W, h = 150 km
					Martinique VI—VII; Schäden im Fort de France; gespürt auf Trinidad
90	„ 19.	Z	1900?	0.3	eP 21 h 17 m 38.5 s eS? 21 h 20 m 49.9 s
		B	—.	0.4	eP 21 h 17 m 44.3 s
					Nachstoß zu Nr. 87 0 = 21 h 13 m 56.0 s
91	„ 22.	Z	—	0.1	eP 19 h 47 m 30.9 s schwach!
		N	—	0.1	eP 19 h 47 m 35.4 s
		B	—	0.1	eP 19 h 47 m 41.3 s
					U. S. C. G. S. 0 = 19 h 35 m 35.0 s 52.5° N 159.5 E

Tabelle III (Fortsetzung)

Nr.	Datum	Station	Epizentral-entfernung nach S–P	Ungefähre Dauer der Registr.	Phasen, Bemerkungen
	1953		km	Std.	
92	März 23.	Z	1360?	0.1	eP? 02 h 18 m 20.6 s eS 02 h 20 m 36.6 s schwach!
		B	1520?	0.1	eP? 02 h 18 m 20.7 s eS 02 h 20 m 54.0 s B. I. 0 = 02 h 15 m 11.0 s 38.1° N 19.4° E, auf den Jonischen Inseln verspürt!
93	„ 23.	B	—	0.3	e 05 h 28 m 42.8 s B. I. 0 = 05 h 22 m 40.0 s 38.6° N 41.0° E
94	„ 23.	B	—	0.1	eP 12 h 48 m 27.3 s
		Z	8700	0.3	eP 12 h 48 m 27.9 s eS? 12 h 58 m 22.0 s Fox-Insel 0 = 12 h 36 h 13.0 s 52.5° N 169° W
95	„ 24.	Z	2660	0.3	eP 21 h 22 m 43.7 s eS 21 h 26 m 55.2 s
		B	2880?	0.5	eP 21 h 22 m 48.4 s eS? 21 h 27 m 14.0 s eL 21 h 30 m B. I. 0 = 21 h 17 m 32.0 s 37.0° N 37.0° E, in Alep verspürt!
96	„ 26.	B	—	0.1	e 02 h 21 m 35.5 s
97	„ 26.	Z	—	0.4	eP 15 h 14 m 18.1 s e 15 h 18 m 17.9 s e 15 h 19 m 57.9 s
		B	—	0.4	eP 15 h 14 m 29.8 s e 15 h 19 m 14.0 s Nachstoß zu Nr. 87 0 = 15 h 10 m 28.0 s Istanbul IV Kutahya IV
98	„ 31.	Z	—	0.2	eP? 00 h 58 m 02.8 s eS? 01 h 00 m 15.8 s
		Ch	1070?	0.2	eP 00 h 58 m 10.8 s eS? 00 h 59 m 58.9 s
		B	1520?	0.2	eP 00 h 58 m 13.9 s e 00 h 58 m 53.0 s eS? 01 h 00 m 47.0 s
		N	—	0.2	e 01 h 00 m 24.6 s Küste von Albanien B. I. 0 = 00 h 55 m 45.0 s 40.7° N 20.1° E
99	„ 31.	B	—	0.1	e 11 h 36 m 26.6 s
100	April 1.	Z	1880?	0.2	eP 01 h 51 m 17.0 s eS? 01 h 54 m 23.4 s
		B	—	0.5	eP 01 h 51 m 28.3 s e 01 h 56 m 18.0 s e 02 h 03 m 55.0 s Nachstoß zu Nr. 87 0 = 01 h 47 m 35.0 s, auf Lesbos verspürt!
101	„ 2.	Z	—	0.5	ePKP 04 h 15 m 07.1 s Compr. epPKP 04 h 15 m 24.5 s schwach!
		B	—	0.5	ePKP 04 h 15 m 08.7 s Compr. e 04 h 16 m 54.0 s e 04 h 20 m 26.0 s Compr. U. S. C. G. S. 0 = 03 h 56 m 06.0 s 5° S 151.5° E h = 60 km
102	„ 5.	Z	1270?	0.2	eP 03 h 24 m 27.4 s eS? 03 h 26 m 34.2 s
		B	—	0.5	eP 03 h 24 m 33.4 s e 03 h 28 m 21.0 s Albanien Nachstoß zu Nr. 98 0 = 03 h 21 m 45.0 s
103	„ 6.	Z	13100	0.3	ePKP 00 h 55 m 02.7 s e 00 h 55 m 20.6 s ePP 00 h 56 m 22.3 s
		Ch	—	0.3	ePKP 00 h 55 m 03.1 s eSKS? 01 h 01 m 38.6 s
		B	13080	0.5	ePKP 00 h 55 m 04.9 s ePP 00 h 56 m 22.0 s Keine Oberflächenwellen! B. I. 0 = 00 h 36 m 16.0 s 7.0° S 132° E
104	„ 6.	Z	—	0.1	eP 12 h 26 m 41.8 s e 12 h 26 m 54.3 s Nur erste Vorläufer schwach!
		B	—	0.4	eP 12 h 26 m 43.4 s Compr. B. I. 0 = 12 h 14 m 45 s 52.5° N 160° E
105	„ 9.	B	—	0.1	e 09 h 44 m 02.2 s
106	„ 12.	Z	—	0.1	iP 22 h 42 m 20.1 s Compr. e 22 h 42 m 33.2 s Nur Vorläufer!
		B	—	0.4	eP 22 h 42 m 20.3 h e 22 h 42 m 22.0 s
		Ch	—	0.1	eP 22 h 42 m 23.1 s Compr.
		N	—	0.1	iP 22 h 42 m 24.7 s Kamtschatka 0 = 22 h 30 m 24.0 s 53° N 160° E
107	„ 13.	Z	—	0.1	eP 12 h 54 m 11.6 s e 12 h 56 m 15.2 s B. I. 0 = 12 h 51 m 11.0 s 39° N 22.6° E in der Provinz Phtiotis VII
108	„ 14.	N	9850	0.6	iP 13 h 41 m 13.2 s epP 13 h 43 m 46.0 s eSKS 13 h 50 m 44.0 s
		B	9870	0.6	eP? 13 h 41 m 15.1 s Min'-Lücke epP 13 h 43 m 29.0 s esP 13 h 44 m 19.0 s [eSKS 13 h 50 m 47.0 s
		Z	9870	0.7	iP 13 h 41 m 18.8 s Dilat. epP 43 m 30.6 s esP 44 m 33.2 s ePP 45 m 03.2 s [eSKS 13 h 50 m 50.4 s
		Ch	9870	0.7	eP 13 h 41 m 21.6 s epP 13 h 43 m 35.0 s eSKS 13 h 50 m 53.0 s e 13 h 55 m 02.5 s Weitere Einsätze in Zürich: eS 14 h 51 m 13.7 s esS 14 h 54 m 58.9 s U. S. C. G. S. 0 = 13 h 29 m 26.0 s 7.5° S 71.5° W h = 650 km
109	„ 15.	Z	—	0.1	eP 01 h 29 m 08.8 s Compr. Nur erste Vorläufer!
		B	—	0.3	eP 01 h 29 m 09.4 s e 01 h 29 m 23.0 s U. S. C. G. S. 0 = 01 h 16 m 57.0 s 49° N 156° E

Tabelle III (Fortsetzung).

Nr.	Datum	Station	Epizentral-entfernung nach S–P	Ungefähre Dauer der Registr.	Phasen, Bemerkungen
	1953		km	Std.	
110	April 15.	Z	—	0.1	iP 18 h 18 m 57.6 s Compr. Nur erste Vorläufer!
		B	—	0.1	iP 18 h 18 m 59.9 s
		N	- -	0.1	iP 18 h 19 m 02.9 s
					0 = 18 h 07 m 05.0 s 53° N 159° E
111	„ 17.	B	—	0.1	eP 00 h 15 m 54.6 s Compr.
		Z	—	0.1	eP 00 h 15 m 57.7 s schwach; nur erste Vorläufer!
					U. S. C. G. S 0 = 00 h 02 m 50.0 s 5.0° S 77° W
112	„ 20.	Z	—	0.1	ePKP 11 h 21 m 27.4 s schwach!
		B	—	0.5	ePKP 11 h 21 m 31.2 s Compr. e 11 h 22 m 40.0 s e 11 h 25 m 30.0 s
					Kermadec-Inseln! 0 = 11 h 00 m 31.0 s
113	„ 20.	B	—	0.0	e 23 h 00 m 07.0 s
114	„ 23.	B	—	0.5	eP_I 04 h 01 m 53.5 s e 04 h 04 m 00.0 s eP_{II} 04 h 04 m 32.0 s e 04 h 05 m 35.0 s
		Z	—	0.4	eP_I 04 h 01 m 55.0 s schwach!
					Zwei Stöße:
					U. S. C. G. S. 0_I = 03 h 50 m 58.0 s 31° N 96.5° E 0_{II} = 03 h 53 m 35.0 s
115	„ 23.	Ch	—	—	ePKP 16 h 43 m 20.8 s e 17 h 02m 54.0 s eL 17 h 17 m 32.0 s
		N	—	1.5	ePKP 16 h 43 m 31.7 s e 16 h 53 m 10.0 s
		Z	14200	1-2	ePKP 16 h 43 m 32.7 s e 16 h 44 m 15.3 s ePP 16 h 45 m 43.2 s
		B	14440	1-2	ePKP 16 h 43 m 35.7 s e 16 h 43 m 44.0 s ePP 16 h 45 m 53.0 s
					U. S. C. G. S. 0 = 16 h 24 m 17.0 s 4.0° S 154.0° E
116	„ 24.	B	—	0.2	eP 02 h 15 m 48.7 s e 02 h 15 m 54.0 s e 02 h 17 m 48.0 s
		Z	—	0.2	eP? 02 h 15 m 51.5 s schwach!
					Westküste von Spitzbergen. B. I. 0 = 02 h 09 m 41.0 s 77.5° N 6.5° E
117	„ 25.	B	—	0.1	eP 16 h 32 m 58.8 s
		Z	—	0.1	eP 16 h 33 m 00.4 s schwache Spuren!
					U. S. C. G. S. 0 = 16 h 23 m 38.0 s 43.5° N 86.0° E
118	„ 30.	Z	16600	0.2	ePKP 06 h 46 m 28.0 s Compr. e 06 h 46 m 32.5 s ePP 06 h 49 m 59.8 s
		Ch	—	0.2	ePKP 06 h 46 m 28.9 s
		B	—	0.4	ePKP 06 h 46 m 28.9 s Compr.
		N	—	0.4	ePKP 06 h 46 m 30.2 s
					Schwache L-Wellen; U. S. C. G. S. 0 = 06 h 26 m 40.0 s 20.5 S 170.0° E
					h = 60 km
119	Mai 2.	Z	—	0.2	eP? 05 h 45 m 39.8 s eP 05 h 45 m 42.3 s Dilat. schwach!
					B. I. 0 = 05 h 41.7 m 38.5° N 26.5° E
120	„ 2.	Z	1900?	0.2	eP 18 h 41 m 24.2 s Compr. eS? 18 h 44 m 33.7 s
					Nachstoß zu Nr. 119 0 = 18 h 37 m 38.0 s
121	„ 4.	Z	—	0.1	eP 04 h 15 m 48.1 s Compr.
		B	—	0.1	eP 04 h 15 m 48.5 s
					Kamtschatka 0 = 04 h 03 m 53.0 s 53.5° N 161.0° E
122	„ 4.	Z	8600	0.3	eP 11 h 41 m 04.1 s Compr. eS 11 h 50 m 51.6 s
		B	—	0.5	eP 11 h 41 m 04.4 s Compr.
					Nach japanischen Stationen 0 = 11 h 29 m 10.0 s 54.0° N 162.0° E
123	„ 4.	Z	11150	0.2	eP 15 h 39 m 14.5 s Dilat. eSKS 15 h 48 m 51.2 s Nur Vorläufer!
		B	11130	0.5	eP 15 h 39 m 15.4 s eSKS 15 h 48 m 47.0 s
					U. S. C. G. S. 0 = 15 h 26 m 30.0 s 28.0° S 62.5° W h = 600 km
124	„ 4.	B	—	0.0	ez 23 h 38 m 37.8 s Dilat.
					B. I. 0 = 23 h 26 m 51.0 s 49.5° N 157.0° E
125	„ 6.	N	—	2.0	eP 17 h 31 m 11.8 s e 17 h 43 m 09.0 s
		B	—	2.0	eP? 17 h 31 m 15.3 s Min'-Lücke ePKP 17 h 34 m 27.0 s ePP 17 h 35 m 40.0 s
		Z	12-12500	2.0	eP 17 h 31 m 18.2 s Dilat. ePKP 34 m 42.9 s ePP 35 m 45.9 s ePPP 38 m 15.4 s
		Ch	—	2.0	ePKP 17 h 34 m 29.0 s eL 18 h 07 m
					Schadenbeben in Chile: Chillon, Angol, Parral
					U. S. C. G. S. 0 = 17 h 16 m 48.0 s 36.5° 73° W h = 100 km
126	„ 7.	B	—	0.3	ePKP 18 h 16 m 29.4 s Dilat.
		Z	—	0.1	ePKP 18 h 16 m 30.2 s Dilat. Nur Vorläufer schwach!
					B. I. 0 = 17 h 56.6 m 55° S 130° W
127	„ 10.	Z	—	0.1	ePKP 05 h 30 m 26.1 s
		B	—	0.1	ePKP 05 h 30 m 28.7 s
					Wellington 0 = 05 h 10 m 50.0 s 18° S 168° E

Tabelle III (Fortsetzung).

Nr.	Datum	Station	Epizentralentfernung nach P-S	Ungefähre Dauer der Registr.	Phasen, Bemerkungen
	1953		km	Std.	
128	Mai 11.	Ch	—	0.1	ePKP 10 h 36 m 25.8 s Dilat. i 10 h 36 m 32.8 s Compr.
		B	—	0.5	ePKP 10 h 36 m 26.9 s e 10 h 36 m 34.0 s e 10 h 38 m 45.0 s e 10 h 40 m 07.0 s
		Z	—	0.2	ePKP 10 h 36 m 27.0 s Compr. e 10 h 37 m 29.4 s
		N	—	0.5	ePKP 10 h 36 m 27.8 s
					B. I. 0 = 10 h 16 m 43.0 s 21.8° S 168.5° E
129	„ 14.	Z	—	0.1	e 13 h 04 m 10.4 s schwach!
					Gespürt auf Lesbos und Chios IV 0 = 13 h 00.4 m
130	„ 17.	Z	—	0.1	eP 17 h 35 m 30.9 s Compr. Nur Vorläufer schwach!
					B. I. 0 = 17 h 23 m 31.0 s 52° N 159.5° E
131	„ 18.	Z	—	0.2	eP? 08 h 20 m 15.4 s Min'-Lücke Nur Vorläufer schwach
					U. S. C. G. S. 0 = 08 h 12 m 12.0 s 28.5 N 44 W
132	„ 19.	Ch	—	1.0	eP 03 h 23 m 12.4 s Compr. eL 04 h 00 m 35.0 s
		Z	8700	1 0	eP 03 h 23 m 12.7 s Compr.? eS 03 h 33 m 05.7 s
		B	—	1.0	eP 03 h 23 m 13.0 s
		N	8850	0.7	eP 03 h 23 m 15.1 s eS 03 h 33 m 17.0 s
					Nach japanischen Stationen 0 = 03 h 11 m 06.0 s 52° N 162° E
133	„ 19.	Z	—	0.1	e 05 h 20 m 16.9 s schwach!
					B. I. 0 = 05 h 16 m 47.0 s 41.3° N 20.6° E
134	„ 20.	B	—	0.1	e 09 h 47 m 19.5 s
135	„ 23.	Z	—	0.1	ePKP 20 h 07 m 26.2 s schwach!
		B		0.0	ePKP 20 h 07 m 27.8 s
					B. I. 0 = 19 h 47 m 44.0 s Loyauté-Inseln h = 100 km
136	„ 25.	Z	—	0.1	eP 02 h 42 m 57.4 s Nur erste Vorläufer schwach!
		B	—	0.1	eP 02 h 42 m 59.7 s
					U. S. C. G. S. 0 = 02 h 30 m 40.0 s 47° N 154.5° E
137	„ 25.	Z	—	0.1	eP 17 h 52 m 35.5 s Compr. Nur erste Vorläufer schwach!
		N	—	0.1	eP 17 h 52 m 40.4 s
					0 = 17 h 40 m 30.0 s 51° N 59.5° E
138	„ 26.	Z	9200	0.3	eP 01 h 55 m 30.3 s Compr. eS 02 h 05 m 46.4 s Azimut NNE
		B	—	0.1	eP 01 h 55 m 30.7 s e 01 h 56 m 18.0 s e 01 h 56 m 45.0 s e 01 h 57 m 47.0 s
		Ch	—	0.1	eP 01 h 55 m 32.0 s
					Nach den japanischen Stationen 0 = 01 h 43 m 11.0 s 41.8° N 143.1° E
					h = 40 km
139	„ 28.	B	—	0.2	e 00 h 17 m 18.0 s
140	„ 28.	Z	—	0.1	eP 01 h 33 m 18.2 s Nur erste Vorläufer schwach!
		B	—	0.1	eP 01 h 33 m 24.7 s Dilat.
					B. I. 0 = 01 h 24 m 46.0 s 9.2° N 41.9° E; Schäden in Harar und Diredaua
141	„ 28.	Z	—	0.2	ePKP 18 h 20 m 43.4 Compr. schwach!
		B	—	0.1	ePKP 18 h 20 m 44.5 s
					U. S. C. G. S. 0 = 18 h 01 m 41.0 s 4.5° S 152° E h = 100 km
142	„ 31.	Ch	—	0 1	ePKP 19 h 54 m 42.2 s e 19 h 54 m 59.8 s
		B	—	0.4	ePKP 19 h 54 m 50.0 s e 19 h 55 m 56.0 s
		Z	—	0.1	ePKP 19 h 55 m 02.2 s schwach!
					B. I. 0 = 19 h 36 m 30.0 s 13° S 179° W h = 600 km
143	„ 31.	N	7600	1.0	eP 20 h 09 m 30.8 s eS 20 h 18 m 29.0 s
		B	7550	0.8	eP 20 h 09 m 42.0 s eS 20 h 18 m 37.0 s
		Ch	7700	0.8	eP 20 h 09 m 45.4 s eS? 20 h 18 m 51.0 s Min'-Lücke eL 20 h 32 m
		Z	7530	1.0	eP 20 h 09 m 46.8 s eS 20 h 18 m 46.8 s
					U. S. C. G. S. 0 = 19 h 58 m 35.0 s 20 N 70.5 W
144	Juni 3.	Ch	—	0.2	eP 16 h 09 m 08.6 s Dilat. eL 16 h 13 m 24.0 s
		Z	1870	0.3	eP 16 h 09 m 14.4 s eS 16 h 12 m 18.8 s
		B	—	0.5	eP 16 h 09 m 23.5 s eL 16 h 14 m 37.0 s
		N	—	0 6	eP 16 h 09 m 26.2 s eL 16 h 14 m 22.0 s
					B. I. 0 = 16 h 05 m 23.0 s 40.1° N 28.8° E. Von Izmir bis Istanbul gespürt; Schäden in Istanbul!
145	„ 6.	Ch	—	0.1	eP 01 h 22 m 07.7 s
		B	—	0.1	eP 01 h 22 m 13.1 s
		Z	—	0.1	eP 01 h 22 m 14.4 s Compr. e 01 h 22 m 30.9 s schwach!
					B. I. 0 = 01 h 10 m 08.0 s 10.8° N 93.3° E

Tabelle III (Fortsetzung).

Nr.	Datum	Station	Epizentral-entfernung nach S–P	Ungefähre Dauer der Registr.	Phasen, Bemerkungen
	1953		km	Std.	
146	Juni 6.	Z	—	0.1	eP 17 h 19 m 22.1 s Compr. schwach!
		B	—	0.2	eP 17 h 19 m 24.1 s
					B. I. 0 = 17 h 07 m 06.0 s 49.5° N 156.5° E
147	„ 7.	B	—	0.1	eP 12 h 34 m 54.2 s
		Z	—	0.2	eP 12 h 34 m 54.2 s
					Nachstoß zu Nr. 143 0 = 12 h 23 m 56.0 s
148	„ 7.	Z	—	0.2	eP 13 h 56 m 59.7 s Nur erste Vorläufer!
		B	—	0.5	eP 13 h 57 m 05.2 s
					B. I. 0 = 13 h 52 m 49.0 s 36.0° N 27.0° E Karpathos IV
149	„ 8.	Z	8720	0.4	eP 11 h 52 m 27.4 s Compr. epP 11 h 52 m 38.3 s eS 12 h 02 m 20.0 s
		B	8500	0.6	eP 11 h 52 m 27.6 s e 11 h 54 m 30.0 s eS 12 h 02 m 09.0 s
		Ch	—	0.2	eP 11 h 52 m 29.1 s Compr.
		N	8770	0.5	eP 11 h 52 m 31.6 s eS 12 h 02 m 27.0 s
					B. I. 0 = 11 h 40 m 34.0 s 53.3° N 159.1° E h = 60 km
150	„ 9.	B	—	0.5	eP 01 h 50 m 59.2 s Compr.
		Ch	—	0.1	eP 01 h 51 m 02.2 s
		Z	8620	0.4	eP 01 h 51 m 03.0 s Compr. eS 02 h 00 m 51.3 s
		N	—	0.4	eP 01 h 51 m 04.3 s
					B. I. 0 = 01 h 39 m 04.0 s 53.8° N 160.0° E
151	„ 9.	Ch	—	0.1	eP? 16 h 32 m 04.3 s
		Z	2000	0.2	eP 16 h 32 m 10.1 s ez 16 h 32 m 13.4 s Compr. eS 16 h 35 m 26.0 s
		B	—	—	eP 16 h 32 m 21.8 s eL 16 h 37 m 22.0 s
					0 = 16 h 28 m 22.0 s 39.5° N 27.1° E
152	„ 13.	Ch	—	0.2	eP 18 h 42 m 05.6 s eL 18 h 46 m 21.6 s
		Z	1690	0.2	eP 18 h 42 m 16.6 s e 18 h 42 m 25.7 s eS 18 h 45 m 05.3 s
		B	—	0.5	eP 18 h 42 m 24.1 s e 18 h 42 m 43.0 s eL 18 h 46 m 44.0 s
		N	—	0.2	eP 18 h 42 m 32.0 s eL 18 h 47 m 16.0 s
					Im Gebiet von Korinth verspürt; B. I. 0 = 18 h 38 m 58.0 s 38.3° N 22.8° E
153	„ 13.	Z	—	0.1	ePKP 23 h 08 m 19.4 s Compr.
		B	—	0.1	ePKP 23 h 08 m 20.3 s Compr. e 23 h 10 m 00.0 s e 23 h 10 m 45.0 s
					B. I. 0 = 22 h 48 m 51.0 s 18.8° S 169° E h = 150 km
154	„ 15.	B	8460	0.8	eP 17 h 59 m 01.2 s Compr. e 17 h 59 m 16.0 s e 18 h 01 m 45.0 s
					[ePS 18 h 09 m 40.0 s
		Z	8500	1.0	eP 17 h 59 m 02.1 s Compr. ePP 18 h 01 m 48.4 s eS 18 h 08 m 44.9 s
		N	8680	0.8	eP 17 h 59 m 03.1 s eS 18 h 08 m 55.0 s
		Ch	8550	1.0	eP 17 h 59 m 05.8 s eS 18 h 08 m 50.6 s
					U. S. C. G. S. 0 = 17 h 47 m 14.0 s 56.5° N 154° W
155	„ 16.	B	10400?	1.0	eP? 10 h 06 m 14.0 s eS 10 h 17 m 20.0 s
		Z	10200?	1.5	eP? 10 h 06 m 15.4 s ePP? 10 h 09 m 57.6 s schwach!
					Nach japanischen Stationen 0 = 09 h 53 m 15.0 s 31.1° N 141.2 E
156	„ 16.	Z	—	0.1	ePKP 16 h 21 m 46.0 s e 16 h 22 m 47.6 s Nur Vorläufer schwach!
		B	—	0.1	ePKP 16 h 21 m 47.1 s e 16 h 22 m 21.0 s
					B. I. 0 = 16 h 02 m 00.0 s 25.0° S 177° W h = 100 km
157	„ 16.	B	—	0.1	eP 20 h 00 m 14.9 s Compr. e 20 h 01 m 41.0 s e 20 h 02 m 24.0 s
		Z	8600	0.2	eP 20 h 00 m 16.4 s Compr. e 20 h 00 m 30.6 s eS 20 h 09 m 57.2 s
		N	—	0.4	eP 20 h 00 m 18.4 s
		Ch	—	0.1	eP 20 h 00 m 20.6 s
					U. S. C. G. S. 0 = 19 h 48 m 25.0 s 55.5 N 160 W h = 60 km
158	„ 17.	B	—	0.1	eP 14 h 21 m 48.5 s Nur Vorläufer!
					U. S. C. G. S. 0 = 14 h 08 m 33.0 s 75 W 15.5 S h = 60 km
159	„ 18.	Ch	—	0.2	eP 05 h 47 m 16.6 s eL 05 h 50 m 54.0 s
		N	—	0.5	eP 05 h 47 m 21.4 s eL 05 h 51 m 16.0 s
		B	1630	0.5	eP 05 h 47 m 34.4 s eS 05 h 50 m 17.0 s e 05 h 51 m 24.0 s e 05 h 51 m 51.0 s
		Z	—	0.5	Keine Zeitmarken! Schadenbeben in der westlichen Türkei!
					B. I. 0 = 05 h 44 m 06.0 s 41.7° N 26.5° E
160	„ 18.	Z	—	0.1	ePKP 10 h 24 m 01.3 s Dilat. Nur erste Vorläufer schwach!
		B	—	0.3	ePKP 10 h 24 m 02.4 s e 10 h 27 m 18.0 s
					U. S. C. G. S. 0 = 10 h 04 m 48.0 s 6.5° S 155 E
161	„ 21.	Z	—	0.2	eP 08 h 14 m 45.2 s eS? 08 h 17 m 05.2 s
					0 = 08 h 11 m 25.0 s 37.6 N 20.6 E Zante IV

Tabelle III (Fortsetzung)

Nr.	Datum	Station	Epizentral-entfernung nach S–P	Ungefähre Dauer der Registr.	Phasen, Bemerkungen
	1953		km	Std.	
162	Juni 22.	Z	—	0.2	eP 00 h 11 m 10.7 s Nur erste Vorläufer schwach! B. I. 0 = 23 h 58 m 34.0 s 0.2° S 91.3° E
163	„ 23.	Ch	1600	0.2	eP 01 h 56 m 54.7 s e 01 h 59 m 13.1 s eS 01 h 59 m 36.6 s
		Z	1770	0.2	eP 01 h 57 m 03.3 s eS 01 h 59 m 57.8 s
		B	1950	0.2	eP 01 h 57 m 12.1 s eS 02 h 00 m 23.0 s
		N	1980	0.2	eP 01 h 57 m 12.2 s eS 02 h 00 m 28.0 s Südlich der Zykladen B. I. 0 = 01 h 53 m 12.0 s 36° N 25° E h = 100 km Kreta V, Santorin IV
164	„ 23.	B	8730	0.5	eP 14 h 05 m 28.1 s eS 14 h 15 m 21.0 s
		Z	8730	0.5	eP 14 h 05 m 30.1 s Compr. eS 14 h 15 m 23.1 s
		N	—	0.1	eP 14 h 05 m 35.7 s B. I. 0 = 13 h 53 m 30.0 s 52.3 N 157 E
165	„ 25.	Ch	—	0.1	ePKP 08 h 40 m 20.7 s e 08 h 40 m 27.2 s
		Z	—	0.1	ePKP 08 h 40 m 27.8 s Nur erste Vorläufer schwach! B. I. 0 = 08 h 20 m 33.0 s 21.5° S 171.8° E
166	„ 25.	Z	12660	2.0	$ePKP_I$ 11 h 02 m 41.7 s $ePKP_{II}$ 11 h 03 m 38.5 s ePP_{II} 11 h 04 m 31.7 s
		Ch	—	2.0	$ePKP_{II}$ 11 h 03 m 24.4 s ePP_{II}? 11 h 04 m 16.4 s e 11 h 14 m 05.4 s [e 11 h 06 m 55.2 s
		N	—	1.5	$ePKP_{II}$ 11 h 03 m 31.3 s e 11 h 14 m 25.0 s Zwei Beben überlagert; U. S. C. G. S. 0_I = 10 h 43 m 56.0 s 0_{II} = 10 h 44 m 57.0 s 8.5° S 123.5° E
167	„ 26.	Ch	—	1.0	ePKP 06 h 01 m 40.0 s e 06 h 11 m 53.0 s Wahrscheinlich Nachstoß zu Nr. 166 0 = 05 h 42 m 50.0 s
168	„ 26.	N	—	0.0	e 13 h 08 m 09.8 s
		Z	—	0.0	e 13 h 08 m 40.5 s schwach!
169	„ 30.	Z	—	0.1	iP 07 h 49 m 36.3 s Compr. Nur erste Vorläufer!
		Ch	—	0.1	eP 07 h 49 m 38.7 s Compr. B. I. 0 = 07 h 37 m 49.0 s 52.3° N 159.5° E h = 60 km
170	Juli 1.	Z	8550?	1.0	eP 03 h 11 m 34.1 s Compr. eS? 03 h 21 m 20.1 s
		Ch	—	1.0	eP 03 h 11 m 38.5 s Compr.
		N	8830?	0.8	eP 03 h 11 m 38.8 s eS? 03 h 21 m 36.0 s
171	„ 2.	Z	—	1.0	ePKP 07 h 16 m 12.2 s Compr. epPKP 07 h 17 m 18.7 s Compr. e 07 h 19 m 42.5 s
		B	16300	1.0	ePKP 07 h 16 m 12.5 s Compr. epPKP 07 h 17 m 20.0 s ePP 07 h 19 m 48.0 s
		Ch	—	0.9	ePKP 07 h 16 m 13.0 s Compr. i 07 h 16 m 16.3 s Dilat. i 07 h 16 m 20.2 s Dilat.
		N	—	0.7	ePKP 07 h 16 m 14.2 s U. S. C. G. S. 0 = 06 h 56 m 51.0 s 18.5° S 169° E h = 200 km
172	„ 7.	Ch	—	0.1	eP 04 h 20 m 25.2 s gestört!
		Z	10000	0.5	eP 04 h 20 m 25.8 s Compr. e 04 h 20 m 27.6 s epP 21 m 21.7 s ePP 24 m 08.4 s [eSKS 30 m 31.1 s eS 30 m 55.7 s
		B	10150	0.5	eP 04 h 20 m 29.9 s Compr. e 21 m 07.0 s e 21 m 52.0 s eS 31 m 07.0 s
		N	10000	0.5	eP 04 h 20 m 31.5 s eSKS 04 h 30 m 41.0 s U. S. C. G. S. 0 = 04 h 07 m 23.0 s 1.0° N 100° E h = 200 km
173	„ 7.	Z	—	0.1	eP 13 h 56 m 21.4 s Nur erste Vorläufer schwach!
		B	—	0.1	eP 13 h 56 m 23.8 s U. S. C. G. S. 0 = 13 h 44 m 03.0 s 47.5° N 156.0° E
174	„ 9.	Z	—	0.4	eP 19 h 11 m 01.9 s e 19 h 13 m 01.9 s
		N	—	0.6	eP 19 h 11 m 05.1 s
		Ch	—	0.2	eP 19 h 11 m 26.8 s
175	„ 9.	N	—	0.7	eP 21 h 31 m 38.9 s
		B	5000?	0.9	eP 21 h 31 m 39.8 s Dilat. eS? 21 h 38 m 16.0 s
		Z	4550	0.5	eP 21 h 31 m 51.0 s e 21 h 33 m 00.2 s e 21 h 35 m 15.2 s eS 21 h 37 m 59.6 s
		Ch	4990	—	eP 21 h 31 m 54.8 s Dilat. eS 21 h 38 m 30.0 s U. S. C. G. S. 0 = 21 h 23 m 48.0 s 30° N 42.5° W
176	„ 12.	Z	—	0.3	eP 01 h 01 m 29.4 s
		B	—	0.1	eP 01 h 01 m 35.6 s
177	„ 12.	Z	—	1.0	ePKP 07 h 01 m 56.1 s eL 07 h 57 m schwach! U. S. C. G. S. 0 = 06 h 43 m 05.0 s 2° S 139.5° E
178	„ 13.	N	—	0.2	ePKP 21 h 48 m 12.8 s epPKP 21 h 49 m 13.6 s schwach!
179	„ 14.	B	—	0.0	e 09 h 45 m 39.2 s e 09 h 45 m 51.0 s

Tabelle III (Fortsetzung)

Nr.	Datum	Station	Epizentral-entfernung nach S–P	Ungefähre Dauer der Registr.	Phasen, Bemerkungen
	1953		km	Std.	
180	Juli 15.	Z	—	0.1	eP 02 h 47 m 30.3 s Compr. Nur erste Vorläufer schwach!
		B	—	0.1	eP 02 h 47 m 30.6 s
					0 = 02 h 35 m 25.0 s 48.5° N 154.5° E
181	„ 16.	B	—	0.0	e 15 h 21 m 18.9 s
182	„ 20.	Ch	—	0.1	ePKP 08 h 27 m 55.3 s
		B	—	0.1	ePKP 08 h 27 m 55.9 s
		Z	—	0.2	ePKP 08 h 27 m 58.6 s Nur erste Vorläufer schwach!
					U. S. C. G. S. 0 = 08 h 08 m 20.0 s 21° S 177° W
183	„ 21.	Z	—	0.4	eP 17 h 35 m 28.3 s Compr. epP 17 h 35 m 43.8 s ePP 17 h 38 m 53.5 s
		Ch	9800	0.4	eP 17 h 35 m 28.3 s ?? Keine Zeitmarken! [eS 17 h 46 m 10.8 s
		B	—	0.1	eP 17 h 35 m 31.6 s Compr. e 17 h 37 m 35.0 s
					Ryukyu-Inseln! 0 = 17 h 22 m 39.0 s 27.5° N 128.0° E
184	„ 22.	Z	8730	1.5	eP 05 h 23 m 13.0 s Compr. ePP 05 h 26 m 07.2 s eS 05 h 33 m 06.5 s
		B	8680	1.0	iP 05 h 23 m 13.9 s Compr. e 24 m 44.0 s e 25 m 25.0 s eS 33 m 05.0 s
		N	8790	1.0	iP 05 h 23 m 17.5 s eS 05 h 33 m 14.0 s Azimut 20°
		Ch	8640	0.8	eP 05 h 23 m 18.0 s ? eS 05 h 33 m 06.0 s ? Keine Zeitmarken!
					0 = 05 h 11 m 15.0 s 51° N 157° E
185	„ 22.	Z	—	0.1	eP 13 h 04 m 29.7 s schwach! Nur erste Vorläufer!
		B	—	0.5	eP 13 h 04 m 36.6 h Compr.
					U. S. C. G. S. 0 = 12 h 52 m 12.0 s 42.5° N 143.0° E
186	„ 22.	Ch	—	0.1	eP? 15 h 13 m 23.3 s Min'-Lücke
		Z	1930	0.3	eP 15 h 13 m 29.4 s Dilat. eS 15 h 16 m 40.5 s
		B	—	0.4	eP 15 h 13 m 36.6 s eL 15 h 18 m 40.0 s
		N	—	0.5	eP 15 h 13 m 41.3 s eL 15 h 19 m 09.0 s
					Gespürt in Balikesri 0 = 15 h 09 m 37.0 s
187	„ 26.	Z	11500	0.3	eP 17 h 06 m 48.0 s ePP 17 h 11 m 22.0 s eSKS 17 h 17 m 17.4 s
		Ch	—	0.2	ePP 17 h 11 m 21.4 s Min'-Lücke eSKS 17 h 17 m 19.4 s Min'-Lücke
		N	—	0.5	ePP 17 h 11 m 32.3 s eSKS 17 h 17 m 26.0 s
					Nur Vorläufer! U. S. C. G. S. 0 = 16 h 53 m 16.0 s 17.5° N 145 E
					h = 200 km
188	„ 28.	Z	—	0.1	ez 07 h 14 m 22.3 s
189	„ 28.	Z	—	0.1	ePKP 07 h 58 m 31.3 s i 07 h 58 m 41.0 s Dilat. i 07 h 58 m 54.2 s Dilat.
		N	—	0.1	ePKP 07 h 58 m 31.7 s
		Ch	—	0.3	ePKP 07 h 58 m 33.4 s Dilat. i 07 h 58 m 41.8 s Dilat. i 07 h 58 m 56.1 s Compr.
					Fiji-Region U. S. C. G. S. 0 = 07 h 39 m 41.0 s 21 S 178.5 W h = 550 km
190	„ 29.	Z	—	0.3	eP 13 h 41 m 57.4 s Nur erste Vorläufer!
					nördlich Ascension-Insel; Atlantik 0 = 13 h 32 m 36.0 s
191	„ 29.	Z	16600	0.2	ePKP 23 h 37 m 45.7 s e 23 h 37 m 51.0 s ePP 23 h 41 m 20.6 s
		Ch	—	0.1	ePKP 23 h 37 m 49.0 s e 23 h 37 m 53.1 s
		N	—	0.2	ePKP 23 h 37 m 50.1 s
					Auf Apia verspürt U. S. C. G. S. 0 = 23 h 18 m 02.0 s 16.0° S 173° W
192	Aug. 1.	Z		0.1	ePKP 00 h 50 m 08.3 s Nur erste Vorläufer!
					U. S. C. G. S. 0 = 00 h 30 m 07.0 s 18.5° S 174 W
193	1.	Z		0.2	eP 04 h 16 m 13.6 s Nur erste Vorläufer schwach!
					B. I. 0 = 04 h 10 m 58.0 s 49° N 27° W
194	„ 2.	Z	—	0.1	ePKP 17 h 39 m 52.2 s i 17 h 39 m 54.4 s schwach!
		N	—	0.1	ePKP 17 h 39 m 53.4 s Dilat.
		Ch	—	0.1	ePKP 17 h 39 m 53.7 s
					B. I. 0 = 17 h 19 m 07 s 21 S 170 E
195	„ 4.	Z	16200	0.2	iPKP 14 h 12 m 32.9 s Dilat. ePP 14 h 15 m 54.4 s Compr. e 14 h 22 m 25.4 s
		Ch	16200	0.1	iPKP 14 h 12 m 33.7 s Dilat. ePP 14 h 15 m 53.5 s
		N	—	0.1	iPKP 14 h 12 m 36.1 s epPKP 14 h 13 m 25.0 s
					B. I. 0 = 13 h 53 m 16.0 s 16.3° N 167.5° E h = 200 km
196	„ 6.	Ch	—	0.1	eP 09 h 12 m 51.4 s Compr.
197	„ 9.	Ch	1250	0.4	eP 07 h 44 m 01.7 s eS 07 h 46 m 07.4 s
		Z	1400	0.5	eP 07 h 44 m 11.3 s eS 07 h 46 m 31.7 s
		N	1400	0.5	eP 07 h 44 m 18.8 s eS 07 h 46 m 39.0 s
					Schadenbeben auf Kephalonia; gespürt bis Triest
					B. I. 0 = 07 h 41.1 m 38.3° N 20.6° E Vorbeben zu Nr. 206

Tabelle III (Fortsetzung)

Nr.	Datum	Station	Epizentral-entfernung nach S–P	Ungefähre Dauer der Registr.	Phasen, Bemerkungen
	1953		km	Std	
198	Aug. 11.	Ch	1300	0.5	eP? 03 h 35 m 15.0 s Min'-Lücke eS 03 h 37 m 28.0 s
		Z	1400	0.6	eP 03 h 35 m 23.2 s eS 03 h 37 m 43.4 s
		N	—	1.0	eP 03 h 35 m 33.1 s eL 03 h 38 m 27.0 s
					Vorbeben zu Nr. 206; Schäden in Argostoli und Lixouri! 0 = 03 h 32 m 20.0 s
199	„ 11.	Z	—	0.1	e 03 h 49 m 43.4 s
					Vorbeben zu Nr. 206
200	„ 11.	Z	—	0.1	e 04 h 34 m 41.4 s
		Ch	—	0.1	e 04 h 35 m 23.0 s ?? Keine Zeitmarken!
201	„ 11.	Z	—	0.1	e 05 h 58 m 48.0 s
					Vorbeben zu Nr. 206
202	„ 11.	Ch	—	—	eP? 12 h 46 m 14.0 s Min'-Lücke eS? 12 h 48 m 14.0 s Min'-Lücke
		Z	1440?	0.2	eP? 12 h 46 m 18.2 s e 12 h 46 m 37.2 s eS? 12 h 48 m 42.7 s
					Vorbeben zu Nr. 206 0 = 12 h 43 m 24.0 s
203	„ 11.	Ch	1300	0.1	eP 13 h 14 m 00.7 s eS 13 h 16 m 11.5 s
		Z	1410	0.2	eP 13 h 14 m 10.0 s eS 13 h 16 m 31.3 s
					Vorbeben zu Nr. 206 0 = 13 h 11 m 06.0 s
204	„ 11.	Z	—	0.1	e 13 h 49 m 09.9 s
205	„ 12.	Ch	1240	0.2	eP 06 h 10 m 55.3 s Dilat. eS 06 h 12 m 59.4 s
		Z	1410	0.2	eP 06 h 11 m 01.1 s eS 06 h 13 m 22.6 s
		N	—	0.4	eP 06 h 11 m 13.5 s
					Vorbeben zu Nr. 206 0 = 06 h 08 m 03.0 s
206	„ 12.	Ch	1310	0.5	e? 09 h 26 m 44.9 s eP 09 h 26 m 46.4 s Compr. i 09 h 26 m 53.5 s eS 09 h 28 m 56.6 s
		Z	1490?	0 5	eP 09 h 26 m 55.7 s Compr. eS? 09 s 29 m 26.0 s
		N	1450	1.0	eP 09 h 27 m 05.2 s eS? 09 h 29 m 31.0 s
					Katastrophe auf den Jonischen Inseln
					B. I. 0 = 09 h 23 m 49.0 s 38.1° N 20.8° E
					Rom 0 = 09 h 23 m 50.0 s 38.7° N 20.9° E
207	„ 12.	Ch	1250	0.2	eP 10 h 10 m 37.0 s eS 10 h 12 m 42.6 s
		Z	—	0.1	eP 10 h 10 m 45.2 s e 10 h 10 m 58.7 s
					Nachstoß zu Nr. 206
208	„ 12.	Ch	1260	0.2	eP 11 h 36 m 42.2 s eS 11 h 38 m 48.9 s
		Z	1390	0.2	eP 11 h 36 m 49.8 s eS? 11 h 39 m 07.7 s
		N	—	0.2	eP 11 h 37 m 00.5 s
					Nachstoß zu Nr. 206 0 = 11 h 33 m 42.0 s
209	„ 12.	Ch	1320	0.3	eP 12 h 08 m 18.9 s eS 12 h 10 m 29.0 s
		Z	—	0.3	eP 12 h 08 m 25.6 s i 12 h 08 m 40.9 s
		N	—	0.3	eP 12 h 08 m 37.2 s e 12 h 10 m 31.0 s
					Nachstoß zu Nr. 206 0 = 12 h 05 m 20.0 s
210	„ 12.	Ch	1280	0.1	eP 13 h 42 m 17.3s eS 13 h 44 m 23.9 s
		Z	1320?	0.2	eP 13 h 42 m 35.3 s eS? 13 h 44 m 47.9 s
		N	1340	0.4	eP 13 h 42 m 37.6 s eS 13 h 44 m 51.0 s
					Nachstoß zu Nr. 206 0 = 13 h 29 m 20.0 s
211	„ 12.	Ch	1270	0.3	eP 14 h 11 m 33.9 s Dilat. eS 14 h 13 m 42.1 s
		Z	1410	0.2	eP 14 h 11 m 46.2 s e 14 h 11 m 57.3 s eS 14 h 14 m 07.4 s
		N	1350?	0.6	eP 14 h 11 m 53.2 s eS? 14 h 14 m 08.0 s
					Nachstoß zu Nr. 206 0 = 14 h 08 m 38.0 s
212	„ 12.	Ch	1220	0.2	eP 16 h 11 m 29.9 s eS 16 h 13 m 32.8 s
		Z	1330?	0.3	eP? 16 h 11 m 43.3 s eS? 16 h 13 m 57.5 s
		N	1320?	0.3	eP? 16 h 11 m 49.6 s eS? 16 h 14 m 01.0 s
					Nachstoß zu Nr. 206 0 = 16 h 08 m 28.0 s
213	„ 12.	Z	—	0.1	ez 17 h 13 m 02.4 s schwach!
					U. S. C. G. S. 0 = 16 h 53 m 42.0 s 22° S 175° W
214	„ 12.	Z	—	0.1	ez 17 h 56 m 13.6 s
					Vermutlich Nachstoß zu Nr. 206?
215	„ 12.	Z	1400	0.1	eP? 19 h 48 m 42.6 s Min'-Lücke eS 19 h 51 m 03.5 s
					Nachstoß zu Nr. 206
216	„ 12.	Z	1330	0.1	eP 22 h 20 m 53.0 s Dilat? eS? 22 h 23 m 06.6 s
					Nachstoß zu Nr. 206

Tabelle III (Fortsetzung)

Nr.	Datum	Station	Epizentral-entfernung nach S–P	Ungefähre Dauer der Registr.	Phasen, Bemerkungen
	1953		km	Std.	
217	Aug. 13.	Ch	1250	0 2	eP 03 h 24 m 59.9 s eS 03 h 27 m 06.0 s
		Z	—	0.2	eP? 03 h 25 m 12.3 s e 03 h 25 m 22.8 s eS? 12 h 27 m 40.0 s Min'-Lücke
		N	1320	0.5	eP 03 h 25 m 23.2 s eS? 03 h 27 m 35.0 s
					Nachstoß zu Nr. 206 0 = 03 h 22 m 04.0 s
218	„ 13.	Z	16660	0.2	ePKP 09 h 42 m 56.6 s i 43 m 05.0 s epP 44 m 33.5 s ePP 46 m 39.3 s
		Ch	—	0.1	ePKP 09 h 42 m 59.5 s Dilat. i 09 h 43 m 03.1 s Compr. [eSKKS 53 m 19.3 s
		N	16700	0.4	ePKP 09 h 43 m 05.7 s eSKKS 09 h 53 m 30.0 s
					U. S. C. G. S. 0 = 09 h 23 m 23.0 s 21.5° S 170.0° E h = 150 km
					Gespürt in Numea!
219	„ 13.	Ch	1240	0.2	eP 10 h 19 m 44.5 s eS 10 h 21 m 49.0 s
		Z	1350?	0.2	eP? 10 h 19 m 58.7 s e 10 h 20 m 05.7 s eS 10 h 22 m 13.9 s
		N	1350?	0.4	eP? 10 h 20 m 11.5 s eS 10 h 22 m 27.0 s
					Nachstoß zu Nr. 206 0 = 10 h 16 m 50.0 s
220	„ 13.	Ch	1240?	0.1	eP 14 h 46 m 31.9 s eS? 14 h 48 m 37.0 s
		Z	1340?	0.1	eP? 14 h 46 m 36.4 s eS? 14 h 48 m 50.2 s
					Nachstoß zu Nr. 206 0 = 14 h 43 m 29.0 s
221	„ 14.	Z	—	0.1	eP? 01 h 26 m 32.5 s eS? 01 h 28 m 33.0 s
					Vermutlich Nachstoß zu Nr. 206?
222	„ 14.	Z	1350	0.2	eP 21 h 39 m 53.0 s i 21 h 40 m 05.8 s eS? 21 h 42 m 17.7 s
					Nachstoß zu Nr. 206
223	„ 17.	Ch	1250?	0.1	eP 00 h 27 m 22.0 s eS? 00 h 29 m 28.0 s
		Z	—	0.2	eP 00 h 27 m 38.3 s eS? 00 h 29 m 46.0 s
					Nachstoß zu Nr. 206
224	„ 17.	Ch	1260?	0.1	eP? 02 h 15 m 18.0 s Min'-Lücke eS 02 h 17 m 25.0 s
		Z	1320?	0.2	eP? 02 h 15 m 40.7 s eS? 02 h 17 m 51.0 s
					Nachstoß zu Nr. 206 0 = 02 h 12 m 20.0 s
225	„ 18.	Z	1330?	0.2	eP? 22 h 47 m 02.0 s eS? 22 h 49 m 15.3 s
					Nachstoß zu Nr. 206. 0 = 22 h 43 m 47.0 s
226	„ 19.	Z	1370?	0.2	eP 00 h 56 m 54.7 s e 00 h 57 m 08.8 s eS? 00 h 59 m 11.2 s
					Nachstoß zu Nr. 206
227	„ 19.	Z	1280?	0.1	eP 03 h 20 m 42.0 s eS? 03 h 22 m 50.7 s
					Nachstoß zu Nr. 206
228	„ 19.	Z	1370?	0.2	eP 19 h 48 m 23.1 s eS? 19 h 50 m 40.3 s
					Nachstoß zu Nr. 206?
229	„ 20.	Ch	1270?	0.2	eP 19 h 30 m 14.3 s Dilat. eS 19 h 32 m 22.0 s
		Z	1350?	0.2	eP? 19 h 30 m 26.3 s Min'-Lücke i 19 h 30 m 33.8 s eS 19 h 32 m 41.4 s
					Nachstoß zu Nr. 206 0 = 19 h 27 m 18.0 s
230	„ 23.	Ch	—	0.1	eP 07 h 27 m 20.7 s Dilat.
		Z	—	0.5	eP? 07 h 27 m 23.1 s Min'-Lücke eSS? 07 h 38 m 18.5 s Min'-Lücke
					U. S. C. G. S. 0 = 07 h 18 m 06.0 s 01° S 14° W
231	„ 25.	Z	—	0.1	ePKP 02 h 23 m 22.5 s Nur Vorläufer schwach!
		Ch	—	0.1	ePKP 02 h 23 m 23.7 s Dilat.
		B	—	0.1	ePKP 02 h 23 m 25.8 s
					B. I. 0 = 02 h 04 m 16.0 s 4.3° S 152.8° E
232	„ 27.	Z	—	0.1	eP 19 h 37 m 33.3 s schwach!
					Vermutlich Nachstoß zu Nr. 206
233	„ 27.	Z	—	0.2	eP 22 h 28 m 35.7 s Compr. Nur erste Vorläufer!
		Ch	—	0.1	eP 22 h 28 m 36.2 s Compr.
					Nach japanischen Stationen 0 = 22 h 16 m 40.0 s 43.2° N 142.5° E h = 150 km
234	„ 28.	Ch	1250	0.2	eP 20 h 41 m 43.0 s eS 20 h 43 m 49.0 s
		Z	1450?	0.2	eP 20 h 41 m 57.5 s eS 20 h 44 m 22.2 s e 20 h 44 m 42.9 s
		N	—	0.2	eP? 20 h 41 m 57.6 s
					Nachstoß zu Nr. 206 0 = 20 h 38 m 46.0 s
235	„ 29.	Ch	—	0.1	eP 02 h 08 m 25.4 Compr.
		Z	6520	0.4	eP 02 h 08 m 31.0 s Compr. eS 02 h 16 m 31.2 s
		B	-	0.1	eP 02 h 08 m 36.1 s
		N	-	0.7	eP 02 h 08 m 38.1 s
					0 = 01 h 58 m 24.0 s 28.0° N 82° E

Tabelle III (Fortsetzung)

Nr.	Datum	Station	Epizentral-entfernung nach P–S	Ungefähre Dauer der Registr.	Phasen, Bemerkungen
	1953		km	Std.	
236	Aug. 29.	N	—	0.7	eP? 14 h 11 m 36.3 s
		Z	1190	0.7	eP? 14 h 11 m 46.5 s e 14 h 11 m 57.2 s eS? 14 h 13 m 46.0 s e 14 h 14 m 18.0 s
		B	—	0.6	eP? 14 h 12 m 10.0 s eS 14 h 14 m 37.0 s
					B. I. 0 = 14 h 08 m 50.0 s 35.8° N 5.0° E Ampère VI—VII
237	„ 31.	Z	—	0.0	ez 13 h 28 m 13.0 s schwach!
		B	—	0.0	e 13 h 29 m 12.5 s e 13 h 29 m 37.0 e 13 h 29 m 48.0 s
238	„ 31.	B	—	0.2	eP 08 h 04 m 35.6 s
		Z	8440	0.3	iP 08 h 04 m 35.6 s Compr. eS 08 h 14 m 15.4 s Az. 15°
		Ch	—	0.1	eP 08 h 04 m 38.1 s Dilat. i 08 h 04 m 38.5 s Compr.
		N	—	0.1	iP 08 h 04 m 40.7 s
					Kamtschatka U. S. C. G. S. 0 = 07 h 52 m 46.0 s 53.5° N 160° E h = 60 km
239	„ 31.	Z	—	0.1	eP 17 h 22 m 06.0 s schwach!
					Nachstoß zu Nr. 238 0 = 17 h 10 m 06.0 s
240	„ 31.	Z	—	0.1	e 17 h 27 m 12.4 s Schwache Spuren!
					Nachstoß zu Nr. 238 0 = 17 h 15 m 20.0 s
241	Sept. 1.	Z	1280?	0.2	eP? 20 h 13 m 35.5 s eS? 20 h 15 m 44.7 s
					Nachstoß zu Nr. 206 0 = 20 h 10 m 22.0 s
242	„ 4.	Ch	—	1.0	eP 07 h 35 m 07.7 s Compr. eL 08 h 07 m
		N	8770	1.0	eP 07 h 35 m 10.3 s eS 07 h 45 m 05.0 s
		B	—	1.0	eP 07 h 35 m 15.6 s Compr.
		Z	—		gestört!
					B. I. 0 = 07 h 23 m 05.0 s 51.0° N 156.3° E h = 60 km
243	„ 5.	Z	2090	0.2	eP 01 h 12 m 191.1 s Dilat? eS? 01 h 15 m 44.0 s eL 01 h 18 m 07.1 s
		N	—	0.4	e 01 h 18 m 53.4 s
					B. I. 0 = 01 h 08 m 00.0 s 35.5° N 28.0° E
244	„ 5.	Ch	—	0.3	eP 14 h 21 m 54.4 s eL 14 h 26 m 16.5 s
		Z	1510	0.4	eP 14 h 22 m 03.9 s i 14 h 22 m 13.8 s eS 14 h 24 m 35.0 s
		N	1810?	0.5	eP 14 h 22 m 14.4 s eS? 14 h 25 m 15.0 s
		B	1720?	0.5	eP 14 h 22 m 15.4 s Dilat. eS 14 h 25 m 07.0 s e 14 h 34 m 31.0 s
					Zerstörungen am Golf von Korinth B. I. 0 = 14 h 18 m 41.0 s 37.8° N 23.0° E
245	„ 5.	B	—	0.2	eP 19 h 10 m 13.1 s
		Z	8440?	0.2	eP 19 h 10 m 13.3 s Compr. eS? 19 h 19 m 52.1 s
		Ch	—	0.1	eP 19 h 10 m 15.6 s
		N	—	0.2	eP 19 h 10 m 18.6 s
					U. S. C. G. S. 0 = 18 h 58 m 09.0 s 51° N 157° E
246	„ 6.	Z	—	0.3	eP 01 h 41 m 38.6 s e 01 h 49 m 51.6 s Nur Vorläufer!
					0 = 01 h 32 m 24.0 s 50.5° N 90.0° E
247	„ 7.	Ch	2140	0.4	eP 04 h 03 m 08.0 s ?e 04 h 06 m 38.0 s ?? Keine Zeitmarken!
		Z	2010	0.5	eP 04 h 03 m 15.4 s Dilat. i 04 h 03 m 20.4 s eS 04 h 06 m 33.0 s
		B	2180?	0.6	eP? 04 h 03 m 25.5 s Min'-Lücke eS 04 h 07 m 10.0 s eL 04 h 09 m 46.0 s
		N	2300?	0.4	iP 04 h 03 m 30.1 s eS? 04 h 07 m 14.0 s
					B. I. 0 = 03 h 58 m 57.0 s 41.3° N 32.8° E
248	„ 7.	Z	—	0.1	e 07 h 35 m 24.0 s schwach!
					Nachstoß zu Nr. 206 0 = 07 h 32 m 04.0 s
249	„ 10.	Ch	2480	0.1	eP 04 h 10 m 45.7 s Compr. eS 04 h 14 m 44.3 s
		Z	2370	—	eP 04 h 10 m 54.5 s Compr. eS 04 h 14 m 45.2 s Az. SE
		B	2460?	—	eP 04 h 10 m 59.4 s eS 04 h 14 m 56.0 s
		N	2760?	—	eP 04 h 11 m 02.1 s eS 04 h 15 m 20.0 s
					Schadenbeben auf Cypern B. I. 0 = 04 h 06 m 03.0 s 35.0° N 32.3° E
					auch makroseismische Beobachtungen aus Ägypten!
250	„ 14.	Ch	—	0.1	ePKP 00 h 46 m 20.0 s Dilat. i 00 h 46 m 28.6 s
		Z	16400	0.4	ePKP 00 h 46 m 22.5 s Dilat. ePP 00 h 49 m 47.2 s Nur Vorläufer!
		B	16550	1.0	ePKP 00 h 46 m 23.9 s e 00 h 48 m 26.0 s ePP 00 h 49 m 53.0 s
		N	—	0.7	ePKP 00 h 46 m 30.9 s
					U. S. C. G. S. 0 = 00 h 26 m 36.0 s 18.5° S 178.5° E h = 60 km
					Schadenbeben mit Flutwelle auf den Fiji-Inseln
251	„ 14.	N	—	0.1	e 09 h 10 m 17.6 s
					U. S. C. G. S. 0 = 08 h 58 m 12.0 s 52.0° N 161.5° E

Tabelle III (Fortsetzung)

Nr.	Datum	Station	Epizentral-entfernung nach S–P	Ungefähre Dauer der Registr.	Phasen, Bemerkungen
	1953		km	Std.	
252	Sept. 14.	Z	10870?	0.5	eP? 11 h 25 m 56.6 s ePP 11 h 29 m 56.0 s e 11 h 39 m 42.9 s schwach!
		N	—	0.1	e 11 h 29 m 53.5 s
					U. S. C. G. S. 0 = 11 h 12 m 06.0 s 52.5° S 26.0° E
253	„ 14.	Ch	1230	0.3	eP 14 h 59 m 05.5 s Dilat. eS 15 h 01 m 09.2 s
		Z	1250?	0.4	eP 14 h 59 m 19.6 s i 14 h 59 m 28.4 s eS? 15 h 01 m 25.8 s
		N	—	0.5	e 14 h 59 m 23.0 s e 15 h 01 m 40.0 s
					Nachstoß zu Nr. 206 0 = 14 h 56 m 10.0 s Astakos VII
254	„ 15.	Ch	1220	0.2	eP 11 h 40 m 46.5 s eS 11 h 42 m 49.2 s
		Z	1260?	0.1	eP 11 h 40 m 56.9 s eS? 11 h 43 m 04.4 s
		B	—	0.1	e 11 h 42 m 23.9 h eS 11 h 43 m 24.0 h
		N	—	0.1	e 11 h 43 m 16.3 s e 11 h 43 m 37.0 s
					Nachstoß zu Nr. 206 0 = 11 h 37 m 57.0 s Leukas IV
255	„ 17.	Z	17000	0.2	ePKP 21 h 31 m 43.0 s Dilat. e 21 h 31 m 54.9 s ePP 21 h 35 m 29.5 s
		B	17000	0 5	ePKP 21 h 32 m 01.3 s ePP 21 h 35 m 47.0 s
					Tonga-Region! U. S. C. G. S. 0 = 21 h 11 m 48.0 s 20.5° S 174.0° W
					h = 100 km
256	„ 23.	Z	8500	0.8	eP 02 h 26 m 36.2 s Compr. ePP? 02 h 29 m 17.5 s eS 02 h 36 m 17.5 s
		B	—	0.8	eP 02 h 26 m 36.2 s e 02 h 30 m 16.0 s
		Ch	8500	0.8	eP 02 h 26 m 37.8 s Compr. eS 02 h 36 m 19.0 s
		N	—	0.7	eP 02 h 26 m 40.8 s e 02 h 37 m 04.0 s
					0 = 02 h 14 m 36.0 s 50.5° N 156.0° E h = 60 km
257	„ 25.	B	—	0.1	e 17 h 26 m 12.3 s e 17 h 27 m 03.0 s
258	„ 27.	B	—	0.5	eP 06 h 16 m 02.5 s e 06 h 24 m 32.0 s
		Z	7150	0.4	eP 06 h 16 m 02.5 s Dilat. e 06 h 16 m 35.9 s eS 06 h 24 m 36.8 s
		Ch	—	0.1	eP 06 h 16 m 06.9 Dilat.
					U. S. C. G. S. 0 = 06 h 05 m 27.0 s 14.0° N 58.0° W
259	„ 28.	N	—	0.1	iP 21 h 43 m 18.6 s eL 21 h 45 m 42.0 s
		B	1100?	0.1	eP 21 h 43 m 29.2 s e 21 h 44 m 11.0 s eS? 21 h 45 m 20.0 s
		Z	—	0.1	eP 21 h 43 m 31.8 s e 21 h 43 m 47.4 s
		Ch	—	0.1	eP 21 h 43 m 37.9 s
					Nach Toledo 0 = 21 h 41 m 11.0 s 41° 10′ N 1° 40′ W; in Tortosa verspürt!
260	„ 29.	Ch	18300	0.5	ePKP 01 h 56 m 14.0 s epPKP 01 h 57 m 20.4 s Dilat. ePP 02 h 01 m 13.4 s
		B	18350	0.7	ePKP 01 h 56 m 14.1 s epPKP 01 h 57 m 24.0 s ePP 02 h 01 m 15.0 s
		Z	18200	1.0	ePKP 01 h 56 m 14.6 s ipPKP 01 h 57 m 21.0 s Dilat. e 01 h 58 m 52.0 s
		N	—	1.0	epPKP 01 h 57 m 25.5 s e 02 h 06 m 52.0 s [ePP 02 h 01 m 11.3 s
					U. S. C. G. S. 0 = 01 h 36 m 45.0 s 36.5° S 177.0° E h = 300 km
261	„ 30.	Z	—	1.0	eP? 23 h 16 m 59.8 s e 23 h 21 m 00.0 s e 23 h 27 m 06.5 s Analyse fraglich
		Ch	—	1 0	e 23 h 20 m 27.5 s e 23 h 29 m 28.5 s eL 23 h 47 m 30.0 s
		B	—	0.5	eL 23 h 45 m
		N	—	0.7	eL 23 h 51 m 52.4 s
					0 = 23 h 04 m 08.0 s 22.0° N 107.5° W In Mazatlan verspürt!
262	Okt. 3.	Z	—	0.1	ez 22 h 46 m 36.1 s
263	„ 5.	Z	8400	0.4	iP 04 h 43 m 33.7 s Compr. e 04 h 44 m 27.5 s eS 04 h 53 m 11.0 s
		B	—	0.7	eP 04 h 43 m 34.0 s Compr. eL 05 h 15 m Schwach!
		Ch	—	0.5	eP 04 h 43 m 36.3 s
		N	—	0.7	iP 04 h 43 m 37.7 s Azimut 10°
					U. S. C. G. S. 0 = 04 h 31 m 40.0 s 53.5° N 160.5° E
264	„ 6.	Z	14100	1.5	ePKP 21 h 57 m 15.8 s ePP 21 h 59 m 17.8 s
		Ch	—	1.0	ePKP 21 h 57 m 23.0 s eL 22 h 47 m
		N	—	1.0	ePP 21 h 59 m 11.8 s
					U. S. C. G. S. 0 = 21 h 38 m 16.0 s 3.5 S 151 E
265	„ 6.	N	—	0.1	ePKP 23 h 13 m 25.9 s
		Z	—	0.1	ePKP 23 h 13 m 29.5 s Compr.? e 23 h 13 m 45.6 s
		Ch	—	0.1	ePKP 23 h 13 m 41.3 s Dilat.
					0 = 22 h 53 m 34.0 s 23° S 171° E
266	„ 7.	B	—	0.0	ez 09 h 10 m 23.0 s e 09 h 10 m 37.0 s
267	„ 8.	Z	2570?	0.4	eP 10 h 31 m 57.7 s eS? 10 h 36 m 09.4 s
		B	—	0.1	eP 10 h 32 m 06.6 s
					B. I. 0 = 10 h 26 m 59.0 s 40.3° N 38.3 E°

Tabelle III (Fortsetzung)

Nr.	Datum	Station	Epizentral-entfernung nach S–P	Ungefähre Dauer der Registr.	Phasen, Bemerkungen
	1953		km	Std.	
268	Okt. 8.	Z	—	0.0	e 19 h 10 m 47.6 s Min'-Lücke Nur erste Vorläufer schwach!
		B	—	0.1	eL 19h 41 m
					U. S. C. G. S. 0 = 19 h 11 m 00.0 s 32.0° N 82.5° E
269	„ 10.	Ch	1300	0.3	e? 21 h 32 m 05.8 s fraglich! eP 21 h 32 m 10.9 s Dilat. eS 21 h 34 m 21.3 s
		Z	1350	0.4	eP 21 h 32 m 21.0 s e 21 h 32 m 23.7 s eS 21 h 34 m 36.5 s
		B	1520?	0.7	eP 21 h 32 m 24.9 s eS? 21 h 34 m 58.0 s e 21 h 35 m 16.0 s
		N	1360	0.7	eP 21 h 32 m 28.5 s eS 21 h 34 m 45.0 s
					Nachstoß zu Nr. 206 0 = 21 h 29 m 16.0 s Leukos V
270	„ 11.	Z	8850	1.0	eP 13 h 20 m 36.2 s eS 13 h 30 m 35.1 s
		Ch	8970	1.0	e? 13 h 20 m 36.8 s eP 13 h 20 m 37.9 s Dilat. i 13 h 20 m 42.4 s Dilat.
		B	—	1.0	eP 13 h 20 m 37.3 s e 13 h 21 m 58.0 s [eS? 13 h 30 m 42.0 s
		N	9200?	1.0	eP 13 h 20 m 39.8 s eS? 13 h 30 m 54.0 s
					U. S. C. G. S. 0 = 13 h 08 m 34.0 s 50° N 155.5° E h = 60 km
271	„ 11.	Ch	—	0.5	eP 17 h 17 m 46.1 s Dilat. e 17 h 27 m 35.3 s eL 17 h 39 m 36.0 s
		Z	6420	0.8	eP 17 h 17 m 50.4 s ePP 17 h 19 m 58.6 s eS 18 h 25 m 45.9 s
		B	—	0.8	eP 17 h 17 m 55.3 s
		N	—	0.8	eP 17 h 17 m 58.3 s
					U. S. C. G. S. 0 = 17 h 08 m 06.0 s 31.5° N 83° E
272	„ 13.	Z	—	0.0	e 13 h 02 m 45.7 s
273	„ 14.	Z	9040	0.5	e? 14 h 59 m 26.0 s eP 14 h 59 m 29.0 s iP 14 h 59 m 31.2 s Dilat.
					[epP 14 h 59 m 56.1 s ePP 15 h 02 m 12.8 s eS 15 h 09 m 30.0 s
		Ch	9120	0.4	eP 14 h 59 m 26.8 s iP 14 h 59 m 31.5 s Compr. eS 15 h 09 m 33.1 s
		B	9130	0.7	eP 14 h 59 m 30.6 s ePP 15 h 02 m 26.0 s e 15 h 09 m 13.0 s eS 15 h 09 m 38.0 s
		N	—	0.5	eP 14 h 59 m 34.5 s
					Nach japanischen Stationen 0 = 14 h 47 m 23.0 s 42.8° N 144.6° E h = 90 km
274	„ 16.	B	—	0.1	eP 10 h 05 m 56.7 s
		Z	—	0.2	eP 10 h 06 m 07.3 s Compr. Registrierung gestört!
					0 = 09 h 53 m 15.0 s 16° N 96.5° W
275	„ 16.	Ch	1280	0.2	eP 21 h 47 m 35.7 s eS 21 h 49 m 44.4 s
		Z	1380	0.2	eP 21 h 47 m 50.2 s eS? 21 h 50 m 10.2 s
		B	—	0.5	e 21 h 48 m 30.7 s e 21 h 52 m 10.0 s
					B. I. 0 = 21 h 44 m 40.0 s 38.3° N 20.8° E Lixourion V—VI, Leukos IV
276	„ 17.	Z	1890	0.2	eP 00 h 58 m 01.8 s eS 01 h 01 m 08.7 s
		B	1820	0.2	eP 00 h 58 m 20.6 s eS 01 h 01 m 20.0 s
					Kreta B. I. 0 = 00 h 53 m 54.0 34.3° N 25.0° E
277	„ 17.	Z	8730	1.0	eP 21 h 19 m 23.8 s Compr. eS 21 h 29 m 16.7 s
		B	—	1.0	eP 21 h 19 m 25.6 s
		Ch	—	0.8	eP 21 h 19 m 25.7 s eL 21 h 55 m 20.0 s
		N	8950?	1.0	eP 21 h 19 m 28.2 s eS? 21 h 29 m 31.0 s
					U. S. C. G. S. 0 = 21 h 07 m 22.0 s 52.0° N 159.0° E
278	„ 20.	Z	—	0.2	eP 05 h 42 m 02.0 s Compr. Nur erste Vorläufer schwach!
		B	—	0.1	eP 05 m 42 m 08.4 s
		N	—	0.1	eP 05 h 42 m 14.6 s
					B. I. 0 = 05 h 36 m 52.0 s 42.0° N 41.0° E
279	„ 21.	Ch	1270	0.2	eP 11 h 33 m 56.5 s eS 11 h 36 m 03.4 s
		Z	1300	0.4	eP 11 h 34 m 01.1 s e 11 h 34 m 13.1 s eS 11 h 36 m 11.3 s
		N	—	0.7	eP 11 h 34 m 14.4 s eL 11 h 38 m 33.0 s
		B	1180?	0.7	eP 11 h 34 m 18.6 s eS? 11 h 36 m 16.0 s
					Nachstoß zu Nr. 206 0 = 11 h 31 m 01.0 s Astakos VI
280	„ 21.	Ch	1230	0.3	eP 18 h 42 m 45.6 s eS 18 h 44 m 48.0 s
		Z	1330	0.4	eP 18 h 42 m 55.3 s e 18 h 43 m 05.7 s eS 18 h 45 m 07.7 s
		N	—	0.7	eP 18 h 43 m 03.7 s eL 18 h 47 m 41.0 s
		B	1440	0.4	eP 18 h 43 m 05.2 eS? 18 h 45 m 30.0 s
					Nachstoß zu Nr. 206 0 = 18 h 39 m 51.0 s Astakos VII, Leukos V; auf Kephalonia leichtes Schadenbeben
281	„ 21.	Z	1290?	0.2	eP 23 h 47 m 00.8 s eS? 23 h 49 m 09.9 s
		N	—	0.4	eP 23 h 47 m 12.7 s eL 23 h 51 m 41.0 s
		B	1410	0.4	eP 23 h 47 m 15.2 s eS? 23 h 49 m 37.0 s
					Nachstoß zu Nr. 206 0 = 23 h 44 m 01.0 s
282	„ 23.	B	—	0.0	e 14 h 37 m 09.9 s

Tabelle III (Fortsetzung)

Nr.	Datum	Station	Epizentral-entfernung nach P–S	Ungefähre Dauer der Registr.	Phasen, Bemerkungen
	1953		km	Std.	
283	Okt. 27.	B	—	0.5	iP 18 h 33 m 33.3 s epP 18 h 34 m 38.0 s ePP 18 h 36 m 40.0 s e 18 h 43 m 30.0 s
		Z	10500	0.4	iP 18 h 33 m 35.6 s Compr. epP 18 h 34 m 32.5 s ePP 18 h 36 m 43.4 s [eSKS 18 h 43 m 48.4 s
					U. S. C. G. S. 0 = 18 h 20 m 48.0 s 19.0° S 66.0° W h = 300
					Gespürt in Bolivien und Chile
284	Nov. 1.	B	—	0.1	eP 21 h 07 m 56.9 s Nur erste Vorläufer!
					0 = 20 h 55 m 39.0 s 48.2° N 153.8° E
285	„ 3.	Z	1300?	0.2	eP 22 h 32 m 46.9 s eS? 22 h 35 m 01.9 s
		B	—	—	eP? 22 h 33 m 02.5 s
					Nachstoß zu Nr. 206; 0 = 22 h 29 m 25.0 s
286	„ 4.	B	—	0.1	e 01 h 27 m 14.5 s
287	„ 4.	Ch	15780	2.0	ePKP 04 h 08 m 34.0 s e 04 h 08 m 37.3 s ePP 04 h 11 m 42.8 s
		B	15780	2.0	ePKP 04 h 08 m 34.0 s e 04 h 08 m 44.0 s ePP 04 h 11 m 43.0 s
		Z	15770	2.0	ePKP 04 h 08 m 34.2 s ePP 04 h 11 m 42.2 s e 04 h 12 m 32.2 s
		N	—	1.0	ePKP 04 h 08 m 42.7 s
					U. S. C. G. S. 0 = 03 h 49 m 04.0 s 12.5° S 166.5° E
288	„ 4.	Z	—	0.5	ePKP 04 h 24 m 12.1 s e 04 h 27 m 17.1 s
		N	—	0.5	ePKP 04 h 24 m 15.9 s
		B	—	0.5	ePKP 04 h 24 m 16.0 s
					Nr. 287 überlagert; Nachstoß 0 = 04 h 04 m 44.0 s
289	„ 4.	Ch	—	0.1	eP 06 h 16 m 20.3 s Dilat.
		Z	—	0.1	eP 06 h 16 m 21.0 s Nur erste Vorläufer!
		B	—	0.1	eP 06 h 16 m 22.9 s e 06 h 18 m 29.0 s
					B. I. 0 = 06 h 05 m 07.0 s 39° N 129° E h = 650 km
290	„ 5.	Z	—	0.1	ez 08 h 29 m 42.5 s ez 08 h 30 m 30.3 s Nur schwache Vorläufer!
		B	—	0.2	eP 08 h 29 m 48.0 s e 08 h 32 m 23.0 s
		Ch	—	0.1	epP 08 h 30 m 39.2 s e 08 h 35 m 45.0 s
					B. I. 0 = 08 h 21 m 39.0 s 36.5° N 70.0° E h = 220 km
291	„ 8.	Ch	1280	0.2	eP 01 h 15 m 25.3 s eS 01 h 17 m 34.0 s
		Z	—	0.2	eP? 01 h 15 m 33.4 s iz 01 h 15 m 47.7 s eS? 01 h 17 m 28.1 s
		B	—	0.2	eP? 01 h 15 m 44.9 s eS? 01 h 18 m 00.0 s
					Nachstoß zu Nr. 206 0 = 01 h 12 m 27.0 s Astakos V
292	„ 8.	Z	—	0.2	eP 14 h 49 m 05.0 s i 14 h 49 m 15.0 s eS? 14 h 51 m 43.1 s
					B. I. 0 = 14 h 45 m 48.0 s 39.0° N 24.0° E Procopion VI
293	„ 8.	Z	—	0.1	eP 15 h 45 m 26.3 s Nur erste Vorläufer schwach!
		Ch	—	0.1	eP 15 h 45 m 27.6 s
294	„ 9.	Z	8590	1.0	eP 15 h 37 m 35.7 s Compr. eS 15 h 47 m 25.2 s
		B	—	1.0	eP 15 h 37 m 36.6 h Compr. e 15 h 43 m 26.0 s
		Ch	—	—	eP 15 h 37 m 37.9 Compr.
		N	8770	1.0	eP 15 h 37 m 39.1 s eS 15 h 47 m 34.0 s
					U. S. C. G. S. 0 = 17 h 25 m 42.0 s 52.5° N 159° E h = 60 km
295	„ 10.	Z	8640	1.0	eP 23 h 52 m 21.0 s Compr. ePP 23 h 55 m 04.5 s eS 00 h 02 m 12.1 s
		B	8680	1.0	eP 23 h 52 m 21.2 s Compr. e 23 h 54 m 14.0 s ePP 23 h 55 m 10.0 s
		Ch	8840	0.7	eP 23 h 52 m 23.6 s eS 00 h 02 m 22.9 s [eS 00 h 02 m 13.0 s
		N	9250?	1.0	eP 23 h 52 m 25.2 s eS? 00 h 02 m 43.0 s
					U. S. C. G. S. 0 = 23 h 40 m 20.0 s 50.5° N 157.0° E
296	„ 12.	Z	—	0.1	ePKP 15 h 53 m 07.7 s e 15 h 53 m 25.9 s Dilat. schwach!
		B	—	0.1	ePKP 15 h 53 m 08.5 s
					B. I. Ile Loyauté 0 = 15 h 33.3 m
297	„ 13.	Ch	9450	0.4	eP 16 h 29 m 40.6 s Compr. eSKS 16 h 40 m 01.7 s
		B	9000?	0.5	eP 16 h 29 m 46.6 s eSKS? 16 h 39 m 56.0 s
		N	9800?	0.7	eP 16 h 29 m 49.4 s eSKS? 16 h 40 m 18.0 s
		Z	—	—	Anfang gestört durch Konstantenbestimmung eSKS 16 h 40 m 02.4 s
					B. I. 0 = 16 h 17 m 05.0 s 3.5° N 96° E
298	„ 13.	Z	15780	1.5	ePKP 19 h 35 m 04.1 s e 19 h 35 m 37.0 s ePP 19 h 38 m 12.1 s
		Ch	15780	1.2	ePKP 19 h 35 m 04.2 s ePP 19 h 38 m 12.4 s eL 20 h 38 m 45.0 s
		N	—	1.0	ePKP 19 h 35 m 12.0 s
		B	15110	0.8	ePKP 19 h 35 m 17.8 s ePP 19 h 38 m 00.0 s
					U. S. C. G. S. 0 = 19 h 15 m 37.0 s 13° S 166° E

Tabelle III (Fortsetzung)

Nr.	Datum	Station	Epizentral-entfernung nach S–P	Ungefähre Dauer der Registr.	Phasen, Bemerkungen
	1953		km	Std	
299	Nov. 14.	Z	8730	0.4	eP 20 h 15 m 29.2 s Compr. e 20 h 15 m 58.9 s eS 20 h 25 m 22.8 s e 20 h 25 m 34.7 s
		B	8780	0.7	eP 20 h 15 m 30.1 s Compr. e 20 h 25 m 00.0 s eS 20 h 25 m 26.0 s
		N	8850	0.7	eP 20 h 15 m 33.3 s eS 20 h 25 m 32.0 s
					B. I. 0 = 20 h 03 m 30.0 s 52.8 N 160.3
300	„ 16.	Z	—	0.1	ePKP 16 h 20 m 43.4 s Nur schwache Vorläufer!
		B	—	0.1	ePKP 16 h 21 m 38.4 s Dilat.
					B. I. 0 = 16 h 00 m 53.0 s Iles Loyauté!
301	„ 16.	Z		0.1	ePKP 17 h 37 m 15.4 s Dilat. e 17 h 37 m 18.2 s Dilat. e 17 h 39 m 58.6 s
		B	—	0.1	ePKP 17 h 37 m 15.4 s e 17 h 40 m 03.0 s
		N	-	0.1	ePKP 17 h 37 m 16.7 s
					Nur Vorläufer! U. S. C. G. S. 0 = 17 h 17 m 27.0 s 21.5° S 169.0° E
302	„ 16.	N	-	0.1	eP 19 h 42 m 35.5 s
		Z		0.1	eP 19 h 42 m 35.6 s Nur schwache Vorläufer!
					Kamtschatka 0 = 19 h 30 m 36.0 s
303	„ 17.	Z	—	0.2	ePKP 04 h 39 m 26.0 s Nur Vorläufer schwach!
		B	—	0.2	ePKP 04 h 39 m 27.3 s Dilat.
					Nachstoß zu Nr. 301
304	„ 17.	Z	—	0.2	ePKP 10 h 05 m 14.9 s Dilat. Nur Vorläufer schwach!
		Ch	—	0.1	ePKP 10 h 05 m 15.0 s
		B	—	0.1	ePKP 10 h 05 m 16.5 s Dilat.
		N	-	0.1	ePKP 10 h 05 m 17.5 s
					B. I. 0 = 09 h 45 m 23.0 s 20.8° S 168.5° E Nachstoß zu Nr. 301
305	„ 17.	N	—	1.0	iP 13 h 42 m 36.0 s e 13 h 52 m 47.0 s
		B	9520	1.3	eP 13 h 42 m 36.2 s Compr. eS 13 h 53 m 06.0 s
		Z	9520	1.0	eP 13 h 42 m 40.4 s Compr. ePP 13 h 46 m 03.7 s eS 13 h 53 m 08.8 s
		Ch	9430	1.0	eP 13 h 42 m 44.4 s Compr. ePP? 13 h 46 m 45.5 s eS 13 h 53 m 11.2 s
					B. I. 0 = 13 h 29 m 50.0 s 13.3° N 92.0° W Schadenbeben an der Küste von Guatemala; im Staate Chiapas (Mexiko) stark verspürt!
306	„ 17.	Z	—	0.1	iP 22 h 55 m 27.5 s Compr. Nur erste Vorläufer!
		N	—	0.1	iP 22 h 55 m 31.6 s
		B	—	0.1	iP 22 h 55 m 47.9 s Compr.
					B. I. 0 = 22 h 43 m 30.0 s 53.0° N 159.3° E
307	„ 18.	Ch	—	0.1	e 03 h 17 m 27.9 s
		B	—	0.1	e 03 h 17 m 29.3 s
		Z	—	0.1	e 03 h 17 m 29.7 s schwach; nur Vorläufer!
					U. S. C. G. S. Neue Hebriden 0 = 02 h 58 m 18.0 s h = 200 km
308	„ 18.	Z	—	0.1	ePKP 10 h 27 m 06.4 Dilat. Nur Vorläufer schwach!
		B	—	0.1	ePKP 10 h 27 m 08.3 s
					B. I. 800 km östlich der Maquarie-Inseln 0 = 10 h 07 m 06.0 s
309	„ 20.	Z	1420	0.2	eP 19 h 17 m 12.5 s eS 19 h 19 m 19.3 s
		B		0.4	eP 19 h 17 m 24.3 s eL 19 h 20 m 06.0 s
					Nachstoß zu Nr. 206 0 = 19 h 13 m 57.0 s Astakos V
310	„ 25.	Z	—	—	ePKP 17 h 55 m 49.4 s
		Ch	—	—	ePKP 17 h 55 m 49.7 s
		N	—	—	ePKP 17 h 55 m 52.2 s
		B	—	—	ePKP 17 h 55 m 53.4 s e 18 h 01 m 49.0 s
					B. I. 0 = 17 h 36 m 00.0 s 18.3° S 176.5° E; von der nächstfolgenden Registrierung überlagert!
311	„ 25.	Z	9760	2.0	eP 18 h 01 m 45.2 s Dilat ePP? 18 s 05 m 04.7 s eSKS 18 h 12 m 03.4 s
		Ch	9700	2.0	eP 18 h 01 m 45.4 s Dilat. eSKS 18 h 12 m 09.0 s [eSS 18 h 18 m 24.3 s
		N	9660	2.0	eP 18 h 01 m 49.2 s eS? 18 h 12 m 23.0 s
					B. I. 0 = 17 h 48 m 50.0 s 34.1° N 141.0° E; nach japanischen Stationen 0 = 17 h 48 m 55.0 s 34.3° N 141.8° E, h = 40—60 km; auf Hondo und Hokkaido verspürt; seismische Woge an den Küsten!
312	„ 26.	Ch	9700	1.0	eP 00 h 16 m 23.6 s eSKS? 00 h 26 m 47.0 s eL 00 h 52 m 40.0 s
		Z	9800?	1.0	eP? 00 h 16 m 23.9 s Min'-Lücke eSKS 00 h 26 m 47.7 s eS 00 h 27 m 04.9 s
		B	9800	1.5	eP 00 h 16 m 30.3 s eSKS 00 h 26 m 59.0 s
		N	-	1.0	eP 00 h 16 m 30.8 s
					Nachstoß zu Nr. 311 0 = 00 h 03 m 33.0 s h = 40—50 km
313	„ 26.	Z	9800	1.5	eP 02 h 00 m 22.2 s eSKS 02 h 10 m 50.8 s eS 02 h 11 m 01.3 s
					Nachstoß zu Nr. 311 0 = 01 h 47 m 27.0 s

Tabelle III (Fortsetzung)

Nr.	Datum	Station	Epizentral-entfernung nach S–P	Ungefähre Dauer der Registr.	Phasen, Bemerkungen
	1953		km	Std.	
314	Nov. 26.	Z	9790	1.5	eP 08 h 27 m 06.9 s eSKS? 08 h 37 m 19.5 s eS 08 h 37 m 47.1 s
		Ch	9440?	1.2	eP? 08 h 27 m 09.6 s Min'-Lücke eSKS 08 h 37 m 30.6 s eL 09 h 01 m 35.0 s
		N	9990	1.0	eP 08 h 27 m 11.9 s eSKS 08 h 37 m 42.0 s
		B	9790	1.5	eP 08 h 27 m 18.4 s eSKS? 08 h 37 m 25.0 s eS 08 h 37 m 59.0 s
					Nachstoß zu Nr. 311 0 = 08 h 14 m 16.0 s
315	„ 27.	B	—	0.1	eP 11 h 42 m 58.3 s Nur Vorläufer!
					Nachstoß zu Nr. 311 0 = 11 h 30 m 06.0 s
316	„ 27.	Z	—	0.2	iPKP 23 h 21 m 14.9 s Starke Bodenunruhe; nur Vorläufer!
		B	—	0.2	ePKP 23 h 21 m 15.2 s
					U. S. C. G. S. 0 = 23 h 01 m 22.0 s 17.5 S 176.0 E
317	„ 28.	Ch	1280	0.2	eP 20 h 20 m 30.5 s eS? 20 h 22 m 39.0 s
		Z	1400	0.2	eP 20 h 20 m 42.1 s eS 20 h 23 m 00.8 s Starke Bodenunruhe!
		N	—	0.2	eP? 20 h 20 m 53.9 s Min'-Lücke
		B	1490	0.2	eP 20 h 20 m 57.3 s eS 20 h 23 m 27.0 s
					Nachstoß zu Nr. 206 0 = 20 h 17 m 21.0 s Agrinion V.
318	„ 30.	B	—	0.1	e 06 h 02 m 42.1 s schwach!
319	„ 30.	Ch	1220	0.2	eP 13 h 23 m 56.3 s eS 13 h 25 m 59.3 s
		Z	—	0.2	eP 13 h 23 m 56.9 s eS? 13 h 26 m 34.4 s
					Nachstoß zu Nr. 206 0 = 13 h 21 m 01.0 s 39.0° N 21.5° E Schäden in Mesarista
320	Dez. 1.	Ch	—	0.1	eP 05 h 21 m 07.7 s Compr.
		Z	—	0.2	eP 05 h 21 m 08.4 s Compr. e 05 h 22 m 04.5 s Nur Vorläufer!
		B	8700	0.5	eP 05 h 21 m 11.3 s Compr. eSKS 05 h 31 m 29.0 s
		N	—	0.5	eP 05 h 21 m 13.5 s
					U. S. C. G. S. 0 = 05 h 08 m 30.0 s 29° N 128.5° E h = 60 km
321	„ 2.	B	—	0.2	e 02 h 40 m 59.0 s wahrscheinlich: 0 = 02 h 37 m 09.0 s 43° N 0.3° E Baudéau V
322	„ 2.	Z	13280	0.2	ePKP 04 h 43 m 43.4 s ePP 04 h 45 m 10.2 s Nur Vorläufer!
		Ch	—	0.1	ePKP 04 h 43 m 44.3 s
		B	13550	0.5	ePKP 04 h 43 m 46.3 s ePP 04 h 45 m 19.0 s
					U. S. C. G. S. 0 = 04 h 24 m 50.0 s 3.5° S 141.5° E
323	„ 3.	Z	—	0.1	e 05 m 58 m 25.9 s schwach!
		B	—	0.1	e 05 h 58 m 44.2 s
					B. I. 0 = 05 h 56.5 m Abruzzen!
324	„ 3.	Z	6720	0.6	eP 15 h 04 m 06.3 s ePP 15 h 06 m 21.0 s
		Ch	—	0.3	eP 15 h 04 m 10.3 s Compr. eL 15 h 26 m
		B	—	0.2	eP 15 h 04 m 10.7 s e 15 h 04 m 27.0 s
		N	6800	0.7	eP 15 h 04 m 18.0 s eS 15 h 12 m 34.0 s
					U. S. C. G. S. 0 = 14 h 54 m 03.0 s 31.0 N 85.5° E
325	„ 4.	Z	8770?	1.0	eP 15 h 06 m 34.3 s Compr. ePP 15 h 09 m 23.7 s eS? 15 h 16 m 30.0 s
		N	—	1.0	eP 15 h 06 m 42.5 s [Starke Bodenunruhe!
		B	—	1.0	eP 15 h 06 m 43.2 s
					U. S. C. G. S. 0 = 14 h 54 m 46.0 s 49.5° N 129.0 W
326	„ 5.	Z	—	0.1	e 19 h 37 m 34.8 s schwach!
					B. I. 0 = 19 h 34 m 15.0 s 37.5° N 21° E Gespürt im Gebiet von Messinien
327	„ 5.	Z	—	0.1	e 20 h 18 m 33.2 s schwach!
					B. I. 0 = 20 h 14 m 26.0 s 36.5° N 26.7° E
328	„ 7.	B	11000	0.8	eP 02 h 19 m 01.3 s eSKS 02 h 29 m 34.0 s eS 02 h 31 m 20.0
		Z	10960	1.0	eP 02 h 19 m 03.0 s Dilat. epP 02 h 19 m 32.9 s ePP 23 m 02.1 s
					[eSKS 29 m 33.1 s eS 30 m 20.6 s
		Ch	10960	1.0	eP 02 h 19 m 06.1 s ePP 02 h 23 m 05.1 s eSKS 02 h 29 m 36.0 s eL 02 h 53 m 20.0 s
		N	—	1.0	eP? 02 h 19 m 28.7 s eSKS 02 h 29 m 29.0 s
					Schadenbeben in Chile;
					U. S. C. G. S. 0 = 02 h 05 m 37.0 s 22° S 68.5° W h = 100 km
329	„ 7.	Z	—	0.1	eP 14 h 24 m 03.6 s Compr. e 14 h 24 m 26.7 s Nur erste Vorläufer schwach!
		B	—	0.1	eP 14 h 24 m 07.0 s
					In Japan verspürt; U. S. C. G. S. 0 = 14 h 11 m 32.0 s 39.5° N 141.5° E
330	„ 7.	Z	—	0.1	ePKP 19 m 04 m 12.6 s Nur erste Vorläufer schwach!
		B	—	0.5	ePKP 19 h 04 m 23.3 s
					U. S. C. G. S. 0 = 18 h 44 m 10.0 s 20.5° S 174 W
331	„ 12.	N	10100	1.0	eP 17 h 44 m 31.3 s eSKS 17 h 55 m 03.0 s
		B	10430	1.0	eP 17 h 44 m 33.1 s Compr. ePP 17 h 47 m 43.0 s eSKS 17 h 55 m 09.0 s
		Z	10210	1.5	eP 17 h 44 m 35.5 s Compr. ePP 17 h 47 m 47.2 s eSKS 17 h 55 m 08.3 s
		Ch	10100	2.0	eP 17 h 44 m 40.0 Compr. eSKS 17 h 55 m 12.0 s [eSS 18 h 01 m 47.2 s
					Azimut W; U. S. C. G. S. 0 = 17 h 31 m 22.0 s 3.5 S 81 W

Tabelle III (Schluß)

Nr.	Datum	Station	Epizentral-entfernung nach P–S	Ungefähre Dauer der Registr.	Phasen, Bemerkungen
	1953		km	Std	
332	Dez. 13.	Ch	—	0.1	ez 07 h 08 m 12.1 s Dilat.! B. I. 0 = 6 h 55 m 59.0 s 50.5° N 158.0° E
333	„ 13.	Ch	—	0.1	eP 19 h 42 m 18.5 s
		Z	—	0.1	eP 19 h 42 m 25.1 s Schwache Spuren!
		B	—	0.1	eP 19 h 42 m 33.5 s e 19 h 49 m 56.0 s B. I. 0 = 19 h 38 m 05.0 s 41° N 33° E
334	„ 14.	Z	—	0.1	ePKP 00 h 31 m 53.0 s Schwache Spuren!
		B	—	0.4	ePKP 00 h 31 m 54.2 s e 00 h 39 m 0.30 s B. I. 0 = 00 h 12 m 08.0 s 18.3° S 167.7° E
335	„ 18.	B	—	0.0	ez 08 h 34 m 01.3s Schwache Spuren!
		Z	—	0.0	ez 08 h 34 m 06.0 s B. I. 0 = 08 h 14 m 09.0 s Tonga-Inseln!
337	„ 20.	Z	9100	0.4	eP 00 h 33 m 08.6 s epP 00 h 34 m 21.3 s ePP 00 h 36 m 08.9 s eS 00 h 42 m 52.4 s
		B	9200	0.5	eP 00 h 33 m 10.1 s eS 00 h 42 m 59.0 s U. S. C. G. S. 0 = 00 h 21 m 19.0 s 39.5° N 136.5° E h = 300 km
338	„ 20.	Z	9740	1.0	eP 21 h 33 m 5.4 s ez 21 h 33 m 15.5 s eS 21 h 43 m 42.9 s
		Ch	—	1.0	eP 21 h 33 m 06.0 s Dilat. eL 22 h 08 m 20.0 s
		B	—	1.0	eP 21 h 33 m 06.3 s e 21 h 33 m 18.0 s e 21 h 42 m 01.0 s U. S. C. G. S. 0 = 21 h 20 m 14.0 s 34.5° N 140.5° E
339	„ 21.	Z	—	0.1	e 04 h 50 m 36.4 s e 04 h 53 m 19.1 s e 05 h 00 m 42.3 s Schwacher Nachstoß zu Nr. 206 B. I. 0 = 04 h 47 m 47 s
340	„ 21.	B	—	0.5	eP 17 h 48 m 36.3 s Compr. eS? 17 h 57 m 11.0 s
		Z	—	0.1	eP 17 h 48 m 36.8 s Schwache Spuren! U. S. C. G. S. 0 = 17 h 36 m 12.0 s 42° N 141.5° E
341	„ 22.	Ch	—	0.1	eP? 18 h 58 m 24.0 s Min'-Lücke
		Z	—	0.1	eP? 18 h 58 m 28.2 s Nur erste Vorläufer schwach!
		B	—	0.1	eP 18 h 58 m 32.5 s 0 = 18 h 45 m 18.0 s 16.0° N 119.0° E
342	„ 24.	Z	8930	1.0	eP? 02 h 45 m 38.6 s e 02 h 46 m 04.4 s eS 02 h 55 m 41.0 s
		Ch	—	0.1	eP 02 h 45 m 44.8 s
		N	—	0.1	eP 02 h 45 m 46.6 s
		B	—	0.1	eP 02 h 45 m 56.4 s U. S. C. G. S. 0 = 02 h 33 m 39.0 s 51.5° N 159.5° E
343	„ 24.	Z	—	—	ez 19 h 24 m 57.9 s evtl. auch Spuren eines Nahebebens!
344	„ 24.	Z	8770?	0.4	eP 23 h 33 m 11.6 s Compr. e 23 h 33 m 37.7 s e 23 h 34 m 07.7 s
		Ch	—	0.1	eP 23 h 33 m 13.0 s Compr. [eS? 23 h 43 m 06.7 s
		N	—	0.1	eP 23 h 33 m 15.6 s
		B	8550	0.6	eP 23 h 33 m 20.9 s e 23 h 33 m 40.0 s eS 23 h 43 m 00.0 s Kamtschatka! 0 = 23 h 21 m 09.0 s 52.0° N 159.5° E
345	„ 25.	B	—	1.0	eP 02 h 03 m 22.9 s Compr. e 02 h 07 m 02.0 s
		Z	8750	1.0	eP 02 h 03 m 28.8 s Compr. e 02 h 03 m 52.4 s ePP 02 h 06 m 13.0 s [eS 02 h 13 m 22.8 s
		Ch	8750	—	eP 02 h 03 m 30.2 s Compr. i 02 h 03 m 32.4 s Dilat. eS 02 h 13 m 24.0 s
		N	8740	1.0	eP 02 h 03 m 32.4 s eS 02 h 13 m 26.0 s [eL 02 h 32 m 50.0 s U. S. C. G. S. 0 = 01 h 51 m 25.0 s 52.0° 159.5° E
346	„ 26.	Z	—	0.1	eP 09 h 52 m 25.0 s Nur erste Vorläufer schwach!
		B	—	0.1	eP 09 h 52 m 44.6 s schwach! B. I. 0 = 09 h 40 m 31.0 s 52.0°N 159.5° E
347	„ 26.	Z	—	0.4	eP 13 h 24 m 39.2 s Compr. ez 13 h 24 m 49.3 s eS? 13 h 34 m 47.0 s
		B	—	0.2	eP 13 h 24 m 39.4 s e 13 h 24 m 51.0 s
		Ch	—	0.1	eP 13 h 24 m 41.3 s Compr.
		N	—	0.1	eP 13 h 24 m 43.2 s U. S. C. G. S. 0 = 13 h 12 m 35.0 s 51.5° N 160.0° E
348	„ 27.	B	—	0.1	e 23 h 40 m 32.2 s
349	„ 28.	Ch	—	0.2	eP 02 h 41 m 37.4 s
		Z	1370	0.3	eP 02 h 41 m 47.1 s eS 02 h 44 m 04.8 s eS 02 h 44 m 08.8 s
		N	—	0.3	eP 02 h 41 m 54.8 s eL 02 h 45 m 49.0 s
		B	1470?	0.5	eP 02h 41 m 55.4 s eS? 02 h 44 m 23.0 s e 02 h 44 m 43.0 s eL 02 h 46 m 30.0 s Nachstoß zu Nr. 206 0 = 02 h 38 m 44.0 s Vonitsa VI Astakos V
350	„ 30.	B	—	0.1	e 08 h 38 m 55.5 s Min'-Lücke B. I. 0 = 08 h 19 m 01.0 s 15° S 173.0° W

In der Schweiz im Jahre 1953 verspürte Erdbeben.

M.E.Zeit.

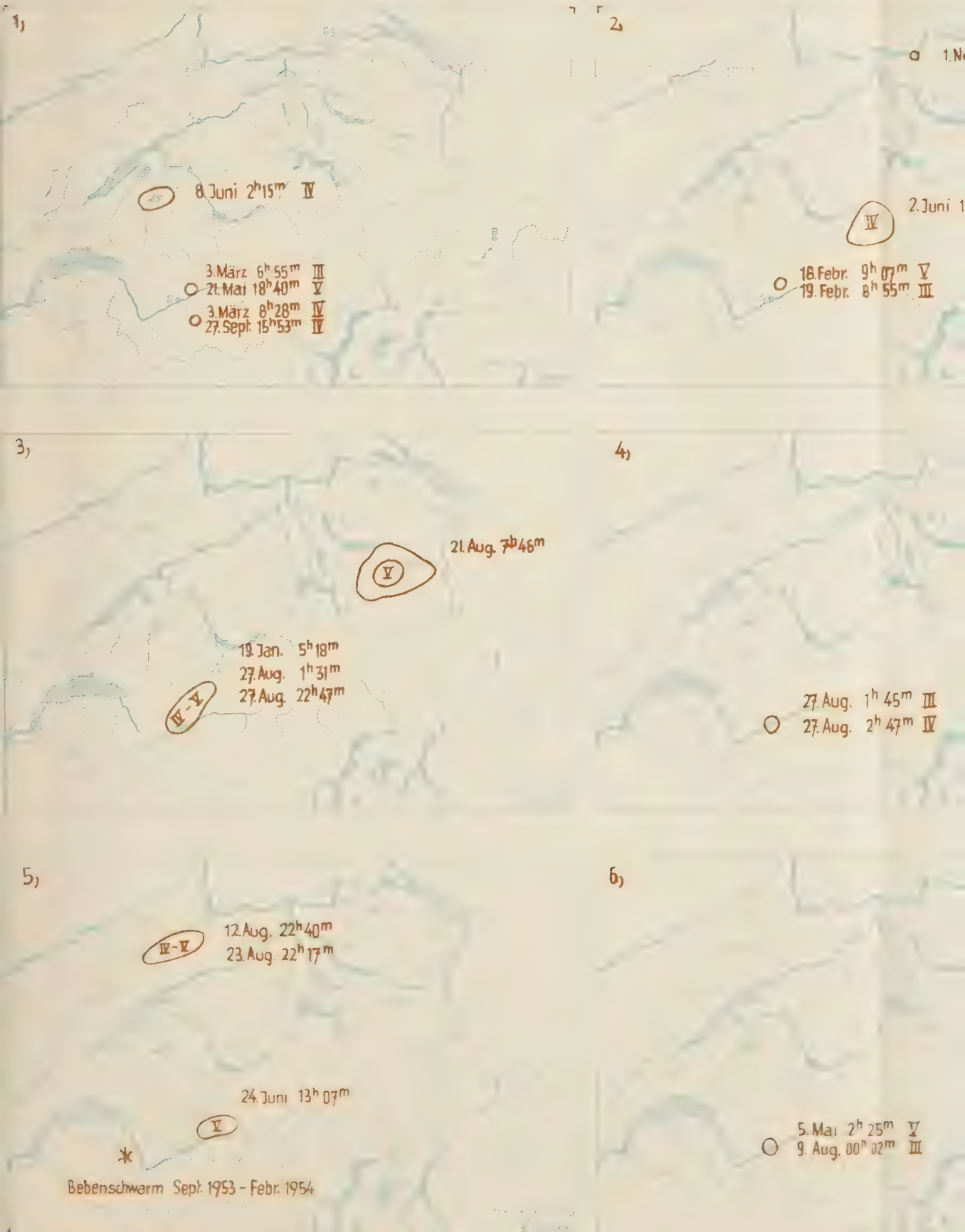

No.
33
33
33
33
33
33
33
34
34
34
34
34
34
346
347
348
349
350

Nr. 6

Aerologische Station Payerne

Verwendete Sondenmodelle: Bei den ab dem Jahre 1942 in den Annalen der M. Z. A. publizierten Radiosondierungen wurden verschiedene Sondenmodelle verwendet. — 1942—1944 erstes Modell I; 1945—Juni 1946 verbessertes erstes Modell Ia; Juli 1946—Juni 1947 zweites Modell II; ab Juli 1947 kontaktloses Modell III.

Radiosondierungen 1953

Die Standardniveaus gemäß dem internationalen Code 1947 für 1000, 850, 700, 500, 300, 200 und 100 Millibar sind fettgedruckt. Ab 4. 10. 48 wurden die Höhen für 1000 mbar aus der Zustandskurve interpoliert.

Die Höhe ist in geopotentiellen Metern angegeben. 1 Meter geop. = 0,98 Meter dyn. (Washington: 1947, Resolutionen: 168 und 78)

Min.	PPP	TTT	UU	H m. geop.
	2. I. 1953	**14.15 h HEC**		
	1000	—	—	**050**
0	946.8	–1.0	100	493
1	911	–4.6	100	790
	888	**–5.7**	**100**	**1000**
2	873	–6.3	100	1130
	850	**–6.9**	**100**	**1340**
3	830	–7.4	100	1520
	812	–6.9	99	1690
4	790	–8.0	96	1900
	782	**–8.6**	**98**	**2000**
5	751	–10.8	100	2300
6	710	–13.2	100	2740
	700	**–13.7**	**100**	**2850**
	686	**–14.4**	**100**	**3000**
7	668	–15.2	100	3190
8	631	–16.9	100	3620
	600	**–19.0**	**100**	**4000**
9	595	–19.6	100	4060
10	562	–24.0	100	4490
11	**528**	**–24.2**	**78**	**5000**
12	**500**	**–27.6**	**45**	**5340**
13	474	–30.1	53	5720
	456	**–32.3**	**60**	**6000**
14	443	–34.0	65	6200
15	417	–38.4	67	6630
	394	**–42.2**	—	**7000**
16	392	–42.5	—	7050
17	370	–46.5	—	7430
18	345	–50.9	—	7900
	339	**–51.8**	—	**8000**
19	321	–54.8	—	8360
	300	**–57.7**	—	**8780**
20	297	–58.3	—	8850
	290	**–59.1**	—	**9000**
21	274	–61.3	—	9360
22	249	–58.3	—	9950
	247	**–58.0**	—	**10000**
23	231	–57.5	—	10420
24	212	–56.0	—	10960
	211	**–56.0**	—	**11000**
	200	**–55.5**	—	**11350**
25	193	–55.4	—	11560
	3. I. 1953	**14.15 h HEC**		
	1000	—	—	**050**
0	946.3	–2.8	82	493
1	901	–7.8	94	880
	886	**–8.4**	**97**	**1000**
2	857	–10.2	100	1270
	850	**–10.4**	**100**	**1330**
3	817	–11.9	100	1620
	778	**–14.7**	**100**	**2000**
4	775	–14.9	100	2030
	755	–12.9	90	2230
5	737	–14.1	78	2420
6	704	–17.1	68	2770
	700	**–16.8**	**64**	**2800**
	684	**–15.1**	**50**	**3000**
7	672	–16.4	45	3110
8	639	–19.7	60	3490
9	605	–22.0	78	3900
	596	**–22.8**	**81**	**4000**
10	572	–25.1	86	4300
11	540	–26.9	90	4720
	519	**–28.5**	**92**	**5000**
12	511	–29.1	93	5110
	500	**–30.2**	**92**	**5260**
13	481	–32.2	91	5550
14	458	–35.5	88	5890
	450	**–36.3**	**87**	**6000**
15	431	–38.8	86	6310
16	403	–42.5	—	6760
	389	**–44.5**	—	**7000**
17	377	–46.6	—	7210
18	357	–50.7	—	7560
	334	**–54.6**	—	**8000**
19	330	–55.6	—	8080
20	305	–60.2	—	8570
	300	**–60.3**	—	**8670**
	5. I. 1953	**15.00 h HEC**		
	1000	—	—	**160**
0	956.4	–2.0	100	493
1	**898**	**–6.3**	**100**	**1000**
2	855	–10.0	100	1370
	850	**–10.4**	**100**	**1430**
3	811	–12.9	100	1780
	789	**–13.7**	**100**	**2000**
4	769	–14.3	100	2180
	754	–11.3	100	2330
5	732	–12.0	100	2560
	700	**–13.1**	**100**	**2900**
6	694	–13.4	100	2950
	691	**–13.6**	**100**	**3000**
7	665	–15.3	100	3300
8	633	–17.4	100	3660
	605	**–19.8**	**100**	**4000**
9	602	–20.0	100	4050
10	577	–23.3	100	4350
11	544	–26.2	100	4770
	528	**–28.0**	**96**	**5000**
12	517	–29.0	94	5150
	500	**–30.9**	**88**	**5390**
13	488	–32.1	82	5560
14	**458**	**–35.4**	**74**	**6000**
15	**428**	**–39.6**	**66**	**6470**
16	404	–44.7	—	6860
	396	**–46.0**	—	**7000**
17	380	–48.0	—	7260
18	356	–51.9	—	7690
	340	**–54.1**	—	**8000**
19	332	–54.9	—	8130
20	307	–58.0	—	8640
	300	**–58.7**	—	**8790**
	290	**–59.3**	—	**9000**
21	283	–59.4	—	9150
22	260	–60.5	—	9670
	247	**–60.5**	—	**10000**
23	241	–60.5	—	10150
24	223	–60.5	—	10630
	210	**–60.5**	—	**11000**
25	203	–60.5	—	11220
	200	**–60.5**	—	**11320**
	6. I. 1953	**14.40 h HEC**		
	1000	—	—	**050**
0	945.2	–2.9	93	493
1	903	–7.6	100	860
	886	**–8.4**	**97**	**1000**
2	858	–9.9	94	1250
	850	**–10.3**	**94**	**1325**
3	813	–12.5	94	1670
	792	–14.2	98	1860
	778	**–10.7**	**93**	**2000**
4	769	–8.2	88	2090
5	730	–10.4	76	2490
	700	**–12.9**	**77**	**2820**
6	694	–13.5	78	2880
	684	**–14.2**	**79**	**3000**
7	666	–15.8	80	3200
8	631	–18.6	80	3600
9	**598**	**–21.0**	**80**	**4000**
10	565	–24.4	80	4420
11	538	–27.5	76	4780
	520	**–28.7**	**71**	**5000**
12	512	–29.3	69	5120
	500	**–30.0**	**61**	**5290**
13	480	–31.4	49	5580
14	454	–34.0	42	5970
	452	**–34.2**	**41**	**6000**
15	427	–37.2	39	6400
16	400	–39.7	38	6850
	391	**–40.8**	—	**7000**
17	376	–42.5	—	7270
18	355	–45.8	—	7650
	337	**–48.3**	—	**8000**
19	330	–50.0	—	8140
20	310	–54.2	—	8550
	300	**–54.6**	—	**8750**
21	**288**	**–56.2**	—	**9000**
22	267	–56.2	—	9500
23	**246**	**–56.2**	—	**10000**
24	228	–56.2	—	10500
	211	**–56.2**	—	**11000**
25	204	–56.2	—	11220
	200	**–56.2**	—	**11330**
	7. I. 1953	**14.45 h HEC**		
	1000	—	—	**060**
0	945.5	–2.6	90	493
1	900	–6.5	98	890
	885	**–7.0**	—	**1000**
2	852	–8.5	100	1310
	850	**–8.7**	**100**	**1340**
3	810	–11.4	100	1710
	775	**–13.1**	**100**	**2000**
4	769	–13.2	100	2100
5	730	–13.1	100	2500
6	**700**	**–14.9**	**100**	**2820**
	682	**–16.0**	**100**	**3000**
7	662	–16.9	100	3240
8	627	–19.0	100	3650
9	**597**	**–21.4**	**98**	**4000**
10	570	–24.4	96	4350
11	542	–27.0	98	4720
	519	**–29.7**	**94**	**5000**
12	511	–30.6	91	5120
	500	**–31.7**	**88**	**5290**
13	475	–34.3	84	5650
	451	**–36.7**	**84**	**6000**
14	442	–38.0	84	6140
15	414	–40.8	—	6610
	390	**–44.0**	—	**7000**
16	387	–44.4	—	7050
17	359	–48.5	—	7550
18	**334**	**–51.3**	—	**8000**
19	306	–54.0	—	8570
	300	**–54.2**	—	**8710**
	287	**–54.6**	—	**9000**
20	284	–54.6	—	9060
21	264	–53.8	—	9530
22	247	–53.9	—	9880
	245	**–54.0**	—	**10000**
23	230	–53.4	—	10410
24	212	–52.6	—	10140
	210	**–52.8**	—	**11000**
	200	**–52.7**	—	**11310**
25	194	–52.6	—	11500
	8. I. 1953	**14.55 h HEC**		
	1000	—	—	**090**
0	952.2	–3.0	85	493
1	906	–5.8	97	885
	893	**–6.7**	**98**	**1000**
2	860	–9.0	100	1290
	850	**–9.5**	**100**	**1390**
3	820	–11.8	100	1660
	784	**–13.5**	**100**	**2000**
4	780	–13.6	100	2040
5	743	–9.9	88	2415
6	710	–9.0	65	2760
	700	**–9.6**	**68**	**2870**
	688	**–10.5**	**71**	**3000**
7	672	–11.7	72	3180
8	643	–14.8	81	3520
9	605	–17.4	86	3980
	603	**–17.6**	**81**	**4000**
10	572	–20.2	76	4390
11	543	–23.6	79	4780
	527	**–25.7**	**76**	**5000**
12	515	–27.0	74	5160
	500	**–28.3**	**70**	**5380**
13	484	–29.8	66	5620
14	**457**	**–33.9**	**63**	**6000**
15	431	–38.4	61	6420
16	402	–43.0	—	6900
	396	**–44.0**	—	**7000**
17	375	–47.3	—	7360

Min.	PPP	TTT	UU	H m. geop.
18	349	−51.4	—	7830
	340	**−53.4**	—	**8000**
19	328	−55.8	—	8220
20	305	−58.8	—	8700
	300	**−59.5**	—	**8800**

9. I. 1953 14.55 h HEC

	1000	—		**180**
0	960.9	−1.0	80	493
1	914	−3.4	84	880
	900	**−4.2**	**86**	**1000**
2	875	−5.5	88	1220
	850	**−7.3**	**90**	**1460**
3	834	−8.3	91	1610
4	**792**	**−11.7**	**95**	**2000**
5	754	−14.0	98	2280
6	714	−15.5	96	2780
	700	**−15.7**	**94**	**2940**
	691	**−16.0**	**93**	**3030**
7	681	−16.3	92	3140
8	647	−15.8	78	3530
9	615	−14.8	39	3900
	608	**−15.7**	**33**	**4000**
10	584	−18.5	20	4300
11	550	−22.5	18	4750
	532	**−24.5**	**18**	**5000**
12	520	−25.7	18	5150
	500	**−27.7**	**18**	**5440**
13	494	−28.3	18	5530
14	**462**	**−31.5**	**18**	**6000**
15	432	−35.0	18	6480
16	403	−39.4	18	6950
	400	**−39.8**		**7000**
17	377	−43.3		7460
18	346	−46.5		7980
	345	**−46.7**		**8000**
19	321	−49.3	—	8470
	300	**−52.1**	—	**8910**
	296	**−52.7**	—	**9000**
20	293	−53.0	—	9060
21	270	−56.4	—	9590
	253	**−57.0**	—	**10000**
22	248	−57.0	—	10120
23	230	−56.4	—	10600
	216	**−55.6**	—	**11000**
24	210	−55.3	—	11190
	200	**−53.8**		**11510**
25	194	−52.8	—	11690

10. I. 1953 14.20 h HEC

	1000	—	—	**160**
0	958	0.0	100	493
1	908	−0.5	100	925
	900	**−1.0**	**100**	**1000**
2	863	−2.4	100	1330
	850	**−3.3**	**100**	**1460**
3	821	−5.0	100	1730
	792	**−6.8**	**100**	**2000**
4	778	−7.5	100	2150
5	730	10.2	95	2640
	700	**−12.3**	**72**	**2960**
	696	**−12.5**	**68**	**3000**
6	687	−13.0	62	3100
7	646	−15.7	100	3570
8	**610**	**−17.9**	**100**	**4000**
9	574	−19.8	100	4450
10	538	−21.6	97	4930
	533	**−21.9**		**5000**
11	509	−23.7	64	5350
	500	**−24.4**	**62**	**5470**

12. I. 1953 15.15 h HEC

	1000	—	—	**245**
0	968.3	3.5	100	493
	908	**−4.9**	**91**	**1000**
1	904	−5.0	90	1020
	883	−4.5	85	1210
2	854	−5.5	78	1470
	850	**−5.6**	**76**	**1510**
3	807	−7.0	71	1920
	798	**−7.5**	**69**	**2000**
4	769	−9.5	67	2300
5	730	−11.8	58	2700
	700	**−12.3**	**48**	**3000**
6	692	−12.5	44	3100
7	661	−14.3	40	3450
8	625	−17.3	38	3870
	614	**−18.3**	**38**	**4000**
9	594	−20.0	38	4250
10	559	−23.0	38	4690
	535	**−25.0**	**39**	**5000**
11	528	−26.0	39	5120
	500	**−28.6**	**39**	**5510**
12	495	−29.0	39	5570
13	**468**	**−32.4**	**39**	**6000**
14	438	−36.3	40	6440
15	409	−40.1	40	6910
	404	**−40.8**	—	**7000**
16	380	−44.3	—	7400
17	354	−48.5	—	7870
	308	**−49.2**	—	**8000**
18	326	−51.3	—	8420
19	**300**	**−56.4**	—	**8960**
	298	**−56.6**	—	**9000**
20	277	−58.8	—	9460
21	**253**	**−60.3**	—	**10000**
22	232	−60.3	—	10550
	216	**−57.7**	—	**11000**
23	214	−57.3	—	11070
	200	**−56.4**	—	**11490**
24	194	−55.7	—	11690
	185	**−54.5**	—	**12000**
25	178	−53.5	—	12230

13. I. 1953 15.15 h HEC

	1000	—	—	**230**
0	967.5	−4.0	80	493
1	912	−8.7	100	960
	906	**−9.1**	**100**	**1000**
	877	−10.9	100	1250
2	868	−8.8	94	1325
	850	**−5.1**	**70**	**1500**
3	820	−4.2	54	1780
	796	**−4.5**	**56**	**2000**
4	781	−5.0	58	2170
5	747	−7.0	56	2520
6	710	−10.0	56	2900
	700	**−10.4**	**56**	**3000**
7	677	−12.4	57	3270
8	640	−14.9	56	3690
	615	**−16.8**	**56**	**4000**
9	600	−18.3	56	4190
10	566	−21.4	56	4620
	537	**−24.0**	**55**	**5000**
11	528	−24.9	54	5130
12	**500**	**−28.8**	**54**	**5530**
13	470	−33.1	54	5960
	466	**−33.5**	**53**	**6000**
14	439	−36.8	53	6430
15	410	−40.7	-	6910
	404	**−41.3**	—	**7000**
16	383	−44.2	—	7370
17	358	−48.7	—	7800
	348	**−50.2**	—	**8000**
18	330	−53.0	—	8340
19	**300**	**−55.7**	—	**8950**
	298	**−55.9**	—	**9000**
20	276	−57.7	—	9470
	254	**−58.5**	—	**10000**
21	250	−58.8	—	10100
22	227	−59.2	—	10700
	217	**−59.1**	—	**11000**
23	207	−58.5	—	11280
	200	**−57.8**	—	**11500**
24	190	−56.7	—	11820

14. I. 1953 15.05 h HEC

	1000	—	—	**210**
0	964.0	−5.5	100	493
1	908	−10.3	100	960
	903	**−11.0**	**100**	**1000**
	893	**−12.0**	**100**	**1080**
2	866	−5.1	100	1330
	850	**−5.2**	**100**	**1480**
3	828	−5.2	100	1680
4	**790**	**−7.9**	**100**	**2000**
5	752	−11.0	100	2430
6	727	−14.3	100	2680
	700	**−16.0**	**76**	**2970**
	697	**−16.1**	**69**	**3000**
7	690	−16.5	68	3070
8	650	−18.3	33	3530
9	616	−20.4	20	3940
	610	**−20.8**	**20**	**4000**
10	583	−22.8	18	4330
11	555	−25.3	18	4700
	531	**−27.0**	**28**	**5000**
12	520	−28.0	37	5170
	500	**−30.0**	**38**	**5440**
13	488	−31.5	39	5630
14	**460**	**−34.1**	**36**	**6000**
15	430	−37.7	36	6500
16	404	−41.7	—	6980
	400	**−42.2**	—	**7000**
17	377	−45.2	—	7400
18	**345**	**−48.6**	—	**8000**
19	**320**	**−51.4**	—	**8470**
20	**300**	**−54.4**	—	**8880**
	295	**−54.8**	—	**9000**
21	275	−55.5	—	9430
22	253	−56.5	—	9960
	252	**−56.8**	—	**10000**
23	232	−56.3	—	10510
24	216	−55.7	—	10970
	215	**−55.8**	—	**11000**
	200	**−55.2**	—	**11480**
25	196	−55.0	—	11580

15. I. 1953 14.55 h HEC

	1000	—	—	**205**
0	965.6	−6.0	85	493
	905	**−10.5**	—	**1000**
	890	−11.6	100	1135
1	882	−9.6	100	1200
	870	−4.0	90	1310
2	840	−4.2	75	1580
	850	**−4.2**	**71**	**1500**
3	805	−5.7	64	1920
	796	**−6.0**	**60**	**2000**
4	765	−6.6	55	2320
5	720	−7.6	38	2790
	700	**−9.2**	**33**	**3000**
6	683	−10.7	30	3200
7	647	−14.0	28	3615
8	**613**	**−17.0**	**28**	**4000**
9	583	−20.0	26	4390
10	549	−23.7	25	4830
	537	**−25.5**	**24**	**5000**
11	515	−28.1	23	5300
	500	**−29.7**	**22**	**5510**
12	480	−31.5	21	5800
	466	**−33.2**	**20**	**6000**
13	452	−34.8	20	6220
14	425	−37.7	20	6640
	404	**−38.1**	**20**	**7000**
15	397	−38.4	20	7110
16	371	−40.3	—	7570
	349	**−41.5**	—	**8000**
17	347	−41.5	—	8040
18	321	−45.7	—	8550
	300	**−49.2**	—	**9000**
19	295	−50.0	—	9110
20	272	−53.8	—	9640
	257	**−56.7**	—	**10000**
21	247	−58.7	—	10250
22	224	−61.0	—	10850
	219	**−60.8**	—	**11000**
23	**200**	**−59.8**	—	**11570**
	187	**−59.8**	—	**12000**
24	184	−59.8	—	12090

16. I. 1953 14.50 h HEC

	1000	—	—	**240**
0	965.1	−4.0	80	493
1	**907**	**−2.8**	**83**	**1000**
2	867	−1.0	54	1350
	850	**−1.6**	**44**	**1510**
3	826	−2.0	34	1730
	798	**−2.8**	**50**	**2000**
4	789	−3.0	53	2090
5	751	−4.7	72	2490
6	720	−6.8	90	2820
	703	**−7.7**	**92**	**3000**
	700	**−7.8**	**96**	**3040**
7	685	−8.4	100	3200
8	648	−10.3	95	3630
	618	**−12.2**	**91**	**4000**
9	611	−12.2	90	4080
10	583	−12.9	42	4440
11	551	−16.0	30	4860
	542	**−17.4**	**30**	**5000**
12	523	−19.6	29	5250
	500	**−22.0**	**29**	**5590**
13	490	−22.9	32	5730
	472	**−25.2**	**32**	**6000**
14	458	−26.8	32	6230
15	432	−30.0	44	6640
	411	**−33.1**	**60**	**7000**
16	406	−33.7	63	7070
17	380	−37.3	70	7540
18	357	−41.1	—	7970
	355	**−41.3**	—	**8000**
19	332	−45.3	—	8460
20	**306**	**−47.6**	—	**9000**
	300	**−48.6**	—	**9140**
21	280	−51.3	—	9590
	262	**−54.0**	—	**10000**
22	259	−54.6	—	10090
23	235	−57.3	—	10700
	224	**−58.8**	—	**11000**
24	215	−60.0	—	11270
	200	**−60.0**	—	**11720**
25	196	−60.0	—	11840
	191	**−59.7**	—	**12000**
26	176	−58.5	—	12510

17. I. 1953 14.25 h HEC

	1000	—	—	**210**
0	963.9	−4.7	78	493
1	921	−6.0	100	850
	904	**−4.5**	**96**	**1000**
2	885	−2.6	94	1170
3	**850**	**−3.4**	**38**	**1490**
4	808	−4.9	38	1880
	796	**−5.2**	**37**	**2000**
5	766	−6.3	36	2300
6	727	−7.3	35	2710
	700	**−8.9**	**35**	**3000**
7	686	−9.8	35	3160
8	647	−12.2	35	3620
	614	**−14.5**	**35**	**4000**
9	612	−14.6	35	4040
10	577	−17.2	35	4480
11	544	−20.0	37	4920
	538	**−20.7**	**37**	**5000**
	529	−21.5	37	5120
12	511	−20.6	37	5380
	500	**−21.7**	**37**	**5540**
13	485	−23.0	37	5760
	469	**−25.2**	**37**	**6000**
14	455	−27.1	37	6230
15	427	−31.1	37	6680
	408	**−33.3**	**37**	**7000**
16	397	−34.9	37	7200
17	365	−39.1	37	7770
	353	**−40.8**	—	**8000**
18	337	−43.1	—	8320
19	312	−46.7	—	8830
	304	**−47.7**	—	**9000**
	300	**−48.4**	—	**9080**
20	284	−50.9	—	9450
21	**260**	**−54.5**	—	**10000**
22	234	−57.0	—	10690
	223	**−56.6**	—	**11000**
23	212	−56.6	—	11310
	200	**−56.1**	—	**11680**
24	195	−56.3	—	11840
	190	**−56.0**	—	**12000**
25	175	−55.7	—	12520

Min.	PPP	TTT	UU	H m. geop.
	19. I. 1953	**15.00 h HEC**		
	1000	—	—	**250**
0	968.9	−2.0	80	493
1	940	−3.3	85	740
	909	**−2.8**	**88**	**1000**
2	893	−2.5	90	1140
	874	−1.2	80	1310
3	**850**	**−2.6**	**60**	**1540**
4	807	−3.7	62	1940
	802	**−4.1**	**65**	**2000**
5	769	−5.8	80	2310
6	733	−7.9	90	2700
	705	**−9.9**	**88**	**3000**
7	**700**	**−10.0**	**80**	**3050**
8	668	−11.7	93	3400
9	637	−12.3	60	3780
	619	**−13.1**	**56**	**4000**
10	610	−13.6	50	1150
11	577	−16.0	50	4530
12	545	−19.6	45	4960
	541	**−20.0**	**44**	**5000**
13	512	−22.1	40	5410
	500	**−23.2**	**40**	**5580**
14	482	−24.8	40	5850
	472	**−25.7**	**40**	**6000**
15	452	−28.0	40	6315
16	425	−32.8	40	6750
	410	**−36.0**	**40**	**7000**
17	404	−37.0	40	7110
18	377	−40.5	—	7580
19	**355**	**−44.7**	—	**8000**
20	330	−48.7	—	8480
21	**304**	**−52.9**	—	**9000**
	300	**−53.3**	—	**9080**
22	276	−56.3	—	9630
	260	**−58.0**	—	**10000**
23	252	−59.0	—	10190
24	230	−60.1	—	10770
	20. I. 1953	**14.55 h HEC**		
	1000	—	—	**270**
0	970.2	1.0	70	493
1	915	−0.5	90	960
	910	**−0.8**	**92**	**1000**
2	866	−3.0	100	1400
	850	**−3.5**	**85**	**1550**
3	822	0.0	38	1800
	802	**−1.3**	**37**	**2000**
4	782	−2.2	36	2200
5	746	3.8	59	2570
6	714	−5.4	61	2920
	707	**−6.1**	**62**	**3000**
	700	**−6.8**	**63**	**3090**
7	671	−9.0	70	3370
8	640	−9.8	19	3760
	621	**−11.6**	**39**	**4000**
9	608	−12.6	36	4170
10	580	−15.7	36	4520
11	**544**	**−19.0**	**36**	**5000**
12	511	−22.0	36	5460
	500	**−23.0**	**37**	**5620**
13	480	−25.0	39	5920
	475	**−25.7**	**40**	**6000**
14	449	−29.0	41	6400
15	422	−32.6	42	6830
	414	**−33.6**	**42**	**7000**
16	395	−35.8	42	7300
17	370	−39.6	42	7760
	357	**−41.7**	—	**8000**
18	349	−42.9	—	8150
19	327	−46.0	—	8590
	307	**−49.0**	—	**9000**
20	306	−49.1	—	9030
	300	**−50.0**	—	**9160**
21	284	−53.0	—	9540
	264	**−56.2**	—	**10000**
22	259	−57.0	—	10100
23	235	−61.1	—	10710
	224	**−62.1**	—	**11000**
24	214	−63.2	—	11280
	200	**−64.0**	—	**11720**

Min.	PPP	TTT	UU	H m. geop.
	21. I. 1953	**14.50 h HEC**		
	1000	—	—	**240**
0	970.4	−3.0	85	493
	910	**−5.5**	**95**	**1000**
1	900	−6.0	100	1090
2	**850**	**2.0**	**20**	**1550**
3	819	1.1	39	1850
	802	**−0.1**	**45**	**2000**
4	777	−1.9	54	2260
5	734	−3.9	50	2710
	707	**−5.8**	**50**	**3000**
6	**700**	**−6.3**	**50**	**3090**
7	663	−8.8	48	3500
8	625	−10.8	42	3960
	622	**−11.1**	**40**	**4000**
9	592	−12.7	32	4380
10	560	−15.8	32	4800
	545	**−17.2**	**29**	**5000**
11	530	−18.7	26	5220
12	**500**	**−21.6**	**20**	**5650**
	476	**−24.4**	**23**	**6000**
13	470	−25.2	25	6100
14	442	−29.6	32	6540
15	**415**	**−33.8**	**41**	**7000**
16	388	−37.6	46	7450
17	361	−41.5	—	7880
	358	**−42.5**	—	**8000**
18	339	−45.9	—	8370
19	316	−49.3	—	8830
	307	**−50.3**	—	**9000**
	300	**−51.5**	—	**9170**
20	292	−52.4	—	9340
21	267	−56.5	—	9910
	263	**−57.0**	—	**10000**
22	245	−59.7	—	10450
23	**224**	**−63.0**	—	**11000**
24	204	−64.3	—	11590
	200	**−63.2**	—	**11710**
25	190	**−60.5**	—	**12060**
	22. I. 1953	**14.50 h HEC**		
	1000	—	—	**225**
0	967.0	−5.0	70	493
	930	−8.4	78	800
1	912	−4.9	72	940
	906	**−4.1**	**68**	**1000**
2	870	−0.6	56	1320
	850	**0.2**	**55**	**1510**
3	822	1.2	54	1770
	799	**0.4**	**51**	**2000**
4	776	−0.4	49	2240
5	739	−3.0	42	2620
6	**705**	**−5.3**	**41**	**3000**
	700	**−5.7**	**40**	**3060**
7	669	−8.4	39	3420
8	635	−11.8	38	3810
	619	**−13.3**	**38**	**4000**
9	600	−14.9	37	4240
10	570	−18.5	37	4620
	542	**−20.6**	**37**	**5000**
11	539	−20.7	37	5440
12	508	−23.8	37	5470
	500	**−24.7**	**37**	**5580**
13	478	−27.4	36	5900
	472	**−28.2**	**36**	**6000**
14	449	−30.7	36	6350
15	424	−34.2	36	6760
	410	**−36.0**	**36**	**7000**
16	398	−37.7	36	7200
17	373	−41.1	—	7650
	354	**−44.1**	—	**8000**
18	350	−44.7	—	8070
19	325	−49.0	—	8560
	304	**−52.0**	—	**9000**
20	**300**	**−52.5**	—	**9090**
21	277	−55.9	—	9600
	260	**−58.6**	—	**10000**
22	257	−59.1	—	10070
23	239	−61.6	—	10520
24	**222**	**−60.0**	—	**11000**

Min.	PPP	TTT	UU	H m. geop.
25	209	−59.3	—	11360
	200	**−58.3**	—	**11630**
26	197	−58.1	—	11720
	23. I. 1953	**15.00 h HEC**		
	1000	—	—	**220**
0	962.1	−6.5	100	493
	937	−9.6	100	690
1	904	−8.9	100	970
	901	**−3.7**	**95**	**1000**
2	858	−1.5	89	1400
	850	**−1.3**	**73**	**1470**
3	815	−0.8	56	1800
	794	**−1.8**	**50**	**2000**
4	770	−2.7	40	2250
5	733	−5.9	38	2640
	700	**−8.4**	**39**	**3080**
6	697	−8.5	39	3040
7	661	−10.8	39	3440
8	630	−12.7	39	3800
	614	**−14.6**	**44**	**4000**
9	594	−16.6	49	4240
10	566	−20.0	68	4600
11	**536**	**−23.0**	**68**	**5000**
12	507	−25.6	56	5410
	500	**−26.0**	**54**	**5520**
13	481	−26.6	53	5800
	467	**−28.2**	**56**	**6000**
14	454	−29.7	59	6200
15	424	−33.8	63	6690
	405	**−36.5**	**65**	**7000**
16	397	−37.6	66	7140
17	372	−40.0	—	7600
	350	**−42.9**	—	**8000**
18	348	−43.2	—	8050
19	325	−47.1	—	8500
	302	**−50.1**	—	**9000**
20	**300**	**−50.3**	—	**9030**
21	278	−54.5	—	9520
	258	**−57.0**	—	**10000**
22	250	−58.1	—	10200
23	227	−59.7	—	10800
	220	**−59.5**	—	**11000**
24	208	−59.0	—	11350
	200	**−58.1**	—	**11610**
25	189	−56.7	—	11950
	24. I. 1953	**14.10 h HEC**		
	1000	—	—	**210**
0	960.4	−3.5	75	493
1	909	−7.6	100	940
	902	**−6.2**	**86**	**1000**
2	868	−0.2	63	1300
	850	**−0.6**	**53**	**1490**
3	828	−1.0	43	1680
	795	**−2.3**	**41**	**2000**
4	789	−2.5	41	2060
5	755	−4.0	56	2410
6	723	−5.7	50	2750
	700	**−7.2**	**44**	**3000**
7	691	−7.7	40	3100
8	661	−9.4	39	3450
9	627	−11.8	47	3850
	614	**−12.8**	**48**	**4000**
10	594	−14.8	50	4260
11	559	−18.8	51	4720
	538	**−20.4**	**51**	**5000**
12	528	−21.0	49	5140
13	**500**	**−23.4**	**42**	**5540**
14	472	−25.2	38	5960
	470	**−25.5**	**38**	**6000**
15	444	−28.1	38	6400
16	419	−31.0	38	6800
	408	**−32.4**	**38**	**7000**
17	390	−34.4	38	7300
18	363	−39.4	38	7810
	353	**−40.3**	—	**8000**
19	338	−41.7	—	8300
20	312	−46.5	—	8840
	305	**−47.9**	—	**9000**
	300	**−48.8**	—	**9100**

Min.	PPP	TTT	UU	H m. geop.
21	282	−52.3	—	9500
	261	**−56.8**	—	**10000**
22	257	−57.7	—	10090
23	237	−61.0	—	10660
	222	**−62.5**	—	**11000**
24	219	−62.8	—	11090
25	**200**	**−61.0**	—	**11660**
	26. I. 1953	**14.40 h HEC**		
	1000	—	—	**200**
0	963.1	0.2	70	493
	953	1.1	88	580
1	920	−1.0	91	870
	904	**−2.6**	**94**	**1000**
2	884	−5.1	97	1190
3	850	−8.1	100	1490
4	798	−6.0	88	1970
	796	**−6.1**	**87**	**2000**
5	764	−7.1	80	2310
6	730	−8.4	57	2670
	700	**−10.2**	**56**	**3000**
7	691	−10.9	55	3090
8	657	−13.2	52	3470
9	624	−16.1	52	3870
	614	**−16.9**	**58**	**4000**
10	591	−18.2	69	4270
11	562	−23.0	74	4650
	536	**−26.0**	**66**	**5000**
12	530	−25.8	64	5070
	500	**−28.5**	**66**	**5500**
13	495	−29.0	67	5570
14	**466**	**−33.0**	**67**	**6000**
15	437	−36.1	67	6440
16	411	−36.9	66	6870
	404	**−37.9**	**66**	**7000**
17	384	−40.6	—	7350
18	363	−43.5	—	7720
	348	**−44.9**	—	**8000**
19	339	−46.0	—	8180
20	315	−50.5	—	8660
	300	**−52.4**	—	**9000**
21	293	−53.4	—	9140
22	267	−57.3	—	9720
	256	**−57.9**	—	**10000**
23	244	−58.3	—	10290
24	223	−56.7	—	10880
	218	**−56.7**	—	**11000**
25	203	−57.5	—	11460
	200	**−57.5**	—	**11550**
26	187	−57.6	—	11980
	27. I. 1953	**14.50 h HEC**		
	1000	—	—	**240**
0	968.3	1.0	70	493
	909	**−3.8**	**61**	**1000**
1	926	−2.3	64	850
	900	−0.2	60	1080
2	883	1.1	55	1220
	850	**−2.1**	**52**	**1530**
3	841	−2.1	50	1610
	815	−1.6	41	1860
4	**800**	**−2.1**	**35**	**2000**
5	762	−4.1	32	2400
6	727	−6.4	32	2760
	706	**−7.0**	**32**	**3000**
7	690	−7.7	32	3170
	700	**−7.2**	**32**	**3060**
8	658	−8.1	32	3540
9	627	−9.8	30	3920
	620	**−10.0**	**31**	**4000**
10	594	−12.5	34	4330
11	563	−14.0	35	4740
	544	**−15.2**	**37**	**5000**
12	532	−16.0	38	5170
13	505	−18.8	44	5560
	500	**−19.2**	**45**	**5630**
14	478	−21.0	47	5970
	476	**−21.2**	**47**	**6000**
15	453	−23.8	47	6360
16	428	−26.9	45	6780
	415	**−29.0**	**45**	**7000**

Min.	PPP	TTT	UU	H m. geop.
17	403	−31.0	45	7200
18	375	−35.4	45	7710
	360	**−37.8**	**45**	**8000**
19	350	−39.2	45	8190
20	323	−43.4	—	8730
	310	**−45.9**	**—**	**9000**
21	**300**	**−47.9**	**—**	**9220**
22	275	−50.9	—	9790
	266	**−52.5**	**—**	**10000**
23	255	−54.7	—	10280
24	233	−58.9	—	10850
	228	**−59.8**	**—**	**11000**
25	215	−61.5	—	11360
	200	**−63.7**	**—**	**11800**
26	197	−63.9	—	11900
	194	**−64.5**	**—**	**12000**
27	183	−66.1	—	12350
	164	**−62.8**	**—**	**13000**
28	161	−62.1	—	13130
29	148	−62.1	—	13650

28. I. 1953 14.45 h HEC

	1000	—	—	**230**
0	968.2	3.5	70	493
1	936	5.1	77	770
	910	**5.0**	**81**	**1000**
2	894	4.9	86	1140
3	**850**	**3.0**	**95**	**1560**
	824	0.5	100	1820
4	**805**	**1.3**	**100**	**2000**
5	770	−0.6	100	2350
	751	1.5	72	2550
6	737	0.3	40	2700
	710	**0.2**	**29**	**3000**
7	705	0.1	24	3060
	700	**−0.2**	**23**	**3110**
8	668	−3.4	20	3480
9	630	−6.3	18	3950
	625	**−6.7**	**18**	**4000**
10	596	−9.4	18	4380
11	567	−11.4	18	4760
	549	**−13.7**	**18**	**5000**
12	539	−15.2	18	5140
13	510	−18.4	20	5560
	500	**−19.0**	**20**	**5710**
14	**481**	**−20.4**	**18**	**6000**
15	454	−22.5	18	6420
16	430	−24.1	18	6820
	419	**−26.1**	**18**	**7000**
17	408	−28.3	18	7190
18	383	−31.4	18	7640
	364	**−33.7**	**18**	**8000**
19	357	−34.5	18	8140
20	335	−38.7	18	8580
	315	**−40.4**	**—**	**9000**
21	310	−40.9	—	9100
	300	**−42.6**	**—**	**9330**
22	287	−45.1	—	9630
	271	**−48.6**	**—**	**10000**
23	267	−49.8	—	10110
24	246	−54.6	—	10640
	232	**−57.6**	**—**	**11000**
25	228	−58.7	—	11130
26	205	−61.7	—	11790
	200	**−62.0**	**—**	**11940**
	198	**−62.2**	**—**	**12000**
27	186	−63.3	—	12390
28	**169**	**−64.2**	**—**	**13000**
29	153	−64.4	—	13590

29. I. 1953 15.00 h HEC

	1000	—	—	**220**
0	967.2	5.7	55	493
1	917	4.8	57	930
	909	**5.6**	**50**	**1000**
	870	9.0	35	1360
	850	**8.5**	**29**	**1560**
3	829	7.5	23	1760
	805	**6.5**	**26**	**2000**
4	785	5.3	29	2200
5	744	1.9	35	2640
	712	**0.7**	**36**	**3000**
6	709	0.5	36	3030
	700	**−0.2**	**37**	**3130**
7	674	−2.3	39	3430
8	636	−3.5	22	3850
	628	**−4.0**	**21**	**4000**
9	602	−6.6	18	4330
10	567	−10.3	18	4790
	552	**−11.8**	**18**	**5000**
11	537	13.1	18	5240
12	503	−15.8	22	5700
	500	**−16.1**	**22**	**5750**
	483	**−17.7**	**21**	**6000**
13	472	−19.0	21	6180
14	443	−22.6	22	6650
	422	**−25.2**	**23**	**7000**
15	415	26.1	23	7120
16	386	−29.5	24	7640
	367	**−33.1**	**25**	**8000**
17	361	−34.3	25	8110
18	338	−38.7	27	8570
	317	**−42.0**	**—**	**9000**
19	314	42.5	--	9070
	300	**−44.1**		**9389**
20	292	−45.2	--	9570
	273	**−48.1**		**10000**
21	268	−49.0	—	10130
22	248	−52.5	—	10640
	234	**−54.7**	--	**11000**
23	230	55.5	-	11120
24	211	59.7		11680
	200	**−62.1**		**12000**

30. I. 1953 14.50 h HEC

	1000		-	**210**
0	**965.9**	**2.0**	**70**	**493**
1	912	2.0	98	950
	906	**3.2**	**88**	**1000**
2	871	8.9	30	1330
	850	**8.1**	**30**	**1530**
3	829	7.5	30	1730
	803	**5.3**	**31**	**2000**
4	790	4.2	32	2120
	763	2.1	30	2410
5	751	3.0	28	2540
6	718	1.5	32	2900
	710	**1.0**	**35**	**3000**
	700	**0.5**	**37**	**3100**
7	683	−0.9	40	3300
8	649	−3.0	31	3700
	625	**−4.5**	**29**	**4000**
9	621	−5.0	28	4070
10	593	−8.0	28	4410
11	562	−11.8	28	1840
	550	**−12.9**	**28**	**5000**
12	533	−11.9	28	5240
13	507	−16.9	28	5610
	500	**−17.3**	**28**	**5720**
14	480	**−19.2**	**28**	**6000**
15	455	−21.5	28	6420
16	428	−21.9	28	6870
	420	**−25.8**	**28**	**7000**
17	401	−28.5	28	7330
18	377	−32.5	28	7770
	365	**−31.1**	**30**	**8000**
19	353	36.3	33	8230
20	331	40.0	35	8670
	316	**−42.5**		**9000**
21	311	−43.1	—	9100
	300	**−45.0**		**9340**
22	289	47.1	-	9590
	272	**−49.8**		**10000**
23	268	50.4		10090
24	249	54.3		10560
	232	**−57.9**		**11000**
25	228	59.0		11120
26	210	59.3		11650
	200	**−60.5**		**11940**
	198	**−60.4**		**12000**
27	189	60.1	--	12300
28	174	58.1		12830
	169	**−57.9**	-	**13000**
29	155	57.1		13540

31. I. 1953 14.45 h HEC

	1000	—	-	**110**
0	953.0	1.0	100	493
1	904	−1.1	90	930
	896	**−1.5**	**87**	**1000**
2	856	−3.6	84	1350
	850	**−3.8**	**86**	**1420**
3	811	−5.3	90	1780
	789	**−6.3**	**95**	**2000**
4	766	−7.4	100	2230
5	719	−8.7	100	2720
	709	**−9.8**	**100**	**2939**
	693	**−10.3**	**98**	**3000**
6	678	−11.3	98	3180
7	644	14.7	93	3570
	608	**−17.9**	**89**	**4000**
8	601	−18.1	88	1100
9	563	−20.0	84	4570
10	**531**	**−23.6**	**75**	**5000**
11	**509**	**−24.5**	**67**	**5450**
12	466	−27.7	57	5950
	463	**−27.9**	**56**	**6000**
13	430	−32.4	50	6520
	402	**−37.1**	**47**	**7000**
14	400	−37.5	47	7030
15	370	−41.6	—	7560
16	**347**	**−41.7**	**—**	**8000**
17	324	−44.8	-	8450
18	303	−48.5	-	8900
	300	**−48.8**	-	**8970**
	298	**−49.0**	-	**9000**
19	280	−51.2		9420
	270	−53.1		9650
20	259	−52.1		9920
	256	**−51.0**		**10000**
21	242	−46.2		10360
22	226	−46.8		10820
	220	**−47.1**		**11000**
23	213	−48.4	-	11220
24	**200**	**−49.3**	-	**11633**
	189	**−51.3**		**12000**
25	186	−52.0		12100

2. II. 1953 15.00 h HEC

	1000	—	-	**160**
0	956.1	0.0	100	493
	899	**−4.1**	**100**	**1000**
1	889	−4.8	100	1080
	850	**−7.6**	**100**	**1449**
2	840	−8.5	100	1540
3	797	−11.7	100	1940
	790	**−12.1**	**100**	**2000**
4	757	−14.7	100	2330
5	722	−17.5	100	2680
	700	**−19.1**	**100**	**2910**
	692	**−19.8**	**100**	**3000**
6	681	20.7	100	3100
7	638	−23.4	100	3590
8	**604**	**−25.8**	**100**	**4000**
9	570	−28.9	100	4410
10	536	−31.1	100	1850
	521	**−32.1**	**100**	**5000**
11	502	−34.2	100	5300
	500	**−34.5**	**100**	**5330**
12	474	−36.2	100	5720
	454	**−38.3**	**100**	**6000**
13	447	−39.1	100	6160
14	420	−42.0	—	6540
15	394	−45.2	—	6960
	392	**−45.4**		**7000**
16	365	−47.4		7400
17	344	−49.5		7850
	337	**−50.2**		**8000**
18	320	−51.8		8340
19	**300**	**−53.2**		**8750**
	289	**−53.4**		**9000**
20	277	−53.8		9260
21	259	−53.9		9750
	247	**−53.9**	—	**10000**
22	241	−53.9		10150
23	225	−53.9		10590
	212	**−52.0**		**11000**
24	210	−51.6	—	11050
	200	**−51.5**	—	**11350**
25	197	−51.5	—	11450

3. II. 1953 14.45 h HEC

	1000			**190**
0	963.6	−2.0	80	493
1	910	−4.2	89	950
	902	**−4.7**	**90**	**1000**
2	868	−7.5	96	1310
	850	**−8.2**	**98**	**1470**
3	828	−9.3	100	1670
4	**790**	**−10.7**	**92**	**2000**
5	753	−12.9	86	2400
6	718	−15.3	83	2750
	700	**−16.1**	**81**	**2950**
	696	**−16.3**	**81**	**3000**
7	686	−16.8	80	3110
8	652	−18.5	74	3490
9	615	−21.0	76	3920
	608	**−21.6**	**78**	**4000**
10	579	−24.2	81	4370
11	548	−28.5	82	4800
	530	**−30.2**	**81**	**5000**
12	515	−31.7	81	5205
	500	**−33.3**	**80**	**5410**
13	483	−35.0	79	5650
14	**460**	**−38.7**	**79**	**6000**
15	435	−41.3	79	6360
16	410	−44.8	79	6770
	397	**−46.7**	**79**	**7000**
17	381	−49.1	79	7260
18	357	−53.3	79	7680
	340	**−56.5**	**—**	**8000**
19	333	−57.5	—	8120
20	310	−58.6	—	8570
	300	**−58.4**	**—**	**8780**
	290	**−58.2**	**—**	**9000**
21	288	−58.1	—	9040
22	267	−57.4	—	9500
23	**247**	**−57.6**	**—**	**10000**
24	226	−56.0	—	10570
	211	**−56.0**	**—**	**11000**
25	206	−56.0	—	11150
	200	**−56.0**	**—**	**11340**
26	187	−56.0	—	11770

4. II. 1953 15.05 h HEC

	1000	—	—	**215**
0	964.2	−1.0	100	493
1	910	−5.4	100	950
	905	**−5.9**	**100**	**1000**
2	863	−8.9	100	1360
	850	**−9.4**	**100**	**1495**
	840	−9.6	100	1560
3	820	−8.8	90	1760
	801	−6.5	70	1930
	794	**−6.9**	**63**	**2000**
4	778	−7.9	59	2160
5	740	−9.3	56	2560
6	707	−11.2	54	2900
	700	**−11.2**	**52**	**3000**
7	672	−11.7	49	3290
8	632	−14.0	47	3760
	613	**−15.8**	**46**	**4000**
9	605	−16.3	45	4090
10	576	−19.2	45	4460
11	546	−23.1	45	4850
	534	**−24.2**	**45**	**5000**
12	511	−26.1	45	5300
	500	**−27.5**	**45**	**5490**
13	485	−29.2	45	5720
	165	**−31.9**	**45**	**6000**
14	454	−33.4	45	6180
15	424	−37.3	45	6660
	403	**−40.3**	**—**	**7000**
16	394	−41.8	—	7160
17	369	−45.2	—	7660
	347	**−48.6**	**—**	**8000**
18	343	−49.4	—	8090
19	316	−53.2	—	8610
	300	**−55.4**	**—**	**8940**
	297	**−55.8**	**—**	**9000**

Min.	PPP	TTT	UU	H m. geop.
20	292	56.8	—	9120
21	268	60.2	—	9660
	254	**-62.2**	—	**10000**
22	245	-63.4	—	10220
23	221	-65.8	—	10770
	215	**-66.0**	—	**11080**
24	201	-66.2	—	11330
	200	**-65.4**	—	**11150**
25	188	-62.8	—	11820
	183	**-62.5**	—	**12000**
26	170	-61.9	—	12450

5. II. 1953 15.05 h HEC

	1000	—	—	**130**
0	955.4	0.0	78	493
1	916	-1.5	83	830
	896	**-3.2**	**90**	**1000**
2	872	-5.0	98	1220
	850	**-6.7**	**99**	**1430**
3	833	-8.0	100	1580
	810	-9.9	100	1790
4	796	-9.2	100	1930
	789	**-8.5**	**96**	**2000**
	775	-8.0	92	2140
5	757	-9.2	84	2320
6	714	-13.7	89	2770
	700	**-14.9**	**91**	**2920**
	692	**-15.5**	**96**	**3000**
7	677	-16.4	97	3170
8	641	-19.5	100	3570
	605	**-21.5**	**83**	**4000**
9	602	-21.7	80	4040
10	568	-23.3	50	4470
11	539	-26.2	48	4850
	528	**-26.9**	**48**	**5000**
12	507	-28.0	48	5290
	500	**-28.5**	**48**	**5400**
13	473	-30.3	48	5780
	459	**-31.0**	**48**	**6000**
14	449	-31.5	48	6160
15	420	-34.5	48	6620
16	**396**	**-36.9**	**48**	**7000**
17	368	-38.6	48	7530
	344	**-39.6**	—	**8000**
18	340	-39.7	47	8070
19	315	-39.0	47	8600
	300	**-40.4**	—	**8930**
	297	**-40.7**	—	**9000**
20	291	-41.3	—	9510
21	268	-44.2	—	9700
	256	**-45.2**	—	**10000**
22	242	-46.4	—	10370
23	222	-49.5	—	10940
	220	**-49.6**	—	**11000**
24	202	-50.4	—	11570
	200	**-50.3**	—	**11640**
	189	**-49.7**	—	**12000**
25	182	-49.0	—	12250
26	168	-49.6	—	12770

6. II. 1953 15.15 h HEC

	1000	—	—	**120**
0	951.4	-0.5	60	493
1	**892**	**-7.0**	**80**	**1000**
2	**850**	**-9.9**	**81**	**1370**
3	810	-12.5	81	1740
	783	**-14.4**	**82**	**2000**
4	769	-15.6	82	2140
5	731	-18.3	83	2520
	700	**-21.0**	**83**	**2850**
6	688	-22.2	83	2960
	685	**-22.4**	**83**	**3000**
7	648	-25.2	84	3410
8	616	-28.3	85	3770
	597	**-30.7**	**85**	**4000**
9	583	-32.6	85	4160
10	549	-32.9	76	4590
	518	**-36.0**	**70**	**5000**
11	513	-36.6	68	5050
	500	**-37.5**	**67**	**5240**
12	479	-39.2	66	5530
13	450	-42.5	—	5960
	447	**-42.8**	—	**6000**
14	420	-46.3	—	6410
15	392	-49.1	—	6870
	385	**-49.5**	—	**7000**
16	366	-50.5	—	7320
17	340	-52.7	—	7800
	330	**-53.6**	—	**8000**
18	311	-55.1	—	8370
	300	**-56.3**	—	**8600**
19	287	-57.7	—	8890
	282	**-57.9**	—	**9000**
20	264	-58.8	—	9400
21	248	-60.0	—	9790
	241	**-59.4**	—	**10000**
22	228	-58.8	—	10310
23	210	-58.8	—	10840
	205	**-59.2**	—	**11000**
	200	**-59.1**	—	**11150**
24	192	-59.2	—	11400
25	**174**	**-59.4**	—	**12000**

7. II. 1953 14.05 h HEC

	1000	—	—	**120**
0	952.2	-1.0	75	493
1	900	-5.3	100	950
	894	**-5.7**	**100**	**1000**
2	852	-8.8	100	1370
	850	**-8.9**	**100**	**1400**
3	805	-12.0	100	1820
	786	**-13.2**	**100**	**2000**
4	760	-14.8	100	2240
5	722	-16.9	100	2620
	700	**-19.3**	**99**	**2840**
	688	**-20.7**	**98**	**3000**
6	685	-21.1	97	3040
7	650	-24.7	73	3410
8	612	-27.6	54	3860
	599	**-28.7**	**52**	**4000**
9	580	-29.7	52	4230
10	545	-32.4	52	4670
	520	**-34.1**	**52**	**5030**
11	515	-34.4	52	5070
	500	**-36.0**	**52**	**5270**
12	486	-37.2	52	5470
13	457	-40.0	—	5900
	450	**-40.8**	—	**6000**
14	428	-42.8	—	6340
15	400	-46.4	—	6780
	387	**-48.4**	—	**7000**
16	374	-50.7	—	7230
17	348	-53.7	—	7710
	332	**-55.7**	—	**8000**
18	323	-56.4	—	8180
	300	**-56.4**	—	**8640**
19	294	-56.4	—	8760
	284	**-56.4**	—	**9000**
20	271	-56.4	—	9280
21	245	-54.4	—	9930
	243	**-54.2**	—	**10000**
22	230	-53.3	—	10330
23	210	-52.8	—	10930
	208	**-53.2**	—	**11000**
	200	**-53.8**	—	**11230**
24	193	-54.4	—	11470

9. II. 1953 16.00 h HEC

	1000	—	—	**120**
0	952.5	1.0	100	493
1	896	-1.8	100	970
	893	**-2.0**	**100**	**1000**
2	854	-4.1	100	1350
	850	**-4.4**	**100**	**1400**
3	813	-6.6	100	1740
	786	**-8.9**	**100**	**2000**
4	777	-9.4	100	2090
5	738	-12.9	100	2480
6	**700**	**-15.2**	**100**	**2890**
	690	**-16.1**	**98**	**3000**
7	665	-18.2	92	3270
8	632	-20.4	84	3640
	603	**-22.3**	**65**	**4000**
9	598	-22.6	62	4050
10	566	-27.0	83	4460
11	532	-29.9	91	4900
	525	**-30.4**	**88**	**5000**
12	505	-31.7	85	5270
	500	**-32.0**	**83**	**5350**
13	477	-33.1	75	5670
	455	**-33.8**	**70**	**6000**
14	451	-34.0	68	6050
15	427	-37.1	72	6450
16	402	-40.2	—	6850
	394	**-41.6**	—	**7000**
17	379	-44.1	—	7250
18	356	-47.1	—	7670
	339	**-49.8**	—	**8000**
19	332	-50.9	—	8130
20	310	-54.8	—	8500
	300	**-56.9**	—	**8790**
	290	**-58.4**	—	**9000**
21	288	-58.6	—	9040
22	268	-61.7	—	9490
23	**247**	**-61.7**	—	**10000**
24	228	-59.5	—	10490
	211	**-58.5**	—	**11000**
25	209	-58.2	—	11030
	200	**-57.5**	—	**11310**
26	190	-56.7	—	11630

10. II. 1953 14.55 h HEC

	1000	—	—	**550**
0	930.4	1.0	92	493
1	**876**	**-0.6**	**100**	**1000**
	850	**-1.4**	**100**	**1235**
2	840	-1.6	100	1320
3	815	-2.5	100	1560
4	788	-3.9	100	1830
	770	**-4.4**	**100**	**2000**
5	760	-5.6	100	2120
6	725	-7.7	100	2480
7	705	-9.0	100	2690
	700	**-9.8**	**100**	**2760**
8	684	-11.0	100	2920
	678	**-11.6**	**100**	**3000**
9	660	-12.8	100	3200
10	639	-14.7	98	3440
11	610	-16.8	98	3800
	593	**-18.1**	**98**	**4000**
12	586	-18.6	98	4100
13	562	-20.5	98	4410
14	539	-21.7	98	4720
	519	**-23.2**	**97**	**5000**
15	514	-23.4	97	5060
	500	**-25.8**	**95**	**5280**
16	494	-26.2	94	5340
17	469	-29.3	94	5720
	451	**-31.7**	**94**	**6000**
18	445	-32.4	94	6100
19	420	-35.7	93	6500
20	398	-38.5	93	6880
	391	**-39.7**	**93**	**7000**
21	378	-41.7	—	7230
22	357	-45.0	—	7610
23	**337**	**-48.9**	—	**8000**
24	320	-51.0	—	8330
	300	**-51.0**	—	**8760**

11. II. 1953 14.45 h HEC

	1000	—	—	**570**
0	932.5	0.8	96	493
	875	**-0.5**	**96**	**1090**
1	866	-0.7	96	1080
	850	**-1.9**	**95**	**1235**
2	824	-3.7	94	1480
3	780	-6.4	96	1920
	771	**-7.2**	**97**	**2000**
4	748	-9.4	98	2240
5	717	-12.6	100	2550
	700	**-14.2**	**100**	**2750**
6	686	-15.4	100	2910
	678	**-16.0**	**100**	**3000**
7	651	-17.8	100	3280
8	620	-20.0	97	3660
	591	**-21.7**	**95**	**4000**
9	589	-21.8	95	4030
10	559	-25.0	95	4410
11	524	-28.3	94	4870
	515	-29.3	93	5000
	500	**-31.1**	**92**	**5210**
12	492	-32.2	92	5330
13	**463**	-36.3	91	5750
	447	**-38.2**	**90**	**6000**
14	435	-39.5	90	6170
15	403	-43.4	89	6690
	386	**-45.3**	—	**7000**
16	374	-46.4	—	7200
17	350	-50.2	—	7690
	331	**-52.7**	—	**8000**
18	323	-53.4	—	8150
19	306	-53.4	—	8500
	300	**-52.7**	—	**8620**
20	289	-51.6	—	8870
	284	**-51.5**	—	**9000**
21	272	-51.1	—	9260
22	252	-51.1	—	9750
	243	**-51.1**	—	**10000**
23	232	-51.1	—	10300
24	213	-51.1	—	10850
	208	**-50.3**	—	**11000**
25	**200**	**-48.6**	—	**11260**
26	183	-48.6	—	11850

12. II. 1953 15.05 h HEC

	1000	—	—	**030**
0	942.9	1.0	84	493
1	891	-3.4	95	940
	885	**-3.7**	**97**	**1000**
	850	**-5.7**	**100**	**1320**
2	847	-5.7	100	1360
3	807	-8.6	100	1720
	778	**-10.6**	**100**	**2000**
4	**767**	**-11.4**	**100**	**2110**
5	732	-13.7	100	2470
	700	**-15.9**	**100**	**2810**
6	693	-16.2	100	2890
	683	**-16.7**	**99**	**3000**
7	656	-19.0	98	3290
8	617	-21.2	95	3740
	596	**-23.3**	**94**	**4000**
9	583	-24.5	94	4160
10	547	-28.3	93	4620
11	**519**	**-32.4**	**90**	**5000**
	500	**-35.7**	**90**	**5260**
12	494	-36.5	90	5340
13	466	-40.6	—	5740
	449	**-42.9**	—	**6000**
14	435	-44.7	—	6200
15	408	-48.3	—	6630
	386	**-51.3**	—	**7000**
16	381	-51.8	—	7070
17	351	-54.7	—	7600
	330	**-56.8**	—	**8000**
18	327	-57.0	—	8050
19	**300**	**-57.0**	—	**8600**
	282	**-55.8**	—	**9000**
20	277	-55.3	—	9110
21	257	-54.4	—	9590
	241	**-54.4**	—	**10000**
22	235	-54.4	—	10150
	200	**-55.0**	—	**11200**

13. II. 1953 14.55 h HEC

	1000	—	—	**140**
0	953.6	1.0	73	493
1	898	-2.0	74	970
	894	**-2.1**	**73**	**1000**
	850	**-4.6**	**71**	**1420**
2	847	-4.8	71	1440
3	803	-8.1	71	1850
	788	**-9.1**	**72**	**2000**
4	**761**	**-10.9**	**75**	**2270**
	740	**-9.2**	**68**	**2490**
5	725	-10.0	63	2640
	700	**-11.7**	**61**	**2920**
	692	**-12.2**	**60**	**3000**

Min.	PPP	TTT	UU	H m. geop.
6	686	−12.7	59	3070
7	652	−16.1	58	3460
8	614	−19.5	58	3900
	606	**−20.4**	**58**	**4000**
9	577	−23.2	58	4350
10	544	−27.1	58	4780
	529	**−28.8**	**59**	**5000**
11	507	−31.0	60	5290
	500	**−31.8**	**60**	**5380**
12	479	−34.6	60	5690
	458	**−37.2**	**60**	**6000**
13	448	−38.5	60	6160
14	415	−42.2	—	6680
	395	**−44.8**	—	**7000**
15	386	−45.9	—	7160
16	360	−49.5	—	7620
	340	**−52.0**	—	**8000**
17	**332**	**−53.0**	—	**8140**
18	305	−53.8	—	8700
	300	**−53.7**	—	**8800**
19	280	−53.4	—	9240
	291	**−53.6**	—	**9000**
20	255	−53.5	—	9840
	249	**−53.5**	—	**10000**
21	235	−53.5	—	10360
22	216	−53.5	—	10910
	213	**−53.3**	—	**11000**
23	195	−51.7	—	11560
	200	**−52.2**	—	**11410**
	182	**−52.2**	—	**12000**
24	176	−52.3	—	12230
25	159	−52.8	—	12890
	14. II. 1953	**14.15 h HEC**		
	1000	—	—	**120**
0	953.8	0.0	80	493
1	908	−3.1	89	890
	896	**−3.7**	**93**	**1000**
2	858	−6.1	96	1330
	850	**−6.7**	**96**	**1410**
3	816	−9.0	98	1730
	787	**−10.0**	**92**	**2000**
4	770	−10.8	86	2160
5	731	−13.8	81	2570
	700	**−15.7**	**84**	**2900**
6	**692**	**−16.5**	**87**	**3000**
7	657	−19.7	98	3370
	640	−21.9	100	3570
8	621	−21.9	99	3750
	603	**−23.7**	**97**	**4000**
9	587	−25.2	95	4200
10	554	−29.1	95	4620
	525	**−31.8**	**96**	**5000**
11	517	−32.5	96	5100
	500	**−34.5**	**97**	**5340**
12	486	−36.3	97	5550
13	**456**	**−39.7**	**96**	**6000**
14	427	−44.0	93	6430
15	396	−48.7	92	6960
	391	**−49.0**	**92**	**7000**
16	371	−50.7	91	7350
17	346	−54.4	—	7800
	335	**−54.6**	—	**8000**
18	319	−55.0	—	8320
	300	**−55.0**	—	**8710**
19	294	−55.0	—	8850
	287	**−54.6**	—	**9000**
20	271	−53.9	—	9360
21	247	−51.6	—	9960
	216	**−51.4**	—	**10000**
22	226	−51.1	—	10550
	211	**−51.2**	—	**11000**
23	206	−51.4	—	11110
	200	**−51.3**	—	**11330**
24	188	−51.4	—	11730
	16. II. 1953	**14.55 h HEC**		
	1000	—	—	**120**
0	955.1	−3.0	100	493
1	902	−7.3	100	910
	892	**−8.2**	**100**	**1000**
2	861	−11.0	100	1270
	850	**−11.6**	**100**	**1375**
3	818	−13.8	100	1600
	782	**−9.4**	**80**	**2000**
4	777	−8.7	78	2060
5	739	−5.6	74	2450
6	709	−8.9	74	2770
	700	**−9.9**	**77**	**2870**
	688	**−11.3**	**82**	**3000**
7	676	−12.3	84	3120
8	642	−15.6	96	3530
9	610	−17.2	100	3910
	604	**−17.6**	**98**	**4000**
10	580	−19.0	96	4290
11	546	−23.2	95	4730
	527	**−25.5**	**98**	**5000**
12	519	−26.6	100	5110
	500	**−28.7**	**100**	**5370**
13	488	−30.2	100	5540
14	**456**	**−34.2**	**100**	**6000**
15	427	−37.0	100	6480
16	398	−41.0	88	6960
	396	**−41.3**	—	**7000**
17	367	−45.3	—	7500
18	**341**	**−49.1**	—	**8000**
19	313	−53.1	—	8550
	300	**−55.2**	—	**8820**
	292	**−56.7**	—	**9000**
20	290	−56.9	—	9030
21	266	−60.4	—	9580
	249	**−61.5**	—	**10000**
22	246	−61.5	—	10060
23	227	−57.2	—	10560
	212	**−56.8**	—	**11000**
24	208	−56.5	—	11110
	200	**−56.5**	—	**11360**
25	192	−56.5	—	11620
	17. II. 1953	**14.55 h HEC**		
	1000	—	—	**220**
0	962.3	−4.0	70	493
1	913	−7.5	74	910
	903	**−7.0**	**72**	**1000**
2	866	−5.0	68	1320
	850	**−4.1**	**64**	**1480**
3	821	−2.8	58	1740
	796	**−2.2**	**53**	**2000**
4	785	−2.0	51	2090
5	755	−1.9	52	2410
6	722	−6.8	50	2750
	700	**−7.7**	**50**	**3000**
7	685	−8.1	50	3170
8	650	−10.0	52	3580
9	620	−12.5	52	3940
	615	**−13.0**	**52**	**4000**
10	584	−15.8	53	4390
11	548	−19.0	54	4860
	539	**−19.8**	**54**	**5000**
12	515	−21.8	55	5330
	500	**−23.8**	**56**	**5550**
13	486	−25.9	56	5760
	470	**−27.7**	**55**	**6000**
14	458	−28.9	55	6170
15	430	−32.7	55	6620
	408	**−35.1**	**55**	**7000**
16	400	−36.0	55	7120
17	369	−39.3	55	7680
	352	**−43.0**	—	**8000**
18	343	−45.0	—	8180
19	312	−48.5	—	8800
	304	**−50.0**	—	**9000**
20	287	−52.4	—	9350
	300	**−50.3**	—	**9060**
21	263	−57.5	—	9910
	260	**−58.1**	—	**10000**
22	241	−60.8	—	10460
	221	**−63.6**	—	**11000**
23	218	−64.0	—	11070
24	202	−61.2	—	11540
	200	−62.0	—	11610
	188	**−60.3**	—	**12000**
25	184	−60.0	—	12130
26	168	−60.0	—	12700
	18. II. 1953	**14.55 h HEC**		
	1000	—	—	**220**
0	962.7	0.5	75	493
1	910	−0.5	78	940
	905	**0.1**	**80**	**1000**
	890	1.4	85	1130
2	864	0.5	92	1350
	850	**−0.3**	**94**	**1500**
3	821	−1.5	98	1760
	798	**−2.5**	**99**	**2000**
4	784	−3.2	100	2140
5	749	−5.2	100	2500
6	716	−6.9	100	2850
	702	**−7.9**	**98**	**3000**
	700	**−8.0**	**97**	**3030**
7	678	−10.0	95	3270
8	645	−11.0	93	3670
	630	−12.0	86	3840
	617	**−11.1**	**80**	**4000**
9	611	−10.6	74	4070
10	582	−12.6	68	4450
11	548	−15.2	68	4910
	541	**−15.7**	**69**	**5000**
12	517	−18.7	72	5330
	500	**−20.5**	**74**	**5600**
13	486	−21.8	76	5790
	472	**−23.9**	**78**	**6000**
14	460	−26.0	79	6200
15	433	−30.1	80	6640
	411	**−32.7**	**80**	**7000**
16	406	−33.4	80	7090
17	381	−37.3	80	7520
18	358	−41.3	—	7960
	355	**−41.8**	—	**8000**
19	334	−46.0	—	8420
20	312	−50.1	—	8870
	306	**−51.7**	—	**9000**
	300	**−53.2**	—	**9130**
21	294	−54.9	—	9260
22	274	−59.4	—	9700
	261	**−61.7**	—	**10000**
23	252	−63.4	—	10220
24	235	−65.3	—	10650
	222	**−65.3**	—	**11000**
25	210	−65.3	—	11330
	200	**−63.5**	—	**11630**
26	193	−62.2	—	11850
	20. II. 1953	**14.55 h HEC**		
	1000	—	—	**205**
0	966.3	6.0	90	493
1	925	4.0	100	840
	908	**2.7**	**100**	**1000**
2	886	1.2	100	1190
	850	**−0.8**	**100**	**1535**
3	841	−1.1	100	1610
	800	**−3.5**	**100**	**2000**
4	798	−3.8	100	2030
5	758	−6.0	100	2430
	700	**−10.5**	**100**	**3050**
6	719	−9.1	100	2840
	704	**−10.2**	**100**	**3000**
7	689	−11.3	100	3170
	667	−11.8	100	3420
8	651	−9.7	82	3600
	619	**−10.9**	**46**	**4000**
9	614	−11.1	40	4060
10	585	−12.9	36	4420
11	557	−15.9	34	4800
	542	**−17.6**	**35**	**5000**
12	527	−19.5	36	5220
13	**500**	**−22.9**	**40**	**5600**
	474	**−26.2**	**46**	**6000**
14	470	−26.6	48	6050
15	440	−30.7	56	6520
16	**412**	**−34.4**	**56**	**7000**
17	382	−38.1	52	7520
18	**354**	**−41.8**	—	**8000**
19	329	−46.1	—	8530
	306	**−50.1**	—	**9000**
20	304	−50.4	—	9040
	300	**−51.0**	—	**9130**
21	281	−54.0	—	9550
	262	**−57.8**	—	**10000**
22	256	−57.6	—	10150
23	232	−59.1	—	10760
	223	**−60.0**	—	**11000**
24	215	−60.8	—	11240
25	**200**	**−58.6**	—	**11700**
	190	**−58.6**	—	**12000**
26	180	−56.2	—	12350
	163	**−56.2**	—	**13000**
27	160	−55.8	—	13100
	21. II. 1953	**14.10 h HEC**		
	1000	—	—	**280**
0	972.6	4.0	80	493
1	949	3.0	95	700
	913	**1.3**	**88**	**1000**
2	902	1.0	85	1110
3	855	−1.5	64	1530
	850	**−2.2**	**64**	**1585**
	838	−2.4	65	1690
1	810	−1.0	66	1960
	807	**−1.0**	**65**	**2000**
5	767	−0.6	34	2400
6	727	−2.1	30	2820
	711	**−3.2**	**28**	**3000**
7	695	−4.4	27	3170
	700	**−3.9**	**28**	**3120**
8	655	−8.0	27	3630
	625	**−10.6**	**27**	**4000**
9	617	−11.3	27	4100
10	585	−14.0	27	4515
11	553	−17.2	28	4930
	548	**−17.4**	**28**	**5000**
12	523	−18.4	27	5360
	500	**−20.8**	**26**	**5690**
13	492	−21.8	26	5800
	479	**−23.8**	**25**	**6000**
14	464	−26.0	24	6230
15	435	−28.9	26	6700
	417	**−31.5**	**27**	**7000**
16	408	−32.4	28	7150
17	380	−36.6	27	7640
	361	**−40.3**	—	**8000**
18	356	−41.2	—	8100
19	329	−45.7	—	8620
	311	**−50.1**	—	**9000**
20	304	−51.8	—	9140
	300	**−52.4**	—	**9230**
21	280	−55.2	—	9670
	266	**−57.9**	—	**10000**
22	257	−59.6	—	10210
23	233	−62.2	—	10830
	226	**−63.2**	—	**11000**
24	210	−65.5	—	11460
	200	**−66.0**	—	**11760**
	23. II. 1953	**14.25 h HEC**		
	1000	—	—	220
0	967.1	5.0	65	493
1	919	1.6	70	910
	909	**2.1**	**65**	**1000**
2	883	3.2	50	1230
	850	**5.5**	**38**	**1550**
3	843	5.7	34	1610
4	**805**	**5.7**	**25**	**2000**
5	772	4.0	22	2330
6	737	2.3	20	2710
	711	**1.2**	**19**	**3000**
7	705	0.8	18	3060
	700	**0.5**	**20**	**3120**
8	670	−2.2	30	3460
9	633	−6.2	34	3910
	626	**−7.0**	**35**	**4000**
10	598	−10.2	37	4350
11	568	−12.4	37	4750
	550	**−13.8**	**36**	**5000**
12	534	−15.0	35	5230
13	505	−19.1	35	5640
	500	**−19.7**	**36**	**5720**
	481	**−22.0**	**37**	**6000**
14	476	−22.7	37	6080

Min.	PPP	TTT	UU	H m. geop.
15	445	26.8	16	6570
16	418	−29.5	50	7000
17	392	33.1	53	7470
18	365	36.1	54	7970
	363	−36.7	54	8000
19	339	40.2	54	8480
20	315	−44.3	—	8970
	304	−44.4		9000
	300	−46.8	—	9300
21	290	−48.6	—	9530
	270	−51.6	—	10000
22	265	−52.4	—	10120
23	241	−56.2	—	10730
	231	−58.3	—	11000
24	220	−61.0	—	11300
25	200	−63.0	—	11900
	197	−62.0	—	12000
26	183	−58.1	—	12450
27	167	−54.6	—	13000
28	151	−55.7		13680

24. II. 1953 15.00 h HEC

	1000	—	—	230
0	966.4	3.0	80	493
1	906	−0.8	100	1000
	876	2.0	100	1280
2	865	1.6	79	1380
	850	3.0	48	1530
3	823	5.8	26	1790
	802	5.0	23	2000
4	788	4.7	18	2130
5	751	2.8	15	2530
6	716	0.2	15	2910
	709	−0.6	15	3000
	700	−1.2	15	3100
7	686	−2.0	15	3250
8	649	−4.8	15	3690
	624	−6.6	16	4000
9	615	−7.2	18	4110
10	586	−10.2	28	4490
11	554	−14.3	45	4910
	549	−15.2	44	5000
12	523	−17.8	41	5350
	500	−19.7	44	5700
13	496	−20.0	45	5740
	479	−22.3	50	6000
14	470	−23.7	55	6140
15	441	−27.4	54	6600
16	415	−30.3	50	7000
17	389	−33.5	50	7490
18	363	−36.7	44	7960
	362	−37.0	—	8000
19	340	−40.3	—	8420
20	314	−44.3	—	8960
	313	−44.5	—	9000
	300	−46.4	—	9270
21	290	−47.9	—	9490
	268	−50.7	—	10000
22	263	−51.8	—	10160
23	243	−55.5	—	10640
	230	−57.5	—	11000
24	221	−58.7	—	11240
25	200	−60.0	—	11870
	196	−59.6	—	12000
26	182	−57.7	—	12460
27	167	−56.0	—	13000

25. II. 1953 15.00 h HEC

	1000	—	—	270
0	970.5	1.5	80	493
1	919	−3.2	90	920
	912	−1.4	70	1000
2	872	7.3	36	1360
	850	7.9	28	1560
3	831	8.5	20	1750
	804	6.8	18	2000
4	792	5.9	15	2150
5	751	3.0	15	2570
6	712	0.5	15	3000
	700	−0.9	15	3150
7	679	−2.8	15	3390
8	642	6.3	20	3810
	629	−7.7	24	4000
9	608	9.5	29	4250
10	574	12.0	31	4680
	551	−15.0	31	5000
11	542	16.0	31	5130
12	515	−19.8	31	5500
	500	−21.2	31	5730
13	483	−22.4	31	6000
14	455	−26.0	31	6420
15	429	−30.0	34	6840
	420	−31.3	35	7000
16	401	−33.3	38	7310
17	373	−36.6	40	7810
	364	−37.5	—	8000
18	347	−40.7	—	8320
19	323	−45.3	—	8800
	314	−47.2	—	9000
20	300	−50.0	—	9290
21	274	−54.5	—	9880
	269	−55.0	—	10000
22	252	−56.7	—	10410
23	232	−56.7	—	10920
	230	−56.7	—	11000
24	212	−56.7	—	11500
	200	−56.7	—	11870
25	194	−56.7	—	12070
	197	−56.7	—	12000
26	179	−56.7	—	12570

26. II. 1953 14.50 h HEC

	1000	—	—	300
0	973.8	1.0	80	493
1	916	−0.8	100	1000
2	876	9.0	60	1350
	850	9.0	54	1610
3	831	9.0	50	1790
	810	7.8	53	2000
4	790	7.0	51	2210
5	752	4.0	55	2610
6	714	1.2	54	3000
	700	−0.5	50	3190
7	681	−2.2	45	3410
8	645	−5.1	44	3830
	632	−6.6	44	4000
9	614	−8.0	44	4220
10	583	−11.8	45	4610
11	554	−14.4	46	5000
12	526	−17.7	47	5400
13	500	−20.6	46	5770
	485	−22.1	46	6000
14	467	−23.7	45	6280
15	434	−28.0	45	6800
	422	−29.4	45	7000
16	405	−31.6	45	7300
17	382	−35.7	45	7700
	366	−37.7	45	8000
18	357	−39.0	45	8180
19	334	−43.3	—	8630
	216	−46.7	—	9000
20	311	−47.4	—	9110
	300	−49.3	—	9340
21	287	−51.5	—	9640
	271	−54.5	—	10000
22	262	−56.2	—	10220
23	240	−59.6	—	10780
	231	−60.8	—	11000
24	219	−62.5	—	11350
25	200	−64.4	—	11900
	197	−64.0	—	12000
26	183	−61.0	—	12450
	168	−58.5	—	13000
27	166	−58.2	—	13060

27. II. 1953 14.55 h HEC

	1000	—	—	280
0	972.8	0.0	100	493
	955	−3.5	100	640
1	930	4.4	86	850
	913	5.7	60	1000
2	890	8.4	32	1220
3	854	7.7	20	1550
	850	7.5	19	1610
4	818	6.7	15	1910
	808	6.4	15	2000
5	783	5.6	15	2270
6	750	3.3	15	2620
7	718	1.1	15	2960
	715	0.7	15	3000
	700	−0.6	15	3180
8	688	−1.5	15	3300
9	654	−3.4	15	3700
	630	−5.5	15	4000
10	622	−6.2	15	4160
11	588	−9.0	15	4550
12	559	−11.9	15	4930
	554	−12.4	15	5000
13	528	−13.9	15	5360
14	500	−16.4	15	5780
	485	−17.8	15	6000
15	471	−19.1	15	6220
16	444	−24.9	15	6650
	423	−28.7	15	7000
17	420	−29.3	15	7050
18	395	−33.8	15	7480
19	371	−38.6	15	7920
	367	−39.3	15	8000
20	347	−42.1	—	8380
21	328	−46.6	—	8760
	316	−48.0	—	9000
22	302	−49.6	—	9300
	300	−50.6	—	9350
23	280	−53.2	—	9780
	272	−54.8	—	10000
24	259	−57.1	—	10280
25	238	−61.0	—	10810
	231	−61.5	—	11000
26	215	−62.7	—	11450
	200	−61.8	—	11900
	197	−61.7	—	12000
27	192	−61.2	—	12150
28	172	−60.3	—	12840

28. II. 1953 14.15 h HEC

	1000	—	—	250
0	970.3	6.0	82	493
1	924	2.5	82	890
	912	2.1	81	1000
	904	2.0	80	1070
2	879	3.6	70	1290
	850	5.5	54	1580
3	833	6.5	44	1730
	806	5.9	30	2000
4	788	5.7	26	2180
5	751	2.8	22	2580
6	717	0.3	23	2950
	713	−0.3	22	3000
	700	−1.6	21	3150
7	686	−2.7	20	3300
8	656	−5.6	22	3650
	628	−8.3	18	4000
9	622	−8.7	17	4060
10	589	−11.8	17	4500
11	561	−14.8	17	4860
	550	−16.3	17	5000
12	537	−18.1	17	5190
13	511	−21.5	17	5560
	500	−23.0	17	5720
14	487	−25.0	17	5900
	480	−25.9	17	6000
15	460	−28.3	17	6310
16	432	−31.8	17	6770
	418	−33.7	17	7000
17	402	−35.5	17	7260
18	375	−38.7	17	7750
	362	−41.0	—	8000
19	350	−42.7	—	8220
20	323	−48.0	—	8760
	311	−50.1	—	9000
21	300	−52.6	—	9240
22	279	−55.8	—	9710
	266	−57.4	—	10000
23	259	−58.5	—	10180
24	237	−62.0	—	10730
	227	−63.2	—	11000
25	217	−64.3	—	11290
	200	−66.0	—	11780
26	197	−66.2	—	11870
	193	−65.8	—	12000
27	178	−64.0	—	12490

2. III. 1953 14.50 h HEC

	1000	—	—	270
0	973.9	5.0	55	493
1	926	2.0	60	890
	915	2.1	57	1000
2	876	2.4	52	1350
	850	1.8	44	1590
3	837	1.2	40	1710
	808	0.5	31	2000
4	797	0.2	28	2100
5	760	−1.8	20	2490
6	728	−3.2	20	2890
	713	−4.0	20	3000
	700	−4.8	20	3140
7	693	−5.1	20	3210
8	659	−8.4	21	3610
9	625	−11.7	23	4000
10	587	−14.4	23	4500
11	553	−17.1	21	4950
	549	−17.7	21	5000
12	527	−20.4	21	5300
13	500	−23.4	21	5690
	479	−26.3	21	6000
14	472	−27.4	21	6110
15	444	−31.0	21	6550
16	424	−33.8	21	6870
	416	−34.5	21	7000
17	393	−36.8	21	7400
18	365	−40.9	—	7910
	360	−41.6	—	8000
19	338	−44.7	—	8430
20	314	−48.1	—	8910
	310	−48.8	—	9000
	300	−50.5	—	9210
21	293	−51.9	—	9370
22	269	−55.1	—	9920
	265	−55.6	—	10000
23	247	−58.5	—	10450
24	227	−62.1	—	11000
25	209	−57.7	—	11500
	200	−55.4		11780
26	192	−53.6	—	12050
	194	−53.9	—	12000
27	176	−53.1	—	12610
	166	−52.4	—	13000
28	164	−52.4	—	13060

3. III. 1953 14.45 h HEC

	1000	—	—	280
0	974.7	7.0	55	493
1	925	3.4	68	920
	916	3.7	60	1000
2	889	4.5	32	1250
	850	3.3	30	1610
3	847	3.1	29	1640
	810	1.9	29	2000
4	803	1.5	29	2080
5	763	−1.2	29	2480
6	725	−4.1	28	2880
	714	−4.8	28	3000
	700	−5.8	28	3160
7	689	−6.7	28	3280
8	655	−8.9	28	3680
	628	−11.6	28	4000
9	623	−11.8	28	4060
10	593	−14.7	28	4440
11	564	−17.1	32	4810
	550	−18.1	33	5000
12	534	−19.4	34	5220
13	508	−22.3	37	5600
	500	−23.5	38	5710
14	480	−26.9	43	6000
15	451	−29.1	42	6460

Min	PPP	TTT	UU	H m. geop.
16	425	-33.0	42	6870
	418	**-33.7**	**42**	**7000**
17	394	-36.1	42	7400
18	365	-40.2	—	7930
	361	**-40.8**	**—**	**8000**
19	339	-44.1	—	8430
20	313	-48.4	—	8960
	311	**-48.6**	**—**	**9000**
	300	**-50.3**	**—**	**9230**
21	291	-51.9	—	9440
	267	**-55.4**	**—**	**10000**
22	265	-55.7	—	10040
23	242	-59.3	—	10610
	227	**-60.8**	**—**	**11000**
24	221	-61.7	—	11170
25	**200**	**-62.5**	**—**	**11800**
	194	**-61.8**	**—**	**12000**
26	184	-60.7	—	12310
	4. III. 1953	**14.50 h HEC**		
	1000	—	—	**270**
0	973.0	8.5	45	493
1	938	6.4	43	800
	915	**5.8**	**39**	**1000**
2	897	5.3	33	1170
3	855	2.9	32	1550
	850	**2.6**	**33**	**1600**
4	817	0.6	34	1910
	809	**0.1**	**35**	**2000**
5	775	-1.5	38	2340
6	738	-2.1	42	2730
	713	**-4.1**	**38**	**3000**
7	704	-4.6	37	3100
	700	**-4.7**	**36**	**3150**
8	668	-6.1	32	3520
9	634	-8.6	34	3910
	627	**-9.2**	**35**	**4000**
10	602	-11.1	37	4320
11	577	-15.0	39	4670
	550	**-17.2**	**40**	**5000**
12	547	-17.4	40	5050
13	517	-20.5	42	5460
	500	**-22.8**	**43**	**5710**
14	489	-24.1	43	5870
	481	**-25.2**	**44**	**6000**
15	461	-28.5	45	6300
16	436	-31.9	47	6690
	417	**-34.2**	**48**	**7000**
17	406	-35.5	48	7180
18	379	-39.2	48	7660
	361	**-42.2**	**—**	**8000**
19	354	-43.2	—	8130
20	332	-47.6	—	8570
	311	**-50.9**	**—**	**9000**
21	309	-51.1	—	9040
	300	**-52.7**	**—**	**9230**
22	285	-55.2	—	9550
	266	**-58.5**	**—**	**10000**
23	260	-59.7	—	10130
24	237	-63.6	—	10700
	226	**-65.5**	**—**	**11000**
25	217	-67.1	—	11240
	200	**-66.8**	**—**	**11740**
26	197	-66.7	—	11810
	192	**-65.3**	**—**	**12000**
27	181	-62.3	—	12350
28	167	-63.4	—	12850
	5. III. 1953	**14.45 h HEC**		
	1000	—	—	**240**
0	970.0	10.0	45	493
1	928	7.1	42	850
	912	**6.3**	**42**	**1000**
2	885	5.0	42	1250
	850	**3.1**	**42**	**1580**
3	844	2.7	42	1640
4	**807**	**3.0**	**44**	**2000**
5	769	2.2	40	2380
6	739	-1.1	38	2710
	719	-0.4	33	2930
	712	**-0.8**	**31**	**3000**
	700	**-1.3**	**28**	**3140**
7	697	-1.2	27	3170
8	663	-3.7	24	3580
9	**628**	**-7.6**	**22**	**4000**
10	599	-9.5	20	4360
11	570	-12.6	23	4750
	551	**-14.1**	**24**	**5000**
12	544	-14.7	24	5100
13	512	-17.7	25	5550
	500	**-19.1**	**26**	**5730**
14	486	-21.0	27	5940
	482	**-25.1**	**27**	**6000**
15	460	-24.7	28	6350
16	435	-28.6	28	6750
	420	**-30.6**	**28**	**7000**
17	409	-32.2	28	7170
18	385	-36.3	28	7600
	364	**-38.9**	**28**	**8000**
19	358	-39.7	28	8110
20	334	-45.0	—	8580
	313	**-49.1**	**—**	**9000**
21	310	-49.6	—	9070
	300	**-51.8**	**—**	**9280**
22	289	-54.2	—	9520
23	269	-57.6	—	9970
	268	**-57.9**	**—**	**10000**
24	251	-62.1	—	10420
25	234	-66.9	—	10840
	228	**-67.5**	**—**	**11000**
26	217	-68.9	—	11290
	200	**-66.7**	**—**	**11790**
27	197	-65.5	—	11980
	193	**-66.0**	**—**	**12000**
28	180	-63.6	—	12430
	164	**-62.2**	**—**	**13000**
29	162	-62.2	—	13080
30	147	-62.2	—	13680
	6. III. 1953	**14.50 h HEC**		
	1000	—	—	**280**
0	974.8	7.7	60	493
1	926	5.1	72	910
	916	**6.6**	**66**	**1000**
	903	8.6	59	1110
2	890	8.0	50	1230
3	**850**	**4.4**	**48**	**1620**
4	**811**	**0.9**	**53**	**2000**
5	771	-0.5	50	2400
6	735	-1.7	38	2780
	715	**-2.5**	**31**	**3000**
	700	**-2.6**	**26**	**3170**
7	695	-3.3	24	3230
	676	-5.5	23	3450
8	661	-5.2	23	3620
9	**628**	**-6.7**	**21**	**4000**
10	597	-10.2	20	4410
11	566	-13.9	20	4820
	553	**-15.5**	**20**	**5000**
12	536	-17.1	19	5230
13	505	-20.2	18	5780
	500	**-21.0**	**18**	**5850**
	183	**-23.2**	**18**	**6000**
14	176	-24.3	18	6120
15	147	-27.7	20	6570
16	**121**	**-32.2**	**20**	**7000**
17	394	-36.5	20	7450
18	371	-40.6	—	7870
	364	**-41.3**	**—**	**8000**
19	351	-42.7	—	8250
20	329	-47.0	—	8680
	313	**-49.4**	**—**	**9000**
21	308	-50.3	—	9110
	300	**-51.7**	**—**	**9280**
22	286	-54.2	—	9600
	268	**-56.5**	**—**	**10000**
23	264	-57.3	—	10120
24	244	-60.0	—	10610
	229	**-62.4**	**—**	**11000**
25	223	-63.3	—	11160
26	204	-65.8	—	11700
	200	**-66.3**	**—**	**11820**
	194	**-67.2**	**—**	**12000**
27	187	-68.0	—	12220
28	170	-63.1	—	12800
	7. III. 1953	**14.30 h HEC**		
	1000	—	—	**200**
0	965.2	12.5	45	493
1	926	9.5	56	820
	908	**8.0**	**60**	**1000**
2	887	6.5	62	1180
	850	**3.4**	**73**	**1540**
3	843	2.9	77	1610
4	805	0.1	61	1970
	803	**-0.1**	**55**	**2000**
5	763	-1.1	38	2390
6	727	-2.7	35	2780
	708	**-3.3**	**30**	**3000**
	700	**-3.8**	**27**	**3095**
7	695	-3.9	25	3150
8	656	-7.2	23	3580
	623	**-8.0**	**25**	**4000**
9	620	-8.2	25	4040
10	587	-11.2	31	4450
11	554	-14.1	36	4900
	547	**-15.1**	**44**	**5000**
12	521	-18.1	70	5360
	500	**-20.6**	**73**	**5670**
13	490	-22.1	75	5810
	478	**-23.2**	**80**	**6000**
14	463	-24.9	85	6230
15	435	-24.9	95	6680
	417	**-28.3**	**90**	**7000**
16	410	-29.5	88	7110
17	384	-32.5	86	7570
	362	**-36.3**	**80**	**8000**
18	354	-37.7	74	8140
19	328	-40.6	—	8660
	312	**-43.9**	**—**	**9000**
20	**300**	**-46.5**	**—**	**9270**
21	279	-51.1	—	9750
	268	**-53.2**	**—**	**10000**
22	255	-55.8	—	10330
23	231	-60.4	—	10950
	229	**-60.9**	**—**	**11000**
24	209	-65.3	—	11570
	200	**-67.1**	**—**	**11840**
	195	**-67.7**	**—**	**12000**
25	189	-68.6	—	12180
26	169	-70.3	—	12840
	165	**-69.9**	**—**	**13000**
27	157	-69.0	—	13290
28	145	-64.7	—	13770
	9. III. 1953	**14.55 h HEC**		
	1000	—	—	**250**
0	968.9	3.5	56	493
1	**907**	**-0.8**	**60**	**1000**
2	858	-4.2	70	1450
	850	**-4.8**	**64**	**1530**
	835	-5.5	56	1660
3	809	-8.9	47	1900
	800	**-4.3**	**46**	**2000**
4	764	-4.8	45	2360
5	728	-5.4	45	2730
	704	**-6.3**	**47**	**3000**
	700	**-6.4**	**48**	**3050**
6	693	-6.9	49	3120
7	659	-9.5	67	3530
8	626	-13.2	51	3940
	619	**-13.8**	**49**	**4000**
9	594	-15.3	46	4320
10	565	-17.9	45	4680
	542	**-19.7**	**45**	**5000**
11	536	-20.0	45	5080
12	**500**	**-23.2**	**45**	**5590**
	472	**-26.2**	**45**	**6000**
13	470	-26.5	45	6040
14	441	-30.4	45	6500
15	**411**	**-33.7**	**46**	**7000**
16	386	-37.7	46	7450
17	362	-41.3	—	7880
	355	**-41.8**	**—**	**8000**
18	338	-44.3	—	8340
19	314	-47.6	—	8820
	306	**-49.3**	**—**	**9000**
20	291	-51.6	—	9330
	300	**-50.2**	**—**	**9130**
21	268	-55.0	—	9850
	263	**-56.0**	**—**	**10000**
22	248	-58.2	—	10350
23	232	-61.3	—	10760
	224	**-62.0**	**—**	**11000**
24	211	-62.8	—	11260
25	**200**	**-64.2**	**—**	**11690**
	190	**-63.3**	**—**	**12000**
26	184	-62.5	—	12260
27	168	-62.5	—	12750
	10. III. 1953	**14.50 h HEC**		
	1000	—	—	**300**
0	974.3	7.0	68	493
1	921	3.5	72	940
	916	**3.5**	**65**	**1000**
2	879	3.8	44	1340
	850	**2.0**	**43**	**1610**
3	830	1.0	43	1800
	809	**-0.7**	**43**	**2000**
4	784	-2.5	43	2240
5	743	-5.5	45	2660
	713	**-6.4**	**46**	**3000**
6	705	-6.5	46	3090
	700	**-6.5**	**45**	**3140**
7	668	-7.8	44	3510
8	634	-11.0	43	3910
	626	**-11.5**	**43**	**4000**
9	602	-13.0	43	4300
10	570	-16.0	43	4710
	549	**-18.5**	**43**	**5000**
11	539	-19.6	43	5140
12	511	-23.5	43	5520
	500	**-24.8**	**43**	**5690**
13	482	-27.0	43	5960
	479	**-27.5**	**43**	**6000**
14	457	-30.6	43	6340
15	430	-34.0	43	6760
	416	**-35.7**	**43**	**7000**
16	404	-37.0	43	7200
17	374	-40.1	—	7720
	359	**-41.6**	**—**	**8000**
18	349	-43.2	—	8200
19	325	-46.0	—	8670
	310	**-49.0**	**—**	**9000**
20	303	-50.2	—	9130
	300	**-51.0**	**—**	**9200**
21	281	-54.9	—	9630
22	**264**	**-58.4**	**—**	**10000**
23	242	-61.5	—	10550
24	**224**	**-62.6**	**—**	**11000**
	200	**-64.0**	**—**	**11750**
	11. III. 1953	**14.50 h HEC**		
	1000	—	—	**230**
0	966.8	2.0	68	493
1	916	-1.0	77	910
	907	**-1.9**	**85**	**1000**
2	874	-4.6	92	1280
	850	**-6.3**	**96**	**1510**
3	831	-7.5	100	1690
	798	**-9.1**	**100**	**2000**
4	792	-9.4	100	2060
5	759	-12.0	100	2390
6	726	-14.2	100	2720
	700	**-16.8**	**100**	**3000**
7	697	-17.2	100	3040
8	670	-18.6	100	3320
9	639	-20.0	100	3680
	612	**-22.4**	**100**	**4000**
10	607	-22.8	100	4050
11	579	-26.0	97	4410
12	551	-28.8	88	4760
	533	**-30.9**	**84**	**5000**
13	524	-31.9	82	5100
14	**500**	**-34.5**	**60**	**5440**
15	472	-37.2	52	5850
	462	**-38.2**	**—**	**6000**
16	444	-40.0	—	6270

Min.	PPP	TTT	UU	H m. geop.
17	418	-43.0	-	6680
	398	**-44.3**		**7000**
18	393	-45.0		7090
19	368	-46.8		7530
20	346	-48.5	-	7930
	343	**-48.9**		**8000**
21	322	-50.4	-	8400
22	**300**	**-50.3**	-	**8870**
	294	**-50.1**	-	**9009**
23	276	-50.0		9420
24	259	-49.5		9830
	252	**-49.5**	—	**10000**
25	240	-49.5	—	10330
26	222	-49.5		10830
	217	**-50.2**	-	**11000**
27	207	-51.5	-	11300
	200	**-51.5**	-	**11520**
28	192	-51.5	-	11790

12. III. 1953 15.00 h HEC

	1000	—	—	**220**
0	967.1	3.0	75	493
1	920	-1.0	93	900
	908	**-2.0**	**92**	**1000**
2	884	-3.9	90	1220
	850	**-6.0**	**91**	**1530**
3	837	6.7	92	1650
	800	**-9.6**	**18**	**2000**
1	795	-9.9	100	2040
5	756	12.2	98	2430
6	717	11.0	66	2830
	700	**-12.2**	**62**	**3000**
7	678	-13.8	56	3260
8	645	-16.4	50	3640
9	**616**	**-18.0**	**45**	**4000**
10	582	-20.2	47	4410
11	551	-23.0	50	4810
	538	**-25.0**	**49**	**5000**
12	525	-26.4	49	5160
13	**500**	**-29.3**	**48**	**5520**
14	469	-32.2	47	5970
	467	**-32.5**	**47**	**6000**
15	440	35.5	47	6420
16	414	39.2	46	6840
	405	**-40.6**	-	**7000**
17	390	-42.7	-	7240
18	366	-46.8		7670
	348	**-49.5**	-	**8000**
19	341	-50.6	-	8130
20	318	-54.9	-	8600
	300	**-57.4**	-	**8950**
	298	**-57.7**	-	**9000**
21	295	-58.0	-	9070
22	274	-61.0	-	9520
23	255	-63.0		9970
	254	**-62.9**		**10000**
24	236	-59.9		10450
25	219	-58.0	-	10920
	216	**-58.0**		**11000**
26	**200**	**-58.0**		**11490**
27	183	-58.0		11850

13. III. 1953 15.00 h HEC

	1000	—	—	**250**
0	969.8	5.0	52	493
1	924	2.3	55	880
	909	**-3.4**	**56**	**1000**
2	882	-5.6	58	1260
	850	**-8.1**	**60**	**1540**
3	836	9.0	61	1650
	824	9.6	58	1760
	800	**-8.8**	**52**	**2000**
1	780	-8.2	48	2200
5	752	10.8	47	2470
6	720	12.1	48	2810
	703	**-12.8**	**47**	**3000**
	700	**-13.0**	**47**	**3040**
7	685	13.1	47	3190
8	654	16.0	45	3550
9	620	17.8	44	3950
	615	**-18.2**	**46**	**4000**

Min.	PPP	TTT	UU	H m. geop.
10	589	-20.0	50	4330
11	554	-22.3	54	4770
	538	**-23.9**	**56**	**5000**
12	522	-25.3	58	5210
	500	**-27.8**	**59**	**5540**
13	490	-28.8	60	5670
	468	**-31.5**	**60**	**6000**
14	463	-31.9	61	6060
15	440	-35.0	60	6420
16	416	-38.4	60	6820
	405	**-40.1**	—	**7000**
17	393	-41.5	—	7200
18	368	-44.2	—	7650
	349	**-45.7**	—	**8000**
19	344	-46.2	—	8100
20	320	-49.3	—	8570
21	**300**	**-51.7**	—	**9000**
22	276	-54.6	—	9340
	257	**-57.2**	—	**10000**
24	238	-58.9	—	10470
25	**219**	**-60.2**	—	**11000**
26	203	-60.0	—	11470
	200	**-60.0**	—	**11580**
	187	**-60.0**	—	**12000**
27	185	-60.0	—	12050

14. III. 1953 14.10 h HEC

	1000	—	—	**220**
0	966.8	5.0	54	493
	908	**0.4**	**58**	**1000**
1	899	-0.5	59	1090
	850	**-5.0**	**68**	**1530**
2	844	-6.2	70	1580
	817	-7.8	67	1830
3	**800**	**-6.8**	**60**	**2000**
4	760	-9.5	57	2400
5	723	-11.8	61	2780
	702	**-13.8**	—	**3000**
	700	**-14.1**	**64**	**3030**
6	689	-14.9	60	3140
7	652	-18.5	56	3550
8	**616**	**-21.0**	**49**	**4000**
9	586	-23.4	45	4350
10	558	-25.7	47	4700
	535	**-28.3**	**49**	**5000**
11	530	-28.5	51	5080
12	504	-31.9	46	5430
	500	**-32.5**	**47**	**5480**
13	477	-35.6	48	5810
	464	**-37.2**	**48**	**6000**
14	447	-38.8	48	6270
15	418	-41.7	—	6720
	401	**-43.4**	—	**7000**
16	390	-44.2	—	7180
17	365	-45.2	—	7630
	345	**-45.8**	—	**8000**
18	342	-45.8	—	8050
19	318	-46.7	—	8540
	300	**-47.7**	—	**8920**
	297	**-47.8**	—	**9000**
20	294	-48.0	—	9060
21	272	-49.4	—	9580
	255	**-50.4**	—	**10000**
22	250	-50.8	—	10120
23	229	-51.3	—	10690
	219	**-52.3**	—	**11000**
24	213	-52.8	—	11160
	200	**-53.4**	—	**11560**
25	196	-53.5	—	11700
	187	**-52.7**	—	**12000**
26	179	-51.8	—	12280
27	162	-54.2	—	12920

16. III. 1953 14.50 h HEC

	1000	—	—	**220**
0	962.8	10.5	43	493
1	922	7.2	43	850
	905	**5.9**	**42**	**1000**
2	879	4.1	40	1240
	850	**3.4**	**40**	**1520**

Min.	PPP	TTT	UU	H m. geop.
3	836	-1.4	40	1650
	800	-0.7	42	2000
4	794	-1.0	43	2060
5	755	-2.5	48	2460
6	721	-4.5	59	2830
	705	**-5.5**	**61**	**3000**
	700	**-6.0**	**64**	**3060**
7	686	-6.8	65	3220
8	650	-8.6	71	3640
	620	**-10.7**	**73**	**4000**
9	614	-11.0	74	4080
10	580	-14.3	77	4520
11	552	-16.8	78	4870
	544	**-17.7**	**78**	**5000**
12	527	-19.6	78	5230
13	502	-22.8	79	5500
	500	**-23.0**	**78**	**5620**
14	**474**	**-25.4**	**76**	**6000**
15	449	-28.3	66	6440
16	429	-31.2	58	6740
	413	**-33.8**	**56**	**7000**
17	403	-34.7	54	7160
18	381	-38.1	52	7550
19	359	-41.6	—	7950
	357	**-42.2**	—	**8000**
20	337	-46.1	—	8380
21	312	-49.7	—	8890
	307	**-50.4**	—	**9000**
	300	**-51.5**	—	**9160**
22	290	-52.8	—	9370
23	267	-55.9	—	9900
	252	**-56.3**	—	**10000**
24	241	-58.7	—	10540
	224	**-60.7**	—	**11000**
25	221	-61.0	—	11090
26	**200**	**-63.1**	—	**11710**

17. III. 1953 15.15 h HEC

	1000	—	—	**180**
0	962.1	13.5	—	493
1	926	9.6	48	815
	905	**8.1**	**48**	**1000**
2	893	7.4	47	1110
3	**850**	**5.2**	**46**	**1520**
4	819	2.6	46	1820
	800	**1.5**	**47**	**2000**
5	782	0.6	48	2180
6	744	-2.1	46	2590
7	713	-3.2	44	2920
	705	**-3.9**	**43**	**3000**
	700	**-4.5**	**43**	**3080**
8	682	-6.2	43	3270
9	650	-8.5	45	3640
	621	**-10.4**	**46**	**4000**
10	618	-10.7	47	4050
11	586	-12.9	50	4440
12	557	-15.2	51	4830
	544	**-16.4**	**50**	**5000**
13	527	-18.0	49	5240
14	**500**	**-20.8**	**48**	**5040**
15	480	-24.6	45	5930
	475	**-25.1**	**46**	**6000**
16	452	-27.8	48	6360
17	429	-30.6	54	6740
	414	**-31.7**	**54**	**7000**
18	402	-32.7	55	7200
19	378	-37.2	54	7620
	358	**-40.2**	—	**8000**
20	355	-40.6	—	8060
21	332	-44.7	—	8520
22	310	-49.4	—	8960
	309	**-49.8**	—	**9000**
	300	**-51.4**	—	**9180**
23	287	-54.0	—	9460
24	267	-58.3	—	9930
	264	**-58.7**	—	**10000**
25	246	-61.3	—	10440
26	**224**	**-62.9**	—	**11000**
27	206	-57.8	—	11540
	200	**-57.2**	—	**11740**
	192	**-56.2**	—	**12000**
28	189	-55.7	—	12080

18. III. 1953 15.00 h HEC

	1000	—	—	**190**
0	962.8	13.6	30	493
1	919	11.1	31	870
	904	**9.8**	**31**	**1000**
2	882	7.9	31	1210
	850	**5.7**	**50**	**1560**
3	842	4.4	32	1600
4	**802**	**1.2**	**33**	**2000**
5	**764**	**-2.1**	**40**	**2370**
6	730	-5.7	53	2730
	705	**-7.3**	**52**	**3000**
	700	**-7.6**	**50**	**3060**
7	690	-8.2	49	3170
8	650	-10.0	50	3640
	620	**-12.8**	**50**	**4000**
9	616	-13.1	50	4040
10	583	-15.2	34	4470
11	554	-17.8	30	4840
	542	**-19.2**	**30**	**5000**
12	527	-20.8	30	5210
	500	**-23.2**	**32**	**5610**
13	496	-23.5	32	5660
14	**473**	**-26.8**	**32**	**6000**
15	443	-30.6	54	6470
16	417	-33.9	61	6900
	411	**-34.5**	**62**	**7000**
17	390	-37.1	64	7360
18	367	-40.9	—	7780
	346	**-42.1**	—	**8000**
19	342	-43.5	—	8260
20	320	-46.5	—	8710
	306	**-48.7**	—	**9000**
	300	**-49.8**	—	**9130**
21	298	-50.1	—	9170
22	278	-53.3	—	9620
	262	**-55.4**	—	**10000**
23	259	-55.7	—	10070
24	240	-58.2	—	10570
	224	**-60.0**	—	**11000**
25	221	-60.2	—	11080
26	204	-59.8	—	11580
	200	**-59.2**	—	**11710**
	191	**-57.7**	—	**12000**
27	188	-57.0	—	12090

19. III. 1953 14.45 h HEC

	1000	—	—	**220**
0	965.4	13.0	33	493
1	915	10.0	36	940
	909	**9.5**	**38**	**1000**
2	864	6.8	48	1420
	850	**0.7**	**50**	**1560**
3	823	3.8	53	1820
	803	**2.8**	**56**	**2000**
4	782	1.4	58	2230
5	745	-1.7	62	2610
	710	**-4.7**	**52**	**3000**
6	706	-4.8	51	3040
	700	**-5.4**	**53**	**3110**
7	668	-7.8	56	3470
8	633	-10.2	80	3870
	623	**-11.2**	**86**	**4000**
9	602	-13.0	97	4270
10	566	-15.0	100	4750
	547	**-16.5**	**100**	**5000**
11	538	-16.9	100	5120
12	509	-20.0	100	5546
	500	**-21.5**	**100**	**5670**
13	184	-24.0	100	5910
	178	**-24.8**	**100**	**6000**
14	154	-28.0	100	6360
15	128	-32.0	100	6790
	115	**-33.9**	**100**	**7000**
16	100	-36.0	100	7260
17	375	-39.7	100	7700
	360	**-42.2**	—	**8000**
18	349	-44.0	—	8200
19	323	-47.7	—	8720
	310	**-49.4**	—	**9000**
	300	**-50.5**	—	**9200**
20	295	-51.0	—	9300

Min.	PPP	TTT	UU	H m. geop.
21	278	−53.8	—	9690
	265	**−55.0**	—	**10000**
22	256	−56.2	—	10220
23	232	−58.4	—	10840
	226	**−58.7**	—	**11000**
24	210	−59.2	—	11470
	200	**−59.2**	—	**11780**
	193	**−59.0**	—	**12000**
25	190	−58.9	—	12100
26	170	−57.4	—	12800

20. III. 1953 14.55 h HEC

	1000	—	—	**250**
0	968.9	14.0	40	493
1	922	7.5	40	900
	911	**6.9**	**38**	**1000**
2	875	4.9	36	1340
	850	**3.0**	**38**	**1570**
3	834	1.6	39	1720
	806	**−0.1**	**41**	**2000**
4	796	−0.8	43	2100
5	762	−3.6	46	2440
6	729	−6.2	47	2780
	710	**−7.3**	**46**	**3000**
	700	**−8.2**	**46**	**3100**
7	692	−8.6	45	3180
8	657	−11.2	47	3680
9	624	−13.1	50	3980
	623	**−13.3**	**49**	**4000**
10	595	−15.8	47	4350
11	572	−18.5	57	4650
	545	**−20.3**	**61**	**5000**
12	539	−20.8	62	5080
13	511	−24.1	60	5470
	500	**−25.3**	**62**	**5630**
14	482	−27.3	65	5900
	476	**−28.0**	**64**	**6000**
15	450	−30.2	63	6380
16	424	−34.4	63	6800
	413	**−36.0**	**64**	**7000**
17	398	−38.2	65	7240
18	370	−42.0	—	7740
	358	**−43.8**	—	**8000**
19	342	−45.5	—	8270
20	318	−49.5	—	8750
	306	**−51.8**	—	**9000**
	300	**−52.5**	—	**9130**

21. III. 1953 14.10 h HEC

	1000	—	—	**210**
0	967.3	13.5	37	493
1	947	11.7	37	670
	910	**8.5**	**39**	**1000**
2	907	8.1	40	1030
3	862	6.3	34	1440
	850	**5.3**	**33**	**1560**
4	820	2.7	32	1850
	805	**1.6**	**33**	**2000**
5	779	−0.2	33	2260
6	744	−3.0	34	2630
7	708	−5.6	34	3000
	700	**−6.1**	**34**	**3110**
8	676	−8.1	35	3390
9	640	−10.6	36	3800
	624	**−12.6**	**38**	**4000**
10	607	−14.1	40	4210
11	579	−16.5	40	4570
12	549	−18.1	40	4970
	546	**−18.4**	**40**	**5000**
13	519	−22.0	40	5390
	500	**−24.0**	**40**	**5650**
14	487	−25.2	40	5840
	477	**−26.5**	**40**	**6000**
15	460	−28.7	40	6260
16	434	−31.9	40	6670
	414	**−34.6**	**40**	**7000**
17	409	−35.3	40	7090
18	381	−39.8	40	7570
	358	**−42.8**	—	**8000**
19	354	−43.3	—	8080
20	327	−47.7	—	8610
	308	**−50.0**	—	**9000**

Min.	PPP	TTT	UU	H m. geop.
21	**300**	**−51.1**	—	**9170**
22	275	−55.0	—	9740
	264	**−57.1**	—	**10000**
23	250	−59.4	—	10340
24	229	−61.7	—	10880
	225	**−62.1**	—	**11000**
25	208	−63.1	—	11470
	200	**−62.2**	—	**11720**
26	**191**	**−61.1**	—	**12000**
27	170	−58.2	—	12730
	163	**−58.1**	—	**13000**
28	151	−57.6	—	13470

23. III. 1953 15.00 h HEC

	1000	—	—	**250**
0	972.7	16.0	33	493
1	932	13.2	34	850
	915	**11.9**	**34**	**1000**
2	890	10.0	34	1220
3	**850**	**6.8**	**35**	**1610**
4	818	3.3	41	1910
	810	**2.7**	**42**	**2000**
5	779	0.0	43	2320
6	747	−2.8	41	2670
7	**711**	**−5.2**	**36**	**3000**
	700	**−6.0**	**37**	**3160**
8	678	−8.0	38	3410
9	646	−10.4	43	3780
	628	**−12.2**	**44**	**4000**
10	614	−13.5	44	4170
11	585	−17.0	45	4540
12	557	−20.4	45	4900
	550	**−21.2**	**45**	**5000**
13	528	−23.7	46	5280
14	**500**	**−27.2**	**44**	**5690**
	479	**−28.4**	**41**	**6000**
15	468	−29.0	39	6160
16	440	−33.1	37	6600
17	**415**	**−36.6**	**37**	**7000**
18	388	−41.0	—	7460
19	**360**	**−45.2**	—	**8000**
20	339	−48.7	—	8370
21	313	−52.5	—	8880
	308	**−53.5**	—	**9000**
	300	**−54.8**	—	**9170**
22	289	−56.2	—	9400
23	267	−59.3	—	9900
	253	**−59.7**	—	**10000**
24	243	−61.6	—	10490
	224	**−61.7**	—	**11000**
25	221	−61.8	—	11080
26	205	−61.0	—	11550
	200	**−60.0**	—	**11700**
	191	−58.0	—	12000
27	**189**	**−57.6**	—	**12050**
28	172	−56.9	—	12650

24. III. 1953 14.45 h HEC

	1000	—	—	**270**
0	973.2	15.5	35	493
1	930	10.8	35	880
	915	**10.0**	**37**	**1000**
2	885	7.8	41	1280
	850	**5.2**	**36**	**1620**
3	844	4.6	34	1680
	810	**1.6**	**35**	**2000**
4	805	1.0	35	2050
5	765	−1.7	23	2460
6	725	−4.5	21	2890
	715	**−5.2**	**21**	**3000**
	700	**−6.2**	**20**	**3160**
7	691	−6.9	20	3260
8	661	−9.0	20	3610
	628	**−11.8**	**22**	**4000**
9	623	−12.2	23	4060
10	587	−15.7	26	4510
11	555	−19.3	31	4930
	550	**−19.6**	**32**	**5000**
12	528	−21.9	33	5300
13	**500**	**−25.2**	**31**	**5710**
	479	**−27.7**	**30**	**6000**
14	472	−28.5	29	6110

Min.	PPP	TTT	UU	H m. geop.
15	445	−32.7	28	6540
16	418	−36.6	31	6960
	417	**−36.8**	**31**	**7000**
17	390	−41.0		7440
18	364	−44.4		7910
	360	**−45.0**		**8000**
19	340	−48.0		8360
20	319	−51.6	—	8790
	309	**−53.0**	—	**9000**
	300	**−54.3**	—	**9180**
21	294	−55.0	—	9310
22	270	−57.2	—	9850
	264	**−57.7**	—	**10000**
23	246	−58.7	—	10430
24	226	−58.6	—	10970
	225	**−58.5**	—	**11000**
25	206	−57.8	—	11550
	200	**−57.5**	—	**11750**

25. III. 1953 14.55 h HEC

	1000	—	—	**270**
0	973.5	16.5	36	493
1	920	12.6	40	960
	917	**12.0**	**38**	**1000**
2	872	10.0	36	1410
	850	**8.0**	**38**	**1640**
3	832	6.4	40	1790
	812	**4.7**	**38**	**2000**
4	794	3.1	37	2180
5	755	−0.8	37	2600
6	**718**	**−4.6**	**45**	**3000**
	700	**−6.2**	**19**	**3190**
7	679	−8.0	53	3420
8	646	−10.2	43	3800
	630	**−10.4**	**37**	**4000**
9	610	−10.9	29	4210
10	575	−13.9	23	4690
	552	**−16.3**	**38**	**5000**
11	547	−16.6	30	5080
12	519	−19.4	42	5460
	500	**−22.3**	**45**	**5750**
13	495	−23.1	47	5820
	482	**−25.0**	**42**	**6000**
14	469	−27.2	52	6210
15	446	−30.1	57	6570
	420	**−33.3**	**58**	**7000**
16	418	−33.6	58	7030
17	394	−36.5	62	7440
18	369	−40.9		7900
	363	**−41.9**		**8000**
19	344	−44.2		8360
20	320	−47.7		8840
	312	**−48.8**		**9000**
	300	**−50.7**		**9270**
21	295	−51.2	—	9380
22	273	−54.3		9870
	268	**−55.0**	—	**10000**
23	251	−57.0	—	10420
24	230	−60.4	—	10960
	229	**−60.5**	—	**11000**
25	209	−62.1	—	11550
	200	**−61.8**	—	**11830**
	195	−61.5	—	12000
26	**188**	**−61.0**	—	**12220**

27. III. 1953 15.00 h HEC

	1000	—	—	**180**
0	960.0	12.0	45	493
1	918	9.9	45	870
	903	**8.6**	**47**	**1000**
2	886	7.0	49	1160
3	857	4.7	54	1440
	850	**4.2**	**58**	**1520**
4	830	3.2	62	1700
5	803	**1.4**	**70**	**1960**
	800	**1.0**	**72**	**2000**
6	772	−1.0	76	2270
7	742	−2.6	82	2600
8	717	−5.4	81	2860
	705	**−6.7**	**84**	**3000**
	700	**−7.1**	**86**	**3050**

Min.	PPP	TTT	UU	H m. geop.
9	688	−8.2	89	3180
10	668	−9.8	92	3420
11	640	11.0	95	3750
12	**618**	**−13.2**	**95**	**4000**
13	595	−15.2	95	4300
14	572	−17.4	95	4580
15	548	−19.6	96	4920
	542	**−20.0**	**96**	**5000**
16	529	−21.0	96	5180
17	510	−21.8	98	5440
	500	**−23.6**	**87**	**5600**
18	495	−24.3	84	5680
19	**472**	**−26.5**	**74**	**6000**
20	454	−29.1	70	6290
21	434	−31.1	66	6620
22	414	−34.1	65	6940
	411	**−34.5**	—	**7000**
23	395	−36.5	64	7270
24	378	−38.5	65	7580
25	360	−40.4		7910
	355	**−40.9**		**8000**
26	343	−42.6	—	8240
27	327	−45.7	—	8560
28	307	−48.4	—	8970
	306	**−48.6**	—	**9000**
29	289	−50.6		9370
	300	**−49.4**		**9140**
30	270	−53.2		9810
	262	**−54.7**		**10000**
31	254	−56.0		10200
22	237	−59.1		10640
33	**223**	**−61.0**		**11000**
34	209	−59.5		11420
	200	**−59.5**		**11720**
35	193	−59.4		11920

28. III. 1953 14.15 h HEC

	1000	—	—	**200**
0	964.3	12.0	44	493
	907	**6.4**	**50**	**1000**
1	902	6.0	57	1060
2	856	1.3	78	1470
	850	**0.6**	**82**	**1540**
3	809	−2.8	95	1920
	802	**−3.1**	**90**	**2000**
4	770	−3.2	51	2310
5	730	−4.8	31	2740
	705	**−6.1**	**40**	**3000**
	700	**−6.4**	**43**	**3070**
6	696	−6.7	44	3110
7	660	−8.2	44	3530
8	629	−11.6	46	3900
	620	**−12.3**	**50**	**4000**
9	598	−14.2	56	4280
10	570	−16.8	77	4640
11	**542**	**−19.7**	**64**	**5000**
12	510	−22.1	44	5470
	500	**−23.6**	**42**	**5620**
13	488	−25.6	39	5790
	474	**−27.0**	**38**	**6000**
14	457	−29.0	36	6260
15	429	−32.2	34	6710
	411	**−34.2**	**34**	**7000**
16	402	−36.0	34	7160
17	374	−39.2	37	7660
	356	**−42.2**	—	**8000**
18	346	−43.7		8190
19	320	−48.3	—	8720
	306	**−50.6**	—	**9000**
	300	**−51.7**	—	**9130**
20	294	−52.8	—	9270
21	271	−56.6	—	9780
	262	**−58.3**	—	**10000**
22	248	−61.1	—	10350

30. III. 1953 14.55 h HEC

	1000	—	—	**160**
0	959.8	19.0	35	493
	904	**14.5**	**44**	**1000**
1	898	14.0	46	1050
2	856	10.5	48	1470
	850	**10.0**	**46**	**1540**

Min.	PPP	TTT	UU	H m. geop.
3	811	8.3	40	1840
	802	**7.2**	**36**	**2000**
4	776	5.0	30	2270
5	745	2.8	25	2610
6	719	0.2	39	2890
	709	**–1.4**	**43**	**3000**
	700	**–2.4**	**45**	**3110**
7	692	–3.5	47	3200
8	662	–6.0	48	3550
9	631	–8.5	50	3920
	624	**–9.2**	**49**	**4000**
10	599	–11.4	48	4320
11	567	–13.4	41	4750
	548	**–15.2**	**39**	**5000**
12	538	16.2	37	5140
13	513	–19.0	36	5500
	500	**–20.1**	**33**	**5680**
14	489	–21.0	30	5850
	479	**–21.7**	**30**	**6000**
15	461	–22.6	30	6280
16	436	–24.9	45	6680
	417	**–27.0**	**53**	**7000**
17	410	27.6	57	7130
18	385	–31.1	63	7570
19	**362**	**–31.2**	**64**	**8000**
20	338	38.0	60	8480
21	319	41.2	—	8880
	314	**–42.2**	—	**9000**
	300	–44.5	—	9300
	270	**–50.3**	—	**10000**
	231	**–58.8**	—	**11000**
25	221	–61.2	—	11270
	200	**–66.3**	—	**11870**
26	**197**	**–67.1**	—	**12000**
27	170	–69.0	—	12870

31. III. 1953 14.55 h HEC

	1000	—	—	**190**
0	960.3	10.0	70	493
1	920	8.0	72	850
	903	**6.4**	**74**	**1000**
2	880	4.5	79	1220
	850	**2.4**	**85**	**1500**
3	840	1.7	90	1600
4	**797**	**–0.7**	**91**	**2000**
5	757	–2.7	86	2420
6	721	–5.1	84	2810
	703	**–6.9**	**74**	**3000**
	700	**–7.0**	**72**	**3040**
7	684	–8.4	64	3220
8	647	–11.0	51	3640
	618	**–12.2**	**36**	**4000**
9	614	–12.4	34	4060
10	589	–13.5	21	4360
11	554	–14.9	18	4840
	542	**–16.1**	**17**	**5000**
12	524	–17.4	15	5250
	500	**–19.5**	**15**	**5600**
13	495	–20.0	15	5670
	474	**–22.6**	**15**	**6000**
14	467	–23.3	15	6100
15	443	–27.1	16	6490
16	418	–30.5	17	6910
	412	**–31.1**	**17**	**7000**
17	390	–34.0	17	7380
18	369	–37.2	16	7780
	357	**–39.0**	—	**8000**
19	346	–40.9	—	8210
20	323	–44.1	—	8670
	308	**–47.0**	—	**9000**
21	**300**	**–48.6**	—	**9170**
22	277	–53.7	—	9690
	264	**–55.0**	—	**10000**
23	255	–55.8	—	10210
24	234	–58.8	—	10760
	225	**–60.0**	—	**11000**
25	213	–62.1	—	11350
	200	**–63.2**	—	**11750**
26	194	–63.5	—	11930
	192	**–63.3**	—	**12000**
27	177	–60.8	—	12490

1. IV. 1953 14.40 h HEC

	1000	—	—	**180**
0	959.8	15.0	55	493
1	913	10.9	60	920
	905	**10.3**	**62**	**1000**
2	870	7.4	76	1310
	850	**5.8**	**80**	**1520**
3	825	3.9	92	1740
	800	**2.9**	**96**	**2000**
4	785	0.9	100	2150
5	746	–0.6	41	2555
6	710	–2.1	43	2945
	706	**–2.4**	**44**	**3000**
	700	**–3.0**	**44**	**3080**
7	674	–5.6	45	3350
8	645	–8.4	51	3700
	621	**–10.8**	**53**	**4000**
9	614	–11.2	54	4070
10	585	–14.1	58	4450
11	556	–17.0	64	4830
	545	**–18.2**	**68**	**5000**
12	529	–19.3	75	5220
13	**500**	**–21.8**	**66**	**5640**
14	**477**	**–24.2**	**60**	**6000**
15	448	–27.6	76	6420
16	420	–30.6	85	6880
	415	**–31.4**	**80**	**7000**
17	395	–33.7	78	7280
18	370	–37.0	73	7770
	358	**–38.9**	**72**	**8000**
19	347	–40.9	—	8230
20	326	–44.6	—	8640
	309	**–47.6**	—	**9000**
21	304	–48.2	—	9090
	300	**–42.9**	—	**9200**
22	281	–51.4	—	9610
	265	**–53.8**	—	**10000**
23	260	–54.4	—	10120
24	242	–57.1	—	10570
	226	**–59.8**	—	**11000**
25	220	–60.4	—	11160
26	**200**	**–59.6**		**11760**
	193	**–59.0**	—	**12000**
27	187	–58.0	—	12180

2. IV. 1953 14.20 h HEC

	1000	—	—	**170**
0	959.8	16.5	50	493
1	906	11.8	74	970
	905	**11.8**	**75**	**1000**
2	859	8.4	89	1420
	850	**7.1**	**94**	**1530**
3	818	5.3	100	1810
	801	**3.6**	**100**	**2000**
4	780	2.8	100	2210
5	744	0.1	100	2590
6	**706**	**–2.5**	**100**	**3000**
	700	**–2.8**	**100**	**3090**
7	670	–4.9	100	3410
8	637	–7.4	100	3820
	623	**–8.3**	**100**	**4000**
9	602	–9.7	100	4250
10	573	–12.5	100	4630
11	**547**	**–15.0**	**90**	**5000**
12	**519**	**–17.3**	**83**	**5400**
	500	**–19.2**	**83**	**5690**
13	492	–20.1	83	5800
	479	**–21.7**	**84**	**6000**
14	468	–22.7	84	6170
15	440	–25.9	82	6620
	417	**–28.8**	**87**	**7000**
16	414	–29.2	88	7050
17	390	–32.1	91	7470
18	367	–35.9	90	7890
	362	**–36.8**	—	**8000**
19	344	–39.7	87	8350
20	321	–43.3	—	8820
	312	**–44.5**	—	**9000**
	300	**–46.4**	—	**9270**
21	296	–47.1	—	9360
22	271	–51.6	—	9940
	269	**–51.8**	—	**10000**
23	252	–55.9	—	10400
	229	**–60.5**	—	**11000**
24	228	–60.8	—	11030
25	206	–63.4	—	11660
	200	**–62.6**	—	**11840**
26	187	–60.9	—	12250
27	**195**	**–60.0**	—	**12000**

4. IV. 1953 14.20 h HEC

	1000	—	—	**035**
0	948.0	18.0	43	493
1	897	15.0	43	950
	893	**14.7**	**43**	**1000**
2	**850**	**11.7**	**43**	**1420**
3	805	8.5	45	1860
	792	**7.8**	**45**	**2000**
4	757	5.0	47	2380
5	714	–1.3	77	2840
	700	**–2.4**	**90**	**3000**
6	679	–4.4	100	3250
7	653	–5.6	100	3540
8	630	–7.1	100	3820
	616	**–8.3**	**100**	**4000**
9	606	–9.2	100	4130
10	583	–11.4	100	4420
11	559	–13.8	100	4740
	541	**–15.0**	**100**	**5000**
12	531	–15.6	100	5130
13	510	–17.5	95	5440
	500	**–18.4**	**94**	**5590**
14	484	–20.4	93	5820
	473	**–21.4**	**90**	**6000**
15	456	–23.3	88	6280
16	428	–26.6	74	6730
	412	**–28.5**	**60**	**7000**
17	398	–30.5	42	7280
18	367	–34.0	42	7820
	358	**–35.0**	**44**	**8000**
19	340	–37.0	46	8350
20	313	–41.5	43	8920
	310	**–42.0**	—	**9000**
	300	**–43.7**	—	**9210**
21	290	–45.7	—	9440
22	**267**	**–50.0**	—	**10000**
23	245	–54.8	—	10530
	228	**–57.6**	—	**11000**
24	223	–58.3	—	11130
25	**200**	**–60.1**	—	**11820**
	194	**–60.8**	—	**12000**
26	180	–62.8	—	12470
	166	**–58.8**	—	**13000**
27	161	–57.4	—	13170
28	145	–51.0	—	13850

6. IV. 1953 14.15 h HEC

	1000	—	—	**130**
0	956.0	11.5	50	493
	900	**7.1**	**50**	**1000**
1	895	7.0	50	1040
	850	**3.2**	**60**	**1470**
2	844	2.7	62	1520
3	798	–1.2	76	1970
	795	**–1.4**	**78**	**2000**
4	750	–4.8	88	2470
5	709	–8.4	100	2900
	700	**–9.0**	**100**	**3000**
6	680	–10.6	100	3220
7	653	–11.7	100	3540
8	624	–14.0	100	3880
	614	**–14.6**	**100**	**4000**
9	599	–16.2	100	4200
10	578	–18.8	100	4470
11	551	–21.1	100	4800
	537	**–22.8**	**100**	**5000**
12	522	–24.4	100	5220
	500	**–26.8**	**100**	**5520**
13	494	–27.5	100	5620
14	**468**	**–30.4**	**100**	**6000**
15	439	–31.5	71	6460
16	414	–34.6	55	6860
	406	**–35.4**	**54**	**7000**
17	385	–37.4	50	7360
18	358	–40.9	—	7870
	351	**–41.5**	—	**8000**
19	336	–43.3	—	8300
20	316	–46.3	—	8700
	302	**–49.6**	—	**9000**
	300	**–50.0**	—	**9050**
21	297	–50.7	—	9120
22	274	–54.7	—	9630
	259	**–58.0**	—	**10000**
23	254	–59.0	—	10120
24	233	–62.0	—	10640
	220	**–61.7**	—	**11000**
25	214	–61.4	—	11170
	200	**–61.4**	—	**11520**
26	194	–61.3	—	11780

7. IV. 1953 14.55 h HEC

	1000	—	—	**170**
0	961.2	11.0	40	493
1	**904**	**7.2**	**51**	**1000**
2	**850**	**3.1**	**62**	**1510**
3	806	–0.6	75	1930
	799	**–1.2**	**80**	**2000**
4	764	–4.2	100	2350
5	726	–7.0	100	2750
	703	**–8.7**	**75**	**3000**
	700	**–8.9**	**65**	**3050**
6	690	–9.6	54	3140
7	651	–11.5	34	3600
	618	**–10.2**	**30**	**4000**
8	614	–10.0	27	4050
9	585	–12.7	18	4420
10	557	–15.5	18	4790
	542	**–16.6**	**18**	**5000**
11	525	–17.8	18	5230
12	**500**	**–20.0**	**18**	**5600**
13	472	–22.3	25	6000
14	446	–26.0	38	6430
15	420	–29.8	51	6870
	412	**–31.0**	**53**	**7000**
16	392	–34.2	58	7350
17	365	–37.0	64	7840
	357	**–38.1**	**65**	**8000**
18	340	–40.2	67	8330
19	315	–44.4	—	8840
	308	**–45.9**	—	**9000**
	300	**–47.6**	—	**9200**
20	288	–49.8	—	9440
	264	**–52.4**	—	**10000**
21	260	–52.8	—	10110
22	238	–57.6	—	10670
	226	**–57.3**	—	**11000**
23	215	–56.6	—	11310
	200	**–56.6**	—	**11780**
24	198	–56.6	—	11820
	193	**–56.3**	—	**12000**
25	183	–56.0	—	12330
26	170	–55.0	—	12800

8. IV. 1953 15.00 h HEC

	1000	—	—	**120**
0	953.2	12.5	45	493
	899	**9.2**	**50**	**1000**
1	888	8.8	52	1090
	850	**8.1**	**46**	**1460**
2	844	8.3	44	1520
3	804	6.0	46	1910
	795	**5.1**	**47**	**2000**
4	765	2.8	50	2320
5	729	–1.2	55	2710
	700	**–1.5**	**60**	**3000**
6	693	–5.1	61	3100
7	658	–8.4	72	3500
8	625	–10.5	79	3900
	618	**–11.2**	**80**	**4000**
9	592	–13.0	86	4330
10	560	–15.1	100	4740
	541	**–16.5**	**94**	**5000**
11	528	–17.6	83	5190
	500	**–20.0**	**82**	**5590**

Min.	PPP	TTT	UU	H m. geop.
12	194	–20.5	80	5680
	473	**–22.0**	**87**	**6000**
13	465	–22.5	90	6120
14	437	–26.3	85	6570
	412	**–28.2**	**89**	**7000**
15	410	–28.3	90	7040
16	386	–31.6	90	7470
17	359	–36.2	80	7970
	357	**–36.5**	**80**	**8000**
18	332	–41.0	—	8520
19	310	–45.7	—	8970
	308	**–46.0**	—	**9000**
	300	**–46.8**	—	**9180**
20	286	–48.6	—	9500
	265	**–53.2**	—	**10000**
21	261	–54.0	—	10100
22	242	–59.1		10580
	226	**–60.4**		**11000**
23	221	–60.8	—	11140
24	202	–61.1	—	11710
	200	**–60.9**	—	**11770**
25	184	–58.9	—	12280
	193	**–60.2**	—	**12000**
26	167	–57.2	—	12890

9. IV. 1953 14.20 h HEC

	1000		—	**150**
0	958.1	13.0	55	493
1	910	8.8	67	930
	902	**6.6**	**69**	**1000**
2	861	5.0	73	1360
	850	**3.9**	**74**	**1190**
3	822	1.8	75	1750
	797	**0.4**	**78**	**2000**
4	780	–0.5	80	2170
5	746	–3.0	86	2530
6	710	–4.5	84	2920
	702	**–5.0**	**84**	**3000**
	700	**–5.2**	**84**	**3040**
7	672	–7.6	84	3350
8	636	–10.5	85	3780
	618	**–12.1**	**80**	**4000**
9	604	–13.0	78	4160
10	570	–15.3	74	4600
11	**541**	**–17.7**	**74**	**5000**
12	514	–21.1	74	5390
	500	**–22.7**	**72**	**5600**
13	487	–24.2	72	5770
	472	**–26.3**	**71**	**6000**
14	461	–28.0	70	6180
15	435	–31.6	68	6590
	410	**–34.6**	**68**	**7000**
16	406	–35.3	68	7080
17	381	–38.7	61	7510
18	356	–42.9	—	7970
	355	**–43.2**	—	**8000**
19	334	–47.3	—	8400
20	310	–51.4	—	8890
	305	**–52.3**	—	**9000**
	300	**–53.3**	—	**9100**
21	289	–55.2	—	9340
22	264	–56.8	—	9900
	260	**–57.1**	—	**10000**
23	241	–58.2		10490
	222	**–56.4**	—	**11000**
24	219	–56.0	-	11090
25	**200**	**–54.2**	—	**11670**
	190	**–54.0**	—	**12000**
26	180	–53.8	—	12350

10. IV. 1953 13.50 h HEC

	1000	—	—	**130**
0	955.4	7.0	80	493
	897	**1.6**	**98**	**1000**
1	887	0.8	100	1100
	850	**–2.2**	**100**	**1450**
2	839	–2.7	100	1540
3	797	–5.3	100	1950
	791	**–5.5**	**100**	**2000**
4	760	–6.4	100	2320
5	726	–7.6	100	2670
	700	**–9.6**	**100**	**2960**
	697	**–9.7**	**100**	**3000**
6	693	–9.8	100	3040
7	665	–11.6	100	3340
8	634	–14.4	100	3700
	610	**–16.5**	**100**	**4000**
9	599	–17.3	100	4150
10	568	–19.7	100	4580
11	537	–22.3	100	4950
	533	**–22.8**	**100**	**5000**
12	509	–25.4	100	5340
	500	**–26.6**	**100**	**5460**
13	479	–29.7	100	5780
	464	**–31.2**	**100**	**6000**
14	450	–32.5	100	6220
15	419	–35.7	100	6720
	402	**–38.3**	**100**	**7000**
16	391	–40.1	—	7190
17	363	–45.1		7690
	347	**–48.5**		**8000**
18	335	–50.4	—	8220
19	308	–54.8	—	8760
	300	**–55.5**	—	**8930**
	296	**–55.7**	—	**9000**
20	284	–56.5	—	9280
21	262	–58.0	—	9800
	254	**–57.3**	—	**10000**
22	240	–56.0	-	10340
23	220	–56.0	-	10880
	217	**–56.0**	—	**11000**
24	**200**	**–56.0**	—	**11500**
25	188	–55.5	—	11900
	185	**–56.6**		**12000**
26	170	–55.8	-	12530

11. IV. 1953 14.15 h HEC

	1000	—	—	**190**
0	962.2	10.6	60	493
1	914	5.1	70	910
	904	**4.2**	**71**	**1000**
2	875	1.8	72	1270
	850	**0.0**	**74**	**1520**
3	834	–0.8	75	1650
	807	1.3	62	1910
	799	**0.7**	**59**	**2000**
4	793	0.5	57	2050
5	757	–0.9	50	2420
6	722	–1.8	45	2800
	705	**–3.3**	**49**	**3000**
	700	**–3.7**	**42**	**3060**
7	689	–4.4	40	3180
8	658	–7.6	40	3520
9	623	–10.9	40	3950
	620	**–11.3**	**40**	**4000**
10	590	–13.7	40	4360
11	557	–16.9	40	4800
	542	**–18.4**	**40**	**5000**
12	525	–19.8	39	5240
	500	**–22.7**	**36**	**5610**
13	495	–23.3	35	5680
	473	**–26.0**	**34**	**6000**
14	468	–26.7	33	6080
15	441	–30.0	33	6510
16	416	–33.6	32	6920
	412	**–34.2**	**32**	**7000**
17	390	–37.1	32	7370
18	367	–40.0	-	7780
	356	**–41.7**	—	**8000**
19	342	–43.4		8270
20	317	–47.1	—	8770
	306	**–48.7**	—	**9000**
	300	**–49.8**	—	**9130**
21	294	–51.3	—	9270
22	271	–54.2	—	9790
	263	**–55.6**	—	**10000**
23	249	–57.6	—	10320
24	228	–60.1	—	10880
	224	**–60.4**	—	**11000**
25	207	–61.8	—	11480
	200	**–61.6**	-	**11710**
26	**190**	**–61.0**	--	**12000**
27	172	–58.2	—	12640
	163	**–58.1**	—	**13000**
28	160	–58.0	—	13080

13. IV. 1953 14.45 h HEC

	1000	—	—	**170**
0	960.6	8.0	60	493
1	917	4.2	100	880
	904	**3.1**	**100**	**1000**
2	878	0.8	100	1220
	850	**–0.6**	**100**	**1500**
3	838	–1.1	100	1600
4	807	–2.2	100	1900
	798	**–1.8**	**100**	**2000**
	790	**–1.5**	**100**	**2070**
5	778	–2.1	100	2180
6	759	–3.0	100	2380
7	735	–5.0	100	2640
8	709	–6.7	100	2920
	703	**–7.1**	**100**	**3000**
	700	**–7.3**	**100**	**3030**
9	684	–8.5	100	3200
10	660	–9.7	100	3480
11	631	–11.7	100	3820
	617	**–12.4**	**100**	**4000**
12	604	–13.2	100	4150
13	578	–15.9	100	4490
14	555	–18.3	100	4800
	541	**–19.5**	**100**	**5000**
15	525	–20.7	100	5210
16	**500**	**–22.7**	**100**	**5570**
17	477	–25.6	100	5910
	471	**–26.2**	**100**	**6000**
18	449	–29.0	100	6350
19	427	–31.7	100	6710
	410	**–33.1**	**100**	**7000**
20	405	–34.0	100	7070
21	385	–37.1	98	7430
22	360	–41.0	90	7900
	355	**–41.8**	**88**	**8000**
23	338	–44.9	85	8320
24	316	–49.1	—	8760
	305	**–51.0**	—	**9000**
	300	**–51.8**	—	**9100**
25	297	–52.2	—	9160
26	277	–56.2	—	9610
	261	**–58.5**	—	**10000**
27	257	–59.0	—	10090
28	238	–59.4	—	10570
	222	**–60.0**	—	**11000**
29	220	–60.2	—	11080
20	**200**	**–58.2**	—	**11670**
	190	**–57.2**	—	**12000**
31	182	–56.7	—	12260

14. IV. 1953 14.10 h HEC

	1000	—	—	**145**
0	959.0	6.0	65	493
1	910	1.7	88	910
	901	**1.3**	**91**	**1000**
2	867	–0.9	95	1300
	850	**–1.9**	**100**	**1470**
3	827	–3.3	100	1670
	794	**–5.0**	**100**	**2000**
4	785	–5.5	100	2090
5	751	–8.0	100	2440
6	710	–10.1	100	2880
	700	**–11.0**	**100**	**2980**
	692	**–11.2**	**100**	**3000**
7	680	–12.6	100	3200
8	647	–15.3	100	3570
9	614	–17.9	100	3970
	612	**–17.8**	**90**	**4000**
10	581	–19.1	52	4380
11	549	–21.0	43	4800
	535	**–22.0**	**40**	**5000**
12	517	–23.0	37	5240
	500	**–21.9**	**39**	**5490**
13	487	–26.3	40	5680
	466	**–28.5**	**50**	**6000**
14	461	–29.3	53	6080
15	435	–33.4	44	6520
16	407	–38.1	38	6950
	404	**–38.3**	—	**7000**
17	381	–41.7	—	7400
18	353	–44.6		7910
	349	**–45.2**	- -	**8000**
19	328	–47.9	-	8400
20	303	–50.6	-	8920
	300	**–50.9**	- -	**9000**
21	281	–52.8	—	9410
	256	**–51.5**	-	**10000**
22	255	–54.6		10030
23	235	–53.3	—	10560
	220	**–51.3**	-	**11000**
24	217	–50.9		11080
25	**200**	**–50.9**		**11610**
26	189	–52.5		11980

15. IV. 1953 14.50 h HEC

	1000	—	—	**125**
0	955.9	4.0	50	493
1	912	0.0	63	860
	897	**0.3**	**70**	**1000**
2	864	–3.5	81	1290
	850	**–4.7**	**84**	**1420**
3	823	–7.0	90	1670
	788	**–9.4**	**93**	**2000**
4	782	–9.4	94	2070
5	747	–12.6	100	2420
6	710	–15.2	76	2800
	700	**–15.6**	**72**	**2910**
	692	**–16.2**	**68**	**3000**
7	677	–17.1	64	3160
8	640	–19.0	70	3580
9	**606**	**–21.5**	**91**	**4000**
10	574	–23.9	95	4380
11	543	–24.2	96	4790
	527	**–25.4**	**96**	**5000**
12	513	–26.4	96	5200
	500	**–27.5**	**95**	**5400**
13	483	–28.9	94	5630
	459	**–30.8**	**93**	**6000**
14	452	–31.5	92	6100
15	431	–35.4	91	6410
16	404	–39.3	91	6900
	397	**–40.4**	—	**7000**
17	381	–43.3	—	7290
18	356	–47.0	—	7710
	342	**–49.8**	—	**8000**
19	333	–51.6	—	8170
20	310	–54.6	—	8630
	300	**–55.6**	—	**8860**
	293	**–56.1**	—	**9000**
21	284	–56.8	—	9200
22	261	–54.5	—	9730
	250	**–54.0**	-	**10000**
23	242	–53.5	—	10220
24	223	–52.6	—	10740
	215	**–52.5**	—	**11000**
25	205	–52.3	—	11290
	200	**–52.7**	—	**11450**
26	190	–53.5	—	11780
	183	**–53.5**	—	**12000**
27	174	–53.5	—	12340

16. IV. 1953 15.00 h HEC

	1000	- -	—	**130**
0	958.8	5.0	80	493
1	902	2.0	100	980
	900	**1.7**	**100**	**1000**
2	858	–3.0	100	1390
	850	**–3.5**	**100**	**1460**
3	815	–6.4	100	1800
	795	**–7.3**	**100**	**2000**
4	775	–8.3	100	2180
5	739	–9.9	100	2550
6	704	–7.8	94	2930
	700	**–8.0**	**90**	**3000**
7	669	–9.2	60	3320
8	636	–12.3	64	3710
	613	**–14.2**	**70**	**4000**
9	600	–15.4	85	4150
10	563	–17.2	93	4630
	536	**–19.6**	**91**	**5000**
11	532	–19.8	90	5050

n.	PPP	TTT	UU	H m. geop.
	502	−23.2	64	5480
	500	**−23.6**	**61**	**5515**
	478	−26.2	60	5820
	467	**−27.5**	**56**	**6000**
	449	−29.8	50	6290
	426	−33.0	48	6660
	405	**−36.4**	**52**	**7000**
	400	−37.4	54	7100
	375	−41.1	—	7540
	351	**−44.5**	—	**8000**
	347	−45.1	—	8070
	322	−49.0	—	8560
	300	**−52.8**	—	**9000**
	298	−53.3	—	9070
	274	−57.5	—	9600
	257	**−60.1**	—	**10000**
	252	−60.8	—	10120
	233	−60.8	—	10610
	219	**−59.6**	—	**11000**
	212	−59.0	—	11200
	200	**−56.8**	—	**11570**
	191	−55.8	—	11860

17. IV. 1953 14.55 h HEC

1000	—	—	**160**
957.4	10.0	70	493
900	**4.3**	**85**	**1000**
883	3.0	90	1160
850	**−0.1**	**97**	**1470**
838	−1.0	100	1580
797	**−4.1**	**100**	**2000**
758	−2.9	74	2380
724	−4.3	57	2730
700	**−5.6**	**56**	**3000**
690	−6.1	56	3120
654	−8.9	55	3540
617	−11.5	54	3970
614	**−11.9**	**52**	**4000**
586	−14.5	48	4370
554	−17.8	42	4800
539	**−19.3**	**39**	**5000**
525	−20.6	35	5200
500	**−23.4**	**33**	**5550**
496	−23.9	32	5610
470	**−27.1**	**40**	**6000**
443	−30.4	48	6470
418	−34.0	53	6840
407	**−35.4**	**47**	**7000**
390	−37.9	43	7320
367	−41.8	—	7780
352	**−44.2**	—	**8000**
344	−45.7	—	8170
319	−49.3	—	8670
303	**−51.7**	—	**9000**
300	**−52.2**	—	**9060**
293	−53.3	—	9220
268	−57.4	—	9780
259	**−57.8**	—	**10000**
250	−58.4	—	10220
231	−55.6	—	10710
221	**−55.0**	—	**11000**
210	−54.2	—	11320
200	**−54.2**	—	**11640**
194	−54.2	—	11840

18. IV. 1953 14.15 h HEC

1000	—	—	**120**
956.8	15.0	40	493
920	10.7	40	810
900	**9.3**	**37**	**1000**
880	7.9	33	1170
850	**6.1**	**37**	**1480**
840	5.6	40	1550
801	2.9	40	1940
797	**2.6**	**41**	**2000**
763	0.0	43	2340
723	−3.8	56	2770
703	**−5.0**	**45**	**3000**
700	**−5.3**	**45**	**3035**
681	−6.5	39	3230
640	−9.1	47	3720
618	**−10.5**	**55**	**4000**

Min.	PPP	TTT	UU	H m. geop.
9	**602**	**−12.0**	**63**	**4200**
10	573	−14.4	54	4570
11	**541**	**−17.3**	**50**	**5000**
12	513	−20.0	57	5410
	500	**−21.6**	**70**	**5600**
13	488	−23.1	85	5770
	473	**−24.5**	**83**	**6000**
14	459	−26.1	81	6210
15	430	−29.1	73	6690
	412	**−30.9**	**80**	**7000**
16	403	−31.7	87	7150
17	375	−35.4	90	7650
	357	**−37.8**	**91**	**8000**
18	350	38.9	92	8130
19	323	−42.3	92	8680
	308	**−44.6**	**92**	**9000**
20	**300**	**−46.1**	**92**	**9180**
21	280	−49.9	—	9640
	265	**−52.2**	—	**10000**
22	260	−53.1	—	10110
23	240	−56.4	—	10620
	226	**−58.6**	—	**11000**
24	223	−59.0	—	11090
25	206	−56.0	—	11580
	200	**−55.1**	—	**11780**
26	**193**	**−54.7**	—	**12000**

20. IV. 1953 14.45 h HEC

	1000	—	—	**125**
0	957.8	17.0	40	493
1	913	13.0	35	900
	902	**12.3**	**33**	**1000**
2	878	10.7	30	1220
	850	**8.7**	**34**	**1500**
3	845	8.4	35	1540
4	811	5.4	38	1880
	799	**4.2**	**40**	**2000**
5	779	2.5	44	2200
6	745	0.5	47	2560
7	716	−2.1	40	2880
	705	**−2.8**	**36**	**3000**
	700	**−3.0**	**34**	**3060**
8	683	−4.7	33	3260
9	654	−7.5	32	3600
10	622	−10.3	31	3970
	620	**−10.5**	**30**	**4000**
11	592	−11.8	28	4360
12	565	−11.8	27	4710
	544	**−16.5**	**27**	**5000**
13	536	−17.2	27	5110
14	512	−19.5	27	5450
	500	**−20.9**	**27**	**5630**
15	485	−22.6	27	5850
	476	**−24.0**	**27**	**6000**
16	462	−26.0	27	6210
17	440	29.4	28	6560
18	419	−33.1	29	6900
	413	**−34.1**	**29**	**7000**
19	397	−36.8	29	7280
20	376	−40.3	—	7650
	357	**−43.5**	—	**8000**
21	356	−43.7	—	8020
22	336	46.7	—	8400
23	318	−48.4	—	8770
	307	**−49.5**	—	**9000**
	300	**−50.2**	—	**9160**
24	298	−50.1	—	9190
25	281	−52.3	—	9580
26	265	−55.2	—	9950
	263	**−56.0**	—	**10000**
27	250	−58.8	—	10320
28	236	−60.1	—	10680
	225	**−61.3**	—	**11000**
29	220	−61.6	—	11120
30	206	−62.0	—	11530
	200	**−61.8**	—	**11720**
31	194	−61.7	—	11920
	191	**−61.6**	—	**12000**
32	179	−60.9	—	12400
33	166	−60.0	—	12860

Min.	PPP	TTT	UU	H m. geop
	21. IV. 1953 14.35 h HEC			
	1000	—	—	**115**
0	956.5	18.0	40	493
1	921	14.2	40	820
	900	**12.5**	**40**	**1000**
2	888	11.6	41	1130
3	859	10.0	37	1405
	850	**9.2**	**38**	**1490**
4	833	8.2	40	1660
5	**798**	**3.5**	**42**	**2080**
6	768	3.2	44	2310
7	739	0.2	52	2625
8	**707**	**−1.3**	**54**	**3000**
	700	**−2.1**	**50**	**3060**
9	682	−3.7	35	3260
10	659	−5.5	20	3530
11	637	−8.1	20	3800
	621	**−9.5**	**19**	**4000**
12	610	−10.1	19	4130
13	586	−11.5	17	4440
14	559	−13.3	15	4810
	544	**−14.7**	**15**	**5000**
15	536	−15.3	15	5120
16	515	−17.9	15	5420
	500	**−19.4**	**15**	**5610**
17	489	−20.6	15	5810
	476	**−22.3**	**15**	**6000**
18	468	−23.3	15	6130
19	445	−25.7	15	6500
20	425	−28.0	15	6820
	415	**−29.6**	**15**	**7000**
21	404	−31.3	15	7180
22	382	−34.5	16	7580
23	364	−37.2	17	7910
	360	**−37.7**	**17**	**8000**
24	342	−39.6	18	8350
25	323	−42.0	—	8730
	311	**−43.5**	—	**9000**
26	303	−44.3	—	9160
	300	**−44.7**	—	**9230**
27	284	−47.0	—	9590
	267	**−49.0**	—	**10000**
28	265	−49.3	—	10050
29	247	−51.6	—	10500
30	**228**	**−54.0**	—	**11000**
31	209	−56.2	—	11580
	200	**−56.8**	—	**11860**
	196	**−57.2**	—	**12000**
32	191	−57.4	—	12150
33	174	−57.8	—	12750
	167	**−57.0**	—	**13000**
34	159	−56.0	—	13310
35	144	−55.0	—	13930
	143	**−55.0**	—	**14000**
36	132	−55.0	—	14490

22. IV. 1953 14.30 h HEC

	1000	—	—	**120**
0	955.9	17.2	42	493
1	931	14.2	42	720
	901	**11.7**	**41**	**1000**
2	897	11.8	41	1040
3	858	9.3	35	1410
	850	**8.7**	**37**	**1490**
4	824	6.8	42	1750
	798	**4.0**	**46**	**2000**
5	794	3.6	47	2050
6	764	0.9	58	2360
7	735	−1.8	70	2660
8	**703**	**−4.3**	**76**	**3000**
	700	**−4.5**	**74**	**3060**
9	673	−5.8	56	3350
10	647	−7.5	15	3670
11	**618**	**−10.8**	**15**	**4000**
12	590	−13.2	15	4360
13	563	−15.0	15	4700
	544	**−16.9**	**15**	**5000**
14	537	−17.3	15	5065
15	512	−19.8	15	5420
	500	**−21.7**	**15**	**5630**
16	493	−22.5	15	5730
	475	**−25.2**	**15**	**6000**

Min.	PPP	TTT	UU	H m. geop.
17	468	−25.7	15	6080
18	446	−29.2	15	6420
19	423	−32.8	15	6820
	413	**−34.3**	**15**	**7000**
20	401	−35.7	15	7190
21	377	−38.7	—	7615
22	**357**	**−42.1**	—	**8000**
23	338	−45.4	—	8380
24	318	−49.4	—	8790
	308	**−51.6**	—	**9000**
	300	**−53.2**	—	**9165**
25	297	−53.8	—	9240
26	279	−56.6	—	9630
	264	**−58.0**	—	**10000**
27	258	−58.4	—	10120

23. IV. 1953 14.30 h HEC

	1000	—	—	**100**
0	954.8	18.0	40	493
1	919	15.4	36	830
	900	**14.1**	**40**	**1000**
2	884	13.2	44	1150
3	853	10.4	48	1450
	850	**10.1**	**50**	**1480**
4	822	7.6	52	1750
	798	**5.0**	**53**	**2000**
5	792	4.6	54	2050
6	760	1.6	54	2400
7	728	−0.9	47	2750
	704	**−2.9**	**44**	**3000**
	700	**−3.1**	**39**	**3050**
8	699	−3.2	38	3060
9	674	−5.2	49	3350
10	647	−7.5	79	3660
	620	**−9.3**	**52**	**4000**
11	614	−9.7	49	4060
12	586	−11.7	21	4430
13	562	−13.8	17	4740
	543	**−15.7**	**16**	**5000**
14	535	−16.3	16	5110
15	513	−18.9	15	5430
	500	**−19.7**	**15**	**5630**
16	484	−20.5	15	5860
	475	**−21.3**	**15**	**6000**
17	461	−22.6	15	6230
18	440	−25.0	16	6570
19	421	−28.2	17	6880
	415	**−29.2**	**18**	**7000**
20	402	−30.9	19	7215
21	384	−34.2	27	7585
22	364	−36.8	30	7910
	359	**−37.4**	—	**8000**
23	344	−39.2	38	8300
24	325	−42.1	—	8690
25	**309**	**−45.3**	—	**9000**
	300	**−46.7**	—	**9220**
26	290	−48.2	—	9450
27	272	−51.2	—	9850
	266	**−52.6**	—	**10000**
28	255	−55.3	—	10270
29	239	−57.7	—	10690
	228	**−58.5**	—	**11000**
30	221	−58.8	—	11180
31	201	−57.9	—	11780
	200	**−57.8**	—	**11820**
	194	**−57.2**	—	**12000**
22	188	−56.1	—	12200
33	178	−53.5	—	12550

24. IV. 1953 14.40 h HEC

	1000	—	—	**110**
0	955.5	17.0	45	493
1	916	13.1	34	840
	900	**11.6**	**36**	**1000**
2	877	9.9	38	1200
	850	**7.2**	**43**	**1470**
3	847	7.0	44	1490
4	812	4.4	50	1830
	796	**3.0**	**54**	**2000**
5	780	1.7	58	2160
6	746	−1.3	72	2530

Min.	PPP	TTT	UU	H m. geop.
7	709	−4.2	84	2930
	702	**−4.8**	**86**	**3000**
	700	**−5.1**	**88**	**3030**
8	679	−6.9	100	3260
9	650	−9.6	86	3600
10	622	−11.5	62	3940
	618	**−11.9**	**65**	**4000**
11	592	−14.5	85	4320
12	568	−16.2	100	4630
13	**542**	**−18.2**	**94**	**5000**
14	514	−20.6	92	5380
	500	**−22.4**	**87**	**5580**
15	490	−23.7	80	5730
	472	**−25.3**	**62**	**6000**
16	464	−25.9	56	6120
17	436	−29.3	42	6570
18	**411**	**−33.2**	**41**	**7000**
19	386	−36.2	45	7420
20	362	−39.0	45	7860
	355	**−40.4**	—	**8000**
21	342	−42.0	—	8250
22	321	−45.7	—	8690
	306	**−50.6**	—	**9000**
23	303	−48.9	—	9050
	300	**−51.6**	—	**9130**
24	281	−51.9	—	9540
25	**261**	**−55.0**	—	**10000**
26	244	−57.7	—	10440
27	226	−59.3	—	10910
	223	**−62.8**	—	**11000**
28	208	−58.4	—	11430
	200	**−60.6**	—	**11670**
29	192	−56.2	—	11930
	190	**−59.4**	—	**12000**
30	178	−54.5	—	12100

25. IV. 1953 14.00 h HEC

	1000	—	—	**105**
0	955.6	16.0	45	493
1	907	13.2	54	940
	901	**12.7**	**58**	**1000**
2	857	8.9	66	1410
	850	**8.3**	**68**	**1490**
3	812	5.2	79	1850
	797	**4.1**	**84**	**2000**
4	772	2.3	96	2270
5	729	−0.8	100	2730
	705	**−2.6**	**100**	**3000**
	700	**−3.2**	**100**	**3060**
6	697	−3.4	100	3100
7	663	−6.0	100	3490
8	628	−8.7	100	3910
	620	**−9.1**	**92**	**4000**
9	599	−10.7	74	4270
10	569	−13.2	57	4670
	544	**−15.7**	**50**	**5000**
11	542	−15.9	48	5030
12	511	−18.1	44	5470
	500	**−19.6**	**43**	**5640**
13	488	−21.0	41	5810
	476	**−22.0**	**40**	**6000**
14	460	−23.3	38	6250
15	433	−25.5	45	6610
	415	**−27.5**	**45**	**7000**
16	406	−28.4	45	7150
17	378	−32.2	52	7660
	361	**−35.5**	**51**	**8000**
18	354	−36.4	51	8110
19	330	−39.7	54	8610
	311	**−42.8**	—	**9000**
20	308	−43.2	—	9070
	300	**−44.5**	—	**9260**
21	286	−46.6	—	9570
22	**267**	**−50.5**	—	**10000**
23	248	−54.4	—	10500
24	231	−57.7	—	10950
	229	**−58.0**	—	**11000**
25	**213**	**−59.6**	—	**11460**
	200	**−58.7**	—	**11870**
26	**196**	**−58.5**	—	**12000**
27	182	−56.2	—	12450

27. IV. 1953 14.20 h HEC

	1000	—	—	**000**
0	941.1	14.0	70	193
1	902	10.9	96	850
	886	**9.4**	**98**	**1000**
2	868	8.0	100	1170
	850	**6.3**	**100**	**1350**
3	838	5.4	100	1450
4	805	3.7	100	1790
	784	**2.3**	**100**	**2000**
5	772	1.5	100	2140
6	744	−0.5	100	2420
7	715	−2.4	100	2740
	700	**−2.9**	**100**	**2910**
	692	**−4.4**	**100**	**3000**
8	687	−4.7	100	3050
9	656	−6.3	100	3420
10	629	−8.0	100	3750
	609	**−9.2**	**100**	**4000**
11	597	−10.0	100	4150
12	570	−13.0	100	4510
13	545	−14.6	100	4850
	534	**−15.2**	**100**	**5000**
14	517	−16.6	100	5250
	500	**−18.2**	**100**	**5500**
15	492	−19.0	100	5630
16	**468**	**−21.2**	**100**	**6000**
17	443	−23.7	100	6390
18	424	−27.1	100	6700
	407	**−29.7**	**100**	**7000**
19	404	−30.0	100	7050
20	384	−32.7	100	7410
21	365	−35.0	100	7770
	353	**−36.3**	—	**8000**
22	346	−37.1	98	8140
23	321	−40.3	—	8670
	305	**−42.8**	—	**9000**
24	**300**	**−43.5**	—	**9120**
25	281	−47.8	—	9550
26	**263**	**−51.8**	—	**10000**
27	244	−56.7	—	10460
28	228	−58.8	—	10900
	224	**−58.2**	—	**11000**
29	209	−55.7	—	11450
30	**200**	**−54.3**	—	**11740**

28. IV. 1953 14.30 h HEC

	1000	—	—	**100**
0	950	13.0	45	493
1	**892**	**7.7**	**65**	**1000**
2	851	2.9	84	1400
	850	**2.8**	**85**	**1420**
3	809	−0.6	97	1800
	791	**−0.7**	**97**	**2000**
4	768	−4.1	97	2230
5	730	−7.7	99	2610
	700	**−10.0**	**100**	**2960**
6	**695**	**−10.3**	**100**	**3000**
7	661	−12.7	100	3380
8	628	−15.9	100	3770
	610	**−17.3**	**100**	**4000**
9	597	−17.9	94	4150
10	568	−20.0	90	4520
11	540	−22.7	72	4900
	533	**−23.6**	**60**	**5000**
12	514	−25.5	46	5250
	500	**−26.9**	**41**	**5460**
13	488	−28.1	36	5630
14	465	−30.4	34	5970
	464	**−30.7**	**34**	**6000**
15	439	−33.3	32	6370
16	413	−37.2	32	6800
	402	**−38.5**	**32**	**7000**
17	388	−39.9	32	7230
18	363	−43.0	—	7690
	347	**−45.0**	—	**8000**
19	343	−45.5	—	8060
20	324	−48.1	—	8450
21	304	−50.3	—	8870
	300	**−50.9**	—	**8960**
	298	**−51.1**	—	**9000**
22	287	−52.6	—	9230
23	269	−52.7	—	9650
24	**254**	**−52.7**	—	**10000**
25	237	−51.8	—	10480
26	**219**	**−52.2**	—	**11000**
27	202	−51.7	—	11510
	200	**−51.8**	—	**11580**
28	190	−52.3	—	11910
	187	**−52.9**	—	**12000**
29	179	−54.2	—	12290
30	168	−53.5	—	12690

29. IV. 1953 14.45 h HEC

	1000	—	—	**160**
0	958.7	11.0	50	493
1	928	5.9	63	780
	903	**4.2**	**70**	**1000**
2	879	2.7	78	1210
	850	**0.3**	**88**	**1490**
3	830	−1.4	94	1675
	796	**−3.8**	**95**	**2000**
4	787	−4.5	96	2100
5	750	−7.6	100	2470
6	714	−10.0	93	2850
	700	**−10.8**	**85**	**3000**
7	680	−11.9	74	3230
8	646	−14.2	80	3610
	614	**−16.8**	**88**	**4000**
9	612	−17.0	90	4030
10	583	−19.4	92	4400
11	558	−21.8	83	4710
	537	**−24.4**	**70**	**5000**
12	534	−24.7	68	5040
13	506	−25.7	58	5430
	500	**−26.0**	**60**	**5520**
14	480	−26.9	68	5810
	467	**−28.2**	**66**	**6000**
15	459	−28.6	64	6130
16	440	−30.2	62	6430
17	420	−32.7	60	6770
	406	**−34.5**	**61**	**7000**
18	397	−35.3	61	7160
19	374	−38.0	59	7570
20	353	−42.1	—	7930
	351	**−42.4**	—	**8000**
21	329	−45.7	—	8440
22	307	−49.3	—	8900
	302	**−50.0**	—	**9000**
	300	**−50.3**	—	**9040**
23	286	−52.1	—	9360
24	264	−55.7	—	9870
	259	**−56.0**	—	**10000**
25	242	−56.4	—	10420
	221	**−52.8**	—	**11000**
26	220	−52.4	—	11040
27	202	−51.0	—	11590
	200	**−50.9**	—	**11650**
	190	**−50.7**	—	**12000**
28	185	−50.5	—	12170
29	169	−49.9	—	12750
	163	**−50.1**	—	**13000**
30	157	−50.3	—	13230

30. IV. 1953 15.00 h HEC

	1000	—	—	**140**
0	959.0	15.0	45	493
1	919	10.5	55	860
	903	**9.2**	**56**	**1000**
2	882	7.4	57	1200
	850	**5.0**	**53**	**1500**
3	846	5.2	52	1540
4	805	4.7	36	1940
	799	**4.2**	**36**	**2000**
5	768	2.8	36	2320
6	726	−0.3	42	2770
	705	**−2.4**	**43**	**3000**
	700	**−2.9**	**44**	**3060**
7	696	−3.3	43	3110
8	663	−5.8	45	3490
9	633	−8.4	48	3850
	620	**−9.5**	**50**	**4000**
10	601	−11.3	51	4260
11	576	−13.8	56	4580
12	547	−16.5	55	4970
	544	**−16.8**	**56**	**5000**
13	518	−19.3	59	5370
	500	**−21.5**	**60**	**5640**
14	494	−22.4	60	5730
	476	**−24.8**	**61**	**6000**
15	470	−25.5	61	6090
16	448	−28.3	64	6430
17	424	−30.9	64	6830
	414	**−32.2**	**65**	**7000**
18	402	−33.7	66	7200
19	380	−37.4	65	7590
20	**357**	**−41.3**	—	**8000**
21	333	−44.4	—	8480
	309	**−48.3**	—	**9000**
22	314	−47.2	—	8880
23	292	−51.5	—	9350
	300	**−49.4**	—	**9180**
24	275	−54.5	—	9750
	264	**−56.0**	—	**10000**
25	255	−57.5	—	10220
26	237	−59.5	—	10690
	225	**−61.8**	—	**11000**
27	222	−62.4	—	11090
28	205	−60.7	—	11590
	200	**−60.4**	—	**11750**
	192	**−60.1**	—	**12000**
29	187	−59.8	—	12160

1. V. 1953 14.45 h HEC

	1000	—	—	**070**
0	954.8	18.5	45	493
1	905	15.2	37	950
	900	**14.7**	**39**	**1000**
2	869	12.0	42	1290
	850	**10.5**	**44**	**1480**
3	833	8.9	46	1650
4	**797**	**6.8**	**40**	**2000**
5	763	4.8	38	2360
6	732	2.2	67	2710
7	**704**	**−0.6**	**78**	**3000**
	700	**−0.8**	**76**	**3060**
8	675	−2.6	64	3350
9	644	−5.6	46	3720
	622	**−8.2**	**39**	**4000**
10	614	−8.8	37	4080
11	585	−10.8	20	4460
12	561	−12.8	23	4760
	545	**−14.6**	**41**	**5000**
13	534	−15.9	60	5170
14	510	−18.6	80	5500
	500	**−19.4**	**84**	**5650**
15	486	−20.5	91	5850
	477	**−21.3**	**94**	**6000**
16	462	−22.1	98	6240
17	440	−24.0	100	6600
18	419	−26.9	100	6950
	416	**−27.3**	**100**	**7000**
19	398	−30.0	100	7320
20	377	−32.6	100	7710
	361	**−35.4**	**100**	**8000**
21	355	−36.4	—	8130
22	333	−40.0	—	8560
23	315	−43.3	—	8940
	313	**−43.5**	—	**9000**
	300	**−44.7**	—	**9260**
24	297	−45.2	—	9350
25	279	−49.3	—	9750
	269	**−51.3**	—	**10000**
26	262	−52.7	—	10150
27	245	−55.5	—	10590
	230	**−57.6**	—	**11000**
28	228	−57.8	—	11050
29	212	−60.1	—	11510
	200	**−59.4**	—	**11870**
	196	**−59.0**	—	**12000**
30	194	−58.8	—	12060
31	179	−56.8	—	12460
22	**167**	**−53.6**	—	**13000**

n.	PPP	TTT	UU	H m. geop.
2. V. 1953	**14.20 h HEC**			
	1000	—	—	**125**
	958.3	16.3	55	493
	905	**10.0**	**100**	**1000**
	860	6.9	92	1420
	850	**6.9**	**80**	**1495**
	813	6.9	22	1880
	799	**6.4**	**26**	**2000**
	770	3.2	31	2320
	733	0.4	39	2720
	706	**–1.8**	**42**	**3000**
	700	**–2.1**	**45**	**3070**
	693	–2.8	48	3170
	658	–3.7	50	3570
	624	**–7.0**	**90**	**4000**
	593	–9.6	100	4400
	565	–12.7	100	4770
	546	**–13.9**	**100**	**5000**
	535	–15.1	100	5130
	500	**–18.4**	**100**	**5670**
	478	**–20.5**	**100**	**6000**
	473	–21.3	100	6100
	441	–24.6	100	6570
	417	**–27.8**	**100**	**7000**
	391	–31.5	100	7480
	366	–35.3	91	7950
	363	**–35.6**	**88**	**8000**
	343	–38.9	86	8400
	317	–42.8		8930
	313	**–43.0**		**9000**
	300	**–44.8**		**9300**
	293	–46.0		9490
	270	**–50.3**	—	**10000**
	248	–55.5	—	10550
	231	**–58.8**	—	**11000**
	228	–59.5	—	11080
	210	–61.4	—	11600
	200	**–61.4**	—	**11900**
	196	**–61.4**	—	**12000**
	181	–60.6	—	12520
	169	–59.0	—	12940
	168	**–59.0**		**13000**
	157	–59.0		13410
4. V. 1953	**15.00 h HEC**			
	1000	—	—	**160**
	959.5	21.0	30	493
	923	16.7	32	840
	906	**15.0**	**34**	**1000**
	889	13.5	36	1160
	855	10.2	43	1480
	850	**9.9**	**45**	**1540**
	824	7.7	51	1790
	803	**5.8**	**46**	**2000**
	789	5.0	43	2140
	752	2.4	28	2530
	713	–0.1	18	2950
	710	**–0.8**	**16**	**3000**
	700	**–1.8**	**15**	**3110**
	681	–3.7	15	3330
	647	–5.7	15	3720
	624	**–7.2**	**23**	**4000**
	615	–7.6	27	4120
	581	–10.3	43	4560
	552	–13.2	52	4950
	549	**–13.5**	**52**	**5000**
	525	–16.1	54	5340
	500	**–18.7**	**54**	**5700**
	498	–18.9	54	5730
	480	**–20.7**	**54**	**6000**
	467	–22.1	54	6210
	438	–26.1	54	6670
	418	**–29.0**	**55**	**7000**
	411	–29.9	55	7130
	388	–33.7	57	7630
5. V. 1953	**15.30 h HEC**			
	1000	—	—	**160**
	960.1	19.0	40	493
	929	15.2	42	780
	906	**13.5**	**44**	**1000**
	880	11.9	46	1240
	850	**9.6**	**46**	**1540**
	840	9.0	46	1625
	807	6.3	44	1960
	803	**5.8**	**45**	**2000**
	774	3.4	49	2360
	739	0.3	53	2660
	710	**–1.3**	**55**	**3000**
	700	**–1.8**	**56**	**3110**
	668	–4.4	49	3480
	635	–6.9	56	3880
	625	**–7.9**	**57**	**4000**
	604	–10.0	58	4260
	575	–12.6	56	4630
	549	**–14.2**	**46**	**5000**
	546	–14.2	46	5030
	516	–16.3	42	5460
	500	**–18.0**	**43**	**5700**
	488	–19.1	43	5880
	480	**–19.8**	**43**	**6000**
	462	–21.5	43	6280
	435	–25.5	43	6720
	419	**–27.7**	**41**	**7000**
	410	–29.0	40	7150
	388	–32.2	38	7540
	362	**–35.1**	**38**	**8000**
6. V. 1953	**15.00 h HEC**			
	1000	—	—	**150**
	957.9	14.5	45	493
	901	**8.9**	**68**	**1000**
	857	5.5	86	1430
	850	**4.7**	**90**	**1500**
	819	2.2	100	1800
	800	**1.9**	**70**	**2000**
	783	2.0	58	2170
	740	0.4	52	2620
	705	**–1.3**	**58**	**3000**
	700	**–1.8**	**60**	**3070**
	672	–3.3	66	3380
	644	–5.7	90	3720
	622	**–7.7**	**97**	**4000**
	610	–8.5	100	4140
	572	–11.6	100	4640
	544	**–13.2**	**73**	**5000**
	516	–15.7	55	5430
	500	**–17.7**	**56**	**5670**
	488	–19.1	57	5850
	478	**–20.2**	**60**	**6000**
	457	–22.0	64	6330
	429	–24.9	63	6790
	418	**–26.3**		**7000**
	400	–28.3	77	7300
	373	–32.5	69	7800
	363	**–34.0**	—	**8000**
	348	–36.4	76	8290
	322	–40.1	—	8820
	314	**–41.5**	—	**9000**
	300	**–43.7**	—	**9300**
	276	–47.4	—	9850
	270	**–48.7**	—	**10000**
	256	–51.4	—	10350
	236	–56.4	—	10880
	232	**–57.2**	—	**11000**
	211	–60.3	—	11500
	200	**–60.0**	—	**11930**
	198	**–59.9**	—	**12000**
	192	–59.7	—	12180
7. V. 1953	**14.50 h HEC**			
	1000			**160**
	958.8	10.3	45	493
	919	4.9	18	860
	903	**3.4**	**56**	**1000**
	882	1.5	61	1200
	850	**–0.1**	**70**	**1500**
	842	–0.6	76	1560
	802	–4.7	84	1950
	797	**–5.2**	**84**	**2000**
	765	–7.7	84	2340
	731	–10.5	86	2670
	700	**–10.2**	**42**	**3000**
	665	–12.8	34	3400
	629	–14.7	32	3820
	615	**–16.0**	**26**	**4000**
	598	–17.3	20	4200
	563	–19.4	15	4660
	538	**–20.8**	**15**	**5000**
	534	–21.0	15	5050
	502	–23.1	15	5500
	500	**–23.3**	**15**	**5540**
	474	–26.0	15	5930
	470	**–26.5**	**15**	**6000**
	446	–29.1	15	6360
	416	–32.3	15	6860
	408	**–36.6**	**15**	**7000**
	390	–36.2	15	7310
	361	–40.0	-	7780
	353	**–41.2**		**8000**
	337	–43.3		8310
	315	–47.2		8750
	304	**–48.1**	-	**9000**
	300	**–49.0**	—	**9090**
	289	–50.3	—	9330
	265	–53.3	—	9900
	261	**–53.2**		**10000**
	243	–53.2	- -	10460
	224	**–50.6**		**11000**
	222	–50.6		11030
	203	–51.6		11620
	200	**–51.8**		**11730**
	192	**–51.8**		**12000**
	188	–52.0	-	12120
8. V. 1953	**15.10 h HEC**			
	1000		—	**139**
	954.9	12.9	32	493
	904	8.1	42	960
	899	**7.6**	**45**	**1000**
	850	**2.8**	**58**	**1450**
	799	–1.5	85	1960
	795	**–2.0**	**98**	**2000**
	758	–5.2	100	2370
	733	–7.6	100	2640
	714	–8.5	100	2850
	700	**–9.9**	**100**	**3000**
	685	–11.3	100	3170
	654	–13.6	19	3510
	614	**–15.7**	**58**	**4000**
	579	–18.2	60	4430
	547	–21.3	84	4860
	536	**–22.4**	**85**	**5000**
	522	–23.8	86	5210
	500	**–25.8**	**82**	**5520**
	492	–26.6	80	5640
	467	**–29.0**	**81**	**6000**
	461	–29.6	82	6110
	438	–32.2	65	6460
	412	–36.2	45	6890
	405	**–37.0**	**43**	**7000**
	385	–39.1	38	7360
	360	–42.1	-	7810
	350	**–43.7**	—	**8000**
	335	–46.0	—	8300
	311	–48.6	—	8800
	300	**–49.0**	—	**9000**
	285	–49.6	—	9300
	265	–49.7	—	9850
	259	**–49.7**	—	**10000**
	246	–49.7	-	10200
	229	–48.2	-	10800
	222	**–48.0**	-	**11000**
	212	–48.0	-	11310
	200	**–47.7**		**11700**
9. V. 1953	**14.00 h HEC**			
	1000	—	—	**120**
	955.6	9.9	42	493
	898	**5.6**	**50**	**1000**
	857	2.9	57	1380
	850	**1.5**	**58**	**1450**
	821	–0.6	61	1730
	793	**–3.3**	**68**	**2000**
	785	–4.0	71	2080
	750	–7.2	90	2430
	712	–9.4	95	2830
	700	**–10.6**	**97**	**2980**
	697	**–10.7**	**98**	**3000**
	683	–12.0	100	3160
	649	–12.3	60	3550
	618	–13.7	69	3920
	613	**–14.1**	**67**	**4000**
	584	–15.6	60	4360
	556	–17.8	54	4720
	536	**–19.2**	**55**	**5000**
	527	–19.7	56	5130
	500	**–22.4**	**56**	**5510**
	474	–26.4	59	5900
	467	**–27.4**	**60**	**6000**
	447	–29.8	63	6330
	418	–32.6	63	6800
	406	**–34.2**	**63**	**7000**
	392	–35.8	62	7250
	365	–39.4	75	7710
	351	**–41.5**	—	**8000**
	342	–42.9	—	8180
	318	–46.1	—	8670
	303	**–48.2**		**9000**
	300	**–48.7**		**9070**
	297	–49.0		9120
	272	–52.6		9700
	260	**–53.0**		**10000**
	252	–53.2		10180
	232	–52.6		10730
	222	**–53.9**		**11000**
	215	–54.7		11210
	200	**–55.8**		**11670**
	190	**–55.2**		**12000**
	184	–54.6		12210
11. V. 1953	**15.10 h HEC**			
	1000	—		**110**
	953.7	13.5	35	493
	902	8.9	36	950
	898	**8.3**	**38**	**1000**
	861	5.2	43	1340
	850	**4.4**	**45**	**1460**
	823	3.1	49	1710
	794	**1.3**	**60**	**2000**
	786	0.8	63	2080
	747	–2.3	18	2490
	716	–5.3	28	2830
	700	**–6.3**	**24**	**3000**
	681	–7.4	20	3180
	652	–9.2	20	3550
	618	–11.9	30	3860
	615	**–12.1**	**30**	**4000**
	587	–13.5	32	4360
	556	–16.5	27	4770
	540	**–17.9**	**24**	**5000**
	523	–19.2	20	5230
	500	**–21.5**	**28**	**5560**
	490	–22.5	30	5710
	471	**–24.1**	**26**	**6000**
	462	–24.7	24	6130
	435	–28.8	28	6580
	410	**–31.7**	**31**	**7000**
	406	–31.9	32	7060
	380	–36.2	32	7520
	355	**–40.0**		**8000**
	320	–43.5		8430
	306	**–46.9**		**9000**
	300	**–47.8**		**9130**
	284	–49.8		9490
	262	**–53.2**		**10000**
	242	–56.2		10530
	225	**–58.7**		**11000**
	222	–59.2		11070
	204	–58.5		11600
	200	**–58.3**		**11730**
12. V. 1953	**14.55 h HEC**			
	1000			**100**
	953.7	13.0	45	493
	918	8.7	52	810
	897	**7.6**	**58**	**1000**

Min.	PPP	TTT	UU	H m. geop.
2	870	6.4	64	1240
	850	**5.1**	**73**	**1450**
3	827	3.8	83	1670
	793	**–0.4**	**90**	**2000**
4	788	–0.6	96	2050
5	747	–4.4	100	2480
6	710	–6.8	100	2880
	700	**–6.2**	**100**	**3000**
7	677	–8.2	100	3250
8	642	–10.7	100	3660
9	**614**	**–13.1**	**97**	**4000**
10	**584**	**–15.1**	**67**	**4390**
11	553	–16.7	60	4800
	538	**–17.9**	**58**	**5000**
12	524	–19.0	57	5200
	500	**–21.3**	**53**	**5540**
13	498	–21.4	53	5560
14	**470**	**–24.6**	**49**	**6000**
15	441	–27.9	46	6460
16	414	–31.4	45	6920
	409	**–32.2**	**45**	**7000**
17	389	–35.2	44	7350
18	366	–39.0	44	7760
	354	**–40.6**	—	**8000**
19	341	–42.7	—	8250
20	315	–47.1	—	8780
	305	**–48.2**	—	**9000**
	300	**–48.7**	—	**9100**
21	293	–49.5	—	9250
22	266	–52.9	—	9890
	262	**–53.5**	—	**10000**
23	246	–55.8	—	10390
24	**223**	**–55.2**	—	**11000**
25	204	–55.2	—	11590
	200	**–55.0**	—	**11720**

13. V. 1953 14.50 h HEC

	1000	—	—	**60**
0	948.3	19.0	35	493
	894	**14.4**	**39**	**1000**
1	888	14.0	40	1060
2	855	11.0	48	1370
	850	**10.3**	**46**	**1430**
3	821	8.3	34	1720
	792	**5.8**	**35**	**2000**
4	786	5.5	36	2070
5	750	2.1	33	2430
6	720	–1.0	57	2780
	700	**–3.0**	**65**	**3000**
7	689	–3.9	68	3120
8	658	–6.0	74	3490
9	626	–7.8	68	3870
	616	**–8.8**	**67**	**4000**
10	596	–10.3	66	4250
11	566	–12.3	100	4640
12	**539**	**–14.6**	**100**	**5000**
13	515	–16.7	85	5350
	500	**–19.0**	**87**	**5590**
14	488	–20.7	90	5770
	472	**–22.9**	**88**	**6000**
15	460	–24.4	87	6200
16	434	–28.4	88	6620
	412	**–31.3**	**76**	**7000**
17	409	–31.5	74	7040
18	384	–35.1	72	7480
19	360	–38.5	70	7930
	357	**–39.1**	**70**	**8000**
20	334	–42.8	—	8450
21	310	–46.8	—	8940
	307	**–47.2**	—	**9000**
	300	**–48.3**	—	**9160**
22	285	–50.8	—	9500

14. V. 1953 14.20 h HEC

	1000	—	—	**100**
0	954.7	12.0	65	493
1	905	8.2	85	930
	899	**7.8**	**87**	**1000**
2	866	5.3	91	1290
	850	**4.4**	**94**	**1460**

Min.	PPP	TTT	UU	H m. geop.
3	824	3.0	100	1700
	795	**1.9**	**100**	**2000**
4	784	1.5	100	2100
5	754	–0.2	100	2410
6	722	–1.8	100	2760
	700	**–3.6**	**100**	**3000**
7	692	–4.0	100	3100
8	659	–6.3	100	3500
9	630	–7.3	100	3840
	617	**–8.2**	**100**	**4000**
10	601	–9.2	100	4200
11	575	–10.5	97	4550
	542	**–12.7**	**100**	**5000**
12	537	–13.2	100	5060
13	507	–16.1	100	5500
	500	**–16.5**	**100**	**5620**
14	482	–18.0	100	5880
	475	**–18.6**	**100**	**6000**
15	456	–21.0	100	6300
16	430	–25.6	100	6730
	415	**–27.4**	**99**	**7000**
17	399	–29.3	98	7280
18	372	–35.0	96	7760
	359	**–36.9**	**95**	**8000**
19	346	–39.1	95	8260
20	321	–42.4	92	8780
	310	**–44.3**	—	**9000**
	300	**–46.3**	—	**9230**
21	297	–47.1	—	9300
22	274	–51.3	—	9820
	267	**–52.3**	—	**10000**
23	251	–54.2	—	10390
24	230	–54.5	—	10950
	228	**–54.4**	—	**11000**
25	211	–53.7	—	11510
	200	**–54.0**	—	**11850**
	195	**–54.3**	—	**12000**
26	193	–54.5	—	12070
27	180	–54.6	—	12520
28	168	–54.3	—	12960

15. V. 1953 14.55 h HEC

	1000	—	—	**120**
0	960.1	20.0	45	493
1	918	15.0	57	870
	903	**13.9**	**55**	**1000**
2	870	12.0	52	1320
	850	**11.1**	**54**	**1520**
3	828	10.0	57	1730
	802	**7.9**	**58**	**2000**
4	781	6.8	62	2160
5	752	4.8	70	2520
6	714	2.0	78	2940
	710	**1.4**	**80**	**3000**
	700	**0.4**	**81**	**3100**
7	688	–1.0	82	3240
8	660	–1.4	64	3580
9	634	–2.0	64	3900
	626	**–2.9**	**65**	**4000**
10	608	–4.8	66	4220
11	524	–7.0	60	4540
12	568	–9.4	58	4900
	550	**–10.1**	**59**	**5000**
13	530	–12.0	62	5280
14	503	–14.8	68	5680
	500	**–15.3**	**69**	**5740**
	483	**–17.8**	**70**	**6000**
15	480	–18.0	70	6030
16	454	–20.8	80	6460
17	426	–24.0	78	6930
	422	**–24.5**	**76**	**7000**
18	400	–27.0	70	7370
19	380	–30.0	67	7750
	367	**–31.8**	**67**	**8000**
20	352	–33.4	67	8290
21	323	–38.0	68	8900
	317	**–38.9**	—	**9000**
22	305	–41.6	66	9290
	300	**–42.3**	—	**9400**
23	286	–44.4	68	9720
	274	**–16.8**	—	**10000**

Min.	PPP	TTT	UU	H m. geop.
24	272	–47.2	67	10060
25	255	–52.0	—	10480
26	238	–57.4	—	10922
	235	**–58.2**	—	**11000**
27	220	–62.0	—	11400
28	204	–65.2	—	11870
	200	**–65.5**	—	**12000**
29	193	–66.0	—	12210

16. V. 1953 14.20 h HEC

	1000	—	—	**130**
0	960.4	26.0	35	493
1	**904**	**20.6**	**48**	**1000**
2	866	17.4	48	1380
	850	**16.8**	**47**	**1560**
3	835	16.4	45	1710
4	**803**	**14.0**	**45**	**2000**
5	772	11.4	46	2360
6	739	8.0	48	2730
	715	**6.0**	**48**	**3000**
7	703	5.2	48	3130
	700	**4.8**	**48**	**3180**
8	665	2.8	46	3580
	632	**–0.4**	**46**	**4000**
9	630	–0.4	46	4030
10	598	–3.3	46	4440
11	567	–6.3	46	4850
	557	**–6.7**	**46**	**5000**
12	540	–7.7	46	5230
13	519	–10.2	48	5550
14	**500**	**–13.0**	**50**	**5830**
	489	**–14.1**	**49**	**6000**
15	474	–15.5	48	6240
16	449	–17.8	47	6640
	428	**–19.8**	**46**	**7000**
17	422	–20.3	45	7100
18	400	–23.3	45	7500
19	379	–27.4	45	7880
	373	**–28.4**	**45**	**8000**
20	356	–31.5	45	8330
21	334	–35.1	45	8780
	324	**–36.6**	**47**	**9000**
22	309	–38.4	48	9320
	300	**–40.1**	—	**9530**
23	286	–42.2	—	9850
	280	**–43.3**	—	**10000**
24	266	–46.6	—	10330
25	245	–51.1	—	10870
	240	**–52.3**	—	**11000**
26	225	–56.0	—	11430
	206	**–60.3**	—	**12000**
27	204	–60.4	—	12040
	200	**–61.1**	—	**12170**
28	183	–63.1	—	12720

18. V. 1953 15.30 h HEC

	1000	—	—	**160**
0	960.2	29.1	35	493
1	940	23.0	32	680
	908	**20.7**	**29**	**1000**
2	892	20.0	28	1140
	850	**17.6**	**26**	**1560**
3	846	17.6	26	1590
4	**806**	**14.5**	**26**	**2000**
5	772	10.6	28	2360
6	736	7.0	30	2750
	716	**5.4**	**31**	**3000**
7	702	4.8	32	3140
	700	**4.5**	**32**	**3180**
8	670	1.0	32	3520
9	638	–4.2	34	3910
	632	**–4.4**	**35**	**4000**
10	608	–6.0	40	4280
11	582	–10.2	44	4630
	556	**–13.1**	**45**	**5000**
12	552	–13.4	46	5030
13	528	–15.8	44	5370
14	**500**	**–18.0**	**40**	**5780**
	487	**–18.6**	**36**	**6000**
15	470	–19.2	32	6240
16	442	–22.2	30	6700
	425	**–24.5**	**31**	**7000**

Min.	PPP	TTT	UU	H m. geop.
17	414	–26.0	32	7180
18	392	–29.6	32	7560
	370	**–33.2**	**33**	**8000**
19	366	–33.6	34	8050
20	342	–38.4	36	8520
	320	**–40.9**	—	**9000**
21	316	–41.2	—	9080
	300	**–45.0**	—	**9430**
22	296	–45.8	—	9510
	275	**–48.9**	—	**10000**
23	268	–49.8	—	10160
24	242	–53.0	—	10830
	236	**–54.0**	—	**11000**
25	222	–56.4	—	11380
26	212	–60.2	—	11690
	202	**–63.4**	—	**12000**
	200	**–64.0**	—	**12050**
27	196	–65.2	—	12170

19. V. 1953 16.20 h HEC

	1000	—	—	**150**
0	961.7	26.9	40	493
1	928	22.0	43	795
	908	**20.3**	**50**	**1000**
2	888	18.8	54	1180
	850	**14.6**	**64**	**1590**
3	848	14.4	65	1600
4	810	10.4	76	1960
	807	**10.1**	**76**	**2000**
5	772	7.6	70	2355
6	740	5.4	83	2715
	719	**3.8**	**74**	**3000**
7	706	3.2	71	3090
	700	**3.0**	**65**	**3170**
8	674	1.4	47	3460
9	640	–3.0	26	3880
	631	**–3.9**	**27**	**4000**
10	608	–6.2	28	4290
11	577	–8.0	32	4700
	555	**–9.8**	**35**	**5000**
12	550	–10.0	36	5060
13	520	–12.0	37	5485
	500	**–15.4**	**38**	**5800**
14	497	–15.6	38	5840
	487	**–16.5**	**38**	**6000**
15	468	–18.0	39	6290
16	448	–22.0	39	6625
	429	**–25.5**	**38**	**7000**
17	416	–26.6	38	7160
18	388	–30.0	40	7655
	370	**–32.8**	**42**	**8000**
19	366	–33.2	43	8070
20	342	–37.2	50	8550
21	**320**	**–41.0**	—	**9000**
22	**300**	**–46.2**	—	**9450**
23	282	–50.0	—	9850
	275	**–51.5**	—	**10000**
24	262	–54.6	—	10330
25	244	–58.4	—	10785
	235	**–60.0**	—	**11000**
26	230	–61.0	—	11150
27	216	–63.1	—	11540

20. V. 1953 15.30 h HEC

	1000	—	—	**130**
0	960.6	25.1	45	493
1	930.0	19.8	48	780
	906.0	**17.3**	**56**	**1000**
2	882	14.8	64	1220
	850	**12.6**	**70**	**1540**
3	840	12.0	76	1640
	803	**10.0**	**50**	**2000**
4	800	9.8	48	2040
5	770	7.0	32	2390
6	738	4.4	30	2700
	710	**2.5**	**24**	**3000**
7	706	2.4	22	3060
	700	**1.9**	**22**	**3140**
8	678	0.4	22	3390
9	646	–2.0	18	3770
	627	**–4.2**	**19**	**4000**
10	620	–5.0	20	4100

in.	PPP	TTT	UU	H m. geop.
1	594	–7.4	22	4430
2	568	–9.8	22	4770
	552	**–11.4**	**20**	**5000**
3	542	–12.2	18	5140
4	520	–14.8	16	5460
	500	**–17.4**	**16**	**5750**
5	494	–18.0	16	5830
	484	**–18.3**	**17**	**6000**
6	468	–21.0	18	6240
7	442	–25.2	16	6670
	421	**–27.5**	**14**	**7000**
8	412	–28.6	12	7160
9	388	–31.2	22	7600
	366	**–34.3**	**23**	**8000**
0	364	–34.8	24	8040
1	340	–38.4	30	8520
2	318	–42.6	—	8760
	317	**–43.2**	—	**9000**
3	**300**	**–44.6**	—	**9380**
4	280	–48.8	—	9830
	272	**–50.6**	—	**10000**
5	258	–54.6	—	10350
6	238	–56.8	—	10850
	233	**–57.5**	—	**11000**
7	222	–59.0	—	11300
8	208	–59.2	—	11700
	200	**–59.2**	—	**11950**
	199	**–59.2**	—	**12000**
9	190	–59.2	—	12270

21. V. 1953 14.50 h HEC

	1000	—	—	**120**
0	958	26.0	34	493
1	916	22.0	30	890
	904	**20.8**	**32**	**1000**
2	886	19.2	34	1170
3	860	16.2	42	1430
	850	**15.1**	**45**	**1550**
4	836	13.8	48	1670
5	812	11.4	46	1910
	803	**10.5**	**46**	**2000**
6	784	9.2	46	2200
7	754	6.6	42	2520
8	728	4.8	45	2810
	712	**2.2**	**45**	**3000**
9	**700**	**2.6**	**52**	**3140**
10	668	–0.2	49	3505
11	642	–2.2	44	3820
	627	**–3.5**	**43**	**4000**
12	616	–4.2	42	4160
13	592	–6.6	36	4470
14	568	–8.8	38	4780
	552	**–10.0**	**36**	**5000**
15	542	–10.6	35	5140
16	520	–12.4	34	5470
17	**500**	**–15.2**	**20**	**5760**
	485	**–17.2**	**18**	**6000**
18	476	–18.2	14	6130
19	454	–20.8	10	6480
20	432	–23.2	84	6850
	423	**–24.4**	**14**	**7000**
21	412	–25.8	14	7200
22	392	–28.0	14	7550
23	370	–30.8	22	7980
	368	**–31.1**	**22**	**8000**
24	352	–33.6	22	8330
25	336	–36.2	20	8650
26	**318**	**–39.2**	**18**	**9000**
	300	**–41.9**	—	**9420**
27	298	–42.2	—	9470
28	282	–45.4	—	9850
	275	**–46.5**	—	**10000**
29	266	–48.0	—	10220
30	250	–51.6	—	10630
31	**236**	**–54.8**	—	**11000**
32	224	–57.2	—	11330
33	208	–59.6	—	11800
	202	**–60.1**	—	**12000**
	200	**–60.2**		**12050**
34	196	–60.4	—	12170
35	182	–62.4	—	12630

Min.	PPP	TTT	UU	H m. geop.

22. V. 1953 14.45 h HEC

	1000	—	—	**155**
0	957.8	23.1	50	493
1	930	19.6	54	740
	904	**18.5**	**44**	**1000**
2	900	18.4	42	1030
3	868	16.6	43	1340
	850	**15.2**	**43**	**1565**
4	836	14.8	44	1650
5	808	13.0	46	1935
	803	**12.2**	**47**	**2000**
6	782	9.8	50	2220
7	760	7.2	56	2450
8	732	5.0	75	2760
	712	**3.4**	**80**	**3000**
9	708	3.2	84	3010
	700	**2.5**	**85**	**3115**
10	684	1.4	86	3315
11	668	0.0	70	3500
12	642	–2.4	76	3820
	629	**–2.7**	**74**	**4000**
13	618	–3.0	72	4120
14	590	–5.2	84	4480
15	564	–7.2	88	4840
	554	**–8.0**	**90**	**5000**
16	540	–9.2	92	5180
17	514	–11.2	100	5555
18	**500**	**–13.4**	**92**	**5780**
	486	**–14.3**	**86**	**6000**
19	470	–16.0	80	6220
20	444	–18.8	70	6660
	425	**–20.5**	**70**	**7000**
21	420	–21.0	70	7080
22	400	–23.2	74	7450
23	380	–26.2	80	7820
	370	**–27.5**	**85**	**8000**
24	354	–30.2	90	8320
25	333	–33.0	90	8760
	321	**–35.2**	**89**	**9000**
26	314	–36.2	88	9170
27	**300**	**–39.0**	**89**	**9480**
28	280	–43.0	88	9950
	278	**–43.6**	—	**10000**
29	268	–46.4	86	10240
30	250	–49.2	84	10700
	239	**–51.5**	—	**11000**
31	232	–53.2	—	11200
32	220	–56.0	—	11530
33	**204**	**–58.0**	—	**12000**
	200	**–59.5**	—	**12140**
34	188	–59.8	—	12520
35	**174**	**–62.0**	—	**13000**
36	158	–58.0	—	13600

23. V. 1953 14.20 h HEC

	1000	—	—	**160**
0	962.5	23.0	50	493
1	926	20.4	50	820
	908	**19.3**	**50**	**1000**
2	891	18.0	50	1150
3	857	15.3	50	1480
	850	**14.8**	**52**	**1565**
4	817	12.5	56	1880
	807	**11.5**	**56**	**2000**
5	779	9.7	56	2290
6	746	6.8	64	2640
7	716	4.9	71	2980
	715	**4.8**	**72**	**3000**
	700	**3.6**	**76**	**3170**
8	688	2.5	79	3300
9	661	0.0	88	3620
10	633	–0.8	81	3970
	632	**–1.0**	**80**	**4000**
11	607	3.9	77	4300
12	583	–6.4	84	4620
13	**556**	**–8.5**	**88**	**5000**
14	530	–10.5	86	5360
15	**500**	**–12.5**	**80**	**5820**
	489	**–14.0**	**82**	**6000**
16	482	–14.5	83	6080
17	459	–17.4	86	6450
18	439	–19.9	86	6780
	428	**–21.0**	**86**	**7000**
19	416	–22.5	86	7200
20	391	–25.5	86	7650
	373	**–28.2**	**86**	**8000**
21	368	–28.9	86	8070
22	347	–33.5	86	8500
23	326	–37.0	84	8930
	323	**–37.4**	**84**	**9000**
24	305	–40.0	82	9400
	300	**–40.5**	—	**9520**
25	284	–42.9	—	9880
	279	**–43.4**	—	**10000**
26	264	–45.4	—	10370
27	247	–48.7	—	10810
	240	**–50.0**	—	**11000**
28	231	–52.0	—	11260
29	211	–54.8	—	11830
	206	**–55.6**	—	**12000**
	200	**–56.7**	—	**12180**
30	191	–58.0	—	12480
31	178	–60.5	—	12910
	176	**–60.9**	—	**13000**
32	164	–66.8	—	13420

25. V. 1953 14.20 h HEC

	1000	—	—	**170**
0	964.0	25.2	40	493
1	917	21.1	54	930
	910	**20.2**	**56**	**1000**
2	880	17.2	60	1290
	850	**16.0**	**47**	**1580**
3	847	15.7	45	1620
4	814	13.2	45	1950
	809	**12.4**	**46**	**2000**
5	780	9.5	49	2305
6	747	7.5	57	2670
	717	**5.1**	**61**	**3000**
7	715	4.9	63	3030
	700	**3.4**	**66**	**3195**
8	684	1.6	70	3390
9	654	–1.9	60	3740
	633	**–2.7**	**30**	**4000**
10	625	–3.1	26	4100
11	600	–6.6	28	4430
12	570	–9.8	23	4820
	557	**–10.8**	**18**	**5000**
13	540	–12.0	16	5250
14	510	–14.8	16	5680
	500	**–16.1**	**17**	**5820**
	488	**–17.8**	**18**	**6000**
15	484	–18.6	18	6070
16	458	–21.5	18	6480
17	435	–23.5	18	6860
	426	**–24.6**	**18**	**7000**
18	411	–27.0	18	7270
19	390	–30.4	18	7640
	371	**–33.4**	**18**	**8000**
20	368	–33.8	18	8050
21	349	–35.4	18	8420
22	328	–37.2	18	8860
	321	**–38.3**	—	**9000**
23	310	–40.1	—	9250
	300	**–42.0**		**9460**
24	289	–44.1	—	9720
	277	**–46.5**	—	**10000**
25	268	–48.3	—	10230
26	243	–52.0	—	10860
	238	**–52.8**	—	**11000**
27	225	–55.0	—	11370
28	209	–58.6	—	11830
	203	**–59.7**	—	**12000**
	200	**–60.4**	—	**12100**
29	192	–61.8	—	12360
30	180	–63.7	—	12700
	173	**–62.9**	—	**13000**
31	164	–61.6	—	13330

26. V. 1953 14.40 h HEC

	1000	—	—	**160**
0	964.7	29.0	35	493
1	942	23.0	30	680
2	914	20.6	38	940
	908	**20.1**	**40**	**1000**
3	888	18.4	46	1190
4	868	17.0	50	1390
	850	**15.2**	**52**	**1560**
5	844	14.8	54	1640
6	820	12.2	60	1880
	807	**11.2**	**62**	**2000**
7	788	9.8	64	2200
8	764	7.2	72	2450
9	742	5.0	76	2710
10	**716**	**2.6**	**80**	**3000**
	700	**0.3**	**81**	**3170**
11	692	–0.6	82	3260
12	668	–1.2	98	3550
13	642	–2.6	90	3870
	630	**–3.7**	**70**	**4000**
14	620	–4.8	50	4140
15	594	–6.4	46	4470
16	572	–8.0	10	4780
	554	**–9.2**	**35**	**5000**
17	548	–9.8	50	5090
18	522	–11.0	12	5480
19	502	–13.4	10	5780
	500	**–13.4**	**10**	**5810**
	487	**–15.0**	**10**	**6000**
20	482	–15.8	10	6090
21	462	–17.8	10	6400
22	438	–20.6	10	6800
	426	**–22.2**	**10**	**7000**
23	418	–23.4	10	7140
24	398	–26.8	10	7500
25	378	–29.8	10	7870
	371	**–30.8**	**10**	**8000**
26	356	–33.2	10	8290
27	338	–36.2	10	8660
	322	**–38.4**	**10**	**9000**
28	318	–39.0	10	9080
	300	**–41.7**	—	**9480**
29	298	–42.2	—	9530
30	280	–45.0	—	9940
	277	**–45.5**	—	**10000**
31	264	–48.2	—	10340
32	248	–51.2	—	10740
	238	**–52.5**	—	**11000**
33	234	–53.4	—	11120
34	220	–56.2	—	11520
35	**204**	**–59.2**	—	**12000**
	200	**–60.3**	—	**12120**
36	192	–62.8	—	12360
37	180	–64.2	—	12760

27. V. 1953 14.40 h HEC

	1000	—	—	**200**
0	964.7	22.0	35	493
1	930	18.0	48	800
	909	**15.6**	**55**	**1000**
2	900	14.4	58	1080
3	865	11.2	68	1415
	850	**10.7**	**68**	**1560**
4	836	10.2	68	1700
	808	**9.0**	**25**	**2000**
5	800	8.8	15	2060
6	776	6.0	15	2320
7	736	4.0	20	2740
	714	**2.2**	**90**	**3000**
8	**700**	**1.6**	**100**	**3160**
9	666	0.0	100	3550
10	634	–2.0	100	3945
	630	**–1.5**	**100**	**4000**
11	602	–4.0	100	4360
12	566	–7.2	100	4850
	556	**–7.3**	**100**	**5000**
13	538	–9.0	50	5250
14	506	–11.2	15	5715
	500	**–11.6**	**25**	**5805**
	487	**–13.0**	**25**	**6000**
15	478	–14.7	25	6150
16	450	–18.0	25	6600
17	428	–20.8	38	6970
	427	**–21.0**	**38**	**7000**
18	400	–24.0	58	7475

Min.	PPP	TTT	UU	H m. geop.
19	376	−26.8	90	7915
	372	**−27.6**	**91**	**8000**
20	355	−31.0	94	8325
21	330	−35.8	94	8840
	322	**−37.0**	**100**	**9000**
22	**300**	**−40.0**	—	**9510**
23	280	−45.0	—	9970
	279	**−45.3**	—	**10000**
24	260	−50.6	—	10460
25	240	−55.0	—	10980
	239	**−55.0**	—	**11000**
26	220	−59.0	—	11520
27	204	−61.4	—	12000
	200	**−62.0**	—	**12130**

28. V. 1953 14.45 h HEC

	1000	—	—	**170**
0	962.7	13.0	55	493
1	934	9.6	55	740
	904	**7.4**	**56**	**1000**
2	894	6.4	58	1100
3	856	3.2	60	1460
	850	**3.2**	**65**	**1510**
4	820	1.2	72	1810
	800	**0.0**	**79**	**2000**
5	780	−1.6	86	2200
6	742	−3.8	92	2610
7	708	−3.6	64	2980
	705	**−3.7**	**62**	**3000**
	700	**−4.0**	**61**	**3050**
8	680	−5.2	58	3290
9	652	−7.8	58	3620
	620	**−8.4**	**59**	**4000**
10	618	−8.6	60	4040
11	590	−10.6	62	4400
12	558	−12.8	54	4830
	511	**−13.6**	**53**	**5000**
13	528	−15.2	52	5250
14	504	−17.6	52	5600
	500	**−17.9**	**49**	**5640**
	467	**−20.2**	**46**	**6000**
15	479	−20.8	40	6050
16	448	−24.0	32	6470
17	424	−28.0	32	6870
	416	**−29.2**	**30**	**7000**
18	398	−32.8	28	7320
19	376	−36.4	26	7720
	360	**−37.3**	**25**	**8000**
20	350	−39.2	24	8210
21	332	−41.6	20	8580
	311	**−44.2**	—	**9000**
22	308	−45.0	—	9070
	300	**−45.2**	—	**9230**
23	284	−46.4	—	9620
	268	**−46.9**	—	**10000**
24	258	−47.4	—	10250
25	238	−49.4	—	10800
	230	**−49.2**	—	**11000**
26	220	−49.4	—	11300
27	**200**	**−51.0**	—	**11930**
	197	**−50.9**	—	**12000**
28	188	−51.6	—	12330

29. V. 1953 14.50 h HEC

	1000	—	—	**180**
0	962.7	16.0	45	493
1	920	12.0	54	880
	906	**11.1**	**60**	**1000**
2	870	8.0	66	1340
	850	**6.4**	**76**	**1530**
3	830	5.0	88	1720
	802	**3.5**	**88**	**2000**
4	788	3.0	88	2140
5	750	3.0	84	2540
6	712	2.0	30	2965
	710	**1.8**	**29**	**3000**
	700	**−0.6**	**27**	**3100**
7	680	−0.2	25	3320
8	646	−1.2	27	3740
	627	**−3.3**	**35**	**4000**
9	612	−3.6	46	4170
10	585	−5.0	58	4520
11	556	−7.0	62	4915
	551	**−6.6**	**63**	**5000**
12	528	−9.2	64	5320
	500	**−10.6**	**60**	**5750**
13	495	−11.8	52	5820
	484	**−12.5**	**46**	**6000**
14	470	−15.8	40	6220
15	440	−16.5	38	6740
	424	**−18.1**	**39**	**7000**
16	412	−19.4	40	7220
17	386	−22.6	42	7700
	370	**−25.0**	**41**	**8000**
18	360	−27.0	40	8200
19	336	−30.4	38	8700
	322	**−33.0**	**38**	**9000**
20	308	−35.8	38	9300
	300	**−36.8**	—	**9490**
21	284	−39.0	—	9860
	279	**−40.0**	—	**10060**
22	260	−43.0	—	10480
23	**240**	**−48.0**	—	**11000**
24	218	−50.6	—	11620
	206	**−52.5**	—	**12000**
	200	**−53.4**	—	**12190**

30. V. 1953 14.05 h HEC

	1000	—	—	**100**
0	954.9	11.0	75	493
1	918	7.6	88	820
	896	**6.2**	**90**	**1000**
2	862	3.6	92	1320
	850	**2.9**	**94**	**1440**
3	820	0.2	96	1730
	793	**−2.5**	**98**	**2000**
4	782	−3.6	100	2100
5	744	−5.2	100	2500
6	716	−7.1	92	2800
	700	**−8.4**	**93**	**2970**
	698	**−8.6**	**94**	**3000**
7	690	−9.0	94	3080
8	666	−11.0	100	3360
9	631	−13.2	100	3730
	612	**−11.1**	**94**	**1000**
10	602	−15.2	88	4130
11	570	−18.4	82	4530
	536	**−21.0**	**86**	**5000**
12	532	−21.4	88	5060
13	**500**	**−23.4**	**86**	**5510**
14	470	−25.9	82	5960
	468	**−26.2**	**80**	**6000**
15	432	−32.4	78	6560
16	**406**	**−34.4**	**70**	**7000**
17	374	−37.8	68	7560
	351	**−40.0**	—	**8000**
18	344	−40.8	—	8140
19	320	−45.9	—	8630
	302	**−51.5**	—	**9000**
	300	**−52.3**	—	**9050**
20	296	−53.8	—	9140
21	272	−58.2	—	9670
	259	**−60.3**	—	**10000**
22	250	−61.9	—	10200
23	232	−65.0	—	10660
	220	**−67.1**	—	**11000**
24	210	−69.2	—	11270
25	204	−70.0	—	11440
	200	**−70.5**	—	**11550**

1. VI. 1953 14.30 h HEC

	1000	—	—	**80**
0	950.8	15.0	45	493
1	900	11.0	50	950
	895	**10.6**	**55**	**1000**
2	860	7.6	64	1330
	850	**6.7**	**70**	**1420**
3	820	3.8	86	1720
	792	**0.9**	**92**	**2000**
4	786	0.4	96	2050
5	752	−1.4	100	2400
6	724	−4.0	100	2710
7	**700**	**−5.8**	**100**	**2960**
	699	**−5.9**	**90**	**3000**
8	676	−6.0	74	3240
9	650	−7.0	10	3560
	615	**−9.6**	**10**	**4000**
10	610	−10.0	10	4050
11	580	−12.8	10	4430
12	546	−14.8	10	4900
	539	**−15.5**	**10**	**5000**
13	518	−17.8	15	5300
	500	**−19.8**	**25**	**5550**
14	492	−21.0	40	5680
	471	**−23.3**	**40**	**6000**
15	465	−24.0	35	6100
16	440	−26.0	20	6500
17	412	−29.8	20	6960
	410	**−30.0**	**20**	**7000**
18	386	−32.0	20	7430
19	360	−33.8	25	7920
	356	**−33.9**	**20**	**8000**
20	338	−34.4	30	8350
21	310	−37.6	30	8960
	308	**−37.6**	—	**9000**
	300	**−38.8**	**30**	**9200**
22	290	−40.2	—	9420
	266	**−42.8**	—	**10000**
23	264	−43.0	—	10070
24	242	−46.0	—	10650
	230	**−16.0**		**11000**
25	220	−46.0	—	11270
26	**200**	**−45.2**	—	**11920**

2. VI. 1953 14.45 h HEC

	1000	—	—	**040**
0	946.5	3.5	85	493
1	922	1.2	90	700
	888	**−0.3**	**89**	**1000**
2	882	0.6	88	1050
	850	**−2.7**	**91**	**1350**
3	840	−3.6	91	1440
4	800	−5.8	100	1830
	782	**−6.6**	**100**	**2000**
5	758	−7.8	100	2250
6	722	−10.0	100	2630
	700	**−11.1**	**98**	**2860**
	688	**−11.8**	**95**	**3000**
7	684	−12.4	96	3040
8	648	−11.8	94	3460
9	610	−17.2	88	3910
	603	**−17.4**	**89**	**4000**
10	574	−20.6	90	4370
11	542	−24.6	78	4790
	526	**−26.4**	**75**	**5000**
12	508	−29.2	72	5260
	500	**−29.6**	**65**	**5360**
13	486	−31.4	60	5570
	457	**−33.5**	**57**	**6000**
14	452	−34.0	54	6080
15	424	−37.4	52	6530
16	400	−41.4	48	6930
	395	**−41.8**	—	**7000**
17	376	−45.2	—	7340
18	348	−43.4	—	7860
	341	**−42.8**	—	**8000**
19	328	−42.0	—	8270
20	308	−41.2	—	8690
	300	**−41.5**	—	**8870**
	294	**−41.7**	—	**9000**
21	284	−42.2	—	9240
22	262	−44.0	—	9790
	254	**−43.5**	—	**10000**
23	242	−43.2	—	10320
24	220	−43.0	—	10950
	218	**−43.0**	—	**11000**
25	204	−43.4	—	11470
	200	**−43.2**	—	**11600**
26	188	−43.6	—	12000

3. VI. 1953 15.20 h HEC

	1000	—	—	**040**
0	947.8	11.5	45	493
1	910	7.0	50	820
	890	**5.9**	**55**	**1000**
2	866	4.4	60	1225
	850	**2.6**	**70**	**1380**
3	826	−0.4	80	1660
4	**786**	**−3.0**	**80**	**2000**
5	756	−6.0	85	2310
6	718	−8.2	83	2720
	700	**−9.5**	**86**	**2900**
	692	**−10.1**	**87**	**3000**
7	678	−10.8	88	3160
8	642	−13.8	66	3570
9	**608**	**−17.0**	**60**	**4000**
10	574	−21.0	64	4420
11	542	−24.0	60	4830
	530	**−25.6**	**60**	**5000**
12	505	−28.8	60	5340
	500	**−29.3**	**59**	**5420**
13	480	−32.0	58	5700
	461	**−35.0**	**59**	**6000**
14	450	−37.0	60	6150
15	420	−41.0	—	6630
	398	**−44.8**	—	**7000**
16	390	−46.0	—	8170
17	366	−50.5	—	7530

4. VI. 1953 14.55 h HEC

	1000	—		**090**
0	952.9	11.0	10	493
1	**897**	**9.3**	—	**1000**
	850	**5.3**	**100**	**1440**
2	800	0.8	100	1920
	792	**0.2**	**100**	**2000**
3	758	−3.6	100	2350
4	722	−6.8	100	2750
	700	**−8.1**	**100**	**3000**
5	690	−8.6	100	3100
6	660	−10.6	100	3450
7	626	−13.2	82	3840
	613	**−11.2**	**82**	**4000**
8	590	−16.8	82	4300
9	556	−20.0	100	4740
	537	**−22.0**	**90**	**5000**
10	522	−23.6	78	5200
	509	**−26.1**	**67**	**5520**
11	496	−26.8	56	5570
	467	**−30.2**	**51**	**6000**
12	462	−31.0	46	6090
13	432	−34.6	38	6560
14	**406**	**−37.6**	**38**	**7000**
15	382	−40.8	38	7400
16	358	−44.8	—	7840
	350	**−45.8**	—	**8000**
17	332	−48.4	—	8340
18	308	−51.2	—	8840
	300	**−50.2**	—	**9000**
19	284	−48.2	—	9370
20	262	−48.2	—	9900
	254	**−17.8**		**10000**
21	240	−46.2	—	10490
22	224	−46.8	—	10940
	222	**−46.5**	—	**11000**
23	204	−44.8	—	11560
	200	**−45.2**	—	**11700**
24	192	−45.8	—	11970
	191	**−45.7**	—	**12000**
25	174	−45.0		12620

5. VI. 1953 14.45 h HEC

	1000	—	—	**110**
0	954	19.0	30	493
1	**900**	**14.0**	**30**	**1000**
2	860	10.0	40	1370
	850	**9.3**	**42**	**1470**
3	820	6.5	45	1760
	797	**4.1**	**48**	**2000**
4	790	3.8	50	2070
5	755	0.4	70	2430
6	724	−2.6	75	2760
	703	**−3.4**	**45**	**3000**
	700	**−3.0**	**15**	**3030**
7	690	−3.8	20	3140
8	656	−4.6	10	3550

Min.	PPP	TTT	UU	H m. geop.
9	**620**	**–7.0**	**20**	**4000**
0	590	–10.0	36	4370
1	560	–13.5	60	4780
	543	**–15.1**	**55**	**5000**
2	530	–16.4	48	5200
3	**500**	**–19.0**	**65**	**5620**
	475	**–21.9**	**70**	**6000**
4	473	–22.2	75	6030
5	450	–25.8	85	6400
6	420	–29.0	75	6900
	414	**–29.7**	**70**	**7000**
7	390	–33.2	65	7410
8	365	–36.6	70	7880
	359	**–37.5**	**65**	**8000**
9	340	–40.2	—	8360
0	318	–43.8	—	8830
	310	**–45.0**	—	**9000**
	300	**–46.6**	—	**9220**
1	290	–48.0	—	9440
2	270	–53.0	—	9900
	266	**–53.1**	—	**10000**
3	246	–55.0	—	10500
	227	**–55.0**	—	**11000**
4	220	–55.0	—	11220
5	**200**	**–53.0**	—	**11820**
	195	**–52.3**	—	**12000**
6	184	–51.0	—	12360

6. VI. 1953 14.00 h HEC

	1000	—	—	**100**
0	954	20.0	40	493
1	910	16.0	48	885
	899	**15.4**	**45**	**1000**
2	858	12.4	40	1400
	850	**12.2**	**40**	**1470**
3	810	10.4	40	1880
	798	**9.3**	**40**	**2000**
4	778	7.4	40	2200
5	740	4.3	50	2620
6	710	1.0	60	2950
	707	**0.9**	**62**	**3000**
	700	**0.2**	**67**	**3060**
7	676	–2.2	74	3340
8	640	–4.0	74	3790
	622	**–4.7**	**78**	**4000**
9	610	–7.0	80	4150
0	578	–9.0	80	4570
	548	**–12.0**	**55**	**5000**
1	544	–12.2	50	5050
2	518	–15.0	36	5420
	500	**–16.1**	**33**	**5680**
3	488	–17.0	30	5870
	480	**–17.9**	**29**	**6000**
4	460	–20.0	28	6300
5	432	–22.5	28	6770
	418	**–25.9**	**29**	**7000**
6	414	–27.0	30	7080
7	380	–31.0	32	7700
	364	**–33.0**	**31**	**8000**
8	350	–34.8	30	8260

8. VI. 1953 14.40 h HEC

	1000	—	—	**040**
0	949.3	20.0	60	493
1	920	16.0	70	750
	894	**14.5**	**75**	**1000**
2	880	13.2	82	1130
	850	**10.9**	**85**	**1420**
3	848	10.0	94	1450
4	810	9.0	70	1820
	793	**7.7**	**70**	**2000**
5	780	7.0	70	2140
6	740	3.5	70	2570
7	710	2.0	60	2900
	701	**0.9**	**62**	**3000**
	700	**0.8**	**70**	**3040**
8	670	–0.4	64	3380
9	640	–3.2	84	3740
	619	**–4.0**	**82**	**4000**
10	610	–5.8	82	4120
11	578	–8.0	88	4540
12	550	–10.6	94	4930
	544	**–13.2**	**94**	**5000**
13	516	–13.8	95	5420
	500	**–15.3**	**98**	**5650**
14	490	–16.4	100	5800
	477	**–17.5**	**100**	**6000**
15	460	–19.0	100	6280
16	434	–22.0	80	6700
	416	**–23.0**	**60**	**7000**
17	404	–24.0	40	7230
18	380	–28.0	15	7660
	363	**–32.3**	**10**	**8000**
19	360	–33.0	10	8060
20	338	–36.4	20	8500
	315	**–40.5**	**20**	**9000**
21	310	–41.2	—	9090
	300	**–43.0**	—	**9310**
22	280	–47.0	—	9780
	270	**–48.9**	—	**10000**
23	260	–50.8	—	10260
24	240	–54.8	—	10790
	232	**–56.2**	—	**11000**
25	220	–58.3	—	11330
26	**200**	**–63.8**	—	**11930**

9. VI. 1953 14.45 h HEC

	1000	—	—	**040**
0	948.7	15.0	73	493
1	910	9.6	84	840
	892	**9.0**	**82**	**1000**
2	870	8.0	80	1210
	850	**7.3**	**80**	**1400**
3	838	6.8	80	1520
4	806	5.0	92	1850
	790	**4.2**	**96**	**2000**
5	776	3.2	100	2150
6	740	1.4	100	2540
7	708	–0.6	100	2890
	700	**–1.1**	**91**	**3000**
8	**678**	**–3.6**	**82**	**3240**
9	648	–5.4	90	3590
10	620	–6.2	100	3930
	611	**–6.5**	**93**	**4000**
11	588	–8.2	86	4360
12	558	–10.6	100	4750
	541	**–11.8**	**100**	**5000**
13	522	–13.4	100	5280
	500	**–15.4**	**100**	**5590**
14	496	–15.8	100	5650
	474	**–17.9**	**100**	**6000**
15	468	–18.4	100	6090
16	440	–20.8	100	6550
17	**412**	**–24.2**	**100**	**7000**
18	386	–28.4	100	7500
	360	**–31.7**	**100**	**8000**
19	358	–32.0	100	8040
20	332	–35.8	95	8570
	312	**–39.3**	—	**9000**
21	308	–40.2		9090
	300	**–41.5**		**9260**
22	284	–44.4	—	9640
	269	**–46.8**	—	**10000**
23	260	–48.4		10230
24	238	–52.6		10800
	231	**–52.7**		**11000**
25	218	–53.0	—	11370
26	**200**	**–51.6**		**11920**
	197	**–51.5**		**12000**
27	182	–50.2		12540

10. VI. 1953 14.40 h HEC

	1000			**110**
0	955.2	11.0	93	493
1	910	9.0	92	880
	898	**8.3**	**100**	**1000**
2	874	7.0	100	1210
	850	**4.2**	**100**	**1450**
3	846	4.0	100	1500
4	814	2.0	100	1800
	795	**0.4**	**95**	**2000**
5	790	0.0	88	2050
6	758	–2.0	100	2400
7	730	–3.0	100	2700
8	**700**	**–3.0**	**100**	**3000**
9	670	–4.0	100	3350
10	640	–5.1	100	3720
	618	**–6.5**	**100**	**4000**
11	610	–7.0	100	4100
12	580	–9.0	100	4490
13	560	–11.4	100	4750
	543	**–13.2**	**95**	**5000**
14	534	–14.0	90	5130
15	510	–17.0	86	5460
	500	**–17.8**	**83**	**5620**
16	488	–19.0	80	5800
	475	**–20.2**	**75**	**6000**
17	466	–21.2	70	6140
18	440	–25.2	62	6570
19	422	–27.4	60	6840
	415	**–28.5**	**60**	**7000**
20	400	–30.2	60	7240
21	380	–33.1	65	7610
22	**358**	**–36.6**	**65**	**8000**
23	338	–40.0	—	8420
24	316	–43.4	—	8880
	310	**–44.2**	—	**9000**
	300	**–46.2**	—	**9220**
25	294	–47.0	—	9360
26	274	–50.2	—	9830
	267	**–51.8**	—	**10000**
27	256	–54.2	—	10270
28	232	–57.2	—	10900
	228	**–56.5**	—	**11000**
29	214	–54.2	—	11410
30	**200**	**–53.0**	—	**11840**
	195	**–53.0**	—	**12000**
31	186	–53.0	—	12360

11. VI. 1953 13.50 h HEC

	1000		—	**120**
0	956.4	15.0	65	493
1	918	11.0	78	830
	900	**9.4**	**82**	**1000**
2	880	8.0	86	1190
	850	**5.2**	**89**	**1470**
3	842	4.2	92	1550
4	808	2.2	96	1890
	796	**1.6**	**96**	**2000**
5	770	0.2	96	2270
6	736	–1.8	100	2640
7	**704**	**–3.0**	**100**	**3000**
	700	**–3.1**	**100**	**3040**
8	670	–4.8	100	3370
9	636	–7.6	90	3790
	618	**–8.2**	**88**	**4000**
10	600	–8.8	86	4240
11	568	–10.8	90	4660
	544	**–12.9**	**90**	**5000**
12	540	13.2	90	5050
13	518	–15.8	78	5360
	500	**–17.0**	**78**	**5630**
14	492	18.0	78	5760
	476	**–18.9**	—	**6000**
15	466	–20.0	30	6160
16	436	–23.2	10	6650
	115	**–25.2**	—	**7000**
17	402	27.0	10	7240
18	371	–31.8	16	7760
	362	**–33.5**	**23**	**8000**
19	350	–35.6	30	8220
20	321	40.2		8760
	312	**–42.4**		**9000**
21	**300**	**–44.4**	—	**9270**
22	272	–48.0	—	9930
	269	**–48.5**		**10000**
23	252	–51.8	—	10430
24	**230**	**–53.8**	—	**11000**
25	214	–52.8		11480
	200	**–50.8**		**11930**
	198	**–50.5**	—	**12000**
26	196	–50.2		12050

12. VI. 1953 14.45 h HEC

	1000	—	—	**140**
0	956.7	18.0	45	493
1	920	14.4	53	830
	900	**12.7**	**58**	**1000**
2	880	11.2	64	1200
	850	**8.1**	**65**	**1490**
3	844	8.0	66	1540
4	810	7.0	50	1880
	798	**6.1**	**55**	**2000**
5	780	4.4	60	2200
6	743	2.0	63	2600
7	710	–0.8	65	2950
	706	**–1.3**	**66**	**3000**
	700	**–1.6**	**65**	**3080**
8	675	–3.0	67	3350
9	642	–5.8	70	3750
	623	**–7.4**	—	**4000**
10	610	–8.0	70	4140
11	586	–9.0	60	4460
12	556	–10.8	54	4850
	547	**–11.7**	**52**	**5000**
13	532	–12.8	50	5200
14	510	–13.8	38	5530
	500	**–14.9**	**37**	**5670**
15	486	–16.4	35	5900
	480	**–17.4**	**40**	**6000**
16	460	–20.4	46	6300
17	420	–23.8	50	6960
	418	**–24.3**	**50**	**7000**
18	402	–27.8	50	7290
19	374	–31.4	50	7800
	364	**–32.6**	**50**	**8000**
20	346	–34.8	50	8350
21	320	–38.2		8900
	315	**–38.9**	—	**9000**
	300	**–40.8**	—	**9340**
22	290	–42.0	—	9570
	271	**–45.8**	—	**10000**
23	268	–46.8	—	10100
24	244	–50.0	—	10710
	233	**–51.8**		**11000**
25	222	–53.4	—	11320
26	204	–53.2		11860
	200	**–53.3**		**12000**
27	186	51.0	—	12460

13. VI. 1953 14.15 h HEC

	1000		—	**105**
0	956.2	19.9	40	493
1	909	15.4	52	915
	901	**14.2**	**54**	**1000**
2	865	10.2	60	1330
	850	**9.1**	**65**	**1490**
3	824	6.9	73	1780
	799	**5.2**	**74**	**2000**
4	786	4.6	75	2120
5	751	0.5	77	2490
6	720	–1.6	88	2820
	705	**–2.7**	**89**	**3000**
	700	**–3.1**	**89**	**3060**
7	689	–4.0	90	3180
8	653	–5.0	54	3600
	621	**–6.7**	**30**	**4000**
9	617	7.0	25	4050
10	584	–9.8	15	4470
11	556	–12.1	12	4840
	546	**–12.7**	**28**	**5000**
12	532	–13.0	14	5190
13	505	–14.6	34	5580
	500	**–15.2**	**36**	**5670**
14	480	–17.9	40	5960
	478	**–18.2**	**39**	**6000**
15	452	–20.9	36	6410
16	423	–24.2	34	6890
	418	**–25.0**	**34**	**7000**
17	392	–28.2	32	7450
	363	**–32.1**	**33**	**8000**
18	361	–32.2	33	8030
19	337	–36.2	34	8530
	315	**–39.9**		**9000**

Min.	PPP	TTT	UU	H m. geop.
20	312	-40.5	—	9050
	300	**-42.7**	—	**9330**
21	290	-44.7	—	9540
	271	**-48.6**	—	**10000**
22	267	-49.6	—	10100
23	241	-53.3	—	10760
	232	**-54.3**	—	**11000**
24	222	-53.0	—	11290

15. VI. 1953 14.50 h HEC

	1000	—	—	**080**
0	954.2	20.0	45	493
1	930	16.0	60	720
	899	**13.9**	**64**	**1000**
2	892	13.2	68	1080
3	856	9.8	80	1410
	850	**9.6**	**85**	**1470**
4	822	6.2	90	1750
	795	**5.1**	**90**	**2000**
5	784	4.2	90	2114
6	752	2.4	74	2490
7	718	-0.2	78	2850
	704	**-1.1**	**81**	**3000**
	700	**-1.6**	**81**	**3050**
8	682	-3.6	84	3260
9	652	-5.4	100	3620
10	**622**	**-7.0**	**100**	**4000**
11	594	-8.2	82	4350
12	568	-10.2	15	4700
	545	**-11.5**	**15**	**5000**
13	542	-11.8	15	5050
14	514	-14.8	15	5460
	500	**-16.0**	**15**	**5650**
15	486	-18.0	15	5890
	477	**-18.6**	**18**	**6000**
16	458	-21.2	20	6320
17	432	-23.4	54	6750
	417	**-24.5**	**62**	**7000**
18	404	-26.2	70	7250
19	380	-29.4	70	7690
	362	**-32.1**	**65**	**8000**
20	358	-33.2	60	8100
21	332	-37.6	50	8640
	314	**-39.9**	—	**9000**
22	310	-40.8	—	9100
	300	**-42.0**	—	**9310**
23	288	-44.6	—	9650
	270	**-47.2**	—	**10000**
24	268	-48.0	—	10080
25	244	-52.0	—	10700
26	**232**	**-55.8**	—	**11000**
27	214	-57.0	—	11540
	200	**-55.0**	—	**11950**
	198	**-54.8**	—	**12000**
28	196	-54.6	—	12090

16. VI. 1953 14.45 h HEC

	1000	—	—	**120**
0	954.7	19.0	42	493
1	926	16.4	48	750
	900	**14.5**	**52**	**1000**
2	886	13.6	58	1130
	850	**11.2**	**65**	**1470**
3	846	11.0	70	1520
4	810	8.2	76	1870
	798	**7.4**	**78**	**2000**
5	780	6.2	80	2180
6	748	4.2	75	2520
7	714	2.0	75	2900
	704	**1.8**	**60**	**3000**
	700	**1.5**	**55**	**3070**
8	682	0.4	52	3270
9	652	-2.0	60	3630
10	**620**	**-4.0**	**48**	**4000**
11	590	-5.8	20	4420
12	560	-7.0	15	4830
	548	**-8.2**	**15**	**5000**
13	540	-9.0	15	5100
14	514	-11.8	15	5490
	500	**-13.3**	**15**	**5700**
15	**494**	**-14.8**	**15**	**5800**
	481	**-15.3**	—	**6000**
16	470	17.6	15	6180
17	450	-20.0	15	6580
18	422	-23.0	15	6970
	420	**-23.3**	**15**	**7000**
19	400	-26.0	15	7360
20	376	-29.4	30	7810
	366	**-30.8**	**28**	**8000**
21	350	-33.0	25	8310
22	320	-37.0	22	8730
	317	**-39.0**	-	**9000**
23	306	-41.0	-	9240
	300	**-42.2**	—	**9380**
24	282	-46.0	-	9790
	273	**-48.2**		**10000**
25	262	-51.0	—	10280
26	240	-51.4	-	10850
	235	**-51.0**	—	**11000**
27	220	-49.6	—	11110
28	204	-47.0	-	11920
	202	**-47.0**		**12000**
	200	**-47.0**		**12050**
29	190	-47.0	—	12390
30	178	-47.0	—	12830

17. VI. 1953 14.45 h HEC

	1000		-	**090**
0	954.6	15.0	100	493
1	926	12.8	100	740
	899	**11.6**	**100**	**1000**
2	888	10.4	100	1090
3	854	8.2	100	1120
	850	**8.2**	**100**	**1460**
4	830	7.2	100	1650
5	810	5.2	100	1860
	796	**4.4**	**100**	**2000**
6	782	3.8	100	2140
7	758	1.6	100	2400
8	728	0.2	100	2720
9	**704**	**-0.2**	**100**	**3000**
	700	**-0.4**	**100**	**3040**
10	684	1.2	100	3230
11	654	3.0	100	3580
12	632	4.4	100	3840
	620	**-5.1**	**100**	**4000**
13	606	6.2	100	4180
14	582	-8.0	100	4490
15	562	-9.8	100	4760
	545	**-11.3**	**100**	**5000**
16	542	11.6	100	5060
17	518	-14.0	100	5400
	500	**-15.3**	**100**	**5660**
18	494	-15.8	100	5750
19	**476**	**-17.6**	**100**	**6000**
20	458	-20.0	100	6310
21	438	-23.0	100	6650
22	**418**	**-25.2**	**100**	**7000**
23	396	-28.0	100	7390
24	374	-30.4	100	7790
	363	**-32.3**	**100**	**8000**
25	356	-33.2	100	8150
26	334	-36.6	100	8590
27	**314**	**-39.0**	**100**	**9000**
	300	**-40.2**	**100**	**9320**
28	296	-40.8	100	9420
29	278	-43.0	—	9840
	272	**-44.6**	—	**10000**
30	260	-48.2	—	10300
31	242	-49.2	—	10760
	233	**-51.5**		**11000**
32	224	-53.8	—	11260
33	204	-56.4		11860
	200	**-56.0**	-	**12000**
34	190	-55.0	—	12310

18. VI. 1953 14.40 h HEC

	1000	—	—	**120**
0	958	15.0	64	493
1	920	10.0	90	820
	900	**8.8**	**90**	**1000**
2	870	7.0	90	1280
	850	**6.2**	**92**	**1480**
3	824	4.8	95	1730
	797	**4.5**	**97**	**2000**
4	788	3.2	100	2100
5	754	1.3	100	2450
6	718	-0.2	25	2840
	704	**-0.9**	**25**	**3000**
	700	**-1.1**	**25**	**3050**
7	686	-2.0	25	3200
8	644	-6.0	25	3700
	620	**-7.6**	**25**	**4000**
9	608	-8.3	25	4150
10	572	-11.0	30	4620
11	**544**	**-14.2**	**25**	**5000**
12	510	-16.6	25	5500
	500	**-17.3**	**25**	**5640**
13	482	-18.8	25	5920
	477	**-19.3**	**25**	**6000**
14	452	-21.4	25	6400
15	424	-27.0	25	6860
	416	**-27.5**	—	**7000**
16	396	-28.6	30	7350
17	374	-32.0	30	7750
	361	**-34.5**	**30**	**8000**
18	350	-36.4	25	8220
19	324	-38.6	25	8750
	312	**-41.0**	—	**9000**
20	**300**	**-43.0**	—	**9270**
21	274	-46.6	—	9880
	269	**-47.1**	—	**10000**
22	258	-48.5	—	10280
23	240	-50.6	—	10750
	231	**-49.3**	—	**11000**
24	222	-48.0	—	11260
25	210	-48.0	—	11630
	200	**-47.3**	—	**11950**
	198	**-47.1**	—	**12000**
26	194	-47.0	—	12150
27	180	-47.0	—	12650

19. VI. 1953 14.35 h HEC

	1000	—	—	**150**
0	961.1	19.0	40	493
	906	**14.9**	**51**	**1000**
1	864	11.6	62	1400
	850	**10.5**	**62**	**1530**
2	814	7.0	62	1890
	803	**6.5**	**57**	**2000**
3	770	4.0	52	2350
4	730	2.4	40	2780
	710	**0.6**	**46**	**3000**
	700	**0.0**	**46**	**3120**
5	696	-1.4	52	3160
6	664	-4.2	50	3520
7	**626**	**-5.4**	**64**	**4000**
8	600	-7.0	64	4330
9	570	-8.2	58	4730
	550	**-8.8**	**55**	**5000**
10	536	-9.4	52	5200
11	**500**	**-12.8**	**48**	**5740**
	483	**-15.8**	**47**	**6000**
12	476	-17.4	46	6120
13	448	-20.0	44	6570
14	**424**	**-23.2**	**42**	**7000**
15	400	-26.6	40	7400
16	372	-30.2	38	7930
	367	**-31.1**	**38**	**8000**
17	348	-35.2	38	8390
18	324	-38.4	40	8890
	318	**-39.3**	**43**	**9000**
19	**300**	**-42.4**	**46**	**9410**
20	276	-46.2	—	9970
	274	**-46.5**	—	**10000**
21	250	-51.2	—	10620
	235	**-53.7**	—	**11000**
22	228	-55.2	—	11220
23	212	-60.2	—	11680
24	**202**	**-61.2**	—	**12000**
	200	**-61.3**	—	**12050**

20. VI. 1953 14.00 h HEC

	1000	—	—	**140**
0	959.6	21.5	46	493
1	916	17.8	46	880
	904	**16.7**	**47**	**1000**
2	880	14.4	48	1240
	850	**12.8**	**54**	**1530**
3	844	12.2	60	1580
4	812	9.4	64	1900
	802	**9.0**	**62**	**2000**
5	778	7.2	60	2230
6	744	3.6	64	2630
7	**710**	**0.0**	**56**	**3000**
	700	**-0.7**	**30**	**3120**
8	678	-2.6	10	3360
9	642	-4.2	56	3800
	625	**-5.4**	**51**	**4000**
10	610	-6.2	52	4200
11	584	-8.8	52	4540
12	558	-11.2	30	4890
	550	**-11.6**	**20**	**5000**
13	528	-12.8	10	5310
14	**500**	**-15.0**	**10**	**5730**
	482	**-17.5**	**28**	**6000**
15	478	-18.0	32	6070
16	456	-22.2	50	6410
17	432	-25.2	16	6810
	421	**-26.0**	**20**	**7000**
18	408	-28.6	36	7230
19	382	-31.0	60	7700
	366	**-33.2**	**63**	**8000**
20	356	-34.6	68	8200
21	330	-38.0	68	8730
	316	**-40.3**		**9000**
22	308	-41.6	68	9200
	300	**-43.3**		**9370**
23	288	-45.6	-	9650
	268	**-47.6**		**10000**
24	264	-49.2	—	10230
25	244	-53.4	—	10740
	234	**-54.9**	—	**11000**
26	226	-56.8		11230
27	208	-59.2	-	11750
	200	**-58.8**	—	**12000**
28	190	-58.4	-	12330

22. VI. 1953 14.55 h HEC

	1000	—	—	**140**
0	958.7	22.0	45	493
1	920	18.0	50	830
	904	**16.9**	**53**	**1000**
2	870	14.6	60	1320
	850	**12.7**	**70**	**1910**
3	830	10.6	76	1720
	802	**8.3**	**85**	**2000**
4	790	7.1	95	2120
5	756	4.5	95	2490
6	716	1.0	100	2920
	710	**0.4**	**100**	**3000**
	700	**-1.4**	**100**	**3100**
7	670	-1.6	100	3450
8	636	-4.0	100	3870
	625	**-5.0**	**100**	**4000**
9	**600**	**-7.0**	**100**	**4330**
10	572	-9.3	85	4700
	550	**-11.4**	**80**	**5000**
11	544	-12.2	75	5090
12	516	-14.8	65	5490
	500	**-16.6**	**61**	**5720**
13	494	-17.8	60	5810
	482	**-18.8**	**61**	**6000**
14	464	-21.2	62	6280
15	436	-23.6	75	6730
	420	**-25.3**	**77**	**7000**
16	404	-27.4	80	7300
17	380	-30.6	85	7780
	365	**-32.5**	**85**	**8000**
18	350	-34.2	85	8320
19	328	-38.4	85	8700
	317	**-39.9**		**9000**
20	**300**	**-42.0**		**9300**
21	282	47.0		9800
	268	**-48.9**		**10000**
22	262	51.0		10270
23	244	55.2		10740

in.	PPP	TTT	UU	H m. geop.
23. VI. 1953 15.30 h HEC				
	1000	—	—	**150**
0	960.0	20.0	60	493
1	910	14.8	86	950
	905	**14.3**	**88**	**1000**
2	878	12.2	92	1250
	850	**9.3**	**85**	**1520**
3	848	9.2	84	1540
4	818	7.8	90	1830
	802	**6.9**	**90**	**2000**
5	784	6.0	90	2180
6	750	4.0	90	2550
7	716	2.2	90	2920
	709	**1.7**	**91**	**3000**
	700	**0.1**	**91**	**3110**
8	684	0.0	92	3290
9	650	−2.2	100	3700
	626	**−4.0**	**100**	**4000**
0	612	−4.8	100	4180
1	580	−6.4	100	4600
2	**552**	**−9.2**	**92**	**5000**
3	524	−11.8	62	5390
4	**500**	**−14.8**	**80**	**5740**
	483	**−17.3**	**69**	**6000**
5	476	−18.8	62	6110
6	448	−22.0	60	6570
7	**422**	**−25.8**	**60**	**7000**
	400	**−29.0**	**53**	**7380**
8	392	−30.2	50	7520
	366	**−32.9**	**50**	**8000**
9	364	−33.2	50	8050
0	338	−37.6	52	8580
1	**318**	**−42.0**	—	**9000**
	300	**−44.9**	—	**9380**
2	294	−45.8	—	9520
	268	**−48.3**	—	**10000**
3	270	−48.8	—	10080
4	250	−52.6	—	10580
	234	**−51.4**	—	**11000**
5	230	−51.2	—	11120
6	210	−50.4	—	11710
	201	**−50.1**	—	**12000**
	200	**−50.1**	—	**12030**
7	190	−49.6	—	12370
24. VI. 1953 16.00 h HEC				
	1000	—	—	**160**
0	957.7	17.0	70	493
1	910	13.0	70	930
	901	**12.2**	**70**	**1000**
2	886	11.0	70	1150
3	858	9.0	70	1420
	850	**8.3**	**70**	**1500**
4	826	7.0	70	1720
5	**800**	**5.0**	**70**	**2000**
6	770	3.0	70	2300
7	744	0.5	72	2580
8	722	−1.6	72	2820
	706	**−3.4**	**73**	**3000**
	700	**−3.5**	**75**	**3050**
9	696	−3.6	75	3100
10	672	−5.0	76	3380
11	640	−7.0	75	3750
	621	**−7.9**	**75**	**4000**
12	614	−8.0	75	4080
13	586	−9.0	40	4450
14	562	−11.4	30	4770
	545	**−13.9**	**33**	**5000**
15	540	−14.8	35	5070
16	**500**	**−18.6**	**35**	**5630**
	477	**−20.7**	**35**	**6000**
17	470	−21.0	35	6100
18	446	−25.0	35	6480
19	420	−28.3	35	6920
	415	**−29.0**	**35**	**7000**
	400	**−33.0**	**40**	**7250**
20	395	−31.6	40	7350
21	374	−35.4	40	7730
	360	**−37.5**	**43**	**8000**
22	350	−39.0	45	8200
23	326	−42.0	—	8660
	310	**−44.3**	—	**9000**
24	**300**	**−46.0**	—	**9220**
25	282	−45.0	—	9630
	267	**−44.5**	—	**10000**
26	262	−44.5	—	10120
27	242	−45.5	—	10640
	230	**−45.5**	—	**11000**
28	228	−45.5	—	11040
29	210	−46.6	—	11590
	200	**−46.6**	—	**11920**
	198	**−46.7**	—	**12000**
30	192	−46.6	—	12190
31	180	−44.0	—	12600
25. VI. 1953 14.45 h HEC				
	1000	—	—	**150**
0	959.4	15.5	75	493
1	928	13.0	75	780
	902	**11.9**	**78**	**1000**
2	890	10.2	82	1120
3	**850**	**8.0**	**90**	**1500**
4	820	5.0	100	1800
	799	**4.0**	**100**	**2000**
5	788	3.2	100	2120
6	752	1.0	100	2510
7	722	0.4	100	2840
	706	**0.0**	**100**	**3000**
	700	**−0.3**	**100**	**3070**
8	692	−0.8	100	3170
9	662	−2.0	100	3530
10	632	−4.4	100	3890
	622	**−4.7**	**100**	**4000**
11	604	−6.2	100	4240
12	576	−7.6	100	4610
13	552	−10.0	96	4940
	547	**−10.3**	**95**	**5000**
14	524	−12.8	94	5350
15	**500**	**−15.2**	**92**	**5700**
	480	**−17.3**	**91**	**6000**
16	478	−17.8	90	6040
17	454	−20.0	88	6420
18	426	−22.2	80	6890
	419	**−23.0**	**80**	**7000**
19	**400**	**−25.2**	**80**	**7350**
20	374	−28.6	82	7830
	365	**−30.0**	**81**	**8000**
21	350	−32.6	80	8300
22	322	−37.2	60	8660
	316	**−39.3**	**59**	**9000**
23	308	−40.6	58	9190
	300	**−42.5**	—	**9350**
24	288	−45.8	—	9630
	272	**−47.3**	—	**10000**
25	266	−48.0	—	10160
26	250	−52.8	—	10560
27	**234**	**−51.6**	—	**11000**
28	222	−48.0	—	11340
29	212	−48.0	—	11640
30	**200**	**−48.0**	—	**12000**
31	194	−47.8	—	12220
26. VI. 1953 15.00 h HEC				
	1000	—	—	**140**
0	956.8	21.0	55	493
1	922	17.0	55	820
	904	**15.3**	**58**	**1000**
2	890	13.8	60	1130
3	860	11.3	65	1410
	850	**10.6**	**68**	**1510**
4	828	9.2	70	1730
5	**800**	**7.2**	**72**	**2000**
6	770	4.4	100	2330
7	738	2.4	100	2670
	708	**0.9**	**100**	**3000**
8	**700**	**0.2**	**100**	**3100**
9	670	−2.0	100	3450
10	640	−3.4	100	3800
	625	**−4.2**	**100**	**4000**
11	612	−4.7	100	4160
12	592	−6.8	85	4420
13	562	−8.6	78	4820
	559	**−9.9**	**70**	**5000**
14	536	−10.8	65	5190
15	512	−13.0	60	5540
	500	**−13.8**	**58**	**5720**
16	488	−15.2	55	5900
	481	**−15.5**	**53**	**6000**
17	460	−17.2	50	6350
18	440	−20.2	40	6670
	421	**−21.8**	**38**	**7000**
19	415	−22.2	35	7110
	400	**−24.4**	**33**	**7370**
20	392	−25.4	30	7530
21	370	−28.8	30	7930
	367	**−29.3**	**30**	**8000**
22	345	−31.2	30	8430
23	326	−34.2	25	8850
	318	**−35.9**	**25**	**9000**
24	304	−39.0	25	9310
	300	**−39.8**	—	**9400**
25	286	−41.8	—	9720
	275	**−43.1**	—	**10000**
26	264	−44.2	—	10270
27	242	−46.8	—	10850
	236	**−47.3**	—	**11000**
28	220	−48.2	—	11470
	203	**−48.2**	—	**12000**
29	**200**	**−48.2**	—	**12100**
30	188	−50.0	—	12500
31	178	−46.8	—	12850
27. VI. 1953 14.15 h HEC				
	1000	—	—	**130**
0	956.6	21.0	55	493
1	932	18.0	55	710
2	**900**	**16.0**	**60**	**1000**
3	**856**	**13.0**	**70**	**1440**
	850	**12.7**	**70**	**1500**
4	820	10.0	70	1800
	799	**8.7**	**75**	**2000**
5	790	8.0	80	2100
6	760	6.0	80	2420
7	730	2.8	84	2750
	707	**0.8**	**88**	**3000**
8	**700**	**0.4**	**90**	**3080**
9	668	−1.2	90	3450
10	638	−3.0	80	3810
	624	**−4.0**	**80**	**4000**
11	604	−5.0	80	4250
12	578	−6.8	66	4600
13	**548**	**−8.2**	**50**	**5000**
14	520	−10.8	50	5420
	500	**−12.4**	**45**	**5700**
15	490	−13.0	40	5870
	482	**−14.0**	**30**	**6000**
16	470	−15.0	20	6190
17	444	−17.0	15	6630
18	424	−19.6	20	6960
	421	**−19.7**	**20**	**7000**
19	**100**	**−22.4**	**15**	**7390**
20	378	−27.6	15	7800
	367	**−29.2**	**15**	**8000**
21	354	−31.2	20	8270
22	328	−34.0	35	8800
	318	**−35.8**	**35**	**9000**
23	305	−38.6	35	9300
	300	**−39.5**	—	**9410**
24	282	−43.8	—	9830
	275	**−45.3**	—	**10000**
25	256	−50.0	—	10470
	236	**−53.9**	—	**11000**
26	234	−54.0	—	11040
27	214	−54.0	—	11630
	202	**−53.3**	—	**12000**
	200	**−53.2**	—	**12070**
28	195	−53.0	—	12230
29	178	−54.0	—	12790
29. VI. 1953 13.00 h HEC				
	1000	—	—	**110**
0	957.4	20.1	64	493
1	924	18.2	92	790
	902	**17.8**	**96**	**1000**
2	886	17.6	100	1160
3	**850**	**16.4**	**56**	**1500**
4	812	14.0	56	1900
	802	**13.3**	**55**	**2000**
5	778	12.0	54	2260
6	744	8.8	62	2640
7	**710**	**7.2**	**76**	**3000**
	700	**6.1**	**79**	**3120**
8	678	3.6	82	3390
9	642	1.2	90	3840
	628	**0.5**	**90**	**4000**
10	602	−1.4	90	4350
11	572	−3.8	86	4760
	554	**−6.2**	**70**	**5000**
12	542	−8.2	54	5170
13	510	−8.2	26	5640
	500	**−8.8**	**35**	**5800**
	487	**−9.7**	**35**	**6000**
14	482	−10.0	44	6080
15	456	−12.2	32	6500
16	**428**	**−15.2**	**32**	**7000**
17	**400**	**−17.4**	**46**	**7500**
18	378	−21.8	50	7920
	374	**−22.4**	**50**	**8000**
19	356	−26.0	50	8350
20	336	−30.2	36	8770
	325	**−32.7**	**36**	**9000**
21	312	−36.4	36	9300
	300	**−39.2**	**36**	**9570**
22	294	−40.6	36	9700
	281	**−43.6**	—	**10000**
23	276	−45.2	—	10140
24	252	−51.6	—	10720
	241	**−54.0**	—	**11000**
25	234	−55.8	—	11200
26	214	−55.8	—	11760
	207	**−55.8**	—	**12000**
27	**200**	**−55.8**	—	**12200**
30. VI. 1953 14.45 h HEC				
	1000	—	—	**090**
0	955.8	25.0	45	493
1	914	21.0	62	870
	901	**20.1**	—	**1000**
2	872	18.2	72	1290
	850	**16.3**	**71**	**1500**
3	838	15.4	70	1620
4	804	12.2	72	1970
	801	**12.0**	**74**	**2000**
5	774	9.6	76	2290
6	738	6.8	58	2690
	710	**5.3**	**65**	**3000**
	700	**4.9**	**65**	**3110**
7	698	4.8	78	3130
8	664	1.8	92	3540
9	630	−0.8	100	3950
	627	**−0.9**	**96**	**4000**
10	598	−3.2	92	4390
11	568	−5.8	100	4790
	553	**−6.8**	**80**	**5000**
12	538	−8.0	60	5220
13	514	−10.0	52	5560
	500	**−10.5**	**48**	**5780**
14	492	−11.8	44	5900
	485	**−12.0**	**44**	**6000**
15	462	−13.8	44	6380
16	434	−17.5	44	6840
	425	**−19.1**	**44**	**7000**
17	408	−21.8	44	7310
	400	**−22.6**	**44**	**7460**
18	382	−24.8	44	7790
	370	**−27.1**	**45**	**8000**
19	358	−29.8	46	8250
20	332	−34.6	50	8790
	322	**−35.9**	**49**	**9000**
21	306	−38.0	48	9350
	300	**−39.1**	**48**	**9490**
22	284	−42.6	48	9860
	278	**−43.8**	—	**10000**
23	264	−47.6	—	10350
24	**240**	**−50.2**	—	**11000**
25	222	−55.2	—	11480
26	**204**	**−55.0**	—	**12000**
	200	**−55.0**	—	**12140**
27	184	−55.0	—	12670

Min.	PPP	TTT	UU	H m. geop.
1. VII. 1953 14.40 h HEC				
	1000		—	**100**
0	956.7	23.1	45	493
1	930	22.6	50	730
	901	**19.5**	**56**	**1000**
2	890	18.4	62	1110
3	**850**	**13.2**	**78**	**1500**
4	813	10.0	80	1880
	800	**9.2**	**79**	**2000**
5	782	7.6	78	2200
6	750	5.6	60	2530
7	720	3.4	68	2830
	709	**2.8**	**71**	**3000**
	700	**2.4**	**71**	**3100**
8	684	1.1	74	3300
9	654	-1.2	84	3640
10	**624**	**-3.2**	**100**	**4000**
11	598	5.4	70	4350
12	570	-6.6	36	4730
	550	**-8.0**	**40**	**5000**
13	540	-8.8	44	5150
14	508	-11.1	40	5620
	500	**-12.1**	**43**	**5740**
	483	**-13.6**	**49**	**6000**
15	480	-14.0	46	6050
16	456	-17.8	52	6440
17	432	21.2	56	6840
	422	**-23.5**	**47**	**7000**
18	406	25.2	38	7110
	400	**-26.1**	**38**	**7390**
19	382	-27.4	38	7730
	368	**-29.5**	**38**	**8000**
20	358	-31.0	38	8200
21	336	-36.6	38	8640
	319	**-38.7**	**38**	**9000**
22	314	-39.4	38	9100
	300	**-41.6**	—	**9410**
23	294	-43.0	—	9550
	275	**-46.5**	—	**10000**
24	272	-47.0	—	10070
25	252	-49.0	—	10580
	236	**-49.5**	—	**11000**
26	220	-49.8	—	11170
27	214	-52.4	—	11640
	202	**-52.5**	—	**12000**
	200	**-52.6**	—	**12080**
28	196	-52.8	—	12200
2. VII. 1953 14.40 h HEC				
	1000	—	—	**100**
0	955.2	23.0	45	493
1	904	20.1	52	970
	901	**20.1**	**57**	**1000**
2	858	16.2	62	1410
	850	**15.8**	**60**	**1500**
3	814	12.4	58	1860
	801	**11.7**	**59**	**2000**
4	774	9.8	60	2280
5	740	7.2	62	2670
6	712	4.2	62	2970
	709	**3.9**	**64**	**3000**
	700	**3.2**	**61**	**3110**
7	682	2.0	66	3310
8	652	1.2	70	3670
9	**624**	**-2.0**	**66**	**4000**
10	592	-3.6	66	4450
11	560	-5.0	50	4890
	551	**-5.8**	**47**	**5000**
12	528	-7.8	44	5340
	500	**-10.2**	**42**	**5770**
13	494	-10.6	40	5850
	485	**-11.5**	**40**	**6000**
14	468	13.6	40	6270
15	440	-16.4	40	6730
	425	**-18.3**	**42**	**7000**
16	412	-20.0	44	7230
	400	**-22.0**	**45**	**7440**
17	386	-25.2	46	7700
	370	**-27.0**	**46**	**8000**
18	360	-28.4	46	8200
19	336	31.0	48	8700
	322	**-33.0**	**48**	**9000**
20	310	-35.2	48	9270
	300	**-37.3**	**48**	**9500**
21	286	-41.0	—	9820
	278	**-42.3**	—	**10000**
22	262	-45.8	—	10420
	240	**-50.2**	—	**11000**
23	238	-50.6	—	11030
24	218	-55.0	—	11600
	205	**-56.5**	—	**12000**
25	**200**	**-57.4**	—	**12150**
26	194	-55.2	—	12320
3. VII. 1953 14.40 h HEC				
	1000	—	—	**120**
0	957.2	22.5	50	493
1	914	17.8	66	900
	903	**17.1**	**69**	**1000**
2	884	15.0	72	1180
3	**850**	**12.4**	**76**	**1510**
4	818	10.2	80	1850
	801	**9.2**	**80**	**2000**
5	780	7.6	80	2230
6	746	5.6	80	2600
7	718	3.2	80	2900
	709	**2.9**	**80**	**3000**
	700	**2.8**	**80**	**3100**
8	690	2.4	80	3220
9	660	0.0	80	3590
10	**628**	**-2.4**	**80**	**4000**
11	598	-4.2	80	4370
12	572	-6.8	80	4720
	551	**-8.1**	**80**	**5000**
13	542	-8.6	80	5130
14	514	-10.8	80	5540
	500	**-12.0**	**80**	**5750**
15	486	-13.4	80	5960
	483	**-13.5**	**80**	**6000**
16	466	-16.2	74	6280
17	444	-19.4	74	6650
18	**422**	**-22.6**	**72**	**7000**
	400	**-25.5**	**71**	**7410**
19	398	-25.8	70	7450
20	374	-30.8	68	7900
	368	**-31.6**	**68**	**8000**
21	354	-34.6	68	8280
22	332	-37.6	70	8730
	319	**-40.1**	—	**9000**
23	308	-42.2	—	9250
	300	**-43.5**	—	**9420**
24	284	-46.2	—	9780
	274	**-47.9**	—	**10000**
25	262	-50.4	—	10310
26	240	-54.6	—	10890
	235	**-55.5**	—	**11000**
27	220	-58.4	—	11440
28	206	-59.4	—	11840
	200	**-58.6**	—	**12000**
29	188	-57.8	—	12420
4. VII. 1953 14.00 h HEC				
	1000	—	—	**100**
0	957.8	24.0	50	493
	902	**19.4**	**61**	**1000**
1	894	18.6	72	1080
2	860	13.8	86	1410
	850	**12.4**	**90**	**1510**
3	832	10.0	100	1690
4	**800**	**8.8**	**90**	**2000**
5	770	5.6	92	2330
6	734	3.8	88	2730
	709	**1.9**	**80**	**3000**
7	704	1.8	82	3070
	700	**1.4**	**80**	**3110**
8	672	-1.0	78	3440
9	638	-4.4	86	3840
	625	**-4.6**	**81**	**4000**
10	606	-5.0	74	4250
11	576	-6.6	66	4650
	550	**-9.5**	**58**	**5000**
12	546	-10.2	56	5060
13	516	-11.8	50	5560
	500	**-13.9**	**49**	**5730**
14	492	-15.0	48	5850
	483	**-15.9**	**47**	**6000**
15	462	-17.6	44	6320
16	440	-20.2	50	6700
	422	**-22.5**	**49**	**7000**
17	412	-24.0	48	7160
	400	**-25.8**	**44**	**7390**
18	390	-27.6	38	7570
	367	**-31.6**	**36**	**8000**
19	362	-32.8	36	8110
20	338	-36.2	34	8580
21	**318**	**-40.6**	—	**9000**
	300	**-43.0**	—	**9390**
22	296	-43.8	—	9490
23	276	-49.0	—	9950
	274	**-49.5**	—	**10000**
24	254	-53.2	—	10490
	234	**-55.5**	—	**11000**
25	232	-55.8	—	11060
26	212	-56.6	—	11630
	200	**-55.9**	—	**12000**
27	194	-55.8	—	12200
5. VII. 1953 14.00 h HEC				
	1000	—	—	**140**
0	959.9	19.0	75	493
1	918	16.6	75	860
	905	**15.7**	**75**	**1000**
2	884	14.2	75	1190
3	**850**	**10.8**	**75**	**1530**
4	816	8.6	75	1860
	802	**7.9**	**75**	**2000**
5	780	6.6	75	2240
6	746	4.2	75	2600
	710	**1.2**	**75**	**3000**
7	708	1.0	75	3040
	700	**0.5**	**76**	**3110**
8	672	-1.0	78	3440
9	634	-3.6	76	3900
	626	**-3.8**	**76**	**4000**
10	600	-5.4	75	4340
11	562	-7.8	75	4850
	551	**-8.9**	**75**	**5000**
12	542	-10.0	75	5130
13	511	-13.0	72	5580
	500	**-13.9**	**72**	**5750**
14	**484**	**-15.4**	**72**	**6000**
15	458	-18.8	70	6400
16	430	-21.6	70	6860
	422	**-22.5**	**70**	**7000**
17	**400**	**-25.0**	**70**	**7400**
18	378	-28.6	70	7810
	368	**-29.9**	**70**	**8000**
19	352	-32.2	68	8320
20	326	-35.8	68	8850
	319	**-36.9**	**68**	**9000**
21	**300**	**-39.8**	**68**	**9430**
22	278	-45.8	—	9950
	275	**-46.2**	—	**10000**
23	258	-49.6	—	10430
24	238	-55.0	—	10960
	236	**-55.1**	—	**11000**
25	218	-56.8	—	11520
	202	**-55.0**	—	**12000**
26	**200**	**-54.8**	—	**12050**
6. VII. 1953 14.40 h HEC				
	1000	—	—	**140**
0	959.8	23.0	50	493
	905	**17.1**	**59**	**1000**
1	903	17.0	60	1020
2	862	13.3	70	1420
	850	**12.5**	**70**	**1530**
3	822	10.3	70	1810
	803	**9.4**	**72**	**2000**
4	790	8.5	74	2140
5	762	6.5	81	2440
6	737	4.5	80	2720
	711	**3.0**	**74**	**3000**
7	705	2.8	73	3060
	700	**2.5**	**72**	**3130**
8	672	0.0	67	3460
9	640	-3.1	78	3850
	627	**-3.6**	**75**	**4000**
10	606	-4.2	67	4280
11	581	-6.0	55	4620
12	556	-8.7	50	4950
	552	**-9.1**	**52**	**5000**
13	531	-11.7	57	5310
14	505	-14.0	58	5700
	500	**-14.2**	**51**	**5770**
	484	**-15.9**	**48**	**6000**
15	477	-16.9	45	6120
16	452	-19.4	39	6520
17	427	-22.1	31	6940
	423	**-22.7**	**32**	**7000**
18	402	-25.7	33	7390
	400	**-25.9**	**33**	**7420**
19	379	-28.9	33	7800
	368	**-30.3**	**30**	**8000**
20	355	-32.4	27	8280
21	333	-35.9	27	8720
	320	**-38.7**	**27**	**9000**
22	314	-40.0	27	9130
	300	**-42.5**	—	**9430**
23	294	-43.6	—	9580
	276	**-46.6**	—	**10000**
24	272	-47.2	—	10090
25	253	-50.7	—	10570
	236	**-53.3**	—	**11000**
26	233	-53.9	—	11100
27	214	-57.4	—	11640
	202	**-59.2**	—	**12000**
	200	**-59.5**	—	**12060**
28	197	-58.3	—	12160
29	184	-56.8	—	12590
7. VII. 1953 14.40 h HEC				
	1000	—	—	**140**
0	960.4	24.1	40	493
1	947	22.5	37	620
2	915	19.3	50	910
	906	**18.4**	**50**	**1000**
3	885	15.9	50	1210
	850	**13.1**	**61**	**1540**
4	846	12.7	63	1590
5	812	10.3	54	1920
	805	**9.9**	**52**	**2000**
6	780	8.5	42	2260
7	743	7.3	20	2650
	712	**5.8**	**21**	**3000**
8	709	5.7	21	3040
	700	**5.0**	**21**	**3140**
9	671	3.2	22	3490
10	636	0.7	32	3920
	629	**-1.0**	**29**	**4000**
11	606	-1.3	22	4310
12	582	-3.2	20	4620
13	**555**	**-6.3**	**20**	**5000**
14	532	-8.2	20	5330
15	504	-10.5	17	5750
	500	**-10.8**	**18**	**5810**
	487	**-12.3**	**50**	**6000**
16	480	-13.1	51	6120
17	450	-16.3	55	6610
	426	**-19.2**	**54**	**7000**
18	424	-19.5	54	7050
	400	**-22.5**	**36**	**7480**
19	396	-23.0	32	7550
20	**371**	**-25.5**	**26**	**8000**
21	351	-27.9	30	8430
22	328	-31.2	28	8910
	324	**-31.6**	**27**	**9000**
23	307	-34.0	24	9380
	300	**-35.0**	**26**	**9540**
24	287	-37.2	28	9870
	281	**-38.3**	—	**10000**
25	268	-41.0	—	10330
26	250	-44.8	—	10750
	242	**-46.1**	—	**11000**
27	232	-48.3	—	11320
28	215	-52.8	—	11770
	208	**-52.6**	—	**12000**
29	**200**	**-55.4**	—	**12270**

Min.	PPP	TTT	UU	H m. geop.
30	189	-56.7	—	12600
	178	**-57.1**	—	**13000**
31	174	-58.2	—	13130

8. VII. 1953 14.40 h HEC

	1000	—	—	**130**
0	960.0	25.5	45	493
1	911	19.9	43	950
	906	**19.7**	**45**	**1000**
2	868	16.1	51	1360
	850	**15.1**	**54**	**1540**
3	822	12.0	60	1820
	804	**10.8**	**57**	**2000**
4	**775**	8.6	55	2310
5	735	4.9	18	2750
	712	**3.1**	**44**	**3000**
6	**700**	**2.1**	**58**	**3140**
7	662	0.2	15	3590
8	**628**	**-1.6**	**18**	**4000**
9	599	-2.0	18	4390
10	566	-3.9	18	4830
	554	**-4.9**	**18**	**5000**
11	533	-7.0	18	5300
12	**503**	**-10.0**	18	5760
	500	**-10.3**	**19**	**5800**
	487	**-11.8**	**20**	**6000**
13	476	-13.3	22	6180
14	450	-16.8	30	6600
	426	**-20.2**	**47**	**7000**
15	424	-20.6	50	7040
	400	**-22.9**	**50**	**7470**
16	394	-23.6	50	7580
	372	**-25.7**	**43**	**8000**
17	364	-26.3	39	8160
18	336	-29.3	35	8730
	323	**-32.3**	**35**	**9000**
19	311	-34.4	35	9270
	300	**-36.3**	**35**	**9520**
20	287	-38.4	35	9830
	280	**-39.7**	**35**	**10000**
21	264	-43.1	—	10400
22	243	-47.2	—	10950
	241	**-47.6**	—	**11000**
23	223	-51.8	—	11520
	207	**-56.9**	—	**12000**
24	206	-57.3	—	12030
	200	**-58.6**	—	**12200**
25	192	-60.7	—	12460

9. VII. 1953 14.40 h HEC

	1000	—	—	**130**
0	958.0	20.9	50	493
1	926	17.5	70	790
	903	**15.3**	**77**	**1000**
2	885	13.7	84	1180
	850	**11.2**	**90**	**1520**
3	847	10.9	92	1550
4	821	9.5	100	1810
	802	**8.2**	**100**	**2000**
5	798	7.8	100	2050
6	775	6.4	100	2280
7	747	4.9	98	2580
8	721	2.7	98	2870
	709	**2.1**	**98**	**3000**
	700	**1.4**	**98**	**3110**
9	693	0.9	98	3180
10	665	-2.0	98	3520
11	639	-2.5	64	3840
	626	**-3.0**	**50**	**4000**
12	605	-4.0	30	4280
13	581	-6.2	37	4590
14	559	-7.1	25	4890
	551	**-7.8**	**23**	**5000**
15	538	-9.2	20	5190
16	519	-11.4	20	5460
	500	**-12.7**	**20**	**5740**
17	495	-12.9	20	5830
	483	**-13.9**	**21**	**6000**
18	473	-14.7	22	6170
19	451	-15.9	25	6530
20	429	-18.4	26	6910
	423	**-18.9**	**26**	**7000**

Min.	PPP	TTT	UU	H m. geop.
	400	**-21.3**	**27**	**7120**
22	387	-23.6	28	7660
	369	**-25.1**	**26**	**8000**
23	366	-25.7	25	8080
24	347	-29.3	24	8460
25	325	-32.1	22	8930
	321	**-32.9**	**22**	**9000**
26	304	-36.1	22	9390
	300	**-36.8**	**22**	**9470**
27	284	-40.1	—	9850
	278	**-41.1**	—	**10000**
28	264	-44.0	—	10340
29	245	-48.1	—	10850
	239	**-50.0**	—	**11000**
30	225	-54.7	—	11400
31	207	-58.9	—	11920
	204	**-58.9**	—	**12000**
	200	**-58.5**	—	**12130**
32	191	-57.7	—	12420

10. VII. 1953 14.30 h HEC

	1000	—	—	**260**
0	960.8	13.0	80	493
1	926	11.0	80	790
	904	**9.3**	**80**	**1000**
2	886	8.4	80	1160
	850	**6.5**	**80**	**1500**
3	842	6.0	80	1570
4	806	3.0	80	1940
	800	**2.5**	**82**	**2000**
5	768	0.6	84	2330
6	732	-1.6	90	2710
7	710	-3.0	100	2950
	706	**-3.2**	**100**	**3000**
	700	**-3.7**	**100**	**3050**
8	680	-4.6	100	3280
9	650	-6.6	90	3650
	621	**-8.6**	**90**	**4000**
10	616	-9.0	88	4060
11	582	-12.0	90	4500
12	550	-14.2	82	4920
	545	**-14.6**	**75**	**5000**
13	520	-16.2	70	5370
14	**500**	**-18.6**	**60**	**5640**
15	**478**	**-21.0**	**30**	**6000**
16	452	-24.0	20	6400
17	428	-28.0	20	6790
	415	**-29.3**	**20**	**7000**
18	404	-30.5	20	7200
	400	**-30.9**	**20**	**7260**
19	378	-33.2	20	7670
	360	**-35.1**	**20**	**8000**
20	356	-35.4	20	8080
21	330	-37.5	15	8610
	312	**-40.5**	—	**9000**
22	310	-41.4	—	9050
	300	**-42.6**	—	**9260**
23	290	-44.4	—	9500
24	270	-47.2	—	9960
	268	**-47.2**	—	**10000**
25	250	-48.8	—	10460
26	**230**	**-50.0**	—	**11000**
27	214	-50.0	—	11500
28	**200**	**-50.0**	—	**11920**
	198	**-49.6**	—	**12000**
29	188	-48.0	—	12320

11. VII. 1953 14.00 h HEC

	1000	—	—	**160**
0	961.6	17.0	40	493
1	933	14.0	44	760
	906	**12.2**	**46**	**1000**
2	890	11.2	47	1150
3	**850**	**7.9**	**51**	**1530**
4	811	5.1	46	1930
	803	**4.4**	**45**	**2000**
5	779	3.1	43	2240
6	744	0.7	47	2620
7	712	-2.2	60	2970
	708	**-2.5**	**58**	**3000**
	700	**-3.3**	**54**	**3100**
8	681	-2.1	40	3320

Min.	PPP	TTT	UU	H m. geop.
9	654	-3.6	31	3640
10	**624**	**-5.7**	**27**	**4000**
11	590	-8.1	22	4450
12	560	-10.3	20	4850
	548	**-11.1**	**20**	**5000**
13	531	-12.5	19	5260
14	506	-14.2	18	5620
	500	**-14.5**	**19**	**5700**
15	**480**	**-16.0**	**20**	**6000**
16	454	-18.3	24	6430
17	428	-20.2	27	6880
	420	**-21.0**	**27**	**7000**
18	406	-23.0	27	7260
	400	**-23.9**	**27**	**7360**
19	384	-26.8	28	7660
	366	**-29.3**	**28**	**8000**
20	360	-30.1	28	8120
21	340	-33.5	27	8540
22	321	-37.3	27	8930
	317	**-37.8**	**27**	**9000**
23	**300**	**-40.5**	**27**	**9380**
24	280	-44.3	—	9860
	274	**-45.5**	—	**10000**
25	258	-49.3	—	10400
26	236	-52.2	—	10970
	235	**-52.4**	—	**11000**
27	220	-56.3	—	11430
	214	-57.1	—	11600
28	205	-54.4	—	11870
	201	**-53.5**	—	**12000**
	200	**-53.3**	—	**12040**
29	192	-51.7	—	12300
30	180	-49.6	—	12720

12. VII. 1953 14.00 h HEC

	1000	—	—	**090**
0	954.3	19.7	43	493
1	921	15.3	53	800
	899	**13.1**	**59**	**1000**
2	883	11.3	65	1160
3	**850**	**8.6**	**73**	**1470**
4	813	6.2	81	1840
	797	**5.2**	**71**	**2000**
5	774	3.7	57	2240
6	741	0.8	27	2590
7	**705**	**-2.4**	**25**	**3000**
	700	**-2.9**	**34**	**3040**
8	671	-5.3	90	3370
9	635	-7.0	92	3800
	619	**-7.7**	**96**	**4000**
10	604	-8.8	100	4190
11	573	-11.0	100	4600
12	**543**	**-13.2**	**100**	**5000**
13	518	-14.7	87	5570
	500	**-16.0**	**70**	**5630**
14	490	-17.0	60	5800
	476	**-17.4**	**36**	**6000**
15	466	-18.0	20	6170
16	439	-21.2	18	6610
	416	**-24.1**	**19**	**7000**
17	409	-25.1	20	7120
	400	**-26.4**	**21**	**7280**
18	383	-29.3	22	7600
	362	**-33.0**	**24**	**8030**
19	360	-33.5	25	8030
20	338	-38.0	26	8470
21	318	-41.7	—	8890
	313	**-42.7**	—	**9000**
	300	**-45.4**	—	**9280**

13. VII. 1953 14.30 h HEC

	1000	—	—	**100**
0	954.8	17.0	55	493
1	920	13.0	52	780
	898	**11.2**	**52**	**1000**
2	880	10.2	52	1150
	850	**7.9**	**54**	**1440**
3	842	7.2	55	1520
4	800	4.2	60	1940
	793	**3.4**	**65**	**2000**
5	768	0.8	70	2280
6	730	-2.0	80	2670

Min.	PPP	TTT	UU	H m. geop.
7	**700**	**-3.8**	**82**	**3000**
8	662	-5.6	80	3440
9	630	-8.0	60	3890
	616	**-9.0**	**60**	**4000**
10	600	-10.0	60	4200
11	570	-12.0	55	4600
12	**540**	**-15.2**	**30**	**5000**
13	510	-17.6	30	5450
	500	**-18.2**	**25**	**5590**
14	480	-19.0	15	5900
	473	**-19.3**	**13**	**6000**
15	458	-20.2	10	6240
16	430	-24.2	10	6700
	413	**-25.8**	**10**	**7000**
17	**400**	**-27.0**	**10**	**7230**
18	378	-27.0	10	7630
	360	**-26.6**	**10**	**8000**
19	354	-26.5	10	8100
20	332	-31.0	10	8570
	312	**-34.4**	**10**	**9000**
21	310	-35.0	15	9060
	300	**-36.3**	**15**	**9280**
22	288	-37.6	15	9570
	270	**-40.4**		**10000**
23	268	-40.6	—	10050
24	248	-44.2	—	10570
	233	**-46.6**	—	**11000**
25	220	-47.0	—	11080

14. VII. 1953 14.35 h HEC

	1000			**150**
0	960.1	20.0	45	493
1	923	16.5	63	820
	904	**14.9**	**70**	**1000**
2	891	13.8	74	1120
3	855	11.0	83	1470
	850	**10.3**	**83**	**1530**
4	824	7.7	84	1780
	804	**5.6**	**93**	**2000**
5	791	1.9	96	2420
6	752	-2.2	100	2520
7	718	-0.1	100	2900
	708	**-0.6**	**100**	**3000**
	700	**-1.8**	**100**	**3100**
8	683	-3.5	100	3290
9	651	-4.4	44	3680
	625	**-5.8**	**30**	**4000**
10	617	-6.0	20	4090
11	586	-8.0	18	4490
12	559	-9.5	17	4850
	550	**-10.3**	**17**	**5000**
13	533	-11.2	16	5230
14	506	-14.9	15	5630
	500	**-15.5**	**15**	**5700**
15	484	-16.9	15	5960
	482	**-17.2**	**15**	**6000**
16	457	-19.6	15	6380
17	434	-21.5	16	6750
	420	**-22.3**	**20**	**7030**
18	412	-22.7	29	7150
	400	**-23.8**	**10**	**7360**
19	**391**	**-24.5**	**59**	**7530**
20	369	-28.2	82	7940
	367	**-28.8**		**8000**
21	348	-31.7	87	8370
22	325	-34.7	85	8850
	318	**-35.9**		**9000**
23	304	-38.2	77	9310
	300	**-39.0**	**76**	**9400**
24	284	-42.0		9780
	274	**-44.1**		**10000**
25	263	-46.4		10290
26	243	-49.7		10810
	236	**-50.3**		**11000**
27	226	-54.1		11280
28	209	-49.6		11790
	202	**-50.0**		**12000**
	200	**-50.2**		**12080**
29	193	-50.5		12310
30	176	-50.8		12910
	173	**-51.6**		**13000**
31	161	-55.4		13480

15. VII. 1953 14.40 h HEC

Min.	PPP	TTT	UU	H m. geop.
	1000	—	—	150
0	961.9	20.5	42	493
	906	16.1	44	1000
1	904	15.9	46	1030
2	866	13.0	53	1380
	850	12.5	57	1540
3	829	9.7	61	1760
	804	7.4	61	2000
4	791	6.2	62	2140
5	754	3.9	63	2520
6	720	0.5	13	2900
	711	−0.1	38	3000
	700	−0.7	29	3130
7	687	−1.1	33	3270
8	651	−3.6	24	3710
	627	−5.6	22	4000
9	619	−6.3	20	4100
10	587	−8.0	18	4510
11	562	−10.1	15	4840
	551	−10.5	14	5000
12	534	−11.1	14	5250
13	502	−13.4	14	5710
	500	−14.0	16	5750
	483	−16.3	18	6000
14	479	−16.7	18	6070
15	453	−20.5	18	6490
16	426	−23.3	18	6930
	422	−23.7	17	7000
17	400	−25.1	15	7400
18	375	−27.8	15	7860
	368	−29.1	15	8000
19	348	−32.2	15	8390
20	325	−35.5	15	8870
	319	−36.7	15	9000
21	300	−40.2	—	9420
22	278	−44.7	—	9920
	275	−45.1	—	10000
23	255	−48.2	—	10510
	236	−50.0	—	11000
24	235	−50.1	—	11050
25	218	−49.6	—	11520
	203	−49.2	—	12000
26	200	−49.0	—	12100
27	185	−49.0	—	12600

16. VII. 1953 14.35 h HEC

Min.	PPP	TTT	UU	H m. geop.
	1000	—	—	150
0	960	22.0	40	493
1	920	17.0	40	860
	905	16.4	41	1000
2	874	14.6	42	1290
	850	12.5	41	1520
3	838	11.2	40	1550
	803	9.9	32	2000
4	796	9.8	30	2070
5	760	7.1	20	2450
6	732	6.0	15	2760
	712	4.7	18	3000
7	700	4.0	20	3120
8	672	2.0	40	3460
9	650	0.2	44	3720
	628	−1.5	44	4000
10	620	2.0	44	4100
11	590	4.0	40	4490
12	562	−6.8	40	4870
	553	−7.5	40	5000
13	536	−9.2	40	5240
14	508	−11.0	32	5650
	500	−11.5	31	5750
	486	−12.5	37	6000
15	480	−13.0	38	6100
16	458	−15.8	30	6440
17	434	−17.8	26	6850
	421	−18.8	25	7000
18	408	−21.0	24	7320
	400	−21.5	23	7450
19	382	−22.8	22	7790
	371	−24.2	23	8000
20	362	−25.8	24	8180
21	340	−30.0	20	8630
	323	−31.5	20	9000
22	320	−32.2	20	9070
23	300	−35.0	20	9510
24	284	−38.0	20	9880
	280	−38.3	20	10000
25	264	−40.0	—	10390
26	244	−43.8	—	10920
	241	−44.1	—	11000
27	224	−46.2	—	11490
28	208	−49.0	—	12000
	200	−50.2	—	12250
29	190	−52.0	—	12580
	178	−53.6	—	13000
30	170	−55.0	—	13300

17. VII. 1953 14.40 h HEC

Min.	PPP	TTT	UU	H m. geop.
	1000	—	—	120
0	957.4	26.0	50	493
1	924	23.0	48	800
	904	21.4	48	1000
2	882	20.0	48	1200
	850	17.6	48	1530
3	842	17.0	48	1600
4	808	14.0	50	1950
	803	13.8	50	2000
5	770	11.6	50	2350
6	736	8.2	50	2720
	705	6.0	50	3000
7	704	5.2	50	3100
	700	4.8	52	3140
8	672	2.0	55	3450
9	646	−0.2	55	3790
	629	−1.8	58	4000
10	620	−2.5	60	4120
11	596	−5.8	60	4420
12	570	−7.0	58	4770
	554	−8.7	45	5000
13	550	−9.0	40	5030
14	520	−10.8	35	5470
	500	−12.3	32	5790
15	492	−13.0	30	5920
	486	−13.3	30	6000
16	460	−15.0	30	6420
17	432	−17.4	30	6900
	425	−18.8	30	7000
18	400	−20.0	30	7460
19	380	−23.0	30	7830
	371	−24.5	30	8000
20	360	−27.0	30	8230
21	340	−30.2	30	8640
22	322	−34.0	30	9000
23	300	−37.0	30	9520
24	282	−40.0	—	9930
	280	−40.2	—	10000
25	264	−43.0	—	10390
26	248	−46.2	—	10800
	241	−47.0	—	11000
27	222	−49.4	—	11540
28	208	−51.4	—	11970
	207	−51.5	—	12000
	200	−52.5	—	12220
29	188	−54.5	—	12620
	177	−54.6	—	13000
30	170	−55.0	—	13270

18. VII. 1953 14.00 h HEC

Min.	PPP	TTT	UU	H m. geop.
	1000	—	—	150
0	960.1	18.5	55	493
1	920	13.5	60	850
	904	12.3	62	1000
2	888	11.0	65	1150
3	850	9.0	70	1520
4	808	8.0	90	1930
	801	7.5	94	2000
5	776	6.0	100	2260
6	742	6.5	100	2640
7	716	6.0	100	2920
	710	5.2	97	3000
	700	4.5	91	3120
8	690	3.5	90	3220
9	660	0.5	70	3590
10	634	−2.5	65	3920
	626	−3.0	75	4000
11	590	−5.5	100	4480
12	560	−7.5	100	4850
	552	−8.0	100	5000
13	536	−9.5	100	5230
14	506	−12.0	80	5680
	500	−12.5	25	5750
	485	−14.3	20	6000
15	478	−15.0	15	6100
16	454	−17.5	15	6490
17	428	−20.5	15	6920
	424	−20.8	18	7000
18	400	−23.5	30	7120
19	372	−27.0	40	7950
	369	−27.7	45	8000
20	350	−30.5	50	8390
21	324	−33.0	50	8930
	321	−33.5	50	9000
22	304	−36.0	50	9370
	300	−37.1	50	9460
23	282	−41.7	—	9890
	277	−42.5	—	10000
24	264	−44.5	—	10320
25	246	−49.5	—	10800
	238	−50.8	—	11000
26	224	−53.5	—	11420
	204	−55.9	—	12000
27	200	−56.5	—	12130

19. VII. 1953 14.10 h HEC

Min.	PPP	TTT	UU	H m. geop.
	1000	—	—	200
	967.4	20.0	35	493
1	938	15.4	35	740
2	910	13.0	40	1000
3	880	9.8	50	1280
	850	7.3	56	1560
4	840	6.0	58	1670
	806	2.7	67	2000
5	800	2.0	70	2060
6	766	0.0	60	2410
7	730	−3.6	63	2800
	711	−5.1	47	3000
8	700	−5.6	42	3120
9	658	−6.0	20	3610
10	624	−8.2	15	4000
11	592	−11.0	15	4420
12	560	−13.0	15	4850
	549	−13.5	13	5000
13	532	−14.8	10	5250
14	500	−17.4	10	5710
	480	−19.4	10	6000
15	478	−20.0	10	6050
16	452	−23.0	10	6460
17	430	−26.0	10	6820
	419	−27.3	10	7000
18	400	−30.0	10	7330
19	378	−34.0	10	7730
	364	−35.8	10	8000
20	352	−37.2	10	8230
21	332	−41.0	—	8630
	315	−43.1	—	9000
22	310	−45.0	—	9100
	300	−44.9	—	9300
23	288	−45.0	—	9580
	271	−44.3	—	10000
24	268	−44.0	—	10060
25	246	−43.0	—	10540
	233	−43.8	—	11030
26	224	−44.0	—	11270
27	210	−45.0	—	11700
	200	−45.5	—	12000
28	190	−46.0	—	12350

20. VII. 1953 14.35 h HEC

Min.	PPP	TTT	UU	H m. geop.
	1000	—	—	220
0	968.5	23.0	30	493
1	924	20.2	18	900
	913	18.7	20	1000
2	894	17.2	24	1170
3	858	14.8	12	1520
	850	14.0	12	1620
4	820	12.0	10	1900
	811	11.5	10	2000
5	778	10.2	10	2340
6	740	8.8	10	2760
	719	6.5	35	3000
7	706	5.8	54	3140
	700	5.1	65	3210
8	670	3.4	76	3560
9	638	1.6	84	3950
	636	1.5	78	4000
10	604	−0.4	60	4400
11	570	−1.8	20	4800
	561	−2.9	20	5000
12	550	−4.2	20	5150
13	520	−6.8	30	5590
14	500	−9.8	58	5890
	494	−10.5	41	6000
15	468	−12.2	24	6400
16	440	−15.2	18	6860
	432	−16.1	24	7000
17	414	−18.0	30	7330
	400	−20.3	30	7580
18	388	−21.8	30	7800
	378	−23.6	32	8000
19	364	−26.0	34	8260
20	338	−30.2	38	8860
	329	−32.0	38	9000
21	316	−34.4	38	9270
	300	−36.3	39	9650
22	292	−37.0	40	9820
	285	−38.9	42	10000
23	272	−41.8	44	10300
24	254	−46.2	—	10770
	246	−48.0	—	11000
25	238	−49.8	—	11200
26	222	−52.4	—	11650
	211	−54.7	—	12000
27	200	−56.6	—	12320
28	188	−57.6	—	12710

21. VII. 1953 14.35 h HEC

Min.	PPP	TTT	UU	H m. geop.
	1000	—	—	150
0	961.4	26.0	40	493
1	920	23.0	40	870
	908	20.9	42	1000
2	884	20.4	44	1220
3	850	17.8	42	1560
4	818	17.8	32	1870
	797	17.1	33	2000
5	786	16.0	34	2230
6	752	12.6	28	2600
7	720	9.8	20	3000
	700	9.5	29	3190
8	688	7.8	38	3340
9	652	5.6	40	3780
	632	4.2	44	4000
10	624	3.0	48	4140
11	590	0.6	36	4590
12	564	−1.4	32	4940
	560	−1.6	29	5000
13	534	−3.4	12	5380
14	510	−5.4	10	5750
	500	−6.1	10	5900
	493	−6.6	10	6000
15	488	−7.1	10	6100
16	460	−9.6	10	6550
17	436	−12.6	10	6980
	433	−12.9	10	7000
18	410	−16.0	10	7420
	400	−17.2	—	7810
19	386	−19.2	10	7870
	380	−19.8	10	8000
20	366	−21.2	10	8270
21	344	−25.0	10	8700
	331	−26.3	10	9000
22	322	−27.4	10	9230
23	300	−31.8	10	9710
	287	−33.1	10	10000
24	280	−34.0	10	10150
25	258	−37.8	10	10670
	249	−40.3	—	11000
26	240	−43.0	—	11290

Min.	PPP	TTT	UU	H m. geop.
27	218	–47.6	—	11900
	215	**–47.8**	—	**12000**
28	**200**	**–49.0**	—	**12460**
	184	**–50.1**	—	**13000**
29	180	–50.6	—	13150

22. VII. 1953 14.40 h HEC

	1000	—	—	**100**
0	956.6	28.5	30	493
1	938	24.0	24	670
	903	**21.6**	**23**	**1000**
2	900	21.4	22	1040
3	866	19.6	28	1350
	850	**18.6**	**34**	**1500**
4	828	17.4	42	1740
	802	**15.8**	**42**	**2090**
5	790	14.8	42	2140
6	760	11.4	46	2470
7	732	7.6	48	2780
	712	**6.0**	**52**	**3000**
8	**700**	**5.0**	**56**	**3140**
9	664	1.8	62	3570
10	636	–0.6	62	3910
	628	**–1.0**	**62**	**4000**
11	606	–2.8	60	4300
12	578	–4.8	50	4670
13	558	–5.2	48	4950
	554	**–5.7**	**51**	**5000**
14	528	–6.6	44	5380
15	**500**	**–8.6**	**32**	**5800**
	487	**–10.2**	**32**	**6000**
16	480	–11.6	32	6110
17	462	–14.0	36	6400
18	440	–16.4	38	6780
	426	**–18.0**	**39**	**7000**
19	420	–18.8	40	7130
	400	**–21.3**	**44**	**7470**
20	396	–22.0	52	7550
21	374	–25.0	50	7950
	372	**–25.2**	**50**	**8000**
22	356	–28.4	50	8340
23	340	–30.8	48	8660
24	328	–34.4	46	8920
	323	**–35.0**	**46**	**9000**
25	308	–37.2	44	9350
	300	**–38.3**	**43**	**9530**
26	286	–40.6	42	9850
	280	**–42.3**	—	**10000**
27	268	–45.4	—	10280
28	254	–50.4	—	10650
	241	**–53.2**	—	**11000**
29	238	–53.8	—	11080
30	220	–57.2	—	11560
31	208	–59.2	—	11920
	206	**–54.5**	—	**12000**
	200	**–59.8**	—	**12170**
32	190	–60.4	—	12500

23. VII. 1953 14.40 h HEC

	1000	—	—	**150**
0	960.2	17.5	71	493
1	922	15.8	64	830
	904	**14.7**	**59**	**1000**
2	880	12.6	54	1240
	850	**11.0**	**54**	**1520**
3	840	10.4	54	1630
	803	**8.2**	**46**	**2000**
4	798	7.8	38	2050
5	762	6.0	52	2420
6	720	3.4	70	2900
	710	**3.0**	**78**	**3000**
	700	**2.8**	**90**	**3110**
7	678	1.6	86	3580
8	634	**–0.4**	94	3910
	627	**–0.8**	**97**	**4000**
9	600	–3.0	100	4350
10	570	–4.8	92	4760
	553	**–6.8**	**74**	**5000**
11	540	–8.8	56	5180
12	512	–11.4	32	5580
	500	**–12.1**	**26**	**5770**

Min.	PPP	TTT	UU	H m. geop.
13	488	–13.0	22	5950
	485	**–13.5**	**20**	**6000**
14	456	–17.2	16	6460
15	**426**	**–21.8**	**22**	**7000**
	400	**–24.8**	**30**	**7430**
16	392	–25.8	38	7590
	370	**–28.3**	**42**	**8000**
17	364	–29.0	46	8110
18	340	–31.8	34	8600
	321	**–35.0**	**32**	**9000**
19	316	–36.0	30	9110
	300	**–39.3**	**30**	**9470**
20	292	–41.2	30	9650
	277	**–43.2**	**30**	**10000**
21	272	–44.2	—	10130
22	246	–47.8	—	10800
	239	**–48.4**	—	**11000**
23	222	–49.4	—	11480
	205	**–51.3**	—	**12000**
24	**200**	**–52.0**	—	**12160**
25	188	–51.6	—	12560

24. VII. 1953 14.35 h HEC

	1000	—	—	**180**
0	965.0	21.0	40	493
1	922	18.8	50	890
	910	**17.9**	**49**	**1000**
2	888	15.0	48	1210
3	**850**	**11.2**	**48**	**1580**
4	820	8.8	70	1870
	808	**8.2**	**40**	**2000**
5	788	8.2	10	2200
6	746	7.8	10	2650
	714	**6.9**	**10**	**3000**
7	710	6.8	10	3060
	700	**6.7**	**10**	**3170**
8	672	6.0	10	3500
9	642	3.6	10	3870
	632	**3.1**	**10**	**4000**
10	614	2.0	10	4240
11	582	0.2	10	4650
	558	**–1.5**	**10**	**5000**
12	550	–2.0	10	5110
13	526	–4.8	10	5470
14	**500**	**–8.2**	**10**	**5860**
	491	**–9.9**	**10**	**6000**
15	480	–11.8	10	6180
16	454	–14.8	10	6600
17	**430**	**–17.6**	**10**	**7000**
18	408	–20.2	10	7400
	400	**–21.2**	**10**	**7540**
19	378	–24.4	10	7960
	376	**–24.9**	**10**	**8000**
20	352	–29.0	10	8470
21	**328**	**–33.4**	**10**	**9000**
22	306	–37.0	10	9460
	300	**–38.2**	**10**	**9590**
23	286	–41.6	—	9920
	283	**–42.2**	—	**10000**
24	268	–45.4	—	10360
25	250	–48.8	—	10820
	244	**–50.3**	—	**11000**
26	230	–54.0	—	11360
27	214	–57.2	—	11820
	208	**–57.9**	—	**12000**
28	**200**	**–59.0**	—	**12250**
29	184	–60.4	—	12780

25. VII. 1953 14.05 h HEC

	1000	—	—	**150**
0	961.7	26.0	40	493
1	926	22.6	28	830
	908	**22.0**	**24**	**1000**
2	882	20.4	18	1250
3	**850**	**18.4**	**18**	**1560**
	808	**16.4**	**18**	**2000**
4	804	16.0	18	2040
5	774	12.8	18	2350
6	738	10.0	12	2750
	716	**7.9**	**20**	**3000**
7	706	7.0	24	3120
	700	**6.5**	**24**	**3190**

Min.	PPP	TTT	UU	H m. geop.
8	678	4.6	26	3450
9	646	1.6	10	3840
	633	**1.1**	**10**	**4000**
10	612	0.0	10	4260
11	586	–3.2	10	4610
12	**560**	**–5.4**	**10**	**5000**
13	534	–6.8	10	5350
14	510	–10.2	10	5710
	500	**–11.1**	**10**	**5860**
	490	**–12.0**	**10**	**6000**
15	478	–13.2	10	6200
16	450	–16.0	10	6660
	429	**–19.2**	**10**	**7000**
17	426	–19.8	10	7070
18	**400**	**–22.6**	**10**	**7530**
19	**376**	**–26.2**	**10**	**8080**
20	352	–30.2	10	8450
21	328	–33.8	10	8950
	325	**–34.2**	**10**	**9000**
22	306	–37.0	10	9440
	300	**–38.1**	—	**9570**
23	286	–40.8	—	9890
	281	**–41.3**	—	**10000**
24	264	–43.0	—	10440
25	246	–44.8	—	10910
	243	**–44.8**	—	**11000**
26	230	–44.8	—	11360
27	214	–45.4	—	11840
	209	**–46.9**	—	**12000**
28	**200**	**–49.4**	—	**12300**
29	186	–51.8	—	12760

26. VII. 1953 14.05 h HEC

	1000	—	—	**110**
0	958.9	28.0	40	493
1	926	23.6	40	800
	906	**21.9**	**38**	**1000**
2	884	19.6	36	1200
3	**850**	**17.4**	**30**	**1540**
4	814	15.0	40	1900
	804	**13.6**	**45**	**2000**
5	782	11.0	50	2240
6	744	7.8	54	2650
7	**714**	**5.6**	**54**	**3000**
	700	**4.6**	**58**	**3150**
8	680	3.6	60	3390
9	650	–0.4	66	3740
	629	**–3.0**	**66**	**4000**
10	620	–3.2	66	4120
11	588	–5.6	34	4550
12	558	–8.0	20	4950
	553	**–8.3**	**21**	**5000**
13	530	–11.2	22	5340
14	**500**	**–12.0**	**14**	**5800**
	486	**–14.1**	**13**	**6000**
15	470	–16.4	12	6260
16	444	–18.8	14	6680
	425	**–21.5**	**17**	**7000**
17	420	–22.2	20	7100
	400	**–24.0**	**24**	**7440**
18	394	–24.6	26	7570
19	**372**	**–25.4**	**34**	**8000**
20	344	–31.0	24	8540
21	328	–34.8	22	8880
	322	**–35.5**	**22**	**9000**
22	304	–38.2	22	9460
	300	**–39.1**	**22**	**9490**
23	280	–43.8	—	9960
	278	**–43.9**	—	**10000**
24	258	–45.8	—	10510
25	**240**	**–48.0**	—	**11000**
26	224	–50.2	—	11440
27	214	50.2		11740
	206	**–50.2**	—	**12000**
28	**200**	**–50.4**	—	**12180**
29	192	–50.2	—	12440

27. VII. 1953 14.35 h HEC

	1000	—	—	**130**
0	959.3	21.9	53	493
	904	**17.5**	**60**	**1000**

Min.	PPP	TTT	UU	H m. geop
1	889	16.1	64	1150
	850	**12.2**	**84**	**1530**
2	841	11.0	89	1620
	803	**7.3**	**100**	**2000**
3	800	6.9	100	2030
4	762	4.7	98	2430
	742	6.7	24	2640
5	725	5.9	33	2810
	710	**4.3**	**40**	**3000**
6	**700**	**3.0**	**44**	**3120**
7	672	0.3	54	3460
8	644	–3.8	65	3800
	627	**–4.3**	**65**	**4000**
9	618	–4.7	65	4120
10	592	–6.6	78	4450
11	566	–8.0	84	4790
	552	**–9.1**	**86**	**5000**
12	538	–10.7	88	5200
13	513	–13.1	100	5560
	500	**–14.3**	**95**	**5760**
14	485	–15.8	90	5990
	484	**–16.0**	**80**	**6000**
15	461	–18.4	15	6370
16	440	–20.9	10	6720
	423	**–22.3**	**16**	**7000**
17	413	–23.2	18	7180
	400	**–25.0**	**19**	**7410**
18	391	–26.2	20	7580
	369	**–28.5**	**21**	**8000**
19	366	–28.9	22	8060
20	343	–30.9	51	8520
21	323	–33.3	70	8940
	320	**–33.6**	**74**	**9000**
22	**300**	**–36.2**	**90**	**9450**
23	282	–38.7	60	9880
	277	**–39.5**	**55**	**10000**
24	266	–41.6	46	10280
25	245	–44.4	—	10840
	239	**–45.4**	—	**11000**
26	230	–47.1	—	11260
27	210	–49.9	—	11870
	206	**–50.1**	—	**12000**
	200	**–50.5**	—	**12180**
28	192	–51.0	—	12450
29	**176**	**–51.0**	—	**13000**

28. VII. 1953 14.20 h HEC

	1000	—	—	**150**
0	957.4	24.0	40	493
1	928	19.6	40	750
	902	**17.3**	**45**	**1000**
2	888	16.0	50	1130
3	**850**	**13.4**	**64**	**1500**
4	820	11.2	70	1800
	802	**10.3**	**68**	**2000**
5	778	9.0	66	2240
6	748	5.8	75	2570
7	718	3.6	80	2900
	710	**3.1**	**85**	**3000**
	700	**2.3**	**89**	**3120**
8	686	1.0	90	3270
9	658	–1.0	92	3600
10	630	–3.8	100	3950
	626	**–4.2**	**98**	**4000**
11	600	–6.2	98	4330
12	572	–6.4	56	4700
	552	**–7.3**	**40**	**5000**
13	546	–7.4	30	5070
14	520	–9.0	50	5450
	500	**–10.5**	**48**	**5760**
15	496	–11.6	46	5810
	485	**–11.8**	**32**	**6000**
16	466	–13.0	26	6300
17	440	–14.1	50	6750
	425	**–17.9**	**44**	**7000**
18	420	–18.4	42	7080
19	**400**	**–20.0**	**42**	**7440**
20	374	–23.6	46	7920
	371	**–24.3**	**42**	**8000**
21	354	–27.0	38	8330
22	330	–30.0	28	8840
	323	**–31.5**	**28**	**9000**

Min.	PPP	TTT	UU	H m. geop.
23	311	−33.0	28	9190
	300	**−35.6**	**28**	**9500**
24	290	−37.8	28	9750
	280	**−39.0**	**28**	**10000**
25	274	−39.4	28	10140
26	254	−43.0	—	10650
	241	**−46.0**	—	**11000**
27	238	−46.6	—	11090
28	220	−50.0	—	11600
29	208	−52.8	—	11960
	207	**−53.0**	—	**12000**
	200	**−53.4**	—	**12230**
30	190	−53.8	—	12540

29. VII. 1953 14.40 h HEC

	1000	—	—	**115**
0	958.2	25.0	36	493
1	927	19.8	38	760
	901	**17.5**	**38**	**1000**
2	900	17.2	38	1010
3	869	14.8	48	1310
	850	**13.4**	**51**	**1500**
4	841	11.9	53	1590
5	807	9.5	70	1930
	800	**9.0**	**65**	**2000**
6	769	5.3	58	2330
7	740	5.0	51	2640
8	**710**	**0.7**	**72**	**3000**
	700	**0.1**	**74**	**3090**
9	679	−1.8	77	3320
10	648	−2.9	67	3710
	624	**−3.3**	**40**	**4000**
11	613	−4.1	20	4140
12	578	−7.0	15	4620
13	**550**	**−9.9**	**10**	**5000**
14	523	−12.1	10	5380
	500	**−13.7**	**10**	**5720**
15	494	−14.3	10	5820
	482	**−15.2**	**10**	**6000**
16	466	−16.4	10	6270
17	440	−20.0	16	6690
	421	**−22.5**	**50**	**7000**
18	414	−24.0	57	7160
	400	**−25.0**	**65**	**7380**
19	390	−26.0	73	7570
20	**368**	**−28.6**	**70**	**8000**
21	342	−31.0	70	8520
	319	**−34.1**	**70**	**9000**
22	317	−34.4	70	9040
	300	**−37.3**	**67**	**9420**
23	293	−38.5	66	9580
	276	**−41.3**	—	**10000**
24	270	−42.2	—	10140
25	249	−46.6	—	10690
	237	**−48.1**	—	**11000**
26	231	−49.0	—	11200
27	212	−46.1	—	11750
	204	**−46.5**	—	**12000**
	200	**−46.8**	—	**12130**
28	197	−47.0	—	12250

30. VII. 1953 14.30 h HEC

	1000	—	—	**140**
0	959.2	18.0	55	493
1	926	14.0	59	790
	904	**12.6**	**65**	**1000**
2	893	12.0	70	1100
3	858	8.2	80	1430
	850	**7.7**	**81**	**1510**
4	821	5.2	83	1790
	801	**4.3**	**83**	**2000**
5	789	3.6	83	2120
6	755	0.8	85	2470
7	719	−1.1	87	2870
	708	**−1.6**	**87**	**3000**
	700	**−1.9**	**87**	**3080**
8	692	−2.4	87	3180
9	662	−4.9	85	3520
10	634	−5.4	83	3860
	623	**−5.9**	**80**	**4000**
11	602	−7.1	76	4270
12	569	−10.4	71	4720
	548	**−11.4**	**65**	**5000**
13	536	−12.2	61	5170
	500	**−15.1**	**50**	**5700**
14	496	−15.5	47	5770
	480	**−17.3**	**46**	**6000**
15	468	−18.8	45	6200
16	441	−23.0	30	6630
	419	**−25.4**	**26**	**7000**
17	414	−26.1	25	7090
	400	**−28.1**	**22**	**7340**
18	389	−29.9	20	7540
19	368	−33.7	18	7940
	364	**−34.3**	**18**	**8000**
20	346	−37.3	18	8360
21	323	−40.9	—	8830
	315	**−42.3**	—	**9000**
22	**300**	**−44.9**		**9330**
	283	−48.1	—	9720
23	**271**	**−47.1**	—	**10000**
24	249	−46.4	—	10570
	233	**−46.7**	—	**11000**
25	226	−46.9	—	11210
26	211	−44.1	—	11670
	201	**−42.8**	—	**12000**
	200	**−42.6**	—	**12020**
27	196	−42.3	—	12170

31. VII. 1953 14.35 h HEC

	1000	—	—	**140**
0	959.5	19.9	45	493
1	926	14.9	67	790
	904	**12.3**	—	**1000**
2	885	9.9	100	1180
	850	**6.8**	**100**	**1520**
3	845	6.4	100	1560
4	806	5.2	50	1950
	801	**5.0**	—	**2000**
5	769	3.8	82	2330
6	737	1.9	100	2680
	708	**0.2**	—	**3000**
7	**700**	**−0.2**	**100**	**3090**
8	661	−2.0	100	3550
9	**624**	**−3.3**	**75**	**4000**
10	590	−5.2	100	4450
11	557	−7.8	100	4900
	550	**−8.2**	**100**	**5000**
12	526	−9.7	100	5350
13	**500**	**−11.9**	**100**	**5730**
	483	**−13.3**	—	**6000**
14	475	−14.2	100	6120
15	448	−18.1	100	6570
16	**422**	**−20.5**	**100**	**7000**
	400	**−23.2**	**75**	**7400**
17	398	−23.6	72	7450
18	375	−26.7	79	7870
	369	**−27.5**	**84**	**8000**
19	351	−30.7	98	8350
20	328	−33.6	92	8850
	320	**−35.2**	**89**	**9000**
21	306	−38.4	82	9310
	300	**−39.0**	—	**9440**
22	283	−41.7	—	9850
	276	**−42.7**	—	**10000**
23	258	−46.0	—	10460
	238	**−49.2**	—	**11000**
24	236	−49.5	—	11050

1. VIII. 1953 14.00 h HEC

	1000	—	—	**140**
0	959.8	21.0	45	493
1	922	16.7	58	840
	905	**15.1**	**60**	**1000**
2	889	13.3	61	1150
3	859	11.4	64	1440
	850	**10.7**	**65**	**1530**
4	827	8.9	68	1750
	803	**6.6**	**67**	**2000**
5	793	5.7	67	2090
6	763	3.6	62	2420
7	734	2.0	49	2730
	710	**1.4**	**37**	**3000**
8	704	1.5	34	3080
	700	**1.3**	**32**	**3110**
9	671	0.2	26	3440
10	638	1.5	22	3850
	626	**−2.3**	**21**	**4000**
11	612	−3.2	20	4180
12	587	−5.2	21	4510
13	558	−7.7	34	4900
	551	**−8.2**	**34**	**5000**
14	531	−10.3	35	5290
15	**500**	**−12.2**	**32**	**5750**
	484	**−13.9**	**30**	**6000**
16	475	−15.0	28	6150
17	448	−17.2	26	6580
18	**422**	**−20.0**	**43**	**7003**
	400	**−23.1**	**56**	**7420**
19	394	−24.2	60	7520
20	**369**	**−28.1**	**64**	**8003**
21	344	−32.2	64	8500
22	**321**	**−35.7**	**64**	**9000**
	300	**−39.5**	**63**	**9450**
23	297	−40.0	68	9520
24	280	−44.4	—	9930
	277	**−44.8**	—	**10000**
25	258	−48.7	—	10470
26	239	−51.0	—	10970
	238	**−51.1**	—	**11000**
27	222	−53.6	—	11450
28	205	−54.9	—	11960
	204	**−55.0**	—	**12000**
	200	**−55.2**	—	**12110**
29	187	−56.1	—	12540
30	174	**−56.7**	—	**13000**

2. VIII. 1953 14.05 h HEC

	1000	—	—	**130**
0	959.0	19.9	54	493
1	913	16.1	87	910
	904	**15.4**	**89**	**1000**
2	871	12.4	93	1310
	850	**10.6**	**95**	**1520**
3	838	9.4	98	1640
	802	**7.4**	**99**	**2000**
4	797	7.1	100	2050
5	755	3.9	97	2500
6	**712**	**0.0**	**91**	**3000**
	700	**−0.7**	**89**	**3110**
7	677	−2.1	85	3370
8	644	−3.5	60	3770
	626	**−4.1**	**33**	**4000**
9	614	−4.9	15	4150
10	587	−6.1	15	4500
11	560	−8.5	37	4870
	551	**−9.2**	**40**	**5000**
12	535	−10.7	47	5220
13	513	−13.6	57	5550
	500	**−14.6**	**61**	**5730**
14	490	−15.6	71	5900
	483	**−16.3**	**72**	**6000**
15	468	−18.3	73	6240
16	444	−18.3	73	6630
	422	**−19.8**	**71**	**7000**
17	420	−20.0	71	7040
	400	**−21.5**	**71**	**7400**
18	394	−22.1	71	7520
19	**369**	**−25.7**	**72**	**8000**
20	342	−30.1	72	8540
	320	**−34.5**	**72**	**9000**
21	316	−35.3	72	9100
	300	**−37.8**	**72**	**9450**
22	289	−39.6	72	9720
	277	**−42.0**	—	**10000**
23	268	−43.9	—	10220
24	249	−48.1	—	10720
	238	**−50.9**	—	**11000**
25	231	−53.1	—	11210
26	210	−55.0	—	11820
	204	**−55.0**	—	**12030**
	200	**−54.4**	—	**12120**
27	192	−54.9	—	12330
28	175	−53.0	—	12980

3. VIII. 1953 14.50 h HEC

	1000	—	—	**180**
0	961.2	17.0	55	493
1	922	12.5	66	830
	904	**11.0**	**68**	**1000**
2	890	10.2	70	1130
3	860	7.3	74	1410
	850	**6.7**	**76**	**1520**
4	834	5.0	80	1670
5	**802**	**2.6**	**92**	**2000**
6	774	0.2	100	2270
7	746	−1.6	100	2570
8	712	−3.6	100	2940
	706	**−3.7**	**100**	**3000**
	700	**−4.1**	**100**	**3080**
9	680	−5.0	100	3300
10	650	−6.0	86	3650
11	**620**	**−8.0**	**50**	**4000**
12	590	−9.0	30	4400
13	560	−11.0	30	4810
	546	**−12.0**	**32**	**5000**
14	532	−13.0	33	5200
15	508	−15.0	70	5560
	500	**−15.8**	**74**	**5680**
16	**480**	**−18.0**	**80**	**6000**
17	452	−21.0	80	6430
18	430	−25.0	68	6800
	418	**−26.8**	**59**	**7000**
19	**400**	**−29.0**	**42**	**7300**

4. VIII. 1953 14.30 h HEC

	1000	—	—	**220**
0	967.6	19.0	36	493
1	939	14.8	36	750
	913	**12.7**	**40**	**1000**
2	902	11.9	42	1090
3	867	8.9	49	1420
	850	**7.6**	**50**	**1590**
4	827	6.0	50	1810
	808	**3.6**	**52**	**2000**
5	791	2.0	54	2160
6	760	−0.2	36	2490
7	732	0.8	15	2790
	713	**0.8**	**15**	**3000**
8	**700**	**0.8**	**15**	**3150**
9	673	−0.4	15	3470
10	640	−3.0	15	3860
	628	**−3.3**	**15**	**4000**
11	612	−3.8	15	4220
12	583	−6.3	15	4590
13	557	−7.7	15	4950
	553	**−8.9**	**15**	**5000**
14	530	−9.2	15	5330
15	505	−11.2	15	5710
	500	**−11.7**	**15**	**5780**
	486	**−13.2**	**15**	**6000**
16	479	−13.9	15	6120
17	453	−16.5	15	6540
18	**427**	**−19.0**	**15**	**7000**
19	404	−22.7	15	7390
	400	**−23.3**	**15**	**7460**
20	381	−26.0	15	7810
	371	**−27.5**	**15**	**8000**
21	360	−29.0	15	8230
22	340	−32.0	15	8630
	322	**−35.3**	**15**	**9000**
23	316	−36.4	15	9140
	300	**−39.7**	**15**	**9500**
24	295	−40.7	—	9670
	278	**−43.8**	—	**10000**
25	270	−45.4	—	10230
26	249	−49.6	—	10740
	239	**−51.8**	—	**11000**
27	227	−54.7	—	11330
28	**204**	**−56.3**	—	**12000**
	200	**−55.8**	—	**12160**
29	180	−52.9	—	12880

5. VIII. 1953 14.35 h HEC

	1000	—	—	**20**
0	968.8	22.5	40	49

Min.	PPP	TTT	UU	H m. geop.
1	942	19,0	60	730
	914	**17.4**	**66**	**1000**
2	900	16.4	68	1110
3	862	12.8	70	1480
	850	**12.6**	**68**	**1600**
4	826	11.4	60	1830
	809	**10.3**	**59**	**2000**
5	790	9.0	58	2220
6	760	6.8	68	2530
7	732	5.0	64	2840
	717	**4.3**	**63**	**3000**
8	**700**	**3.2**	**62**	**3200**
9	668	1.8	60	3580
0	636	0,4	40	3970
	635	**0.3**	**38**	**4000**
1	602	-1.0	30	4400
2	580	-2.0	40	4710
3	**556**	**-4.0**	**35**	**5000**
4	530	-6.0	30	5430
5	508	-9.0	32	5760
	500	**-9.8**	**40**	**5880**
	492	**-11.0**	**45**	**6000**
6	486	-12.0	50	6100
7	464	-14.0	50	6450
8	440	-16.2	50	6840
	432	**-17.6**	**50**	**7000**
9	420	-19,6	50	7200
20	**400**	**-24.0**	**50**	**7560**
	377	**-25.8**	**50**	**8000**
21	372	-26.2	50	8080
22	350	-29.0	45	8530
23	332	-32.4	40	8900
	327	**-33.4**	**39**	**9000**
24	314	-37.0	38	9300
	300	**-39.5**	**38**	**9600**
25	294	-40.6	—	9740
	283	**-42.5**	—	**10000**
26	274	-44.0	—	10200
27	256	-48.0	—	10660
	243	**-50.6**	—	**11000**
28	238	-51.8	—	11160
29	224	-56.0	—	11540
30	210	-60.0	—	11950
	208	**-60.0**	—	**12000**
	200	**-59.5**	—	**12270**
31	192	-59.0	—	12500

6. VIII. 1953 14.40 h HEC

	1000	—	—	**210**
0	966.6	22.0	45	493
1	926	17.0	45	840
	911	**15.8**	—	**1000**
2	884	13.8	48	1250
	850	**11.3**	**48**	**1590**
3	845	11.0	48	1620
4	**808**	**9.2**	**50**	**2000**
5	772	6.6	50	2380
6	740	4.4	52	2730
	716	**2.8**	**53**	**3000**
7	710	2.6	54	3050
	700	**3.2**	**52**	**3170**
8	675	4.0	50	3460
9	638	2.4	48	3920
	633	**2.1**	**40**	**4000**
10	608	1.0	30	4300
11	578	-1.4	30	4720
	559	**-3.3**	**33**	**5000**
12	550	-4.0	35	5100
13	528	-6.6	35	5430
14	**500**	**-9.4**	**40**	**5850**
	491	**-10.3**	**43**	**6000**
15	476	-12.0	45	6230
16	450	-15.0	40	6660
	430	**-17.8**	**33**	**7000**
17	420	-19.4	30	7170
18	**400**	**-21.2**	**20**	**7540**
19	**376**	**-25.0**	**10**	**8000**
20	354	-29.8	10	8420
21	328	-34.5	10	8960
	327	**-35.0**	**10**	**9000**
22	**300**	**-36.2**	**10**	**9580**
	282	**-41.0**	—	**10000**

Min.	PPP	TTT	UU	H m. geop.
23	276	-42.0	—	10150
24	256	-46.0	—	10650
	243	**-48.4**	—	**11000**
25	236	-50.0	—	11200
26	214	-54.6	—	11820
	209	**-56.0**	—	**12000**
27	**200**	**-58.0**	—	**12260**
28	180	-60.2	—	12920

7. VIII. 1953 14.35 h HEC

	1000	—	—	**140**
0	959.3	21.0	45	493
1	922	18.0	54	820
	904	**15.3**	**58**	**1000**
2	888	13.5	62	1140
3	**850**	**9.6**	**68**	**1500**
4	816	7.6	68	1850
	803	**8.0**	**60**	**2000**
5	780	8.2	50	2220
6	750	7.0	30	2550
7	720	6.0	30	2880
	710	**4.9**	**30**	**3000**
	700	**4.0**	**30**	**3100**
9	652	1.8	35	3670
10	**626**	**1.0**	**30**	**4000**
11	590	-1.2	25	4470
12	570	-3.3	25	4750
	553	**-5.0**	**22**	**5000**
13	540	-6.0	20	5170
14	510	-9.0	20	5620
	500	**-10.5**	**20**	**5800**
15	**484**	**-13.0**	**20**	**6000**
16	458	-15.8	20	6450
17	430	-17.6	20	6960
	426	**-18.5**	**20**	**7000**
18	**400**	**-21.0**	**20**	**7450**
19	378	-24.0	20	7860
	372	**-25.0**	**20**	**8000**
20	354	-27.8	20	8340
21	330	-31.0	20	8840
	323	**-32.0**	—	**9000**
22	**300**	**-34.8**	**20**	**9500**
23	282	-38.8	20	9930
	280	**-39.0**	**20**	**10000**
24	262	-42.0	—	10440
25	242	-45.8	—	10980
	241	**-46.2**	—	**11000**
26	222	-49.0	—	11550
	208	**-51.0**	—	**12000**
27	204	-51.2	—	12100
	200	**-51.6**	—	**12240**
28	186	-53.2	—	12700
	178	**-54.0**	—	**13000**
29	170	-54.2	—	13270
30	160	-54.2	—	13650

8. VIII. 1953 14.00 h HEC

	1000	—	—	**150**
0	960	20.5	50	493
1	918	16.0	58	870
	904	**15.2**	**59**	**1000**
2	886	14.0	60	1160
3	**850**	**11.0**	**52**	**1520**
4	818	13.0	44	1840
	804	**11.6**	**44**	**2000**
5	786	10.0	44	2170
6	750	7.0	36	2570
7	720	6.0	30	2900
	716	**5.4**	**28**	**3000**
	700	**4.4**	**26**	**3130**
8	686	3.6	25	3300
9	656	1.2	30	3650
10	**626**	**-1.2**	**30**	**4000**
11	**600**	**-4.0**	**25**	**4370**
12	574	-6.0	25	4720
13	**552**	**-8.8**	**25**	**5000**
14	523	-13.0	25	5430
15	**500**	**-16.4**	**25**	**5770**
	485	**-18.4**	**25**	**6000**
16	470	-20.0	25	6230
17	442	-22.0	25	6690
	423	**-23.5**	**25**	**7000**

Min.	PPP	TTT	UU	H m. geop.
18	420	-23.8	25	7060
	400	**-26.9**	**25**	**7420**
19	390	-23.8	25	7600
	368	**-31.6**	**25**	**8000**
20	362	-33.0	25	8130
21	338	-37.0	25	8600
	319	**-39.4**	**25**	**9000**
22	312	-41.0	—	9150
	300	**-42.6**	—	**9420**
23	290	-41.6	—	9640
	275	**-48.6**	—	**10000**
24	270	-50.0	—	10125
25	250	-53.0	—	10620
	236	**-53.5**		**11000**
26	230	-54.0	—	11150
27	218	-52.0	—	11560
	202	**-50.2**		**12000**
28	**200**	**-50.0**		**12050**
29	190	-52.0	—	12400

9. VIII. 1953 14.05 h HEC

	1000		—	**150**
0	959.3	20.0	55	493
1	930	17.0	30	750
2	**900**	**16.0**	**20**	**1000**
3	858	11.0	20	1420
	850	**13.6**	**25**	**1520**
1	818	12.0	31	1830
	802	**11.1**	**44**	**2000**
5	776	9.6	54	2270
6	738	7.0	60	2670
	711	**4.9**	**60**	**3000**
7	**700**	**4.0**	**60**	**3120**
8	678	2.0	60	3370
9	650	-1.0	62	3700
	628	**-2.3**	**61**	**4000**
10	620	-2.8	60	4100
11	590	-6.8	62	4480
12	560	-9.0	64	4880
	552	**-9.5**	**63**	**5000**
13	532	-11.0	68	5280
14	501	-13.0	84	5700
	500	**-13.4**	**82**	**5760**
15	**486**	**-15.0**	**89**	**6000**
16	460	17.1	70	6400
17	432	20.0	70	6850
	421	**-21.2**	**70**	**7030**
18	410	-23.0	70	7240
	400	**-21.0**	**70**	**7430**
19	384	-26.0	70	7720
	370	**-28.8**	**70**	**8000**
20	362	30.0	70	8140
21	344	-33.1	60	8500
22	322	-36.0	58	8940
	320	**-36.1**	**57**	**9000**
	300	**-38.5**	**57**	**9470**
23	280	41.0	—	9920
	277	**-41.3**		**10000**
24	260	-43.0		10420
25	**238**	**-45.0**		**11000**
26	220	-48.0	—	11540
	205	**-49.7**		**12000**
27	200	**-50.0**		**12150**

10. VIII. 1953 14.50 h HEC

	1000		—	**160**
0	962.1	24.0	50	493
1	920	22.8	58	880
	908	**22.6**	**51**	**1000**
2	882	21.0	44	1260
3	**850**	**18.2**	**48**	**1570**
	808	**15.8**	**45**	**2000**
4	804	15.4	44	2040
5	766	11.6	44	2450
6	732	10.0	38	2840
	717	**9.2**	**37**	**3000**
	700	**7.9**	**35**	**3200**
7	690	7.0	36	3320
8	658	3.8	44	3710
	634	**2.0**	**32**	**4000**
9	624	1.0	30	4140

Min.	PPP	TTT	UU	H m. geop.
10	588	-1.2	28	4620
	560	**-2.4**	**27**	**5030**
11	550	-3.0	26	5150
12	516	-4.4	24	5650
	500	**-4.9**	**22**	**5890**
	493	**-5.0**	**21**	**6060**
13	488	-5.2	20	6090
14	462	-7.4	20	6520
15	**432**	**-11.2**	**20**	**7000**
16	408	-16.0	20	7470
	400	**-17.1**	**20**	**7610**
	380	**-20.2**	**20**	**8000**
17	378	-20.6	20	8040
18	352	-23.6	20	8560
	331	**-26.2**	**21**	**9000**
19	322	-27.8	22	9210
	309	**-30.8**	**23**	**9710**
20	294	-31.8	24	9860
	288	**-32.5**	**24**	**10000**
21	266	-35.8	24	10560
	249	**-38.2**	**24**	**11000**
22	240	-39.8	24	11270
23	218	-45.0	24	11920
	215	**-45.4**	**24**	**12000**
24	**200**	**-49.4**	**24**	**12500**
	185	**-51.1**	**24**	**13000**
25	171	-52.8	24	13400

11. VIII. 1953 14.55 h HEC

	1000		—	**170**
0	964.1	26.5	30	493
1	930	23.8	34	810
	910	**21.8**	**35**	**1030**
2	894	20.0	36	1150
3	868	18.2	10	1400
	850	**16.8**	**14**	**1590**
1	834	15.8	18	1740
	808	**13.5**	**17**	**2000**
5	800	12.8	16	2080
6	768	9.4	18	2430
7	731	7.2	22	2810
	716	**6.2**	**16**	**3000**
8	**700**	**4.8**	**10**	**3190**
9	668	2.8	10	3570
10	**634**	**1.0**	**10**	**4000**
11	602	0.0	10	4420
12	572	3.0	12	4820
	558	**-4.3**	**32**	**5000**
13	541	-5.8	22	5210
14	511	-8.2	26	5650
	500	**-8.9**	**21**	**5870**
	491	**-9.3**	**16**	**6000**
15	480	-9.8	16	6170
16	450	-13.2	16	6680
	431	**-16.0**	**23**	**7000**
17	422	17.2	30	7150
18	**400**	**-20.8**	**31**	**7560**
	377	**-23.6**	**32**	**8000**
19	372	-24.4	30	8090
20	348	-27.4	30	8580
21	**328**	**-30.8**	**30**	**9000**
22	308	-34.8	32	9440
	300	**-35.9**	**32**	**9620**
23	286	-38.0	32	9960
	284	**-38.3**	**32**	**10000**
24	266	-42.2	—	10450
25	248	-45.8	—	10910
	245	**-46.3**	—	**11000**
26	228	-49.8	—	11480
	210	**-52.2**	—	**12000**
27	208	-51.6	—	12080
	200	**-51.6**		**12340**

12. VIII. 1953 14.50 h HEC

	1000		—	**140**
0	963.0	27.0	40	493
1	920	23.2	46	890
	907	**22.1**	**13**	**1000**
2	882	19.4	10	1250
3	**850**	**17.8**	**36**	**1570**
4	810	14.4	12	2000
5	772	11.2	10	2280

Min	PPP	TTT	UU	H m. geop.
6	712	8.0	38	2710
	715	**5.2**	**39**	**3000**
7	710	1.2	40	3070
	700	**3.5**	**46**	**3180**
8	676	1.4	52	3460
9	**634**	**0.0**	**26**	**4000**
10	**600**	**–1.8**	**12**	**4420**
11	568	–2.6	10	4870
	558	**–2.8**	**10**	**5000**
12	540	3.4	10	5250
13	512	5.6	10	5680
	500	**–7.7**	**10**	**5860**
	491	**–9.2**	**10**	**6000**
14	486	–10.0	10	6090
15	460	–12.8	10	6500
16	436	–16.0	10	6910
	131	**–16.5**	**10**	**7300**
17	408	–19.6	10	7410
	400	**–20.8**	**10**	**7550**
18	384	–23.2	10	7850
	376	**–24.9**	**10**	**8000**
19	360	–28.0	10	8320
20	334	–32.8	10	8860
	327	**–35.2**	**10**	**9000**
21	312	–38.0	10	9320
	300	**–39.9**	–	**9590**
22	288	–41.8	–	9880
	282	**–12.8**		**10000**
23	264	–46.0	–	10450
	243	**–49.0**	–	**11000**
24	238	–49.8	–	11140
25	214	–53.6	–	11820
	209	**–54.2**	–	**12000**
	200	**–55.3**		**12270**
26	188	–57.0	–	12670

13. VIII. 1953 14.45 h HEC

	1000	–	–	**140**
0	962.9	29.0	40	493
1	934	24.0	46	740
	907	**22.0**	**49**	**1000**
2	900	21.8	52	1070
3	870	19.8	56	1350
	850	**19.0**	**45**	**1550**
4	834	17.8	34	1720
	808	**15.4**	**37**	**2000**
5	800	14.6	40	2090
6	764	12.2	40	2470
7	730	9.0	40	2850
	716	**7.7**	**41**	**3000**
8	**700**	**6.8**	**42**	**3190**
9	670	4.0	68	3550
10	640	1.2	68	3920
	633	**0.7**	**68**	**4000**
11	608	–1.4	68	4330
12	574	–4.0	50	4800
	559	**–5.0**	**50**	**5000**
13	546	–5.8	50	5190
14	518	–7.8	34	5590
	500	**–9.2**	**35**	**5870**
15	**492**	**–10.2**	**36**	**6000**
16	468	–12.8	38	6380
17	444	–15.6	26	6780
	430	**–16.9**		**7000**
18	418	–18.2	16	7220
	400	**–19.5**	**17**	**7560**
19	394	–20.0	18	7670
	376	**–22.3**	**18**	**8000**
20	372	–23.0	18	8090
21	350	–27.2	16	8540
	328	**–30.9**	**18**	**9000**
22	326	–31.4	18	9050
23	**300**	**–36.0**	**20**	**9620**
	284	**–38.7**	**20**	**10300**
24	282	–39.2	20	10060
25	262	–42.6	–	10550
26	**244**	**–44.6**	–	**11000**
27	226	–47.0	–	11550
	211	**–49.1**	–	**12000**
28	208	–49.2	–	12090
	200	**–50.8**	–	**12350**
29	192	–51.8	–	12600

14. VIII. 1953 14.45 h HEC

	1000	—	—	**130**
0	960.8	26.0	55	493
1	930	22.0	60	760
	908	**20.9**	**61**	**1000**
2	890	20.4	62	1140
3	**850**	**18.6**	**10**	**1550**
4	**806**	**16.0**	**10**	**2000**
5	768	13.4	28	2400
6	730	11.2	32	2820
	716	**9.2**	**37**	**3000**
7	**700**	**7.6**	**42**	**3180**
8	664	4.2	50	3600
	633	**0.8**	**54**	**4000**
9	628	0.6	58	4060
10	**600**	**–2.4**	**62**	**4420**
11	568	–6.0	50	4860
	558	**–7.4**	**46**	**5000**
12	540	–9.4	42	5240
13	510	–12.8	46	5680
	500	**–13.8**	**59**	**5850**
	490	**–14.5**	**79**	**6060**
14	472	–15.6	72	6270
15	454	–18.6	86	6560
16	434	–20.6	82	6890
	428	**–21.6**	**83**	**7000**
17	418	–22.2	84	7160
18	**400**	**–25.8**	**84**	**7480**
19	380	–28.4	84	7850
	373	**–29.8**	**84**	**8000**
20	362	–31.0	84	8200
21	344	–33.2	84	8560
22	328	–35.8	84	8890
	323	**–36.7**	**84**	**9000**
23	308	–37.8	84	9340
	300	**–39.0**	**84**	**9530**
24	288	–40.2	—	9790
	280	**–41.8**	—	**10000**
25	270	–43.2	—	10230
26	254	–46.6	—	10640
27	**240**	**–49.4**	—	**11000**
28	230	–53.6	—	11290
29	214	–53.6	—	11750
	206	**–52.8**	—	**12000**
30	**200**	**–51.8**	—	**12180**

15. VIII. 1953 14.10 h HEC

	1000	—	—	**120**
0	958.7	24.0	60	493
1	912	22.0	64	930
	904	**21.6**	**64**	**1000**
2	872	19.8	64	1310
	850	**18.0**	**67**	**1540**
3	832	16.4	70	1720
	806	**14.6**	**61**	**2000**
4	**800**	**14.4**	**60**	**2060**
5	760	12.8	50	2500
6	732	9.4	50	2800
	714	**8.0**	**53**	**3000**
7	**700**	**6.8**	**56**	**3170**
8	672	4.2	60	3560
9	640	0.2	66	3890
	632	**–0.5**	**63**	**4000**
10	608	–2.4	60	4310
11	576	–3.4	52	4740
	557	**–6.1**	**54**	**5000**
12	548	–7.4	56	5130
13	514	–11.4	56	5620
	500	**–13.4**	**56**	**5850**
14	**488**	**–14.8**	**56**	**6000**
15	460	–17.2	56	6460
16	434	–19.2	60	6090
	428	**–19.8**	—	**7000**
17	406	–22.2	66	7390
	400	**–22.5**	**66**	**7500**
18	388	–23.4	68	7720
	374	**–25.2**	**70**	**8000**
19	370	–26.8	70	8060
20	352	–29.8	70	8420
21	336	–32.8	70	8760
	325	**–34.2**	—	**9000**
22	318	–35.2	68	9140
23	**300**	**–36.8**	**66**	**9540**
24	288	–39.8	64	9820
	281	**–41.2**	—	**10000**
25	270	–43.2	–	10260
26	254	–44.8	–	10680
	242	**–47.1**	–	**11000**
27	240	–47.6	–	11060
28	226	–51.2	–	11750
	208	**–52.5**	—	**12000**
29	**200**	**–53.8**	—	**12240**
30	192	–55.8	—	12510

16. VIII. 1953 14.10 h HEC

	1000	–	–	**150**
0	962.5	22.0	65	493
1	922	18.4	66	870
	907	**18.0**	**68**	**1000**
2	886	15.6	70	1200
	850	**12.9**	**71**	**1550**
3	844	12.4	72	1620
4	810	10.8	76	1960
	806	**10.7**	**78**	**2000**
5	776	8.2	80	2320
6	740	5.8	80	2720
	714	**4.6**	**80**	**3000**
7	**700**	**3.0**	**80**	**3170**
8	670	1.2	82	3540
9	636	0.0	74	3950
	631	**–0.1**	**69**	**4000**
10	604	–2.4	64	4370
11	578	–5.4	44	4710
	556	**–6.5**	**33**	**5000**
12	546	–7.4	22	5150
13	516	–8.8	50	5600
	500	**–9.9**	**43**	**5830**
14	**492**	**–10.8**	**36**	**6000**
15	466	–11.0	22	6220
16	438	16.4	24	6850
	429	**–17.5**	**22**	**7000**
17	410	–20.6	20	7350
	400	**–21.7**	**15**	**7120**
18	388	–23.8	10	7760
	375	**–25.7**	**10**	**8000**
19	358	–28.5	10	8310
20	334	–33.0	34	8830
	325	**–34.5**	**40**	**9000**
21	310	38.0	16	9360
	300	**–39.0**	**46**	**9570**
22	**280**	**–42.4**	–	**10000**
23	258	46.0	–	10500
	242	**–49.9**	–	**11000**
24	238	–51.6		11130
25	220	–54.0		11650
26	210	–56.0	–	11950
	208	**–55.5**		**12000**
	200	**–55.0**		**12230**
27	196	54.8		12380

17. VIII. 1953 14.10 h HEC

	1000	–	–	**170**
0	963.4	21.1	40	493
1	924	17.0	57	860
	909	**15.6**	**56**	**1000**
2	888	13.7	55	1190
3	**850**	**10.7**	**55**	**1560**
4	817	7.8	62	1890
	806	**7.2**	**62**	**2000**
5	777	5.4	63	2360
6	740	4.6	87	2700
7	**712**	**3.1**	**29**	**3000**
	700	**2.6**	**29**	**3150**
8	683	1.7	30	3350
9	655	0.2	30	3680
	630	**–2.1**	**31**	**4000**
10	624	–2.7	31	4030
11	597	–5.8	34	4410
12	570	–8.9	35	4770
	554	**–10.0**	**34**	**5000**
13	545	10.7	33	5120
14	520	–11.8	31	5490
	500	**–13.7**	**30**	**5780**
15	494	–14.2	30	5870
	486	**–15.0**	**31**	**6000**
16	468	–17.0	33	6280
17	439	–19.8	37	6760
	425	**–21.6**	**39**	**7000**
18	412	–23.5	40	7220
	400	**–25.1**	**40**	**7450**
19	383	–27.8	40	7750
	371	**–29.5**	**40**	**8000**
20	357	–31.5	41	8260
21	335	–34.9	41	8700
	322	**–37.2**		**9000**
22	315	–38.4	39	9130
	300	**–41.2**		**9470**
23	294	–42.5		9600
	278	**–45.1**	—	**10000**
24	276	–45.5		10030
25	259	–50.0	–	10450
26	243	–53.0	—	10850
	239	**–54.3**	–	**11000**
27	227	–57.5		11290
28	210	–61.2		11790
	203	**–61.1**	–	**12000**
	200	**–61.1**	–	**12090**
29	197	–61.0	–	12190
30	184	–58.4	—	12610

18. VIII. 1953 14.45 h HEC

	1000	—	—	**150**
0	962.0	23.4	45	493
1	920	18.1	56	870
	907	**16.9**	**62**	**1000**
2	882	14.5	76	1240
	850	**12.0**	**82**	**1550**
3	846	11.6	84	1590
4	**807**	**7.5**	**87**	**2000**
5	768	5.0	90	2380
6	731	2.2	100	2790
	720	1.6	45	2920
	713	**1.9**	**21**	**3000**
7	**700**	**2.1**	**20**	**3140**
8	665	0.7	22	3560
9	**629**	**–3.9**	**20**	**4000**
10	599	–5.0	19	4380
11	567	–7.6	26	4820
	553	**–9.0**	**25**	**5000**
12	536	–10.9	24	5200
13	**500**	**–13.6**	**25**	**5790**
	485	**–14.9**	**25**	**6000**
14	471	–16.2	25	6240
15	440	–19.5	29	6750
	425	**–21.3**	**34**	**7000**
16	407	–23.3	39	7320
	400	**–24.3**	**40**	**7440**
17	378	–26.9	42	7850
	370	**–27.9**	**39**	**8000**
18	349	–31.3	32	8420
19	327	–35.1	27	8880
	322	**–35.9**	**27**	**9000**
20	304	–39.0	26	9390
	300	**–39.5**	**26**	**9480**
21	282	–42.6	—	9900
	278	**–43.2**	–	**10000**
22	257	–46.8	–	10520
	239	**–49.3**	–	**11000**
23	235	–50.0	–	11110
24	216	–53.9	–	11660
	205	**–54.8**	–	**12000**
	200	**–55.1**	–	**12150**
25	197	–55.3	–	12230
26	181	–56.9	–	12780
	175	**–55.3**	–	**13000**
	173	–54.9	–	13080

19. VIII. 1953 14.30 h HEC

	1000	—	—	**10**
0	964.7	23.9	35	49
1	927	20.5	42	8
	910	**19.4**	**42**	**10**
2	897	18.7	42	11
3	865	16.7	44	14
	850	**15.5**	**43**	**15**

in.	PPP	TTT	UU	H m. geop.
4	830	14.1	42	1780
	808	**12.2**	**35**	**2000**
5	798	11.5	35	2110
6	767	10.4	22	2440
7	739	8.2	20	2750
	717	**7.6**	**19**	**3000**
8	709	7.3	18	3090
	700	**6.4**	**19**	**3200**
9	678	4.8	22	3460
0	647	3.1	21	3840
	634	**2.8**	**18**	**4000**
1	617	2.2	15	4230
2	586	0.6	15	4640
3	**559**	**–1.5**	**17**	**5000**
4	533	–3.7	24	5400
5	512	–4.9	27	5710
	500	**–5.7**	**25**	**5900**
	493	**–6.1**	**23**	**6030**
6	486	–6.7	22	6130
7	463	–9.7	23	6500
8	443	–11.9	27	6840
	433	**–13.0**	**28**	**7000**
9	417	–15.0	30	7290
	400	**–16.7**	**33**	**7610**
0	393	–17.7	35	7740
	380	**–19.1**	**36**	**8000**
1	369	–20.2	38	8210
2	347	–23.2	38	8770
	331	**–25.8**	**38**	**9000**
3	327	–26.9	38	9100
4	306	–31.2	38	9570
	300	**–32.3**	**38**	**9710**
	287	**–35.0**	**38**	**10000**
5	285	–35.4	38	10070
6	264	–39.1	38	10590
	249	**–42.6**	–	**11000**
7	243	–43.7	–	11160
8	222	–48.5	–	11760
	214	**–50.2**	–	**12000**
9	207	–51.9	–	12230
	200	**–53.8**	–	**12440**
0	192	–56.0	–	12700

20. VIII. 1953 14.45 h HEC

	1000	—	—	**150**
0	959.5	25.0	35	193
1	910	21.9	36	960
	905	**21.5**	**38**	**1000**
2	864	17.7	42	1400
	850	**16.4**	**42**	**1550**
3	826	14.8	42	1800
	805	**13.0**	**43**	**2000**
4	788	11.1	44	2180
5	748	7.0	50	2610
6	717	3.8	40	2970
	713	**3.6**	**41**	**3000**
	700	**3.2**	**42**	**3150**
7	682	2.6	44	3370
8	647	0.2	36	3780
	630	**–1.1**	**34**	**4000**
9	609	2.2	31	4270
10	578	–4.6	33	4690
	555	**–7.5**	**30**	**5000**
11	552	–7.7	29	5050
12	526	10.0	28	5420
	500	**–12.2**	**38**	**5810**
13	495	12.6	43	5930
	487	**–13.3**	**41**	**6000**
14	466	14.7	38	6360
15	438	–18.2	15	6810
	427	**–19.5**	**15**	**7000**
16	411	21.4	15	7280
	400	**–22.5**	**15**	**7480**
17	384	24.2	15	7780
	373	**–25.8**	**15**	**8000**
18	360	27.7	15	8250
19	334	31.3	20	8860
	324	**–32.7**	**28**	**9030**
20	312	34.4	36	9260
	300	**–36.3**	**39**	**9540**
21	287	38.7	46	9850
	281	**–40.0**		**10000**

Min.	PPP	TTT	UU	H m. geop.
22	266	–43.8	—	10360
23	245	–49.1	—	10900
	242	**–49.9**	—	**11000**
24	225	–55.2	—	11470
	207	**–60.3**	—	**12000**
25	205	–60.7	—	12040
	200	**–61.9**	—	**12200**
26	186	–65.5	—	12650

21. VIII. 1953 14.40 h HEC

	1000	—	—	**070**
0	952.5	17.0	78	493
1	919	15.4	96	780
	897	**13.0**	**96**	**1000**
2	890	13.6	96	1060
3	860	10.7	96	1340
	850	**10.3**	**97**	**1450**
4	830	9.5	98	1640
5	799	7.5	100	1960
	796	**7.1**	**100**	**2000**
6	771	5.5	100	2250
7	739	4.1	100	2610
8	710	2.3	100	2940
	705	**1.8**	**100**	**3000**
	700	**1.5**	**100**	**3050**
9	685	0.3	100	3220
10	662	–0.9	100	3500
11	647	–2.1	100	3670
12	624	–3.1	100	3960
	621	**–3.3**	**100**	**4000**
13	603	–4.5	100	4240
14	581	–6.4	100	4520
15	558	–7.9	100	4840
	547	**–8.5**	**100**	**5000**
16	533	–9.5	100	5200
17	507	–10.9	97	5580
	500	**–11.6**	**97**	**5700**
18	488	–12.8	96	5880
	480	**–13.2**	**95**	**6000**
19	472	–13.9	98	6130
20	454	–17.0	89	6430
21	432	–19.3	88	6800
	421	**–20.6**	**87**	**7000**
22	415	–21.4	86	7100
	400	**–23.2**	**85**	**7370**
23	395	–23.8	85	7460
24	378	–26.6	82	7770
	367	**–27.3**	**81**	**8000**
25	361	–27.9	80	8110
26	345	–30.1	77	8440
27	329	–33.0	74	8770
	318	**–34.9**	**73**	**9000**
28	313	–35.9	73	9120
	300	**–38.3**	**72**	**9420**
29	296	–39.2	72	9500
30	279	–42.7	72	9920
	275	**–43.1**	—	**10000**
31	262	–45.0	—	10340
32	241	–47.9	—	10890
	237	**–48.9**	—	**11000**
33	226	–52.2	—	11320
34	213	–54.0	—	11690
	203	**–54.8**	—	**12000**
35	**200**	**–55.2**	—	**12110**
36	186	–55.5	—	12560
	174	**–55.3**	—	**13000**
37	170	–55.2	—	13150

22. VIII. 1953 14.00 h HEC

	1000	—	—	**120**
0	956.9	16.0	38	493
1	923	11.4	45	790
	901	**8.8**	**47**	**1000**
2	879	6.9	49	1190
	850	**4.6**	**50**	**1480**
3	835	3.4	50	1620
	797	**0.4**	**51**	**2000**
4	791	0.0	51	2060
5	759	–2.4	58	2370
6	717	–5.3	60	2830
	702	**–6.1**	**55**	**3000**
	700	**–6.2**	**53**	**3025**
7	680	–7.5	47	3250
8	644	–9.2	40	3680
	617	**–11.5**	**38**	**4000**
9	609	–12.2	37	4100
10	580	–15.9	37	4470
11	549	–19.9	41	4880
	541	**–20.6**	**42**	**5000**
12	516	–22.8	45	5330
	500	**–24.3**	**45**	**5570**
13	483	–25.8	45	5820
	471	**–27.1**	**45**	**6000**
14	452	–29.7	45	6300
15	424	–33.6	45	6740
	409	**–35.4**	**44**	**7000**
16	402	–36.0	43	7120
	400	**–36.3**	**42**	**7160**
17	370	–38.9	41	7690
	354	**–40.6**	—	**8000**
18	343	–41.9	—	8210
19	324	–43.9	—	8600
	305	**–42.0**	—	**9000**
20	302	–41.7	—	9070
	300	**–41.8**	—	**9120**
21	283	–41.7	—	9510
22	265	–42.2	—	9960
	264	**–42.2**	—	**10000**
23	247	–42.2	—	10440
24	230	–42.9	—	10920

23. VIII. 1953 14.00 h HEC

	1000	—	—	**190**
0	965.4	17.6	40	493
1	931	14.5	44	790
	910	**12.4**	**47**	**1000**
2	902	11.7	48	1050
3	861	9.0	52	1450
	850	**8.1**	**52**	**1570**
4	821	6.0	52	1850
	806	**5.5**	**45**	**2000**
5	786	4.4	40	2200
6	752	3.1	35	2560
7	718	1.3	34	2980
	713	**1.1**	**33**	**3030**
	700	**0.6**	**32**	**3150**
8	683	–0.3	31	3340
9	651	–1.5	27	3720
	629	**–2.2**	**25**	**4000**
10	615	–2.8	23	4170
11	583	–4.1	25	4590
	554	**–5.5**	**49**	**5000**
12	551	–5.7	52	5040
13	520	–7.5	55	5500
	500	**–9.0**	**53**	**5800**
14	493	–9.5	52	5910
	487	**–9.9**	**49**	**6000**
15	465	–11.7	43	6350
16	440	–15.2	38	6780
	428	**–16.8**	**36**	**7000**
17	413	–18.5	34	7250
	400	**–20.9**	**34**	**7500**
18	387	–23.3	35	7740
	373	**–25.4**	**35**	**8000**
19	360	–27.5	35	8270
20	333	–32.6	37	8810
	325	**–33.8**	**37**	**9000**
21	306	–36.3	37	9400
	300	**–37.4**	**37**	**9550**
22	**281**	**–40.3**	—	**10000**
23	255	–44.1	—	10660
	242	**–45.4**	—	**11000**
24	233	–46.5	—	11260
25	212	–48.6	—	11880
	208	**–48.8**	—	**12000**
	200	**–49.4**	—	**12270**
26	192	–49.9	—	12530
	179	**–51.6**	—	**13000**
27	175	–52.2	—	13140
28	157	–52.6	—	13850

24. VIII. 1953 15.00 h HEC

	1000	—	—	**170**
0	961.1	23.0	30	493
1	918	18.9	30	900
	907	**18.6**	**25**	**1000**
2	884	17.5	18	1230
3	**850**	**16.5**	**30**	**1560**
4	814	13.3	37	1930
	807	**12.5**	**37**	**2000**
5	776	9.8	37	2320
6	734	8.5	24	2780
	715	**5.7**	**27**	**3000**
7	**700**	**3.8**	**31**	**3180**
8	665	1.0	44	3600
9	**630**	**–2.4**	**52**	**4000**
10	600	–5.2	52	4410
11	568	–8.0	38	4840
	556	**–8.5**	**34**	**5000**
12	539	–9.5	26	5240
13	511	–11.8	30	5650
	500	**–12.8**	**32**	**5820**
	488	**–13.9**	**33**	**6000**
14	483	–14.3	33	6090
15	458	–17.0	30	6480
16	432	–19.5	26	6930
	427	**–19.8**	**26**	**7000**
17	408	–21.6	27	7340
	400	**–22.4**	**29**	**7500**
18	381	–24.3	31	7860
	373	**–25.2**	**34**	**8000**
19	356	–27.3	36	8350
20	334	–31.4	40	8860
	324	**–33.0**	**38**	**9000**
21	312	–35.2	36	9280
	300	**–37.6**	**37**	**9550**
22	290	–39.6	38	9780
	281	**–41.2**	—	**10000**
23	268	–43.4	—	10320
24	247	–47.4	—	10870
	242	**–48.3**	—	**11000**
25	226	–51.5	—	11450
26	211	–55.7	—	11890
	207	**–56.8**	—	**12000**
27	**200**	**–58.4**	—	**12230**

25. VIII. 1953 14.45 h HEC

	1000	—	—	**160**
0	961.1	19.5	35	493
1	930	15.5	44	770
	905	**14.2**	**51**	**1000**
2	892	13.5	56	1120
3	**850**	**10.0**	**74**	**1530**
4	812	6.0	98	1920
	804	**5.0**	**96**	**2000**
5	778	3.0	90	2260
6	738	3.0	44	2700
	710	**2.4**	**20**	**3000**
7	**700**	**2.0**	**10**	**3120**
8	668	1.0	10	3500
9	634	0.2	10	3920
	627	**–0.3**	**10**	**4000**
10	**600**	**–2.2**	**10**	**4350**
11	560	–6.2	10	4900
	553	**–7.3**	**10**	**5000**
12	528	–10.8	10	5360
13	**500**	**–12.8**	**10**	**5780**
	485	**–15.4**	**18**	**6000**
14	468	–18.2	26	6260
15	440	–20.6	42	6730
	424	**–22.8**	**48**	**7000**
16	414	–24.0	54	7180
	400	**–25.6**	**57**	**7450**
17	388	–27.2	60	7660
	369	**–30.0**	**68**	**8000**
18	364	–31.0	70	8120
19	340	–35.5	74	8600
	320	**–38.6**	**75**	**9000**
20	312	–40.0	—	9180
	300	**–42.0**	—	**9450**
21	290	–43.5	—	9680
	277	**–46.0**	—	**10000**
22	263	–49.0	—	10320
23	**238**	**–53.2**	—	**11000**
24	216	–56.4	—	11600
	203	**–58.4**	—	**12000**
	200	**–59.0**	—	**12120**
25	192	–60.0	—	12330
26	178	–60.0	—	12800

Min.	PPP	TTT	UU	H m. geop.
	26. VIII. 1953 15.00 h HEC			
	1000	—	—	**150**
0	957.5	20.5	40	493
1	920	16.5	50	840
	902	**14.9**	**52**	**1000**
2	880	13.0	55	1220
3	**850**	**10.5**	**60**	**1510**
4	820	7.5	57	1800
	801	**6.4**	**52**	**2000**
5	786	5.5	45	2150
6	750	4.1	35	2540
7	718	1.9	46	2900
	708	**1.0**	**49**	**3000**
	700	**-0.2**	**50**	**3100**
8	688	-1.3	53	3230
9	654	-3.5	57	3640
10	**626**	**-4.5**	**45**	**4000**
11	594	-7.5	40	4400
12	570	-9.5	45	4720
	550	**-11.0**	**45**	**5000**
13	540	-11.5	45	5130
14	514	-14.0	42	5520
	500	**-15.2**	**40**	**5720**
15	490	-16.0	38	5870
	481	**-16.8**	**39**	**6000**
16	460	-19.0	40	6350
17	434	-21.5	35	6780
	420	**-23.3**	**32**	**7000**
18	410	-24.5	30	7200
	400	**-26.0**	**30**	**7380**
19	388	-27.5	30	7600
20	**366**	**-30.5**	**32**	**8000**
21	346	-33.0	45	8410
22	324	-36.5	50	8860
	317	**-37.4**	**50**	**9000**
23	**300**	**-40.3**	—	**9400**
24	280	-44.5	—	9860
	275	**-45.3**	—	**10000**
25	254	-49.0	—	10500
	236	**-51.6**	—	**11000**
26	230	-52.5	—	11160
27	210	-55.0	—	11740
	202	**-56.0**	—	**12000**
	200	**-56.3**	—	**12070**
28	198	-56.5		12120

Min.	PPP	TTT	UU	H m. geop.
	27. VIII. 1953 14.40 h HEC			
	1000	—	—	**180**
0	961.8	19.3	30	493
1	915	14.0	57	930
	907	**13.2**	**70**	**1000**
2	870	10.4	84	1350
	850	**8.8**	**94**	**1560**
3	828	7.2	100	1760
	805	**5.3**	**100**	**2000**
4	789	1.2	100	2170
5	758	1.5	97	2480
6	724	-1.4	100	2860
	711	**-1.7**	**85**	**3000**
	700	**-1.9**	**70**	**3110**
7	692	-2.1	74	3210
8	656	-2.9	10	3640
	626	**-4.3**	**10**	**4000**
9	623	-4.5	10	4050
10	592	-6.0	10	4450
11	562	-9.2	10	4850
	550	**-10.4**	**10**	**5000**
12	533	-12.0	10	5260
13	508	-14.3	10	5620
	500	**-16.0**	**10**	**5750**
14	**482**	**-17.0**	**10**	**6000**
15	453	-21.3	10	6480
	422	**-24.9**	**10**	**7000**
16	419	-25.2	10	7050
	400	**-28.0**	**11**	**7400**
17	394	-28.8	12	7490
18	370	-32.4	12	7940
	367	**-32.8**	**12**	**8000**
19	346	-35.8	12	8420
20	321	-39.6	12	8950
	318	**-40.2**	—	**9000**
21	302	-43.7	—	9350
	300	**-44.0**	—	**9400**
22	280	-46.2	—	10000
23	258	-48.7	—	10390
24	236	-50.6	—	10980
	235	**-50.4**	—	**11000**
25	210	-49.4	—	11750
	202	**-49.0**	—	**12000**
	200	**-48.8**	—	**12070**
26	192	-47.8	—	12330

Min.	PPP	TTT	UU	H m. geop.
	28. VIII. 1953 14.40 h HEC			
	1000	—	—	**180**
0	964.9	20.0	35	493
1	920	15.0	37	880
	908	**14.2**	**38**	**1000**
2	880	12.3	40	1270
	850	**10.7**	**40**	**1550**
3	836	9.5	40	1700
	806	**8.1**	**35**	**2000**
4	**800**	**7.5**	**32**	**2060**
5	763	5.5	26	2440
6	726	1.9	26	2850
	712	**0.9**	**28**	**3000**
	700	**0.0**	**29**	**3150**
7	692	-0.5	30	3230
8	660	-0.5	10	3620
9	630	-1.5	10	3970
	628	**-1.5**	**10**	**4000**
10	**600**	**-4.7**	**16**	**4370**
11	564	-7.0	20	4850
	554	**-7.6**	**28**	**5000**
12	533	-9.3	32	5280
13	**500**	**-11.5**	**32**	**5780**
	486	**-13.3**	**24**	**6000**
14	484	-13.5	20	6030
15	462	-16.5	10	6400
16	138	-20.5	20	6780
	425	**-22.2**	**24**	**7000**
17	412	-24.0	30	7220
	400	**-26.8**	**31**	**7440**
18	388	-29.5	32	7670
19	**368**	**-33.5**	**32**	**8000**
20	344	-36.5	30	8500
21	322	-39.5	30	8960
	320	**-39.6**	**30**	**9000**
22	300	-43.0		9450
	276	**-46.5**	—	**10000**
23	272	-47.0	—	10120
24	250	-51.2	—	10660
	237	**-54.0**	—	**11000**
25	230	-55.5	—	11180
26	214	-58.5	—	11650
	202	**-59.2**		**12000**
	200	**-59.2**		**12070**
27	196	-59.5		12190
28	180	-58.5	—	12730
	173	**-58.5**	—	**13000**
29	168	-58.5	—	13150

Min.	PPP	TTT	UU	H m. geop.
	29. VIII. 1953 14.00 h HEC			
	1000	—	—	**150**
0	959.7	21.0	40	493
1	940	17.0	44	670
	904	**15.0**	**36**	**1000**
2	**900**	**14.4**	**32**	**1030**
3	860	12.0	40	1420
	850	**11.4**	**40**	**1520**
4	820	9.0	40	1820
	802	**8.3**	**37**	**2000**
5	780	7.5	34	2220
6	740	4.0	36	2660
7	**708**	**1.0**	**50**	**3000**
	700	**0.9**	**52**	**3100**
8	678	0.0	56	3360
9	642	-2.0	58	3790
	626	**-2.7**	**58**	**4000**
10	610	-3.8	58	4200
11	578	-6.0	54	4640
	551	**-7.6**	**51**	**5000**
12	548	-8.0	50	5050
13	518	-10.2	52	5500
	500	**-11.5**	**51**	**5750**
14	492	-12.0	50	5880
	484	**-12.8**	**45**	**6000**
15	464	-15.6	40	6330
16	438	-17.9	44	6750
	424	**-17.9**	**49**	**7000**
17	410	-19.0	54	7250
	400	**-20.0**	**52**	**7430**
18	384	-22.0	50	7730
	370	**-24.1**	**50**	**8000**
19	360	-26.0	50	8200
20	340	-29.0	50	8600
	322	**-31.7**	**50**	**9000**
21	314	-33.0	50	9180
	300	**-35.0**	**49**	**9500**
22	290	-37.0	48	9740
	279	**-39.4**	**48**	**10000**
23	270	-41.5	—	10220
24	250	-45.0	—	10740
	241	**-46.9**	—	**11000**
25	234	-48.5	—	11170
26	214	-52.0	—	11750
	206	**-54.0**	—	**12000**
	200	**-55.5**	—	**12200**
27	198	-56.0	—	12260
28	180	-59.0	—	12850

Min.	PPP	TTT	UU	H m. geop.
	30. VIII. 1953 14.10 h HEC			
	1000	—	—	**180**
0	964.8	24.0	40	493
1	932	20.0	40	800
	911	**18.7**	**40**	**1000**
2	**900**	**18.0**	**40**	**1100**
3	860	15.5	38	1480
	850	**15.0**	**38**	**1580**
4	820	12.8	38	1890
	808	**11.9**	**37**	**2000**
5	784	10.0	36	2260
6	740	7.8	34	2740
	716	**6.7**	**32**	**3000**
7	**700**	**5.8**	**30**	**3200**
8	670	4.0	12	3550
9	642	1.6	10	3900
	631	**0.7**	**10**	**4000**
10	610	-2.0	10	4310
11	580	-5.0	10	4710
	558	**-5.6**	**10**	**5000**
12	550	-6.0	10	5120
13	522	-8.0	10	5520
14	**500**	**-10.0**	**10**	**5870**
	491	**-11.0**	**10**	**6000**
15	476	-12.6	10	6240
16	450	-16.1	10	6660
	430	**-19.1**	**10**	**7000**
17	424	-20.0	10	7110
18	**400**	**-22.6**	**10**	**7540**
	375	**-24.0**	**10**	**8000**
19	370	-24.2	10	8100
20	350	-29.2	10	8520
	327	**-32.3**	**10**	**9000**
21	322	-32.8	10	9100
22	**300**	**-37.0**	**10**	**9600**
23	**282**	**-40.0**	—	**10000**
24	258	-44.4	—	10620
	244	**-46.5**	—	**11000**
25	230	-48.6	—	11100
26	**210**	**-53.2**	—	**12000**
	200	**-55.2**	—	**12300**
27	194	-56.0	—	12480
28	180	-57.0	—	12950

Min.	PPP	TTT	UU	H m. geop.
	31. VIII. 1953 14.35 h HEC			
	1000	—	—	**200**
0	967.6	27.8	30	493
1	950	23.2	29	640
2	916	20.0	29	960
	912	**19.7**	**29**	**1000**
3	884	17.0	31	1280
	850	**14.1**	**38**	**1600**
4	847	13.7	39	1630
5	813	10.8	52	1960
	811	**10.4**	**50**	**2000**
6	780	8.1	40	2310
7	747	7.3	17	2650
	718	**5.2**	**13**	**3000**
8	711	1.8	12	3070
	700	**1.1**	**12**	**3200**
9	677	2.1	12	3470
10	637	0.7	16	3970
	634	**0.4**	**16**	**4000**
11	603	-2.6	18	4390
12	573	-5.7	20	4790
	559	**-7.2**	**20**	**5000**
13	543	-8.8	20	5220
14	515	11.9	20	5630
	500	**-13.4**	**20**	**5850**
	491	**-14.4**	**20**	**6000**
15	486	-14.7	20	6070
16	453	-17.2	15	6590
	429	**-20.6**	**13**	**7000**
17	424	-21.3	12	7100
	400	**-24.4**	**12**	**7520**
18	393	-25.3	12	7630
	374	**-27.9**	**12**	**8000**
19	366	-28.9	12	8130
20	343	-33.1	12	8600
	325	**-36.3**	**12**	**9000**
21	317	-37.4	12	9160
	300	**-40.5**	—	**9540**
22	293	-41.9		9690
	280	**-44.7**		**10060**
23	275	-46.0	—	10120
24	255	-49.7	—	10620
	241	**-53.0**	—	**11000**
25	239	-53.4	—	11050
26	220	-56.6	—	11570
	206	**-59.3**	—	**12000**
27	204	-59.6	—	12050
	200	**-60.2**	—	**12180**
28	187	-61.5	—	12590
	175	**-61.4**	—	**13000**
29	171	-61.2	—	13150
30	159	-60.0	—	13620

Min.	PPP	TTT	UU	H m. geop.
	1. IX. 1953 14.30 h HEC			
	1000	—	—	**18**
0	966.1	26.0	35	49
1	936	23.5	30	77
	911	**22.0**	**29**	**100**
2	901	20.4	28	110
3	866	17.7	28	144
	850	**16.7**	**23**	**161**
4	829	15.7	15	181
	811	**13.6**	**16**	**200**
5	788	11.8	17	224
6	751	9.1	24	264
7	722	6.7	27	296
	719	**6.6**	**27**	**300**
	700	**4.9**	**30**	**322**
8	689	4.0	31	335
9	657	0.9	37	378
	635	**-0.9**	**35**	**400**
10	623	-1.8	34	415
11	591	-4.0	34	457
12	566	-6.2	18	492
	560	**-6.9**	**17**	**500**
13	538	-9.2	15	531
14	511	-12.5	22	570
	500	**-13.4**	**24**	**587**
	491	**-14.4**	**25**	**600**
15	482	-15.2	27	61
16	459	-18.3	28	65
17	**431**	**-21.8**	**28**	**70**
18	405	-25.3	29	74
	400	**-25.8**	**28**	**75**
19	380	-28.3	25	78
	374	**-29.0**	**24**	**80**
20	353	-31.7	23	84
21	331	-35.4	25	88
	324	**-36.7**	**26**	**90**
22	309	-39.1	27	93
	300	**-40.4**	—	**95**

in.	PPP	TTT	UU	H m. geop.
3	289	−42.0	—	9790
	280	**−43.6**	—	**10000**
4	268	−46.0	—	10300
5	250	−49.5	—	10750
	241	**−50.9**	—	**11000**
6	233	−52.2	—	11220
7	218	−54.4	—	11650
	206	**−55.9**	—	**12060**
8	202	−56.5	—	12130
	200	**−56.9**	—	**12200**
9	187	−60.0	—	12620

2. IX. 1953 14.35 h HEC

	1000	—	—	**140**
0	961.8	28.5	30	493
1	944	24.6	32	650
2	916	21.8	36	910
	907	**21.0**	**36**	**1000**
3	886	19.2	38	1210
4	856	16.4	40	1490
	850	**16.0**	**40**	**1550**
5	824	13.6	40	1820
	806	**12.3**	**41**	**2000**
6	792	11.0	42	2150
7	756	8.0	36	2540
8	724	6.2	10	2890
	714	**5.9**	**10**	**3000**
9	**700**	**5.2**	**10**	**3160**
0	672	3.6	10	3500
1	644	0.6	10	3840
	631	**−1.5**	**10**	**4000**
2	616	−3.4	10	4200
3	590	−4.4	10	4540
4	562	−7.2	10	4930
	556	**−7.9**	**10**	**5000**
5	536	−10.6	10	5280
6	512	−12.8	10	5630
	500	**−13.9**	**10**	**5810**
7	**486**	**−15.2**	**10**	**6000**
8	460	−18.4	10	6440
9	436	−21.8	10	6840
	426	**−23.1**	**10**	**7000**
0	412	−25.0	10	7260
	400	**−26.8**	**10**	**7460**
1	390	−28.6	10	7640
	371	**−31.0**	**10**	**8000**
2	368	−31.4	10	8070
3	346	−35.6	10	8500
4	**322**	**−38.2**	**10**	**9000**
5	**300**	**−41.4**	—	**9490**
6	284	−43.6	—	9860
	277	**−44.5**	—	**10000**
7	260	−47.2	—	10430
8	240	−50.0	—	10960
	239	**−50.2**	—	**11000**
9	220	−53.8	—	11530
	204	**−55.0**	—	**12000**
0	**200**	**−55.4**	—	**12130**
1	192	−56.6	—	12390

3. IX. 1953 14.40 h HEC

	1000	—	—	**140**
0	962.5	25.0	40	493
1	**910**	**20.2**	**48**	**1000**
2	866	16.2	64	1460
	850	**14.2**	**73**	**1560**
3	832	12.0	78	1730
	807	**9.6**	**78**	**2000**
4	**800**	**8.8**	**78**	**2060**
5	764	7.6	52	2460
6	738	5.2	72	2730
	714	**2.7**	**86**	**3000**
7	706	1.8	100	3090
	700	**1.4**	**100**	**3170**
8	672	−0.8	100	3490
9	646	−1.0	64	3810
	631	**−1.6**	**58**	**4000**
0	618	−2.4	52	4160
1	592	−4.2	34	4500
2	568	−5.4	26	4830
	556	**−5.9**	**25**	**5000**
3	542	−7.0	24	5200

Min.	PPP	TTT	UU	H m. geop.
11	520	−9.6	26	5520
15	**500**	**−12.8**	**38**	**5810**
	488	**−13.8**	**43**	**6000**
16	470	−15.6	48	6290
17	444	−18.2	52	6720
	427	**−20.8**	**51**	**7000**
18	418	−22.4	50	7160
	400	**−25.2**	**45**	**7480**
19	396	−26.2	40	7560
20	**372**	**−28.6**	**34**	**8000**
21	352	−31.8	32	8400
22	332	−35.2	32	8820
	318	**−36.8**	**33**	**9000**
23	310	−39.2	34	9200
	300	**−40.8**	—	**9510**
24	290	−42.6	—	9740
	279	**−45.0**	—	**10000**
25	270	−47.0	—	10230
26	250	−51.8	—	10730
	240	**−53.9**	—	**11000**
27	232	−55.6	—	11200
28	214	−59.2	—	11720
	205	**−60.0**	—	**12000**
	200	**−60.3**	—	**12150**
29	194	−60.8	—	12330

4. IX. 1953 14.40 h HEC

	1000	—	—	**160**
0	963.0	22.5	40	493
1	928	18.2	56	820
	908	**16.6**	**58**	**1000**
2	890	15.0	60	1170
3	855	11.8	66	1500
	850	**11.5**	**66**	**1560**
4	818	9.8	68	1870
	806	**9.0**	**64**	**2000**
5	780	8.0	60	2280
6	746	7.2	40	2650
7	718	6.6	20	2950
	714	**6.5**	**18**	**3000**
	700	**5.6**	**15**	**3160**
8	682	4.6	16	3370
9	650	2.8	14	3770
	631	**2.1**	**17**	**4000**
10	616	1.6	20	4200
11	582	−1.2	44	4650
12	**556**	**−5.4**	**50**	**5000**
13	530	−8.0	52	5400
14	**500**	**−11.2**	**50**	**5840**
	490	**−12.1**	**50**	**6000**
15	472	−13.8	50	6280
16	442	−17.0	52	6770
	429	**−18.3**	**53**	**7000**
17	414	−20.0	54	7260
	400	**−21.6**	**57**	**7510**
18	388	−23.2	60	7740
	374	**−25.0**	**59**	**8000**
19	364	−26.4	58	8210
20	342	−30.0	60	8650
	326	**−34.4**	**60**	**9000**
21	322	−35.4	60	9080
22	**300**	**−39.6**	**62**	**9580**
	281	**−43.0**	—	**10000**
23	278	−43.6	—	10090
24	256	−48.2	—	10640

5. IX. 1953 14.00 h HEC

	1000	—	—	**180**
0	965.8	22.0	40	493
1	932	18.0	50	790
	910	**15.8**	**52**	**1000**
2	900	14.8	52	1090
3	864	12.6	52	1440
	850	**12.3**	**47**	**1580**
4	824	12.0	36	1830
	809	**11.1**	**29**	**2000**
5	792	9.8	22	2170
6	764	8.0	38	2460
7	728	4.0	50	2850
	716	**3.8**	**45**	**3000**
	700	**3.5**	**38**	**3170**
8	690	3.0	40	3300

Min.	PPP	TTT	UU	H m. geop.
9	658	0.6	36	3670
	632	**−1.3**	**34**	**4000**
10	626	−2.0	34	4080
11	**600**	**−3.2**	**28**	**4410**
12	574	−4.4	22	4760
	557	**−6.0**	**19**	**5000**
13	544	−7.0	16	5170
14	516	−10.6	12	5600
	500	**−12.5**	**11**	**5840**
15	**488**	**−14.0**	**10**	**6000**
16	460	−17.2	12	6470
17	436	−21.4	12	6860
	428	**−22.5**	**12**	**7000**
18	408	−25.4	14	7350
	400	**−26.0**	**14**	**7500**
19	380	−27.6	16	7860
	373	**−29.2**	**16**	**8000**
20	358	−32.6	18	8300
21	330	−37.0	20	8860
	323	**−37.8**	**20**	**9000**
22	**300**	**−39.8**	**20**	**9520**
23	**278**	**−44.6**	—	**10000**
24	258	−48.4	—	10530
25	**240**	**−52.2**	—	**11000**
26	218	−54.6	—	11620
	206	**−55.1**	—	**12000**
27	**200**	**−55.2**	—	**12170**
28	184	−54.4	—	12700

6. IX. 1953 14.00 h HEC

	1000	—	—	**220**
0	968.6	20.1	45	493
1	934	16.2	52	790
	912	**14.3**	**54**	**1000**
2	896	13.0	56	1150
3	856	13.4	46	1550
	850	**13.3**	**44**	**1600**
4	822	12.0	42	1880
	811	**11.6**	**38**	**2000**
5	790	10.2	34	2220
6	758	8.8	32	2560
7	**720**	**6.6**	**26**	**3000**
	700	**5.8**	**24**	**3200**
8	688	4.8	22	3360
9	654	3.2	16	3760
	635	**1.7**	**24**	**4000**
10	620	0.6	32	4200
11	592	−1.8	38	4570
12	564	−4.2	38	4950
	560	**−4.4**	**37**	**5000**
13	534	−6.8	36	5370
14	508	−9.8	40	5760
	500	**−10.5**	**38**	**5900**
	493	**−11.2**	**38**	**6000**
15	482	−12.4	36	6170
16	454	−16.2	40	6620
17	**432**	**−18.8**	**44**	**7000**
18	406	−22.2	44	7450
	400	**−22.9**	**44**	**7560**
19	382	−25.0	44	7900
	377	**−25.9**	**44**	**8000**
20	360	−28.8	44	8330
21	334	−32.8	42	8860
	327	**−34.2**	**42**	**9000**
22	314	−37.2	42	9300
	300	**−39.7**	—	**9610**
23	294	−40.6	—	9750
	283	**−43.1**	—	**10000**
24	276	−45.0	—	10170
25	256	−49.2	—	10670
	243	**−52.2**	—	**11000**
26	238	−53.6	—	11140
	226	−55.8	—	11480

7. IX. 1953 14.30 h HEC

	1000	—	—	**235**
0	970.8	20.0	45	493
1	933	16.2	54	820
	915	**15.3**	**54**	**1000**
2	903	14.8	55	1100
3	866	15.7	50	1470
	850	**14.8**	**48**	**1630**

Min.	PPP	TTT	UU	H m. geop.
4	825	13.2	15	1860
	813	**12.6**	**38**	**2000**
5	787	11.0	22	2260
6	757	8.9	21	2580
7	724	6.3	25	2940
	721	**6.1**	**26**	**3000**
	700	**4.7**	**27**	**3230**
8	694	4.2	28	3300
9	663	2.5	28	3670
10	**636**	**−0.4**	**32**	**4000**
11	607	−2.6	28	4370
12	578	−4.8	30	4750
	562	**−6.3**	**30**	**5000**
13	549	−7.2	29	5170
14	520	−9.3	20	5590
	500	**−11.2**	**17**	**5900**
	494	**−11.7**	**16**	**6000**
	491	−12.1	16	6030
15	464	−14.3	15	6460
16	435	−18.6	15	6950
17	**432**	**−19.0**	**15**	**7000**
	413	−21.0	15	7340
18	**400**	**−23.2**	**15**	**7580**
	390	−24.8	15	7760
19	**378**	**−26.8**	**15**	**8000**
	367	−28.7	15	8200
20	343	−33.5	15	8680
21	**328**	**−35.5**	**15**	**9000**
	320	−36.6	15	9160
22	**300**	**−40.2**	—	**9600**
23	**275**	**−42.8**	—	**10000**
	279	−43.7	—	10160
24	258	−47.3	—	10620
25	**244**	**−49.9**	—	**11000**
	239	−50.9	—	11130
26	222	−53.9	—	11610
27	**209**	**−56.6**	—	**12000**
	206	−57.3	—	12090
28	**200**	**−58.3**	—	**12270**
	190	−60.0	—	12660
29	**178**	**−60.0**	—	**13000**
30	173	−60.0	—	13190

8. IX. 1953 14.50 h HEC

	1000	—	—	**200**
0	967.3	25.3	40	493
1	923	20.8	52	890
	913	**20.1**	**54**	**1000**
2	889	18.4	57	1220
3	858	15.5	57	1520
	850	**15.0**	**58**	**1610**
4	825	13.7	61	1840
	812	**12.1**	**63**	**2000**
5	798	10.5	65	2120
6	773	8.5	55	2400
7	742	8.7	43	2730
	719	**6.7**	**44**	**3000**
8	**700**	**5.1**	**44**	**3220**
9	672	3.3	43	3540
10	641	0.6	43	3920
	636	**0.1**	**44**	**4000**
11	612	−2.1	45	4290
12	586	−3.7	35	4640
13	**559**	**−5.4**	**24**	**5000**
14	536	−7.9	20	5310
15	511	−10.8	20	5720
	500	**−11.7**	**20**	**5900**
	493	**−12.2**	**20**	**6000**
16	481	−13.1	20	6180
17	457	−15.8	20	6570
18	436	−18.2	18	6920
	432	**−18.5**	**18**	**7000**
19	411	−21.0	18	7370
	400	**−21.8**	**18**	**7570**
20	386	−23.0	17	7820
	377	**−24.4**	**17**	**8000**
21	359	−27.9	16	8350
22	337	−31.2	16	8810
	328	**−32.8**	**16**	**9000**
23	318	−35.4	16	9220
24	**300**	**−39.1**	**16**	**9620**
	284	**−42.4**	—	**10000**

Min.	PPP	TTT	UU	H m. geop.
25	282	43.1	—	10650
26	264	48.1	—	10560
	244	**-51.1**	—	**11000**
27	242	51.7	—	11060
28	223	-55.2	—	11590
	209	**-57.4**	—	**12000**
29	**207**	**-57.8**	—	**12060**
	200	**-58.9**	—	**12280**
30	191	-60.5	—	12580
31	**178**	**-62.9**	—	**13000**
32	162	-62.9	—	13590

9. IX. 1954 14.40 h HEC

	1000	—	—	**150**
0	961.3	27.0	30	493
1	**928**	**22.7**	**43**	**800**
	907	**20.6**	**47**	**1000**
2	889	18.7	51	1180
	850	**16.1**	**59**	**1560**
3	843	15.5	61	1630
	807	**11.9**	**73**	**2000**
4	797	10.8	77	2110
5	759	6.5	90	2510
6	729	4.6	93	2840
	714	**3.1**	**97**	**3000**
7	**700**	**1.7**	**100**	**3170**
8	667	2.5	30	3550
9	639	-0.3	25	3900
	631	**-0.5**	**24**	**4000**
10	607	-2.3	20	4310
11	579	-5.1	22	4690
	556	**-7.8**	**23**	**5000**
12	549	-8.6	23	5110
13	522	-8.9	18	5490
	500	**-10.6**	**17**	**5820**
14	493	-11.1	16	5930
	489	**-11.8**	**16**	**6000**
15	467	-15.1	16	6350
16	443	-17.3	16	6750
	428	**-19.0**	**16**	**7000**
17	419	-20.4	16	7160
	400	**-22.6**	**16**	**7500**
18	395	-23.2	16	7590
19	**373**	**-25.2**	**16**	**8000**
20	351	-29.6	16	8450
21	**326**	**-34.1**	**16**	**9000**
22	302	-36.2	16	9500
	300	**-36.2**	**16**	**9540**
	281	**-38.9**	—	**10000**
23	279	-39.1	16	10050
24	261	44.0	—	10510
	242	**-47.3**	—	**11000**
25	240	47.7	—	11060
26	223	51.0	—	11550
27	**207**	**-54.6**	—	**12000**
	200	**-55.8**	—	**12240**
28	192	57.1	—	12500

10. IX. 1953 14.40 h HEC

	1000	—	—	**110**
0	956.0	16.9	48	493
1	903	13.6	56	975
	901	**13.1**	**57**	**1000**
2	861	10.2	67	1380
	850	**9.5**	**69**	**1480**
3	815	7.2	78	1840
	798	**6.4**	**84**	**2000**
4	770	4.9	93	2310
5	721	2.4	100	2840
	707	**1.8**	**94**	**3000**
	700	**1.3**	**92**	**3070**
6	671	0.3	87	3410
7	637	-3.2	31	3820
	623	**-3.8**	**47**	**4000**
8	601	4.6	73	4240
9	579	6.3	55	4580
10	557	-7.5	40	4880
	549	**-8.5**	**53**	**5000**
11	533	-10.4	80	5230
12	512	-12.2	82	5530
	500	**-12.9**	**80**	**5720**
13	486	-13.7	77	5930
	482	**-13.9**	**77**	**6000**
14	458	-15.3	78	6380
15	433	-18.1	88	6800
	422	**-18.8**	**89**	**7000**
16	407	-20.5	91	7270
	400	**-21.4**	**80**	**7400**
17	381	-23.7	57	7750
	368	**-24.7**	**46**	**8000**
18	357	-25.5	35	8230
19	331	-28.5	30	8770
	321	**-30.3**	**30**	**9000**
20	310	-32.4	30	9240
	300	**-34.2**	**30**	**9470**
21	291	-36.1	30	9690
	278	**-38.3**	**30**	**10000**
22	268	-40.1	30	10250
23	247	-44.4	—	10800
	240	**-45.9**	—	**11000**
24	228	-48.7	—	11340
25	213	-52.2	—	11780
	206	**-53.0**	—	**12000**
	200	**-53.6**	—	**12190**
26	197	-53.7	—	12290
27	180	-52.5	—	12870
	176	**-52.1**	—	**13000**
28	163	-51.2	—	13520

11. IX. 1953 14.20 h HEC

	1000	—	—	**145**
0	959.7	15.0	42	493
1	**904**	**9.3**	**65**	**1000**
2	856	4.1	95	1430
	850	**3.7**	**97**	**1500**
3	814	0.4	100	1850
	798	**-0.8**	**100**	**2000**
4	778	2.2	100	2220
5	745	4.7	100	2560
6	712	8.2	100	2910
	704	**-8.3**	**95**	**3000**
	700	**-8.3**	**92**	**3040**
7	680	8.4	81	3270
8	647	8.0	33	3650
	619	**-9.9**	**27**	**4000**
9	617	-10.0	26	4020
10	591	-11.3	24	4360
11	562	-13.9	24	4740
	543	**-15.0**	**31**	**5000**
12	529	-16.0	34	5200
13	**500**	**-18.9**	**26**	**5610**
14	**474**	**-21.2**	**24**	**6000**
15	446	-20.4	24	6470
16	418	-21.4	23	6940
	415	**-21.5**	**23**	**7000**
	400	**-22.5**	**23**	**7270**
17	392	-23.1	23	7420
18	373	-26.1	23	7580
	362	**-27.5**	**24**	**8000**
19	352	-29.0	25	8200
20	328	-32.7	25	8700
	314	**-34.4**	**25**	**9000**
21	307	-35.5	27	9160
	300	**-36.3**	**27**	**9320**
22	286	-38.4	27	9650
	272	**-40.0**	—	**10000**
23	264	-41.4	—	10200
24	247	-43.7	—	10660
	235	**-44.0**	—	**11000**
25	229	44.2	—	11160
26	212	46.2	—	11670
	202	**-47.0**	—	**12000**
	200	**-47.5**	—	**12070**
27	195	-48.7	—	12240
28	177	-51.7	—	12870

12. IX. 1953 14.00 h HEC

	1000	—	—	**170**
0	963.2	18.1	35	493
1	934	14.8	40	750
	907	**13.4**	**45**	**1000**
2	901	13.0	47	1050
3	866	9.1	63	1380
	850	**7.9**	**73**	**1540**
4	836	6.9	83	1680
	804	**4.7**	**95**	**2000**
5	797	4.3	100	2070
6	764	4.1	63	2410
	751	5.5	35	2550
7	732	4.4	78	2760
	711	**3.2**	**78**	**3000**
8	**700**	**2.5**	**78**	**3110**
9	670	0.2	45	3470
10	637	-2.3	78	3870
	628	**-2.5**	**60**	**4000**
11	602	-3.6	40	4330
12	578	-4.1	60	4650
13	**554**	**-5.9**	**80**	**5000**
14	529	-7.1	72	5350
15	507	-9.2	62	5680
	500	**-9.5**	**58**	**5790**
	487	**-10.7**	**51**	**6000**
16	484	-10.8	50	6040
17	464	-12.6	28	6360
18	446	-14.4	18	6660
	427	**-16.6**	**18**	**7000**
19	420	-17.4	18	7100
	400	**-19.7**	**18**	**7480**
20	396	-20.1	18	7550
21	**372**	**-24.1**	**16**	**8000**
22	351	-27.5	16	8430
23	329	-31.5	18	8900
	324	**-32.4**	**18**	**9000**
21	310	-35.6	19	9320
	300	**-37.6**	**20**	**9550**
25	293	-39.3	20	9710
	281	**-41.9**	—	**10000**
26	275	-43.3	—	10150
27	256	-47.1	—	10620
	242	**-19.6**	—	**11000**
28	238	-50.1	—	11100
29	221	-53.8	—	11580
	207	**-53.7**	—	**12000**
30	205	-53.8	—	12070
	200	**-54.3**	—	**12230**
31	190	55.1	—	12540
	177	**-56.7**	—	**13000**
32	176	-56.9	—	13040
33	165	-57.5	—	13450

13. IX. 1953 14.00 h HEC

	1000	—	—	**160**
0	961	19.0	40	493
1	940	14.0	44	670
	905	**12.4**	**48**	**1000**
2	900	12.0	50	1050
3	865	10.0	34	1370
	850	**9.3**	**29**	**1520**
4	826	8.4	24	1750
	802	**6.7**	**18**	**2000**
5	788	6.0	10	2140
6	750	4.0	10	2540
7	718	2.0	10	2900
	709	**1.7**	**20**	**3000**
	700	**1.4**	**27**	**3100**
8	688	0.8	48	3230
9	656	-0.8	50	3620
10	**627**	**-3.4**	**50**	**4000**
11	600	-5.4	52	4320
12	572	-8.6	54	4700
	551	**-9.7**	**45**	**5000**
13	546	-10.0	40	5060
14	516	-12.5	20	5500
	500	**-13.6**	**17**	**5740**
15	492	-14.4	15	5860
	483	**-15.2**	**13**	**6000**
16	467	-17.0	10	6250
17	442	-20.0	22	6670
	422	**-22.8**	**32**	**7000**
18	418	-23.8	34	7080
	400	**-26.2**	**33**	**7400**
19	394	-27.4	32	7500
20	370	-30.8	32	7850
	368	**-31.3**	**32**	**8000**
21	344	-34.0	30	8470
22	322	-38.0	30	8940
	319	**-38.0**	**30**	**9000**
23	**300**	**-41.2**	—	**9420**
24	282	-44.0	—	9830
	276	**-45.7**	—	**10000**
25	262	-49.0	—	10330
26	240	-52.6	—	10900
	237	**-53.2**	—	**11000**
27	220	-56.0	—	11460
28	205	-59.0	—	11910
	202	**-59.2**	—	**12000**
	200	**-59.6**	—	**12100**
29	190	-60.6	—	12400

14. IX. 1953 14.45 h HEC

	1000	—	—	**100**
0	954.9	17.5	40	493
1	918	13.0	50	820
	900	**12.2**	**55**	**1000**
2	880	11.3	60	1170
	850	**13.2**	**30**	**1470**
3	842	13.4	22	1540
4	810	12.8	10	1880
	798	**12.3**	**10**	**2000**
5	778	10.6	10	2210
6	742	8.4	10	2600
7	**706**	**5.1**	**22**	**3000**
	700	**5.0**	**23**	**3080**
8	674	3.0	24	3380
9	644	0.8	26	3750
	625	**-0.9**	**27**	**4000**
10	612	-1.9	28	4150
11	580	-4.8	26	4580
12	552	-7.4	30	4970
	550	**-7.6**	**29**	**5000**
13	523	-10.2	26	5400
14	**500**	**-12.1**	**26**	**5740**
	483	**-14.1**	**24**	**6000**
15	477	-14.9	22	6100
16	450	-17.4	22	6540
17	**422**	**-20.6**	**24**	**7000**
	400	**-23.3**	**26**	**7420**
18	398	-23.7	26	7450
19	370	-27.6	40	7970
	369	**-27.8**	**41**	**8000**
20	348	-30.8	46	8420
21	322	-35.2	50	8960
	321	**-35.4**	**51**	**9000**
22	**300**	**-39.5**	**52**	**9450**
23	**278**	**-43.2**	—	**10000**
24	260	-46.4	—	10420
25	240	-49.0	—	10950
	238	**-49.3**	—	**11000**
26	220	-51.6		11520
	204	**-54.0**	—	**12000**
27	202	-54.4	—	12060
	200	**-54.6**	—	**12150**
28	182	-57.0	—	12740

15. IX. 1953 14.35 h HEC

	1000	—	—	**10**
0	952.1	21.0	40	49
1	910	15.4	43	89
	898	**15.0**	**42**	**100**
2	880	14.6	40	11
3	**850**	**13.1**	**40**	**14**
4	815	11.1	46	18
	798	**10.0**	**50**	**20**
5	775	8.4	56	22
6	739	6.3	56	26
7	**708**	**3.2**	**55**	**30**
	700	**2.5**	**50**	**31**
8	677	1.0	40	33
9	646	-1.5	24	37
	633	-0.4	18	38
	624	**-0.9**	**15**	**40**
10	619	-1.1	15	40
11	594	-2.4	15	44
12	567	-5.5	15	47
	550	**-8.0**	**16**	**50**
13	543	-8.6	18	51

in.	PPP	TTT	UU	H m. geop.
4	518	11.5	20	5460
	500	**–14.3**	**26**	**5730**
5	497	14.7	29	5780
	482	**–16.6**	**33**	**6000**
5	471	17.8	35	6200
7	446	–22.2	40	6600
	421	**–25.5**	**43**	**7000**
	419	–25.6	44	7050
	400	**–28.0**	**45**	**7380**
9	394	28.5	46	7500
0	371	30.0	45	7920
	367	**–30.7**	**43**	**8000**
1	349	–34.0	40	8350
2	328	37.2	35	8780
	318	**–38.3**	**35**	**9000**
3	305	39.5	33	9300
	300	**–40.3**		**9400**
4	284	42.4		9770
	275	**–44.8**		**10030**
5	265	47.0	–	10230
6	244	–50.3		10790

16. IX. 1953 14.55 h HEC

	1000			130
0	956.8	18.0	55	193
1	914	14.6	60	880
	902	**14.1**	**65**	**1000**
2	865	12.0	70	1350
	850	**11.4**	**65**	**1500**
3	828	10.4	60	1700
	800	**9.0**	**59**	**2000**
4	786	8.6	58	2140
5	753	6.6	58	2510
6	722	3.0	60	2850
	708	**2.0**	**60**	**3000**
	700	**1.3**	**60**	**3100**
7	686	0.2	60	3260
8	653	–2.8	60	3650
9	**626**	**–5.0**	**60**	**4000**
0	590	7.0	26	4410
1	556	–9.8	28	4910
	550	**–10.0**	**32**	**5000**
2	524	–11.0	40	5360
	500	**–12.6**	**25**	**5720**
3	497	–13.0	22	5780
	482	**–14.8**	**22**	**6000**
4	469	–16.0	23	6220
5	440	19.2	26	6700
	422	**–21.2**	**26**	**7000**
6	414	22.2	26	7430
	400	**–23.8**	**27**	**7400**
7	388	25.4	28	7620
	368	**–27.4**	**29**	**8000**
8	360	28.0	30	8150
9	338	31.2	32	8610
	320	**–33.5**	**31**	**9000**
0	312	34.8	30	9180
	300	**–36.1**	**30**	**9450**
1	290	37.4	30	9700
	277	**–39.1**	**30**	**10000**
2	264	41.0		10330
3	244	44.2		10850
	239	**–44.5**		**11000**
4	224	46.0		11420
5	208	46.0		11920
	206	**–45.8**		**12000**
	200	**–45.6**		**12200**
6	190	45.0		12530
7	178	46.0		12960

17. IX. 1953 14.45 h HEC

	1000			150
0	961.1	18.0	70	193
1	918	14.4	81	880
	904	**13.7**	**74**	**1000**
2	880	13.1	64	1240
	850	**11.7**	**72**	**1540**
3	844	11.3	80	1600
4	808	9.5	74	1960
	803	**9.1**	**73**	**2000**
5	770	7.3	72	2360

Min.	PPP	TTT	UU	H m. geop.
6	734	4.5	86	2750
	712	**2.1**	**85**	**3000**
7	702	1.3	84	3110
	700	**1.0**	**85**	**3140**
8	669	0.8	85	3510
9	640	–3.6	90	3850
	628	**–3.9**	**84**	**4000**
10	608	1.2	75	4250
11	578	7.9	56	4650
	552	**–9.0**	**23**	**5000**
12	550	9.2	20	5050
13	524	11.5	63	5420
	500	**–14.0**	**70**	**5770**
14	490	15.0	90	5920
	484	**–15.6**	**90**	**6000**
15	465	–17.4	90	6320
16	438	–19.5	20	6770
	425	**–21.0**	**19**	**7000**
17	417	–21.6	18	7130
	400	**–23.1**	**17**	**7430**
18	394	–23.6	17	7750
19	373	28.4	16	7950
	370	**–29.2**	**16**	**8000**
20	348	34.5	15	8440
21	324	38.6	15	8940
	321	**–39.3**	**15**	**9000**
22	**300**	**–42.5**	–	**9460**
23	**276**	**–46.2**		**10000**
24	253	–49.0	-	10600
	238	**–52.5**		**11000**
25	235	53.0	-	11080
26	216	–57.2		11610
	203	**–60.4**	-	**12000**
27	**200**	**–61.1**		**12100**

18. IX. 1953 14.40 h HEC

	1000		—	120
0	956.8	23.0	38	193
1	910	17.8	38	920
	902	**17.1**	**39**	**1000**
2	862	13.6	10	1380
	850	**13.0**	**41**	**1500**
3	818	10.0	42	1820
	801	**9.3**	**45**	**2000**
4	776	8.2	46	2260
5	738	1.6	54	2670
	710	**2.6**	**55**	**3000**
6	702	2.2	56	3080
	700	**1.9**	**56**	**3100**
7	670	1.2	57	3450
8	631	–2.8	48	3900
	626	**–2.5**	**49**	**4000**
9	596	5.8	50	4380
10	558	–8.0	48	4900
	550	**–8.2**	**46**	**5000**
11	521	–10.6	40	5370
	500	**–12.8**	**36**	**5730**
12	494	–13.2	34	5830
	483	**–14.5**	**34**	**6000**
13	461	–15.8	34	6300
14	437	–19.0	34	6760
	423	**–21.3**	**35**	**7000**
15	408	23.6	36	7270
	400	**–24.8**	**31**	**7400**
16	376	27.8	30	7850
	368	**–28.5**	**29**	**8000**
17	350	30.6	26	8370
	320	**–35.2**	**26**	**9000**
18	318	35.8	26	9050
	300	**–38.5**	**26**	**9450**
19	292	39.8	26	9830
	277	**–42.1**		**10000**
20	268	44.0		10200
21	248	49.6		10750
	238	**–52.3**		**11000**
22	228	55.0		11270
23	210	57.8		11800
	203	**–58.1**		**12000**
	200	**–58.4**		**12120**
24	190	59.0		12420

Min.	PPP	TTT	UU	H m. geop.
	19. IX. 1953 14.00 h HEC			
	1000		—	**100**
0	953.1	18.0	58	193
1	**900**	**13.0**	**64**	**1000**
2	858	11.0	60	1370
	850	**10.5**	**61**	**1460**
3	822	9.0	62	1730
	796	**7.1**	**64**	**2000**
4	792	7.0	66	2050
5	760	4.0	70	2370
6	724	1.0	74	2770
	704	**0.1**	**75**	**3000**
	700	**–0.4**	**75**	**3050**
7	690	1.0	76	3150
8	660	0.1	60	3500
9	632	4.2	50	3860
	620	**–4.1**	**48**	**4000**
10	600	6.0	44	4270
11	577	9.3	50	4570
12	550	–12.0	64	4930
	546	**–12.1**	**60**	**5000**
13	520	15.2	54	5370
	500	**–16.4**	**46**	**5670**
14	490	17.0	40	5820
	478	**–18.5**	**40**	**6000**
15	465	–20.0	40	6210
16	438	22.0	40	6650
	417	**–25.0**	**40**	**7000**
17	410	26.0	40	7120
	400	**–27.5**	**40**	**7300**
18	386	–30.0	40	7570
	363	**–33.5**	**40**	**8000**
19	360	–34.0	40	8050
20	338	38.4	40	8500
21	**312**	**–41.4**		**9000**
	300	**–42.1**		**9320**
22	290	42.1		9540
	271	**–44.5**		**10000**
23	266	45.0		10120
24	244	47.1		10700
	233	**–48.5**	-	**11000**
25	228	49.0		11150
26	212	50.0		11620
27	**200**	**–50.4**		**12000**
28	180	49.4	-	12700

20. IX. 1953 14.00 h HEC

	1000		—	120
0	954.6	13.0	70	193
1	915	10.8	66	860
	898	**9.9**	**67**	**1000**
2	880	9.1	69	1170
	850	**7.8**	**72**	**1480**
3	842	7.6	74	1550
4	**798**	**4.8**	**79**	**2000**
5	762	1.7	76	2360
6	726	0.1	80	2750
	703	**–0.5**	**80**	**3000**
	700	**–1.0**	**80**	**3040**
7	692	1.2	80	3130
8	663	2.8	42	3470
9	633	–5.5	26	3840
	620	**–6.3**	**24**	**4000**
10	**600**	8.4	**22**	**4250**
11	566	11.5	20	4720
	545	**–13.7**	**19**	**5000**
12	539	14.3	18	5090
13	515	17.0	18	5480
	500	**–18.4**	**17**	**5640**
14	490	19.3	17	5800
	477	**–20.1**	**17**	**6000**
15	465	20.8	17	6180
16	437	24.0	17	6640
	416	**–26.3**	**17**	**7000**
17	408	27.0	17	7140
	400	**–28.1**	**17**	**7270**
18	380	31.2	17	7650
	361	**–33.7**	**17**	**8000**
19	355	34.6	17	8120
20	328	37.7	17	8680
	313	**–39.5**	**17**	**9000**

Min.	PPP	TTT	UU	H m. geop
21	302	40.8		9240
	300	**–41.0**		**9280**
22	282	42.6		9710
	270	**–44.3**		**10000**
23	262	45.2		10260
24	243	47.1		10700
	232	**–47.7**	-	**11000**
25	224	47.8		11240
26	208	46.5		11730
	200	**–47.0**		**12000**
27	192	47.0		12260

21. IX. 1953 14.40 h HEC

	1000			075
0	953.3	20.0	30	193
1	905	15.7	30	930
	898	**16.6**	**33**	**1000**
2	867	14.3	42	1290
	850	**13.2**	**45**	**1470**
3	829	11.7	48	1670
	797	**9.5**	**65**	**2000**
4	789	8.9	70	2070
5	750	5.8	46	2480
6	716	3.7	85	2860
	706	**3.0**	**83**	**3000**
	700	**2.7**	**82**	**3070**
7	687	2.3	80	3200
8	660	3.3	49	3540
9	635	1.7	15	3840
	624	**0.1**	**25**	**4000**
10	613	–1.0	33	4120
11	584	3.8	18	4510
12	554	7.0	66	4920
	550	**–7.5**	**70**	**5000**
13	522	9.9	83	5400
	500	**–11.7**	**90**	**5730**
14	487	12.7	97	5920
	483	**–12.9**	**70**	**6000**
15	464	15.4	20	6290
16	443	17.6	18	6640
	423	**–19.0**	**16**	**7000**
17	419	–19.0	16	7040
18	400	**–21.1**	14	**7410**
19	378	23.7	12	7820
	369	**–24.8**	**12**	**8000**
20	356	26.2	12	8260
21	335	29.0	12	8630
	322	**–31.2**	**17**	**9000**
22	315	32.1	20	9440
	300	**–31.4**	**30**	**9480**
23	291	35.7	40	9690
	279	**–37.6**	**40**	**10000**
24	267	39.1	40	10280
25	246	43.0		10840
	241	**–44.1**	-	**11000**
26	226	46.9		11410

22. IX. 1953 14.35 h HEC

	1000			120
0	957.0	16.0	40	193
1	911	15.8	46	880
	900	**14.1**	**47**	**1000**
2	874	12.6	48	1260
	850	**11.0**	**48**	**1500**
3	836	9.6	18	1630
4	801	6.2	50	1960
	799	**6.1**	**52**	**2030**
5	766	3.0	56	2450
6	738	0.6	60	2670
	707	**–1.5**	**60**	**3000**
7	**700**	**–2.0**	**60**	**3070**
8	668	2.8	54	3410
9	638	5.8	56	3810
	622	**–6.1**	**49**	**4000**
10	602	7.2	42	4260
11	570	4.2	10	4700
	547	**–1.2**	**10**	**5000**
12	536	4.2	10	5170
13	**500**	**–7.8**	**10**	**5730**
	482	**–10.3**	**10**	**6000**
14	476	–11.1	10	6110

Min	PPP	TTT	UU	H m. geop
15	450	−15.4	10	6520
16	**424**	**−18.8**	**28**	**7000**
17	**400**	**−21.8**	**26**	**7420**
18	372	−23.0	20	7950
	369	**−23.3**	**18**	**8000**
19	348	−27.2	14	8420
20	326	−31.6	22	8900
	321	**−32.2**	**22**	**9000**
21	**300**	**−35.2**	**22**	**9480**
22	280	−38.2	22	9960
	278	**−38.7**	—	**10000**
23	260	−44.2	—	10470
24	**240**	**−48.8**	—	**11000**
25	220	−52.2	—	11570
	206	**−51.0**	—	**12000**
26	**200**	**−50.8**	—	**12180**

23. IX. 1953 14.40 h HEC

	1000	—	—	**080**
0	953.7	18.0	45	493
1	918	13.6	46	810
	897	**12.9**	**45**	**1000**
2	876	12.2	44	1200
	850	**10.0**	**46**	**1450**
3	840	9.0	46	1550
4	806	6.6	48	1890
	795	**5.6**	**48**	**2000**
5	766	3.0	50	2310
6	730	0.0	52	2690
	703	**−2.2**	**54**	**3000**
	700	**−2.3**	**54**	**3040**
7	692	−3.0	54	3120
8	656	−5.6	56	3540
9	624	−8.8	56	3930
	618	**−8.9**	**56**	**4000**
10	594	−9.6	52	4310
11	562	−10.2	44	4750
	544	**−12.7**	**42**	**5000**
12	538	−13.4	42	5080
13	510	−15.8	40	5480
	500	**−17.1**	**40**	**5640**
14	484	−19.0	40	5880
	476	**−20.4**	**40**	**6000**
15	454	−22.8	40	6350
16	422	−26.0	42	6880
	415	**−26.9**	**42**	**7000**
17	**400**	**−29.2**	**42**	**7260**
18	372	−33.4	42	7770
	360	**−35.0**	**43**	**8000**
19	348	−36.4	44	8240
20	322	−40.6	44	8780
	312	**−41.8**	—	**9000**
	300	**−43.3**	—	**9270**
21	294	−44.2	—	9400
22	270	−47.8	—	9960
	268	**−47.9**	—	**10000**
23	250	−49.0	—	10470
24	232	−50.8	—	10960
	230	**−51.1**	—	**11000**
25	210	−53.2	—	11600
	200	**−54.4**	—	**11930**
	197	**−54.8**	—	**12000**
26	192	−55.4	—	12180

24. IX. 1953 14.50 h HEC

	1000	—	—	**090**
0	954.6	15.0	55	493
1	**900**	**12.0**	**66**	**1000**
2	860	9.4	70	1360
	850	**9.1**	**67**	**1480**
3	826	8.6	64	1700
	797	**7.0**	**64**	**2000**
4	792	6.6	64	2050
5	758	4.4	62	2400
6	728	1.2	54	2740
	704	**0.2**	**57**	**3000**
7	**700**	**−1.2**	**60**	**3060**
8	666	−4.0	63	3440
9	632	−7.2	68	3850
	621	**−7.9**	**69**	**4000**
10	**600**	**−10.0**	**70**	**4270**
11	568	−10.4	58	4680
	545	**−12.2**	**59**	**5000**

Min	PPP	TTT	UU	H m. geop.
12	536	−13.4	60	5130
13	**500**	**−15.8**	**54**	**5650**
14	**178**	**−17.8**	**62**	**6000**
15	152	−20.0	64	6410
16	126	−23.6	64	6850
	117	**−24.7**	**64**	**7000**
17	**100**	**−27.2**	**64**	**7310**
18	376	−30.2	64	7740
	363	**−32.3**	**63**	**8000**
19	354	−34.0	62	8180
20	328	−38.8	60	8700
	314	**−10.8**	—	**9000**
21	304	−42.4	—	9220
	300	**−43.7**	—	**9310**
22	280	−46.6	—	9760
	270	**−48.1**	—	**10000**
23	258	−50.4	—	10300
24	238	−54.1	—	10830
	232	**−55.2**	—	**11000**
25	214	−57.4	—	11510
	200	**−55.8**	—	**11940**
	198	**−55.7**	—	**12000**
26	196	−55.6	—	12070

25. IX. 1953 14.45 h HEC

	1000		—	**130**
0	958.5	14.0	70	493
1	922	11.4	72	810
	902	**10.8**	**71**	**1000**
2	884	10.2	70	1160
3	**850**	**10.2**	**66**	**1490**
4	814	8.4	64	1860
	800	**7.7**	**64**	**2000**
5	778	6.4	64	2230
6	746	3.2	68	2560
7	716	0.6	72	2900
	707	**−0.1**	**73**	**3000**
	700	**−1.1**	**74**	**3080**
8	682	−2.4	74	3300
9	648	−5.0	74	3700
	623	**−5.7**	**69**	**4000**
10	616	−6.0	64	4100
11	584	−8.2	60	4510
12	552	10.8	64	4950
	548	**−11.1**	**66**	**5000**
13	520	−13.4	68	5410
	500	**−14.6**	**69**	**5710**
14	492	−15.2	70	5820
	480	**−16.1**	**70**	**6000**
15	462	−18.0	70	6290
16	434	−21.2	68	6760
	420	**−22.8**	**68**	**7000**
17	408	−24.2	68	7200
	400	**−25.5**	**68**	**7360**
18	380	−28.8	68	7740
	366	**−29.3**	**68**	**8000**
19	352	−30.2	68	8280
20	330	−34.8	70	8740
	318	**−36.6**	**69**	**9000**
21	310	−37.8	68	9170
	300	**−39.6**	**68**	**9390**
22	288	−41.8	—	9670
	274	**−44.7**	—	**10000**
23	266	−46.4	—	10260
24	248	−50.2	—	10670
	238	**−51.7**	—	**11000**
25	230	−55.6	—	11150
26	212	−59.0	—	11660
	200	**−58.8**	—	**12000**
27	196	−58.8	—	12160

26. IX. 1953 14.00 h HEC

	1000		—	**150**
0	960.4	14.0	75	493
1	930	12.0	76	760
	905	**12.5**	**73**	**1000**
2	892	12.6	72	1110
3	860	12.6	52	1420
	850	**12.1**	**55**	**1520**
4	824	10.4	58	1780
	802	**8.5**	**61**	**2000**

Min.	PPP	TTT	UU	H m. geop.
5	792	7.4	62	2100
6	764	4.8	68	2390
7	736	3.2	74	2690
8	**706**	**1.5**	**76**	**3000**
	700	**1.3**	**76**	**3110**
9	680	0.2	76	3350
10	652	−2.0	76	3670
11	**626**	**−3.6**	**76**	**4000**
12	**600**	**−4.8**	**76**	**4340**
13	574	−7.4	74	4680
14	**552**	**−8.8**	**74**	**5000**
15	524	−10.8	74	5390
16	**500**	**−12.4**	**74**	**5750**
	484	**−13.9**	**74**	**6000**
17	476	−15.0	74	6130
18	456	−16.4	74	6450
19	436	−19.2	74	6790
	424	**−20.3**	**74**	**7060**
20	414	−21.6	74	7170
	400	**−23.3**	**73**	**7420**
21	392	−24.6	72	7580
22	**368**	**−28.0**	**70**	**8000**
23	348	−32.0	70	8420
24	328	−36.0	68	8840
	321	**−36.8**	**68**	**9000**
25	306	−38.8	68	9320
	300	**−40.0**	—	**9450**
26	288	−42.8	—	9730
	277	**−45.1**	—	**10000**
27	270	−46.6	—	10160
28	248	−51.2	—	10720
	237	**−53.3**	—	**11000**
29	228	−55.2	—	11260
30	212	−58.4	—	11720

27. IX. 1953 14.15 h HEC

	1000	—	—	**100**
0	957.0	15.2	75	493
1	914	14.2	72	870
	901	**15.6**	**55**	**1000**
2	872	18.0	38	1270
	850	**17.0**	**38**	**1500**
3	834	16.4	38	1650
	801	**13.2**	**40**	**2000**
4	796	12.8	42	2050
5	758	9.0	46	2460
6	730	6.2	52	2760
	710	**4.2**	**57**	**3000**
7	**700**	**3.2**	**62**	**3100**
8	670	0.0	72	3470
9	644	−2.2	80	3780
	626	**−3.5**	**82**	**4000**
10	622	−3.8	82	4050
11	**600**	**−5.6**	**80**	**4340**
12	578	−7.8	80	4630
13	558	−9.2	80	4910
	550	**−9.5**	**78**	**5000**
14	532	−10.4	72	5270
15	508	−12.8	72	5620
	500	**−13.5**	**72**	**5740**
16	**484**	**−15.4**	**74**	**6000**
17	462	−17.2	74	6340
18	438	−19.0	72	6740
	423	**−21.0**	**72**	**7000**
19	418	−21.8	72	7080
	400	**−23.7**	**69**	**7410**
20	392	−24.6	68	7550
21	372	−27.8	66	7930
	368	**−28.2**	**66**	**8000**
22	350	−31.0	66	8360
23	332	−33.0	64	8740
	320	**−35.0**	**64**	**9000**
24	310	−36.6	64	9220
	300	**−38.2**	**64**	**9450**
25	292	−39.8	64	9650
	277	**−42.8**	—	**10000**
26	274	−43.4	—	10060
27	258	−46.6	—	10470
28	240	−49.8	—	10950
	238	**−50.1**	—	**11000**
29	224	−52.6	—	11400
30	212	−55.2	—	11760

Min.	PPP	TTT	UU	H m. geop.

28. IX. 1953 14.35 h HEC

	1000			**105**
0	956.0	14.0	100	195
1	920	11.9	100	740
2	**903**	**10.0**	**100**	**1000**
3	875	8.5	100	1240
4	**850**	**7.2**	**100**	**1480**
5	823	5.9	100	1750
	798	**4.5**	**100**	**2000**
6	793	4.3	100	2050
7	759	2.0	100	2410
8	733	0.0	100	2690
9	**707**	**−0.9**	**100**	**3000**
	700	**−1.4**	**100**	**3050**
10	685	−2.3	100	3280
11	662	−3.9	100	3560
12	642	5.7	99	3740
13	**621**	**−7.1**	**98**	**4000**
14	596	8.8	97	4320
15	573	−10.2	95	4630
16	550	−11.9	95	4950
	545	**−12.3**	**94**	**5000**
17	528	−14.0	92	5260
18	503	−16.2	90	5620
	500	**−16.5**	**89**	**5660**
19	483	−18.2	88	5930
	478	**−18.7**	**87**	**6000**
20	461	−20.3	86	6220
21	446	−21.7	84	6520
22	427	−24.5	82	6840
	418	**−25.8**	**82**	**7000**
23	408	−27.1	82	7170
	400	**−28.3**	**81**	**7300**
24	391	−29.8	80	7470
25	371	−33.1	80	7840
	363	**−34.5**	**80**	**8000**
26	353	−35.7	80	8190
27	334	−38.6	78	8570
28	318	−42.3	—	8910
	313	**−43.0**	—	**9000**
29	303	−44.8	—	9280
	300	**−45.4**	—	**9300**
30	289	−47.5	—	9550
31	273	−49.6	—	9920
	270	**−49.6**	—	**10000**
32	257	−50.0	—	10310
33	241	−50.8	—	10730
	231	**−51.4**	—	**11000**
34	226	−51.7	—	11150
35	214	−51.7	—	11510
36	**200**	**−51.2**	—	**11950**
	198	**−51.2**	—	**12000**
37	186	−51.7	—	12410
38	174	−54.2	—	12860

29. IX. 1953 14.35 h HEC

	1000	—	—	**20**
0	965.8	9.9	75	49
1	928	6.2	95	8
	908	**5.0**	**95**	**100**
2	895	3.9	95	113
3	861	2.1	100	144
	850	**2.0**	**99**	**153**
4	831	1.5	96	172
	803	**0.1**	**86**	**200**
5	796	−0.3	83	208
6	757	0.1	82	247
7	728	0.3	86	277
	708	**−1.5**	**87**	**300**
	700	**−2.1**	**88**	**310**
8	693	−2.5	88	317
9	663	−4.5	88	353
10	633	−6.9	88	388
	624	**−7.7**	**89**	**400**
11	606	−9.3	90	423
12	574	−11.3	69	463
	548	**−13.5**	**60**	**500**
13	546	−13.9	58	506
14	516	−16.1	61	544
	500	**−17.1**	**52**	**570**
15	489	−18.6	45	588
	480	**−19.5**	**44**	**600**

Min.	PPP	TTT	UU	H m. geop.
6	463	–21.7	42	6270
7	440	–24.8	43	6640
	419	**–27.5**	**35**	**7000**
8	417	–27.8	32	7030
	400	**–30.4**	**28**	**7320**
9	393	–31.6	26	7450
0	371	–35.5	24	7860
	364	**–36.1**	**24**	**8000**
1	343	–38.2	25	8400
2	323	–41.3	—	8810
	314	**–42.9**	—	**9000**
3	303	–45.1	—	9240
	300	**–45.5**	—	**9310**
4	285	–48.4	—	9650
	270	**–51.2**	—	**10000**
5	265	–52.1	—	10120
6	246	–56.9	—	10600
	239	–58.2	—	10770
	231	**–57.3**	—	**11000**
7	228	–57.2	—	11080

30. IX. 1953 14.40 h HEC

	1000	—	—	**235**
0	969.7	12.0	60	493
1	929	9.0	94	860
	913	**7.1**	**96**	**1000**
2	890	4.4	100	1210
3	856	3.1	100	1520
	850	**2.6**	**100**	**1580**
4	824	0.3	100	1830
	809	**4.2**	**90**	**2000**
5	790	5.0	70	2160
6	758	3.0	60	2510
7	722	0.3	70	2900
	713	**–0.2**	**72**	**3080**
	700	**–0.3**	**74**	**3150**
8	688	–1.6	76	3300
9	656	–3.4	76	3670
	628	**–4.6**	**60**	**4000**
10	618	–5.2	53	4140
11	588	–7.6	54	4530
12	560	–10.1	52	4910
	553	**–10.8**	**52**	**5000**
13	536	–12.9	52	5240
14	511	–14.5	43	5610
	500	**–15.5**	**38**	**5770**
15	**485**	**–17.2**	**32**	**6000**
16	461	–20.5	24	6380
17	437	–23.7	25	6770
	423	**–25.2**	**22**	**7000**
18	412	–26.4	20	7200
	400	**–28.4**	**19**	**7410**
19	388	–30.6	18	7630
	368	**–34.0**	**21**	**8000**
20	364	–34.7	22	8080
21	344	–38.1	25	8470
22	321	–42.5	—	8950
	318	**–42.8**	—	**9000**
23	**300**	**–45.8**	—	**9390**
24	279	–49.3	—	9890
	274	**–50.2**	—	**10000**
25	260	–53.0	—	10340
26	240	–56.0	—	10850
	234	**–55.6**	—	**11000**
27	222	–54.9	—	11350
28	206	–53.7	—	11880
	200	**–53.1**	—	**12000**
29	190	–52.2	—	12360

1. X. 1953 14.35 h HEC

	1000	—	—	**260**
0	972.6	13.3	80	493
1	932	8.5	75	850
	915	**7.1**	**81**	**1000**
2	892	5.1	91	1220
	870	3.9	93	1420
3	**850**	**4.8**	**84**	**1600**
	833	8.9	62	1770
4	**809**	**7.8**	**47**	**2000**
5	773	6.3	42	2400
6	736	3.6	46	2790
	717	**2.0**	**43**	**3000**

Min.	PPP	TTT	UU	H m. geop.
7	701	0.9	40	3150
	700	**0.6**	**41**	**3190**
8	672	–1.6	48	3510
9	637	–3.6	56	3940
	632	**–4.0**	**53**	**4000**
10	607	–6.0	40	4320
11	577	–8.1	18	4720
	556	**–9.0**	**16**	**5000**
12	549	–9.4	15	5100
13	520	–11.7	15	5520
	500	**–13.7**	**15**	**5820**
14	196	–14.1	15	5880
	488	**–14.8**	**15**	**6000**
15	469	–16.3	15	6310
16	443	–20.4	16	6730
	427	**–22.7**	**17**	**7000**
17	419	–24.2	18	7140
	400	**–27.0**	**19**	**7475**
18	393	–28.2	19	7600
	372	**–31.6**	**18**	**8000**
19	371	–31.9	18	8020
20	348	–35.0	17	8470
21	324	–38.0	17	8970
	322	**–38.2**	—	**9000**
22	303	–40.9	—	9430
	300	**–41.3**	—	**9489**
23	281	–44.9	—	9940
	278	**–45.4**	—	**10000**
24	261	–50.2	—	10430
25	245	–53.4	—	10830
	238	**–53.1**	—	**11000**
26	228	–52.9	—	11300
27	212	–55.4	—	11760
	204	**–56.1**	—	**12000**
	200	**–56.5**	—	**12130**
28	198	–56.8	—	12190
29	188	–54.1	—	12530
30	178	–56.3	—	12880

2. X. 1953 14.40 h HEC

	1000	—	—	**220**
0	968.5	16.1	65	493
1	930	12.5	84	830
	912	**12.2**	**83**	**1000**
	909	12.0	82	1030
2	893	13.1	73	1170
3	858	10.7	69	1510
	850	**9.9**	**68**	**1590**
4	**826**	**7.8**	**66**	**1800**
	809	**6.5**	**67**	**2000**
5	794	5.3	67	2150
6	765	2.4	75	2450
7	727	–0.9	81	2860
	715	**–2.1**	**81**	**3000**
	700	**–3.2**	**80**	**3160**
8	695	–3.9	80	3230
9	657	–7.4	81	3670
10	**627**	**–6.2**	**40**	**4000**
11	599	–7.5	18	4390
12	570	–10.4	17	4770
	553	**–12.8**	**16**	**5000**
13	547	–13.7	16	5090
14	522	–16.5	16	5440
15	**500**	**–19.0**	**19**	**5760**
	484	**–19.7**	**19**	**6000**
16	469	–20.7	20	6230
17	441	–24.8	22	6690
	422	**–26.8**	**22**	**7000**
18	415	–27.7	22	7130
	400	**–29.3**	**22**	**7390**
19	392	–30.4	22	7540
20	370	–34.0	23	7950
	367	**–34.2**	**23**	**8000**
21	345	–37.2	22	8440
22	323	–39.7	22	8890
	318	**–40.4**	—	**9000**
23	302	–42.9	—	9340
	300	**–43.1**	—	**9390**
24	282	–45.9	—	9810
	273	**–46.8**	—	**10000**
25	261	–48.5	—	10320

Min.	PPP	TTT	UU	H m. geop.
26	241	–49.5	—	10850
	235	**–49.9**	—	**11000**
27	223	–51.0	—	11360
28	206	–52.1	—	11880
	202	**–52.1**	—	**12000**
	200	**–52.1**	—	**12050**
29	191	–52.5	—	12340
30	175	–53.3	—	12930

3. X. 1953 14.00 h HEC

	1000	—	—	**190**
0	964.7	14.1	85	493
1	922	14.3	76	870
	908	**13.7**	**65**	**1000**
2	885	11.9	54	1220
	857	10.9	52	1480
	850	**11.0**	**49**	**1550**
3	810	11.1	44	1660
4	809	8.4	43	1970
	805	**8.1**	**44**	**2000**
5	775	4.2	52	2320
6	743	1.1	65	2670
	712	**–1.6**	**77**	**3000**
7	705	–2.1	80	3080
	700	**–2.5**	**80**	**3040**
8	673	–4.4	80	3450
9	638	–6.8	78	3870
	628	**–7.3**	**68**	**4000**
10	607	–8.2	45	4260
11	580	–10.3	22	4610
12	**550**	**–12.7**	**20**	**5000**
13	527	–15.7	15	5330
14	**500**	**–18.5**	**16**	**5730**
	482	**–20.9**	**17**	**6000**
15	473	–22.2	18	6140
16	446	–25.8	23	6590
	420	**–27.9**	**26**	**7000**
17	419	–28.0	27	7030
	400	**–30.6**	**29**	**7360**
18	393	–31.6	31	7480
19	367	–35.7	28	7970
	365	**–36.0**	**28**	**8000**
20	338	–39.9	28	8530
21	317	–43.3	—	8970
	315	**–43.6**	—	**9000**
	300	**–48.0**	—	**9330**
22	295	–49.7	—	9450
23	**271**	**–52.6**	—	**10000**
24	253	–57.3	—	10440
25	235	–60.4	—	10900
	231	**–61.0**	—	**11000**
26	224	–62.1	—	11200

4. X. 1953 14.00 h HEC

	1000	—	—	**150**
0	961.0	17.3	70	493
1	918	13.3	80	880
	905	**12.9**	**66**	**1000**
2	880	11.4	38	1240
	850	**9.3**	**54**	**1525**
3	843	8.7	59	1600
4	**804**	**5.4**	**74**	**2000**
5	773	3.6	77	2310
6	738	1.0	88	2680
	709	**–0.3**	**89**	**3000**
7	705	–0.5	90	3050
	700	**–0.9**	**91**	**3105**
8	671	–2.9	92	3440
9	637	–5.0	96	3860
	625	**–5.5**	**91**	**4000**
10	604	–6.2	80	4280
11	570	–8.2	38	4740
	550	**–9.4**	**37**	**5000**
12	541	–10.1	37	5140
13	514	–12.6	42	5530
	500	**–14.4**	**51**	**5730**
14	489	–15.7	60	5900
	483	**–16.2**	**64**	**6000**
15	460	–18.3	80	6370
16	433	–20.1	70	6820
	422	**–21.4**	**73**	**7000**

Min.	PPP	TTT	UU	H m. geop.
17	407	–23.3	78	7270
	400	**–24.5**	**80**	**7395**
18	385	–27.1	88	7670
	367	**–29.5**	**88**	**8000**
19	361	–30.5	88	8140
20	337	–33.7	81	8630
	319	**–36.9**	**79**	**9000**
21	314	–38.0	78	9120
	300	**–40.5**	—	**9420**
22	292	–42.3	—	9610
	275	**–46.2**	—	**10000**
23	271	–47.3	—	10120
24	251	–51.9	—	10620
	236	**–54.3**	—	**11000**
25	229	–55.6	—	11210
26	213	–58.7	—	11660
	202	**–57.2**	—	**12000**
	200	**–57.3**	—	**12055**
27	196	–57.1	—	12180

5. X. 1953 14.35 h HEC

	1000			**210**
0	967.0	12.0	60	493
1	924	8.0	60	870
	910	**7.2**	**63**	**1000**
2	885	6.0	66	1230
	850	**5.5**	**66**	**1535**
3	847	5.3	66	1570
	816	**6.0**	**50**	**2000**
4	811	6.0	43	2050
5	780	7.5	20	2370
6	750	5.8	10	2690
7	**722**	**3.0**	**12**	**3000**
	700	**1.8**	**11**	**3250**
8	688	1.0	10	3400
9	660	–1.0	12	3720
	638	**–3.0**	**13**	**4000**
10	632	–3.4	14	4070
11	600	–6.0	12	4470
12	576	–8.0	12	4800
	562	**–9.8**	**12**	**5000**
13	542	–11.0	12	5260
14	512	–14.0	10	5700
	500	**–15.8**	**10**	**5880**
	492	**–16.9**	**10**	**6000**
15	488	–17.6	10	6070
16	462	–21.4	10	6470
17	438	–25.0	12	6860
	430	**–26.7**	**11**	**7000**
18	418	–29.0	10	7200
	400	**–32.7**	**10**	**7505**
19	394	–34.0	10	7600
	373	**–37.8**	**10**	**8000**
20	370	–38.0	10	8050
21	341	–42.0	—	8600
	322	**–44.5**	—	**9000**
22	314	–45.4	—	9160
	300	**–47.9**	—	**9470**
23	292	–49.0	—	9640
	276	**–51.6**	—	**10000**
24	269	–53.0	—	10170
25	245	–56.5	—	10770
	237	**–57.0**	—	**11000**
26	224	–58.0	—	11340
27	204	–57.0	—	11930
	202	**–57.2**	—	**12000**
	200	**–56.3**	—	**12060**
28	190	–58.0	—	12380
29	174	–55.6	—	12930
	172	**–55.5**	—	**13000**
30	158	–55.0	—	13550

6. X. 1953 14.35 h HEC

	1000			**200**
0	964.7	12.0	50	493
1	915	7.2	70	950
	909	**6.9**	**60**	**1000**
2	874	5.8	50	1420
	850	**7.4**	**35**	**1555**
3	838	8.7	18	1660
	801	**6.7**	**23**	**2000**
4	800	6.5	28	2060

Min	PPP	TTT	UU	H m. geop.
5	763	5.6	40	2450
6	727	1.4	38	2840
	711	**0.5**	**35**	**3000**
7	**700**	**-0.2**	**32**	**3130**
8	659	-2.0	35	3620
	628	**-4.0**	**37**	**4000**
9	622	-4.4	40	4080
10	592	-6.8	44	4470
11	564	-9.5	43	4840
	552	**-10.4**	**42**	**5000**
12	536	-11.7	42	5240
13	508	-14.0	38	5640
	500	**-14.8**	**33**	**5765**
14	**483**	**-16.4**	**28**	**6000**
15	457	-19.2	29	6430
16	435	-21.9	36	6800
	423	**-23.3**	**38**	**7000**
17	410	-24.4	41	7230
	400	**-25.6**	**37**	**7415**
18	387	-27.0	34	7660
	368	**-29.4**	**34**	**8000**
19	363	-30.3	34	8120
20	339	-34.1	34	8600
	320	**-37.2**	**34**	**9000**
21	314	-38.2	33	9130
	300	**-40.9**	—	**9450**
22	292	-42.5	—	9620
	276	**-45.6**	—	**10000**
23	268	-47.2	—	10190
24	247	-51.6	—	10740
	237	**-54.4**	—	**11000**
25	228	-56.7	—	11250
26	212	-60.0	—	11720
	202	**-62.1**	—	**12000**
	200	**-62.6**		**12070**
27	196	-63.4	—	12200

7. X. 1953 15.50 h HEC

	1000	—	—	**150**
0	959.7	11.0	43	493
1	920	8.2	50	840
	903	**6.0**	**55**	**1000**
2	874	2.4	60	1260
	850	**1.0**	**64**	**1435**
3	834	0.0	68	1630
	797	**0.0**	**60**	**2000**
4	792	-1.0	54	2060
5	752	-3.6	40	2450
6	716	-3.8	40	2850
	700	**-4.1**	**30**	**3000**
7	680	-5.0	22	3250
8	647	-8.0	14	3640
	618	**-8.9**	**13**	**4000**
9	610	-9.0	12	4100
10	580	-11.0	10	4480
11	550	-14.0	10	4890
	543	**-15.3**	**10**	**5000**
12	522	-18.2	10	5290
	500	**-20.0**	**10**	**5605**
13	192	-20.6	10	5740
	474	**-21.4**	**10**	**6000**
14	462	-22.0	10	6200
15	436	-22.6	10	6630
	415	-26.2	10	7000
16	410	-27.0	10	7070
	400	**-28.5**	**10**	**7250**
17	385	-31.2	10	7500
18	362	-35.6	10	7950
	360	**-36.0**	**10**	**8000**
19	340	-40.2	—	8380
20	314	-43.6	—	8920
	311	**-44.0**	—	**9000**
	300	**-45.5**	-	**9225**
21	287	-47.4	--	9530
	267	**-50.5**	--	**10000**
22	262	-51.2	—	10130
23	242	-53.0	—	10640
	229	**-53.9**	—	**11000**
24	223	-54.0	—	11160
25	**200**	**-55.0**	—	**11870**
	196	**-55.0**	—	**12000**
26	183	-55.0	—	12430
27	169	-54.0	--	12950

8. X. 1953 14.35 h HEC

	1000	—	—	**180**
0	963.5	12.5	40	493
1	925	7.8	52	820
	908	**6.8**	**55**	**1000**
2	882	3.5	59	1220
	850	1.3	57	1515
3	843	1.0	54	1570
4	**800**	**-0.4**	**40**	**2000**
5	758	-2.0	30	2430
6	724	-2.6	18	2800
	705	**-3.0**	**17**	**3000**
	700	**-3.1**	**17**	**3070**
7	690	-3.1	17	3180
8	657	-3.1	17	3560
9	624	-7.1	24	3960
	622	**-7.5**	**27**	**4000**
10	589	-10.9	31	4410
11	554	-12.0	30	4880
	545	**-12.5**	**26**	**5000**
12	523	-13.5	23	5320
	500	**-15.9**	**21**	**5675**
13	496	-16.2	20	5730
	478	**-18.3**	**19**	**6000**
14	467	-19.5	18	6170
15	441	-21.6	16	6660
16	**416**	**-21.4**	**16**	**7000**
	400	**-26.8**	**17**	**7315**
17	391	-28.1	18	7480
18	366	-31.3	24	7950
	363	**-31.8**	**26**	**8000**
19	342	-35.5	28	8420
20	317	-39.6	30	8950
	315	**-39.8**	**30**	**9000**
	300	**-41.8**	—	**9325**
21	**294**	**-42.6**	—	9470
22	**272**	**-47.0**	—	**10000**
23	250	-51.3	—	10540
	233	**-53.9**	—	**11000**
24	228	-54.6	—	11120
25	209	-57.5	—	11690
	200	**-59.3**	—	**11975**
	199	**-59.4**	—	**12000**
26	192	-60.6	—	12220

9. X. 1953 14.40 h HEC

	1000	—	—	**240**
0	967.8	11.0	40	493
1	946	7.8	47	670
	910	**5.6**	**50**	**1000**
2	902	5.3	54	1070
3	862	6.0	24	1420
	850	**6.5**	**20**	**1545**
4	822	6.9	10	1810
	804	**6.6**	**10**	**2000**
5	788	5.8	10	2150
6	751	4.0	11	2560
7	**712**	**2.0**	**12**	**3000**
	700	**2.0**	**11**	**3125**
8	680	1.8	10	3350
9	647	0.5	10	3750
	627	**-0.8**	**10**	**4000**
10	612	1.6	10	4200
11	586	1.0	10	4540
12	558	7.8	10	4920
	553	**-8.2**	**10**	**5000**
13	527	10.2	10	5360
	500	**-12.5**	**10**	**5765**
14	491	-13.1	10	5910
	485	**-14.0**	**10**	**6000**
15	465	-16.9	10	6320
16	438	-20.0	10	6760
	425	**-21.4**	**10**	**7000**
17	410	-23.2	10	7250
	400	**-24.8**	**10**	**7435**
18	387	-27.2	10	7680
	370	**-30.0**	**10**	**8000**
19	362	-31.6	10	8150
20	340	-36.0	10	8600
	320	**-39.6**	**10**	**9000**
21	318	-40.0	—	9060
	300	**-42.2**	—	**9450**
22	292	-44.0	—	9640
	276	**-46.9**	—	**10000**
23	271	-48.0	—	10130
24	251	-52.0	—	10630
	237	**-55.5**	—	**11000**
25	235	-56.0	—	11060
26	215	-59.5	—	11620
	202	**-61.8**	—	**12000**
	200	**-62.3**	—	**12070**
27	195	-63.1	—	12220
28	175	-65.0	—	12880

10. X. 1953 14.00 h HEC

	1000	—	—	**215**
0	965.9	6.0	90	493
1	927	6.0	95	840
	908	**6.0**	**83**	**1000**
2	884	6.3	76	1220
	850	**6.7**	**45**	**1540**
3	838	7.4	20	1670
	804	**6.7**	**16**	**2000**
4	801	6.5	12	2030
5	763	4.6	15	2430
6	729	2.5	10	2800
	711	**1.1**	**10**	**3000**
	700	**0.3**	**10**	**3130**
7	696	0.0	10	3170
8	667	-1.8	10	3520
9	637	-4.0	10	3880
	627	**-4.9**	**10**	**4000**
10	603	-6.8	10	4310
11	573	-8.6	10	4710
	552	**-10.0**	**10**	**5000**
12	543	-10.4	10	5120
13	515	-13.4	10	5520
	500	**-15.2**	**10**	**5745**
14	492	-16.2	10	5880
	484	**-17.1**	**10**	**6000**
15	470	-18.6	10	6210
16	448	-20.8	10	6580
17	425	-23.8	10	6960
	422	**-24.2**	**10**	**7000**
18	**400**	**-27.0**	**10**	**7400**
19	375	-31.0	10	7860
	367	**-32.1**	**10**	**8000**
20	362	-34.2	10	8310
21	330	-38.5	10	8750
	318	**-41.0**	—	**9000**
22	309	-42.7	—	9200
	300	**-44.4**	—	**9410**
23	288	-46.7	—	9670
	274	**-59.2**	—	**10000**
24	268	-50.2	—	10150
25	249	-53.4	—	10640
	235	**-55.3**	—	**11000**
26	228	-56.4	—	11200
27	210	-59.2	—	11700
	201	**-58.8**		**12000**
	200	**-58.7**	—	**12030**
28	194	-58.5	—	12200

11. X. 1953 14.10 h HEC

	1000			**170**
0	961.1	8.5	68	493
1	915	9.5	52	945
	904	**9.5**	**10**	**1000**
2	872	9.2	31	1300
	850	**9.1**	**27**	**1515**
3	830	9.0	23	1710
	801	**7.6**	**17**	**2000**
4	792	7.3	10	2100
5	759	5.3	10	2450
6	724	4.8	10	2830
	710	**3.3**	**10**	**3000**
	700	**2.5**	**10**	**3100**
7	694	2.0	10	3170
8	664	-0.4	10	3530
9	636	-2.2	10	3880
	625	**-3.7**	**10**	**4000**
10	608	-5.9	10	4215
11	577	-8.8	10	4630
12	**548**	**-11.1**	**10**	**5000**
13	519	-13.6	10	5430
	500	**-16.0**	**10**	**5730**
14	492	-17.0	10	5850
	482	**-18.3**	**10**	**6000**
15	468	-19.8	10	6230
16	444	-23.0	10	6620
	421	**-25.4**	**10**	**7000**
17	416	-25.8	10	7080
	400	**-28.1**	**10**	**7360**
18	392	-29.2	10	7520
19	370	-32.4	10	7920
	366	**-33.2**	**10**	**8000**
20	347	-36.0	10	8380
21	322	-39.9	10	8890
	317	**-40.7**	—	**9000**
22	**300**	**-43.5**	-	**9370**
23	278	-46.5	-	9880
	273	**-47.3**	—	**10000**
24	258	-49.3	—	10350
25	238	-51.8	—	10960
	234	**-52.3**	—	**11000**
26	222	-53.3		11340
27	204	-54.5	-	11900
	201	**-54.7**		**12000**
	200	**-54.8**	-	**12025**
28	188	-55.3		12430

12. X. 1953 14.30 h HEC

	1000	—		**130**
0	956.9	9.5	100	493
1	922	8.6	91	800
	900	**10.2**	**70**	**1000**
2	882	11.0	48	1170
	850	**9.7**	**46**	**1480**
3	811	9.1	11	1545
4	802	8.0	42	1955
	798	**7.8**	**42**	**2000**
5	762	4.8	44	2385
6	730	1.8	44	2720
	705	**-0.1**	**41**	**3000**
7	**700**	**-0.6**	**44**	**3065**
8	666	-3.0	100	3460
9	634	-5.0	100	3850
	622	**-5.8**	**100**	**4000**
10	**600**	**-7.6**	**100**	**4283**
11	572	-10.2	100	4660
	547	**-11.4**	**100**	**5000**
12	542	-11.6	100	5073
13	514	-14.2	100	5473
	500	**-15.7**	**100**	**5680**
14	486	-17.2	100	5910
	479	**-17.8**	**100**	**6000**
15	458	-20.0	100	6340
16	431	-22.5	100	6800
	419	**-23.8**	**95**	**7000**
17	**400**	**-26.0**	**90**	**7320**
18	374	-29.7	80	7890
	365	**-30.8**	**78**	**8000**
19	348	-33.3	76	8320
20	324	-37.0	74	8820
	316	**-38.2**	**73**	**9000**
21	304	-40.7	72	9270
	300	**-41.0**	**72**	**9360**
22	283	-43.8	72	9770
	272	**-45.0**		**10000**
23	260	-46.4		10330
24	241	-50.1		10850
	234	**-51.2**		**11000**
25	226	-52.3	—	11240
26	206	-54.6	—	11830
	200	**-55.2**	—	**12000**
27	191	-56.1	—	12320
28	179	-58.1	—	12750
	172	**-58.1**	—	**13000**
29	166	-58.1	—	13200

13. X. 1953 14.30 h HEC

	1000	—	—	**0**
0	947.6	14.9	80	49
1	908	13.8	66	80
	893	**13.7**	**56**	**100**

Min.	PPP	TTT	UU	H m. geop.
2	868	13.4	46	1230
	850	**13.4**	**43**	**1410**
3	826	13.4	40	1650
4	**790**	**10.8**	**44**	**2000**
5	752	8.2	58	2430
6	726	5.4	68	2720
	700	**4.5**	**75**	**3000**
7	690	4.2	82	3145
8	656	2.0	84	3550
9	626	-1.2	90	3915
	620	**-1.8**	**89**	**4000**
10	596	-3.8	88	4310
11	566	-6.6	90	4720
	546	**-8.1**	**95**	**5000**
12	538	-8.6	100	5115
13	512	11.1	100	5495
	500	**-12.5**	**97**	**5680**
14	486	13.6	94	5890
	480	**-13.6**	**85**	**6000**
15	464	-13.6	76	6240
16	440	-16.6	74	6650
	420	**-18.8**	**69**	**7000**
17	416	-19.2	64	7065
	400	**-22.3**	**57**	**7365**
18	392	-23.8	50	7515
19	370	-26.2	50	7930
	366	**-27.1**	**45**	**8000**
20	348	-30.6	40	8370
21	328	-34.1	30	8790
	318	**-36.6**	**29**	**9000**
22	308	-38.1	28	9220
	300	**-39.9**	**28**	**9410**
23	284	-42.1	—	9770
	275	**-45.0**	-	**10000**
24	264	-47.6	—	10250
25	246	-51.8	—	10710
	236	**-55.3**	—	**11000**
26	230	-57.2	—	11150
27	210	-61.8	—	11710
	200	**-64.7**		**12000**
28	192	-66.8		12270
29	181	-66.8		12620

14. X. 1953 14.50 h HEC

	1000	—	—	**050**
0	948.8	15.1	53	493
1	910	14.2	41	830
	892	**12.7**	**37**	**1000**
2	874	11.4	30	1165
	850	**10.7**	**27**	**1420**
3	838	10.4	24	1525
	824	11.6	20	1650
4	808	9.8	18	1825
	792	**8.5**	**24**	**2000**
5	774	7.4	30	2170
6	740	4.6	38	2550
7	708	2.2	42	2900
	700	**1.0**	**48**	**3000**
8	678	-1.0	54	3260
9	650	-2.8	66	3590
10	620	-4.8	64	3960
	617	**-5.2**	**62**	**4000**
11	588	-7.0	60	4385
12	558	-9.2	60	4790
	544	**-11.1**	**61**	**5000**
13	532	12.2	62	5150
14	510	14.0	60	5470
	500	**-15.1**	**59**	**5635**
15	480	17.2	58	5935
	476	**-17.6**	**58**	**6009**
16	454	19.4	58	6350
17	424	23.2	42	6850
	416	**-21.8**	**41**	**7000**
18	400	-27.0	40	7280
19	378	-29.4	40	7670
	362	**-31.3**	**45**	**8000**
20	348	-32.6	50	8265
21	326	-36.2	52	8750
	314	**-38.1**	**52**	**9000**
22	**300**	**-40.0**	**52**	**9300**
23	278	-45.8	—	9810
	270	**-47.3**	—	**10000**

Min.	PPP	TTT	UU	H m. geop.
24	256	-49.2	—	10340
25	238	-53.0	—	10820
	232	**-54.7**	—	**11000**
26	220	-57.2	—	11330
27	**200**	**-59.4**	—	**11940**
	198	**-59.8**	—	**12000**
28	182	-60.2	—	12520
	169	**-58.4**	—	**13000**
29	164	-57.6	—	13170

15. X. 1953 14.45 h HEC

	1000	—	—	**090**
0	953.4	15.0	58	493
1	916	12.0	68	825
	898	**10.9**	**71**	**1000**
2	872	9.4	74	1245
	850	**7.7**	**75**	**1455**
3	834	6.4	76	1610
4	**800**	**4.8**	**78**	**1953**
	796	**4.5**	**79**	**2000**
5	760	3.8	80	2370
6	732	2.8	68	2680
7	**704**	**0.0**	**66**	**3000**
	700	**-0.5**	**68**	**3040**
8	672	-2.6	70	3365
9	638	-5.2	70	3770
	620	**-6.2**	**65**	**4000**
10	604	-7.2	60	4200
11	574	-10.2.	32	4600
12	548	-13.0	30	4950
	544	**-13.3**	**39**	**5000**
13	526	-15.6	48	5260
14	**500**	**-18.6**	**50**	**5640**
	477	**-19.4**	**45**	**6000**
15	470	-19.8	40	6100
16	442	-23.8	26	6560
17	**414**	**-27.8**	**26**	**7000**
	400	**-30.1**	**27**	**7280**
18	386	-32.6	28	7525
19	**360**	**-35.4**	**34**	**8000**
20	336	-39.0	38	8490
21	316	-44.6	—	8900
	312	**-45.1**	—	**9000**
	300	**-46.8**	—	**9255**
22	294	-47.6	—	9385
23	270	-52.6	—	9940
	268	**-52.9**	—	**10000**
24	244	-55.6	—	10600
25	**228**	**-56.0**	—	**11000**
26	210	-55.2	—	11550
	200	**-54.8**	—	**11875**
	196	**-54.6**	—	**12000**
27	192	-54.6	—	12130

16. X. 1953 14.35 h HEC

	1000	—	—	**120**
0	957.5	14.1	70	493
1	922	10.8	60	800
	900	**10.0**	**58**	**1000**
2	882	9.8	56	1160
	850	**8.2**	**55**	**1490**
3	842	8.0	54	1555
4	804	5.2	56	1925
	798	**4.4**	**58**	**2000**
5	770	2.6	60	2280
6	736	-0.2	60*	2650
	706	**-2.6**	**61**	**3000**
7	**700**	**-2.8**	**62**	**3050**
8	668	-4.4	62	3420
9	632	-5.8	60	3845
	621	**-6.5**	**60**	**4000**
10	**600**	**-7.2**	**60**	**4260**
11	566	-9.8	54	4715
	547	**-11.7**	**54**	**5000**
12	536	-12.4	54	5120
13	506	-15.4	54	5570
	500	**-16.0**	**47**	**5670**
14	**476**	**-17.4**	**40**	**6000**
15	452	-21.4	40	6400
16	428	-23.4	44	6810
	418	**-24.8**	**46**	**7000**

Min.	PPP	TTT	UU	H m. geop.
17	**400**	**-27.0**	**48**	**7310**
18	374	-29.6	48	7780
	364	**-31.8**	**48**	**8000**
19	350	-34.0	48	8250
20	322	-38.4	46	8825
	315	**-40.1**	**46**	**9000**
21	**300**	**-42.6**	—	**9300**
22	272	-47.6	—	9955
	271	**-48.0**	—	**10000**
23	248	-51.2	—	10575
	233	**-52.0**	—	**11000**
24	228	-52.0	—	11115
25	216	-50.8	—	11455
26	**200**	**-53.4**	—	**12000**

17. X. 1953 14.00 h HEC

	1000	—	—	**140**
0	960.9	15.5	60	493
1	932	12.2	74	730
2	**900**	**9.2**	**74**	**1000**
3	868	5.8	76	1325
	850	**4.2**	**78**	**1510**
4	832	3.2	80	1665
5	**796**	**2.4**	**78**	**2000**
6	760	-0.2	82	2410
7	730	-1.8	82	2730
	706	**-3.1**	**80**	**3000**
	700	**-3.3**	**80**	**3070**
9	658	-6.0	82	3550
10	628	-7.2	68	3910
	622	**-7.8**	**65**	**4000**
11	596	-9.4	62	4370
12	566	-11.0	50	4720
	546	**-12.6**	**46**	**5000**
13	532	-13.4	42	5190
14	**500**	**-16.6**	**40**	**5655**
15	482	-19.0	34	5935
	472	**-19.6**	**32**	**6000**
16	460	-21.6	30	6270
17	438	-24.8	22	6645
18	**416**	**-27.4**	**18**	**7000**
	400	**-29.6**	**17**	**7300**
19	392	-30.6	16	7440
20	368	-34.2	20	7870
	362	**-35.2**	**23**	**8000**
21	346	-37.2	26	8310
22	322	-40.2	—	8800
	313	**-41.3**	—	**9000**
23	**300**	**-42.6**	—	**9280**
24	282	-45.0	—	9700
	270	**-47.3**	—	**10000**
25	262	-48.6	—	10180
26	240	-52.4	—	10750
	232	**-52.9**	—	**11000**
27	220	-53.0	—	11310
28	206	-53.0	—	11740
	200	**-53.3**	—	**11950**
	198	**-53.3**	—	**12000**
29	192	-53.4	—	12200

18. X. 1953 14.15 h HEC

	1000	—	—	**165**
0	961.6	13.9	75	493
1	932	9.8	84	755
	905	**6.8**	**85**	**1000**
2	**900**	**6.2**	**86**	**1040**
3	870	4.4	88	1315
	850	**5.8**	**81**	**1510**
4	836	6.6	74	1640
5	**800**	**5.0**	**62**	**2000**
6	762	2.0	64	2400
7	734	0.2	62	2700
	707	**-2.1**	**61**	**3000**
8	**700**	**-2.6**	**60**	**3080**
9	664	-6.8	72	3510
10	628	-9.0	88	3930
	622	**-9.4**	**88**	**4000**
11	592	-11.0	88	4380
12	560	-13.8	88	4810
	546	**-14.2**	**86**	**5000**
13	530	-14.8	84	5230

Min.	PPP	TTT	UU	H m. geop.
14	**500**	**-18.8**	**74**	**5670**
	478	**-20.3**	**72**	**6000**
15	472	-21.2	70	6100
16	444	-25.2	68	6540
	417	**-28.4**	**67**	**7000**
17	414	-29.0	66	7045
	400	**-30.8**	—	**7290**
18	386	-32.8	62	7540
19	364	-36.6	58	7950
	361	**-37.2**	**58**	**8000**
20	338	-41.8	—	8465
21	**312**	**-46.2**	—	**9000**
	300	**-48.7**	—	**9260**
22	288	-51.4	—	9530
23	**268**	**-56.0**	—	**10000**
24	248	-59.4	—	10490
25	**228**	**-65.4**	—	**11000**
26	210	-63.8	—	11490
	200	**-63.3**	—	**11800**
27	196	-63.2	—	11930

19. X. 1953 14.55 h HEC

	1000	—	—	**190**
0	964.7	14.0	74	493
1	918	10.5	77	920
	908	**9.7**	**78**	**1000**
2	879	7.5	79	1270
	850	**6.6**	**75**	**1545**
3	840	6.1	73	1640
	804	**7.6**	**57**	**2000**
4	797	7.8	54	2080
5	761	5.1	63	2460
6	721	1.2	67	2890
	711	**0.8**	**69**	**3000**
	700	**0.1**	**70**	**3130**
7	687	-0.7	72	3290
8	652	-4.1	74	3700
	628	**-6.6**	**76**	**4000**
9	622	-7.3	77	4070
10	586	-10.0	78	4530
11	555	-12.9	78	4950
	551	**-13.2**	**78**	**5000**
12	521	-15.4	78	5430
	500	**-17.0**	**77**	**5740**
13	**484**	**-18.2**	**76**	**6000**
14	455	-21.3	76	6450
15	424	-25.3	76	6960
	421	**-25.7**	**75**	**7000**
	400	**-29.6**	**71**	**7370**
16	394	-30.7	70	7480
17	370	-33.7	70	7920
	366	**-34.2**	**69**	**8000**
18	348	-37.1	65	8350
19	324	-41.3	—	8840
	316	**-42.9**	—	**9000**
20	302	-45.8	—	9310
	300	**-46.1**	—	**9355**
21	278	-50.9	—	9860
	272	**-52.2**	—	**10000**
22	259	-54.7	—	10320
23	238	-58.9	—	10860
	232	**-59.8**	—	**11000**
24	218	-62.2	—	11410

20. X. 1953 14.35 h HEC

	1000	—	—	**195**
0	965.3	14.5	65	493
1	945	11.5	100	670
	909	**9.5**	**100**	**1000**
2	903	9.1	100	1050
3	862	7.0	100	1430
	850	**6.3**	**77**	**1555**
4	822	4.3	70	1830
	803	**8.5**	**50**	**2000**
5	785	8.4	44	2200
6	743	6.0	42	2660
	712	**2.8**	**44**	**3000**
7	711	2.6	45	3030
	700	**2.1**	**47**	**3140**
8	680	0.8	50	3380
9	651	-1.7	55	3720
	629	**-3.6**	**56**	**4000**

Min.	PPP	TTT	UU	H m. geop.
10	620	-4.4	57	4110
11	592	-7.1	59	4480
12	563	-10.4	53	4870
	553	**-10.8**	**56**	**5000**
13	536	-11.4	60	5250
14	506	-13.8	62	5690
	500	**-14.5**	**60**	**5770**
	485	**-16.2**	**55**	**6000**
15	476	-17.7	53	6150
16	450	-20.8	43	6550
17	**423**	**-24.1**	**39**	**7000**
	400	**-28.1**	**36**	**7420**
18	395	-29.2	35	7510
19	**368**	**-32.0**	**32**	**8000**
20	340	-35.7	32	8570
	319	**-40.6**	—	**9000**
21	317	-41.3	—	9050
	300	**-43.5**	—	**9420**
22	290	-45.0	—	9650
	275	**-47.7**	—	**10000**
23	269	-49.0	—	10150
24	246	-54.1	—	10740
	236	**-56.0**	—	**11000**
25	227	-58.0	—	11240
26	208	-56.6	—	11800
	202	**-57.2**	—	**12000**
	200	**-57.2**	—	**12045**
27	192	-58.0	—	12310
28	176	-59.7	—	12850
	172	**-59.3**	—	**13000**
29	159	-58.6	—	13490

21. X. 1953 14.35 h HEC

	1000	—	—	**170**
0	960.7	14.8	56	493
1	**900**	**9.0**	**85**	**1000**
2	855	6.0	96	1460
	850	**6.5**	**75**	**1515**
3	816	10.0	60	1840
	801	**9.6**	**50**	**2000**
4	782	9.6	38	2200
5	748	6.9	40	2560
6	715	4.2	36	2940
	710	**3.9**	**35**	**3000**
	700	**3.1**	**33**	**3105**
7	678	1.6	32	3360
8	642	-1.0	28	3800
	627	**-2.6**	**25**	**4000**
9	612	-4.0	22	4170
10	580	-7.0	24	4600
11	**550**	**-10.6**	**32**	**5000**
12	525	-13.8	40	5360
13	**500**	**-16.5**	**45**	**5740**
	483	**-18.5**	**46**	**6000**
14	470	-20.0	48	6200
15	442	-23.4	52	6660
	422	**-26.1**	**54**	**7000**
16	417	-26.8	56	7070
	400	**-28.9**	**56**	**7375**
17	390	-30.0	56	7550
18	368	-33.2	60	7960
	366	**-33.5**	**62**	**8000**
19	348	-36.4	64	8360
20	324	-40.0	—	8850
	317	**-40.9**	—	**9000**
21	**300**	**-42.6**	—	**9370**
22	278	-45.4	—	9880
	273	**-46.1**	—	**10000**
23	251	-48.0	—	10480
24	**235**	**-50.0**	—	**11000**
25	218	-51.8	—	11480
	201	**-52.0**	—	**12000**
26	**200**	**-52.0**	—	**12035**
27	184	-52.2	—	12580
	172	**-51.8**	—	**13000**
28	170	-51.6	—	13080

22. X. 1953 14.30 h HEC

	1000	—	—	**135**
0	968.4	15.0	68	493
1	945	12.1	85	880
	903	**11.1**	**88**	**1000**
2	876	9.0	96	1250
	850	**10.4**	**70**	**1500**
3	831	11.2	65	1690
	801	**8.8**	**62**	**2000**
4	797	8.6	61	2040
5	759	4.6	65	2430
6	719	2.6	61	2880
	708	**1.4**	**63**	**3000**
	700	**0.3**	**65**	**3095**
7	687	-1.0	67	3250
8	653	-4.1	65	3650
	625	**-5.5**	**47**	**4000**
9	621	-5.5	44	4040
10	591	-8.5	39	4420
11	561	-11.2	44	4830
	548	**-12.6**	**48**	**5000**
12	534	-15.0	52	5270
13	508	-18.9	64	5570
	500	**-19.9**	**66**	**5700**
14	**479**	**-22.9**	**75**	**6000**
15	450	-26.4	73	6470
16	423	-30.5	78	6920
	418	**-31.0**	**79**	**7000**
	400	**-33.5**	**80**	**7305**
17	393	-34.4	81	7420
18	366	-37.2	79	7930
	362	**-37.8**	**78**	**8000**
19	341	-40.5	—	8420
20	317	-45.1	—	8910
	312	**-46.0**	—	**9000**
	300	**-48.2**	—	**9270**
21	291	-50.2	—	9480
22	**268**	**-52.2**	—	**10000**
23	248	-53.2	—	10500
	230	**-54.1**	—	**11000**
24	229	-54.2	—	11030
25	209	-55.5	—	11620
	200	**-56.4**	—	**11890**
	197	**-56.8**	—	**12000**
26	189	-57.7	—	12250
27	175	-57.9	—	12740
	168	**-58.0**	—	**13000**
28	160	-58.3	—	13300

23. X. 1953 14.35 h HEC

	1000	—	—	**160**
0	961.3	14.1	80	493
1	927	11.1	80	800
	905	**10.2**	**78**	**1000**
2	885	9.0	76	1190
	850	**7.0**	**76**	**1520**
3	847	6.8	76	1550
4	811	3.5	76	1900
	801	**3.3**	**74**	**2000**
5	775	1.8	70	2270
6	744	-0.4	72	2610
7	712	-3.3	78	2960
	708	**-3.5**	**79**	**3000**
	700	**-4.0**	**80**	**3085**
8	678	-5.5	83	3340
9	650	-7.8	82	3670
10	**622**	**-10.2**	**76**	**4000**
11	593	-13.2	78	4380
12	566	-14.4	67	4730
	546	**-16.1**	**62**	**5000**
13	537	-17.0	60	5130
14	514	-19.8	55	5450
	500	**-21.4**	**52**	**5655**
15	490	-22.6	49	5800
	477	**-24.1**	**52**	**6000**
16	465	-25.4	54	6190
17	437	-29.2	57	6640
	415	**-31.1**	**54**	**7000**
18	409	-31.7	53	7110
	400	**-32.4**	**52**	**7265**
19	385	-33.9	49	7500
	360	**-36.1**	**48**	**8000**
20	357	-36.5	48	8050
21	335	-38.2	47	8500
22	**312**	**-41.2**	—	**9000**
	300	**-42.4**	—	**9250**
23	289	-43.9	—	9500
24	**268**	**-46.1**	—	**10000**
25	248	-48.6	—	10520
26	**230**	**-50.9**	—	**11000**
27	212	-51.7	—	11550
	200	**-51.8**	—	**11925**
	198	**-51.8**	—	**12000**
28	194	-51.9	—	12130
29	177	-51.9	—	12720
	170	**-52.2**	—	**13000**
30	165	-52.4	—	13180

24. X. 1953 14.05 h HEC

	1000	—	—	**165**
0	961.7	13.0	75	493
1	927	9.8	78	800
	905	**8.8**	**73**	**1000**
2	894	8.1	70	1110
3	**850**	**6.2**	**64**	**1520**
4	813	3.8	61	1890
	801	**3.2**	**61**	**2000**
5	773	1.3	62	2290
6	731	-1.1	66	2740
	707	**-2.0**	**66**	**3000**
	700	**-2.3**	**66**	**3085**
7	695	-2.5	66	3140
8	660	-4.3	55	3550
9	632	-6.6	49	3890
	623	**-7.0**	**46**	**4000**
10	599	-8.3	38	4310
11	569	-10.7	30	4710
	547	**-12.5**	**25**	**5000**
12	541	-13.1	23	5100
13	514	-16.2	21	5490
	500	**-18.1**	**22**	**5680**
14	489	-19.6	23	5850
	479	**-20.6**	**23**	**6000**
15	463	-22.2	24	6250
16	436	-26.0	23	6700
	418	**-27.8**	**23**	**7000**
17	413	-28.5	23	7100
	400	**-29.7**	**23**	**7310**
18	386	-31.0	22	7570
	363	**-34.3**	**22**	**8000**
19	361	-34.7	22	8040
20	334	-38.0	22	8590
	314	**-40.4**	—	**9000**
21	308	-41.2	—	9140
	300	**-42.5**	—	**9310**
22	281	-46.0	—	9750
	270	**-48.1**	—	**10000**
23	260	-50.5	—	10260
24	240	-55.0	—	10780
	232	**-56.3**	—	**11000**
25	220	-59.1	—	11330
26	202	-62.5	—	11860
	200	**-62.9**	—	**11925**
	198	**-63.2**	—	**12000**
	195	**-64.0**	—	**12080**
27	183	-62.6	—	12480

25. X. 1953 14.10 h HEC

	1000	—	—	**130**
0	957.3	11.0	85	493
1	908	10.9	82	940
	901	**10.6**	**80**	**1000**
2	879	9.1	72	1210
	850	**7.1**	**77**	**1485**
3	845	6.8	78	1540
4	810	4.1	79	1880
	798	**3.4**	**79**	**2000**
5	771	1.8	78	2280
6	736	-0.5	78	2660
7	**703**	**-2.6**	**89**	**3000**
	700	**-2.7**	**89**	**3055**
8	669	-4.7	89	3410
9	632	-6.5	87	3860
	620	**-7.5**	**89**	**4000**
10	**600**	**-9.5**	**92**	**4260**
11	580	-10.6	84	4530
12	551	-12.6	72	4920
	545	**-12.9**	**69**	**5000**
13	524	-14.7	62	5300
	500	**-16.4**	**56**	**5655**
14	495	-16.8	55	5730
	477	**-18.4**	**62**	**6000**
15	469	-19.5	64	6140
16	447	-21.4	70	6490
17	422	-23.9	68	6910
	417	**-24.4**	**67**	**7000**
	400	**-26.1**	**61**	**7295**
18	397	-26.6	63	7350
19	373	-29.7	57	7800
	369	**-31.4**	**55**	**8000**
20	350	-33.6	53	8260
21	330	-36.4	57	8670
	314	**-38.8**	—	**9000**
22	307	-40.2		9170
	300	**-41.2**		**9310**
23	281	-44.8		9760
	271	**-46.3**		**10000**
24	259	-48.8		10360
25	234	-53.2		10990
	232	**-53.5**	—	**11000**
26	213	-57.9		11570
27	**200**	**-60.4**		**11955**
	198	**-60.2**		**12000**
28	178	-58.3		12690
	169	**-57.1**		**13000**
29	164	-56.6		13210

26. X. 1953 14.40 h HEC

	1000	—	—	**160**
0	958.2	12.0	62	493
1	918	7.5	85	840
	902	**6.6**	**93**	**1000**
2	875	4.9	100	1240
	850	**3.7**	**100**	**1470**
3	834	2.7	100	1640
4	**798**	**0.8**	**100**	**2000**
5	765	-0.1	100	2320
6	738	-2.1	100	2610
	704	**-4.0**	**100**	**3000**
	700	**-4.2**	**100**	**3035**
7	696	-4.5	100	3070
8	660	-7.1	100	3500
9	625	-9.7	84	3920
	619	**-10.1**	**81**	**4000**
10	589	-12.5	76	4370
11	558	-15.2	78	4780
	543	**-16.5**	**72**	**5000**
12	532	-17.4	62	5130
13	**500**	**-20.4**	**42**	**5610**
	474	**-23.6**	**40**	**6000**
14	468	-24.6	38	6090
15	440	-28.3	36	6540
	413	**-31.3**	**39**	**7000**
16	407	-32.0	40	7090
	400	**-32.8**	**41**	**7230**
17	382	-34.8	42	7540
	358	**-38.5**	**43**	**8000**
18	354	-39.0	43	8080
19	329	-42.9	—	8560
	308	**-46.5**	—	**9000**
20	303	-47.5	—	9110
	300	**-47.6**	—	**9130**
21	280	-50.0	—	9630
	265	**-50.8**	—	**10000**
22	258	-51.1	—	10100
23	235	-50.7	—	10700
	227	**-50.7**	—	**11000**
24	217	-50.7	—	11300
	200	**-50.7**	—	**11800**
25	197	-50.6	—	11900
	195	**-50.6**	—	**12000**
26	180	-51.0	—	12350

27. X. 1953 14.45 h HEC

	1000	—	—	**0**
0	952.4	11.0	77	4
1	**922**	**9.0**	**78**	**7**
	896	**7.7**	**79**	**10**
2	883	7.2	80	11
	850	**6.1**	**65**	**14**

Min.	PPP	TTT	UU	H m. geop.
3	844	5.8	60	1490
1	**805**	**3.0**	**68**	**1870**
	793	**3.3**	**65**	**2000**
5	766	3.8	58	2270
6	731	0.8	60	2660
7	**700**	**-2.0**	**65**	**3000**
8	666	-5.4	73	3400
9	632	-7.3	76	3810
	616	**-7.7**	**78**	**4000**
10	**600**	**-9.6**	**80**	**4200**
11	572	-12.0	78	4570
12	543	-14.0	70	4970
	541	**-14.0**	**70**	**5000**
13	517	-15.8	60	5330
	500	**-17.8**	**53**	**5595**
14	495	-18.4	50	5670
	474	**-19.6**	**46**	**6000**
15	465	-20.0	43	6120
16	434	-23.3	40	6630
17	**412**	**-28.0**	**40**	**7000**
	400	**-30.0**	**40**	**7225**

28. X. 1953 14.40 h HEC

	1000	—	—	**130**
0	955.7	14.0	67	493
1	916	9.5	88	860
	901	**8.3**	**92**	**1000**
2	873	6.3	95	1250
	850	**4.7**	**89**	**1480**
3	826	3.7	84	1720
	797	**1.3**	**83**	**2000**
4	785	0.6	82	2120
5	741	-2.5	78	2580
6	705	-5.6	83	2970
	702	**-5.8**	**85**	**3000**
	700	**-5.9**	**86**	**3040**
7	670	-8.2	87	3380
8	634	-11.0	82	3810
	618	**-11.5**	**88**	**4009**
9	**600**	**-11.8**	**95**	**4220**
10	566	-14.2	100	4670
	542	**-16.3**	**100**	**5000**
11	535	-17.0	100	5110
12	505	-19.9	100	5530
	500	**-20.4**	**90**	**5605**
13	**475**	**-22.2**	**47**	**6000**
14	446	-25.2	34	6440
15	418	-28.2	39	6900
	413	**-28.9**	—	**7000**
	400	**-30.7**	**20**	**7220**
16	388	-32.3	20	7440
17	363	-34.8	20	7920
	358	**-35.5**	—	**8000**
18	342	-38.4	20	8330
19	318	-42.2	—	8820
	310	**-43.4**	—	**9000**
	300	**-45.0**	—	**9215**
20	295	-45.8	—	9320
21	270	-50.2	—	9910
	266	**-50.8**	—	**10000**
22	248	-53.4	—	10170
23	**228**	**-57.5**	—	**11000**
24	210	-60.8	—	11500
	200	**-61.5**	—	**11830**
	194	**-61.9**	—	**12000**
25	193	-62.0	—	12040
26	178	-60.4	—	12540
27	**165**	**-62.1**	—	**13000**

29. X. 1953 14.40 h HEC

	1000	—	—	**160**
0	959.7	8.5	78	493
1	938	4.7	80	670
	902	**2.9**	**81**	**1000**
2	895	2.8	82	1060
	850	**-0.7**	**83**	**1470**
3	848	-1.0	83	1500
4	798	-3.7	80	1960
	796	**-3.8**	**81**	**2000**
5	758	-6.2	85	2370
6	725	-8.2	80	2720
	700	**-9.8**	**80**	**3000**
7	691	-10.3	80	3090
8	658	-13.0	77	3470
9	624	-15.0	70	3860
	614	**-15.9**	**68**	**4000**
10	590	-17.4	60	4300
11	559	-20.6	58	4700
	537	**-22.8**	**57**	**5000**
12	532	-23.2	56	5050
13	504	-25.6	63	5450
	500	**-26.3**	**65**	**5510**
14	476	-29.0	72	5870
	467	**-29.7**	**73**	**6000**
15	450	-31.4	75	6250
16	422	-34.2	76	6710
	406	**-36.8**	**76**	**7000**
	400	**-37.6**	**76**	**7085**
17	396	-38.0	76	7160
18	369	-41.6	—	7630
	351	**-44.0**	—	**8000**
19	344	-44.8	—	8110
20	320	-48.8	—	8590
	301	**-52.0**	—	**9000**
	300	**-52.3**	—	**9025**
21	296	-52.6	—	9100
22	276	-55.8	—	9550
23	**256**	**-57.2**	—	**10000**
24	240	-52.2	—	10440
25	**220**	**-52.2**	—	**11000**
26	203	-52.0	—	11520
	200	**-52.2**	—	**11630**
27	188	-53.2	—	12000
28	177	-53.0	—	12410

30. X. 1953 14.45 h HEC

	1000	—	—	**170**
0	960.0	11.0	50	493
1	916	6.1	72	890
	905	**5.0**	**80**	**1000**
2	883	3.0	88	1180
3	**850**	**-0.1**	**98**	**1495**
4	813	-2.8	100	1840
	798	**-3.0**	**83**	**2000**
5	770	-3.2	63	2280
6	731	-5.2	40	2690
	703	**-7.4**	**37**	**3000**
7	**700**	**-7.6**	**34**	**3030**
8	668	-10.0	28	3380
9	634	-12.5	23	3780
	618	**-14.0**	**22**	**4000**
10	606	-14.9	21	4130
11	580	-16.2	17	4460
12	553	-17.9	17	4840
	540	**-18.8**	**17**	**5000**
13	524	-19.6	17	5220
	500	**-21.0**	**23**	**5560**
14	496	-21.0	28	5630
	472	**-22.8**	**50**	**6000**
15	468	-23.0	62	6060
16	437	-25.5	66	6560
17	**410**	**-28.0**	**74**	**7000**
	400	**-29.2**	**78**	**7185**
18	382	-31.3	81	7520
19	**357**	**-34.4**	**78**	**8000**
20	334	-37.9	80	8470
21	311	-41.1	—	8950
	309	**-41.7**	—	**9000**
	300	**-43.2**	—	**9190**
22	**288**	**-45.6**	—	**9450**
23	268	-48.8	—	9940
	266	**-49.0**	—	**10000**
24	247	-52.8	—	10470
25	**228**	**-55.5**	—	**11000**
26	211	-57.4	—	11480
27	**200**	**-57.8**	—	**11820**
	195	**-57.3**	—	**12000**
28	183	-56.3	—	12370

31. X. 1953 14.05 h HEC

	1000	—	—	**150**
0	957.0	8.0	64	493
1	932	4.0	68	710
	900	**4.0**	**69**	**1000**
2	890	4.0	70	1080
3	853	3.3	20	1430
	850	**3.2**	**19**	**1445**
4	815	2.0	18	1800
	795	**0.5**	**33**	**2000**
5	783	-0.3	40	2120
6	736	-3.0	47	2610
7	**700**	**-6.6**	**44**	**3000**
8	664	-9.0	49	3410
9	631	-10.6	50	3800
	616	**-12.0**	**48**	**4000**
10	596	-13.3	47	4210
11	563	-16.8	47	4670
	539	**-19.5**	**50**	**5000**
12	537	-19.8	50	5030
13	511	-22.6	70	5390
	500	**-24.3**	**71**	**5545**
14	490	-25.5	73	5690
	470	**-27.8**	**73**	**6000**
15	458	-29.0	73	6170
16	433	-31.6	74	6570
	408	**-35.0**	**74**	**7000**
17	**400**	**-36.2**	**74**	**7135**
18	376	-40.2	—	7550
	353	**-43.2**	—	**8000**
19	350	-43.5	—	8040
20	326	-47.6	—	8520
	303	**-51.0**	—	**9000**
21	**300**	**-51.0**	—	**9060**
22	277	-55.0	—	9580
	259	**-56.7**	—	**10000**
23	255	-57.0	—	10100
24	230	-59.0	—	10740
	221	**-59.2**	—	**11000**
25	206	-59.8	—	11440
	200	**-59.9**	—	**11665**

1. XI. 1953 14.05 h HEC

	1000	—	—	**130**
0	953.4	9.5	52	493
1	906	7.0	46	910
	898	**6.6**	**36**	**1000**
	865	5.9	27	1300
	850	**5.0**	**24**	**1450**
3	825	4.2	22	1680
	794	**1.4**	**25**	**2000**
4	786	0.9	29	2080
5	747	-2.1	72	2480
6	710	-4.3	80	2880
	700	**-5.2**	**65**	**3000**
7	670	-7.4	50	3340
8	638	-10.2	80	3720
	615	**-12.5**	**80**	**4000**
9	606	-13.1	80	4110
10	575	-16.2	52	4510
11	543	-18.6	76	4930
	538	**-19.1**	**75**	**5000**
12	515	-20.7	74	5330
	500	**-21.7**	**61**	**5540**
13	481	-22.9	53	5830
	470	**-24.0**	**40**	**6000**
14	450	-25.9	30	6320
15	422	-28.0	10	6770
	409	**-28.9**	**10**	**7000**
	400	**-29.4**	**10**	**7155**
16	393	-29.9	10	7290
17	364	-33.8	10	7810
	355	**-35.7**	**12**	**8000**
18	339	-38.6	15	8320
19	316	-43.0	—	8800
	306	**-44.8**	—	**9000**
	300	**-45.9**	—	**9140**
20	289	-48.1	—	9390
	264	**-52.4**	—	**10000**
21	262	-52.5	—	10040
22	240	-57.3	—	10600
	225	**-57.2**	—	**11000**
23	218	-57.1	—	11210
	200	**-55.3**	—	**11745**
24	198	-55.1	—	11810
	193	**-55.4**	—	**12000**
25	181	-56.0	—	12380

2. XI. 1953 14.30 h HEC

	1000	—	—	**070**
0	951.2	7.5	85	493
1	904	5.4	86	910
	894	**4.9**	**88**	**1000**
2	866	3.0	90	1250
	850	**2.2**	**91**	**1410**
3	832	0.8	92	1580
4	**800**	**-2.2**	**72**	**1890**
	790	**-2.5**	**72**	**2000**
5	764	-4.2	72	2255
6	734	-5.2	76	2580
7	**700**	**-7.4**	**90**	**2950**
	695	**-7.6**	**94**	**3000**
8	664	-10.2	98	3360
9	628	-12.6	92	3790
	610	**-14.1**	**90**	**4000**
10	596	-15.8	88	4175
11	566	-19.4	88	4565
12	536	-21.6	70	4970
	533	**-21.8**	**62**	**5000**
13	506	-24.2	54	5390
	500	**-24.6**	**52**	**5480**
14	478	-28.0	50	5800
	464	**-29.7**	**47**	**6000**
15	450	-32.0	44	6235
16	420	-35.4	52	6720
	403	**-37.8**	**53**	**7000**
	400	**-38.2**	**54**	**7055**
17	394	-39.0	54	7150
18	364	-42.4	54	7700
	348	**-45.1**	**54**	**8000**
19	342	-46.2	54	8120
20	318	-50.6	—	8600
	300	**-51.0**	—	**9000**
21	292	-51.2	—	9160
22	268	-54.2	—	9710
	256	**-53.3**	—	**10000**
23	244	-52.2	—	10310
24	226	-51.0	—	10820
	219	**-50.6**	—	**11000**
25	208	-50.2	—	11350
	200	**-49.9**	—	**11600**
26	192	-49.4	—	11890

3. XI. 1953 14.35 h HEC

	1000	—	—	**095**
0	952.6	7.0	55	493
1	900	2.6	88	960
	894	**2.3**	**94**	**1000**
2	856	-0.6	100	1360
	850	**-1.0**	**100**	**1415**
3	808	-5.0	100	1815
	789	**-6.2**	**100**	**2000**
4	764	-7.6	100	2245
5	718	-8.6	82	2735
	700	**-9.6**	**88**	**2930**
	693	**-10.4**	**97**	**3000**
6	684	-11.0	94	3110
7	648	-13.0	100	3510
8	610	-15.8	100	3970
	608	**-16.1**	**100**	**4000**
9	572	-19.0	100	4450
10	540	-21.2	100	4880
	532	**-22.2**	**100**	**5000**
11	510	-24.8	100	5300
	500	**-25.7**	**100**	**5455**
12	482	-27.4	100	5710
	163	**-29.5**	**100**	**6000**
13	452	-30.4	100	6160
14	420	-34.0	100	6680
	403	**-35.6**	**100**	**7000**
	400	**-36.0**	**100**	**7040**
15	394	-36.6	100	7130
16	368	-38.2	86	7610
	347	**-38.8**	**70**	**8000**
17	338	-39.0	54	8190
18	316	-42.0	42	8660
	300	**-43.3**	**40**	**9000**
19	290	-44.2	38	9230
20	268	-45.2	38	9750
	258	**-45.3**	—	**10000**

Min.	PPP	TTT	UU	H m. geop.
21	244	−45.6	—	10380
22	224	−45.6	—	10950
	222	**−45.9**	—	**11000**
23	**200**	**−47.8**	—	**11700**
	191	**−47.8**	—	**12000**
24	188	−47.8	—	12110

4. XI. 1953 14.35 h HEC

	1000			**115**
0	956.0	6.2	75	493
1	906	2.0	80	925
	898	**2.0**	**71**	**1000**
2	866	2.0	62	1290
	850	**2.4**	**58**	**1440**
3	832	2.6	54	1610
4	**794**	**0.6**	**82**	**2000**
5	752	−1.0	84	2425
6	714	−3.6	80	2830
	700	**−4.6**	**78**	**3000**
7	684	−6.0	76	3175
8	648	−8.2	78	3600
	616	**−10.3**	**77**	**4000**
9	610	−11.0	76	4060
10	578	−13.2	74	4470
11	546	−16.2	66	4900
	539	**−16.6**	**60**	**5000**
12	516	−18.8	54	5330
	500	**−21.3**	**41**	**5570**
13	190	−22.8	28	5710
	471	**−24.7**	**19**	**6000**
14	460	−25.8	10	6160
15	430	−27.8	10	6660
	410	**−29.7**	**10**	**7000**
16	404	−30.2	10	7100
	400	**−30.8**	**10**	**7180**
17	380	−33.4	10	7540
18	**356**	**−36.2**	**10**	**8000**
19	332	−39.8	12	8480
20	**308**	**−43.6**	—	**9000**
	300	**−44.9**	—	**9160**
21	284	−47.6	—	9520
22	**264**	**−51.2**	—	**10000**
23	242	−54.6	—	10550
	226	**−53.0**	—	**11000**
24	220	−52.2	—	11180
25	**200**	**−53.8**	—	**11790**
	194	**−54.5**	—	**12000**
26	184	−55.8	—	12320

5. XI. 1953 14.45 h HEC

	1000			**115**
0	959.1	8.0	75	493
1	906	3.2	80	960
	901	**3.2**	**80**	**1000**
2	868	2.8	80	1300
	850	**3.0**	**67**	**1480**
3	826	3.0	54	1710
	796	**2.8**	**47**	**2000**
4	786	2.6	40	2110
5	748	0.8	32	2510
6	712	−1.8	26	2900
	700	**−2.5**	**24**	**3000**
7	672	−4.8	22	3350
8	638	−7.6	18	3750
	618	**−9.1**	**17**	**4000**
9	**600**	**−10.8**	**16**	**4240**
10	568	−14.8	16	4660
	542	**−17.8**	**17**	**5000**
11	534	−18.6	18	5120
12	**500**	**−21.0**	**22**	**5610**
	474	**−20.7**	**25**	**6000**
13	470	−20.6	28	6060
14	440	−23.8	32	6540
	413	**−26.9**	**34**	**7000**
15	410	−27.4	36	7060
	400	**−28.3**	**37**	**7240**
16	384	−30.2	38	7520
	360	**−33.1**	**39**	**8000**
17	356	−33.8	40	8060
18	330	−37.6	40	8590
	311	**−40.8**	**40**	**9000**
19	308	−41.4	40	9060
	300	**−42.6**	**40**	**9240**

Min.	PPP	TTT	UU	H m. geop.
20	284	−45.0	40	9610
	268	**−46.9**	—	**10000**
21	262	−47.6	—	10140
22	238	−51.2	—	10760
	230	**−52.5**	—	**11000**
23	218	−54.4	—	11340
24	**200**	**−54.8**	—	**11890**
	197	**−54.6**		**12000**
25	186	−54.4	—	12350

6. XI. 1953 14.40 h HEC

	1000	—	—	**225**
0	968.7	6.0	85	493
1	926	2.6	88	850
	909	**0.6**	**90**	**1000**
2	884	−3.2	92	1220
	850	**−3.7**	**94**	**1540**
3	846	−3.8	94	1580
4	812	−7.6	96	1890
	800	**−8.5**	**98**	**2000**
5	778	−10.2	100	2220
6	734	−13.0	100	2680
	706	**−12.4**	**94**	**2970**
	700	**−13.3**	**89**	**3000**
7	692	−14.8	84	3120
8	654	−19.2	68	3560
9	618	−19.2	54	3970
	614	**−19.3**	**40**	**4000**
10	584	−21.4	26	4390
11	558	−23.8	10	4720
	537	**−25.7**	**10**	**5000**
12	528	−26.6	10	5130
13	**500**	**−28.6**	**10**	**5510**
14	470	−32.2	10	5960
	467	**−32.5**	**10**	**6000**
15	442	−34.6	10	6380
16	412	−37.8	10	6870
	405	**−38.6**	**10**	**7000**
	400	**−39.1**	**10**	**7080**
17	384	−41.0	10	7360
18	358	−44.8	10	7840
	349	**−45.6**	**10**	**8000**
19	332	−47.4	10	8330
20	**300**	**−50.0**	**10**	**9000**
21	278	−50.8	—	9480
	258	**−51.1**	—	**10000**
22	251	−51.2		10080
23	232	−50.8	—	10630
	221	**−50.3**		**11000**
24	208	−50.2		11380
	200	**−51.5**		**11650**
	190	**−53.2**		**12000**
25	188	−53.8	—	12050

7. XI. 1953 13.40 h HEC

	1000	—	—	**230**
0	969.2	6.5	70	493
1	949	0.0	70	660
	909	**−3.1**	**68**	**1000**
2	**900**	**−3.8**	**66**	**1090**
3	**850**	**−3.2**	**52**	**1540**
4	812	−2.8	38	1890
	801	**−3.3**	**37**	**2000**
5	776	−5.0	36	2250
6	740	−4.2	34	2630
7	**708**	**−5.8**	**34**	**3000**
	700	**−6.2**	**34**	**3060**
8	680	−7.4	34	3290
9	648	−9.2	36	3660
	620	**−9.9**	**36**	**4000**
10	612	−10.2	36	4100
11	582	−12.2	34	4490
12	550	−15.2	34	4920
	544	**−15.9**	**34**	**5000**
13	514	−19.4	34	5440
	500	**−21.3**	**34**	**5630**
14	484	−23.8	34	5870
	475	**−25.0**	**34**	**6000**
15	456	−28.0	34	6300
16	428	−29.4	38	6750
	413	**−31.7**	**39**	**7000**

Min.	PPP	TTT	UU	H m. geop.
17	404	−33.4	40	7160
	400	**−33.8**	**40**	**7210**
18	376	−37.8	40	7660
	358	**−40.1**	—	**8000**
19	352	−41.0	—	8120
20	328	−44.8	—	8590
	309	**−47.1**	—	**9000**
21	300	−48.2		9180
22	280	−53.2		9840
	265	**−56.9**	—	**10000**
23	262	−57.6	—	10060
24	240	−61.8	—	10600
25	**224**	**−65.8**	—	**11000**
26	208	−68.2	—	11470
	200	**−68.8**	—	**11720**
27	192	−69.4	—	11960

8. XI. 1953 14.15 h HEC

	1000	—	—	**220**
0	967.3	1.0	100	493
1	920	5.2	58	890
	908	**6.0**	**47**	**1000**
2	884	6.8	36	1210
	850	**7.7**	**36**	**1540**
3	842	7.8	36	1615
4	**802**	**6.2**	**36**	**2000**
5	768	5.8	36	2370
6	736	4.2	36	2725
	711	**3.4**	**36**	**3000**
	700	**2.8**	**36**	**3120**
7	694	2.6	36	3210
8	664	0.2	36	3550
9	**630**	**−2.2**	**36**	**4000**
10	590	−5.2	36	4490
11	562	−8.2	36	4870
	552	**−8.9**	**36**	**5000**
12	534	−10.4	36	5260
13	506	−13.2	36	5675
	500	**−13.8**	**36**	**5770**
	485	**−15.3**	**36**	**6000**
14	476	−16.4	36	6140
15	448	−14.4	36	6590
	424	**−21.9**	**36**	**7000**
16	**420**	**−22.6**	**36**	**7060**
	400	**−25.2**	**36**	**7920**
17	388	−27.0	36	7650
	369	**−29.2**	**36**	**8000**
18	362	−30.4	36	8140
19	338	−33.8	36	8630

9. XI. 1953 14.35 h HEC

	1000			**200**
0	965.0	4.8	85	493
	946	1.7	94	660
1	929	3.7	80	800
	907	**6.8**	**45**	**1000**
2	891	9.1	22	1140
3	**850**	**7.1**	**22**	**1535**
4	816	5.7	20	1870
	803	**4.9**	**19**	**2000**
5	781	4.1	18	2220
6	747	2.9	18	2580
7	711	2.3	18	2970
	709	**2.1**	**18**	**3000**
	700	**1.6**	**18**	**3110**
8	677	0.3	19	3370
9	646	−2.9	19	3740
	625	**−4.8**	**20**	**4000**
10	616	−5.5	20	4120
11	583	−7.7	19	4550
12	556	−9.8	18	4920
	550	**−10.4**	**18**	**5000**
13	527	12.9	17	5320
14	**500**	**−16.1**	**17**	**5725**
	482	**−17.8**	**17**	**6000**
15	471	−18.9	17	6170
16	447	−21.0	20	6570
17	424	−25.4	37	6950
	421	**−26.0**	**38**	**7000**
18	**400**	**−29.2**	**44**	**7365**
19	376	−33.2	50	7800
	366	**−35.3**	**51**	**8000**

Min.	PPP	TTT	UU	H m. geop.
20	353	−37.9	52	8240
21	328	−41.3		8750
	316	**−43.2**		**9000**
22	306	−44.9	—	9220
	300	**−46.1**		**9345**
23	287	−49.0	—	9640
	272	**−52.1**	—	**10000**
24	266	−53.1	—	10110
25	249	−56.5	—	10560
26	**233**	**−60.4**	—	**11000**
27	214	−64.6	—	11500
	200	**−67.4**		**11910**
28	**197**	**−68.1**	—	**12000**
29	180	−70.8	—	12540
	167	**−71.2**	—	**13000**
30	163	−71.5	—	13130

10. XI. 1953 14.40 h HEC

	1000	—	—	**220**
0	967.8	2.5	95	493
	940	2.5	100	710
1	918	7.0	90	900
	909	**7.0**	**75**	**1000**
2	884	6.8	58	1220
3	852	4.8	48	1520
	850	**4.7**	**41**	**1550**
4	822	2.8	40	1820
	801	**1.6**	**40**	**2000**
5	784	0.4	39	2200
6	751	−0.8	40	2540
7	713	−2.0	35	2950
	710	**−2.3**	**33**	**3000**
	700	**−2.7**	**31**	**3105**
8	677	−4.0	30	3360
9	636	−5.2	25	3860
	625	**−6.2**	**23**	**4000**
10	606	−7.8	20	4220
11	570	−10.3	20	4710
	549	**−12.3**	**20**	**5000**
12	542	−12.6	20	5080
13	513	−15.4	20	5510
	500	**−17.0**	**20**	**5700**
14	490	−18.3	20	5850
	481	**−19.3**	**20**	**6000**
15	466	−21.0	20	6230
16	434	−24.2	20	6750
	419	**−26.8**	**20**	**7000**
17	411	−28.2	20	7150
	400	**−29.8**	**20**	**7335**
18	384	−31.8	22	7620
	364	**−35.8**	**22**	**8000**
19	360	−36.4	22	8070
20	338	−39.8	22	8510
21	**314**	**−43.2**	—	**9000**
	300	**−45.2**	—	**9315**
22	290	−46.6	—	9530
23	**270**	**−50.0**	—	**10000**
24	249	−53.0	—	10520
	232	**−54.3**	—	**11000**
25	226	−54.6	—	11140

11. XI. 1953 13.40 h HEC

	1000	—	—	**250**
0	970.4	2.0	88	493
1	948	0.2	88	680
	912	**−1.6**	**88**	**1000**
2	900	−2.0	88	1100
	887	2.8	58	1200
3	864	2.8	33	1420
	850	**2.7**	**26**	**1535**
4	818	1.8	18	1850
	805	**1.8**	**14**	**2000**
5	780	1.6	12	2240
6	735	−1.0	12	2710
	710	**−2.0**	**12**	**3000**
7	707	−2.2	12	3030
	700	**−2.5**	**13**	**3100**
8	672	−4.0	14	3430
9	635	−6.0	16	3880
	626	**−7.0**	**16**	**4000**
10	608	−9.0	16	4280

Min.	PPP	TTT	UU	H m. geop.
11	575	-11.4	22	4650
	549	**-13.6**	**22**	**5000**
12	543	-13.8	23	5070
13	516	-16.2	15	5460
	500	**-17.6**	**15**	**5705**
14	487	-18.6	15	5900
	480	**-19.3**	**15**	**6000**
15	460	-21.0	15	6320
16	431	-25.6	15	6800
	419	**-27.0**	**17**	**7000**
17	408	-28.0	20	7200
	400	**-29.0**	**20**	**7335**
18	378	-31.6	20	7730
	365	**-34.0**	**21**	**8000**
19	355	-35.0	22	8170
20	330	-39.0	26	8680
	315	**-41.6**	-	**9000**
21	308	-42.6	28	9150
	300	**-44.5**	-	**9330**
22	287	-46.6	30	9620

12. XI. 1953 14.45 h HEC

	1000	—	—	**250**
0	970.6	3.2	77	493
1	929	1.0	100	840
	911	**2.1**	**64**	**1000**
2	894	5.0	25	1150
3	859	7.9	20	1500
	850	**7.2**	**20**	**1565**
4	817	5.9	20	1890
	806	**5.5**	**20**	**2000**
5	775	5.3	20	2330
6	737	4.0	20	2730
	713	**1.9**	**22**	**3000**
7	706	1.7	23	3080
	700	**1.2**	**23**	**3145**
8	677	0.4	23	3410
9	642	2.5	23	3840
	629	**-3.2**	**23**	**4000**
10	610	-4.8	23	4250
11	583	-7.7	30	4600
12	**552**	**-10.3**	**47**	**5000**
13	519	-12.5	52	5480
	500	**-14.0**	**47**	**5770**
14	488	-15.1	43	5950
	485	**-15.3**	**41**	**6000**
15	459	-17.5	31	6410
16	434	-20.1	30	6830
	424	**-21.3**	**30**	**7000**
17	407	-23.8	30	7300
	400	**-24.8**	**32**	**7425**
18	384	-27.7	39	7780
	370	**-29.3**	**45**	**8000**
19	355	-31.7	54	8290
20	329	-35.5	68	8830
	320	**-36.8**	**70**	**9000**
21	305	-39.3	71	9340
	300	**-40.2**	-	**9455**
22	282	-43.9	-	9870
	275	**-45.0**	—	**10000**
23	264	-47.3	—	10310
24	245	-51.0	—	10800
	238	**-52.9**	—	**11000**
25	225	-56.0	-	11350
26	209	-58.5	—	11820
	203	**-59.6**	—	**12000**
	200	**-60.3**	—	**12090**
27	191	-62.3	—	12380
28	179	-63.0	—	12780

13. XI. 1953 14.50 h HEC

	1000	—	—	**255**
0	971.7	4.9	80	493
1	927	4.7	80	890
	913	**5.6**	**61**	**1000**
2	887	7.2	22	1250
	850	**7.2**	**19**	**1585**
3	845	7.2	18	1640
4	812	6.1	17	1960
	808	**5.9**	**16**	**2000**
5	773	4.4	15	2360
6	737	1.9	15	2740
	714	**0.4**	**15**	**3000**
7	**700**	**-0.6**	**15**	**3160**
8	666	0.3	15	3560
9	**629**	**-1.7**	**15**	**4000**
10	593	-4.4	17	4480
11	558	-7.5	16	4950
	555	**-7.8**	**17**	**5000**
12	529	-11.0	20	5370
13	504	-14.1	30	5730
	500	**-14.5**	**32**	**5795**
	487	**-16.3**	**40**	**6000**
14	481	-17.1	43	6090
15	453	-21.0	40	6520
16	427	-24.4	34	6970
	425	**-24.6**	**33**	**7000**
17	401	-28.3	28	7420
	400	**-28.4**	**28**	**7435**
18	375	-33.4	28	7900
	369	**-34.5**	**29**	**8000**
19	352	-38.1	30	8330
20	330	-42.0	—	8780
	319	**-43.9**	—	**9000**
21	303	-47.0	—	9350
	300	**-47.5**	—	**9420**
22	284	-50.7	—	9770

14. XI. 1953 14.05 h HEC

	1000		—	**255**
0	971.6	1.0	80	493
	951	-0.2	100	670
1	937	1.9	84	780
	912	**4.7**	**50**	**1000**
2	897	6.4	33	1140
3	856	7.7	17	1510
	850	**7.6**	**16**	**1580**
4	817	5.7	15	1900
	807	**5.6**	**15**	**2000**
5	783	3.9	15	2250
6	753	2.2	15	2570
7	718	0.9	15	2950
	714	**0.7**	**15**	**3000**
	700	**0.4**	**15**	**3145**
8	680	-0.2	15	3390
9	650	-2.1	15	3740
	629	**-4.4**	**16**	**4000**
10	618	-5.7	17	4140
11	585	-9.2	23	4570
12	557	-12.3	33	4940
	552	**-12.5**	**32**	**5000**
13	525	-14.5	29	5400
	500	**-16.5**	**26**	**5760**
14	497	-16.9	25	5810
	484	**-18.2**	**24**	**6000**
15	469	-20.1	23	6240
16	441	-23.7	19	6700
	422	**-26.4**	**19**	**7000**
17	416	-27.3	19	7120
	400	**-29.6**	**20**	**7390**
18	389	-31.3	20	7600
	367	**-34.9**	**21**	**8000**
19	363	-35.5	21	8080
20	341	-40.1	22	8520
21	320	-43.9		8950
	317	**-44.3**		**9000**
22	**300**	**-47.9**		**9370**
23	280	-52.1	-	9820
	272	**-53.8**	—	**10000**
24	263	-55.9	—	10230
25	241	-59.1	—	10780
	232	**-60.5**	—	**11000**
26	223	-62.1	—	11260
27	207	-65.8	—	11710
	200	**-67.0**	—	**11925**
	197	**-67.6**	—	**12000**
28	191	-69.1	—	12200
29	179	-71.7	—	12580
30	168	-73.1	—	12960

15. XI. 1953 14.25 h HEC

	1000			**270**
0	972.9	3.0	90	493
	952	1.9	100	680
1	927	7.3	60	890
	914	**8.9**	**48**	**1000**
	905	10.0	38	1080
2	883	9.5	25	1290
	850	**7.8**	**24**	**1605**
3	845	7.3	23	1660
4	**810**	**6.7**	**23**	**2000**
5	774	3.6	25	2370
6	754	1.0	25	2580
7	**714**	**0.4**	**25**	**3000**
	700	**-0.1**	**25**	**3175**
8	684	-1.0	25	3350
9	654	-2.5	25	3710
	631	**-4.2**	**25**	**4000**
10	621	-5.2	25	4120
11	592	-7.8	36	4500
12	565	-10.3	37	4860
	554	**-11.6**	**39**	**5000**
13	534	-14.3	43	5290
14	510	-16.9	67	5630
	500	**-17.3**	**78**	**5780**
	486	**-18.1**	**96**	**6000**
15	480	-18.5	100	6090
16	454	-21.2	100	6500
17	431	-23.7	100	6820
	424	**-24.1**	**100**	**7000**
18	405	-25.2	100	7340
	400	**-25.7**	**89**	**7425**
19	383	-27.7	54	7740
	369	**-29.5**	**48**	**8000**
20	359	-31.4	43	8200
21	339	-35.8	42	8600
	320	**-40.0**	—	**9000**
22	318	-40.6	—	9050
23	**300**	**-44.1**	—	**9435**
24	278	-49.0	—	9950
	276	**-49.4**	—	**10000**
25	259	-54.1	—	10410
26	241	-57.7	—	10860
	236	**-58.9**	—	**11000**
27	225	-61.2	—	11290
28	207	-65.1	—	11810
	200	**-66.7**	—	**12015**
29	191	-69.0	—	12290
30	174	-66.7	—	12850

16. XI. 1953 14.40 h HEC

	1000	—	—	**270**
0	971.6	7.0	70	493
	960	4.5	70	590
1	934	5.8	62	820
	914	**8.4**	**52**	**1000**
2	895	10.5	42	1170
	884	11.5	36	1270
3	858	9.5	30	1520
	850	**8.9**	**33**	**1600**
4	816	7.0	40	1930
	809	**7.0**	**38**	**2000**
5	770	4.8	32	2410
6	742	2.5	30	2700
	716	**0.0**	**47**	**3000**
7	710	-0.5	52	3060
	700	**-1.5**	**57**	**3175**
8	675	-3.3	65	3450
9	638	-5.0	73	3900
	631	**-4.9**	**70**	**4000**
10	600	-5.7	67	4380
11	568	-7.3	58	4800
	555	**-8.5**	**59**	**5000**
12	543	-9.7	60	5170
13	515	-11.9	56	5570
	500	**-13.5**	**56**	**5800**
14	**188**	**-14.7**	**56**	**6000**
15	460	-18.1	55	6430
16	430	-20.7	57	6920
	426	**-21.3**	**55**	**7000**
17	405	-24.5	52	7360
	400	**-25.3**	**51**	**7455**
18	382	-28.3	50	7780
	371	**-30.0**	**50**	**8000**
19	358	-31.9	50	8250
20	335	-35.7	50	8720
	321	**-38.8**	**50**	**9000**
21	315	-40.1	—	9140
	300	**-42.0**	—	**9470**
22	292	-43.1	—	9650
	277	**-46.8**	—	**10000**
23	271	-48.5	—	10150
24	252	-52.3	—	10620
	238	**-54.8**	—	**11000**
25	233	-55.9	—	11130
26	214	-58.9	—	11660
	203	**-58.9**	—	**12000**
27	**200**	**-58.9**	—	**12090**
28	180	-58.9	—	12750

17. XI. 1953 14.45 h HEC

	1000	—	—	**260**
0	971.6	6.0	74	493
1	917	1.0	100	960
	913	**2.0**	**68**	**1000**
2	875	10.7	38	1340
	850	**8.3**	**38**	**1600**
3	838	7.2	37	1710
	809	**5.1**	**37**	**2000**
4	799	4.7	37	2100
5	765	2.5	36	2450
6	732	0.0	36	2810
	714	**-0.6**	**40**	**3000**
	700	**-1.3**	**45**	**3155**
7	698	-1.2	45	3180
8	670	-2.7	44	3500
9	632	-5.0	46	3960
	630	**-5.3**	**47**	**4000**
10	598	-7.6	48	4400
11	565	-10.8	61	4830
	553	**-12.2**	**66**	**5000**
12	538	-14.0	70	5220
13	511	-16.8	70	5600
	500	**-17.9**	**65**	**5750**
	484	**-19.5**	**55**	**6000**
14	479	-20.0	60	6090
15	450	-23.3	50	6550
	422	**-26.4**	**48**	**7000**
16	420	-26.8	45	7050
	400	**-29.2**	**53**	**7395**
17	392	-30.2	60	7550
18	**367**	**-33.9**	**51**	**8000**
19	342	-38.5	52	8500
	318	**-42.8**		**9000**
20	316	-43.3		9040
	300	**-46.5**	—	**9380**
21	291	-48.5	—	9580
	273	**-52.0**	—	**10000**
22	266	-53.3	—	10170
23	243	-58.0	—	10750
	233	**-60.0**	—	**11000**
24	222	-62.1	—	11300
25	**200**	**-67.2**	—	**11950**

18. XI. 1953 14.40 h HEC

	1000	—	—	**250**
0	971.3	4.0	90	493
1	933	6.0	100	810
	913	**6.9**	**77**	**1000**
2	890	8.0	55	1200
3	854	6.4	40	1530
	850	**6.1**	**40**	**1585**
4	812	4.2	40	1950
	808	**4.1**	**40**	**2000**
5	775	2.5	40	2330
6	740	0.0	42	2710
	714	**-1.4**	**43**	**3000**
7	706	-1.6	44	3070
	700	**-2.1**	**44**	**3150**
8	670	-4.0	44	3490
9	632	-6.4	38	3950
	628	**-6.8**	**38**	**4000**
10	**600**	**-9.0**	**38**	**4350**
11	572	-11.8	43	5000
12	542	-14.4	45	5140
13	515	-16.8	60	5520
	500	**-18.6**	**56**	**5735**

Min.	PPP	TTT	UU	H m. geop.
14	195	-19.6	54	5810
	483	**-20.5**	**50**	**6000**
15	463	-23.0	42	6300
16	434	-26.2	40	6780
	421	**-28.0**	**39**	**7000**
17	407	-30.0	38	7280
	400	**-31.0**	**39**	**7360**
18	384	-33.2	40	7650
	366	**-36.3**	**43**	**8000**
19	355	-38.0	45	8190
20	332	-42.0	—	8650
	315	**-45.8**	—	**9000**
21	310	-47.0	—	9110
	300	**-49.0**	—	**9320**
22	287	-51.3	—	9610
	270	**-53.9**	—	**10000**
23	262	-55.0	—	10200
24	240	-59.0	—	10760
	231	**-60.5**	—	**11000**
25	218	-62.8	—	11350
	200	**-66.0**	—	**11890**
26	198	-66.0	—	11940
	196	**-66.5**	—	**12000**
27	180	-70.0	—	12520

19. XI. 1953 14.45 h HEC

	1000	—	—	**260**
0	971.0	2.0	100	493
	950	0.4	100	670
1	933	3.0	100	810
	918	6.3	67	930
	912	**6.0**	**50**	**1000**
2	**900**	**5.1**	**51**	**1100**
3	858	2.8	48	1500
	850	**2.4**	**47**	**1580**
4	821	1.7	45	1850
	806	**0.9**	**45**	**2000**
5	784	0.0	45	2220
6	747	-0.7	40	2610
7	715	-2.1	38	2950
	710	**-2.9**	**38**	**3000**
	700	**-3.5**	**38**	**3125**
8	678	-4.2	38	3380
9	648	-5.6	38	3730
	625	**-7.7**	**38**	**4000**
10	616	-8.7	38	4130
11	585	-10.2	38	4520
12	558	-13.2	38	4890
	549	**-14.3**	**38**	**5000**
13	529	-16.8	38	5280
14	504	-19.7	39	5650
	500	**-20.2**	**39**	**5710**
15	**480**	**-22.0**	**39**	**6000**
16	454	-25.5	38	6410
17	428	-29.3	42	6830
	418	**-30.6**	**45**	**7000**
18	404	-32.3	48	7250
	400	**-33.0**	**52**	**7315**
19	377	-36.7	56	7720
	362	**-38.9**	**56**	**8000**
20	352	-40.4	—	8200
21	328	-44.7	—	8680
	312	**-47.2**	—	**9000**
22	304	-48.2	—	9180
	300	**-49.0**	—	**9275**
23	281	-51.4	—	9700
	268	**-53.0**	—	**10000**
24	254	-55.2	—	10350
	229	**-58.7**	—	**11000**
25	228	-59.0	—	11030
26	209	-62.0	—	11570
	200	**-63.8**	—	**11840**
	195	**-64.7**	—	**12000**
27	192	-65.5	—	12090
28	175	-68.3	—	12650
	165	**-67.0**	—	**13000**
29	160	-66.2	—	13190
30	150	-64.8	—	13580

20. XI. 1953 15.30 h HEC

	1000	—	—	**270**
0	972	1.5	100	493
	950	0.5	100	680
1	**932**	**1.5**	**100**	**820**
	920	**4.5**	**100**	**930**
	913	**5.0**	**90**	**1000**
2	895	5.6	80	1150
3	**850**	**5.6**	**54**	**1580**
4	818	5.6	20	1880
	808	**5.1**	**15**	**2000**
5	786	4.7	10	2210
6	750	2.5	10	2600
7	716	0.9	10	2950
	714	**0.6**	**10**	**3000**
	700	**-0.2**	**10**	**3150**
8	682	-1.4	10	3350
9	644	-3.8	10	3810
	628	**-5.0**	**20**	**4000**
10	605	-6.5	34	4300
11	570	-9.5	50	4760
	552	**-11.0**	**51**	**5000**
12	538	-12.3	52	5200
13	507	-15.2	52	5650
	500	**-16.0**	**50**	**5760**
	484	**-17.5**	**45**	**6000**
14	478	-17.9	43	6100
15	450	-20.9	40	6550
16	**422**	**-25.3**	**40**	**7000**
	400	**-29.3**	**40**	**7395**
17	397	-29.7	40	7450
	367	**-34.1**	**40**	**8000**
18	365	-34.5	40	8050
19	338	-38.7	40	8580
	318	**-42.2**	—	**9000**
20	312	-43.3	—	9130
	300	**-46.0**	—	**9390**
21	285	-48.5	—	9610
	268	**-51.0**	—	**10000**
22	262	-53.0	—	10270
23	238	-57.3	—	10880
	234	**-58.4**	—	**11000**
24	220	-62.1	—	11370
25	**200**	**-65.8**	—	**11950**
	199	**-66.0**	—	**12000**
26	182	-68.5	—	12520
	168	**-68.4**	—	**13000**
27	167	-68.4	—	13040
28	156	-67.4	—	13450

21. XI. 1953 14.00 h HEC

	1000	—	—	**280**
0	970.8	2.5	90	493
1	930	-2.0	100	840
	912	**2.7**	**79**	**1000**
2	892	5.5	58	1180
3	853	6.3	18	1550
	850	**6.4**	**16**	**1580**
4	818	5.5	10	1890
	806	**5.0**	**10**	**2000**
5	784	4.0	10	2230
6	751	2.2	10	2570
7	718	0.2	10	2940
	712	**0.1**	**10**	**3000**
	700	**-0.5**	**10**	**3145**
8	680	-1.0	10	3360
9	645	-3.2	10	3800
	628	**-4.7**	**10**	**4000**
10	612	-5.7	10	4200
11	579	-8.3	24	4640
12	**550**	**-11.1**	**44**	**5000**
13	525	-13.5	52	5380
14	**500**	**-16.3**	**52**	**5755**
	484	**-18.0**	**51**	**6000**
15	471	-19.6	50	6210
16	444	-22.9	50	6640
17	**422**	**-25.9**	**50**	**7000**
	400	**-28.7**	**50**	**7390**
18	394	-29.4	49	7500
19	369	-31.9	47	7970
	367	**-32.0**	**48**	**8000**
20	348	-34.5	48	8400
21	326	-37.6	48	8840
	318	**-38.9**	**48**	**9000**
22	304	-41.5	—	9320
	300	**-42.1**	—	**9410**
23	284	-44.3	—	9760
	274	**-46.3**	—	**10000**
24	265	-48.2	—	10240
25	244	-52.0	—	10780
	235	**-53.6**	—	**11000**
26	225	-55.5	—	11360
27	207	-58.0	—	11820
	201	**-58.7**	—	**12000**
	200	**-58.8**	—	**18035**
28	193	-59.3	—	12260
29	178	-56.5	—	12770

22. XI. 1953 14.00 h HEC

	1000	—	—	**240**
0	968.6	2.5	90	493
1	923	1.4	100	890
	910	**1.7**	**74**	**1000**
2	886	7.8	48	1210
	850	**5.5**	**38**	**1555**
3	847	5.5	28	1580
4	810	4.8	38	1950
	806	**4.6**	**36**	**2000**
5	770	3.7	35	2360
6	730	1.0	38	2800
	711	**-0.3**	**38**	**3000**
	700	**-0.9**	**37**	**3125**
7	694	-1.2	38	3180
8	661	-3.6	36	3580
9	**627**	**-6.6**	**32**	**4000**
10	592	-9.0	30	4440
11	560	-10.9	26	4870
	551	**-12.5**	**26**	**5000**
12	534	-15.2	26	5230
13	513	-18.0	20	5540
	500	**-19.3**	**20**	**5715**
14	**483**	**-20.9**	**20**	**6000**
15	457	-24.0	20	6390
16	426	-28.0	24	6900
	420	**-29.0**	**24**	**7000**
17	400	-32.8	**24**	**7345**
18	371	-36.6	26	7860
	364	**-37.7**	**26**	**8000**
19	346	-40.5	—	8350
20	319	-44.5	—	8890
	314	**-45.4**	—	**9000**
	300	**-47.8**	—	**9300**
21	296	-48.5	—	9400
22	275	-51.5	—	9880
	270	**-52.5**	—	**10000**
23	255	-55.2	—	10350
24	235	-58.5	—	10870
	231	**-59.2**	—	**11000**
25	218	-61.2	—	11330
26	**200**	**-64.0**	—	**11870**
	196	**-64.0**	—	**12000**
27	185	-64.0	—	12340
28	170	-62.6	—	12860

23. XI. 1953 14.40 h HEC

	1000	—	—	**230**
0	968.0	0.0	95	493
1	930	4.5	98	800
	912	6.1	100	950
	908	**0.3**	**60**	**1000**
2	901	5.3	20	1050
3	876	7.7	20	1280
	850	**6.0**	**20**	**1540**
4	842	5.1	20	1600
5	810	1.1	20	1920
	803	**3.7**	**20**	**2000**
6	777	2.7	20	2250
7	745	0.3	30	2600
8	711	-2.4	32	2930
	709	**-2.9**	**31**	**3000**
	700	**-3.6**	**30**	**3100**
9	683	-5.0	29	3290
10	650	-7.4	33	3660
	623	**-9.1**	**30**	**4000**
11	616	-9.7	29	4090
13	550	-14.4	21	4950
	547	**-14.8**	**21**	**5000**
14	521	-17.0	20	5370
15	**500**	**-20.0**	**20**	**5680**
	479	**-22.2**	**20**	**6000**
16	470	-23.4	20	6130
17	445	-26.6	20	6540
18	420	-30.1	20	6940
	417	**-30.7**	**20**	**7000**
	400	**-32.7**	**20**	**7290**
19	396	-33.0	20	7360
20	373	-35.4	20	7780
	361	**-37.4**	**20**	**8000**
21	350	-39.7	20	8250
22	326	-44.2	—	8700
	312	**-47.2**	—	**9000**
23	303	-49.0	—	9180
	300	**-49.8**	—	**9250**
24	280	-54.5	—	9670
	267	**-56.6**	—	**10000**
25	256	-58.3	—	10270
26	234	-62.1	—	10830
	227	**-62.8**	—	**11000**
27	210	-64.4	—	11490
	200	**-65.0**	—	**11790**
	193	**-65.2**	—	**12000**
28	192	-65.2	—	12040
29	172	-65.2	—	12720
	164	**-62.9**	—	**13000**
30	158	-60.6	—	13250

24. XI. 1953 14.45 h HEC

	1000	—	—	**230**
0	968.3	-0.5	95	493
1	928	-5.2	95	830
	910	**-4.4**	**95**	**1000**
2	898	7.2	64	1080
3	868	8.0	28	1370
	850	**7.8**	**28**	**1540**
4	830	7.6	28	1740
5	**802**	**4.4**	**32**	**2000**
6	770	3.2	32	2340
7	738	1.0	36	2670
	710	**-0.2**	**39**	**3000**
8	**700**	**-0.4**	**40**	**3110**
9	668	-3.8	38	3470
10	640	-7.6	36	3800
	624	**-8.4**	**34**	**4000**
11	604	-10.0	32	4270
12	570	-13.2	32	4710
	548	**-15.3**	**32**	**5000**
13	538	-16.4	32	5140
14	508	-19.6	32	5570
	500	**-20.4**	**32**	**5690**
15	**480**	**-22.8**	**32**	**6000**
16	452	-25.4	32	6430
17	424	-28.6	32	6890
	417	**-29.2**	**32**	**7000**
	400	**-31.2**	**32**	**7300**
18	394	-32.0	32	7410
19	364	-36.6	32	7960
	361	**-36.9**	**32**	**8000**
20	342	-39.8	32	8400
21	318	-45.2	—	8880
	312	**-46.1**	—	**9000**
	300	**-48.5**	—	**9260**
22	294	-49.8	—	9400
23	270	-53.6	—	9960
	268	**-54.0**	—	**10000**
24	246	-58.8	—	10530
	229	**-55.1**	—	**11000**
25	224	-54.0	—	11140
26	**200**	**-60.2**	—	**11850**
	196	**-60.3**	—	**12000**
27	178	-61.0	—	12590

25. XI. 1953 15.00 h HEC

	1000	—	—	**23**
0	970.3	0.5	80	49
1	926	-3.2	80	87
	916	-3.8	80	9
	910	**-1.5**	**61**	**10**
2	894	5.0	42	11

Min.	PPP	TTT	UU	H m. geop.
3	858	4.4	30	1480
	850	**4.1**	**27**	**1560**
4	820	2.4	24	1850
	804	**1.3**	**23**	**2000**
5	784	−0.6	22	2210
6	746	−2.0	24	2600
7	714	−5.0	26	2950
	709	**−5.2**	**27**	**3000**
	700	**−6.0**	**27**	**3100**
8	674	−8.0	28	3400
9	640	−10.4	24	3790
	623	**−11.5**	**23**	**4000**
10	610	−12.6	22	4160
11	578	−14.6	22	4570
12	548	−17.8	22	4970
	546	**−18.1**	**22**	**5000**
13	518	−20.2	22	5400
	500	**−22.3**	**22**	**5650**
14	488	−23.8	22	5830
	477	**−25.1**	**22**	**6000**
15	462	−26.6	22	6230
16	434	−29.2	22	6680
	415	**−31.0**	**22**	**7000**
17	408	−31.6	22	7110
	400	**−32.7**	**22**	**7255**
18	380	−35.8	22	7610
	359	**−38.0**	**22**	**8000**
19	354	−38.6	22	8100
20	328	−44.0	—	8620
	310	**−47.5**	—	**9000**
21	304	−48.8	—	9130
	300	**−49.7**	—	**9210**
22	282	−53.8	—	9610
	266	**−55.9**	—	**10000**
23	260	−56.6	—	10130
24	236	−60.0	—	10740
	226	**−60.6**	—	**11000**
25	216	−61.4	—	11300
	200	**−63.0**	—	**11760**
26	194	−63.8	—	11960
	193	**−63.6**	—	**12000**
27	182	−62.0	—	12350

26. XI. 1953 14.45 h HEC

	1000	—	—	**245**
0	970.4	2.5	85	493
1	922	0.5	100	910
	911	**−0.8**	**100**	**1000**
	906	−0.4	100	1040
2	890	2.6	100	1170
3	860	3.2	90	1450
	850	**2.4**	**83**	**1560**
4	826	0.0	76	1780
	804	**−1.0**	**70**	**2000**
5	782	−1.6	64	2210
6	748	−3.0	60	2560
7	718	−5.0	58	2890
	709	**−5.5**	**60**	**3000**
	700	**−5.8**	—	**3100**
8	688	−6.2	62	3230
9	652	−9.0	74	3630
10	**622**	**−10.8**	**90**	**4000**
11	594	−13.4	100	4350
12	566	−16.0	100	4720
	546	**−18.0**	**100**	**5000**
13	536	−19.0	100	5130
14	506	−21.4	100	5550
	500	**−22.3**	**100**	**5650**
15	480	−24.6	100	5940
	476	**−25.1**	**100**	**6000**
16	452	−27.4	100	6370
17	422	−31.2	100	6870
	415	**−32.3**	—	**7000**
18	**400**	**−34.0**	**98**	**7240**
19	372	−38.0	96	7740
	359	**−40.0**	—	**8000**
20	344	−41.8	—	8280
21	320	−45.4	—	8760
	309	**−47.3**	—	**9000**
	300	**−49.0**	—	**9200**
22	296	−49.6	—	9280

Min.	PPP	TTT	UU	H m. geop.
23	276	−53.8	—	9730
	265	**−56.5**	—	**10000**
24	256	−58.4	—	10210
25	236	−61.4	—	10720
	226	**−62.0**	—	**11000**
26	212	−62.4	—	11380
	200	**−62.0**	—	**11750**
27	194	−61.6	—	11930

27. XI. 1953 14.45 h HEC

	1000	—	—	**210**
0	966.7	3.0	90	493
	946	1.8	90	670
1	938	2.8	84	730
	907	**6.0**	**52**	**1000**
2	**900**	**6.6**	**20**	**1070**
3	866	4.2	10	1390
	850	**3.0**	**10**	**1540**
4	828	1.0	10	1740
	802	**0.0**	**15**	**2000**
5	780	−1.0	20	2220
6	740	−3.0	44	2640
7	**706**	**−5.8**	**52**	**3000**
	700	**−6.2**	**53**	**3080**
8	672	−8.8	54	3380
9	640	−9.0	50	3770
	621	**−10.2**	**58**	**4000**
10	610	−11.2	66	4140
11	580	−14.2	70	4530
12	552	−15.6	20	4900
	545	**−16.5**	**17**	**5000**
13	526	−19.0	14	5250
	500	**−20.3**	**12**	**5630**
14	492	−21.0	10	5750
	476	**−22.1**	**10**	**6000**
15	466	−23.2	10	6160
16	438	−27.2	10	6600
17	**414**	**−30.4**	**10**	**7000**
	400	**−32.1**	**10**	**7250**
18	386	−33.8	10	7490
19	**360**	**−38.8**	**14**	**8000**
20	338	−43.0	—	8410
21	314	−47.2	—	8910
	310	**−48.0**	—	**9000**
	300	**−50.3**	—	**9200**
22	294	−51.8	—	9340
23	270	−57.0	—	9880
	265	**−57.2**	—	**10000**
24	244	−58.1	—	10520
	226	**−50.6**	—	**11000**
25	222	−61.2	—	11110
26	**200**	**−63.6**	—	**11760**
	192	**−64.6**	—	**12000**
27	182	−66.2	—	12330

28. XI. 1953 14.30 h HEC

	1000	—	—	**215**
0	968.1	3.5	90	493
1	938	1.8	90	740
	909	**4.0**	**77**	**1000**
2	900	4.6	64	1060
3	860	6.6	40	1450
	850	**6.1**	**40**	**1550**
4	820	4.2	40	1840
	805	**2.6**	**44**	**2000**
5	784	1.0	48	2200
6	742	−2.2	66	2640
7	**706**	**−5.2**	**84**	**3000**
	700	**−5.7**	**87**	**3100**
8	674	−8.2	90	3390
9	636	−10.4	82	3840
	623	**−10.8**	**75**	**4000**
10	602	−11.4	68	4270
11	568	−13.2	50	4700
	547	**−14.7**	**16**	**5000**
12	538	−15.2	42	5110
13	508	−17.6	38	5440
	500	**−18.5**	**38**	**5680**
14	482	−20.2	38	5930
	479	**−21.0**	**38**	**6000**
15	456	−24.6	38	6320

Min.	PPP	TTT	UU	H m. geop.
16	430	−28.2	38	6760
	417	**−30.6**	**38**	**7000**
17	404	−32.6	38	7210
	400	**−33.6**	**38**	**7290**
18	380	−38.0	38	7760
	360	**−40.6**	**38**	**8000**
19	356	−41.0	38	8080
20	330	−43.4	38	8590
	311	**−47.1**	—	**9000**
21	308	−47.4	—	9050
	300	**−49.2**	—	**9240**
22	286	−51.8	—	9530
23	**266**	**−55.8**	—	**10000**
24	248	−59.8	—	10440
25	232	−62.4	—	10860
	227	**−64.0**	—	**11000**
26	220	−66.0	—	11170
27	**200**	**−69.0**	—	**11750**

29. XI. 1953 14.15 h HEC

	1000	—	—	**225**
0	968.6	3.0	95	493
1	928	7.8	80	840
	910	**9.3**	**77**	**1000**
2	896	10.4	74	1080
3	858	9.8	62	1500
	850	**9.3**	**56**	**1570**
4	828	8.6	50	1790
	807	**7.1**	**51**	**2000**
5	802	6.4	52	2040
6	782	3.2	58	2260
7	754	1.8	56	2550
8	728	0.0	54	2880
	712	**−0.9**	**49**	**3000**
9	**700**	**−1.8**	**44**	**3140**
10	666	−3.6	40	3540
11	634	−5.2	30	3920
	628	**−5.7**	**26**	**4000**
12	610	−7.4	22	4230
13	588	−10.0	10	4510
14	558	−12.0	10	4920
	552	**−12.3**	**10**	**5000**
15	530	−13.4	10	5300
16	512	−15.2	10	5570
	500	**−17.1**	**10**	**5755**
17	490	−19.0	10	5900
	483	**−19.5**	**10**	**6000**
18	464	−21.0	10	6300
19	438	−25.0	10	6730
	422	**−27.2**	**10**	**7000**
20	412	−29.0	10	7160
	400	**−30.3**	**10**	**7380**
21	384	−32.4	10	7660
	366	**−35.0**	**10**	**8000**
22	360	−35.8	10	8110
23	334	−38.8	10	8640
24	**316**	**−42.2**	—	**9000**
	300	**−45.2**	—	**9370**
25	294	−46.4	—	9500
26	**272**	**−50.4**	—	**10000**
27	252	−54.2	—	10500

30. XI. 1953 14.55 h HEC

	1000	—	—	**225**
0	968.2	6.1	84	493
	962	8.1	78	550
1	934	7.0	75	790
	910	**6.2**	**74**	**1000**
2	903	5.8	73	1060
	885	7.0	70	1220
3	864	5.4	58	1430
	850	**4.8**	**54**	**1560**
4	829	3.9	51	1760
	805	**2.0**	**57**	**2000**
5	796	1.4	60	2090
6	758	−2.0	82	2490
7	723	−4.0	100	2860
	710	**−3.6**	**91**	**3000**
	700	**−3.2**	**85**	**3115**
8	678	−4.1	87	3370
9	644	−7.2	94	3760
	625	**−8.8**	**98**	**4000**

Min.	PPP	TTT	UU	H m. geop.
10	611	−10.1	100	4170
11	577	−13.5	100	4620
	567	−14.2	100	4760
12	**547**	**−13.3**	**43**	**5000**
13	522	−15.2	29	5390
	500	**−16.9**	**24**	**5700**
14	497	−17.2	22	5750
	480	**−19.1**	**22**	**6000**
15	475	−19.8	22	6090
16	447	−23.0	28	6520
17	424	−25.8	30	6920
	419	**−26.2**	**34**	**7000**
18	**400**	**−28.3**	**39**	**7340**
19	375	−32.4	47	7790
	364	**−34.0**	**49**	**8000**
20	352	−35.9	51	8240
21	329	−39.7	51	8710
	315	**−42.3**	—	**9000**
22	306	−43.9	—	9260
	300	**−44.9**	—	**9320**
23	283	−48.5	—	9710
	271	**−50.9**	—	**10000**
24	261	−52.8	—	10240
25	238	−57.2	—	10840
	232	**−58.4**	—	**11000**
26	217	−62.0	—	11410
27	**200**	**−65.0**	—	**11910**
	197	**−65.5**	—	**12000**
	192	−66.1	—	12160
28	183	−64.2	—	12450

1. XII. 1953 14.25 h HEC

	1000	—	—	**255**
0	971.5	4.5	100	493
1	943	7.0	100	730
	924	8.0	100	900
	912	**7.3**	**70**	**1000**
2	**900**	**6.4**	**44**	**1120**
3	860	5.7	20	1480
	850	**5.5**	**32**	**1585**
4	824	5.0	34	1840
	808	**4.4**	**39**	**2000**
5	782	3.6	44	2250
6	743	2.2	54	2680
	714	**0.9**	**42**	**3000**
7	706	0.6	30	3090
	700	**0.7**	**20**	**3155**
8	671	−1.0	10	3490
9	638	−3.2	10	3900
	630	**−3.6**	**10**	**4000**
10	**600**	**−5.0**	**10**	**4370**
11	570	−9.8	10	4770
	554	**−10.4**	**10**	**5000**
12	540	−11.0	10	5190
13	510	−13.0	10	5620
	500	**−14.9**	**10**	**5785**
14	487	−17.0	10	5970
	485	**−17.2**	**10**	**6000**
15	462	−20.0	10	6370
16	438	−24.8	10	6760
	424	**−26.7**	**10**	**7000**
17	413	−28.3	10	7180
	400	**−30.3**	**10**	**7410**
18	388	−32.4	10	7630
	368	**−34.6**	**10**	**8000**
19	364	−35.1	10	8080
20	342	−41.8	—	8500
21	**318**	**−46.0**	—	**9000**
	300	**−49.0**	—	**9380**
22	295	−49.5	—	9480
23	**272**	**−54.0**	—	**10000**
24	253	−56.8	—	10470
25	234	−59.6	—	10970
	233	**−60.0**	—	**11000**
26	216	−63.3	—	11470
	200	**−62.6**	—	**11955**
	198	**−62.8**	—	**12000**
27	195	−62.5	—	12100
28	178	−62.0	—	12600
	168	**−63.6**	—	**13000**
29	163	−64.6	—	13200

Min.	PPP	TTT	UU	H m. geop.
	2. XII. 1953 14.40 h HEC			
	1000	—	—	**255**
0	968.9	2.0	100	193
	958	1.3	100	590
1	934	5.8	100	790
	930	7.2	100	820
	911	**7.6**	**99**	**1000**
2	905	7.8	86	1060
3	874	8.9	68	1335
	850	**9.7**	**57**	**1570**
4	847	9.8	54	1600
5	824	7.4	50	1830
	807	**5.7**	**53**	**2000**
6	792	4.5	56	2160
7	762	2.0	66	2470
8	730	-0.4	68	2820
	713	**-1.3**	**66**	**3000**
	700	**-1.8**	**64**	**3155**
9	697	-1.9	63	3190
10	664	-3.8	50	3580
11	**628**	**-5.2**	**41**	**4000**
12	**600**	**-8.2**	**36**	**4370**
13	570	-10.7	34	4760
	552	**-12.7**	**33**	**5000**
14	544	-13.7	32	5120
15	517	-16.0	31	5500
	500	**-18.4**	**31**	**5750**
16	491	-19.5	31	5890
	483	**-20.7**	**32**	**6000**
17	462	-23.3	31	6340
18	436	-27.2	36	6760
	421	**-29.2**	**37**	**7000**
19	410	-30.9	37	7190
	400	**-32.2**	**37**	**7365**
20	381	-34.6	38	7710
	365	**-36.6**	**38**	**8000**
21	352	-38.4	38	8250
22	328	-41.7	—	8750
	316	**-43.9**	—	**9000**
23	306	-45.7	—	9200
	300	**-46.7**	—	**9340**
24	284	-49.7	—	9690
	271	**-51.7**		**10000**
25	258	-53.7	—	10330
26	238	-55.8	—	10840
	232	**-56.4**	—	**11000**
27	220	-57.3	—	11330
28	**200**	**-59.4**	—	**11940**
	198	**-59.3**	—	**12000**
29	182	-58.0	—	12530
	169	**-57.4**	—	**13000**
30	167	-57.2	—	13080
	3. XII. 1953 14.30 h HEC			
	1000	—	—	**190**
0	963.8	3.6	90	493
	931	6.7	100	770
1	918	9.0	75	880
	906	**8.8**	**69**	**1000**
2	875	8.0	56	1290
	850	**7.6**	**58**	**1525**
3	832	7.2	59	1700
	802	**6.0**	**54**	**2000**
4	793	5.6	52	2090
5	756	2.6	63	2490
6	**710**	**-1.9**	**100**	**3000**
	700	**-2.7**	**100**	**3095**
7	675	-5.1	100	3380
8	638	-7.5	100	3820
	622	**-8.5**	**100**	**4000**
9	603	-10.3	100	4260
10	574	-13.3	100	4650
	547	**-15.9**	**100**	**5000**
11	545	-16.1	100	5030
12	513	-18.2	100	5500
	500	**-19.4**	**100**	**5680**
13	485	-20.7	100	5910
	479	**-21.2**	**100**	**6000**
14	458	-23.4	100	6330
15	432	-25.7	100	6760
	417	**-27.6**	**98**	**7000**
16	403	-29.3	97	7250
	400	**-29.8**	**96**	**7305**
17	381	-32.2	93	7650
	362	**-35.3**	**91**	**8000**
18	357	-36.4	90	8110
19	330	-41.0	—	8640
	308	**-44.4**	—	**9000**
20	306	-46.0	—	9160
	300	**-46.9**	—	**9280**
21	281	-50.5	—	9720
	269	**-52.5**	—	**10000**
22	260	-54.2	—	10220
23	242	-58.7	—	10670
	230	**-61.8**	—	**11000**
24	218	-64.9	—	11320
25	205	-63.4	—	11700
	200	**-62.8**	—	**11850**
	195	**-62.5**	—	**12000**
26	188	-62.2	—	12230
27	173	-63.2	—	12740
	166	**-63.2**	—	**13000**
28	163	-63.2	—	13110
	4. XII. 1953 14.50 h HEC			
	1000	—	—	**195**
0	964.3	3.9	100	493
	954	3.0	100	570
1	919	9.9	45	880
	906	**9.7**	**45**	**1000**
2	884	9.0	45	1200
	850	**7.4**	**34**	**1535**
3	846	7.3	33	1570
4	813	7.2	30	1900
	802	**6.2**	**31**	**2000**
5	783	4.5	33	2190
6	753	1.4	44	2520
7	724	-2.0	64	2830
	709	**-2.9**	**77**	**3000**
	700	**-3.6**	**85**	**3100**
8	695	-3.9	90	3150
9	662	-6.6	100	3540
10	628	-9.5	100	3940
	621	**-9.9**	**100**	**4000**
11	**600**	**-12.1**	**100**	**4300**
12	573	-14.2	100	4650
13	**548**	**-17.6**	**100**	**5000**
14	525	-20.0	100	5310
	500	**-22.2**	**99**	**5670**
15	495	-22.6	98	5750
	478	**-24.1**	**92**	**6000**
16	473	-24.4	90	6080
17	452	-27.4	81	6410
18	426	-29.5	61	6830
	416	**-30.0**	**54**	**7000**
10	**400**	**-31.1**	**43**	**7275**
20	381	-33.2	30	7610
	361	**-36.9**	**26**	**8000**
21	359	-37.2	25	8080
22	340	-40.0	23	8410
23	324	-42.3	—	8740
	312	**-44.1**	—	**9000**
24	305	-45.0	—	9140
	300	**-45.9**	—	**9255**
25	287	-48.0	—	9540
	268	**-49.1**	—	**10000**
26	267	-49.5	—	10070
27	249	-52.6	—	10470
28	**230**	**-56.0**	—	**11000**
29	214	-59.2	—	11440
30	**200**	**-61.3**	—	**11870**
	196	**-62.5**	—	**12000**
31	187	-64.7	—	12280
32	177	-62.4	—	12620
33	167	-63.7	—	12980
	5. XII. 1953 14.15 h HEC			
	1000	—	—	**205**
0	966.3	3.9	100	493
	946	6.5	100	660
1	934	8.3	60	760
	908	**9.9**	**37**	**1000**
2	901	10.1	30	1070
3	861	7.5	30	1430
	850	**6.7**	**32**	**1545**
4	823	5.1	34	1800
	804	**4.6**	**31**	**2000**
5	784	4.3	28	2210
6	749	2.6	27	2570
7	720	-0.7	27	2900
	711	**-1.4**	**28**	**3000**
	700	**-2.1**	**29**	**3150**
8	680	-3.4	31	3350
9	644	-7.0	33	3770
	625	**-8.4**	**31**	**4000**
10	607	-9.9	30	4240
11	573	-11.6	26	4680
	549	**-13.8**	**22**	**5000**
12	541	-14.6	20	5120
13	511	-17.0	20	5550
	500	**-17.6**	**22**	**5710**
14	**480**	**-18.9**	**25**	**6000**
15	456	-21.0	34	6400
16	431	-25.0	36	6810
	420	**-26.8**	**37**	**7000**
17	404	-29.1	38	7270
	400	**-29.9**	**37**	**7340**
18	382	-33.4	35	7680
	364	**-36.6**	**35**	**8000**
19	359	-37.4	35	8110
20	333	-42.2	—	8620
	315	**-45.5**	—	**9000**
21	310	-46.4	—	9100
	300	**-47.9**	—	**9310**
22	287	-50.4	—	9610
	270	**-53.8**	—	**10000**
23	265	-55.1	—	10120
24	243	-58.3	—	10680
	231	**-60.1**	—	**11000**
25	218	-61.2	—	11350
	200	**-62.8**	—	**11890**
26	**197**	**-62.8**	—	**12000**
27	177	-64.0	—	12640
	167	**-63.9**	—	**13000**
28	161	-63.9	—	13220
	6. XII. 1953 15.00 h HEC			
	1000	—	—	**215**
0	966.5	2.8	100	193
	943	2.5	100	690
1	931	6.1	94	780
	915	7.4	86	920
	908	**7.2**	—	**1000**
2	899	6.9	81	1070
3	868	5.3	81	1360
	850	**5.0**	**70**	**1545**
4	833	4.5	58	1700
	804	**4.0**	**44**	**2000**
5	798	3.9	39	2050
	781	4.5	32	2220
6	766	3.4	24	2380
7	735	1.0	20	2710
	711	**-1.5**	**16**	**3000**
8	703	-2.1	15	3070
	700	**-2.6**	**16**	**3115**
9	668	-5.6	17	3470
10	635	-9.7	18	3860
	625	**-10.2**	**19**	**4000**
11	**600**	**-11.4**	**20**	**4300**
12	568	-14.5	32	4720
	548	**-16.1**	**40**	**5000**
13	538	-17.0	43	5140
14	506	-20.2	57	5590
	500	**-21.0**	**53**	**5685**
	479	**-23.3**	**70**	**6000**
15	476	-23.8	76	6050
16	450	-27.6	87	6450
17	126	-31.1	96	6840
	417	**-32.2**	**89**	**7000**
18	**100**	**-34.3**	**88**	**7290**
19	374	-38.1	87	7760
	361	**-39.6**	**87**	**8000**
20	348	-41.0	—	8250
21	327	-44.2	—	8670
	311	**-47.3**	—	**9000**
22	305	-48.7	—	9140
	300	**-49.8**	—	**9245**
23	283	-54.2	—	9660
	267	**-57.3**	—	**10000**
24	260	-58.7	—	10170
25	239	-62.4	—	10690
	227	**-63.7**	—	**11000**
26	217	-65.0	—	11280
	200	**-64.4**	—	**11780**
27	195	-64.4	—	11930
	193	**-64.0**	—	**12000**
28	177	-62.5	—	12530
	7. XII. 1953 15.30 h HEC			
	1000	—	—	**175**
0	962	2.0	100	493
	945	0.4	100	630
1	912	5.4	95	940
	903	**5.7**	**70**	**1080**
2	878	6.8	48	1240
	850	**5.7**	**46**	**1560**
3	843	5.6	43	1550
4	812	3.7	41	1860
	799	**3.0**	**40**	**2000**
5	784	2.2	40	2160
6	749	-0.8	41	2520
7	710	-3.7	48	2990
	705	**-4.1**	**54**	**3090**
	700	**-4.6**	**65**	**3060**
8	677	-6.4	61	3310
9	640	-9.0	70	3760
	620	**-10.5**	**75**	**4000**
10	604	-11.8	80	4210
11	568	-14.7	84	4670
	543	**-16.7**	**84**	**5000**
12	**535**	**-17.2**	**84**	**5130**
13	502	-20.2	73	5610
	500	**-20.5**	**67**	**5630**
	475	**-23.6**	**61**	**6000**
14	472	-23.8	62	6050
15	444	-27.4	60	6500
16	416	-31.8	60	6960
	414	**-32.2**	**62**	**7000**
	400	-34.1	63	7240
17	388	-35.9	63	7460
18	361	-40.0	—	7950
	358	**-40.5**	—	**8000**
19	336	-44.6	—	8440
20	312	-49.0	—	8930
	308	**-49.7**	—	**9000**
	300	**-51.0**	—	**9180**
21	286	-53.2	—	9500
	264	**-57.1**	—	**10000**
22	262	-57.3	—	10060
23	238	-60.4	—	10660
	225	**-60.8**		**11000**
24	218	-61.0	—	11200
25	**200**	**-59.2**	—	**11750**
26	193	-56.0	—	11970
	8. XII. 1953 14.50 h HEC			
	1000	—	—	**200**
0	964.2	0.3	100	493
	943	0.5	100	660
1	935	2.5	100	740
	905	**4.9**	**86**	**1000**
2	**900**	**5.2**	**83**	**1050**
3	867	4.0	78	1350
	850	**3.3**	**77**	**1510**
4	830	2.4	75	1700
	800	**0.7**	**74**	**2000**
5	790	0.0	74	2090
6	768	-3.5	76	2320
7	738	-6.6	78	2640
8	**703**	**-9.0**	**83**	**3000**
	700	**-9.4**	**85**	**3050**
9	673	11.2	93	3350
10	636	-14.0	100	3780
	618	**-15.0**	**100**	**4000**
11	**600**	**-16.4**	**100**	**4200**
12	563	-18.2	100	4700
	541	**-20.0**	**100**	**5000**

Min.	PPP	TTT	UU	H m. geop.
13	528	−21.0	100	5180
14	**500**	**−24.4**	**100**	**5585**
15	474	−26.5	100	5960
	472	**−26.9**	**100**	**6000**
16	449	−29.1	100	6360
17	420	−33.0	95	6840
	410	**−34.1**	**94**	**7030**
	400	**−35.5**	**93**	**7175**
18	392	−36.5	92	7320
19	362	−40.6	—	7860
	355	**−42.0**	—	**8000**
20	338	−44.4	—	8330
21	314	−48.4	—	8820
	305	**−49.8**	—	**9000**
	300	**−50.8**	—	**9115**
22	288	−53.2	—	9380
23	263	−58.0	—	9970
	261	**−58.1**	—	**10000**
24	238	−60.4	—	10590
	223	**−59.0**	—	**11000**
25	214	−58.3	—	11250
	200	**−58.8**	—	**11680**
26	197	−59.0	—	11760
	190	**−58.4**	—	**12000**
27	177	−57.2	—	12440

9. XII. 1953 14.45 h HEC

	1000	—	—	**220**
0	966.4	3.7	100	493
	960	2.5	100	560
	946	4.8	100	675
1	935	5.8	80	770
	909	**6.0**	**64**	**1000**
2	**900**	**6.2**	**45**	**1100**
3	865	5.2	44	1410
	850	**4.0**	**44**	**1553**
4	834	3.1	44	1710
	803	**1.3**	**45**	**2000**
5	**800**	**1.0**	**47**	**2050**
6	768	−2.3	50	2370
7	736	−4.8	65	2710
	708	**−6.4**	**72**	**3000**
8	**700**	**−7.0**	**80**	**3100**
9	667	−9.6	86	3470
10	636	−11.0	58	3830
	622	**−11.9**	**57**	**4000**
11	608	−13.0	56	4180
12	578	−15.6	63	4560
13	547	−18.0	53	4980
	544	**−18.2**	**49**	**5000**
14	517	−19.7	44	5400
	500	**−21.6**	**42**	**5645**
15	490	−22.7	40	5800
	476	**−24.0**	**40**	**6000**
16	461	−25.6	39	6230
17	434	−28.2	39	6670
	414	**−30.8**	**39**	**7000**
18	406	−31.6	39	7140
	400	**−32.5**	**39**	**7250**
19	378	−35.4	39	7640
	358	**−38.3**	**39**	**8000**
20	351	−39.6	39	8160
21	325	−44.2	—	8690
	309	**−46.6**	—	**9000**
22	**300**	**−48.0**	—	**9210**
23	280	−52.5	—	9660
	265	**−55.0**	—	**10000**
24	259	−56.3	—	10150
25	237	−61.0	—	10710
	226	**−61.5**	—	**11000**
26	216	−62.2	—	11300
	200	**−62.0**	—	**11765**
27	198	−62.0	—	11820

10. XII. 1953 14.45 h HEC

	1000	—	—	**230**
0	968.8	5.5	95	493
1	940	5.6	95	730
2	**907**	**5.0**	**82**	**1000**
3	870	2.6	90	1360
	850	**1.2**	**96**	**1550**
4	838	0.1	100	1670
5	**804**	**−2.3**	**100**	**2000**
6	770	−4.1	100	2330
7	732	−6.4	100	2740
	709	**−7.7**	**100**	**3000**
8	**700**	**−8.4**	**100**	**3085**
9	662	−10.5	100	3520
10	634	−12.6	100	3840
	622	**−13.2**	**80**	**4000**
11	**600**	**−14.8**	**45**	**4270**
12	572	−17.8	48	4630
13	**543**	**−20.7**	**66**	**5000**
14	511	−22.6	74	5460
	500	**−24.0**	**76**	**5620**
15	485	−25.7	80	5850
	475	**−27.0**	**80**	**6000**
16	458	−29.0	80	6260
17	430	−30.9	77	6710
	413	**−32.0**	**76**	**7000**
18	405	−32.5	75	7130
	400	**−33.2**	**74**	**7215**
19	380	−35.8	73	7570
	357	**−38.3**	**74**	**8000**
20	350	−39.2	75	8140
21	331	−43.3	—	8510
22	310	−47.0	—	8950
	308	**−47.3**	—	**9000**
	300	**−48.6**	—	**9175**
23	290	−50.6	—	9390
24	271	−54.6	—	9840
	264	**−55.8**	—	**10000**
25	251	−57.8	—	10320
26	231	−61.0	—	10840
	225	**−61.3**	—	**11000**
27	213	−61.9	—	11350
	200	**−60.0**	—	**11740**
28	196	−58.5	—	11870
	192	**−59.5**	—	**12000**
29	176	−60.0	—	12535

11. XII. 1953 16.00 h HEC

	1000	—	—	**230**
0	968.4	3.0	100	493
1	934	3.7	100	780
	909	**3.4**	**100**	**1000**
2	895	3.2	100	1140
3	855	1.9	85	1500
	850	**1.6**	**76**	**1555**
4	812	0.9	69	1920
	803	**0.5**	**59**	**2000**
5	770	−1.0	49	2350
6	728	−3.0	46	2790
	708	**−4.2**	**47**	**3000**
	700	**−4.6**	**47**	**3095**
7	690	−5.2	48	3210
8	653	−7.8	53	3650
9	**623**	**−9.8**	**68**	**4000**
10	592	−12.3	85	4400
11	560	−14.7	90	4840
	546	**−15.7**	**97**	**5000**
12	528	−17.8	95	5270
	500	**−20.3**	**96**	**5670**
13	497	−20.5	96	5710
	477	**−22.4**	**72**	**6000**
14	468	−23.4	52	6160
15	440	−26.0	44	6600
	416	**−29.8**	**43**	**7000**
16	413	−30.1	43	7050
	400	**−31.8**	**42**	**7280**
17	387	−33.6	42	7500
	361	**−36.4**	**42**	**8000**
18	359	−36.7	43	8030
19	340	−39.8	43	8400
20	314	−43.5	43	8950
	311	**−43.8**	—	**9000**
	300	**−45.2**	—	**9260**
21	287	−46.8	—	9540
22	**268**	**−50.7**	—	**10000**
23	249	−53.9	—	10480

12. XII. 1953 14.00 h HEC

	1000	—	—	**235**
0	969.3	2.5	90	493
1	940	−1.3	100	720
	932	−2.0	86	790
2	**907**	**5.3**	**63**	**1000**
3	870	3.2	62	1350
	850	**1.9**	**61**	**1560**
4	834	0.7	60	1690
	804	**0.1**	**55**	**2000**
5	792	−1.8	50	2110
6	748	−3.1	48	2560
	708	**−5.5**	**47**	**3000**
7	705	−5.6	46	3030
	700	**−6.0**	**44**	**3090**
8	669	−7.5	40	3430
9	627	−10.0	45	3930
	622	**−10.3**	**47**	**4000**
10	595	−12.4	50	4330
11	567	−14.2	42	4700
	545	**−16.5**	**33**	**5000**
12	540	−17.2	30	5080
13	508	−21.0	25	5520
	500	**−21.8**	**27**	**5645**
14	480	−24.1	32	5950
	477	**−24.9**	**33**	**6000**
15	452	−28.0	38	6380
16	424	−32.0	40	6840
	414	**−32.8**	**41**	**7000**
	400	**−35.0**	**42**	**7240**
17	396	−35.4	43	7310
18	368	−39.3	46	7820
	358	**−41.0**	—	**8000**
19	341	−43.4	—	8330
20	319	−46.8	—	8780
	309	**−48.2**	—	**9000**
	300	**−49.5**	—	**9185**
21	294	−50.2	—	9330
22	272	−54.2	—	9820
	265	**−55.6**	—	**10000**
23	253	−57.8	—	10280
24	230	−61.0	—	10870
	226	**−61.5**	—	**11000**
25	210	−62.2	—	11440
	200	**−62.4**	—	**11740**

13. XII. 1953 14.00 h HEC

	1000	—	—	**215**
0	966.5	1.0	100	193
1	934	−2.0	100	770
	922	**−2.4**	**100**	**860**
	907	**1.3**	**90**	**1030**
2	892	4.4	54	1130
3	**850**	**5.5**	**44**	**1525**
4	816	4.4	45	1850
	802	**3.6**	**48**	**2000**
5	776	2.0	50	2260
6	738	−0.2	50	2660
7	**708**	**−3.0**	**50**	**3000**
	700	**−3.5**	**49**	**3085**
8	675	−5.4	48	3380
9	642	−8.2	50	3770
	623	**−9.8**	**54**	**4000**
10	606	−11.0	57	4210
11	572	−13.4	63	4650
	547	**−15.3**	—	**5000**
12	540	−15.8	58	5090
13	508	−17.8	50	5540
	500	**−18.5**	**48**	**5675**
14	483	−19.6	40	5920
	478	**−20.2**	**39**	**6000**
15	455	−22.5	38	6360
16	428	−27.2	46	6800
	417	**−29.1**	**47**	**7000**
17	**400**	**−32.0**	**50**	**7290**
18	377	−36.7	50	7700
	361	**−39.5**	**50**	**8000**
19	353	−41.0	—	8160
20	330	−44.8	—	8630
	311	**−47.5**	—	**9000**
21	304	−49.0	—	9150
	300	**−49.5**	—	**9240**
22	281	−53.2	—	9660
	267	**−55.8**	—	**10000**
23	260	−57.0	—	10160
24	239	−60.3	—	10690

14. XII. 1953 14.40 h HEC

	1000	—	—	**185**
0	963.5	0.0	95	493
1	942	−0.4	100	660
2	**904**	**5.6**	**90**	**1000**
3	870	7.0	74	1320
	850	**6.1**	**72**	**1510**
4	844	5.4	70	1560
5	810	3.0	68	1910
	800	**2.6**	**69**	**2000**
6	778	1.4	70	2230
7	740	−1.2	72	2610
8	**708**	**−3.4**	**82**	**3000**
	700	**−3.8**	**86**	**3070**
9	676	−6.0	90	3350
10	640	−9.0	96	3770
	621	**−10.3**	**98**	**4000**
11	606	−11.2	100	4200
12	576	−13.2	100	4580
13	**546**	**−15.6**	**100**	**5000**
14	514	−18.8	98	5450
	500	**−20.1**	**97**	**5650**
15	486	−21.6	96	5850
	476	**−22.6**	**96**	**6000**
16	460	−24.4	96	6260
17	430	−26.0	92	6760
	415	**−27.0**	**90**	**7000**
18	**400**	**−28.2**	**88**	**7270**
19	374	−31.4	86	7750
	361	**−33.3**	**85**	**8000**
20	350	−35.0	84	8210
21	328	−39.8	—	8610
	312	**−40.8**	—	**9000**
22	304	−41.6	—	9200
	300	**−42.1**	—	**9270**
23	280	−45.0	—	9740

15. XII. 1953 14.50 h HEC

	1000	—	—	**180**
0	962.8	2.0	95	493
	942	3.6	95	660
1	934	5.6	82	740
	905	**6.7**	**68**	**1000**
2	**900**	**7.0**	**54**	**1040**
3	864	5.2	48	1380
	850	**4.3**	**48**	**1510**
4	822	2.8	48	1780
	800	**2.3**	**51**	**2000**
5	790	1.8	54	2100
6	754	−0.4	64	2470
7	716	−3.4	74	2890
	706	**−4.1**	**81**	**3000**
	700	**−4.6**	**94**	**3065**
8	680	−6.4	88	3300
9	644	−9.6	100	3720
	620	**−11.4**	**100**	**4000**
10	606	−12.4	100	4180
11	574	−14.2	90	4590
12	**544**	**−17.2**	**86**	**5000**
13	514	−20.2	88	5430
	500	**−21.2**	**89**	**5630**
14	486	−22.6	90	5840
	476	**−23.7**	**88**	**6000**
15	458	−25.8	86	6270
16	432	−30.8	86	6690
	412	**−32.2**	**86**	**7000**
17	**400**	**−33.4**	**86**	**7240**
18	374	−37.8	86	7700
	358	**−41.0**	—	**8000**
19	350	−42.4	—	8160
20	326	−47.4	—	8640
	308	**−50.3**	—	**9000**
21	**300**	**−51.8**	—	**9190**
22	278	−55.8	—	9670
	264	**−55.8**	—	**10000**
23	254	−55.8	—	10250
24	234	−60.6	—	10770
	225	**−61.5**	—	**11000**
25	214	−62.6	—	11320
	200	**−66.0**	—	**11730**
26	192	−68.2	—	12000

Min.	PPP	TTT	UU	H m. geop.
16. XII. 1953 14.55 h HEC				
	1000	—	—	**195**
0	964.6	–1.0	100	493
1	928	3.0	100	800
	906	**5.3**	**77**	**1000**
2	892	6.2	54	1120
3	854	6.6	34	1480
	850	**6.5**	**32**	**1530**
4	818	4.8	30	1830
	801	**3.7**	**30**	**2000**
5	778	2.0	30	2250
6	748	–0.6	36	2550
7	722	–3.0	48	2840
	707	**–4.2**	**51**	**3000**
	700	**–5.0**	**59**	**3080**
8	690	–5.8	54	3200
9	656	–9.2	64	3600
10	628	–11.8	72	3920
	622	**–12.4**	**76**	**4000**
11	**600**	**–15.0**	**80**	**4280**
12	566	–17.0	80	4720
	545	**–19.2**	**78**	**5000**
13	538	–20.2	76	5100
14	508	–22.2	68	5520
	500	**–23.1**	**63**	**5630**
15	480	–25.4	58	5940
	475	**–26.0**	**55**	**6000**
16	452	–29.0	52	6360
17	426	–32.4	52	6780
	413	**–34.3**	**50**	**7000**
18	**400**	**–36.6**	**48**	**7220**
19	376	–40.2	46	7640
	357	**–43.4**	—	**8000**
20	348	–45.0	—	8170
21	322	–49.6	—	8680
	307	**–52.0**	—	**9000**
22	**300**	**–52.8**	—	**9140**
23	272	–56.2	—	9780
	262	**–57.5**	—	**10000**
24	252	–59.2	—	10260
25	232	–61.2	—	10780
	224	**–61.9**	—	**11000**
26	210	–63.0	—	11400
	200	**–63.5**	—	**11700**
27	192	–64.2	—	11950
17. XII. 1953 14.55 h HEC				
	1000	—	—	**180**
0	963.8	0.0	100	493
1	926	2.6	94	800
	905	**4.0**	**94**	**1000**
2	892	4.6	94	1110
3	860	4.0	76	1420
	850	**3.8**	**64**	**1510**
4	830	2.6	52	1710
5	**800**	**1.0**	**50**	**2000**
6	766	–0.4	54	2340
7	728	–4.0	58	2750
	705	**–5.2**	**56**	**3000**
	700	**–5.4**	**51**	**3060**
8	694	–5.8	54	3130
9	660	–7.2	48	3520
10	**622**	**–9.0**	**42**	**4000**
11	590	–12.0	42	4380
12	564	–14.8	36	4730
	545	**–16.9**	**28**	**5000**
13	536	–17.8	20	5120
14	508	–19.9	20	5520
	500	**–20.8**	**17**	**5630**
15	480	–23.6	14	5940
	476	**–23.7**	**14**	**6000**
16	456	–24.2	12	6300
17	426	–28.4	24	6800
	414	**–29.5**	**28**	**7000**
18	**400**	**–31.2**	**32**	**7250**
19	376	–33.8	30	7680
	360	**–35.6**	**29**	**8000**
20	348	–37.2	28	8220
21	322	–41.8	—	8750
	310	**–44.3**	—	**9000**
22	**300**	**–46.8**	—	**9230**
23	274	–50.4	—	9830
	267	**–51.6**	—	**10000**
24	250	–54.4	—	10420
25	234	–57.2	—	10850
	228	**–57.3**	—	**11000**
26	270	–59.2	—	11530
	200	**–58.5**	—	**11840**
	195	**–58.1**	—	**12000**
27	190	–57.8	—	12160
18. XII. 1953 14.40 h HEC				
	1000	—	—	**180**
0	962.1	–1.0	100	493
1	938	–3.6	100	700
	924	0.8	100	820
2	912	2.2	94	920
	903	**2.5**	**87**	**1000**
3	884	2.8	80	1170
4	**850**	**1.8**	**78**	**1490**
5	816	0.8	70	1820
	797	**0.0**	**64**	**2000**
6	778	–1.2	58	2200
7	746	–3.2	50	2530
8	710	–5.6	40	2930
	704	**–6.0**	**33**	**3000**
	700	**–6.1**	**24**	**3040**
9	680	–7.8	26	3270
10	646	–9.4	22	3660
	618	**–10.5**	**16**	**4000**
11	614	–10.8	10	4050
12	580	–11.8	10	4500
13	550	–13.6	10	4900
	542	**–13.8**	**10**	**5000**
14	518	–15.2	10	5350
	500	**–17.1**	**10**	**5620**
15	492	–18.2	10	5740
	475	**–20.2**	**10**	**6000**
16	460	–22.2	10	6240
17	436	–26.0	10	6620
	414	**–28.8**	**10**	**7000**
18	412	–29.0	10	7050
	400	**–31.0**	**10**	**7240**
19	386	–33.6	10	7500
20	**360**	**–37.6**	**10**	**8000**
21	334	–41.4	—	8490
	310	**–45.8**	—	**9000**
22	308	–46.2	—	9050
	300	**–47.7**	—	**9210**
23	284	–51.2	—	9580
	266	**–54.6**	—	**10000**
24	260	–55.8	—	10150
25	240	–60.0	—	10650
	227	**–63.0**	—	**11000**
26	222	–64.2	—	11140
27	**200**	**–66.8**	—	**11770**
	192	**–66.4**	—	**12000**
28	180	–65.8	—	12410
19. XII. 1953 14.05 h HEC				
	1000	—	—	**130**
0	957.1	2.5	100	493
1	917	2.6	100	840
	898	**2.6**	**100**	**1000**
2	875	2.6	100	1210
	850	**2.0**	**100**	**1455**
3	833	1.7	100	1610
4	**793**	**0.0**	**100**	**2000**
5	754	–2.3	100	2410
6	722	–4.8	100	2750
	700	**–6.6**	**100**	**3000**
7	691	–7.2	100	3100
8	658	–9.8	100	3480
9	628	–11.7	100	3840
	614	**–13.3**	**100**	**4000**
10	599	–14.6	100	4190
11	570	–16.6	100	4570
12	541	–18.9	100	4950
	539	**–19.2**	**100**	**5000**
13	514	–21.6	100	5340
	500	**–22.8**	**100**	**5545**
14	487	–24.0	100	5730
	469	**–26.2**	**100**	**6000**
15	460	–27.2	100	6150
16	433	–31.0	100	6590
17	**407**	**–34.5**	**100**	**7000**
	400	**–35.7**	**100**	**7135**
18	385	–38.4	100	7390
19	359	–43.1	—	7880
	353	**–44.1**	—	**8000**
20	335	–47.8	—	8330
21	314	–51.6	—	8750
	303	**–53.2**	—	**9000**
	300	**–53.6**	—	**9055**
22	292	–54.8	—	9240
23	274	–58.1	—	9640
	259	**–60.7**	—	**10000**
24	254	–61.5	—	10110
25	236	–64.2	—	10570
	220	**–67.2**	—	**11000**
26	216	–68.0	—	11100
	200	**–68.5**	—	**11565**
27	196	–68.6	—	11690
	186	**–66.5**	—	**12000**
28	182	–65.4	—	12140
20. XII. 1953 14.35 h HEC				
	1000	—	—	**160**
0	958.9	4.8	90	493
1	923	0.6	100	820
	902	**–1.2**	**100**	**1000**
2	884	–2.6	100	1160
	850	**–4.9**	**100**	**1470**
3	848	–5.0	100	1490
4	808	–6.3	100	1870
	794	**–7.0**	**100**	**2000**
5	767	–8.4	100	2270
6	726	–12.6	100	2690
	700	**–12.7**	**98**	**2975**
	698	**–12.3**	**83**	**3000**
7	690	–12.4	96	3090
8	652	–14.0	70	3520
9	**612**	**–16.4**	**54**	**4000**
10	580	–19.2	53	4400
11	548	–23.2	50	4810
	534	**–25.0**	**50**	**5000**
12	518	–27.2	51	5220
	500	**–29.6**	**51**	**5470**
13	489	–31.1	52	5630
	464	**–34.8**	**54**	**6000**
14	459	–35.4	55	6080
15	434	–39.3	60	6470
16	409	–43.6	—	6870
	401	**–44.3**	—	**7000**
	400	**–44.4**	—	**7025**
17	382	–46.0	—	7320
18	353	–46.4	—	7850
	345	**–47.2**	—	**8000**
19	327	–49.0	—	8350
20	302	–51.4	—	8870
	300	**–51.5**	—	**8920**
	296	**–51.8**	—	**9000**
21	278	–52.8	—	9410
22	260	–52.8	—	9850
	254	**–53.4**	—	**10000**
23	239	–54.6	—	10380
24	219	–56.6	—	10940
	217	**–56.5**	—	**11000**
25	202	–56.0	—	11470
	200	**–56.1**	—	**11530**
26	**185**	**–56.4**	—	**12000**
21. XII. 1953 14.40 h HEC				
	1000	—	—	**185**
0	962.9	1.1	80	493
1	921	–1.9	92	850
	903	**–2.8**	**95**	**1000**
2	879	–4.2	98	1210
	850	**–5.7**	**99**	**1485**
3	835	–6.5	100	1620
4	**794**	**–6.9**	**100**	**2000**
5	749	–3.1	80	2480
6	707	–3.2	54	2930
	700	**–3.6**	**50**	**3005**
7	677	–5.3	38	3270
8	643	–7.7	38	3670
	616	**–9.3**	**38**	**4000**
9	612	–9.7	38	4060
10	580	–12.8	48	4480
11	547	–16.2	46	4940
	541	**–16.8**	**46**	**5000**
12	514	–19.1	46	5380
	500	**–20.3**	**44**	**5580**
13	480	–22.3	42	5890
	473	**–23.1**	**40**	**6000**
14	452	–26.1	39	6330
15	425	–30.6	31	6770
	411	**–32.4**	**29**	**7000**
16	**400**	**–34.1**	**27**	**7190**
17	372	–37.4	27	7690
	356	**–39.4**	**27**	**8000**
18	347	–40.8	—	8170
19	320	–42.8	—	8720
	307	**–43.8**	—	**9000**
20	**300**	**–44.4**	—	**9155**
21	280	–47.9	—	9610
	259	**–51.3**	—	**10000**
22	260	–52.1	—	10100
23	241	–55.9	—	10590
	226	**–58.2**	—	**11000**
24	221	–59.0	—	11130
	215	**–60.1**	—	**11300**
25	202	–54.0	—	11710
	200	**–54.0**	—	**11760**
	193	**–53.9**	—	**12000**
26	184	–53.9	—	12290
27	167	–53.0	—	12920
22. XII. 1953 14.50 h HEC				
	1000	—	—	**225**
0	967.1	1.9	72	493
	908	**–2.5**	—	**1000**
1	903	–3.0	—	1040
2	880	–0.6	—	1250
	850	**–2.2**	—	**1520**
	834	–3.3	—	1670
3	809	–3.6	—	1910
	800	**–4.2**	—	**2000**
4	773	–6.4	—	2270
5	732	–11.3	—	2700
	704	**–6.3**	—	**3000**
6	**700**	**–5.6**	**35**	**3045**
7	666	–7.2	32	3420
8	629	–10.0	32	3880
	619	**–10.1**	**32**	**4000**
9	594	–11.1	32	4300
10	561	–14.3	32	4740
	543	**–16.0**	**32**	**5000**
11	533	–17.0	32	5140
	500	**–18.2**	**35**	**5615**
12	491	–18.5	36	5760
	475	**–20.2**	**36**	**6000**
13	462	–21.5	36	6200
14	434	–24.9	34	6660
	414	**–26.7**	**35**	**7000**
15	407	–27.4	35	7120
	400	**–28.7**	**34**	**7245**
16	377	–33.5	41	7670
	360	**–36.5**	**43**	**8000**
17	351	–38.0	44	8160
18	326	–42.5	—	8670
	310	**–45.6**	—	**9000**
19	303	–47.2	—	9160
	300	**–47.5**	—	**9220**
20	281	–49.1	—	9650
	267	**–51.3**	—	**10000**
21	259	–52.7	—	10180
22	239	–56.0	—	10690
	228	**–57.0**	—	**11000**
23	222	–57.7	—	11170
24	**200**	**–60.0**	—	**11820**
	194	**–58.6**	—	**12000**
25	185	–56.1	—	12310
26	167	–53.7	—	12960

Min.	PPP	TTT	UU	H m. geop.
23. XII. 1953 14.25 h HEC				
	1000	—	—	**215**
0	966.0	0.9	80	493
1	919	–0.4	100	890
	907	**–0.5**	**100**	**1000**
2	885	–0.7	100	1200
	850	**–2.6**	**100**	**1520**
3	847	–2.8	100	1550
4	815	–3.8	100	1850
	797	**–2.0**	**44**	**2000**
5	781	–3.0	42	2180
6	747	–6.3	80	2540
7	708	–8.9	100	2950
	704	**–8.9**	**100**	**3000**
	700	**–9.0**	**100**	**3045**
8	673	–9.9	100	3350
9	635	–11.0	100	3800
	618	**–12.1**	**100**	**4000**
10	600	–13.6	100	4230
11	570	–15.8	100	4620
	542	**–16.8**	**100**	**5000**
12	537	–17.1	100	5070
13	503	–19.2	100	5560
	500	**–19.2**	**100**	**5600**
	474	**–21.3**	**100**	**6000**
14	470	–21.8	100	6060
15	445	–25.8	100	6450
16	420	–30.7	100	6870
	412	**–31.5**	**100**	**7000**
	400	**–32.9**	**100**	**7215**
17	394	–33.9	100	7320
18	369	–37.4	100	7780
	367	**–39.3**	**100**	**8000**
19	347	–41.2	—	8200
20	323	–43.5	—	8690
	308	**–45.8**	—	**9000**
21	**300**	**–47.2**	—	**9175**
22	279	–49.7	—	9650
	265	**–52.6**	—	**10000**
23	260	–53.6	—	10110
24	242	–56.6	—	10570
25	227	–56.6	—	10970
	226	**–56.3**	—	**11000**
26	209	–55.1	—	11500

Min.	PPP	TTT	UU	H m. geop.
24. XII. 1953 13.50 h HEC				
	1000	—	—	**210**
0	964.8	3.0	75	493
1	922	–0.4	75	870
	905	**–1.2**	**75**	**1000**
2	878	–3.6	75	1260
	850	**–2.2**	**75**	**1510**
3	832	–1.6	75	1680
	799	**–2.4**	**67**	**2000**
4	786	–3.0	60	2130
5	750	–2.8	26	2510
6	710	–4.8	24	2940
	704	**–4.9**	**24**	**3000**
	700	**–5.2**	**29**	**3050**
7	676	–7.2	24	3320
8	638	–10.0	34	3770
	618	**–11.5**	**39**	**4000**
9	**600**	**–13.6**	**44**	**4240**
10	570	–17.2	48	4640
	542	**–19.3**	**43**	**5000**
11	540	–19.8	38	5035
12	512	–21.9	30	5420
	500	**–23.6**	**32**	**5600**
13	488	–25.9	34	5790
	473	**–27.8**	**36**	**6000**
14	460	–30.0	38	6210
15	432	–34.0	38	6650
	410	**–36.2**	**36**	**7000**
16	**400**	**–37.8**	**36**	**7190**
17	374	–41.0	—	7640
	354	**–43.8**	—	**8000**
18	350	–44.8	—	8100
19	330	–48.0	—	8480
20	**306**	**–51.2**	—	**9000**
	300	**–51.9**	—	**9100**
21	284	–54.8	—	9470
22	262	–59.0	—	9970
	260	**–59.0**	—	**10000**
23	238	–60.8	—	10580
	222	**–59.7**	—	**11000**
24	218	–59.6	—	11130
	200	**–56.1**	—	**11660**
25	194	–55.2	—	11860

Min.	PPP	TTT	UU	H m. geop.
25. XII. 1953 14.45 h HEC				
	1000	—	—	**180**
0	962.7	4.0	65	493
1	912	2.2	66	930
	901	**2.0**	**60**	**1000**
2	868	1.0	66	1340
	850	**–0.1**	**67**	**1500**
3	832	–2.0	68	1670
	798	**–3.7**	**68**	**2000**
4	792	–4.2	68	2070
5	758	–6.6	64	2420
6	716	–9.6	62	2860
	700	**–9.8**	**54**	**3000**
7	684	–10.8	46	3210
8	650	–11.6	10	3600
9	622	–13.2	10	3930
	616	**–13.4**	**10**	**4000**
10	592	–15.2	10	4310
11	560	–18.6	26	4730
	539	**–19.8**	**37**	**5000**
12	528	–21.0	48	5170
13	**500**	**–23.8**	**50**	**5565**
14	**472**	**–26.2**	**16**	**6000**
15	440	–29.2	10	6490
16	**410**	**–33.2**	**10**	**7000**
	400	**–34.6**	**10**	**7160**
17	386	–37.0	10	7410
18	360	–41.0	—	7900
	354	**–41.8**	—	**8000**
19	338	–45.6	—	8320
20	316	–49.2	—	8760
	305	**–50.6**	—	**9000**
	300	**–51.2**	—	**9100**
21	292	–52.6	—	9280
22	268	–57.6	—	9840
	261	**–58.2**	—	**10000**
23	244	–60.8	—	10420

Min.	PPP	TTT	UU	H m. geop.
26. XII. 1953 13.45 h HEC				
	1000	—	—	**210**
0	965.8	3.0	60	493
1	920	–2.6	68	880
	906	**–3.5**	**69**	**1000**
2	882	–5.4	70	1200
	850	**–7.2**	**72**	**1500**
3	836	–8.2	74	1630
	797	**–9.7**	**74**	**2000**
4	794	–10.0	74	2040
5	756	–12.2	38	2410
6	712	–14.8	36	2860
	700	**–16.1**	**36**	**3000**
7	684	–18.2	36	3160
8	644	–21.0	36	3610
	611	**–21.3**	**36**	**4000**
9	604	–21.4	36	4080
10	570	–21.0	34	4510
11	538	–20.0	34	4940
	534	**–20.0**	**34**	**5000**
12	510	–20.0	34	5330
	500	**–21.1**	**34**	**5490**
13	480	–23.6	34	5790
	466	**–24.5**	**34**	**6000**
14	454	–25.6	34	6190
15	430	–29.6	34	6580
	406	**–32.8**	**36**	**7000**
16	**400**	**–33.6**	**36**	**7085**
17	376	–35.8	36	7520
	352	**–37.4**	**38**	**8000**
18	350	–37.6	40	8030
19	328	–40.8	42	8470
	304	**–44.6**	—	**9000**
20	**300**	**–45.1**	—	**9075**
21	282	–48.4	—	9480
22	262	–52.4	—	9960
	261	**–52.6**	—	**10000**
23	242	–56.0	—	10480
24	226	–57.6	—	10910
	223	**–57.6**	—	**11000**
25	210	–58.6	—	11370
	200	**–56.0**	—	**11690**
26	194	–54.6	—	11880

Min.	PPP	TTT	UU	H m. geop.
27. XII. 1953 14.45 h HEC				
	1000	—	—	**200**
0	964.7	2.0	75	493
1	934	–0.4	76	750
	905	**–1.6**	**78**	**1000**
2	886	–2.6	80	1170
	850	**–3.6**	**83**	**1500**
3	840	–4.0	86	1600
4	**800**	**–4.4**	**92**	**1970**
	797	**–4.4**	**96**	**2000**
5	754	–6.4	100	2440
6	716	–8.4	100	2840
	702	**–9.1**	**98**	**3000**
	700	**–9.3**	**100**	**3025**
7	682	–10.6	96	3220
	670	–8.8	82	3360
8	646	–9.8	54	3640
	616	**–11.5**	**47**	**4000**
9	610	–12.2	40	4080
10	578	–15.6	36	4490
11	548	–16.4	36	4900
	541	**–16.9**	**36**	**5000**
12	518	–18.8	36	5310
	500	**–20.9**	**35**	**5585**
13	492	–22.0	34	5760
	472	**–24.8**	**33**	**6000**
14	468	–25.6	32	6070
15	440	–29.2	32	6510
16	414	–32.4	32	6940
	411	**–32.5**	**32**	**7000**
	400	**–33.2**	**32**	**7190**
17	388	–34.4	32	7390
18	364	–38.2	32	7840
	356	**–39.6**	—	**8000**
19	342	–42.2	—	8260
20	320	–45.8	—	8710
	307	**–48.1**	—	**9000**
21	**300**	**–49.6**	—	**9140**
22	280	–52.6	—	9600
	263	**–54.2**	—	**10000**
23	260	–54.8	—	10070
24	238	–56.6	—	10640
	225	**–57.5**	—	**11000**
25	220	–58.0	—	11130
26	**200**	**–54.4**	—	**11740**
	192	**–53.8**	—	**12000**
27	186	–53.2	—	12210

Min.	PPP	TTT	UU	H m. geop.
28. XII. 1953 14.30 h HEC				
	1000	—	—	**210**
0	964.5	0.0	100	493
1	918	–2.9	100	890
	905	**–3.7**	**100**	**1000**
2	878	–4.9	100	1240
	850	**–7.1**	**100**	**1505**
3	839	–7.7	100	1600
4	807	–10.7	100	1900
	796	**–11.4**	**100**	**2000**
5	771	–12.9	100	2250
6	732	–15.3	100	2650
7	**700**	**–17.3**	**100**	**2980**
	698	**–17.6**	**100**	**3000**
8	671	–19.5	100	3290
9	635	–22.5	100	3710
	609	**–24.4**	**99**	**4000**
10	596	–25.1	98	4150
11	562	–28.1	98	4590
12	532	–30.8	98	4980
	530	**–31.0**	**97**	**5000**
13	**500**	**–34.2**	**96**	**5420**
14	472	–37.2	95	5820
	460	**–39.1**	**95**	**6000**
15	448	–40.8	95	6180
16	420	–44.3	—	6610
	400	**–45.8**	—	**6935**
	397	**–46.2**	—	**7000**
17	394	–46.3	—	7045
18	369	–47.7	—	7470
19	348	–48.2	—	7870
	341	**–48.6**	—	**8000**
20	326	–49.7	—	8300
21	**300**	**–51.3**	—	**8833**
	292	**–52.0**	—	**9000**
22	281	–53.1	—	9270
23	261	–52.8	—	9740
	250	**–52.9**	—	**10000**
24	244	–53.0	—	10170
25	227	–53.0	—	10640
	215	**–53.3**	—	**11000**
26	210	–53.4	—	11140
	200	**–53.3**	—	**11450**

Min.	PPP	TTT	UU	H m. geop.
29. XII. 1953 14.45 h HEC				
	1000	—	—	**140**
0	957.8	–0.2	100	493
1	934	–0.7	100	700
2	906	–3.7	100	940
	898	**–3.7**	**100**	**1000**
3	864	–5.2	100	1300
	850	**–5.9**	**100**	**1435**
4	824	–7.4	100	1670
	791	**–9.1**	**100**	**2000**
5	785	–9.4	100	2050
6	752	–11.4	100	2380
7	718	–14.7	100	2730
	700	**–16.0**	**100**	**2930**
	694	**–16.8**	**100**	**3000**
8	684	–17.6	100	3100
9	653	–20.0	100	3440
10	616	–23.5	100	3870
	606	**–24.3**	**100**	**4000**
11	578	–26.6	100	4340
12	548	–29.6	100	4730
	527	**–32.3**	**100**	**5000**
13	521	–32.8	100	5070
	500	**–35.4**	**99**	**5375**
14	496	–38.0	98	5430
15	470	–38.4	95	5800
	457	**–39.6**	**94**	**6000**
16	440	–40.7	—	6250
17	418	–43.0	—	6590
	400	**–44.0**	—	**6895**
18	**392**	**–44.4**	—	**7000**
19	370	–44.8	—	7410
20	343	–44.8	—	7920
	339	**–45.0**	—	**8000**
21	320	–44.8	—	8380
22	**300**	**–46.0**	—	**8815**
	292	**–46.7**	—	**9000**
23	278	–47.6	—	9320
24	258	–50.0	—	9810
	251	**–50.0**	—	**10000**
25	240	–50.0	—	10290
26	220	–50.0	—	10850
	215	**–50.0**	—	**11000**
27	**200**	**–50.0**	—	**11480**

Min.	PPP	TTT	UU	H m. geop.
30. XII. 1953 14.45 h HEC				
	1000	—	—	**160**
0	959.7	–1.5	70	493
1	910	–7.9	75	910
	899	**–8.3**	**77**	**1000**
2	856	–11.6	80	1380
	850	**–11.9**	**81**	**1440**
3	810	–14.9	82	1800
	790	**–17.2**	**82**	**2000**
4	779	–18.4	83	2100
5	734	–20.8	82	2550
	710	–23.2	81	2780
	700	**–23.2**	**73**	**2890**
	690	**–23.2**	**67**	**3000**
6	686	–23.2	76	3050
7	646	–27.3	69	3480
8	611	–28.7	65	3880
	601	**–28.5**	**64**	**4000**
	590	–28.2	64	4130

Min.	PPP	TTT	UU	H m. geop.
9	575	–30.7	63	4310
10	542	–34.1	62	4730
	521	**–34.8**	**61**	**5000**
11	505	–35.5	60	5230
	500	**–35.6**	**60**	**5295**
12	471	–36.6	59	5710
	451	**–36.8**	**58**	**6000**
13	444	–36.8	57	6120
14	416	–40.2	—	6580
	400	**–41.0**	—	**6830**
	390	**–41.7**	—	**7000**
15	388	–41.8	—	7040
16	361	–43.8	—	7530
	336	**–46.6**	—	**8000**
17	334	–46.8	—	8040
18	310	–50.6	—	8540
	300	**–50.8**	—	**8750**
	288	**–51.2**	—	**9000**
19	286	–51.2	—	9060
20	264	–50.1	—	9590
	247	**–50.8**	—	**10000**
21	241	–51.0	—	10180
22	224	–51.0	—	10660
	212	**–51.0**	—	**11000**
23	208	–51.0	—	11130
	200	**–51.0**	—	**11395**
24	192	–51.0	—	11660

31. XII. 1953 13.50 h HEC

	1000	—	—	**155**
0	958.3	–3.0	72	493
1	903	–8.0	100	950
	898	**–8.4**	**99**	**1000**
2	855	–11.7	96	1380
	850	**–12.2**	**97**	**1425**
3	807	–16.0	100	1820
	788	**–17.4**	**100**	**2000**
	775	–18.2	100	2120
4	757	–17.7	100	2300
	729	–17.0	86	2590
5	710	–18.2	71	2780
	700	**–18.2**	**62**	**2835**
	689	**–18.2**	**52**	**3000**
6	677	–18.2	43	3140
7	635	–19.2	33	3610
8	**601**	**–20.5**	**29**	**4000**
9	567	–23.2	28	4450
10	533	–27.1	28	4910
	526	**–27.9**	**28**	**5000**
11	**500**	**–31.6**	**28**	**5355**
12	473	–34.9	28	5750
	456	**–36.0**	**28**	**6000**
13	446	–36.6	28	6150
14	417	–41.3	—	6620
	400	**–43.6**	—	**6895**
	394	**–44.5**	—	**7000**
15	392	–44.7	—	7030
16	363	–47.1	—	7550
17	**339**	**–49.5**	—	**8000**
18	314	–51.8	—	8490
	300	**–53.1**	—	**8790**
19	**290**	**–54.1**	—	**9000**
20	268	–52.3	—	9520
	249	**–54.1**	—	**10000**
21	248	–54.7	—	10170
22	229	–53.9	—	10530
	213	**–51.7**	—	**11000**
23	208	–51.1	—	11350
	200	**–51.3**	—	**11400**
24	189	–51.5	—	11750
	182	**–51.4**	—	**12000**
25	170	–51.5	—	12400
	156	**–51.6**	—	**13000**
26	153	–51.9	—	13150

Pilot

HH = Höhe in Hektometern; dd = Windrichtung in 36iger Skala; ff = Windgeschwindigkeit in Knoten.

HH	dd	ff
2. I. 53 14.15 h		
05	00	00
10	02	03
15	02	10
20	01	22
30	01	18
40	01	12
50	34	05
55	02	05
60	01	03
70	26	03
80	00	00
90	00	00
95	01	15
110	35	20
3. I. 53 14.15 h		
05	00	00
10	07	12
15	06	08
25	03	05
30	24	07
40	24	12
50	28	10
55	26	14
65	23	22
70	23	15
85	24	33
5. I. 53 15.00 h		
05	03	05
10	05	17
20	06	18
25	04	11
30	01	05
40	35	05
50	02	10
55	01	08
65	32	06
75	01	16
85	02	22
90	02	35
105	02	30
110	01	24
6. I. 53 14.40 h		
05	04	05
10	07	11
20	08	12
25	11	05
20	17	16
10	15	22
50	13	18
55	10	16
65	01	27
75	05	15
85	35	22
95	35	28
100	34	10
7. I. 53 14.45 h		
05	00	00
10	06	11
15	06	11
25	34	05
35	27	04
45	34	02
55	21	03
65	00	00
75	00	00
85	30	05
90	30	06
110	06	44
8. I. 53 14.55 h		
05	04	10
10	05	22
15	06	22
25	07	33
30	06	15
40	07	18
50	08	16
55	08	12
65	10	12
75	12	26
85	13	17
9. I. 53 14.55 h		
05	00	00
10	05	10
15	03	11
25	03	12
30	05	15
40	04	28
50	05	40
55	04	36
65	04	33
75	03	77
90	02	66
100	02	44
110	01	40
10. I. 53 14.20 h		
05	23	08
10	25	12
15	33	15
30	32	18
40	33	26
50	33	29
12. I. 53 15.15 h		
05	03	08
10	06	22
15	05	16
30	04	28
35	03	50
45	03	40
55	03	55
60	03	48
70	03	42
80	02	85
90	03	78
105	03	55
115	03	28
13. I. 53 15.15 h		
05	04	05
10	07	15
15	03	23
30	04	44
45	04	39
55	04	34
60	04	33
70	03	28
80	02	28
90	02	66
110	36	44
115	02	40
14. I. 53 15.05 h		
05	09	08
10	06	11
15	05	12
25	04	15
30	04	20
40	04	28
50	04	45
55	04	50
65	03	55
75	02	55
90	36	65
100	36	82
105	01	50
15. I. 53 14.55 h		
05	07	04
15	04	11
20	05	15
30	07	16
35	10	14
45	09	15
55	09	22
65	06	40
75	06	72
80	06	72
90	55	10
105	54	05
115	04	66
16. I. 53 14.50 h		
05	00	00
10	05	11
15	05	10
25	05	18
30	05	18
40	05	22
50	05	28
55	04	38
65	05	58
75	05	77
90	05	72
100	05	60
110	05	110
120	05	93
19. I. 53 15.00 h		
05	03	15
10	06	22
15	06	30
25	05	44
30	05	38
50	04	33
55	03	55
65	02	39
75	04	60
85	04	40
90	01	72
105	02	58
20. I. 53 14.55 h		
05	05	15
10	05	28
15	06	18
25	04	26
30	04	30
40	01	26
55	03	34
60	02	44
70	02	30
80	02	30
90	03	44
100	02	50
110	02	48
21. I. 53 14.50		
05	00	00
10	05	11
15	05	16
30	04	12
40	02	16
45	02	15
55	02	20
60	02	25
70	02	30
80	02	33
90	02	40
100	03	45
110	03	45
22. I. 53 14.50 h		
05	00	00
10	04	04
15	03	06
30	01	07
35	33	12
45	32	16
55	29	16
60	29	22
70	31	30
80	32	29
90	32	39
100	32	42
105	31	46
115	32	38
23. I. 53 15.00 h		
05	00	00
10	04	08
15	33	05
30	01	05
35	30	12
45	30	18
55	31	35
60	32	30
24. I. 53 14.10 h		
05	00	00
10	00	00
15	25	06
25	25	07
20	31	07
40	36	17
50	32	16
55	32	16
65	33	23
75	33	28
80	33	30
90	34	33
105	32	43
26. I. 53 14.40 h		
05	04	14
10	06	15
15	05	18
30	04	62
40	04	50
50	03	50
55	02	62
65	03	65
70	04	60
80	04	87
90	04	55
100	05	10
115	04	70
27. I. 53 14.50 h		
05	00	00
20	00	00
25	30	04
30	32	12
40	32	22
50	33	25
55	35	25
65	36	35
75	36	28
85	01	48
90	36	55
100	01	70
115	01	85
125	36	90
130	36	90
28. I. 53 14.45 h		
05	00	00
10	25	07
15	25	12
25	35	15
30	36	30
40	35	28
55	35	38
70	36	38
80	35	68
90	35	50
100	36	58
115	36	70
120	36	55
130	36	55
29. I. 53 15.00 h		
05	00	00
10	26	05
15	27	07
20	29	08
30	31	20
45	32	45
55	32	33

HH	dd	ff
70	31	58
80	31	55
90	31	68
00	32	40
10	30	44
15	30	44

9. I. 53 14.50 h

05	00	00
15	25	07
25	26	08
30	29	15
40	30	22
50	29	25
55	29	27
65	30	38
75	28	42
80	28	44
90	28	48
00	27	77
10	27	55
15	27	46
25	27	46

11. I. 53 14.45 h

05	24	25
10	27	30
15	26	30
20	25	44
30	25	60
40	25	56
50	26	77
55	27	77
65	27	82
75	27	94
85	28	98
90	28	82
00	28	10

13. II. 53 15.00 h

05	23	06
15	28	11
20	32	11
30	30	11
40	30	12
45	33	12
55	33	15
60	29	28
75	35	34
80	34	22
90	33	24
00	32	33
05	32	35

15. II. 53 14.45 h

05	03	12
10	03	18
15	06	18
25	06	22
30	07	28
40	07	35
50	08	37
55	08	45
65	07	50
75	08	70
80	08	58
90	08	38
03	06	16
10	03	28

17. II. 53 15.05 h

05	03	00
17	00	00
30	00	00
35	00	05
45	02	03
55	05	08
00	03	10
70	02	10
80	03	15
90	03	18
15	05	44

HH	dd	ff
5. II. 53		**15.05 h**
05	00	00
15	00	00
25	00	00
30	33	12
55	32	20
45	32	20
50	33	28
55	33	35
70	33	68
80	33	22
90	34	50
100	33	66
110	33	78
120	32	44

6. II. 53 15.15 h

05	22	12
10	23	18
15	28	18
30	30	22
35	31	22
45	32	22
55	31	35
60	31	55
70	31	55
80	31	75
90	30	52
100	30	50
110	30	50

7. II. 53 15.05 h

05	00	00
10	32	11
15	27	11
30	21	10
35	30	15
45	32	18
55	32	22
60	31	28
70	32	36
80	30	38
90	30	44
100	30	44
110	29	58

9. II. 53 16.00 h

05	22	15
10	23	28
15	26	26
25	27	35
30	28	26
40	29	55
50	32	33
55	31	72
65	30	72
75	31	73
85	80	64
90	80	48
100	31	78
110	30	50

10. II. 53 14.55 h

05	22	15
10	22	40
15	22	46
25	23	66
30	25	46
35	25	50
40	24	60
45	25	34
50	23	38
55	25	62
65	23	60
75	23	18

11. II. 53 13.45 h

05	21	15
20	23	50
15	24	35
20	25	35
30	25	44
40	27	28

HH	dd	ff
50	27	32
55	27	25
70	27	33
80	27	28
85	27	17
90	28	28
105	27	44
110	27	35

12. II. 53 15.05 h

05	21	10
10	23	22
15	27	20
25	26	18
30	29	18
45	28	23
50	27	13
55	28	16
70	33	15
80	30	05
90	28	12
100	30	11

13. II. 53 14.50 h

05	04	05
10	04	14
15	07	16
30	05	05
35	16	05
45	00	00
55	11	04
65	15	05
75	00	00
80	00	00
90	03	10
105	03	08
120	03	11

14. II. 53 14.15 h

05	00	00
15	05	05
25	16	08
30	12	18
40	19	12
50	21	20
55	19	22
65	19	18
75	19	15
85	22	05
90	23	07
110	33	07
115	34	07

16. II. 53 14.55 h

05	04	20
10	05	18
15	05	44
25	07	28
30	07	28
40	07	25
50	09	16
55	06	11
65	08	12
75	11	10
90	07	02
100	07	06
105	03	16

17. II. 53 14.55 h

05	00	00
10	05	11
15	05	16
25	05	16
30	05	33
40	05	33
50	05	38
55	05	43
70	05	44
80	05	35
90	05	52
103	05	46
112	05	36
120	03	44

HH	dd	ff
18. II. 53		**14.55 h**
05	00	00
10	03	08
15	02	08
25	03	07
30	02	16
40	02	16
50	02	15
55	01	23
65	01	20
80	01	17
90	01	14
95	05	15
105	07	23
115	03	28

20. II. 53 14.55 h

05	00	00
10	00	00
30	00	00
50	19	08
55	17	12
70	17	15
80	17	11
90	14	11
100	12	11
110	07	12
120	04	08

21. II. 53 14.10 h

05	00	00
15	00	00
20	29	03
25	34	05
30	34	10
40	33	12
50	03	06
55	02	08
70	03	16
80	07	22
90	06	27
105	05	55
110	06	60

23. II. 53 14.25 h

05	01	02
15	24	05
25	25	15
30	24	38
40	24	20
55	25	17
65	25	20
75	25	25
90	25	30
100	26	33
110	26	50
115	26	38
120	26	38
130	25	52
137	25	52

24. II. 53 15.00 h

05	00	00
10	05	10
15	07	06
25	13	03
30	11	03
40	25	11
50	25	10
55	26	11
65	24	15
80	24	23
90	24	38
100	24	44
110	24	40
120	25	30

25. II. 53 15.00 h

05	00	00
10	05	07
15	06	12
30	06	07
35	34	04

HH	dd	ff
45	27	08
55	30	06
60	30	12
70	28	12
80	28	18
90	28	17
100	28	20
110	26	15
120	29	08

26. II. 53 14.50 h

05	00	00
15	00	00
30	21	05
40	19	07
50	17	05
55	19	25
70	20	33
80	20	17
90	18	22
100	18	33
110	18	33
120	18	13

27. II. 53 14.55 h

05	00	00
10	05	05
15	04	08
30	04	11
40	02	03
45	35	03
55	28	02
65	29	03
75	28	03
85	26	05
90	24	12
100	00	00
115	00	00

28. II. 53 14.15 h

05	02	15
10	06	24
15	07	30
30	07	38
35	07	21
40	07	35
50	08	21
55	07	28
65	07	33
75	07	35
80	07	25
90	02	28
105	36	22
110	30	18

2. III. 53 14.50 h

05	00	00
10	04	07
15	03	12
25	04	22
30	09	33
40	07	33
50	08	25
55	08	20
60	08	20
70	07	27
80	07	27
90	05	33
100	05	38
110	05	40
115	04	55
120	03	55
130	02	40

3. III. 53 14.45 h

05	03	05
10	06	10
15	06	27
25	06	20
30	05	14
40	06	17
55	06	22
70	06	33

HH	dd	ff
80	06	36
90	05	35
100	06	30
115	06	33
120	06	30

4. III. 53 14.50 h

05	00	00
10	05	07
15	08	10
20	02	10
30	01	12
40	01	15
55	01	20
65	01	25
75	02	20
85	02	20
90	02	20
100	02	22
110	02	20
115	02	18
120	04	25
128	04	25

5. III. 53 14.45 h

05	03	16
10	05	24
15	06	33
25	08	22
30	07	33
40	08	22
05	05	20
55	05	25
70	05	30
80	04	33
90	03	30
100	03	33
110	02	35
120	02	50
130	01	50
135	35	15

6. III. 53 14.50 h

05	00	00
10	25	08
15	26	04
25	26	04
30	06	07
40	04	12
50	03	16
55	03	25
65	02	33
75	02	33
85	02	27
90	01	22
100	01	30
110	01	28
115	02	28
125	01	25

7. III. 53 14.30 h

05	26	05
10	29	10
15	29	14
25	31	14
30	31	20
40	32	25
50	32	35
55	32	33
65	34	45
75	35	50
90	34	40
100	01	50
110	36	70
120	36	45
130	34	35

9. III. 53 13.55 h

05	05	18
10	05	28
20	06	33
30	07	33
35	06	24

HH	dd	ff
45	06	34
55	06	35
65	05	48
70	05	53
80	05	50
90	04	70
100	04	55
110	04	78
120	04	50

10. III. 53 14.50 h

05	05	12
10	06	22
15	05	20
20	04	30
25	03	33
45	03	33
55	03	45
60	36	25
70	35	35
80	01	60
90	01	55
100	01	62
105	02	95

11. III. 53 14.50 h

05	00	00
10	30	08
15	35	10
25	36	12
30	33	23
40	33	17
45	31	17
50	33	23
55	32	33
70	33	33
75	33	36
85	34	49
90	34	32
105	34	41
110	35	33

12. III. 53 15.00 h

05	04	13
10	05	20
15	07	16
25	05	17
30	05	20
40	04	18
50	04	16
55	02	14
65	06	15
75	04	18
80	04	23
90	04	28
100	04	38
110	06	38

13. III. 53 15.00 h

05	04	15
10	05	24
15	06	28
25	05	22
30	05	18
40	05	26
50	02	28
55	02	33
65	04	32
70	03	24
80	03	33
90	03	23
108	03	38
110	02	34

14. III. 53 14.10 h

05	05	15
15	05	21
20	09	09
30	17	16
35	12	11
45	11	27
50	13	20
55	11	22

HH	dd	ff
65	11	17
80	11	20
90	09	17
100	13	15
110	11	05
120	06	16

16. III. 53 14.50 h

05	00	00
10	05	05
15	08	04
30	13	05
40	15	05
50	12	05
55	16	08
65	17	15
75	17	15
80	16	23
90	17	35
105	17	42
110	16	36

17. III. 53 15.15 h

05	00	00
15	00	00
30	17	05
40	16	15
45	15	18
55	15	28
60	15	16
70	14	22
80	16	16
90	16	16
95	13	16
105	14	17
120	16	17

18. III. 53 15.00 h

05	00	00
10	01	04
15	05	03
30	19	07
40	14	12
50	14	11
55	13	18
65	16	16
75	16	22
85	14	17
90	15	20
105	14	22
110	13	28

19. III. 53 14.45 h

05	00	00
15	00	00
30	00	00
35	22	04
45	18	04
55	18	12
60	17	14
70	16	20
80	14	12
90	15	28
100	14	33
110	15	38
120	18	26

20. III. 53 14.55 h

05	00	00
15	00	00
30	20	03
40	21	05
50	21	11
55	23	04
65	24	16
75	26	17
85	27	15

21. III. 53 14.10 h

05	03	03
15	06	08
25	09	04
30	12	06

HH	dd	ff
40	10	05
55	12	05
65	11	03
75	05	07
80	07	05
90	09	12
100	21	03
120	22	03
130	00	00

23. III. 53 15.00 h

05	00	00
10	04	05
15	36	04
25	36	05
30	03	02
40	01	02
45	36	02
55	36	06
60	02	05
70	01	10
80	01	07
90	34	08
100	33	10
110	32	04
120	00	00

24. III. 53 14.45 h

05	01	08
10	03	13
15	05	11
25	08	06
30	10	08
40	10	10
50	12	12
55	09	11
65	07	13
75	06	16
85	05	17
90	09	16
105	13	16

25. III. 53 14.55 h

05	00	00
10	03	05
15	04	03
30	15	04
35	18	10
45	12	23
55	12	30
60	12	28
70	12	36
75	12	36
80	13	49
90	13	66
105	13	72
120	14	55

27. III. 53 15.00 h

05	25	08
10	29	13
15	30	10
20	23	11
25	24	13
30	23	16
40	24	05
45	23	07
50	26	05
55	26	10
60	36	16
65	01	22
70	35	28
80	01	39
90	02	62
95	01	50
105	10	16
110	09	10

28. III. 53 14.15 h

05	23	12
15	25	08
20	24	16
30	29	07

HH	dd	ff
35	29	10
45	32	07
55	34	18
60	34	12
70	32	16
80	32	22
90	32	21
100	28	35

30. III. 53 14.55 h

05	20	15
15	22	27
20	23	38
25	23	25
30	23	33
40	24	36
50	24	28
55	24	18
65	25	33
75	25	65
85	26	50
90	26	28
100	24	43
110	25	55

31. III. 53 14.55 h

05	26	06
10	24	14
15	24	24
25	25	28
30	23	40
40	29	55
50	28	33
55	28	44
65	28	60
75	28	50
80	28	55
90	29	55
105	29	55
110	28	58

1. IV. 53 14.40 h

05	21	08
10	24	14
15	22	24
30	23	28
35	26	17
45	24	20
50	27	18
55	27	33
60	27	44
75	27	50
80	27	24
90	27	44
105	27	39
110	27	42

2. IV. 53 14.20 h

05	21	17
10	22	25
15	22	33
30	24	25
35	23	30
45	24	27
50	26	28
55	26	28
65	27	29
75	27	35
85	29	58
90	26	55
105	28	60
120	27	50

4. IV. 53 14.20 h

05	00	00
10	22	11
15	21	30
30	21	26
35	20	35
40	21	35
50	21	50
55	21	40
60	21	35

HH	dd	ff
70	21	60
80	21	55
90	21	45
105	23	50
120	21	70

6. IV. 53 14.15 h

05	22	10
15	24	22
25	23	35
30	21	28
35	22	38
45	23	70
50	23	50
55	24	60
65	25	55
75	25	80
85	25	90
90	26	65
105	24	95
110	24	82

7. IV. 53 14.55 h

05	32	05
15	30	08
20	33	11
30	22	18
40	26	28
45	27	34
55	27	46
60	28	44
70	25	38
80	26	80
90	26	82
105	26	95
110	76	12
120	26	20

8. IV. 53 15.00 h

05	00	00
15	23	10
20	23	20
30	23	23
35	23	25
45	23	38
55	23	32
65	24	38
75	24	38
80	24	55
90	24	50
105	25	76
110	25	55
120	25	50

9. IV. 53 14.20 h

05	22	15
10	24	22
15	23	18
25	21	15
30	21	24
40	22	10
50	19	03
55	19	05
65	23	14
75	23	16
85	22	15
90	22	18
110	22	26
120	25	33

10. IV. 53 13.50 h

05	18	05
15	26	08
20	33	14
30	03	15
35	03	10
45	06	16
50	01	12
55	09	28
70	11	28
80	11	28
90	10	30
100	14	12
107	32	05
115	28	16

HH	dd	ff
11. IV. 53		14.15 h
05	04	08
10	05	11
15	08	13
25	07	15
30	05	04
40	07	12
50	02	06
55	03	12
65	02	22
75	02	14
85	02	70
90	03	66
105	01	62
115	01	50
125	35	20

13. IV. 53 14.15 h

05	35	03
10	35	05
15	30	05
20	25	15
25	23	22
30	22	26
40	21	22
50	22	14
55	22	17
65	25	25
75	23	25
85	24	30
90	24	33
100	22	50
110	20	27
115	20	27

14. IV. 53 14.10 h

05	00	00
15	00	00
25	29	10
30	26	10
40	25	13
50	24	25
55	21	35
65	20	45
75	21	50
85	21	35
90	22	40
105	26	25
120	27	25

15. IV. 53 14.50 h

05	00	00
10	36	10
15	36	11
25	35	15
30	03	10
40	04	15
50	15	20
55	16	22
65	15	23
75	15	28
85	15	28
90	15	33
105	30	12
115	32	16

16. IV. 53 15.00 h

05	00	00
10	05	12
15	06	18
25	06	16
30	06	18
40	06	18
55	04	26
65	08	20
70	02	20
80	04	17
90	09	22
100	12	15
110	11	12

HH	dd	ff
7. IV. 53		**14.55 h**
05	00	00
15	05	12
20	21	10
30	21	06
40	15	05
45	18	04
55	17	03
55	21	08
70	25	14
80	29	13
80	28	22
80	29	26
90	29	18
8. IV. 53		**14.15 h**
05	01	10
13	06	10
15	09	05
25	10	06
30	23	05
40	23	10
50	25	10
55	25	08
75	25	12
80	25	15
90	25	20
90	25	15
90	25	25
90	25	25
9. IV. 53		**14.40 h**
05	00	00
10	01	05
15	33	03
20	22	04
30	16	05
40	18	02
45	13	08
55	13	08
60	10	04
65	10	05
75	12	04
80	34	06
80	30	07
85	30	22
95	34	11
110	29	15
120	31	11
11. IV. 53		**14.35 h**
05	00	00
10	01	05
15	07	02
20	08	02
30	17	08
35	20	05
40	11	03
45	12	12
50	11	08
55	11	06
65	11	11
75	11	12
80	11	13
80	11	12
90	10	12
95	10	12
100	11	12
95	06	13
100	32	11
12. IV. 53		**14.30 h**
05	00	00
10	05	06
15	05	02
20	29	03
30	18	08
35	12	05
40	13	05
50	14	10
55	15	10
60	16	05
70	14	08
80	15	06
85	15	07
90	15	07
23. IV. 53		**14.30 h**
05	30	10
10	02	08
15	05	04
20	09	05
30	18	05
40	00	00
50	00	00
55	27	06
65	26	08
70	26	08
75	29	12
85	29	22
90	29	21
100	30	28
110	29	12
120	23	18
24. IV. 53		**14.40 h**
05	00	00
15	00	00
20	03	05
30	34	07
35	24	04
45	32	11
50	32	15
55	31	16
65	32	12
75	32	15
85	30	03
90	27	33
100	27	26
107	29	18
120	28	22
25. IV. 53		**14.00 h**
05	00	00
10	26	06
15	24	08
30	27	09
35	26	10
45	25	11
55	27	16
60	29	22
70	27	25
80	28	23
90	30	25
100	31	22
105	35	22
115	30	26
27. IV. 53		**14.20 h**
05	21	05
10	29	11
15	25	07
20	23	05
30	20	15
35	22	10
45	19	23
50	20	18
55	18	18
65	17	14
70	17	28
80	17	28
90	15	35
95	17	38
105	18	23
110	18	18
28. IV. 53		**14.30 h**
05	23	18
10	24	26
15	23	27
30	23	30
35	23	28
45	25	23
50	25	33
55	25	55
65	75	48
75	25	57
80	24	60
90	22	30
100	28	66
105	25	60
112	25	50
120	25	33
29. IV. 53		**14.45 h**
05	20	15
10	24	23
15	24	30
25	25	20
30	26	28
40	26	25
50	29	33
55	30	55
60	30	60
70	30	72
75	31	60
85	28	66
90	31	48
110	29	49
120	29	57
130	29	55
30. IV. 53		**15.00 h**
05	00	00
10	00	00
15	23	15
25	23	22
30	23	15
40	25	15
50	26	17
55	26	18
60	28	16
70	28	22
80	26	22
85	27	20
90	27	34
105	28	33
110	27	33
120	30	15
1. V. 53		**14.45 h**
05	00	00
10	03	08
15	07	03
25	03	02
30	20	17
40	21	17
45	20	20
55	20	16
60	20	28
65	20	20
75	20	36
85	20	28
90	21	33
100	23	47
105	23	55
115	23	42
125	24	30
2. V. 53		**14.20 h**
05	00	00
10	07	13
15	09	10
30	10	15
40	11	10
55	17	15
60	15	12
70	14	17
80	15	20
90	16	25
100	18	20
110	20	23
120	19	17
130	17	15
4. V. 53		**15.00 h**
05	03	15
10	05	28
15	05	28
20	06	21
30	05	28
40	05	13
55	05	17
65	07	10
75	01	35
5. V. 53		**15.30 h**
05	03	12
10	05	25
15	04	14
25	04	17
30	04	18
40	03	25
50	02	30
55	02	23
65	01	22
75	01	16
6. V. 53		**15.00 h**
05	31	05
10	35	08
15	29	16
30	33	13
35	35	14
45	35	33
50	33	30
55	34	38
70	33	50
80	33	44
90	33	50
100	33	50
110	33	71
7. V. 53		**14.50 h**
05	35	06
10	33	12
15	35	14
25	24	11
30	30	10
40	31	23
50	31	36
55	31	56
65	31	76
75	31	77
85	31	87
90	31	73
105	31	94
115	81	26
8. V. 53		**15.10 h**
05	30	10
15	03	08
20	08	07
25	33	11
30	33	10
40	31	07
50	31	16
55	30	22
65	30	28
75	31	38
85	31	44
90	31	51
105	31	44
9. V. 53		**14.00 h**
05	32	07
10	34	11
15	29	06
25	29	08
30	32	05
40	34	14
50	35	28
55	35	35
65	35	44
70	35	46
80	36	53
90	01	71
105	36	60
110	34	50
11. V. 53		**15.10 h**
05	00	00
10	35	04
20	26	08
25	27	12
30	27	14
40	30	16
50	30	22
55	30	28
65	31	30
75	30	38
90	30	38
95	30	48
105	30	55
12. V. 53		**14.55 h**
05	22	08
10	24	12
15	26	15
25	25	13
30	29	20
40	33	14
50	30	22
55	31	28
65	31	42
75	31	38
80	31	45
90	31	55
105	31	50
13. V. 53		**14.50 h**
05	00	00
15	00	00
20	24	08
25	23	09
30	25	09
40	27	14
50	26	24
55	28	26
60	27	25
70	28	25
80	29	28
90	29	35
14. V. 53		**14.20 h**
05	20	15
10	23	20
15	26	20
25	27	25
30	27	18
40	27	24
50	25	30
55	24	25
65	20	20
75	21	23
85	21	27
90	23	22
100	28	38
110	29	40
115	29	45
125	28	75
130	28	75
15. V. 53		**14.55 h**
05	00	00
10	22	06
15	23	06
30	25	15
35	26	15
40	27	14
45	28	18
55	26	20
65	29	28
70	28	33
80	28	28
90	28	34
100	28	33
105	30	43
115	29	46
16. V. 53		**14.20 h**
05	00	00
10	22	13
15	22	18
25	22	28
30	23	33
40	25	32
50	26	28
55	26	31
65	26	37
70	24	33
80	23	29
90	23	33
100	24	35
110	26	38
120	24	24
18. V. 53		**15.30 h**
05	00	00
10	27	04
15	25	25
25	23	20
30	21	25
40	25	20
50	21	20
55	20	18
65	20	17
75	21	23
85	16	13
90	20	35
105	22	35
110	23	26
19. V. 53		**16.20 h**
05	00	00
15	00	00
20	00	00
30	19	15
40	20	17
45	20	20
55	20	20
60	19	15
70	19	25
80	19	25
90	19	25
100	20	35
110	19	25
20. V. 53		**15.30 h**
05	02	08
10	03	10
15	04	05
25	32	03
30	17	12
40	19	08
45	15	13
55	16	15
60	15	11
70	18	13
80	17	13
85	17	18
90	17	20
105	18	29
110	16	30
21. V. 53		**14.50 h**
05	02	08
10	02	12
15	03	12
20	07	14
25	05	12
30	05	13
40	04	16
45	04	08
55	34	05
65	00	00
70	32	05
80	34	08
90	03	08
95	32	33
105	33	38

HH	dd	ff
22. V. 53		**14.45 h**
05	31	05
10	02	05
15	02	02
20	02	03
25	02	03
30	02	02
35	02	04
40	02	16
50	33	16
55	33	10
60	33	16
70	33	27
80	33	33
90	33	17
95	34	82
105	35	33
23. V. 53		**14.20 h**
05	33	05
10	05	12
15	02	15
20	34	05
30	01	12
40	01	18
45	01	17
50	36	30
55	36	25
65	36	23
70	35	25
80	35	25
90	01	33
100	01	35
110	36	48
120	36	52
130	35	48
25. V. 53		**14.20 h**
05	00	00
10	00	00
20	00	00
30	00	00
40	11	05
55	09	08
60	09	06
70	09	10
80	09	10
85	09	23
90	09	15
100	09	23
110	07	17
120	09	17
26. V. 53		**14.40 h**
05	25	10
10	13	05
15	36	05
20	34	03
25	29	08
30	27	15
35	27	11
40	26	06
45	26	08
55	29	11
60	28	07
65	27	08
70	26	08
80	25	18
90	26	22
100	28	10
27. V. 53		**14.40 h**
05	22	06
10	27	05
15	25	11
20	25	11
30	30	11
35	30	25
45	31	17
55	31	20
60	31	33
70	31	50
80	32	28
90	32	43
100	34	42
110	33	58
28. V. 53		**14.45 h**
05	06	10
10	07	11
15	03	25
20	03	22
30	03	16
35	02	28
45	02	34
55	04	23
60	03	44
70	04	25
80	03	38
90	03	45
100	03	44
110	03	44
115	35	23
29. V. 53		**14.50 h**
05	02	08
10	04	17
15	04	11
25	03	11
35	02	15
40	02	17
50	02	23
55	36	17
65	36	44
75	36	28
90	36	33
100	35	34
110	35	77
30. V. 53		**14.05 h**
05	19	12
10	24	22
15	26	22
25	27	38
30	34	10
40	30	22
50	31	34
55	30	55
65	31	55
80	31	45
90	32	84
100	32	60
110	32	77
1. VI. 53		**14.30 h**
05	22	10
10	22	17
15	22	11
25	27	22
30	30	17
35	29	15
45	30	33
55	31	33
60	32	39
70	32	55
90	81	30
100	81	15
115	30	09
2. VI. 53		**14.45 h**
05	23	03
15	24	11
20	26	15
30	27	27
45	30	17
55	30	22
60	30	28
65	29	20
70	28	33
80	28	20
90	26	27
100	26	27
115	26	60
3. VI. 53		**15.20 h**
05	24	15
10	24	17
15	23	17
25	23	16
30	23	16
40	22	13
50	26	11
55	28	17
65	27	15
4. VI. 53		**14.50 h**
05	28	03
15	28	11
25	21	17
30	22	13
40	22	15
50	24	10
55	23	20
60	27	20
70	29	23
80	29	23
90	22	38
100	30	50
110	25	28
5. VI. 53		**14.45 h**
05	03	15
10	03	11
15	05	11
25	09	08
30	16	09
40	18	17
50	21	16
55	22	16
65	22	26
75	22	32
80	22	31
95	22	33
100	22	35
115	22	44
6. VI. 53		**14.00 h**
05	00	00
10	02	08
15	35	05
20	30	00
25	25	08
30	19	11
35	21	07
45	24	07
50	22	15
55	23	22
65	21	22
75	22	66
8. VI. 53		**14.40 h**
05	05	05
10	05	05
15	07	17
25	09	17
30	10	19
40	12	17
45	15	13
55	14	39
60	16	15
70	14	16
80	21	16
90	18	60
100	16	50
115	67	10
9. VI. 53		**14.45 h**
05	21	08
15	24	11
20	24	18
25	23	28
30	21	17
35	18	06
40	13	06
45	04	11
55	04	11
65	04	33
75	33	14
85	01	25
90	01	35
100	01	45
115	11	23
10. VI. 53		**14.40 h**
05	21	05
10	25	17
15	26	17
25	29	21
30	34	11
45	02	10
50	03	15
55	06	15
65	02	22
75	34	06
80	35	13
90	35	22
100	33	23
110	00	34
120	00	17
11. VI. 53		**14.50 h**
05	00	00
15	33	03
20	34	02
35	28	04
40	31	03
50	00	00
55	34	06
60	35	08
75	35	15
85	35	22
90	35	17
105	01	38
115	35	26
12. VI. 53		**14.45 h**
05	00	00
10	04	07
15	33	04
20	24	08
30	23	04
40	26	11
45	26	17
55	23	22
60	27	17
70	25	28
80	26	28
90	26	55
105	26	39
115	27	61
13. VI. 53		**14.15 h**
05	00	00
15	00	00
20	15	02
25	23	10
30	21	17
40	22	17
50	22	15
55	22	12
65	23	13
75	23	20
90	23	17
100	24	18
110	26	20
15. VI. 53		**14.50 h**
05	23	03
10	30	06
15	23	10
30	20	12
40	23	17
45	23	18
55	25	16
65	23	12
70	24	22
80	26	22
90	27	33
100	26	35
110	27	49
120	28	44
16. VI. 53		**14.45 h**
05	00	00
10	32	06
15	27	06
20	20	13
30	22	17
35	22	23
45	20	15
55	16	13
60	27	25
65	22	22
75	22	26
85	23	33
95	23	33
100	23	39
115	23	34
120	23	28
17. VI. 53		**14.45 h**
05	00	00
15	20	06
25	21	16
30	20	16
40	22	35
50	22	33
55	21	22
60	22	16
70	24	45
75	23	75
85	22	40
90	23	80
100	24	50
115	24	90
18. VI. 53		**14.40 h**
05	20	03
15	24	11
20	23	11
25	23	23
30	22	33
40	19	44
55	25	44
60	22	55
70	22	50
80	23	83
85	23	60
100	23	72
110	23	75
120	23	33
19. VI. 53		**14.35 h**
05	00	00
15	18	05
25	11	05
30	22	05
40	22	17
55	29	17
60	04	10
70	28	33
75	28	14
80	27	23
90	27	33
100	28	33
115	29	38
120	29	49
20. VI. 53		**14.00 h**
05	00	00
15	25	05
25	23	10
30	22	20
40	22	27
50	23	11
55	23	11
65	23	11
70	21	13
80	21	17
90	20	27
100	22	18
115	19	17
120	21	18
22. VI. 53		**14.55 h**
05	00	00
15	25	06
25	25	09
35	25	15
40	25	04
55	27	05
65	27	13
75	27	17
90	28	22
100	29	39
23. VI. 53		**15.30 h**
05	00	00
15	21	08
25	21	17
30	21	16
40	18	27
50	20	28
55	22	31
65	21	33
70	22	38
85	22	44
90	23	44
100	23	38
115	22	45
125	21	50
24. VI. 53		**16.00 h**
05	00	00
15	25	17
20	23	28
25	22	26
30	21	17
40	21	39
45	20	22
55	18	17
60	20	39
65	18	17
80	19	39
85	17	39
95	20	28
105	21	32
120	23	23
25. VI. 53		**14.45 h**
05	00	00
15	25	11
20	30	11
30	35	13
40	35	27
45	34	23
55	35	17
60	35	22
65	34	27
70	34	27
75	35	38
85	34	17
90	35	27
100	35	33
115	35	39
26. VI. 53		**15.00 h**
05	21	07
10	24	11
15	28	15
20	30	10
25	30	10
35	31	17
40	31	15
50	31	18
55	32	17
65	32	28
70	32	37
80	32	50
90	32	66
100	32	48
105	31	48
120	30	33
27. VI. 53		**14.15 h**
05	34	04
10	31	08

HH	dd	ff
15	21	03
20	30	07
25	35	07
35	05	07
40	34	17
50	34	16
55	33	16
65	31	27
75	32	22
85	32	18
90	34	16
105	01	15
120	30	34

29. VI. 53 15.00 h

05	01	05
15	05	10
20	10	05
30	30	08
35	22	25
45	20	22
55	19	22
60	19	38
70	20	22
80	22	27
90	25	23
95	20	33
100	22	27
115	19	28

30. VI. 53 14.45 h

05	36	04
60	00	00
70	18	16
80	16	16
90	15	16
100	15	20
110	22	11
115	20	17

1. VII. 53 14.40 h

05	25	08
15	29	15
20	23	17
30	22	20
35	20	17
40	20	18
50	21	17
55	15	13
70	18	22
75	16	15
80	17	27
85	17	27
90	13	24
115	15	17

2. VII. 53 14.40 h

05	31	04
15	34	05
20	27	10
30	24	09
35	25	12
45	23	05
55	20	06
60	04	05
70	05	05
80	07	07
90	14	17
100	11	17
115	18	16
120	14	20

3. VII. 53 14.40 h

05	00	00
15	28	05
20	04	08
25	32	04
30	28	03
40	28	03
45	28	03
55	18	07
60	18	08
70	15	10
80	14	13
90	14	10
100	14	22
115	13	13

4. VII. 53 14.00 h

05	00	00
10	35	10
15	33	03
30	27	03
40	25	04
50	22	03
55	21	06
65	20	15
80	16	15
90	16	12
100	15	20

5. VII. 53 14.00 h

05	00	00
15	28	05
25	32	04
30	10	05
40	10	04
45	12	03
55	12	15
60	00	00
70	00	00
80	00	00
90	10	16
100	11	20
115	10	12

6. VII. 53 14.40 h

05	00	00
10	02	05
15	05	07
20	05	07
30	05	05
40	04	06
50	10	03
55	00	00
60	20	05
70	00	00
80	00	00
90	21	03
100	21	08
110	30	07
115	01	07
120	01	07

7. VII. 53 14.40 h

05	00	00
15	24	10
20	23	12
25	22	03
30	24	05
40	27	05
50	31	10
55	33	12
60	33	12
70	34	15
75	33	10
85	35	25
90	36	27
100	35	30
110	36	35
120	36	38
125	35	38

8. VII. 53 14.10 h

05	28	05
10	24	08
15	22	20
20	22	20
25	23	27
30	23	27
40	25	30
50	25	33
55	25	33
60	25	26
70	25	28
80	25	46
90	24	45
100	23	48
105	23	46
115	25	40
120	25	40

9. VII. 53 14.40 h

05	25	08
10	28	12
15	26	10
20	24	17
25	22	23
30	22	30
40	23	30
50	24	33
55	24	36
60	24	40
65	22	36
75	22	46
80	22	33
90	22	48
100	23	35
105	23	44
115	22	35
120	22	35

10. VII. 53 14.30 h

05	00	00
10	31	05
15	28	05
25	24	04
30	23	05
35	24	07
45	28	09
55	25	17
60	24	33
70	25	35
80	25	60
90	24	72
95	24	98
105	24	33
115	23	55

11. VII. 53 14.00 h

05	33	05
10	02	07
15	02	07
20	15	03
25	16	04
30	17	05
40	23	03
45	26	05
50	30	20
55	30	20
60	30	25
70	31	40
80	31	22
85	31	50
90	31	48
100	31	52
110	31	50
115	31	40
120	31	33
125	30	33

12. VII. 53 14.00 h

05	22	12
10	24	15
15	22	15
20	22	28
25	22	28
30	23	28
40	24	25
50	27	22
55	28	25
60	28	18
70	26	27
80	25	28
85	25	28

13. VII. 53 14.30 h

05	22	15
10	23	26
15	24	28
25	24	26
30	24	22
40	27	28
45	27	37
55	28	28
65	29	50
75	30	60
80	80	23
90	28	55
100	79	50

14. VII. 53 14.35 h

05	22	10
10	23	26
15	23	28
20	24	23
30	25	33
35	25	24
45	27	45
55	27	28
60	27	55
70	27	94
75	27	86
85	27	68
90	77	37
105	27	61

15. VII. 53 14.40 h

05	25	06
10	28	21
15	21	18
25	21	33
35	26	27
40	25	39
50	26	28
55	28	44
65	26	66
70	27	61
85	27	66
95	27	83
105	77	05
120	77	22

16. VII. 53 14.35 h

05	32	05
10	31	08
15	26	10
25	20	55
30	24	28
40	26	33
45	26	23
55	26	32
60	26	28
70	26	50
80	26	50
90	27	55
95	26	77
100	26	77
115	26	84
130	27	72

17. VII. 53 14.40 h

05	00	00
10	22	06
15	22	13
25	23	33
30	23	50
40	23	28
45	23	28
55	24	14
60	24	50
70	24	63
80	25	44
85	24	78
95	26	33
100	25	44
115	75	15
125	25	79

18. VII. 53 14.00 h

05	00	00
10	01	08
15	27	11
25	22	20
30	22	38
35	22	38
45	22	60
55	22	70
60	23	83
70	23	78
80	22	85
90	73	42
100	23	70
110	23	66

19. VII. 53 14.10 h

05	27	05
10	29	10
15	27	11
20	23	04
25	26	06
35	30	18
45	30	22
55	30	33
60	30	28
70	30	33
80	30	32
90	31	32
95	31	46
110	31	49
120	29	55

20. VII. 53 14.35 h

05	00	00
15	00	00
20	00	00
30	30	07
40	30	16
50	31	20
55	31	23
60	31	34
70	31	34
80	28	22
90	27	16
100	29	18
110	30	16
115	30	12
125	30	23

21. VII. 53 14.35 h

15	22	06
20	22	13
25	22	17
30	22	18
40	22	25
50	23	28
55	24	23
60	24	28
70	24	28
80	24	34
90	24	37
100	24	39
115	24	49
125	25	49

22. VII. 53 14.40 h

05	20	05
10	23	08
15	22	12
25	23	28
30	21	28
40	23	43
50	24	28
55	24	40
60	24	34
70	23	38
75	23	25
80	24	56
90	22	34
100	23	55
115	23	45
125	25	33

23. VII. 53 14.40 h

05	00	00
15	28	05
20	21	23
30	21	33
40	22	19
50	22	61
55	23	40
65	23	38
70	23	73
75	23	73
85	22	71
90	24	77
110	23	90
115	23	77
120	23	77

24. VII. 53 14.35 h

05	02	05
15	06	05
20	30	05
30	06	06
40	31	10
50	31	16
55	30	10
65	30	17
70	30	06
80	30	17
90	29	16
100	29	05
115	29	60
120	29	33

25. VII. 53 14.05 h

05	00	00
15	28	06
20	22	33
25	25	22
30	29	18
40	24.	18
50	24	16
55	25	23
65	24	16
70	22	18
75	22	18
80	22	27
90	21	27
110	23	38
115	24	33
120	26	38

26. VII. 53 13.05 h

05	00	00
15	24	05
20	24	17
30	22	22
35	23	25
40	24	28
50	23	23
55	25	38
65	25	28
70	24	28
75	24	28
85	25	26
90	24	33
100	24	28
115	26	30
120	26	27

27. VII. 53 14.35 h

05	25	10
15	24	20
20	23	30
30	23	35
35	23	40
40	25	30
50	26	55
55	26	60
65	26	50
75	26	85
85	28	85
90	27	90
100	27	80
110	27	80
120	77	20

28. VII. 53 14.20 h

HH	dd	ff
05	19	04
10	26	08
15	24	13
25	23	28
30	23	25
35	24	26
45	23	33
50	24	38
55	25	38
65	25	52
75	25	50
85	25	50
95	24	66
100	23	71
110	23	71
120	24	98

29. VII. 53 14.40 h

HH	dd	ff
05	20	10
10	24	10
15	23	17
20	23	20
30	22	30
35	23	30
40	24	39
50	24	39
55	24	45
70	25	50
80	24	60
90	23	70
100	23	60
110	23	70
120	24	60

30. VII. 53 14.30 h

HH	dd	ff
05	22	12
10	26	12
15	26	20
20	26	25
25	26	25
30	26	25
40	27	27
50	26	35
55	26	38
60	27	22
70	27	33
80	27	35
85	24	33
90	24	33
100	23	50
110	24	50
117	24	52

31. VII. 53 14.35 h

HH	dd	ff
05	25	07
10	27	07
15	23	10
20	25	22
30	26	25
40	28	33
50	28	35
55	29	40
60	29	38
70	28	42
75	28	62
85	29	55
90	28	77
100	29	90
110	29	90

1. VIII. 53 14.00 h

HH	dd	ff
05	30	10
10	25	10
15	23	15
20	23	18
25	26	18
30	27	20
35	26	20
40	29	28
50	29	27
55	27	30
60	27	30
70	27	44
75	28	55
85	29	50
90	28	50
95	27	60
105	28	53
115	28	72
125	28	82
130	28	82

2. VIII. 53 14.05 h

HH	dd	ff
05	23	05
10	23	08
15	23	05
20	25	05
25	26	18
30	25	18
40	26	22
50	27	33
55	27	42
60	27	46
70	27	44
80	27	38
90	27	60
100	26	58
115	27	62
120	27	68
130	28	68

3. VIII. 53 14.50 h

HH	dd	ff
05	04	07
10	05	08
15	05	15
20	03	16
25	02	17
35	04	13
40	27	02
50	32	03
55	08	02
65	09	02

4. VIII. 53 14.30 h

HH	dd	ff
05	02	10
10	03	06
15	04	12
20	07	15
30	04	18
35	02	22
45	02	34
50	02	23
55	02	38
65	03	46
75	02	48
85	02	66
90	02	58
105	02	66
115	02	60

5. VIII. 53 14.35 h

HH	dd	ff
05	00	00
10	02	06
15	32	06
20	34	04
30	32	02
35	35	22
45	33	27
50	33	25
55	33	27
65	34	33
75	34	33
80	34	44
90	34	50
100	35	39
110	35	50
115	34	44

6. VIII. 53 14.40 h

HH	dd	ff
05	33	05
10	32	09
15	26	11
25	33	02
30	34	18
40	33	22
45	32	30
55	31	33
65	31	31
70	31	20
80	30	62
100	29	66
115	29	39

7. VIII. 53 14.35 h

HH	dd	ff
05	01	07
10	05	11
15	05	11
25	05	06
30	01	04
35	34	15
45	34	22
55	34	17
60	35	44
70	35	55
80	34	44
90	34	66
100	34	55
110	33	44
120	33	55
130	31	36

8. VIII. 53 14.00 h

HH	dd	ff
05	34	03
10	01	07
15	21	22
25	21	24
30	21	18
35	23	10
45	32	13
50	22	10
55	24	17
65	25	21
80	25	25
85	25	44
95	24	39
105	24	55
115	26	30

9. VIII. 53 14.05 h

HH	dd	ff
05	35	06
10	05	06
15	06	08
20	02	11
30	06	08
40	08	11
45	06	28
55	06	17
60	02	06
70	31	06
80	27	12
85	26	17
95	02	44
105	01	50

10. VIII. 53 13.50 h

HH	dd	ff
05	00	00
15	01	03
20	31	05
30	00	00
40	00	00
55	00	00
60	00	00
70	00	00
75	10	05
85	00	05
90	35	10
100	35	10
115	34	20
125	33	22

11. VIII. 53 14.55 h

HH	dd	ff
05	00	00
10	04	03
15	30	04
20	21	04
30	21	04
40	18	05
50	12	02
55	31	07
65	31	07
70	28	10
85	26	16
90	27	16
100	27	33
115	27	30
120	27	38

12. VIII. 53 14.50 h

HH	dd	ff
05	00	00
15	25	05
25	22	07
30	20	10
40	20	16
55	18	07
60	18	10
70	20	18
80	20	18
90	23	16
100	23	17
115	23	20
125	23	33

13. VIII. 53 13.45 h

HH	dd	ff
05	00	00
15	04	04
20	04	04
30	02	04
40	33	03
50	29	05
55	30	07
60	29	04
70	28	06
80	21	07
90	23	16
100	23	12
115	25	10
125	31	14

14. VIII. 53 14.45 h

HH	dd	ff
05	00	00
15	04	05
20	04	16
30	04	10
40	04	07
45	25	03
55	23	07
60	27	10
70	26	05
75	23	04
80	23	08
90	27	09
100	26	12
115	29	28
125	29	07

15. VIII. 53 14.10 h

HH	dd	ff
05	00	00
15	28	05
20	29	04
30	00	00
40	00	00
50	00	00
60	00	00
70	00	00
75	32	05
80	28	09
90	31	17
100	31	22
115	32	27

16. VIII. 53 14.15 h

HH	dd	ff
05	00	00
15	28	05
20	27	13
30	25	16
35	23	16
40	22	23
55	23	17
60	23	27
70	24	18
80	24	28
90	23	39
100	23	34
110	22	38
115	22	28

17. VIII. 53 14.10 h

HH	dd	ff
05	00	00
10	00	00
15	00	00
20	22	05
25	25	05
30	26	07
40	27	15
50	28	15
55	28	15
60	29	22
70	29	27
80	29	30
90	30	35
100	30	38
110	30	44
120	30	35
125	30	35

18. VIII. 53 14.45 h

HH	dd	ff
05	00	00
10	00	00
15	23	15
20	24	12
25	24	20
30	27	15
40	26	17
50	29	25
55	28	15
60	28	15
70	28	25
80	28	26
90	28	26
100	30	27
110	29	22
120	29	28
128	29	28

19. VIII. 53 14.30 h

HH	dd	ff
05	00	00
10	03	07
15	03	05
20	24	07
25	24	10
30	24	24
40	24	15
50	27	10
55	28	18
60	28	18
70	25	20
80	26	24
90	27	15
100	25	22
110	25	28
120	26	45
127	26	55

20. VIII. 53 14.45 h

HH	dd	ff
05	23	05
10	24	19
20	23	28
30	23	27
35	25	18
45	25	30
50	26	22
55	24	30
70	24	28
80	24	28
90	25	33
100	27	42
110	27	36
120	28	50

21. VIII. 53 14.40 h

HH	dd	ff
05	20	12
10	23	28
15	23	33
20	24	37
25	23	58
30	24	50
40	25	65
50	24	50
55	24	20
60	22	28
70	23	33
80	23	45
90	23	48
100	23	68
110	23	48
120	23	55
126	23	55

22. VIII. 53 14.00 h

HH	dd	ff
05	22	12
10	26	12
15	25	27
20	25	27
25	25	22
30	26	22
40	27	22
50	27	24
55	27	27
60	27	27
70	28	27
80	28	60
90	28	66
100	28	56
110	28	54

23. VIII. 53 14.00 h

HH	dd	ff
05	00	00
10	33	05
15	00	00
20	26	03
25	27	03
30	29	05
40	31	25
50	31	27
55	31	35
60	31	48
70	30	33
80	30	45
90	29	53
100	29	53
110	29	68
120	29	70
130	29	82
138	29	82

24. VIII. 53 15.00 h

HH	dd	ff
05	26	08
10	23	10
15	23	23
25	23	26
30	23	22
40	23	27
50	25	23
55	25	40
65	25	39
70	25	47
85	24	35
90	24	34
105	26	42
115	26	46

25. VIII. 53 14.45 h

HH	dd	ff
05	20	04
10	27	06
15	22	17
25	22	15
30	25	23
40	27	35
50	27	35
55	27	37
65	26	52
75	27	39
85	27	45
95	27	66
110	25	66
120	27	60

HH	dd	ff
6. VIII. 53		**15.00 h**
05	07	04
10	06	09
15	06	03
20	24	22
35	00	00
45	00	00
55	12	06
60	33	06
70	26	22
75	26	22
85	26	49
95	25	66
05	25	80
15	24	80
7. VIII. 53		**14.40 h**
05	35	05
10	04	08
15	03	12
25	04	06
30	01	08
40	35	22
50	35	20
55	34	19
65	33	17
75	33	18
90	34	22
95	33	26
105	30	18
120	31	28
8. VIII. 53		**14.40 h**
05	36	05
10	05	07
15	35	07
25	35	05
30	34	08
40	34	14
50	33	15
55	32	33
65	32	28
75	32	44
80	33	50
90	35	72
100	33	83
110	33	84
120	33	82
9. VIII. 53		**14.00 h**
05	00	00
10	06	05
15	33	05
25	30	08
30	27	17
40	31	28
50	31	23
55	31	28
65	32	44
75	32	35
80	31	46
90	31	49
100	31	44
110	32	55
120	31	33
30. VIII. 53		**14.10 h**
05	00	00
10	34	05
15	23	14
25	24	11
35	25	13
40	27	13
50	28	18
55	28	28
65	29	27
70	29	27
80	29	27
90	30	28
100	30	33
110	29	50
125	28	33

HH	dd	ff
31. VIII. 53		**14.35 h**
05	00	00
10	29	07
15	25	07
20	25	15
30	26	12
40	26	15
55	28	24
70	28	28
90	28	24
100	28	30
110	28	40
120	28	35
130	27	50
1. IX. 53		**14.30 h**
05	00	00
15	00	00
30	00	00
40	27	03
50	27	10
55	27	15
60	26	15
70	26	17
80	26	20
90	26	12
100	26	20
110	25	12
120	27	15
2. IX. 53		**13.35 h**
05	00	00
10	24	05
15	23	06
20	25	16
30	23	22
40	22	15
45	24	27
55	24	27
65	22	20
70	21	18
80	23	11
90	24	22
100	23	11
115	23	08
120	24	17
3. IX. 53		**13.40 h**
05	27	06
10	26	05
15	26	08
20	23	16
25	23	20
30	25	27
40	26	30
50	26	23
55	27	20
60	26	25
70	26	33
80	28	28
90	28	23
95	30	12
100	26	34
115	26	28
4. IX. 53		**13.40 h**
05	00	00
10	20	03
15	32	05
20	25	16
30	23	27
40	25	15
50	27	16
55	26	16
60	26	14
70	25	20
80	26	16
85	28	17
90	27	16
100	29	20

HH	dd	ff
5. IX. 53		**13.00 h**
05	05	03
10	06	08
15	34	05
20	34	01
25	34	01
30	34	03
40	01	05
50	01	12
55	03	10
65	03	20
70	02	18
80	03	22
90	03	36
110	04	28
115	04	33
120	02	22
6. IX. 53		**14.00 h**
05	10	01
10	05	03
15	05	12
20	05	02
25	23	02
30	23	03
40	05	05
50	03	13
55	03	15
60	03	15
70	02	16
80	05	13
90	06	17
100	06	25
110	06	22
7. IX. 53		**14.30 h**
05	00	00
10	05	05
15	00	00
20	00	00
25	00	00
30	12	05
40	09	10
50	06	08
55	06	08
60	05	11
70	05	14
80	05	16
90	02	30
100	03	25
110	05	22
120	05	28
130	02	20
8. IX. 53		**14.50 h**
05	00	00
10	26	04
15	29	05
20	28	03
30	30	03
40	34	03
50	01	03
55	02	03
60	03	03
65	11	02
70	18	07
80	18	15
90	16	20
100	16	17
110	16	12
120	12	10
125	09	10
130	06	06
136	06	06
9. IX. 53		**14.40 h**
05	00	00
10	23	05
15	24	03
20	26	08
25	28	07
30	29	12
40	29	15

HH	dd	ff
50	30	15
55	31	15
60	30	03
70	01	07
80	02	07
90	05	12
100	05	10
110	06	12
120	11	07
125	12	07
10. IX. 53		**14.40 h**
05	26	08
10	26	25
15	25	25
20	24	25
25	25	38
30	25	38
40	26	27
50	27	33
55	28	33
60	27	50
70	29	45
80	27	55
90	26	50
100	27	68
110	27	50
120	28	70
130	29	63
135	30	62
11. IX. 53		**14.20 h**
05	08	07
10	04	10
15	03	10
20	02	10
25	03	12
30	02	10
40	36	15
50	36	15
60	01	22
70	01	55
80	01	88
90	01	86
100	52	15
110	01	88
120	01	62
129	01	62
12. IX. 53		**14.00 h**
05	24	05
10	26	08
15	26	07
20	30	12
25	32	20
30	33	20
40	35	30
50	35	33
55	34	28
60	34	28
70	33	40
80	33	48
90	33	50
100	33	45
110	34	48
120	35	60
130	35	65
13. IX. 53		**14.00 h**
05	02	08
10	03	08
15	34	06
20	32	06
30	34	17
35	33	28
45	34	29
55	34	28
60	32	50
70	32	44
75	32	55
85	33	61
95	32	66
105	32	66
115	32	99

HH	dd	ff
14. IX. 53		**14.45 h**
05	01	05
10	07	08
15	21	06
25	28	15
30	26	06
40	28	08
45	29	11
55	32	17
60	32	17
70	30	21
80	30	17
90	28	17
100	27	13
110	27	16
120	27	24
15. IX. 53		**14.35 h**
05	01	03
10	01	05
15	00	00
20	20	10
30	20	11
40	80	16
45	19	18
55	19	23
60	19	15
70	19	23
75	12	33
85	17	18
95	18	16
105	24	11
16. IX. 53		**14.55 h**
05	02	03
10	01	06
15	23	13
25	20	17
35	21	33
40	22	28
50	22	39
55	21	11
65	22	39
75	24	44
85	23	88
95	27	61
110	24	66
120	25	66
17. IX. 53		**14.45 h**
05	00	00
10	21	07
15	21	22
25	22	44
30	23	28
40	24	35
50	25	48
55	25	55
65	25	42
75	26	66
80	26	38
90	26	70
100	26	70
110	26	60
18. IX. 53		**14.10 h**
05	21	05
10	22	08
20	22	22
25	23	26
35	24	33
45	25	29
55	25	28
65	24	28
75	25	38
85	26	34
95	27	28
110	27	38
115	26	55
19. IX. 53		**14.00 h**
05	21	12
10	23	30

HH	dd	ff
15	22	33
25	20	28
30	20	25
40	20	33
45	21	22
55	20	28
60	20	29
75	20	39
80	19	33
90	17	44
105	17	44
110	20	40
120	19	34
20. IX. 53		**14.00 h**
05	21	12
10	22	20
15	25	38
25	26	29
30	24	39
40	26	28
50	26	54
55	25	43
65	29	42
75	28	50
85	28	60
95	28	75
105	30	72
115	29	50
21. IX. 53		**14.40 h**
05	21	13
10	22	33
15	23	30
25	23	41
30	24	50
40	25	45
45	24	55
55	24	50
74	25	85
80	25	80
90	75	10
100	74	20
22. IX. 53		**13.35 h**
05	21	12
10	23	13
15	23	49
20	23	49
25	27	23
30	25	28
10	26	33
50	27	48
55	26	45
60	26	45
70	28	63
80	27	87
90	28	81
100	27	92
110	77	40
115	27	82
120	27	82
23. IX. 53		**13.40 h**
05	20	13
10	22	12
15	22	37
20	22	37
25	23	33
30	23	39
40	23	49
55	73	26
60	73	26
70	23	94
80	24	60
90	74	42
100	25	87
110	22	71
117	23	23
24. IX. 53		**14.45 h**
05	00	00
15	00	00

HH	dd	ff
20	23	22
25	21	27
30	22	33
40	23	40
50	23	50
55	23	78
65	24	63
70	74	00
80	22	60
90	24	63
100	73	30
115	73	30
120	73	30

25. IX. 53 13.45 h

05	00	00
10	00	00
15	23	11
20	22	22
30	21	20
40	24	16
50	24	21
55	24	37
60	21	44
70	21	38
80	21	71
90	21	92
100	22	90
115	22	98

26. IX. 53 13.00 h

05	00	00
10	00	00
20	04	07
30	19	17
40	20	44
50	21	55
55	23	44
60	21	28
70	21	44
80	22	34
90	21	35
95	21	55
100	22	60
115	21	98

27. IX. 53 14.15 h

05	00	00
10	08	05
15	18	07
30	19	16
40	21	27
45	20	20
50	20	27
55	18	27
60	18	27
70	17	33
80	17	49
90	19	44
100	19	49
110	20	77
115	70	00

28. IX. 53 14.35 h

05	20	05
10	29	12
15	26	07
20	22	05
25	20	06
30	20	05
40	20	12
50	19	15
55	19	15
60	18	15
70	20	13
80	19	22
90	19	33
100	19	46
110	18	45
120	19	40
129	20	40

29. IX. 53 14.35 h

05	02	08
10	05	15
15	06	17
20	05	15
25	13	15
30	18	10
35	20	05
40	22	08
50	22	02
55	22	03
60	21	03
70	21	05
75	21	02
80	27	10
90	27	10
100	27	08

30. IX. 53 14.40 h

05	02	10
10	05	10
15	06	10
20	08	03
25	08	03
30	00	00
40	10	07
50	11	05
55	12	05
60	13	05
70	11	04
80	12	03
85	20	15
90	17	12
100	16	08
115	16	08
110	10	05
118	10	05

1. X. 53 14.35 h

05	00	00
10	05	08
15	05	14
20	08	14
25	11	05
30	09	05
40	09	07
50	10	12
60	09	18
70	08	22
80	07	23
90	07	53
100	06	68
110	07	41
120	06	65
129	06	33

2. X. 53 14.40 h

05	00	00
10	00	00
15	25	05
20	21	05
25	18	12
30	18	14
40	20	12
50	20	10
55	20	14
60	19	14
70	16	22
80	17	25
90	17	18
100	17	25
110	14	40
120	13	38
129	10	38

3. X. 53 14.00 h

05	00	00
10	00	00
15	00	00
20	19	02
25	22	05
30	23	14
40	22	27

HH	dd	ff
50	21	18
55	21	18
60	21	25
70	21	22
80	23	30
90	22	38
100	23	40
110	25	82

4. X. 53 14.00 h

05	02	04
10	05	14
15	05	15
20	06	15
25	06	07
30	05	10
40	05	10
50	33	05
55	24	08
60	24	17
70	22	30
80	23	26
90	23	33
100	23	27
110	22	46
117	22	46

5. X. 53 14.35 h

05	04	12
10	06	28
15	06	17
25	05	06
30	04	17
40	36	17
45	35	09
55	35	24
60	34	17
65	36	37
75	01	22
85	04	38
95	04	38
100	01	22
115	33	28
130	31	31

6. X. 53 14.35 h

05	02	05
10	05	11
15	04	12
25	03	06
30	34	22
40	35	27
50	33	24
55	34	28
65	34	30
75	34	30
85	34	33
95	34	34
105	32	44
115	31	50

7. X. 53 15.50 h

05	04	13
10	05	22
15	06	22
25	05	11
35	36	10
40	36	17
50	36	33
55	01	33
65	01	72
75	01	80
85	35	61
95	35	72
110	36	61
120	01	55

8. X. 53 14.35 h

05	03	13
10	05	15
15	05	23
25	06	20
30	03	17

HH	dd	ff
40	02	26
50	02	35
55	03	42
65	03	50
75	04	78
85	04	58
95	03	75
105	03	72
115	03	64

9. X. 53 14.40 h

05	01	10
10	06	13
15	06	11
25	06	15
30	06	14
40	02	16
45	02	16
55	02	28
65	02	44
75	01	33
85	36	50
90	36	45
100	35	55
115	35	55
120	35	66

10. X. 53 14.00 h

05	00	00
10	04	03
15	07	07
25	06	18
30	05	14
40	04	18
50	02	22
55	01	33
65	36	30
70	02	45
80	01	44
90	02	45
100	03	50
110	02	52
115	02	37

11. X. 53 14.10 h

05	00	00
10	00	00
15	01	03
25	19	16
30	16	07
40	16	11
50	14	11
55	17	06
65	18	18
70	17	12
80	16	12
90	14	10
100	14	16
110	10	13
120	13	14

12. X. 53 14.30 h

05	00	00
15	25	08
20	21	11
25	21	11
30	22	22
40	22	15
50	23	16
55	24	16
60	23	17
70	23	25
80	23	23
90	23	22
100	30	38
115	31	50
125	28	34

13. X. 53 13.30 h

05	03	02
10	03	03
15	11	05
20	11	05

HH	dd	ff
25	15	04
30	17	08
40	20	12
50	19	20
55	20	33
60	23	23
70	23	25
80	23	18
90	23	30
100	22	33
110	21	34
115	21	34
120	21	34

14. X. 53 14.50 h

05	00	00
10	06	08
15	08	03
20	19	11
30	21	12
40	21	23
50	20	22
55	20	22
60	20	23
70	19	30
80	19	37
90	20	33
100	21	28
115	21	33
120	21	38

15. X. 53 13.45 h

05	18	05
10	25	03
15	29	05
20	19	11
30	18	15
40	18	28
50	17	28
55	17	33
60	16	33
70	17	34
80	18	44
90	17	55
100	17	56
115	18	45

16. X. 53 14.35 h

05	00	00
10	04	05
15	05	12
20	04	12
30	05	08
40	11	04
50	12	06
55	15	11
60	15	11
70	19	16
75	14	20
85	14	38
90	14	39
100	14	39
110	15	45
115	15	38
120	15	38

17. X. 53 14.00 h

05	00	00
10	03	05
15	10	02
20	00	00
30	00	00
40	19	10
45	19	13
55	17	17
60	19	22
70	19	16
80	19	37
85	19	53
90	19	45
100	21	23
115	21	16

HH	dd	ff
05	02	08
10	05	08
15	07	05
20	11	05
30	13	03
40	14	16
50	15	34
55	16	38
60	15	33
70	15	38
80	16	45
90	16	38
100	15	45
115	13	28

19. X. 53 14.55 h

05	00	00
10	00	00
15	00	00
20	00	00
25	15	03
30	14	10
40	14	12
50	14	22
55	13	23
60	13	23
70	12	27
80	12	25
90	12	32
100	13	33
110	15	30
114	15	30

20. X. 53 14.35 h

05	02	05
10	07	05
15	00	00
20	11	07
25	12	07
30	11	05
40	10	12
50	09	22
55	09	22
60	09	25
70	08	23
80	08	15
90	06	22
100	10	22
110	09	27
120	07	24
128	07	24

21. X. 53 14.35 h

05	00	00
10	06	16
20	06	18
25	06	18
35	06	22
40	06	17
50	06	22
55	04	14
65	04	16
75	05	17
85	05	23
95	05	22
105	06	22
115	07	26
125	08	25

22. X. 53 14.30 h

05	00	00
10	00	00
15	22	10
20	22	10
25	22	27
30	22	20
40	19	10
50	22	08
55	31	04
60	28	04
65	25	04
70	23	10

HH	dd	ff
30	24	10
90	23	15
00	23	15
10	21	07
20	19	06
30	19	15
3. X. 53		**14.35 h**
05	00	00
10	00	00
15	26	08
20	22	08
25	21	08
30	20	15
40	21	28
50	21	27
55	21	35
60	21	35
70	22	44
80	24	40
90	24	48
00	24	44
10	23	50
20	21	33
4. X. 53		**14.05 h**
05	00	00
10	00	00
20	00	00
25	18	03
30	19	12
40	20	10
50	19	18
55	19	15
60	19	22
70	21	18
80	21	23
90	23	25
00	22	27
10	22	25
19	22	25
5. X. 53		**14.10 h**
05	00	00
10	00	00
15	05	05
20	13	03
25	16	03
30	28	08
40	22	13
50	21	26
55	20	26
60	20	27
70	18	33
80	18	50
90	16	46
00	16	65
10	17	52
20	18	70
27	18	70
26. X. 53		**14.45 h**
05	00	00
10	33	06
15	23	11
25	19	11
30	19	11
40	19	22
50	18	37
55	18	33
65	18	44
75	19	44
85	19	70
95	19	79
110	18	28
120	19	28
27. X. 53		**14.45 h**
05	00	00
10	00	00
15	25	17
25	18	17
30	17	11

HH	dd	ff
40	17	24
45	17	34
55	18	39
60	19	55
70	19	39
80	21	08
90	18	06
100	00	00
115	03	15
28. X. 53		**14.45 h**
05	00	00
15	21	07
30	17	16
35	25	19
45	28	23
55	22	20
60	18	38
70	18	29
80	20	36
90	19	28
100	19	38
110	19	25
120	20	33
29. X. 53		**14.40 h**
05	00	00
10	19	06
15	34	06
25	24	11
30	24	06
40	23	10
50	22	22
55	17	33
65	16	33
70	14	50
80	16	39
90	18	14
100	21	28
110	21	33
120	23	22
30. X. 53		**14.45 h**
05	00	00
10	23	05
15	22	06
20	24	09
30	29	10
40	30	16
45	29	11
55	31	13
65	30	10
70	30	44
80	29	14
90	29	50
100	29	36
110	28	38
120	27	28
31. X. 53		**14.05 h**
05	00	00
10	00	00
15	22	07
25	23	22
30	23	22
40	24	22
45	24	15
55	24	16
60	24	28
70	24	35
80	26	22
90	26	28
100	25	62
110	24	36
1. XI. 53		**14.05 h**
05	00	60
10	08	05
15	23	16
25	23	29
30	22	30
40	23	24
50	24	26

HH	dd	ff
55	24	24
65	29	16
80	35	30
105	31	20
110	30	38
2. XI. 53		**14.30 h**
05	00	00
10	22	09
15	22	15
20	25	27
30	22	34
40	22	39
50	23	38
55	23	38
60	23	35
70	23	49
80	23	39
90	23	66
100	23	40
115	23	16
3. XI. 53		**14.35 h**
05	00	00
10	30	03
15	27	02
30	32	03
40	15	04
45	19	08
55	18	23
65	20	35
70	32	30
80	34	60
90	34	27
100	35	56
115	33	60
120	33	60
4. XI. 53		**14.35 h**
05	00	00
10	23	03
15	24	16
20	24	17
25	32	17
30	30	17
40	30	17
50	31	12
55	31	22
60	31	22
70	31	33
80	32	43
90	33	43
100	32	55
110	32	61
115	32	65
120	32	65
5. XI. 53		**14.45 h**
05	00	60
10	24	05
15	23	20
20	23	22
25	23	33
30	22	25
40	22	25
55	22	28
60	25	23
70	27	55
80	25	58
90	28	55
100	26	77
115	26	66
120	26	66
6. XI. 53		**14.40 h**
05	00	00
10	34	05
15	35	15
20	01	08
30	35	15
40	35	23
50	34	22
55	35	49

HH	dd	ff
65	01	75
70	35	68
80	01	49
100	35	38
115	35	49
7. XI. 53		**13.40 h**
05	05	05
10	05	11
15	07	22
20	05	21
30	04	20
40	04	45
45	02	44
55	02	50
65	02	60
70	04	62
80	01	44
90	02	67
100	02	78
115	02	49
8. XI. 53		**14.15 h**
05	00	00
10	05	11
15	06	15
20	06	15
25	05	11
30	03	05
40	03	11
50	05	13
55	05	18
60	05	18
70	84	20
80	35	50
9. XI. 53		**14.35 h**
05	00	00
55	27	10
60	28	10
70	28	07
80	27	08
90	26	08
100	26	10
110	28	12
120	28	16
130	28	18
10. XI. 53		**14.40 h**
05	00	00
10	07	06
15	06	02
20	35	03
30	35	03
40	32	02
50	30	02
55	24	05
65	24	08
70	25	11
80	24	10
90	23	15
100	23	22
11. XI. 53		**14.40 h**
05	00	00
10	00	00
15	00	00
25	00	00
30	31	05
40	29	11
45	30	06
55	31	06
65	30	11
75	30	16
85	28	38
90	29	17
12. XI. 53		**14.45 h**
05	00	00
10	00	00
15	05	04
20	04	04
25	01	04

HH	dd	ff
30	36	03
40	21	03
50	30	06
55	35	10
60	35	10
70	35	22
80	36	20
90	01	08
100	04	15
110	05	27
120	03	25
128	03	25
13. XI. 53		**14.50 h**
05	00	00
10	00	00
15	04	03
25	35	07
30	31	10
40	29	15
50	29	10
55	28	10
60	27	10
65	26	06
75	33	07
80	34	06
90	36	15
98	01	15
14. XI. 53		**14.05 h**
05	00	00
10	23	05
15	24	07
26	26	03
30	26	07
40	26	12
50	26	12
55	27	12
60	27	08
70	31	10
80	29	15
90	30	06
100	28	07
105	34	12
110	34	12
120	34	07
130	35	05
15. XI. 53		**14.25 h**
05	00	00
10	03	08
15	01	05
20	01	05
25	35	05
30	32	10
40	32	12
50	31	22
55	31	22
60	30	30
70	34	22
80	36	23
90	01	23
100	02	48
110	03	56
120	03	10
128	03	40
16. XI. 53		**14.40 h**
05	00	00
10	06	17
15	07	28
25	06	33
30	06	17
40	04	22
50	05	07
55	07	04
65	07	14
75	06	13
85	06	11
95	08	14
105	08	20
115	10	17
120	10	27

HH	dd	ff
17. XI. 53		**14.45 h**
05	00	00
10	27	07
15	28	16
25	28	10
30	14	07
40	16	06
50	19	05
55	20	08
70	18	15
80	17	11
90	20	11
100	20	10
110	21	12
18. XI. 53		**14.40 h**
05	00	00
10	00	00
15	00	00
30	00	00
45	16	08
55	27	16
65	23	02
75	23	03
85	23	03
95	22	10
105	20	18
115	22	23
19. XI. 53		**14.45 h**
05	00	00
10	04	03
15	04	05
20	35	03
30	31	01
40	34	08
45	29	10
55	34	13
60	34	16
70	34	11
80	33	16
90	34	09
100	34	15
110	34	23
120	32	18
130	33	14
20. XI. 53		**15.30 h**
05	00	00
10	04	03
15	04	05
25	03	03
30	06	01
40	33	11
45	01	12
55	03	06
65	05	07
75	01	03
85	02	06
95	35	13
110	03	11
120	03	10
130	03	16
21. XI. 53		**14.00 h**
05	00	00
15	00	00
30	00	00
55	03	08
65	34	06
70	02	15
80	04	12
90	01	12
100	01	23
110	02	16
120	02	18
22. XI. 53		**14.00 h**
05	00	00
10	05	03
15	07	07
20	09	07
30	06	08

HH	dd	ff
40	08	04
50	12	07
55	11	06
65	10	16
75	09	20
85	12	24
95	13	26
105	12	35
110	12	25
120	12	25

23. XI. 53 14.45 h

05	00	00
15	00	00
30	00	00
40	15	05
55	14	06
65	11	06
70	13	09
80	14	10
90	15	12
100	14	14
110	14	10
125	00	00

24. XI. 53 14.45 h

05	00	00
60	00	00
70	34	05
80	33	03
90	01	08
100	06	02
115	35	03

25. XI. 53 15.00 h

05	00	00
15	28	07
20	28	03
30	28	04
40	23	05
50	31	05
55	34	10
60	33	05
70	30	08
80	31	15
90	32	05
100	30	13
115	31	23
120	31	23

26. XI. 53 14.45 h

05	00	00
15	23	13
20	23	27
30	23	27
40	23	17
45	24	18
55	23	17
60	23	15
70	24	22
80	24	33
90	25	28
100	26	33
115	25	44

27. XI. 53 14.45 h

05	00	00
10	18	03
15	17	05
20	22	20
30	22	25
40	23	28
50	23	30
55	25	17
60	27	27
70	25	17
80	24	22
90	24	22
100	24	44
115	24	33

HH	dd	ff

28. XI. 53 14.30 h

05	00	00
10	21	08
15	21	10
20	22	18
30	21	12
40	23	07
50	23	12
55	07	03
65	34	06
70	36	05
80	02	06
90	36	28
100	35	08
115	36	10

29. XI. 53 14.15 h

05	00	00
10	23	07
15	23	17
20	24	13
30	18	11
40	00	00
50	12	04
55	11	10
60	12	10
70	11	10
80	09	04
90	31	16
100	32	10

30. XI. 53 14.55 h

05	00	00
10	24	12
15	25	35
20	23	32
25	23	32
30	23	38
40	25	33
50	25	28
55	26	20
60	25	28
70	25	27
80	28	28
90	26	35
100	24	30
110	25	36
120	24	35
124	24	35

1. XII. 53 14.25 h

05	00	00
10	07	06
15	26	22
25	00	00
30	00	00
55	00	00
65	00	00
75	10	17
80	08	17
90	08	15
100	07	22
110	08	15
120	36	06

2. XII. 53 14.40 h

05	00	00
10	22	07
15	22	08
20	22	14
25	22	23
30	22	15
40	22	15
50	21	08
55	22	16
60	21	17
70	21	18
80	22	18
90	27	14
100	24	18
115	26	20
125	26	33

HH	dd	ff

3. XII. 53 14.30 h

05	00	00
10	23	10
15	23	20
20	22	20
30	21	33
40	22	42
50	22	38
55	22	38
60	22	25
70	21	60
80	21	35
90	22	48
100	22	45
110	22	65
120	23	40
130	24	40

4. XII. 53 14.50 h

05	00	00
10	22	05
15	20	20
25	22	20
30	22	23
40	22	22
50	21	24
55	20	30
60	21	30
70	22	12
80	17	20
90	21	20
100	17	28
110	15	22
120	18	22

5. XII. 53 14.15 h

05	00	00
10	00	00
15	03	05
20	00	00
25	00	00
30	17	12
40	20	12
50	20	20
55	21	24
60	21	24
70	19	12
80	19	15
90	21	30
100	22	32
110	22	60
120	21	60
130	20	38
132	20	38

6. XII. 53 15.00 h

05	00	00
10	00	00
15	00	00
20	18	03
25	17	15
30	17	17
40	16	27
50	16	33
60	16	26
70	16	30
80	17	28
90	18	41
100	19	45
110	20	60
120	18	36
125	18	36

7. XII. 53 15.30 h

05	00	00
10	09	03
15	13	04
20	13	08
30	16	16
40	28	24
50	17	22
55	17	35
65	18	28

HH	dd	ff
75	15	30
85	14	33
90	14	38
110	14	35
115	13	30

8. XII. 53 14.45 h

05	00	00
10	00	00
15	00	00
20	17	06
25	18	06
35	18	08
40	19	17
55	20	22
60	19	08
70	20	15
80	21	16
90	23	15
100	23	23
115	23	22

10. XII. 53 14.45 h

05	00	00
10	24	04
15	23	11
20	26	11
25	25	13
35	25	16
40	28	11
55	26	12
60	27	16
70	26	19
75	27	24
75	27	28
95	26	38
105	26	39
115	26	44

11. XII. 53 16.00 h

05	00	00
10	00	00
15	18	03
20	25	11
30	25	15
40	26	12
50	26	22
55	28	28
70	28	31
80	30	28
90	29	40
100	29	42

12. XII. 53 14.00 h

05	00	00
10	00	00
15	00	00
20	16	05
30	23	16
40	24	13
45	24	13
55	24	11
65	26	08
75	25	22
85	26	18
95	27	22
105	27	33

13. XII. 53 14.00 h

05	00	00
10	00	00
15	23	06
25	24	11
30	27	07
40	28	08
50	29	11
55	28	18
60	28	11
70	27	18
80	28	27
90	28	27
100	29	33

HH	dd	ff

14. XII. 53 14.10 h

05	00	00
15	00	00
20	08	07
30	14	07
35	19	17
40	22	15
55	18	13
60	18	23
70	22	33
80	21	35
90	21	35

15. XII. 53 14.50 h

05	00	00
10	00	00
15	19	06
20	18	04
30	20	13
40	20	18
50	19	17
55	18	25
65	19	13
70	19	18
80	19	30
90	21	27
100	21	25
115	20	28
120	20	28

16. XII. 53 14.55 h

05	00	00
15	25	05
20	20	07
30	03	04
40	00	00
50	00	00
55	15	08
60	17	05
70	22	04
80	23	03
90	24	08
100	21	12
115	24	13

17. XII. 53 14.55 h

05	00	00
15	00	00
20	00	00
30	00	00
40	00	00
55	00	00
60	33	25
70	32	49
80	31	78
90	32	55
100	32	66
115	32	44

18. XII. 53 14.40 h

05	00	00
15	03	04
20	00	00
30	00	00
40	25	12
50	33	15
55	32	15
60	32	18
70	33	23
80	33	23
90	33	33
100	33	38
110	32	43
115	33	38
120	33	38

19. XII. 53 14.05 h

05	00	00
10	24	18
15	24	18
25	24	18
30	26	16
40	25	22

HH	dd	ff
50	25	30
55	27	26
65	27	26
70	26	22
80	26	28
90	25	28
100	24	26
110	24	20
115	28	20

20. XII. 53 14.35 h

05	00	00
10	01	05
15	01	05
20	36	05
30	35	13
40	35	15
50	35	16
55	34	26
65	29	14
75	32	20
85	36	20
95	35	25
105	35	25
115	01	20

21. XII. 53 14.40 h

05	05	13
10	06	25
15	06	32
20	06	33
25	05	33
30	05	25
40	07	20
50	06	30
55	05	28
60	05	28
70	06	22
80	05	38
90	04	65
100	53	07
110	03	66
120	03	33

22. XII. 53 14.50 h

05	02	05
10	05	10
15	04	18
20	03	18
25	02	25
30	01	25
40	01	50
50	01	64
55	01	64
60	01	90
70	01	60
80	01	65
90	01	66
100	51	20
110	01	92
120	01	80
130	01	80

23. XII. 53 14.25 h

05	00	00
10	06	07
15	05	14
20	02	10
25	01	10
30	36	15
40	35	22
50	33	27
55	33	20
60	32	20
70	30	25
80	29	28
90	29	45
100	29	50
110	31	30
115	31	30

HH	dd	ff
. XII. 53		**13.50 h**
5	00	00
5	00	00
0	00	00
5	05	10
0	01	10
0	01	05
5	01	10
0	24	25
0	34	24
0	34	15
0	34	25
0	35	22
5	34	22
. XII. 53		**14.45 h**
5	00	00
0	28	12

HH	dd	ff
15	25	15
20	25	15
25	24	17
30	25	16
40	27	17
50	27	23
55	25	18
70	27	20
80	28	27
85	30	30
90	30	28
95	30	28
26. XII. 53		**13.45 h**
05	00	00
15	05	09
25	04	11
30	03	07

HH	dd	ff
45	02	10
50	02	71
55	02	63
70	02	53
80	02	87
90	02	82
100	02	93
105	52	60
115	02	60
28. XII. 53		**14.30 h**
05	21	08
10	26	11
15	28	11
25	31	11
30	35	22
40	34	28
50	33	23

HH	dd	ff
55	32	26
65	32	25
75	32	28
80	34	66
90	36	60
100	35	78
110	34	50
29. XII. 53		**11.45 h**
05	00	00
15	21	14
20	25	22
70	35	50
80	36	55
90	36	98
100	36	77

HH	dd	ff
30. XII. 53		**14.45 h**
05	06	13
10	05	25
15	04	18
20	05	33
25	05	33
40	02	14
55	03	64
65	03	57
75	03	45
85	02	05
90	03	08
105	02	62
110	02	55

HH	dd	ff
31. XII. 53		**13.50 h**
05	05	33
10	05	30
15	06	28
20	06	28
25	06	25
30	05	26
40	03	33
50	03	30
55	02	30
60	04	38
70	03	33
80	04	35
90	03	32
100	02	35
110	36	36
120	02	42
130	03	42

Nr. 7

Agrarmeteorologische Beobachtungen

Verdunstung in Millimeter Wasserhöhe

Zürich (Wildsche Waage in offener Hütte)

1953	Januar	Februar	März	April	Mai	Juni	Juli	August	September	Oktober	November	Dezember
1	0.1	0.4	2.1	2.2	4.1	2.4	1.4	2.0	4.1	1,1	1.3	1.4
2	0.1	0.3	0.6	2.0	3.9	1.4	2,6	1.6	4.9	1.1	0.7	0.4
3	0.3	0.5	1.1	3.6	5.2	2.5	1.0	0.9	4.1	1.3	0.3	0.8
4	0.4	1.0	2.1	4.6	5.7	3.0	2.2	3.5	3.7	1.0	0.6	1.0
5	0.2	0.8	1.9	1.4	4.0	4.9	1.0	4.1	4.4	2.2	0.7	0.5
6	0.3	0.7	0.9	3.0	2.9	4.9	2.0	0.7	3.8	2.1	0.5	0.1
7	0.3	0.4	2.2	3.5	1.8	4.0	3.1	2.9	4.8	1.6	0.8	0.2
8	0.2	0.7	1.5	2.9	2.4	2.5	3.8	3.4	2.8	1.6	0.2	0.0
9	0.4	1.2	1.9	2.1	1.4	3.0	1.3	3.0	5.1	1.6	0.8	0.1
10	0.2	0.4	1.8	0.2	1.9	0.3	1.0	3.2	1.3	0.6	0.7	0.1
11	0.4	1.8	0.7	0.9	3.6	0.3	2.3	3.9	1.2	0.4	0.4	0.3
12	0.4	0.6	0.8	3.0	3.2	1.5	2.5	3.9	3.3	0.8	0.3	0.0
13	0.3	0.8	1.7	1.1	4.4	2.7	2.8	4.3	3.3	2.0	0.6	0.1
14	0.3	1.4	2.5	0.3	1.4	0.4	4.4	4.4	3.4	2.3	0.1	0.0
15	0.2	0.7	1.6	0.4	3.8	2.2	3.3	2.9	3.2	0.8	0.0	0.2
16	0.3	0.8	2.7	0.3	5.7	1.9	4.6	0.8	1.6	0.1	0.7	0.0
17	0.2	0.7	2.1	1.7	4.2	2.2	2.8	2.8	1.1	1.0	0.5	0.0
18	0.2	0.1	3.1	3.4	6.0	0.7	2.5	3.2	2.0	0.5	0.6	0.0
19	0.5	0.1	3.2	4.5	6.4	3.6	2.9	4.4	1.3	1.6	0.0	0.1
20	0.7	0.5	3.7	4.8	4.9	3.6	4.2	3.7	1.0	0.7	0.1	0.0
21	0.3	0.8	3.8	4.5	4.7	2.4	4.5	1.4	2.4	0.8	0.0	0.6
22	0.2	1.5	3.3	4.4	3.4	2.9	5.1	1.9	3.2	1.0	0.1	0.8
23	0.0	1.1	3.6	4.1	1.8	1.5	1.2	2.8	2.6	0.6	0.2	0.0
24	0.1	0.4	4.7	2.9	4.7	0.9	3.9	3.4	0.7	0.8	0.4	0.5
25	0.3	0.9	3.6	2.7	5.2	0.2	4.1	2.1	0.4	0.2	0.4	0.7
26	1.0	0.3	3.7	4.7	5.8	0.1	3.0	2.9	0.6	0,8	0.2	0.6
27	0.6	0.5	2.5	1.6	4.0	0.7	2.3	1.9	1.6	0.4	0.3	0.4
28	0.6	1.1	2.2	3.6	0.9	3.0	3.3	3.0	1.0	1.9	1.2	1.1
29	0.2		4.4	2.5	3.0	2.1	2.9	3.3	0.6	0.2	1.3	0.6
30	0.8		6.5	3.8	0.7	3.7	1.6	3.6	0.9	1.0	2.1	1.1
31	1.6		0.7		0.8		4.0	4.8		1.2		0.4
Summe	11.7	20.5	77.2	80.7	111.9	65.5	96.6	90.7	74.4	33.3	16.1	12.1

Jahressumme: 690.7

Château d'Oex

1	0.2	1.0	1.2	2.2	3.5	1.9	1.7	2.8	4.4	1.4	2.8	3.6
2	0.1	0.2	1.5	2.2	1.3	0.3	2.7	1.1	5.0	1.6	0.2	3.6
3	0.1	1.0	1.3	3.6	4.4	2.0	1.1	0.5	3.6	1.6	2.4	4.8
4	1.0	0.2	1.6	4.8	5.6	3.3	1.9	2.6	4.0	0.8	3.2	2.6
5	0.1	0.2	1.2	5.7	5.5	4.2	1.0	3.4	2.6	1.4	3.6	3.3
6	0.6	0.3	1.2	2.8	4.5	3.8	1.7	2.3	2.2	1.0	0.4	2 6
7	0.4	0.3	1.2	2.2	1.9	2.7	2.8	2.8	2.7	1.2	2.4	3.6
8	0.2	0.3	1.8	3.0	3 4	1.5	3.4	3.0	4.0	1.6	2.8	3.2
9	0.2	0.4	2.0	1.4	2.0	2.6	2.3	2.2	5.6	1.2	1.2	3.8
10	0.1	0.3	0.9	0.8	2.0	0.2	1.3	3.3	2.2	1.4	1.8	2.8
11	0.3	0.3	1.1	1.9	4.6	0.4	2.7	3.4	0.8	1.5	1.4	1.0
12	0.3	0.3	1.8	1.2	2.0	2.3	3.3	3.7	3.6	1.3	1.2	1.0
13	0.1	0.3	2.8	0.8	5.0	2.7	2.4	4.0	3.4	1.8	1.6	3.2
14	0.3	0.4	2.4	0.2	1.4	2.4	3.7	3.0	3.0	1.8	1.8	4.0
15	0.1	0.6	1.4	0.3	4.7	2.2	3.3	2.9	3.0	0.8	3.0	2.6
16	0.5	0.8	2.0	1.5	6.4	2.3	4.1	1.1	1.8	0.2	3.2	3.4
17	0.3	0.8	1.2	2.2	6.4	0.8	3.1	2.8	1.2	0.6	4.2	1.8
18	0.3	0.6	2.8	2.4	6.0	1.1	2.0	3.2	4.5	1.0	5.2	1.2
19	0.3	0.8	1.5	4.2	6.8	3.4	2.7	3.3	1.2	1.0	2.0	0.0
20	1.0	1.0	1.2	4.0	4.8	4.7	3.7	2.3	1.0	3.4	3.4	0.4
21	1.2	1.1	3.0	3.8	6.8	1.4	4.0	0.9	3.0	1.8	2.0	0.6
22	0.5	1.1	3.0	4.0	2.7	1.1	4.7	1.3	2.8	3.6	3.2	0.4
23	0.5	0.9	3.0	3.0	3.4	0.4	1.8	2.8	4.6	1.6	3.0	0.4
24	1.0	0.8	2.8	4.3	5.2	1.2	2.6	3.6	2.0	3.0	2.5	0.6
25	0.8	1.2	4.0	4.0	6.4	0.7	4.9	2.2	1.6	1.6	3.2	0.2
26	0.4	1.4	3.6	4.2	5.3	1.0	4.8	2.0	1.6	0,6	1.4	0.0
27	0.3	1.5	2.8	1.8	5.0	1.0	2.9	2.6	0.6	2.0	3.8	0.3
28	1.7	1.2	2.2	1.3	1.3	3.3	4.1	2.8	2.2	1.6	3.0	0.2
29	1.2		4.6	1.2	2.6	1.6	3.7	3.7	0.2	0.2	3.8	0.1
30	1.5		6.5	3.0	0.8	2.6	1.8	4.2	1.6	3.2	1.2	0.4
31	0.8		1.3		0.5		2.4	5.0		3.3		0.2
Summe	16.4	19.3	68.9	78.0	122.2	59.1	88.6	84.8	80.0	49.1	74.9	55.9

Jahressumme: 797.2

Bodentemperaturen

Zürich

(Mittel aus 8 Stundenwerten)

2 cm Tiefe

	I	II	III	IV	V	VI	VII	VIII	IX	X	XI	XII
1	0.9	1.2	2.6	9.4	14.5	13.4	21.0	19.5	20.1	14.1	7.8	5.9
2	0.9	1.1	2.3	10.2	14.9	12.2	21.8	19.3	21.1	14.4	8.4	4.8
3	1.3	1.1	2.6	10.9	16.0	12.7	20.3	18.7	21.0	14.4	7.3	4.1
4	1.5	1.1	3.2	10.8	16.1	14.7	21.6	18.6	20.5	15.1	7.1	5.0
5	1.6	1.1	4.1	9.9	16.4	16.6	20.9	19.0	19.6	14.6	8.3	5.0
6	1.6	1.0	4.4	9.7	14.8	18.0	21.6	19.0	18.6	12.4	7.8	4.7
7	1.6	1.1	4.1	9.7	12.6	19.0	22.9	19.8	18.2	11.5	6.8	4.4
8	1.7	1.1	3.5	9.4	12.1	18.9	22.6	19.4	18.6	11.3	6.1	4.2
9	1.6	1.1	2.2	10.8	11.2	19.2	20.4	19.7	20.0	10.3	6.5	4.4
10	1.7	1.1	2.6	8.8	10.0	15.4	18.6	20.8	18.0	9.8	5.6	4.7
11	1.7	1.1	2.4	8.8	11.2	14.0	20.0	22.2	16.2	10.3	5.4	5.3
12	1.5	1.0	3.0	10.3	11.7	16.0	19.0	22.9	15.9	10.4	5.9	5.1
13	1.4	1.0	3.3	10.0	13.7	18.2	19.4	23.3	17.0	11.9	5.6	4.6
14	1.4	1.0	3.6	8.4	12.8	16.6	19.3	24.0	15.5	12.9	4.6	4.3
15	1.2	1.0	3.4	6.5	15.1	18.3	20.2	23.2	15.9	13.4	4.7	3.7
16	1.1	0.9	3.9	5.8	17.2	18.1	21.1	20.5	16.6	12.8	5.1	3.4
17	0.9	0.8	4.5	7.5	17.6	19.0	21.4	21.6	16.8	14.1	5.1	3.6
18	1.1	0.6	5.0	9.8	18.8	16.7	21.4	21.0	17.4	13.8	6.1	3.1
19	1.2	0.7	5.4	11.2	19.4	18.8	19.8	22.0	16.6	14.2	5.7	3.6
20	1.3	0.8	5.6	12.2	20.9	19.9	21.1	21.6	15.5	14.2	5.2	4.0
21	1.1	0.8	6.1	12.9	21.0	19.9	21.5	19.7	14.7	13.7	4.8	3.4
22	0.6	0.9	6.5	13.5	20.6	20.2	23.0	17.7	14.7	13.3	4.6	2.7
23	0.5	1.3	6.9	13.9	19.7	20.0	20.8	18.2	14.6	12.5	4.3	2.9
24	0.5	1.6	7.0	14.2	20.7	18.6	21.1	19.1	14.5	11.9	3.7	3.8
25	0.5	1.9	7.3	13.1	22.0	15.6	21.8	19.2	14.8	11.7	3.8	3.7
26	0.8	1.0	7.8	14.4	22.2	14.7	22.2	19.2	15.2	11.7	3.9	3.4
27	0.8	1.5	8.0	12.9	20.3	17.1	21.4	18.5	16.8	11.1	4.2	2.5
28	0.9	2.1	8.5	13.3	15.2	20.6	21.9	18.5	16.9	11.4	4.1	2.6
29	1.1	—	8.4	12.3	16.2	20.1	21.8	19.0	14.4	10.0	4.2	2.2
30	1.5	—	9.6	13.5	14.1	22.7	20.0	20.0	14.0	9.4	4.6	2.2
31	1.1	—	8.8	—	13.9	—	19.6	20.5	—	8.1	—	1.4
Mittel	1.3	1.1	5.0	10.8	16.2	17.5	20.9	20.2	17.0	12.3	5.6	3.8

10 cm Tiefe

	I	II	III	IV	V	VI	VII	VIII	IX	X	XI	XII
1	1.2	1.4	2.6	9.2	13.8	13.7	21.2	19.4	19.5	14.2	8.0	6.2
2	1.1	1.4	2.4	10.1	14.7	12.9	21.7	19.3	20.5	14.8	8.5	5.0
3	1.3	1.4	2.6	10.5	15.5	13.1	20.5	18.7	20.7	15.0	7.5	4.3
4	1.5	1.4	3.1	10.7	15.7	14.7	21.8	18.4	20.2	15.4	7.2	5.3
5	1.6	1.4	4.1	9.9	15.9	16.2	21.2	18.7	19.4	14.8	8.4	5.3
6	1.6	1.3	4.5	9.6	14.7	17.6	21.7	19.0	18.6	12.8	8.0	4.8
7	1.6	1.3	4.1	9.3	12.8	18.7	22.9	19.5	18.0	12.0	7.0	4.5
8	1.7	1.3	3.6	9.4	12.0	18.8	22.7	19.2	18.3	11.8	6.1	4.3
9	1.6	1.0	2.3	10.6	11.1	19.3	20.6	19.6	19.7	11.1	6.8	4.5
10	1.7	1.4	2.6	8.9	10.0	15.9	18.8	19.7	18.3	10.5	5.9	4.8
11	1.7	1.4	2.5	8.9	10.6	14.4	19.1	21.6	16.3	10.6	5.6	5.1
12	1.5	1.4	3.2	9.9	11.4	16.0	19.2	22.4	16.0	10.7	6.1	5.2
13	1.4	1.4	3.4	10.0	12.8	17.9	19.4	23.2	16.9	12.3	5.7	4.7
14	1.4	1.4	3.7	8.6	12.9	16.8	19.2	23.9	15.6	13.4	4.7	4.1
15	1.2	1.4	3.4	6.7	14.3	18.2	20.0	23.2	15.8	13.7	4.8	3.8
16	1.1	1.1	4.0	6.1	16.1	18.2	20.9	21.0	16.7	12.9	5.2	3.5
17	0.9	0.9	4.4	7.4	17.3	18.9	21.3	21.2	17.0	14.4	5.2	3.6
18	1.1	0.9	5.2	8.9	18.3	16.9	21.4	20.9	17.5	13.9	6.3	3.4
19	1.2	1.1	5.5	10.3	19.1	18.4	19.8	21.5	16.8	14.5	5.8	3.7
20	1.3	1.2	5.8	11.3	20.3	19.5	21.0	21.3	15.6	14.3	5.4	4.0
21	1.1	1.3	6.1	12.1	20.4	19.7	21.1	20.1	15.0	13.8	5.0	3.6
22	0.6	1.5	6.6	12.7	20.2	20.2	22.5	17.9	14.9	13.5	4.7	2.9
23	0.5	2.0	6.8	13.2	19.6	20.1	21.0	17.8	14.7	12.7	4.4	3.0
24	0.5	2.2	7.1	13.9	20.2	18.9	20.7	18.6	14.7	12.3	4.0	3.9
25	0.5	2.3	7.2	13.2	21.3	16.0	21.3	19.2	14.8	11.8	4.0	3.9
26	0.8	1.3	7.7	13.8	21.8	14.8	22.5	19.1	15.4	11.8	4.1	3.5
27	0.8	1.5	8.0	13.2	20.6	17.1	21.5	18.5	17.1	11.1	4.3	2.6
28	0.9	2.3	8.5	13.1	15.9	20.4	21.7	18.2	17.0	11.6	4.3	2.7
29	1.1	—	8.2	12.3	17.4	20.0	21.6	18.5	14.6	10.2	4.4	2.3
30	1.6	—	9.0	12.8	14.6	22.4	20.1	19.3	14.0	9.6	4.8	2.3
31	1.1	—	9.0	—	14.1	—	19.5	19.9	—	8.3	—	1.4
Mittel	1.2	1.4	5.1	10.5	16.0	17.5	20.9	20.0	17.0	12.6	5.7	4.0

20 cm Tiefe

	I	II	III	IV	V	VI	VII	VIII	IX	X	XI	XII
1	1.2	1.3	2.3	8.8	13.1	13.6	20.7	19.2	19.9	14.2	8.3	5.9
2	1.0	1.3	2.3	9.6	14.2	13.0	21.4	19.1	20.0	14.3	8.7	5.1
3	1.3	1.2	2.2	10.3	14.9	12.8	20.4	18.7	20.4	14.5	7.6	4.5
4	1.5	1.3	2.8	10.3	15.1	14.0	21.2	18.2	20.0	15.0	7.3	5.1
5	1.6	1.2	3.7	9.6	15.3	15.3	20.9	18.8	19.2	14.7	8.4	5.1
6	1.6	1.2	4.0	9.4	14.5	16.5	20.9	18.8	18.6	13.0	8.1	4.9
7	1.6	1.3	3.8	9.0	13.0	17.7	22.0	19.1	18.1	12.1	7.3	4.6
8	1.7	1.3	3.5	9.0	11.9	18.1	22.0	18.9	18.1	11.7	6.3	4.4
9	1.6	1.2	2.4	10.0	11.2	18.6	20.6	19.4	19.3	11.2	6.9	4.5
10	1.7	1.2	2.5	9.0	10.3	16.0	18.7	19.2	18.4	10.5	6.2	4.7
11	1.7	1.2	2.5	8.7	10.4	14.3	18.8	21.1	16.5	10.6	5.6	5.4
12	1.5	1.1	3.0	9.5	11.2	15.6	18.8	21.7	16.0	10.7	6.1	5.3
13	1.4	1.1	3.2	9.8	12.4	17.1	18.6	22.4	16.6	11.9	5.9	4.7
14	1.4	1.1	3.6	8.5	12.6	16.5	18.7	23.3	15.7	13.0	5.1	4.5
15	1.2	1.2	3.3	6.8	13.4	17.4	19.4	22.8	15.8	13.1	4.9	3.9
16	1.1	1.0	3.8	6.2	15.4	17.8	20.2	20.9	16.5	12.8	5.3	3.7
17	0.9	1.0	4.3	7.1	16.4	18.0	20.3	20.9	16.7	13.8	5.3	3.7
18	1.1	0.8	4.7	8.3	17.3	16.9	20.9	20.6	17.1	13.8	6.2	3.5
19	1.2	0.9	5.1	9.7	18.1	17.7	19.7	21.0	16.6	14.0	5.8	3.7
20	1.3	1.0	5.4	10.9	19.5	18.6	20.3	21.0	15.7	14.1	5.1	4.1
21	1.1	1.0	5.7	11.5	19.7	19.0	20.5	20.1	15.0	13.7	5.1	3.7
22	0.6	1.1	6.1	12.1	19.5	19.7	21.6	18.1	15.0	13.3	4.9	2.9
23	0.5	1.5	6.5	12.7	18.9	19.6	20.9	17.8	14.7	12.7	4.5	3.0
24	0.5	1.7	6.7	13.2	19.3	18.6	19.5	18.3	14.7	12.4	4.1	3.8
25	0.5	2.0	6.9	12.7	20.4	16.2	20.7	18.9	14.7	11.8	4.1	3.8
26	0.8	1.3	7.3	13.2	20.8	15.0	21.9	19.0	15.1	11.6	4.1	3.7
27	0.8	1.4	7.6	12.8	20.0	16.5	21.2	18.1	16.3	11.2	4.3	2.7
28	0.9	1.9	8.2	12.6	16.1	19.0	21.9	18.1	16.7	11.1	4.3	2.7
29	1.1	—	7.8	11.9	16.4	19.4	21.1	18.3	14.5	10.5	4.4	2.5
30	1.4	—	8.7	12.4	14.7	21.3	20.0	18.9	14.3	9.7	4.7	2.5
31	1.0	—	8.7	—	13.9	—	19.3	19.5	—	8.6	—	1.7
Mittel	1.2	1.2	4.8	10.2	15.5	17.0	20.4	19.7	16.9	12.4	5.8	4.0

50 cm Tiefe

	I	II	III	IV	V	VI	VII	VIII	IX	X	XI	XII
1	2.9	2.4	3.2	8.1	11.8	14.6	18.7	19.1	19.0	15.0	10.6	6.3
2	2.8	2.4	3.1	8.4	12.2	14.1	18.7	19.0	19.1	14.8	10.4	6.6
3	2.7	2.4	2.8	8.7	12.7	13.8	19.0	18.8	19.4	14.9	10.1	6.4
4	2.8	2.4	2.9	9.1	13.1	13.5	19.0	18.3	19.4	14.9	9.6	6.3
5	2.9	2.4	3.3	9.3	13.4	14.0	19.1	18.3	19.2	14.9	9.6	6.4
6	2.9	2.4	3.6	9.2	13.6	14.7	19.1	18.5	19.0	14.7	9.6	6.5
7	2.9	2.4	3.8	9.1	13.3	15.3	19.4	18.4	18.7	14.2	9.3	6.3
8	3.0	2.4	4.0	8.9	12.5	16.0	19.9	18.5	18.7	13.7	9.0	6.0
9	2.9	2.3	3.5	9.2	12.6	16.4	19.9	18.7	18.7	13.3	8.7	6.0
10	3.0	2.4	3.5	9.0	11.5	16.3	19.2	18.8	18.7	12.9	8.6	5.9
11	3.0	2.3	3.6	8.8	10.9	15.4	18.5	19.2	18.0	12.5	8.3	6.1
12	2.9	2.3	3.5	8.9	11.1	14.9	18.2	19.7	17.3	12.2	8.0	6.3
13	2.8	2.3	3.5	9.4	11.2	15.3	18.1	20.1	17.1	12.3	7.9	6.2
14	2.8	2.2	3.8	9.3	11.8	15.8	18.0	20.8	17.1	13.0	7.5	6.1
15	2.8	2.3	3.8	8.7	11.8	15.7	18.1	21.0	16.8	13.3	7.4	5.8
16	2.7	2.2	3.9	7.9	12.6	16.2	18.4	20.6	16.9	13.4	7.3	5.5
17	2.6	2.1	4.3	7.5	13.5	16.4	18.9	20.1	17.0	13.5	7.3	5.7
18	2.6	2.1	4.5	7.8	13.9	16.5	19.1	20.0	17.0	13.5	7.4	5.3
19	2.5	2.1	4.7	8.4	14.9	16.1	19.0	20.0	17.0	13.6	7.5	5.3
20	2.6	2.1	4.9	9.1	15.6	16.6	18.8	20.5	16.8	13.7	7.6	5.1
21	2.6	2.0	5.2	9.7	16.4	17.0	19.0	20.0	16.2	13.8	7.0	5.1
22	2.5	1.9	5.7	10.3	16.7	17.4	19.4	19.3	16.0	13.7	7.0	5.0
23	2.4	2.0	6.0	10.7	17.0	17.7	19.9	18.7	15.8	13.6	6.7	4.7
24	2.2	2.1	6.4	11.0	16.8	17.6	19.4	18.4	15.6	13.3	6.4	4.7
25	2.2	2.3	6.5	11.2	17.1	17.1	19.4	18.7	15.6	13.0	6.3	4.9
26	2.1	2.4	6.7	11.0	17.7	16.0	19.9	18.7	15.5	12.9	6.1	5.0
27	2.2	2.4	7.1	12.0	17.2	15.8	20.0	18.5	15.6	12.6	6.1	4.8
28	2.3	2.4	7.3	11.7	17.5	16.5	19.9	18.2	16.1	12.4	6.1	4.5
29	2.3	—	7.5	11.4	16.4	17.4	19.9	18.1	16.0	12.4	6.1	4.4
30	2.3	—	7.7	11.4	15.4	17.9	19.9	18.2	15.3	11.7	6.1	4.1
31	2.4	—	8.2	—	15.0	—	19.3	18.7	—	11.1	—	4.0
Mittel	2.6	2.2	4.8	9.5	14.1	15.9	19.1	19.1	17.3	13.4	7.8	5.5

Bodentemperaturen

Pregassona (Lugano)

(Mittel aus 2 Ablesungen)

2 cm Tiefe

	I	II	III	IV	V	VI	VII	VIII	IX	X	XI	XII	I	II	III	IV	V	VI	VII	VIII	IX	X	XI	XII
1	2.2	1.4	6.2	11.6	15.0	20.1	22.0	21.1	22.2	18.2	10.7	7.0	2.4	1.9	6.5	11.7	14.1	19.5	21.2	21.0	21.6	18.3	11.4	7.2
2	2.1	1.5	5.9	12.7	14.9	16.8	20.6	21.8	22.3	18.3	11.0	6.9	2.4	2.0	6.3	12.2	15.0	17.7	20.7	21.7	22.0	18.3	11.5	7.1
3	1.4	1.5	6.1	11.8	16.2	14.4	21.7	21.3	22.2	17.6	11.0	7.5	2.1	2.1	6.5	11.7	15.6	15.4	21.2	21.4	22.0	18.0	11.6	7.5
4	1.3	1.3	6.4	11.4	16.8	15.1	21.5	20.3	21.8	16.7	11.2	8.2	1.9	1.8	7.4	11.4	16.3	15.9	21.5	20.7	22.0	17.4	11.8	8.2
5	1.4	0.7	9.0	12.2	16.8	17.5	22.1	20.1	22.2	17.2	10.5	8.3	1.9	1.4	8.1	11.9	16.5	17.7	21.9	20.7	22.0	17.4	11.3	8.5
6	1.6	0.5	7.4	12.0	16.7	18.6	21.5	20.8	22.5	14.2	9.7	8.4	2.1	1.1	7.8	11.6	16.5	18.0	21.6	21.2	22.5	15.9	10.9	8.5
7	1.5	0.2	6.6	12.3	15.7	17.0	21.9	21.8	20.2	15.0	9.9	7.8	2.0	1.0	7.5	12.4	16.1	16.9	21.8	21.6	21.1	16.3	10.5	8.3
8	1.6	0.1	6.1	11.4	14.2	17.6	23.2	21.7	21.0	14.3	12.8	7.6	2.0	0.7	7.0	11.6	14.9	17.6	22.5	21.4	21.0	15.5	9.8	8.0
9	0.8	–0.2	4.7	11.1	14.4	18.0	22.4	20.8	20.6	13.1	8.6	8.6	1.5	0.5	5.9	11.4	14.7	17.4	22.5	21.0	20.8	14.5	9.7	8.6
10	0.8	–0.2	5.2	10.8	14.2	18.9	21.5	21.5	20.5	14.5	8.5	8.2	1.4	0.4	6.1	10.8	14.3	18.4	21.8	21.5	20.8	15.1	9.4	8.5
11	1.0	–0.1	6.0	11.6	14.1	18.6	20.9	22.5	19.2	13.4	8.8	7.0	1.6	0.4	6.5	11.3	14.4	19.0	21.3	21.4	20.0	14.2	9.0	7.7
12	0.4	0.0	4.9	13.1	14.8	20.7	20.2	23.5	18.0	12.9	8.3	6.6	1.2	0.4	5.9	12.9	14.8	19.9	20.6	23.2	19.0	14.1	9.3	7.3
13	0.3	0.0	5.2	12.1	15.0	19.5	19.8	24.7	18.6	13.5	8.1	6.2	1.0	0.4	6.0	12.3	15.1	19.5	20.0	23.8	19.3	14.2	9.0	7.4
14	0.1	0.0	4.5	10.5	16.1	19.3	20.5	24.9	18.9	13.7	8.0	7.6	0.8	0.4	5.4	11.0	16.1	18.7	20.0	24.5	19.5	14.2	8.8	7.9
15	–0.1	0.0	4.3	8.0	16.4	19.1	21.3	23.9	18.4	14.0	8.1	7.8	0.6	0.4	5.4	9.1	15.9	19.1	21.2	24.2	19.0	14.4	8.8	8.0
16	–0.1	0.1	5.5	9.4	17.3	18.6	21.8	22.9	16.4	13.9	8.1	8.2	0.6	0.6	5.7	9.5	17.0	18.8	21.4	23.4	17.7	14.3	8.8	8.5
17	–0.2	0.3	6.1	11.7	18.0	17.8	22.1	23.4	17.8	14.3	7.8	8.2	0.5	0.9	6.5	10.2	17.9	17.8	21.9	23.2	18.0	14.5	8.6	8.4
18	–0.3	1.8	6.4	11.1	19.6	16.6	21.7	23.8	18.8	14.7	8.8	8.2	0.4	1.6	6.5	11.2	18.9	17.0	21.8	23.6	18.9	14.8	9.2	8.5
19	–0.2	2.4	6.7	11.9	20.5	18.3	21.0	23.2	19.1	15.1	7.5	7.9	0.4	2.9	6.8	12.0	19.8	17.9	21.4	23.3	19.2	15.1	8.3	8.2
20	0.0	3.8	7.8	12.7	21.1	19.1	20.2	23.2	16.2	14.8	7.2	7.6	0.4	3.8	7.9	12.5	20.0	18.4	20.8	23.4	16.9	15.7	8.0	8.3
21	0.1	4.5	8.2	12.8	20.7	17.8	21.1	21.2	15.9	14.9	6.8	7.5	0.5	4.5	8.4	12.9	20.2	17.9	21.1	22.0	16.6	15.3	7.6	8.0
22	0.0	4.8	8.5	13.4	19.6	19.0	21.1	19.4	17.9	15.0	6.9	5.4	0.6	4.9	8.6	13.2	19.6	18.4	21.1	20.1	17.9	15.3	7.8	7.2
23	0.1	5.3	8.8	14.0	19.9	19.0	22.1	19.2	16.8	14.3	6.7	6.2	0.6	5.4	9.0	13.6	19.6	18.6	21.7	19.7	17.7	14.8	7.4	7.0
24	0.1	5.5	8.9	13.9	19.8	17.3	21.8	19.2	16.6	14.4	6.9	5.5	0.6	5.7	9.3	13.6	20.5	18.0	21.8	19.9	17.2	14.8	7.0	6.3
25	0.2	5.7	9.6	13.8	19.8	16.8	22.6	19.7	16.6	14.2	6.4	5.2	0.7	6.0	9.7	13.7	19.6	16.9	22.2	20.2	16.9	14.7	7.2	6.0
26	0.2	6.3	9.4	13.4	23.2	18.7	23.0	19.7	16.2	13.7	5.4	5.1	0.8	6.2	9.8	13.3	21.7	18.2	22.6	20.1	16.8	14.1	6.5	5.9
27	0.2	5.9	9.3	13.0	23.2	20.2	23.3	20.1	17.3	13.0	4.8	4.8	0.9	6.1	9.8	13.0	21.9	19.4	23.0	20.3	17.4	13.7	6.1	5.3
28	0.4	6.2	9.6	13.6	20.4	21.2	22.8	19.4	17.8	13.2	4.4	3.1	1.1	6.4	9.9	13.4	20.8	20.8	22.7	19.9	18.0	13.8	6.4	4.4
29	1.6	—	10.6	13.0	20.4	18.6	22.6	19.4	16.5	13.1	5.2	3.2	1.6	—	10.3	13.2	19.9	19.0	22.6	19.7	17.2	13.4	6.3	3.0
30	1.5	—	10.2	12.8	19.8	21.6	20.0	20.3	17.4	11.8	6.0	2.3	1.8	—	10.7	13.0	19.6	20.0	20.4	20.2	17.8	12.6	6.3	3.2
31	1.4	—	11.8	—	19.1	—	19.2	21.2	—	10.1	—	1.7	1.7	—	11.7	—	18.7	—	20.2	20.8	—	11.4	—	2.9
Mittel	0.7	2.1	7.3	12.1	17.9	18.4	21.5	21.5	18.9	14.4	8.1	6.5	1.2	2.5	7.7	12.1	17.6	18.3	21.5	20.6	19.2	15.0	8.8	7.1

20 cm Tiefe

	I	II	III	IV	V	VI	VII	VIII	IX	X	XI	XII	I	II	III	IV	V	VI	VII	VIII	IX	X	XI	XII
1	2.9	2.2	6.2	11.2	13.6	18.8	20.3	20.7	21.0	18.1	12.0	7.3	3.8	2.8	5.8	10.0	12.6	18.0	19.2	20.7	20.5	17.9	13.4	8.3
2	2.8	2.1	6.1	11.6	14.2	18.1	20.5	21.2	21.5	18.1	12.1	7.4	3.8	2.8	5.8	10.2	12.9	18.2	19.5	20.8	20.7	18.1	13.2	8.4
3	2.6	2.3	6.3	11.5	14.6	16.4	20.6	21.2	21.6	18.1	11.9	7.7	3.9	2.9	5.9	10.5	13.2	17.3	19.7	20.9	20.9	18.2	13.0	8.6
4	2.6	2.1	6.6	11.1	15.2	15.8	20.9	20.8	21.6	17.8	12.1	8.3	3.9	3.0	6.1	10.5	13.6	16.7	19.9	20.8	20.9	18.2	13.0	8.8
5	2.8	2.0	7.4	11.4	15.6	16.8	21.3	20.7	21.6	17.3	11.7	8.6	3.9	3.0	6.4	10.5	14.0	16.7	20.0	20.7	21.2	17.8	12.9	9.0
6	2.5	1.7	7.5	11.3	15.7	17.6	21.2	20.8	22.1	16.8	11.5	8.7	3.7	2.8	6.7	10.5	14.2	17.0	20.2	20.6	21.3	17.9	12.8	9.1
7	2.5	1.5	7.4	11.8	15.6	17.2	21.1	21.2	21.5	16.8	11.5	8.6	3.7	2.7	6.8	10.6	14.4	17.0	20.2	20.7	21.3	17.5	12.4	9.2
8	2.4	1.2	7.1	11.5	14.9	17.1	21.7	20.9	20.6	16.0	10.4	8.4	3.7	2.6	6.9	10.8	14.3	17.1	20.4	20.8	20.9	17.1	12.1	9.2
9	2.2	1.1	6.4	11.2	14.5	17.2	21.8	20.8	20.7	15.3	10.2	8.6	3.6	2.4	6.8	10.8	14.2	17.0	20.5	20.8	20.7	16.7	11.7	9.2
10	2.0	1.0	6.3	10.8	14.4	17.8	21.3	21.1	20.9	15.5	10.1	8.6	3.4	2.3	6.5	10.7	14.0	17.0	20.5	20.8	20.8	16.4	11.5	9.2
11	2.0	1.0	6.5	10.8	14.3	18.4	20.9	21.6	20.3	14.9	10.0	8.2	3.4	2.3	6.5	10.5	14.0	17.2	20.4	20.9	20.6	16.1	11.3	9.2
12	1.9	1.0	6.2	12.2	14.4	19.0	20.7	22.4	19.6	14.6	9.7	7.8	3.3	2.2	6.4	10.8	14.0	17.6	20.2	21.3	20.3	15.8	11.2	9.0
13	1.7	1.0	6.2	12.3	14.7	19.4	19.8	23.1	19.6	14.9	9.6	7.8	3.2	2.2	6.4	11.2	14.2	18.0	19.8	21.6	20.1	15.7	11.1	8.9
14	1.4	1.0	5.9	11.3	15.3	18.6	20.0	23.4	19.7	14.6	9.4	8.1	3.1	2.2	6.4	11.1	14.4	18.0	19.7	22.0	20.0	15.6	10.9	8.8
15	1.4	1.1	5.7	9.8	15.4	18.5	20.7	23.2	19.2	14.6	9.3	8.2	3.0	2.2	6.2	10.7	14.6	17.7	19.9	22.1	19.8	15.4	10.7	8.9
16	1.2	1.0	5.7	9.5	16.1	18.6	20.8	23.1	18.4	14.6	8.6	8.5	2.8	2.2	6.1	10.1	14.8	17.9	20.0	22.1	19.4	15.3	10.6	9.0
17	1.1	1.3	6.3	10.4	16.7	18.1	21.2	23.1	18.1	14.6	9.1	8.6	2.7	2.2	6.2	10.0	15.2	17.8	20.2	22.1	19.0	15.2	10.4	9.1
18	1.0	1.6	6.9	10.9	17.7	17.3	21.2	23.1	18.7	14.8	9.3	8.5	2.7	2.2	6.5	10.3	15.7	17.4	20.3	22.2	19.0	15.2	10.4	9.1
19	1.0	2.5	7.1	11.4	18.6	17.4	21.2	23.0	18.9	14.9	9.0	8.4	2.7	2.5	6.8	10.7	16.4	17.1	20.4	22.1	18.9	15.2	10.3	9.1
20	1.0	3.3	7.6	11.9	18.9	18.1	20.7	22.9	17.3	15.3	8.6	8.4	2.6	3.0	7.0	11.0	17.0	17.3	20.2	22.1	18.0	15.3	10.1	9.0
21	1.0	3.9	8.0	12.4	19.1	17.8	20.7	22.4	16.8	15.4	8.3	8.2	2.6	3.5	7.3	11.4	17.2	17.4	20.1	22.0	17.9	15.6	9.9	9.0
22	1.1	4.3	8.3	12.7	19.0	17.8	20.8	20.1	17.7	15.3	8.2	7.8	2.6	3.8	7.5	11.7	17.4	17.4	20.1	20.8	17.9	15.6	9.8	8.9
23	1.1	4.8	8.6	13.1	18.8	18.2	21.0	20.1	18.0	15.0	8.2	7.5	2.5	4.1	7.8	12.0	17.4	17.5	20.2	20.7	18.2	15.6	9.7	8.7
24	1.1	5.3	9.0	13.2	18.7	17.2	21.2	19.6	17.5	14.9	8.1	6.9	2.5	4.6	8.1	12.2	17.4	17.8	20.4	20.5	18.2	15.4	9.5	8.4
25	1.1	5.5	9.3	13.3	19.5	17.1	21.6	20.3	17.0	14.8	7.9	6.6	2.5	4.9	8.4	12.4	17.8	17.4	20.7	20.5	17.8	15.3	9.3	8.1
26	1.2	5.8	9.5	13.1	20.4	17.8	21.8	20.5	17.1	14.4	7.3	6.5	2.5	5.2	8.6	12.5	18.2	17.3	21.0	20.4	17.7	15.1	9.1	7.8
27	1.3	5.7	9.5	12.9	21.0	18.6	22.3	20.2	17.5	14.3	6.9	5.9	2.5	5.4	8.8	12.4	18.7	17.8	21.3	20.3	17.6	14.7	8.8	7.5
28	1.4	6.0	9.6	12.9	20.4	20.0	22.3	19.9	17.9	14.0	7.0	5.4	2.5	5.5	8.9	12.3	18.9	18.3	21.4	20.1	17.8	14.6	8.5	7.2
29	1.6	—	9.9	13.0	19.4	18.9	22.2	19.2	17.3	13.7	6.9	4.8	2.6	—	9.1	12.4	18.6	18.6	21.4	20.1	17.8	14.5	8.3	6.9
30	1.9	—	10.3	12.9	19.3	19.3	20.8	20.1	17.6	12.5	6.8	4.5	2.7	—	9.3	12.5	18.5	19.0	21.0	20.1	17.6	14.1	8.3	6.5
31	2.0	—	11.0	—	18.6	—	20.1	20.5	—	12.2	—	3.9	2.8	—	9.6	—	18.2	—	20.7	20.1	—	13.8	—	6.1
Mittel	1.7	2.6	7.6	11.8	16.9	18.0	21.1	21.3	19.2	15.3	9.4	7.5	3.1	3.1	7.1	11.1	15.7	17.6	20.3	21.0	19.4	16.0	10.8	8.5

50 cm Tiefe

Les températures dans le sol, à Zurich, au cours de l'année 1952

Par le Dr. B. Primault

Chargé des Travaux de Météorologie Agricole, Zurich

A. Introduction

Depuis quelques années, la Station Centrale Suisse de Météorologie a mis à son programme de développer les recherches dans le domaine de la météorologie agricole et de resserrer les liens de collaboration qui l'unissent aux Stations Fédérales d'Essais Agricoles. A cet effet, il fut indispensable de compléter la dotation instrumentale de certains postes d'observations, de créer de toutes pièces quelques stations d'observations météorologiques et de mettre sur pied un réseau complet d'observations phénologiques.

Une description, même sommaire, de ces différentes phases serait hors de notre propos et nous ne nous attacherons ici qu'à l'étude des résultats de la première année d'enregistrement continu des températures dans le sol.

Nous tenons à remercier ici tous ceux qui ont collaboré activement à l'élaboration de ce mémoire et plus spécialement M^lle^ Lieberherr, MM. Sigg, Castiglioni et Haller, qui ont procédé au dépouillement des bandes d'enregistrement et calculé les moyennes.

B. Situation du problème

De toutes les influences extérieures agissant sur l'activité cellulaire et la croissance des plantes, les éléments météorologiques sont certainement les plus importants. Cette importance leur vient de ce qu'ils touchent deux activités vitales: la nutrition par l'eau et l'intensité des échanges osmotiques et la vitesse du mouvement du plasma par la température.

Mais en météorologie agricole, il serait faut de ne s'attacher qu'à l'étude des fluctuations des éléments météorologiques au-dessus du sol, c'est-à-dire dans le milieu où vivent les parties supérieures des plantes et où évoluent la plupart des parasites. La majorité des phénomènes biologiques observés au-dessus de la surface du sol ne sont en effet que la suite de ce qui s'est passé précédemment ou qui se passe dans le sol. Songeons seulement aux insectes parasites qui hivernent dans la terre et dont le réveil et l'envol au printemps dépendent uniquement de l'évolution de la température et de l'humidité dans les couches plus ou moins profondes de notre sol. Nombre d'autres parasites, dont les hannetons (Melolontha vulgaris) sont les plus connus, passent dans les profondeurs de la terre la plus grande partie de leur existence et sont donc soumis à des conditions climatiques toutes différentes de celles que nous observons dans l'air.

Si les conditions météorologiques et climatiques de l'air sont relativement bien connues en Suisse, il n'en va pas de même de celles du sol. Nous abordions là un domaine entièrement nouveau et, avant de pouvoir utiliser en pratique les données instrumentales, il nous était indispensable d'acquérir une certaine expérience que les publications étrangères ne pouvaient nous donner à elles seules.

En effet, dans un pays coupé comme le nôtre et où les formations géologiques sont presque aussi diverses que les paysages, des mesures faites en un endroit ne pouvaient en aucun cas être généralisées à tout le pays. Le territoire national étant d'autre part rattaché à des zones climatiques très différentes (méditerranéenne, continentale, océanique, etc.), la dégradation d'une même formation géologique ne saurait donner en tous lieux le même terrain. Il fut donc nécessaire d'envisager dès l'abord la création de stations d'observations dans diverses contrées caractéristiques du pays et cela non seulement pour les phénomènes supra-terrestres, mais encore pour ceux se déroulant dans le sol.

Vu les moyens financiers limités mis à notre disposition, nous n'avons pu équiper toutes nos stations d'appareils enregistreurs et sommes, d'autre part, obligés de nous contenter d'un nombre de lectures relativement restreint, soit 2 par jour. Il devenait donc nécessaire d'examiner divers appareils et de les mettre en parallèle en un même lieu durant une période assez longue pour englober les extrêmes et permettre une étude statistique. Ceci fut fait à Zurich durant l'année 1952.

Le problème fut ainsi divisé en 3 phases distinctes:

a) Evolution de la température au cours de l'année à différents niveaux.
b) Comparaison entre les valeurs de thermomètres à mercure et de résistances électriques.
c) Etude des heures les plus représentatives pour les lectures.

Nous reviendrons plus bas sur chacun de ces points.

C. Instruments

Nous avons choisi deux méthodes de mesure différentes: des thermomètres à mercure, d'une part, et des résistances électriques, d'autre part. Nous donnons ci-dessous les caractéristiques des deux genres d'appareils utilisés:

a) *Résistances électriques (enregistrement).* La Résolution N° 137 de la Conférence des Directeurs de Washington 1947 stipule dans son § 1 que les mesures doivent être effectuées à 10, 20, 50 et 100 cm de profondeur érigés en niveau de comparaison à l'échelle internationale. Nicolet [1949] proposait d'autre part de faire des mesures beaucoup plus près de la surface du sol.

Nous devions donc immédiatement envisager la mesure

simultanée de températures provenant de plusieurs niveaux. La maison Siemens S. A. à Zurich a mis au point pour nous un appareil spécial mesurant les températures au moyen de résistances électriques et enregistrant ces valeurs.

Ces résistances sont constituées par une spirale de platine noyée dans un bâtonnet de verre dur. Afin de protéger le tout de l'humidité, ce bâtonnet de verre est placé dans une chape de plomb soudée à l'enveloppe du câble (fig. 1 et 2). Afin d'éviter un apport de chaleur par le câble, celui-ci est placé horizontalement au niveau de mesure sur un mètre au moins.

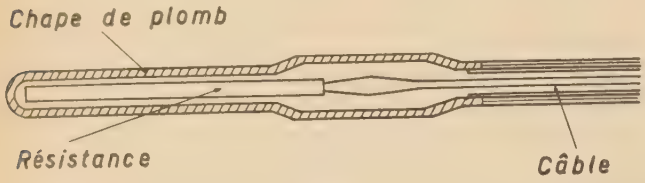

Fig. 1
Coupe d'une résistance de mesure

La mesure se fait au moyen de deux solénoïdes mobiles placés en croix dans un champ magnétique constant. Le premier est appelé à mesurer la résistance d'un circuit auxiliaire et à éliminer ainsi l'influence de la température sur les câbles reliant les corps de mesure à l'appareil enregistreur. La seconde bobine reçoit un courant de la même source, mais qui a, au préalable, passé par la résistance de mesure. Selon la position d'équilibre prise par le système, on déduit la température du filament de platine (fig. 3).

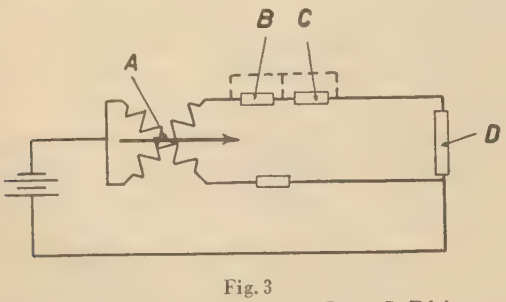

Fig. 3
Schéma de l'appareil (A. Galvanomètre; B. et C. Résistances intermédiaires pour le changement d'échelles; D. Résistance de mesure)

Afin de faciliter les lectures sans avoir besoin de papiers trop larges, on intercale à volonté dans le second circuit une ou deux résistances connues, ce qui nous étale le champ de mesure sur trois bandes.

L'appareil de mesure touche l'une après l'autre les six résistances placées à 0, 2, 10, 20, 50 et 100 cm et frappe pour chacune d'elles un point de couleur sur une bande de papier. Une mesure complète dure 2 minutes, c'est-à-dire que les six courbes de couleurs différentes sont faites de points séparés représentant la température toutes les deux minutes. La précision de l'appareil est de $^1/_{10}$ de degré et il enregistre à volonté sur trois échelles, soit —30 à +10°, —10 à +30° et +10 à +50° (fig. 4).

b) *Thermomètres à mercure.* La maison Gerber & Cie à Zurich nous a fabriqué des thermomètres à mercure dont les caractéristiques sont les suivantes:

Le réservoir est de 1,5 cm de long et a un diamètre d 0,7 cm. La colonne est coudée au niveau du sol pour fac liter les lectures. La graduation s'étend de —30 à +60 et est établie à $^1/_5$ de degré. La précision est de l'ordr de $^2/_{10}$.

Les profondeurs choisies 2, 10, 20 et 50 cm sont in diquées le long du col par un double renflement (fig. 6)

Les thermomètres à mercure furent introduits vert calement dans le terrain, tandis que les résistanc étaient placées horizontalement depuis une tranché creusée à 1 m de leur position finale. Les deux instru ments correspondant à un même niveau ne sont distan que de 3 à 7 cm, donnant ainsi des valeurs qui corre pondent aux mêmes conditions, sans pour tout autan s'influencer réciproquement.

Afin de garantir les instruments de dommages ext rieurs dus soit aux animaux (chiens, lièvres), soit aux in tempéries (grêle), la surface où se font les mesures fu entourée et recouverte d'un treillis métallique monté su une armature de liteaux de bois. La partie antérieu peut se relever pour faciliter les lectures (fig. 5).

D. Nature du sol

Ainsi que l'ont prouvé maints auteurs (cf Eblé [1946 Hautefenne [1952], Nicolet [1949], Vandenplas [1951] la nature du sol a une grande influence sur l'absorptio des radiations solaires, d'une part, et la propagation d la chaleur, d'autre part. Il nous a donc semblé nécessai de faire une description sommaire du sol au début d cette étude.

L'endroit choisi pour nos observations se trouve su un petit plateau situé au sud de la Station centrale suis de météorologie. Les thermomètres et les résistanc furent placés dans une partie du plateau qui ne fut p affectée par les terrassements nécessités, au début d 1948, pour la construction du nouveau bâtiment.

Tout le Zürichberg, sur les pentes duquel se trou l'Institut, est formé d'une moraine longitudinale d l'époque quaternaire. Le sol y est profond, mais lou et argileux. On y rencontre par endroits des dépôts gr veleux, mais pas dans le lieu qui nous occupe. La mas est mélangée de nombreux résidus calcaires. Il s'agit d'u sol brun, d'origine forestière, mais défriché depuis fo longtemps et utilisé dès lors par une exploitation ag cole extensive.

Depuis 1949, le gazon y est régulièrement tondu.

Il s'agit donc d'un sol naturel dégradé où l'influen de l'homme ne s'est que peut fait sentir.

E. Evolution annuelle et journalière de la températu

Nous avons vu plus haut que nos recherches n'étaie pas destinées à confirmer ou infirmer le résultat de tr vaux étrangers, mais que nous voulions simplement vo dans cette première phase si un certain parallélisme po vait être établi entre les courbes recueillies par Hau fenne [1952], d'une part, et nous-mêmes d'autre pa

Lors du dépouillement des bandes d'enregistrement, releva pour chaque jour et à chaque niveau les valeu horaires. Les moyennes journalières furent ensuite c

ulées par leur moyenne arithmétique. On a enfin calulé les moyennes horaires mensuelles pour établir chaue mois la courbe de l'évolution diurne.

La publication intégrale des chiffres ainsi obtenus sorirait du cadre de cette étude. Nous ne reproduirons ici ue les valeurs moyennes (tab. 1, 2, 3, 4, 5, 6, 7 et 8). (Les oyennes journalières à 2, 10, 20 et 50 cm sont publiées ans les Annales de 1952.) Par suite d'une défectuosité e l'appareil, certains chiffres nous manquent pour le iveau de 0 cm au mois d'avril. D'autre part, bien que e gazon ait été tondu régulièrement, on peut constater es irrégularités de cette courbe, dues probablement à es variations de l'insolation. Nous n'examinerons par onséquent pas cette courbe, mais en donnons néanmoins es chiffres recueillis à titre d'information.

Afin de vérifier la marche des appareils, nous nous ommes basés, comme Hautfenne, sur la température du iveau de 100 cm à 13 h. 30. Nous ne trouvons pas ici de rands écarts d'un jour à l'autre, c'est-à-dire que les fluc-

Tableau 1. **Moyennes journalières à 0 cm**

	I	II	III	IV	V	VI	VII	VIII	IX	X	XI	XII
1	3.0	0.2	2.0	6.8	14.8	18.3	23.4	22.9	20.7	10.2	7.6	7.4
2	1.5	0.4	2.7	4.5	15.4	18.5	24.9	22.7	20.0	10.0	7.4	5.1
3	1.4	0.5	3.3	3.6	14.7	17.7	25.4	22.4	18.7	9.1	7.8	3.5
4	0.7	0.5	4.5	4.1	13.8	17.9	25.4	22.6	17.3	11.1	6.8	2.9
5	0.7	0.5	4.7	5.1	13.0	18.5	26.4	23.3	18.0	11.4	6.7	1.5
6	1.7	0.5	4.7	5.5	13.8	18.7	26.7	23.3	14.3	11.6	7.1	0.0
7	0.7	0.5	3.9	7.4	14.5	16.8	25.1	19.8	13.5	11.3	5.8	–0.4
8	0.5	0.5	3.4	9.5	14.6	17.3	23.0	21.2	12.5	9.8	4.2	–0.8
9	1.2	0.5	3.0	10.3	15.1	17.7	20.5	19.8	11.7	9.7	3.5	–0.6
0	1.5	0.4	3.7	—	15.5	17.6	20.8	19.3	13.0	10.2	3.2	–0.6
1	3.6	0.5	4.2	—	13.8	20.2	22.5	21.9	12.1	8.7	4.0	–0.1
2	2.0	0.4	4.4	—	13.5	21.3	21.8	23.7	11.9	7.9	3.0	1.7
3	1.3	0.3	5.3	—	13.4	21.1	22.0	24.6	13.6	6.4	3.0	1.8
4	0.1	0.4	4.0	—	14.3	19.3	22.5	24.8	14.6	8.8	2.5	1.8
5	1.1	–0.4	3.2	—	14.8	21.6	22.0	23.3	14.3	7.9	1.6	1.4
6	1.8	–0.5	4.3	—	15.6	17.5	19.8	19.6	12.1	8.5	0.5	1.3
7	2.2	–0.5	6.1	—	15.9	19.6	21.1	18.1	14.6	8.8	1.3	1.0
8	1.7	–0.5	7.3	—	15.2	17.6	20.6	19.7	12.8	8.9	0.6	1.1
9	1.3	–0.6	7.2	13.8	15.7	16.8	21.0	18.0	9.9	9.2	1.1	1.2
0	1.0	–0.4	6.5	12.7	15.4	15.8	22.2	17.0	10.5	9.9	1.6	1.1
1	0.6	–0.2	6.1	13.3	13.3	17.7	23.4	16.3	10.9	11.8	2.3	2.1
2	0.2	0.3	6.1	12.2	13.4	19.7	24.1	17.6	11.1	12.0	3.1	1.5
3	–0.2	0.8	7.0	11.0	14.1	20.4	24.5	17.3	12.1	10.9	2.0	1.2
4	–0.2	0.8	7.1	9.9	14.8	19.6	20.6	16.4	12.6	12.5	2.1	2.7
5	–0.3	0.8	7.3	9.7	14.9	20.6	21.1	18.4	13.9	11.5	2.7	2.7
6	–0.1	0.7	6.1	9.6	15.0	20.7	22.2	20.2	11.8	10.4	4.5	1.2
7	–0.4	0.8	5.2	9.9	15.1	19.7	23.4	21.2	10.2	9.6	5.8	1.7
8	–0.4	1.4	3.4	11.2	16.0	20.3	17.2	21.7	10.3	9.3	6.2	1.3
9	–0.6	1.1	5.0	12.4	16.1	22.0	18.6	22.2	10.0	9.9	5.3	0.5
0	–0.3	—	6.9	13.8	17.5	22.4	20.4	20.9	10.2	9.7	6.2	0.2
1	–0.0	—	8.5	—	17.9	—	21.7	18.7	—	7.7	—	0.7
Moyenne	0.9	0.3	5.1	8.9	14.9	19.1	22.4	20.6	13.3	9.8	4.0	1.5

Tableau 2. **Moyennes journalières à 100 cm**

	I	II	III	IV	V	VI	VII	VIII	IX	X	XI	XII
1	4.5	3.5	2.6	5.8	9.8	13.4	16.3	18.1	17.9	13.4	11.2	6.8
2	4.5	3.5	2.6	6.1	10.1	13.6	16.7	18.1	17.9	13.3	11.0	7.0
3	4.5	3.5	2.6	6.0	10.5	13.8	16.7	18.2	17.9	13.1	10.8	7.0
4	4.5	3.5	2.7	5.7	10.8	14.0	17.1	18.2	17.9	13.0	10.5	7.1
5	4.5	3.5	3.0	5.5	11.0	14.1	17.5	18.3	17.7	12.9	10.3	7.0
6	4.4	3.5	3.3	5.4	11.1	14.2	18.0	18.3	17.5	12.8	10.2	6.8
7	4.4	3.4	3.5	5.4	11.1	14.4	18.2	18.4	17.3	12.8	10.1	6.6
8	4.4	3.3	3.7	5.6	11.2	14.5	18.3	18.6	17.1	12.9	10.0	6.2
9	4.2	3.3	3.7	5.8	11.4	14.5	18.3	18.6	16.8	12.8	9.7	6.0
10	4.1	3.3	3.7	6.3	11.5	14.6	18.3	18.6	16.4	12.6	9.3	5.9
11	4.1	3.2	3.7	6.8	11.6	14.6	18.3	18.5	16.1	12.5	8.6	5.7
12	4.1	2.7	3.9	7.2	12.0	14.6	18.3	18.4	15.8	12.3	8.4	5.3
13	4.2	2.6	4.0	7.5	12.2	15.0	18.3	18.3	15.5	12.1	8.2	5.2
14	4.2	2.6	4.1	7.8	12.1	15.3	18.3	18.3	15.3	11.9	8.1	5.2
15	4.2	2.6	4.3	8.1	12.1	15.4	18.3	18.6	15.2	11.5	8.0	5.2
16	4.1	2.6	4.3	8.5	12.2	15.5	18.3	18.8	15.1	11.3	7.8	5.2
17	4.0	2.6	4.3	8.8	12.4	15.6	18.2	18.9	15.1	11.2	7.6	5.1
18	4.1	2.6	4.4	9.1	12.5	15.6	18.2	18.8	15.0	11.2	7.3	5.0
19	4.1	2.6	4.7	9.3	12.7	15.6	18.2	18.7	15.0	11.2	7.1	4.9
20	4.1	2.6	5.0	9.5	12.8	15.6	18.2	18.5	14.8	11.2	7.0	4.9
21	4.1	2.6	5.2	9.7	12.9	15.5	18.2	18.3	14.5	11.1	6.9	4.8
22	4.0	2.6	5.4	9.9	12.9	15.4	18.3	18.0	14.4	11.1	6.8	4.6
23	4.0	2.6	5.4	9.9	12.9	15.3	18.4	17.9	14.2	11.3	6.8	4.6
24	3.9	2.6	5.5	9.9	12.7	15.4	18.7	17.9	14.1	11.5	6.8	4.6
25	3.9	2.6	5.6	9.9	12.8	15.5	18.7	17.7	14.0	11.6	6.6	4.6
26	3.8	2.6	5.9	9.7	12.9	15.6	18.6	17.3	14.0	11.5	6.3	4.7
27	3.6	2.6	6.0	9.6	12.9	15.7	18.6	17.3	14.0	11.5	6.2	4.7
28	3.6	2.6	5.9	9.5	13.0	15.9	18.6	17.4	13.9	11.5	6.4	4.7
29	3.6	2.6	5.7	9.5	13.0	15.9	18.6	17.5	13.6	11.4	6.7	4.8
30	3.5	—	5.5	9.7	13.1	16.1	18.4	17.7	13.5	11.2	6.8	4.7
31	3.5	—	5.6	—	13.2	—	18.2	17.8	—	11.1	—	4.7
Moyenne	4.1	2.9	4.4	7.9	12.0	15.0	18.1	18.2	15.6	12.0	8.2	5.5

uations en 24 heures ne dépassent pas 0,4°. Hautfenne avait constaté pour sa part qu'une telle hausse ou baisse était déjà suspecte. Comme nous la trouvons de façon répétée et sans que des réglages intermédiaires des appareils aient été effectués, et qu'elles s'intègrent chaque fois de façon harmonieuse dans la courbe générale, nous avons considéré qu'elles étaient admissibles dans notre terrain. Il n'y a par conséquent pas lieu d'apporter de rectification aux chiffres bruts obtenus lors du dépouillement des bandes d'enregistrement.

Nous avons renoncé à calculer les moyennes glissantes, considérant que la comparaison des courbes résultant des valeurs journalières nous apportait davantage, même si leurs fluctuations sont plus prononcées. Nous donnons ces courbes réunies à la fig. 7. Nous leur avons adjoint la durée d'insolation, les précipitations recueillies, la température moyenne de l'air sous abri et l'épaisseur de la couche de neige.

Nous remarquons d'emblée un parallélisme étroit entre les courbes de la température de l'air et celles de la température du sol à 0, 2, 10 et 20 cm et cela pour toute l'année à l'exception de la période allant du 18 janvier au 1er mars. Cette période correspond en effet à une épaisse couverture de neige. Bien que les températures moyennes de l'air atteignent souvent —6°, la température du sol à 0 cm ne dépasse jamais —0,6°. Aux trois autres niveaux, elle n'atteint le point de congélation que deux jours durant (les 18 et 19 février).

Au niveau de 50 cm et de façon plus prononcée encore à celui de 100 cm, nous remarquons une forte atténuation de l'amplitude des variations thermiques. Les extrêmes se retrouvent cependant jusqu'à cette dernière profondeur, mais avec un retard qui est de 1 à 2 jours à 50 cm et de 2 à 4 jours pour 100 cm sur les extrêmes de 0 cm, 2, 10 et 20 cm qui, elles, sont simultanées.

Comme Hautfenne [1952, p. 58], nous constatons que les températures à 50 et 100 cm sont plus basses qu'aux niveaux supérieurs au printemps et en été, plus élevées en automne et en hiver. Nous ne trouvons par contre pas de seuil thermique entre 10 et 20 cm comme lui. Ceci s'explique vraisemblablement par le fait que le sol est beaucoup plus compact à Zurich qu'à Uccle et que le point d'influence thermique s'en trouve abaissé. D'après ce que nous disons plus haut, ce seuil doit se trouver chez nous entre 20 et 50 cm.

Heure	1^{30}	2^{30}	3^{30}	4^{30}	5^{30}	6^{30}	7^{30}	8^{30}	9^{30}	10^{30}	11^{30}	12^{30}	13^{30}	14^{30}	15^{30}	16^{30}	17^{30}	18^{30}	19^{30}	20^{30}	21^{30}	22^{30}	23^{30}	0^{30}
Mois																								
	Tableau 3. Moyennes horaires mensuelles à 0 cm																							
I	0.76	0.74	0.73	0.70	0.72	0.69	0.68	0.65	0.68	0.77	0.94	1.14	1.22	1.28	1.31	1.15	1.03	0.97	0.90	0.81	0.76	0.73	0.70	0.70
II	0.16	0.13	0.10	0.09	0.09	0.07	0.03	0.03	0.06	0.12	0.21	0.41	0.68	0.86	1.00	0.91	0.70	0.50	0.42	0.37	0.31	0.27	0.22	0.20
III	4.18	4.10	3.99	3.90	3.85	3.82	3.78	3.92	4.32	4.94	5.71	6.28	6.82	6.99	7.00	6.68	6.18	5.61	5.28	5.08	4.90	4.82	4.66	4.56
IV	—	—	—	—	—	—	—	—	—	—	—	—	—	—	—	—	—	—	—	—	—	—	—	—
V	13.27	13.07	12.88	12.74	12.66	12.81	13.00	13.86	14.66	15.21	16.18	17.35	18.23	18.31	17.73	17.02	16.66	16.06	15.42	14.85	14.49	14.17	13.85	13.62
VI	15.00	14.79	14.62	14.45	14.72	15.35	16.96	19.91	22.15	21.41	23.23	26.01	27.23	26.89	23.79	22.02	21.31	19.74	18.18	17.06	16.37	16.01	15.64	15.27
VII	17.48	17.24	16.98	16.81	16.87	17.62	18.94	22.16	24.80	24.52	28.02	31.76	32.84	32.81	29.53	25.51	24.84	23.38	21.30	19.85	19.15	18.75	18.35	17.92
VIII	16.62	16.41	16.26	16.13	15.94	16.35	17.12	18.84	20.25	22.56	25.60	29.65	30.92	30.45	28.62	23.49	22.80	20.82	18.96	18.12	17.48	17.25	16.99	16.89
IX	11.13	11.15	11.00	10.97	10.90	10.92	11.48	12.14	13.88	15.35	17.09	18.32	18.47	18.01	16.95	15.22	14.09	12.86	12.17	11.88	11.65	11.40	11.15	10.90
X	8.65	8.55	8.43	8.47	8.37	8.32	8.67	9.45	10.35	11.53	11.51	12.76	12.53	12.48	11.44	10.36	9.75	9.37	9.24	9.15	8.92	8.81	8.75	8.65
XI	3.38	3.41	3.37	3.34	3.33	3.32	3.25	3.48	3.96	4.50	5.19	5.46	5.54	5.36	4.76	4.27	4.02	3.84	3.83	3.68	3.65	3.60	3.55	3.45
XII	1.28	1.30	1.23	1.24	1.26	1.23	1.21	1.22	1.45	1.76	2.03	2.34	2.46	2.40	2.00	1.54	1.36	1.28	1.26	1.23	1.21	1.20	1.15	1.07
	Tableau 4. Moyennes horaires mensuelles à 2 cm																							
I	1.14	1.14	1.12	1.09	1.10	1.09	1.07	1.04	1.04	1.08	1.13	1.23	1.34	1.40	1.47	1.47	1.40	1.37	1.31	1.25	1.22	1.18	1.13	1.11
II	0.42	0.42	0.40	0.40	0.38	0.39	0.38	0.35	0.34	0.37	0.39	0.44	0.55	0.67	0.76	0.80	0.77	0.70	0.66	0.60	0.56	0.51	0.47	0.44
III	4.26	4.15	4.03	3.81	3.85	3.80	3.75	3.84	3.96	4.35	4.78	5.15	5.58	5.89	6.17	6.18	6.12	5.87	5.57	5.33	5.12	4.95	4.75	4.64
IV	9.33	9.12	8.98	8.83	8.69	8.60	8.56	8.72	9.27	10.09	10.92	11.62	12.14	12.37	12.31	12.15	12.04	11.76	11.31	10.90	10.60	10.25	9.95	9.70
V	14.00	13.69	13.41	13.16	12.97	12.92	13.01	13.49	14.53	15.81	17.10	18.30	19.07	19.42	19.36	18.84	18.45	17.83	17.13	16.33	15.77	15.28	14.81	14.47
VI	17.49	17.19	16.90	16.69	16.50	16.43	16.51	17.06	18.01	19.20	20.48	21.61	22.45	22.89	22.89	22.44	22.08	21.40	20.72	19.95	19.36	18.82	18.33	17.95
VII	20.64	20.25	19.90	19.61	19.38	19.31	19.34	19.75	20.70	22.03	23.43	24.76	25.84	26.29	26.40	25.77	25.39	24.84	24.00	23.22	22.50	21.93	21.42	21.05
VIII	18.86	18.54	18.35	18.17	17.94	17.83	17.85	17.99	18.72	19.91	21.00	22.27	23.29	23.69	23.76	23.28	23.03	22.44	21.65	20.91	20.24	19.79	19.42	19.14
IX	12.98	12.84	12.70	12.58	12.51	12.44	12.40	12.53	12.91	13.64	14.28	15.02	15.49	15.79	15.72	15.51	15.32	14.84	14.29	13.92	13.61	13.34	13.04	12.85
X	9.61	9.52	9.46	9.39	9.30	9.26	9.26	9.39	9.62	10.03	10.48	10.88	11.13	11.29	11.26	11.01	10.75	10.49	10.29	10.18	9.99	9.84	9.72	9.64
XI	4.28	4.24	4.21	4.19	4.16	4.14	4.12	4.14	4.27	4.42	4.67	4.92	5.09	5.20	5.17	5.00	4.86	4.77	4.67	4.59	4.53	4.46	4.39	4.30
XII	2.25	2.23	2.23	2.22	2.21	2.19	2.15	2.11	2.11	2.18	2.25	2.35	2.49	2.59	2.63	2.54	2.41	2.33	2.27	2.22	2.18	2.15	2.12	2.08
	Tableau 5. Moyennes horaires mensuelles à 10 cm																							
I	1.16	1.17	1.14	1.13	1.12	1.12	1.09	1.05	1.07	1.11	1.18	1.32	1.45	1.53	1.61	1.57	1.49	1.43	1.36	1.31	1.25	1.20	1.16	1.14
II	0.46	0.43	0.42	0.41	0.39	0.39	0.38	0.35	0.34	0.38	0.41	0.54	0.79	0.96	1.12	1.14	1.06	0.92	0.78	0.71	0.63	0.58	0.52	0.49
III	4.28	4.17	4.05	3.94	3.86	3.81	3.75	3.81	4.12	4.54	5.12	5.82	6.37	6.71	6.97	6.87	6.61	6.24	5.79	5.46	5.22	5.03	4.80	4.67
IV	9.34	9.11	8.98	8.81	8.65	8.59	8.53	8.72	9.33	10.19	10.90	11.46	11.98	12.44	12.55	12.40	12.24	11.87	11.33	10.87	10.50	10.22	9.93	9.69
V	13.97	13.66	13.37	13.13	12.97	12.91	12.99	13.49	14.45	15.77	16.99	18.01	18.49	18.72	18.65	18.41	18.06	17.52	16.91	16.20	15.61	15.17	14.72	14.41
VI	17.68	17.38	17.12	16.89	16.69	16.60	16.63	17.16	18.03	19.27	20.48	21.42	21.97	22.20	22.17	22.07	21.85	21.31	20.72	19.97	19.43	18.94	18.48	18.14
VII	20.55	20.21	19.90	19.64	19.43	19.35	19.36	19.61	20.24	21.35	22.40	23.36	23.96	24.28	24.46	24.43	24.25	23.85	23.31	22.68	22.11	21.62	21.21	20.90
VIII	18.93	18.64	18.43	18.26	18.04	17.93	17.91	18.01	18.65	19.59	20.42	21.20	21.76	22.05	22.28	22.29	22.12	21.71	21.27	20.74	20.16	19.78	19.41	19.18
IX	13.32	13.19	13.04	12.94	12.87	12.78	12.70	12.79	13.03	13.53	13.99	14.61	15.18	15.66	15.78	15.72	15.51	15.04	14.59	14.23	13.92	13.68	13.42	13.20
X	9.86	9.77	9.72	9.64	9.56	9.51	9.46	9.56	9.73	10.07	10.44	10.81	11.12	11.30	11.37	11.21	10.99	10.73	10.57	10.41	10.28	10.12	9.98	9.89
XI	4.52	4.47	4.46	4.43	4.40	4.37	4.34	4.35	4.45	4.57	4.75	4.99	5.16	5.30	5.31	5.19	5.08	4.99	4.90	4.81	4.75	4.66	4.60	4.54
XII	2.41	2.40	2.37	2.35	2.36	2.34	2.33	2.29	2.29	2.34	2.39	2.47	2.61	2.71	2.75	2.69	2.61	2.51	2.46	2.42	2.36	2.34	2.30	2.25

Heure	1^{30}	2^{30}	3^{30}	4^{30}	5^{30}	6^{30}	7^{30}	8^{30}	9^{30}	10^{30}	11^{30}	12^{30}	13^{30}	14^{30}	15^{30}	16^{30}	17^{30}	18^{30}	19^{30}	20^{30}	21^{30}	22^{30}	23^{30}	0^{30}
Mois	**Tableau 6. Moyennes horaires mensuelles à 20 cm**																							
I	1.21	1.21	1.17	1.16	1.15	1.15	1.11	1.10	1.10	1.10	1.11	1.17	1.25	1.33	1.41	1.45	1.44	1.41	1.36	1.32	1.28	1.24	1.20	1.18
II	0.46	0.44	0.43	0.42	0.41	0.41	0.40	0.36	0.35	0.37	0.39	0.40	0.51	0.61	0.76	0.82	0.86	0.81	0.75	0.71	0.65	0.59	0.52	0.50
III	4.35	4.27	4.16	4.06	3.96	3.91	3.85	3.83	3.87	4.06	4.28	4.62	4.95	5.32	5.66	5.85	5.83	5.78	5.57	5.38	5.18	5.03	4.84	4.74
IV	9.39	9.17	9.04	8.87	8.71	8.61	8.55	8.56	8.76	9.15	9.61	10.13	10.50	10.84	11.11	11.24	11.24	11.17	10.95	10.68	10.46	10.21	9.95	9.73
V	14.26	13.99	13.72	13.54	13.36	13.19	13.16	13.23	13.54	14.17	14.92	15.75	16.47	16.99	17.30	17.36	17.24	17.00	16.71	16.23	15.74	15.37	14.97	14.68
VI	17.85	17.59	17.34	17.13	16.92	16.77	16.68	16.78	17.07	17.69	18.35	19.10	19.81	20.29	20.66	20.81	20.82	20.60	20.30	19.87	19.42	18.96	18.58	18.26
VII	20.82	20.49	20.22	19.98	19.74	19.60	19.49	19.53	19.76	20.31	20.95	21.67	22.30	22.88	23.29	23.43	23.46	23.34	23.02	22.66	22.18	21.78	21.42	21.11
VIII	19.15	18.91	18.71	18.51	18.34	18.22	18.10	18.08	18.28	18.71	19.32	19.95	20.58	21.04	21.33	21.46	21.49	21.43	21.20	20.78	20.29	19.93	19.58	19.32
IX	13.76	13.49	13.34	13.26	13.19	13.09	12.95	12.95	13.02	13.26	13.50	13.88	14.31	14.70	15.00	15.08	15.11	14.94	14.67	14.39	14.13	13.93	13.67	13.51
X	9.94	9.89	9.84	9.76	9.66	9.59	9.55	9.57	9.61	9.82	9.98	10.24	10.52	10.73	10.86	10.87	10.77	10.65	10.53	10.43	10.27	10.16	10.02	9.97
XI	4.63	4.58	4.56	4.52	4.51	4.48	4.45	4.42	4.48	4.55	4.63	4.76	4.90	5.04	5.12	5.11	5.04	4.95	4.92	4.84	4.81	4.74	4.68	4.62
XII	2.42	2.40	2.37	2.36	2.36	2.34	2.33	2.29	2.27	2.31	2.33	2.35	2.43	2.51	2.58	2.58	2.55	2.48	2.44	2.40	2.35	2.32	2.30	2.27
	Tableau 7. Moyennes horaires mensuelles à 50 cm																							
I	2.76	2.76	2.74	2.73	2.74	2.75	2.75	2.74	2.73	2.74	2.74	2.73	2.73	2.72	2.72	2.70	2.70	2.70	2.69	2.72	2.71	2.71	2.70	2.71
II	1.72	1.72	1.71	1.72	1.72	1.74	1.73	1.72	1.72	1.73	1.73	1.73	1.73	1.72	1.72	1.72	1.72	1.72	1.72	1.72	1.72	1.71	1.70	1.70
III	4.56	4.58	4.59	4.60	4.60	4.61	4.60	4.59	4.60	4.61	4.60	4.59	4.57	4.55	4.56	4.55	4.55	4.56	4.58	4.61	4.64	4.67	4.69	4.71
IV	9.06	9.08	9.06	9.06	9.08	9.10	9.09	9.09	9.09	9.09	9.08	9.05	9.03	8.99	8.99	8.98	9.02	9.04	9.07	9.10	9.15	9.20	9.21	9.21
V	13.92	13.92	13.93	13.94	13.93	13.94	13.91	13.90	13.89	13.88	13.84	13.79	13.75	13.75	13.74	13.75	13.78	13.81	13.86	13.90	13.94	13.98	13.99	14.00
VI	17.16	17.17	17.18	17.20	17.20	17.21	17.18	17.16	17.14	17.12	17.07	17.02	16.97	16.97	16.97	16.97	17.01	17.06	17.10	17.14	17.19	17.21	17.23	17.25
VII	20.31	20.31	20.31	20.31	20.29	20.28	20.26	20.23	20.20	20.16	20.11	20.08	20.05	20.05	20.06	20.06	20.10	20.14	20.18	20.22	20.27	20.29	20.31	20.33
VIII	19.45	19.46	19.47	19.48	19.48	19.48	19.45	19.42	19.39	19.37	19.33	19.29	19.28	19.26	19.25	19.24	19.25	19.27	19.30	19.33	19.36	19.40	19.45	19.48
IX	15.32	15.32	15.33	15.33	15.33	15.31	15.27	15.25	15.23	15.21	15.17	15.13	15.09	15.07	15.05	15.03	15.03	15.03	15.04	15.04	15.06	15.08	15.16	15.24
X	11.29	11.28	11.27	11.27	11.27	11.27	11.23	11.22	11.21	11.21	11.20	11.18	11.17	11.16	11.15	11.15	11.16	11.17	11.18	11.19	11.21	11.25	11.28	11.30
XI	6.62	6.62	6.62	6.62	6.62	6.63	6.59	6.58	6.58	6.58	6.57	6.55	6.52	6.51	6.50	6.48	6.48	6.49	6.51	6.53	6.54	6.56	6.58	6.61
XII	4.04	4.04	4.04	4.04	4.04	4.03	4.03	4.03	4.03	4.02	4.01	3.99	3.98	3.97	3.96	3.95	3.94	3.93	3.93	3.94	3.94	3.98	4.02	4.05
	Tableau 8. Moyennes horaires mensuelles à 100 cm																							
I	4.10	4.10	4.08	4.08	4.08	4.10	4.10	4.08	4.09	4.09	4.08	4.08	4.08	4.08	4.09	4.07	4.07	4.06	4.06	4.06	4.06	4.06	4.05	4.06
II	2.92	2.93	2.92	2.92	2.91	2.91	2.91	2.91	2.91	2.91	2.91	2.91	2.91	2.90	2.90	2.90	2.90	2.90	2.90	2.90	2.90	2.90	2.89	2.88
III	4.33	4.32	4.33	4.34	4.35	4.36	4.37	4.37	4.37	4.38	4.39	4.39	4.39	4.39	4.39	4.39	4.40	4.41	4.40	4.40	4.41	4.42	4.43	4.42
IV	7.82	7.82	7.82	7.82	7.85	7.87	7.88	7.90	7.92	7.93	7.94	7.94	7.93	7.93	7.93	7.93	7.93	7.94	7.94	7.95	7.96	7.97	7.96	7.96
V	11.95	11.96	11.97	11.98	11.99	12.00	12.00	12.03	12.06	12.08	12.08	12.07	12.06	12.06	12.06	12.06	12.07	12.07	12.07	12.07	12.07	12.07	12.05	12.00
VI	14.93	14.94	14.95	14.96	14.97	14.98	14.99	15.00	15.01	15.02	15.01	15.00	14.99	15.00	15.00	15.00	15.01	15.03	15.03	15.03	15.03	15.04	15.00	14.96
VII	18.06	18.06	18.07	18.08	18.08	18.09	18.10	18.11	18.11	18.12	18.12	18.12	18.12	18.12	18.12	18.12	18.12	18.11	18.11	18.11	18.11	18.11	18.09	18.07
VIII	18.19	18.19	18.19	18.19	18.20	18.20	18.20	18.20	18.20	18.20	18.20	18.19	18.19	18.19	18.19	18.19	18.19	18.20	18.20	18.20	18.20	18.19	18.19	18.19
IX	15.62	15.62	15.62	15.62	15.62	15.63	15.63	15.62	15.62	15.61	15.60	15.58	15.57	15.56	15.56	15.55	15.53	15.52	15.51	15.50	15.49	15.51	15.55	15.59
X	12.00	12.00	12.00	12.00	11.99	11.99	11.98	11.98	11.99	11.99	11.97	11.95	11.94	11.93	11.93	11.92	11.92	11.93	11.93	11.93	11.93	11.95	11.97	11.99
XI	8.32	8.31	8.29	8.27	8.27	8.26	8.26	8.26	8.27	8.28	8.25	8.23	8.21	8.20	8.20	8.20	8.20	8.20	8.20	8.20	8.21	8.24	8.28	8.30
XII	5.50	5.50	5.50	5.49	5.49	5.48	5.48	5.48	5.48	5.48	5.48	5.48	5.48	5.47	5.47	5.46	5.45	5.44	5.44	5.44	5.45	5.46	5.47	5.49

Si nous considérons maintenant l'évolution diurne de la température, nous remarquons également un retard du maximum avec la profondeur. Ce retard est en moyenne de une heure et quart de 0 à 2 cm, d'une demi-heure de 2 à 10 cm et de une heure et quarante minutes de 10 à 20 cm. Comme nous l'avons vu au paragraphe précédent, ce retard dépasse vingt-quatre heures de 20 à 50 cm et s'amplifie encore de 50 à 100 cm.

Nous renonçons à la publication des courbes de l'évolution diurne de la température au cours des différents mois et à chacun des niveaux examinés. Nous aimerions cependant ajouter en commentaire au tableau 3 ci-dessus que l'inflexion de la courbe qu'on y constate à 10 h. 30 et à 16 h. 30 durant les mois de mai, juin, juillet et août, provient d'une ombre portée à ce moment-là par le cadre soutenant le treillis de protection sur l'élément de mesure. (Ce défaut a été corrigé depuis par une translation du cadre. Cette erreur sera donc éliminée dans les chiffres que nous publierons à l'avenir.)

F. Comparaison des lectures et des enregistrements

Avant d'équiper de façon définitive les stations de météorologie, nous avons procédé à la comparaison des valeurs obtenues par les deux systèmes de mesure. A cet effet, nous avons placé en terre un thermomètre à mercure du type usuel à côté de chacune des résistances enfouies à 2, 10, 20 et 50 cm. Ces thermomètres furent lus à 8 h. et à 18 h. tous les jours durant l'année 1952. Lors du dépouillement des bandes, nous avons extrait, en plus des valeurs horaires examinées ci-dessus, les valeurs correspondant aux heures de lecture des thermomètres. Ainsi, dans les comparaisons qui suivent, n'avons-nous pas été obligés de procéder à des extrapolations qui auraient apporté une certaine incertitude.

Pour cette comparaison, nous avons calculé la différence existant entre la lecture au thermomètre et l'enregistrement. Si la lecture était supérieure, la valeur obtenue était donc positive; dans le cas contraire, négative.

Nous donnons ci-dessous les valeurs moyennes obtenues pour chaque mois, le matin et le soir (tabl. 9).

Tableau 9. **Moyennes mensuelles des différences entre les lectures et les enregistrements**

Mois	Matin				Soir			
	2 cm	10 cm	20 cm	50 cm	2 cm	10 cm	20 cm	50 cm
I	0.16	0.41	—	0.45	0.12	0.30	—	0.46
II	0.18	0.43	—	0.48	0.24	0.09	—	0.51
III	0.55	0.79	1.05	0.50	0.66	–0.31	–0.39	0.59
IV	0.64	0.85	1.23	0.48	0.51	–0.23	–0.76	0.59
V	0.42	0.65	1.01	0.21	–1.61	–1.45	–1.77	0.55
VI	0.21	0.19	0.76	–0.08	–1.70	–2.01	–2.44	0.14
VII	0.28	0.50	0.86	0.18	–2.35	–1.46	–2.08	0.20
VIII	0.55	0.80	1.29	0.25	–1.14	–0.68	–1.21	0.40
IX	0.71	0.95	1.67	0.50	0.26	–0.02	0.05	0.64
X	0.45	0.67	1.15	0.52	0.43	0.14	0.32	0.54
XI	0.46	0.64	1.39	0.59	0.40	0.40	0.84	0.63
XII	0.20	0.29	0.98	0.40	0.14	0.18	0.72	0.47

On est frappé par l'ampleur des écarts, qui ne peuvent provenir d'erreurs de lecture, car les quelques valeurs qui s'écartaient sporadiquement de la courbe générale furent éliminées avant qu'il soit procédé aux calculs de moyennes.

On est également frappé par le fait que, à l'exception d'une seule (juin 50 cm), toutes les valeurs mensuelles du matin sont positives, ce qui signifie que les lectures faites au thermomètre à 8 h. sont pratiquement toujours supérieures à celles qui sont enregistrées par l'appareil.

A 18 h., en revanche, les fluctuations sont non seulement beaucoup plus marquées, mais durant tout l'été, d'avril à septembre, les lectures sont plus basses que les enregistrements, sauf à 50 cm où elles sont plus élevées.

Comme il ne s'agit pas là de quantités négligeables, mais de valeurs oscillant entre —2,4 et +1,7 pour les moyennes mensuelles et entre —4,3 et +3,2 pour les valeurs journalières, il nous a paru nécessaire d'examiner la chose de plus près et, si possible, de l'expliquer.

Voyons donc tout d'abord si les zones de dispersion, c'est-à-dire les valeurs extrêmes de chaque mois, peuvent nous donner une indication sur les causes probables de ces fluctuations (fig. 8).

Cette figure montre que si la zone de dispersion s'étend de façon à peu près équivalente de part et d'autre de la moyenne, elle est beaucoup plus large en été qu'en hiver et le soir que le matin. Ce qui frappe, c'est que la dispersion augmente légèrement de 0 à 20 cm pour diminuer rapidement ensuite. La première de ces deux constatations nous laisse à penser que la cause de ces différences ne réside pas dans une influence directe du rayonnement, car dans ce cas elle devrait diminuer progressivement avec la profondeur. Outre cette constatation qui n'a, elle-même, rien d'absolu, cette première étude ne nous apporte aucune autre indication.

Nous avons alors mis les valeurs moyennes des différences en relation avec les éléments météorologiques qui nous paraissaient pouvoir avoir une influence, comme la durée d'insolation, la température, les précipitations et la nébulosité (fig. 9).

Pas plus que la précédente, cette manière de faire n'apporte de solution au problème posé. Il se trouve par exemple un décalage inexplicable entre le maximum de l'insolation et de la température (juillet) et le minimum des différences (juin), pour ne citer que le parallélisme qui, à première vue, semble le plus probable.

Même la composition de deux ou plusieurs de ces facteurs avec des poids variables ne donne aucun résultat utile.

Abandonnons maintenant les moyennes mensuelles pour examiner au jour le jour le comportement de nos courbes. L'examen de l'année entière nous conduirait trop loin; aussi nous contenterons-nous de montrer une première constatation au moyen du mois de mai. Ce mois est approximativement un moyen terme quant aux valeurs moyennes, tout en présentant d'assez fortes fluctuations d'un jour à l'autre (fig. 10). Sur ce diagramme nous avons reporté les différences thermiques aux quatre niveaux considérés, la durée d'insolation, la somme des précipitations et la température sous abri à 2 m du sol tirée des courbes du thermographe.

On est d'emblée frappé par le fait qu'à une chute de la température correspond (sauf le 12 au matin) une hausse de la différence, c'est-à-dire qu'il semble que lors

que la température de l'air baisse, l'enregistrement suit plus rapidement le mouvement que les thermomètres à mercure. L'inverse se vérifie également, quoique de façon moins marquée.

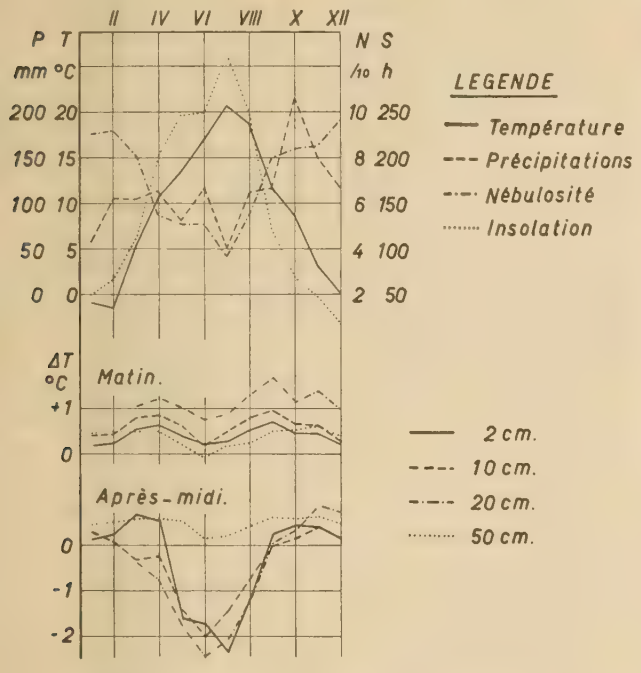

Fig. 9
Différences moyennes et éléments météorologiques

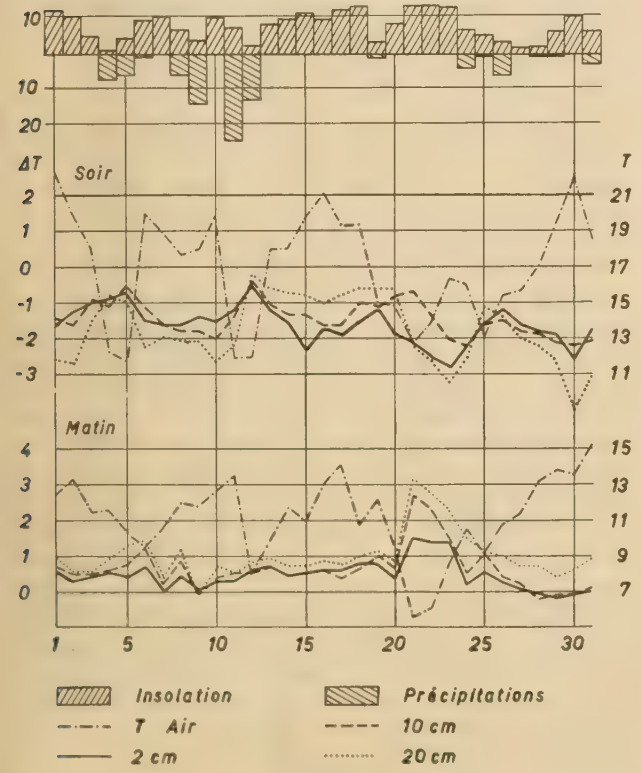

Fig. 10
Mai 1952

Nous avons signalé une anomalie le 12 au matin. Or, un examen des courbes thermiques montre que lorsque la lecture a été faite ce jour-là, la température de l'air avait juste atteint son minimum de la nuit, tandis que les autres jours de ce même mois le minimum était atteint trois à quatre heures avant la lecture. Si une relation étroite existe réellement entre les fluctuations de la température de l'air et la différence entre les lectures et les enregistrements, un décalage de l'heure du minimum nocturne suffirait à expliquer l'anomalie signalée.

Plaçons encore les lectures en relation avec les enregistrements de la température dans le sol. Nous avons pour cela choisi les deux exemples cités plus haut, soit d'une part les 20 et 21 mai où, à une forte baisse de la température de l'air, correspond un maximum des différences, lecture moins enregistrements (fig. 11), et les 10, 11 et 12, d'autre part où, dans des conditions semblables de l'air, le maximum des différences fait défaut (fig. 12).

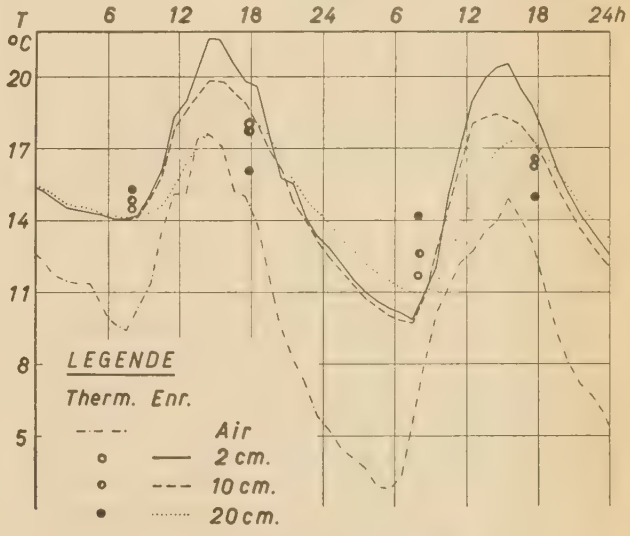

Fig. 11
Courbes des 20 et 21 mai 1952

En considérant les figures 11 et 12, on est frappé de voir que les points figurant les lectures, bien que situés de part et d'autre des courbes d'enregistrement, s'y intègrent parfaitement. En effet, si l'on admet une inertie

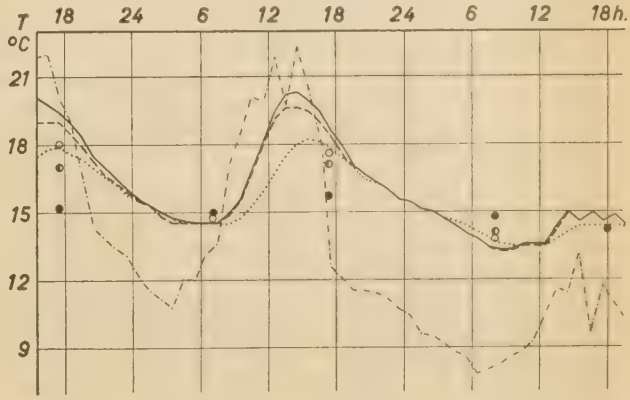

Fig. 12
Courbes des 10, 11 et 12 mai 1952. (Légende voir fig. 11)

de l'appareil enregistreur, on aurait un retard de la courbe enregistrée de 2 heures environ pour les niveaux de 2 et 10 cm et de 3 à 4 heures pour celui de 20 cm.

Or, une inertie instrumentale devrait être à peu près égale à tous les niveaux.

Nous avons d'autre part constaté dans un travail antérieur (Primault [1951]) que lors d'une chute de grêle, les courbes thermiques enregistrées dans le sol réagissaient immédiatement à l'arrivée de l'eau de fonte. Une inertie de l'enregistreur est donc peu probable.

Admettons donc que l'inertie se trouve, pour des raisons que nous chercherons à expliquer plus loin, aux thermomètres à mercure. Nous avons dans ce cas un retard de la lecture sur l'enregistrement de 6 heures environ et *cela aux trois niveaux considérés.* Prenons d'autre part un exemple provenant d'une autre saison de l'année, soit les 28 et 29 novembre (fig. 13).

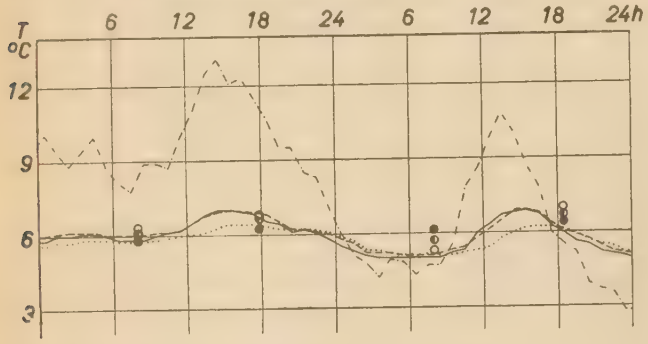

Fig. 13
Courbes des 28 et 29 novembre 1952. (Légende voir fig. 11)

Nous avons ici également une baisse sensible de la température de l'air, mais pas de maximum marqué des différences. En raison des points de l'après-midi du 29, nous sommes de nouveau tentés d'admettre une inertie des thermomètres plutôt qu'une inertie de l'enregistreur.

Un examen des courbes de moyennes mensuelles démontre également un retard à peu près constant de la lecture sur l'enregistrement, retard de l'ordre de 5 à 6 heures. Si l'on admettait, en revanche, que les points de la lecture se trouvaient le matin sur la branche ascendante de la courbe, le retard de l'enregistrement sur la lecture varierait alors au cours de l'année de 24 à 200 minutes pour un même niveau (10 cm le matin), sans qu'il y ait de régularité dans la fluctuation.

Afin de serrer le problème de plus près, nous avons procédé les 28 et 29 mai 1954 à des lectures toutes les demi-heures durant 28 heures consécutives et nous avons mis ces valeurs en relation avec les enregistrements correspondants (fig. 14).

La figure 14 montre de façon saisissante les différences existant entre les valeurs indiquées par les deux instruments. Se basant sur le fait que les thermomètres à mercure sont utilisés avec succès dans les mesures de températures de l'air, d'aucuns objecteront que notre appareil enregistreur, et partant la mesure par des résistances électriques, est inadéquat.

Examinons à la lumière de la figure 14 les objections possibles à notre appareillage:

a) *Traînage:* Si l'inertie thermique des résistances dépassait celle des thermomètres à mercure, l'amplitude des courbes et l'heure des extrêmes en seraient inverties. Comme, d'une part, les amplitudes de l'enregistrement sont plus fortes que celles des thermomètres à mercure, et comme, d'autre part, le maximum journalier y est atteint plus tôt, la preuve est faite que la vitesse de réaction de notre appareillage est plus grande que celle des thermomètres à mercure.

b) *Mauvais étalonnage:* Dans le cas où l'écart de l'appareil correspondant à un degré ne serait pas exact, les variations au-dessus et au-dessous de la courbe des thermomètres à mercure devraient être proportionnelles à la température. D'autre part, les intersections de deux courbes correspondantes devraient se produire à la même température. Or, ce n'est nullement le cas. Enfin, les extrêmes des deux courbes devraient alors être simultanés.

c) *Décalage de l'origine:* Les températures indiquées sont ou trop hautes ou trop basses, mais diffèrent alors toujours de la même valeur et les courbes correspondantes sont parallèles.

Même si l'on admet que deux des défauts signalés, ou même les trois, interviennent simultanément dans notre cas, les courbes ne correspondront jamais à celles que nous avons obtenues.

De ce qui précède, et comme les divergences sont approximativement proportionnelles à la durée d'insolation maximum possible, il nous faut conclure que le traînage et les imprécisions proviennent des thermomètres à mercure et chercher à en expliquer la cause.

De par la construction même des thermomètres utilisés, il existe une colonne d'air autour du tube capillaire entre l'échelle de lectures et le récipient de mercure. Cet air peut apporter une certaine modification des valeurs par sa température propre qui est influencée par les couches de terrain traversées par le tube.

D'autre part, par temps de pluie, une certaine quantité d'eau s'écoule le long du verre, entraînant les fines particules de terre vers le bas. Il se forme alors tout le long du tube un coussin d'air ou d'eau et le thermomètre n'est alors maintenu en place que par les particules de grande dimension, c'est-à-dire que le contact n'est établi qu'en certains points. Il en résulte que ce manchon d'air, qui se trouve aussi bien autour du réservoir que le long du tube, fait l'effet d'un tampon aux fluctuations thermiques et provoque ainsi un traînage marqué et une réduction des amplitudes. On obtient ainsi non pas la température du sol, mais celle de ce manchon d'air. Pour vérifier cette théorie, nous avons examiné les différences constatées en 1952 en relation avec les précipitations. Il en résulte que si des précipitations sont tombées de façon assez abondante (plus de 3 mm) et n'ont cessé que moins de six heures avant l'observation, la différence est minime. On peut alors admettre que l'espace est rempli d'eau ou de fine terre mouillée qui adhère au verre. Il s'ensuit que le contact thermique est excellent. D'autre part, plus la nébulosité est faible plus les différences entre les lectures et les enregistrements sont grandes, ce qui viendrait confirmer notre hypothèse de la présence d'un coussin d'air.

Un tel défaut ne se produit pas avec les résistances, celles-ci étant introduites horizontalement dans notre cas. Si, en revanche, on les introduisait verticalement, on risquerait d'obtenir les mêmes divergences.

Des essais faits au laboratoire ont en outre démontré que notre sol adhère mieux au plomb qu'au verre et que si on laisse sécher une colonne de terre dans un tube de verre, elle s'en détache sur tout son pourtour. Ces deux essais viennent, eux aussi, confirmer notre idée.

Il en résulte que l'usage de thermomètres à mercure n'est pas indiqué pour les mesures de température dans le sol et qu'il en est de même, par analogie, mais dans de moindres proportions, de résistances mises en place *verticalement.*

G. Heures de lecture

Nous avons vu plus haut que nous ne pouvions demander à nos observateurs des lectures fréquentes. Il était dès lors indiqué de déterminer, sur la base des enregistrements, les heures les plus favorables pour les lectures, afin que la moyenne de deux observations faites, une le matin et une le soir, donne une valeur très rapprochée de la moyenne du jour.

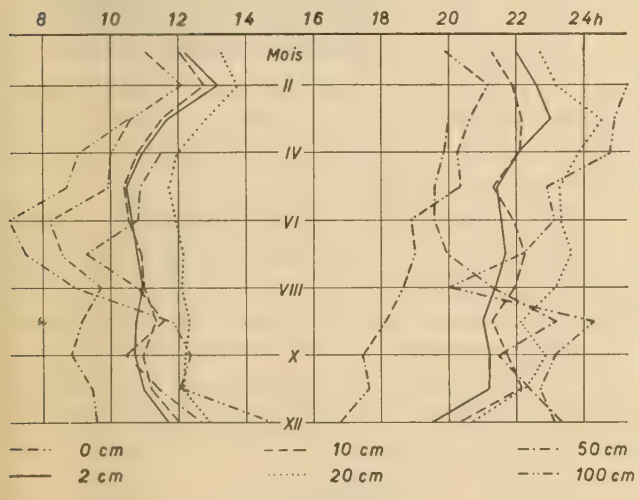

Fig. 15
Heure du franchissement de la moyenne journalière

Nous avons tout d'abord établi à quelle heure la moyenne journalière était franchie par la courbe mensuelle (fig. 15). Cette figure nous montre que ce moment varie d'un niveau et d'un mois à l'autre. Pour suivre cette courbe, il serait nécessaire d'imposer aux observateurs des horaires différenciés par mois et par niveaux, ce qui compliquerait la besogne à l'extrême.

Sur la base des relevés horaires effectués à l'enregistreur durant l'année 1952, voyons chaque mois l'erreur commise en prenant la moyenne des lectures à 8 h. et 18 h., par rapport à la moyenne de 24 relevés horaires (tabl. 10).

Le tableau 10 nous montre que les erreurs maximums sont de $\pm 0{,}1°$, c'est-à-dire dans les limites de l'exactitude des appareils. On peut par conséquent les tenir pour négligeables.

Les deux moments de la journée mentionnés (8 h. et 18 h.) proviennent de divers essais et s'intègrent judicieusement dans les occupations accessoires de nos observateurs.

H. Conséquences pratiques

Pour acquérir une connaissance des fluctuations thermiques dans le sol, une année d'étude et une seule station d'observations sont insuffisantes. En effet, non seulement le degré d'insolation, mais et peut-être plus encore la composition du sol jouent un rôle capital. Ces mesures devant d'autre part servir à élucider les problèmes de germination et de croissance des plantes cultivées, le degré de préparation du terrain (labourage, hersage, etc.) est important non seulement pour le degré d'humidité du sol (problème que nous n'avons pas effleuré ici), mais également pour sa conductibilité thermique. On remarque en effet qu'un champ labouré se couvre plus facilement de gelée blanche qu'un champ en jachère et cela par suite de la rupture du contact entre les couches supérieures et celles qui sont au-dessous. Par suite du rayonnement superficiel, la déperdition de chaleur est très forte en surface et son remplacement par un apport d'en bas ne peut alors se faire.

Il est donc urgent, dans un pays comme le nôtre, d'augmenter le nombre de stations d'observations.

Des considérations financières nous interdisent de placer des appareils enregistreurs en chacun des points intéressants.

Tableau 10. **Erreurs produites par l'heure de lecture**

$$A = \frac{0^1/_2 + 1^1/_2 + 2^1/_2 + \ldots\ldots + 23^1/_2}{24} \qquad B = \frac{7^1/_2 + 8^1/_2 + 17^1/_2 + 18^1/_2}{4} \qquad \Delta = A - B$$

Mois	2 cm			10 cm			20 cm			50 cm			100 cm		
	A	B	Δ	A	B	Δ	A	B	Δ	A	B	Δ	A	B	Δ
I	1.20	1.22	−0.02	1.26	1.26	0.00	1.23	1.26	−0.03	2.73	2.72	0.01	4.08	4.08	0.00
II	0.51	0.55	−0.04	0.61	0.67	−0.06	0.54	0.60	−0.06	1.72	1.72	0.00	2.91	2.91	0.00
III	4.83	4.89	−0.06	5.09	5.12	−0.03	4.72	4.82	−0.10	4.60	4.58	0.02	4.38	4.38	0.00
IV	10.34	10.27	0.07	10.36	10.34	0.02	9.86	9.88	−0.02	9.08	9.06	0.02	7.91	7.91	0.00
V	15.80	15.70	0.10	15.61	15.51	0.10	15.12	15.15	−0.03	13.86	13.86	0.00	12.03	12.04	−0.01
VI	19.31	19.26	0.05	19.28	19.24	0.04	18.65	18.72	−0.07	17.11	17.12	−0.01	14.99	15.01	−0.02
VII	22.41	22.33	0.08	21.77	21.77	0.00	21.39	21.45	−0.06	20.20	20.20	0.00	18.10	18.11	−0.01
VIII	20.34	20.33	0.01	19.95	19.89	0.06	19.70	19.77	−0.07	19.36	19.36	0.00	18.20	18.20	0.00
IX	13.77	13.77	0.00	13.95	14.01	−0.06	13.88	13.98	−0.10	15.17	15.15	0.02	15.58	15.58	0.00
X	10.07	9.97	0.10	10.25	10.19	0.06	10.13	10.13	0.00	11.21	11.20	0.01	11.96	11.98	−0.02
XI	4.53	4.48	0.05	4.72	4.70	0.02	4.72	4.72	0.00	6.56	6.54	0.02	8.24	8.23	0.01
XII	2.27	2.26	0.02	2.43	2.43	0.00	2.39	2.41	−0.02	3.99	3.98	0.01	5.47	5.46	0.01
Max			0.10			0.10			−0.10			0.02			−0.02

Nous avons montré que la moyenne obtenue par deux lectures effectuées à 8 h. et à 18 h. correspondait à celle de l'enregistrement et était entachée d'une erreur n'excédant pas la précision instrumentale. Des comparaisons peuvent donc se faire entre les valeurs obtenues en divers points du pays au moyen de lectures faites à ces deux moments de la journée.

Des thermomètres à mercure et des résistances mises en place verticalement sont impropres à des mesures de température dans le sol.

I. Résumé

1. Pour avoir une idée de l'évolution des températures dans le sol en Suisse, il est important d'avoir plusieurs stations de mesure, vu la diversité des climats et des terrains qu'on y rencontre.

2. L'échauffement produit en surface par l'insolation pénètre lentement dans le sol et se fait sentir avec un retard atteignant 96 heures au niveau de 100 cm.

3. Les lectures faites par le moyen de thermomètres à mercure ne correspondent pas à la température exacte du sol. Le décalage et la plus faible amplitude de la courbe sont dus au coussin d'air contenu dans le tube et entourant le réservoir de mercure.

4. L'équipement idéal des stations d'observation serait l'appareil enregistreur. Il peut être remplacé par un pont de Wheatstone basé sur le même principe.

5. La moyenne de deux lectures faites à 8 h. et à 18 h. correspond à celle de vingt-quatre lectures horaires. L'erreur commise ne dépasse pas, dans ce cas, l'erreur instrumentale.

BIBLIOGRAPHIE

Arlery R. et Dumont A.P.: Comparaison des températures mini mums au sol et sous abri. La Météorologie, Juillet—Septembre 1949.

Baier W.: Ergebnisse von Bodentemperaturmessungen. Berichte des deutschen Wetterdienstes in der US-Zone. Nr. 38. Bad Kissingen 1952.

Brazier C.E.: Contribution à l'étude des variations de la température du sol dans la région parisienne. Soixante-septième Congrès des Sociétés savantes. 1934.

Eblé L.: Etude expérimentale de la propagation de la chaleur dans le sol. La Météorologie, Juillet—Septembre 1946.

Geslin H.: Bioclimatologie et recherches agronomiques (avec une bibliographie). Ann. agron. Paris 1937, pp. 728—773.

Hautfenne M.: Une année d'enregistrement continu de la température du sol. Institut royal météorologique de Belgique. Mémoire Vol. L. Bruxelles 1952.

Keränen J.: On Frost formation in soil. Fennia 73. N° 1. Helsingforsiae 1951.

Nicolet M.: Sur la mesure des températures au voisinage du sol Institut royal de météorologie de Belgique. Miscellanées, Fasc XXXVIII, 1949.

Primault B.: Les averses orageuses et leurs répercussions sur la température du sol. Le Sillon Romand, Lausanne, 3 août 1951

Raabe E.W. et Kohn H.L.: Über Temperaturverhältnisse von Kahlschlag und Wald. Meteorologische Rundschau. 3. Jahrg. Heft 1/2 Januar/Februar 1950.

Richard F.: Physikalische Bodeneigenschaften natürlich gelagerter Rißmoränewaldböden unter verschiedener Bestockung. Journal forestier suisse. 104e année N° 4/5. Avril/Mai 1953.

Searle S. A.: The measurement of plant Climate. Chichester Chichester Press, 1953. pp. 36.

Vandenplas A.: Comparaison des températures minima sous abri et des températures minima au voisinage immédiat du sol en vue de la prévision des gelées au sol pendant la période de la récolte des betteraves sucrières. Institut royal météorologique de Belgique. Miscellanées Fasc. XLI, 1951.

Weger N.: Bodentemperaturen in Beeten verschiedener Form und Richtung. Meteorologische Rundschau. 2. Jahrgang. Heft 9/10 September/Oktober 1949.

Zenker H.: Singularitäten der Erdbodentemperatur in Halle/Saale Zeitschrift für Meteorologie. Band 7. Heft 8. Berlin, August 1953

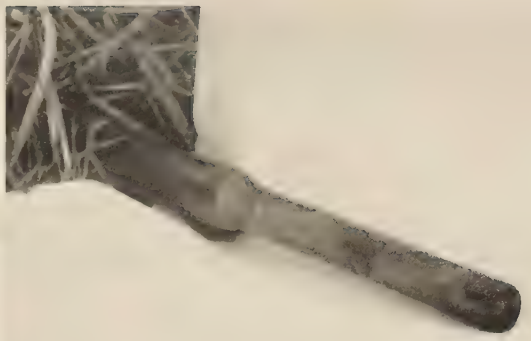

Fig. 2

Vue d'une résistance de mesure

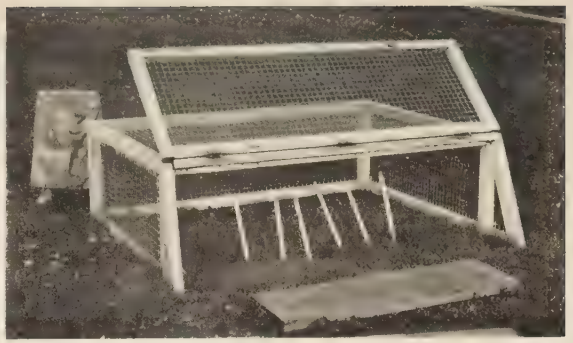

Fig. 5

Série de thermomètres à mercure pour la mesure des températures dans le sol

Fig. 4

Vue d'ensemble de l'appareil enregistreur

Fig. 6

Col d'un des thermomètres à mercure montrant les deux renflements

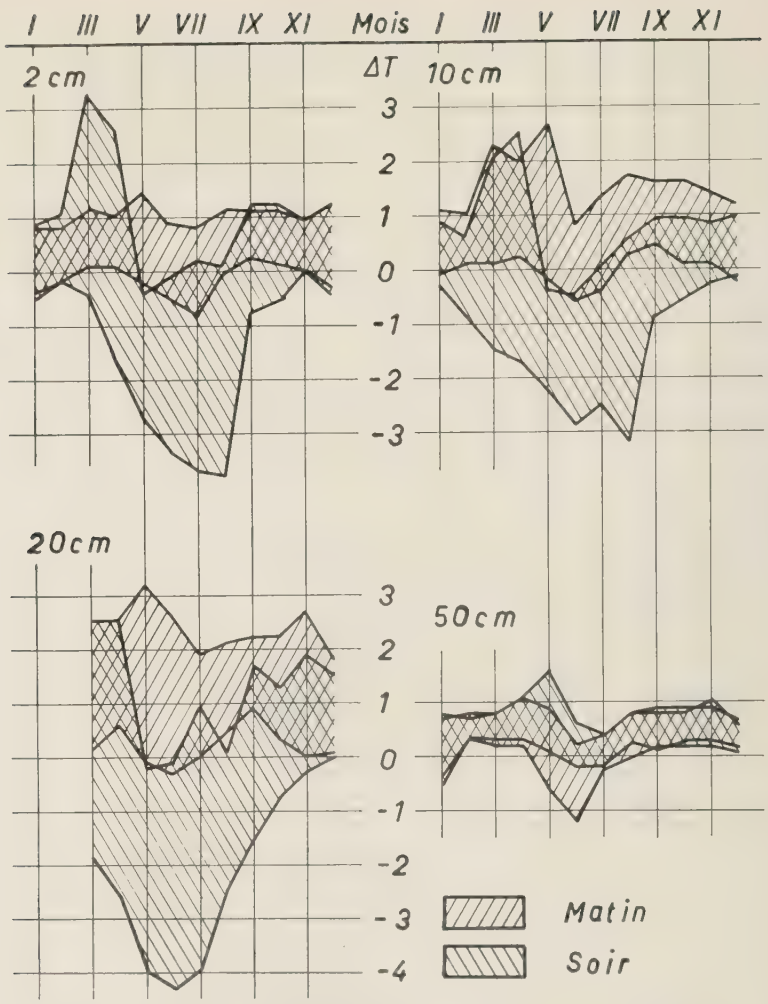

Fig. 8 Dispersion des différences entre les lectures et les enregistrements

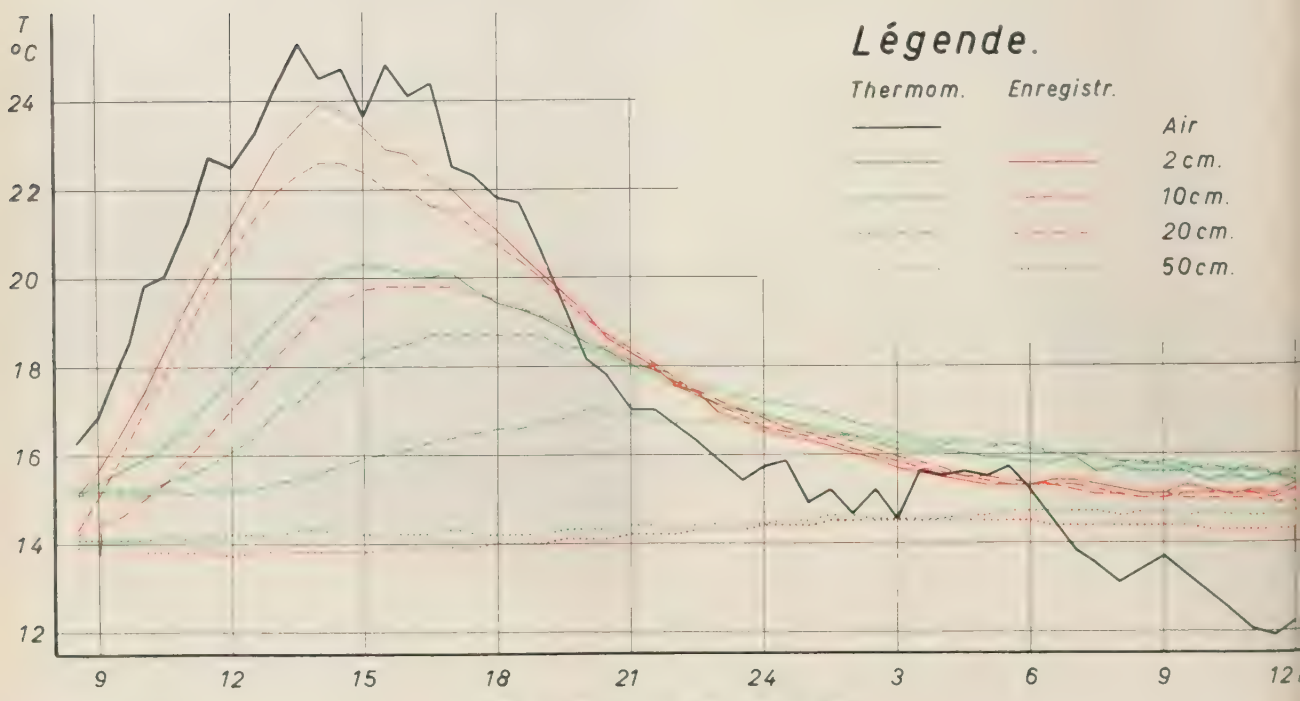

Fig. 11 Courbes des 28 et 29 mai 1954

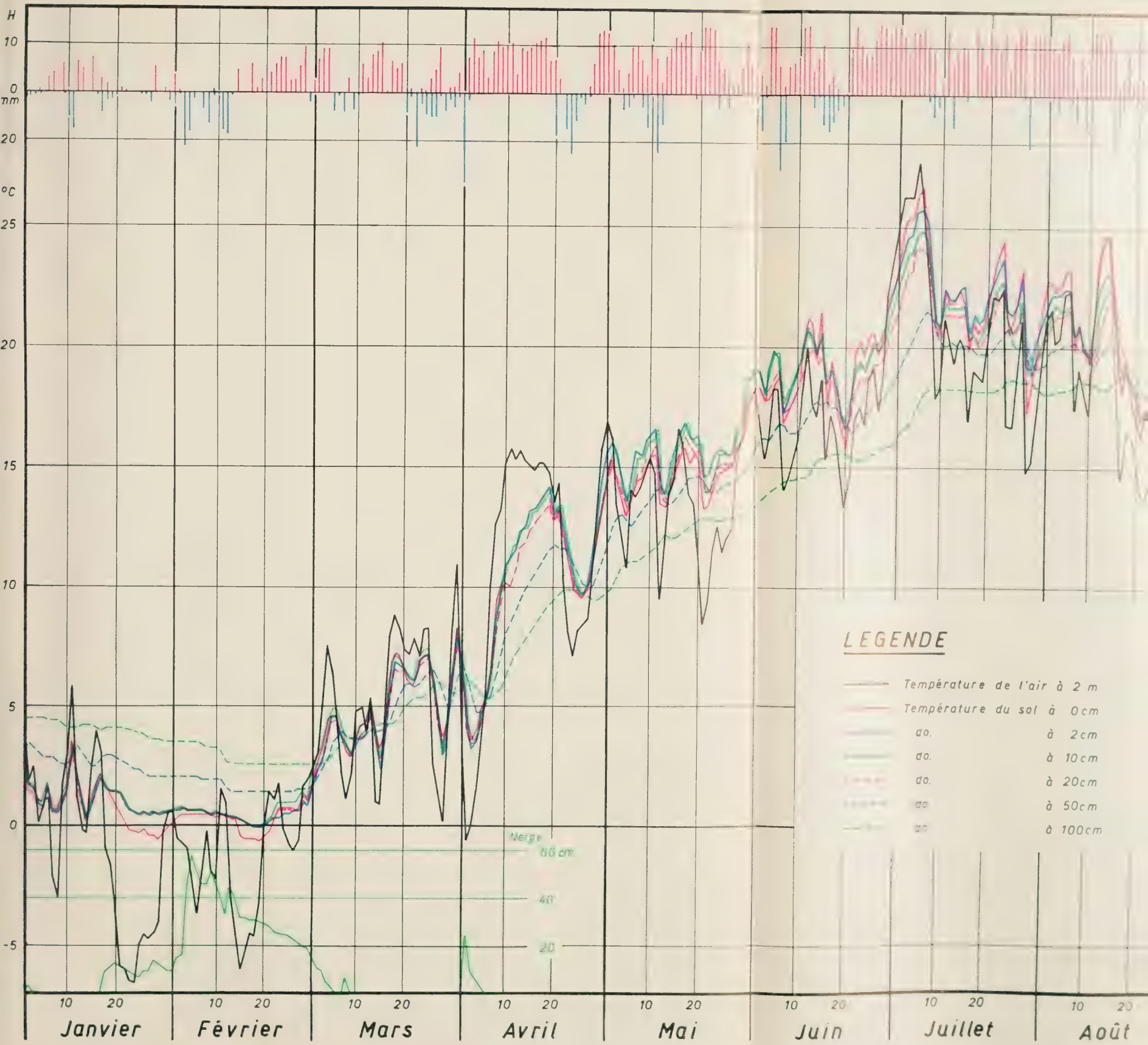
H
10
0
mm
20
°C
25
20
15
10
5
0
-5
Neige
60 cm.
40
20
10
20
Janvier
Février
Mars
Avril
Mai
Juin
Juillet
Août
LEGENDE
Température de l'air à 2 m
Température du sol à 0 cm
do. à 2 cm
do. à 10 cm
do. à 20 cm
do. à 50 cm
do. à 100 cm

Klima der freien Atmosphäre

Bearbeitung der Radiosondierungen der aerologischen Station Payerne 1953

von P. Ackermann

Bemerkung:

Die Bearbeitung erfolgte in gleicher Weise wie in den Annalen 1952. Mit dem Jahre 1954 wird die Darstellung den Beschlüssen und Empfehlungen der Aerologischen und Klimatologischen Kommissionen der OMM angeglichen werden.

Tabelle 1953/1

Mittlere Temperatur C°

Monat	0.493	1	2	3	4	5	6	7	8	9	10	11	12	13 km
1	—1.9	—4.0	—5.3	—9.1	—15.0	—22.1	—28.8	—36.8	—44.5	—50.7	—55.5	—57.7	—59.1	
2	0.9	—2.0	—4.2	—10.1	—16.4	—23.6	—31.1	—38.9	—46.2	—51.6	—55.7	—57.9	—59.3	
3	10.2	5.8	—0.5	—6.3	—12.4	—19.2	—27.1	—34.7	—42.2	—49.6	—56.0	—60.4	—61.3	—60.6
4	12.7	7.9	0.6	—5.8	—12.2	—18.5	—25.4	—33.1	—41.0	—48.5	—54.5	—57.6	—57.4	—56.0
5	19.0	13.4	5.7	—1.0	—7.0	—13.1	—19.6	—27.1	—34.5	—42.2	—48.9	—54.6	—58.2	—59.6
6	17.4	12.6	5.1	—1.3	—6.7	—12.8	—19.3	—26.3	—33.0	—40.1	—46.8	—51.5	—51.6	
7	21.8	16.6	8.8	2.5	—3.1	—8.3	—14.2	—21.2	—27.9	—35.6	—42.6	—48.8	—52.5	—53.0
8	21.9	16.7	9.4	3.4	—1.6	—7.4	—13.4	—20.0	—27.1	—34.7	—41.9	—48.8	—54.2	—55.5
9	18.7	14.2	8.3	2.0	—3.3	—8.8	—15.2	—21.8	—28.9	—36.7	—43.8	—50.6	—54.3	
10	12.6	8.7	4.7	—1.2	—6.8	—12.9	—19.5	—26.6	—34.2	—41.9	—49.4	—54.7	—56.9	—56.9
11	4.0	3.6	2.5	—2.6	—8.1	—14.2	—21.2	—28.4	—36.0	—44.2	—51.8	—57.3	—61.3	
12	1.8	2.4	—1.5	—7.2	—12.8	—19.0	—25.5	—33.1	—40.2	—47.6	—54.3	—58.6	—60.3	
—12	11.6	8.0	2.8	—3.1	—8.8	—15.0	—21.7	—29.0	—36.3	—43.6	—50.1	—54.9	—57.2	—56.9

Tabelle 1953/2

Mittlerer Druck mb

Monat	0.493	1	2	3	4	5	6	7	8	9	10	11	12	13 km
1	961	901	793	698	612	536	467	405	348	301	258	220	192	167
2	958	900	792	697	611	534	465	403	347	299	256	219	190	
3	968	910	804	708	622	545	475	413	357	307	262	224	192	165
4	956	900	796	701	616	540	471	410	354	305	261	223	191	165
5	959	903	800	707	623	547	479	418	363	314	270	232	200	171
6	955	899	796	704	620	545	477	416	362	314	269	232	199	
7	959	904	802	710	626	551	484	423	369	320	277	238	204	177
8	962	906	805	712	629	554	486	425	372	323	279	241	206	176
9	960	905	803	710	626	551	484	423	369	320	276	238	203	
10	961	904	800	707	623	547	478	418	363	314	270	232	199	170
11	967	908	803	708	624	547	479	417	362	312	268	229	196	
12	964	905	799	704	618	542	473	411	356	306	263	224	192	
—12	961	904	799	706	621	545	477	415	360	311	267	229	197	170

Tabelle 1953/3

850 mb

Monat	$\overline{T}$ C°	Tmin C°	Tmax C°	$\overline{H}$ Meter	Hmin Meter	Hmax Meter
1	—3.5	—10.4	8.5	1472	1325	1560
2	—2.4	—11.6	9.0	1458	1235	1610
3	2.6	—8.1	10.0	1560	1500	1640
4	4.1	—4.7	11.7	1474	1350	1530
5	9.3	—0.1	17.6	1514	1430	1590
6	8.8	—2.7	16.4	1470	1350	1530
7	12.2	6.5	18.6	1524	1440	1620
8	12.6	4.6	19.0	1547	1450	1600
9	11.1	2.0	17.0	1524	1450	1630
10	6.4	—0.7	13.4	1503	1410	1600
11	4.8	—3.7	9.3	1543	1410	1605
12	0.8	—12.2	9.7	1512	1425	1585
12	5.5	—12.2	19.0	1508	1235	1640

Tabelle 1953/4

700 mb

Monat	$\overline{T}$ C°	Tmin C°	Tmax C°	$\overline{H}$ Meter	Hmin Meter	Hmax Meter
1	—9.4	—16.8	0.5	2984	2800	3130
2	—9.9	—21.0	0.5	2977	2750	3190
3	—6.8	—16.8	—1.3	3096	3000	3190
4	—5.9	—15.6	—2.1	3019	2910	3090
5	—1.6	—10.6	4.8	3086	2970	3195
6	—1.8	—11.1	6.1	3047	2860	3120
7	1.8	—5.6	8.5	3117	3000	3210
8	2.6	—6.2	7.9	3145	3025	3200
9	1.4	—8.3	5.8	3115	3040	3230
10	—1.3	—9.8	10.1	3077	3000	3250
11	—3.0	—13.3	2.8	3096	2930	3175
12	—7.5	—23.2	0.7	3046	2835	3155
1—12	—3.4	—23.2	10.1	3067	2750	3250

Tabelle 1953/5

500 mb

Monat	$\overline{T}$ C°	Tmin C°	Tmax C°	$\overline{H}$ Meter	Hmin Meter	Hmax Meter
1	—25.3	—31.7	—16.1	5508	5260	5750
2	—27.2	—37.5	—16.4	5487	5210	5780
3	—24.1	—34.5	—19.1	5643	5440	5850
4	—22.2	—27.5	—18.2	5572	5400	5690
5	—17.5	—25.8	—10.6	5687	5510	5830
6	—16.7	—29.6	—8.8	5649	5360	5800
7	—12.7	—18.6	—6.1	5756	5590	5900
8	—12.1	—24.5	—4.9	5796	5570	5900
9	—13.5	—18.9	—7.8	5754	5610	5900
10	—17.5	—26.3	—12.5	5684	5510	5880
11	—19.0	—28.6	—13.5	5682	5455	5800
12	—22.7	—35.6	—14.9	5593	5295	5785
1—12	—19.2	—37.5	—4.9	5651	5210	5900

Tabelle 1953/6

300 mb

Monat	$\overline{T}$ C°	Tmin C°	Tmax C°	$\overline{H}$ Meter	Hmin Meter	Hmax Meter
1	—51.8	—60.3	—42.6	9011	8670	9380
2	—52.5	—58.4	—40.4	8960	8600	9350
3	—50.9	—57.4	—44.5	9156	8870	9300
4	—49.4	—55.6	—43.5	9117	8860	9270
5	—44.5	—52.3	—36.8	9317	9000	9530
6	—42.5	—50.2	—38.8	9302	8870	9570
7	—39.0	—45.4	—31.8	9454	9260	9710
8	—38.4	—44.0	—30.8	9511	9120	9710
9	—39.9	—45.8	—34.2	9447	9270	9620
10	—44.2	—52.3	—39.9	9315	9025	9480
11	—46.5	—51.0	—40.2	9275	9000	9470
12	—48.8	—53.6	—42.1	9140	8750	9380
1—12	—45.7	—60.3	—30.8	9250	8600	9710

Tabelle 1953/7

200 mb

Monat	$\overline{T}$ C°	Tmin C°	Tmax C°	$\overline{H}$ Meter	Hmin Meter	Hmax Meter
1	—58.3	—64.0	—49.3	11608	11310	12000
2	—58.1	—66.0	—48.9	11543	11150	11900
3	—61.1	—67.1	—51.5	11723	11490	11870
4	—57.2	—62.6	—50.9	11698	11450	11870
5	—58.5	—70.5	—47.7	11939	11550	12190
6	—51.8	—63.8	—43.2	11960	11600	12200
7	—53.1	—59.8	—42.6	12140	11920	12460
8	—54.6	—61.9	—48.8	12258	12050	12500
9	—54.6	—61.1	—45.6	12113	11930	12280
10	—57.2	—64.7	—50.7	11944	11630	12130
11	—61.4	—69.0	—47.7	11849	11600	12090
12	—59.1	—68.5	—50.0	11709	11395	11955
1—12	—57.1	—70.5	—42.6	11874	11150	12500

Tabelle 1953/8a

850 mb

Relative Feuchtigkeit in Prozenten

Monat	100	95—99	90—94	80—89	70—79	70—69	30—49	<30	Anzahl Messungen
1	8	1	2	2	4	4	3	2	26
2	8	4	1	1	1	4	2	2	23
3	—	1	1	2	1	5	15	—	25
4	5	1	1	4	2	5	7	—	25
5	—	—	3	1	4	8	9	1	26
6	3	—	3	5	6	7	2	—	26
7	1	—	2	4	6	10	6	2	31
8	—	2	1	1	3	10	11	3	31
9	2	2	—	—	4	9	11	2	30
10	1	1	—	4	8	8	5	4	31
11	1	—	2	1	—	6	8	12	30
12	5	3	—	2	7	5	8	—	30
1—12	34	15	16	27	46	81	87	28	334

Tabelle 1953/8b

700 mb

Relative Feuchtigkeit in Prozenten

Monat	100	95—99	90—94	80—89	70—79	50—69	30—49	<30	Anzahl Messungen
1	4	1	1	1	3	6	9	1	26
2	6	2	1	3	1	4	—	6	23
3	1	—	—	1	1	5	11	6	25
4	8	—	2	3	2	4	6	—	25
5	4	1	1	3	2	7	4	4	26
6	8	1	3	3	3	4	2	2	26
7	3	1	2	5	4	7	3	6	31
8	2	—	—	2	1	7	10	9	31
9	3	—	2	4	5	7	3	6	30
10	1	—	1	7	2	6	9	5	31
11	—	—	1	4	1	4	10	10	30
12	7	1	1	4	1	7	5	5	31
1—12	47	7	15	40	26	68	72	60	335

Tabelle 1953/8c

500 mb

Relative Feuchtigkeit in Prozenten

Monat	100	95—99	90—94	80—89	70—79	50—69	30—49	<30	Anzahl Messungen
1	—	—	1	2	1	6	9	7	26
2	2	2	2	2	1	4	7	3	23
3	1	—	—	1	2	3	14	4	25
4	4	1	1	3	2	4	5	5	25
5	2	—	1	5	—	7	4	7	26
6	2	1	1	2	1	6	8	5	26
7	1	1	—	1	2	4	8	14	31
8	—	1	—	1	1	5	11	12	31
9	—	—	1	2	3	5	6	13	30
10	1	1	1	—	3	9	5	11	31
11	2	—	—	—	1	7	8	12	30
12	4	5	—	1	1	6	8	6	31
1—12	19	12	8	20	18	66	93	99	335

Tabelle 1953/9

15.00 h MEZ — 850 mb

C° Monat	1	2	3	4	5	6	7	8	9	10	11	12
19	—	-	—	—	—	—	—	1	—	—	—	-
18	—	—	—	—	—	—	2	3	—	—	—	—
17	—	—	—	—	1	—	3	1	1	—	—	-
16	—	—	—	—	2	2	—	3	3	—	—	-
15	—	-	—	—	3	—	2	2	1	—	—	—
14	—	—	—	—	2	—	1	2	2	—	—	—
13	—	—	—	—	—	—	4	1	5	1	—	—
12	—	—	—	—	1	4	6	3	2	—	—	—
11	—	—	—	1	1	1	3	2	4	1	—	—
10	-	—	1	1	3	3	2	7	3	2	—	—
9	—	1	—	1	2	4	1	1	3	4	1	1
8	2	—	1	4	-	4	1	2	—	1	2	—
7	—	2	—	2	—	1	4	1	3	4	7	2
6	—	-	1	2	2	2	2	1	—	7	4	3
5	—	2	5	2	1	2	—	—	—	2	3	4
4	- -	-	2	1	3	1	—	1	—	3	3	2
3	1	1	5	2	1	—	—	—	1	2	2	2
2	1	-	3	1	2	1	—	-	2	—	5	1
1	-	-	1	—	1	—	-	-	-	2	—	4
0	2	2	2	4	1	—	—	-	-	2	—	1
1	2	2	—	1	-	—	—	—	—	—	1	—
—2	2	1	—	1	-	1	—	—	—	—	—	3
—3	1	—	—	1	-	-	—	-	-	-	2	1
—4	1	3	1	1	-	—	—	—	-	-	—	1
—5	3	1	—	—	-	-	-	-	-	—	—	2
6	1	2	2	—	-	—	—	-	-	-	—	—
—7	1	1	—	-	-	-	—	-	—	-	-	2
—8	2	2	1	—	-	-	—	-	—	-	-	-
—9	1	2	-	-	-	-	—	—	—	—	—	—
—10	3	-	-	—	-	-	-	-	-	—	-	-
—11	-	1	—	-	-	-	-	-	—	—	—	1
—12	—	—	—	—	-	-	-	-	-	-	—	1
Total	26	23	25	25	26	26	31	31	30	31	30	31

Tabelle 1953/10

15.00 h MEZ — 700 mb

C° Monat	1	2	3	4	5	6	7	8	9	10	11	12
10	-	—	-	—	-	—	-	-	-	1	-	-
9	—	—	-	—	- -	-	-	-	—	-	—	-
8	-	- -	—	—	-	—	1	—	- -	—	—	—
7	-	—	—	—	-	-	-	2	—	-	-	—
6	—	—	—	—	-	1	2	3	-	—	—	—
5	—	—	-	—	-	-	3	1	5	-	-	—
4	-	—	-	- -	2	1	4	5	2	1	-	—
3	—	-	-	-	3	-	2	6	2	1	-	—
2	-	-	—	—	2	—	6	3	3	3	1	—
1	—	—	—	—	2	1	2	5	8	3	2	1
0	3	4	—	—	2	7	3	2	2	4	5	—
—1	- -	2	1	—	5	6	3	2	4	2	5	1
—2	—	—	2	5	1	1	1	-	3	6	4	3
—3	—	1	1	6	2	5	3	-	- -	3	3	4
—4	-	—	3	1	1	-	-	1	-	3	1	3
—5	1	—	2	4	-	1	1	-	—	1	3	4
—6	2	—	8	—	2	—	- -	1	-	1	3	3
—7	3	1	3	1	-	—	-	-	- -	1	1	1
8	2	1	1	2	1	1	-	-	1	-	- -	1
—9	3	2	—	2	1	1	-	-	- -	1	1	1
10	3	1	-	2	2	—	-	-	-	-	- -	—
—11	-	2	—	1	-	1	-	-	-	-	-	-
12	3	- -	1	- -	-	—	—	- -	-	—	-	1
—13	2	—	1	-	-	—	-	-	—	-	1	-
—14	1	2	1	-	-	—	—	-	- -	—	-	-
—15	1	3	—	1	—	—	—	-	—	—	—	—
—16	2	1	1	-	-	—	-	-	-	-	-	2
—17	-	-	—	-	—	—	-	-	—	-	-	1
—18	—	-	—	-	—	—	—	—	- -	-	-	1
—19	-	2	—	—	—	—	-	-	-	- -	-	-
—20	-	-	-	-	- -	—	-	-	—	-	- -	-
—21	—	1	—	—	—	—	- -	-	-	- -	- -	-
—22	-	—	—	—	—	-	—	-	-	-	-	-
—23	—	—	—	—	- -	-	-	—	—	-	-	1
Total	26	23	25	25	26	26	31	31	30	31	30	31

Tabelle 1953/11

15.00 h MEZ — 500 mb

C° Monat	1	2	3	4	5	6	7	8	9	10	11	12
—4	—	—	—	—	-	-	—	1	—	—	—	—
—5	—	-	—	—	—	-	—	1	—	—	—	—
—6	—	—	—	—	- -	—	1	—	—	—	—	—
—7	—	—	—	—	—	—	—	1	1	—	—	—
8	-	-	—	—	—	1	2	1	—	—	—	—
9	—	-	-	-	—	-	1	5	1	—	—	—
—10	—	-	-	—	1	1	4	2	2	—	—	—
—11	—	—	—	—	1	- -	3	4	4	-	—	-
—12	—	—	—	—	1	2	7	4	7	2	—	-
—13	—	—	—	—	3	2	3	6	4	1	2	—
—14	—	—	-	—	—	2	4	1	3	3	2	1
—15	—	—	—	—	3	6	2	2	2	5	—	- -
—16	1	1	-	-	2	3	1	2	2	5	5	-
—17	1	-	-	—	3	3	1	—	2	2	5	2
—18	—	-	-	2	4	1	2	-	2	4	2	3
—19	2	2	2	4	2	2	—	—	—	2	1	2
—20	—	3	3	4	—	-	—	—	—	3	4	6
—21	2	1	2	3	2	-	—	-	—	2	4	6
—22	1	1	2	4	1	-	—	-	—	-	2	1
—23	3	2	7	2	2	-	—	-	—	-	-	3
—24	3	-	2	1	—	-	—	1	—	1	1	2
—25	—	1	2	- -	1	-	—	-	—	-	1	-
—26	1	-	-	4	—	1	—	-	—	1	-	-
—27	2	1	2	1	—	-	—	-	—	-	-	—
—28	4	2	-	-	-	-	—	—	-	-	1	-
—29	1	-	1	-	-	2	-	-	—	—	—	1
—30	4	-	-	-	-	-	-	-	-	-	-	-
—31	1	2	-	-	-	-	-	-	- -	-	-	1
—32	—	1	1	-	-	-	-	-	-	-	-	—
—33	—	1	-	-	-	-	-	-	—	- -	—	—
—34	—	2	1	-	-	-	-	-	-	-	—	1
—35	—	1	-	-	-	-	- -	-	- -	-	—	2
—36	—	1	-	-	-	-	-	-	-	-	—	-
—37	—	1	—	—	—	—	—	—	—	—	—	—
Total	26	23	25	25	26	26	31	31	30	31	30	31

Tabelle 1953/12

15.00 h MEZ — 300 mb

C° Monat	1	2	3	4	5	6	7	8	9	10	11	12
—30	-	—	—	—	-	-	—	1	-	- -	- -	-
—31	—	—	-	—	-	—	1	—	-	-	-	-
—32	—	-	—	—	-	-	—	1	—	- -	-	—
—33	-	-	—	—	-	—	—	—	-	-	—	—
—34	—	-	—	—	-	-	—	1	2	-	-	—
—35	—	-	—	—	—	—	3	2	1	—	—	—
—36	—	-	—	-	1	-	5	3	3	-	-	—
—37	-	-	-	-	—	—	4	4	1	-	-	—
—38	—	-	—	- -	—	1	3	4	2	-	-	—
—39	-	—	—	—	1	4	5	6	6	1	-	—
40	-	1	—	-	2	2	2	2	5	3	1	—
—41	-	-	—	—	3	2	1	2	3	4	-	—
—42	1	—	—	—	2	6	2	2	2	6	3	1
—43	—	-	- -	2	1	3	2	1	2	4	1	—
44	1	- -	1	2	3	2	2	1	-	1	4	1
—45	1	-	—	—	2	-	1	—	3	2	3	3
—16	—	2	1	4	2	3	—	—	-	2	3	4
—47	1	-	1	1	1	-	—	—	-	2	3	4
—48	4	-	1	1	3	-	—	—	-	2	2	2
—49	1	1	2	2	2	-	—	—	-	1	6	5
—50	2	3	6	5	—	1	—	—	-	-	2	2
—51	1	1	8	2	—	-	-	-	-	1	1	6
—52	3	3	2	3	1	-	-	-	-	1	-	1
53	1	3	-	1	-	—	-	-	-	-	-	2
—54	3	1	2	-	-	-	-	-	-	-	-	—
—55	1	3	-	2	-	-	-	-	-	-	-	—
56	1	3	-	-	-	-	-	-	-	-	-	—
—57	1	1	1	-	-	-	-	-	-	-	-	—
—58	1	1	-	-	-	-	-	-	-	-	-	—
—59	1	-	-	-	-	-	-	-	-	-	-	—
—60	1	-	-	-	-	-	-	-	-	-	-	—
Total	25	23	25	25	24	24	31	31	30	30	29	31

Tabelle 1953/13

15.00 h MEZ — 200 mb

C° Monat	1	2	3	4	5	6	7	8	9	10	11	12
-42	—	—	—	—	—	—	1	—	—			—
-43	—	—	—	—	—	1	—	—	—	—	—	—
-44	—	—	—		—	—	—	—	—	—	—	—
-45	—	—	—	—	—	2	1	—	1	—	—	—
-46	—	—	—	—	—	1	1	—	—	—	—	—
-47	—	—	—	—	1	2	—	—	2	—	1	—
-48		1	—	—	—	2	—	1	—	—	—	—
-49	1	—	—	—	—	—	4	2	—	—	1	—
-50		1	—	2	—	2	4	3	2	1	—	1
-51		2	1	1	2	1	—	3	1	1	1	2
-52	1	1	—	1	—	—	3	1	—	3	—	—
-53	1	1	1		1	4	2	2	2	2	1	1
-54		—	—	3	1	—	1	2	3	2	1	2
-55	2	1	1	1	2	3	3	8	4	2	1	—
-56	3	3	—	4	1	1	1	1	1	3	—	3
-57	2	1	2	1	—	—	1	—	—	3	—	—
-58	2	1	1	2	1	1	3	2	4	1	2	2
-59	1	1	3	1	3	—	3	2	1	3		2
-60	3	1	2	4	4	—	—	1	1	1	2	2
-61	1	1	1	3	2	1	—	2	1	1	—	1
-62	2	1	2	1	1	—	—	—	—	3	1	5
63	2	2	2	—	—	1	—	—	—	1	3	1
-64	1	1	2	—	1	—	—	—	—	1	2	1
-65	—	1	—	—	1	—	—	—	—	—	2	—
-66	—	2	4	—	—	—	—	—	—	—	2	2
-67	—	—	1	—	—	—	—	—	—	—	3	—
-68	—	—	—		—	—	—	—	—	—	1	1
-69	—	—	—	—	—	—	—	—	—	—	1	—
-70	—	—	—		1	—	—	—	—	—	—	—
Total	22	22	23	24	22	22	28	30	23	28	25	26

Tabelle 1953/14

15.00 h MEZ — 850 mb

Windgeschwindigkeit (Knoten)

Windrichtung	0	1—5	6—10	11—20	21—30	31—40	41—50	51—70	71—90	91—110	>110		
N	—	11	6	5	—	—	—	—	—	—	—	22	6.7 %
NE	—	18	13	37	12	2	1	—	—	—	—	83	25.4 %
E	—	9	3	5	4	—	—	—	—	—	—	21	6.4 %
SE	—	1	—	—	—	—	—	—	—	—	—	1	0.3 %
S	—	3	3	1	—	—	—	—	—	—	—	7	2.2 %
SW	—	4	17	34	14	4	2	—	—	—	—	75	22.9 %
W	—	14	19	22	8	2		—	—	—	—	65	19.9 %
NW	—	9	4	1	—	—	—	—	—	—	—	14	4.3 %
Calmen	39	—	—	—	—	—	—	—	—	—	—	39	11.9 %
	39	69	65	105	38	8	3	—	—	—	—	327	
%	11.9	21.1	19.9	32.2	11.6	2.4	0.9	—	—	—	—		100.0 %

Tabelle 1953/15

15.00 h MEZ — 700 mb

Windgeschwindigkeit (Knoten)

Windrichtung	0	1—5	6—10	11—20	21—30	31—40	41—50	51—70	71—90	91—110	>110		
N	—	8	11	13	4	—	—	—	—	—	—	36	10.9 %
NE	—	8	12	21	5	3	1	1	—	—	—	51	15.5 %
E	—	4	1	3	2	4	—	—	—	—	—	14	4.3 %
SE	—	4	4	1	—	—	—	—	—	—	—	9	2.7 %
S	—	6	9	23	1	1	—	—	—	—	—	40	12.2 %
SW	—	8	5	22	34	15	1	—	—	—	—	85	25.8 %
W	—	6	8	21	11	2	3	1	—	—	—	52	15.8 %
NW	—	6	6	12	1	—	—	—	—	—	—	25	7.6 %
Calmen	17	—	—	—	—	—	—	—	—	—	—	17	5.2 %
	17	50	56	116	58	25	5	2	—	—	—	329	
%	5.2	15.2	17.0	35.3	17.6	7.6	1.5	0.6	—	—	—		100.0 %

Tabelle 1953/16

5.00 h MEZ — 500 mb

Windgeschwindigkeit (Knoten)

Windrichtung	0	1–5	6–10	11–20	21–30	31–40	41–50	51–70	71–90	91–110	>110		
N		3	7	9	10	6	2	4				41	12.4 %
NE		1	5	9	5	6	5	3				34	10.3 %
E		4	4	5	5	—	1					19	5.8 %
SE		4	4	4	3	1	—					16	4.9 %
S		2	7	14	14	8	—		1			46	14.0 %
SW		5	3	14	11	9	5	2	1		1	51	15.5 %
W		3	6	25	16	10	7	1	—			71	21.6 %
NW		1	3	14	12	11	—	3	1			45	13.7 %
Calmen	6	—		—			—					6	1.8 %
	6	23	39	94	76	51	20	16	3		1	329	
%	1.8	7.0	11.8	28.6	23.1	15.5	6.1	4.9	0.9		0.3		100.0 %

Tabelle 1953/17

5.00 h MEZ — 300 mb

Windgeschwindigkeit (Knoten)

Windrichtung	0	1–5	6–10	11–20	21–30	31–40	41–50	51–70	71–90	91–110	>110		
N		—	5	7	12	10	8	11	5	1		59	18.3 %
NE		—	2	3	6	5	2	6	3	1		28	8.7 %
E		1		8	2	1		1				13	4.0 %
SE			3	6	3	5		1				18	5.6 %
S				7	5	5	6	2	1			26	8.1 %
SW		1	3	10	10	19	7	5	3	1	2	61	19.0 %
W		—	2	16	20	13	5	11	7	1	1	79	24.5 %
NW		1	1	2	4	7	8	7	2		2	37	11.5 %
Calmen	1	—	—	—			—					1	0.3 %
	1	3	19	59	62	65	36	47	21	4	5	322	
%	0.3	0.9	5.9	18.3	19.3	20.2	11.2	14.6	6.5	1.2	1.6		100.0 %

Tabelle 1953/18

5.00 h MEZ — 200 mb

Windgeschwindigkeit (Knoten)

Windrichtung	0	1–5	6–10	11–20	21–30	31–40	41–50	51–70	71–90	91–110	110		
N		1	1	6	5	7	11	10	1	1		49	16.7 %
NE			3	1	6	6	4	6		1		27	9.2 %
E		1	3	4	4							12	4.1 %
SE			1	5	4	2	—	1				13	4.4 %
S			1	6	7	1	1	1		1		21	7.1 %
SW		1	1	5	10	12	7	7	5	2	2	52	17.7 %
W			3	12	15	11	11	16	4	1	1	74	25.2 %
NW		1	2	6	5	10	10	7	2	1	1	45	15.3 %
Calmen	1		—	—	—	—	—	—				1	0.3 %
	1	4	18	45	56	52	44	48	15	7	4	294	
%	0.3	1.4	6.1	15.3	19.0	17.7	15.0	16.3	5.1	2.4	1.4		100.0 %

Un nouveau récepteur multiple pour l'étalonnage de la radiosonde suisse

par *Max Bohnenblust*

La radiosonde suisse[1] est étalonnée dans un caisson polytrope[2], de telle façon que les éléments: pression, température et humidité, varient simultanément dans une atmosphère standard, dans les conditions les plus voisines de celles rencontrées en atmosphère libre.

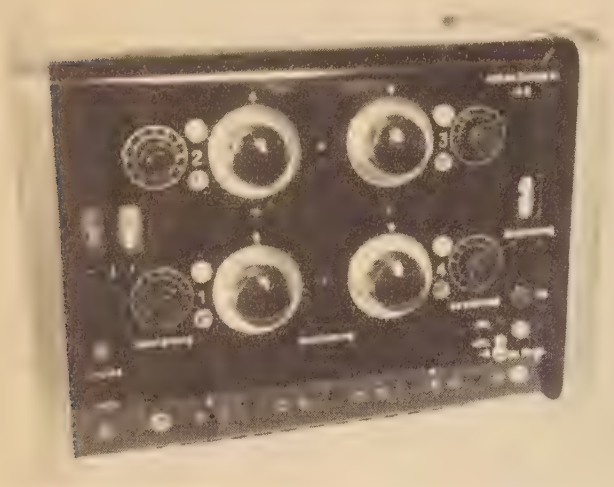

Récepteur multiple 400 Mc pour l'étalonnage.

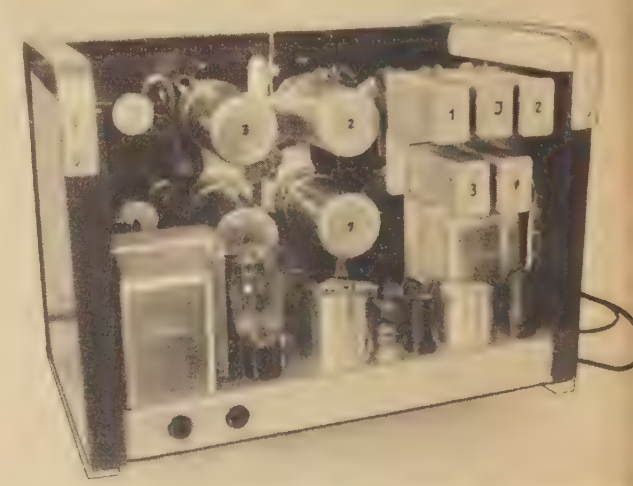

Récepteur multiple 400 Mc, vu de dos.

Pour la transmission des signaux, le principe est basé sur la modulation de fréquence[3], où le contact du télémétéographe d'Olland est remplacé par une impulsion, c'est-à-dire par un brusque changement de la fréquence de l'onde porteuse de 400 Mc. C'est pour cette raison que l'émetteur à ondes ultra-courtes doit fonctionner dans un caisson. Les dimensions de l'espace disponible dans le caisson sont plus petites que λ de l'onde porteuse. Comme l'espace réservé à l'étalonnage est entouré d'un boîtier métallique, le fonctionnement des quatre émetteurs à ondes ultra-courtes est rendu très difficile, spécialement par le phénomène des ondes stationnaires. Je me suis vu obligé d'abandonner la solution qui consistait à sortir du caisson, par «feeder», l'énergie suffisante et de la capter au moyen d'un récepteur plus simple. Pendant l'étalonnage, seul un des quatre émetteurs fonctionne, tandis que les chauffages sont continuellement alimentés. Les trois émetteurs au repos jouent un rôle d'antenne et de circuits parasites qui influencent l'émetteur en fonction. En choisissant quatre fréquences différentes pour l'onde porteuse, respectivement 405 Mc, 400 Mc, 395 Mc et 390 Mc, cet effet a pu être réduit au minimum.

Le récepteur multiple enclenche automatiquement et successivement les quatre émetteurs, ainsi que les oscillateurs correspondants locaux du récepteur. Il fournit la tension anodique et de chauffage. Il reçoit les quatre canaux, dont les ondes porteuses sont séparées par 5 Mc. L'accordage, de même que le réglage de l'amplification des impulsions, sont individuels pour chaque canal. L'impulsion agit sur un relais de sortie commandant le frappeur de l'enregistreur. Le récepteur est équipé d'un indicateur optique pour l'accordage de l'onde porteuse. Un dispositif optique mesure le glissement de fréquence, permettant ainsi de contrôler le fonctionnement de la sonde. Chaque canal peut être déconnecté séparément. La constante de temps à travers le récepteur est indépendante de l'intensité du champ E et de la fréquence des impulsions.

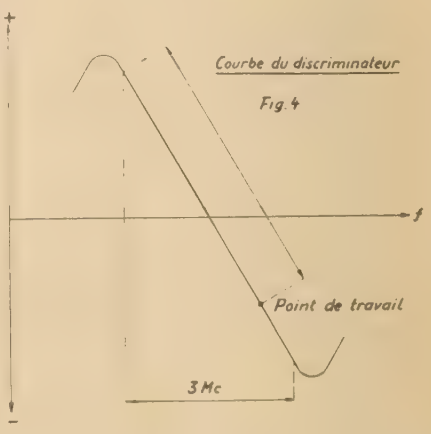

Le récepteur est du type superhétérodyne; il est composé de quatre oscillateurs, d'un étage mélangeur, d'un canal de fréquence moyenne, d'un «ratio detector», d'un amplificateur d'impulsion et d'un relais de sortie. La figure N° 3 donne une idée schématique du dispositif. Chaque oscillateur peut balayer une bande de fréquence de 20 Mc.

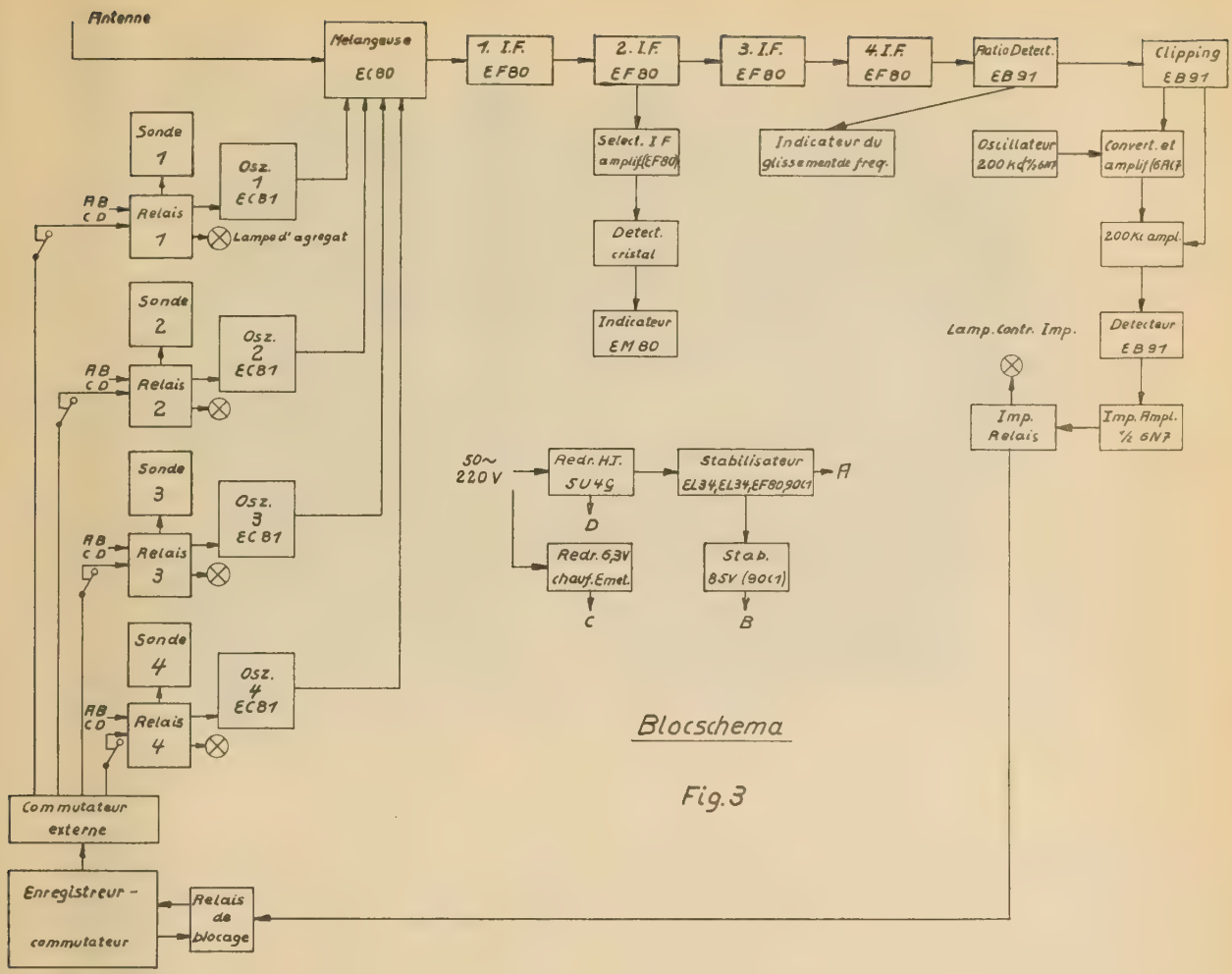

Blocschema

Fig. 3

Les oscillateurs sont accouplés de façon telle que le réglage de l'un n'influence pas les autres. L'accouplement de l'oscillateur est fait à un point d'impédance approprié où la réaction est minimum, L'antenne $\lambda/2$ sortant du récepteur reçoit l'onde porteuse et est couplée directement au circuit d'entrée apériodique dont la résonnance spécifique est de 195 Mc. Ce circuit agit sur la cathode de la «grounded grid» mélangeuse EC 80. L'oscillateur est accouplé au moyen de fils soigneusement accordés sortant du blindage. La mélangeuse est reliée au premier étage de moyenne fréquence par un câble coaxial à travers un couplage capacitif. Cet étage forme une partie du «staggered tuned» canal, avec un passage de bande de 3 Mc. La démodulation se fait par un «balanced ratio detector» avec une ligne droite de démodulation de 3 Mc. Le deuxième étage de la fréquence moyenne est suivi par un étage de découplage-amplificateur agissant sur un circuit sélectif, et d'un démodulateur à cristal qui livre la tension à l'indicateur d'accordage pour le réglage du point de travail. Le «ratio detector» commande un dispositif de mesure optique du glissement de la fréquence (2 tubes EM 80). Le signal du «ratio detector» agit à travers un limiteur de tension réglable sur la première grille d'une 6AC7 et d'une EF80. Un signal de 200 Kc engendré par un oscillateur externe (1/2 6N7) est injecté sur la grille «supressor» du tube 6AC7. Les deux tubes 6AC7 et EF80 jouent le rôle d'amplificateur de moyenne fréquence. La tension cathodique (polarisation de grille) des deux tubes est réglable simultanément à un point désiré de blocage.

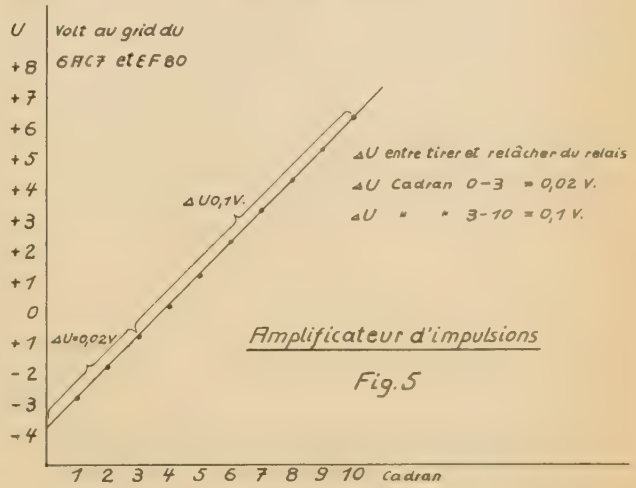

Amplificateur d'impulsions

Fig. 5

En résumé, le signal du discriminateur est converti en un signal de moyenne fréquence, amplifié et redressé. La courbe d'amplification est donnée par la fig. 5.

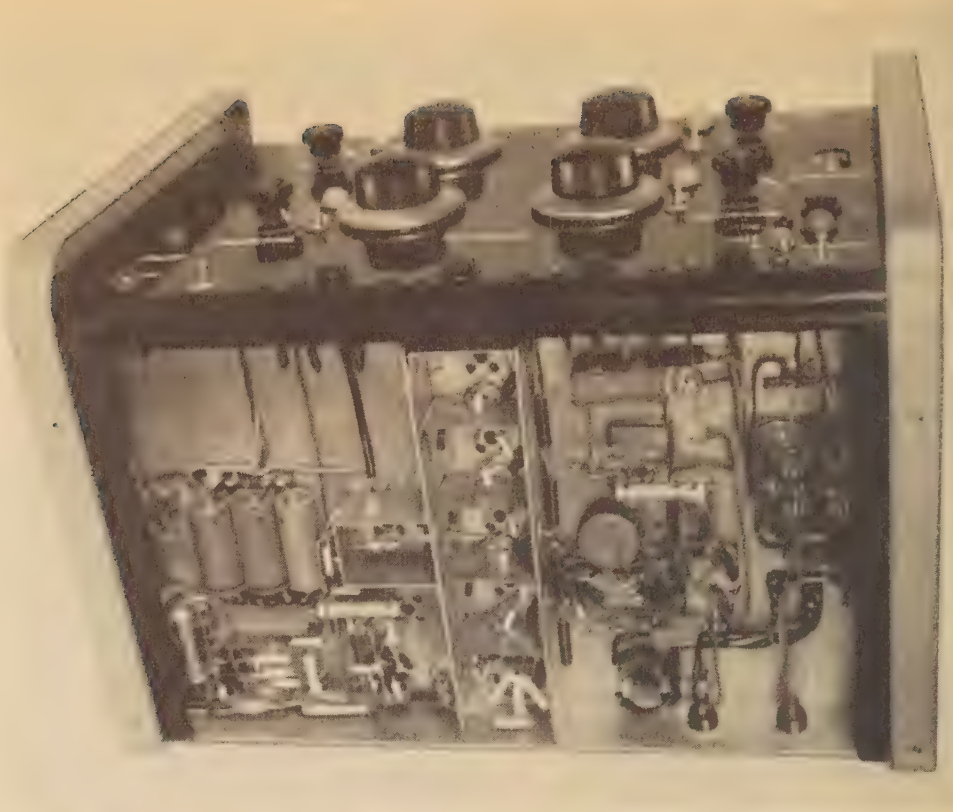

Récepteur multiple 400 Mc pour l'étalonage (vue des circuits de connexion).

La tension délivrée par la détectrice EB91 actionne un relais de sortie par l'intermédiaire d'une 1/2 6N7. Chaque canal possède un potentiomètre qui est connecté automatiquement dans le circuit de l'amplificateur d'impulsions permettant le réglage du point de travail. Chacun des quatre relais des canaux de réception alimente l'émetteur dans le caisson, l'oscillateur local dans le récepteur, une lampe-pilote et, comme indiqué ci-dessus, connecte le potentiomètre. La tension anodique du redresseur 5U4G est stabilisée par deux pentodes EL34, une EF80 et une 90 C1 (base de stabilisation). La tension anodique destinée à l'émetteur est stabilisée par une 90 C1. La tension de chauffage de 6.3 V pour les quatre émetteurs est fournie par un redresseur selen. Les canaux du récepteur sont commandés par l'enregistreur au moyen d'un commutateur rotatif automatique à quatre positions.

Un commutateur externe permet de combiner la connexion de tous les canaux du récepteur entre eux. Les signaux arrivant du récepteur multiple sont coupés par un relais de blocage pendant 5 secondes après chaque blocage du tambour inscripteur, ceci en vue d'assurer une synchronisation parfaite, indépendante de la commutation d'un canal sur l'autre.

Le récepteur est construit de telle façon qu'un changement de fréquence n'exige que des modifications relativement simples. Depuis sa mise en service, il répond entièrement aux résultats attendus.

---

[1] *Jean Lugeon, Paul Ackermann, Max Bohnenblust.* La radiosonde suisse. Annalen MZA. 1948.

[2] *Jean Lugeon.* Le poste aérologique de Payerne et les nouvelles méthodes suisses de radiosondage. Annalen MZA. 1941.

[3] *Max Bohnenblust.* Neuartige kontaktlose Signalübertragung bei Radiosondierungen. Annalen MZA. 1942.

Brouillards et Stratus bas (brouillards élevés) à l'Aéroport de Zurich-Kloten, période 1948—1953

par R. Schneider, Lic. ès sc., Service Météorologique Zurich-Aéroport

Le but de la présente étude est de donner un aperçu de la fréquence des brouillards et des stratus au cours de l'année. Les tableaux et graphiques ci-inclus pourront être d'une aide certaine pour les météorologistes dans leur travail de prévision et pour l'établissement des horaires des compagnies aériennes.

Ire partie

Nous avons établi les fréquences des brouillards et stratus dans les cas suivants:

1. brouillard par visibilité inférieure à 1000 m
2. brouillard par visibilité inférieure à 500 m
3. stratus, plafond inférieur à 1000 m/sol, nébulosité supérieure à 4/8
4. stratus, plafond inférieur à 150 m/sol, nébulosité supérieure à 4/8

Dans les cas de stratus, il faut en outre que le ciel soit clair au-dessus de 2000 m/sol au maximum.

Pour qu'un cas de brouillard ou de stratus soit pris en considération, nous avons admis qu'il devait durer plus d'une demi-heure, c.-à-d. avoir été observé deux fois consécutivement au moins. Nous avons exclu tous les cas observés avec précipitations, ainsi que les brouillards préfrontaux. Aussi est-ce avant tout *une étude du brouillard de rayonnement* que nous avons entreprise ici, ce genre de brouillard étant de loin plus fréquent à Zurich (plus du 95 % des cas).

Dans les tableaux qui suivent, les nombres indiquent combien de fois le phénomène considéré a été observé en 5 ans à une heure déterminée, chaque quinzaine. Cette période de 5 ans commence le 17 novembre 1948, avec début des observations à Kloten, et s'arrête le 16 novembre 1953. — Sur les fig. 1 à 4, les isoplètes indiquent, en revanche, la fréquence annuelle moyenne du phénomène observé.

I. Fréquence des brouillards par visibilité inférieure à 1000 m

Tab. I (nombre de cas en 5 ans, par quinzaine)

Mois / Heure GMT	Juillet		Août		Sept.		Oct.		Nov.		Déc.		Jan.		Févr.		Mars		Avril		Mai		Juin	
00—01	1		1	5	10	10	26	18	12	17	15	14	12	13	7	12	5	2	2	7	4	1	3	2
01—02	2		2	8	11	13	27	24	13	17	15	15	12	10	7	10	4		1	5	1	1	4	2
02—03	2	4	4	11	12	15	27	25	12	19	15	15	12	13	7	12	3	1	2	7	4		3	2
03—04	3	5	5	16	16	15	28	23	13	20	15	17	7	11	7	15	5	2	2	5	6	3	7	3
04—05	4	8	4	19	15	14	27	21	11	18	15	15	7	10	9	14	4	4	4	6	5	5	6	5
05—06	3	7	4	17	15	15	30	24	9	16	13	15	6	10	9	13	8	5	5	7	5	3	6	5
06—07	1	3	3	14	11	14	31	24	10	20	14	18	8	13	10	15	9	5	5	6	3	2	3	4
07—08		3	3	10	8	11	29	22	9	18	14	17	10	14	10	16	10	1	4	4	2		1	
08—09			1	2	3	6	24	19	5	19	14	17	11	10	9	14	8	1	2	1				
09—10					2		16	11	4	14	14	15	7	7	6	11	6							
10—11							3	4	2	11	12	12	7	6	3	8	2							
11—12								1	1	9	10	8	6	6	1	4	1							
12—13								1	1	7	8	6	4	5		1								
13—14								1	1	4	8	6	3	4										
14—15								1	1	4	8	6	4	5										
15—16								1	1	5	8	7	4	5										
16—17									2	6	10	11	5	5										
17—18									2	9	13	10	5	5										
18—19							2	1	2	12	14	10	6	5	1	1								
19—20					1		5	7	2	12	14	10	9	7	4	1	1							
20—21					1	2	7	12	3	14	16	11	9	9	5	2	1							
21—22					1	4	15	15	4	13	14	12	13	11	6	3	1							
22—23				1	2	6	19	16	8	13	15	13	13	9	7	3	2							
23—24				2	4	11	27	16	8	11	15	12	12	10	8	5	2			1		1		
Total	16	30	27	105	112	136	343	287	136	308	309	292	192	203	116	160	72	21	27	49	30	16	33	23

Partant des données de ce tableau, nous avons construit les isoplètes sur la fig. 1 qui indiquent le nombre de cas moyens observés par année et par quinzaine. — Nous constatons que:

1. le maximum des brouillards a lieu durant la première semaine d'octobre, le minimum en mai et juin;
2. comme il est de règle pour le brouillard de rayonnement, c'est dans l'heure suivant le lever du soleil que le maximum diurne est observé, tandis que le minimum se situe entre 12.00 h et 15.00 h;
3. le brouillard peut rester la journée entière, de fin octobre (25. X.) jusqu'au début de février (5. II.).

Fig. 1 Fréquence par demi-mois des brouillards visibilité inférieure à 1000 m

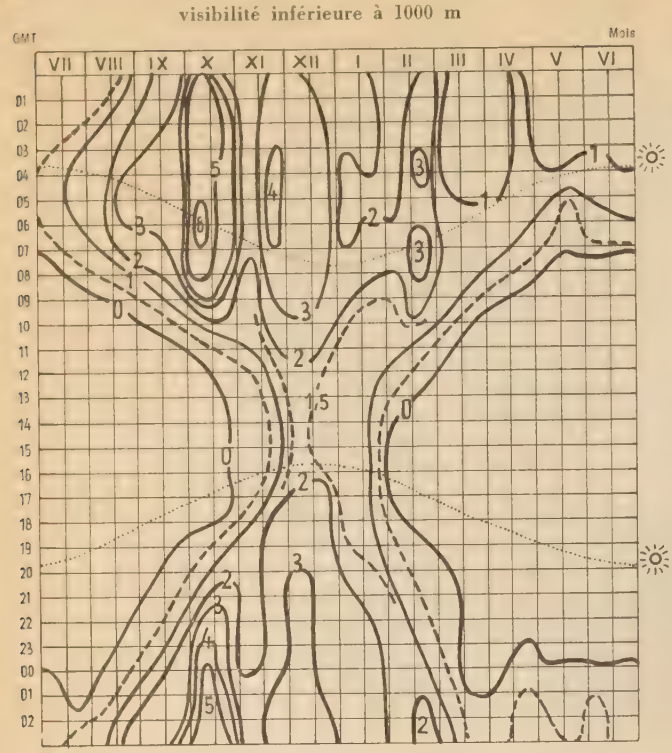

Fig. 2 Fréquence par demi-mois des brouillards visibilité inférieure à 500 m

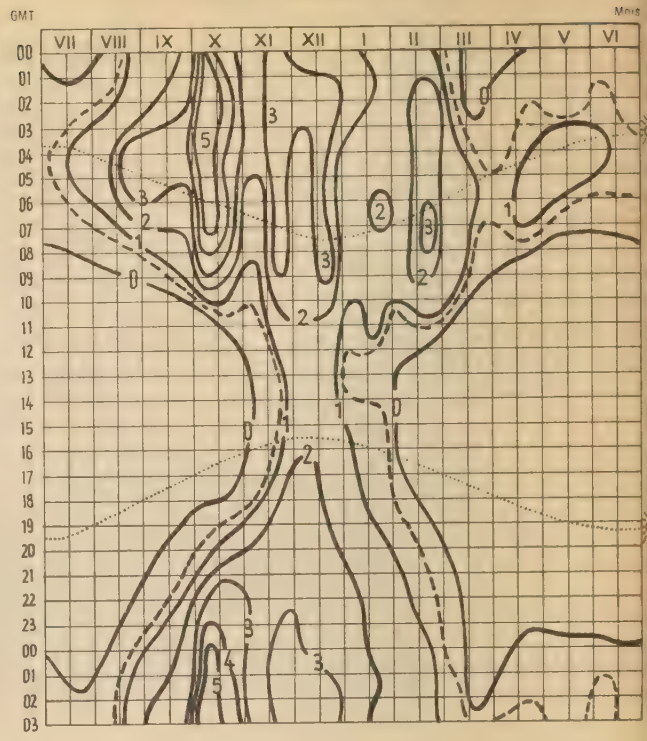

Certaines anomalies sont dignes d'être signalées:

a) diminution des cas observés dans la première quinzaine de novembre, due certainement à un effet saisonnier régulier [1];

b) variation diurne anormale en janvier et février, diminution rapide des cas observés entre 08.00 h et 09.00 h. Cette variation est due très probablement à l'effet de la neige au sol, le brouillard se transformant généralement en brouillard élevé [2].

Dans une première étude faite en 1949, nous avions établi la fréquence des brouillards de 1938 à 1948 à l'aéroport de Dubendorf [3], [4]. Nous avons comparé les valeurs trouvées avec celles de Kloten dans le tableau 2:

Tab. 2 (nombre moyen de jours de brouillard en 1 mois — Dubendorf 1938—1948, Kloten 1948–1953)

	Heure GMT	Jan.	Févr.	Mars	Avril	Mai	Juin	Juillet	Août	Sept.	Oct.	Nov.	Déc.
Dubendorf	05	4.1	3.5	2.6	1.3	1.2	0.9	1.7	3.1	7.1	8.5	5.1	4.0
Kloten	05	3.2	4.4	2.6	2.4	1.6	2.2	2.0	4.2	6.0	10.8	5.0	5.6
Dubendorf	07	3.7	3.7	2.6	0.5			0.2	1.5	5.8	6.8	6.0	4.0
Kloten	07	4.8	5.2				0.2	0.6	2.6	3.8	10.1	5.4	6.2
Dubendorf	10	2.6	2.1	0.6							0.3	3.4	2.9
Kloten	10	2.6	2.2	0.4							1.4	2.6	4.8
Dubendorf	13	0.4	0.3									0.9	1.5
Kloten	13	1.4									0.2	1.0	2.8
Dubendorf	16	1.3	0.3	0.1								1.3	1.8
Kloten	16	2.0										1.6	4.2
Dubendorf	18*	1.3	0.3									4.6	2.5
Kloten	18	2.2	0.3								0.6	2.8	4.8

Les nombres soulignés indiquent une augmentation depuis 1948.

* Des observations n'ont été faites régulièrement à 18.00 h que depuis 1944

Nous remarquons que, à l'exception des mois de mars, septembre, novembre et de février l'après-midi, la fréquence des brouillards est en nette augmentation depuis 1948. Si nous calculons la fréquence annuelle à 07.00 h, nous trouvons respectivement 2.9 pour Dubendorf et 3.6 pour Kloten; à 13.00 h nous avons 0.25 et 0.35. S'agit-il d'un effet local ou de situations météorologiques différentes? Nous penchons plutôt pour cette dernière explication, car plusieurs contrôles nous ont montré qu'il était vraiment rare que l'une des places soit plus mauvaise que l'autre, et, par exemple, la forte augmentation en décembre n'est due qu'à la période de brouillard très stable de 1951 qui s'étendait sur tout le Plateau suisse.

II. Fréquence des brouillards par visibilité inférieure à 500 m

Cette limite de 500 m nous a paru intéressante, car elle marque pratiquement la visibilité au-dessous de laquelle il n'est plus permis à un avion de ligne d'atterrir.

Tab. 3

(nombre de cas en 5 ans, par quinzaine)

Mois Heure GMT	Juillet		Août		Sept.		Oct.		Nov.		Déc.		Jan.		Févr.		Mars		Avril		Mai		Juin	
00—01			1	5	9	10	23	18	9	15	13	14	10	9	7	7	2			2	1		1	1
01—02	1		1	5	8	12	25	23	12	15	15	15	7	10	7	12	3		1	2	1	1	5	2
02—03	1	4	2	9	11	12	26	22	12	18	15	15	10	8	7	9	3		2	4	2		3	1
03—04	2	5	5	16	16	17	25	21	13	17	14	17	5	9	7	13	4	2	2	4	5	3	5	3
04—05	3	6	3	17	13	12	26	18	11	15	12	14	6	8	7	13	4	4	2	6	5	5	5	4
05—06	1	6	5	16	15	14	27	20	9	14	10	14	4	9	8	12	7	5	4	7	5	2	4	4
06—07	1	3	4	14	11	14	28	21	8	19	12	18	6	11	8	15	8	4	4	6	3	2	2	1
07—08		2	2	7	7	7	26	17	6	18	14	16	9	9	9	15	9	2	2	3	1		1	
08—09			1	1	1	5	20	12	4	19	13	16	7	8	6	12	8	1	1					
09—10							12	8	3	13	11	15	5	6	4	9	6							
10—11								3	1	10	10	10	4	5	1	7	3							
11—12									1	8	7	6	3	5	1	2								
12—13									1	3	6	5	2	2		1								
13—14										2	6	5	2	2										
14—15									1	4	6	6	3	3										
15—16									1	1	8	7	4	3										
16—17									1	5	10	9	5	4										
17—18									1	8	11	9	5	3										
18—19							2	1	2	9	11	8	4	4	1									
19—20							4	6	2	11	12	10	7	5	3	1								
20—21					1	2	7	10	3	13	15	10	7	6	5	2								
21—22					1	4	15	14	4	11	13	11	10	8	6	3								
22—23				1	2	6	18	16	6	12	13	12	11	8	7	3	2							
23—24				2	4	10	25	14	5	15	14	11	11	9	8	5	2			1		1		
Total	9	26	24	93	99	125	309	244	116	275	271	273	147	154	102	141	61	18	18	35	23	14	26	16

Les isoplètes dessinées sur la fig. 2 ont la même allure que celles de la fig. 1. Il est particulièrement frappant de voir combien le nombre de cas observés est grand et voisin du nombre des cas de visibilité inférieure à 1000 m.

Nous avons additionné pour chaque quinzaine le nombre de cas observés durant la journée entière pour 500 et 1000 m, puis établi le rapport de l'un à l'autre. Voici les résultats obtenus:

Mois	Juillet		Août		Sept.		Oct.		Nov.		Déc.	
Visibilité inférieure à 500 m	9	25	24	93	99	125	310	233	122	278	271	273
Visibilité inférieure à 1000 m	16	30	36	103	111	136	363	287	136	308	314	285
Rapport en %	55 %	85 %	66 %	90 %	89 %	82 %	85 %	81 %	89 %	91 %	86 %	96 %

Mois	Jan.		Févr.		Mars		Avril		Mai		Juin	
Visibilité inférieure à 500 m	147	155	102	139	60	17	18	35	23	14	26	16
Visibilité inférieure à 1000 m	192	203	126	170	71	21	27	49	30	16	33	23
Rapport en %	76 %	76 %	81 %	82 %	85 %	83 %	78 %	72 %	77 %	87 %	79 %	70 %

Dans les mois de brouillard, soit du 15 août au 1er mars, où le nombre de cas observés est élevé, nous constatons que, dans *plus du 80 % des cas, la visibilité dans le brouillard est inférieure à 500 m.* De septembre à décembre, ce rapport se rapproche même de 90 %; en revanche, en janvier et février, il atteint à peine 80 %. Cette différence est très probablement due d'une part à la neige [2] et d'autre part à la température généralement inférieure à 0° au début de l'année. Ce même effet joue aussi un rôle dans la dissolution du brouillard qui est au début de l'année plus rapide qu'en automne; à vrai dire, il s'agit plutôt d'une transformation en brouillard élevé.

A la fin de ce travail, nous avons établi une statistique des jours de brouillard depuis 1936, soit durant une période de 18 ans. Si nous calculons le rapport entre le nombre de jours durant lesquels le brouillard est resté toute la journée et le nombre total de jours de brouillard, nous trouvons pour chaque quinzaine:

Mois	Nov.		Déc.		Jan.		Févr.	
Nombre de jours de brouillard complet	7	13	20	12	5	5	3	0
Jours de brouillard	62	62	54	58	38	42	35	
Rapport en %	11 %	21 %	37 %	21 %	13 %	12 %	9 %	—

Ici encore, le même phénomène apparaît et, *pour la même hauteur du soleil, il y a plus de chances que le brouillard reste la journée entière en automne qu'en hiver.*

III. Fréquence des stratus par plafond inférieur à 1000 m

Tab. 4 (nombre de cas en 5 ans, par quinzaine)

Mois / Heure GMT	Juillet		Août		Sept.		Oct.		Nov.		Déc.		Jan.		Févr.		Mars		Avril		Mai		Juin	
00—01						3	6	17	9	14	21	24	16	19	8	8	6			1	2	2	1	
01—02						4	7	18	9	12	21	24	19	23	7	10	8	1		2	3	2	1	1
02—03	1				1	6	7	21	9	13	21	26	20	26	7	10	9	2		3	3	2	1	
03—04	1				3	7	9	22	11	13	18	30	21	27	7	9	11	2		4	3	3		1
04—05					3	7	9	21	10	15	16	30	21	31	8	11	12	2		3	3	3	3	1
05—06					2	7	14	21	10	17	20	30	19	30	8	12	11	4		4	4	3	3	1
06—07	1	1		1	8	10	15	21	8	17	22	29	20	30	10	12	14	3		5	4	2	2	2
07—08	1	1		4	7	11	16	24	11	14	22	27	19	30	10	12	15	3		8	4	4	1	3
08—09		3		4	10	11	20	25	13	16	15	27	21	29	9	12	14	4	1	8	5	4	3	2
09—10				5	11	14	19	26	13	17	14	25	20	32	9	14	12	4		9	3	4	1	1
10—11				4	8	14	22	26	13	18	17	26	20	33	12	12	14	3		8	3	3	1	1
11—12				2	5	12	23	30	14	20	18	27	20	32	13	12	15	3		6	3	3	1	1
12—13				1	3	9	21	30	15	19	19	28	19	32	12	12	14	1		6	3	3	1	
13—14					3	8	11	23	11	18	15	27	17	31	12	11	11	1		3	2	1	1	
14—15					2	5	8	17	11	14	15	25	16	28	10	7	7	1		3	1	1	1	
15—16					1	3	9	16	10	14	17	25	19	27	9	3	7	1		2	1	1		
16—17					1	3	7	14	7	9	15	25	18	26	8	3	5	1		3	1	1		
17—18					1	3	4	15	7	9	14	26	16	25	8	3	6			3	1	1		
18—19					1	3	5	15	8	9	14	28	17	25	10	2	7			3	1			
19—20					1	2	4	14	7	8	15	28	18	23	9	2	6			3	1	1		
20—21					1	2	4	15	7	9	15	25	18	22	6	4	6			2	1	1		
21—22						1	4	15	6	8	14	25	18	22	5	4	5			2	1	1		
22—23						1	5	14	6	9	14	29	16	21	5	6	5			1	1			
23—24						1	6	14	6	11	16	28	16	20	5	6	6			1	1	1		
Total	4	5		21	72	147	255	474	231	323	408	644	444	644	207	194	226	36	1	93	55	47	21	14

Fig. 3 Fréquence par demi-mois des stratus bas plafond inférieur à 1000 m

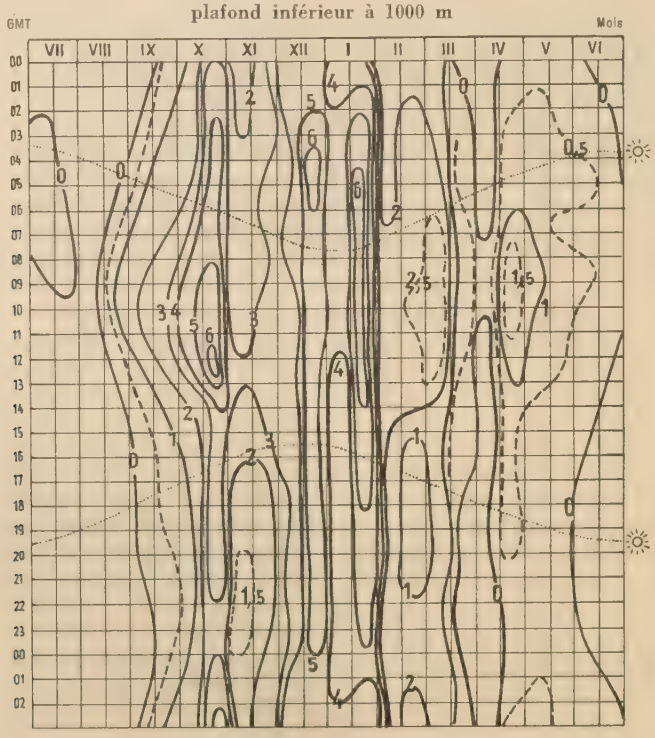

Les isoplètes dessinées sur la fig. 3 sont très différentes de celles du brouillard au sol. Comme la formation des stratus est associée la plupart du temps à des situations anticycloniques très stables, pouvant durer parfois 10 à 15 jours, il est un peu hasardeux d'essayer de discuter cette figure, car la présence d'un tel anticyclone peut augmenter de façon anormale le nombre des cas observés durant une quinzaine. Il faudra attendre au moins dix ans pour tirer des conclusions valables.

Cependant, quelques faits semblent déjà apparaître:

1. En automne, le maximum des cas observés a lieu vers midi, ce qui s'explique par la transformation du brouillard au sol en brouillard élevé, faits fréquemment observés avant la dissolution.

2. Le minimum semble se produire le soir entre 18.00 et 24.00 h, ce qui pourrait s'expliquer par la dissolution de la couche de stratus sous l'influence du rayonnement au sommet de la couche, juste après le coucher du soleil [5], [6].

3. Il semble presque certain que les stratus se dissolvent les après-midi des mois de juin, juillet et août. Mais il n'est pas impossible, cependant, de penser que, par une situation du Nord ou Nord-Est — cas assez rares en été — de l'air maritime subsidant puisse atteindre le nord des Alpes et, par un effet de barrage, créer une couche de stratus pouvant rester toute la journée.

IV. Fréquence des stratus par plafond inférieur à 150 m

Tab. 5 (nombre de cas en 5 ans)

Mois / Heure GMT	Juillet		Août		Sept.		Oct.		Nov.		Déc.		Jan.		Févr.		Mars	Avril		Mai	Juin
00—01								5	2	6	7	4	1	4	1						
01—02						1	1	6	1	4	6	5	3	3							
02—03					1	1		7	1	6	6	4	3	5							
03—04	1				1	1	2	7	2	5	6	6	3	5	1						
04—05					1	1	1	9	1	8	5	6	5	8	1						
05—06					1	1	1	8	1	10	5	7	5	7	1	2					
06—07	1			1	3	3	1	6	1	11	6	7	6	9		2	1				
07—08	1			1	3	2	2	4	2	10	8	6	5	7	1	2	1		1		
08—09		1		1	4	1	1	5	2	10	7	6	5	5	3	1	1	1	1	1	1
09—10				2	2	5	4	10	2	10	7	5	4	6	4	3				1	
10—11					1	3	6	9	2	9	5	6	2	6	3	2	2			1	
11—12							7	9	2	8	6	5	2	3	4	2	2				
12—13							3	1	2	7	8	4	3	2	2	1	2				
13—14							1	2	1	5	6	3	3	3	1	1					
14—15							1		2	5	4	3	1	3							
15—16									1	5	5	4	1	2							
16—17										4	4	4	2	2	1						
17—18								2		4	3	3	3	4	1						
18—19								2		3	3	3	2	6							
19—20								2		4	3	3	2	4							
20—21								2		3	4	3	2	3	1						
21—22								2	1	3	4	4	2	2	1						
22—23									1	4	4	3		3							
23—24								2	1	4	6	3		4							
Total	3	1		5	17	19	31	100	28	148	128	107	65	106	26	16	9	1	2	3	1

Fig. 4 Fréquence par demi-mois des stratus bas plafond inférieur à 150 m

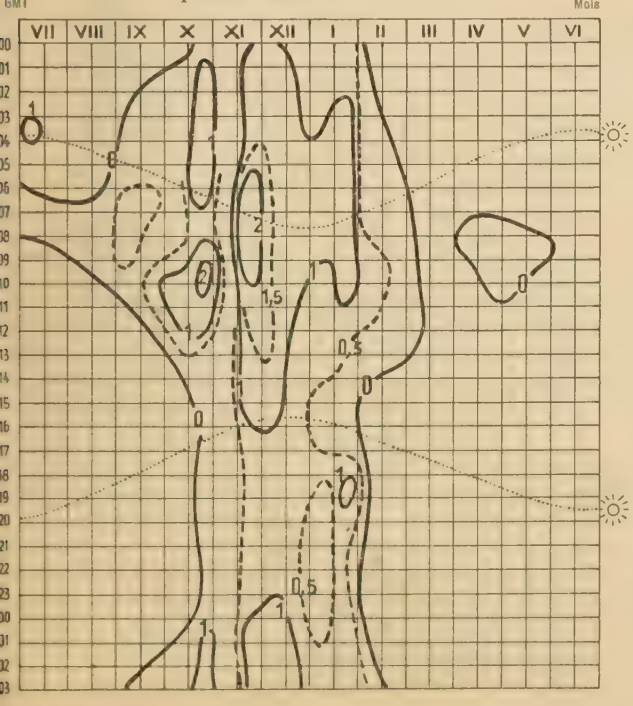

Les isoplètes sont dessinées sur la fig. 4. Le nombre de cas observés est vraiment trop faible pour qu'on puisse tenter de discuter cette figure. Nous l'avons cependant construite, étant donné l'importance de cette limite de 150 m, pour la climatologie aéronautique.

II^e partie

Application des courbes de fréquence à la prévision du brouillard et des stratus

Par l'étude des figures 1 à 4, il est déjà possible d'établir quelques prévisions. Par exemple, les chances de brouillard sont les plus grandes peu après le lever du soleil, les plus faibles entre 12.00 h et 15.00 h.

Cependant, pour faciliter le travail du prévisionniste, nous avons exprimé directement en pourcent le taux de probabilité d'existence de brouillard à telle ou telle heure. Nous avons, dans ce but, établi des courbes de probabilité que nous avons calculées de façon suivante:

Pour chaque heure, nous avons déterminé le rapport entre le nombre de cas observés durant cette heure et le nombre de cas maxima observés en 1 heure durant le demi-mois considéré. Nous avons ainsi obtenu la fig. 5, où les courbes dessinées sont des courbes moyennes, car nous n'avons pas tenu compte des anomalies qui ne se produisaient qu'une fois. Nous voyons, par exemple,

— que le maximum de brouillard a lieu durant la première quinzaine d'octobre entre 02.00 h et 06.30 h:

— que la probabilité d'existence de brouillard

à 07.30 h est supérieure à 75 %
à 08.30 h est supérieure à 50 %
à 10.30 h est supérieure à 25 %

— qu'à partir de 12.00 h, la visibilité sera certainement supérieure à 1000 m.

Pour étudier la formation du brouillard, ces courbes sont encore utilisables. Elles sont, cependant, moins nécessaires, car, en partant des valeurs de la température et de l'humidité à 15.00 h, il est possible de faire une prévision plus précise.

De manière analogue, nous avons construit les courbes de probabilité pour la visibilité inférieure à 500 m (fig. 6), ainsi que pour les stratus par plafond inférieur à 1000 m et à 150 m (fig. 7 et 8).

Fig. 5 Courbes de probabilité d'existence du brouillard visibilité inférieure à 1000 m

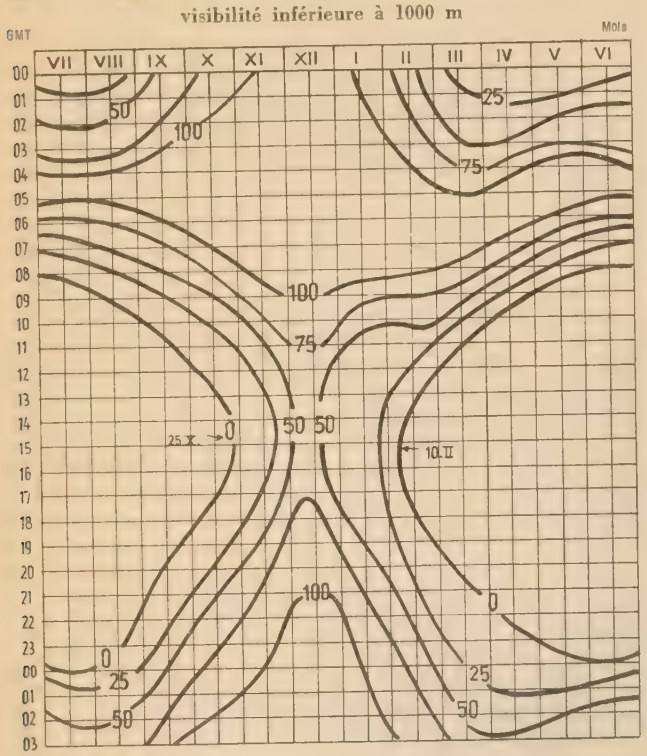

Fig. 6 Courbes de probabilité d'existence du brouillard visibilité inférieure à 500 m

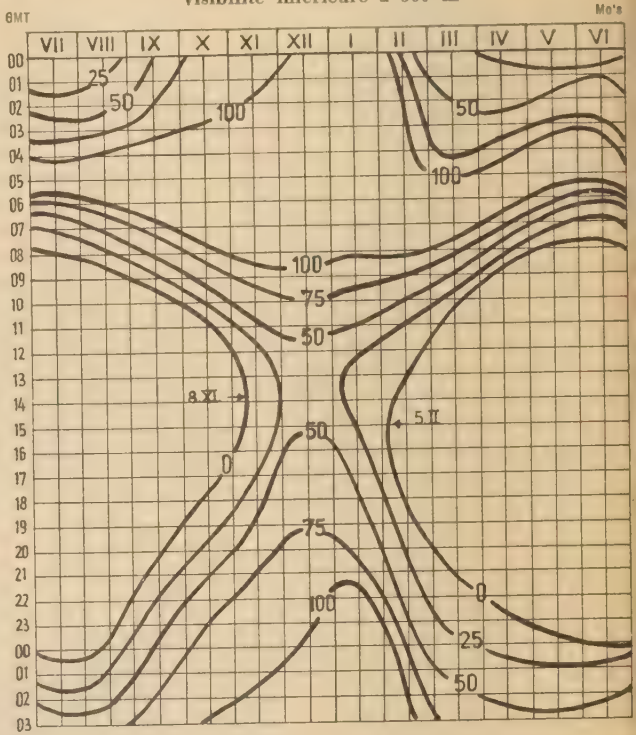

Fig. 7 Courbes de probabilité d'existence de stratus plafond inférieur à 1000 m

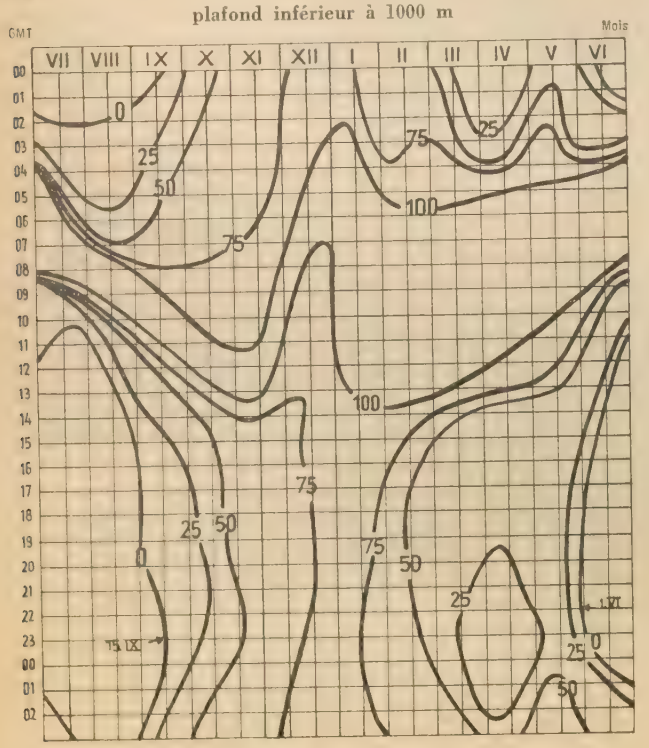

Fig. 8 Courbes de probabilité d'existence de stratus plafond inférieur à 150 m

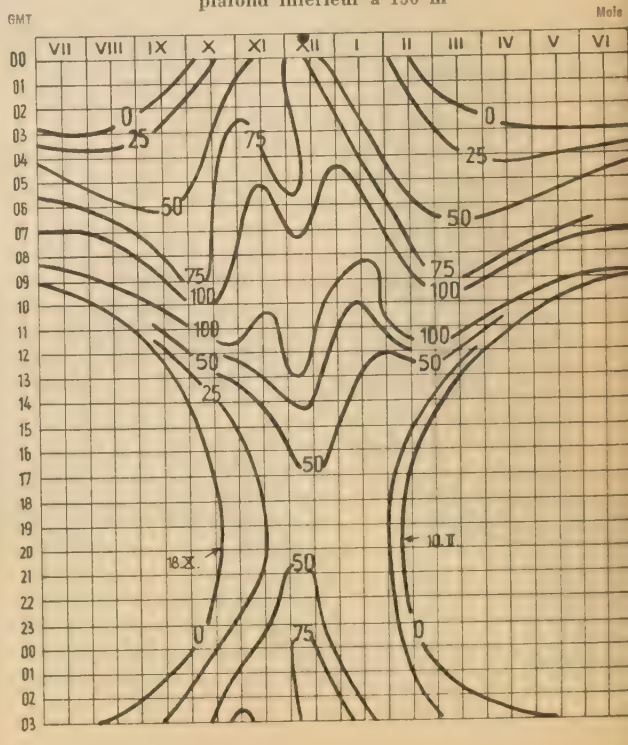

III^e partie

Etude de la Période 1936—1953

Bien que les observations aient été faites en deux endroits différents et que seules les observations faites aux heures synoptiques soient encore disponibles, nous avons pu tirer quelques résultats intéressants de cette période de 18 ans.

A vrai dire même, nous nous étions posé deux questions, auxquelles la période de 1948 à 1953, trop courte, ne permet pas de répondre:

1. Y a-t-il une relation entre, d'une part, la quantité et la durée du brouillard et, d'autre part, la température?

2. Y a-t-il des anomalies dans la variation annuelle du brouillard?

Nous avons, dans ce but, établi une statistique des jours de brouillard et des jours clairs observés durant cette période en fonction de la température. — Nous avons compté un *jour de brouillard* chaque fois qu'à l'une des observations synoptiques du brouillard était ou avait été observé. Malgré l'absence d'observation de nuit jusqu'en 1948, nous pensons que peu de cas ont été omis, car nous avions toujours une observation faite entre 05.00 h et 06.00 h, heure du maximum de brouillard. Pour les *jours clairs*, nous avons admis que toutes les observations synoptiques faites ce jour devaient donner une nébulosité inférieure à 2/8. Ici les résultats obtenus sont moins sûrs, car il est possible que l'absence de brouillard au matin soit due à un ciel couvert durant la nuit; cependant les cas doivent être assez rares où à un ciel couvert succède une journée tout à fait claire. Certes, le vent peut être la cause de l'absence de brouillard, mais les cas sont assez peu nombreux, car la plupart du temps, il se forme, alors, une couche de stratus. — Quant à la température, nous avons pris la valeur minimum observée ce jour-là. Cette température est généralement inférieure de 1 à 2 degrés à celle mesurée dans le brouillard, cette différence pouvant même atteindre 5° si des bancs de brouillard se forment quand la température est inférieure à —10°. — Le 14 décembre 1951, par bancs de brouillard, la température minimum était de —9°, à 08.15 h; le brouillard se forma à une température de —7°; dès 10.15 h, durant toute la journée et la nuit suivante, la température dans le brouillard fut de —5°.

1. Brouillard en fonction de la température

Dans le tab. 6 ci-dessous, nous trouvons indiqué combien de fois, durant cette période de 18 ans, le brouillard fut observé dans un certain intervalle de température, chaque quinzaine, ainsi que les jours où le brouillard a subsisté toute la journée (tab. 7).

Tab. 6 (jours de brouillard, par quinzaine, en fonction de la température, periode 1936—1953)

Temp.	Jan.	Févr.	Mars	Avril	Mai	Juin	Juillet	Août	Sept.	Oct.	Nov.	Déc.	Total
+15—18°							2	2	5				9
+12—15°						1 4	5 10	5 12	11 7	2			57
+09—12°						2 5	4 4	9 21	20 23	5 1			94
+06—09°				1	3 9	8 1	2 7	3 12	22 19	22 18	6		133
+03—06°			1	1 4	5 5	4 3	1 1	1 1	6 14	32 21	8 2		110
+00—03°	2 2	1 2	5 2	3 3	2 3	2		1	9	14 24	13 20	7 4	120
—00—03°	5 8	13 14	14 8	6 2	3					10 11	19 20	27 31	191
—03—06°	15 20	7 21	16 2	1						5	15 15	10 17	144
—06—09°	8	9 1	1 1	1							1 4	10 4	40
—09—12°	10 4	4									1	2	21
—12—15°	2		1									1	4
—15—18°	4	2										1	7
—18—21°		1											1
Total	38 42	35 40	37 14	12 10	13 17	17 13	12 24	20 47	64 72	85 80	62 62	54 60	930

Remarque: Les températures limites 3, 6, 9, etc. ont été comptées dans l'intervalle supérieur; ainsi +6 se trouve entre +6—09, —9 entre —6 et —9.

Tab. 7 (jours entiers de brouillard, période 1936—1953)

Temp.	Nov.	Déc.	Jan.	Févr.	Total
+03—06	1				1
+00—03	1 2	2 1			6
—00—03	2 3	8 5		2	20
—03—06	3 6	7 5	4 5		30
—06—09	2	3 1		1	7
—09—12			1		1
Total	7 13	20 12	5 5	3	65

Nous avons reporté graphiquement, pour chaque saison, ces résultats ainsi que ceux obtenus pour les jours clairs (tab. 8) sur les fig. 9, 10 et 11. Les saisons ont été limitées de la façon suivante:

Printemps	du 15 mars	au 15 juin
Eté	du 15 juin	au 15 septembre
Automne	du 15 septembre	au 15 décembre
Hiver	du 15 décembre	au 15 mars

Tab. 8 (jours clairs, période 1936—1953)

Temp.	Jan.	Févr.	Mars	Avril	Mai	Juin	Juillet	Août	Sept.	Oct.	Nov.	Déc.	Total
+18—21°						1	5 2	2					10
+15—18°						3 5	10 9	7 6					40
+12—15°					5	13 16	25 30	25 8	5				127
+09—12°				2	4 18	22 23	30 46	34 32	15 2	1			229
+06—09°			1	2 9	9 21	28 21	15 11	9 17	14 9	2 4			172
+03—06°			3	8 24	17 8	8 8	4	2 8	11 7	5 3	1 2	1	120
+00—03°	2		5 15	19 32	20 10	2		9	3 7	5 2	1 1	3	128
—00—03°	2 5	3 7	30 57	23 9	7				2	1	1 7	5	159
—03—06°	2 7	3 13	16 6	7 2	1					1 1	6	2 2	69
—06—09°	2	5 11	3								1 2	3 2	29
—09—12°	1	1 2									1		5
—12—15°	1 1											2	4
—15—18°	1 1		1										3
—18—21°	1												1
—18—24°		1											1
Total	6 20	13 33	52 85	59 78	58 62	76 74	89 98	79 72	48 27	14 11	4 19	13 7	1097

Nous constatons que *la plupart des brouillards se forment à des températures comprises entre —06 et +12*, que le maximum se trouve même entre 0 et —06, résultat que nous sommes satisfaits de mettre en évidence, car une règle admise ici à Kloten laissait supposer que, sur sol gelé, le risque de brouillard était moins grand que sur sol humide. *Le maximum de brouillard restant toute la journée* est aussi observé au-dessous de 0, plus *spécialement entre —03 et —06*. A des températures inférieures à —06, le nombre de cas de brouillard diminue considérablement et la proportion de jours clairs augmente. Moins du 9 % des cas de brouillard commencent à des températures inférieures à —06 et, dans le 90 % des cas, ils se dissolvent au cours de la journée.

Fréquence des jours clairs en fonction de la température (intervalle de 3° en 3°)

Fig. 9 Période 1936—1953

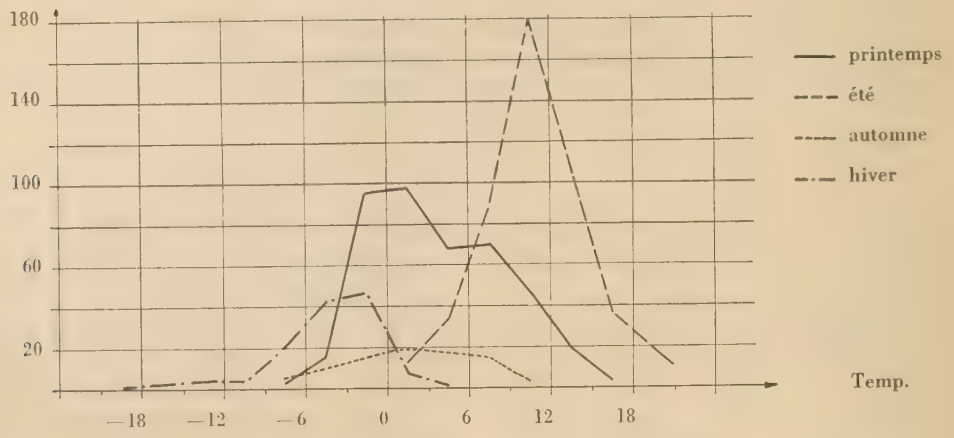

Fréquence des jours de brouillard en fonction de la température (intervalle de 3° en 3°)

Fig. 10 Période 1936—1953

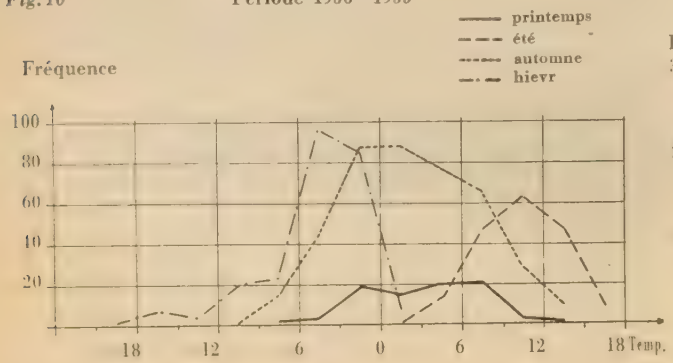

Fréquence des jours de brouillard complet en fonction de la température (intervalle de 3° en 3°)

Fig. 11 Période 1936—1953

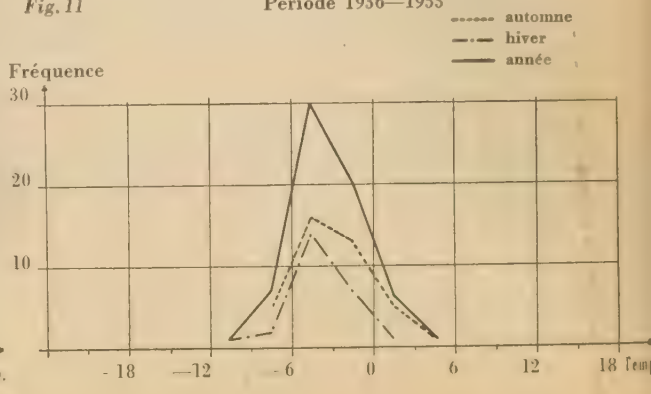

2. Variation annuelle des jours de brouillard et des journées claires

Sur la fig. 12, nous avons représenté par la courbe n° 2 les nombres de jours de brouillard observés par quinzaine durant cette période 1936—1953, indépendamment de la température. Cette courbe présente trois périodes bien distinctes:

du 15 mars au 15 août, période stationnaire avec moyenne 1,5 à 2 jours de brouillard par mois;

du 15 août au 15 octobre, augmentation rapide jusqu'à 10 jours de brouillard par mois;

de fin octobre à mars, période assez stationnaire avec 4,5 à 5,5 jours de brouillard par mois.

La courbe n° 1 des jours clairs accuse son maximum en juillet avec 10 jours par mois, puis il y a diminution progressive jusqu'à 1 jour par mois en novembre et décembre; en janvier et février, augmentation à 2 jours, puis en mars augmentation rapide à 7 jours jusqu'à fin juin.

En comparant ces résultats aux statistiques de la SCSM pour Zurich de 1864 à 1938 [7], il y a quelques différences assez nettes:

En mars, avril, juin et juillet, nous avons observé un nombre plus considérable de jours clairs; cependant, les belles années de 1945, 1947, 1949, 1951 et 1952 doivent certainement jouer un rôle non négligeable dans cette période de 18 ans; en février, septembre et octobre, nous avons, en revanche, des nombres inférieurs; ceci provient de la situation, car il y a moins de brouillard à Zurich-ville que dans la plaine de la Glatt.

Sur la même fig. 12, la courbe n° 4 indique le rapport en % entre les jours clairs et le nombre total des jours de brouillard et des jours clairs observés; l'allure de cette courbe correspond assez bien à ce que l'on pouvait prévoir, tout au plus est-il intéressant de remarquer qu'à la fin novembre il y a plus de chance de journées claires qu'en octobre et décembre. — Les courbes n^{os} 3 et 5 représentent le nombre total observé de jours de brouillard complet; nous remarquons ce que nous avons déjà signalé à la page 3, soit que le maximum a lieu à la fin de l'année et qu'en janvier, malgré la même hauteur du soleil, leur nombre est beaucoup plus petit.

Fig. 12

Courbes de fréquence des jours de brouillard et des jours clairs
Période 1936—1953

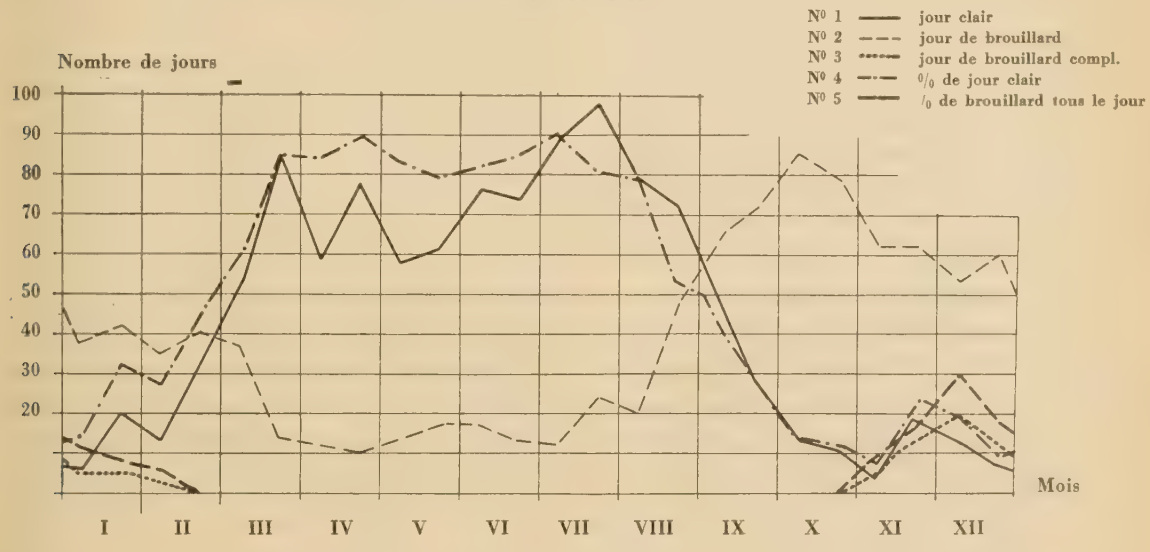

Littérature:

1 *Schüepp M.:* «Wolken, Wind und Wetter». Büchergilde Gutenberg, Zurich 1950.

2 *Petterssen S.:* «Weather Analyses and Forecasting», New York 1940.

3 *Zingg Th.:* «Die Nebel- und Hochnebelhäufigkeiten in Dübendorf in den Jahren 1938—1944». Annalen der MZA 1944.

4 *Schneider R.:* «Etude sur la fréquence et la prévision du brouillard sur les aéroports de Zurich-Kloten et Zurich-Duebendorf». MZA 1949, publication interne.

5 *Wexler R.:* «The dissipation of radiation fog». Bul. Am. So. 1941.

6 *Wexler R.:* «On the radiation cooling of a layer of fog». Bul. Am. So. 1945.

7 *Uttinger H.:* «Vom Zürcher Klima». Zürcher Statistische Nachrichten 1940.

Recherches de technique pluviométrique, X

par le prof. hon.

P.-L. Mercanton,

ancien Directeur de la Station centrale suisse de météorologie

Préambule

Les recherches systématiquement poursuivies à la Station centrale par les soins du soussigné, alors directeur de cet établissement, avaient démontré amplement la nécessité d'un champ d'essais au grand air, où les divers instruments, pluviomètre de service quotidien ou totalisateur de service espacé, seraient soumis ensemble à des conditions de climat parfois très dures, mais sous une ventilation naturelle, identique pour tous.

Un tel champ d'essais a pu être organisé dès le printemps de 1941 à la Vallée (Jura Vaudois), à quelque 1015 m d'altitude, au droit du Collège du Chenit, au lieu dit «Vers chez le Maître», près Le Sentier et à 2 km en amont du Lac de Joux. L'Orbe serpente là dans une plaine sensiblement horizontale, large de 3/4 de km, entre les chaînes parallèles du Risoux et du Mont-Tendre, qui canalisent les souffles secs et froids du secteur Est-Nord (EN) et ceux porteurs de précipitations du secteur Ouest-Sud (WS). Cet emplacement a également été choisi pour des raisons d'ordre pratique multiples qu'on trouvera exposées en détail aussi sous chiffre V des Recherches (Annales MZA 1940). Les particularités de situation et d'équipement initial du champ y sont données, et le plan en rappellera l'ordonnance.

Ultérieurement, quelques changements y sont survenus: l'extrême rigueur de certains hivers a, malgré tous nos efforts, amené la ruine du pluviototalisateur à vidange mensuelle, que l'introduction de chlorure de calcium n'a pas suffi à préserver du gel et de l'éclatement consécutif. D'autre part, le chauffage électrique du totalisateur ellypsoïdal, installé à grands frais de ligne d'amenée et d'appareils de réglage, s'il a fonctionné au début à satisfaction au prix d'une forte dépense de courant, n'a malheureusement pas été surveillé avec autant de minutie qu'il l'eût fallu et un thermostat installé plus tard en désespoir de cause s'est montré insuffisant à lutter contre des froids de —25° et en-dessous. Durant une série d'étés, on a pu expérimenter le pluviomètre sphérique Haas-Lütschg. Malheureusement, il n'a pas été possible de l'essayer sous chauffage pendant l'hiver. Enfin, au cours des investigations, l'écran en forme de poulie ou «diabolo» d'un des appareils d'angle du champ a été dépouillé successivement de ses flasques horizontales supérieure et inférieure, afin de supprimer le rejaillissement de la pluie ou le balayage de la neige tombée.

J'examinerai successivement le comportement des divers appareils, mais auparavant je tiens, en mon nom personnel comme au nom de la Station centrale suisse de météorologie, à remercier ici le fidèle opérateur du champ d'essai, M. le Professeur Pierre Baud, qui, durant ces dix années, de mai 1941 à fin avril 1952, a eu le soin du champ. Il y a fait, secondé par ses meilleurs élèves, des observations fréquentes, veillé au bon fonctionnement des appareils et à leur entretien, effectué lui-même les délicates operations mensuelles de l'engin totalisateur, enfin contrôlé, mois après mois, à la sonde, les deux totalisateurs annuels. Le soussigné l'a assisté personnellement chaque automne dans les opérations fondamentales de vidange et de remplissage de ces derniers, travail de pesage exigeant une grande minutie.

La coopération éclairée de M. Baud est d'autant plus méritoire que l'accès du champ d'essais, en dépit de son éloignement modéré du Collège où il enseigne, est souvent très pénible durant la mauvaise saison; que notre collaborateur habite au Sentier et qu'enfin, contrairement à ce que nous espérions et en raison de la mobilisation de guerre, puis de la pénurie de main d'œuvre ultérieure, il n'a pu se faire suppléer convenablement durant ses vacances scolaires ou son service militaire, d'où de regrettables lacunes, en été notamment.

Néanmoins, cette expérience démontre qu'un champ d'essai pluviométrique en régions d'hivers neigeux requiert impérieusement un observateur dont ce soit la principale activité et habitant sur les lieux mêmes. Cette activité impliquerait en effet le fonctionnement continu d'un véritable observatoire fournissant à tout instant les données nécessaires sur la température de l'air, ainsi que le genre de précipitations, mais plus encore sur la direction et la force du vent. Nous devions d'emblée renoncer à une telle installation et nous contenter de comparer les mesures obtenues simultanément des divers engins du champ. L'exiguïté de celui-ci et une distribution judicieuse des appareils quant à la direction générale des souffles pluvieux, la longue durée aussi des essais, concèrent cependant aux indications de nos divers engins une valeur de comparaison suffisant à les qualifier ou disqualifier pour le service qu'on en attendrait. Il va sans dire, d'ailleurs, que M. Baud s'est astreint à noter aussi direction et force du vent observé lors des chutes d'eau et s'il s'agissait de neige ou de pluie.

Cette discrimination n'a toutefois pas toujours été faite avec la précision désirable. Cela tient d'une part au fait qu'en certains mois de transition thermique, la pluie succède fréquemment à la neige ou inversement durant la même journée, et aussi à ce que, trop souvent, les intervalles de contrôle des appareils ont été trop longs, laissant les engins recevoir indistinctement pluie et neige. Les carnets d'observations ne laissent reconnaître sûrement que 63 emmagasinements de neige seule, et 132 de pluie pure; en outre, ils indiquent neige et pluie 53 fois. Ces 248 notations sont en nombre bien inférieur à celui qu'on obtiendrait d'un pluviomètre lu chaque jour.

J'exposerai ici successivement les données obtenues des divers instruments, mais en les groupant aussi au besoin en tableaux comparatifs, quand elles sont de la même époque et de la même période.

Mais auparavant, il faut insister sur un fait essentiel: l'apport hydrométéorique de l'atmosphère au champ d'essais ne nous étant pas connu a priori, c'est aux engins pluviométriques à le déterminer. Toutefois, aucun d'entre eux ne saurait être assez parfait pour servir d'étalon, comme, par exemple, un bon thermomètre pour la température. Tout au plus l'un ou l'autre des dispositifs peut-il servir de référence pour les autres et ceci seulement dans le cas où l'arrosage céleste soit le même pour tous. C'est d'ailleurs ce que l'on attend et peut légitimement attendre d'un champ d'essai constitué, disposé et limité tel que le nôtre. La pratique a consacré un peu partout l'emploi du pluviomètre du type «Hellmann» de 200 cm², s'ouvrant horizontalement et placé à hauteur d'homme en un endroit abrité du vent par des obstacles: arbres, édifices, etc. assez voisins. Un tel entourage était précisément exclu pour notre champ d'essais; c'est donc à un Hellmann ventilé comme les autres engins que nous aurons à faire ici et l'on verra que son comportement à l'air libre est sujet à réserves.

A défaut de raisons impérieuses imposant le choix de tel ou tel engin, on eût pu, évidemment, rapporter les données des divers instruments à la moyenne générale; mais la remarquable harmonie des valeurs fournies par les deux grands totalisateurs annuels érigés aux deux extrémités de la diagonale du champ nous a incité à prendre plutôt la moyenne de ces valeurs comme base de comparaison des appareils, et leur qualification.

Pour la clarté de notre exposé, nous donnons ici, avec le plan et des vues de l'installation, la reproduction d'un fragment de la carte nationale donnant la situation topographique du champ. Nous examinerons maintenant les données, appareil par appareil. Elles sont réduites à l'ouverture normale de 200 cm² sur mesure exacte des ouvertures réelles de chaque appareil. Les corrections étaient d'ailleurs de l'ordre, minime, de quelque 0,01 %.

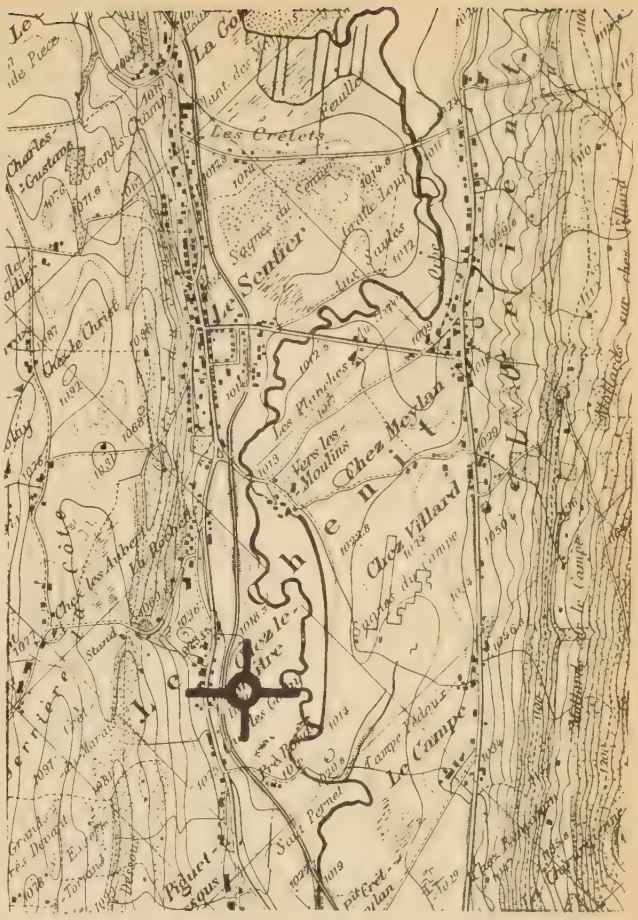

Fig. 1 Plan de situation, carte nationale (Sentier) à 1/25 000.
Reproduction avec autorisation du Service topographique fédéral du 20 octobre 1953.

Fig. 2 Le champ d'essai vu vers le NE en 1941.

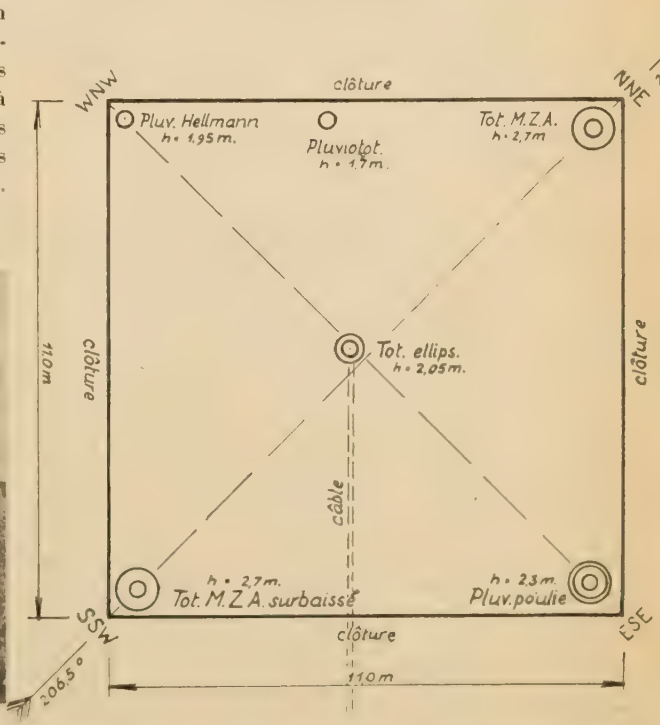

Fig. 3 Plan de répartition des engins sur le champ d'essais

Totalisateurs

Les deux grands totalisateurs du modèle de la Station centrale (MZA) différaient seulement en ceci que celui de l'angle Sud du champ et désigné par Sud 4 avait le rebord supérieur de son écran à 15 cm au-dessous de l'ouverture pluviométrique (200 cm²). Les essais au tunnel aérodynamique ayant démontré cette disposition rendaient le totalisateur neutre dans un vent horizontal; l'autre engin Nord 3, à l'angle Nord du champ, était le modèle de la MZA (Maurer et Billwiller) avec le bord de son écran à la hauteur même de l'ouverture. Les deux réservoirs recevaient initialement au début de novembre, dans la règle, une solution de 6000 g de chlorure de calcium (chlor. puriss. exiccatum) et 6.000 gr d'eau, que surmontait une couche de 2 mm d'huile de vaseline. Chlorure et eau étaient chaque fois soigneusement pesés, de manière à avoir strictement la même quantité des deux matières, ce qui permettait l'application aisée des tabelles de densité de la solution, quand on en connaissait la température. On prenait celle-ci lors de chaque contrôle mensuel et notamment lors de la vidange annuelle. Cette dernière se faisait avec l'aide d'une balance romaine portative pesant jusqu'à 6 kg, 5 gr près, et qu'on suspendait au bâti du totalisateur. On prélevait systématiquement des échantillons de la liqueur écoulée, dont on déterminait la densité à l'aréomètre. Chaque mois, et lors de la vidange aussi, on procédait à la mesure de la distance de la nappe liquide à l'ouverture pluviométrique au moyen de la sonde à pointeau de la MZA, décrite dans «Recherches de techniques pluviométriques VI, Annales MZA 1940». Cette sonde s'est avérée extrêmement sûre et pratique; il y aurait lieu, toutefois, de substituer à sa pointe de laiton très effilée, et par conséquent un peu délicate, une pointe identique d'acier inoxydable. On trouvera dans le tableau général I et les tableaux II et III les éléments de comparaison de ces deux engins.

Champ d'essais du Sentier

Tab. I — Hauteurs d'eau recueillies par les divers engins, en mm (réduites à 200 cm²)

Epoques	Hellmann sans écran	Hellmann à écran en poulie	Ellipsoïdal	Totalisateur MZA normal N. 3	Totalisateur MZA à écran abaissé S. 4	Hellmann Collège 1020 m
3. 7. 1941 — 30. 10. 1942	1333	—	1464	1668	1666	1481
30. 10. 1942 — 1. 10. 1943	1106	1146	1202	1016	1018	1182
1. 10. 1943 — 30. 10. 1944	1258	1243	1354	1194	1201	1371
30. 10. 1944 — 6. 11. 1945	1357	1333	1412	1453	1460	1574
6. 11. 1945 — 4. 11. 1946	1385	1398	1448	1336	1330	1471
4. 11. 1946 — 7. 11. 1947	1111	1110	1211	1102	1086	1165
7. 11. 1947 — 1. 11. 1948	1751	1730	1730	1640	1632	1754
1. 11. 1948 — 1. 11. 1949	899	852	929	848	844	907
1. 11. 1949 — 10. 11. 1950	1450	1381	1425	1224	1204	1401
10. 11. 1950 — 2. 5. 1951	965	1021	1020*	1011	996	958
3. 7. 1941 — 2. 5. 1951	12615	(11214)	12175	12492	12437	13264 (13240) corrigé
30. 10. 1942 — 1. 10. 1943	11282	11214	11730	10824	10771	11783

* Interpolé

Champs d'essais pluviométriques au Sentier — Détails mensuels

Tab. I bis

1946 Intervalles	Hellmann sans écran	Hellmann à écran en poulie	Pluvio-totalisateur	Ellipsoïdal	Totalisateurs N° 3 Sondages mm	Totalisateurs N° 3 Gains l	Totalisateurs N° 4 Sondages mm	Totalisateurs S Gains l
6. 11. 1945 — 1. 2. 1946	296.2	313.0	avarié	328.0	940.3	30.0	940.3	29.0
1. 2. 1946 — 27. 2. 1946	185.7	198.5	par gel.	218.0	910.1	19.5	911.1	20.5
27. 2. 1946 — 4. 4. 1946	23.4	25.0	30.5	26.4	890.7	2.5	891.3	2.0
4. 4. 1946 — 3. 6. 1946	190.1	189.8	204.0	192.0	888.3	17.5	889.3	17.0
3. 6. 1946 — 8. 7. 1946	95.0	187.7	205.8	203.0	870.9	20.0	871.5	18.5
8. 7. 1946 — 2. 9. 1946	255.7	248.9	264.5	243.2	852.8	22.0	853.0	24.5
2. 9. 1946 — 2. 10. 1946	157.7	154.9	162.0	152.6	814.1	14.5	814.3	14.5
2. 10. 1946 — 4. 11. 1946	82.2	80.8	84.7	84.0	807.1	1.4	807.3	14.0
4. 11. 1946 — 8. 1. 1947	195.2	200.7	avarié et supprimé	180.0	937.3	Remplissage	938.1	—
					918.3	4. 12. 46	919.8	—

Nota bene:
Pour les totalisateurs Nos 3 et 4 le chiffre de gauche est le sondage en mm. Le sondage de droite est l'accroissement du contenu en litres.

Champ d'essais du Sentier

Tab. I ter — Ecarts des hauteurs d'eau mesurées par les engins, avec la moyenne des deux totalisateurs N° 3, N et 4 S, MZA, en millimètres N. 3 et S. 4

Epoques	Hellmann normal		Hellmann avec écran-poulie		Ellipsoïdal		Totalisateurs Moyennes No 4, S
	écarts	%	écarts	%	écarts	%	
3. 7. 1941 — 30. 10. 1942	—334	— 20.0	—	—	—203	— 11.9	1667
30. 10. 1942 — 1. 10. 1943	+ 89	+ 8.7	+129	+ 12.6	+185	+ 18.1	1017
1. 10. 1943 — 30. 10. 1944	+ 61	+ 5.0	+ 46	+ 3.8	+157	+ 13.0	1197
30. 10. 1944 — 5. 11. 1945	— 99	— 6.8	—123	— 8.4	- 44	— 3.0	1456
5. 11. 1945 — 4. 11. 1946	+ 52	+ 3.8	+ 65	+ 4.9	+115	+ 8.6	1333
4. 11. 1946 — 7. 11. 1947	+ 18	+ 1.7	+ 17	+ 1.6	+118	+ 10.8	1093
7. 11. 1947 — 1. 11. 1948	+115	— 7.0	+ 94	+ 5.7	+ 94	+ 5.7	1636
1. 11. 1948 — 1. 11. 1949	+ 53	+ 6.2	+ 6	+ 0.7	+ 2	+ 0.2	846
1. 11. 1949 — 10. 11. 1950	+236	+ 19.5	+167	+ 13.5	+211	+ 17.4	1214
10. 11. 1950 — 2. 5. 1951	— 38	— 3.8	+ 18	+ 1.8	—	—	1003
Moyenne		+ 0.75		+ 4.0		+ 6.5	

Le premier fait saillant est la minime différence entre les quantités d'eau météorique emmagasinée annuellement par les deux appareils. Elle n'atteint en effet en moyenne, pour toute la période (10 ans), que 0,47% en faveur du totalisateur N° 3 (Nord 3) MZA normal, donc un excès de 0,47% sur le totalisateur à écran abaissé, plus neutre dans le vent. Les différences constatées d'une année à l'autre entre les deux appareils restent d'ailleurs fort petites; elles varient de sens entre les limites de —0,2 et +1,6 en % (tableau II). Ces engins occupant les positions extrêmes du champ, nous pouvons donc être tout à fait assurés que la ventilation des autres appareils était la même et qu'il est donc légitime de rapporter leurs indications à la moyenne de celles des deux totalisateurs. On constate d'autre part que les quantités recueillies par ces derniers et les densités du contenu restent aussi sensiblement égales tout le long de l'année, d'où il apparaît qu'on peut légitimement rapporter les observations des autres engins à la moyenne de cette paire de totalisateurs, ce que le tableau I fera d'ailleurs.

Les quantités reçues en hiver ne diffèrent entre elles que de 2 % en faveur de N° 3; en été, l'écart est nul. Cet excès hivernal en faveur du totalisateur MZA usuel paraît dû à la position trop élevée de l'écran pour la neige; l'inconvénient n'est pas insensible pour la pluie. Ceci légitimerait l'emploi du totalisateur Sud 4 comme engin de préférence. Mais l'emploi de la moyenne des deux engins peut se défendre.

Champ d'essais du Sentier

Tab. II — Hauteurs d'eau météoriques mesurées par les deux totalisateurs du type MZA N° 3 N (Nord) et N° 4 S (Sud)

Epoques	Tot. N° 3, N		Tot. N° 4, S (écran abaissé)		Différences N° 3 — N° 4	
	H mm	D_{15}^0	H mm	D_{15}^0	△ H mm	△ H %
25. 4. 1941 — 30. 10. 1942	1707.5	1,090	1703.5	1,09	+ 4	+ 0.25
30. 10. 1942 — 30. 9. 1943	1016	1,016	1018	1,132	— 2	— 0.2
1. 10. 1943 — 30. 10. 1944	1193.5	1,1055	1200.5	1,1055	— 7	— 0.6
30. 10. 1944 — 5. 11. 1945	1452.5	1,098	1460	1,097	— 7.5	— 0.5
5. 11. 1945 — 4. 11. 1946	1336	1,110	1330	1,110	+ 6	+ 0.4
4. 11. 1946 — 7. 11. 1947	1101.5	1,135	1086	1,140	+15.5	+ 1.6
7. 11. 1947 — 1. 11. 1948	1639.5	1,101	1631.5	1,102	+ 8	+ 0.5
1. 11. 1948 — 14. 11. 1949	939	1,139	932	1,140	+ 7	+ 0.75
14. 11. 1949 — 10. 11. 1950	1224	1,1175	1204	1,118	+20	+ 1.6
10. 11. 1950 — 2. 5. 1951	1010.5	1,138	996	1,139	+14.5	+ 1.5
	12620	—	12561.5	—	+58.5	+ 0.45

NB. Les écarts en % entre les deux totalisateurs (dernière colonne) sont calculés sur la base des hauteurs en 4 S.
D_{15}^0 = densité à la température de 15°.

Le tableau II renferme année et après année les hauteurs de précipitations en mm et les densités de la liqueur lors de la vidange annuelle, ceci pour toute la durée de fonctionnement du champ. Du 25 avril 1941 au 2 mai 1951, N. 3 a mesuré 12 620 mm d'eau météorique; Sud 4, 12 560 seulement, soit +0,47% en faveur de N. 3.

Le tableau III fait le départ entre les précipitations recueillies par ces totalisateurs en hiver ou en été, en litres, simplement à partir du 6 novembre 1941 jusqu'au 2 mai 1951. La somme pour les dix hivers a été de 115 litres pour N. 3 et de 112,85 pour S. 4, soit un avantage de 2 % pour N. 3. Pour la saison chaude, la somme globale a été sensiblement la même: 118 litres pour les deux appareils.

Champ d'essais du Sentier

Tab. III Comparaison des contenus bruts d'eau (en litres) recueillis par les totalisateurs N° 3, N et N° 4, S

Périodes d'hiver	Hiver Total en litres			Eté Total en litres		
	No 3, N	No 4, S	Diff. No 3 — No 4	No 3, N	No 4, S	Diff. No 3 — No 4
6. 11. 1941 — 4. 4. 1942	6.7	6.7	0.0	13,3	13.4	— 0.1
2. 11. 1942 — 5. 4. 1943	7.6	7.5	+ 0.1	13.8	14.0	— 0.2
1. 10. 1943 — 18. 3. 1944	8.1	8.05	+ 0.05	15.0	15.1	— 0.1
2. 11. 1944 — 11. 5. 1945	18.3	18.2	+ 0.1	9.8	9.8	0
6. 11. 1945 — 4. 4. 1946	10.4	10.3	+ 0.1	16.2	16.3	— 0.1
4. 11. 1946 — 3. 4. 1947	12.2	11.5	+ 0.7	9.5	9.4	+ 0.1
8. 11. 1947 — 11. 5. 1948	17.8	17.6	+ 0.2	14.8	14.8	0
2. 11. 1948 — 7. 5. 1949	8.4	8.2	+ 0.2	12.2	12.0	+ 0.2
16. 11. 1949 — 19. 5. 1950	11.0	10.9	+ 0.1	13.4	13.1	+ 0.3
17. 11. 1950 — 2. 5. 1951	14.5	13.9	+ 0.6	—	—	—
Somme en litres . . .	115.0	112.85		118.0	117.9	

NB. Les quantités sont exprimées en litres bruts.
Après réduction des ouvertures pluviométriques à 200 cm², les *différences* moyennes deviennent: hiver + 0.205, été: 0.000.
Les chiffres des trois dernières colonnes sont ceux des périodes estivales séparant les périodes hivernales indiquées en col. 1.

En résumé, on voit que les deux modèles de totalisateurs annuels donnent des résultats très peu différents. Le type à écran abaissé a toujours emmagasiné moins que l'autre, soit 0,6 % pour la série complète des dix années. Plus neutre dans le vent, il serait rationnel de le prendre pour appareil normal et, par conséquent, de corriger dorénavant toutes les données obtenues de nos totalisateurs MZA de — 6 millièmes de leur indication, si les conditions usuelles de leur emplacement ne rendaient une telle précision illusoire.

Pluviomètre ellipsoïdal

Cet engin, comme on le voit par le tableau N° 1, a fourni des résultats certes bien différents de ceux que ses qualités aérodynamiques permettaient d'espérer. Il a presque toujours emmagasiné notablement plus que les autres appareils. En remplaçant le dernier chiffre qui manque par la simple moyenne mesurée par les autres appareils, 1020 mm environ, l'ellipsoïde a compté en tout 13 175 mm d'eau, soit environ 8,5 % d'excès, alors que les dépassements des autres, Hellmann normal et Hellmann à écran en poulie, étaient de l'ordre de 4 % seulement. Un tel résultat ne peut s'expliquer, me semble-t-il, que par l'incomplète élimination des deux effets nuisibles au correct emmagasinage des précipitations par les engins pluviométriques, à savoir le rejaillissement des gouttes de pluie ou l'entraînement des flocons de neige reçus par les alentours de l'ouverture pluviométrique, dans celle-ci. L'oursin s'est sans doute montré impuissant à empêcher totalement le rejaillissement des gouttes, tandis que le chauffage défectueux de la calotte était incapable d'arrêter les flocons atterris sur elle. L'ellipsoïde recevait chaque mois sous une couche d'huile de 2 mm deux litres d'eau, qu'on additionnait en hiver d'une bonne quantité de chlorure de calcium. Malgré cela, en raison de la rudesse du climat hivernal de la Vallée, le contenu de l'appareil a été trop souvent trouvé gelé à bloc et l'observateur a eu fort à faire à le dégeler à grand renfort d'eau chaude, ce qui n'a pas contribué à l'exactitude des mesures. La vidange avait lieu tous les mois par jaugeage volumétrique de la liqueur. Ce résultat est décevant; il n'est pas certain toutefois qu'un pluviomètre ellipsoïdal de ce genre, surveillé plus étroitement, ne puisse fournir des résultats plus corrects dans un observatoire, mais il ne semble pas présenter d'intérêt pour la pluviométrie usuelle.

Pluviototalisateur

Cet appareil, décrit dans «Recherches VIII, Annales MZA 1944», a été mis trop fréquemment hors service par la congélation brutale de son contenu, en dépit du chlorure de calcium qu'on y avait ajouté. Irrémédiablement avarié en hiver 1946/47, il n'a pas été remplacé, ses bonnes qualités fonctionnelles ayant été dûment constatées antérieurement à Zurich, sous un climat plus clément. Placé à la MZA, à côté du Hellmann normal, il avait totalisé mensuellement des quantités d'eau généralement égales et parfois même légèrement supérieures à celles de son voisin, mais c'était en saison chaude. En hiver, les manipulations forcées de chlorure de calcium sont peu favorables à l'exactitude des mesures et, comme l'expérience du Sentier l'a montré, volontiers insuffisantes à garantir la sécurité du dispositif. On le réservera donc à des endroits où le gel n'est pas à craindre.

Le peu que nous ayons pu obtenir de sûr à la Vallée, et en toute saison, à savoir: une trentaine de relevés mensuels de l'été 1941 à fin 1946, entrecoupés de mises hors service et réparations du pluviototalisateur à diverses reprises, donne:

Hauteurs totales en mm (après réduction à 200 cm² d'ouverture)

Pluviototalisateur	Hellmann normal	Diff. Pl — H
3359	3177	182 soit + 5,7 %

Pourtant, ici aussi, les deux instruments distants de quelque 3 m et situés dans les mêmes conditions de ventilation et de hauteur, ont dû recevoir sensiblement les mêmes quantités d'eau météorique. Les quantités de solution saline introduites contre le gel dans le totalisateur ont-elles toujours été bien décomptées par l'observateur?

Pluviomètre sphérique Haas-Lütschg

De 1926 à 1949, durant la saison chaude seulement, nous avons pu expérimenter le pluviomètre sphérique Haas-Lütschg, obligeamment prêté par l'Institut de Recherches des Eaux et Terres de l'Ecole Polytechnique fédérale. Ce genre d'appareil doit, selon ses inventeurs, emmagasiner correctement les précipitations, quelle que soit l'inclinaison imposée par le vent aux trajectoires des particules aqueuses, gouttes ou flocons, que l'instrument reçoit sur sa surface sphérique percée de trous ronds faisant ensemble, en projection sur le plan équatorial, la surface classique de 200 cm² *. Des rebords saillants sont censés empêcher l'entrée de l'eau atterrie entre les trous, tandis que des chicanes internes conduisent les précipitations recueillies dans un réservoir commun. On voit aussitôt que le dispositif Haas-Lütschg nous écarte de la définition usuelle en pluviométrie qui suppose l'horizontalité de l'ouverture de mesure. En l'absence de vent, le sphérique Haas-Lütschg devra donc fournir la même mesure qu'un pluviomètre usuel, ce que les inventeurs ont d'ailleurs vérifié eux-mêmes naguère à Sonzier. Par le vent, il emmagasinera systématiquement davantage. La signification de cet excès n'est pas claire météorologiquement. Un chauffage est prévu pour la saison des chutes de neige, mais nous n'avons pas pu l'expérimenter non plus. Le tableau IV présente les quelques résultats acquis, et en saison chaude seulement.

Le pluviomètre sphérique est d'autre part sans défense suffisante contre le rejaillissement des gouttes et le balayage des flocons dans les ouvertures pluviométriques.

Pluviomètre Hellmann à écran en poulie

Un autre dispositif de contrôle retiendra à meilleurs titres notre attention: le pluviomètre de Hellmann cerné de l'écran métallique en forme de poulie doublement tronconique rappelant la poulie ou le «diabolo» (Recherches Annales MZA 1938). Dans sa forme initiale, le double corps de l'écran, vertical, se terminait en haut comme en bas par des flasques de tôle pleines en anneau circulaire et c'est sous cette forme qu'il a été soumis primitivement au contrôle de la soufflerie, en modèle réduit, puis réalisé en grandeur d'emploi.

La neutralité aérodynamique du dispositif s'est avérée parfaite pour le corps pluviométrique Hellmann centré à l'intérieur de l'écran avec ouverture supérieure et fond plat dans les plans même des rebords de l'écran. Des essais ont été faits à Zurich pour éliminer le rejaillissement des gouttes arrivant sur la flasque supérieure ou le balayage des flocons atterris sur elle. A cet effet, on a fait poser une contre-flasque en treillis métallique (mailles 1 cm) à 1 cm au-dessus de la dite flasque. Si le résultat a été somme toute assez satisfaisant pour la

Tab. IV — Champ d'essais du Sentier

Comparaison des pluviomètres sphériques Haas-Lütschg et Hellmann sans écran, en mm

Epoques	Haas-L.	Hellmann	Compléments
3. 4. 1946 — 3. 6. 1946	202.6	190.1	
3. 6. 1946 — 8. 7. 1946	201.8	195.0	
8. 7. 1946 — 2. 9. 1946	254.8	255.7	
2. 9. 1946 — 2. 10. 1946	163.8	157.7	
2. 10. 1946 — 4. 11. 1946	87.5	82.2	
2. 4. 1946 — 4. 11. 1946	910.5	880.7	Diff.: + 30.5 + 3.4 %
3. 4. 1947 — 7. 6. 1947	174.4	154.4	Diff.: + 20.0 + 13 %
7. 1. 1948 — 5. 2. 1948	280.0	246.5	
5. 2. 1948 — 18. 3. 1948	83.5	58.0	H-L: 363.5
18. 3. 1948 — 11. 5. 1948	276.5	205.1	H: 304.5 cor. 304.3
11. 5. 1948 — 3. 7. 1948	281.5	282.6	Diff.: + 59.2 + 19.4 %
3. 7. 1948 — 7. 9. 1948	441.0	412.4	
7. 9. 1948 — 1. 11. 1948	127.4	129.5	
7. 1. 1948 — 1. 11. 1948	1489.9	1334.1	Diff. 155.8 + 11.7 %
18. 3. 1948 — 1. 11. 1948	1127.0	1029.1	Diff.: 98 + 9.5 %
7. 5. 1949 — 4. 7. 1949	168.0	159.5	
4. 7. 1949 — 29. 8. 1949	118.0	103.0	
29. 8. 1949 — 30. 9. 1949	91.5	91.0	
30. 9. 1949 — 23. 10. 1949	92.5	90.4	
7. 5. 1949 — 23. 10. 1949	470.0	443.9	Diff.: 26.5 + 6.5 %
	3044.8	2733.0	Diff.: 311 + 11.4 %

En 746 jours, de 1946 à 1949, dont 84 d'hiver seulement.

* Cf.: Der Kugelniederschlagsmesser Haas-Lütschg, Gerland's Beiträge zur Geophysik, Bd. 50, Heft 2—4, 1937.

pluie, il a fallu se rendre compte que ce dispositif serait pour la neige plus nuisible qu'utile, en raison du gel qui recouvrirait le tout d'un anneau tenace de neige durcie. Entre temps, un nouvel exemplaire de l'engin avait été installé au Sentier, mais dépouillé d'abord de la flasque supérieure. Un essai à la soufflerie avec le modèle initial, mais dépouillé de cette flasque supérieure, a démontré aussitôt que la double suppression seule assurerait la neutralité de l'engin dans le vent. C'est pourquoi l'écran a revêtu finalement l'aspect assez surprenant de la fig. 4. Si la présence de notre observateur permet d'apprécier déjà la taille de l'engin, il convient toutefois d'en donner les dimensions exactes, dimensions exigées par le modèle Hellmann pour fortes neiges. Ce récepteur repose dans l'axe de l'écran sur un siège permettant de le retirer par en bas pour la mesure; un autre, pareil, le remplace pendant la fusion de la neige emmagasinée. Cette opération hivernale exigeant le transport de deux pluviomètres sur une distance plutôt longue, on avait combiné un panier métallique ad hoc.

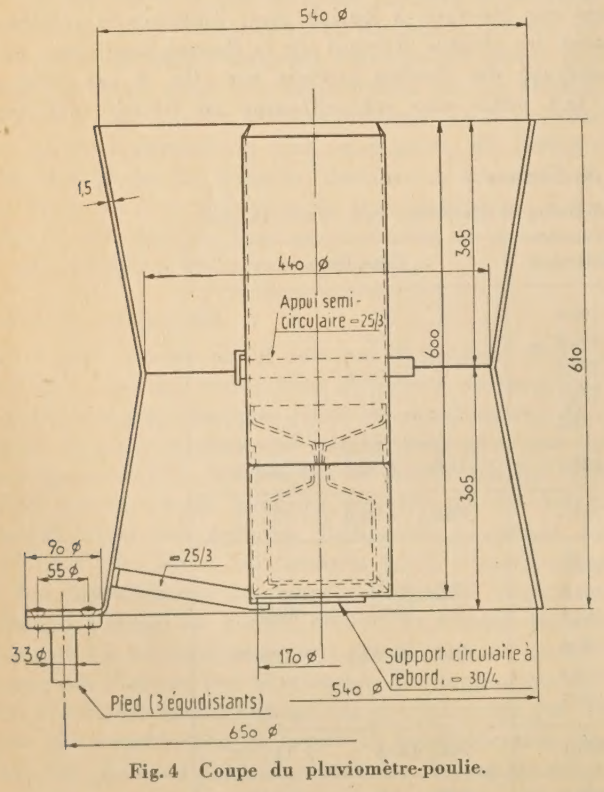

Fig. 4 Coupe du pluviomètre-poulie.

Le dessin coté fig. 4 montre l'écran en poulie dans sa forme dernière, avec les dispositifs assurant le soutien à la hauteur voulue du pluviomètre Hellmann de 60 cm, et son facile placement. L'ampleur de l'écran a été choisie quelque peu arbitrairement, assez grande d'ailleurs pour tenir le pluviomètre convenablement distant de ses parois, sans que celles-ci prennent des dispositions incommodes et coûteuses.

Cette considération prendra toute sa signification le jour où l'on construira un totalisateur annuel avec pareil écran, chose éminemment désirable. L'écran du Sentier avait, en haut comme en bas, 54 cm de diamètre avec seulement 44 cm à la ceinture (cf. dessin fig. 4 d'exécution, Verzinkerei Zug).

La discrimination entre neige et pluie prend ici toute son importance. D'emblée, en effet, une différence systématique est apparue entre ce dispositif et le pluviomètre Hellmann ordinaire sans écran. Celui-ci a toujours emmagasiné moins d'eau météorique que le Hellmann à poulie, quand cette eau tombait en neige et ceci de façon notable; en revanche, le Hellmann recueillait davantage de pluie. Pour les neuf dernières années, la différence moyenne avec le Hellmann ordinaire a été de —0,5 %.

Le tableau III fait déjà ressortir combien la qualité de neutralité aérodynamique d'un engin importe pour la neige. Le totalisateur à écran abaissé, dont les essais au tunnel ont prouvé la supériorité sur le modèle classique a recueilli (10 ans) 2 % de moins d'eau que ce dernier chez lequel l'écran, trop haut placé, engendre des tourbillons rabattant les flocons. Ce défaut est sans effet sensible en saison chaude avec la pluie seule: l'écart est alors nul.

La discrimination entre neige et pluie prend toute son ampleur dans les comparaisons entre Hellmann usuel et Hellmann à poulie, d'hiver à été (fig. 3), qui se résument dans les pourcents ci-après:

Po — H	hiver	(5 ans)	+ 2,1 %
Po — H	été	(8 ans)	— 1,9 %.

Ces chiffres sont encore dépassés, et dans les mêmes sens par ceux que j'ai donnés plus haut pour le Hellmann à poulie et que les présents pourcents corroborent, bien qu'en hiver il tombe maintes fois de la pluie au Sentier.

J'ai extrait des carnets d'observations toutes les chutes de neige dûment inscrites comme telles. Malheureusement, de trop grands intervalles ayant séparé souvent les relevés successifs des instruments, le nombre de cas certains n'est que de 63 pour toute la durée du fonctionnement du champ. Le nombre des notations de pluie certaine s'élève en revanche à 132. Durant les saisons de l'hiver à l'été et inversement, époques dans lesquelles neige et pluie alternent fréquemment, la distinction n'a souvent pas pu être faite, en raison des trop grands intervalles laissés entre les contrôles; ces cas s'élèvent à 5. Les hydro-météores n'ont pu donc être comparés que dans 63 cas. Voici les résultats: ces 63 chutes de neige ont fourni à l'appareil à poulie (P) un total de 1526 mm. La somme des écarts des observations individuelles aux deux appareils P — H (P = poulie, H = Hellmann) a été + 162,6 mm, soit 2,6 mm en moyenne par observation, à l'avantage de P. En revanche, pour 132 observations de pluie, l'écart P — H a été au total de — 197 mm, soit — 1,5 par observation. Autrement dit: quand 100 mm d'eau tombaient en neige dans la poulie (P) le Hellmann ordinaire ne mesurait que 89 mm. Et quand le Hellmann enregistrait 100 mm de pluie, la poulie n'en marquait que 94. Comment expliquer cette différence de comportement? Je me hasarde à le faire ainsi. Quand le vent souffle, les flocons de neige ont tendance à passer par-dessus l'ouverture du Hellmann ordinaire sans y entrer, ce qu'on sait d'ailleurs depuis longtemps. Ils le font en revanche dans le pluviomètre à poulie aéro-

ynamiquement neutre. Quand il s'agit de pluie, le vent emontant le long du cylindre de l'Hellmann ordinaire end à rejeter dans l'ouverture pluviométrique les emruns provoqués par le choc des gouttes contre le corps e l'instrument, augmentant ainsi indûment la mesure. On trouvera d'autre part dans le tableau N° V la comparaison de l'Hellmann avec ou sans poulie pour les deux aisons d'hiver et d'été, au nombre de huit, chacune, omme dans les tableaux généraux I, I b et I ter, les éléents de comparaison généraux entre l'appareil à écran n poulie et l'Hellmann d'une part, les grands totalisaeurs de l'autre.

On voit que la comparaison est à l'avantage du dispositif à poulie.

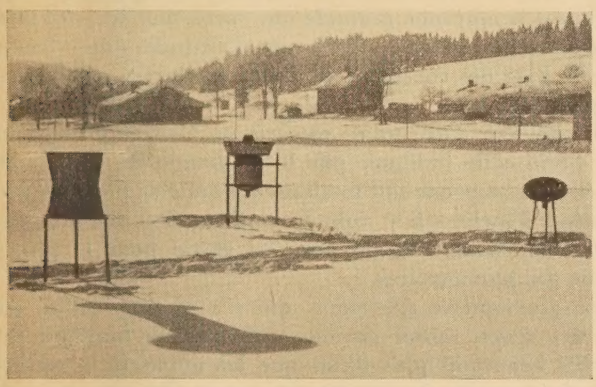

Fig. 5 Le champ vu du Nord en 1943.

Considérations finales

En pluviométrie comparative, on ne peut accorder de ignification qu'aux moyennes de valeur d'observation très nombreuses, tant les circonstances de la chute d'eau météorique sont changeantes et variées. C'est à la longueur et à la continuité des mesures faites à notre champ

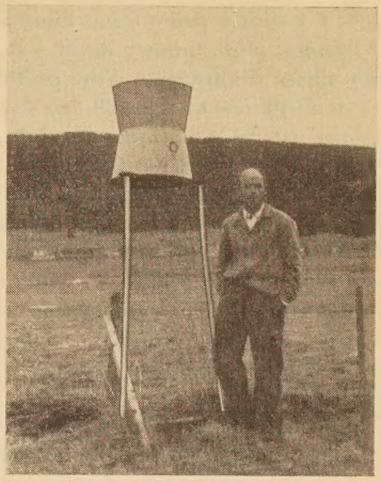

Fig. 6 M. Baud et l'engin à poulie.

d'essais du Sentier que, malgré leur apparente maigreur, les résultats exposés ci-dessus doivent quelque crédit cependant.

De cas en cas de précipitations limitées à quelques heures ou quelques jours, la confrontation des quantités d'eau recueillies par les divers instruments s'avère en effet des rapports de grandeur irréguliers d'un appareil à l'autre et même pour des mois entiers (tableau I b), rapports allant parfois jusqu'à changer de sens.

La statistique de Samuel Aubert (Considérations sur le climat de la Vallée de Joux, Bull. Soc. Vaudoise des

Champ d'essais du Sentier

Tab. V Résultats saisonniers (hiver et été) de divers engins

Epoques	Hellmann sans écran		Hellmann à écran en poulie		Ellipsoïdal	
30. 10. 1942 — 5. 4. 1943	463.5		498.5		506	
30. 10. 1944 — 10. 3. 1945	673.5	(7 hiv.)	674.5	(7 hiv.)	694	(7 hiv.)
6. 11. 1945 — 4. 4. 1946	505	Σ 4312	536	Σ 4372	572.5	4598
4. 11. 1946 — 3. 4. 1947	631.5		641.5	Δ Po—H	664	Δ E — H
7. 11. 1947 — 11. 5. 1948	926.5		939.5	Σ + 60	104.1	Σ +286
2. 11. 1948 — 7. 5. 1949	438.5		432.5	% + *1.4*	480	% + *6.6*
1. 11. 1949 — 10. 5. 1950	670.5		653.5	par rapp.	641	par rapp.
10. 11. 1950 — 2. 5. 1951	101.7		107.6	à Σ H	—	à Σ H
	532.9	(8 hiv.)	544.4	% + 2.15 (8 hiv.)	459.8	(7 hiv.)
5. 4. 1943 — 1. 10. 1943	642.5		647.5		696	
18. 3. 1944 — 30. 10. 1944	840		829		913.5	
10. 3. 1945 — 6. 11. 1945	683.5		659.5		717.5	
4. 4. 1946 — 4. 11. 1946	880		861.5		875	
3. 4. 1947 — 7. 11. 1947	480		469.5		546.5	
11. 5. 1948 — 1. 11. 1948	824.5		790	Δ Po—H	804.5	Δ E — H
7. 5. 1949 — 1. 11. 1949	461.5		419	Σ —187	449	Σ +295
19. 5. 1950 — 10. 11. 1950	779		728	% — 3.35	884	% + 5.25
	5591	(8 é)	5404	(8 é)	5886	(8 é)

% Annuel —1,3 % et + 5.5 %
Poulie Ellipsoïdal

Sc. Nat., Vol. 57, N° 230) indique en effet pour un tiers de siècle (1897—1930), dans la région du Sentier, 180 jours de précipitations par an, dont les jours neigeux forment le 36 %. Or, le nombre des relevés aux appareils journaliers a atteint à peine 5 par mois pendant les six premières années, pour tomber quasi à 2 seulement dans la seconde phase des travaux. Avec les relevés mensuels (118), nous disposons en tout de 445 données pour les 1770 indiqués par la statistique d'Aubert. Les trop grands intervalles laissés par l'observateur entre les contrôles, en saison chaude spécialement, ont certainement favorisé fâcheusement l'évaporation chez les pluviomètres quotidiens. Il n'est d'ailleurs pas certain non plus que les différences toujours négatives et systématiques au détriment des deux totalisateurs annuels ne proviennent pas pour une part de l'évaporation de l'épaisseur de la couche d'huile (2 mm) classique, pouvant être insuffisante à l'éliminer totalement.

Néanmoins, il convient de se souvenir qu'il s'agit ici essentiellement de comparer le fonctionnement d'instruments soumis durant le même laps de temps aux mêmes chutes d'eau et l'examen des tableaux est rassurant.

De tous les dispositifs examinés pour le service quotidien, le pluviomètre de haut format, à écran en poulie, me semble le plus digne de foi, tant pour la pluie que pour la neige.

Mais il convient de ne pas se leurrer: tous ces dispositifs ouverts, en bas comme en haut supposent un vent arrivant par leur travers, soit normalement, à leur axe de figure vertical. Un totalisateur placé sur une éminence causant des ascendances du vent ne jouit jamais de ces conditions idéales.

Note additionnelle

Dans «Recherches III» (Annales MZA 1939), j'ai soulevé la question de savoir si la règle obligeant à établir nos pluviomètres ordinaires dans un espace protégé des vents par un entourage élevé d'arbres et de bâtiments, n'entraîne pas une erreur systématique, par excès, d précipitations mesurées. Je crois bon de profiter de présence, à quelque deux cents mètres du champ d'essai dans son NW et à cinq mètres environ au-dessus de not Hellmann ordinaire, d'un pluviomètre du même typ contrôlé aussi par M. Baud. Il s'agit de l'instrument o servé depuis des décennies au Collège du Chenit et do les «Annales» publient depuis longtemps les résultats. se dresse à côté du Collège du Chenit, dans un jard potager entouré à quelque distance d'arbres et d'édifice sur la pente déjà atténuée de la colline, orienté au S donc dans une situation conforme à l'usage. On trouve dans le tableau I, pour les mêmes époques que pour champ d'essais, les hauteurs d'eau du Collège. Après r duction à 200 cm² de la surface pluviométrique, j'ai a pliqué à la moyenne générale une correction de —0,4 m par an et par mètre de différence d'altitude, soit —2 m sur la base des constatations faites en terrain assez sem blable.

La hauteur d'eau totale mesurée au Collège a surpas de 4,5 % celle indiquée par le Hellmann du champ de 9 % la moyenne des totalisateurs annuels pour les d années. J'incline à y voir la confirmation de mes r serves touchant la règle jusqu'ici suivie pour le pla ment des pluviomètres.

Le pluviomètre sphérique, qui n'a pu être utilisé Sentier qu'en saison chaude seulement, a toujours r cueilli beaucoup plus d'eau que les appareils à ouv ture horizontale. La signification vraie des mesures p un tel dispositif nous échappe et ne nous paraît pas su ceptible d'une interprétation claire.

En résumé, il me semble résulter de ces longs ess que le météorologue dispose d'instruments pluvion triques bien suffisamment exacts en eux-mêmes, m que la difficulté extrême de les bien placer enlève qu toute valeur à son effort instrumental de perfection ment technique. Il valait bien la peine d'en acqué l'amère certitude.

Lausanne et Zurich, mai 1954.